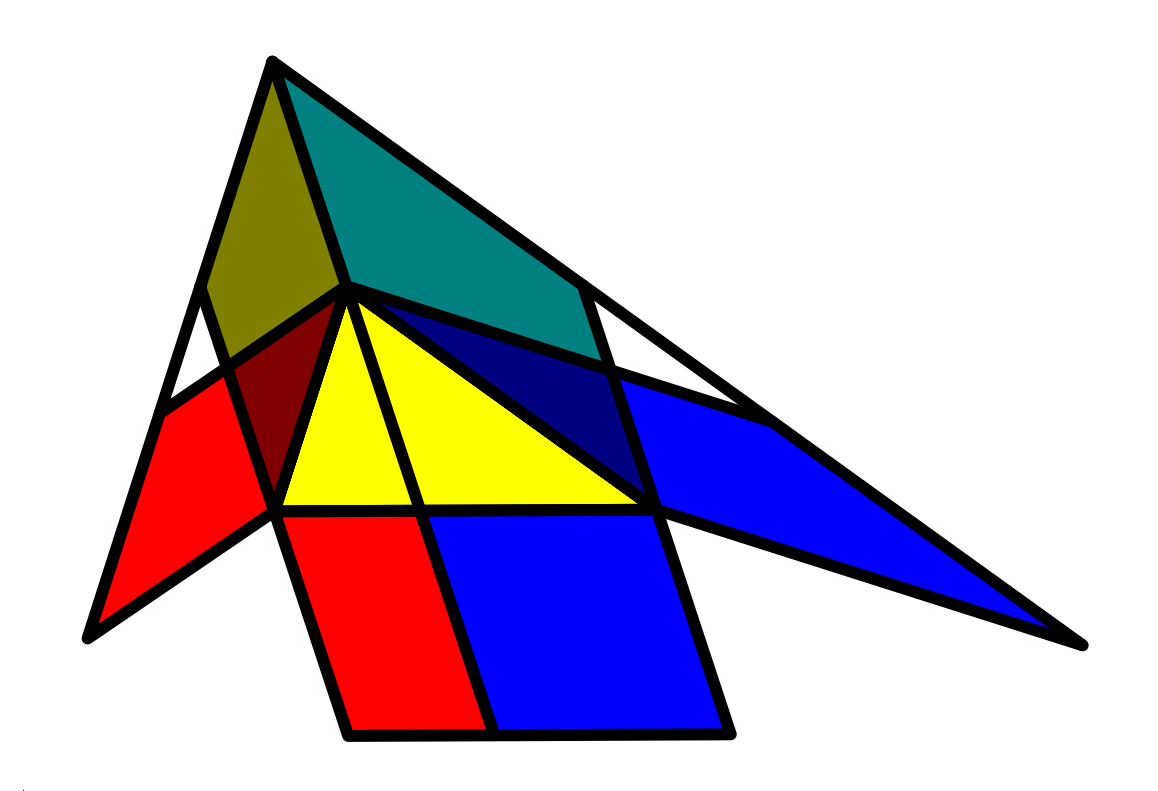
## Παμφίλου



Έλασσον Γεωμετρικόν

19 Ιουλίου 2011

## Πρόλογος

Το ανά χείρας βιβλίο προέχυψε από επεξεργασία σημειώσεων παραδόσεων των μαθημάτων Γεωμετρία, Ευκλείδεια Γεωμετρία, Η Γεωμετρία στο Σχολείο και Γεωμετρία και Υπολογιστές που, κατ' επανάληψη, έκανα κατά την διάρκεια της τελευταίας εικοσαετίας στο πανεπιστήμιο Κρήτης. Το βιβλίο αποσκοπεί στην επαναφορά της Γεωμετρίας στο σχολείο σε ένα πολύ στοιχειώδες επίπεδο, χωρίς όμως να θεωρεί τον μαθητή περίπου ανίκανο να κάνει μιά απόδειξη. Η Γεωμετρία είναι το κατ' εξοχήν μάθημα γιά την ανάπτυξη της κουλτούρας της σκέψης. Υπάρχει και η κουλτούρα της μη-σκέψης, μάλιστα εξαιρετικά διαδεδομένη. Η σκέψη σε κάθε ζήτημα είναι παρόμοια με αυτήν που μαθαίνουμε στην Γεωμετρία: Συστηματική και, χυρίως, συστημική. Συστηματική διότι οργανώνεται η γνώση από απλές αρχές (αξιώματα, παραδοχές) και προχωρά στην μελέτη και ανάλυση των συνεπειών τους. Συστημική, διότι αυτοπεριοριζόμεθα σε ένα σύστημα, μιά δομή, ένα συγκρότημα εννοιών με κοινά χαρακτηριστικά, το οποίο μελετάμε και αναλύουμε. Η διαδικασία αυτή είναι αντίθετη στην κουλτούρα της μη-σκέψης, που χαρακτηρίζεται από την συλλεκτική δραστηριότητα, την κατασκευή βάσης δεδομένων, πληροφοριών ανεπεξέργαστων και, εν πολλοίς, άσχετων μεταξύ τους. Κατά την γνώμη μου ο άνθρωπος έχει ανάγκη να συγκεντρωθεί και να σκεφθεί πάνω σε αξιόλογα  $\vartheta$ έματα, ένα την φορά, και η  $\Gamma$ εωμετρία είναι μοντέλο εξάσκησης αυτής της ικανότητας.  $\Delta$ οχιμασμένη γιά αιώνες, πυρήνας γνώσης αστείρευτης χαι παραγωγιχής, τόσο σε θεωρητιχό επίπεδο όσο και σε πρακτικές εφαρμογές. Πρέπει λοιπόν να επιστρέψει στην θέση που της αξίζει στα σχολεία, χωρίς να αποδυναμώνεται από το χύριο στοιχείο της που είναι η απόδειξη.

Από αυτές λοιπόν τις ιδέες εμφορούμενος, προχωρώ στην πρότασή μου προσφέροντας την υποδομή γιά ένα μάθημα, απλό, όσο γίνεται πιό πολύ και όσο επιτρέπει το αντικείμενο. Το βιβλίο συγκεντρώνει το υλικό και το οργανώνει σε μιά λογική σειρά, ώστε να είναι διαθέσιμο στον καθηγητή που θα θελήση να διαμορφώσει τα σχολικά μαθήματα, αλλά και στον μαθητή που θα θελήσει να εμβαθύνει. Πολλά είναι αυτά που θα ήθελα να συμπεριλάβω και θα διόγκωναν το βιβλίο σε ένα πολλαπλάσιων σελίδων. Περιορίστικα όμως σε αυτά που μου φαίνονται θεμελιώδη. Τις βασικές έννοιες και σχήματα, λίγα από τα κλασικά θεωρήματα, μιά γεύση στερεομετρίας και ελάχιστα περί κωνικών τομών. Αυτά όλα κι $^{\circ}$  όλα.  $\Delta$ ίχως καν την χρήση αρνητικών αριθμών, τουλάχιστον στα πρώτα στάδια, ή της πανταχού ενεργής στην Γεωμετρία έννοιας του μετασχηματισμού. Ελαχιστοποιούνται έτσι τα προαπαιτούμενα του μαθήματος και αναδεικνύεται, ελπίζω, η ειδοποιός διαφορά της απλής γνώσης από την δομημένη γνώση. Η πρωτεύουσα και κυρίαρχη συμβολή της Γεωμετρίας στην παιδεία είναι ένα στοιχείο ποιότητας και όχι ποσότητας. Η συμβολή της είναι, κυρίως, στην ανάπτυξη της σκέψης, της ικανότητας διάκρισης των αιτίων και των αποτελεσμάτων τους. Ωστόσο, το υλικό που παραθέτω στο βιβλίο είναι πολύ πιό ευρύ από αυτό που συνήθως καλύπτεται στα σχολεία. Η πρόταση είναι να γίνεται επιλογή από τον καθηγητή και να χρησιμοποιείται το βιβλίο ως αναφορά και χάρτης της ύλης της Γεωμετρίας γιά όλες τις τάξεις που διδάσκεται το μάθημα. Το επί μέρους μάθημα γιά κάθε τάξη, ως διαδρομή σχεδιασμένη και οργανωμένη λεπτομερώς

στον χάρτη, μπορεί και πρέπει να υποστηρίζεται και με συνοδά βοηθήματα παιδαγωγικού χαρακτήρα (πρακτικές ασκήσεις, πρόσθετες ασκήσεις, ασκήσεις σχεδιασμού και εμπέδωσης των εννοιών, φύλλα εργασίας, λογισμικά, κτλ.). Η φιλοσοφία μου είναι να εφαρμόζουμε ότι καινούργιο μαθαίνουμε και έτσι η θεωρία, σε κάθε βήμα της, παρακολουθείται από ασκήσεις που την συμπληρώνουν και δίνουν την αφορμή γιά στοχασμό πάνω στις νέες έννοιες που εισάγονται.

Θεωρώ αναγχαίο να υπάρχει ένα βιβλίο γιά χάθε σχολιχό μάθημα. Το βιβλίο της Γεωμετρίας, το βιβλίο της Φυσιχής, το βιβλίο της Χημείας χτλ., το οποίο να χαλύπτει την ύλη των αντιστοίχων μαθημάτων σε όλες τις τάξεις. Έτσι ο μαθητής θα έχει μιά στέρεα χαι πλήρη υποδομή στην οποία θα ανατρέχει σε όλη την διάρχεια της μαθητείας του. Το βιβλίο αυτό θα μοιάζει με τον χορμό χαι τα παιδαγωγιχά χαι διδαχτιχά βοηθήματα, που ανέφερα παραπάνω, θα συμπληρώνουν με χλαδιά την μορφή ενός δένδρου. Άχόμη χαι αν ο μαθητής δεν ασχοληθεί ποτέ με τον χορμό, αλλά αρχείται μόνο στα χλαδιά του δένδρου, αυτός δεν είναι λόγος να του προσφέρουμε αποχλειστιχά χομμένα χλαδιά χαι να θεωρούμε τον χορμό άχρηστο γιά την ανάπτυξή του.

 $\Sigma$ τα μαθήματα που προτείνω δεν προχωρώ σε δομική ανάπτυξη, αλλά σε μιά λίγο-πολύ παραδοσιαχή, συνθετιχή μέθοδο, που αποσχοπεί στην εξοιχείωση με τις βασιχές έννοιες χαι μιά πρώτη επαφή με τα σχήματα και τα προβλήματα που σχετίζονται με αυτά. Μιά δομική ανάπτυξη θα τόνιζε ιδιαίτερα τα αξιώματα και τις δομές, αλγεβρικές και αναλυτικές, που υπόχεινται σε όλο αυτό το υλικό. Τα Μαθηματικά έχουν πλέον οριστικά περάσει από την τέχνη των υπολογισμών στην ανακάλυψη και διερεύνηση δομών. Ο δρόμος όμως αυτός, που αποτελεί εξέλιξη μαχροχρόνια, δεν μου φαίνεται χαλός γιά το ξεχίνημα και την εισαγωγή στην Γεωμετρία, τις έννοιες που την απασχολούν, τα σχήματα και τα προβλήματα στα οποία αυτά οδηγούν. Θεωρώ ότι ο μαθητής πρέπει πρώτα να έχει εμπειρίες, προσλαμβάνουσες παραστάσεις, με τον απλούστερο δυνατό τρόπο, χωρίς την παρεμβολή των αφηρημένων δομών, που, κατά την γνώμη μου, στο αρχικό στάδιο θα δυσκόλευαν την προσέγγισή του στο υλικό. Έτσι, απλά γιά να έχει ο μαθητής ένα σημείο αναφοράς, βάζω ορισμένες αρχές στα αξιώματα και προχωρώ γρήγορα στις λογικές συνέπειές τους, ώστε να γίνει η συνάντηση με τα κάπως πιό σύνθετα και ενδιαφέροντα σχήματα, όσο το δυνατόν γρηγορότερα. Μέσα στα αξιώματα φιλοξενούνται πολύ βασικές ιδιότητες, μερικές από τις οποίες θα μπορούσαν κιόλας να αποδειχθούν και να μην τεθούν ως αξιώματα. Αυτό όμως θα είχε ως συνέπεια μιά κάπως πιό εχτεταμένη συζήτηση τετριμμένων συνεπειών και συμπερασμάτων, που χρίνω ότι γίνεται ανιαρή γιά τον μαθητή και μπορεί να τον απωθήσει από το μάθημα. Η συζήτηση των αρχών και η λεπτομερής καταγραφή των απλούστερων από αυτές, από τις οποίες συνάγονται όλες οι υπόλοιπες είναι έργο ύστερης σοφίας και πρέπει να γίνεται μετά, αφού κανείς αγαπήσει το υλικό. Πρώτα όμως πρέπει να δεί πιό είναι αυτό το υλικό, να ξεκινήσει από την πράξη και σιγά-σιγά, ανάλογα με το ενδιαφέρον του και τις δυνατότητές του, να προχωρήσει στην θεωρία. Έχει λοιπόν αυτό το μάθημα τον χαρακτήρα της εισαγωγής, της πρώτης επαφής, με μιά περιοχή γνώσης που έχει πολλά επίπεδα.

Εύχομαι ο καθηγητής, αλλά και ο φιλόπονος μαθητής, να διαβάσει το βιβλίο με την ίδια ευχαρίστηση και ακόμη περισσότερη από όση προσωπικά είχα την τύχη να απολαύσω επεξεργαζόμενος επί μακρόν χρόνο το εξαίρετο υλικό (το υλικό άριστο, οι ατέλειες και τα λάθη δικά μου). Θα μου έδινε επίσης ιδιαίτερη ικανοποίηση να δω τον μαθητή να φυλάει το βιβλίο στην βιβλιοθήκη του και να το ξεφυλίζει ενίστε και μετά την αποφοίτηση από το σχολείο του. Σε καμία περίοδο της ζωής του δεν πρόκειται να τον βλάψει η Γεωμετρία. Το αντίθετο μάλιστα, ως πηγή διαρκούς ωφέλους, σε όσους την αποδέχονται, είναι πηγή αγαθού και στέρεο θεμέλιο προόδου. Γιά όσους θέλουν να εμβαθύνουν περισσότερο ή να κάνουν συγκρίσεις με

άλλες πηγές, δεν παραλείπω να κάνω βιβλιογραφικές παραπομπές. Εκτός των άλλων και διότι θεωρώ ότι ο άνθρωπος πρέπει να μάθει να αναζητά και να συνομιλεί με πνεύματα εκλεκτά που προηγήθηκαν και ενδιαφέρθηκαν και δημιούργησαν πάνω στο υλικό της μελέτης του. Επίσης θεωρώ αναγκαίο το σχήμα, γι' αυτό, τον μισό και περισσότερο χώρο του βιβλίου, καταλαμβάνουν τα σχήματα. Ένα μεγάλο μέρος της γοητείας της Γεωμετρίας, τουλάχιστον πάνω μου, ασκούσαν τα σχήματα. Ένα σχήμα αποτυπώνει έναν αιώνιο νόμο. Κάτι σταθερό και αμετάβλητο στο χρόνο και αντίθετο στο φευγαλέο και ευμετάβλητο της ύπαρξής μας. Ο άνθρωπος που τείνει στην οργάνωση και την συγκρότηση τείνει προς ένα σχήμα με μιά ευρύτερη έννοια. Μεγάλο ώφελος, νομίζω, θα έχει ο μαθητής, αν μάθει να σχεδιάζει, όσο πιό καλά μπορεί, όλα τα σχήματα που συναντά στην μελέτη του, είτε με τα κλασικά όργανα του κανόνα και του διαβήτη είτε με λογισμικά της αρεσκείας του. Εκτός της εμπέδωσης της ύλης θα έχει και το ώφελος της αισθητικής καλλιέργειας, καθώς το γεωμετρικό σχήμα είναι και φορέας υψηλού αισθητικού περιεχομένου. Όπως σοφά αποκρυσταλλώνει η γλώσσα μας, το ά-σχημο είναι αυτό που δεν έχει σχήμα και αυτό είναι αντίθετο στην ουσία της Γεωμετρίας.

# Περιεχόμενα

1	Ou	βασικές έννοιες	11
	1.1	Αόριστες έννοιες, αξιώματα	12
	1.2	Ευθεία και Ευθύγραμμο τμήμα	15
	1.3	Μήκος, Απόσταση	18
	1.4	Γωνίες	
	1.5	Γωνιών είδη	24
	1.6	Τρίγωνα	
	1.7	Η ισότητα σχημάτων	30
	1.8	Το ισοσχελές χαι το ορθογώνιο τρίγωνο	32
	1.9	Κριτήρια ισότητας τριγώνων	
	1.10	Σχετικά μεγέθη γωνιών τριγώνου	
		Η τριγωνική ανισότητα	
		Η Κάθετος από σημείο	
		Η Παράλληλος από σημείο	
		Το άθροισμα γωνιών τριγώνου	
		Το αξίωμα των παραλλήλων	
	1.16	Συμμετρίες	63
		Λόγοι, Αρμονικές τετράδες	
<b>2</b>	Κύχ	κλος και πολύγωνα	73
	2.1	Ο κύκλος, η διάμετρος, η χορδή	74
	2.2	Κύχλος και ευθεία	
	2.3	$\Delta$ ύο χύχλοι	82
	2.4	Κατασχευές	86
	2.5	Παραλληλόγραμμα	94
	2.6	Τετράπλευρα	
	2.7	Τα μέσα των πλευρών	
	2.8	Οι διάμεσοι τριγώνου	105
	2.9	Το ορθογώνιο και το τετράγωνο	109
	2.10	Άλλα είδη τετραπλεύρων	111
	2.11	Πολύγωνα, κανονικά πολύγωνα	115
	2.12	Τόξα, επίκεντρες γωνίες	120
		Εγγεγραμμένες γωνίες	
		Εγγεγραμμένα τετράπλευρα	
		Γεωμετρικοί τόποι	

8 IIEPIEXOMENA

3	$\mathrm{E}\mu eta$	αδά, Θαλής, Πάππος, Πυθαγόρας														143
	3.1	Εμβαδόν πολυγώνων				 •						 				144
	3.2	Το εμβαδόν του ορθογωνίου										 				146
	3.3	Εμβαδόν παραλληλογράμμου, τριγώνου .										 				149
	3.4	Πυθαγόρας και Πάππος				 •						 				155
	3.5	Όμοια ορθογώνια τρίγωνα										 				162
	3.6	Οι τριγωνομετρικές συναρτήσεις							•		•	 				167
	3.7	Το θεώρημα του Θαλή							•		•	 				173
	3.8	$\Delta$ έσμες ευθειών							•		•	 				179
	3.9	Όμοια τρίγωνα				 •						 				187
	3.10	Όμοια πολύγωνα							•		•	 				196
	3.11	Θεωρήματα ημιτόνου και συνημιτόνου							•		•	 				203
	3.12	Stewart, διάμεσοι, διχοτόμοι, ύψη										 				209
4	нε	ύναμη του κύκλου														217
4	4.1	Δύναμη ως προς κύκλο														
	4.2	Χρυσή τομή, κανονικό πεντάγωνο														
	4.3	Ριζικός άξονας, Ριζικό κέντρο														
	4.4	Οι κύκλοι του Απολλώνιου														
	4.4	Δέσμες κύκλων														
	4.6	•														
	4.7	Ορθογώνιοι κύκλοι και δέσμες														
	4.7	, , ,														
	4.0	Αντιστροφή														
	4.9	πολική και πολός	•	•	•	 •	•	 •	•	•	•	 •	•	•	•	204
5	$A\pi \dot{c}$	ο τα κλασικά θεωρήματα													•	269
	5.1	Παρεγγεγραμμένοι και έκκεντρα										 				270
	5.2	Κύχλος του <i>Euler</i>							•		•	 				276
	5.3	Θεώρημα του Feuerbach				 •						 				278
	5.4	Θεώρημα του Euler				 •						 				280
	5.5	Εφαπτόμενοι χύχλοι του Απολλώνιου										 				282
	5.6	Ο Τύπος του Ήρωνα										 				289
	5.7	Θεωρήματα Πτολεμαίου και Brahmagupta										 				292
	5.8	Η ευθεία του Simson										 				300
	5.9	Σημεία του $Miquel$										 				302
	5.10	Θεωρήματα των Fermat και Fagnano .														
	5.11	Θεώρημα του Morley										 				308
	5.12	Προσημασμένος λόγος και απόσταση										 				310
		$\Delta$ ιπλός λόγος, Αρμονικές δέσμες														
		Θεωρήματα του Μενελάου και του Ceva														
		Το πλήρες τετράπλευρο														
		Θεώρημα του Desargues														
		Θεώρημα του Πάππου														
		Θεωρήματα του Pascal και του Brianchon														

 $\Pi EPIEXOMENA$  9

6	Κύχ	ιλου μέτρηση										343
	6.1	Οι δυσκολίες, το όριο										. 344
	6.2	Ορισμός της περιμέτρου του χύχλου										. 348
	6.3	Ο αριθμός π										
	6.4	Το μήκος τόξου του κύκλου, ακτίνια										
	6.5	Ορισμός του εμβαδού του κύκλου										
	6.6	Το εμβαδόν κυκλικού τομέα										
7	Ευθ	θείες και επίπεδα στο χώρο										365
	7.1	Αξιώματα γιά τον χώρο										. 366
	7.2	Παράλληλα επίπεδα										. 371
	7.3	Γωνίες στον χώρο										
	7.4	Ασύμβατες ευθείες										
	7.5	Ευθεία κάθετη σε επίπεδο										
	7.6	Γωνία ευθείας και επιπέδου										
	7.7	Θεώρημα του Θαλή στο χώρο										
0		, , ,										
8	Στε	·										391
	8.1	Δίεδρες γωνίες										
	8.2	Τρίεδρες γωνίες										
	8.3	Πυραμίδες, πολυεδρικές γωνίες										
	8.4	Τετράεδρα										
	8.5	Κανονικές πυραμίδες										
	8.6	Πολύεδρα, Πλατωνικά σώματα										
	8.7	Πρίσματα										
	8.8	Κύλινδρος										. 417
	8.9	Κώνος, Κωνική επιφάνεια										. 419
	8.10	Κόλουρος Κώνος, Ανάπτυγμα κώνου		•								. 424
	8.11	$\Sigma$ φαίρα										. 426
	8.12	$\Sigma$ φαιρικά πολύεδρα		•								. 434
	8.13	Άτρακτος, γωνία μεγίστων κύκλων .							٠		٠	. 436
	8.14	$\Sigma$ φαιρικά τρίγωνα		•								. 437
	8.15	Η παραπληρωματική τρίεδρος										. 441
9	Εμβ	σαδά στο χώρο, όγκοι										445
	9.1	Εμβαδά στο χώρο										. 446
	9.2	Εμβαδόν της σφαίρας										
	9.3	Εμβαδόν σφαιρικών πολυγώνων										
	9.4	Χαρακτηριστική του Euler										
	9.5	Όγκοι										
	9.6	Όγκοι πρισμάτων										
	9.0	• • •										
		Όγκοι πυραμίδων										
	9.8	Όγκοι κυλίνδρων										
	9.9	Όγχοι χώνων										
	9.10	Όγκος της σφαίρας										. 478

10 ΠΕΡΙΕΧΟΜΕΝΑ

0 Κωνικές Τομές	5						
10.1 Κωνιχές τομές	ŝ						
10.2 Οι σφαίρες του Dandelin	9						
10.3 Διευθετούσες	3						
10.4 Γενικά χαρακτηριστικά κωνικών	)						
10.5 Η Παραβολή	3						
10.6 Η έλλειψη	3						
10.7 Η υπερβολή	9						
52'	7						
Ευρετήριο							

Κεφάλαιο 1 Οι βασικές έννοιες

#### 1.1 Αόριστες έννοιες, αξιώματα

Η αρχή είναι λίγο δύσκολη γιά τον συγγραφέα και τον μαθητή. Τούτο διότι υπεισέρχονται οι λεγόμενες Αόριστες έννοιες. Έννοιες που είναι τόσο απλές και οικείες από την εμπειρία μας, ώστε δεν μπορούμε να βρούμε πιό απλές με την βοήθεια των οποίων να τις περιγράψουμε. Τέτοιες έννοιες στην Γεωμετρία είναι το Σημείο, ο Χώρος, το Επίπεδο, η Ευθεία, η έννοια του σημείου Μεταξύ δύο άλλων σημείων και η έννοια της Ισότητας δύο  $\sigma\chi\eta\mu$ άτω $\nu$ . Μαθαίνομε να χειριζόμαστε αυτές τις έννοιες βάσει των  ${f Iδιοτήτων}$  τους ή  $\mathbf{A}$ ξιωμάτων που περιγράφουν κάποια χαρακτηριστικά τους και τα οποία aποδ $\epsilon$ χόμ $\epsilon$ θaχωρίς απόδειξη. Ξεκινάμε λοιπόν με τις αόριστες έννοιες. Περιγράφουμε τις βασικές ιδιότητες τους με αξιώματα και από 'κει και πέρα, συνδυάζοντας τις βασικές ιδιότητες με την λογική συμπεραίνουμε άλλες ιδιοτητες, τα θεωρήματα ή προτάσεις και τα πορίσματα (άμεσες λογικές συνέπειες των θεωρημάτων). Τα μέχρις ενός σημείου αποδειχθέντα θεωρήματα, μαζί με τα αξιώματα, χρησιμοποιούνται γιά να συμπεράνουμε νέες ιδιότητες, δηλαδή νέα θεωρήματα. Με τον τρόπο αυτό χτίζουμε σιγά-σιγά ένα καλά οργανωμένο και δομημένο πνευματικό οικοδόμημα που συγκροτεί την γνώση μας στην Γεωμετρία. Εάν σε κάποιο σημείο κάνουμε μιά παραδοχή λ.χ. Α=Β και, στηριζόμενοι στη λογική, καταλήξουμε ότι αυτό οδηγεί σε αντίφαση προς κάποιο αξίωμα ή εν τω μεταξύ αποδειχθέν θεώρημα, τότε λέμε ότι η υπόθεσή μας οδηγεί σε άτοπο και είμαστε υποχρεωμένοι να δεχθούμε ότι ισχύει η λογική άρνηση της ιδιότητας (στο παράδειγμα  $A \neq B$ ). Η μέθοδος αυτή του συλλογισμού λέγεται  $\mathbf{E}$ ις άτοπον απαγωγή και χρησιμοποιείται κατά κόρον στην γεωμετρία.

Η Ευκλείδεια Γεωμετρία εξετάζει τις ιδιότητες σχημάτων στο χώρο και το επίπεδο και κυρίως αυτές που σχετίζονται με μετρήσεις.  $\Omega$ ς  $\Sigma$ χήμα θεωρούμε οποιαδήποτε συλλογή σημείων του επιπέδου (επίπεδο σχήμα) ή του χώρου (σχήμα στον χώρο). Μετράμε μήκη, γωνίες και εμβαδά. Στον χώρο μετράμε και όγκους. Συνήθως το μάθημα χωρίζεται σε δύο μέρη. Στο πρώτο μέρος, που ονομάζεται Επιπεδομετρία εξετάζονται ιδιότητες σχημάτων του επιπέδου, όπως το τρίγωνο, το τετράγωνο, ο κύκλος κτλ. Στο δεύτερο μέρος, που ονομάζεται Στερεομετρία εξετάζονται ιδιότητες των σχημάτων του χώρου, όπως ο κύβος, η σφαίρα κτλ.

 $\Sigma \chi$ όλιo-1  $ext{T}$ α αξιώματα που  $\vartheta$ α επιλέξουμε ως βασικές ιδιότητες και σημείο εκκίνησης της μελέτης μας δεν είναι πραγματικά ανεξάρτητα μεταξύ τους. Ορισμένα από αυτά είναι συνέπειες των άλλων. Επομένως θα μπορούσαμε να ξεκινήσουμε με λιγότερα, ανεξάρτητα μεταξύ τους, αλλά επαρχή γιά να αποδείξουμε όλες τις υπόλοιπες ιδιότητες ως θεωρήματα. Αυτό, ωστόσο, θα είχε την συνέπεια να χρονοτριβήσουμε σε πολύ απλές ιδιότητες, αποδειχνύοντάς τις και αυτές ως συνέπειες των λίγων αξιωμάτων μας. Προτίμησα να ενσωματώσω λοιπόν, κάποιες από αυτές τις ιδιότητες στα αξιώματα, με την φιλοσοφία ότι η αποκάλυψη πιό χρυφών ιδιοτήτων δημιουργεί περισσότερο ενδιαφέρον από την επιβεβαίωση των προφανών. Γιά μιά διαφορετική πορεία, όπου εξετάζεται λεπτομερώς το θέμα των αξιωμάτων μπορεί κανείς να δει το πολύ γνωστό βιβλίο [Hil03] του Hilbert 1862-1943, που είναι αφιερωμένο εξ' ολοκλήρου στη συζήτηση των αξιωμάτων, την ανεξαρτησία τους και την μεταξύ τους μη-αντιφατικότητα. Από αυτό το βιβλίο προέρχονται και τα περισσότερα των αξιωμάτων της ευθείας που διατυπώνω παρακάτω. Αντικαθιστώ ωστόσο μερικά από αυτά με αξιώματα από το σύστημα του Birkhoff 1884-1944 ([Bir32]), που εξασφαλίζουν το ότι οι ευθείες είναι στην ουσία αντίγραφα του συνόλου των πραγματικών αριθμών. Ας σημειωθεί πάντως ότι η θεμελίωση της Ευκλείδειας γεωμετρίας μπορεί να γίνει και με πολύ λίγα αξιώματα. Ο Hilbert

στο προαναφερθέν βιβλίο του, καθώς και ο Cairns 1904-1982 ([Cai33]), δίδουν συστήματα με τέσσερα μόνον αξιώματα. Ο Bachmann 1909-1982 ([Bac73]) δίδει ένα σύστημα πέντε αξιωμάτων. Σε όλα αυτά τα συστήματα όμως υπεισέρχονται πιό σύνθετες μαθηματικές δομές (τοπολογικοί χώροι, μετασχηματισμοί, ομάδες κ.α.).

Σχόλιο-2 Τα στοιχεία του Ευκλείδη (περίπου 325-265 π.Χ.) ([Hei85], [Hea08]) αρχίζουν με την παράθεση 23 ορισμών οι 4 πρώτοι εκ των οποίων και ο τελευταίος είναι οι εξής:

- (1) Σημείον έστιν, ου μέρος ουθέν.
- (2) Γραμμή δε μήχος απλατές.
- (3) Γραμμής δε πέρατα σημεία.
- (4) Ευθεία γραμμή εστιν, ήτις εξ ίσου τοις εφ' εαυτής σημείοις κείται.

... ...

(23) Παράλληλοι εισίν ευθείαι, αίτινες εν τω αυτώ επιπέδω ούσαι και εκβαλλόμεναι εις άπειρον εφ' εκάτερα τα μέρη επί μηδέτερα συμπίπτουσιν αλλήλαις.

Αμέσως μετά τους 23 ορισμούς αχολουθούν τα 5 Αιτήματα που εμείς ονομάζουμε αξιώματα:

- 1. Ηιτήσθω από παντός σημείου επί παν σημείον ευθείαν γραμμήν αγαγείν.
- 2. Και πεπερασμένην ευθείαν κατά το συνεχές επ' ευθείας εκβαλείν.
- 3. Και παντί κέντρω και διαστήματι κύκλον γράφεσθαι.
- 4. Και πάσας τας ορθάς γωνίας ίσας αλλήλας είναι.
- 5. Και εάν εις δύο ευθείας ευθεία εμπίπτουσα τας ενός και επί τα αυτά μέρη γωνίας δύο ορθών ελάσσονας ποιή, εκβαλλομένας τας δύο ευθείας επ' άπειρον συμπίπτειν, εφ' ά μέρη εισίν αι των δύο ορθών ελάσσονες.

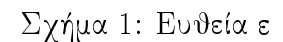
Στους ορισμούς αυτούς περιέχονται τόσο έννοιες που εμείς περιγράψαμε ώς aόριστες (1,2,4), όσο και κανονικοί ορισμοί, όπως τους δίνουμε και σήμερα (3,23). Τα πέντε αξιώματα του Ευκλείδη, δυστυχώς, δεν φθάνουν γιά την απόδειξη όλων των προτάσεων που ακολουθούν στο βιβλίο του. Συχνά χρησιμοποιεί κάποιες ιδιότητες που δεν προκύπτουν από τα πέντε αυτά αξιώματα, που είναι όμως σωστές. Απλά χρειάζεται η προσθήκη και άλλων αξιωμάτων ώστε να προκύψει αυτό που σήμερα λέμε πλήρες σύστημα αξιωμάτων, το οποίο είναι ικανό να στηρίζει τις αποδείξεις όλων των ιδιοτήτων των σχημάτων που ανακαλύπτουμε και να τις βάλει σε μιά λογική σειρά.

Σχετικά με τον λίγο χρόνο που αναλίσκει ο Ευκλείδης στους ορισμούς και τα αξιώματα συνηγορώ, γιατί κατ' επανάληψιν εχω παρατηρήσει ότι όταν ο μαθητής πολιορκείται με διασαφήσεις και ανάλυση λεπτομερειών γιά έννοιες των οποίων έχει μιά φυσική διαίσθηση, τότε αρχίζει να αμφιβάλλει και γιά αυτά που ήξερε και να μπερδεύεται περισσότερο αντί να φωτίζεται. Χρειάζεται λοιπόν προσοχή ώστε περισσότερο να ενισχυθεί η φυσική του διαίσθηση γιά αυτά που καταλλαβαίνει με κάποιο τρόπο, παρά να αμφισβητηθεί η διαίσθησή του και οι προηγούμενες εμπειρικές γνώσεις του. Ακολουθώντας λοιπόν τον Ευκλείδη δεν θα σταθώ ιδιαίτερα στις αόριστες έννοιες και τα αξιώματα. Θα δώσω ένα σύστημα πλήρες, ικανό

να στηρίξει όλες τις μετέπειτα προτάσεις μας και θεωρήματα. Εμπιστευόμενος ωστόσο την διαίσθηση του αναγνώστη δεν θα συζητήσω ιδιαίτερα τις αλληλεξαρτήσεις των αξιωμάτων αυτών και τις αόριστες έννοιες στις οποίες αυτά αναφέρονται.

#### 1.2 Ευθεία και Ευθύγραμμο τμήμα

Το επίπεδο αποτελείται από  $\Sigma$ ημεία που συμβολίζομε με κεφαλαία γράμματα  $A, B, \Gamma, ...$  ή κεφαλαία με τόνους  $A', B', \Gamma', ...$  ή κεφαλαία με δείκτες  $A_1, A_2, ...$  κτλ. Το πιό απλό σχήμα του επιπέδου είναι η Eυθεία που συμβολίζουμε με μικρά γράμματα ε,  $\zeta$ ,  $\eta$ , ... ή γράμματα

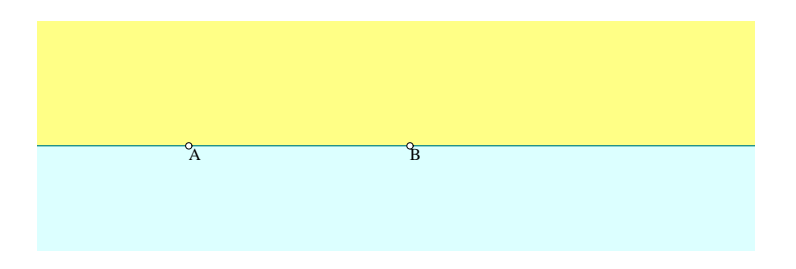


με τόνους ε΄, ζ΄, ... ή γράμματα με δείκτες  $\epsilon_1, \epsilon_2, ...$  κτλ. Γιά τις ευθείες δεχόμαστε τις εξής αρχικές ιδιότητες (αξιώματα).

Σχήμα 2: Ευθεία ΑΒ

**Αξίωμα 1.2.1**  $\Delta$ ύο διαφορετικά σημεία A, B ορίζουν μία ακριβώς ευθεία που συμβολίζομε με AB.

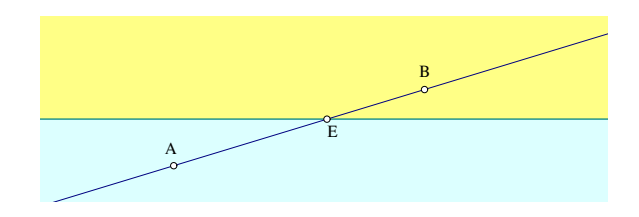
**Αξίωμα 1.2.2** Κάθε ευθεία έχει άπειρα σημεία. Γιά κάθε ευθεία υπάρχουν άπειρα σημεία του επιπέδου που δεν ανήκουν σε αυτήν. Γιά κάθε σημείο υπάρχουν άπειρες ευθείες που δεν διέρχονται από αυτό.



Σχήμα 3: Ημιεπίπεδα

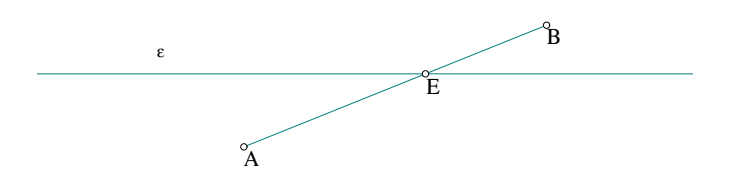
Αξίωμα 1.2.3 Κάθε ευθεία χωρίζει το επίπεδο σε δύο μέρη που λέγονται Ημιεπίπεδα, που δεν έχουν κοινά σημεία με την ευθεία. Μία ευθεία που έχει δύο σημεία A και B σε διαφορετικά ημιεπίπεδα της ευθείας ε τέμνει την ευθεία ε (το πρώτο θεώρημα παρακάτω λέει ότι υπάρχει τότε ένα ακριβώς σημείο τομής της ε με την ευθειά AB). Συχνά χρησιμοποιούμε την λέξη  $\mathbf{M}$ εριά της ευθείας, εννοώντας ένα από τα δύο ημιεπίπεδα αυτής.

Αξίωμα 1.2.4  $\Delta$ ύο σημεία A, B μιάς ευθείας ε ορίζουν ένα ευθύγραμμο τμήμα που συμβολίζουμε επίσης με AB. Το AB αποτελείται από τα A,B καθώς και όλα τα σημεία που ευρίσκονται Μεταξύ του A και του B. Τα A και B λέγονται Aκρα του ευθυγράμμου τμήματος. Τα σημεία του ευθυγράμμου τμήματος, εκτός των άκρων, λέμε ότι αποτελούν το Εσωτερικό του ευθυγράμμου τμήματος.



Σχήμα 4: Α και Β σε διαφορετικά ημιεπίπεδα της ε

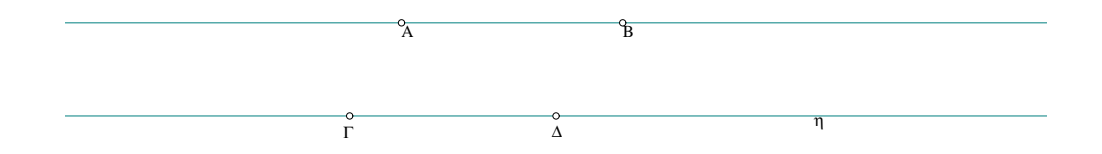
**Αξίωμα 1.2.5** Aν τα σημεία A και B ευρίσκονται στο ίδιο ημιεπίπεδο της ευθείας ε, τότε και όλα τα σημεία του ευθυγράμμου τμήματος AB περιέχονται στο ίδιο ημιεπίπεδο. Aν τα σημεία A και B ευρίσκονται σε διαφορετικά ημιεπίπεδα της ευθείας ε, τότε το σημείο τομής E της ευθείας ε και της ευθείας AB ευρίσκεται μεταξύ των A και B.



Σχήμα 5: Τομή ευθείας και ευθυγράμμου τμήματος

Σχόλιο-1 Στο Αξίωμα 1.2.4 η λέξη  $\mathbf{M}$ εταξύ είναι αόριστη. Θα γίνει σαφής όμως στην επόμενη παράγραφο με την βοήθεια της έννοιας του μήχους του ευθυγράμμου τμήματος.

 $\Sigma$ χόλιο-2 Η χρήση του ιδίου συμβόλου AB γιά το ευθύγραμμο τμήμα καθώς και την ευθεία που ορίζεται από τα A και B δεν πρέπει να μας παραπλανά. Κάθε φορά η σημασία του συμβόλου θα προκύπτει από τα συμφραζόμενα. Συχνά θα γράφουμε γιά την ευθεία  $\varepsilon=AB$ , θεωρώντας ότι αυτό το σύμβολο αντιπροσωπεύει την φράση  $\eta$  ευθεία  $\varepsilon$  που ορίζεται από τα σημεία A και B.

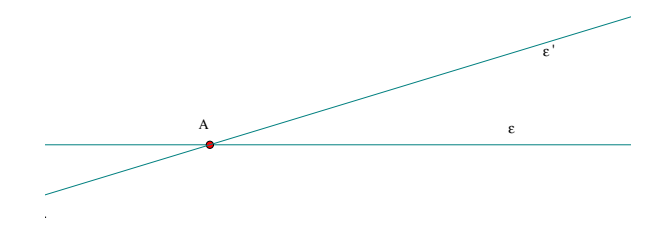


Σχήμα 6: Παράλληλες ΑΒ και ΓΔ

Παράλληλες ονομάζουμε δύο ευθείες που δεν τέμνονται. Παράλληλα λέμε δύο ευθύγραμμα τμήματα των οποίων οι ευθείες, στις οποίες περιέχονται, είναι παράλληλες. Συχνά την ευθεία, στην οποία περιέχεται ένα ευθύγραμμο τμήμα, ονομάζουμε  $\Phi$ ορέα του ευθυγράμμου τμήματος.

Πρόταση 1.2.1  $\Delta$ ύο διαφορετικές ευθείες ή είναι παράλληλες ή τέμνονται σε ένα ακριβώς σημείο.

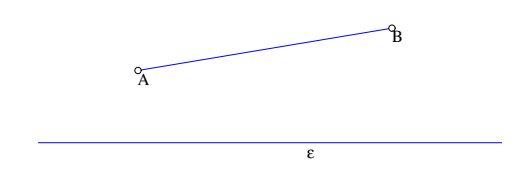
Aπόδειξη: Στην Πρόταση 1.13.1 θα δούμε ότι υπάρχουν όντως παράλληλες ευθείες. Αν οι δύο ευθείες ε και ε΄ δεν τέμνονται, τότε είναι εξ ορισμού παράλληλες. Αν τέμνονται



Σχήμα 7: Τεμνόμενες ευθείες  $\varepsilon$  και  $\varepsilon'$ 

τότε θα έχουν ένα μόνο κοινό σημείο A. Τούτο διότι αν είχαν και δεύτερο σημείο τομής B, διαφορετικό του A, θα είχαμε δύο διαφορετικές ευθείες ε και ε΄ διερχόμενες από τα δύο σημεία A και B, που είναι αδύνατον διότι αντιφάσκει στο Aξίωμα 1.2.1, ο.ε.δ.

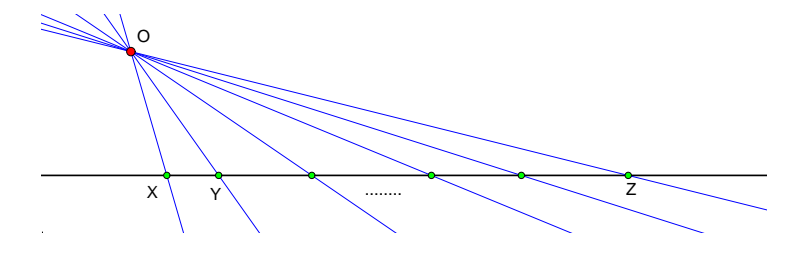
'Ασκηση 1.2.1  $\Delta$ ίδεται ευθεία ε.  $\Delta$ είξε ότι αν το ευθύγραμμο τμήμα AB δεν τέμνει την ευθεία ε τότε τα σημεία A και B περιέχονται στο ίδιο ημιεπίπεδο.



Σχήμα 8: Α, Β από την ίδια μεριά της ε

Υπόδειξη: Χρήση εις άτοπον απαγωγής. Υπόθεσε ότι το AB δεν τέμνει την ε και τα A, B περιέχονται σε διαφορετικά ημιεπίπεδα της ε. Τότε κατά το  $A\xi$ ίωμα 1.2.5 το AB θα τέμνει την ε σε ένα σημείο E, αντιφάσκοντας στην υποθεση.

'Ασκηση 1.2.2  $\Delta \epsilon$ ίξε ότι γιά κάθε σημείο O του επιπέδου υπάρχουν άπειρες ευθείες διερχόμενες από αυτό.

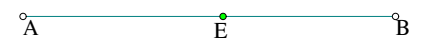


Σχήμα 9: Απειρία ευθειών διά του Ο

Υπόδειξη: Θεώρησε μία ευθεία ε που δεν διέρχεται από το O. Κατά το Aξίωμα 1.2.2 υπάρχει μία τέτοια ευθεία. Όρισε κατόπιν τις ευθείες OX, OY, ... κτλ. που διέρχονται από το O και ένα σημείο X, Y, ... της ε. Και πάλι κατά τό Aξίωμα 1.2.2 υπάρχουν άπειρα σημεία X, Y, ... επί της ε και κάθε ένα από αυτά ορίζει μιά διαφορετική ευθεία που διέρχεται από το O.

#### 1.3 Μήκος, Απόσταση

**Αξίωμα 1.3.1** Γιά κάθε ζεύγος σημείων A και B ορίζεται ένας πραγματικός αριθμός  $|AB| \geq 0$  που ονομάζουμε **Απόσταση** των σημείων και ικανοποιεί τις ιδιότητες |AB| = |BA| και |AB| = 0 τότε και μόνον, όταν τα σημεία αυτά ταυτίζονται.



Σχήμα 10: Άθροισμα μηκών

**Αξίωμα 1.3.2** Γιά κάθε τριάδα διαφορετικών σημείων A, B και E της ίδιας ευθείας, ένα εκ των τριών είναι ανάμεσα στα άλλα δύο. Aν το E είναι μεταξύ των A και B τότε |AB| = |AE| + |EB|. Και αντίστροφα, αν ισχύει αυτή η σχέση τότε το E είναι μεταξύ των A και B.



Σχήμα 11: Σημεία σε απόσταση δ από το άκρο αντικειμένων ημιευθειών

Αξίωμα 1.3.3 Ένα σημείο A ευθείας ε χωρίζει την ευθεία σε δύο μέρη  $\epsilon_1$  και  $\epsilon_2$ , που έχουν μοναδικό κοινό σημείο το A και λέγονται  $\mathbf{H}$ μιευθείες με  $\mathbf{A}$ κρο ή  $\mathbf{A}$ ρχή το A. Γιά κάθε θετικό αριθμό δ υπάρχει ένα ακριβώς σημείο  $B_1$  στην  $\epsilon_1$  με  $|B_1A| = \delta$  και ένα ακριβώς σημείο  $B_2$  στην  $\epsilon_2$  με  $|B_2A| = \delta$ . Το A είναι το  $\mathbf{M}$ έσον του ευθυγράμμου τμήματος  $B_1B_2$ .

Μήκος του ευθυγράμμου τμήματος AB ονομάζουμε την απόσταση |AB| των άκρων του. Λέμε ότι δύο ευθύγραμμα τμήματα AB και  $\Gamma\Delta$  της ίδιας ευθείας ή διαφορετικών ευθειών είναι Ίσα, όταν έχουν το ίδιο μήκος. Οι δύο ημιευθείες που ορίζονται από το σημείο A επί της ευθείας ε λέγονται Aντικείμενες.  $\Pi$ αράλληλες ονομάζουμε δύο ημιευθείες που περιέχονται σε παράλληλες ευθείες.

Σχόλιο Το Αξίωμα 1.3.3 των ευθειών σημαίνει ότι μπορούμε να κατασκευάσουμε ευθύγραμμο τμήμα οποιουδήποτε μήκους θέλουμε. Η πρακτική κατασκευή λ.χ. περιοριζόμενοι μόνο στα δύο όργανα σχεδίασης του κανόνα (χάρακα) και του διαβήτη, όπως συνηθίζεται, είναι ένα άλλο θέμα που θα μας απασχολήσει κατά καιρούς. Π.χ. η κατασκευή του μέσου Μ ενός δοθέντος ευθυγράμμου τμήματος ΑΒ με την βοήθεια του κανόνα και του διαβήτη απαιτεί γνώση των ιδιοτήτων του κύκλου που δεν έχουμε μάθει ακόμη. Ωστόσο η απόδειξη της ύπαρξης του Μ, βάσει των παραπάνω ιδιοτήτων, είναι απλή.



 $\Sigma$ χήμα 12: Το B ανάμεσα στο A και το E

Άσκηση 1.3.1 Έστω ότι B και E είναι δύο σημεία στην ίδια ημιευθεία AX με άκρο το A.  $\Delta$ είξε ότι η |AE|>|AB| συνεπάγεται ότι το B είναι μεταξύ των A και E. Και αντίστροφα, αν το B είναι ανάμεσα στο A και το E τότε ισχύει η προηγούμενη σχέση.

Υπόδειξη: Έστω ότι το B δεν είναι μεταξύ των A και E. Τότε ή το B θα ταυτίζεται με το E και συνεπώς |AB|=|AE| που είναι άτοπο, ή το E θα είναι μεταξύ των A και B, οπότε κατά το Αξίωμα 1.3.2 θα ισχύει |AE|+|EB|=|AB|. Αυτή όμως συνεπάγεται ότι |AB|>|AE|, αντίθετα με την υπόθεση.



Σχήμα 13: Διπλασιασμός του ΑΒ

Άσκηση 1.3.2 ( $\Delta$ ιπλασιασμός ευθυγράμμου τμήματος)  $\Delta$ ίδεται ευθύγραμμο τμήμα AB.  $\Delta$ είξε ότι στην ευθεία AB υπάρχουν δύο σημεία E και Z έτσι ώστε το B να είναι το μέσον του AE και το A να είναι το μέσον του ZB.

 $\Upsilon$ πόδειξη: Πάρε το E επί της ημιευθείας με άκρο το B που δεν περιέχει το A και σε απόσταση |AB| από το B. Ανάλογα πράξε γιά το Z.

Άσκηση 1.3.3  $\Delta \epsilon$ ίξε ότι γιά κάθε ευθύγραμμο τμήμα AB υπάρχει ένα ακριβώς σημείο M (το μέσον του AB) έτσι ώστε |AM| = |MB|.

Υπόδειξη: Αν  $|AB| = \lambda$  τότε το σημείο M σε απόσταση  $\lambda/2$  από το A προς την μεριά του B που εξασφαλίζεται από το Aξίωμα 1.3.3 είναι το ζητούμενο.

'Ασκηση 1.3.4  $\Delta \epsilon$ ίξε ότι, αν δύο σημεία A και B είναι από την ίδια μεριά ευθείας  $\epsilon$ , τότε το ευθύγραμμο τμήμα AB δεν τέμνει την  $\epsilon$ .

 $\Upsilon πόδειξη:$  Αν το AB έτεμνε την ε, τότε το σημείο τομής  $\Gamma$  θα ήταν διαφορετικό των A και B, άρα θα ήταν μεταξύ αυτών και θα είχαμε αντίφαση στο Αξίωμα 1.2.5.

' ${f A}$ σκηση 1.3.5  $\Delta \epsilon$ ίξε ότι μία ευθεία ε΄ είναι παράλληλος της ε τότε και μόνον, όταν ένα εκ των δύο ημιεπιπέδων της ε, περιέχει κάθε ζεύγος διαφορετικών σημείων της ε΄.

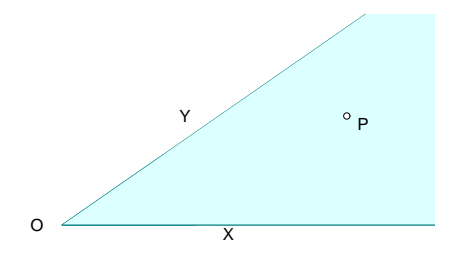
Υπόδειξη: Αν υπάρχουν δύο σημεία A και B της ε΄ περιεχόμενα σε διαφορετικά ημιεπίπεδα της ε, τότε κατά το Aξίωμα 1.2.5 η ε΄ θα τέμνει την ε. Aντίστροφα, αν ένα από τα δύο ημιεπίπεδα της ε περιέχει όλα τα δυνατά ζεύγη σημείων της ε΄, τότε αυτή δεν μπορεί να τέμνει την ε. Aν την έτεμνε στο σημείο A, τότε το A θα όριζε δύο αντικείμενες ημιευθείες επί της ε΄ και επιλέγοντας από ένα σημείο σε κάθε ημιευθεία θα βρίσκαμε δύο σημεία της ε΄ σε διαφορετικά ημιεπίπεδα της ε.

Άσκηση 1.3.6  $\Delta \epsilon$ ίξε ότι τα σημεία B και  $\Gamma$  της ευθείας  $\epsilon$  είναι από την ίδια μεριά του σημείου A της  $\epsilon$ , τότε και μόνον, όταν  $|B\Gamma| = ||AB| - |A\Gamma||$ .

Υπόδειξη: Αν τα B, $\Gamma$  είναι από στην ίδια ημιευθεία του A, τότε ή το B θα είναι μεταξύ του A και  $\Gamma$ , οπότε  $|A\Gamma|=|AB|+|B\Gamma|$ , ή το  $\Gamma$  θα είναι μεταξύ του A και B, οπότε  $|AB|=|A\Gamma|+|\Gamma B|$ . Συνεπώς, και στις δύο περιπτώσεις  $|B\Gamma|=||AB|-|A\Gamma||$ , δηλαδή το ζητούμενο. Παρόμοιος συλλογισμός αποδεικνύει και το αντίστροφο.

#### 1.4 Γωνίες

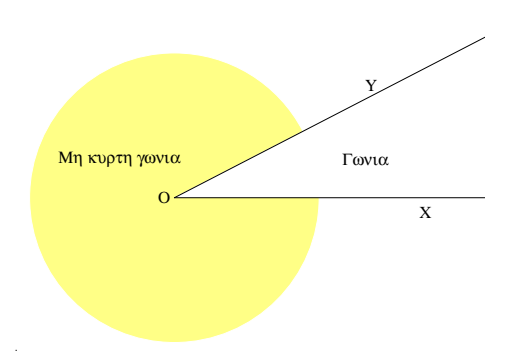
Δύο ημιευθείες OX, OY με χοινό άχρο O, χωρίζουν το επίπεδο σε δύο μέρη χαι ορίζουν μία  $\mathbf{K}$ υρτή  $\Gamma$ ωνία ή απλά  $\Gamma$ ωνία και μία  $\mathbf{M}$ η χυρτή  $\Gamma$ ωνία.  $\mathbf{K}$ υρτή  $\Gamma$ ωνία ή απλά  $\Gamma$ ωνία λέγεται το σχήμα που συμβολίζουμε με  $\mathbf{X}OY$  χαι αποτελείται από τις δύο ημιευθείες OX χαι OY μαζί με το ένα από τα δύο μέρη του επιπέδου που λέγεται εσωτεριχό της γωνίας. To  $\mathbf{E}$ σωτεριχό της γωνίας είναι το μέρος του επιπέδου που αποτελείται από τα σημεία  $\mathbf{P}$ 



Σχήμα 14: Γωνία ΧΟΥ

που ικανοποιούν τις δύο ιδιότητες:

- α) το P και η ημιευθεία ΟΥ είναι από την ίδια μεριά της ευθείας ΟΧ,
- β) το P και η ημιευθεία OX είναι από την ίδια μεριά της ευθείας OY. Το σημείο O λέγεται  $\mathbf{Koρυφή}$  της γωνίας. Oι ημιευθείες OX,OY λέγονται  $\mathbf{\Piλευρές}$  της γωνίας.



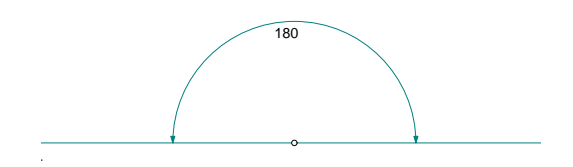
 $\Sigma$ χήμα 15: Μη κυρτή γωνία  ${\rm XO}Y$ 

Μη-κυρτή γωνία λέγεται το σχήμα που ορίζεται πάλι από τις ημιευθείες OX και OY και συνίσταται από το υπόλοιπο μέρος του επιπέδου εκτός του εσωτερικού της γωνίας XOY και των ημιευθειών που την ορίζουν. Το υπόλοιπο αυτό μέρος του επιπέδου ονομάζουμε eσωτερικό της μη-κυρτής γωνίας XOY, ή Eξωτερικό της κυρτής XOY. Συχνά θα μιλάμε γιά γωνίες χωρίς να κάνουμε διάκριση γιά το αν είναι κυρτή ή μη-κυρτή. Το ακριβές νόημα, δηλαδή αν πρόκειται γιά κυρτή ή μή-κυρτή, θα προκύπτει τότε από τα συμφραζόμενα. Στην περίπτωση που οι δύο ημιευθείες περιέχονται στην ίδια ευθεία ορίζουμε τις επόμενες ειδικές γωνίες.

Πεπλατυσμένη γωνία ή Ευθεία γωνία ονομάζουμε το σχήμα που αποτελείται από δύο αντιχείμενες ημιευθείες. Οποιοδήποτε από τα δύο ημιεπίπεδα που ορίζει η ευθεία ΟΧ μπορεί να θεωρηθεί εσωτεριχό ή εξωτεριχό της πεπλατυσμένης γωνίας.

Μηδενική γωνία ονομάζουμε το σχήμα που αποτελείται από δύο ταυτιζόμενες ημιευθείες

1.4.  $\Gamma\Omega NIE\Sigma$ 



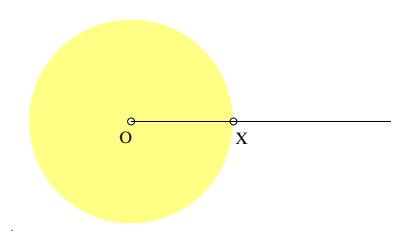
Σχήμα 16: Πεπλατυσμένη γωνία

OX και OY. Θεωρούμε ότι η γωνία αυτή δεν έχει εσωτερικό, ενώ ολόκληρο το επίπεδο πλην της OX θεωρείται το εξωτερικό αυτής της γωνίας.

Πλήρη στροφή ή Πλήρη γωνία ονομάζουμε το σχήμα που αποτελείται από δύο ταυτιζόμενες ημιευθείες OX και OY. Εδώ ως εσωτερικό της γωνίας θεωρούμε ολόκληρο το επίπεδο πλήν της OX, ενώ δεν υπάρχει εξωτερικό.



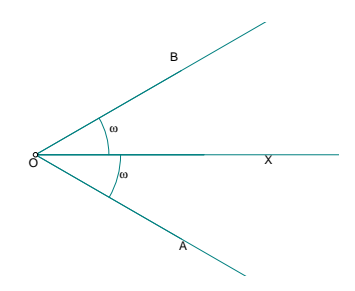
Σχήμα 17: Μηδενική γωνία



Σχήμα 18: Πλήρης στροφή

Οι βασικές ιδιότητες (αξιώματα) των γωνιών είναι οι εξής:

Αξίωμα 1.4.1 Γιά κάθε γωνία (κυρτή ή μή) XOY ορίζεται ένας αριθμός  $|XOY| = |YOX| \ge 0$  που λέγεται Μέτρο της γωνίας σε μοίρες.  $I\sigma\chi$ ύει |XOY| = 0 τότε και μόνον όταν η γωνία είναι η μηδενική.

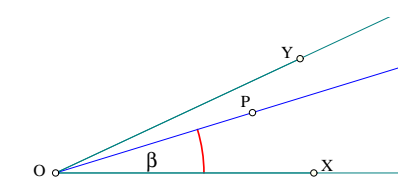


 $\Sigma$ χήμα 19: Ίσες γωνίες εκατέρω $\vartheta$ εν της OX

**Αξίωμα 1.4.2** Γιά κάθε αριθμό ω με  $0 < \omega < 180$  υπάρχουν δύο ακριβώς ημιευθείες OA, OB στις δύο πλευρές της ευθείας OX έτσι ώστε οι γωνίες XOA και XOB να ικανοποιούν  $|XOA| = |XOB| = \omega$ . Η πεπλατυσμένη γωνία έχει μέτρο 180 μοίρες.

Εκ παραδόσεως το μέτρο ω σε μοίρες συμβολίζεται με ω°. Έτσι γωνία 30° σημαίνει γωνία 30 μοιρών. Το 1/60-οστό της μοίρας λέγεται  $\mathbf{\Pi}$ ρώτο της μοίρας ή  $\mathbf{\Lambda}$ επτό και συμβολίζεται με ένα τόνο. Το 1/60-οστό του λεπτού λέγεται  $\mathbf{\Delta}$ εύτερο της μοίρας και συμβολίζεται με δύο τόνους. Έτσι,  $30^\circ23'11''$  συμβολίζει το μέτρο που ισούται με  $30+\frac{23}{60}+\frac{11}{3600}$  μοίρες.  $\mathbf{\Delta}$ εν θα επιμείνω σε αυτόν τον συμβολισμό. Ακόμη και γιά γωνίες όπως η  $30^\circ$  θα γράφω απλά 30.  $\mathbf{\Delta}$ ύο γωνίες λέγονται  $\mathbf{T}$ σες τότε και μόνον όταν τα μέτρα τους είναι ίσα.

**Αξίωμα 1.4.3** Γιά κάθε σημείο P στο εσωτερικό της γωνίας XOY (κυρτής ή μη-κυρτής) τα μέτρα των γωνιών XOY, XOP και POY ικανοποιούν την |XOY| = |XOP| + |POY|. Σε κάθε τέτοια περίπτωση λέμε ότι η γωνία XOY είναι το **Αθροισμα** των γωνιών XOP και POY.



Σχήμα 20: Μέτρο αθροίσματος

 $\Delta$ ύο γωνίες που έχουν κοινή κορυφή και μία πλευρά επίσης κοινή και μή τεμνόμενα αντίστοιχα εσωτερικά (όπως οι XOP και POY του σχήματος -20) λέγονται  $\mathbf{E} \varphi \mathbf{e} \mathbf{f} \mathbf{f} \mathbf{c}$ .

'Ασκηση 1.4.1 Βρες την διχοτόμο μιάς πεπλατυσμένης γωνίας XOY. Δείξε ότι το μέτρο μιάς πεπλατυσμένης γωνίας είναι 360 μοίρες.

Άσκηση 1.4.2 Έστω γωνία XOY με μέτρο  $|XOY| = \alpha$  και P σημείο στο εσωτερικό της γωνίας.  $\Delta$ είξε ότι  $|XOP| < \alpha$ . Αντίστροφα δείξε ότι γιά κάθε θετικό  $\beta < \alpha$  υπάρχει σημείο P έσωτερικό της γωνίας έτσι ώστε  $|XOP| = \beta$ .  $\Delta$ είξε ακόμη ότι όλα αυτά τα σημεία P περιέχονται σε ημιευθεία μέ άκρο το O.

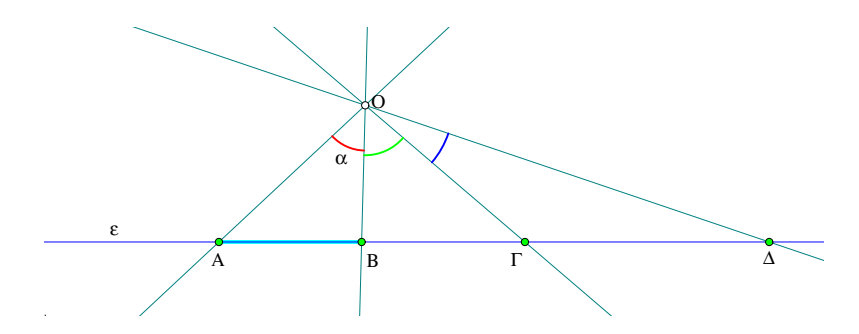
'Ασκηση 1.4.3 Εστω ότι τα σημεία A και B περιέχονται στο εσωτερικό της κυρτής γωνίας XOY.  $\Delta$ είξε ότι και κάθε σημείο του ευθυγράμμου τμήματος AB περιέχεται στο εσωτερικό της γωνίας XOY.  $\Delta$ είξε ότι η ανάλογη ιδιότητα δεν ισχύει γιά μη-κυρτές γωνίες.

'Ασκηση 1.4.4 (Ύπαρξη Διχοτόμου)  $\Delta \epsilon$ ίξε ότι γιά κάθε γωνία XOY υπάρχει μία ακριβώς ημιευθεία OZ στο εσωτερικό της που την χωρίζει σε δύο ίσες γωνίες XOZ, ZOY με |XOZ| = |ZOY| = |XOY|/2.

Σχόλιο-1 Το Αξίωμα 1.4.2 των γωνιών σημαίνει ότι μπορούμε να κατασκευάσουμε οποιαδήποτε γωνία θέλουμε και από τις δύο μεριές μιάς ημιευθείας. Όπως όμως και γιά ευθύγραμμα τμήματα έτσι και γιά γωνίες, η πρακτική κατασκευή συγκεκριμένης γωνίας με την βοήθεια του κανόνα και του διαβήτη, όταν αυτό είναι εφικτό, όπως λ.χ. η γωνία 60 μοιρών, είναι ένα διαφορετικό ζήτημα και θα χρειαστούν και πάλι ιδιότητες του κύκλου γιά να μπορέσουμε να δικαιολογήσουμε την κατασκευή.

 $\Sigma$ χόλιο-2 Αξίζει τον κόπο να παρατηρήσει κανείς ορισμένες κοινές ιδιότητες μεταξύ γωνιών και ευθυγράμμων τμημάτων, ιδιαίτερα όσον αφορά τις έννοιες μεταξύ, διαδοχικές και μέτρο.

1.4.  $\Gamma\Omega NIE\Sigma$ 



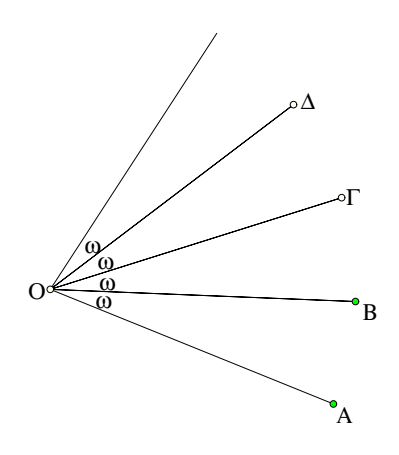
Σχήμα 21: Αντιστοίχιση ευθυγράμμων τμημάτων - γωνιών

Η εικόνα 21 δείχνει πόσο φυσιολογική είναι αυτή η συσχέτιση. Από ένα σημείο Ο εκτός της ευθείας ε και γιά κάθε ευθύγραμμο τμήμα AB αυτής κατασκευάζεται η γωνία AOB. Μέσω αυτής της αντιστοίχισης ευθυγράμμων τμημάτων - γωνιών οι έννοιες που ανέφερα μεταφέρονται από την ευθεία στις γωνίες με κορυφή το Ο (δες επόμενο σχήμα). Έτσι το AΓ είναι το άθροισμα των AB και BΓ και η αντίστοιχη γωνία AOΓ είναι το άθροισμα των AOB και BOΓ. Το B είναι μεταξύ των A και Γ και ανάλογα η OB είναι μεταξύ των OA και OΓ, σε δύο διαδοχικά ευθύγραμμα τμήματα αντιστοιχούν εφεξής γωνίες κ.ο.κ.

Με την ευκαιρία του τελευταίου σχήματος μπορούμε να θέσουμε αμέσως δύο προβλήματα, τα οποία, όμως, γιά να λύσουμε θα πρέπει πρώτα να μάθουμε να χειριζόμαστε κάποια εργαλεία (δες γιά την λύση τους Άσκηση 3.9.4 και 3.8.8).

Πρόβλημα 1.4.1 Υπόθεσε ότι στο τελευταίο σχήμα η γωνία AOB έχει σταθερό μέτρο  $|AOB| = \alpha$  και περιστρέφεται περί το O. Γιά ποιά θέση της γίνεται το μήκος του αντιστοίχου ευθυγράμμου τμήματος AB ελάχιστο;

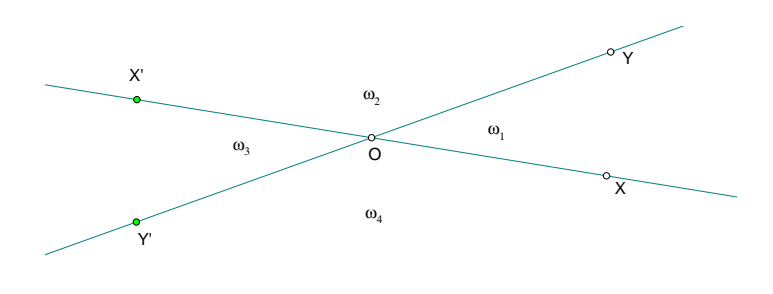
Πρόβλημα 1.4.2 Υπόθεσε ότι στο τελευταίο σχήμα το τμήμα AB γλιστρά πάνω στην ευθεία ε χωρίς να αλλάζει το μήκος του. Γιά ποιά θέση του AB γίνεται η αντίστοιχη γωνία AOB μέγιστη;



Σχήμα 22: Άθροισμα ίσων γωνιών

'Ασκηση 1.4.5 Ξεκινώντας από γωνία ΑΟΒ μέτρου ω, κατασκευάζουμε ισες με αυτήν εφεξής προς το ίδιο μέρος  $BO\Gamma$ ,  $\Gamma O\Delta$ , κτλ. Γιά ποιές γωνίες ω η διαδικασία αυτή μετά από ν βήματα ορίζει γωνία  $\Psi O\Omega$  της οποίας η πλευρά  $O\Omega$  συμπίπτει με την αρχική OA;

#### 1.5 Γωνιών είδη

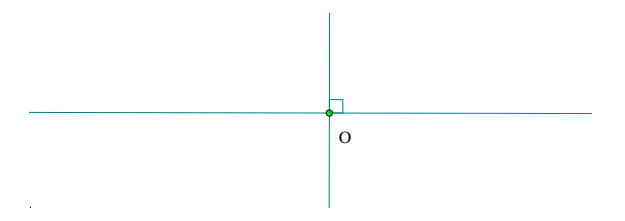


Σχήμα 23: Γωνίες δύο ευθειών

Δύο τεμνόμενες στο σημείο O ευθείες OX και OY ορίζουν τέσσερις γωνίες. Oι γωνίες αυτές ανά δύο σχηματίζουν ζεύγη  $\mathbf{K}$  ατά κορυφήν γωνιών, δηλαδή γωνιών εκ των οποίων έκαστη έχει ως πλευρές τις προεκτάσεις της άλλης. Γιά τις δύο πεπλατισμένες XOX' και YOY' έχουμε 180 = |XOX'| = |XOY| + |YOX'|. Επίσης 180 = |YOY'| = |YOX| + |XOY'|. Επειδή |XOY| = |YOX| συμπεραίνουμε ότι οι κατά κορυφήν γωνίες YOX' και XOY' είναι ίσες. Ανάλογα δείχνουμε και ότι οι XOY' και X'OY' είναι ίσες. Αποδείξαμε συνεπώς την:

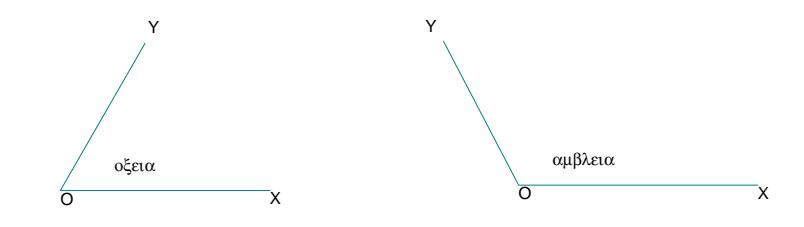
#### Πρόταση 1.5.1 Κατά κορυφήν γωνίες είναι ίσες.

Δύο γωνίες που έχουν άθροισμα μέτρων 180 λέγονται Παραπληρωματικές. Στο προηγούμενο σχήμα κάθε ζεύγος διαδοχικών γωνιών αποτελείται από παραπληρωματικές γωνίες. Ορθή λέγεται μία γωνία πού έχει μέτρο 90. Προφανώς μία ορθή είναι ίση με την παραπληρωματική της. Προεκτείνοντας τις πλευρές μίας ορθής γωνίας στο σημείο Ο, δηλαδή θεωρώντας και τις αντικείμενες ημιευθείες των πλευρών, ορίζουμε τέσσερις ορθές γωνίες γύρω από το σημείο αυτό, που ανά δύο είναι ή κατά κορυφήν ή παραπληρωματικές. Έτσι δύο ευθείες που τέμνονται στο σημείο Ο και σχηματίζουν μία (από τις τέσσερις) γωνίες ορθή θα σχηματίζουν και τις υπόλοιπες ορθές. Δύο τέτοιες ευθείες λέγονται Κάθετες.

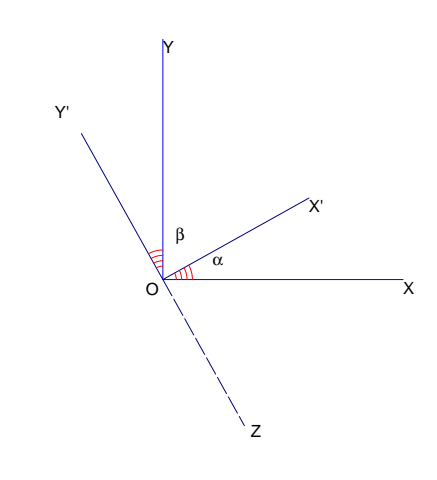


Σχήμα 24: Κάθετες ευθείες

Οξεία λέγεται μία γωνία XOY της οποίας το μέτρο |XOY| < 90. Αμβλεία λέγεται μία γωνία της οποίας το μέτρο |XOY| > 90. Προφανώς αν μία γωνία είναι οξεία τότε η παραπληρωματική της θα είναι αμβλεία και τούμπαλιν. Λέμε ότι η γωνία α είναι μεγαλύτερη/μικρότερη της γωνίας  $\beta$  αν ισχύει κάτι ανάλογο γιά τα μέτρα τους:  $|\alpha| < |\beta|$  (αντίστοιχα  $|\alpha| > |\beta|$ ). Προφανώς κάθε αμβλεία είναι μεγαλύτερη της ορθής που με την σειρά της είναι μεγαλύτερη κάθε οξείας. Συμπληρωματικές λέγονται δύο γωνίες των οποίων τα μέτρα  $\alpha, \beta$  έχουν άθροισμα  $\alpha + \beta = 90$ . Προφανώς συμπληρωματικές γωνίες είναι οξείες και οι δύο. Ένα σημείο X' στο εσωτερικό μιάς ορθής γωνίας XOY ορίζει δύο συμπληρωματικές γωνίες  $\alpha = XOX', \beta = X'OY$ .



Σγήμα 25: Οξεία και αμβλεία γωνία



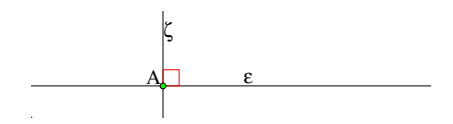
Σχήμα 26: Γωνίες με κάθετες πλευρές

Πρόταση 1.5.2 Δύο γωνίες XOX' και YOY' που έχουν τις πλευρές τους αντίστοιχα κάθετες είναι ή ίσες ή παραπληρωματικές.

Απόδειξη: Εάν οι ΟΥ και ΟΥ΄ είναι προς το ίδιο μέρος της ΟΧ΄ τότε οι α=ΧΟΧ΄ και α΄=YOY' είναι ίσες ως έχουσες κοινή συμπληρωματική β. Εάν οι ΟΥ και ΟΥ΄ είναι σε διαφορετικά μέρη της ΟΧ΄ τότε η αντικείμενη ημιευθεία ΟΥ" της ΟΥ΄ σχηματίζει παραπληρωματική 180-α΄ της α'=YOY' και είναι από το ίδιο μέρος της ΟΧ΄ με την ΟΥ, άρα κατά το προηγηθέν 180-α΄ = α, ο.ε.δ.

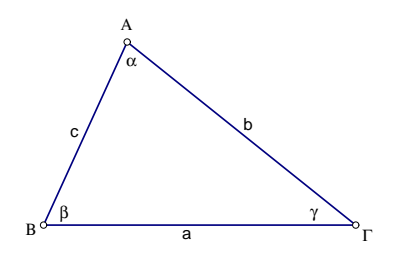
'Ασκηση 1.5.1  $\Delta \epsilon$ ίξε ότι από σημείο A ευθείας  $\epsilon$  διέρχεται μία ακριβώς ευθεία  $\zeta$  κάθετος σε αυτήν.

 $\Upsilon$ πόδειξη: Άμεση συνέπεια του Αξιώματος 1.4.2, κατά το οποίο υπάρχει μία ακριβώς γωνία 90 μοιρών με κορυφή στο A, μία πλευρά ταυτιζόμενη με την ε και περιεχόμενη σε ένα από τα δύο ημιεπίπεδα της ε.



Σχήμα 27: Κάθετος ζ της ε

#### 1.6 Τρίγωνα



Σχήμα 28: Τρίγωνο

Τρίγωνο είναι το σχήμα που ορίζεται από τρία σημεία A, B και Γ, μη περιεχόμενα σε μία και μόνον ευθεία, καθώς και τα ευθύγραμμα τμήματα που τα ενώνουν. Τα τρία σημεία αυτά λέγονται Κορυφές του τριγώνου. Τα ευθύγραμμα τμήματα που ορίζονται από δύο κορυφές του τριγώνου λέγονται Πλευρές του τριγώνου. Γωνίες του τριγώνου ονομάζουμε τις (κυρτές) γωνίες που σχηματίζονται σε κάθε κορυφή του από τις πλευρές του τριγώνου με αρχή αυτήν την κορυφή. Συνηθίζεται να παριστάνονται τα μήκη των πλευρών με τα λατνικά γράμματα

$$a = |B\Gamma|, b = |\Gamma A|, c = |AB|$$

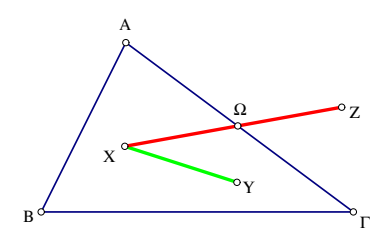
και τα μέτρα των γωνιών του τριγώνου με τα μικρά ελληνικά

$$\alpha = |BA\Gamma|, \quad \beta = |\Gamma BA|, \quad \gamma = |A\Gamma B|.$$

Τους συμβολισμούς αυτούς θα χρησιμοποιώ συχνά και στα επόμενα κεφάλαια. Οι γωνίες ABΓ, BΓA, ΓAB θεωρούμε ότι είναι αντίστοιχα **Απέναντι** των πλευρών AΓ, BA, ΓB. Το άθροισμα των μηκών των πλευρών

$$p = a + b + c$$

λέγεται  $\mathbf{\Pi}$ ερίμετρος του τριγώνου. Δύο τρίγωνα  $\mathbf{A}\mathbf{B}\Gamma$  και  $\mathbf{A}'\mathbf{B}'\Gamma'$  λέμε ότι είναι  $\mathbf{I}\mathbf{\sigma}\mathbf{\alpha}$  όταν έχουν ίσες αντίστοιχες πλευρές (a=a',b=b',c=c') και αντίστοιχα ίσες γωνίες  $(\alpha=\alpha',\beta=\beta',\gamma=\gamma')$ . Οι βασικές ιδιότητες  $(\alpha\xi$ ιώματα) του τριγώνου είναι οι εξής:

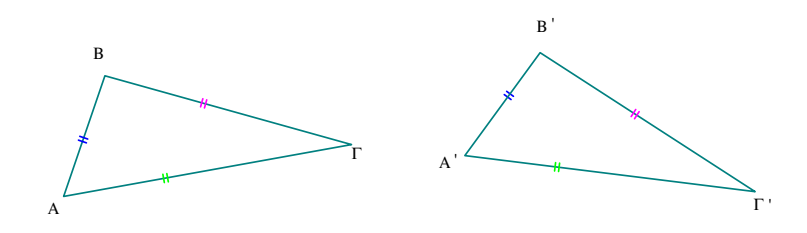


Σχήμα 29: Εσωτερικό και εξωτερικό τριγώνου

Αξίωμα 1.6.1 Κάθε τρίγωνο χωρίζει το επίπεδο σε δύο μέρη το Εσωτερικό και Εξωτερικό.  $\Delta$ ύο σημεία X και Y, περιεχόμενα στο εσωτερικό του τριγώνου, ορίζουν ευθύγραμμο τμήμα XY που περιέχεται εξ ολοκήρου στο εσωτερικό του τριγώνου.  $\Delta$ ύο σημεία X και Z,

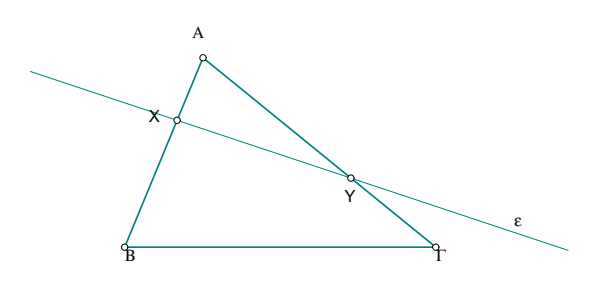
1.6.  $TPI\Gamma\Omega NA$ 

περιεχόμενα το ένα στο εσωτερικό και το άλλο στο εξωτερικό του, ορίζουν ευθύγραμμο τμήμα XZ το οποίο ή περιέχει κορυφή του τριγώνου ή τέμνει μία ακριβώς πλευρά του τριγώνου σε εσωτερικό της πλευράς σημείο  $\Omega$ .



Σχήμα 30: Τρίγωνα με αντίστοιχες πλευρές ίσες

**Αξίωμα 1.6.2** (Ισότητας δύο τριγώνων) Δύο τρίγωνα  $AB\Gamma$  και ABT' που έχουν αντίστοιχες πλευρές ίσες  $(|AB| = |A'B'|, |B\Gamma| = |B'\Gamma'|, |\Gamma A| = |\Gamma'A'|)$  είναι ίσα. Δηλαδή έχουν και τις αντίστοιχες γωνίες ίσες. Μάλιστα απέναντι από αντίστοιχα ίσες πλευρές θα ευρίσκονται ίσες γωνίες.



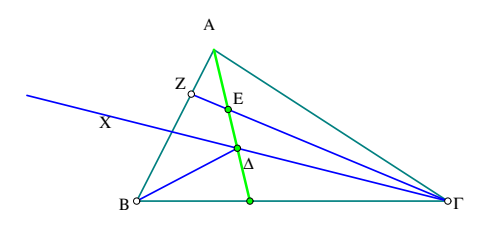
Σχήμα 31: Αξίωμα του Pasch

**Αξίωμα 1.6.3** (Του Pasch 1843-1940) Αν μία ευθεία ε τέμνει μία πλευρά AB του τριγώνου και δεν διέρχεται από μία κορυφή του, τότε θα τέμνει και μία από τις άλλες πλευρές.

Σχόλιο-1 Το αξίωμα γιά το εσωτερικό και εξωτερικό του τριγώνου είναι μιά από τις περιπτώσεις που ανέφερα στην αρχή του κεφαλαίου. Συνάγεται από τα υπόλοιπα αξιώματα, συνεπώς θα μπορούσε να αποδειχθεί ως θεώρημα. Η απόδειξη ωστόσο περιέχει λεπτομέρειες στις οποίες δεν κρίνω σκόπιμο να εμπλακεί ο μαθητής. Έτσι το βάζω εδώ ως αξίωμα.

Το τελευταίο Αξίωμα 1.6.3 φαίνεται αυτονόητο, ωστόσο η ιδιότητα που εκφράζει δεν συνάγεται από τα προηγούμενα αξιώματα. Η χρησιμότητά του φαίνεται και από την επόμενη πρόταση καθώς και την άσκηση που ακολουθεί. Οι δύο αυτές προτάσεις δίνουν μιά γεύση των λεπτομερειών που πρέπει να προσέξει κανείς, αν θέλει να αποδείξει όλους τους ισχυρισμούς του βάσει των αξιωμάτων. Ένα πλήθος παρόμοιων προτάσεων μπορεί να δεί κανείς στο [Bel07].

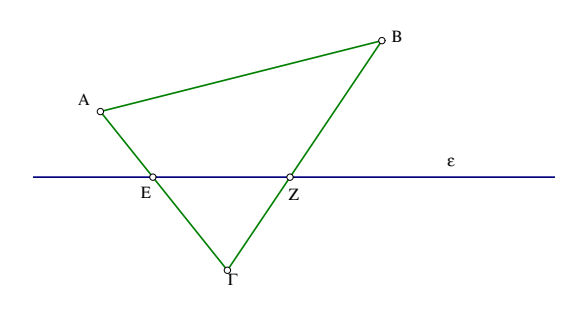
**Πρόταση 1.6.1** Εάν το  $\Delta$  είναι ένα εσωτερικό σημείο του τριγώνου, τότε η  $A\Delta$  τέμνει την απέναντι πλευρά  $B\Gamma$  του τριγώνου.



Σχήμα 32: Τομή απέναντι πλευράς

Απόδειξη: Πάρε σημείο E στο ευθύγραμμο τμήμα  $A\Delta$ . Θεώρησε κατόπιν το τρίγωνο  $AB\Delta$  και την τέμνουσα  $\Gamma E$ . Κατά το Aξίωμα 1.6.3 η  $\Gamma E$  θα συναντά και μία δεύτερη πλευρά του τριγώνου  $AB\Delta$ . Επειδή η πλευρά  $B\Delta$  αυτού του τριγώνου είναι εκτός της γωνίας  $X\Gamma A$  η  $\Gamma E$  θα συναντά την AB σε ένα σημείο Z. Θεώρησε τότε το τρίγωνο  $B\Gamma Z$  και την ευθεία AE που συναντά την πλευρά του  $\Gamma Z$ . Κατά το 1.6.3 η AE θα συναντά και μία άλλη πλευρά του τριγώνου που δεν μπορεί να είναι η BZ, διότι τότε η AE θα συνέπιπτε με την BZ. Άρα η AE, που είναι η ίδια με την ευθεία  $A\Delta$  θα συναντά την πλευρά  $B\Gamma$  του τριγώνου  $B\Gamma Z$ , που είναι και πλευρά του τριγώνου  $AB\Gamma$ , ο.ε.δ.

Άσκηση 1.6.1  $\Delta$ ίδεται ευθεία ε.  $\Delta$ είξε ότι η σχέση μεταξύ δύο σημείων A και B: (τα A και B περιέχονται στο ίδιο ημιεπίπεδο της ε) είναι μεταβατική.  $\Delta$ ηλαδή αν τα A και B είναι στο ίδιο ημιεπίπεδο και τα B και  $\Gamma$  είναι επίσης στο ίδιο ημιεπίπεδο τότε και τα A και  $\Gamma$  είναι στο ίδιο ημιεπίπεδο.

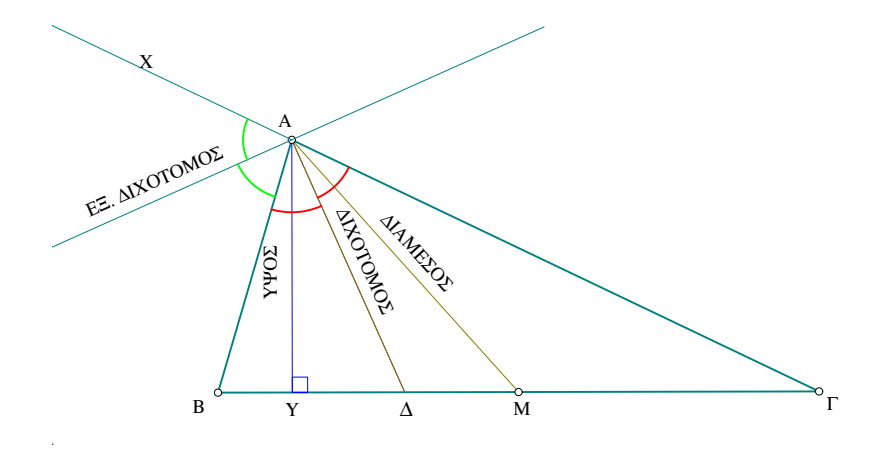


Σχήμα 33: Το νόημα του αξιώματος -1.6.3

Υπόδειξη: Υπόθεσε ότι τα A, B είναι στο ίδιο ημιεπίπεδο και ότι τα B,  $\Gamma$  επίσης στο ίδιο ημιεπίπεδο όμως ότι τα A, $\Gamma$  δεν είναι. Τότε (Aξίωμα 1.2.5) υπάρχει σημείο E της ευθείας ε επί του  $A\Gamma$  και μεταξύ των A και  $\Gamma$ . Με άλλα λόγια η ε τέμνει την  $A\Gamma$ . Επειδή η ε δεν περιέχει τα A, B,  $\Gamma$  και τέμνει την μία πλευρά του τριγώνου ( $A\Gamma$ ) θα τέμνει κατά το Aξίωμα 1.6.3 και μία από τις άλλες δύο. Αν τέμνει την  $B\Gamma$  σε σημείο Z, έχουμε άτοπο, διότι τότε τα B,  $\Gamma$  θα είναι σε διαφορετικές πλευρές της ε. Αν τέμνει την AB θα έχουμε ανάλογο άτοπο. Άρα η  $A\Gamma$  δεν μπορεί να τέμνει την ε.

Διάμεσος του τριγώνου λέγεται το ευθύγραμμο τμήμα που ενώνει μιά κορυφή του με τό μέσον της απέναντι πλευράς. Διχοτόμος του τριγώνου λέγεται το ευθύγραμμο τμήμα που ενώνει μιά κορυφή με την απέναντι πλευρά του και χωρίζει την γωνία της κορυφής σε δύο ίσες γωνίες. Συχνά ονομάζουμε διχοτόμο και ολόκληρη την ευθεία ή ημιευθεία που

1.6.  $TPI\Gamma\Omega NA$ 



Σχήμα 34: Διάμεσος, Διχοτόμος, Ύψος

διχοτομεί την γωνία του τριγώνου. Εξωτερική γωνία του τριγώνου λέγεται μία παραπληρωματική γωνίας τριγώνου λ.χ. της Α, που προκύπτει προεκτείνοντας μία από τις πλευρές του τριγώνου, λ.χ. την ΑΓ (δηλαδή θεωρώντας την ευθεία ΑΓ), οπότε προκύπτει η ΒΑΧ (σχήμα-34). Εξωτερική διχοτόμος τριγώνου λέγεται η διχοτόμος μιάς εξωτερικής γωνίας του. Ύψος του τριγώνου λέγεται το ευθύγραμμο τμήμα που ενώνει την κορυφή του τριγώνου με ένα σημείο της απέναντι πλευράς της και είναι κάθετο στην πλευρά αυτή (την ύπαρξη του ύψους θα εξασφαλίσουμε λίγο αργότερα στην Παράγραφο 1.12). Όπως θα δούμε αργότερα, οι τρεις διάμεσοι του τριγώνου διέρχονται από κοινό σημείο (Πρόταση 2.8.1), οι τρεις διχοτόμοι διέρχονται από άλλο κοινό σημείο (Πρόταση 2.2.3) και τέλος τα τρία ύψη διέρχονται και αυτά από τρίτο κοινό σημείο (Πρόταση 2.8.3).

Οι διάμεσοι, τα ύψη και οι διχοτόμοι (εσωτερικές και εξωτερικές) τριγώνου αναφέρονται συχνά ως Δευτερεύοντα στοιχεία του τριγώνου.

 $\Sigma$ χόλιο-2 Συχνά η γνώση των μηκών τριών από αυτά τα στοιχεία αρκεί γιά την ακριβή κατασκευή του τριγώνου. Γιά παράδειγμα, στην Άσκηση 2.13.9, θα δούμε ότι το τρίγωνο κατασκευάζεται εύκολα, όταν γνωρίζουμε τα τρία μήκη |AY|,  $|A\Delta|$  και |AM|, ύψους, διχοτόμου και διαμέσου από την ίδια κορυφή. Συνήθως, στις κατασκευές τριγώνων απαιτούμε την χρήση αποκλειστικά και μόνον του κανόνα και του διαβήτη. Ένα, σχετικά σύνθετο, πρόβλημα είναι να αποδείξουμε ότι μιά ορισμένη κατασκευή είναι αδύνατη (με κανόνα και διαβήτη). Γιά παράδειγμα, η κατασκευή του τριγώνου από το ύψος |AY| και διάμεσο |AM| από την ίδια κορυφή, αλλά διχοτόμο από μιάν άλλη κορυφή και όχι την A, αποδεικνύεται αδύνατη ([Fur37, σ.38]). Φυσικά, το να μην κατασκευάζεται το τρίγωνο με τα συγκεκριμένα δεδομένα μέσω κανόνα και διαβήτη, δεν σημαίνει ότι το τρίγωνο δεν κατασκευάζεται με άλλα μέσα. Έτσι, γιά παράδειγμα, δοθέντων τριών θετικών αριθμών υπάρχει ακριβώς ένα τρίγωνο που έχει αυτούς τους αριθμούς ως μήκη των διχοτόμων του. Ωστόσο το τρίγωνο αυτό δεν μπορεί να κατασκευασθεί με τον κανόνα και τον διαβήτη ([MP94], [Oxm08]).

' ${f A}$ σκηση 1.6.2  $\Delta \epsilon$ ίξ $\epsilon$  ότι η  $\epsilon$ σωτ $\epsilon$ ρική και  $\epsilon$ ξωτ $\epsilon$ ρική διχοτόμος μιάς κορυφής τριγώνου  $\epsilon$ ίναι κάθετ $\epsilon$ ς  $\epsilon$ υθ $\epsilon$ ί $\epsilon$ ς.

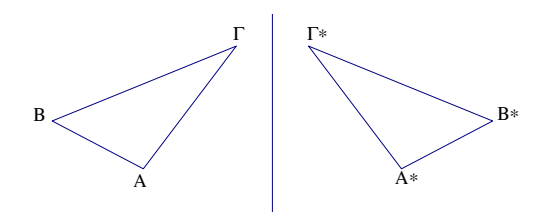
### 1.7 Η ισότητα σχημάτων

Κάθε σχήμα έχει έναν κανόνα που καθορίζει πότε είναι ίσο με ένα άλλο. Τα ευθύγραμμα τμήματα έχουν το μήκος τους. Είναι ίσα τότε ακριβώς όταν έχουν το ίδιο μήκος. Οι γωνίες το ίδιο. Έχουν και αυτές το μέτρο τους. Είναι ίσες όταν έχουν ίσα μέτρα. Στα τρίγωνα η ισότητα περιλαμβάνει περισσότερα στοιχεία. Ο ορισμός τις ισότητας απαιτεί από δύο τρίγωνα να έχουν ίσες αντίστοιχες πλευρές και ίσες αντίστοιχες γωνίες. Το Αξίωμα 1.6.2 δίνει το βασικό κριτήριο ισότητας τριγώνων. Λέει ότι όταν δύο τρίγωνα έχουν αντίστοιχες πλευρές ίσες, τότε είναι ίσα. Δηλαδή και οι αντίστοιχες γωνίες τους (οι απέναντι από τις ίσες πλευρές) θα είναι και αυτές ίσες. Παρακάτω (Παράγραφος 1.9) θα δούμε και άλλα κριτήρια ισότητας τριγώνων. Όσο πιό πολύπλοκο είναι το σχήμα, τόσο περισσότερα στοιχεία του πρέπει να συγκρίνουμε γιά να καταλλήξουμε ότι είναι ίσο με ένα άλλο.

Ο Ευκλείδης στα στοιχεία του δεν χρονοτριβεί στην ανάλυση της έννοιας της ισότητας. Υιοθετεί μιά απλοϊκή έννοια ισότητας, κατά την οποία δύο σχήματα είναι ίσα, τότε και μόνον όταν μπορούμε να μετατοπίσουμε το ένα και να το τοποθετήσουμε πάνω στο άλλο, έτσι ώστε τα δύο σχήματα να συμπέσουν ακριβώς. Τι θα πεί όμως μετατοπίσουμε; Η έννοια της μετατόπισης είναι σύνθετη. Θεμελιώνεται με την έννοια του  $M\epsilon$ τασχηματισμού, γιά την οποία, παρόλη την σημασία της, δεν θα μιλήσουμε σε αυτό το μάθημα.

Εμείς θεμελιώνουμε την ισότητα δίνοντας γιά κάθε σχήμα τον κανόνα του, πότε είναι ίσο με ένα άλλο. Ωστόσο δεν βλάπτει να σκεφτόμαστε και με τον τρόπο του Ευκλείδη. Στο επίπεδο, δύο σχήματα που είναι ίσα με τον κανόνα ισότητάς τους, είναι ίσα και κατά την έννοια του Ευκλείδη, μέσω μετατόπισης και σύμπτωσης. Και αντίστροφα αν μπορούν να τοποθετηθούν ώστε να συμπέσουν, τότε είναι ίσα και με τον κανόνα που δίνουμε σε κάθε περίπτωση. Το πρόβλημα είναι ότι γιά να αποδείξουμε αυτήν την ισοδυναμία, πρέπει να μελετήσουμε διάφορα ζητήματα που η καταγραφή τους θα διόγκωνε ακόμη περισσότερο την ύλη του μαθήματος. Περιοριζόμαστε λοιπόν στην παραδοχή αυτής της αρχής του Ευκλείδη. Αυτό πρακτικά σημαίνει ότι το επίπεδο είναι σαν μιά πλαστική διαφάνεια και τα σχήματα μπορούν να κοπούν από το μέρος που έχουν αρχικά σχεδιασθεί και να μετατεθούν στο μέρος που είναι το άλλο σχήμα, να τοποθετηθούν πάνω σε αυτό και να συμπέσουν.

Σημειώνω μιά ιδιαιτερότητα της έννοιας της ισότητας που φανερώνεται στο επόμενο σχήμα και έχει να κάνει με τον λεγόμενο Προσανατολισμό των σχημάτων. Τα δύο τρίγωνα είναι



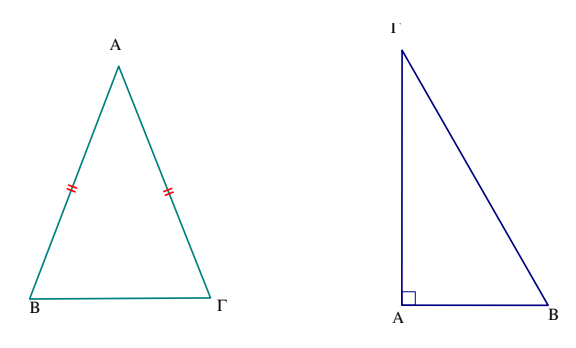
Σχήμα 35: Ίσα αλλά διαφορετικά προσανατολισμένα

ίσα με την δική μας έννοια. Έχουν όμως την ιδιαιτερότητα ότι η διαδοχή  $A \to B \to \Gamma$  είναι κατά την φορά του ρολογιού, ενώ η διαδοχή  $A^* \to B^* \to \Gamma^*$  είναι αντίθετη της φοράς του ρολογιού. Γιά να κάνουμε το  $AB\Gamma$  να συμπέσει με το  $A^*B^*\Gamma^*$  με την έννοια της μετατόπισης πρέπει να το κόψουμε και να το γυρίσουμε από την πίσω μεριά, με τον τρόπο που γυρίζουμε μιά σελίδα και πάμε στην από πίσω της. Τα πράγματα γίνονται λίγο πιό σύνθετα στο χώρο, όπου παρουσιάζεται το ανάλογο φαινόμενο και εκεί δεν υπάρχει κάτι έξω από το χώρο γιά να κάνουμε αυτό το αναποδογύρισμα του προσανατολισμού. Εκεί η έννοια της ισότητας με

τον τρόπο που την ορίζουμε, γιά κάθε σχήμα ξεχωριστά, δεν είναι ισοδύναμη με την έννοια της σύμπτωσης (δες λ.χ. το σχόλιο στην Παράγραφο 8.2). Ο τρόπος, λοιπόν, που χειριζόμαστε την ισότητα είναι πιό ασφαλής από αυτόν της  $\mu$ ετατόπισης, όσο δεν μπαίνουμε στις λεπτομέρειες του ακριβούς ορισμού αυτής της έννοιας.

 $\Sigma$ χόλιο Και ένα σχόλιο γιά την ορολογία. Συχνά γιά την ισότητα δύο σχημάτων κάνουμε αντιστοιχίσεις μεταξύ των κορυφών τους, βάζοντας σε αντίστοιχες κορυφές το ίδιο γράμμα με κάποιο δείκτη ή τόνο ή άστρο ή άλλο σημάδι. Έτσι όταν λέμε ότι τα τρίγωνα  $AB\Gamma$  και  $A^*B^*\Gamma^*$  είναι ίσα διότι έχουν αντίστοιχες πλευρές ίσες, εννοούμε ότι η πλευρά AB είναι αντίστοιχη της  $A^*B^*$ , η  $B\Gamma$  της  $B^*\Gamma^*$  κτλ. Τον κανόνα αυτό ακολουθούμε και στα σχήματα του χώρου. Το να μπορούμε να βάλουμε τα ίδια γράμματα στα υποψήφια γιά ισότητα σχήματα είναι το πρώτο βήμα γιά να αποδείξουμε την ισότητά τους, που συνήθως, ανάγεται στην ισότητα αντίστοιχων και απλούστερων στοιχείων τους.

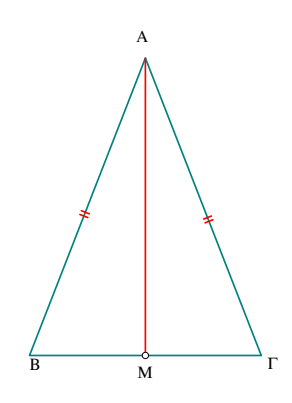
#### 1.8 Το ισοσκελές και το ορθογώνιο τρίγωνο



Σχήμα 36: Το ισοσκελές και το ορθογώνιο τρίγωνο

Ισοσκελές λέγεται το τρίγωνο που έχει δύο πλευρές ίσες. Οι δύο ίσες πλευρές λέγονται Σκέλη και η τρίτη πλευρά Βάση του ισοσκελούς. Η κορυφή στην οποία συντρέχουν τα σκέλη λέγεται Κορυφή του ισοσκελούς. Ορθογώνιο τρίγωνο λέγεται το τρίγωνο που έχει μία γωνία του ορθή. Οι πλευρές που ορίζουν αυτήν την γωνία λέγονται Κάθετες πλευρές του ορθογωνίου. Η πλευρά που είναι απέναντι από την ορθή γωνία λέγεται Υποτείνουσα του ορθογωνίου τριγώνου.

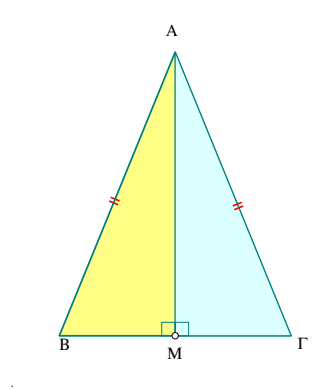
Πρόταση 1.8.1 Σε κάθε ισοσκελές τρίγωνο ( $|AB| = |A\Gamma|$ ) οι παρά την βάσην γωνίες (στα B και  $\Gamma$ ) είναι ίσες.



Σχήμα 37: Το θεώρημα του ισοσκελούς

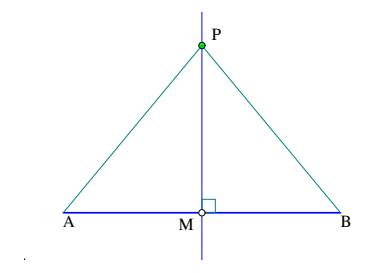
Aπόδειξη: Θεώρησε τα δύο τρίγωνα ABM και  $AM\Gamma$  που σχηματίζονται φέρνοντας την AM, όπου M το μέσον της βάσης  $B\Gamma$ . Τα δύο τρίγωνα αυτά έχουν τις πλευρές τους αντίστοιχα ίσες:  $|AB| = |A\Gamma|$  εξ υποθέσεως,  $|BM| = |M\Gamma|$  διότι το M είναι μέσον της  $B\Gamma$  και τέλος την AM κοινή. Κατά το Aξίωμα 1.6.2 των τριγώνων τα δύο αυτά τρίγωνα θα είναι ίσα, άρα και οι γωνίες τους στα B και  $\Gamma$  θα είναι αντίστοιχα ίσες ο.ε.δ.

Πόρισμα 1.8.1 Σε κάθε ισοσκελές τρίγωνο ( $|AB| = |A\Gamma|$ ) η ευθεία που ενώνει την κορυφή του με το μέσον M της απέναντι πλευράς διχοτομεί την γωνία της κορυφής.



Σχήμα 38: Ισοσκελούς διαίρεση σε δύο ίσα ορθογώνια τρίγωνα

**Πόρισμα 1.8.2** Σε κάθε ισοσκελές τρίγωνο  $(|AB| = |A\Gamma|)$  η ευθεία που ενώνει την κορυφή του με το μέσον M της απέναντι πλευράς είναι κάθετος στην βάση και χωρίζει το τρίγωνο σε δύο ίσα ορθογώνια τρίγωνα (AMB) και (



Σχήμα 39: Η μεσοκάθετος του ΑΒ

Μεσοκάθετο του ευθυγράμμου τμήματος AB ονομάζουμε την ευθεία που είναι κάθετος στο μέσον του ευθυγράμμου τμήματος. Το προηγούμενο πόρισμα μπορεί επίσης να διατυπωθεί στην επόμενη μορφή.

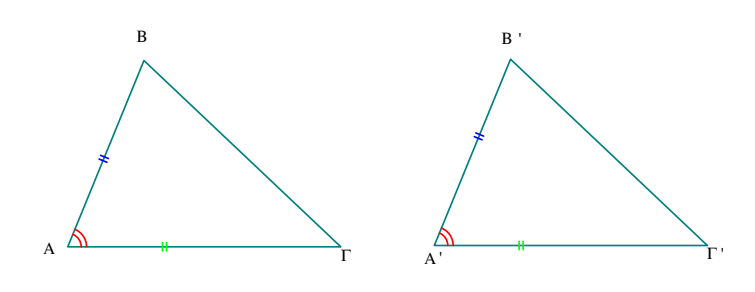
**Πόρισμα 1.8.3** Γιά κάθε ισοσκελές τρίγωνο  $AB\Gamma$  με βάση AB, η κορυφή του  $\Gamma$  ευρίσκεται επί της μεσοκαθέτου του ευθυγράμμου τμήματος AB.

Ισοδύναμη επίσης είναι και η διατύπωση:

**Πόρισμα 1.8.4** Κάθε σημείο  $\Gamma$  που ισαπέχει από τα σημεία A και B ευρίσκεται επί της μεσοκαθέτου του ευθυγράμμου τμήματος AB.

### 1.9 Κριτήρια ισότητας τριγώνων

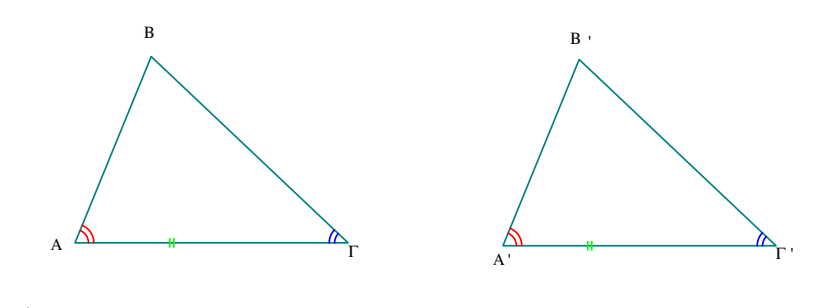
Εκτός από το βασικό Αξίωμα 1.6.2 ισότητας τριγώνων που αναφέρεται και ως  $\Pi\Pi\Pi$ -κριτήριο (πλευρά-πλευρά κριτήριο) ισότητας, ισχύουν και άλλα δύο κριτήρια ισότητας που προκύπτουν ως θεωρήματα βάσει του  $\Pi\Pi\Pi$ -κριτηρίου. Αυτά αναφέρονται ως  $\Pi\Gamma\Pi$ -κριτήριο ισότητας (πλευρά-γωνία-πλευρά κριτήριο) και  $\Gamma\Pi\Gamma$ -κριτήριο ισότητας (γωνία-πλευρά-γωνία κριτήριο).



Σχήμα 40: ΠΓΠ κριτήριο

Πρόταση 1.9.1 (ΠΓΠ-κριτήριο) Δύο τρίγωνα  $AB\Gamma$ , A'BT' που έχουν δύο αντίστοιχες πλευρές ίσες (|AB| = |A'B'|,  $|A\Gamma| = |A'\Gamma'|$ ) και τις περιεχόμενες σε αυτές γωνίες επίσης ίσες ( $|BA\Gamma| = |B'A'\Gamma'|$ ) είναι ίσα.

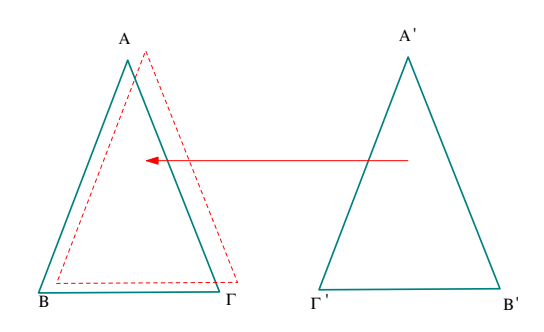
Aπόδειξη: Τοποθέτησε την γωνία A' πάνω στην A έτσι ώστε να συμπέσουν οι ημιευθείες AB και A'B' καθώς και οι  $A\Gamma$  και  $A'\Gamma'$ . Αυτό είναι δυνατόν λόγω της υποτιθέμενης ισότητας των γωνιών στα A και A' αντιστοίχως. Λόγω της επίσης υποτιθέμενης ισότητας των μηκών |AB| = |A'B'| θα συμπέσουν και τα B και B' (σύμφωνα με το Aξίωμα 1.3.3) και γιά τον ίδιο λόγο θα συμπέσουν και τα  $\Gamma$  και  $\Gamma'$ . Συνεπώς θα συμπέσουν και οι πλευρές  $B\Gamma$  και  $B'\Gamma'$  και επομένως τα μήκη τους θα είναι ίσα  $|B\Gamma| = |B'\Gamma'|$ . Η αλήθεια της πρότασης προκύπτει εφαρμόζοντας το  $\Pi\Pi\Pi$ -κριτήριο ο.ε.δ.



Σχήμα 41: ΓΠΓ κριτήριο

Πρόταση 1.9.2 (ΓΠΓ-κριτήριο) Δύο τρίγωνα  $AB\Gamma$ , ABT' που έχουν δύο αντίστοιχες γωνίες ίσες  $(|AB\Gamma|=|A'B'\Gamma'|$  και ,  $|B\Gamma A|=|B'\Gamma'A'|)$  και τις περιεχόμενες σε αυτές πλευρές επίσης ίσες  $(|B\Gamma|=|B'\Gamma'|)$  είναι ίσα.

Aπόδειξη: Η απόδειξη είναι παρόμοια με την προηγούμενη. Τοποθέτησε τα τρίγωνα έτσι ώστε να συμπέσουν οι  $B\Gamma$  και  $B'\Gamma'$ , καθώς και οι γωνίες στα (B,B') και  $(\Gamma,\Gamma')$ . Αυτό είναι δυνατόν λόγω του αξιώματος 1.4.2. Τότε θα συμπέσουν οι ευθείες (BA,B'A') καθώς και οι  $(\Gamma A,\Gamma'A')$ , άρα θα συμπέσουν και οι τομές τους που ορίζουν αντίστοιχα τα A και A'. Από αυτή την σύμπτωση έπεται ότι |BA|=|B'A'| και  $|\Gamma A|=|\Gamma'A'|$ . Η αλήθεια της πρότασης προκύπτει εφαρμόζοντας πάλι το  $\Pi\Pi\Pi$ -κριτήριο ο.ε.δ.

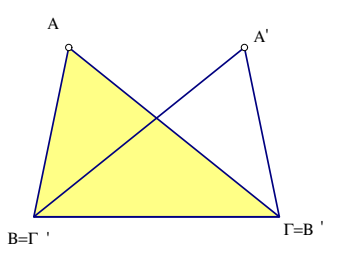


Σχήμα 42: Ισες γωνίες παράγουν ισοσκελές

Πρόταση 1.9.3 Αν το τρίγωνο έχει δύο γωνίες του ίσες τότε είναι ισοσκελές.

Aπόδειξη: Θεώρησε ένα τρίγωνο  $A'B'\Gamma'$  ίσο προς το  $AB\Gamma$  και εφάρμοσε το  $\Gamma\Pi\Gamma$ -κριτήριο. Τα δύο τρίγωνα έχουν ίσες τις πλευρές  $B\Gamma$  και  $B'\Gamma'$  αντίστοιχα και τις γωνίες  $AB\Gamma$  και  $A'\Gamma'B'$  ίσες καθώς και τις  $A\Gamma B$  και  $A'B'\Gamma'$  ίσες, άρα είναι ίσα. Η πλευρά  $A\Gamma$  που είναι απέναντι στην γωνία  $AB\Gamma$  θα είναι ίση με την πλευρά A'B' που είναι απέναντι στην ίση προς την προηγούμενη γωνία  $A'\Gamma'B'$ . Όμως εκ κατασκευής η A'B' είναι ίση προς την AB, άρα συνολικά οι AB και  $A\Gamma$  θα είναι ίσες ο.ε.δ.

Σχόλιο-1 Η απόδειξη αυτή (οφείλεται στον Πάππο) έχει ένα λεπτό και παράδοξο σημείο όπου δύο ίσα τρίγωνα ξανα-αποδεικνύονται ίσα. Γίνεται εδώ ένα παιχνίδι με τον προσανατολισμό του τριγώνου. Το  $A'B'\Gamma'$  είναι μεν ίσο με το  $AB\Gamma$ , αλλά έχει τοποθετηθεί με αντίστροφο προσανατολισμό πάνω στο  $AB\Gamma$ . Το επόμενο σχήμα δείχνει την διαφορά με ένα μη-ισοσκελές  $AB\Gamma$ . Τα δύο τρίγωνα ενώ είναι ίσα, τοποθετούμενα με αυτόν τον τρόπο δεν



Σχήμα 43: Επανατοποθέτηση ίσου τριγώνου με αντίθετο προσανατολισμό

συμπίπτουν εν γένει. Το νόημα της πρότασης είναι ότι τα δύο τρίγωνα τοποθετούμενα κατ' αυτόν τον τρόπο συμπίπτουν τότε και μόνον, όταν είναι ισοσκελή.

**Πόρισμα 1.9.1** Σημείο  $\Gamma$  ανήκει στην μεσοκάθετο  $\varepsilon$  του ευθυγράμμου τμήματος AB τότε και μόνον όταν ισαπέχει από τα σημεία A και B.

Aπόδειξη: Στο Πόρισμα 1.8.4 είδαμε ότι κάθε σημείο  $\Gamma$  που ισαπέχει από τα A και B είναι επί της μεσοκαθέτου. Γιά το αντίστροφο, παίρνουμε το  $\Gamma$  επί της μεσοκαθέτου και δείχνουμε ότι τα τρίγωνα  $\Gamma MA$  και  $\Gamma MB$  είναι ίσα (M το μέσον του AB) εφαρμόζοντας το  $\Pi \Gamma \Pi$ -κριτήριο, ο.ε.δ.

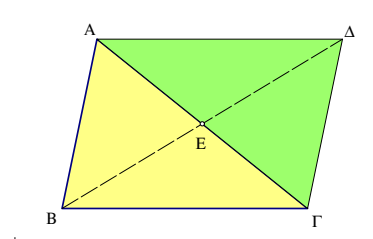
Σχόλιο-2 Το τελευταίο πόρισμα χαραχτηρίζει την μεσοχάθετο ως Γεωμετρικό τόπο σημείων που έχουν μιά ορισμένη ιδιότητα. Λέμε συχνά: ο γεωμετρικός τόπος των σημείων που έχουν την τάδε ιδιότητα είναι το δείνα σύνολο. Έτσι λοιπόν θα λέμε στο εξής: ο γεωμετρικός τόπος των σημείων που ισαπέχουν από δύο σημεία A και B είναι η μεσοκάθετος του AB. Όπως στην περίπτωση της μεσοκαθέτου έτσι και στην γενική περίπτωση ενός γεωμετρικού τόπου πρέπει να δείξουμε δύο πράγματα: α) ότι κάθε σημείο του γεωμετρικού τόπου έχει την τάδε ιδιότητα, β) ότι αν ένα σημείο έχει την τάδε ιδιότητα τότε ανήκει αναγκαστικά στον γεωμετρικό τόπο.

Άσκηση 1.9.1  $\Delta$ ύο ορθογώνια τρίγωνα που έχουν αντίστοιχες κάθετες πλευρές ίσου μήκους είναι ίσα.

Υπόδειξη: Εφάρμοσε το ΠΓΠ κριτήριο με αντίστοιχες γωνίες τις ορθές των δύο τριγώνων.

'Ασκηση 1.9.2  $\Delta$ ύο ορθογώνια τρίγωνα που έχουν μία κάθετη και την προσκείμενη οξεία αντίστοιχα ίση είναι ίσα.

Υπόδειξη: Εφάρμοσε το ΓΠΓ κριτήριο.

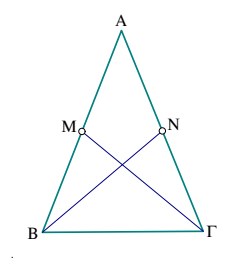


Σχήμα 44: Προέκταση της διαμέσου

'Ασκηση 1.9.3 Εστω Ε το μέσον της πλευράς ΑΓ του τριγώνου ΑΒΓ. Προέκτεινε την ΒΕ (διάμεσο) κατά το διπλάσιο μέχρι το Δ. Δείξε ότι το τρίγωνο ΑΓΔ είναι ίσο με το ΑΓΒ.

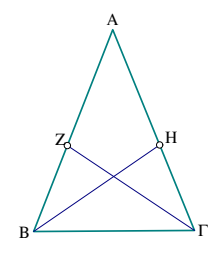
 $\Upsilon$ πόδειξη:  $\Delta$ είξε πρώτα με το ΠΓΠ-κριτήριο ότι τα τρίγωνα AEB και  $\Gamma E\Delta$  είναι ίσα.  $\Delta$ είξε ανάλογα ότι και τα  $BE\Gamma$  και  $AE\Delta$  είναι ίσα.  $\Sigma$ υμπέρανε κατόπιν με το ΠΠΠ-κριτήριο ότι τα  $AB\Gamma$  και  $A\Gamma\Delta$  είναι ίσα.

Άσκηση 1.9.4 Έστω  $AB\Gamma$  ισοσκελές τρίγωνο με ίσες γωνίες στις κορυφές B και  $\Gamma$ . Δείξε ότι οι διάμεσοι από τις κορυφές αυτές είναι ίσες. Δείξε επίσης ότι και οι διχοτόμοι από τις κορυφές αυτές είναι ίσες.



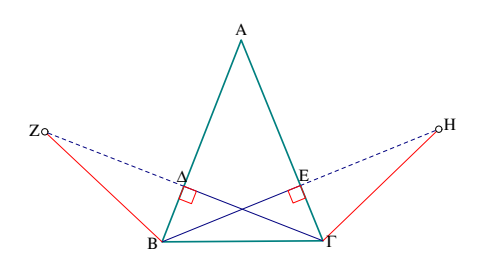
Σγήμα 45: Ίσες διάμεσοι

αντίστοιχα. Τότε τα τρίγωνα  $B\Gamma H$  και  $B\Gamma Z$  είναι ίσα ως έχοντα α) την  $B\Gamma$  κοινή, β) τις γωνίες στα B και  $\Gamma$  ίσες, γ) τις γωνίες  $|HB\Gamma|=|Z\Gamma B|$  ως μισές ίσων γωνιών.



Σχήμα 46: Ίσες διχοτόμοι

Σχόλιο-3 Ισχύει και η αντίστροφη της προηγούμενης πρότασης, αλλά, στην μεν περίπτωση των διαμέσων χρειαζόμαστε μιά ιδιότητά τους που θα μάθουμε αργότερα (δες Άσκηση 2.8.1), στις δε διχοτόμους η απόδειξη του αντιστρόφου αναφέρεται ως θεώρημα των Steiner-Lehmus και είναι απροσδόκητα δύσκολη ([Ste71,  $\sigma$ . II, 321], [CG67,  $\sigma$ . 14]). Γιά μιά υπολογιστική απόδειξη δες Άσκηση 3.12.4.



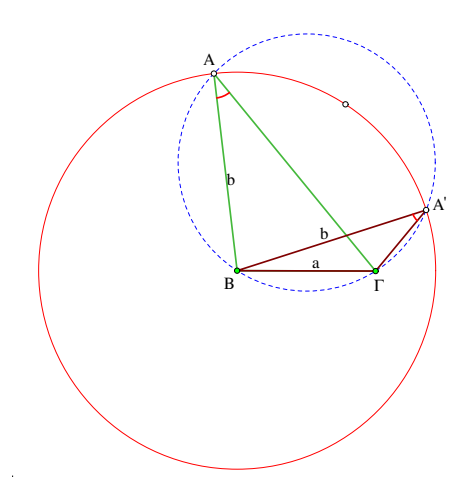
Σχήμα 47: Ίσα ύψη

Άσκηση 1.9.5 Έστω  $AB\Gamma$  ισοσκελές τρίγωνο με ίσες γωνίες στις κορυφές B και  $\Gamma$ . Δείξε ότι τα ύψη από τις κορυφές αυτές είναι ίσα.

Υπόδειξη: Έστω ότι BE και  $\Gamma\Delta$  είναι τα ύψη αντίστοιχα από τις γωνίες B και  $\Gamma$ . Προέκτεινε την BE κατά το διπλάσιο έως το σημείο H και την  $\Gamma\Delta$  κατά το διπλάσιο έως το Z. Τα τρίγωνα  $BE\Gamma$  και  $HE\Gamma$  είναι ίσα ως έχοντα α) την  $E\Gamma$  κοινή,  $\beta$ ) τις γωνίες στο E ορθές και  $\gamma$ ) τις πλευρές BE και E ίσες εκ κατασκευής (E E είναι ισοσκελές. Παρόμοια αποδεικνύεται ότι και το E E είναι ισοσκελές. Τα δύο αυτά ισοσκελή είναι και ίσα ως έχοντα α) την E κοινή, E την E έναι της E και E τις γωνίες τους στα

B και  $\Gamma$  ίσες ως διπλάσιες των B και  $\Gamma$  αντίστοιχα. Άρα οι  $\Gamma Z$  και BH, που είναι διπλάσιες των υψών  $\theta$ α είναι ίσες.  $\Gamma$ ιά την αντίστροφη αυτής της ιδιότητας δες την Άσκηση 1.10.2.

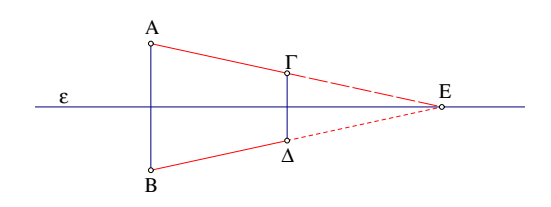
Σχόλιο-4 Αργότερα θα δούμε ότι υπάρχει και ένα ακόμη κριτήριο ισότητας τριγώνων που θα μπορούσε να ονομασθεί ΓΓΠ-κριτήριο. Κατ' αυτό αν δύο τρίγωνα ABΓ και A'B'Γ' έχουν τις γωνίες τους  $\alpha=\alpha',\beta=\beta'$  και τις πλευρές  $a=|B\Gamma|=|B'\Gamma'|=a'$ , τότε είναι ίσα. Σε αυτήν την περίπτωση τα τρίγωνα υποτίθεται ότι έχουν δύο γωνίες ίσες και μία πλευρά αντίστοιχα ίση της άλλης, αλλά η πλευρά αυτή είναι η  $a\pi \epsilon \nu a \nu \tau$  της α και όχι η προσκείμενη της α (όπως στο ΓΠΓ-κριτήριο). Αυτό ωστόσο ανάγεται στο ΓΠΓ-κριτήριο, διότι από την ισότητα των δύο γωνιών και την σχέση  $\alpha+\beta+\gamma=180$ , που θα δείξουμε αργότερα, προκύπτει η ισότητα όλων των γωνιών των δύο τριγώνων. Το τελευταίο σχήμα δείχνει ότι δεν ισχύει



Σχήμα 48: Αμφίβολη περίπτωση

αυτό που θα μπορούσε να ονομασθεί ΠΠΓ-κριτήριο. Εν γένει (όταν το τρίγωνο δεν είναι ορθογώνιο) υπάρχουν δύο τρίγωνα  $AB\Gamma$  και  $A'B'\Gamma'$  γιά τα οποία ισχύει a=a',b=b' και α=α΄. Και αυτό το σχήμα θα το αναλύσουμε παρακάτω, όταν θα έχουμε επαρκείς γνώσεις γιά τον κύκλο και τις ιδιότητές του.

Άσκηση 1.9.6  $\Delta \epsilon$ ίξε ότι αν τα τρίγωνα  $AB\Gamma$  και ABT' είναι ίσα τότε είναι ίσες και οι διάμεσοι/διχοτόμοι του  $AB\Gamma$  με τις αντίστοιχες διαμέσους/διχοτόμους του ABT'.

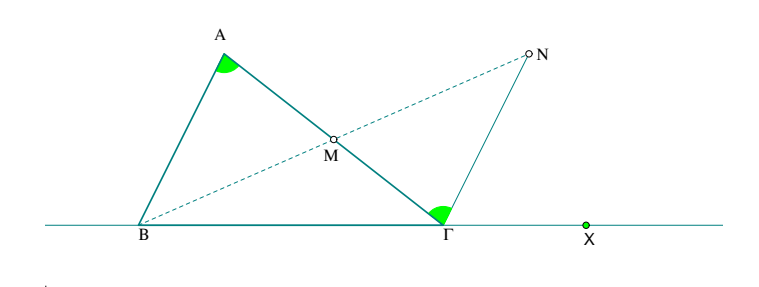


Σχήμα 49: Κοινή μεσοκάθετος

'Ασκηση 1.9.7 Εστω ότι τα  $\epsilon$ υθύγραμμα τμήματα AB και  $\Gamma\Delta$   $\epsilon$ χουν κοινή μ $\epsilon$ σοκάθ $\epsilon$ το  $\epsilon$  και η  $A\Gamma$  συναντά την  $\epsilon$  στο E.  $\Delta\epsilon$ ίξ $\epsilon$  ότι και η  $B\Delta$  συναντά την  $\epsilon$  στο E.

# 1.10 Σχετικά μεγέθη γωνιών τριγώνου

**Πρόταση 1.10.1** Σε κάθε τρίγωνο  $AB\Gamma$  η παραπληρωματική κάθε γωνίας είναι μεγαλύτερη εκάστης των δύο άλλων γωνιών.

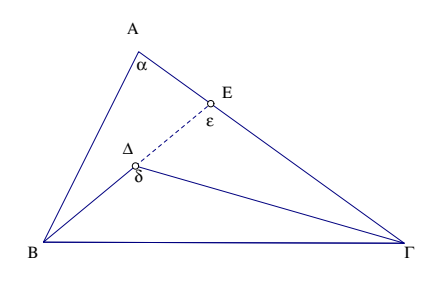


Σχήμα 50: Σύγκριση γωνιών τριγώνου

Απόδειξη: Ας δείξουμε ότι η ΧΓΑ (σχήμα 50), που είναι παραπληρωματική της  $\Gamma$  είναι μεγαλύτερη της γωνίας A. Έστω M το μέσον της  $A\Gamma$  και N επί της ημιευθείας BM, έτσι ώστε |BM|=|MN|. Τα τρίγωνα ABM και  $\Gamma NM$  έχουν: α) τις γωνίες AMB και  $\Gamma MN$  ίσες ως κατά κορυφήν,  $\beta$ ) τις πλευρές AM και  $M\Gamma$  ίσες διότι το M είναι το μέσον της  $A\Gamma$ ,  $\gamma$ ) τις πλευρές MB και MN ίσες εκ κατασκευής. Συνεπώς, εφαρμόζοντας το  $\Pi\Gamma\Pi$ -κριτήριο ισότητας (Πρόταση 1.9.1), τα τρίγωνα είναι ίσα. Από την ισότητα των τριγώνων προκύπτει ότι η γωνία  $BA\Gamma$  είναι ίση με την  $A\Gamma N$ . H τελευταία όμως είναι μικρότερη της  $A\Gamma X$  διότι το N είναι στο εσωτερικό της  $A\Gamma X$ . Ανάλογα δείχνουμε και ότι η γωνία  $AB\Gamma$  είναι μικρότερη της  $A\Gamma X$  ο.ε.δ.

Σχόλιο-1 Συχνά η γωνία  $A\Gamma X$  αναφέρεται ως  $E\xiωτερική$  του τριγώνου (δες Παράγραφο 1.6) και το θεώρημα παίρνει την μορφή: Κάθε εξωτερική γωνία τριγώνου είναι μεγαλύτερη εκάστης των εντός και απέναντι.

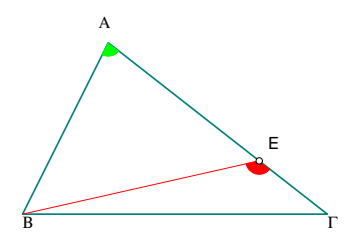
**Πρόταση 1.10.2** Έστω ότι το σημείο  $\Delta$  είναι στο εσωτερικό του τριγώνου  $AB\Gamma$ . Τότε η γωνία  $B\Delta\Gamma$  είναι μεγαλύτερη της  $BA\Gamma$ .



 $\Sigma$ χήμα 51:  $\alpha < \varepsilon < \delta$ 

Aπόδειξη: Προέκτεινε μία από τις πλευρές της εσωτερικής γωνίας λ.χ. την  $B\Delta$  και όρισε το σημείο τομής της E με την  $A\Gamma.$  Η γωνία  $\varepsilon=|BE\Gamma|>\alpha=|BA\Gamma|$  ως εξωτερική και απέναντι της α στο τρίγωνο ABE. Παρόμοια και  $\delta=|B\Delta\Gamma|>\varepsilon.$  Συνολικά λοιπόν  $\delta>\alpha,$  ο.ε.δ.

**Πρόταση 1.10.3** Σε κάθε τρίγωνο  $AB\Gamma$  απέναντι από μεγαλύτερη πλευρά ευρίσκεται μεγαλύτερη γωνία.



Σχήμα 52: Μεγαλύτερη γωνία απέναντι μεγαλύτερης πλευράς

Aπόδειξη: Ας υποθέσουμε ότι η πλευρά ΑΓ είναι μεγαλύτερη της AB. Τότε υπάρχει σημείο Ε μεταξύ του Α και του Γ έτσι ώστε |AE|=|AB| (Αξίωμα 1.3.3, Άσκηση 1.3.1). Το τρίγωνο BAE που σχηματίζεται είναι ισοσκελές και κατά το προηγούμενο θεώρημα η γωνία  $|ABE|=|AEB|>|A\Gamma B|$ . Επίσης  $|AB\Gamma|>|ABE|$  διότι το E είναι στο εσωτερικό της γωνίας  $AB\Gamma$ . Συνολικά λοιπόν  $|AB\Gamma|>|A\Gamma B|$ , ο.ε.δ.

**Πρόταση 1.10.4** Σε κάθε τρίγωνο  $AB\Gamma$  απέναντι από την μεγαλύτερη γωνία ευρίσκεται μεγαλύτερη πλευρά.

Aπόδειξη: Διά της εις άτοπον απαγωγής. Υπόθεσε λοιπόν ότι στο <math>ABΓ η γωνία α>β και όμως  $a\le b$ . Αποκλείεται a=b διότι τότε θα είχαμε και α=β (Πρόταση 1.8.1), αντίθετα με την υπόθεσή μας. Αποκλείεται όμως και a< b διότι τότε, κατά την προηγούμενη πρόταση, θα έπρεπε να ισχύει και α<β, που είναι πάλι αντίθετο με την υπόθεσή μας. Πρέπει λοιπόν να ισχύει a>b, ο.ε.δ.

**Πόρισμα 1.10.1**  $\Sigma \epsilon$  κάθ $\epsilon$  τρίγωνο το άθροισμα δύο γωνιών του  $\epsilon$ ίναι μικρότ $\epsilon$ ρο του 180.

Απόδειξη: Έστω α,β,γ οι γωνίες του τριγώνου. Κατά την Πρόταση 1.10.1 κάθε μία από τις α, β είναι μικρότερη της 180-γ: άρα  $α+\gamma<180$ ,  $β+\gamma<180$ . Ανάλογα αποδεικνύεται και η  $β+\beta<180$ , ο.ε.δ.

Πόρισμα 1.10.2 Ενα τρίγωνο έχει το πολύ μία αμβλεία γωνία.

Aπόδειξη: Αν είχε δύο αμβλείες λ.χ. την α και β τότε θα ήταν α + β > 180, άτοπο, ο.ε.δ.

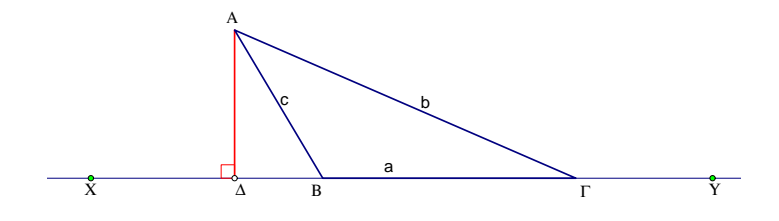
**Πόρισμα 1.10.3** Σε κάθε ισοσκελές τρίγωνο οι δύο ίσες γωνίες του είναι οξείες.

Aπόδειξη: Αν οι α και β ήταν ίσες και αμβλείες ή ορθές τότε  $α + β \ge 180$ , άτοπο, ο.ε.δ.

Πόρισμα 1.10.4 Κάθε ορθογώνιο τρίγωνο έχει τις άλλες δύο γωνίες του οξείες.

Aπόδειξη: Αν η α=90 και β και γ είναι οι άλλες γωνίες του ορθογωνίου, τότε η εξωτερική της α είναι πάλι 90 και είναι μεγαλύτερη και από την α και από την β, ο.ε.δ.

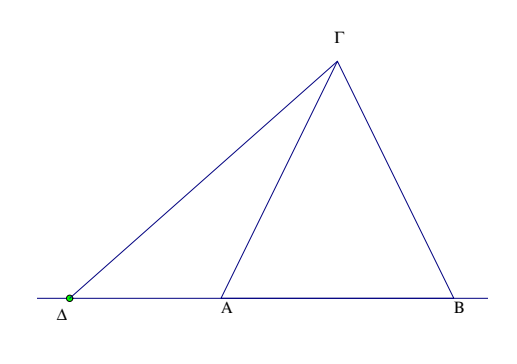
**Πόρισμα 1.10.5** Εστω ότι η  $A\Delta$  είναι κάθετη στην ευθεία XY, όπου  $\Delta$  σημείο της XY. Τότε τα σημεία B,  $\Gamma$  της ευθείας ικανοποιούν  $|B\Delta|<|\Gamma\Delta|$  τότε και μόνον, όταν  $|BA|<|\Gamma A|$ .



Σχήμα 53: Απόσταση από ίχνος καθέτου

Aπόδειξη: Η γωνία ΔΒΑ είναι οξεία διότι είναι γωνία διαφορετική της ορθής του τριγώνου AΒΔ (Πόρισμα 1.10.4). Ανάλογα και η γωνία ΔΓΑ είναι οξεία. Υπόθεσε τώρα ότι  $|BΔ|<|\GammaΔ|$ . Τότε στο τρίγωνο AΒΓ το Γ βρίσκεται στην προέκταση της ΔΒ προς το Β και η γωνία στο Β είναι αμβλεία και στο Γ οξεία. Άρα η απέναντι της αμβλείας πλευρά ΑΓ θα είναι μεγαλύτερη της απέναντι της οξείας AΒ. Γιά το αντίστροφο υπόθεσε ότι  $|BA|<|\Gamma A|$  όμως  $|BΔ|>|\Gamma Δ|$ . Προκύπτει άτοπο, διότι κατά το προηγηθέν μέρος της απόδειξης η  $|\Gamma Δ|<|B Δ|$  συνεπάγεται την  $|\Gamma A|<|B A|$ , αντίθετα με την υπόθεση. Παρόμοια σε άτοπο καταλήγει και η υπόθεση ότι  $|BA|<|\Gamma A|$  όμως  $|BΔ|=|\Gamma Δ|$ , διότι η τελευταία συνεπάγεται ότι τα τρίγωνα AΔΒ και AΔΓ θα είναι ίσα. Άρα όταν ισχύει η  $|BA|<|\Gamma A|$  θα πρέπει να ισχύει και η  $|BΔ|<|\Gamma Δ|$ , ο.ε.δ.

Σχόλιο-2 Το τελευταίο πόρισμα είναι ισοδύναμο με το ότι το μήκος |AB| της υποτείνουσας του ορθογωνίου τριγώνου  $A\Delta B$  είναι αύξουσα συνάρτηση του μήκους της καθέτου  $|\Delta B|$ , όταν η άλλη κάθετος  $A\Delta$  μένει σταθερά.

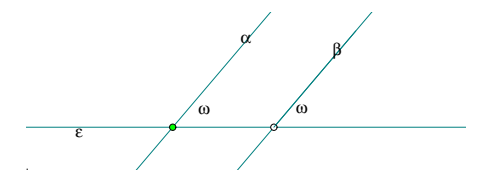


 $\Sigma$ χήμα 54:  $|\Gamma A| < |\Gamma \Delta|$ 

**Πόρισμα 1.10.6** Εστω ισοσκελές τρίγωνο  $AB\Gamma$  με ίσες γωνίες στα A και B. Θεώρησε σημείο  $\Delta$  επί της προεκτάσεως του ευθυγράμμου τμήματος AB. H  $\Gamma\Delta$  είναι μεγαλύτερη του  $\Gamma A$ .

Πόρισμα 1.10.7 Αν οι ευθείες α, β προσπίπτουσες επί της ε σχηματίζουν τις ίδιες γωνίες από την ίδια μεριά της ευθείάς τότε είναι παράλληλες. Ειδικά δύο κάθετες επί της αυτής ευθείας είναι παράλληλες.

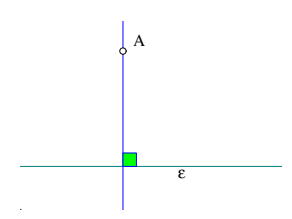
Aπόδειξη: Αν δεν ήταν παράλληλες και τεμνόντουσαν σε σημείο  $\Gamma$ , τότε θα σχημάτιζαν τρίγωνο με άθροισμα γωνιών στις κορυφές τις διαφορετικές από το  $\Gamma$ : ω+(180-ω)=180, άτοπο (Πόρισμα 1.10.1), ο.ε.δ.



Σχήμα 55: Ευθείες προσπίπτουσες υπό γωνίαν ω

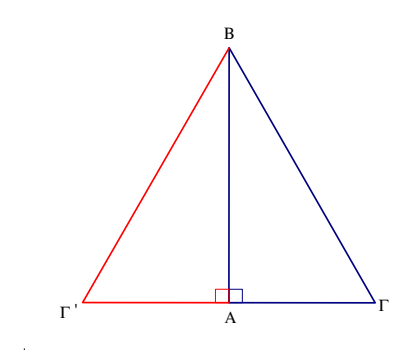
**Πόρισμα 1.10.8** Από σημείο A εκτός ευθείας  $\varepsilon$  άγεται το πολύ μία κάθετος επί την  $\varepsilon$ .

Aπόδειξη: Αν υπήρχαν δύο διαφορετικές κάθετες από το A, τότε θα σχημάτιζαν τρίγωνο και οι δύο γωνίες του στις κορυφές τις διαφορετικές από το A θα είχαν άθροισμα 90+90=180, άτοπο (Πόρισμα 1.10.1), ο.ε.δ.



Σχήμα 56: Μία μόνο κάθετος από το Α

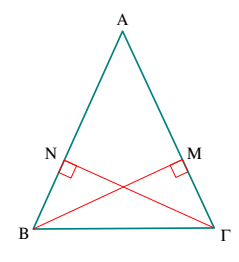
'Ασκηση 1.10.1  $\Delta$ ύο ορθογώνια τρίγωνα που έχουν μία κάθετη πλευρά και την υποτείνουσα αντίστοιχα ίσες είναι ίσα.



Σχήμα 57: Ίσα ορθογώνια τρίγωνα

Υπόδειξη: Τοποθέτησε τα δύο τρίγωνα έτσι ώστε να συμπέσουν οι δύο ίσες κάθετες πλευρές με το ευθύγραμμο τμήμα AB, τα δε τρίγωνα  $AB\Gamma$  και  $AB\Gamma'$  να είναι από τις δύο μεριές της AB με την ορθή στο A. Τα  $\Gamma$ ,  $\Gamma'$  και A είναι τότε σε μία ευθεία και το B εξ υποθέσεως ισαπέχει από τα  $\Gamma$  και  $\Gamma'$ , άρα είναι στην μεσοκάθετο του  $\Gamma\Gamma'$ . Επειδή υπάρχει μία το πολύ κάθετος από το B προς την  $\Gamma\Gamma'$  η AB θα συμπίπτει με αυτήν άρα και η τρίτη πλευρά  $A\Gamma$  θα είναι ίση με την  $A\Gamma'$ .

'Ασκηση 1.10.2  $A\nu$  δύο ύψη τριγώνου  $\epsilon$ ίναι ίσα τότ $\epsilon$  το τρίγωνο  $\epsilon$ ίναι ισοσκ $\epsilon$ λ $\epsilon$ ς.



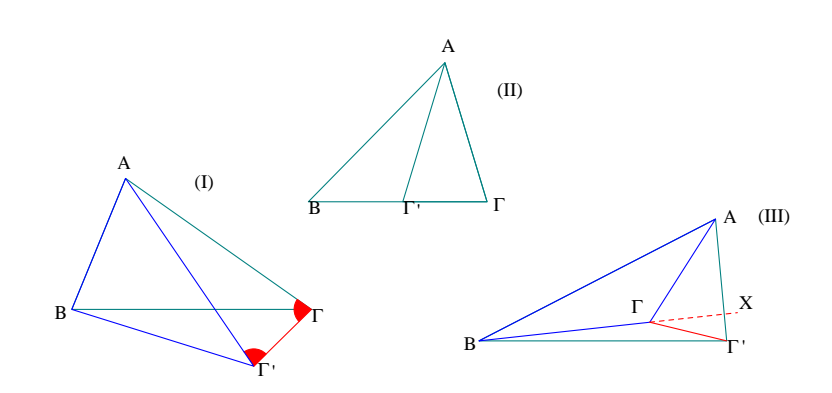
Σχήμα 58: Ίσα ύψη χαρακτηρίζουν τα ισοσκελή

Υπόδειξη: Έστω ότι τα δύο ύψη είναι τα BM και  $\Gamma N$ . Τότε τα τρίγωνα  $BM\Gamma$  και  $BN\Gamma$  είναι ορθογώνια έχουν κοινή υποτείνουσα την  $B\Gamma$  και τις κάθετες πλευρές BM και  $\Gamma N$  εξ υποθέσεως ίσες. Κατά την προηγούμενη άσκηση τα ορθογώνια είναι ίσα και επομένως οι γωνίες τους στα B και  $\Gamma$  θα είναι ίσες, άρα το τρίγωνο  $AB\Gamma$  θα είναι ισοσκελές (Πρόταση 1.9.3). Σημείωσε ότι η ιδιότητα αυτής της άσκησης είναι η αντίστροφη της περιεχομένης στην Άσκηση 1.9.5.

**Πόρισμα 1.10.9** Σε κάθε ορθογώνιο τρίγωνο κάθε μία από τις κάθετες πλευρές του είναι μικρότερη της υποτείνουσας.

Aπόδειξη: Η υποτείνουσα είναι απέναντι από την ορθή γωνία που είναι μεγαλύτερη από τις δύο άλλες που είναι οξείες (Πόρισμα 1.10.4), άρα οι δύο κάθετες πλευρές που είναι απέναντι από τις οξείες γωνίες θα είναι μικρότερες της υποτείνουσας (Πρόταση 1.10.4), ο.ε.δ.

Πρόταση 1.10.5 Aν δύο τρίγωνα  $AB\Gamma$  και A'BT' έχουν ίσες άντίστοιχες πλευρές προσκείμενες στις γωνίες στα A και A' ( $|AB| = |A'B'|, |A\Gamma| = |A\Gamma'|$ ) και οι γωνίες στα A και A' είναι άνισες ( $|BA\Gamma| > |B'A'\Gamma'|$ ) τότε αντίστοιχα άνισες είναι και οι πλευρές τους ( $|B\Gamma| > |B'\Gamma'|$ ).



Σχήμα 59: Μεγαλύτερη πλευρά απέναντι μεγαλύτερης γωνίας

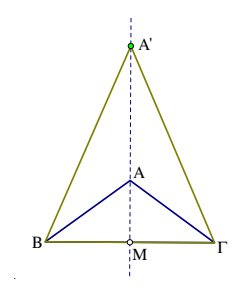
Απόδειξη: Τοποθέτησε τα τρίγωνα έτσι ώστε οι πλευρές AB και A'B' να συμπέσουν και η  $A'\Gamma'$  να βρεθεί στο εσωτερικό της  $BA\Gamma$ . Τρείς είναι οι δυνατές περιπτώσεις γιά την θέση του  $\Gamma'$  ως προς την ευθεία  $B\Gamma$  (I-III στο προηγούμενο σχήμα). Ας δούμε την μία (την I του προηγούμενου σχήματος) και ας αφήσουμε τις άλλες δύο ως ασκήσεις. Σε αυτήν υποθέτουμε ότι το  $\Gamma'$  και το A είναι σε διαφορετικές μεριές (ημιεπίπεδα) της  $B\Gamma$ . Τότε συγκρίνοντας τις γωνίες του τριγώνου  $B\Gamma'\Gamma$  έχουμε  $|B\Gamma'\Gamma|>|A\Gamma'\Gamma|>|A\Gamma\Gamma'|>|B\Gamma\Gamma'|$ ,

όπου η τελευταία ανισότητα ισχύει διότι  $|A\Gamma'|=|A'\Gamma'|>|A\Gamma|$ . Αυτή κατά το προηγούμενο θεώρημα συνεπάγεται ότι  $|B\Gamma|>|B\Gamma'|$  ο.ε.δ.

Πόρισμα 1.10.10  $A\nu$  δύο τρίγωνα  $AB\Gamma$  και A'BT' έχουν ίσες άντίστοιχες πλευρές προσκείμενες στις γωνίες στα A και A' (|AB| = |A'B'|,  $|A\Gamma| = |A\Gamma'|$ ) και οι τρίτες πλευρές τους είναι άνισες ( $|B\Gamma| > |B'\Gamma'|$ ) τότε αντίστοιχα άνισες είναι και οι γωνίες στα A και A' ( $|BA\Gamma| > |B'A'\Gamma'|$ ).

Aπόδειξη: Αν με τις υποθέσεις της πρότασης είχαμε  $|BA\Gamma| \leq |B'A'\Gamma'|$  τότε θα προέχυπτε άτοπο. Πράγματι, αν ήταν  $|BA\Gamma| = |B'A'\Gamma'|$ , τότε κατά το ΠΓΠ-κριτήριο τα τρίγωνα θα ήταν ίσα και θα είχαμε  $|B\Gamma| = |B'\Gamma'|$ , άτοπο. Αν ήταν  $|BA\Gamma| < |B'A'\Gamma'|$ , τότε κατά την Πρόταση-1.10.5 θα είχαμε  $|B\Gamma| < |B'\Gamma'|$ , άτοπο, ο.ε.δ.

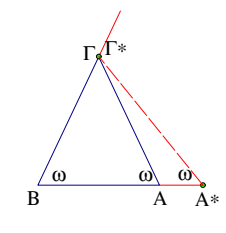
'Ασκηση 1.10.3  $\Delta \epsilon$ ίξ $\epsilon$  ότι από δύο ισοσκ $\epsilon$ λή  $AB\Gamma$  και  $AB\Gamma$  μ $\epsilon$  την ίδια βάση, την μ $\epsilon$ γαλύτ $\epsilon$ ρη γωνία στην κορυφή του σχηματίζ $\epsilon$ ι αυτό που  $\epsilon$ χ $\epsilon$ ι μικρότ $\epsilon$ ρα σκ $\epsilon$ λη και αντίστροφα.



Σχήμα 60: Μεγαλύτερο ισοσκελές

 $\Upsilon$ πόδειξη: Δείξε πρώτα ότι οι κορυφές τους που είναι στην μεσοκάθετο της βάσης  $B\Gamma$  είναι πιό κοντά στο μέσον της M, όσο πιό μικρό είναι το σκέλος (Πόρισμα 1.10.5).

'Ασκηση 1.10.4  $\Delta \epsilon$ ίξε ότι δύο ισοσκελή τρίγωνα  $AB\Gamma$  και  $A*B*\Gamma*$  που έχουν ίσα σκέλη  $|\Gamma A| = |\Gamma B| = |\Gamma^*A^*| = |\Gamma^*B^*|$  και ίσες γωνίες στην βάση, είναι ίσα.



Σχήμα 61: Ίσα ισοσκελή

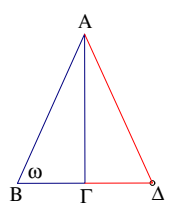
Υπόδειξη: Τοποθέτησέ τα έτσι ώστε να συμπέσουν οι γωνίες τους στα B και  $B^*$ , καθώς και οι  $B\Gamma$  και  $B^*\Gamma^*$ , λόγω της ισότητας των μηκών τους. Αν τα A,  $A^*$  ήταν διαφορετικά και το  $A^*$  μακρύτερα του B απ' ότι το A, θα είχαμε την εξωτερική ω του τριγώνου  $AA^*\Gamma$  στο A μεγαλύτερη από την εσωτερική ω στο  $A^*$  ( $\omega>\omega$ ), που είναι άτοπο. Άρα θα συμπίπτουν και τα A και  $A^*$ .

Άσκηση 1.10.5 Δοθέντος σημείου A εκτός ευθείας  $\varepsilon$  και γωνίας  $\omega$  (0 <  $\omega$  < 180), δείξε ότι υπάρχει ένα το πολύ ισοσκελές τρίγωνο με κορυφή το A, βάση επί της  $\varepsilon$  και γωνίες στην βάση ίσες με  $\omega$ .

' ${\bf A}$ σκηση  ${\bf 1.10.6}$   $\Delta \epsilon$ ίξ $\epsilon$  ότι σ $\epsilon$  κάθ $\epsilon$  τρίγωνο  $AB\Gamma$  το άθροισμα των μηκών των υψών του  $\epsilon$ ίναι μικρότ $\epsilon$ ρο της π $\epsilon$ ριμ $\epsilon$ τρου του.

Άσκηση 1.10.7  $\Delta \epsilon$ ίξ $\epsilon$  ότι κάθ $\epsilon$  τρίγωνο, στο οποίο μία γωνία του ισούται μ $\epsilon$  το άθροισμα των δύο άλλων, χωρίζ $\epsilon$ ται σ $\epsilon$  δύο ισοσκ $\epsilon$ λή τρίγωνα.

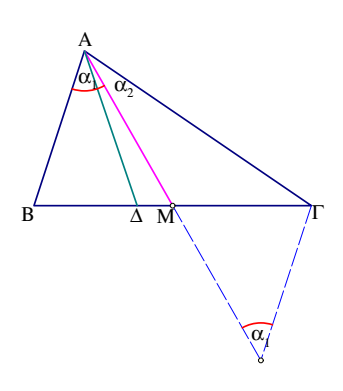
'Ασκηση 1.10.8  $\Delta \epsilon$ ίξ $\epsilon$  ότι δύο ορθογώνια τρίγωνα  $AB\Gamma$  και  $A*B*\Gamma*$  που έχουν ίσες υποτείνουσες και μία γωνία ω, διαφορετική της ορθής, ίση είναι ίσα.



Σχήμα 62: Ίσα ορθογώνια τρίγωνα

Υπόδειξη: Προέκτεινε την κάθετο  $B\Gamma$  που πρόσκειται στην ω κατά το διπλάσιο έως το  $\Delta$ . Προκύπτει το ισοσκελές  $AB\Delta$ . Ανάλογα και το  $A^*B^*\Delta^*$ . Τα δύο ισοσκελή  $AB\Delta$  και  $A^*B^*\Delta^*$  έχουν ίσα σκέλη και ίσες γωνίες στην βάση, άρα είναι ίσα (Άσκηση 1.10.4). Τότε και τα μισά τους ορθογώνια  $AB\Gamma$  και  $A^*B^*\Gamma^*$  είναι ίσα.

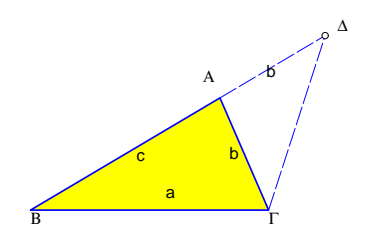
'Ασκηση 1.10.9  $\Delta$ είξε ότι η διάμεσος AM τριγώνου  $AB\Gamma$  με άνισες πλευρές AB,  $A\Gamma$ , γέρνει προς την μεριά της μικρότερης. Επίσης από τις γωνίες BAM και  $MA\Gamma$  μεγαλύτερη είναι αυτή που πρόσκειται στην μικρότερη πλευρά. Συμπέρανε ότι το ίχνος της διχοτόμου  $A\Delta$  είναι πιό κοντά σε εκείνη την κορυφή από τις B και  $\Gamma$ , που ανήκει επίσης στην μικρότερη πλευρά.



Σχήμα 63: Κλίση διαμέσου

#### 1.11 Η τριγωνική ανισότητα

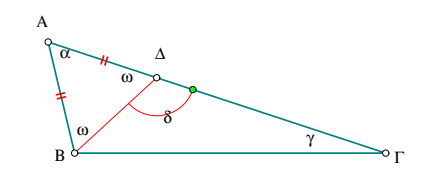
Πρόταση 1.11.1 Σε κάθε τρίγωνο ΑΒΓ το άθροισμα των μηκών των δύο πλευρών του είναι μεγαλύτερο του μήκους της τρίτης πλευράς.



Σχήμα 64: Τριγωνική ανισότητα

Aπόδειξη: Έστω ότι η  $a=|B\Gamma|$  είναι η μεγαλύτερη από όλες τις πλευρές. Αρκεί να δείξουμε ότι a< b+c. Προς τούτο προέκτεινε την AB κατά τμήμα  $A\Delta$  ίσο με  $A\Gamma$ . Στο τρίγωνο  $\Delta B\Gamma$  που σχηματίζεται η γωνία  $B\Gamma\Delta$  ( $|B\Gamma\Delta|=|B\Gamma A|+|A\Gamma\Delta|$ ) είναι μεγαλύτερη της  $\Gamma\Delta B$ , άρα (Πρόταση 1.10.4) και η πλευρά  $B\Delta$  με  $|B\Delta|=b+c$  θα είναι μεγαλύτερη της  $B\Gamma$  με  $|B\Gamma|=a$ , ο.ε.δ.

**Πρόταση 1.11.2** Σε κάθε τρίγωνο  $AB\Gamma$  η διαφορά των μηκών των δύο πλευρών του είναι μικρότερη του μήκους της τρίτης πλευράς.



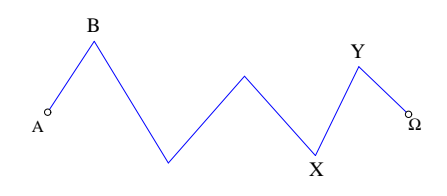
Σχήμα 65: Ανισότητα γιά την διαφορά

Aπόδειξη: Έστω ότι η πλευρά AΓ είναι μεγαλύτερη της AB (b>c). Αρχεί να δείξουμε ότι a>b-c. Προς τούτο πάρε επί της AΓ τμήμα AΔ ίσο με το AB. Στο τρίγωνο ΔBΓ που σχηματίζεται η γωνία BΔΓ είναι μεγαλύτερη της ΔBΓ. Τούτο διότι ως εξωτεριχή της βασιχής γωνίας ω του ισοσχελούς BAΔ είναι αμβλεία (Πόρισμα 1.10.3). Και αν ένα τρίγωνο έχει μία αμβλεία αυτή είναι μεγαλύτερη από τις δύο άλλες που πρέπει να είναι οξείες (Πόρισμα 1.10.2). Έπεται ότι η πλευρά BΓ που είναι απέναντι στην αμβλεία δ=BΔΓ είναι μεγαλύτερη της ΔΓ που έχει μήχος |ΔΓ|=|AB|-|AΓ|, ο.ε.δ.

Σχόλιο Τα δύο θεωρήματα συνολικά σημαίνουν ότι σε κάθε τρίγωνο ισχύουν οι ανισότητες γιά τα μήκη των πλευρών:

$$|a-b| < c < a+b$$
,  $|b-c| < a < b+c$ ,  $|c-a| < b < c+a$ .

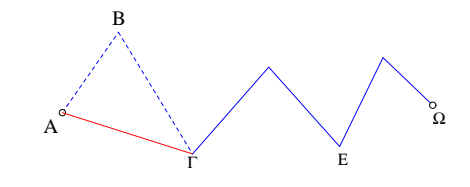
 $\mathbf{T}$ εθλασμένη γραμμή λέγεται μία ακολουθία ευθυγράμμων τμημάτων  $AB,B\Gamma,...,XY,Y\Omega$  στην οποία κάθε ζεύγος διαδοχικών τμημάτων έχει ένα ακριβώς κοινό άκρο.  $\mathbf{M}$ ήκος της



Σχήμα 66: Τεθλασμένη

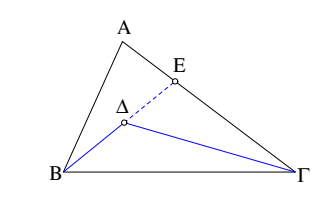
τεθλασμένης λέγεται το άθροισμα των μηκών  $|AB|+|B\Gamma|+...+|\Upsilon\Omega|$ . Την τεθλασμένη αυτή συμβολίζουμε με  $AB\Gamma...Y\Omega$  και λέμε ότι  $\mathbf{E}\mathbf{v}$ ώνει τα σημεία  $\mathbf{A}$  και  $\mathbf{\Omega}$ . Η τεθλασμένη λέγεται  $\mathbf{K}$ λειστή, όταν τα σημεία  $\mathbf{A}$  και  $\mathbf{\Omega}$  συμπίπτουν.

**Πόρισμα 1.11.1** Το ευθύγραμμο τμήμα  $A\Omega$  έχει μήκος  $|A\Omega|$  μικρότερο από το μήκος κάθε τεθλασμένης που ενώνει το A με το  $\Omega$ .



Σχήμα 67: Τεθλασμένης συντόμευση

Aπόδειξη: Δοθείσης της τεθλασμένης (AB,BΓ,...,XY,YΩ) και φέρνοντας την AΓ σχηματίζεται το τρίγωνο ABΓ. Λόγω της τριγωνικής ανισότητας η νέα τεθλασμένη που προκύπτει (AΓ,ΓΔ,ΔΕ,...,XY,YΩ) έχει μικρότερο μήκος από το μήκος μ της αρχικής τεθλασμένης και μία πλευρά λιγότερη. Συνεχίζοντας κατ' αυτόν τον τρόπο μειώνουμε συνεχώς και το μήκος της τεθλασμένης και το πλήθος των πλευρών της. Η διαδικασία συνεχίζεται μέχρι να φτάσουμε στο τμήμα <math>AΩ και η συνεχής μείωση του μήκους μέχρι το |AΩ| δίνει την ανισότητα  $|AΩ| < \mu$ , ο.ε.δ.

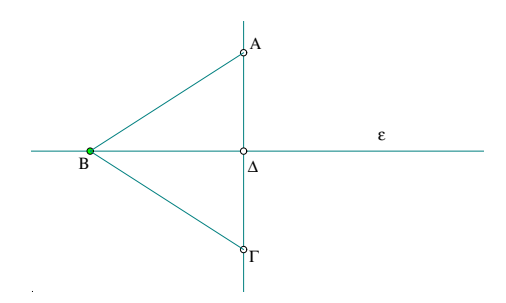


Σχήμα 68:  $|\Delta B| + |\Delta \Gamma| < |AB| + |A\Gamma|$ 

Άσκηση 1.11.1 Έστω ότι το σημείο  $\Delta$  είναι στο εσωτερικό του τριγώνου  $AB\Gamma$ .  $\Delta$ είξε ότι το άθροισμα  $|\Delta B| + |\Delta \Gamma| < |AB| + |A\Gamma|$ .

Άσκηση 1.11.2 Έστω ότι το σημείο  $\Delta$  είναι στο εσωτερικό του τριγώνου  $AB\Gamma$ .  $\Delta$ είξε ότι το άθροισμα των αποστάσεων του  $\Delta$  από τις κορυφές του τριγώνου είναι μικρότερο της περιμέτρου και μεγαλύτερο της ημιπεριμέτρου του τριγώνου.

#### 1.12 Η Κάθετος από σημείο



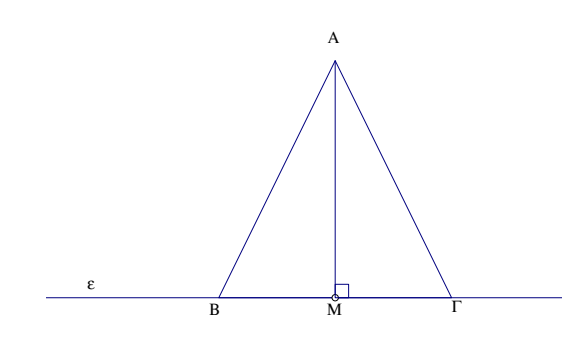
Σχήμα 69: Κάθετος από σημείο

Πρόταση 1.12.1 Aπό σημείο <math>A εκτός ευθείας  $\varepsilon$  άγεται μία ακριβώς κάθετος σε αυτήν.

Aπόδειξη: Κατασχευάζουμε την χάθετο μέσω ενός ισοσχελούς τριγώνου ως εξής. Παίρνουμε ένα τυχαίο σημείο B στην ε και ορίζουμε την ευθεία BA. Στο ημιεπίπεδο, ως προς ε, το μη περιέχον το σημείο A ορίζουμε το ευθύγραμμο τμήμα  $B\Gamma$  που σχηματίζει με την ε την ίδια γωνία που σχηματίζει και η BA (Aξίωμα 1.4.2). Eπί της ευθείας αυτής παίρνουμε σημείο  $\Gamma$  έτσι ώστε  $|B\Gamma| = |BA|$ . H ευθεία  $A\Gamma$  είναι η ζητούμενη. Πράγματι, το τρίγωνο  $AB\Gamma$  είναι ισοσχελές με βάση την  $A\Gamma$  εκ κατασκευής και η ευθεία ε συμπίπτει με την διχοτόμο της κορυφής του. Συνεπώς η ε θα είναι κάθετη στην βάση του  $A\Gamma$  (Πόρισμα 1.8.2), ο.ε.δ.

 $\Sigma$ χόλιο-1 Από το Πόρισμα 1.10.8 γνωρίζουμε ότι αν υπάρχει μία κάθετος από το A επί της  $\epsilon$ , τότε αυτή θα είναι μοναδική. Το θεώρημα εδώ δείχνει την ύπαρξη μιάς τέτοιας καθέτου. Γιά την κατασκευή χρησιμοποιούμε την θεμελιώδη δυνατότητα κατασκευής μιάς ορισμένης γωνίας (Αξίωμα 1.4.2) με πλευρά μιά δοθείσα ευθεία και κορυφή ένα δοθέν σημείο της ευθείας. Από την ίδια θεμελιώδη δυνατότητα απορρέει και η ύπαρξη της καθέτου  $\epsilon$  επί ευθείας  $\epsilon$  από σημείο  $\epsilon$  από σημείο  $\epsilon$  από σημείο  $\epsilon$  επί της ευθείας  $\epsilon$ . Η πρακτική κατασκευή της καθέτου με τον κανόνα και τον διαβήτη θεμελιώνεται σε ιδιότητες του κύκλου και θα γίνει στα επόμενα.

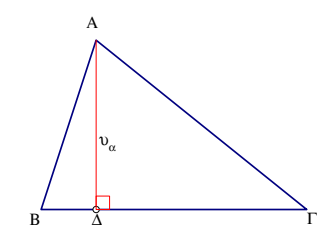
**Πόρισμα 1.12.1** (Απόσταση σημείου από ευθεία) Έστω Α σημείο εκτός ευθείας  $\varepsilon$  και ΑΜ η κάθετος  $\varepsilon$ π' αυτήν. Γιά κάθε άλλο σημείο  $\varepsilon$  της ευθείας η  $\varepsilon$  ΑΒ είναι με γαλύτερη της  $\varepsilon$  ΑΜ.



Σχήμα 70: Απόσταση |AM| του A επό την ευθεία ε

Απόδειξη: Γιά κάθε άλλο σημείο Β σχηματίζεται ορθογώνιο στο Μ τρίγωνο ΑΜΒ με υποτείνουσα ΑΒ που είναι μεγαλύτερη της καθέτου ΑΜ (Πόρισμα 1.10.9), ο.ε.δ.

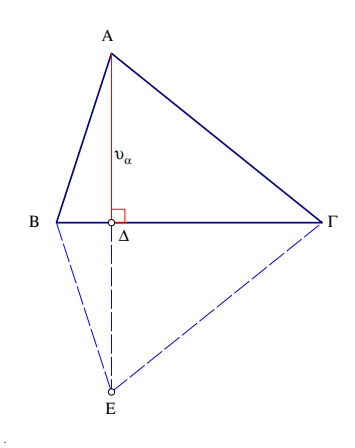
Το σημείο M ονομάζεται (κάθετος ή ορθογώνια)  $\mathbf{\Pi}$ ροβολή του A επί της ευθείας. Το μήκος |AM| της AM ονομάζουμε απόσταση του σημείου από την ευθεία. H προβολή  $\Delta$ 



Σχήμα 71: Ύψος  $v_{\alpha}$  από το A

της κορυφής A επί της απέναντι πλευράς  $B\Gamma$  του τριγώνου  $AB\Gamma$  ορίζει το λεγόμενο **Ύψος**  $v_{\alpha}=|A\Delta|$  του τριγώνου απο το A. Ανάλογα ορίζονται και τα ύψη του τριγώνου από το B και το  $\Gamma$ .

Άσκηση 1.12.1 Προέκτεινε το ύψος  $v_{\alpha}$  του τριγώνου  $AB\Gamma$  από το A, προς την  $B\Gamma$ , κατά το διπλάσιο έως το σημείο E. Το τρίγωνο  $BE\Gamma$  που σχηματίζεται είναι ίσο με το  $AB\Gamma$ .

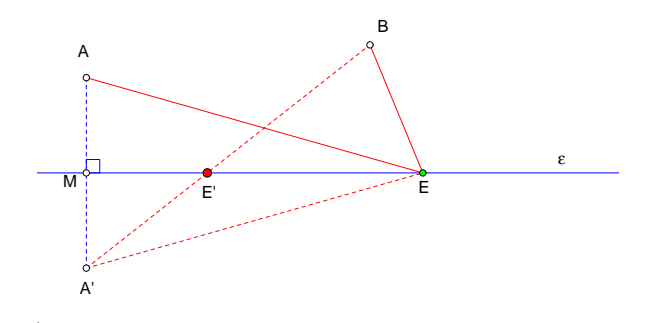


Σχήμα 72: Προεκτείνοντας το ύψος κατά το διπλάσιο

Υπόδειξη: Εφαρμόζοντας το ΠΓΠ κριτήριο δείξε πρώτα ότι τα τρίγωνα  $B\Delta A$  και  $B\Delta E$  είναι ίσα και τα τρίγωνα  $A\Delta \Gamma$  και  $E\Delta \Gamma$  είναι επίσης ίσα. Κατόπιν εφαρμόζοντας το ΠΠΠ-κριτήριο δείξε ότι και τα  $AB\Gamma$  και  $EB\Gamma$  είναι ίσα.

'Ασκηση 1.12.2  $\Delta$ ίδονται δύο διαφορετικά σημεία A και B από την ίδια μεριά της ευθείας  $\varepsilon$  και σημείο E κινούμενο επ' αυτής. Να βρεθεί η θέση E' του E γιά την οποία το άθροισμα των αποστάσεων |EA| + |EB| καθίσταται ελάχιστο.

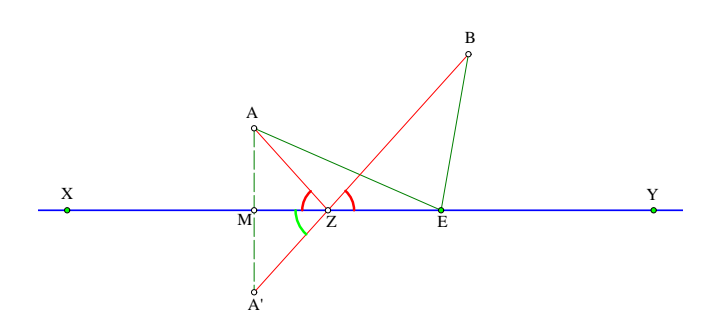
Υπόδειξη: Πρόβαλε το A στην ευθεία ε στο M και προέκτεινε την AM προς το M κατά το διπλάσιο έως το σημείο A'. Εκ κατασκευής η ε είναι τότε η μεσοκάθετος του AA' και γιά κάθε σημείο E της ε οι EA και EA' είναι ίσες. Συνεπώς το άθροισμα |EA| + |EB| = |EA'| + |EB|.



Σχήμα 73: Ελαχιστοποίηση του |EA| + |EB|

Έστω Ε΄ το σημείο τομής της Α΄Β και της ε. Γιά τα σημεία Ε΄ της ε τα διαφορετικά του Ε΄, το τρίγωνο ΕΒΑ΄ πάντοτε  $|EA'|+|EB|\geq |A'B|$ . Η ισότητα συμβαίνει μόνο στο σημείο Ε΄. Αυτό είναι το σημείο στο οποίο ελαχιστοποιείται η |EA|+|EB|.

Άσκηση 1.12.3  $\Delta$ ίδονται δύο διαφορετικά σημεία A και B από την ίδια μεριά της ευθείας XY και σημείο E κινούμενο επ' αυτής. Να βρεθεί η θέση Z του E γιά την οποία οι γωνίες AZX και BZY είναι ίσες.



Σχήμα 74: Σημείο ανάκλασης Ζ από το Α στο Β

Υπόδειξη: Έστω ότι λύθηκε το πρόβλημα και βρέθηκε η θέση του Z. Προέκτεινε την ZB και πάρε επ' αυτής ZA' ίσο με το ZA. Το τρίγωνο ZAA' είναι ισοσκελές και η XY εκ κατασκευής είναι διχοτόμος της κορυφής του Z. Συνεπώς η AA' είναι κάθετος στην XY και την τέμνει στο μέσον M της AA' (Πόρισμα 1.8.2). Συνεπώς το A' προσδιορίζεται από τα δεδομένα φέρνοντας κάθετο AM από το A στην XY και προεκτείνοντας αυτήν προς το M κατά το διπλάσιο. H τομή της A'B με την XY προσδιορίζει το ζητούμενο σημείο.

Σχόλιο-2 Είναι αξιοσημείωτο ότι η λύση των δύο τελευταίων ασχήσεων ορίζεται από το ίδιο σημείο. Στην φυσιχή αυτό αντιστοιχεί στον νόμο της ανάχλασης, κατά τον οποίον μιά ακτίνα που εκπέμπεται από το A, ανακλάται στην XY (κάτοπτρο) και η εξ ανακλάσεως ακτίνα που περνά από το B, έχει δύο ιδιότητες ταυτόχρονα: α) το μήκος |AZ|+|ZB| είναι το ελάχιστο δυνατόν,  $\beta$ ) η γωνία AZX (λέγεται γωνία πρόσπτωσης) (σχήμα 74) είναι ίση με την γωνία YZB (λέγεται γωνία AZX (λέγεται γωνία AZX).

Άσκηση 1.12.4  $\Delta \epsilon$ ίξε ότι, αν  $|AB|<|A\Gamma|$ , τότε η προβολή  $\Delta$  της κορυφής A στην πλευρά  $B\Gamma$  του τριγώνου  $AB\Gamma$  είναι πιό κοντά στο B από ότι στο  $\Gamma$  ( $|B\Delta|<|\Delta\Gamma|$ ).

## 1.13 Η Παράλληλος από σημείο

Πρόταση 1.13.1 Aπό σημείο A εκτός ευθείας  $\varepsilon$  άγεται μία παράλληλος προς αυτήν.

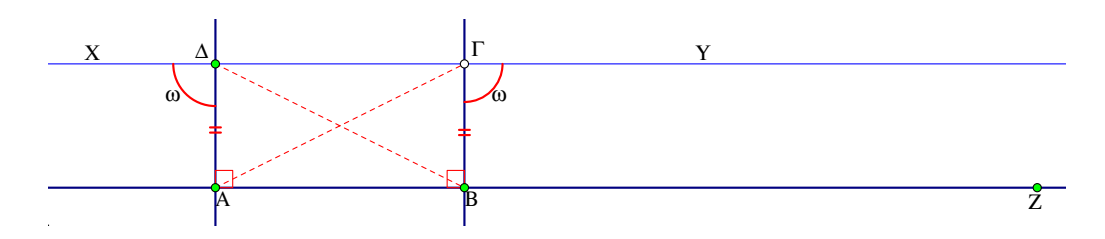


Σχήμα 75: Παράλληλος από σημείο

Aπόδειξη: Κατά τα προηγούμενα υπάρχει η κάθετος AB επί την ε. Επίσης κατασκευάζεται η κάθετος δ της AB στο σημείο της B (δες το σχόλιο στην προηγούμενη παράγραφο). Οι ευθείες ε και δ, κατά το Πόρισμα 1.10.7, είναι παράλληλες , ο.ε.δ.

Σχόλιο-1 Η πρόταση αποφαίνεται γιά την ύπαρξη μιάς παραλλήλου. Δεν λέει όμως τίποτε γιά την μοναδικότητα αυτής της παραλλήλου. Θα δούμε παρακάτω ότι εδώ απαιτείται μιά βασική υπόθεση (αξίωμα) κατά την οποία δεχόμαστε ότι δεν υπάρχει άλλη παράλληλος από την κατασκευασθείσα. Οι προτάσεις που αποδείξαμε μέχρι τούδε δεν χρειάσθηκαν πουθενά την υπόθεση της μοναδικότητας της παραλλήλου. Στηρίζονται αποκλειστικά στις ιδιότητες (αξιώματα) για ευθείες, γωνίες και τρίγωνα που δεχθήκαμε ότι ισχύουν (στις παραγράφους 1.2-1.6). Τέτοιες προτάσεις αποτελούν το αντικείμενο της λεγόμενης Απόλυτης Γεωμετρίας. Οι προτάσεις της Απόλυτης Γεωμετρίας έχουν ισχύ τόσο στην Ευκλείδεια Γεωμετρία όπου δεχόμαστε την μοναδικότητα της παραλλήλου όσο και στην λεγόμενη Υπερβολική Γεωμετρία στην οποία δεχόμαστε ότι υπάρχουν περισσότερες από μία παράλληλες από σημείο Α προς ευθεία ε. Μιά τελευταία πρόταση της Απόλυτης Γεωμετρίας αποδεικνύουμε και στην επόμενη παράγραφο, γιά να περάσουμε κατόπιν στην Ευκλείδεια Γεωμετρία δεχόμενοι την μοναδικότητα της παραλλήλου.

Άσκηση 1.13.1 Στα σημεία A και B μίας ευθείας ύψωσε δύο ίσες κάθετες  $A\Delta$  και  $B\Gamma$ .  $\Delta$ είξε ότι η  $\Gamma\Delta$  είναι παράλληλος της ευθείας AB.



Σχήμα 76: Τραπέζιο Saccheri

Υπόδειξη: Τα τρίγωνα  $AB\Delta$  και  $AB\Gamma$  είναι ίσα, ως έχοντα την AB κοινή, τις  $A\Delta$  και  $B\Gamma$  ίσες εκ κατασκευής και τις περιεχόμενες σε αυτές γωνίες ίσες ως ορθές ( $\Pi\Gamma\Pi$ -κριτήριο). Συνάγεται ότι οι  $A\Gamma$  και  $B\Delta$  είναι ίσες και απ' αυτό ότι και τα τρίγωνα  $A\Delta\Gamma$  και  $B\Delta\Gamma$  είναι ίσα ( $\Pi\Pi\Pi$ -κριτήριο). Από την ισότητα των τελευταίων τριγώνων συνάγεται και η ισότητα των γωνιών  $X\Delta A$  και  $Y\Gamma B$ . Τώρα στην απόδειξη ότι οι AB και  $\Gamma\Delta$  δεν τέμνονται διά της εις άτοπον απαγωγής. Υπόθεσε ότι τέμνονται σε σημείο Z και σχηματίζουν σε αυτό γωνία

ζ. Τότε στο τρίγωνο  $\Delta AZ$  η εξωτερική στο  $\Delta$  θα είναι  $\omega=90+\zeta$ , στο δε  $B\Gamma Z$  η εξωτερική στο B θα είναι  $90=\omega+\zeta$ . Από τις δύο αυτές συνάγεται ότι  $2\zeta=0$ , που είναι άτοπο. Άρα οι AB και  $\Gamma\Delta$  είναι παράλληλες.

Σχόλιο-2 Το σχήμα ΑΒΓΔ της προηγουμένης άσκησης ονομάζεται Τραπέζιο του Saccheri (1667-1733) και παίζει ιδιαίτερο ρόλο στην θεμελίωση της Υπερβολικής Γεωμετρίας. Μετά την παραδοχή του αξιώματος των παραλλήλων θα δούμε ότι η γωνία ω είναι ορθή. Στην παρούσα φάση όμως, όπου δεν έχουμε ακόμη κάνει κάποια παραδοχή γιά τις παράλληλες, δεν μπορούμε να αποδείζουμε κάτι τέτοιο.

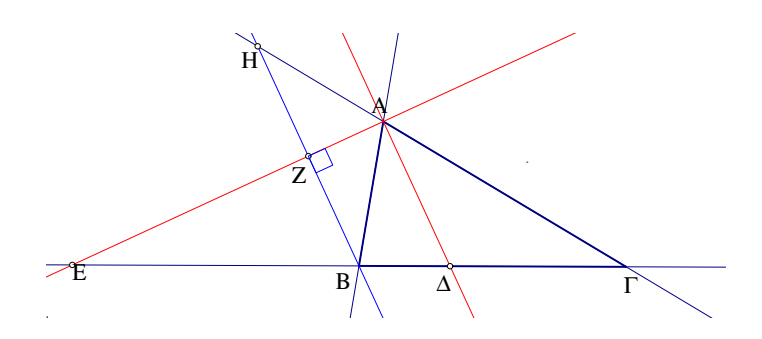
'Ασκηση 1.13.2 Aπό τα σημεία A και  $A^*$  ευθείας  $\varepsilon$  και προς το ίδιο μέρος της φέρε δύο ίσα τμήματα AB,  $A^*B^*$  και με την ίδια κλίση  $\omega$  προς την  $\varepsilon$ .  $\Delta$ είξε ότι η  $BB^*$  είναι παράλληλος της  $\varepsilon$ .



Σχήμα 77: Ίσα ευθύγραμμα τμήματα και παράλληλος

 $\Upsilon$ πόδειξη: Φέρε τις καθέτους  $B\Gamma$  και  $B^*\Gamma^*$  προς την ε. Τα ορθογώνια τρίγωνα  $AB\Gamma$  και  $A^*B^*\Gamma^*$  έχουν ίσες υποτείνουσες και μία γωνία (ω) διαφορετική της ορθής ίση, συνεπώς είναι ίσα (Άσκηση 1.10.8). Συνεπώς οι κάθετες  $B\Gamma$  και  $B^*\Gamma^*$  είναι ίσες και το συμπέρασμα προκύπτει από την Άσκηση 1.13.1.

Άσκηση 1.13.3 Έστω ότι οι διχοτόμοι της γωνίας A τριγώνου  $AB\Gamma$  τέμνουν την απέναντι πλευρά στα σημεία:  $\Delta$  (εσωτερική) και E (εξωτερική). Πρόβαλε την κορυφή B στο Z επί της AE και διπλασίασε το τμήμα BZ προς το Z μέχρι το H.  $\Delta$ είξε ότι το H είναι επί της ευθείας  $A\Gamma$ .  $\Delta$ είξε επίσης ότι η HB είναι παράλληλος της  $A\Delta$ .

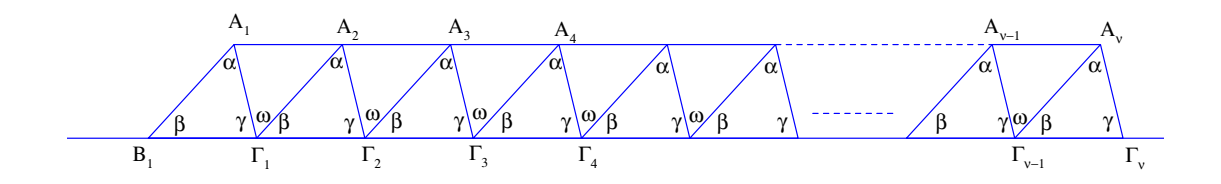


Σχήμα 78: Παράλληλη της διχοτόμου

Υπόδειξη: Τα ορθογώνια τρίγωνα ABZ και AHZ είναι ίσα εκ κατασκευής (ΠΓΠ-κριτήριο), άρα οι γωνίες τους στο A είναι ίσες και επειδή η AZ είναι διχοτόμος της παραπληρωματικής της γωνίας στο A, η AH θα συμπίπτει με την ευθεία  $A\Gamma$ . Οι δύο ευθείες  $A\Delta$  και ZB είναι κάθετες στην AE, άρα δεν τέμνονται (Πρόταση 1.12.1).

## 1.14 Το άθροισμα γωνιών τριγώνου

Θεώρημα 1.14.1 (Θεώρημα των Saccheri-Legendre) Σε κάθε τρήγωνο  $AB\Gamma$  το άθροισμα των γωνιών του είναι μικρότερο ή ίσο του 180 ( $\alpha + \beta + \gamma \leq 180$ ).



Σχήμα 79: Μιά αχολουθία ίσων τριγώνων

Απόδειξη: Με εις άτοπον απαγωγή. Ξεκινάμε με την υπόθεση ότι υπάρχει τρίγωνο  $AB\Gamma$  με  $\alpha+\beta+\gamma>180$  και δείχνουμε ότι αυτό οδηγεί σε άτοπο. Τοποθετούμε ν αντίγραφα του ιδίου τριγώνου στην σειρά έτσι ώστε οι βάσεις τους  $B_1\Gamma_1, \Gamma_1\Gamma_2, \ldots$  να είναι διαδοχικά ίσα ευθύγραμμα τμήματα της ίδιας ευθείας (Αξίωμα 1.3.3), ως εις το σχήμα. Επί πλέον υποθέτουμε ότι η πλευρά  $|A\Gamma|<|B\Gamma|$ . Δημιουργούνται τότε τα τρίγωνα  $A_1\Gamma_1A_2, A_2\Gamma_2A_3...$  τα οποία αποδεικνύεται εύκολα (ΠΓΠ-κριτήριο) ότι είναι ίσα μεταξύ τους. Aν  $\omega=|A_1\Gamma_1A_2|$ , τότε η  $\beta+\omega+\gamma=180$  μαζύ με την υπόθεση  $\alpha+\beta+\gamma>180$  συνεπάγεται ότι  $\omega<\alpha$ . Συνεπώς συγκρίνοντας τα τρίγωνα  $A_1B_1\Gamma_1$  και  $A_1\Gamma_1A_2$  που έχουν τις πλευρές τους στις κορυφές  $A_1$  και  $\Gamma_1$  αντίστοιχα ίσες και τις περιεχόμενες γωνίες άνισες ( $\omega<\alpha$ ), κατά την Πρόταση 1.10.5, συμπεραίνουμε ότι οι τρίτες πλευρές τους θα είναι αντίστοιχα άνισες  $|A_1A_2|<|B_1\Gamma_1|$ . Συγκρίνουμε τώρα τα μήκη των δύο γραμμών που ενώνουν τα  $B_1$  και  $\Gamma_\nu$ . Κατά το Πόρισμα 1.11.1 το μήκος του ευθυγράμμου τμήματος  $|B_1\Gamma_\nu|=\nu|B_1\Gamma_1|$  θα είναι μικρότερο του μήκους της τεθλασμένης γραμμής  $B_1A_1A_2A_3...A_\nu\Gamma_\nu$  το οποίο είναι  $|B_1A_1|+(\nu-1)|A_1A_2|+|A_1\Gamma_1|$ . Από την ανισότητα

$$\nu |B_1\Gamma_1| \le |B_1A_1| + (\nu - 1)|A_1A_2| + |A_1\Gamma_1|$$

λόγω της  $|A_1\Gamma_1|<|B_1\Gamma_1|$  που σημειώσαμε παραπάνω προκύπτει ότι

$$\nu|B_1\Gamma_1| < |B_1A_1| + (\nu - 1)|A_1A_2| + |B_1\Gamma_1|.$$

Από αυτήν πάλι προχύπτει με απλές πράξεις η

$$(\nu - 1)(|B_1\Gamma_1| - |A_1A_2|) < |B_1A_1|.$$

Η ανισότητα αυτή είναι αντιφατική, διότι, όπως σημειώσαμε παραπάνω το αριστερό μέλος της είναι θετικό και αυξάνει πέρα από κάθε όριο καθώς αυξάνει το ν, ενώ το δεξί είναι σταθερό. Η αντίφαση, στην οποία οδηγήθηκαμε υποθέτοντας ότι  $\alpha+\beta+\gamma>180$  συνεπάγεται ότι πρέπει να ισχύει  $\alpha+\beta+\gamma\leq180$  ο.ε.δ.

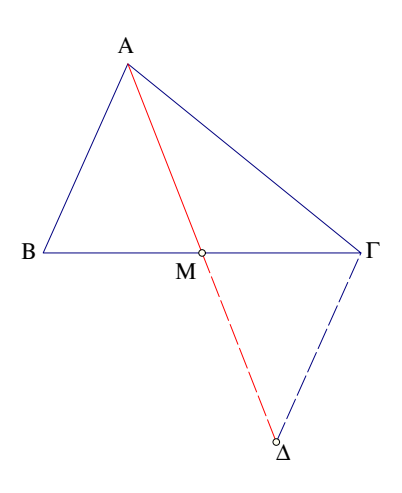
Σημείωση Στην απόδειξη αυτή (που οφείλεται στον Legendre (1752-1833) ([Bon12, σ. 55], [AP88, σ. 80])) και πάλι δεν χρησιμοποιήσαμε κάποια ιδιότητα των παραλλήλων. Τούτο το θεώρημα αποτελεί κατά κάποιο τρόπο ένα οριακό σημείο μεταξύ της Απόλυτης Γεωμετρίας και των άλλων Γεωμετριών. Αποδεικνύεται ότι αν ισχύουν τα αξιώματα γιά ευθείες, γωνίες και τρίγωνα που δεχθήκαμε στις παραγράφους 1.2-1.6 και στο επίπεδο βρεθεί κάποιο τρίγωνο

 $AB\Gamma$  με άθροισμα γωνιών  $\alpha+\beta+\gamma=180$  τότε και κάθε άλλο τρίγωνο του επιπέδου αυτού θα έχει άθροισμα γωνιών 180 και θα ισχύει η μοναδικότητα της παραλλήλου από σημείο προς ευθείαν, δηλαδή στο επίπεδο αυτό θα ισχύει η Ευκλείδεια Γεωμετρία. Παρόμοια αν στο επίπεδο βρεθεί κάποιο τρίγωνο  $AB\Gamma$  με άθροισμα γωνιών  $\alpha+\beta+\gamma<180$  τότε και σε κάθε άλλο τρίγωνο αυτού του επιπέδου το άθροισμα των γωνιών θα είναι μικρότερο του 180 και θα ισχύει ένα άλλο είδος γεωμετρίας, διαφορετικό από την Ευκλείδεια (η Υπερβολική Γεωμετρία ή γεωμετρία των Bolyai 1802-1860 και Lobatsevski 1792-1856 [AP88,  $\sigma$ . 98], που αναφέρθηκε και στην προηγούμενη παράγραφο).

'Ασκηση 1.14.1  $\Delta \epsilon$ ίξε ότι αν δύο ορθογώνια τρίγωνα έχουν ίσες υποτείνουσες και μία οξεία γωνία ίση, τότε είναι ίσα.

'Ασκηση 1.14.2  $\Delta \epsilon$ ίξε ότι αν δύο τρίγωνα είναι ίσα, τότε και τα ύψη από αντίστοιχες γωνίες προς αντίστοιχες απέναντι πλευρές είναι ίσα.

'Ασκηση 1.14.3  $\Delta \epsilon$ ίξε ότι η διάμεσος AM τρίγώνου  $AB\Gamma$  έχει μήκος μικρότερο του ημιαθροίσματος των δύο προσκειμένων πλευρών της  $(|AM|<\frac{|AB|+|A\Gamma|}{2})$ .



Σχήμα 80: Διάμεσος και προσκείμενες πλευρές

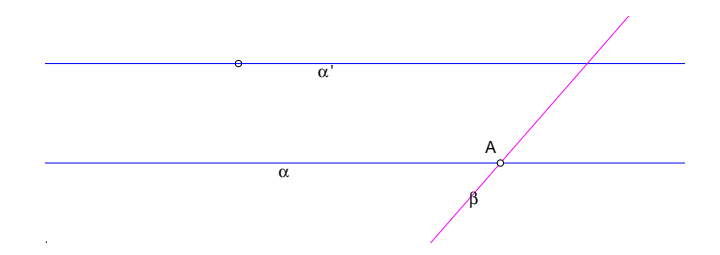
Υπόδειξη: Προέκτεινε την ΑΜ κατά το διπλάσιο έως το  $\Delta$ . Τα τρίγωνα ΑΜΒ και  $\Delta$ ΜΓ είναι ίσα ως έχοντα  $|AM|=|M\Delta|,|BM|=|M\Gamma|$  και τις περιεχόμενες γωνίες ΑΜΒ και  $\Gamma$ Μ $\Delta$  ίσες. Επομένως, από την τριγωνική ανισότητα έχουμε  $2|AM|=|A\Delta|<|A\Gamma|+|\Gamma\Delta|=|A\Gamma|+|AB|$ . Σημείωσε ότι ισχύει και η  $|AM|>\frac{1}{2}(|AB|+|A\Gamma|-|B\Gamma|)$  (Πόρισμα 3.12.2).

'Ασκηση 1.14.4  $\Delta \epsilon$ ίξε ότι αν σε τρίγωνο  $AB\Gamma$  η γωνία  $\alpha = \beta + \gamma$ , τότε υπάρχει σημείο  $\Delta$  στην  $B\Gamma$ , έτσι ώστε η  $A\Delta$  να χωρίζει το  $AB\Gamma$  σε δύο ισοσκελή τρίγωνα.

#### 1.15 Το αξίωμα των παραλλήλων

Η Ευκλείδεια Γεωμετρία, εκτός των ιδιοτήτων ευθειών, γωνιών και τριγώνων που δεχθήκαμε στις Παραγράφους 1.2-1.6, αποδέχεται και την ισχύ της μοναδικότητας της παραλλήλου, δηλαδή ότι:

**Αξίωμα 1.15.1** Από σημείο A εκτός ευθείας  $\varepsilon$  άγεται μία και μόνον παράλληλος  $\varepsilon'$  προς την  $\varepsilon$ .

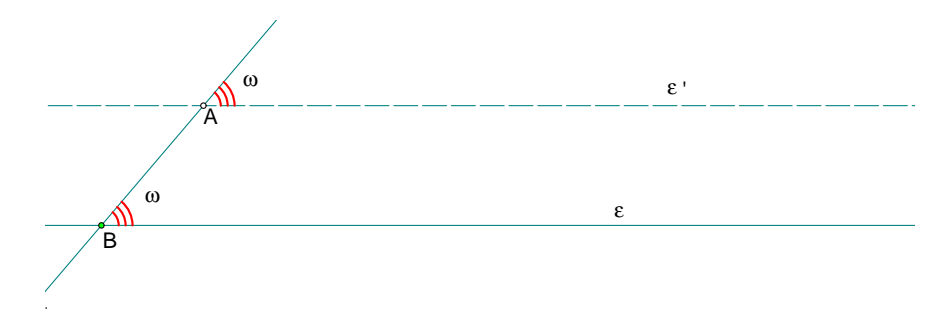


Σχήμα 81: Αν τέμνει η α τέμνει και η παράλληλος α΄

**Πόρισμα** 1.15.1  $\Delta$ είξε ότι αν η ευθεία α τέμνει την ευθεία  $\beta$ , τότε και μία παράλληλος α΄ της α θα τέμνει επίσης την  $\beta$ .

Aπόδειξη: Αν η α΄ δεν έτεμνε την β, τότε από το σημείο τομής <math>Α των α και β θα είχαμε δύο διαφορετικές παραλλήλους προς την α΄: την α και την β, που είναι άτοπο. Άρα η α΄ τέμνει και αυτή την β, ο.ε.δ.

Στην παράγραφο 1.13 είδαμε ένα τρόπο κατασκευής μιάς παραλλήλου. Γενικότερα, μπορούμε να θεωρήσουμε από το A μιά τέμνουσα AB της ε, όχι κατ' ανάγκην κάθετο στην ε (Πόρισμα 1.10.7) και να κατασκευάσουμε την παράλληλο σχηματίζοντας στο A την ίδια

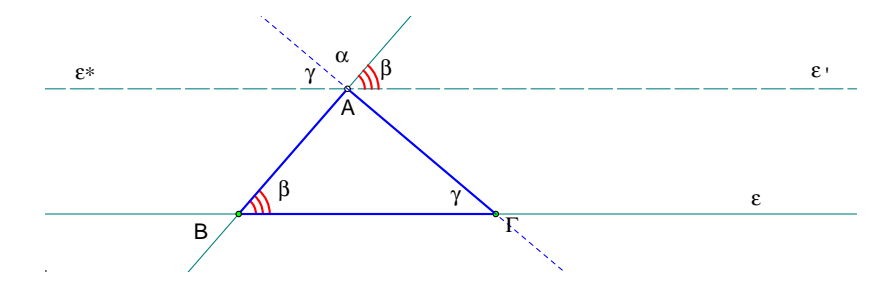


Σχήμα 82: Παράλληλος από το Α

γωνία ω που σχηματίζει η AB με την ε. Λόγω της βασικής υπόθεσης της μοναδικότητας, αυτή θα είναι η μία και μοναδική παράλληλος της ε που άγεται από το A.

Πρόταση 1.15.1 Aπό την υπόθεση της μοναδικότητας της παραλλήλου έπεται ότι το άθροισμα των μέτρων των γωνιών ενός τριγώνου  $\alpha + \beta + \gamma = 180$ .

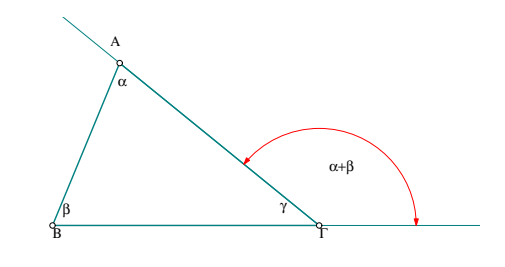
Aπόδειξη: Κάνουμε δύο φορές την κατασκευή της παραλλήλου προς την βάση  $B\Gamma$  του τριγώνου από την απέναντι κορυφή A. Την πρώτη φορά θεωρούμε τέμνουσα την AB και φέρνουμε



Σχήμα 83: Το άθροισμα γωνιών τριγώνου

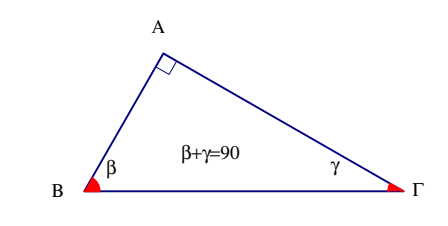
την ε΄ σχηματίζοντας στο A γωνία ίση με την  $\beta$ . Την δεύτερη φορά κάνουμε την ίδια εργασία χρησιμοποιώντας ως τέμνουσα την  $A\Gamma$  και φέρνουμε την ε\* σχηματίζοντας στο A γωνία ίση με την γ. Aπό την μοναδικότητα της παραλλήλου προκύπτει ότι ε΄=ε\* και στο A σχηματίζονται οι τρεις γωνίες του τριγώνου και το άθροισμά τους που είναι 180, ο.ε.δ.

**Πόρισμα** 1.15.2 Κάθε εξωτερική γωνία τριγώνου έχει μέτρο το άθροισμα των μέτρων των δύο εντός και απέναντι γωνιών.



Σχήμα 84: Εξωτερική γωνία τριγώνου

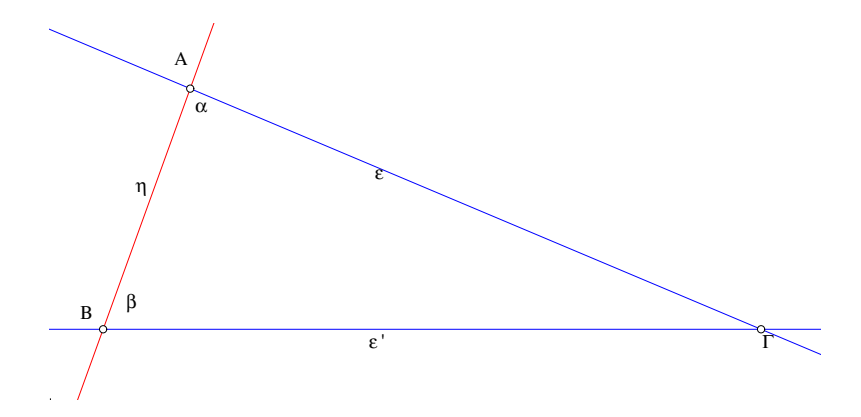
**Πόρισμα** 1.15.3  $\Sigma \epsilon$  κάθε ορθογώνιο τρίγωνο το άθροισμα των οξειών γωνιών του είναι μία ορθή γωνία.



Σχήμα 85: Οι οξείες γωνίες ορθογωνίου τριγώνου

**Πόρισμα 1.15.4** Aν ευθεία η προσπίπτουσα σε δύο άλλες ε και ε΄ τις τέμνει αντίστοιχα στα A και B σχηματίζοντας σε αυτά γωνίες εντός και επί τα αυτά μέρη α και β με α + β < 180, τότε οι ε και ε΄ τέμνονται προς το μέρος των γωνιών α και β.

Aπόδειξη: Κατ' αρχήν δεν μπορεί να μην τέμνονται, δηλαδή να είναι παράλληλοι, διότι τότε θα είχαμε α+β=180, αντίθετα με την υπόθεση. Κατόπιν δεν μπορεί να τέμνονται από την



Σχήμα 86: Το αξίωμα παραλληλίας κατά Ευκλείδη

άλλη μεριά, διότι μαζί με το σημειό τομής  $\Gamma$  θα σχηματιζόταν τρίγωνο με άθροισμα γωνιών μεγαλύτερο του 180, που είναι άτοπο, ο.ε.δ.

Σχόλιο Στα στοιχεία του Ευκλείδη το αξίωμα της παραλληλίας διατυπώνεται στην μορφή του τελευταίου πορίσματος, που εδώ αποδεικνύεται ως συνέπεια του αξιώματος παραλληλίας. Το επόμενο πρόβλημα δείχνει ότι οι δύο ιδιότητες είναι ισοδύναμες, δηλαδή αν μία από αυτές θεωρηθεί ως αξίωμα η άλλη αποδεικνύεται ως θεώρημα.

Άσκηση 1.15.1  $\Delta \epsilon$ ίξε ότι αν υποθέσουμε ότι ισχύει η ιδιότητα του τελευταίου πορίσματος, τότε μπορούμε να αποδείξουμε ότι από σημείο A εκτός ευθείας  $\varepsilon$  άγεται μία και μόνον παράλληλη προς την  $\varepsilon$ .

Υπόδειξη: Βάσει του προηγουμένου σχήματος. Έστω η παράλληλος ε\* της ε΄ από το A που κατασκευάζεται φέροντας τέμνουσα η της ε΄ από το A και παίρνοντας στο A γωνία α\* έτσι ώστε α\*+ $\beta$ =180. Μιά διαφορετική της ε\* ευθεία ε θα σχηματίζει στο A γωνία της α\* και συνεπώς από κάποια μεριά της η θα σχηματίζονται δύο γωνίες εντός και επί τα αυτά με  $\alpha + \beta < 180$ , άρα οι ευθείες θα τέμνονται από εκείνη την μεριά. Άρα υπάρχει μία και μόνο παράλληλος της ε΄ από το A.

'Ασκηση 1.15.2  $\Delta \epsilon$ ίξε την μεταβατική ιδιότητα της παραλληλίας, δηλαδή: αν η ευθεία β είναι παράλληλη της α και η ευθεία γ είναι παράλληλη της β, τότε η γ είναι και παράλληλη της α.

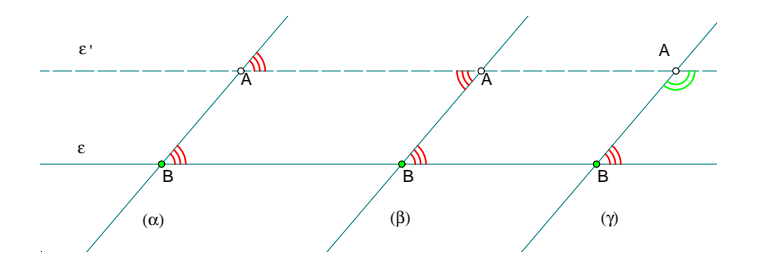
Υπόδειξη: Αναγωγή στην προηγούμενη άσκηση. Άν η γ δεν ήταν παράλληλη της α, τότε θα την έτεμνε. Τότε όμως (κατά την προηγούμενη άσκηση) και η  $\beta$  που είναι παράλληλη της α θα έτεμνε την γ, άτοπο.

 ${\bf A}$ σκηση 1.15.3  $\Delta \epsilon$ ίξε ότι αν δύο διαφορετικές ευθείες α και  $\beta$  είναι κάθε μία παράλληλη προς μίαν ευθεία ε τότε είναι και μεταξύ τους παράλληλες.

Υπόδειξη: Άν δεν ήταν παράλληλες οι α και  $\beta$ , τότε θα είχαν κοινό σημείο A και από αυτό θα υπήρχαν δύο παράλληλοι προς την ε, άτοπο.

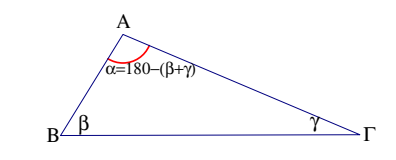
**Πόρισμα 1.15.5** Ευθεία AB προσπίπτουσα σε παραλλήλους ε και ε΄ σχηματίζει:

- α) Τις εντός εκτός (σχήμα 87 (α)) και επί τα αυτά μέρη γωνίες ίσες,
- β) Τις εντός και εναλλάξ (σχήμα 87 (β)) γωνίες ίσες,
- γ) Τις εντός και επί τα αυτά μέρη (σχήμα 87 (γ)) παραπληρωματικές.



Σχήμα 87: Ευθεία προσπίπτουσα σε δύο παραλλήλους

Πρόταση 1.15.2 Γιά κάθε ευθύγραμμο τμήμα AB και κάθε ζεύγος γωνιών  $(\beta, \gamma)$  με μέτρα  $\beta + \gamma < 180$  υπάρχει τρίγωνο  $AB\Gamma$  και γωνίες στα B και  $\Gamma$  μέτρων  $\beta$  και  $\gamma$  αντίστοιχα.



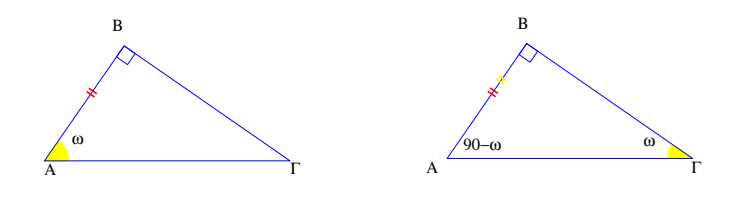
Σχήμα 88: ΓΠΓ-κατασκευή τριγώνου

Απόδειξη: Κατά το Αξίωμα 1.4.2 μπορούμε να κατασκευάσουμε τις γωνίες β και γ από την ίδια μεριά της AB, με κορυφή στα B και Γ αντίστοιχα, που έχουν μία πλευρά τους την ημιευθεία BΓ και ΓΒ αντίστοιχα. Αυτό που εξασφαλίζουμε, τώρα, είναι ότι οι δεύτερες πλευρές αυτών των γωνιών θα τέμνονται και θα ορίζουν την τρίτη κορυφή του τριγώνου Γ. Τούτο, διότι αν δεν ετέμνοντο, δηλαδή ήσαν παράλληλοι, τότε θα είχαμε δύο παραλλήλους, που θα σχημάτιζαν με την τέμνουσα αυτές ευθεία AB, εντός και επί τα αυτά μέρη γωνίες με άθροισμα μικρότερο των 180, που είναι άτοπο, ο.ε.δ.

**Πόρισμα 1.15.6** Γιά κάθε ευθύγραμμο τμήμα AB και γωνία μέτρου  $\alpha < 180$  υπάρχει ισοσκελές τρίγωνο  $AB\Gamma$  με βάση την  $B\Gamma$  και γωνία κορυφής  $\alpha$ .

Aπόδειξη: Οι γωνίες στην βάση του ισοσκελούς θα είναι  $\omega=\frac{180-\alpha}{2}$ , άρα κατασκευάζεται κατά την Πρόταση-1.15.2, ο.ε.δ.

**Πόρισμα 1.15.7** Γιά κάθε ευθύγραμμο τμήμα AB και ζεύγος γωνιών μέτρου  $\alpha + \beta = 90$  υπάρχει ορθογώνιο τρίγωνο  $AB\Gamma$  με υποτείνουσα την  $B\Gamma$  και οξείες γωνίες  $\alpha$  και  $\beta$ .

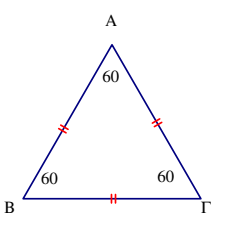


Σχήμα 89: Ορθογώνιο με προσκείμενες στην AB ω και 90 ή 90-ω και 90

**Πόρισμα 1.15.8** Γιά κάθε ευθύγραμμο τμήμα AB και οξεία γωνία μέτρου ω υπάρχει ορθογώνιο τρίγωνο  $AB\Gamma$  με μία κάθετο την AB και μία οξεία ίση με την ω.

Aπόδειξη: Όπως διατυπώνεται το πόρισμα αφήνει το περιθώριο το <math>AB να είναι απέναντι στην ω ή προσκείμενη σε αυτήν. Υπάρχουν λοιπόν δύο τρίγωνα με αυτά τα δεδομένα. Το ένα έχει προσκείμενες στην AB τις γωνίες ω και 90 και το άλλο έχει προσκείμενες στην AB τις γωνίες 90-ω και 90. Και των δύο η ύπαρξη ανάγεται στην 1.15.2, 0.15.2, 0.15.2

Άσκηση 1.15.4 (Υπαρξη ισοπλεύρου τριγώνου) Γιά κάθε θετικό αριθμό δ υπάρχει τρίγωνο ΑΒΓ που έχει όλες τις πλευρές ίσες με δ και όλες τις γωνίες του ίσες με 60. Ένα τέτοιο τρίγωνο λέγεται Ισόπλευρο. Αντίστροφα, κάθε ισόπλευρο έχει και ίσες γωνίες, κάθε μία από τις οποίες είναι 60 μοίρες.



Σχήμα 90: Το ισόπλευρο τρίγωνο

Υπόδειξη: Κατασκεύασε το τρίγωνο με βάση  $B\Gamma$  μήκους δ και προσκείμενες 60 και 60 (Πρόταση 1.15.2). Επειδή  $\alpha+\beta+\gamma=180$ , και η τρίτη γωνία θα είναι 60 μοιρών, συνεπώς το τρίγωνο θα είναι ισοσκελές με βάση οποιαδήποτε πλευρά του, άρα ισόπλευρο. Αντίστροφα, κάθε ισόπλευρο είναι ισοσκελές με βάση οποιαδήποτε πλευρά του άρα όλες οι γωνίες του είναι ίσες με α και  $3\alpha=180$  συνεπάγεται το ζητούμενο.

' $\mathbf{A}$ σκηση  $\mathbf{1.15.5}$  Κάθε τρίγωνο  $AB\Gamma$  έχει μία γωνία μικρότερη των 60 μοιρών, καθώς και δύο γωνίες με άθροισμα μεγαλύτερο των 90 μοιρών.

Υπόδειξη: Αν ήταν όλες γνήσια μικρότερες του 60, τότε και το άθροισμά τους  $\alpha+\beta+\gamma<3\cdot 60=180$ , που είναι άτοπο. Ανάλογα αποδεικνύεται και ο δεύτερος ισχυρισμός.

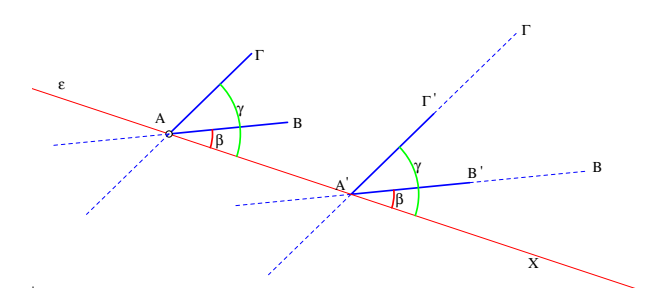
Δύο ημιευθείες AX και BY λέγονται  $\mathbf{O}$ μόρροπες όταν ή (α) ταυτίζονται ή (β) η μία από τις δύο περιέχει την άλλη ή (γ) είναι παράλληλες και η ευθεία AB που ενώνει τα άκρα τους τις αφήνει από την ίδια μεριά. Οι ημιευθείες λέγονται  $\mathbf{A}$ ντίρροπες όταν ή (α) περιέχονται στην ίδια ευθεία αλλά δεν είναι ομόρροπες ή (β) είναι παράλληλες και ευρίσκονται στις δύο μεριές της AB. Δύο ευθύγραμμα τμήματα AB και  $\Gamma\Delta$  λέγονται Oμόρροπα/Aντίρροπα όταν οι ημιευθείες που τα περιέχουν με αρχή τα A και  $\Gamma$  αντίστοιχα είναι ομόρροπες/αντίρροπες αντίστοιχα. Aπό το προηγούμενο πόρισμα προκύπτει αμέσως το επόμενο.



Σχήμα 91: Ομόρροπες και αντίρροπες ημιευθείες

**Πόρισμα 1.15.9** Δύο παράλληλες ομόρροπες ημιευθείες AX και BY σχηματίζουν με την AB ίσες εντός -εκτός και επί τα αυτά μέρη γωνίες. Δύο παράλληλες και αντίρροπες ημιευθείες έχουν τις εντός και εναλλάξ γωνίες ίσες.

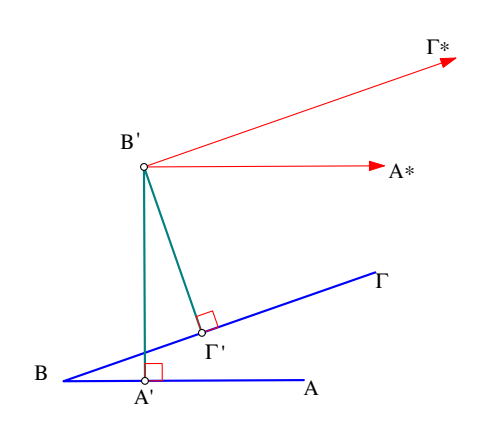
**Πόρισμα 1.15.10**  $\Delta$ ύο γωνίες που έχουν τις πλευρές τους παράλληλες είναι ίσες ή παραπληρωματικές.



Σχήμα 92: Γωνίες ΒΑΓ, ΒΆΓ με παράλληλες πλευρές

Aπόδειξη: Έστω ότι οι γωνίες BAΓ και BΑΓ έχουν τις πλευρές τους παράλληλες. Αν οι κορυφές τους A και A' ταυτίζονται τότε θα ταυτίζονται και οι ευθείες που ορίζονται από τις πλευρές τους και το συμπέρασμα είναι προφανές. Aν οι κορυφές δεν ταυτίζονται τότε φέρνουμε από το A' ημιευθείες ομόρροπες προς τις πλευρές της BAΓ που αφενός σχηματίζουν μία γωνία ίση με την BAΓ (Πόρισμα 1.15.9) και αφ' ετέρου οι πλευρές τους είναι στις ίδιες ευθείες με αυτές της γωνίας BΑΓ', άρα θα σχηματίζουν ή ίσες με αυτήν γωνία ή παραπληρωματική αυτής, ο.ε.δ.

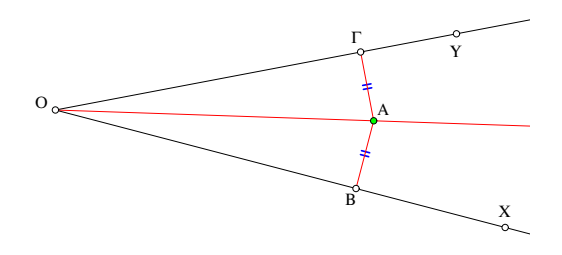
**Πόρισμα 1.15.11**  $\Delta$ ύο γωνίες που έχουν τις πλευρές τους αντίστοιχα κάθετες είναι ίσες ή παραπληρωματικές.



Σχήμα 93: Γωνίες με πλευρές αντίστοιχα κάθετες

Aπόδειξη: Έστω ότι οι γωνίες  $AB\Gamma$  και  $A'B'\Gamma'$  έχουν τις πλευρές τους κάθετες, δηλαδή η ευθεία AB είναι κάθετη στην A'B' και η  $B\Gamma$  κάθετη στην  $B'\Gamma'$ . Από το B' φέρνουμε παράλληλες ομόρροπες ημιευθείες προς τις πλευρές της  $AB\Gamma$ . Τότε σχηματίζεται μία γωνία  $A*B'\Gamma*$  ίση της  $AB\Gamma$  και με πλευρές κάθετες σε αυτές της  $AB\Gamma$ . Το συμπέρασμα συνάγεται από την  $\Pi$ ρόταση 1.5.2, ο.ε.δ.

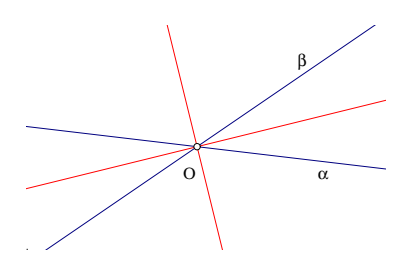
**Πόρισμα 1.15.12** Εστω σημείο A της διχοτόμου γωνίας XOY. Οι αποστάσεις AB και  $A\Gamma$  του σημείου από τις πλευρές της γωνίας είναι ίσες. Aντίστροφα: αν σημείο A απέχει ίσες αποστάσεις από τις πλευρές της γωνίας XOY τότε είναι επί της διχοτόμου της.



Σχήμα 94: Ιδιότητα της διχοτόμου

Aπόδειξη: Τα ορθογώνια τρίγωνα ΟΑΓ και ΟΑΒ έχουν κοινή την ΟΑ και τις προσκείμενες γωνίες ίσες, άρα (ΓΠΓ-κριτήριο) θα είναι ίσα και επομένως |AΓ|=|AB|. Αντίστροφα: αν ισχύει η προηγούμενη ισότητα, τότε τα τρίγωνα ABO και ΑΓΟ είναι ίσα. Αυτό φαίνεται τοποθετώντας τα έτσι ώστε να συμπέσουν οι ορθές γωνίες τους B και  $\Gamma$  και η  $\Gamma$ A με την BA. Τότε και οι υποτείνουσες των ορθογωνίων που είναι ίσες με την ΟΑ θα πρέπει να συμπέσουν (Πόρισμα 1.10.6) και τα τρίγωνα θα έχουν και τις τρεις πλευρές τους ίσες, ο.ε.δ.

Άσκηση 1.15.6 Ο γεωμετρικός τόπος των σημείων που ισαπέχουν από δύο διαφορετικές, τεμνόμενες σε σημείο Ο, ευθείες α και β, αποτελείται από δύο κάθετες ευθείες διερχόμενες από το σημείο τομής των α και β. Οι ευθείες αυτές συμπίπτουν με τις διχοτόμους των γωνιών που σχηματίζονται από τις α και β στο Ο.

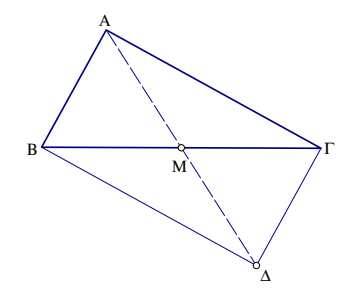


Σχήμα 95: Διχοτόμοι γωνιών δύο ευθειών

Υπόδειξη: Άμεση εφαρμογή του Πορίσματος 1.15.12.

**Πόρισμα 1.15.13** Σε κάθε ορθογώνιο τρίγωνο η διάμεσος προς την υποτείνουσα είναι ίση με το ήμισυ αυτής και χωρίζει το ορθογώνιο σε δύο ισοσκελή τρίγωνα.

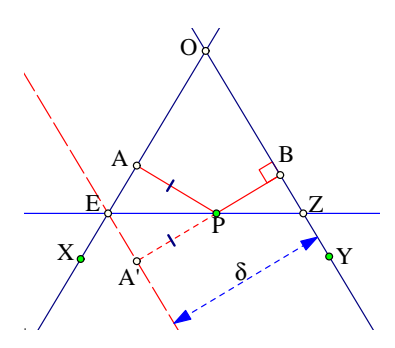
Aπόδειξη: Προέκτεινε την διάμεσο AM μέχρι διπλασιασμού στο  $\Delta$  ( $|AM|=|M\Delta|$  στο σχήμα 96). Εφαρμόζοντας το ΠΓΠ-κριτήριο βλέπουμε εύκολα ότι τα τρίγωνα AMB και  $\Gamma M\Delta$  είναι ίσα, αλλά και τα  $AM\Gamma$  και  $BM\Delta$  είναι επίσης ίσα. Τότε, εφαρμόζοντας το ΠΠΠ-κριτήριο βλέπουμε ότι και τα τρίγωνα  $AB\Gamma$  και  $B\Gamma\Delta$  είναι ίσα και η γωνία  $A\Gamma\Delta$  είναι ορθή ( $|A\Gamma\Delta|=|A\Gamma B|+|B\Gamma\Delta|=|A\Gamma B|+|\Gamma BA|=90^\circ$ ). Συνάγεται ότι και τα τρίγωνα  $AB\Gamma$  και  $A\Gamma\Delta$  είναι ίσα, ως ορθογώνια με ίσες αντίστοιχες κάθετες πλευρές ( $\Pi\Gamma\Pi$ -κριτήριο). Έπεται ότι και οι διάμεσοί τους προς το M θα είναι ίσες ( $|AM|=|\Gamma M|$ ), που είναι ακριβώς το αποδεικτέον. Τα δύο ισοσκελή που αναφέρονται στο θεώρημα είναι τα AMB και  $AM\Gamma$ , ο.ε.δ.



Σχήμα 96: Ιδιότητα της διαμέσου ορθογωνίου τριγώνου

Άσκηση 1.15.7  $\Delta \epsilon$ ίξε το αντίστροφο του προηγουμένου πορίσματος. Εάν η διάμεσος AM τριγώνου  $AB\Gamma$  είναι το μισό της πλευράς  $B\Gamma$ , τότε το τρίγωνο είναι ορθογώνιο στο A.

Άσκηση 1.15.8 Δίδεται γωνία XOY και σημείο P κινούμενο στο εσωτερικό της έτσι ώστε το άθροισμα των αποστάσεών του από τις ευθείες OX και OY να είναι σταθερό:  $|PA| + |PB| = \delta$ . Να βρεθεί ο γεωμετρικός τόπος του σημείου P.



Σχήμα 97: Τόπος σταθερού αθροίσματος αποστάσεων

Υπόδειξη: Προέκτεινε το PB κατά προς το μέρος του P και κατά τμήμα ίσο με το PA, έως το A΄. Το BA΄ έχει σταθερό μήκος δ, άρα το A΄ περιέχεται στην παράλληλο της OY σε απόσταση δ απ' αυτήν και από την μεριά της OY που είναι και το X (Άσκηση 1.13.1). Αυτή είναι μιά ευθεία που κατασκευάζεται από τα δεδομένα και τέμνει την OX στο E. Τα ορθογώνια τρίγωνα PEA και PEA΄ είναι ίσα (Άσκηση 1.10.1), άρα η PE είναι διχοτόμος της γωνίας OEA΄. Αντίστροφα, κάθε σημείο P αυτής της διχοτόμου έχει ίσες αποστάσεις από τις πλευρές της γωνίας OEA΄: |PA| = |PA'|. Προεκτείνοντας την PA΄ μέχρι το B της ευθείας ΟΥ βλέπουμε ότι το P έχει άθροισμα αποστάσεων  $|PA| + |PB| = \delta$ , άρα είναι σημείο του τόπου (δες και Άσκηση 2.5.1).

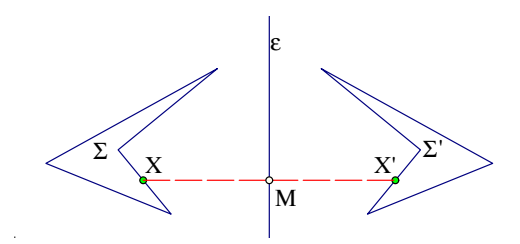
Άσκηση 1.15.9 Έστω ότι οι εσωτερικές διχοτόμοι των γωνιών B και  $\Gamma$  του τριγώνου  $AB\Gamma$  τέμνονται στο σημείο  $\Delta$ .  $\Delta$ είξε ότι το μέτρο της γωνίας  $B\Delta\Gamma$  ισούται με  $\frac{\alpha}{2} + 90$ , όπου  $a = |BA\Gamma|$ .

Άσκηση 1.15.10  $\Delta$ είξε ότι από σημείο  $\Delta$  της βάσης  $B\Gamma$  τριγώνου  $AB\Gamma$  άγονται τέσσερις ακριβώς ευθείες που αποτέμνουν από το τρίγωνο  $AB\Gamma$  ένα άλλο τρίγωνο με τις ίδιες γωνίες.

Άσκηση 1.15.11 Να κατασκευασθεί παράλληλος και ομόρροπος  $\Delta E$  προς την βάση  $B\Gamma$  τριγώνου  $AB\Gamma$ , έτσι ώστε  $|\Delta E|=|B\Delta|+|E\Gamma|$ .

## 1.16 Συμμετρίες

Υπάρχουν πολλά είδη συμμετρίας στα οποία, γιά διάφορους λόγους, αρέσκονται οι Μαθηματικοί.  $\Delta$ ύο από τα πιό απλά είναι αυτό της αξονικής συμμετρίας και της σημειακής συμμετρίας. Η πρώτη καθορίζεται πλήρως από μία ευθεία και η δεύτερη από ένα σημείο.  $\Delta$ οθείσης λοιπόν ευθείας ε, ονομάζουμε  $\Sigma$ υμμετρία ως προς την ευθεία ε την αντι-

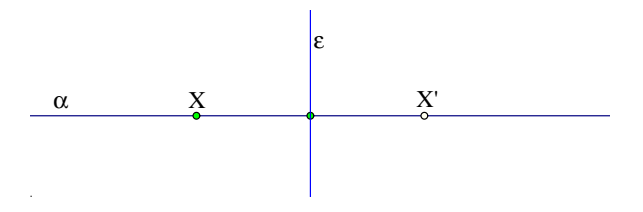


Σχήμα 98: Συμμετρία ως προς άξονα

στοίχιση σε κάθε σημείο X, εκτός της ε, ενός σημείου X', έτσι ώστε το ευθύγραμμο τμήμα XX' να είναι κάθετο στην ε και να έχει το μέσον του M επί της ε. Με άλλα λόγια το XX' έχει την ε ως μεσοκάθετο. Το X' λέγεται Συμμετρικό του X ως προς ε. Όταν το σημείο X είναι επί της ε, τότε θεωρούμε ότι το X' ταυτίζεται με το X και αντίστροφα όταν τα X και X' ταυτίζονται, τότε το X είναι επί της ευθείας ε. Η συμμετρία ως προς ε είναι η μαθηματική περιγραφή του διπλώματος του επιπέδου, σαν να ήταν από χαρτί, κατά μήκος της ε. Τα σημεία που ταυτίζονται κατά το δίπλωμα είναι ακριβώς συμμετρικά ως προς ε. Τα σημεία της ε, κατά το δίπλωμα μένουν ως έχουν (είναι μόνα τους, δεν έχουν ταίρι). Συχνά η ευθεία ε λέγεται 'Αξονας συμμετρίας και η συμμετρία αυτή χαρακτηρίζεται ως Αξονική συμμετρία. Από τον ορισμό προκύπτει ότι το συμμετρικό του συμμετρικού είναι το αρχικό σημείο. Τα σημεία του άξονα είναι τα Σταθερά σημεία της αξονικής συμμετρίας.

Λέμε ότι δύο σχήματα  $\Sigma$  και  $\Sigma'$  είναι  $\Sigma$ υμμετρικά ως προς άξονα, όταν υπάρχει αξονική συμμετρία έτσι ώστε κάθε σημείο X του  $\Sigma$  να έχει το συμμετρικό του στο  $\Sigma'$  και κάθε σημείο X' του  $\Sigma'$  να έχει το συμμετρικό του στο  $\Sigma$  (σχήμα-98). Ένα σχήμα  $\Sigma$  λέγεται  $\Sigma$ υμμετρικό ως προς άξονα όταν το  $\Sigma$  είναι συμμετρικό με τον εαυτό του ως προς άξονα. Αυτό σημαίνει ότι σε κάθε X του  $\Sigma$  το συμμετρικό X' του X περιέχεται πάλι στο  $\Sigma$ .

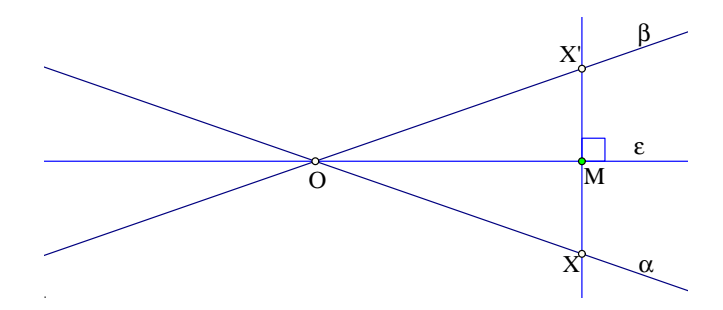
Πρόταση 1.16.1 Κάθε ευθεία α είναι συμμετρική ως προς μία ευθεία  $\varepsilon$  κάθετη στην  $\alpha$ .



Σχήμα 99: Ευθεία α συμμετρική ως προς  $\varepsilon$ 

Aπόδειξη: Εξ ορισμού το XX' θα είναι κάθετο στην ε, άρα η ευθεία XX' θα συμπίπτει με την α, ο.ε.δ.

**Πρόταση 1.16.2** Το σχήμα που αποτελείται από δύο τεμνόμενες ευθείες α και  $\beta$  είναι συμμετρικό ως προς τις διχοτόμους των γωνιών που σχηματίζουν.

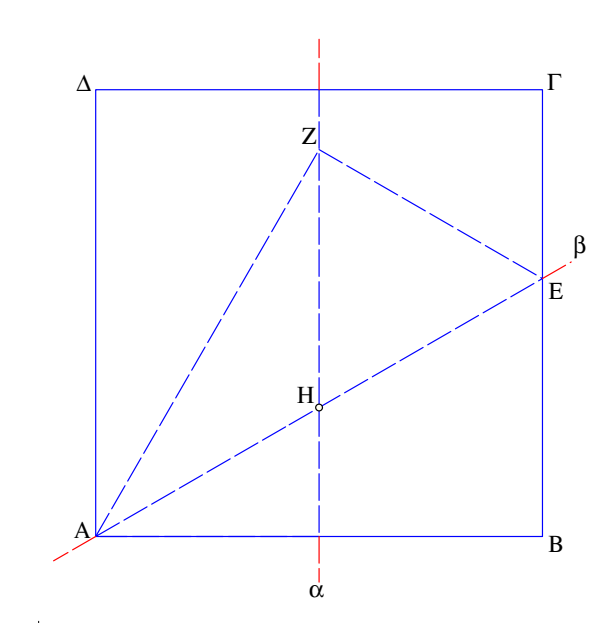


Σχήμα 100: Ευθείες α,β συμμετρικές ως προς ε

Aπόδειξη: Αν <math>X τυχόν σημείο της α και X' το συμμετρικό του X ως προς την διχοτόμο ε, τότε το τρίγωνο XX'O, όπου O το σημείο τομής των α και β, είναι ισοσκελές. Αυτό φαίνεται από την ισότητα των ορθογωνίων τριγώνων OMX και OMX', που έχουν την OM κοινή και την |MX| = |MX'| από τον ορισμό της συμμετρίας. Συνεπώς η OM θα διχοτομεί την γωνία στην κορυφή O. Επειδή εξ υποθέσεως η ε είναι και διχοτόμος της γωνίας των α και β, η ευθεία OX' και η β θα συμπίπτουν, άρα το X' θα περιέχεται στην β, ο.ε.δ.

Σχόλιο Η αξονική συμμετρία βρίσκεται στην ρίζα της τέχνης του διπλώματος φύλλου χαρτιού με κατάλληλο τρόπο, ώστε, μετά από ορισμένα διπλώματα να σχηματίζονται ενδιαφέροντα σχήματα. Η τέχνη αυτή που αναπτύχθηκε ιδιαίτερα στην Ιαπωνία λέγεται Origami ([Alp00]). Η επόμενη άσκηση [Row17, σ. 11] δείχνει πώς με το κατάλληλο δίπλωμα ενός τετράγωνου φύλλου χαρτιού μπορούμε να φτιάξουμε την γωνία 30 και 60 μοιρών.

Άσκηση 1.16.1  $\Delta$ ίπλωσε ένα τετράγωνο φύλλο χαρτιού  $AB\Gamma\Delta$  στο μέσον. Κατόπιν ξεδίπλωσέ το ώστε να φαίνεται το ίχνος της ευθείας α κατά μήκος της οποίας διπλώθηκε το χαρτι. Κατόπιν ξαναδίπλωσε από την γωνία B, έως ότου το B πέσει σε σημείο Z της α ενώ το A παραμένει στην θέση του. Κατόπιν ξεδίπλωσε ώστε να φανεί το ίχνος της  $\beta$ , κατά μήκος της οποίας έγινε το δεύτερο δίπλωμα.  $\Delta$ είξε ότι η γωνία των α και  $\beta$  είναι 60 μοιρών.



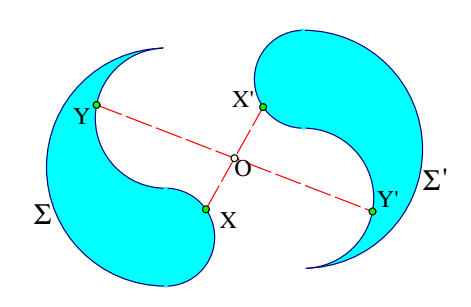
Σχήμα 101: Origami κατασκευή γωνίας 30 μοιρών

Υπόδειξη: Κατά το δεύτερο δίπλωμα η AB παίρνει την θέση της AZ, άρα |AZ|=|AB|. Όμως η α είναι μεσοκάθετος της AB, άρα |ZA|=|ZB| (η ZB δεν σχεδιάσθηκε στο σχήμα-101). Συνεπώς το τρίγωνο ABZ είναι ισόπλευρο. Όμως η α είναι κάθετη στην AB και η B κάθετη στην πλευρά BZ του ισοπλεύρου, άρα και η γωνία των α και B είναι BZ είναι BZ του ισοπλεύρου, άρα και η γωνία των α και BZ είναι BZ του ισοπλεύρου, άρα και η γωνία των α και BZ είναι BZ του ισοπλεύρου, άρα και η γωνία των α και BZ είναι BZ του ισοπλεύρου, άρα και η γωνία των α και BZ είναι BZ του ισοπλεύρου, άρα και η γωνία των α και BZ είναι BZ του ισοπλεύρου, άρα και η γωνία των α και BZ είναι BZ του ισοπλεύρου, άρα και η γωνία των α και BZ είναι BZ του ισοπλεύρου, άρα και η γωνία των α και BZ είναι BZ του ισοπλεύρου, άρα και η γωνία των α και BZ είναι BZ του ισοπλεύρου, άρα και η γωνία των α και BZ είναι BZ του ισοπλεύρου AZ είναι η γωνία των α και BZ είναι BZ του ισοπλεύρου AZ είναι η γωνία των α και BZ είναι BZ είναι BZ του ισοπλεύρου AZ είναι η γωνία των α και BZ είναι BZ είναι BZ είναι είναι η γωνία των α και BZ είναι BZ είναι είνα



Σχήμα 102: Συμμετρία ως προς σημείο Ο

Δοθέντος σημείου O, ονομάζουμε  $\Sigma$ υμμετρία ως προς το σημείο O, την αντιστοίχιση σε κάθε σημείο X, διαφορετικού του O, ενός σημείου X', έτσι ώστε το ευθύγραμμο τμήμα XX' να έχει μέσον το O. Το X' λέγεται  $\Sigma$ υμμετρικό του X ως προς O.  $\Omega$ ς συμμετρικό του O θεωρούμε τον εαυτό του. Αντίστροφα, αν το X ταυτίζεται με το συμμετρικό του ως προς O τότε το X ταυτίζεται με το O. Το O λέγεται  $\mathbf{K}$ έντρο της συμμετρίας και η συμμετρία αυτή χαρακτηρίζεται ως  $\mathbf{\Sigma}$ ημειακή συμμετρία. Από τον ορισμό προκύπτει ότι το συμμετρικό του συμμετρικού είναι το αρχικό σημείο. Το O είναι το μοναδικό  $\mathbf{\Sigma}$ ταθερό σημείο της σημειακής συμμετρίας. Λέμε ότι δύο σχήματα  $\mathbf{\Sigma}$  και  $\mathbf{\Sigma}'$  είναι  $\mathbf{\Sigma}$ υμμε-



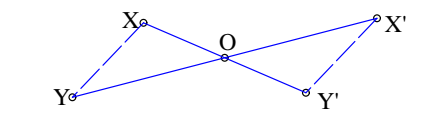
Σχήμα 103: Σχήματα συμμετρικά ως προς σημείο

τρικά ως προς σημείο, όταν υπάρχει σημειακή συμμετρία έτσι ώστε κάθε σημείο X του  $\Sigma$  να έχει το συμμετρικό του στο  $\Sigma'$  και κάθε σημείο X' του  $\Sigma'$  να έχει το συμμετρικό του στο  $\Sigma$  (σχήμα-103). Ένα σχήμα  $\Sigma$  λέγεται  $\Sigma$ υμμετρικό ως προς σημείο όταν το  $\Sigma$  είναι συμμετρικό με τον εαυτό του ως προς σημείο. Αυτό σημαίνει ότι σε κάθε X του  $\Sigma$  το συμμετρικό X' του X περιέχεται πάλι στο  $\Sigma$ .

'Ασκηση 1.16.2  $\Delta \epsilon$ ίξε ότι μία ευθεία είναι συμμετρική  $\omega \varsigma$  προς κάθε σημείο της O.

Η σημαντικότερη ιδιότητα αυτών των δύο συμμετριών που ορίσαμε είναι η ισότητα αντιστοίχων αποστάσεων και γωνιών.

Πρόταση 1.16.3 Εάν τα σχήματα  $\Sigma$  και  $\Sigma'$  είναι συμμετρικά ως προς άξονα ή ως προς σημείο, τότε οι αποστάσεις δύο σημείων |XY| και των αντιστοίχων σημείων τους |X'Y'| είναι ίσες.

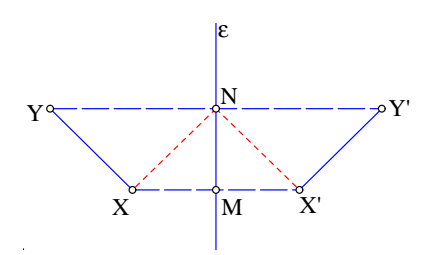


Σχήμα 104: Συμμετρία ως προς σημείο διατηρεί αποστάσεις

Απόδειξη: Η περίπτωση της συμμετρίας ως προς σημείο είναι απλή. Αν τα <math>(X, X') και (Y, Y') είναι συμμετρικά ως προς σημείο O, τότε εξ ορισμού οι αποστάσεις

$$|XO| = |OX'|, \ \kappa \alpha \iota \ |YO| = |OY'|.$$

Τότε τα τρίγωνα XOY και X'OY' είναι ίσα (ΠΓΠ-κριτήριο), άρα και |XY|=|X'Y'|. Αν τα (X,X') και (Y,Y') είναι συμμετρικά ως προς άξονα τότε τα μέσα M και N των XX' και YY'



Σχήμα 105: Συμμετρία ως προς άξονα διατηρεί αποστάσεις

αντίστοιχα ευρίσκονται επί του άξονος ε και το N είναι επί της μεσοκαθέτου του XX', άρα το τρίγωνο XX'N είναι ισοσκελές. Συνεπώς |NX|=|NX'| και οι γωνίες |YNX|=|Y'NX'|. Τότε όμως τα τρίγωνα XNY και X'NY' είναι ίσα, ως έχοντα |XN|=|NX'|, |YN|=|NY'| και περιεχόμενη γωνία |XNY|=|X'NY'|, ο.ε.δ.

**Πόρισμα 1.16.1** Εάν τα σχήματα  $\Sigma$  και  $\Sigma'$  είναι συμμετρικά ως προς άξονα ή ως προς σημείο, τότε τα τρίγωνα που σχηματίζουν τρία μη-συνευθειακά σημεία X, Y και Z του  $\Sigma$  και τα αντίστοιχά τους X',Y' και Z' του  $\Sigma'$  είναι ίσα.

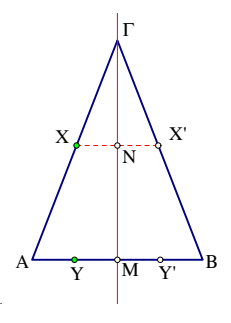
Aπόδειξη: Έπεται άμεσα από την προηγούμενη πρόταση, αφού τότε |XY|=|X'Y'|, |YZ|=|Y'Z'|, |ZX|=|Z'X'| και το συμπέρασμα προκύπτει εφαρμόζοντας το ΠΠΠ-κριτήριο ισότητας τριγώνων, ο.ε.δ.

Πόρισμα 1.16.2 Εάν τα σχήματα  $\Sigma$  και  $\Sigma'$  είναι συμμετρικά ως προς άξονα ή ως προς σημείο, τότε οι γωνίες XYZ και XY'Z' που σχηματίζουν τρία σημεία X, Y και Z του  $\Sigma$  και τα αντίστοιχά τους X', Y' και Z' του  $\Sigma'$  είναι ίσες.

Aπόδειξη: Έπεται άμεσα από την προηγούμενη πρόταση, λόγω της ισότητας των αντιστοίχων γωνιών των ίσων τριγώνων XYZ και X'Y'Z', ο.ε.δ.

Το κλασικό παράδειγμα συμμετρικού σχήματος ως προς άξονα είναι το ισοσκελές τρίγωνο. Ο άξονας συμμετρίας του είναι η διάμεσος προς την βάση του που είναι και διχοτόμος της γωνίας στην κορυφή του και ταυτόχρονα ύψος προς την βάση (Πόρισμα 1.8.2).

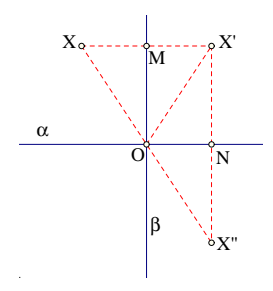
**Πρόταση 1.16.4** H ευθεία  $\varepsilon$  που ενώνει την κορυφή του ισοσκελούς με το μέσον της βάσης του είναι άξονας συμμετρίας του τριγώνου.



Σχήμα 106: Άξονας συμμετρίας του ισοσκελούς

Aπόδειξη: Η συμμετρία των σημείων Y, Y' της βάσης (σχήμα 106) είναι προφανής. Από την άλλη μεριά χάθε παράλληλος προς την βάση τέμνει τα σχέλη σε σημεία X, X' συμμετριχά ως προς την διάμεσο  $\Gamma M$ , αφού χαι το  $X\Gamma X'$  είναι ισοσχελές ( $|\Gamma XX'| = |\Gamma X'X|$  λόγω της παραλληλίας των πλευρών τους προς τις  $\Gamma AM$  χαι  $\Gamma BM$  αντίστοιχα) χαι η διάμεσός του συμπίπτει με την  $\Gamma M$  χαι είναι χάθετος στην XX' (Πόρισμα 1.8.2), ο.ε.δ.

Πρόταση 1.16.5 Εάν ένα σχήμα είναι συμμετρικό ως προς δύο άξονες α και  $\beta$  που είναι κάθετοι, τότε είναι συμμετρικό ως προς κέντρο O, όπου O το σημείο τομής των δύο αξόνων.



Σχήμα 107: Σημειαχή από δύο αξονικές συμμετρίες

Aπόδειξη: Πράγματι, έστω σημείο X και X' το συμμετρικό του ως προς άξονα α και X'' το συμμετρικό του X' ως προς τον άξονα β. Εξ ορισμού τα XX'Ο και X'ΟX'' είναι ισοσκελή, άρα |OX| = |OX''|. Επίσης οι γωνίες XΟΜ και MΟX' είναι ίσες και οι X'ΟΝ και NΟX'' επίσης είναι ίσες. Συνεπώς η XΟX'' θα είναι διπλάσια της MΟΝ, που είναι άθροισμα των MΟX' και X'ΟΝ. Όμως η MΟΝ είναι εξ υποθέσεως ορθή, άρα η διπλάσιά της θα είναι πεπλατυσμένη, δηλαδή τα X, Ο και X'' θα είναι στην ίδια ευθεία, ο.ε.δ.

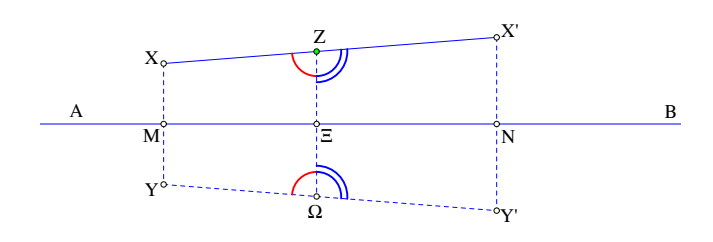
' ${f A}$ σκηση 1.16.3  $\Delta \epsilon$ ίξ $\epsilon$  ότι αν τρίγωνο  $\epsilon \chi \epsilon$ ι άξονα συμμ $\epsilon$ τρίας τότ $\epsilon$  είναι ισοσκ $\epsilon \lambda \dot{\epsilon} \varsigma$ .

 $\Upsilon$ πόδειξη: Αν ε ο άξονας συμμετρίας, τότε μία τουλάχιστον χορυφή του τριγώνου, έστω η B, δεν θα περιέχεται σε αυτόν. Το συμμετριχό του B ως προς ε θα είναι πάλι χορυφή του τριγώνου, έστω  $\Gamma$ . Τότε η γωνία στο B θα αντιστοιχεί στην γωνία στο  $\Gamma$  και οι δύο γωνίες θα είναι ίσες, άρα το τρίγωνο ισοσκελές.

'Ασκηση 1.16.4  $\Delta \epsilon$ ίξε ότι ένα τρίγωνο είναι ισοσκελές τότε και μόνον, όταν έχει άξονα συμμετρίας.

 $\Upsilon$ πόδειξη: Συνδύασε την προηγούμενη άσκηση με την Πρόταση 1.16.4.

Άσκηση 1.16.5  $\Delta \epsilon$ ίξε ότι αν τα σημεία Y, Y' είναι συμμετρικά των X, X' (ως προς άξονα ή σημείο), τότε το συμμετρικό κάθε σημείου Z της ευθείας XX' είναι σημείο  $\Omega$  επί της ευθείας YY'.



Σχήμα 108: Συμμετρική ευθείας ως προς άξονα

 $\Upsilon$ πόδειξη: Γιά την αξονική συμμετρία. Έστω ότι τα Y,Y' είναι συμμετρικά των X,X' ως προς άξονα AB. Έστω και  $\Omega$  το συμμετρικό τυχόντος σημείου Z της XX' ως προς την AB. Οι γωνίες  $XZ\Xi$  και  $Y\Omega\Xi$  είναι ίσες (Πόρισμα 1.16.2). Ομοίως οι γωνίες  $\Xi ZX'$  και  $\Xi \Omega Y'$  είναι ίσες. Όμως οι  $XZ\Xi$  και  $\Xi ZX'$  είναι παραπληρωματικές, άρα και οι  $Y\Omega\Xi$  και  $\Xi \Omega Y'$  θα είναι παραπληρωματικές και τα τρία σημεία, Y,  $\Omega$  και Y' θα είναι επ' ευθείας. Ανάλογα αποδεικνύεται και η ιδιότητα γιά σημειακή συμμετρία.

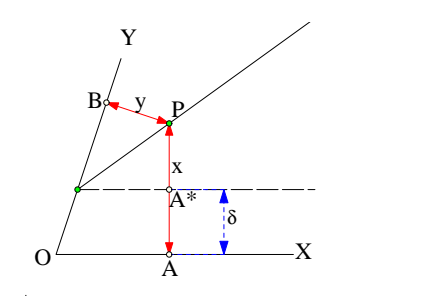
'Ασκηση 1.16.6 Δοθέντων τριών μη συνευθειακών σημείων προσδιόρισε ευθεία από την οποία τα τρία σημεία να απέχουν την ίδια απόσταση (τρεις λύσεις).

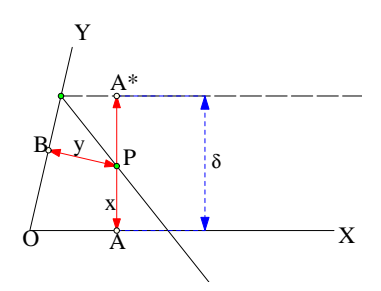
Άσκηση 1.16.7  $\Delta$ οθέντων δύο ίσων ευθυγράμμων τμημάτων AB,  $A\Gamma$ , να βρεθεί σημείο  $\Delta$  επί δοθέντος κύκλου κ έτσι ώστε οι γωνίες  $A\Delta B$  και  $A\Delta \Gamma$  να είναι ίσες. Να εξετασθεί πότε υπάρχει λύση του προβλήματος.

Άσκηση 1.16.8  $\Delta$ ίδεται γωνία XOY και σταθερός αριθμός δ.  $\Delta$ είξε ότι ο γεωμετρικός τόπος των σημείων P γιά τα οποία οι αποστάσεις x=|PA|,y=|PB| από τις OX και OY αντίστοιχα, ικανοποιούν τις εξισώσεις

$$x - y = \delta, \quad x + y = \delta,$$

είναι αντίστοιχα δύο ευθείες. Βρες τα σημεία τομής αυτών των ευθειών με τις πλευρές (ή προεκτάσεις) της γωνίας XOY. Ποιές είναι οι θέσεις αυτών των ευθειών όταν το  $\delta$ =0;

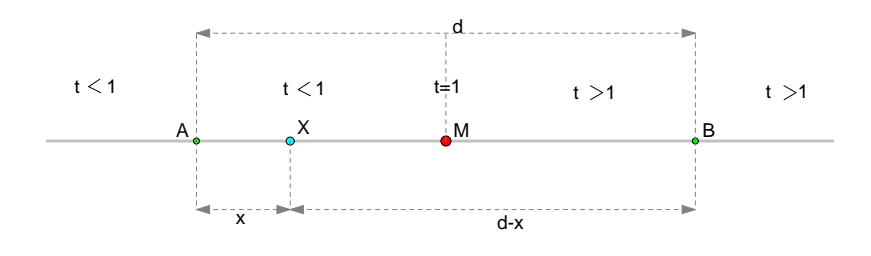




Σχήμα 109: Ευθεία οριζόμενη από εξίσωση

# 1.17 Λόγοι, Αρμονικές τετράδες

Στην παράγραφο αυτή εξετάζουμε πως ο λόγος των αποστάσεων ενός σημείου X ευθείας ε από δύο άλλα σταθερά σημεία A και B της ευθείας καθορίζει την θέση του X. Γιά δύο σταθερά σημεία A και B και προκαθορισμένο λόγο t αποδεικνύεται ότι υπάρχουν δύο ακριβώς σημεία X, X' που έχουν τον λόγο t ως προς τα A, B. Έτσι φτάνουμε στον ορισμό της  $A\rho\mu$ ονικής τετράδας (A,B,X,X') τεσσάρων σημείων πάνω σε μία ευθεία. Μιά έννοια με πολλές χρήσεις στην Γεωμετρία. Ας συμβολίζουμε με x το μήκος x = |AX|. Τότε εύκολα βλέπουμε ότι ο



Σχήμα 110: Λόγος  $t=\frac{|XA|}{|XB|}$ 

λόγος  $t=\frac{|XA|}{|XB|}$  είναι μικρότερος του 1 όταν το X είναι επί της ημιευθείας με άκρο το μέσον M του AB που περιέχει το A και μεγαλύτερος του 1 επί της αντικειμένης της ημιευθείας, που είναι η περιέχουσα το B. Aν d=|AB| το μήκος του AB τότε έχουμε γιά τα σημεία X εντός του AB:

$$t = \frac{x}{d-x} \iff x = \frac{dt}{1+t} \gamma \iota \alpha \ t > 0. \tag{1}$$

 $\Gamma$ ιά τα σημεία εκτός του ευθυγράμμου τμήματος AB και από την μεριά του A:

$$t = \frac{x}{d+x} \quad \Leftrightarrow \quad x = \frac{dt}{1-t} \quad \gamma \iota \alpha \quad t < 1. \tag{2}$$

Παρόμοια γιά τα σημεία εκτός του ευθυγράμμου τμήματος ΑΒ και από την μεριά του Β:

$$t = \frac{x}{x - d} \iff x = \frac{dt}{t - 1} \gamma \iota \alpha \ t > 1. \tag{3}$$

Βλέπουμε ότι εκτός της τιμής του λόγου t=1 που αντιστοιχεί σέ ένα ακριβώς σημείο, το μέσον  ${\bf M}$  του  ${\bf AB}$ , γιά όλες τις άλλες τιμές του t>0 υπάρχουν δύο σημεία X,X' που έχουν λόγο  $\frac{|XA|}{|XB|} = t$ . Το ένα  $({\bf X})$  είναι εντός και το βρίσκουμε από την εξίσωση (1) και το άλλο  $({\bf X}')$  είναι εκτός του  ${\bf AB}$  και το βρίσκουμε από την εξίσωση (2) ή (3), ανάλογα με το αν το t<1 ή t>1.

Γιά παράδειγμα t=2, δηλαδή  $\frac{|XA|}{|XB|}=2$ , συνεπάγεται ότι το X είναι στην ημιευθεία του M από την μεριά του B. Το εντός του AB σημείο X το βρίσκουμε από την εξίσωση (1):  $x=\frac{2d}{3}$  και το εκτός του AB σημείο X' το βρίσκουμε από την εξίσωση (3):  $x=\frac{2d}{1}=2d$ . Αποδείξαμε λοιπόν το επόμενο θεώρημα.

Θεώρημα 1.17.1 Γιά κάθε θετικό αριθμό  $t \neq 1$  υπάρχουν δύο ακριβώς σημεία X, X' της ευθείας AB, έτσι ώστε  $\frac{|XA|}{|XB|} = t$ . Τό ένα περιέχεται στο AB και το άλλο είναι εκτός αυτού. Γιά t=1 υπάρχει ένα ακριβώς σημείο, που είναι το μέσον του AB.

Αν περιοριστούμε στα σημεία εντός του ΑΒ, τότε έχουμε προφανώς το Πόρισμα:

**Πόρισμα 1.17.1** Γιά κάθε θετικό αριθμό t>0 υπάρχει ένα ακριβώς σημείο X επί της ευθείας AB και μεταξύ των A, B έτσι ώστε  $\frac{|XA|}{|XB|} = t$ .

Αν δε περιοριστούμε στο εξωτερικό του ΑΒ, τότε έχουμε ανάλογα το Πόρισμα:

**Πόρισμα 1.17.2** Γιά κάθε θετικό αριθμό  $t \neq 1$  υπάρχει ένα ακριβώς σημείο X επί της ευθείας AB και εκτός του AB έτσι ώστε  $\frac{|XA|}{|XB|} = t$ .

Μιά άμεση συνέπεια των δύο πορισμάτων με πολλές εφαρμογές είναι και το επόμενο πόρισμα, που δείχνει ότι ο λόγος  $\frac{|XA|}{|XB|}$ , μαζί με την πληροφορία του αν το X είναι εντός του AB ή εκτός, καθορίζει την θέση του X μονοσήμαντα.

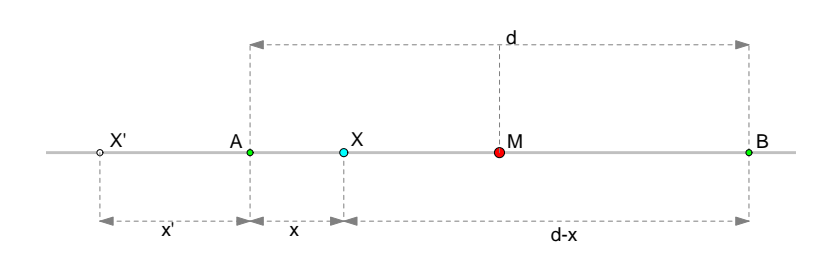
Πόρισμα 1.17.3  $A\nu$  δύο σημεία X και Y της ευθείας AB σχηματίζουν τον ίδιο λόγο  $\frac{|XA|}{|XB|} = \frac{|YA|}{|YB|}$  και είναι και τα δύο εντός του AB ή και τα δύο εκτός του AB, τότε συμπίπτουν.

 $\Delta$ οθέντων δύο σημείων A, B, ονομάζουμε  $\mathbf{A}$ ρμονικά συζυγή ως προς  $\mathbf{A}$ ,  $\mathbf{B}$  δύο σημεία X και X' που ορίζουν τον ίδιο λόγο  $t=\frac{|XA|}{|XB|}\neq 1$ . Όπως είδαμε το ένα εξ αυτών περιέχεται στο ευθύγραμμο τμήμα AB και το άλλο είναι εκτός αυτού. Τέσσερα σημεία της ίδιας ευθείας: A, B, X, X', από τα οποία, τα δύο τελευταία είναι αρμονικά συζυγή ως προς τα δύο πρώτα, λέμε ότι ορίζουν μιάν  $\mathbf{A}$ ρμονική  $\mathbf{T}$ ετράδα σημείων, την οποία συμβολίζουμε με (A,B,X,X').

Πρόταση 1.17.1  $\Delta$ είξε ότι τα σημεία X, X' είναι αρμονικά συζυγή ως προς τα A, B, που είναι σε απόσταση |AB|=d, τότε και μόνον, όταν οι αποστάσεις τους x=|XA| και x'=|X'A| από το A ικανοποιούν μία από τις σχέσεις

$$2x \cdot x' = d \cdot (x' - x), \quad 2x \cdot x' = d \cdot (x' + x).$$

H πρώτη αντιστοιχεί στον λόγο  $t=\frac{|XA|}{|XB|}<1$  και η άλλη στον λόγο t>1.



Σχήμα 111: Τα Α, Β αρμονικά συζυγή των X, X'

Υπόδειξη: Στην πρώτη περίπτωση η ίσότητα των λόγων  $\frac{|XA|}{|XB|} = \frac{|X'A|}{|X'B|}$ , δίνει σύμφωνα με τις εξισώσεις (1) και (2):  $\frac{x}{d-x} = \frac{x'}{d+x'}$ . Στην δεύτερη περίπτωση πάλι οι εξισώσεις (1) και (3) της παραγράφου δίνουν  $\frac{x}{d-x} = \frac{x'}{x'-d}$ . Οι δύο αυτές εξισώσεις είναι ισοδύναμες αντίστοιχα προς τις αναφερόμενες.

**Πόρισμα 1.17.4** Εάν t είναι θετικός  $t \neq 1$ , τότε τα δύο σημεία X, X' της ευθείας AB που έχουν λόγο  $\frac{|XA|}{|XB|} = t$  έχουν απόσταση μεταξύ τους

$$|XX'| = \begin{cases} \frac{2dt}{1-t^2} & \text{yiá } t < 1, \\ \\ \frac{2dt}{t^2-1} & \text{yiá } t > 1, \end{cases}$$

όπου d = |AB|.

 $A\pi \delta \delta \epsilon \imath \xi \eta$ : Γιά t<1 και τα δύο σημεία είναι στην ημιευθεία του  $\mathbf{M}$  (μέσον του  $\mathbf{AB}$ ) που περιέχει το  $\mathbf{A}$  και έχουμε |XX'|=x+x', όπου  $x=|AX|=\frac{dt}{1+t}$  και  $x'=|AX'|=\frac{dt}{1-t}.$  Κάνοντας τις πράξεις προκύπτει ο πρώτος τύπος. Γιά t>1 και τα δύο σημεία είναι στην ημιευθεία του  $\mathbf{M}$  που περιέχει το  $\mathbf{B}$  και έχουμε |XX'|=x'-x, όπου  $x=|AX|=\frac{dt}{1+t}$  και  $x'=|AX'|=\frac{dt}{t-1}.$  Κάνοντας τις πράξεις προκύπτει ο δεύτερος τύπος, ο.ε.δ.

**Πόρισμα 1.17.5** Τα σημεία X εσωτερικό του AB και X' εξωτερικό του AB είναι αρμονικά συζυγή των A και B τότε και μόνον, όταν

$$|X'A||X'B| - |XA||XB| = |XX'|^2.$$

Aπόδειξη: Απλές πράξεις βάσει των προηγουμένων τύπων, ο.ε.δ.

'Ασκηση 1.17.1  $\Delta \epsilon$ ίξε ότι τα αρμονικά συζυγή X και X' των A και B είναι πάντοτε στην ίδια ημιευθεία από τις δύο που ορίζονται από το μέσον M του ευθυγράμμου τμήματος AB.

Υπόδειξη: Όπως φαίνεται και από το σχήμα-111, τα αρμονικά συζυγή είναι στην μία ή την άλλη ημιευθεία του  $\mathbf{M}$  ανάλογα με την τιμή του λόγου  $t=\frac{|XA|}{|XB|}$ . Άν t<1, τότε είναι και τα δύο από την μεριά του  $\mathbf{A}$ . Άν t>1, τότε είναι και τα δύο από την μεριά του  $\mathbf{B}$ .

Πρόταση 1.17.2 Τα σημεία X και X' είναι αρμονικά συζυγή ως προς τα A και B τότε και μόνον, όταν

$$|MX||MX'| = \left(\frac{|AB|}{2}\right)^2,$$

όπου M το  $\mu \in \sigma$ ον του AB.

Απόδειξη: Έστω ότι τα X,X' είναι αρμονικά συζυγή ως προς A και B. Χρησιμοποιούμε τους τύπους της Πρότασης 1.17.1, τους οποίους λύνουμε ως προς x', υποθέτοντας το X εντός του AB:

$$x' = \begin{cases} \frac{dx}{d-2x} & \text{giá } t < 1, \\ \\ \frac{dx}{2x-d} & \text{giá } t > 1. \end{cases}$$

Επίσης

$$|MX||MX'| = \begin{cases} (\frac{d}{2} - x)(\frac{d}{2} + x') & \text{giá } t < 1, \\ (x - \frac{d}{2})(x' - \frac{d}{2}) & \text{giá } t > 1. \end{cases}$$

Και στις δύο περιπτώσεις, αντικαθιστώντας το x' από τις προηγούμενες εξισώσεις και απλοποιώντας καταλήγουμε στην  $|MX||MX'|=\left(\frac{d}{2}\right)^2$ , που είναι η ζητούμενη. Αντίστροφα, η

υποτιθέμενη τώρα σχέση μεταφράζεται στην  $\left(\frac{d}{2}\right)^2=|MX||MX'|$ , όπου πάλι το |MX||MX'| δίδεται από τους προηγούμενους τύπους και οδηγεί στις

$$\left(\frac{d}{2}\right)^2 = \left\{ \begin{array}{ll} (\frac{d}{2} - x)(\frac{d}{2} + x') & \text{ fix } t < 1, \\ \\ (x - \frac{d}{2})(x' - \frac{d}{2}) & \text{ fix } t > 1. \end{array} \right.$$

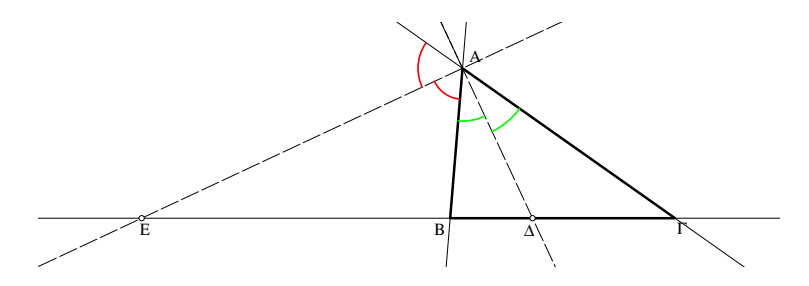
Απλοποιώντας αυτές καταλήγουμε στις εξισώσεις της Πρότασης 1.17.1, που χαρακτηρίζουν τα αρμονικά συζυγή σημεία, ο.ε.δ.

'Ασκηση 1.17.2  $\Delta \epsilon$ ίξε ότι αν τα σημεία X, X' είναι αρμονικά συζυγή ως προς τα A, B, τότε και τα A, B είναι αρμονικά συζυγή ως προς τα X και X'.

Υπόδειξη: Όταν τα X, X΄ είναι από την μεριά του A (ως προς το μέσον M), τότε οι λόγοι  $\frac{|AX|}{|AX'|} = \frac{x}{x'} \text{ και } \frac{|BX|}{|BX'|} = \frac{d-x}{d+x'} \text{ είναι ίσοι σύμφωνα με την Πρόταση } 1.17.1 \text{ (σχήμα } 111). Όταν τα X, X΄ είναι από την μεριά του B, τότε <math display="block">\frac{|AX|}{|AX'|} = \frac{x}{x'} \text{ και } \frac{|BX|}{|BX'|} = \frac{d-x}{x'-d} \text{ και η ισότητα των λόγων }$ προκύπτει από την δεύτερη περίπτωση της Άσκησης 1.17.1.

Άσκηση 1.17.3  $M\epsilon$  τους προηγούμενους συμβολισμούς δείξε ότι το μέσον N του διαστήματος XX' ευρίσκεται σε απόσταση  $|AN|=d\frac{t^2}{1-t^2}$  γιά t<1 και  $|BN|=d\frac{t^2}{t^2-1}$  γιά t>1.

Υπόδειξη: Δες πρώτα ότι λ.χ. γιά t<1 ισχύει x'>x, αφού  $\frac{x}{x'}=\frac{1-t}{1+t}<1$ . Συνεπώς αν c=|AN| τότε το ότι το N είναι το μέσον του XX' σημαίνει ότι  $x'-c=c+x\Rightarrow c=\frac{x'-x}{2}$ . Αντικατάστησε σε αυτόν τον τύπο τα x,x' από τους τύπους (1) και (2) αντίστοιχα. Ανάλογα αντιμετωπίζεται και η άλλη περίπτωση, γιά t>1.



Σχήμα 112: Δ και Ε αρμονικά συζυγή ως προς Β και Γ

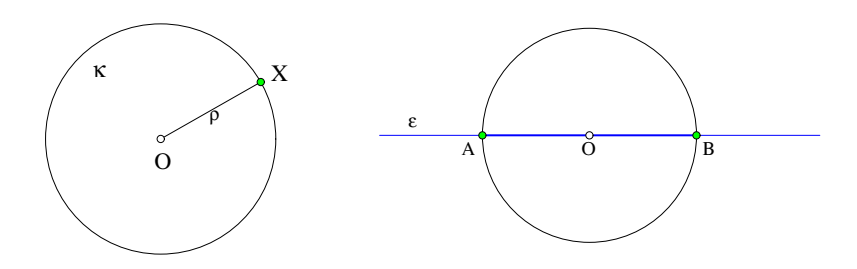
Σχόλιο Τα πιό διάσημα αρμονικά συζυγή σημεία είναι τα ίχνη  $\Delta$  και E στην  $B\Gamma$  των δύο διχοτόμων (δηλαδή οι τομές των δύο διχοτόμων με την  $B\Gamma$ ), εσωτερικής και εξωτερικής, από την κορυφή A ενός τριγώνου  $AB\Gamma$  που  $\delta \epsilon \nu$  έχει τις προσκείμενες πλευρές (AB και  $A\Gamma$ ) ίσες.  $\Gamma$ ι' αυτά θα μιλήσουμε σε επόμενο κεφάλαιο  $(\Pi$ όρισμα 3.3.7) και (Aσκηση 3.3.3).

Άσκηση 1.17.4 Το σημείο  $\Gamma$  ευρίσκεται στην ευθεία AB από την μεριά του B και ισχύει  $|\Gamma A| = \nu \cdot |AB|$ . Να βρεθεί ο λόγος  $t = \frac{|\Gamma A|}{|\Gamma B|}$ . Το ίδιο ερώτημα όταν το  $\Gamma$  είναι από την μεριά του A.

Υπόδειξη: Στην πρώτη περίπτωση  $|\Gamma B| = |\Gamma A| - |AB|$ , άρα  $t = \frac{|\Gamma A|}{|\Gamma B|} = \frac{|\Gamma A|}{|\Gamma A| - |AB|} = \frac{\nu|AB|}{\nu|AB| - |AB|} = \frac{\nu}{\nu-1}$ . Στην δεύτερη περίπτωση  $|\Gamma B| = |\Gamma A| + |AB|$  κτλ.

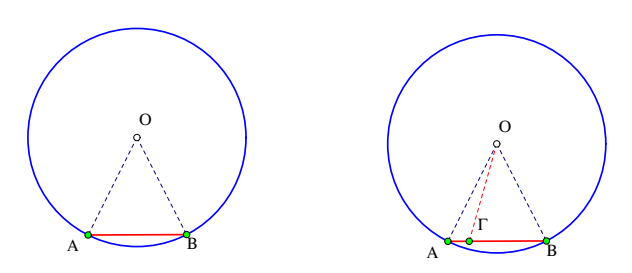
Κεφάλαιο 2 Κύκλος και πολύγωνα

# 2.1 Ο κύκλος, η διάμετρος, η χορδή



Σχήμα 113: Κύκλος κ(Ο,ρ), Διάμετρος ΑΒ

Κύκλος ακτίνας  $\rho$  λέγεται το σχήμα του επιπέδου που αποτελείται από όλα τα σημεία X που απέχουν από ένα σταθερό σημείο O απόσταση  $\rho$ . Το σημείο O λέγεται  $\mathbf{K\acute{e}vtpo}$  του κύκλου. Συχνά με τον όρο  $\mathbf{Artiva}$   $\mathbf{OX}$  εννοούμε το ευθύγραμμο τμήμα με άκρα το O και το σημείο του κύκλου X. Συχνά επίσης συμβολίζομε αυτόν τον κύκλο με  $O(\rho)$  ή με  $\kappa(O,\rho)$ . Εσωτερικό του κύκλου ονομάζουμε το σύνολο των σημείων Y των οποίων  $\rho$  απόσταση από το κέντρο  $\rho$  είναι μίκροτερη της ακτίνας:  $|OY| < \rho$ . Εξωτερικό του κύκλου ονομάζουμε το σύνολο των σημείων  $\rho$  των οποίων  $\rho$  απόσταση από το κέντρο  $\rho$  είναι μεγαλύτερη της ακτίνας:  $|OZ| > \rho$ . Από το  $\rho$   $\rho$  Από το  $\rho$  είναι μεγαλύτερη της ακτίνας:  $\rho$   $\rho$  Από το  $\rho$  είναι  $\rho$  τον κύκλο σε δύο σημεία ακριβώς  $\rho$  ακαι  $\rho$   $\rho$  Ετοια σημεία του κύκλου ονομάζονται  $\rho$   $\rho$  τον κύκλου. Προφανώς το μέσον κάθε διαμέτρου είναι το κέντρο  $\rho$  και το μήκος της είναι διπλάσιο της ακτίνας  $\rho$   $\rho$   $\rho$   $\rho$   $\rho$  δύο κύκλοι είναι λέγονται  $\rho$  ακτίνες τους είναι ίσες.  $\rho$   $\rho$  κύκλου λέγεται



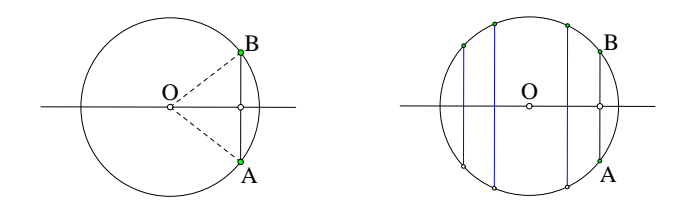
Σχήμα 114: (α) Χορδή κύκλου, (β) Κοινά σημεία χορδής και κύκλου

ένα ευθύγραμμο τμήμα AB που τα άκρα του είναι επί του κύκλου. Η διάμετρος είναι μιά ειδική περίπτωση χορδής. Κάθε χορδή AB που δεν είναι διάμετρος ορίζει, μαζί με το κέντρο O του κύκλου, ένα ισοσκελές τρίγωνο AOB, τα σκέλη του οποίου έχουν μήκος  $\rho$ .

**Πρόταση 2.1.1** Μιά χορδή AB δεν περιέχει άλλα σημεία του κύκλου εκτός των άκρων της A και B.

Aπόδειξη: Αν η χορδή περιείχε ένα ακόμη σημείο  $\Gamma$  του κύκλου, τότε το  $BO\Gamma$  θα ήταν ισοσκελές (σχήμα  $114(\beta)$ ) και το A θα ήταν στην προέκταση της βάσης του, άρα, κατά το Πορισμα 1.10.6 θα ίσχυε  $\rho=|OA|<|O\Gamma|=\rho$  που είναι άτοπο, ο.ε.δ.

Πόρισμα 2.1.1 Το κέντρο του κύκλου περιέχεται στην μεσοκάθετο πάσης χορδής αυτού.



Σχήμα 115: (α) Μέσον χορδής, (β) Μέσα παραλλήλων χορδών

Απόδειξη: Προφανώς, αφού το κέντρο ισαπέχει από τα άκρα της χορδής θα περιέχεται στην μεσοκάθετο αυτής (Πόρισμα 1.9.1), ο.ε.δ.

**Πόρισμα 2.1.2** Η κάθετος από το κέντρο προς την χορδή κύκλου διέρχεται από το μέσον αυτής.

**Πόρισμα 2.1.3** Τα μέσα παραλλήλων χορδών κύκλου περιέχονται στην διάμετρο την κάθετη στις χορδές αυτές.

Aπόδειξη: Φέρουμε από το κέντρο του κύκλου κάθετη προς μία τέτοια χορδή, αυτή θα περνά από το μέσον της χορδής και θα είναι και κάθετος σε όλες τις παράλληλες χορδές, άρα θα διέρχεται και από το μέσον αυτών (Πόρισμα 2.1.2), ο.ε.δ.

Πόρισμα 2.1.4 Κάθε διάμετρος του κύκλου είναι άξονας συμμετρίας του.

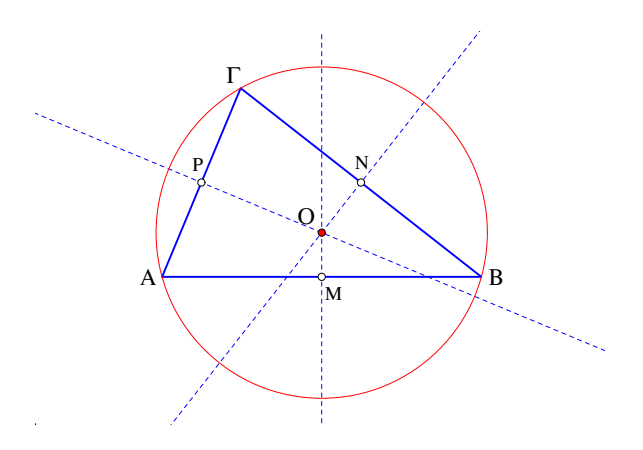
Πόρισμα 2.1.5 Το κέντρο του κύκλου είναι και κέντρο συμμετρίας του.

**Πρόταση 2.1.2** Το μήκος χορδής κύκλου ακτίνας  $\rho$  είναι μικρότερο ή ίσο του μήκους  $2\rho$  της διαμέτρου. Εάν η χορδή έχει μήκος  $2\rho$  τότε συμπίπτει με διάμετρο του κύκλου.

Aπόδειξη: Αν Ο είναι το κέντρο του κύκλου και  $\delta=|AB|$  το μήκος της χορδής και τα σημεία  $\{A,B,O\}$  δεν είναι στην ίδια ευθεία, τότε σχηματίζεται τρίγωνο ABO. Το τρίγωνο αυτό είναι ισοσκελές και τα σκέλη του έχουν μήκος ρ. Συνεπώς κατά την τριγωνική ανισότητα  $\delta=|AB|<|OA|+|OB|=2\rho.$  Αυτή η ανισότητα επίσης συνεπάγεται ότι δεν μπορεί η χορδή να έχει μήκος  $2\rho$  και τα σημεία A,B και O να μήν είναι στην ίδια ευθεία. Τούτο αποδεικνύει τον δεύτερο ισχυρισμό, ο.ε.δ.

**Πρόταση 2.1.3** Γιά κάθε τριάδα σημείων A,B και  $\Gamma$ , μη περιεχομένων στην ίδια ευθεία, υπάρχει ένας και μοναδικός κύκλος διερχόμενος από αυτά.

Απόδειξη: Οι μεσοχάθετοι των ευθυγράμμων τμημάτων AB και  $B\Gamma$  αντίστοιχα τέμνονται σε σημείο O. Αν δεν ετέμνοντο, τότε θα ήταν παράλληλες και από το B θα είχαμε τις κάθετες BM,BN σε δύο παράλληλες, άρα τα M,N και B συνευθειαχά, που είναι άτοπο. Από την πρώτη μεσοχάθετο έχουμε (Πόρισμα 1.9.1) ότι |OA| = |OB| και από την δεύτερη μεσοχάθετο ότι  $|OB| = |O\Gamma|$ . Συνάγεται λοιπόν ότι και  $|OA| = |O\Gamma|$ , άρα το O είναι και επί της μεσοχαθέτου του ευθυγράμμου τμήματος  $A\Gamma$ . Με άλλα λόγια, δείξαμε ότι οι τρείς μεσοχάθετοι στις πλευρές του τριγώνου  $AB\Gamma$  διέρχονται από το ίδιο σημείο O, το οποίο ισαπέχει από τις χορυφές του  $|OA| = |OB| = |O\Gamma| = \rho$ . Συνεπώς ο χύχλος με χέντρο O

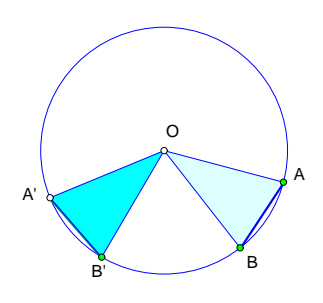


Σχήμα 116: Περιγεγραμμένος κύκλος (ΑΒΓ) τριγώνου ΑΒΓ

και ακτίνα ρ διέρχεται από τις κορυφές του τριγώνου. Το ότι ο κύκλος αυτός είναι μοναδικός προκύπτει με το ίδιο επιχείρημα. Κάθε άλλος κύκλος που θα περνούσε από τις κορυφές του τριγώνου  $AB\Gamma$ , θα είχε το κέντρο του επι της μεσοκαθέτου των πλευρών του τριγώνου, αφού αυτές θα ήσαν τότε χορδές του κύκλου (Πόρισμα 2.1.1). Επομένως το κέντρο του και η ακτίνα του θα συνέπιπταν με τα αντίστοιχα του κύκλου που φτιάξαμε προηγουμένως, ο.ε.δ.

**Πόρισμα 2.1.6** Γιά κάθε τρίγωνο  $AB\Gamma$  υπάρχει ένας και μοναδικός κύκλος που διέρχεται από τις κορυφές του.

Τον κύκλο του προηγουμένου πορίσματος ονομάζομε Περιγεγραμμένο κύκλο του τριγώνου ή Περίκυκλο. Το κέντρο αυτού του κύκλου λέγεται Περίκεντρο του τριγώνου και όπως είδαμε στην απόδειξη παραπάνω, συμπίπτει με το σημείο τομής των μεσοκαθέτων των πλευρών του τριγώνου. Συχνά τον κύκλο που διέρχεται από τρία μη συνευθειακά σημεία Α, Β και Γ συμβολίζουμε με (ABΓ).



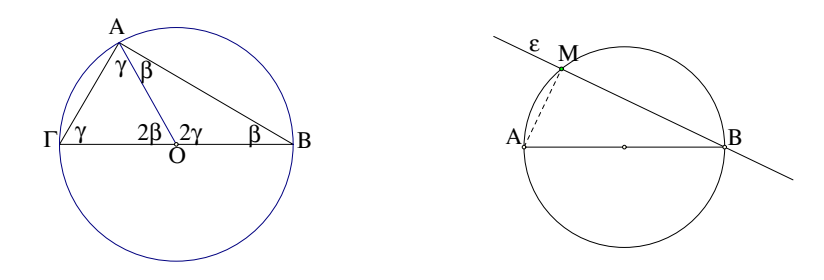
Σχήμα 117: Ισες χορδές και ίσα ισοσκελή τρίγωνα

'Ασκηση 2.1.1  $\Delta \epsilon$ ίξε ότι ίσες χορδές AB και AB' στον ίδιο κύκλο  $\mu \epsilon$  κέντρο O ορίζουν ίσα (ισοσκελή) τρίγωνα AOB και A'OB'.

**Πόρισμα 2.1.7**  $A\nu$  σημείο A βλέπει το ευθύγραμμο τμήμα  $B\Gamma$  υπό ορθή γωνία, δηλαδή  $|BA\Gamma| = 90^\circ$ , τότε περιέχεται στον κύκλο με διάμετρο  $B\Gamma$ .

Aπόδειξη: Αν το BΓ φαίνεται υπό ορθή γωνία από το A, τότε, κατά το Πόρισμα 1.15.13, η διάμεσος από το A επί την BΓ θα είναι το ήμισυ αυτής, συνεπώς τα σημεία A, B και Γ θα είναι στον κύκλο με διάμετρο BΓ, ο.ε.δ.

Πόρισμα 2.1.8 Γιά κάθε σημείο Α του κύκλου με διάμετρο ΒΓ η γωνία ΒΑΓ είναι ορθή. Ισοδύναμα: μία διάμετρος φαίνεται από κάθε σημείο του κύκλου (πλην των άκρων της) υπό ορθή γωνία. Αντίστροφα, αν μία χορδή κύκλου φαίνεται από ένα σημείο του υπό ορθή γωνία, τότε είναι διάμετρος του κύκλου.



Σχήμα 118: (α) Διάμετροι φαίνονται υπό ορθή γωνία, (β) Προβολή σε ευθεία

Απόδειξη: Πράγματι, αν η BΓ είναι διάμετρος και το A σημείο του κύκλου (διαφορετικό των B και  $\Gamma$ ) τότε δημιουργούνται τα ισοσκελή τρίγωνα OAB και OAΓ με γωνίες στην βάση αντίστοιχα τις γωνίες β και γ του τριγώνου ABΓ. Το άθροισμα των (εξωτερικών) γωνιών των δύο ισοσκελών στο O είναι  $2\beta+2\gamma=180$  (Πόρισμα 1.15.2), άρα  $\beta+\gamma=90$ , που δείχνει ότι το ABΓ είναι ορθογώνιο στο A. Αντίστροφα, αν η χορδή BΓ φαίνεται υπό ορθή γωνία από το A, τότε, κατά το προηγούμενο πόρισμα το A θα είναι στον κύκλο με διάμετρο BΓ, ο οποίος έχοντας τρία κοινά σημεία με τον δοθέντα (τα A,B και  $\Gamma$ ) θα πρέπει να συμπίπτει με αυτόν, ο.ε.δ.

'Ασκηση 2.1.2  $\Delta \epsilon$ ίξ $\epsilon$  ότι από δύο χορδ $\epsilon$ ς κύκλου α και  $\beta$ , η μ $\epsilon$ γαλύτ $\epsilon$ ρη απ $\epsilon$ χ $\epsilon$ ι την μικρότ $\epsilon$ ρη απόσταση από το κ $\epsilon$ ντρο.

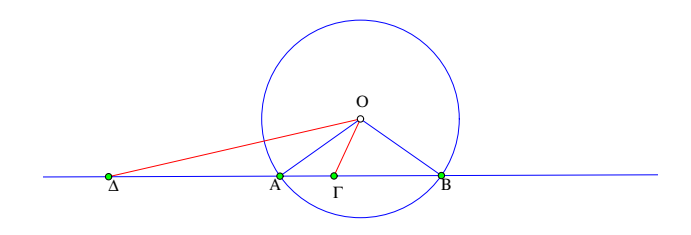
Άσκηση 2.1.3  $\Delta \epsilon$ ίξε ότι αν τρία σημεία X,Y και Z είναι επί κύκλου  $\kappa$ , τότε και τα συμμετρικά τους X', Y', Z' (ως προς άξονα ή σημείο) θα είναι επί κύκλου  $\kappa'$  που είναι ίσος με τον  $\kappa$ .

'Ασκηση 2.1.4 Έστω ότι A και B είναι δύο σταθερά σημεία και  $\varepsilon$  ευθεία διερχόμενη διά του B. Έστω επίσης M η προβολή του A επί της  $\varepsilon$ . Να βρεθεί ο γεωμετρικός τόπος του M καθώς η ευθεία  $\varepsilon$  περιστρέφεται περί το B.

Υπόδειξη: Όταν η ε δεν συμπίπτει με την AB ή την κάθετο αυτής στο B, τότε το τρίγωνο ABM (σχήμα  $118(\beta)$ ) είναι ορθογώνιο με σταθερά υποτείνουσα AB, άρα κατά το προηγούμενο πόρισμα το σημείο M θα είναι επί του κύκλου με διάμετρο AB.

Άσκηση 2.1.5  $\Delta$ ίδονται δύο συγκεντρικοί κύκλοι α και  $\beta$ . Ευθεία  $\varepsilon$  τέμνουσα και τους δύο κύκλους ορίζει ευθύγραμμα τμήματα AB,  $\Gamma\Delta$  περιεχόμενα μεταξύ των κύκλων που είναι ίσα.

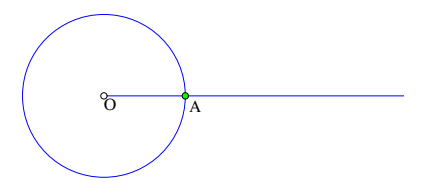
#### 2.2 Κύκλος και ευθεία



Σχήμα 119: Κοινά σημεία ευθείας και κύκλου

Πρόταση 2.2.1 Μιά ευθεία ΑΒ περιέχει το πολύ δύο σημεία ενός κύκλου.

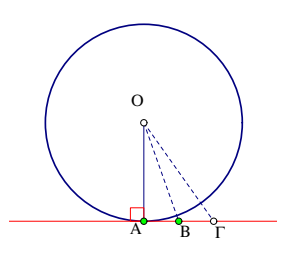
Aπόδειξη: Δείχνουμε ότι μία ευθεία δεν μπορεί να περιέχει τρία ή περισσότερα σημεία. Πράγματι, αν η ευθεία, είχε τρία κοινά σημεία A, B και  $\Gamma$  με τον κύκλο τότε ένα από τα τρία θα ήταν μεταξύ των δύο άλλων τα οποία θα όριζαν μία χορδή του κύκλου. Έτσι θα είχαμε χορδή που θα περιήχε και τρίτο σημείο του κύκλου. Κάτι που αποκλείσαμε με την Πρόταση 2.1.1, ο.ε.δ.



Σχήμα 120: Τομή κύκλου και ημιευθείας

**Πόρισμα 2.2.1** Κάθε ημιευθεία με άκρο που συμπίπτει με το κέντρο του κύκλου τέμνει τον κύκλο σε ένα ακριβώς σημείο.

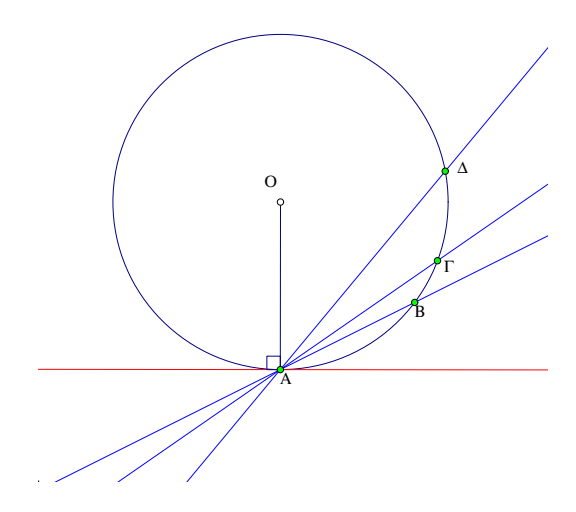
Εφαπτόμενη του κύκλου λέγεται μία ευθεία που έχει ένα και μόνο κοινό σημείο με αυτόν. Το σημείο αυτό λέγεται Σημείο επαφής του κύκλου και της ευθείας.



Σχήμα 121: Εφαπτόμενη κύκλου

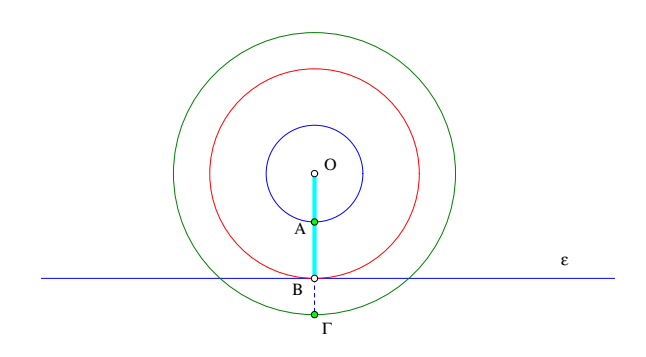
Πρόταση 2.2.2 Μία ευθεία που έχει μόνο ένα κοινό σημείο A με κύκλο είναι κάθετη στο A στην ακτίνα OA του κύκλου.

Aπόδειξη: Διά της εις άτοπον απαγωγής. Αν δεν ήταν κάθετη, τότε έστω <math>OB η κάθετη και όρισε το  $\Gamma$  επί της ευθείας έτσι ώστε το B να είναι το μέσον του  $A\Gamma$  (σχήμα 121). Τότε τα τρίγωνα OBA και  $OB\Gamma$  θα ήταν ορθογώνια και ίσα, ως έχοντα την OB κοινή τις BA και  $B\Gamma$  ίσες και τις περιεχόμενες γωνίες OBA και  $OB\Gamma$  ίσες ως ορθές. Τότε και το  $OA\Gamma$  θα ήταν ισοσκελές και θα είχαμε  $|O\Gamma| = |OA| = \rho$ , δηλαδή το  $\Gamma$  θα ήταν επί του κύκλου και η ευθεία θα είχε και άλλο κοινό σημείο με τον κύκλο εκτός του A, άτοπο, ο.ε.δ.



Σχήμα 122: Ευθείες διά του σημείου Α του κύκλου

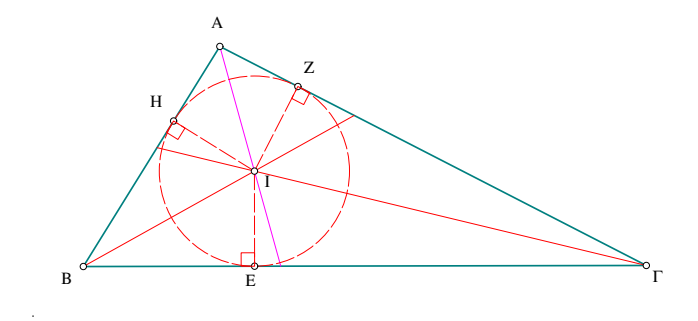
**Πόρισμα 2.2.2** Όλες οι ευθείες που διέρχονται από σημείο A κύκλου, εκτός της καθέτου της ακτίνας OA στο A, τέμνουν τον κύκλο σε ένα δεύτερο σημείο B. H κάθετος αυτή είναι η μία και μοναδική εφαπτόμενη του κύκλου στο A.



Σχήμα 123: Τομή ευθείας και κύκλου

Πόρισμα 2.2.3 Δοθείσης ευθείας  $\varepsilon$  και σημείου O εκτός αυτής, o κύκλος  $O(\rho)$  τέμνει την ευθεία τότε και μόνον, όταν  $\rho > |OB|$  όπου το B είναι η προβολή του O επί της  $\varepsilon$  (|OB| είναι η απόσταση του σημείου O από την ευθεία  $\varepsilon$ ). Όταν  $\rho = |OB|$  τότε o κύκλος εφάπτεται της ευθείας στο B, τέλος όταν  $\rho < |OB|$  o κύκλος δεν τέμνει την ευθεία.

**Πρόταση 2.2.3** Οι τρεις διχοτόμοι των γωνιών τριγώνου  $AB\Gamma$  διέρχονται από κοινό σημείο I που είναι το κέντρο κύκλου I(r) εφαπτομένου ταυτόχρονα και στις τρεις πλευρές του.

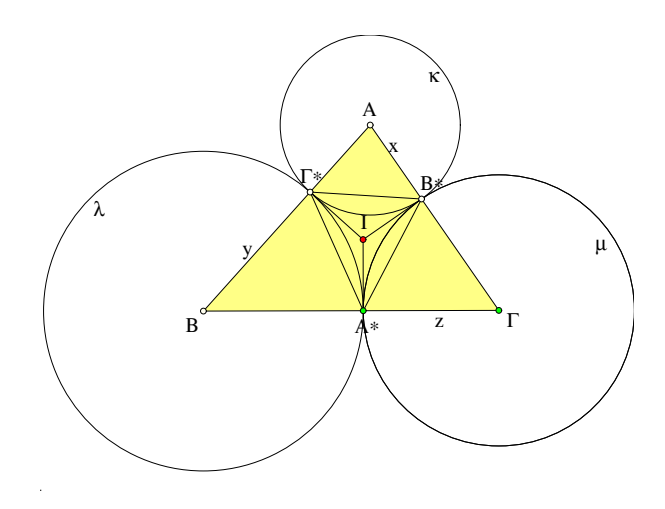


Σχήμα 124: Εγγεγραμμένος του τριγώνου κύκλος

Aπόδειξη: Έστω I το σημείο τομής των δύο διχοτόμων του τριγώνου και συγκεκριμένα των διχοτόμων των γωνιών B και  $\Gamma.$  Θα δείξουμε ότι και η τρίτη διχοτόμος της γωνίας A διέρχεται από το I. Πράγματι, κατά την Πρόταση 1.15.12, οι αποστάσεις του I από τις πλευρές της γωνίας B: IE και IH θα είναι ίσες. Παρόμοια και οι αποστάσεις του I από τις πλευρές της γωνίας  $\Gamma$ : IE και IZ θα είναι ίσες. Συνεπώς οι τρεις αποστάσεις: IE, IH και IZ θα είναι ίσες μεταξύ τους, άρα ακτίνες του κύκλου με κέντρο I και ακτίνα r = |IE|. II ισότητα των αποστάσεων II και IZ από τις πλευρές τις γωνίας II δείχνουν ότι το II ευρίσκεται και επί της διχοτόμου της γωνίας II (Πρόταση III). II καθετότητα των πλευρών στα άκρα των ακτίνων αυτών του κύκλου δείχνει III0 ότι ο κύκλος εφάπτεται και στις τρεις πλευρές του τριγώνου, ο.ε.δ.

Άσκηση 2.2.1  $\Delta \epsilon$ ίζε ότι το σημείο I επί της διχοτόμου  $A\Delta$  τρηνώνου  $AB\Gamma$  είναι το σημείο τομής των διχοτόμων, τότε και μόνον, όταν η γωνία  $|BI\Gamma| = 90 + \frac{|BA\Gamma|}{2}$ .

Το σημείο Ι που εξασφαλίζει η προηγούμενη πρόταση λέγεται Έγκεντρο του τριγώνου. Ο κύκλος με κέντρο το Ι που εφάπτεται των τριών πλευρών του τριγώνου λέγεται Εγγεγραμμένος κύκλος του τριγώνου. Η ακτίνα του r=|IE|=|IZ|=|IH| ίσούται με την απόσταση του Ι από μία οποιαδήποτε από τις πλευρές του. Σημείωσε ότι από την ισότητα των ορθογωνίων τριγώνων ΕΙΓ, ΖΙΓ προκύπτει ότι  $|\Gamma E|=|\Gamma Z|$  και ανάλογα |BE|=|BH|, |AH|=|AZ|.



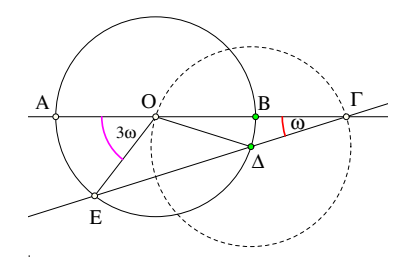
Σχήμα 125: Τρεις εφαπτόμενοι κύκλοι

Άσκηση 2.2.2 Κατασκεύασε κύκλους κ, λ,  $\mu$  που ανά δύο εφάπτονται και έχουν αντίστοιχα κέντρα στις κορυφές A, B και  $\Gamma$  τριγώνου.  $\Delta$ είξε ότι οι αντίστοιχες ακτίνες x,y,z αυτών των κύκλων ικανοποιούν τις ισότητες ( $\mu$ ε  $a=|B\Gamma|,b=|\Gamma A|,c=|AB|$ ):

$$\tau = \frac{1}{2}(a+b+c),$$
 $y = \frac{1}{2}(c+a-b) = \tau - b,$ 
 $x = \frac{1}{2}(b+c-a) = \tau - a,$ 
 $z = \frac{1}{2}(a+b-c) = \tau - c.$ 

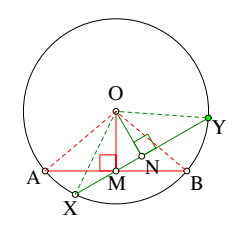
Άσκηση 2.2.3 Στην προηγούμενη άσκηση δείξε ότι τα σημεία επαφής των κύκλων  $A^*$ ,  $B^*$ ,  $\Gamma^*$  είναι επί των πλευρών του τριγώνου  $AB\Gamma$ , του οποίου το έγκεντρο I συμπίπτει με το περίκεντρο του  $A^*B^*\Gamma^*$ .

Άσκηση 2.2.4 Στην προέκταση της διαμέτρου AB κύκλου κ $(O,\rho)$  και από την μεριά του B παίρνουμε σημείο  $\Gamma$  και τέμνουσα του κύκλου  $\Gamma\Delta E$ , έτσι ώστε  $|\Gamma\Delta|=\rho$ .  $\Delta$ είξε ότι η γωνία  $|AOE|=3|O\Gamma\Delta|$ .



Σχήμα 126: Τριπλασιασμός γωνίας

Άσκηση 2.2.5  $\Delta$ είξε ότι η ελάχιστου μήκους χορδή XY, κύκλου κ $(O,\rho)$ , που διέρχεται από σταθερό σημείο M (διαφορετικό του O) στο εσωτερικό του κύκλου, είναι η κάθετη AB στην OM.



Σχήμα 127: Ελάχιστη χορδή διά σημείου

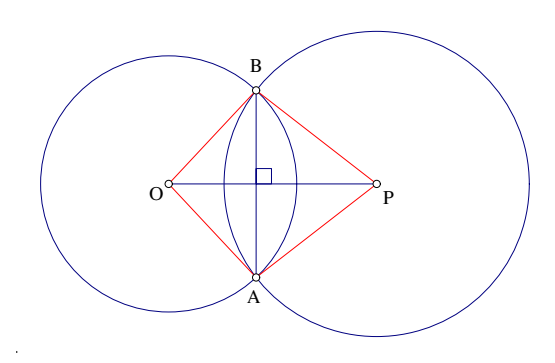
 $\Upsilon$ πόδειξη: Το τρίγωνο OMN έχει υποτείνουσα |OM|>|ON|, άρα το ισοσκελές OAB έχει μικρότερη βάση του ισοσκελούς OXY (Άσκηση 2.1.2).

#### 2.3 Δύο χύχλοι

Πόρισμα 2.3.1 Δύο διαφορετικοί κύκλοι έχουν το πολύ δύο κοινά σημεία.

Aπόδειξη:  $\Delta$ ιότι αν είχαν τρία ή περισσότερα θα ταυτίζονταν κατά την Πρόταση 2.1.3 ο.ε.δ.

Το ευθύγραμμο τμήμα AB που ορίζεται από τα δύο σημεία τομής A και B δύο κύκλων που τέμνονται σε δύο σημεία λέγεται Κοινή χορδή των δύο κύκλων. Δύο κύκλοι που έχουν το ίδιο κέντρο λέγονται Συγκεντρικοί. Η ευθεία που ενώνει τα κέντρα Ο και P δύο μη συγκεντρικών κύκλων λέγεται Διάκεντρος των κύκλων. Συχνά ονομάζουμε Διάκεντρο και το ευθύγραμμο τμήμα OP που ενώνει τα κέντρα. Το τί ακριβώς ενοούμε σε κάθε περίπτωση συνάγεται από τα συμφραζόμενα.

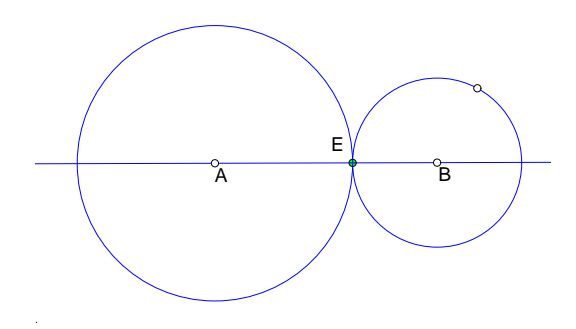


Σχήμα 128: Κοινή χορδή και διάκεντρος δύο τεμνομένων κύκλων

**Πόρισμα 2.3.2** Η διάκεντρος *OP* δύο κύκλων που τέμνονται σε δύο διαφορετικά σημεία A και B συμπίπτει με την μεσοκάθετο της κοινής χορδής τους AB.

Aπόδειξη: Κατά το Πόρισμα 2.1.1 τα κέντρα των δύο κύκλων θα ευρίσκονται στην μεσοκάθετο της χορδής τους AB, ο.ε.δ.

Δύο κύκλοι λέγονται Εφαπτόμενοι όταν έχουν ακριβώς ένα κοινό σημείο Α. Το σημείο αυτό λέγεται Σημείο επαφής των δύο κύκλων.

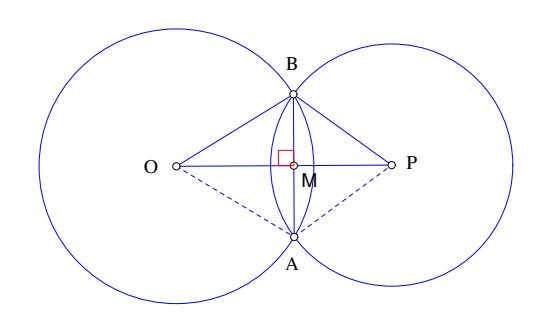


Σχήμα 129: Σημείο επαφής επί της διακέντρου

Πρόταση 2.3.1 Το σημείο επαφής δύο εφαπτομένων κύκλων ευρίσκεται επί της διακέντρου αυτων. Αντίστροφα, αν οι κύκλοι έχουν ένα σημείο τομής επί της διακέντρου τότε αυτό είναι μοναδικό σημείο τομής και οι κύκλοι εφάπτονται.

2.3.  $\Delta \Upsilon O K \Upsilon K \Lambda O I$ 

Aπόδειξη: Διά της εις άτοπον απαγωγής. Έστω ότι το σημείο επαφής <math>A των δύο χύχλων δεν είναι στην διάχεντρο OP αυτών (επόμενο σχήμα). Φέρε τότε χάθετο AM από το A στην διάχεντρο OP και προέχτεινέ την κατά το διπλάσιο μέχρι το B. Τα τρίγωνα OMA και OMB είναι ίσα ( $\Pi\Gamma\Pi$ -κριτήριο). Ανάλογα και τα PMA και PMB είναι ίσα. Συνάγεται λοιπόν ότι  $|OB| = |OA| = \rho$  και  $|PB| = |PA| = \rho'$ , όπου  $\rho$  και  $\rho'$  οι αχτίνες των δύο χύχλων.

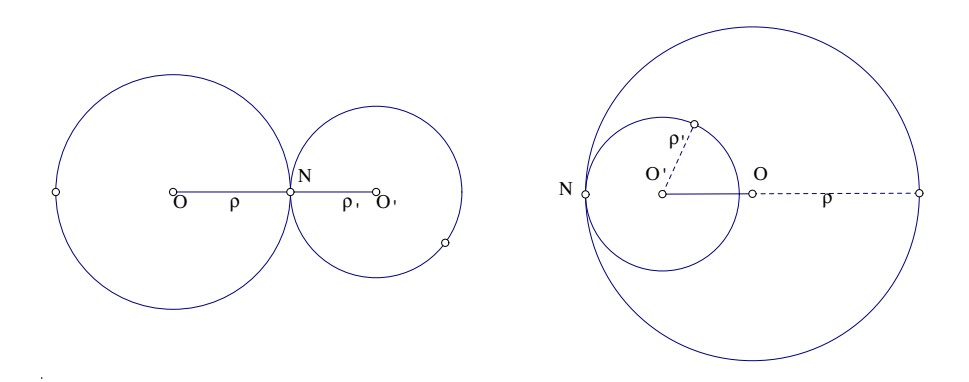


Σχήμα 130: Συμμετρία ως προς διάκεντρο

Συνεπώς εκτός του A ευρίσκουμε και άλλο σημείο B κοινό των δύο κύκλων, πράγμα άτοπον. Αντίστροφα, αν οι κύκλοι έχουν δύο σημεία τομής A και B, τότε η διάκεντρός τους συμπίπτει με την μεσοκάθετο του AB (Πόρισμα 2.3.2) και κανένα από τα δύο σημεία δεν μπορεί να είναι επί της διακέντρου, ο.ε.δ.

**Πόρισμα 2.3.3** Δύο κύκλοι  $O(\rho)$  και  $O'(\rho')$  έχουν ένα ακριβώς κοινό σημείο (εφάπτονται) τότε και μόνον όταν ισχύει μία από τις ισότητες:

$$\rho + \rho' = |OO'|, |\rho - \rho'| = |OO'|.$$

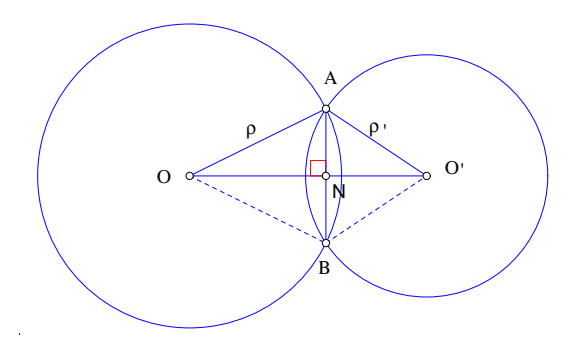


Σχήμα 131:  $\rho + \rho' = |OO'|$  και  $|\rho - \rho'| = |OO'|$ 

Στην πρώτη περίπτωση λέμε ότι οι κύκλοι εφάπτονται  $\epsilon \xi \omega \tau \epsilon \rho \imath \kappa \acute{a}$  και στην δεύτερη λέμε ότι εφάπτονται  $\epsilon \sigma \omega \tau \epsilon \rho \imath \kappa \acute{a}$ .

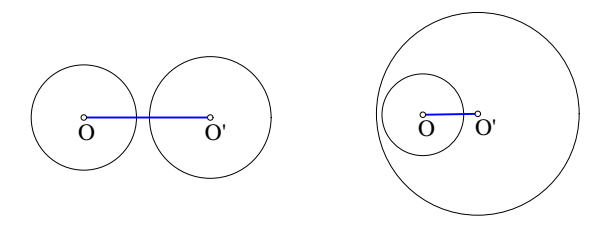
Πρόταση 2.3.2 Δύο κύκλοι  $O(\rho)$  και  $O'(\rho')$  τέμνονται σε δύο διαφορετικά σημεία τότε και μόνον όταν η διάκεντρος αυτών |OO'| και οι ακτίνες τους ικανοποιούν τις τριγωνικές ανισότητες

$$|\rho - \rho'| < |OO'| < \rho + \rho'.$$



Σχήμα 132: Τομή δύο κύκλων

Aπόδειξη: Αν οι κύκλοι τέμνονται και ένα (από τα δύο) σημείο τομής είναι το A, τότε σχηματίζεται τρίγωνο με πλευρές μηκών  $\rho$ ,  $\rho'$  και |OO'| (Πρόταση 2.3.1). Κατά τα Πρόταση 1.11.1 και Πρόταση 1.11.2 θα ικανοποιούνται οι τριγωνικές ανισότητες. Αντίστροφα, αν ικανοποιούνται οι ανισότητες αυτές, τότε οι δύο κύκλοι δεν μπορούν να εφάπτονται, διότι τότε θα είχαμε  $\rho + \rho' = |OO'|$  ή  $|\rho - \rho'| = |OO'|$ . Επίσης δεν μπορεί να μήν τέμνονται διότι

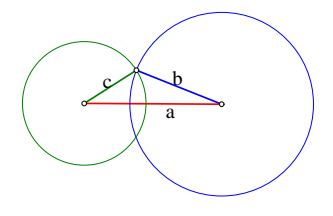


Σχήμα 133:  $\rho + \rho' < |OO'|$  και  $|\rho - \rho'| > |OO'|$ 

μετρώντας αποστάσεις επί της διακέντρου τους θα είχαμε ή  $\rho+\rho'<|OO'|$  ή  $|\rho-\rho'|>|OO'|$ . Επομένως αν οι ανισότητες ικανοποιούνται οι κύκλοι θα τέμνονται σε δύο σημεία, ο.ε.δ.

Πρόταση 2.3.3 Υπάρχει τρίγωνο με μήκη πλευρών τρεις δοθέντες θετικούς αριθμούς a,b,c, τότε και μόνον όταν οι αριθμοί αυτοί ικανοποιούν τις τριγωνικές ανισότητες

$$|b - c| < a < b + c.$$



Σχήμα 134: Κατασκευή τριγώνου από τις πλευρές του a,b και c

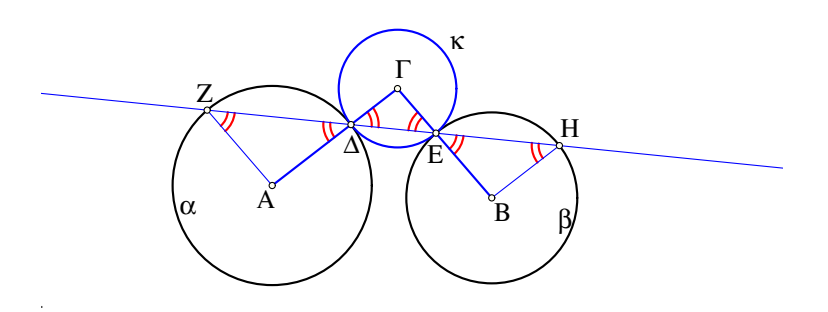
Aπόδειξη: Αν τα a,b,c είναι μήκη πλευρών τριγώνου  $AB\Gamma$  τότε ικανοποιούν τις τριγωνικές ανισότητες (1.11). Αντίστροφα, αν οι τρεις αυτοί αριθμοί ικανοποιούν αυτές τις ανισότητες, τότε κατασκευάζεται τρίγωνο με αυτά τα μήκη πλευρών. Πράγματι έστω ευθύγραμμο τμήμα  $B\Gamma$  μήκους a. Με κέντρα τα B και  $\Gamma$  αντιστοίχως γράφουμε κύκλους ακτίνας c και b. Οι κύκλοι αυτοί θα τέμνονται σε δύο σημεία A και A' μη κείμενα επί της  $B\Gamma$ , διότι οι ανισότητες

2.3.  $\Delta \Upsilon O K \Upsilon K \Lambda O I$  85

που ικανοποιούν οι ακτίνες τους είναι ακριβώς οι ανισότητες του Πορίσματος 2.3.2. Τα τρίγωνα  $AB\Gamma$  και  $AB\Gamma'$  είναι ίσα (ΠΠΠ κριτήριο) και έχουν μήκη πλευρών a,b και c, ο.ε.δ.

Άσκηση 2.3.1  $\Delta$ είξε ότι το σχήμα που αποτελείται από δύο κύκλους είναι συμμετρικό ως προς άξονα που ταυτίζεται με την διάκεντρό τους. Αν οι δύο κύκλοι είναι ίσοι, δείξε ότι υπάρχει και άλλος άξονας συμμετρίας κάθετος στον προηγούμενο, καθώς και κέντρο συμμετρίας του σχήματος.

Άσκηση 2.3.2  $\Delta$ είξε ότι αν ένας κύκλος κ εφάπτεται δύο άλλων α και  $\beta$ , τότε η ευθεία  $\Delta E$  που ενώνει τα δύο σημεία επαφής του κ τέμνει ξανά τους δύο άλλους σε σημεία Z και H, έτσι ώστε οι ακτίνες AZ και BE να είναι παράλληλες και οι  $A\Delta$  και BH να είναι επίσης παράλληλες.



Σχήμα 135: Κύκλος ταυτόχρονα εφαπτόμενος δύο άλλων

Υπόδειξη: Τρίγωνα που σχηματίζονται από ακτίνες είναι ισοσκελή. Οι γωνίες τέτοιων ισοσκελών στα Z και E είναι ίσες εντός -εκτός και επί τα αυτά μέρη γιά την  $\Delta E$  ως προσπίπτουσα στις ευθείες AZ και  $B\Gamma$ .

Άσκηση 2.3.3 Χώρισε χορδή AB κύκλου κ $(O,\rho)$  σε τρία ίσα τμήματα  $A\Gamma$ ,  $\Gamma\Delta$  και  $\Delta B$ .  $\Delta$ είξε ότι οι γωνίες  $AO\Gamma$ ,  $\Gamma O\Delta$  και  $\Delta OB$  δεν είναι ίσες μεταξύ τους. Ακριβέστερα, οι  $AO\Gamma$  και  $\Delta OB$  είναι ίσες αλλά μικρότερες της  $\Gamma O\Delta$ .

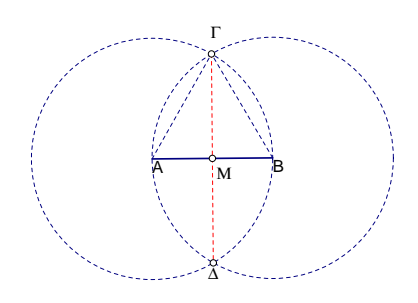
'Ασκηση 2.3.4  $\Delta$ ίδονται δύο παράλληλες ευθείες  $\varepsilon$  και ζ και σημείο A μη περιεχόμενο σε αυτές. Κατασκεύασε κύκλο διερχόμενο από το A και εφαπτόμενο των δύο ευθειών.

Άσκηση 2.3.5  $\Delta$ ίδεται κύκλος κ και δύο σημεία A και B εκτός αυτού. Κατασκεύασε ορθή γωνία XOY της οποίας η κορυφή O να είναι σημείο του κύκλου κ και οι πλευρές OX,OY να διέρχονται αντίστοιχα από τα A και B.

#### 2.4 Κατασκευές

Με τον όρο αυτό εννοούμε μία αχολουθία χατασχευών χύχλων ή/χαι ευθειών χαι των τομών τους. Ο χανόνας (χάραχας) υποτίθεται ότι μας δίνει την δυνατότητα να ορίσουμε την ευθεία (χαι το ευθύγραμμο τμήμα) που ορίζεται από δύο σημεία Α χαι Β. Ο διαβήτης μας δίνει την δυνατότητα να ορίσουμε τον χύχλο με οποιοδήποτε χέντρο χαι οποιαδήποτε αχτίνα. Επίσης έχουμε την δυνατότητα να βρούμε τα σημεία τομής α) ευθείας και ευθείας, β) ευθείας χαι χύχλου, γ) χύχλου χαι χύχλου.

Κατασκευή 2.4.1 Κατασκευή του μέσου M ευθυγράμμου τμήματος και της μεσοκαθέτου σε αυτό.



Σχήμα 136: Κατασκευή του μέσου

Κατασκευή: Με κέντρο το A και ακτίνα  $\rho=|AB|$  κατασκευάζουμε τον κύκλο  $A(\rho)$ . Παρόμοια με κέντρο B και ακτίνα  $\rho$  κατασκευάζουμε τον κύκλο  $B(\rho)$ . Οι ακτίνες των δύο κύκλων ικανοποιούν τις τριγωνικές ανισότητες  $(0<\rho<2\rho)$ , άρα κατά το Πρόταση 2.3.2 οι δύο κύκλοι θα τέμνονται σε δύο σημεία  $\Gamma$  και  $\Delta$ . Το ζητούμενο μέσον είναι το σημείο τομής M της ευθείας AB και της  $\Gamma\Delta$ . Πράγματι από το Πόρισμα 2.3.2 έπεται ότι η AB είναι κάθετη στην  $\Gamma\Delta$ , και επειδή εκ κατασκευής το  $AB\Gamma$  είναι ισοσκελές η  $\Gamma\Delta$  θα διέρχεται από το μέσον της AB και θα ταυτίζεται με την μεσοκάθετο του ευθυγράμμου τμήματος (Πόρισμα 1.8.3), ο.ε.κ.

Κατασκευή 2.4.2 Κατασκευή του ισοπλεύρου τριγώνου με μία πλευρά ταυτιζόμενη με δοθέν ευθύγραμμο τμήμα AB.

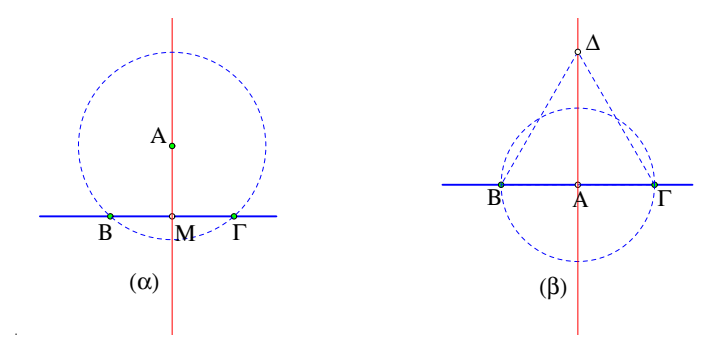
Κατασκευή: Ίδια κατασκευή με την προηγούμενη (και ίδιο σχήμα). Το τρίγωνο ΑΒΓ που κατασκευάζεται στην προηγούμενη κατασκευή είναι το ζητούμενο ισόπλευρο, ο.ε.κ.

Κατασκευή 2.4.3 Κατασκευή των γωνιών 30 και 60 μοιρών.

Κατασκευή: Το ορθογώνιο τρίγωνο ΑΜΓ, που προχύπτει στην πρώτη κατασκευή έχει οξείες γωνίες  $\alpha=60$  και  $\gamma=30$ , ο.ε.κ.

Κατασκευή 2.4.4 Κατασκευή της καθέτου προς ευθεία  $\varepsilon$  από σημείο A εκτός αυτής.

Κατασκευή: Επιλέγουμε τυχαίο σημείο B επί της ε και με ακτίνα  $\rho=|AB|$  γράφουμε κύκλο  $A(\rho)$  (σχήμα  $137(\alpha)$ ). Αν ο κύκλος αυτός δεν τέμνει την ε σε άλλο σημείο τότε η ε είναι εφαπτόμενη αυτού και επομένως κάθετη στην ακτίνα AB (Πρόταση 2.2.2). Αν ο κύκλος



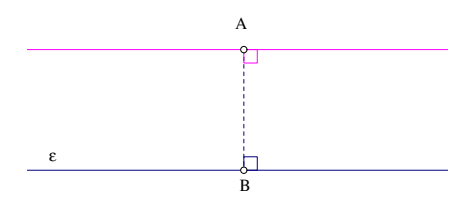
Σχήμα 137: Κάθετος από σημείο Α (α:) εκτός της ε, (β:) επί της ε

τέμνει την ε σε ένα δεύτερο σημείο  $\Gamma$ , τότε ενώνουμε το μέσον M της  $B\Gamma$  (Κατασκευή 2.4.1) με το A και ορίζουμε την ζητουμένη κάθετο (Πόρισμα 1.8.3), ο.ε.κ.

Κατασκευή 2.4.5 Κατασκευή της καθέτου προς ευθεία  $\varepsilon$  από σημείο A της ευθείας.

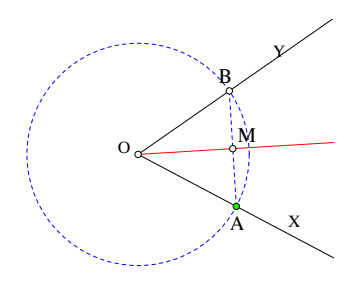
Κατασκευή: Επιλέγουμε τυχαίο σημείο B επί της ε (σχήμα  $137(\beta)$ ), διαφορετικό του A και γράφουμε τον κύκλο  $A(\rho)$  με κέντρο A και ακτίνα  $\rho=|AB|$  που τέμνει την ε σε ένα δεύτερο σημείο  $\Gamma$ . Κατασκευάζουμε το ισόπλευρο τρίγωνο  $B\Gamma\Delta$  με μία πλευρά την  $B\Gamma$  (Κατασκευή 2.4.2) και φέρουμε την ευθεία  $A\Delta$  που είναι η ζητουμένη, ο.ε.κ.

Κατασκευή 2.4.6 Κατασκευή της παραλλήλου προς ευθεία  $\varepsilon$  από σημείο A εκτός της ευθείας.



Σχήμα 138: Παράλληλος προς την ε από σημείο Α εκτός αυτής

Κατασκευή: Κατασκευάζουμε την κάθετο AB επί της ε (Κατασκευή 2.4.4) και κατόπιν την κάθετο επί την AB στο σημείο A αυτής (Κατασκευή 2.4.5) που είναι η ζητουμένη (Πόρισμα 1.10.7), ο.ε.κ.

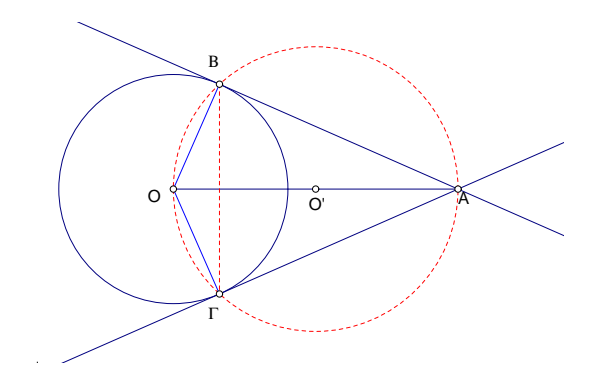


Σχήμα 139: Κατασκευή διχοτόμου γωνίας ΧΟΥ

Κατασκευή 2.4.7 Κατασκευή της διχοτόμου γωνίας ΧΟΥ.

Κατασκευή: Παίρνουμε αυθαίρετο σημείο A επί της OX και κατασκευάζουμε τον κύκλο με κέντρο το O και ακτίνα  $\rho = |OA|$ , τέμνοντα την άλλη πλευρά OY της γωνίας στο σημείο B. Εάν M το μέσον της AB (Κατασκευή 2.4.1), τότε η OM είναι η ζητουμένη (Πόρισμα 1.8.1), ο.ε.κ.

Κατασκευή 2.4.8 Κατασκευή των εφαπτομένων κύκλου από σημείο εκτός αυτού.



Σχήμα 140: Κατασκευή εφαπτομένων από σημείο

Κατασκευή: Έστω ο κύκλος  $O(\rho)$  και το σημείο A εκτός αυτού, δηλαδή  $|OA|>\rho$ . Κατασκευάζουμε τον κύκλο  $O'(\rho')$  με κέντρο το μέσον O' του OA και ακτίνα  $\rho'=|OA|/2$ , δηλαδή τον κύκλο με διάμετρο το OA. Ισχύει  $\rho'-\rho<|OO'|=\rho'<\rho+\rho'$ , άρα κατά το Πρόταση 2.3.2 οι δύο κύκλοι θα τέμνονται σε δύο σημεία B και  $\Gamma$ . Στα τρίγωνα OAB και  $OA\Gamma$  που προκύπτουν οι κορυφές B και  $\Gamma$  βλέπουν την διάμετρο OA υπό ορθή γωνία (Πόρισμα 2.1.7), άρα οι AB κα  $A\Gamma$  είναι αντίστοιχα κάθετες στις ακτίνες OB και  $O\Gamma$  του κύκλου  $O(\rho)$ , άρα είναι εφαπτόμενες σε αυτόν(Πρόταση 2.2.2), ο.ε.κ.

Τα ευθύγραμμα τμήματα AB και  $A\Gamma$  ονομάζουμε πάλι  $E\varphi a\pi τ \delta \mu \epsilon \nu \epsilon \varsigma$  του κύκλου  $O(\rho)$  από το A. Η διάκριση μεταξύ εφαπτομένων ευθειών και ευθυγράμμων τμημάτων γίνεται κάθε φορά από τα συμφραζόμενα.

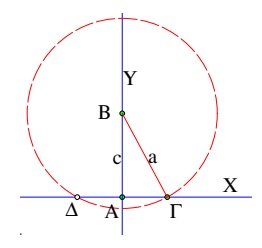
**Πόρισμα 2.4.1** Από σημείο A εκτός κύκλου  $O(\rho)$  υπάρχουν ακριβώς δύο εφαπτόμενες προς αυτόν που είναι ίσες .

Aπόδειξη: Οι δύο εφαπτόμενες της προηγούμενης κατασκευής είναι ίσες, ως αντίστοιχες πλευρές ίσων τριγώνων, των ΟΑΒ και ΟΑΓ. Τα τρίγωνα αυτά είναι ίσα διότι έχουν την ΟΑ κοινή, τις ΟΒ και ΟΓ ίσες και τις γωνίες τους στο Ο ίσες, αφού το ΟΒΓ είναι ισοσκελές και η ΟΑ είναι διχοτόμος της ΟΒΓ (Πόρισμα 2.3.2). Επίσης εκτός από τις δύο εφαπτόμενες από το A της προηγούμενης κατασκευής δεν υπάρχουν άλλες. Πράγματι αν υπήρχε μία ακόμη  $A\Delta$ , με  $\Delta$  το σημείο επαφής επί του κύκλου  $O(\rho)$ , τότε και το τρίγωνο  $O\Delta A$  θα ήταν ορθογώνιο και το  $\Delta$  θα έβλεπε την OA υπό ορθή γωνία, άρα το  $\Delta$  θα ήταν επί του κύκλου με διάμετρο OA (Πόρισμα 2.1.7) και θα συνέπιπτε με ένα εκ των B και  $\Gamma$ , ο.ε.δ.

Εκτός των στοιχειωδών κατασκευών, κατά τις οποίες με την βοήθεια του κανόνα και του διαβήτη ευρίσκομε γωνίες, κάθετες, εφαπτόμενες, κατά το πρότυπο των προηγουμένων παραδειγμάτων, υπάρχουν και κατασκευές πιό σύνθετες, στις οποίες δίδονται κάποια στοιχεία του

σχήματος και ζητείται η κατασκευή του. Ιδιαίτερα οι κατασκευές του απλούστερου επίπεδου σχήματος, που είναι το τρίγωνο, κατέχουν ένα σημαντικό πεδίο προβλημάτων της Γεωμετρίας. Γενικά, όταν ζητείται η κατασκευή ενός σύνθετου σχήματος από ορισμένα δεδομένα, καταφεύγουμε στο τρίπτυχο: Ανάλυση, Σύνθεση, Διερεύνηση. Στην Ανάλυση ξεκινάμε με την φράση: Εστω ότι το ζητούμενο κατασκευάσθηκε, υποθέτουμε δηλαδή ότι η κατασκευή ολοκληρώθηκε και συνδυάζοντας τα κατασκευασμένα προχωρούμε σε διασυνδέσεις τους με τα δεδομένα. Στην Σύνθεση πάμε ανάποδα. Χρησιμοποιούμε τα βήματα που κάναμε στην ανάλυση σε αντίστροφη σειρά και πάμε από τα δεδομένα προς τα ζητούμενα. Τέλος, στην Διερεύνηση εξετάζουμε υπό ποίες συνθήκες τα δοθέντα στοιχεία οδηγούν σε λύση και πόσες είναι αυτές οι λύσεις. Στα προβλήματα που συζητώ στο βιβλίο, συχνά περιορίζομαι στην Σύνθεση, αφήνοντάς τα δύο άλλα στάδια ως ασκήσεις. Ιδιαίτερα, όταν η κατασκευή είναι πολύ απλή, η ανάλυση περιττεύει.

Κατασκευή 2.4.9 Κατασκεύασε ορθογώνιο τρίγωνο  $AB\Gamma$  του οποίου δίδεται μία κάθετος πλευρά και η υποτείνουσα.



Σχήμα 141: Κατασκευή ορθογωνίου από κάθετο και υποτείνουσα

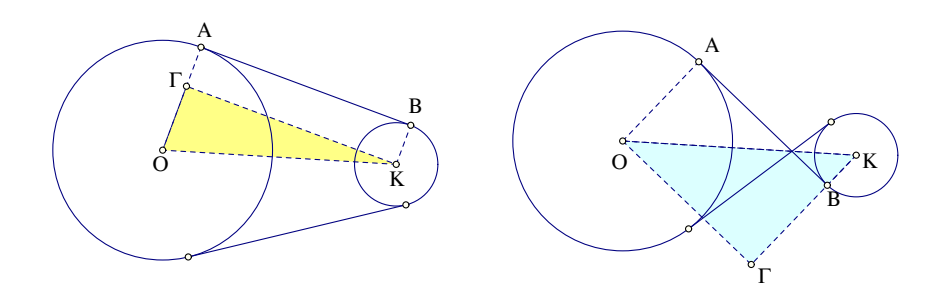
Κατασκευή: Ανάλυση Έστω ότι το ζητούμενο τρίγωνο  $AB\Gamma$ , ορθογώνιο στο A, κατασκευάσθηκε και έχει δεδομένη κάθετο AB και υποτείνουσα  $B\Gamma$ . Το  $\Gamma$  είναι σημείο τομής της πλευράς OX γωνίας YOX και κύκλου με κέντρο B επί της πλευράς OY της γωνίας και ακτίνας ίσης με το δοθέν μήκος  $|B\Gamma|$  της υποτείνουσας.

 $\Sigma$ ύν $\theta$ εση: Πάρε δύο κάθετες ευθείες AX, AY και όρισε στην AY τμήμα AB ίσο με το δοθέν της καθέτου πλευράς. Κατόπιν με κέντρο το B και ακτίνα  $|B\Gamma|$  ίση με το δοθέν μήκος της υποτείνουσας γράψε κύκλο που τέμνει την OX στα  $\Gamma$  και  $\Delta$ . Τα δύο τρίγωνα  $AB\Gamma$  και  $AB\Delta$  είναι ίσα και ικανοποιούν τις απαιτήσεις του προβλήματος.

 $\Delta$ ιερεύνηση: Το τρίγωνο κατασκευάζεται τότε ακριβώς, όταν το δοθέν μήκος  $a=|B\Gamma|$  της υποτείνουσας είναι μεγαλύτερο του μήκους της καθέτου c=|AB|. Υπάρχει τότε μία ακριβώς λύση (τα  $AB\Gamma$  και  $AB\Delta$  είναι ίσα τρίγωνα), ο.ε.κ.

Κατασκευή 2.4.10 Κατασκευή των κοινών εφαπτομένων δύο κύκλων εξωτερικών αλλήλων.

Κατασκευή: Ανάλυση Έστω ότι οι κύκλοι  $O(\rho)$  και  $K(\rho')$  έχουν ακτίνες  $\rho \geq \rho'$  και έστω ότι η κοινή εφαπτομένη AB κατασκευάσθηκε. Αυτή μπορεί να έχει τους κύκλους από την ίδια ή από διαφορετικές μεριές. Και στις δύο περιπτώσεις οι ευθείες OA και KB είναι κάθετες στην AB και περιέχονται αντίστοιχα στην ίδια ή διαφορετικές πλευρές της AB. Στην πρώτη περίπτωση προβάλλουμε το K στην AB. Στην δεύτερη προβάλλουμε το AB. Δημιουργείται έτσι το τρίγωνο AB, ορθογώνιο στο AB και κατασκευάσιμο από τα δεδομένα. Τούτο διότι AB0 είναι πρώτη περίπτωση και AB1 ερίπτωση και AB2 είναι δεύτερη. Επομένως το



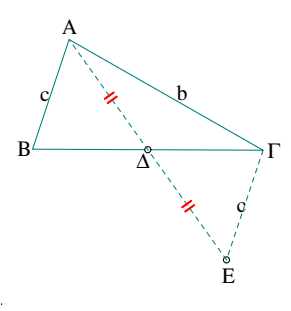
Σχήμα 142: Κατασκευή κοινών εφαπτομένων δύο κύκλων

ορθογώνιο τρίγωνο ΟΚΓ κατασκευάζεται αφού γνωρίζουμε την υποτείνουσά του |OK| και μία κάθετο (Κατασκευή 2.4.9).

 $\Sigma$ ύνθεση Κατασκεύασε το ορθογώνιο τρίγωνο ΟΓΚ με υποτείνουσα την διάκεντρο ΟΚ και μία κάθετο την ΟΓ μήκους ίσου με την διαφορά ρ-ρ΄. Προέκτεινε την ΟΓ μέχρι το A επί του  $O(\rho)$  και φέρε παράλληλη ακτίνα KB του  $K(\rho')$ . Η AB είναι η ζητούμενη. Παρόμοια κατασκεύασε ορθογώνιο ΟΓΚ με υποτείνουσα την ΟΚ και μία κάθετη ΟΓ μήκους ρ+ρ΄. Προσδιόρισε την τομή B της  $K\Gamma$  με τον  $K(\rho')$  και φέρε παράλληλη της KB ακτίνα OA του  $O(\rho)$  έτσι ώστε η γωνία AOK να είναι ίση με την OKB. Η πρώτη κατασκευή δίδει την εφαπτόμενη AB που αφήνει τους δύο κύκλους από το ίδιο μέρος. Η δεύτερη αφήνει τους κύκλους εκατέρωθεν αυτής.

 $\Delta$ ιερεύνηση Το σχήμα είναι συμμετρικό ως προς την διάκεντρο KP και με τον προηγούμενο τρόπο κατασκευάζονται δύο ίσες εφαπτόμενες από το κάθε είδος, ο.ε.κ.

'Ασκηση 2.4.1 Να κατασκευασθεί τρίγωνο  $AB\Gamma$  του οποίου δίδονται τα μήκη δύο πλευρών  $b=|A\Gamma|, c=|AB|$  και το μήκος της περιεχομένης σε αυτές διαμέσου  $\mu_A=|A\Delta|$ .



Σχήμα 143: Κατασκευή τριγώνου από διάμεσο και πλευρές

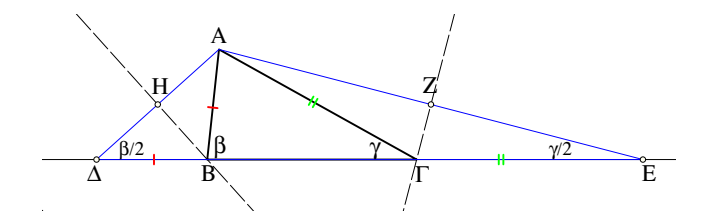
Υπόδειξη: Ανάλυση: Έστω ότι το τρίγωνο  $AB\Gamma$  κατασκευάσθηκε. Προέκτεινε την διάμεσο  $A\Delta$  κατά το διπλάσιο μέχρι το E. Τα τρίγωνα  $A\Delta B$  και  $E\Delta\Gamma$  είναι ίσα (ΠΓΠ-κριτήριο). Το τρίγωνο  $A\Gamma E$  κατασκευάζεται διότι γνωρίζουμε τα μήκη των τριών πλευρών του  $|A\Gamma|=b, |E\Gamma|=c, |AE|=2\mu_A$ .

 $\Sigma$ ύν $\theta$ εση: Κατασκευάζουμε το τρίγωνο ΑΓΕ με πλευρές  $|A\Gamma|=b, |E\Gamma|=c, |AE|=2\mu_A$ . Αυτού του τριγώνου φέρνουμε την διάμεσο ΓΔ και την προεκτείνουμε έως το Β. Το ΑΒΓ είναι το ζητούμενο. Τούτο διότι τα τρίγωνα ΑΔΒ και ΕΔΓ είναι ίσα, άρα  $|AB|=|E\Gamma|=c,$  η  $|A\Gamma|=b$  εκ κατασκευής και η διάμεσος  $|A\Delta|=\frac{|AE|}{2}=2\mu_A$ . Έχει λοιπόν το ΑΒΓ τις ζητούμενες ιδιότητες.

2.4.  $KATA\Sigma KE\Upsilon E\Sigma$  91

 $\Delta$ ιερεύνηση: Τα δοθέντα b,c και  $2\mu_A$  θα πρέπει να ικανοποιούν την τριγωνική ανισότητα. Yπάρχει τότε μία μόνο λύση.

'Ασκηση 2.4.2 Να κατασκευασθεί τρίγωνο  $AB\Gamma$  του οποίου δίδονται δύο γωνίες και η περίμετρος .



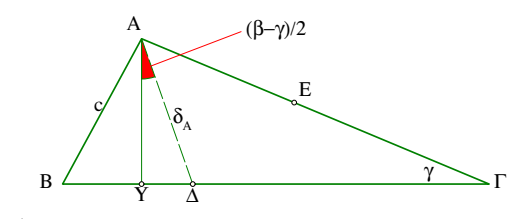
Σχήμα 144: Κατασκευή τριγώνου από γωνίες και περίμετρο

Υπόδειξη: Ανάλυση: Κατ' αρχήν δεν παίζει ρόλο ποιές από τις τρεις γωνίες έχουν δοθεί. Ας υποθέσουμε λ.χ. ότι δίδεται η περίμετρος p και οι γωνίες  $\beta$  και  $\gamma$ , τότε η  $\alpha=180-(\beta+\gamma)$ . Έστω, λοιπόν, ότι το τρίγωνο ABΓ κατασκευάσθηκε. Προέκτεινε την πλευρά BΓ και πάρε τμήματα  $|B\Delta|=|BA|, |\Gamma E|=|\Gamma A|$ . Προκύπτει το τρίγωνο  $A\Delta E$  το οποίο έχει γωνίες στα  $\Delta$  και E αντίστοιχα B/2 και A/2 κα

 $\Sigma$ ύνθεση: Κατασκεύασε το τρίγωνο  $A\Delta E$  που έχει  $|\Delta E|=p$  ίσο με την δοθείσα περίμετρο και γωνίες στα  $\Delta$  και E αντίστοιχα  $\beta/2$  και  $\gamma/2$ . Μετά την κατασκευή του  $A\Delta E$  φέρε τις μεσοκαθέτους HB,  $Z\Gamma$ , που ορίζουν τα σημεία B και  $\Gamma$  ως τομές με την πλευρά  $\Delta E$ . Το  $AB\Gamma$  έχει τις ζητούμενες ιδιότητες. Λόγω της μεσοκαθέτου HB του  $A\Delta$  ισχύει  $|AB|=|\Delta B|$ . Ανάλογα, λόγω της μεσοκαθέτου  $Z\Gamma$  του AE ισχύει  $|A\Gamma|=|\Gamma E|$ . Άρα η περίμετρος  $|AB|+|B\Gamma|+|\Gamma A|=|\Delta E|$ . Eπίσης η γωνία  $|AB\Gamma|=2\frac{\beta}{2}=\beta$  ως εξωτερική του ισοσκελούς  $AB\Delta$  στο B. Ανάλογα και  $|A\Gamma B|=\gamma$ .

 $\Delta \imath \epsilon \rho \epsilon \acute{\upsilon} \nu \eta \sigma \eta$ : Το πρόβλημα έχει πάντοτε μία και μόνο λύση, αρκεί οι γωνίες να ικανοποιούν την  $\beta + \gamma < 180$ .

'Ασκηση 2.4.3 Να κατασκευασθεί τρίγωνο  $AB\Gamma$ , του οποίου δίδεται το μήκος της διχοτόμου από το A,  $\delta_A = |A\Delta|$ , η πλευρά c = |AB|, και η διαφορά  $\omega = |\beta - \gamma|$ .



Σχήμα 145: Τρίγωνο από τα στοιχεία  $\delta_A, c, \omega = |\beta - \gamma|$ 

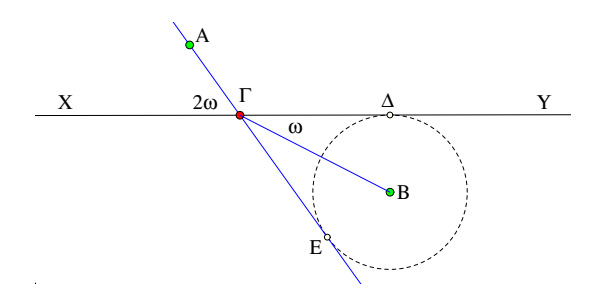
Υπόδειξη: Ανάλυση: Ας υποθέσουμε ότι το ζητούμενο τρίγωνο κατασκευάσθηκε και είναι b>c και επομένως και  $β>\gamma$  άρα  $ω=β-\gamma$ . Το κλειδί της κατασκευής είναι η γωνία μεταξύ ύψους AY και διχοτόμου  $A\Delta$ , που έχει μέτρο  $|YA\Delta|=(\beta-\gamma)/2=\omega/2$ . Αυτό προκύπτει εύκολα από τις γωνίες του ορθογωνίου τριγώνου  $AY\Delta$ .  $|A\Delta Y|=\gamma+\frac{\alpha}{2}$ , ως εξωτερική του τριγώνου  $A\Delta \Gamma$ . Τότε  $|YA\Delta|=90-|Y\Delta A|=\frac{\alpha+\beta+\gamma}{2}-(\gamma+\frac{\alpha}{2})=\frac{\beta-\gamma}{2}$ .

Συνεπώς το ορθογώνιο τρίγωνο  $AY\Delta$  κατασκευάζεται από τα δεδομένα, αφού γνωρίζουμε την υποτείνουσα  $\delta_A$  και τις γωνίες του.

 $\Sigma$ ύν $\theta$ εση: Κατασχευάζουμε το ορθογώνιο τρίγωνο  $AY\Delta$  του οποίου γνωρίζουμε την υποτείνουσα  $\delta_A$  και τις γωνίες του. Κατόπιν κατασχευάζουμε τα ορθογώνια τρίγωνα AYB και  $AY\Gamma$ . Το πρώτο διότι γνωρίζουμε την υποτείνουσα AB και την κάθετο AY από το προηγούμενο βήμα. Από την κατασχευή του AYB βρίσκουμε την γωνία  $\beta$  και αφαιρώντας  $\beta-\omega=\gamma$  ευρίσκουμε την  $\gamma$ . Το ορθογώνιο τρίγωνο  $AY\Gamma$  λοιπόν κατασχευάζεται διότι γνωρίζουμε την κάθετο AY και τις γωνίες του.

 $\Delta$ ιερεύνηση: Η κατασκευή είναι δυνατή όταν το δοθέν μήκος c=|AB|>|AY|. Προκύπτει τότε μία λύση. Αργότερα (Παράγραφος 3.6) θα δούμε ότι το |AY|, που προκύπτει κατά την διαδικασία της κατασκευής, εκφράζεται με την βοήθεια των αρχικών δεδομένων ( $|AY|=\delta_A\cdot \text{συν}(\frac{\omega}{2})$ ). Άρα, τότε θα μπορέσουμε να εκφράσουμε την συνθήκη ύπαρξης λύσης μέσω μιάς ανισότητας που πρέπει να ικανοποιούν τα δεδομένα:  $c>\delta_A\cdot \text{συν}(\frac{\omega}{2})$ ).

'Ασκηση 2.4.4 Δίδονται σημεία A και B εκατέρωθεν της ευθείας XY. Να βρεθεί σημείο  $\Gamma$  επί της ευθείας έτσι ώστε  $|X\Gamma A|=2|B\Gamma Y|$ .



Σχήμα 146: Σημείο Γ επ' ευθείας με  $|X\Gamma A|=2|B\Gamma Y|$ 

Υπόδειξη: Ανάλυση: Ας υποθέσουμε ότι το ζητούμενο σημείο Γ της ευθείας XY κατασκευάσθηκε. Προεκτείνουμε την ΓΑ προς την μεριά του β. Τότε η Γβ θα είναι διχοτόμος της γωνίας ΕΓY και το β θα ισαπέχει από τις ευθείες χY και ΑΓ. Θα είναι συνεπώς κέντρο του κύκλου κ(β, |βΔ|), όπου δ η προβολή του β στην χY. Το δ ευρίσκεται από τα δεδομένα και επομένως ο κύκλος κ κατασκευάζεται.

 $\Sigma$ ύν $\theta$ εση: Κατασχευάζουμε τον χύχλο χ $(B,|B\Delta|)$  και φέρνουμε τις εφαπτόμενες από το A προς τον χ. Aπό τις δύο εφαπτόμενες επιλέγουμε την AE που μαζί με την δοθείσα XY περιέχει τον χύχλο στο εσωτεριχό της γωνίας  $Y\Gamma E$ , όπου  $\Gamma$  το σημείο τομής της AE και της XY. Τότε η  $|A\Gamma X|=|Y\Gamma E|=2|Y\Gamma B|$  και το  $\Gamma$  ικανοποιεί τις απαιτήσεις του προβλήματος.

 $\Delta \iota \epsilon \rho \epsilon \dot{\upsilon} \nu \eta \sigma \eta$ : Το πρόβλημα έχει πάντοτε μία λύση.

Άσκηση 2.4.5 Κατασκεύασε τρίγωνο  $AB\Gamma$  του οποίου δίδεται η πλευρά  $|B\Gamma|$ , η διάμεσος  $\mu_A = |A\Delta|$  και το ύψος  $v_A = |AY|$ .

'Ασκηση 2.4.6 Κατασκεύασε ισοσκελές τρίγωνο του οποίου δίδονται τα ίχνη των δύο ίσων υψών επί των σκελών και ένα σημείο της βάσης του.

Άσκηση 2.4.7 Κατασκεύασε τρίγωνο  $AB\Gamma$  του οποίου δίδεται η διάμεσος  $\mu_A=|A\Delta|$  καθώς και οι γωνίες που αυτή σχηματίζει  $\mu$ ε τις πλευρές AB και  $A\Gamma$ .

'Ασκηση 2.4.8 Κατασκεύασε ισοσκελές τρίγωνο του οποίου δίδονται τα μέσα των δύο ίσων σκελών και ένα σημείο της βάσης του.

'Ασκηση 2.4.9 Κατασκεύασε ισοσκελές τρίγωνο του οποίου δίδονται τα ίχνη των δύο διχοτόμων επί των σκελών του και ένα σημείο της βάσης του.

Άσκηση 2.4.10 Από σημείο της προέκτασης διαμέτρου του κύκλου να αχθεί εφαπτόμενη της οποίας το μήκος να είναι ίσο με την ακτίνα του κύκλου.

'Ασκηση 2.4.11 Να κατασκευασθεί κύκλος κ διερχόμενος από δύο δοθέντα σημεία A και B και τέμνων δοθέντα κύκλο  $\lambda$  κατά χορδή  $\Gamma\Delta$  παράλληλο προς δοθείσα ευθεία  $\varepsilon$ .

Άσκηση 2.4.12 Nα κατασκευασθεί κύκλος κ $\mu$ ε δοθείσα ακτίνα  $\rho$ , διερχόμενος δια δοθέντος σημείου A και έχων εφαπτόμενη από δοθέν σημείο  $\mu$ ε δοθέν μήκος.

'Ασκηση 2.4.13 Δοθέντων τριών ίσων κύκλων, των οποίων τα κέντρα δεν είναι συνευθειακά, να βρεθεί σημείο από το οποίο οι εφαπτόμενες προς τους κύκλους αυτούς είναι ίσες.

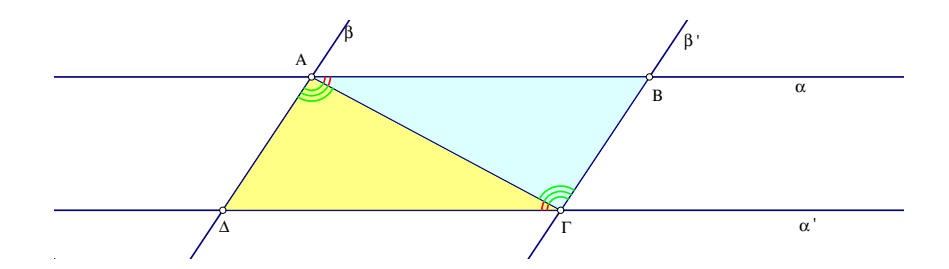
Άσκηση 2.4.14 Να βρεθεί σημείο Μ επί της πλευράς ΑΒ τριγώνου ΑΒΓ, έτσι ώστε

$$|MA| + |A\Gamma| = |MB| + |B\Gamma|.$$

Άσκηση 2.4.15  $\Delta \epsilon$ ίξε ότι γιά κάθε σημείο  $\Delta$  της πλευράς  $B\Gamma$  τριγώνου  $AB\Gamma$ , διαφορετικό από τα B και  $\Gamma$ , υπάρχει ευθεία  $\Delta X$  που αποτέμνει από τις άλλες πλευρές τρίγωνο με γωνίες ίσες με αυτές του  $AB\Gamma$ .  $\Delta \epsilon$ ίξε ότι γιά κάθε τέτοιο  $\Delta$  υπάρχουν τέσσερις διαφορετικές ευθείες  $\Delta X$  που έχουν αυτή την ιδιότητα.

### 2.5 Παραλληλόγραμμα

Πρόταση 2.5.1  $\Delta$ ύο παράλληλες ευθείες α και α΄ αποτέμνουν επί δύο άλλων παραλλήλων  $\beta$  και  $\beta$ ΄ αντίστοιχα ευθύγραμμα τμήματα  $A\Delta$  και  $B\Gamma$  που είναι ίσα.



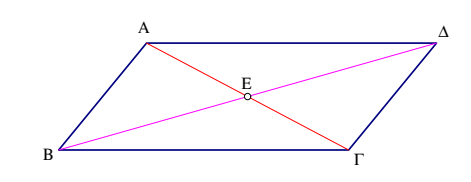
Σχήμα 147: Παράλληλες μεταξύ παραλλήλων

Aπόδειξη: Φέροντας την AΓ σχηματίζονται τα τρίγωνα AΒΓ και AΓΔ. Τα τρίγωνα αυτά έχουν κοινή την πλευρά AΓ. Επίσης έχουν τις γωνίες ΔΑΓ και AΓΒ ίσες ως εντός και εναλλάξ μεταξύ παραλλήλων (των β και β') τεμνομένων υπό της AΓ. Οι γωνίες AΓΔ και ΓAΒ είναι επίσης ίσες διότι είναι και αυτές εντός και εναλλάξ μεταξύ παραλλήλων (των α και α΄) τεμνομένων υπό της AΓ. Εφαρμόζοντας το ΓΠΓ-κριτήριο ισότητας τριγώνων συμπεραίνομε ότι τα αναφερθέντα τρίγωνα είναι ίσα. Από την ισότητα των τριγώνων προκύπτει η ισότητα των ΑΔ και BΓ, ο.ε.δ.

Παραλληλόγραμμο λέγεται το σχήμα  $AB\Gamma\Delta$  που ορίζεται από δύο ζεύγη παραλλήλων ευθυγράμμων τμημάτων  $(AB,\Gamma\Delta)$  και  $(B\Gamma,\Delta E)$ , όπως στην προηγούμενη πρόταση. Τα σημεία  $A,B,\Gamma$  και  $\Delta$  λέγονται  $\mathbf{Koρυφές}$  του παραλληλογράμμου. Τα ευθύγραμμα τμήματα  $AB,B\Gamma,\Gamma\Delta$  και  $\Delta E$  λέγονται  $\mathbf{Πλευρές}$  του παραλληλογράμμου και τα  $A\Gamma$  και  $B\Delta$  λέγονται  $\mathbf{Διαγώνιοι}$  του παραλληλογράμμου.

Πόρισμα 2.5.1 α) Κάθε διαγώνιος χωρίζει το παραλληλόγραμμο σε δύο ίσα τρίγωνα.

- β) Οι απέναντι πλευρές παραλληλογράμμου είναι ίσες.
- γ) Οι απέναντι γωνίες του παραλληλογράμμου είναι ίσες.
- δ) Δύο διαδοχικές γωνίες του παραλληλογράμμου είναι παραπληρωματικές.

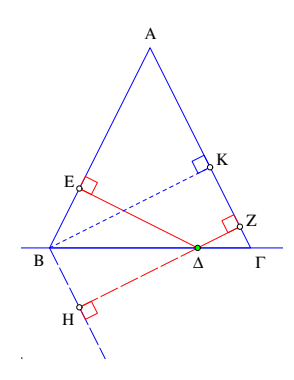


Σχήμα 148: Διαγώνιοι παραλληλογράμμου διχοτομούνται

Πρόταση 2.5.2 Οι διαγώνιοι παραλληλογράμμου διχοτομούνται από το σημείο τομής τους.

Aπόδειξη: Η απόδειξη προχύπτει από την ισότητα των τριγώνων AΕΔ και BΕΓ. Αυτή πάλι προχύπτει από το ότι οι πλευρές AΔ και BΓ είναι ίσες και το ότι οι γωνίες EAΔ και EΓB είναι ίσες καθώς και οι AΔΕ και EBΓ είναι επίσης ίσες (ως εντός και εναλλάξ κτλ.), ο.ε.δ.

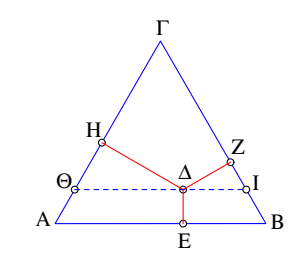
Άσκηση 2.5.1  $\Delta \epsilon$ ίξ $\epsilon$  ότι κάθ $\epsilon$  σημ $\epsilon$ ίο  $\Delta$  της βάσης  $B\Gamma$  ισοσκ $\epsilon$ λούς τριγώνου  $AB\Gamma$   $\epsilon$ χ $\epsilon$ ι άθροισμα αποστάσ $\epsilon$ ων  $|\Delta E| + |\Delta Z|$  από τα σκ $\epsilon$ λη σταθ $\epsilon$ ρό και ίσο μ $\epsilon$  το ύψος BK από το B.



Σχήμα 149: Ιδιότητα βάσης του ισοσκελούς

Υπόδειξη: Φέρε από το B παράλληλο προς την AΓ και προέκτεινε την ΔΖ έως ότου τμήσει αυτήν στο H. Η γωνία στο H είναι ορθή και τα ορθογώνια τρίγωνα BΕΔ και BHΔ έχουν την BΔ κοινή και τις προσκείμενες σε αυτήν γωνίες ίσες, άρα είναι ίσα. Επομένως  $|\Delta E| + |\Delta Z| = |\Delta H| + |\Delta Z| = |BK|$ . Η τελευταία ισότητα ισχύει διότι το ZHBK είναι παραλληλόγραμμο (δες και Άσκηση 1.15.8).

Άσκηση 2.5.2  $\Delta$ είζε ότι κάθε σημείο  $\Delta$  στο εσωτερικό του ισοπλεύρου τριγώνου  $AB\Gamma$  έχει άθροισμα αποστάσεων από τις πλευρές του  $|\Delta E| + |\Delta Z| + |\Delta H|$  σταθερό και ίσο με το ύψος του ισοπλεύρου.

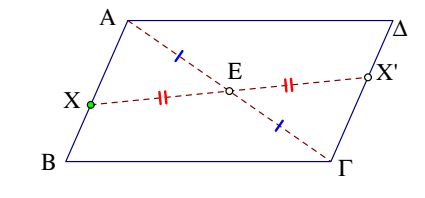


Σχήμα 150: Ιδιότητα του ισοπλεύρου

Υπόδειξη: Φέρε από το  $\Delta$  παράλληλο ΘΙ προς την AB και εφάρμοσε την προηγούμενη άσκηση στο (ισόπλευρο) τρίγωνο ΘΓΙ. Το  $|\Delta Z| + |\Delta H|$  είναι κατ' αυτήν ίσο με το ύψος του ΘΓΙ από το Θ. Επειδή το τρίγωνο ΘΓΙ είναι και αυτό ισόπλευρο, το ύψος αυτό ισούται με το ύψος από το  $\Gamma$  και προσθέτοντας σε αυτό το  $|\Delta E|$  έχουμε το ύψος του αρχικού τριγώνου από το  $\Gamma$ .

Άσκηση 2.5.3 Κατασκεύασε το παραλληλόγραμμο  $AB\Gamma\Delta$  του οποίου δίδονται τα μήκη των πλευρών  $|AB|, |B\Gamma|$  και η μεταξύ αυτών γωνία  $|AB\Gamma|$ . Παρόμοια το παραλληλόγραμμο του οποίου δίδονται οι δύο πλευρές, ως ανωτέρω, καθώς και η διαγώνιος  $|A\Gamma|$ .

'Ασκηση 2.5.4  $\Delta \epsilon$ ίξ $\epsilon$  ότι το σημ $\epsilon$ ίο τομής των διαγωνίων παραλληλογράμμου  $\epsilon$ ίναι κ $\epsilon$ ντρο συμμ $\epsilon$ τρίας του .



Σχήμα 151: Σημειακή συμμετρία παραλληλογράμμου

Υπόδειξη: Γιά το τυχόν σημείο X της πλευράς AB του παραλληλογράμμου  $AB\Gamma\Delta$ , διαφορετικό από τις κορυφές του, φέρε την XE, όπου E το σημείο τομής των διαγωνίων, και προέκτεινέ την κατά το διπλάσιο μέχρι το X'. Τα τρίγωνα AXE και  $\Gamma EX'$  είναι ίσα (ΠΓΠ-κριτήριο), συνεπώς οι γωνίες XAE και  $X'\Gamma E$  ίσες, που σημαίνει ότι το X' είναι επί της  $\Gamma \Delta$ . Η ίδια διαδικασία εφαρμοζόμενη στις κορυφές δίνει τις απέναντι κορυφές. Αυτό δείχνει ότι υπάρχει μιά αντιστοίχιση όλων των σημείων του παραλληλογράμμου  $X \leftrightarrow X'$  όπως απαιτεί ο ορισμός της συμμετρίας ως προς κέντρο (δες και την Άσκηση 2.6.6).

' $\mathbf{A}$ σκηση  $\mathbf{2.5.5}$  Nα κατασκευασθεί παραλληλόγραμμο του οποίου δίδονται τα μήκη των πλευρών και η απόσταση δύο παραλλήλων πλευρών του.

'Ασκηση 2.5.6 Να βρεθεί σημείο E στην πλευρά  $\Gamma\Delta$  παραλληλογράμμου  $AB\Gamma\Delta$  έτσι ώστε η γωνία AEB να είναι ίση με την  $BE\Gamma$ .

'Ασκηση 2.5.7 Να κατασκευασθεί παραλληλόγραμμο  $AB\Gamma\Delta$  που έχει τις κορυφές του A και  $\Gamma$  σε δοθέντα σημεία και τις B,  $\Delta$  επί δοθέντος κύκλου.

'Ασκηση 2.5.8 Να κατασκευασθεί παραλληλόγραμμο  $AB\Gamma\Delta$  που έχει τις κορυφές του A και  $\Gamma$  σε δοθέντα σημεία, τις B,  $\Delta$  επί δοθέντων παραλλήλων και την διαγώνιο  $B\Delta$  να διέρχεται από δοθέν σημείο.

'Ασκηση 2.5.9 Aπό το σημείο τομής O των διαγωνίων παραλληλογράμμου  $AB\Gamma\Delta$  άγονται δύο ευθείες XOY κάθετες μεταξύ τους. Εάν η OX τέμνει τις AB και  $\Gamma\Delta$  στα σημεία K και  $\Lambda$  και η OY τέμνει τις AB και  $\Gamma\Delta$  στα M και N αντιστοίχως, δείξε ότι το  $KM\Lambda N$  είναι παραλληλόγραμμο και έχει ίσες πλευρές.

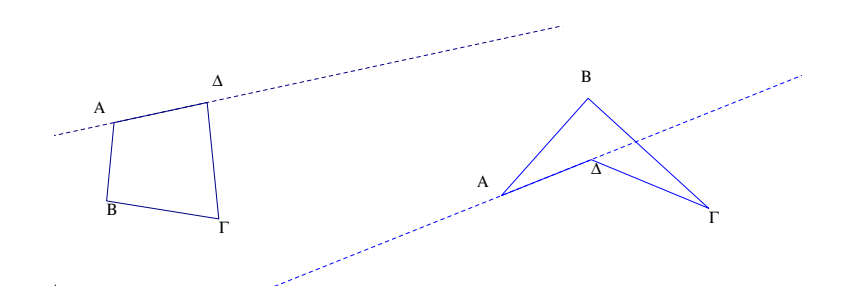
Άσκηση 2.5.10  $\Delta \epsilon$ ίξε ότι το ύψος προς μεγαλύτερη πλευρά τριγώνου είναι μικρότερο από το ύψος προς μικρότερη πλευρά.

Άσκηση 2.5.11  $\Delta \epsilon$ ίξε ότι σε τρίγωνο  $AB\Gamma$  γιά το οποίο η γωνία  $\alpha = |BA\Gamma| > \beta = |\Gamma BA|$  η διάμεσος  $\Gamma \Delta$  σχηματίζει γωνία  $|A\Delta\Gamma| < |\Gamma \Delta B|$ .

'Ασκηση 2.5.12 Κατασκεύασε τρίγωνο  $AB\Gamma$  του οποίου η πλευρά  $|A\Gamma|$  είναι ίση με την διάμεσο  $|A\Delta|$  και η γωνία  $|\Delta A\Gamma|=120$ .

Άσκηση 2.5.13 Να βρεθεί σημείο που ισαπέχει από δύο δοθέντα σημεία A, B καθώς και από δοθείσα ευθεία μη κάθετο στην ευθεία AB.

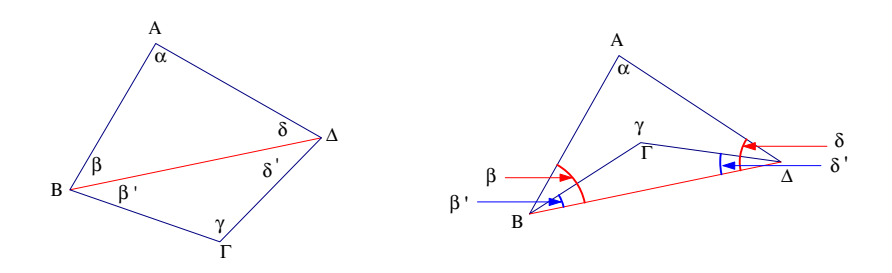
#### 2.6 Τετράπλευρα



Σχήμα 152: Κυρτό και μη-κυρτό τετράπλευρο

Τέσσερα διαδοχικά ευθύγραμμα τμήματα  $AB,B\Gamma,\Gamma\Delta,\Delta A$  που αποτελούν μία κλειστή τεθλασμένη ορίζουν ένα **Τετράπλευρο**. Ειδική περίπτωση τετραπλεύρου είναι το παραλληλόγραμμο. Το πρώτο τετράπλευρο του παραπάνω σχήματος είναι **Κυρτό**, δηλαδή κάθε πλευρά του προεκτεινόμενη αφήνει το τετράπλευρο από την μία πλευρά. Το δεύτερο τετράπλευρο του σχήματος είναι μη-κυρτό. Προεκτείνοντας λ.χ. την  $A\Delta$  έχουμε μέρη του τετραπλεύρου και από τις δύο μεριές της ευθείας  $A\Delta$ . Στο μάθημα αυτό θα ασχοληθούμε με κυρτά τετράπλευρα, ένα παράδειγμα των οποίων είναι τα παραλληλόγραμμα. Λέμε ότι δύο τετράπλευρα  $AB\Gamma\Delta$  και  $A'B'\Gamma'\Delta'$  είναι  $\mathbf{T}\sigma\mathbf{\alpha}$  όταν έχουν αντίστοιχες πλευρές ίσες και αντίστοιχες γωνίες επίσης ίσες.

Πρόταση 2.6.1 Το άθροισμα των μέτρων των γωνιών τετραπλεύρου είναι 360 μοίρες.



Σχήμα 153: Διαίρεση σε δύο τρίγωνα

Απόδειξη: Η απόδειξη προχύπτει αμέσως χωρίζοντας το τετράπλευρο σε δύο τρίγωνα με μία διαγώνιό του. Το άθροισμα των γωνιών του τετραπλεύρου είναι ίσο με το άθροισμα των γωνιών των δύο τριγώνων α + β + δ = 180 και β' + γ + δ' = 180 (Πρόταση 1.15.1) ο.ε.δ.

Τα παραλληλόγραμμα αποτελούν μιά ειδική κατηγορία τετραπλεύρων που είναι χρήσιμη σε πολλές εφαρμογές. Γιά τις ιδιότητες που αποδείξαμε προηγουμένως ισχύουν και τα αντίστροφα που εκφράζονται με τα επόμενα θεωρήματα.

**Πρόταση 2.6.2** Ένα κυρτό τετράπλευρο στο οποίο οι απέναντι πλευρές είναι ίσες είναι παραλληλόγραμμο.

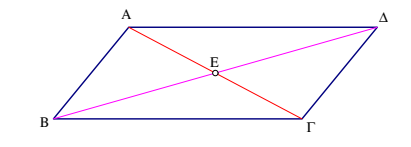
Aπόδειξη: Φέρνουμε μία διαγώνιο και αποδεικνύουμε ότι τα δύο τρίγωνα που προκύπτουν είναι ίσα εφαρμόζοντας το ΠΠΠ-κριτήριο. Από την ισότητα των τριγώνων έπεται ότι κάθε

διαγώνιος σχηματίζει ίσες εναλλάξ γωνίες με τις απέναντι πλευρές, οι οποίες επομένως είναι παράλληλες, ο.ε.δ.

Πρόταση 2.6.3 Ένα κυρτό τετράπλευρο στο οποίο οι απέναντι γωνίες είναι ίσες είναι παραλληλόγραμμο.

Aπόδειξη: Πρώτα δείχνουμε ότι διαδοχικές γωνίες είναι παραπληρωματικές. Πράγματι αφού οι γωνίες είναι ανά ζεύγη ίσες τότε τα μέτρα τους θα είναι διαδοχικά α,β,α,β και το άθροισμα θα πρέπει να είναι 2α+2β=360. Συνεπώς α+β=180. Προκύπτει λοιπόν ότι το τετράπλευρο έχει απέναντι πλευρές παράλληλες, άρα είναι παραλληλόγραμμο, ο.ε.δ.

**Πρόταση 2.6.4** Ένα τετράπλευρο στο οποίο οι διαγώνιοί του διχοτομούνται από το σημείο τομής τους είναι παραλληλόγραμμο.



Σχήμα 154: Διαγώνιοι διχοτομούνται

Aπόδειξη: Και εδώ αρχεί να θεωρήσουμε τα τρίγωνα AΕΔ και BΕΓ που σχηματίζονται από δύο απέναντι πλευρές (AΔ, BΓ) και το σημείο τομής των διαγωνίων E. Τα τρίγωνα αυτά αποδειχνύονται ίσα βάσει του ΠΓΠ-χριτηρίου ισότητας τριγώνων και από την ισότητα αυτή προχύπτει η παραλληλία των απέναντι πλευρών του τετραπλεύρου, ο.ε.δ.

Πρόταση 2.6.5 Ένα τετράπλευρο στο οποίο δύο απέναντι πλευρές είναι ίσες και παράλληλες είναι παραλληλόγραμμο.

Aπόδειξη: Και εδώ αρχεί να θεωρήσουμε τα τρίγωνα AΕΔ και BΕΓ που σχηματίζονται από τις δύο ίσες απέναντι πλευρές (AΔ, BΓ) και το σημείο τομής των διαγωνίων E. Τα τρίγωνα αυτά αποδειχνύονται ίσα βάσει του ΓΠΓ-χριτηρίου ισότητας τριγώνων και από την ισότητα αυτή προχύπτει η παραλληλία των απέναντι πλευρών του τετραπλεύρου, ο.ε.δ.

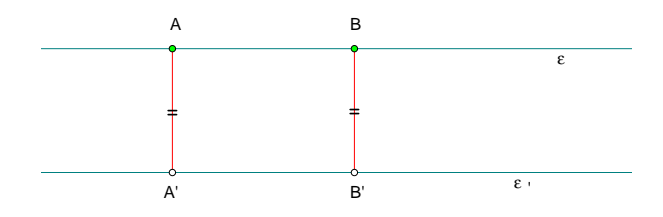
Άσκηση 2.6.1  $\Delta \epsilon$ ίξε ότι αν σε τετράπλευρο κάθε ζεύγος διαδοχικών γωνιών αποτελείται από παραπληρωματικές γωνίες τότε το τετράπλευρο είναι παραλληλόγραμμο.

Υπόδειξη: Ξεχώρισε μία γωνία α του τετραπλεύρου. Αφού η προηγούμενη αυτής και η επόμενη είναι παραπληρωματικές της (=180-α), αυτές θα είναι ίσες μεταξύ τους. Εφάρμοσε το 2.6.3.

'Ασκηση 2.6.2 Δίδονται δύο παράλληλες ευθείες  $\varepsilon$  και  $\varepsilon$ '. Από δύο σημεία A και B της  $\varepsilon$  φέρνουμε τις κάθετες AA' και BB' επί την  $\varepsilon$ '. Δείξε ότι τα ευθύγραμμα τμήματα AA' και BB' είναι ίσα.

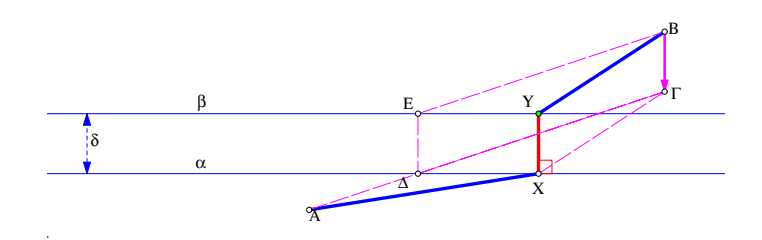
 $\Upsilon$ πόδ $\epsilon$ ιξη: Οι ευθείες AA' και BB' είναι παράλληλες, άρα το ABB'A' παραλληλόγραμμο.

Απόσταση δύο παραλλήλων ε και ε΄ λέμε το μήκος ενός καθέτου ευθυγράμμου τμήματος από σημείο Α της ε προς την ε΄. Η τελευταία άσκηση δείχνει ότι η επιλογή της θέσης του Α πάνω στην ε δεν παίζει κανένα ρόλο. Επίσης δεν αλλάζει η απόσταση αν ξεκινήσουμε από σημείο Α΄ της ε΄ και φέρουμε την κάθετο Α΄Α στην ε.



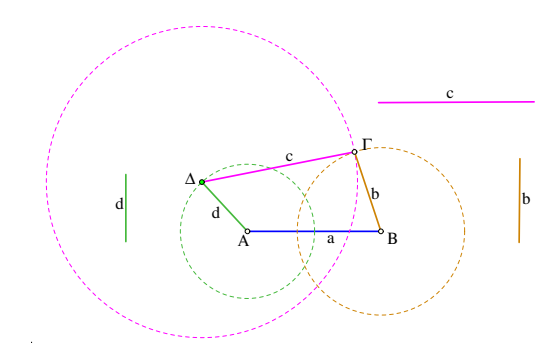
Σχήμα 155: Απόσταση δύο παραλλήλων

'Ασκηση 2.6.3 Ένας ποταμός έχει παράλληλες όχθες σε απόσταση δ. Από τις δύο μεριές του ευρίσκονται δύο πόλεις A και B. Να βρεθεί η θέση της γέφυρας XY που καθιστά το άθροισμα των δρόμων (και το κέρδος του εργολάβου) |AX| + |XY| + |YB| ελάχιστο.



Σχήμα 156: Η θέση της γέφυρας

Υπόδειξη: Πάρε το σημείο  $\Gamma$  σε απόσταση  $\delta$  από το B στην κάθετο από το B προς τον ποταμό. Ο δρόμος προς ελαχιστοποίηση |AX|+|XY|+|YB| είναι πάντα ίσος με τον  $|AX|+|X\Gamma|+|\Gamma B|=|AX|+|X\Gamma|+\delta$ . Άρα αρκεί να ελαχιστοποιήσουμε το  $|AX|+|X\Gamma|$  (το  $\Gamma$  είναι σταθερό σημείο). Όμως η τεθλασμένη αυτή έχει πάντοτε μήκος μεγαλύτερο του ευθυγράμμου τμήματος  $A\Gamma$ . Άρα το σημείο X πρέπει να συμπέσει με το σημείο  $\Delta$  στο οποίο η  $A\Gamma$  τέμνει την  $\alpha$ .

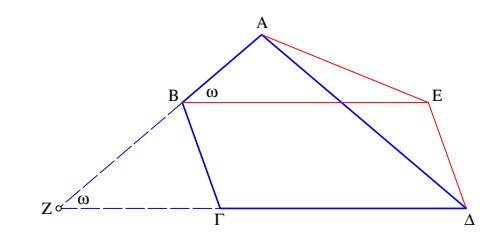


Σχήμα 157: Τετράπλευρα με δοθέντα μήκη πλευρών

Σχόλιο  $\Delta$ οθέντων μηκών a,b,c και d, εάν υπάρχει ένα τετράπλευρο με αυτά τα μήκη πλευρών, τότε υπάρχουν εν γένει και άπειρα άλλα τετράπλευρα  $AB\Gamma\Delta$  με τα ίδια μήκη πλευρών. Γιά τον προσδιορισμό ενός από αυτά τα τετράπλευρα αρκεί ένα ακόμη στοιχείο του, όπως λ.χ. η γωνία  $BA\Delta$  και το γεγονός ότι είναι κυρτό. Αντί της γωνίας αρκεί και μία διαγώνιος, λ.χ.

η  $B\Delta$ , η οποία τότε προσδιορίζει πλήρως τα δύο τρίγωνα στα οποία διαιρεί το τετράπλευρο. Αναγκαία πάλι η διάκριση σε τετράπλευρο κυρτό ή μη.

'Ασκηση 2.6.4 Κατασκεύασε κυρτό τετράπλευρο  $AB\Gamma\Delta$  του οποίου δίδονται τα μήκη των πλευρών και η γωνία υπό την οποία τέμνονται δύο απέναντι πλευρές του AB και  $\Gamma\Delta$ .



Σχήμα 158: Κατασκευή τετραπλεύρου

Υπόδειξη: Φέρε από το B παράλληλο και ίσο τμήμα BE προς την  $\Gamma\Delta$  και το ημιεπίπεδο της  $B\Gamma$  που ανήκει το  $\Delta$ . Το τρίγωνο ABE κατασκευάζεται διότι γνωρίζουμε την AB την BE (ίση με  $\Gamma\Delta$ ) και την γωνία  $\omega = ABE = AZ\Delta$ . Επομένως η AE είναι γνωστού μήκους, άρα το τρίγωνο  $AE\Delta$  κατασκευάζεται διότι γνωρίζουμε τα μήκη των τριών πλευρών του ( $|E\Delta| = |B\Gamma|$ ). Κατόπιν κατασκευάζεται και το παραλληλόγραμμο  $BE\Delta\Gamma$  και με αυτό το ζητούμενο τετράπλευρο.

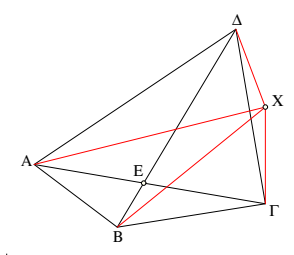
'Ασκηση 2.6.5  $\Delta$ είξε ότι αν ένα τετράπλευρο έχει κέντρο συμμετρίας τότε είναι παραλληλόγραμμο.

Υπόδειξη: Θεώρησε την πλευρά AB και τις προσκείμενες σε αυτήν γωνίες του τετραπλεύρου. Κατά την συμμετρία η πλευρά θα πηγαίνει σε άλλη πλευρά και οι προσκείμενες γωνίες σε αντίστοιχες ίσες γωνίες. Επομένως οι γωνίες του τετραπλεύρου θα είναι της μορφής α, $\beta$ ,α, $\beta$  με  $2(\alpha+\beta)=360$ , άρα α,  $\beta$  παραπληρωματικές (Άσκηση 2.6.1).

'Ασκηση 2.6.6  $\Delta \epsilon$ ίξε ότι ένα τετράπλευρο είναι παραλληλόγραμμο τότε και μόνον τότε όταν έχει κέντρο συμμετρίας.

 $\Upsilon$ πόδειξη: Συνδύασε την προηγούμενη άσκηση και την Άσκηση 2.5.4.

Άσκηση 2.6.7  $\Delta$ οθέντος κυρτού τετραπλεύρου  $AB\Gamma\Delta$ , δείξε ότι το άθροισμα των αποστάσεων σημείου X από τις κορυφές του γίνεται ελάχιστο όταν συμπίπτει με το σημείο E της τομής των διαγωνίων του.

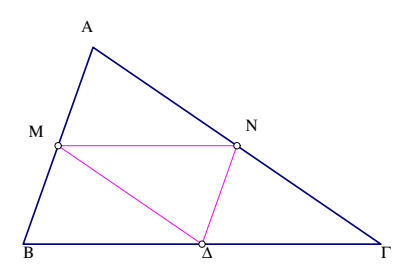


Σχήμα 159: Ελαχιστοποίηση του  $|XA| + |XB| + |X\Gamma| + |X\Delta|$ 

Υπόδειξη: Εφάρμοσε την τριγωνική ανισότητα  $|XA|+|X\Gamma|>|A\Gamma|, \ |XB|+|X\Delta|>|B\Delta|.$ 

## 2.7 Τα μέσα των πλευρών

**Πρόταση 2.7.1** Σε τρίγωνο  $AB\Gamma$  η παράλληλος από το μέσον M της AB προς την πλευρά  $B\Gamma$  τέμνει την τρίτη πλευρά  $A\Gamma$  στο μέσον της N. Eπί πλέον η MN έχει μήκος το ήμισυ της  $B\Gamma$ .

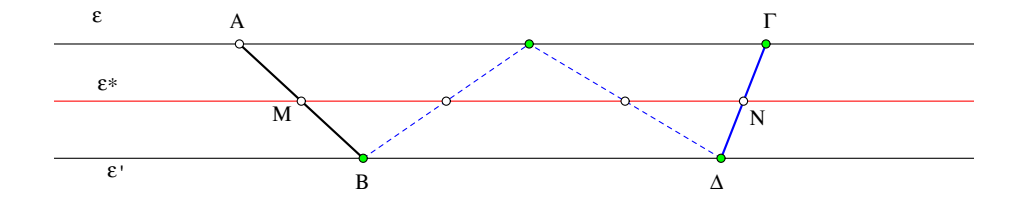


Σχήμα 160: Η ευθεία ΜΝ που ενώνει τα μέσα πλευρών

Απόδειξη: Έστω λοιπόν N το σημείο τομής με την AΓ της παραλλήλου από το M προς την BΓ. Θα δείξουμε ότι το N είναι το μέσον της AΓ στηριζόμενοι στους προηγούμενους χαρακτηρισμούς του παραλληλογράμμου. Προς τούτο φέρουμε την NΔ παράλληλο της AB, Δ επί της BΓ. Το BMNΔ είναι εκ κατασκευής παραλληλόγραμμο άρα οι NΔ και BM είναι ίσες και παράλληλες. Επειδή και οι AM και BM είναι ίσες συνάγεται ότι και το AMΔN είναι παραλληλόγραμμο (Πρόταση 2.6.5). Γιά τον ίδιο λόγο προκύπτει επίσης ότι και το MNΓΔ είναι παραλληλόγραμμο. Από τα δύο παραλληλόγραμμα AMΔN και MNΓΔ με κοινή την MΔ προκύπτει ότι οι AN και NΓ είναι ίσες. Ο δεύτερος ισχυρισμός του θεωρήματος γιά το ήμισυ του μήκους προκύπτει πάλι από τα παραλληλόγραμμα MNΔB και MNΓΔ που έχουν κοινή πλευρά την MN, ο.ε.δ.

**Πόρισμα 2.7.1** Το ευθύγραμμο τμήμα MN που ενώνει τα μέσα πλευρών AB και AΓ τριγώνου ABΓ είναι παράλληλο προς την τρίτη πλευρά BΓ και έχει το μισό μήκος αυτής.

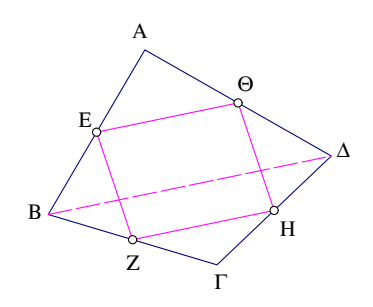
**Πόρισμα 2.7.2** Αν τα σημεία A, B είναι αντίστοιχα επί των παραλλήλων  $\varepsilon$ ,  $\varepsilon'$  και φέρουμε από το μέσον M του AB παράλληλο  $\varepsilon^*$  προς την  $\varepsilon$ , τότε η  $\varepsilon^*$  περιέχει το μέσον κάθε ευθυγράμμου τμήματος  $\Gamma\Delta$  με άκρα επί των  $\varepsilon$  και  $\varepsilon'$  αντιστοίχως.



Σχήμα 161: Η μεσοπαράλληλος των παραλλήλων ε και ε΄

Την ευθεία  $ε^*$  που ορίζεται από το προηγούμενο πόρισμα ονομάζουμε Μεσοπαράλληλο των παραλλήλων ευθειών ε και ε΄.

**Πρόταση 2.7.2** Τα μέσα των πλευρών παντός τετραπλεύρου σχηματίζουν παραλληλόγραμμο.



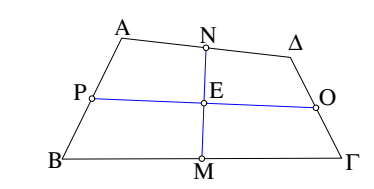
Σχήμα 162: Το παραλληλόγραμμο των μέσων

Aπόδειξη: Αν στο τετράπλευρο ABΓΔ τα σημεία E και  $\Theta$  είναι τα μέσα των πλευρών AB και AΔ αντίστοιχα, τότε η ευθεία EΘ είναι παράλληλη της διαγωνίου BΔ και έχει το μισό μήκος αυτής. Το ίδιο συμβαίνει και με το ευθύγραμμο τμήμα ZH που ενώνει τα μέσα των  $\Gamma B$  και  $\Gamma Δ$  αντίστοιχα. Συνεπώς τα EΘ και ZH είναι παράλληλα και ίσα, άρα σχηματίζουν παραλληλόγραμμο (Πρόταση 2.6.5), ο.ε.δ.

'Ασκηση 2.7.1  $\Delta$ είξε ότι δύο παράλληλες ευθείες είναι συμμετρικές ως προς κάθε σημείο O της μεσοπαράλληλής τους.

Άσκηση 2.7.2 Περίγραψε όλες τις συμμετρίες, αξονικές και σημειακές, του σχήματος που αποτελείται από δύο παράλληλες ευθείες.

' ${\bf A}$ σκηση  ${\bf 2.7.3}$   $\Delta$ είζε ότι σε κάθε τετράπλευρο  $AB\Gamma\Delta$  τα ευθύγραμμα τμήματα MN και OP που ενώνουν τα μέσα απέναντι πλευρών του διχοτομούνται από το σημείο τομής τους E.

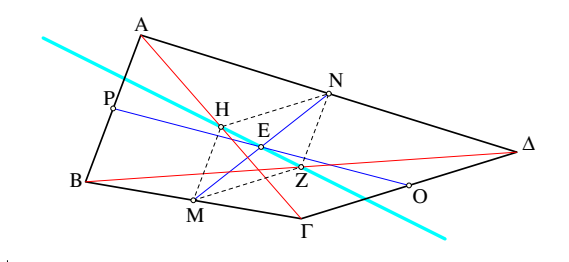


Σχήμα 163: Ενώνοντας τα μέσα απέναντι πλευρών

 $\Upsilon$ πόδ $\epsilon$ ιξη: Οι MN και ΟΡ είναι οι διαγώνιοι του παραλληλογράμμου των μέσων των πλευρών του τετραπλεύρου.

Άσκηση 2.7.4  $\Delta \epsilon$ ίξε ότι σε κάθε τετράπλευρο  $AB\Gamma\Delta$  το σημείο τομής των ευθυγράμμων τμημάτων MN και OP που ενώνουν τα μέσα απέναντι πλευρών του και τα μέσα H, Z των διαγωνίων του περιέχονται στην ίδια ευθεία και το E είναι το μέσον της HZ.

 $\Upsilon$ πόδειξη: Στο τρίγωνο  $B\Gamma\Delta$  η MZ ενώνει τα μέσα των πλευρών  $B\Gamma$  και  $B\Delta$ , άρα είναι παράλληλη και το μισό της  $\Gamma\Delta$ . Στο τρίγωνο  $A\Gamma\Delta$  η HN ενώνει τα μέσα των πλευρών  $A\Gamma$  και  $A\Delta$ , άρα είναι παράλληλη και το μισό της  $\Delta\Gamma$ . Συμπεραίνουμε ότι το HNZM είναι παραλληλόγραμμο, του οποίου οι διαγώνιοι διχοτομούνται.

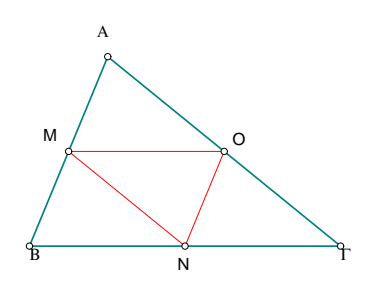


Σχήμα 164: Η ευθεία του Newton τετραπλεύρου ΑΒΓΔ

Η ευθεία HZ του προηγουμένου προβλήματος ορίζεται γιά κάθε τετράπλευρο που δεν είναι παραλληλόγραμμο και λέγεται Ευθεία του Newton (1643-1727) του τετραπλεύρου. Στην περίπτωση του παραλληλογράμμου τα σημεία Η και Z του προβλήματος συμπίπτουν και έτσι η ευθεία αυτή δεν ορίζεται.

Οι δύο επόμενες ασκήσεις δείχνουν ότι το τρίγωνο καθορίζεται πλήρως από την θέση των μέσων των πλευρών του. Δεν συμβαίνει όμως το ίδιο και με το τετράπλευρο, στο οποίο τα μέσα των πλευρών σχηματίζουν παραλληλόγραμμο.

Άσκηση 2.7.5  $\Delta \epsilon$ ίξε ότι αν δοθούν οι θέσεις των μέσων M,N και O των πλευρών του τριγώνου  $AB\Gamma$  τότε αυτό είναι πλήρως καθορισμένο (υπάρχει ένα ακριβώς με αυτά τα σημεία ως μέσα των πλευρών του).

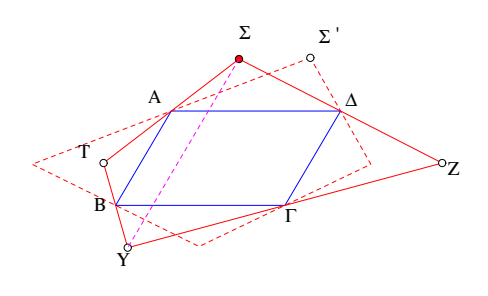


Σχήμα 165: Τρίγωνο με προκαθορισμένα μέσα πλευρών

Υπόδειξη: Έστω ότι κατασκευάστηκε το ζητούμενο τρίγωνο  $AB\Gamma$ . Κατά την Πρόταση 2.7.1 η  $A\Gamma$  θα είναι παράλληλη και διπλάσιου μήκους προς την MN. Ανάλογες ιδιότητες θα ισχύουν και γιά τις άλλες πλευρές του  $AB\Gamma$ , άρα αυτό συμπίπτει με το τρίγωνο που κατασκευάζεται φέρνοντας παράλληλες από τα O, M, N αντίστοιχα προς τις MN, NO, OM.

Άσκηση 2.7.6  $\Delta$ είξε ότι δοθέντος παραλληλογράμμου  $AB\Gamma\Delta$  και σημείου  $\Sigma$  εκτός των ευθειών-φορέων των πλευρών του, υπάρχει ένα ακριβώς τετράπλευρο με μέσα των πλευρών του τις κορυφές του παραλληλογράμμου και μία κορυφή του στο  $\Sigma$ .

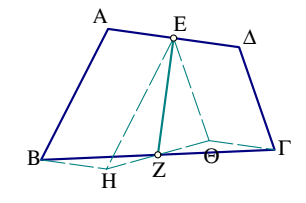
Υπόδειξη: Ξεκίνησε από το  $\Sigma$ , φέρε την  $\Sigma A$  και διπλασίασε μέχρι το T. Φέρε κατόπιν την TB και διπλασίασε μέχρι το Y, φέρε την  $Y\Gamma$  και διπλασίασε μέχρι το Z. Το μέσον της  $Z\Sigma$  είναι το  $\Delta$ . Αυτό προκύπτει εφαρμόζοντας την Πρόταση 2.7.1 στο τρίγωνο  $\Sigma YZ$  και δείχνει ότι γιά κάθε θέση του  $\Sigma$  προκύπτει ένα τετράπλευρο με τα προδιαγεγραμμένα μέσα.



Σχήμα 166: Πολλά τετράπλευρα με τα ίδια μέσα πλευρών

'Ασκηση 2.7.7 Κατασκεύασε παραλληλόγραμμο  $AB\Gamma\Delta$  του οποίου δίδονται οι θέσεις των μέσων τριών πλευρών του.

'Ασκηση 2.7.8 Κατασκεύασε τετράπλευρο  $AB\Gamma\Delta$  του οποίου δίδονται τα μήκη των πλευρών καθώς και το μήκος του ευθυγράμμου τμήματος EZ που ενώνει τα μέσα των απέναντι πλευρών  $A\Delta$  και  $B\Gamma$  αντίστοιχα.



Σχήμα 167: Κατασκευή τετραπλεύρου

Υπόδειξη: Από το B φέρε παράλληλη και ίση προς την AE και την ίδια μεριά της AB με το E. Από το  $\Gamma$  φέρε παράλληλη και ίση της  $\Delta E$  και προς την ίδια μεριά της  $\Delta \Gamma$  με το E. Σχηματίζονται τα παραλληλόγραμμα AEHB και  $E\Delta\Gamma\Theta$ , άρα το  $BH\Gamma\Theta$  είναι παραλληλόγραμμο με διαγώνιες  $H\Theta$  και  $B\Gamma$ . Άρα το μέσον της  $H\Theta$  είναι το Z (Πρόταση 2.5.2). Έπεται ότι στο τρίγωνο  $EH\Theta$  είναι γνωστά τα μήκη των πλευρών EH και  $E\Theta$  καθώς και το μήκος της μεταξύ αυτών περιεχομένης διαμέσου EZ. Κατά την Άσκηση 2.4.1 το τρίγωνο  $EH\Theta$  κατασκευάζεται. Eπίσης κατασκευάζονται τα ίσα μεταξύ τους τρίγωνα ZHB και  $Z\Theta\Gamma$  διότι είναι γνωστές οι τρείς πλευρές τους. Από αυτά κατασκευάζονται κατόπιν και τα παραλληλόγραμμα HBAE και  $\Theta\Gamma\Delta E$  που προσδιορίζουν πλήρως το τετράπλευρο.

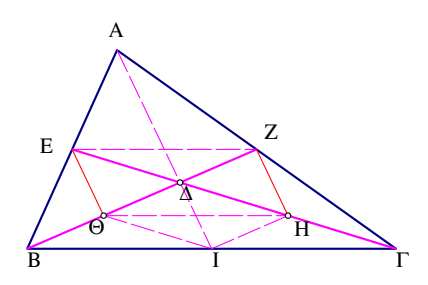
'Ασκηση 2.7.9 Προέκτεινε την ακτίνα ΟΑ κύκλου κ(Ο,ρ) προς το Α κατά το διπλάσιο μέχρι το B και φέρε εφαπτόμενες του κ από το B με σημεία επαφής  $\Gamma$  και  $\Delta$ . Bρες τις γωνίες του τετραπλεύρου  $O\Gamma B\Delta$ .

Άσκηση 2.7.10 Κατασκεύασε κυρτό τετράπλευρο  $AB\Gamma\Delta$  του οποίου οι γωνίες στα  $A,B,\Gamma$  έχουν μέτρο  $\varphi$ ,  $2\varphi$ ,  $3\varphi$  και η  $\Gamma\Delta$  είναι το μισό της AB. Προσδιόρισε το  $\varphi$  και δείξε ότι το τετράπλευρο είναι τραπέζιο.

Άσκηση 2.7.11 Κατασκεύασε παραλληλόγραμμο  $AB\Gamma\Delta$  του οποίου οι δύο κορυφές A και B είναι δοθέντα σημεία και οι δύο άλλες ευρίσκονται επί δοθέντος κύκλου κ.

## 2.8 Οι διάμεσοι τριγώνου

Τα ευθύγραμμα τμήματα που ενώνουν τις κορυφές τριγώνου με τα μέσα των απέναντι πλευρών τριγώνου λέγονται **Διάμεσοι** του τριγώνου. Οι δύο σημαντικότερες ιδιότητες των διαμέσων είναι οι εκφραζόμενες από τα επόμενα θεωρήματα.

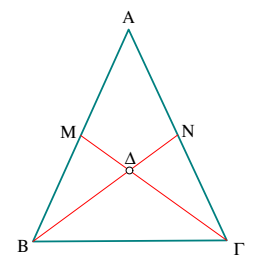


Σχήμα 168: Το κέντρο βάρους

**Πρόταση 2.8.1** Οι τρεις διάμεσοι του τριγώνου διέρχονται από το ίδιο σημείο, που χωρίζει την κάθε μία από αυτές σε λόγο 2:1.

Απόδειξη: Έστω ότι BZ και ΓΕ είναι δύο από τις διαμέσους του τριγώνου ABΓ. Θα δείξουμε ότι και η τρίτη περνά από το σημείο τομής τους  $\Delta$ . Προς τούτο θεώρησε τα μέσα Θ και H των B $\Delta$  και Γ $\Delta$  αντίστοιχα. Από τα προηγούμενα (Πρόταση 2.7.1) συνάγεται ότι τα ευθύγραμμα τμήματα ΘΕ και HZ είναι παράλληλα προς την A $\Delta$  ίσα με το ήμισυ αυτής. Άρα είναι ίσα μεταξύ τους και παράλληλα (Πόρισμα 1.15.3), συνεπώς το EZHΘ είναι παραλληλόγραμμο (Πρόταση 2.6.5) και οι διαγώνιοί του διχοτομούνται στο  $\Delta$  (Πρόταση 2.5.2). Φέρε από το H παράλληλο HI προς την BZ με I επί της BΓ. Πάλι από τα προηγούμενα η HI είναι παράλληλη και το ήμισυ της B $\Delta$  και το I είναι το μέσον της BΓ. Συνάγεται ότι και το  $\Delta$ ZHI είναι παραλληλόγραμμο και επομένως η  $\Delta$ I είναι στην ίδια ευθεία με το A $\Delta$  (μονοσήμαντο της παραλλήλου προς την ZH από το  $\Delta$ ). Συμπεραίνουμε λοιπόν ότι και η τρίτη διάμεσος AI διέρχεται από το  $\Delta$ . Επί πλέον δείξαμε ότι το  $\Delta$  επί των τριών διαμέσων χωρίζει κάθε μία τους σε λόγο 2:1 (τα A $\Delta$ ,B $\Delta$ ,Γ $\Delta$  είναι αντίστοιχα διπλάσια των  $\Delta$ I, $\Delta$ Z, $\Delta$ E), ο.ε.δ.

Το σημείο τομής των διαμέσων του τριγώνου λέγεται Κέντρο βάρους ή Κεντροειδές του τριγώνου.

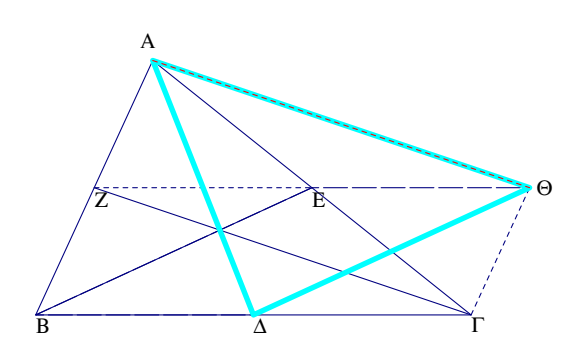


Σχήμα 169: Ίσες διάμεσοι χαρακτηρίζουν το ισοσκελές

Άσκηση 2.8.1  $\Delta \epsilon$ ίξ $\epsilon$  ότι αν οι διάμ $\epsilon$ σοι BN και  $\Gamma M$  του τριγώνου  $AB\Gamma$   $\epsilon$ ίναι ίσ $\epsilon$ ς, τότ $\epsilon$  το τρίγωνο  $\epsilon$ ίναι ισοσκ $\epsilon \lambda \dot{\epsilon}$ ς.

 $\Upsilon$ πόδειξη: Το σημείο τομής  $\Delta$  των διαμέσων (σχήμα 169) χωρίζει αυτές σε τμήματα 2:1, άρα το  $\Delta$ BΓ είναι ισοσκελές και οι γωνίες  $\Gamma$ B $\Delta$  και BΓ $\Delta$  είναι ίσες. Τα τρίγωνα B $\Delta$ M και  $\Gamma$ ΔN είναι ίσα ως έχοντα α) τις γωνίες στο  $\Delta$  κατά κορυφήν άρα ίσες,  $\beta$ ) τις  $\Delta$ M και  $\Delta$ N ίσες ως 1/3 των ίσων διαμέσων και γ) τις  $\Delta$ B και  $\Delta$ Γ ίσες ως 2/3 των ίσων διαμέσων. Τότε οι γωνίες των τριγώνων MB $\Delta$  και NΓ $\Delta$  είναι ίσες και αθροιζόμενες με τις ίσες γωνίες του ισοσκελούς  $\Delta$ BΓ δίδουν ίσες γωνίες του ABΓ στα B και  $\Gamma$ . Σημείωσε ότι η άσκηση αυτή εκφράζει την αντίστροφη της Άσκησης 1.9.4, όσον αφορά τις διαμέσους.

Πρόταση 2.8.2 Οι τρεις διάμεσοι τριγώνου μεταφερόμενες παράλληλα ωστε να γίνουν διαδοχικές κλείνουν και σχηματίζουν τρίγωνο.



Σχήμα 170: Το τρίγωνο των διαμέσων

Aπόδειξη: Στο σχήμα οι AΔ, BΕ και  $\Gamma Z$  είναι αντίστοιχες διάμεσοι των πλευρών BΓ,  $\Gamma A$  και AB. H  $\Delta \Theta$  κατασκευάζεται έτσι ώστε να είναι παράλληλη και της BΕ και προς την ίδια μεριά της BΓ με αυτήν.  $\Delta$ είχνουμε ότι και η  $\Theta A$  είναι παράλληλη και ίση προς την τρίτη διάμεσο  $\Gamma Z$ . Πράγματι, εκ κατασκευής το  $B\Delta \Theta E$  είναι παραλληλόγραμμο, άρα προεκτείνοντας την  $E\Theta$  που περνά από το μέσον E της AΓ αυτή θα τέμνει την AB στο μέσον της Z (Πρόταση 2.7.1). Τα ZE και EΘ είναι ίσα, καθώς επίση ίσα είναι και τα EA και EΓ. Άρα στο τετράπλευρο ΓΘAZ οι διαγώνιοι θα διχοτομούνται, άρα θα είναι παραλληλόγραμμο (Πρόταση 2.6.4), ο.ε.δ.

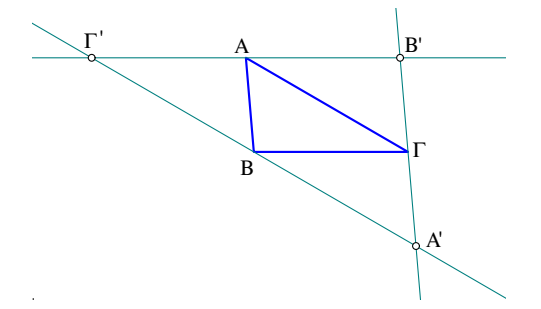
Το τρίγωνο ΑΔΘ λέγεται Τρίγωνο των διαμέσων του τριγώνου ΑΒΓ.

'Ασκηση 2.8.2  $\Delta \epsilon$ ίξ $\epsilon$  ότι οι διάμ $\epsilon$ σοι του τριγώνου  $A\Delta \Theta$  των διαμ $\epsilon$ σων του τριγώνου  $AB\Gamma$   $\epsilon$ ίναι παράλληλ $\epsilon$ ς και ίσ $\epsilon$ ς μ $\epsilon$  τα τρία τ $\epsilon$ ταρτα των πλ $\epsilon$ υρών του αρχικού τριγώνου.

 $\Upsilon$ πόδειξη: Στο τελευταίο σχήμα το E είναι το σημείο τομής των διαμέσων του  $A\Delta\Theta$  και το  $E\Theta$  είναι το μισό της  $B\Gamma$ . Συνδύασε αυτά τα δύο και ολοκλήρωσε την απόδειξη.

Άσκηση 2.8.3 Aπό τις κορυφές τριγώνου  $AB\Gamma$  φέρε παράλληλες προς τις απέναντι πλευρές.  $\Delta$ είξε ότι σχηματίζεται τρίγωνο  $AB\Gamma'$  που έχει τις ίδιες γωνίες με το  $AB\Gamma$  και επιπλέον οι κορυφές του  $AB\Gamma$  είναι τα μέσα των πλευρών του.

 $\Upsilon$ πόδειξη: Έστω ότι οι Α΄Β΄, ´ô, Γ΄Α΄ είναι αντίστοιχα παράλληλες προς τις ΑΒ, ΒΓ, ΓΑ. Τότε το ΑΓΒΓ΄ είναι παραλληλόγραμμο και οι γωνίες στα Γ και Γ΄ ίσες. Ανάλογα αποδεικνύεται ότι και οι άλλες γωνίες του Α΄Β΄Γ΄ είναι ίσες με τις αντίστοιχες του ΑΒΓ. Από το

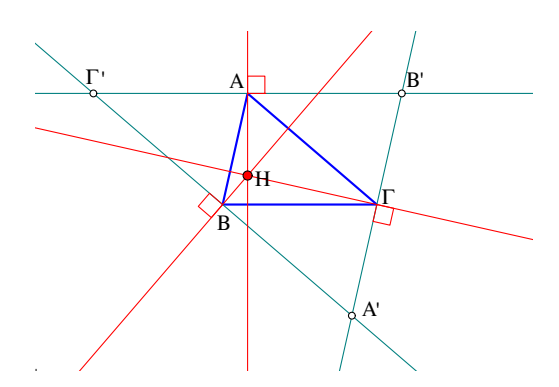


Σχήμα 171: Το αντισυμπληρωματικό τριγώνου

ότι και το  $B\Gamma B'A$  είναι παραλληλόγραμμο έπεται ότι οι AB' και  $A\Gamma'$  είναι ίσες (προς την  $B\Gamma$ ).

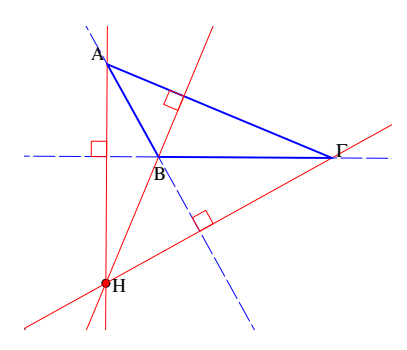
Το τρίγωνο  $A'B'\Gamma'$  που αναφέρεται στην προηγούμενη άσκηση ονομάζεται  $\mathbf{A}$ ντισυμπλη-ρωματικό του τριγώνου  $AB\Gamma$ . Μιά σημαντική εφαρμογή του είναι στην απόδειξη της επόμενης πρότασης.

**Πρόταση 2.8.3** Οι ευθείες οι κάθετες από τις κορυφές του τριγώνου στις απέναντι πλευρές του διέρχονται από κοινό σημείο.



Σχήμα 172: Το ορθόκεντρο τριγώνου

Aπόδειξη: Έστω  $A'B'\Gamma'$  το αντισυμπληρωματικό του  $AB\Gamma$ . Οι κάθετες από τις κορυφές του  $AB\Gamma$  προς τις απέναντι πλευρές είναι μεσοκάθετες των πλευρών του  $A'B'\Gamma'$ , άρα τέμνονται σε ένα σημείο H (Πρόταση 2.1.3), ο.ε.δ.



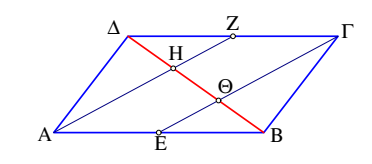
Σχήμα 173: Το ορθόκεντρο αμβλυγωνίου τριγώνου

Το σημείο Η που εξασφαλίζει η προηγούμενη πρόταση είναι το σημείο τομής των τριών

υψών (ή προεκτάσεων αυτών) και λέγεται  $\mathbf{O}$ ρθόκεντρο του τριγώνου  $AB\Gamma$ . Σημείωσε ότι στο ορθογώνιο τρίγωνο το  $\mathbf{H}$  ταυτίζεται με την κορυφή του στην ορθή γωνία του και σε αμβλυγώνια τρίγωνα το ορθόκεντρο είναι εκτός του τριγώνου.

'Ασκηση 2.8.4  $\Delta \epsilon$ ίξε ότι αν το ορθόκεντρο του τριγώνου  $AB\Gamma$  συμπίπτει με το κέντρο βάρους του τότε το τρίγωνο είναι ισόπλευρο.

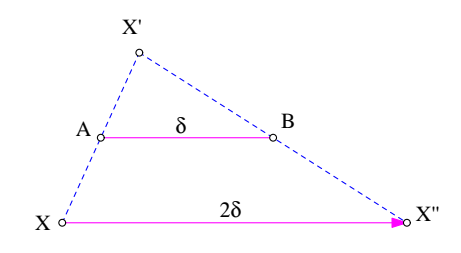
'Ασκηση 2.8.5  $\Delta \epsilon$ ίξε ότι αν το ορθόκεντρο του τριγώνου  $AB\Gamma$  συμπίπτει με το περίκεντρό του τότε το τρίγωνο είναι ισόπλευρο.



Σχήμα 174: Τριχοτόμηση διαγωνίου

'Ασκηση 2.8.6 Θεώρησε τα μέσα E,Z των απέναντι πλευρών AB,  $\Gamma\Delta$  του παραλληλογράμμου  $AB\Gamma\Delta$  και φέρε τις AZ,  $\Gamma E$ .  $\Delta$ είξε ότι αυτές χωρίζουν την διαγώνιο  $B\Delta$  σε τρία ίσα τμήματα.

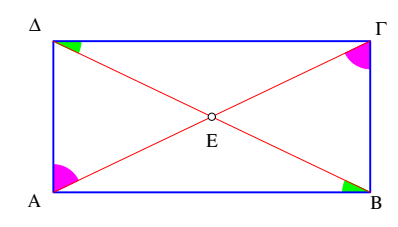
'Ασκηση 2.8.7  $\Delta$ είξε ότι αν ένα σχήμα  $\Sigma$  έχει δύο διαφορετικά κέντρα συμμετρίας τότε εκτείνεται στο άπειρο, δηλαδή όποιον θετικό αριθμό θ και αν δώσουμε υπάρχουν σημεία του  $\Sigma$  σε απόσταση μεγαλύτερη του  $\theta$ .



Σχήμα 175: Δύο συμμετρίες ως προς σημείο

Υπόδειξη: Έστω ότι το Σ έχει δύο κέντρα συμμετρίας τα A και B. Πάρε τυχόν σημείο X του  $\Sigma$  και το συμμετρικό του X' ως προς A, καθώς και το συμμετρικό X'' του X' ως προς B. Επειδή στο τρίγωνο XX'X'' που δημιουργείται η AB ενώνει τα μέσα πλευρών, η XX'' θα έχει μήκος διπλάσιο του μήκους  $\delta=|AB|$ , που είναι σταθερό και ανεξάρτητο του X. Συνεπώς το  $\Sigma$  θα έχει σημείο X'' σε απόσταση  $2\delta$  από το X. Επαναλαμβάνοντας την διαδικασία με το X'' βρίσκουμε σημείο X'''' σε απόσταση  $4\delta$  από το X, κατόπιν  $6\delta$  από το X κ.ο.κ.. Τελικά, όποιος θετικός θ και αν δοθεί, επαναλαμβάνοντας την διαδικασία ν φορές, γιά κατάλληλο ν, θα βρούμε σημείο Y έτσι ώστε  $|XY| = \nu(2\delta) > \theta$ , που σημαίνει ότι μέσα στο  $\Sigma$  μπορούμε να βρούμε σημεία που να έχουν μεταξύ τους απόσταση μεγαλύτερη από όποιον θετικό θ και αν μας δώσουνε.

## 2.9 Το ορθογώνιο και το τετράγωνο



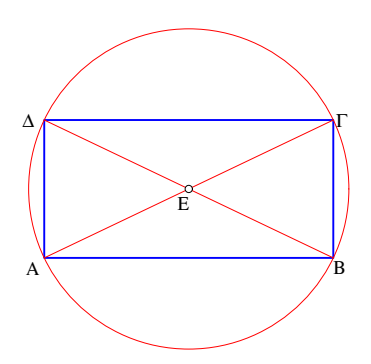
Σχήμα 176: Το ορθογώνιο

**Ορθογώνιο** λέγεται το παραλληλόγραμμο που όλες του οι γωνίες είναι ίσες (με α). Επειδή το άθροισμα των ίσων γωνιών του  $4\alpha$ =360, κάθε μία πρέπει να είναι ορθή ( $\alpha$ =90).

Πρόταση 2.9.1 Όλα τα τρίγωνα που σχηματίζονται από δύο διαδοχικές πλευρές του ορθογωνίου και την διαγώνιο που συνδέει τα άκρα τους είναι ίσα μεταξύ τους.

Υπάρχουν τέσσερα τέτοια ορθογώνια στο  $AB\Gamma\Delta$  ( $A\Delta\Gamma$ ,  $\Delta\Gamma B$ ,  $\Gamma BA$  και  $BA\Delta$ ). Το ότι τα τρίγωνα με κοινή πλευρά την διαγώνιο, όπως τα  $AB\Delta$  και  $B\Delta\Gamma$ , είναι ίσα το είδαμε στην απόδειξη της Πρότασης 2.5.1. Στα ορθογώνια είναι ίσα και τα άλλα τρίγωνα που έχουν κοινή μία πλευρά του ορθογωνίου (και όχι την διαγώνιό του), όπως λ.χ. τα  $AB\Delta$  και  $AB\Gamma$ . Πράγματι τα δύο τρίγωνα έχουν κοινή την πλευρά AB, τις πλευρές  $A\Delta$  και  $B\Gamma$  ίσες και τις περιεχόμενες γωνίες στα A και B ορθές άρα ίσες. Κατά το  $\Pi\Gamma\Pi$ -κριτήριο είναι λοιπόν ίσα, ο.ε.δ.

**Πόρισμα 2.9.1** Ενα τετράπλευρο είναι ορθογώνιο τότε και μόνον, όταν οι διαγώνιοί του είναι ίσες και διχοτομούνται από το σημείο τομής τους.

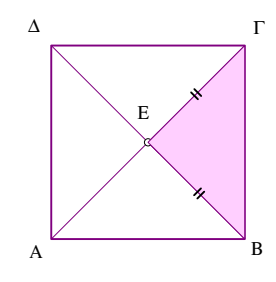


Σχήμα 177: Ίσες διαγώνιοι και διχοτομούμενες από το κοινό σημείο τους

Απόδειξη: Από την ισότητα των τριγώνων της προηγουμένης πρότασης προχύπτει η ισότητα των διαγωνίων. Το ότι αυτές διχοτομούνται στο μέσον τους είναι γενιχή ιδιότητα του παραλληλογράμμου (Πρόταση 2.5.2). Αντίστροφα, αν οι διαγώνιοι τετραπλεύρου είναι ίσες και διχοτομούνται από το σημείο τομής τους, τότε το σημείο τομής τους Ε είναι χέντρο χύχλου που περιέχει όλες τις χορυφές του τετραπλεύρου. Επιπλέον χάθε διαγώνιος είναι διάμετρος του χύχλου αυτού, άρα θα φαίνεται από την απέναντι χορυφή υπό ορθή γωνία (Πόρισμα 2.1.7). Άρα όλες οι γωνίες του τετραπλεύρου θα είναι ορθές χαι αυτό θα είναι ορθογώνιο,

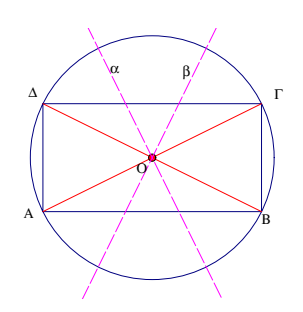
o.e. $\delta$ .

Τετράγωνο λέγεται το ορθογώνιο που επί πλέον έχει όλες τις πλευρές του ίσες.



Σχήμα 178: Τετράγωνο

**Πόρισμα 2.9.2** Σε κάθε τετράγωνο  $AB\Gamma\Delta$  τα τρίγωνα που σχηματίζονται από μία πλευρά του και το σημείο τομής των διαγωνίων του E (λ.χ.  $EB\Gamma$ ) είναι ισοσκελή, ορθογώνια στο E και όλα ίσα μεταξύ τους.



Σχήμα 179: Χαρακτηρισμός ορθογωνίου

**Πόρισμα 2.9.3** Ένα παραλληλόγραμμο είναι ορθογώνιο τότε και μόνον τότε όταν εγγράφεται σε κύκλο, δηλαδή υπάρχει κύκλος διερχόμενος και από τις τέσσερις κορυφές του.

Απόδειξη: Αν είναι ορθογώνιο τότε (Πόρισμα 2.9.1) το σημείο τομής των διαγωνίων του ισαπέχει από τις κορυφές του, άρα εγγράφεται σε κύκλο. Αντίστροφα, αν είναι παραλληλόγραμμο και εγγράφεται σε κύκλο τότε οι μεσοκάθετοι των διαγωνίων του θα περιέχουν και οι δύο το κέντρο Ο του κύκλου Πόρισμα 2.1.3. Επομένως αυτό θα συμπίπτει με το σημείο τομής των διαγωνίων του και οι διαγώνιοι θα είναι διάμετροι του κύκλου, ο.ε.δ.

Ο χύχλος που ορίζεται από την προηγούμενη πρόταση λέγεται  $\mathbf{\Pi}$ εριγεγραμμένος χύχλος του ορθογωνίου. Γιά την απόδειξη του ότι ο χύχλος αυτός είναι μοναδιχός (δηλαδή χάθε άλλος που διέρχεται επίσης από τις χορυφές του  $\mathbf{A}\mathbf{B}\Gamma\Delta$  θα ταυτίζεται με τον προηγούμενο) αρχεί να σχεφτούμε ότι αυτός ο χύχλος ταυτίζεται με αυτόν που περνά από τις χορυφές του τριγώνου  $\mathbf{A}\mathbf{B}\Gamma$  που είναι μοναδιχός ( $\mathbf{\Pi}$ ρόταση 2.1.3), ο.ε.δ.

Άσκηση 2.9.1  $\Delta \epsilon$ ίξε ότι σε κάθε ορθογώνιο η ευθεία που ενώνει τα μέσα απέναντι πλευρών του είναι άξονας συμμετρίας του.  $\Delta \epsilon$ ίξε ότι στο τετράγωνο εκτός των προηγουμένων και οι διαγώνιοι είναι άξονες συμμετρίας του.

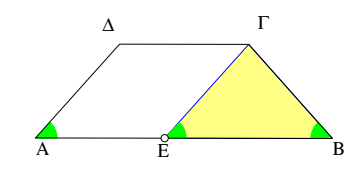
## 2.10 Άλλα είδη τετραπλεύρων



Σχήμα 180: Το τραπέζιο και το ισοσκελές τραπέζιο

Τραπέζιο λέγεται το τετράπλευρο που έχει δύο (μόνο) απέναντι πλευρές παράλληλες. Αν επί πλέον οι άλλες (μη-παράλληλες) πλευρές του είναι ίσες, τότε το τραπέζιο λέγεται Ισοσκελές.

Άσκηση 2.10.1  $\Delta \epsilon$ ίξε ότι σε ένα ισοσκελές τραπέζιο οι γωνίες που πρόσκεινται σε μία παράλληλη πλευρά του είναι ίσες, και αντίστροφα: άν οι γωνίες που πρόσκεινται σε παράλληλη πλευρά τραπεζίου είναι ίσες τότε το τραπέζιο είναι ισοσκελές.



Σχήμα 181: Οι γωνίες ισοσκελούς τραπεζίου

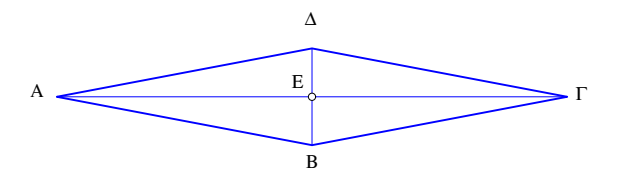
Υπόδειξη: Έστω το ισοσκελές  $AB\Gamma\Delta$  με παράλληλες τις AB και  $\Gamma\Delta$ . Φέρε από το  $\Gamma$  παράλληλη της  $\Delta A$  και σχημάτισε το τρίγωνο  $B\Gamma E$ . Το τρίγωνο αυτό είναι ισοσκελές διότι  $E\Gamma = A\Delta = B\Gamma$ . Άρα οι γωνίες  $\Gamma EB$  και  $\Gamma BE$  είναι ίσες και συνεπώς και οι  $\Delta AE$  και  $\Gamma BE$  είναι ίσες. Αντίστροφα, αν οι  $\Delta AE$  και  $\Gamma BE$  είναι ίσες, τότε φέρνοντας παράλληλο της  $A\Delta$  από το  $\Gamma$  και σχηματίζοντας το ίδιο τρίγωνο  $\Gamma EB$  θα έχουμε ότι  $\Gamma EB = \Gamma BE$  και συνεπώς το τρίγωνο θα είναι ισοσκελές άρα  $B\Gamma = \Gamma E = \Delta A$  και το τραπέζιο θα είναι ισοσκελές.

'Ασκηση 2.10.2  $\Delta \epsilon$ ίξε ότι ένα τραπέζιο είναι ισοσκελές τότε και μόνον τότε όταν οι διαγώνιοί του είναι ίσες.

Υπόδειξη: Κατά την προηγούμενη άσκηση οι γωνίες που πρόσκεινται σε μία παράλληλη πλευρά του λ.χ. την AB θα είναι ίσες. Εφάρμοσε λοιπόν το  $\Pi\Gamma\Pi$  κριτήριο. Το αντίστροφο αποδεικνύεται με τον ίδιο τρόπο.

**Ρόμβος** λέγεται ένα τετράπλευρο του οποίου όλες οι πλευρές είναι ίσες. Ειδική περίπτωση ρόμβου είναι το τετράγωνο στο οποίο, εκτός των πλευρών, και όλες οι γωνίες του είναι ίσες μεταξύ τους.

Πρόταση 2.10.1 Ένα τετράπλευρο είναι ρόμβος τότε και μόνον όταν οι διαγώνιοί του είναι κάθετοι και διχοτομούνται από το σημείο τομής τους.

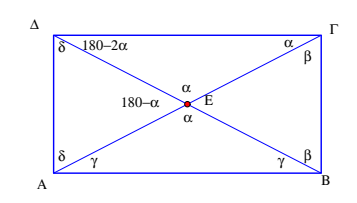


Σχήμα 182: Ρόμβος

Aπόδειξη: Πράγματι, αν το τετράπλευρο ABΓΔ είναι ρόμβος, τότε το τρίγωνο που σχηματίζεται από δύο διαδοχικές πλευρές του και την διαγώνιο που συνδέει τα άκρα τους (λ.χ. το ABΓ) είναι ισοσκελές. Κατά το Πόρισμα 1.8.2 η διάμεσος BE του ισοσκελούς θα είναι κάθετη στην βάση του AΓ. H BE όμως είναι τμήμα της διαγωνίου BΔ αφού περνά από το και το μέσον της άλλης διαγωνίου AΓ. Aυτό αποδεικνύει την ιδιότητα. Aντίστροφα, αν οι διαγώνιοι είναι κάθετοι και διχοτομούνται από το σημείο τομής τους E, τότε, εφαρμόζοντας το ΠΓΠ-κριτήριο ισότητας αποδεικνύουμε εύκολα ότι όλα τα τρίγωνα που σχηματίζονται από μία πλευρά και το E είναι ίσα μεταξύ τους. E0 την ισότητα των τριγώνων προκύπτει η ισότητα των πλευρών του E1 και η απόδειξη ότι είναι ρόμβος, ο.ε.δ.

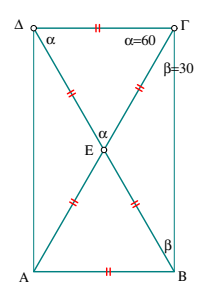
Άσκηση 2.10.3  $\Delta \epsilon$ ίξε ότι αν σε τετράπλευρο  $AB\Gamma\Delta$  με σημείο τομής των διαγωνίων του E τα τρίγωνα που σχηματίζονται απο μία πλευρά του και το E είναι όλα ισοσκελή, τότε το τετράπλευρο είναι ή ορθογώνιο ή ισοσκελές τραπέζιο.

 $\Upsilon$ πόδειξη: Κατ' αρχήν εξετάζουμε τι συμβαίνει όταν ένα σκέλος ενός από τα ισοσκελή αυτά τρίγωνα είναι πλευρά του τετραπλεύρου. Αν το ισοσκελές  $Ε\Delta\Gamma$  είχε ίσες τις  $Ε\Delta$  και  $\Delta\Gamma$ 

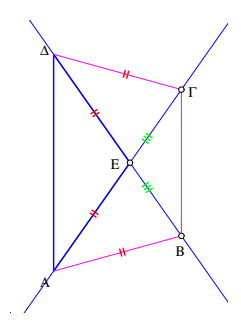


Σχήμα 183: Περίεργο ισοσκελές

με γωνίες στην βάση ΕΓ ίσες με α, τότε το διπλανό ισοσχελές ΕΓΒ δεν θα είχε βάση την ΕΓ διότι η γωνία 180-α σε αυτήν θα ήταν αμβλεία. Άρα θα είχε ως βάση την ΒΓ. Γιά τον ίδιο λόγο το ισοσχελές ΑΔΕ θα είχε ως βάση την ΑΔ. Αν το ισοσχελές ΑΕΒ είχε βάση την AB, τότε οι ΕΔ, ΕΑ, ΕΒ και ΕΓ θα ήταν ίσες, άρα το ΕΔΓ θα ήταν ισόπλευρο και εχ της  $\alpha = 2\beta = 2\delta$  και  $2\beta + 2\gamma = 180$  προχύπτει το ειδικό ορθογώνιο με  $\alpha = 60$ ,  $\beta = 30$ ,  $\gamma = 60$ . Η περίπτωση το ισοσχελές ΕΒΑ να έχει βάση την ΕΑ οδηγεί πάλι στο ίδιο ειδικό ορθογώνιο. Η τρίτη δυνατότητα γιά το ισοσχελές ΕΑΒ είναι η βάση του να ταυτίζεται με την ΕΒ. Σε αυτήν την περίπτωση τα τρίγωνα ΕΔΓ και ΔΒΑ είναι ίσα (ΓΠΓ-κριτήριο) και τα ισοσχελή ΕΒΓ και ΕΔΑ έχουν αντίστοιχα ίσες γωνίες, άρα οι ΒΓ και ΑΔ είναι παράλληλοι και το ΑΒΓΔ είναι ισοσχελής τραπέζιο. Η ανάλυση αυτή εξαντλεί όλες τις περιπτώσεις όπου ένα από τα τέσσερα ισοσχελή τρίγωνα έχει βάση μία πλευρά του τετραπλεύρου. Αν κανένα από τα ισοσχελή δεν έχει βάση ταυτιζόμενη με πλευρά του τετραπλεύρου, τότε όλα τα σχέλη θα είναι ίσα μεταξύ τους (|ΕΑ| = |ΕΒ| = |ΕΓ| = |ΕΔ|), οπότε οι διαγώνιοι του ΑΒΓΔ είναι ίσες και διχοτομούνται, άρα αυτό είναι ορθογώνιο (Πόρισμα 2.9.1).



Σχήμα 184: Ένα ειδικό ορθογώνιο



Σχήμα 185: Η περίπτωση ισοσκελούς τραπεζίου



Σχήμα 186: Χαρακτηρισμός ρόμβου

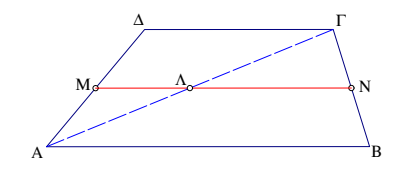
Άσκηση 2.10.4  $\Delta \epsilon$ ίξε ότι αν σε τετράπλευρο  $AB\Gamma\Delta$  με σημείο τομής των διαγωνίων του E τα τρίγωνα που σχηματίζονται απο μία πλευρά του και το E είναι όλα ίσα μεταξύ τους, τότε το τετράπλευρο είναι ρόμβος.



Σχήμα 187: Διαίρεση ρόμβου σε ίσα τρίγωνα

Υπόδειξη: Υπόθεσε ότι ένα από τα τρίγωνα λ.χ. το EAB έχει γωνίες α,  $\beta$ , και  $\gamma$  στην κορυφή E. Τότε και τα άλλα θα έχουν τις ίδιες γωνίες. Το θέμα είναι ποιές είναι οι σχετικές θέσεις τους. Πάντως στο E θα πρέπει όλες οι γωνίες να είναι  $\gamma$ . Διαφορετικά, αν  $\gamma$  γωνία στο E του  $\beta$  του  $\beta$  του  $\beta$  και  $\beta$  πες  $\beta$  πες  $\beta$  που συνεπάγεται  $\beta$  του  $\beta$  ατοπο. Άρα όλες οι γωνίες στο  $\beta$  είναι ίσες και  $\gamma$  θο. Αυτό έχει σαν συνέπεια όλες οι πλευρές του τετραπλεύρου να είναι ίσες μεταξύ τους, άρα αυτό να είναι ρόμβος.

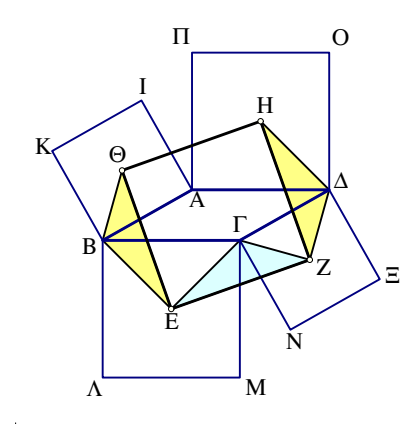
Άσκηση 2.10.5  $\Delta \epsilon$ ίξ $\epsilon$  ότι το ευθύγραμμο τμήμα που ενώνει τα μέσα των μη παραλλήλων πλευρών ενός τραπεζίου είναι παράλληλο και ίσο προς το ημιάθροισμα των παραλλήλων πλευρών του.



Σχήμα 188:  $|MN| = \frac{1}{2}(|AB| + |\Gamma\Delta|)$ 

Υπόδειξη: Έστω ότι στο τραπέζιο  $AB\Gamma\Delta$  το ευθύγραμμο τμήμα MN ενώνει τα μέσα των μη παραλλήλων πλευρών του τραπεζίου. Παίρνοντας το μέσον  $\Lambda$  της διαγωνίου  $A\Gamma$  και εφαρμόζοντας το Πόρισμα 2.7.1 δείχνουμε ότι τα τρία σημεία M, N και  $\Lambda$  είναι στην ίδια ευθεία που είναι η μεσοπαράλληλος (Πόρισμα 2.7.2) των AB και  $\Gamma\Delta$ . Από το Πόρισμα 2.7.1 έχουμε επίσης ότι η  $M\Lambda$  είναι το μισό της βάσης  $\Gamma\Delta$  του τριγώνου  $\Gamma\Delta$  και η  $\Gamma\Delta$  και η  $\Gamma\Delta$  και το μισό της βάσης  $\Gamma\Delta$  του τριγώνου  $\Gamma\Delta$  και  $\Gamma\Delta$  κα

Άσκηση 2.10.6  $\Delta$ είξε ότι οι διαγώνιοι του ρόμβου είναι και άξονες συμμετρίας του.  $\Delta$ είξε επίσης ότι η ευθεία που ενώνει τα μέσα των παραλλήλων πλευρών του ισοσκελούς τραπεζίου είναι άξονας συμμετρίας του.



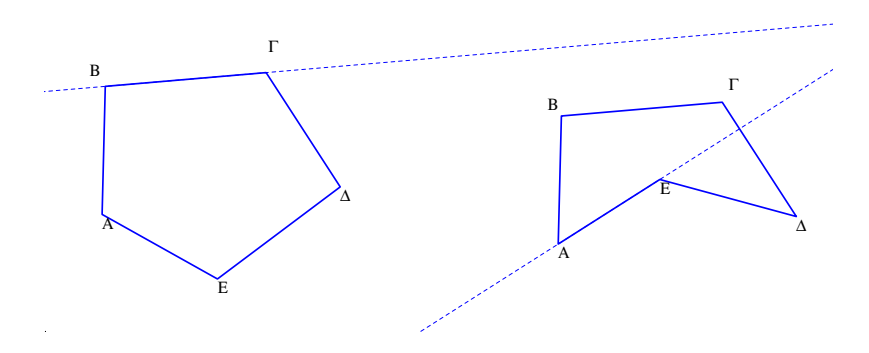
Σχήμα 189: Τετράγωνα στις πλευρές παραλληλογράμμου

Άσκηση 2.10.7 Στις πλευρές παραλληλογράμμου  $AB\Gamma\Delta$  κατασκευάζουμε τετράγωνα προς τα έξω.  $\Delta$ είξε ότι τα κέντρα αυτών των τετραγώνων (σημεία τομής των διαγωνίων τους) σχηματίζουν ένα τετράγωνο  $EZH\Theta$ .

Άσκηση 2.10.8 Στις πλευρές παραλληλογράμμου  $AB\Gamma\Delta$  κατασκευάζουμε τετράγωνα προς την ίδια μεριά με το  $AB\Gamma\Delta$ .  $\Delta$ είξε ότι τα κέντρα αυτών των τετραγώνων σχηματίζουν ένα τετράγωνο.

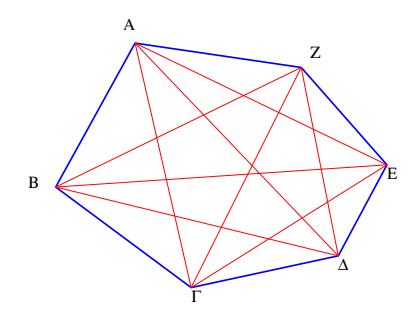
Άσκηση 2.10.9  $\Delta \epsilon$ ίξε ότι η διάμεσος προς μεγαλύτερη πλευρά τριγώνου είναι μικρότερη από την διάμεσο προς μικρότερη πλευρά.

#### 2.11 Πολύγωνα, κανονικά πολύγωνα



Σχήμα 190: Πεντάγωνο

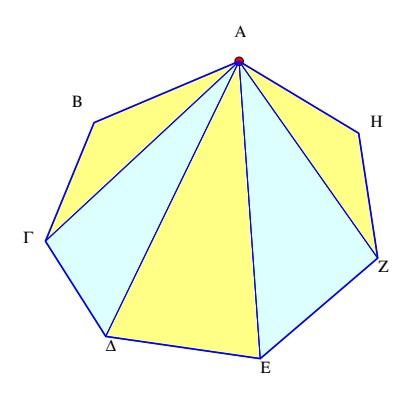
Παίρνοντας διαδοχικά ευθύγραμμα τμήματα  $AB,B\Gamma,\Gamma\Delta,...$  που αποτελούν μία κλειστή τεθλασμένη (Παράγραφος 1.11) ορίζουμε ένα  $\mathbf{Πολύγωνο}$ . Τα ευθύγραμμα τμήματα  $AB,B\Gamma,\Gamma\Delta,...$  λέγονται  $\mathbf{Πλευρές}$  του πολυγώνου και οι γωνίές που σχηματίζουν δύο διαδοχικές πλευρές λέγονται  $\mathbf{Γωνίες}$  του πολυγώνου. Δύο πολύγωνα  $AB\Gamma\Delta...$  και  $A'B'\Gamma'\Delta'...$  λέγονται  $'\mathbf{Iσα}$  όταν έχουν αντίστοιχες πλευρές ίσες και αντίστοιχες γωνίες επίσης ίσες. Κάθε ευθύγραμμο τμήμα που έχει άκρα δύο κορυφές του πολυγώνου που δεν είναι άκρα της ίδιας πλευράς λέγεται  $\mathbf{Διαγώνιος}$  του πολυγώνου. Και εδώ, όπως και στα τετράπλευρα, διακρίνουμε  $\mathbf{Kυρτά}$ 



Σχήμα 191: Διαγώνιες πολυγώνου

και μή-κυρτά πολύγωνα. Τα κυρτά είναι αυτά που κάθε πλευρά τους προεκτεινόμενη τα αφήνει ολόκληρα από την ίδια μεριά της. Μη-κυρτά αυτά τα οποία έχουν μία τουλάχιστον πλευρά, η οποία προεκτεινόμενη χωρίζει το πολύγωνο σε μέρη κείμενα και από τις δύο πλευρές της. Ανάλογα με το πλήθος των πλευρών/γωνίων τους δίνουμε στα πολύγωνα ειδικές ονομασίες: πεντάπλευρο, εξάπλευρο, επτάπλευρο, κλτ.. Αν θέλουμε να τονίσουμε τις γωνίες (τα πολύγωνα έχουν τόσες πλευρές όσες και γωνίες) λέμε: πεντάγωνο, εξάγωνο, κτλ. Προς το παρόν θα ασχοληθούμε με κυρτά πολύγωνα και μάλιστα με κάποια ειδικά πολύγωνα που λέγονται Κανονικά και χαρακτηρίζονται από το ότι όλες οι πλευρές τους είναι ίσες μεταξύ τους. Δύο ειδικές περιπτώσεις τέτοιων πολυγώνων, που έχουμε ήδη συναντήσει, αποτελούν τα ισόπλευρα τρίγωνα και τα τετράγωνα.

Πρόταση 2.11.1 Το άθροισμα των μέτρων των γωνιών ενός κυρτού πολυγώνου με ν γωνίες είναι  $(\nu-2)180$  μοίρες.

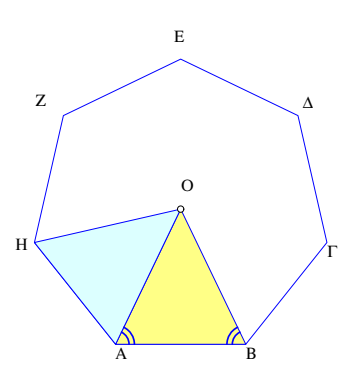


Σχήμα 192: Άθροισμα μέτρων γωνιών πολυγώνου (ν-2)180

Απόδειξη: Η απόδειξη προχύπτει αμέσως παίρνοντας μιά χορυφή και συνδέοντας όλες τις μη διαδοχικές της χορυφές με τις διαγωνίους του πολυγώνου. Αφού παραλείψαμε δύο πλευρές και κάθε πλευρά μαζί με δύο διαγώνιες σχηματίζει τρίγωνο, παίρνουμε ν-2 τέτοια τρίγωνα. Το άθροισμα των μέτρων των γωνιών όλων αυτών των τριγώνων είναι (ν-2)180 και το άθροισμα αυτό συμπίπτει με το άθροισμα των μέτρων των γωνιών του πολυγώνου, ο.ε.δ.

**Πόρισμα 2.11.1** Σε κάθε κανονικό πολύγωνο με ν γωνίες κάθε μία από τις γωνίες του έχει μέτρο  $\frac{\nu-2}{\nu}$ 180 μοίρες.

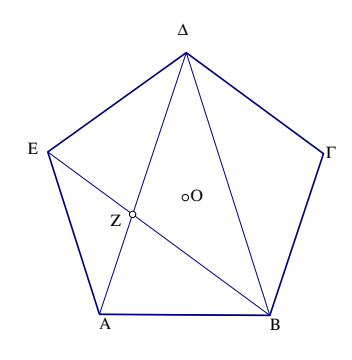
Πρόταση 2.11.2 Κάθε πλευρά AB ενός κανονικού πολυγώνου, μαζί με τις διχοτόμους των προσκειμένων σε αυτήν γωνιών σχηματίζει ισοσκελές τρίγωνο. Όλα αυτά τα ισοσκελή τρίγωνα έχουν την ίδια κορυφή O και είναι ίσα μεταξύ τους. Το σημείο O λέγεται κέντρο του κανονικού πολυγώνου.



Σχήμα 193: Το κέντρο του κανονικού πολυγώνου

Απόδειξη: Η απόδειξη προχύπτει αμέσως από την ισότητα των γωνιών του πολυγώνου. Φέρνοντας τις διχοτόμους ορίζουμε γωνίες που είναι το ήμισυ ίσων γωνιών άρα και αυτές ίσες μεταξύ τους. Τα τρίγωνα λοιπόν που κατασκευάζονται με αυτόν τον τρόπο είναι ισοσκελή. Εφαρμόζοντας τώρα το ΓΠΓ-κριτήριο ισότητας σε δύο εξ αυτών βλέπουμε ότι είναι και ίσα μεταξύ τους και οι κορυφές τους συμπίπτουν ορίζοντας το σημείο Ο, ο.ε.δ.

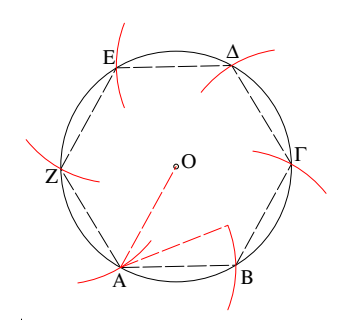
Πρόταση 2.11.3 Το τετράγωνο και το κανονικό πεντάγωνο είναι τα μόνα κανονικά πολύγωνα πού έχουν όλες τις διαγωνίους τους ίσες.



Σχήμα 194: Το κανονικό πεντάγωνο

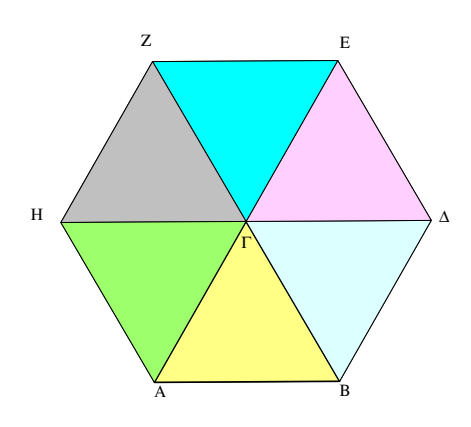
 $A\pi\delta\delta\epsilon$ ιξη: Το ότι τα αναφερόμενα έχουν ίσες διαγωνίους προχύπτει εύχολα εφαρμόζοντας κατάλληλα το ΓΠΓ-κριτήριο ισότητας τριγώνων. Το αντίστροφο έχει περισσότερο ενδιαφέρον. Πράγματι, ας θεωρήσουμε ότι το κανονικό πολύγωνο έχει περισσότερες από τέσσερις πλευρές και ίσες διαγωνίους. Σε ένα τέτοιο πολύγωνο έστω το τετράπλευρο που σχηματίζεται από τρεις διαδοχικές πλευρές του και μία διαγώνιο, όπως το  ${
m AB}\Delta {
m E}$  στο σχήμα. Κατά τις υποθέσεις μας τα τρίγωνα  ${
m AB}\Delta$  και  ${
m \Delta EB}$  είναι ίσα ( $\Pi\Pi\Pi$ -κριτήριο) και ισοσκελή. Ομοίως και τα ABE και  $\Delta EA$  είναι ίσα μεταξύ τους και ισοσκελή. Θεωρώντας λοιπόν το σημείο τομής m Z των διαγωνίων m BE και  $m A\Delta$  σχηματίζουμε δύο τρίγωνα m AZE και  $m BZ\Delta$  που έχουν τις γωνίες τους στο Ζ ίσες, ως κατά κορυφήν και επιπροσθέτως είναι και ισοσκελή. Συνάγεται ότι και οι άλλες γωνίες των τριγώνων αυτών είναι ίσες μεταξύ τους, συνεπώς οι ευθείες AE και  $B\Delta$  είναι παράλληλες, αφού η τέμνουσα αυτές EB σχηματίζει εντός και εναλλάξ γωνίες ίσες. Αυτό πάλι έχει σαν συνέπεια το ότι η BE είναι διχοτόμος της γωνίας  $AB\Delta$ . Άρα το τρίγωνο  ${
m AB}\Delta$  έχει την αξιοσημείωτη ιδιότητα να είναι ισοσκελές και η γωνία στην κορυφή του να έχει μέτρο το ήμισυ της γωνίας στην βάση του. Συνεπώς, αν το μέτρο της γωνίας στην κορυφή είναι ω, οι άλλες δύο γωνίες θα έχουν μέτρο 2ω έκαστη. Επομένως το άθροισμα των μέτρων τους θα είναι  $\omega+2\omega+2\omega=5\omega=180$ . Από την οποία προκύπτει ότι  $\omega = \frac{180}{5} = 36$ . Από όλα αυτά προκύπτει ότι η γωνία του κανονικού πολυγώνου στο A είναι  $3\omega=108$ . Έτσι γιά να βρούμε το πλήθος των πλευρών του πολυγώνου δεν έχουμε παρά να λύσουμε την εξίσωση  $\frac{N-2}{N}180=108$  ως προς  ${
m N.~H}$  εξίσωση είναι ισοδύναμη της 72N=360και έχει λύση την N=5, ο.ε.δ.

#### Άσκηση 2.11.1 Κατασκεύασε τετράγωνο που έχει μήκος πλευράς δ.



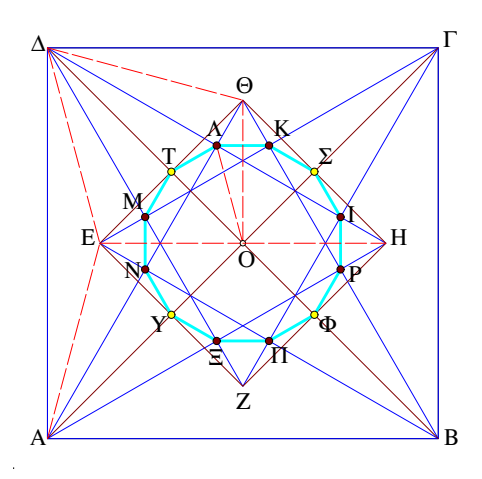
Σχήμα 195: Κατασκευή κανονικού εξαγώνου

Άσκηση 2.11.2 Δίδεται κύκλος κ ακτίνας ρ. Δείξε ότι η επόμενη διαδικασία κατασκευάζει ένα κανονικό εξάγωνο εγγεγραμμένο στον κ: Με κέντρο τυχόν σημείο A του κ όρισε κύκλο ακτίνας ρ, που τέμνει τον A στο B. Με κέντρο το B και ακτίνα ρ όρισε κύκλο που τέμνει τον κ στο  $\Gamma$ . Με κέντρο  $\Gamma$  και ακτίνα ρ όρισε κύκλο που τέμνει τον κ στο  $\Delta$  κτλ.  $\Delta$ πό τα δύο σημεία τομής διάλεγε πάντα ένα προς την ίδια φορά (αντίθετη του ρολογιού). Ορίζονται συνολικά έξι σημεία του κ που είναι κορυφές κανονικού εξαγώνου.



Σχήμα 196: Το κανονικό εξάγωνο

Άσκηση 2.11.3 Έστω το ισόπλευρο τρίγωνο  $AB\Gamma$ . Στην πλευρά  $\Gamma B$  κατασκευάζουμε άλλο ισόπλευρο  $\Gamma B\Delta$ , στην πλευρά  $\Gamma \Delta$  αυτού του ισοπλεύρου κατασσκευάζουμε άλλο ισόπλευρο  $\Gamma \Delta E$  κ.ο.κ..  $\Delta \epsilon$ ίξε ότι μετά από πέντε παρόμοιες κατασκευές επιστρέφουμε στο αρχικό ισόπλευρο και το πολύγωνο που κατασκευάζεται από τις πλευρές AB,  $B\Delta$ ,  $\Delta E$ , κτλ. είναι ένα κανονικό εξάγωνο με κέντρο το  $\Gamma$ .



Σχήμα 197: Κανονικό δωδεκάγωνο

'Ασκηση 2.11.4 Στις πλευρές τετραγώνου προς τα μέσα κατασκευάζονται ισόπλευρα τρίγωνα  $AB\Theta$ ,  $B\Gamma E$ ,  $\Gamma \Delta Z$ ,  $\Delta AH$ .  $\Delta \epsilon$ ίξε ότι τα μέσα των πλευρών τους  $I,K,\Lambda,M,N,\Xi,\Pi,P$  και τα μέσα  $\Sigma,T,Y,\Phi$  των  $H\Theta,\Theta E,EZ,ZH$  αντίστοιχα είναι κορυφές κανονικού δωδεκαγώνου ([Wel91,  $\sigma$ . 137]).

Άσκηση 2.11.5  $\Delta \epsilon$ ίξε ότι κάθε κανονικό πολύγωνο έχει άξονα συμμετρίας, αλλά κέντρο συμμετρίας έχουν μόνο τα κανονικά πολύγωνα με άρτιο αριθμό πλευρών.  $\Delta \epsilon$ ίξε επιπλέον ότι τα κανονικά πολύγωνα με  $\nu$  το πλήθος πλευρές έχουν  $\nu$  άξονες συμμετρίας.

**Σχόλιο-1** Ο Gauss(1777-1855) απέδειξε ([Kle97,  $\sigma$ . 16]) ότι, ένα κανονικό πολύγωνο με ν πλευρές κατασκευάζεται με κανόνα και διαβήτη τότε και μόνον, όταν το ν είναι της μορφής

$$\nu = 2^{\mu} \cdot \delta_1 \cdot \delta_2 ... \delta_{\kappa},$$

όπου οι ακέραιοι  $\delta_1,...,\delta_\kappa$  είναι διαφορετικοί και πρώτοι (δηλαδή δεν διαιρούνται παρά μόνο με το 1 και τον εαυτό τους) και μάλιστα της μορφής (όταν είναι διάφοροι του 1)

$$\delta = 2^{\lambda} + 1$$
.

Στην προηγούμενη εξίσωση γιά το ν, μεριχοί παράγοντες μπορεί να λείπουν, λ.χ. μεριχά  $\delta$  μπορεί να είναι 1 ή/και να λείπει το  $2^{\mu}$ . Ο επόμενος πίναχας, φτιαγμένος σύμφωνα με αυτό το κριτήριο, δίνει τα κατασκευάσιμα και μη-κατασκευάσιμα κανονικά πολύγωνα γιά τους πρώτους 32 αριθμούς.

κατασκευάσιμα															
μη-κατασκευάσιμα	7	9	11	13	14	18	19	21	22	23	26	27	28	29	31

Άσκηση 2.11.6 Γιά κάθε ακέραιο της πρώτης γραμμής του προηγούμενου πίνακα, προσδιόρισε τα (ν, μ, δ) που υπεισέρχονται στο κριτήριο κατασκευασιμότητας του Gauss. Απόδειξε επίσης ότι κάθε ακέραιος της δεύτερης γραμμής δεν ικανοποιεί αυτό το κριτήριο.

Σχόλιο-2 Απο ένα θεώρημα του Fermat(1601-1665) ([Wei03,  $\sigma$ . 1022]) αποδειχνύεται ότι οι πρώτοι αριθμοί της μορφής  $\delta=2^{\lambda}+1$ , πρέπει να έχουν το  $\lambda$  ίσο με μία δύναμη του 2 και τελικά να είναι της μορφής

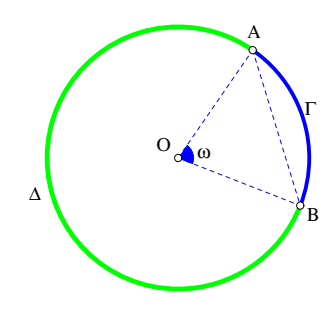
$$\delta = 2^{2^{\rho}} + 1.$$

Οι αριθμοί αυτοί λέγονται **Αριθμοί του Fermat** και είναι πρώτοι γιά  $\rho < 5$  (πρόκειται γιά τους  $3,5,17,\ 257,\ 65337$ ), ενώ γιά  $\rho \geq 5$  μόνο μη-πρώτοι αυτής της μορφής είναι γνωστοί. Από αυτά τα πολύγωνα, στο μάθημα, κατασκευάζουμε το ισόπλευρο τρίγωνο (ν=3, Κατασκευή 2.4.2), και το πεντάγωνο (ν=5, Ασκήσεις  $4.2.1,\ 4.2.2$ ). Υπάρχουν πολλές μέθοδοι κατασκευής του κανονικού 17-γώνου ([Eve63,  $\sigma.217$ ]), όλες όμως σχετικά περίπλοκες. Ο Richelot(1808-1875) εδημοσίευσε κατασκευή του 257-γώνου, ενώ ο Hermes(1846-1912) αφιέρωσε δέκα χρόνια της ζωής του στην κατασκευή του κανονικού 65337-γώνου.

 $\Sigma$ χόλιο-3 Το πρόβλημα της κατασκευής του κανονικού πολυγώνου με ν πλευρές είναι ταυτόσημο με το πρόβλημα της κατασκευής της γωνίας μέτρου  $\frac{360}{\nu}$ , που προκύπτει ενώνοντας το κέντρο Ο του πολυγώνου με τα άκρα A,B μιάς πλευράς του. Επομένως, εαν κατασκευάζεται το κανονικό πολύγωνο με ν πλευρές, τότε κατασκευάζεται και το κανονικό πολύγωνο με  $2\nu$  πλευρές διχοτομόντας την αντίστοιχη γωνία AOB του αρχικού πολυγώνου. Έτσι, ο μαθητής ξεκινώντας από το ισόπλευρο, τετράγωνο, πεντάγωνο κτλ. μπορεί εύκολα να κατασκευάσει διαδοχικά τα κανονικά πολύγωνα με 6, 8, 10, 12, 16 κτλ. πλευρές.

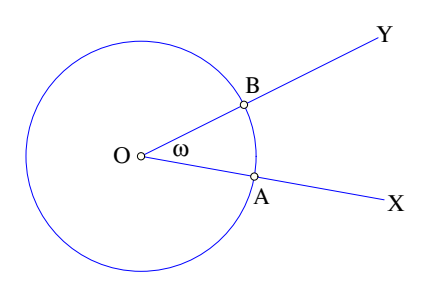
## 2.12 Τόξα, επίχεντρες γωνίες

Δύο σημεία A και B πάνω στον κύκλο ορίζουν την χορδή του AB, δύο  $\mathbf{Tόξα}$  και μία γωνία AOB. Το ένα τόξο  $A\Gamma B$  είναι το μέρος του κύκλου που περιέχεται στο εσωτερικό της γωνίας AOB. Το άλλο τόξο  $A\Delta B$  είναι το υπόλοιπο κομμάτι του κύκλου. Τα δύο τόξα είναι από τις δύο μεριές της ευθείας AB και λέγονται  $\mathbf{\Sigma}$ υμπληρωματικά. Το μικρότερο ευρίσκεται από την άλλη μεριά της AB απ ότι το κέντρο του κύκλου. Η γωνία  $\mathbf{\omega} = AOB$  λέγεται  $\mathbf{E}$ πίκεντρη και το τόξο  $A\Gamma B$  λέγεται  $\mathbf{A}$ ντίστοιχο της επίκεντρης τόξο . Οι ίδιες



 $\Sigma$ χήμα 198: Τόξα  $\widehat{A\Gamma B}$  και  $\widehat{A\Delta B}$ 

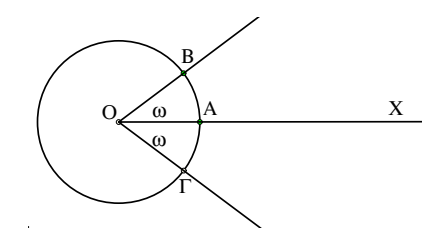
ημιευθείες OA και OB ορίζουν και το τόξο  $A\Delta B$  γιά το οποίο θεωρούμε ότι η αντίστοιχη επίκεντρη γωνία είναι η μή-κυρτή που ορίζεται από αυτές. Στην ειδική περίπτωση που η χορδή είναι διάμετρος η αντίστοιχη επίκεντρη γωνία είναι πεπλατυσμένη και το αντίστοιχο τόξο λέγεται  $\mathbf{H}$ μιπεριφέρεια.  $\Delta$ ύο τόξα του ιδίου κύκλου τα θεωρούμε  $\mathbf{T}$ σα όταν οι αντίστοιχες επίκεντρες γωνίες τους είναι ίσες. Έστω ημιευθεία OX και κύκλος με κέντρο



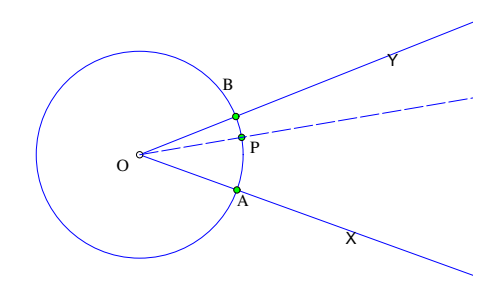
Σχήμα 199: Αντιστοίχιση τόξων - γωνιών

το Ο και ακτίνα ρ. Κατά το Αξίωμα 1.3.3 η ημιευθεία θα τέμνει τον κύκλο σε ένα ακριβώς σημείο A (με  $|OA|=\rho$ ). Το ίδιο θα συμβαίνει και με κάθε άλλη ημιευθεία OY που θα έχει το ίδιο άκρο O. Και αυτή θα έχει ένα ακριβώς σημείο B πάνω στον κύκλο. Επομένως κάθε γωνία XOY θα ορίζει ένα τόξο του κύκλου και αντίστροφα, κάθε τόξο του κύκλου θα ορίζει μιά επίκεντρη γωνία. Μέσω της αντιστοίχισης αυτής έννοιες που ορίσαμε γιά γωνίες και ιδιότητες των γωνιών μεταφέρονται στα τόξα κύκλου. Γιά παράδειγμα τα αξιώματα 1.4.2 και 1.4.3 των γωνιών της παραγράφου 1.4 παίρνουν την επομενη μορφή.

1. Δοθείσης ημιευθείας OX και κύκλου με κέντρο O που τέμνει την ημιευθεία στο A καθώς και αριθμού  $\omega$  με  $0<\omega<180$ , υπάρχουν δύο ακριβώς ημιευθείες εκατέρωθεν της OX που ορίζουν τόξα με αντίστοιχη επίκεντρη γωνία  $\omega$ .



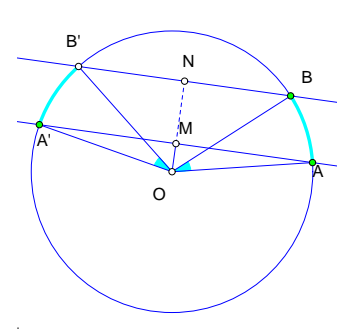
Σχήμα 200: Τόξα εκατέρωθεν ημιευθείας



Σχήμα 201: Πρόσθεση τόξων

2. Γιά κάθε σημείο P του τόξου AB του κύκλου λέμε ότι το τόξο AB είναι το άθροισμα των τόξων AP και PB.

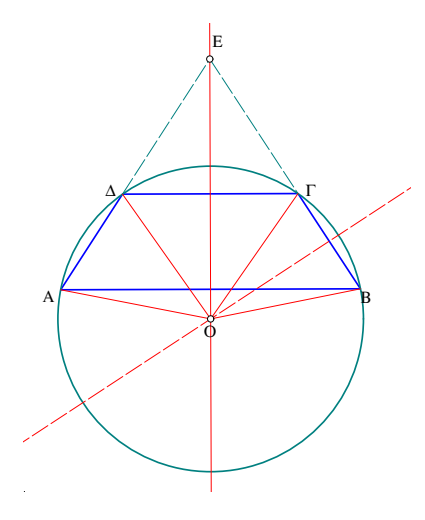
**Πρόταση 2.12.1** Τα άκρα μη-τεμνομένων ίσων τόξων του ιδίου κύκλου ορίζουν δύο παράλληλες ευθείες. Αντίστροφα, δύο παράλληλες που τέμνουν τον ίδιο κύκλο ορίζουν δύο ίσα τόξα.



Σχήμα 202: Ίσα τόξα

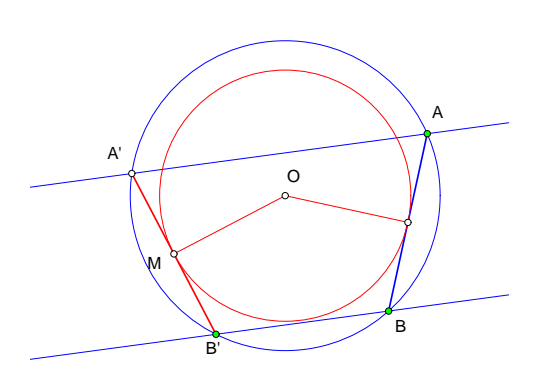
Απόδειξη: Γιά τα ίσα τοξα AB και A΄Β΄ (όπως στο σχήμα 202) θεώρησε την χορδή AA΄ και το μέσον της Μ. Ισότητα των τόξων σημαίνει ισότητα των επικέντρων γωνιών τους άρα οι OB και OΒ΄ σχηματίζουν ίσες γωνίες με τις ΟΑ και ΟΑ΄ αντίστοιχα. Συνάγεται ότι η ΟΜ είναι διχοτόμος του ισοσκελούς BOΒ΄, άρα περνά από το μέσον Ν της BΒ΄ και είναι κάθετος σε αυτήν, άρα οι AΑ΄ και BΒ΄ είναι παράλληλοι. Γιά το αντίστροφο παρατήρησε ότι τα ισοσκελή τρίγωνα ΟΑΑ΄ και ΟΒΒ΄ με κοινή κορυφή το κέντρο του κύκλου και παράλληλες βάσεις έχουν κοινή διχοτόμο και μεσοκάθετο (Πόρισμα 2.1.1) ΟΜ. Άρα οι (επίκεντρες) γωνίες ΑΟΒ και Α΄ΟΒ΄ είναι ίσες, ο.ε.δ.

Άσκηση 2.12.1  $\Delta \epsilon$ ίξε ότι γιά ένα τραπέζιο υπάρχει ένας κύκλος που διέρχεται και από τις τέσσερις κορυφές του (περιγεγραμμένος) τότε και μόνον όταν είναι ισοσκελές.



Σχήμα 203: Ισοσκελές τραπέζιο εγγράφεται σε κύκλο

Άσκηση 2.12.2  $\Delta \epsilon$ ίξε ότι γιά έναν ρόμβο υπάρχει κύκλος διερχόμενος από τις κορυφές του τότε και μόνον όταν ο ρόμβος είναι ένα τετράγωνο.



Σχήμα 204: Τα μέσα χορδών τόξου σταθερού μήκους

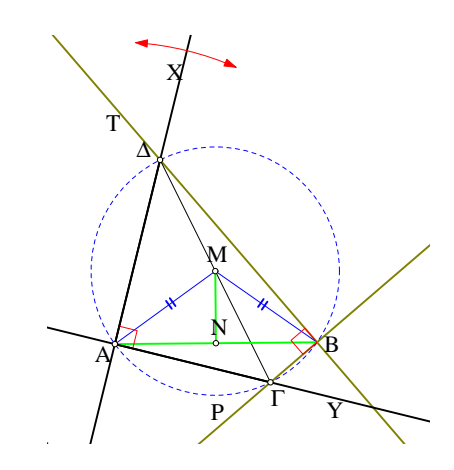
Άσκηση 2.12.3  $\Delta \epsilon$ ίξε ότι αν μιά χορδή κύκλου αλλάζει θέση διατηρώντας το μήκος της, τότε το μέσον της περιέχεται σε έναν κύκλο συγκεντρικό του αρχικού κύκλου.

 $\Upsilon$ πόδ $\epsilon$ ιξη: Αν Ο το κέντρο του κύκλου και M το μέσον της χορδής AB, τότε τα τρίγωνα OAM που προκύπτουν γιά τις διάφορες θέσεις της χορδής είναι ίσα μεταξύ τους.

'Ασκηση 2.12.4  $\Delta \epsilon$ ίξε την αντίστροφη της προηγουμένης άσκησης.  $\Delta$ ηλαδη, αν δύο χορδές του ιδίου κύκλου έχουν τα μέσα τους  $\epsilon$ πι ενός συγκεντρικού κύκλου τότε είναι ίσες.

 $\Upsilon$ πόδειξη: Η ΟΜ που ενώνει το κέντρο με το μέσον της χορδής ΟΑΒ είναι κάθετη στην χορδή και τα τρίγωνα ΟΑΜ που προκύπτουν γιά τις διάφορες θέσεις της χορδής είναι ίσα μεταξύ τους.

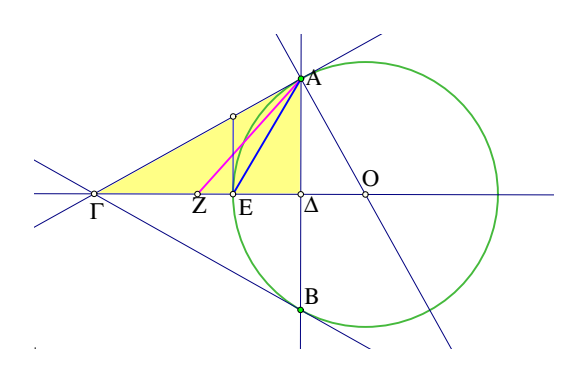
Άσκηση 2.12.5 Ορθή γωνία XAY περιστρεφόμενη περί την σταθερή κορυφή της A τέμνει τις πλευρές άλλης σταθερής ορθής γωνίας PBT στα  $\Gamma$  και  $\Delta$ .  $\Delta$ είξε ότι ο γεωμετρικός τόπος του μέσου M του ευθυγράμμου τμήματος  $\Gamma\Delta$  είναι η μεσοκάθετος του AB.



Σχήμα 205: Ορθή γωνία περιστρεφόμενη

'Ασκηση 2.12.6 Κατασκεύασε τετράπλευρο του οποίου δίδονται τρεις πλευρές και οι προσκείμενες γωνίες στην τέταρτη πλευρά.

Άσκηση 2.12.7 Στα άκρα τόξου AB μικρότερου ημιπεριφέρειας φέρε τις εφαπτόμενες τεμνόμενες στο  $\Gamma$ . Δείξε ότι το μέσον Z του ύψους  $\Gamma\Delta$  του ισοσκελούς  $AB\Gamma$  είναι εκτός του κύκλου που περιέχει το τόξο.



Σχήμα 206: Η θέση του μέσου

Υπόδειξη: Εφάρμοσε την Άσκηση 1.10.9

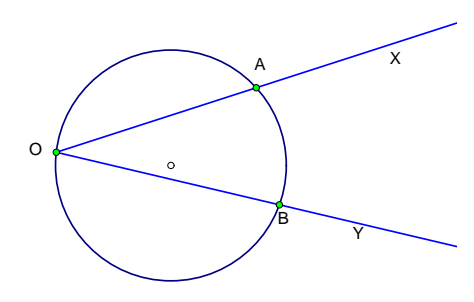
'Ασκηση 2.12.8  $\Delta \epsilon$ ίξ $\epsilon$  ότι οι ακτίνες προς τα μέσα δύο τόξων που ορίζονται από δύο κάθετες χορδές του ιδίου κύκλου σχηματίζουν μία ορθή γωνία.

'Ασκηση 2.12.9  $\Delta$ ίδεται σημείο A στο εσωτερικό του κύκλου κ $(O,\rho)$ . Να κατασκευασθεί χορδή  $B\Gamma$  του κ διερχόμενη διά του A και έχουσα δοθέν μήκος  $\lambda$ .

'Ασκηση 2.12.10  $\Delta$ είξε ότι το τόξο που εφάπτεται των δύο μη παραλλήλων πλευρών ισοσκελούς τραπεζίου στα άκρα της μεγάλης βάσης εφάπτεται και της μικρής βάσης του τότε και μόνον, όταν αυτή είναι διπλάσια των μη παραλλήλων πλευρών του.

# 2.13 Εγγεγραμμένες γωνίες

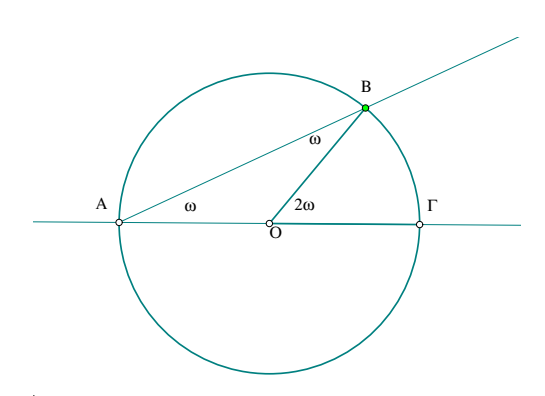
Μία γωνία ΧΟΥ λέγεται Εγγεγραμμένη σε κύκλο κ όταν η κορυφή της είναι επί του κύκλου και οι πλευρές της τέμνουν τον κύκλο σε δύο άλλα σημεία Α και Β διαφορετικά του Ο. Η χορδή ΑΒ λέγεται Χορδή της εγγεγραμμένης. Το επόμενο θεώρημα εκφράζει μιά



Σχήμα 207: Εγγεγραμμένη γωνία

θεμελιώδη σχέση μεταξύ εγγεγραμμένων και επικέντρων γωνιών, που, όπως λέμε **Βαίνουν** επί του ιδίου τόξου ή **Βλέπουν** το ίδιο τόξο.

Πρόταση 2.13.1 Κάθε εγγεγραμμένη γωνία που μία πλευρά της είναι διάμετρος έχει μέτρο το ήμισυ του μέτρου της αντίστοιχης επικέντρου γωνίας που βαίνει στο ίδιο τόξο.



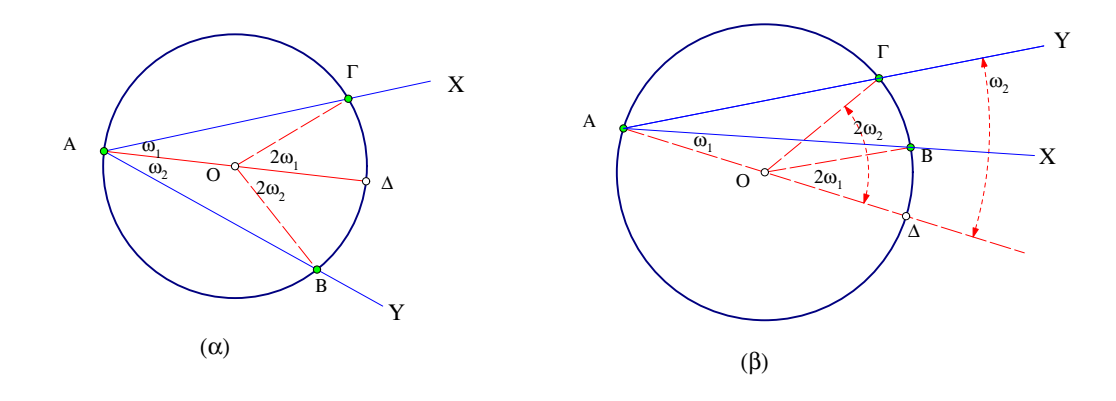
Σχήμα 208: Εγγεγραμμένη και αντίστοιχη επίκεντρος

Aπόδειξη: Έστω BAΓ η εγγεγραμμένη γωνία και AΓ διάμετρος του κύκλου. Η επίκεντρος BΟΓ που σχηματίζεται είναι εξωτερική του ισοσκελούς τριγώνου OAB. Άρα το μέτρο της που είναι ίσο με το άθροισμα των δύο ίσων γωνιών του ισοσκελούς θα είναι 2ω, όπου ω το μέτρο της εγγεγραμμένης γωνίας BAΓ, ο.ε.δ.

Πρόταση 2.13.2 Κάθε εγγεγραμμένη σε κύκλο γωνία έχει μέτρο το ήμισυ της αντιστοίχου επικέντρου.

Aπόδειξη: Σε αυτό το θεώρημα απαλλασσόμεθα από τον περιορισμό της μίας πλευράς να είναι διάμετρος. Ανάγουμε όμως την απόδειξη στην προηγούμενη περίπτωση παριστάνοντας την γωνία ως άθροισμα ή διαφορά δύο εγγεγραμμένων που μία τους πλευρά είναι διάμετρος.

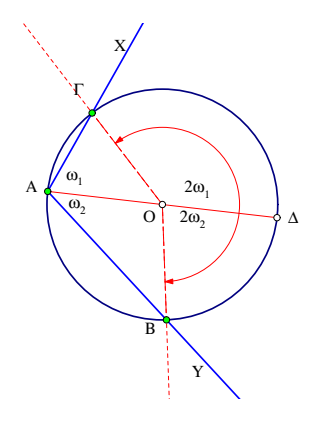
Αν λοιπόν καμία πλευρά της εγγεγραμμένης δεν είναι διάμετρος, τότε φέρουμε από την κορυφή της A μία διάμετρο  $A\Delta$ . Η πρώτη περίπτωση είναι αυτή κατά την οποία η διάμετρος που φέρουμε περιέχεται στο εσωτερικό της αρχικής γωνίας  $BA\Gamma$ . Σε αυτήν την περίπτωση



Σχήμα 209: Εγγεγραμμένη και αντίστοιχη επίκεντρος ΙΙ

το μέτρο ω της αρχικής γωνίας είναι το άθροισμα  $\omega=\omega_1+\omega_2$  των μέτρων των δύο γωνιών. Εφαρμόζοντας λοιπόν το προηγούμενο θεώρημα ευρίσκουμε ότι η αντίστοιχη επίκεντρη θα έχει μέτρο  $2\omega_1+2\omega_2=2\omega$ . Η δεύτερη περίπτωση είναι αυτή κατά την οποία η διάμετρος που φέρουμε δεν περιέχεται στο εσωτερικό της αρχικής γωνίας. Σε αυτήν την περίπτωση το μέτρο ω της αρχικής γωνίας είναι η διαφορά  $\omega=\omega_2-\omega_1$  των μέτρων των δύο γωνιών. Εφαρμόζοντας λοιπόν το προηγούμενο θεώρημα ευρίσκουμε ότι η αντίστοιχη επίκεντρη θα έχει μέτρο  $2\omega_2-2\omega_1=2\omega$ , ο.ε.δ.

Σχόλιο-1 Υπάρχει μιά λεπτομέρεια στην διατύπωση της πρότασης που πρέπει να σημειωθεί. Όταν η εγγεγραμμένη γωνία είναι αμβλεία, τότε η αντίστοιχος επίκεντρος έχει μέτρο μεγαλύτερο από 180, δηλαδή είναι μή-κυρτή. Το χαρακτηριστικό της είναι ότι το κέντρο του κύκλου και το τόξο είναι από την ίδια μεριά της χορδής  $B\Gamma$ .

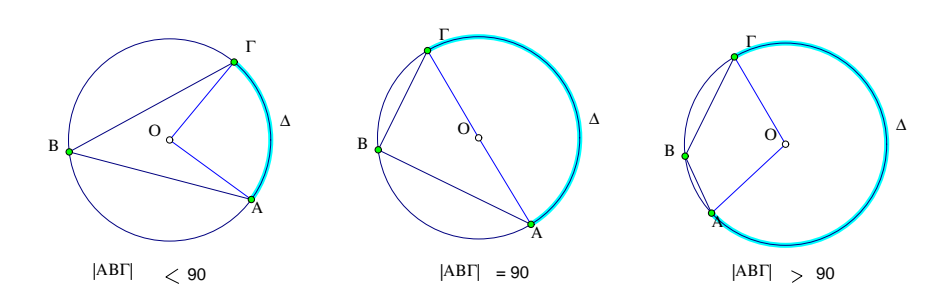


Σχήμα 210: Εγγεγραμμένη αμβλεία και αντίστοιχη επίκεντρος (μη κυρτή)

**Πόρισμα 2.13.1** Άν  $AB\Gamma$  είναι γωνία εγγεγραμμένη σε κύκλο κ και  $A\Delta\Gamma$  συμβολίζει το αντίστοιχο τόξο της επικέντρου της (το τόξο που "βλέπει η γωνία"):

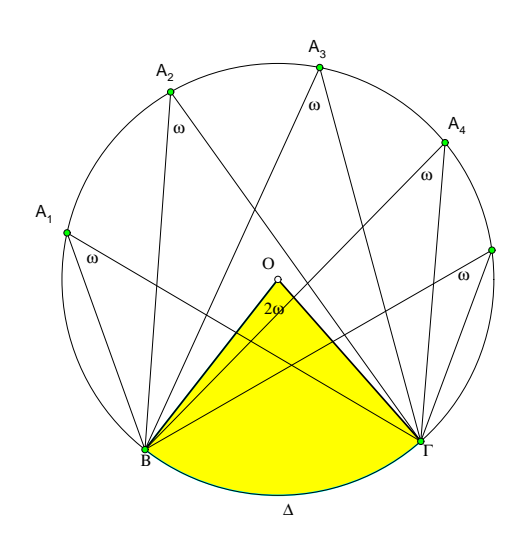
α) Εάν η  $\epsilon$ γγ $\epsilon$ γραμμ $\epsilon$ νη  $AB\Gamma$   $\epsilon$ ίναι οξ $\epsilon$ ία τότ $\epsilon$  το τόξο  $A\Delta\Gamma$   $\epsilon$ ίναι μικρότ $\epsilon$ ρο της ημιπ $\epsilon$ ριφ $\epsilon$ -ρ $\epsilon$ ιας,

β) Εάν η εγγεγραμμένη  $AB\Gamma$  είναι ορθή τότε το τόξο  $A\Delta\Gamma$  είναι ίσο με μία ημιπεριφέρεια, γ) Εάν η εγγεγραμμένη  $AB\Gamma$  είναι αμβλεία τότε το τόξο  $A\Delta\Gamma$  είναι μεγαλύτερο ημιπεριφέρειας.



Σχήμα 211: Εγγεγραμμένη και τόξο που αυτή "βλέπει"

Στο προηγούμενο σχήμα απειχονίζονται οι τρεις περιπτώσεις του προηγουμένου πορίσματος και τονίζονται τα τόξα  $A\Delta\Gamma$  επί των οποίων **βαίνει** (ή βλέπει) η αντίστοιχη εγγεγραμμένη γωνία. Το χοινό και αξιοσημείωτο χαραχτηριστικό των τόξων του χύχλου είναι ότι όλα τα σημεία του χύχλου που είναι από το άλλο μέρος της χορδής του βλέπουν αυτό το τόξο υπό σταθερή γωνία, της οποίας το μέτρο είναι ίσο με το ήμισυ του μέτρου της αντιστοίχου επιχέντρου του τόξου.

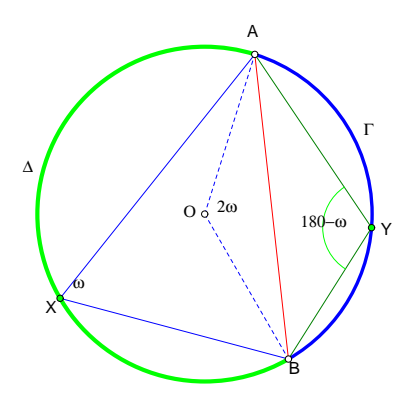


Σχήμα 212: Ισες εγγεγραμμένες γωνίες

Πόρισμα 2.13.2 Κάθε χορδή AB ενός κύκλου τον χωρίζει σε δύο τόξα  $A\Gamma B$  και  $A\Delta B$  περιεχόμενα έκαστον σε ένα από τα δύο ημιεπίπεδα που ορίζονται από την ευθεία AB. Τα δύο τόξα αυτά είναι συμπληρωματικά. Κάθε σημείο X του τόξου  $A\Delta B$  βλέπει το άλλο τόξο  $A\Gamma B$  υπό σταθερή γωνία ω και κάθε σημείο Y του τόξου  $A\Gamma B$  βλέπει το τόξο  $A\Delta B$  υπο την παραπληρωματική της  $\omega$ ,  $\omega'=180$ - $\omega$ .

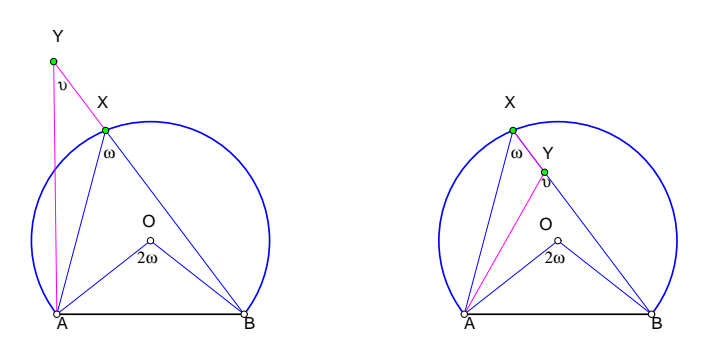
Πρόταση 2.13.3 Ο γεωμετρικός τόπος των σημείων X του επιπέδου που είναι από την ίδια μεριά του ευθυγράμμου τμήματος AB και το βλέπουν υπό δοθείσα σταθερή γωνία ω είναι τόξο κύκλου που διέρχεται από τα άκρα A και B του ευθυγράμμου τμήματος.

Aπόδειξη: Έστω X σημείο του τόπου, δηλαδή σημείο που βλέπει το τμήμα AB υπό γωνία ω και κ ο κύκλος που διέρχεται από τα τρία σημεία AB και X (Πρόταση 2.1.3). Έστω ότι το X περιέχεται στο τόξο  $A\Delta B$  με άκρα τα A και B. Κατά το προηγούμενο πόρισμα και



Σχήμα 213: Συμπληρωματικά τόξα οριζόμενα από χορδή ΑΒ

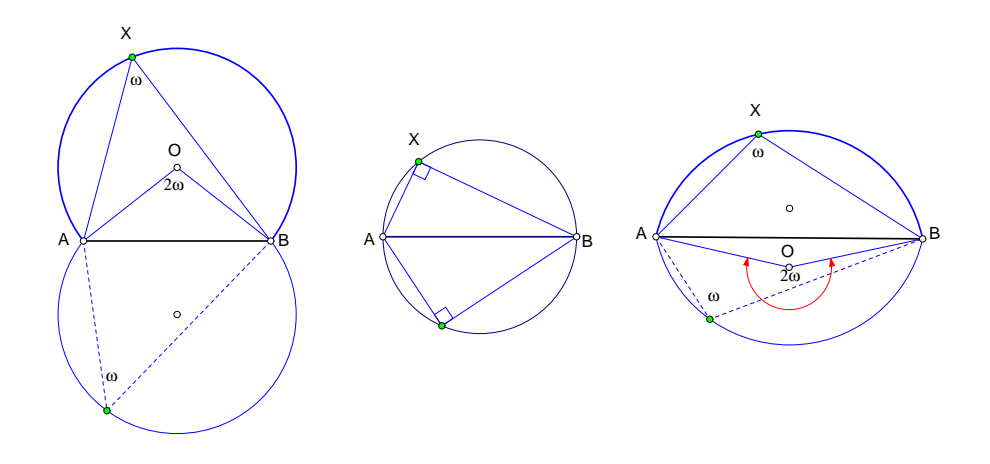
κάθε άλλο σημείο αυτού του τόξου (σχήμα 213) θα βλέπει το AB υπό γωνία ω. Γιά να ολοκληρώσουμε την απόδειξη δείχνουμε ότι κανένα άλλο σημείο του επιπέδου εκτός αυτού του τόξου δεν βλέπει το AB υπό γωνία ω. Πράγματι, αν το σημείο Y είναι εξωτερικό του



Σχήμα 214: Σημεία που δεν βλέπουν το ΑΒ υπό γωνίαν ω

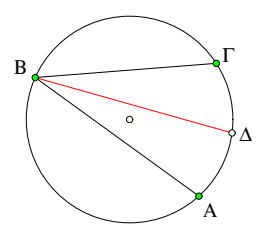
τόξου AXB τότε ενώνοντάς το με τα A και B σχηματίζεται το τρίγωνο AYB του οποίου μία εκ των πλευρών τουλάχιστον (γιατί;) λ.χ. η YB θα τέμνει το τόξο σε κάποιο σημείο X (σχήμα 214 αριστερά). Τότε η γωνία ω στο X θα είναι εξωτερική του τριγώνου AXY, άρα μεγαλύτερη της εντός και απέναντι που είναι η υ. Παρόμοια δείχνουμε (σχήμα 214 δεξιά) ότι ένα σημείο Y στο εσωτερικό του τόξου βλέπει το AB υπό γωνίαν υ μεγαλύτερη της ω. Αυτό ολοκληρώνει την απόδειξη του θεωρήματος, ο.ε.δ.

Σχόλιο-2 Αν θέλουμε τον γεωμετρικό τόπο όλων των σημείων <math>X που βλέπουν το AB υπό σταθερή γωνία ω, ανεξάρτητα της πλευράς του AB, πρέπει να κάνουμε την κατασκευή



Σχήμα 215: Σημεία που βλέπουν το ΑΒ υπό δοθείσαν γωνίαν ω

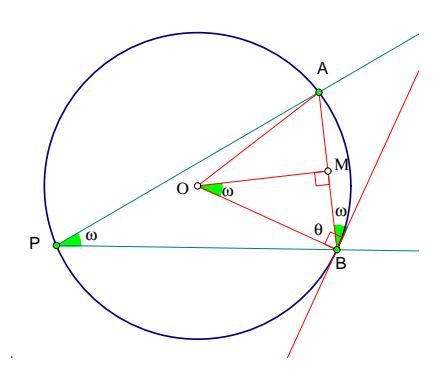
του τόξου και από τις δύο μεριές του AB. Το σχήμα 215 δείχνει αυτήν την κατασκευή στην περίπτωση α) της οξείας γωνίας ω, β) στην περίπτωση της ορθής γωνίας, όπου τα δύο τόξα είναι δύο ημιπεριφέρειες του ιδίου κύκλου και γ) στην περίπτωση της αμβλείας γωνίας ω.



 $\Sigma$ χήμα 216:  $\Delta$ ιχοτόμος εγγεγραμμένης και μέσον τόξου

'Ασκηση 2.13.1 Εάν ΑΒΓ είναι μία εγγεγραμμένη σε κύκλο γωνία βαίνουσα επί τόξου  $A\Delta\Gamma$ , τότε η ευθεία  $B\Delta$  που ορίζεται από την κορυφή της γωνίας B και το μέσον  $\Delta$  του τόξου είναι η διχοτομος της εγγεγραμμένης γωνίας.

 $\Upsilon$ πόδειξη: Οι αντίστοιχες επίκεντρες γωνίες των τόξων  $\Gamma\Delta$  και  $\Delta A$  είναι ίσες μεταξύ τους και διπλάσιες των  $\Gamma B\Delta$  και  $\Delta BA$  αντίστοιχα.

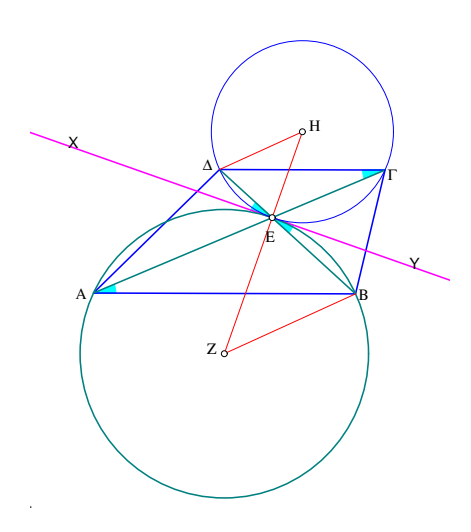


Σχήμα 217: Γωνία χορδής και εφαπτομένης

Πρόταση 2.13.4 Η γωνία ω που σχηματίζεται από χορδή AB του κύκλου και εφαπτόμενη στο άκρο της B είναι ίση με την εγγεγραμμένη που βλέπει το τόξο μεταξύ της χορδής αυτής και της εφαπτομένης.

Aπόδειξη: Η γωνία χορδής και εφαπτομένης στο <math>B έχει τις πλευρές της κάθετες στις πλευρές της γωνίας BOM, όπου M το μέσον της χορδής. Και οι δύο αυτές γωνίες είναι συμπληρωματικές της γωνίας  $\vartheta$  που σχηματίζει η χορδή με την ακτίνα στο B, άρα είναι ίσες. H εγγεγραμμένη BPA είναι όμως ίση με την BOM, ο.ε.δ.

Άσκηση 2.13.2 Έστω τραπέζιο  $AB\Gamma\Delta$  με παράλληλες πλευρές AB,  $\Gamma\Delta$  και E το σημείο τομής των διαγωνίων του. Οι περιγεγραμμένοι κύκλοι των τριγώνων  $\Delta E\Gamma$  και ABE εφάπτονται στο σημείο E.

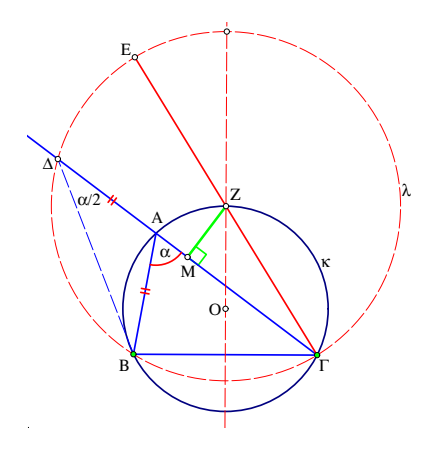


Σχήμα 218: Εφαπτόμενοι κύκλοι

Υπόδειξη: Έστω η εφαπτόμενη ΕΧ του περιγεγραμμένου χύχλου του τριγώνου  $\Delta$ ΕΓ στο Ε (σχήμα 218) και ΕΥ η εφαπτόμενη του περιγεγραμμένου χύχλου του τριγώνου ABE στο Ε. Η γωνία  $XΕ\Delta$  ισούται με την  $ΕΓ\Delta$  (2.13.4) η οποία με την σειρά της ισούται με την ΕAB, η οποία με την σειρά της ισούται με την BEY. Αφού τα  $\Delta$ , E και B είναι στην ίδια ευθεία (διαγώνιο του  $AB\Gamma\Delta$ ) η ισότητα των  $\Delta EX$  και YEB συνεπάγεται ότι οι δύο αυτές γωνίες είναι κατά χορυφήν και τα X, E και Y είναι στην ίδια ευθεία.

'Ασκηση 2.13.3  $\Delta$ ίδεται κύκλος κ.  $\Delta$ είξε ότι από όλα τα τρίγωνα  $AB\Gamma$  που έχουν κοινή την βάση  $B\Gamma$  και είναι εγγεγραμμένα στον κ αυτό που έχει μέγιστη περίμετρο είναι ισοσκελές.

Υπόδειξη: Προέκτεινε την  $A\Gamma$  και πάρε  $A\Delta$  ίσο με την πλευρά AB. Το τρίγωνο  $AB\Delta$  είναι ισοσκελές και η γωνία του στο  $\Delta$  είναι  $\frac{\alpha}{2}$ . Συνεπώς το  $\Delta$  βλέπει την  $B\Gamma$  υπο σταθερά γωνία και περιέχεται σε κύκλο  $\lambda$  διερχόμενο από τα B και  $\Gamma$  (Πρόταση 2.13.3). Παρατήρησε ότι το κέντρο Z του  $\lambda$  είναι στην μεσοκάθετο της χορδής  $B\Gamma$  καθώς επίσης και στον κύκλο  $\kappa$ , διότι βλέπει το  $B\Gamma$  υπό γωνία α (διπλάσια της γωνίας στο  $\Delta$ ). Επιστρέφοντας στο πρόβλημα, η περίμετρος του τριγώνου  $p=|B\Gamma|+|BA|+|A\Gamma|=|B\Gamma|+|\Gamma\Delta|$  και επειδή η  $B\Gamma$  είναι σταθερά το p γίνεται μέγιστο τότε ακριβώς όταν το ευθύγραμμο τμήμα  $\Gamma\Delta$  γίνει μέγιστο. Η  $\Gamma\Delta$  όμως, ως χορδή του κύκλου  $\lambda$ , μεγιστοποιείται όταν γίνει διάμετρός του (Πρόταση 2.1.2).  $\Lambda$ ν λοιπόν  $\Gamma$ Ε είναι το αντιδιαμετρικό του  $\Gamma$  στον κύκλο  $\lambda$ , απ' όσα είπαμε, το τρίγωνο γίνεται



Σχήμα 219: Μεγιστοποίηση περιμέτρου εγγεγραμμένου τριγώνου

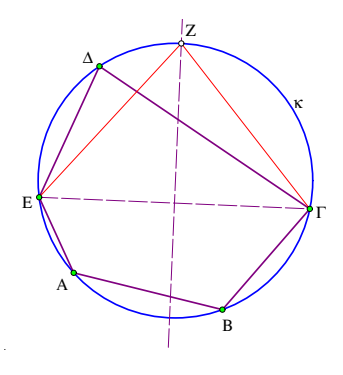
μεγίστης περιμέτρου όταν το  $\Gamma\Delta$  πάρει την θέση του  $\Gamma E$  και επομένως το A την θέση του Z. Τότε όμως το τρίγωνο  $BZ\Gamma$  είναι ισοσκελές, αφού το Z είναι στην μεσοκάθετο του  $B\Gamma$ .

Άσκηση 2.13.4 (Αρχιμήδης) Επί του περιγεγραμμένου κύκλου του τριγώνου  $AB\Gamma$  θεώρησε το μέσον Z του τόξου  $BA\Gamma$  και πρόβαλλε το σημείο αυτό στο σημείο M της μεγαλύτερης από τις δύο πλευρές AB και  $A\Gamma$ . Δείξε ότι το M χωρίζει την τεθλασμένη  $BA\Gamma$  σε δύο ισομήκη μέρη.

Υπόδειξη: Στο σχήμα 219 το μήχος της τεθλασμένης  $BA\Gamma$  ισούται με το μήχος της  $\Gamma\Delta$  που είναι χορδή του κύκλου λ (προηγούμενης άσκησης). Άρα το Z που είναι το κέντρο του λ προβάλλεται στο μέσον της χορδής και συνεπώς  $|BA| + |AM| = |M\Gamma|$  ([Hon95,  $\sigma$ . 1]).

'Ασκηση 2.13.5  $\Delta$ ίδεται κύκλος κ.  $\Delta$ είξε ότι από όλα τα τρίγωνα  $AB\Gamma$  τα εγγεγραμμένα στον κ αυτό που έχει μέγιστη περίμετρο είναι το ισόπλευρο.

Υπόδειξη: Η ιδιότητα αυτή είναι απλή λογική συνέπεια της Άσκησης 2.13.3. Πράγματι, αν το τρίγωνο  $AB\Gamma$  ήταν εγγεγραμμένο στον κ, είχε μέγιστη περίμετρο p και δεν ήταν ισόπλευρο, λ.χ.  $|AB|<|A\Gamma|$ , τότε με την βοήθεια της Άσκησης 2.13.3 θα βρίσκαμε ένα άλλο (ισοσκελές) με την ίδια βάση  $B\Gamma$  και περίμετρο p'>p, πράγμα άτοπο, αφού υποθέσαμε ότι η p είναι η μέγιστη δυνατή περίμετρος.

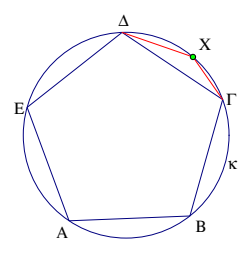


Σχήμα 220: Μεγιστοποίηση περιμέτρου εγγεγραμμένου πολυγώνου

Άσκηση 2.13.6  $\Delta$ ίδεται κύκλος κ.  $\Delta$ είξε ότι από όλα τα πολύγωνα με ν πλευρές τα εγγεγραμμένα στον κ, αυτό που έχει μέγιστη περίμετρο είναι το κανονικό πολύγωνο με ν πλευρές.

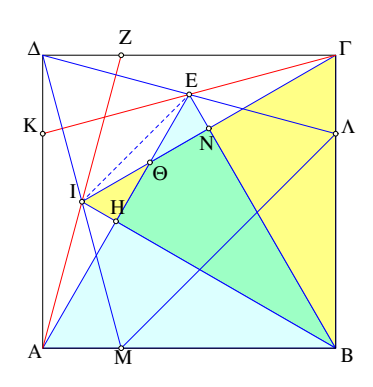
Υπόδειξη: Όπως η προηγούμενη, έτσι και αυτή η άσκηση είναι απλή λογική συνέπεια της Άσκησης 2.13.3. Πράγματι, αν το πολύγωνο  $AB\Gamma\Delta$ ... με ν πλευρές ήταν εγγεγραμμένο στον κ, είχε μέγιστη περίμετρο p και δεν ήταν το κανονικό πολύγωνο με ν πλευρές, τότε θα είχε δύο διαδοχικές πλευρές άνισες λ.χ. την  $\Gamma\Delta$  και  $\Delta E$ . Τότε φέρνοντας την διαγώνιο  $\Gamma E$  θα σχηματίζαμε τρίγωνο  $\Gamma\Delta E$  και κατά την Άσκηση 2.13.3 θα υπήρχε άλλο τρίγωνο (ισοσκελές)  $\Gamma EZ$  με περίμετρο μεγαλύτερη αυτής του  $\Gamma E\Delta$ . Αντικαθιστώντας τότε τις δύο πλευρές  $E\Delta$  και  $\Delta\Gamma$  με τις EZ και EZ και EZ και EZ θα βρίσκαμε πολύγωνο με μεγαλύτερη περίμετρο, πράγμα άτοπο αφού αντιβαίνει στην υπόθεση ότι το αρχικό πολύγωνο είχε την μέγιστη δυνατή περίμετρο.

Άσκηση 2.13.7  $\Delta$ ίδεται κύκλος κ.  $\Delta$ είξε ότι η περίμετρος του κανονικού εγγεγραμμένου πολυγώνου με  $(\nu+1)$  πλευρές είναι μεγαλύτερη της περιμέτρου του κανονικού εγγεγραμμένου πολυγώνου με  $\nu$  πλευρές.



Σχήμα 221: Περίμετροι κανονικών πολυγώνων

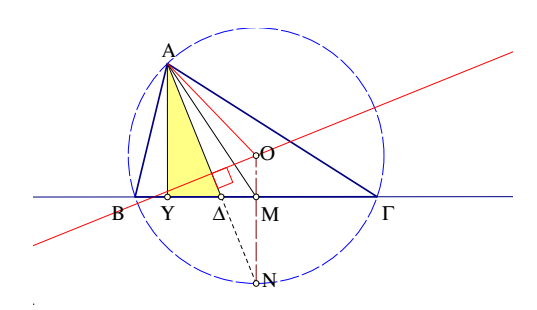
Υπόδειξη: Θεώρησε ένα κανονικό εγγεγραμμένο στον κύκλο κ πολύγωνο  $\Pi = AB\Gamma...$  με ν πλευρές. Έστω ότι η περίμετρος του  $\Pi$  είναι p. Πάρε σημείο X στον κ διαφορετικό από τις κορυφές του. Έστω ότι το X περιέχεται στο τόξο που ορίζεται από την πλευρά  $\Gamma\Delta$  του πολυγώνου. Αντικατάστησε την πλευρά  $\Gamma\Delta$  με τις δύο πλευρές  $\Gamma X$  και  $X\Delta$ . Προκύπτει πολύγωνο με ν+1 κορυφές  $\Pi' = AB\Gamma X\Delta...$  και περίμετρο p' > p. Σύμφωνα με την προηγούμενη άσκηση το κανονικό πολύγωνο  $\Pi''$  με  $(\nu+1)$  πλευρές θα έχει περίμετρο p'' > p'. Συνολικά λοιπόν p'' > p' > p.



Σχήμα 222: Ισόπλευρα εγγεγραμμένα σε τετράγωνο

Άσκηση 2.13.8 Στο τετράγωνο  $AB\Gamma\Delta$  κατασκευάζονται ισόπλευρα ABE και  $B\Gamma I$  στις πλευρές του.  $\Delta$ είξε ότι προεκτείνοντας τις  $\Delta E$  και  $\Delta I$  μέχρι της τομής τους με το τετράγωνο σχηματίζεται άλλο ισόπλευρο  $\Delta \Lambda M$ .  $\Delta$ ιερεύνησε το σχήμα-222 και βρες όλες τις γωνίες που σχηματίζονται σε αυτό.

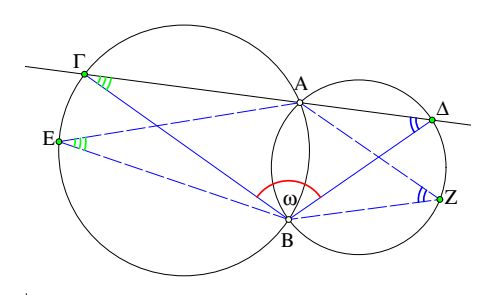
Άσκηση 2.13.9 Κατασκεύασε τρίγωνο  $AB\Gamma$  από τα μήκη τού ύψους |AY|, διχοτόμου  $|A\Delta|$  και διαμέσου |AM|.



Σχήμα 223: Κατασκευή από ύψος, διχοτόμο και διάμεσο

 $\Upsilon$ πόδειξη: Από τα δεδομένα κατασκευάζονται άμεσα τα ορθογώνια τρίγωνα  $AY\Delta$  και AYM. Η κάθετος της  $Y\Delta$  στο M τέμνει την διχοτόμο  $A\Delta$  σε σημείο N, ευρισκόμενο επί του περιγεγραμμένου κύκλου του ζητουμένου τριγώνου. Κατασκευάζεται το N και η μεσοκάθετος του AN τέμνει την ευθεία MN στο κέντρο O του περιγεγραμμένου κύκλου. Με κέντρο O και ακτίνα OA γράφεται κύκλος που διέρχεται από το A και τέμνει την  $Y\Delta$  στα ζητούμενα σημεία B και  $\Gamma$ , που μαζί με το A αποτελούν τις κορυφές του ζητουμένου τριγώνου.

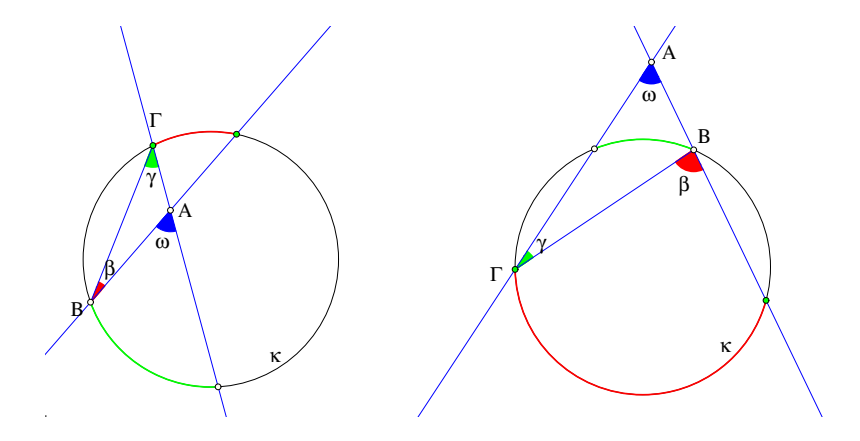
Άσκηση 2.13.10 Εστω ότι δύο κύκλοι τέμνονται σε δύο σημεία A και B και  $\Gamma\Delta$  είναι ευθεία διερχόμενη από το και τέμνουσα τους δύο κύκλους στα  $\Gamma$  και  $\Delta$  αντίστοιχα. Τότε η γωνία  $\omega = \Gamma B\Delta$  έχει σταθερό μέτρο ανεξάρτητο της κατεύθυνσης της  $\Gamma\Delta$ .



Σχήμα 224: Σταθερή γωνία

Υπόδειξη: Οι γωνίες ΑΓΒ και ΑΔΒ είναι σταθερού μέτρου (σχήμα-224), ανεξάρτητα της κατεύθυνσης της ΓΔ και  $|\omega|=180-|A\Gamma B|-|A\Delta B|$ .

Άσκηση 2.13.11  $\Delta$ είξε ότι η γωνία  $\omega = |BA\Gamma|$  δύο ευθειών τεμνομένων στο εσωτερικό/εξωτερικό κύκλου κ ισούται με το άθροισμα/διαφορά δύο εγγεγραμμένων γωνιών του κ που ορίζονται από τα σημεία τομής των ευθειών με τον κύκλο.

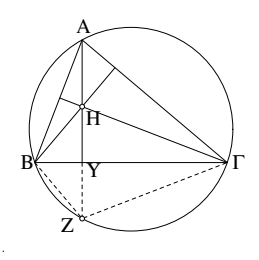


Σχήμα 225: Γωνία τεμνομένων στο εσωτερικό/εξωτερικό κύκλου

Άσκηση 2.13.12 Εάν H και I αντίστοιχα το ορθόκεντρο και το έγκεντρο του τριγώνου  $AB\Gamma$ , προσδιόρισε τις γωνίες  $BH\Gamma$  και  $BI\Gamma$  συναρτήσει των γωνιών του  $AB\Gamma$ .

Άσκηση 2.13.13 Εστω O το περίκεντρο τριγώνου  $AB\Gamma$ , A' το συμμετρικό του A ως προς O και  $A^*$  το σημείο τομής του ύψους  $A\Delta$  με τον περίκυκλο.  $\Delta$ είξε ότι η  $AA^*$  είναι παράλληλη της  $B\Gamma$  και ότι οι γωνίες  $BA\Gamma$  και  $A'AA^*$  έχουν κοινή διχοτόμο.

'Ασκηση 2.13.14 Έστω H το ορθόκεντρο τριγώνου  $AB\Gamma$ .  $\Delta$ είξε ότι γιά κάθε τρίγωνο τ  $\mu$ ε κορυφές τρία από τα σημεία A,B, $\Gamma$ ,H, το τέταρτο σημείο είναι το ορθόκεντρο του τ.  $\Delta$ είξε επίσης ότι το συμμετρικό του H ως προς μία πλευρά είναι σημείο του περικύκλου του  $AB\Gamma$ .



Σχήμα 226: Ορθοκεντρική τετράδα

**Ορθοκεντρική τετράδα** ονομάζουμε τέσσερα σημεία που αποτελούνται από τις κορυφές τριγώνου και το ορθόκεντρο αυτού.

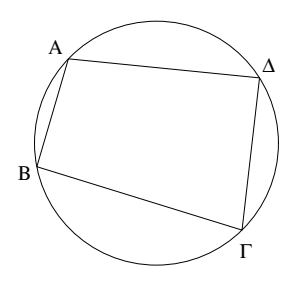
Άσκηση 2.13.15  $\Delta$ οθέντων δύο σημείων A και B και κύκλου κ $(O,\rho)$  έτσι ώστε τα A,B και O να μην είναι συνευθειακά, να αχθούν δύο παράλληλες AX και BY έτσι ώστε να αποτέμνουν από τον κύκλο δύο ίσές χορδές. Nα εξετασθεί πότε το πρόβλημα έχει λύση.

'Ασκηση 2.13.16 Κατασκεύασε τρίγωνο  $AB\Gamma$  του οποίου δίδεται η διάμεσος  $A\Delta$  και οι ακτίνες των περικύκλων των τριγώνων  $AB\Delta$  και  $A\Gamma\Delta$ .

'Ασκηση 2.13.17 Κατασκεύασε ορθογώνιο παραλληλόγραμμο  $AB\Gamma\Delta$  του οποίου δίδεται το μήκος της διαγωνίου  $A\Gamma$  και η διαφορά των γωνιών  $\Gamma AB$  και  $\Gamma A\Delta$ .

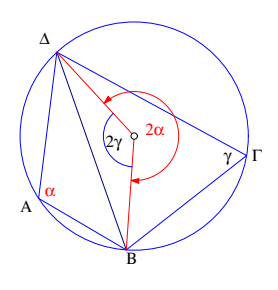
# 2.14 Εγγεγραμμένα τετράπλευρα

Εγγεγραμμένο ή κυκλικό ή εγγράψιμο σε κύκλο λέγεται ένα κυρτό τετράπλευρο το οποίο μπορεί να εγγραφεί σε κύκλο, δηλαδή τετράπλευρο γιά το οποίο υπάρχει κύκλος διερχόμενος και από τις τέσσερις κορυφές του.



Σχήμα 227: Εγγεγραμμένο τετράπλευρο

**Πρόταση 2.14.1** Σε κάθε εγγεγραμμένο τετράπλευρο οι απέναντι γωνίες του είναι παραπληρωματικές. Αντίστροφα, αν δύο απέναντι κείμενες γωνίες τετραπλεύρου είναι παραπληρωματικές τότε αυτό είναι εγγράψιμο.

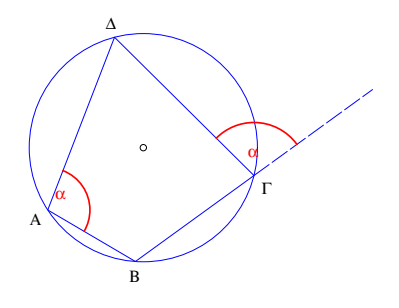


Σχήμα 228: Απέναντι γωνίες εγγεγραμμένου τετραπλεύρου

Aπόδειξη: Δύο απέναντι γωνίες του εγγεγραμμένου τετραπλεύρου, λ.χ. οι <math>A και  $\Gamma$  μέτρων α και  $\gamma$ , βλέπουν την διαγώνιο BΔ υπό παραπληρωματικές γωνίες, διότι οι αντίστοιχες επίκεντρές τους έχουν  $2\alpha+2\gamma=360$ . Αντίστροφα, αν οι απέναντι γωνίες μέτρων α και  $\gamma$  είναι παραπληρωματικές, τότε το A ανήκει στον γεωμετρικό τόπο των σημείων που βλέπουν το BΔ υπό γωνίαν  $\alpha$ , που κατά την Πρόταση 2.13.3 είναι ένα τόξο κύκλου και το  $\Gamma$  θα ανήκει αντίστοιχα στο συμπληρωματικό τόξο του προηγουμένου ως προς τον ίδιο κύκλο, ο.ε.δ.

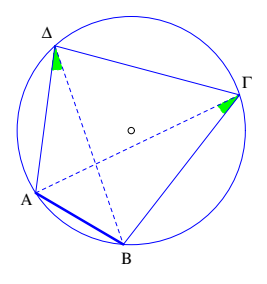
**Πόρισμα 2.14.1** Κάθε γωνία του εγγεγραμμένου κυρτού τετραπλεύρου είναι ίση με την εκτός και απέναντί της και αντίστροφα, αν μία γωνία κυρτού τετραπλεύρου είναι ίση με την εκτός και απέναντί της τότε το τετράπλευρο είναι εγγράψιμο σε κύκλο.

Aπόδειξη: Το πόρισμα είναι άμεση συνέπεια της προηγούμενης πρότασης, διότι γιά κάθε γωνία του τετραπλεύρου η αντίστοιχη εκτός και απέναντι αυτής γωνία είναι η παραπληρωματική της απέναντι γωνίας.



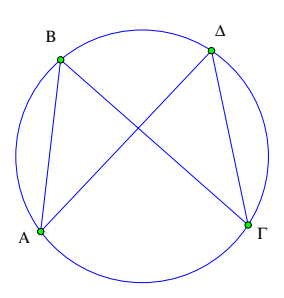
Σχήμα 229: Ίσες γωνίες σε εγγράψιμο τετράπλευρο

Πρόταση 2.14.2 Σε κάθε εγγεγραμμένο τετράπλευρο κάθε μία από τις πλευρές του φαίνεται από τις άλλες δύο κορυφές υπό ίσες γωνίες. Αντίστροφα, αν μία πλευρά τετραπλεύρου φαίνεται από τις δύο άλλες κορυφές του υπό ίσες γωνίες τότε το τετράπλευρο είναι εγγράψιμο σε κύκλο.



Σχήμα 230: Πλευρά που φαίνεται υπό ίσες γωνίες

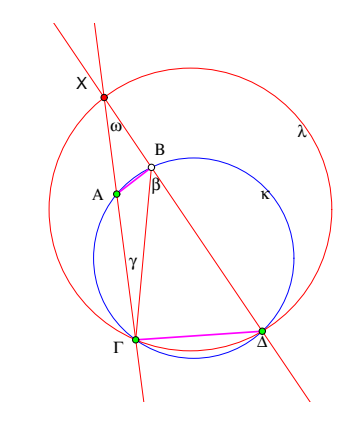
Aπόδειξη: Και πάλι η απόδειξη είναι εφαρμογή της Πρότασης 2.13.3, ο.ε.δ.



Σχήμα 231: Μη-κυρτό κυκλικό τετράπλευρο

Παρατήρηση Το τελευταίο θεώρημα ισχύει και γιά μή κυρτά τετράπλευρα . Ωστόσο στην περίπτωση μη-κυρτών εγγεγραμμένων τετραπλεύρων οι απέναντι γωνίες είναι ίσες και όχι παραπληρωματικές, όπως συμβαίνει στα κυρτά τετράπλευρα.

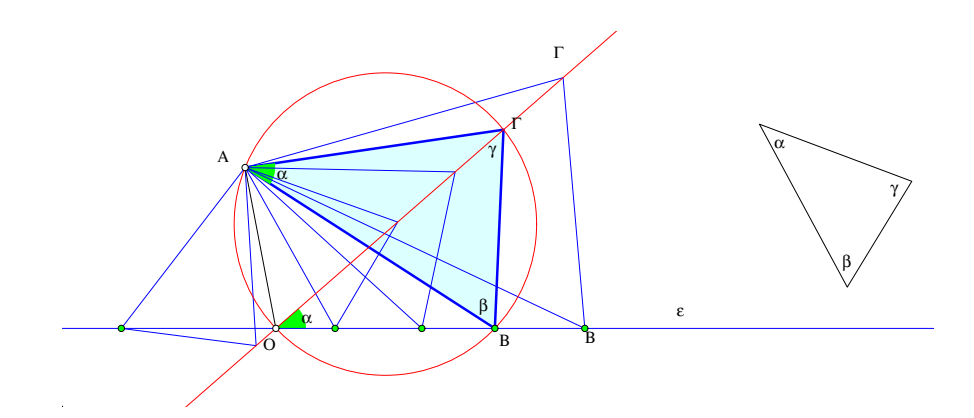
Άσκηση 2.14.1  $\Delta$ ίδεται κύκλος κ και δύο χορδές αυτού. Η Γ $\Delta$  σταθερά και η AB μετα-βλητή αλλά σταθερού μήκους.  $\Delta$ είξε ότι η τομή X των ευθειών  $A\Gamma$  και  $B\Delta$  ευρίσκεται επί άλλου κύκλου λ που διέρχεται από τα άκρα  $\Gamma$  και  $\Delta$  της σταθεράς χορδής.



 $\Sigma$ χήμα 232:  $\beta = \gamma + \omega$ 

 $\Upsilon$ πόδειξη: Οι γωνίες  $\beta$  και  $\gamma$  στο προηγούμενο σχήμα είναι σταθερές διότι είναι εγγεγραμμένες σε τόξα χορδής σταθερού μήκους. Η  $\beta$  είναι εξωτερική γωνία του τριγώνου  $B\Gamma X$ , άρα το μέτρο της ισούται με το άθροισμα των δύο εντός και απέναντι:  $\beta = \gamma + \omega$ , από την οποία συνάγεται η σταθερότητα της γωνίας  $\omega$ .

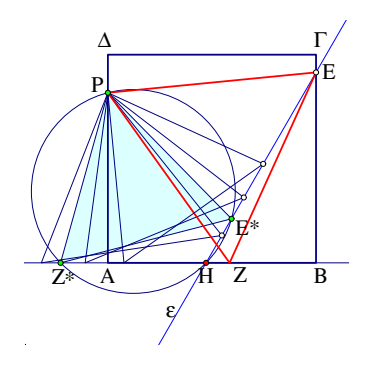
Πρόταση 2.14.3 Τρίγωνο  $AB\Gamma$  μεταβάλλεται έτσι ώστε οι γωνίες του να παραμένουν σταθερές, η κορυφή του A να παραμένει επίσης σταθερή και η κορυφή του B να κινήται επί σταθεράς ευθείας  $\varepsilon$ . Δείξε ότι η τρίτη κορυφή του  $\Gamma$  κινήται τότε επί άλλης σταθεράς ευθείας που σχηματίζει με την  $\varepsilon$  γωνία ίση με την  $BA\Gamma$ .



Σχήμα 233: Μεταβλητό τρίγωνο με σταθερές γωνίες

Απόδειξη: Έστω  $AB\Gamma$  ένα από τα τρίγωνα με τις προαναφερθείσες ιδιότητες. Θεώρησε τον περιγεγραμμένο χύχλο αυτού του τριγώνου και το δεύτερο σημείο τομής O αυτού του χύχλου (διαφορετικό του B) με την ευθεία ε. Επειδή το O βλέπει το  $B\Gamma$  υπό την ίδια γωνία που το βλέπει και το A η γωνία στο O θα είναι σταθερή και ίση με την γωνία του τριγώνου α (οι γωνίες παραμένουν σταθερές, μόνο οι διαστάσεις και η θέση του τριγώνου αλλάζουν). Επειδή το τετράπλευρο  $AOB\Gamma$  είναι εγγεγραμμένο σε χύχλο η γωνία AOB που είναι απέναντι στην Y θα είναι παραπληρωματική αυτής, πράγμα που καθορίζει πλήρως την θέση του σημείου O. Συνεπώς το  $\Gamma$  περιέχεται στην ευθεία που διέρχεται από το σημείο O και σχηματίζει γωνία α με την E0. ο.ε.δ.

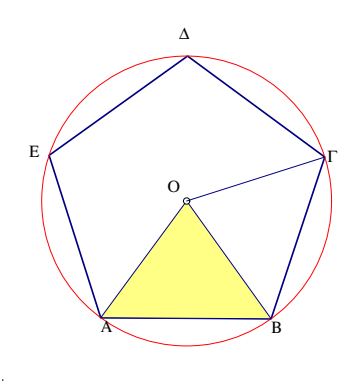
'Ασκηση 2.14.2 Δίδεται τετράγωνο  $AB\Gamma\Delta$  και σημείο P επί της πλευράς του  $A\Delta$ . Να κατασκευασθεί ισόπλευρο τρίγωνο PZE που έχει τις κορυφές του στις πλευρές του τετραγώνου.



Σχήμα 234: Ισόπλευρο εγγεγραμμένο σε τετράγωνο

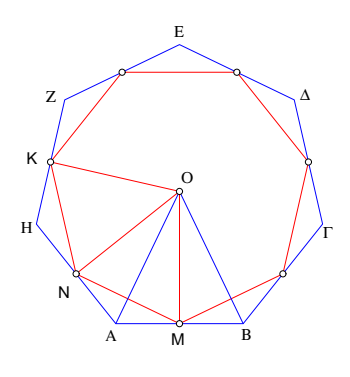
 $\Upsilon$ πόδειξη: Θεώρησε όλα τά ισόπλευρα τρίγωνα  $PZ^*E^*$  με  $Z^*$  επί της ευθείας AB. Κατά την Πρόταση 2.14.3 η άλλη κορυφή  $E^*$  όλων αυτών των τριγώνων μεταβάλεται επί ορισμένης ευθείας  $\epsilon$ . Το σημείο τομής E αυτής της ευθείας και του τετραγώνου, που είναι διαφορετικό του σημείου τομής H της ε με την AB, ορίζουν το ζητούμενο τρίγωνο PZE.

Άσκηση 2.14.3  $\Delta \epsilon$ ίξε ότι κάθε κανονικό πολύγωνο εγγράφεται σε κύκλο (δηλαδή κύκλο που διέρχεται από όλες τις κορυφές του) με κέντρο το κέντρο του κανονικού πολυγώνου.



Σχήμα 235: Περιγεγραμμένος κανονικού πολυγώνου

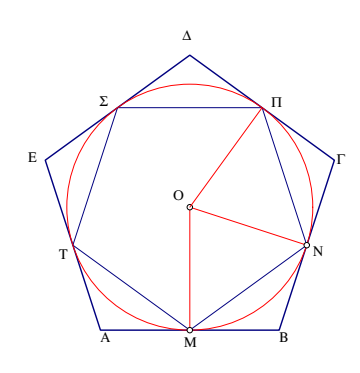
Υπόδειξη: Τα τρίγωνα που σχηματίζονται από μία πλευρά του πολυγώνου και το κέντρο του είναι όλα ίσα μεταξύ τους και ισοσκελή.



Σχήμα 236: Το πολύγωνο των μέσων των πλευρών

Άσκηση 2.14.4  $\Delta \epsilon$ ίξε ότι τα μέσα των πλευρών ενός κανονικού πολυγώνου ορίζουν άλλο κανονικό πολύγωνο με το ίδιο πλήθος πλευρών.

 $\Upsilon$ πόδειξη: Aν M, N, K, ... τα μέσα των πλευρών του κανονικού πολυγώνου  $AB\Gamma\Delta...$ , δείξε ότι τα τρίγωνα που σχηματίζονται από μία πλευρά και το O αντίστοιχα, όπως τα OAB και OMN στο προηγούμενο σχήμα, είναι ισοσκελή που έχουν ίσες γωνίες.



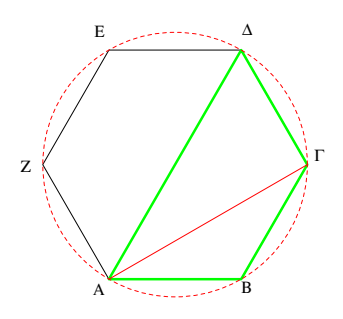
Σχήμα 237: Εγγεγραμμένος κύκλος κανονικού πολυγώνου

'Ασκηση 2.14.5  $\Delta \epsilon$ ίξ $\epsilon$  ότι ότι υπάρχ $\epsilon$ ι κύκλος που  $\epsilon$ φάπτ $\epsilon$ ται ταυτόχρονα των πλ $\epsilon$ υρών κανονικού πολυγώνου και  $\epsilon$ χ $\epsilon$ ι το κ $\epsilon$ ντρο του στο κ $\epsilon$ ντρο του πολυγώνου.

Υπόδειξη: Από την προηγούμενη άσκηση προκείπτει ότι τα μέσα των πλευρών κανονικού πολυγώνου ορίζουν άλλο κανονικό πολύγωνο. Ο περιγεγραμμένος κύκλος αυτού του δευτέρου πολυγώνου είναι ο εφαπτόμενος του αρχικού. Οι πλευρές του πρώτου είναι εφαπτόμενες στα άκρα των ακτίνων προς τις κορυφές του δευτέρου.

Άσκηση 2.14.6 Από μία κορυφή ενός κανονικού πολυγώνου φέρε όλες τις διαγωνίους. Δείξε ότι οι γωνίες που σχηματίζονται μεταξύ δύο διαδοχικών διαγωνίων είναι όλες ίσες μεταξύ τους.

Υπόδειξη: Οι γωνίες αυτές είναι οι γωνίες υπό τις οποίες η εν λόγω κορυφή, που είναι επί του περιγεγραμμένου κύκλου, βλέπει τις πλευρές του πολυγώνου. Επειδή όλες οι πλευρές είναι ίσες χορδές του περιγεγραμμένου κύκλου, αυτές οι γωνίες είναι ίσες μεταξύ τους.



Σχήμα 238: Τραπέζιο τριών διαδοχικών πλευρών

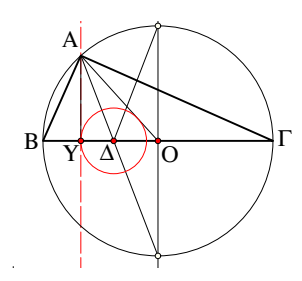
Άσκηση 2.14.7  $\Delta$ είξε ότι τρεις διαδοχικές πλευρές AB, $B\Gamma$  και  $\Gamma\Delta$  ενός κανονικού πολυγώνου μαζί με την διαγώνιο  $A\Delta$  σχηματίζουν ένα ισοσκελές τραπέζιο.  $\Delta$ είξε ακόμη ότι οι διαγώνιοι  $A\Gamma$  και  $B\Delta$  αυτού του τραπεζίου διχοτομούν τις γωνίες που πρόσκεινται στην βάση του  $A\Delta$ .

Υπόδειξη: Οι γωνίες  $BA\Gamma$  και  $B\Gamma A$  είναι ίσες διότι το  $AB\Gamma$  είναι ισοσκελές. Οι γωνίες  $BA\Gamma$  και  $\Gamma A\Delta$  είναι ίσες διότι το A είναι σημείο του κύκλου του οποίου οι  $B\Gamma$  και  $\Gamma \Delta$  είναι ίσες χορδές. Από την ισότητα των γωνιών  $\Delta A\Gamma$  και  $A\Gamma B$  προκύπτει η παραλληλία των  $A\Delta$  και  $B\Gamma$ .

Άσκηση 2.14.8 Κατασκεύασε ισόπλευρο τρίγωνο που έχει μία κορυφή σε δοθέν σημείο και τις άλλες δύο κορυφές επί δοθέντων παραλλήλων ευθειών.

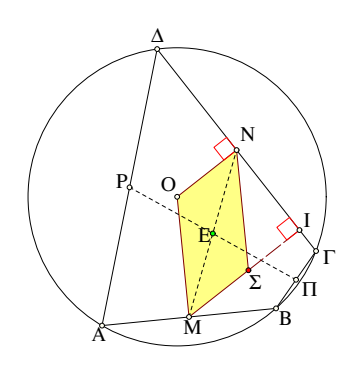
Άσκηση 2.14.9 Κατασκεύασε τρίγωνο  $AB\Gamma$  του οποίου δίδεται η ακτίνα ρ του περιγεγραμμένου κύκλου και τα μήκη  $v_A, \delta_A$  τού ύψους και της διχοτόμου από το A.

Άσκηση 2.14.10 Κατασκεύασε ορθογώνιο τρίγωνο του οποίου δίδονται τα ίχνη του ύψους, της διχοτόμου και της διαμέσου επί της ευθείας που ορίζεται από την υποτείνουσα.



Σχήμα 239: Κατασκευή ορθογωνίου από τα  $Y, \Delta, O$ 

Άσκηση 2.14.11 (Αντικέντρο εγγεγραμμένου τετραπλεύρου) Έστω E το σημείο τομής των τμημάτων που ενώνουν τα μέσα απέναντι πλευρών κυρτού εγγεγραμμένου τετραπλεύρου  $AB\Gamma\Delta$  και  $\Sigma$  το συμμετρικό του κέντρου O του περιγεγραμμένου κύκλου ως προς E.  $\Delta$ είξε η ευθεία που ενώνει το μέσον M μιάς πλευράς με το  $\Sigma$  είναι κάθετη στην απέναντι αυτής πλευρά.



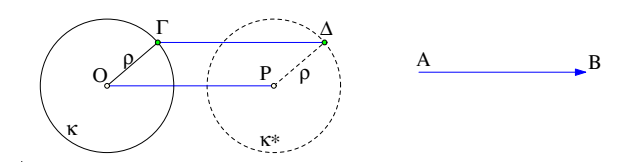
Σχήμα 240: Αντικέντρο Σ

 $\Upsilon πόδειξη:$  Αν N το μέσον της απέναντι πλευράς, δείξε ότι το  $OM\Sigma N$  είναι παραλληλόγραμμο.

# 2.15 Γεωμετρικοί τόποι

Γεωμετρικούς τόπους συναντήσαμε ήδη στην πορεία του μαθήματος (Πόρισμα 1.9.1 και συνακόλουθο σχόλιο, Άσκηση 1.15.6, Άσκηση 2.1.4). Πρόκειται γιά σύνολα σημείων που χαρακτηρίζονται από κάποια ιδιότητα. Από τους απλούστερους τόπους είναι ο κύκλος κ(Ο,ρ). Χαρακτηρίζεται ως ο γεωμετρικός τόπος των σημείων που απέχουν απόσταση ρ από το σταθερό σημείο Ο. Παρόμοια η μεσοκάθετος ενός ευθυγράμμου τμήματος ΑΒ: είναι ο γεωμετρικός τόπος των σημείων που ισαπέχουν από τα άκρα Α και Β του τμήματος. Οι απλούστεροι γεωμετρικοί τόποι καταλλήγουν σε ευθείες και κύκλους. Υπάρχουν όμως και απλές ιδιότητες που οδηγούν σε νέες καμπύλες (λ.χ κωνικές τομές (Παράγραφος 10.1)). Γιά την εύρεση ενός γεωμετρικού τόπου συχνά χρησιμοποιούμε κάποια ειδικά σημεία, γιά τα οποία γνωρίζουμε ότι ανήκουν σε αυτόν ή και σχετίζονται άμεσα με αυτόν. Η επόμενη άσκηση δίνει ένα τέτοιο παράδειγμα.

Άσκηση 2.15.1  $\Delta$ οθέντος κύκλου κ $(O,\rho)$  και ευθυγράμμου τμήματος AB, από κάθε σημείο  $\Gamma$  του κ φέρνουμε παράλληλο ίσο και ομόρροπο προς το AB ευθύγραμμο τμήμα  $\Gamma\Delta$ . Να  $\beta$ ρεθεί ο γεωμετρικός τόπος του σημείου  $\Delta$ .



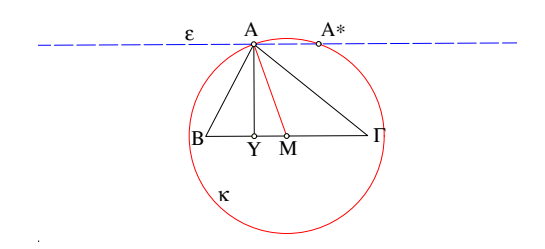
Σχήμα 241: Παράλληλος μεταφορά κύκλου

Υπόδειξη: Την ίδια διαδικασία που εφαρμόζουμε σε κάθε σημείο  $\Gamma$  του κύκλου κ εφάρμοσε και στο κέντρο του O. Ορίζεται έτσι το σημείο P έτσί ώστε το OP να είναι παράλληλο ίσο και ομόρροπο προς το AB. Τότε το  $OP\Delta\Gamma$  είναι παραλληλόγραμμο, άρα το μήκος  $|P\Delta|=\rho$  είναι σταθερό και ίσο με την ακτίνα του δοθέντος κύκλου. Συνεπώς τα σημεία του ζητουμένου τόπου περιέχονται στον κύκλο κ\* $(P,\rho)$ . Αντίστροφα, δείχνουμε ότι κάθε σημείο του κύκλου κ\* $(P,\rho)$  είναι σημείο του τόπου. Προς τούτο, ξεκινώντας από σημείο  $\Delta$  του κ\* ευρίσκουμε το σημείο  $\Gamma$  επί του κ, έτσι ώστε το  $\Gamma\Delta$  να είναι παράλληλο, ίσο και ομόρροπο του AB. Αυτό δείχνει ότι το  $\Delta$  είναι σημείο του τόπου και ολοκληρώνει την απόδειξη της ταύτισης του κύκλου κ\* $(P,\rho)$  με τον ζητούμενο γεωμετρικό τόπο.

Μιά σημαντική χρήση των γεωμετρικών τόπων είναι αυτή της εφαρμογής τους στις κατασκευές. Σε αυτές ζητούμε σημείο το οποίο αποδεικνύουμε ότι περιέχεται σε δύο γεωμετρικούς τόπους ταυτόχρονα. Η συνέπεια είναι ότι το ζητούμενο σημείο συμπίπτει με ένα σημείο τομής των δύο γεωμετρικών τόπων. Η επόμενη κατασκευή δίνει ένα παράδειγμα αυτής της μεθόδου.

Κατασκευή 2.15.1 Να κατασκευασθεί τρίγωνο  $AB\Gamma$  από την πλευρά  $a=|B\Gamma|$ , το ύψος  $v_A=|AY|$  και την διάμεσο  $\mu_A=|AM|$ .

Κατασκευή: Ανάλυση: Έστω ότι το ζητούμενο τρίγωνο κατασκευάσθηκε. Η κορυφή A θα απέχει απόσταση  $v_A$  από την βάση  $B\Gamma$ , άρα θα είναι σημείο μιάς εκ των παραλλήλων ευθειών ε προς την  $B\Gamma$  σε απόσταση  $v_A$  από αυτήν. Επίσης η κορυφή A θα απέχει απόσταση  $\mu_A$  από



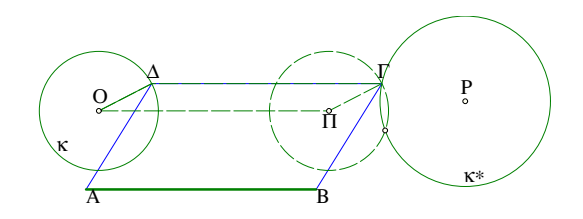
Σχήμα 242: Κατασκευή τριγώνου από τα  $a, v_A, \mu_A$ 

το μέσον της  ${\rm B}\Gamma$ , άρα θα είναι σημείο του κύκλου κ $({\rm M},\mu_A)$ . Συνεπώς το  ${\rm A}$  θα είναι σημείο τομής των δύο αυτών γεωμετρικών τόπων.

 $\Sigma$ ύν $\theta$ εση: Κατασκευάζουμε τμήμα  $B\Gamma$  μήκους a και φέρνουμε παράλληλο ε προς αυτό σε απόσταση  $v_A$ . Κατασκευάζουμε επίσης τον κύκλο κ $(M,\mu_A)$ . Ένα από τα σημεία τομής της ευθείας ε και του κύκλου κ ορίζει την κορυφή A τριγώνου  $AB\Gamma$  που ικανοποιεί τις απαιτήσεις της κατασκευής.

 $\Delta$ ιερεύνηση: Γιά να υπάρχει λύση θα πρέπει οι δύο τόποι να τέμνονται. Αυτό σημαίνει ότι η απόσταση  $v_A$  της ευθείας από το  $\mathrm{B}\Gamma$  θα πρέπει να είναι μικρότερη της ακτίνας  $\mu_A$  του κύκλου κ. Συνεπώς έχουμε λύση όταν  $\mu_A \geq v_A$ . Αποδεικνύεται εύκολα ότι τα τρίγωνα που προκύπτουν από τα διάφορα σημεία τομής των δύο τόπων είναι ίσα μεταξύ τους. Συνεπώς, από τα δεδομένα κατασκευάζεται ένα ακριβώς τρίγωνο, ο.ε.κ.

'Ασκηση 2.15.2  $\Delta$ ίδεται η θέση και το μέγεθος ευθυγράμμου τμήματος AB και δύο κύκλων κ $(O,\rho)$  και κ\* $(P,\rho^*)$ . Να κατασκευασθεί παραλληλόγραμμο  $AB\Gamma\Delta$ , μία πλευρά του οποίου να είναι η AB και οι κορυφές του  $\Delta$  και  $\Gamma$  να είναι σημεία των κύκλων κ και κ\* αντίστοιχα.



Σχήμα 243: Παραλληλόγραμμο με δοθείσα βάση και κορυφές επί κύκλων

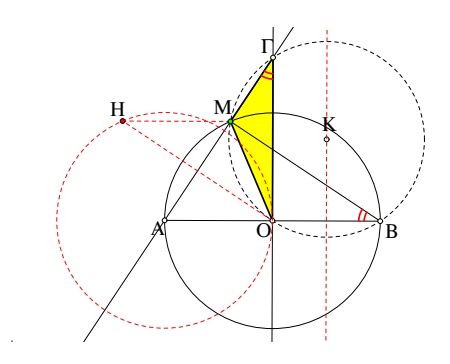
Υπόδειξη: Ανάλυση: Έστω ότι το ζητούμενο παραλληλόγραμμο  $AB\Gamma\Delta$  κατασκευάσθηκε. Η πλευρά του  $\Delta\Gamma$  θα είναι παράλληλη, ίση και ομόρροπη του AB, άρα το άκρο της  $\Gamma$  θα περιέχεται σε γνωστό γεωμετρικό τόπο που ορίζεται από κύκλο μ( $\Pi$ ,ρ) ( $\Lambda$ σκηση  $\Lambda$ 0.1), έτσι ώστε η  $\Lambda$ 1 να είναι παράλληλη, ίση και ομόρροπη της  $\Lambda$ 3. Το  $\Lambda$ 1 λοιπόν θα είναι σημείο τομής του δοθέντος κύκλου κ\*( $\Lambda$ 0,ρ\*) και του κύκλου μ( $\Lambda$ 0,ρ) που κατασκευάζεται από τα δεδομένα.

 $\Sigma$ ύν $\theta$ εση: Κατασκευάζουμε τον κύκλο μ $(\Pi, \rho)$  όπως αναφέρεται στην ανάλυση. Έστω Γ ένα σημείο τομής των κύκλων μ $(\Pi, \rho)$  και κ\* $(P, \rho^*)$ . Ευρίσκουμε το σημείο  $\Delta$  επί του κύκλου κ έτσι ώστε το  $O\Pi\Gamma\Delta$  να είναι παραλληλόγραμμο. Τότε και το  $AB\Gamma\Delta$  είναι παραλληλόγραμμο που ικανοποιεί τις απαιτήσεις της κατασκευής.

 $\Delta$ ιερεύνηση: Υπάρχει λύση τότε ακριβώς όταν οι κύκλοι μ $(\Pi, \rho)$  και κ\* $(P, \rho^*)$  τέμνονται. Εάν οι κύκλοι αυτοί τέμνονται σε δύο σημεία, τότε υπάρχουν δύο διαφορετικές λύσεις. Αν οι

κύκλοι εφάπτονται, τότε υπάρχει μία ακριβώς λύση. Εάν οι κύκλοι ταυτίζονται τότε υπάρχουν άπειρες λύσεις.

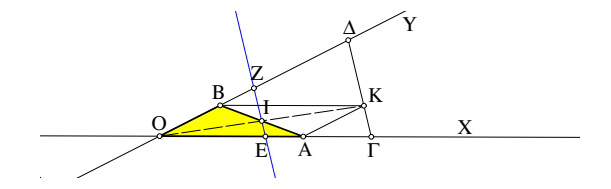
Άσκηση 2.15.3 Σημείο M μεταβάλλεται επί κύκλου με διάμετρο AB. H ευθεία AM τέμνει την μεσοκάθετο του AB στο σημείο  $\Gamma$ . Nα βρεθεί ο γεωμετρικός τόπος του περικέντρου του κύκλου  $OM\Gamma$  καθώς και ο γεωμετρικός τόπος του ορθοκέντρου H αυτού του τριγώνου.



Σχήμα 244: Γεωμετρικός τόπος περικέντρου και ορθοκέντρου

Υπόδειξη: Ο περίχυχλος του ΟΜΓ διέρχεται από το B. Αυτό φαίνεται από το ότι οι γωνίες ABM και  $A\Gamma O$  είναι ίσες, ως συμπληρωματιχές της γωνίας  $BA\Gamma$ . Επομένως το περίχεντρο K του χύχλου  $(OM\Gamma)$  θα ευρίσκεται επί της μεσοκαθέτου του ευθυγράμμου τμήματος OB. Το ορθόχεντρο H του  $OM\Gamma$  συμπίπτει με την τομή της χάθετης από το M στην  $O\Gamma$  και της χάθετης από το O στην  $A\Gamma$ . Άρα στο τετράπλευρο OBMH οι απέναντι πλευρές είναι παράλληλες και επομένως αυτό είναι παραλληλόγραμμο. Τούτο συνεπάγεται ότι M M είναι παράλληλη, ίση και ομόρροπη της BO, άρα ο γεωμετριχός τόπος του H είναι ο χύχλος με χέντρο A και αχτίνα ίση με  $\frac{|AB|}{2}$  (Aσχηση A1.5.1).

'Ασκηση 2.15.4 Στις πλευρές OX, OY γωνίας XOY ορίζονται αντίστοιχα σημεία A και B, έτσι ώστε  $|OA| + |OB| = \lambda$  να είναι σταθερό. Να βρεθεί ο γεωμετρικός τόπος του μέσου του ευθυγράμμου τμήματος AB.



Σχήμα 245: Γεωμετρικός τόπος με σταθερό |OA| + |OB|

Υπόδειξη: Θεώρησε το συμμετριχό K του O ως προς το μέσον I του AB. Στο τετράπλευρο OAKB οι διαγώνιοι AB και OK διχοτομούνται στο σημείο I, άρα είναι παραλληλόγραμμο. Όρισε επί των OX, OY αντίστοιχα τα σημεία  $\Gamma$  και  $\Delta$ , έτσι ώστε  $|O\Gamma| = |O\Delta| = \lambda$ . Προχύπτει τότε άμεσα ότι τα τρίγωνα  $\Gamma AK$  και  $KB\Delta$  είναι ισοσκελή και τα σημεία  $\Delta$ ,K και  $\Gamma$  είναι επ' ευθείας. Συνάγεται ότι το μέσον I της AB που είναι και μέσον της OK περιέχεται στην ευθεία EZ που ενώνει τα μέσα E,EZ των πλευρών του ισοσκελούς E

Άσκηση 2.15.5 Τριγώνου  $AB\Gamma$  δίδεται η θέση και το μέγεθος της βάσης  $B\Gamma$  και το μήκος  $\mu_B$  της διαμέσου του από το B. Να βρεθεί ο γεωμετρικός τόπος της κορυφής του A.

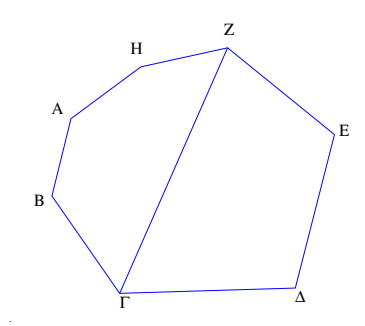
Κεφάλαιο 3

Εμβαδά, Θαλής, Πάππος, Πυθαγόρας

## 3.1 Εμβαδόν πολυγώνων

Μετά τα ευθύγραμμα τμήματα και τις γωνίες, το τρίτο μέγεθος που μετράμε στην Ευκλείδεια γεωμετρία του επιπέδου είναι τα  $\mathbf{E}\mu\beta\alpha\delta\dot{\alpha}$  πολυγώνων. Το εμβαδόν ενός κυρτού πολυγώνου Π είναι ένα θετικός αριθμός  $\epsilon(\Pi)>0$  γιά τον οποίον απαιτούμε τις επόμενες ιδιότητες.

Ιδιότητα 3.1.1 Δύο ίσα πολύγωνα έχουν ίσα εμβαδά.

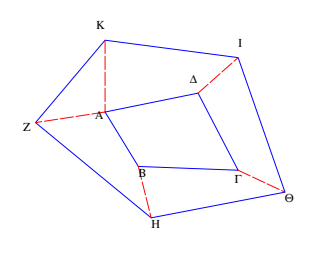


 $\Sigma$ χήμα 246:  $\epsilon(AB\Gamma ZH) + \epsilon(\Gamma \Delta EZ) = \epsilon(AB\Gamma \Delta EZH)$ 

**Ιδιότητα 3.1.2** Ένα πολύγωνο Π που συντίθεται από άλλα, πεπερασμένα το πλήθος, πολύγωνα Π, Π', Π", ... που δεν επικαλύπτονται έχει εμβαδόν το άθροισμα των εμβαδών των πολυγώνων

$$\epsilon(\Pi) = \epsilon(\Pi') + \epsilon(\Pi'') + \dots$$

Στο προηγούμενο σχήμα τα δύο πολύγωνα  $AB\Gamma ZH$  και  $\Gamma \Delta EZ$  έχουν κοινή πλευρά την  $\Gamma Z$  και σχηματίζουν το νέο πολύγωνο  $AB\Gamma \Delta EZH$ .



Σχήμα 247:  $\epsilon(AB\Gamma\Delta) < \epsilon(ZH\ThetaIK)$ 

**Ιδιότητα 3.1.3** Ενα πολύγωνο  $\Pi$  που περιέχεται μέσα σέ ένα άλλο  $\Pi'$  έχει εμβαδόν

$$\epsilon(\Pi) < \epsilon(\Pi').$$

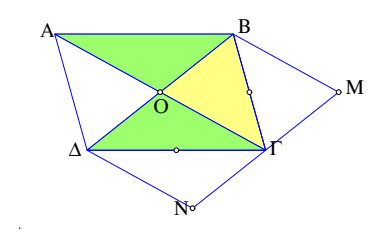
Ιδιότητα 3.1.4 Το εμβαδόν του τετραγώνου με πλευρά την μονάδα μήκους είναι ένα.

Σχόλιο-1 Όπως θα δούμε παραχάτω, οι τέσσερις αυτές ιδιότητες που απαιτούμε από το εμβαδόν καθορίζουν πλήρως την μορφή του και γιά ορθογώνια παραλληλόγραμμα οδηγούν στον γνωστό τύπο που το εκφράζουν ως γινόμενο των πλευρών του. Είναι συνεπώς η ύπαρξή του μιά συνέπεια των αξιωμάτων. Γι' αυτό τον λόγο ομιλώ γιά τις "ιδιότητες" και όχι γιά τα "αξιώματα" του εμβαδού.

Σχόλιο-2 Η ιδιότητα 3.1.2 θα μπορούσε να αναχθεί με επαγωγή στην αντίστοιχη προσθετικότητα των εμβαδών γιά πολύγωνα που συντίθενται από δύο μόνο άλλα πολύγωνα. Επίσης η ιδιότητα 3.1.3 είναι συνέπεια της ιδιότητας 3.1.2 και θα μπορούσε να αποδειχθεί από τις άλλες ιδιότητες. Ωστόσο η απόδειξη περιλαμβάνει αρκετά λεπτά σημεία, που στα πρώτα στάδια της γνωριμίας με την γεωμετρία δεν είναι ανάγκη να αναλυθούν περαιτέρω.

Σχόλιο-3 Αξίζει να παρατηρήσουμε τις ομοιότητες που παρουσιάζουν οι μετρήσεις μηχών και εμβαδών. Πρόκειται γιά ειδικές περιπτώσεις Μέτρων, δηλαδή μηχανισμών μέτρησης μήκους και γενικότερα, περιεχομένου (εμβαδού, όγκου), που εντάσσονται στην γενική, ούτως ονομαζόμενη, Θεωρία μέτρου, ως μέτρα του Jordan και ακόμη γενικότερα ως μέτρα του Lebesque ([ΚΕ70, σ. 254]). Τα μέτρα αυτά ξεκινώντας από μετρήσεις πολύ απλών σχημάτων, επεκτείνονται και επιτρέπουν την μέτρηση πιό πολύπλοκων σχημάτων από αυτά που μας απασχολούν σε αυτό το μάθημα. Ειδικές περιπτώσεις τους είναι και ο όγκος πολυέδρων που θα συναντήσουμε στην στερεομετρία (Παράγραφος 9.5) αλλά και το εμβαδόν σφαιρικών πολυγώνων (Παράγραφος 9.3). Σε όλες τις περιπτώσεις ο μηχανισμός μέτρησης κατασκευάζεται με τον ίδιο τρόπο. Απαιτούμε από αυτόν ορισμένες ιδιότητες και αποδεικνύουμε ότι αυτές οι απαιτήσεις συνεπάγονται την ύπαρξη ενός και μοναδικού μηχανισμού που τις ικανοποιεί.

Άσκηση 3.1.1 Δείξε ότι κάθε παραλληλόγραμμο χωρίζεται από μία διαγώνιό του σε δύο ισοεμβαδικά τρίγωνα. Δείξε γενικότερα, ότι κάθε ευθεία που διέρχεται από το κέντρο παραλληλογράμμου το χωρίζει σε δύο ισοεμβαδικά σχήματα.



Σχήμα 248: Ισοεμβαδικά τρίγωνα

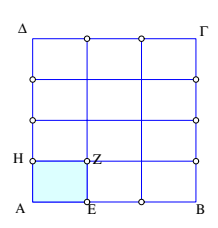
'Ασκηση 3.1.2  $\Delta \epsilon$ ίξ $\epsilon$  ότι οι δύο διαγώνιοι  $\epsilon$ νός παραλληλογράμμου το χωρίζουν σ $\epsilon$  τ $\epsilon$ σσ $\epsilon$ ρα ισο $\epsilon$ μβαδικά τρίγωνα.

Υπόδειξη: Τα τρίγωνα AOB και  $\Delta$ OΓ, όπου O το κέντρο του παραλληλογράμμου ABΓΔ (σημείο τομής των διαγωνίων), είναι ίσα, άρα έχουν ίσα εμβαδά. Θεώρησε τα συμμετρικά M, N του O ως προς τα μέσα των BΓ και  $\Delta$ Γ αντίστοιχα. Τα παραλληλόγραμμα BOΓΜ και Ο $\Delta$ NΓ είναι ίσα, άρα και τα μισά τους κατά το εμβαδόν (σύμφωνα με την προηγούμενη άσκηση), που είναι τα BOΓ και  $\Delta$ OΓ θα έχουν ίσα εμβαδά.

'Ασκηση 3.1.3  $\Delta \epsilon$ ίξε ότι η διάμεσος  $A\Delta$  ενός τριγώνου  $AB\Gamma$  το χωρίζει σε δύο ισοεμβαδικά τρίγωνα.

Άσκηση 3.1.4  $\Delta \epsilon$ ίξε ότι κάθε ευθεία που διέρχεται από το σημείο τομής των διαγωνίων παραλληλογράμμου το χωρίζει σε δύο ίσα, και επομένως ισοεμβαδικά, τραπέζια (ή τρίγωνα).

### 3.2 Το εμβαδόν του ορθογωνίου

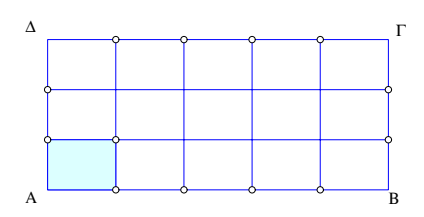


Σχήμα 249:  $\epsilon(AEZH) = \frac{1}{\mu\nu}$ 

**Λήμμα 3.2.1** Διαιρούμε τις δύο απέναντι πλευρές του μοναδιαίου (πλευράς μήκους 1) τετραγώνου σε μ ίσα μέρη και τις δύο άλλες απέναντι πλευρές σε ν ίσα μέρη και φέρνουμε παράλληλες που ενώνουν απέναντι κείμενα σημεία. Σχηματίζονται μν παραλληλόγραμμα έκαστον των οποίων έχει εμβαδόν  $\frac{1}{\mu\nu}$ .

Aπόδειξη: Προφανώς προχύπτουν μν ίσα ορθογώνια που κατά την ιδιότητα 3.1.1 θα έχουν το ίδιο εμβαδόν E. Κατά την ιδιότητα 3.1.2 το εμβαδόν του τετραγώνου που είναι 1 (Ιδιότητα 3.1.4) θα είναι το άθροισμα των εμβαδών 1 = μνΕ, ο.ε.δ.

**Λήμμα 3.2.2** Το εμβαδόν ε ορθογωνίου  $AB\Gamma\Delta$  με πλευρές AB και  $A\Delta$  που έχουν μήκος ρητούς αριθμούς ισούται με το γινόμενο των μηκών των πλευρών  $\epsilon = |AB||A\Delta|$ .



$$\Sigma$$
χήμα 250:  $|AB| = \frac{\alpha}{\beta}, |A\Delta| = \frac{\gamma}{\delta} \implies \epsilon(AB\Gamma\Delta) = |AB||A\Delta|$ 

Aπόδειξη: Υποθέτουμε ότι οι ρητοί  $|AB|=\frac{\alpha}{\beta}, |A\Delta|=\frac{\gamma}{\delta}$  είναι ανάγωγοι και διαιρούμε το μοναδιαίο τετράγωνο σε βδ ίσα ορθογώνια όπως στο προηγούμενο λήμμα, κατά το οποίο έκαστον έχει εμβαδόν  $\epsilon'=\frac{1}{\beta\delta}$ . Εξ υποθέσεως η πλευρά AB του ορθογωνίου μπορεί να διαιρεθεί σε α το πλήθος τμήματα μήκους  $\frac{1}{\beta}$  και η πλευρά  $A\Delta$  μπορεί να διαιρεθεί σε  $\gamma$  το πλήθος τμήματα μήκους  $\frac{1}{\delta}$ . Φέρνοντας παραλλήλους από τα σημεία διαίρεσης αυτών των πλευρών σχηματίζουμε λοιπόν  $α\gamma$  το πλήθος ίσα ορθογώνια, έκαστον τον οποίων έχει εμβαδόν  $\frac{1}{\beta\delta}$ . Το άθροισμα των εμβαδών αυτών των ορθογωνίων είναι  $α\gamma\frac{1}{\beta\delta}$  και ισούται, κατά την ιδιότητα 3.1.2, με το εμβαδόν του ορθογωνίου, ο.ε.δ.

**Λήμμα 3.2.3** Γιά κάθε θετικό αριθμό  $\theta$  και φυσικό αριθμό  $\nu$  υπάρχει άλλος φυσικός  $\mu$  (ή το μηδέν) έτσι ώστε να ισχύει η ανισότητα

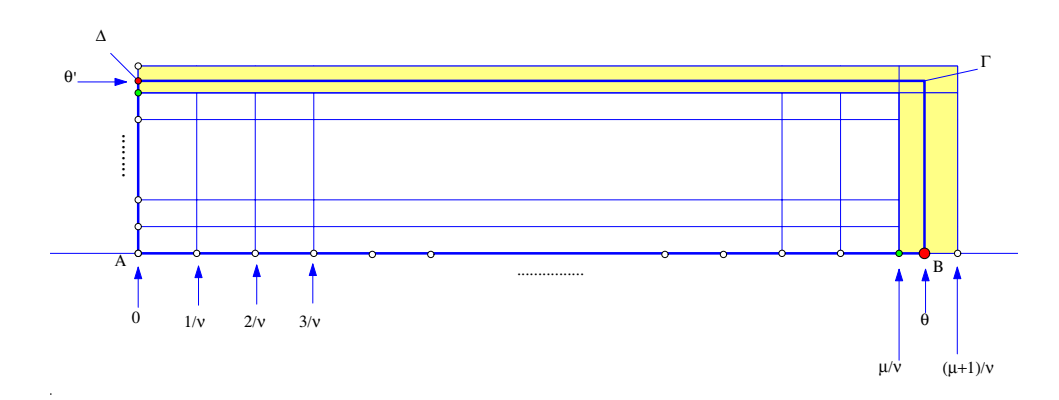
$$|\theta - \frac{\mu}{\nu}| \le \frac{1}{\nu}.$$



Σχήμα 251: Αρχιμήδειο αξίωμα

Aπόδειξη: Στην ουσία το λήμμα ταυτίζεται με το λεγόμενο  $\mathbf{Aρχιμήδειο}$  αξίωμα ( $\mathbf{Aρχιμήδειο}$  αξίωμα ( $\mathbf{Aρχιμήδης}$  287-212 π.Χ.) γιά ευθύγραμμα τμήματα μιάς ευθείας και απεικονίζεται στο σχήμα-251. Γιά την απόδειξη τοποθετούμε από την αρχή ενός ευθυγράμμου τμήματος μήκους  $\theta$  διαδοχικά διαστήματα μήκους  $\frac{1}{\nu}$ . Κατά το  $\mathbf{Aρχιμήδειο}$  αξίωμα, υπάρχει ένα κρίσιμο  $\mu$  έτσι ώστε το  $(\mu+1)\frac{1}{\nu}$  να ξεπεράσει το μήκος  $\theta$ , με άλλα λόγια το  $\theta$  να βρεθεί στο διάστημα (μήκους  $\frac{1}{\nu}$ ) μεταξύ των  $\frac{\mu}{\nu}$  και  $\frac{\mu+1}{\nu}$ , ο.ε.δ.

**Πρόταση 3.2.1** Το εμβαδόν ε ορθογωνίου  $AB\Gamma\Delta$  με πλευρές AB και  $A\Delta$  ισούται με το γινόμενο των μηκών των πλευρών  $\epsilon = |AB||A\Delta|$ .



Σχήμα 252: Προσέγγιση ορθογωνίου

Aπόδειξη: Γιά την απόδειξη θεωρούμε τα μήκη των πλευρών  $\theta=|AB|$  και  $\theta'=|A\Delta|$  και ένα (αρκετά μεγάλο)  $\nu$ . Κατά το προηγούμενο λήμμα υπάρχουν δύο αντίστοιχοι ακέραιοι  $\mu$  και  $\mu'$  που ικανοποιούν

$$|\theta - \frac{\mu}{\nu}| \le \frac{1}{\nu} |\kappa \alpha \iota| |\theta' - \frac{\mu'}{\nu}| \le \frac{1}{\nu}.$$

Έτσι το εμβαδόν  $\epsilon$  του ορθογωνίου ως περιέχον το ορθογώνιο με πλευρές ρητού μήκους  $\frac{\mu}{\nu}$  και  $\frac{\mu'}{\nu}$  είναι μεγαλύτερο του

$$\frac{\mu}{\nu} \frac{\mu'}{\nu} \le \epsilon.$$

Ανάλογα σχεπτόμενοι βλέπουμε ότι το ίδιο εμβαδόν είναι ταυτόχρονα μιχρότερο του εμβαδού με πλευρές ρητού μήχους  $\frac{\mu+1}{\nu}$  και  $\frac{\mu'+1}{\nu}$ , δηλαδή

$$\epsilon \le \frac{\mu + 1}{\nu} \frac{\mu' + 1}{\nu}.$$

 $\Sigma$ υνολικά λοιπόν βλέπουμε ότι οι αριθμοί  $\theta\theta'$  και  $\epsilon$  ικανοποιούν τις ίδιες ανισότητες

$$\frac{\mu \mu'}{\nu \nu} \le \theta \theta' \le \frac{\mu + 1}{\nu} \frac{\mu' + 1}{\nu} \quad \kappa \alpha \iota \quad \frac{\mu \mu'}{\nu \nu} \le \epsilon \le \frac{\mu + 1}{\nu} \frac{\mu' + 1}{\nu}.$$

Άρα η διαφορά τους θα ικανοποιεί την ανισότητα

$$|\epsilon - \theta \theta'| \le \frac{\mu + \mu' + 1}{\nu^2} = \frac{1}{\nu} \frac{\mu}{\nu} + \frac{1}{\nu} \frac{\mu'}{\nu} + \frac{1}{\nu^2} \le \frac{1}{\nu} \theta + \frac{1}{\nu} \theta' + \frac{1}{\nu^2} \le \frac{\theta + \theta' + 1}{\nu}.$$

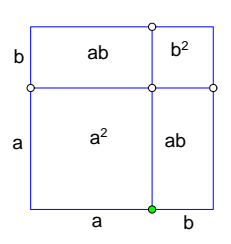
Επειδή η ποσότητα δεξιά μπορεί να γίνει οσοδήποτε μικρή, αρκεί να εκλέξουμε μεγάλο  $\nu$ , έπεται ότι η (σταθερή) ποσότητα αριστερά δεν μπορεί να είναι γνήσια θετική, ο.ε.δ.

**Πόρισμα 3.2.1** Το εμβαδόν τετραγώνου με πλευρά μήκους  $\alpha$  ισούται με  $\alpha^2$ .



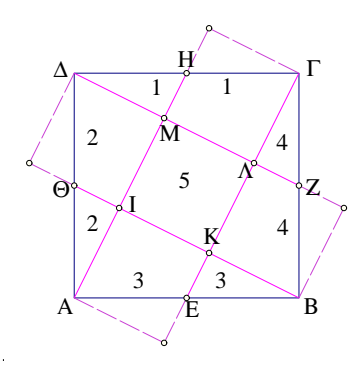
Σχήμα 253: Εμβαδόν τετραγώνου

Άσκηση 3.2.1 Δοθέντων των θετικών αριθμών a και b θεώρησε το τετράγωνο με πλευρά μήκους a+b και δείξε βάσει των αξιωμάτων των εμβαδών την ταυτότητα  $(a+b)^2=a^2+b^2+2ab$ .



Σχήμα 254: Τετράγωνο αθροίσματος γεωμετρικά

΄Ασκηση 3.2.2 Χρησιμοποίησε την ίδια μέθοδο γιά να δείξεις την ταυτότητα  $(a-b)^2=a^2+b^2-2ab$ .

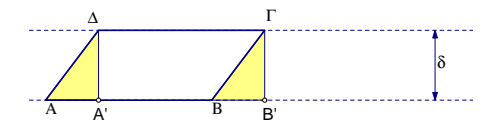


Σχήμα 255: Τετραγώνου διαίρεση

Άσκηση 3.2.3  $A\nu$   $E,Z,H,\Theta$  είναι τα μέσα πλευρών τετραγώνου  $AB\Gamma\Delta$  δείξε ότι οι  $\Gamma E,$   $\Delta Z,$  AH και  $B\Theta$  ορίζουν τετράγωνο  $IK\Lambda M$  με εμβαδόν το 1/5 του εμβαδού του  $AB\Gamma\Delta$ .

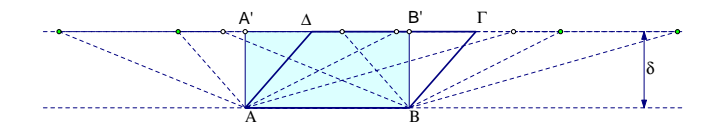
# 3.3 Εμβαδόν παραλληλογράμμου, τριγώνου

**Πρόταση 3.3.1** Το  $\epsilon \mu \beta a \delta \delta \nu$  παραλληλογράμμου  $AB\Gamma \Delta$  ισούται  $\mu \epsilon$  το γινό $\mu \epsilon \nu \delta$  του  $\mu \epsilon \tau$  του μίας πλευράς του  $\epsilon \pi \delta \tau$  την απόσταση από την απέναντι αυτής παράλληλο.



 $\Sigma$ χήμα 256:  $\epsilon(AB\Gamma\Delta) = \epsilon(A'B'\Gamma\Delta)$ 

Aπόδειξη: Έστω ότι A' και B' είναι οι προβολές των κορυφών  $\Delta$  και  $\Gamma$  επί της πλευράς AB. Τα τρίγωνα  $AA'\Delta$  και  $BB'\Gamma$  είναι, κατά το  $\Pi\Gamma\Pi$ -κριτήριο, ίσα ως έχοντα τις πλευρές  $A\Delta$  και  $B\Gamma$  ίσες, τις πλευρές  $\Delta A'$  και  $\Delta B'$  επίσης ίσες και τις περιεχόμενες γωνίες  $A\Delta A'$  και  $B\Gamma B'$  ίσες, αφού οι πλευρές των τελευταίων είναι παράλληλες. Συνεπώς το εμβαδόν του παραλληλογράμμου ισούται με το εμβαδόν του ορθογωνίου  $A'B'\Gamma\Delta$ , το οποίο, κατά το προηγούμενο θεώρημα, είναι ίσο με το αναφερόμενο, ο.ε.δ.

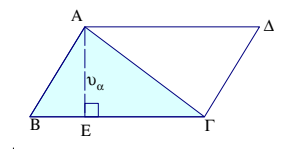


Σχήμα 257: Ίδια βάση ίδιο ύψος

Από το θεώρημα συνάγεται ότι όλα τα παραλληλόγραμμα με σταθερή βάση AB και απέναντι πλευρά  $\Gamma\Delta$ , κινουμένη σε μιά παράλληλη της ευθείας AB, έχουν σταθερό εμβαδόν  $\epsilon=|AB|\delta$ , όπου  $\delta$  η απόσταση των παραλλήλων πλευρών AB και  $\Gamma\Delta$ . Μιά ιδιαίτερη περίπτωση αποτελεί το ορθογώνιο ABB'A', του οποίου το εμβαδόν είναι ακριβώς το γινόμενο των μηκών των πλευρών του. Παρατήρησε, ότι ενώ όλα αυτά τα παραλληλόγραμμα έχουν το ίδιο εμβαδόν, η περίμετρός τους είναι μεταβλητή και μπορεί να γίνει όσο μεγάλη θέλουμε. Η επόμενη άσκηση χαρακτηρίζει αυτό το ορθογώνιο και η μεθεπόμενη αντιστρέφει αυτήν την παρατήρηση.

'Ασκηση 3.3.1  $\Delta \epsilon$ ίξε ότι από όλα τα παραλληλόγραμμα που έχουν σταθερή βάση και η απέναντι αυτής πλευρά κινήται σε μία παράλληλο της βάσης, το ορθογώνιο έχει την ελάχιστη περίμετρο.

Άσκηση 3.3.2 Δύο παραλληλόγραμμα που έχουν το ίδιο εμβαδόν και δύο πλευρές αντίστοιχα ίσες έχουν τις πλευρές, απέναντι των ίσων πλευρών τους, σε ίση απόσταση.



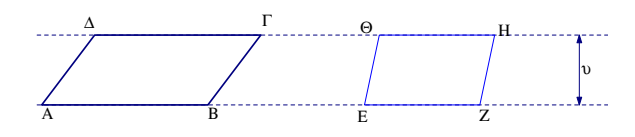
Σχήμα 258:  $\epsilon(AB\Gamma) = \frac{1}{2}|B\Gamma|v_{\alpha}$ 

**Πόρισμα 3.3.1** Το εμβαδόν τριγώνου  $AB\Gamma$  ισούται με το ήμισυ του γινομένου μιάς πλευράς του επί την επ' αυτήν ύψος.

Aπόδειξη: Ας επιλέξουμε μία πλευρά λ.χ. την  $B\Gamma$  και ας σχηματίσουμε το παραλληλόγραμμο  $AB\Delta\Gamma$  φέροντας παράλληλες από το  $\Gamma$  προς την AB και από το A προς την  $B\Gamma$ . Το παραλληλόγραμμο αυτό έχει την  $A\Gamma$  ως διαγώνιο και τα δύο τρίγωνα που σχηματίζονται:  $AB\Gamma$  και  $A\Gamma\Delta$  είναι ίσα. Κατά τα προηγούμενα θα πρέπει λοιπόν  $2\epsilon(AB\Gamma)=|AB|v$ , ο.ε.δ.

**Πόρισμα 3.3.2** Το  $\epsilon$ μβαδόν ορθογωνίου τριγώνου ισούται μ $\epsilon$  το ήμισυ του γινομ $\epsilon$ νου των καθ $\epsilon$ των πλ $\epsilon$ υρών του.

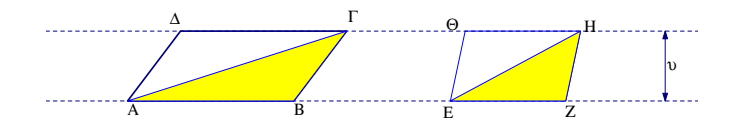
Πόρισμα 3.3.3 O λόγος των εμβαδών δύο παραλληλογράμμων  $AB\Gamma\Delta$  και  $EZH\Theta$  που έχουν το ίδιο ύψος προς τις βάσεις AB και EZ είναι ίσος με τον λόγο των μηκών αυτών των βάσεων  $\frac{|AB|}{|EZ|}$ .



Σχήμα 259:  $\frac{\epsilon(AB\Gamma\Delta)}{\epsilon(EZH\Theta)} = \frac{|AB|}{|EZ|}$ 

Aπόδειξη: Προκύπτει αμέσως από το ότι το εμβαδόν είνα βάση επί αντίστοιχο ύψος:  $ε(ABΓΔ) = |AB| \cdot v$  και  $ε(EZHΘ) = |EZ| \cdot v$ . Η αναφερθείσα σχέση προκύπτει διαιρώντας τις προηγούμενες ισότητες κατά μέλη, ο.ε.δ.

**Πόρισμα 3.3.4** Ο λόγος των εμβαδών δύο τριγώνων  $AB\Gamma$  και EZH που έχουν το ίδιο ύψος προς τις βάσεις AB και EZ είναι ίσος με τον λόγο των μηκών αυτών των βάσεων  $\frac{|AB|}{|EZ|}$ .



Σγήμα 260: Λόγος εμβαδών

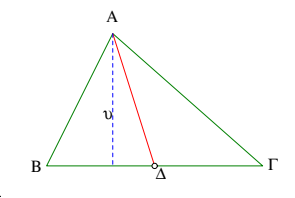
Απόδειξη: Προκύπτει από το προηγούμενο πόρισμα και το γεγονός ότι το τρίγωνο έχει εμβαδόν το ήμισυ του αντιστοίχου παραλληλογράμμου, ο.ε.δ.

**Πόρισμα 3.3.5** Η διάμεσος  $A\Delta$  τριγώνου  $AB\Gamma$  χωρίζει το τρίγωνο σε δύο ισοεμβαδικά τρίγωνα  $AB\Delta$  και  $A\Delta\Gamma$ .

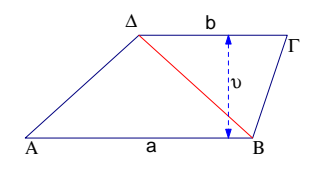
Aπόδειξη: Τα δύο τρίγωνα έχουν το ίδιο ύψος υ και ίσες βάσεις  $|B\Delta|=|\Delta\Gamma|$ , ο.ε.δ.

**Πόρισμα 3.3.6** Το  $\epsilon \mu \beta a \delta \delta \nu$  τραπεζίου  $AB\Gamma \Delta$  ισούται  $\mu \epsilon \frac{1}{2}(a+b)v$ , όπου a και b τα  $\mu \eta \kappa \eta$  των παραλλήλων πλευρών του και v η  $\mu \epsilon \tau a \xi \dot{v}$  αυτών απόσταση.

Aπόδειξη: Χώρισε με την διαγώνιο AΓ το τραπέζιο σε δύο τρίγωνα και εφάρμοσε το Πόρισμα-3.3.1, προσθέτοντας το εμβαδόν των δύο τριγώνων, ο.ε.δ.

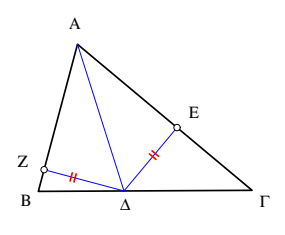


Σχήμα 261: Διάμεσος χωρίζει σε ισοεμβαδικά τρίγωνα



Σχήμα 262: Εμβαδόν τραπεζίου

**Πόρισμα 3.3.7** Η διχοτόμος  $A\Delta$  τριγώνου  $AB\Gamma$  τέμνει την απέναντι πλευρά  $B\Gamma$  σε δύο τμήματα  $B\Delta$  και  $\Delta\Gamma$  των οποίων ο λόγος είναι ό ίδιος με τον λόγο των προσκειμένων σε αυτά πλευρών:  $\frac{|B\Delta|}{|\Delta\Gamma|} = \frac{|AB|}{|A\Gamma|}$ .

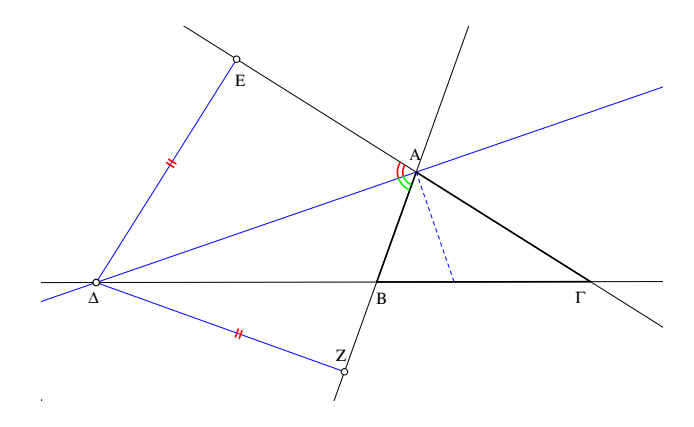


Σχήμα 263: Διχοτόμος τέμνουσα απέναντι πλευρά

Aπόδειξη: Αν το τρίγωνο είναι ισοσχελές με βάση  $B\Gamma$ , τότε το συμπέρασμα προχύπτει από το ότι η διχοτόμος της γωνίας της χορυφής ταυτίζεται με την μεσοχάθετο της βάσης (Πόρισμα 1.8.2). Η απόδειξη στην γενιχή περίπτωση προχύπτει εύχολα υπολογίζοντας τα εμβαδά των τριγώνων  $AB\Delta$  και  $A\Delta\Gamma$  με δύο τρόπους. Την πρώτη φορά θεωρούμε ως βάση τους αντίστοιχα τις  $B\Delta$  και  $\Delta\Gamma$ . Επείδη το ύψος τους από το A είναι το ίδιο έχουμε (3.3.4) ότι ο λόγος των εμβαδών τους είναι ίσος με  $\frac{|B\Delta|}{|\Delta\Gamma|}$ . Την δεύτερη φορά θεωρούμε ως βάση τους τις AB και  $A\Gamma$  αντίστοιχα. Και πάλι τα ύψη τους από το  $\Delta$  είναι ίσα (Πόρισμα 1.15.12), άρα από το (3.3.4) προχύπτει, ότι ο λόγος των εμβαδών τους θα ισούται με  $\frac{|AB|}{|A\Gamma|}$ , ο.ε.δ.

Άσκηση 3.3.3  $\Delta$ είξε ότι το ίδιο συμπέρασμα με αυτό του προηγουμένου πορίσματος ισχύει και γιά την εξωτερική διχοτόμο ενός τριγώνου, εφόσον αυτή τέμνει την απέναντι βάση.  $\Delta$ ηλαδή ότι η εξωτερική διχοτόμος  $A\Delta$  του τριγώνου  $AB\Gamma$  τέμνει την απέναντι πλευρά  $B\Gamma$  σε τμήματα τα οποία ικανοποιούν την  $\frac{|B\Delta|}{|\Delta\Gamma|} = \frac{|AB|}{|A\Gamma|}$ .

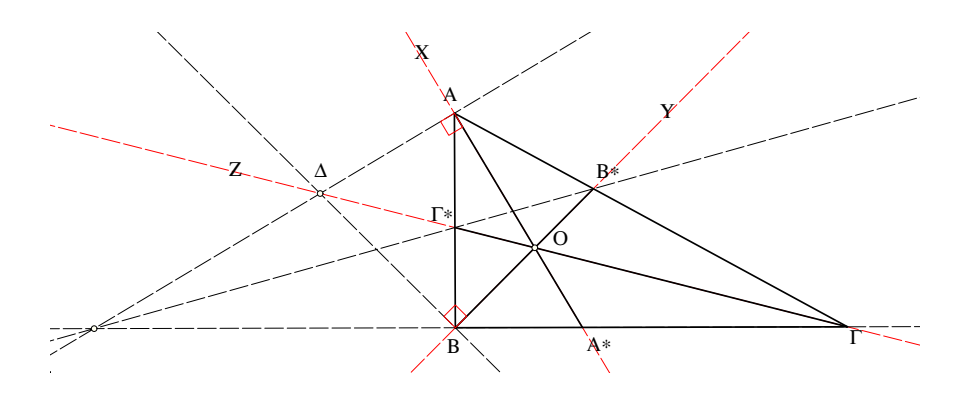
 $\Upsilon$ πόδειξη: Όπως και προηγουμένως, υπολόγισε τα εμβαδά των τριγώνων  $AB\Delta$  και  $A\Gamma\Delta$  και τον λόγο τους με δύο τρόπους. Πρώτα θεωρώντας ως βάσεις τους τις  $B\Delta$  και  $\Gamma\Delta$  και κατόπιν θεωρώντας ως βάσεις τους τις AB και  $A\Gamma$  προς τις οποίες τα ύψη από το  $\Delta$  είναι



Σχήμα 264: Εξωτερική διχοτόμος τέμνουσα απέναντι πλευρά

ίσες (Πόρισμα 1.15.12). Σημείωσε ότι η εξωτερική διχοτόμος στο A τέμνει την απέναντι βάση τότε ακριβώς, όταν το τρίγωνο  $\delta \epsilon \nu$  είναι ισοσκελές ως προς την κορυφή A.

'Ασκηση 3.3.4  $\Delta$ ίδονται τρεις ευθείες διά του ιδίου σημείου OX, OY και OZ. Κατασκεύ-ασε τρίγωνο που έχει αυτές τις ευθείες ως διχοτόμους.



Σχήμα 265: Κατασκευή τριγώνου από τις διχοτόμους ευθείες

Υπόδειξη: Από τυχόν σημείο A της OX φέρε κάθετο σε αυτήν, τέμνουσα την OZ στο  $\Delta$ . Πρόβαλε το  $\Delta$  στην OY στο σημείο B. Τέλος όρισε τις συμμετρικές ευθείες της AB ως προς τις OX και OB που τέμνονται στο  $\Gamma$ . Το  $AB\Gamma$  έχει την απαιτούμενη ιδιότητα. Αρκεί να δείξουμε ότι το  $\Gamma$  είναι επί της OZ. Προς τούτο θεωρούμε το σημείο  $\Gamma'$  στο οποίο η  $A\Gamma$  τέμνει την OZ, το σημείο  $\Gamma''$  στο οποίο η  $B\Gamma$  τέμνει την OZ και δείχνουμε ότι αυτά τα δύο ταυτίζονται και συμπίπτουν με το σημείο  $\Gamma$ . Πράγματι, εκ κατασκευής, οι ευθείες OX και  $A\Delta$  είναι διχοτόμοι της γωνίας A του τριγώνου  $A\Gamma^*\Gamma'$ , όπου  $\Gamma^*$  το σημείο τομής της AB με την OZ. Άρα (Πόρισμα 3.3.7 και Άσκηση 3.3.3)

$$\frac{|O\Gamma^*|}{|O\Gamma'|} = \frac{|\Delta\Gamma^*|}{|\Delta\Gamma'|} \quad \Rightarrow \quad \frac{|\Gamma'O|}{|\Gamma'\Delta|} = \frac{|\Gamma^*O|}{|\Gamma^*\Delta|}.$$

Παρόμοια εκ κατασκευής, οι BO και  $B\Delta$  είναι διχοτόμοι της γωνίας B του τριγώνου  $\Gamma^*B\Gamma''$ , άρα θα ισχύει και η ανάλογη της προηγουμένης

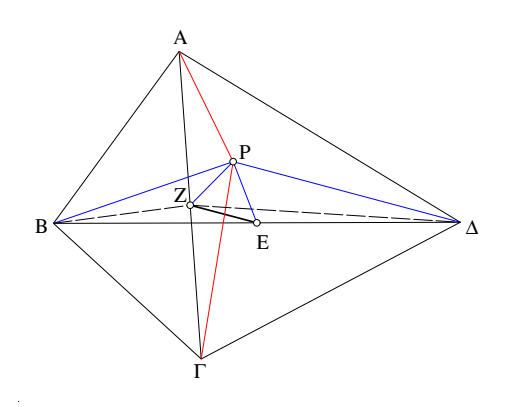
$$\frac{|O\Gamma^*|}{|O\Gamma''|} = \frac{|\Delta\Gamma^*|}{|\Delta\Gamma''|} \quad \Rightarrow \quad \frac{|\Gamma''O|}{|\Gamma''\Delta|} = \frac{|\Gamma^*O|}{|\Gamma^*\Delta|}.$$

Τα δύο σημεία  $\Gamma'$  και  $\Gamma''$  έχουν συνεπώς τον ίδιο λόγο ως προς τα O και  $\Delta$  της ευθείας OZ και ευρίσκονται από την ίδια μεριά του τμήματος  $O\Delta$ , άρα ταυτίζονται (Πόρισμα 1.17.3). Επειδή οι δύο εκ των ευθειών OX και OZ είναι διχοτόμοι του τριγώνου  $AB\Gamma$  και η τρίτη OZ που διέρχεται από το σημείο τομής των δύο πρώτων και το  $\Gamma$  θα είναι και αυτή διχοτόμος του τριγώνου (Πρόταση 2.2.3).

'Ασκηση 3.3.5  $\Delta$ οθέντος τετραπλεύρου  $AB\Gamma\Delta$ , δείξε ότι ο γεωμετρικός τόπος των σημείων P γιά τα οποία ισχύει

$$\epsilon(PAB) + \epsilon(P\Gamma\Delta) = \epsilon(PB\Gamma) + \epsilon(PA\Delta)$$

είναι η ευθεία Newton (που ενώνει τα μέσα Ε,Ζ των διαγωνίων) του τετραπλεύρου.



Σχήμα 266: Χαρακτηρισμός ευθείας Newton

 $\Upsilon$ πόδειξη: Η διαφορά των εμβαδών  $\epsilon(PB\Gamma)$ - $\epsilon(PAB)$  γράφεται με την βοήθεια των τετραπλεύρων PABZ και  $PZB\Gamma$ , όπου Z το μέσον της διαγωνίου  $A\Gamma$ . Τα δύο αυτά τετράπλευρα έχουν ίσα εμβαδά και ισχύει:

$$\epsilon(PB\Gamma)-\epsilon(PAB) = [\epsilon(P\Gamma BZ)+\epsilon(PBZ)]-[\epsilon(PABZ)-\epsilon(PBZ)] = 2\epsilon(PBZ).$$

Ανάλογα, επειδή  $\epsilon(PAZ) = \epsilon(PZ\Gamma)$ ,

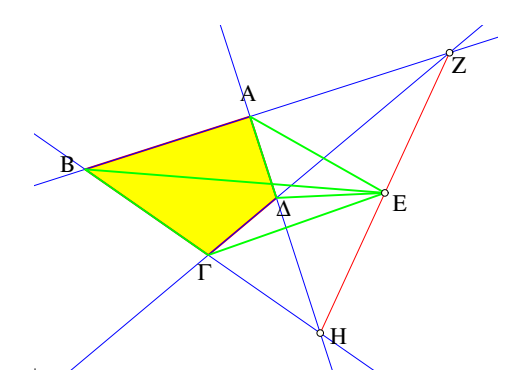
$$\begin{array}{lll} \epsilon(P\Gamma\Delta) - \epsilon(PA\Delta) & = & [\epsilon(P\Gamma\Delta) + \epsilon(PZ\Gamma)] - [\epsilon(PA\Delta) + \epsilon(PAZ)] \\ & = & [\epsilon(Z\Delta\Gamma) + \epsilon(PZ\Delta)] - [\epsilon(ZA\Delta) - \epsilon(PZ\Delta)] \\ & = & 2\epsilon(PZ\Delta). \end{array}$$

Προκύπτει λοιπόν ότι η σχέση  $\epsilon(PAB)+\epsilon(P\Gamma\Delta)=\epsilon(PB\Gamma)+\epsilon(PA\Delta)$  είναι ισοδύναμη με την

$$0 = \epsilon(PBZ) - \epsilon(PZ\Delta) = [\epsilon(PZB) + \epsilon(ZBE)] - [\epsilon(PZ\Delta) + \epsilon(ZE\Delta)]$$
$$= [\epsilon(PBE) - \epsilon(PZE)] - [\epsilon(PE\Delta) + \epsilon(PZE)] = -2\epsilon(PZE).$$

Όμως  $\epsilon(PZE)$ =0 σημαίνει ότι το P είναι στην ευθεία των E και Z.

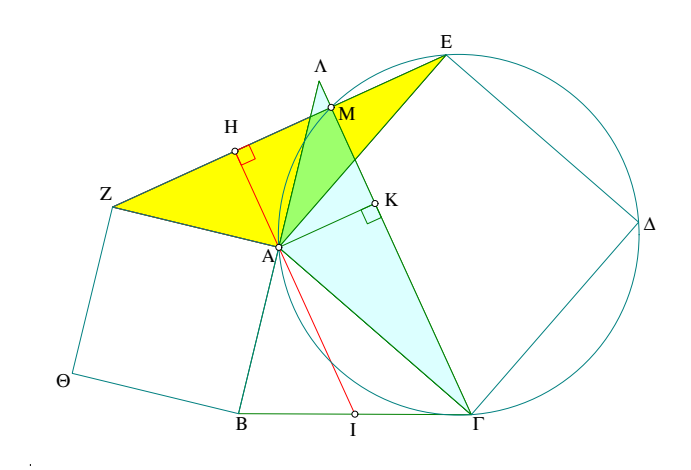
'Ασκηση 3.3.6 Τετραπλεύρου  $AB\Gamma\Delta$  οι απέναντι πλευρές τέμνονται στα σημεία H και Z.  $\Delta$ είξε ότι το μέσον E της ZH είναι επί της ευθείας του Newton του τετραπλεύρου.



Σχήμα 267: Θεώρημα του Newton

Υπόδειξη: Βάσει της προηγούμενης άσκησης, αρκεί να δειχθεί ότι  $\epsilon(A\Delta E) + \epsilon(B\Gamma E) = \epsilon(\Gamma\Delta E) + \epsilon(ABE)$  ή ισοδύναμα  $\epsilon(A\Delta E) - \epsilon(\Gamma\Delta E) = \epsilon(ABE) - \epsilon(B\Gamma E)$ . Η ισότητα αυτή προκύπτει εκφράζοντας τα εμβαδά μέσω των τριγώνων AHZ,  $\Gamma$ HZ,  $\Delta$ HZ και BHZ,  $\lambda$ .χ.  $\epsilon(A\Delta E) = \epsilon(AEH) - \epsilon(\Delta EH) = \epsilon(AZH)/2 - \epsilon(\Delta EH)/2$  κτλ.

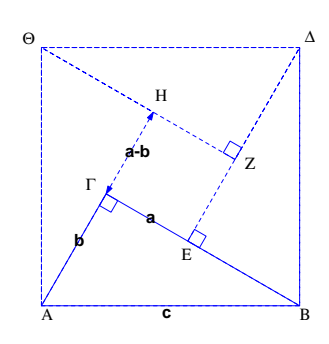
Άσκηση 3.3.7 Στις πλευρές AB,  $A\Gamma$  τριγώνου  $AB\Gamma$  κατασκευάζουμε τετράγωνα αντίστοιχα  $AB\Theta Z$  και  $A\Gamma\Delta E$ .  $\Delta$ είξε ότι η διάμεσος AI του  $AB\Gamma$  είναι κάθετος στην πλευρά EZ του AEZ.  $\Delta$ είξε επίσης ότι το τρίγωνο AEZ έχει το ίδιο εμβαδόν με το  $AB\Gamma$ .



Σχήμα 268: Πτέρυγα τριγώνου

Υπόδειξη: Προέκτεινε την BA μέχρι διπλασιασμού της στο Λ. Το τρίγωνο ΑΛΓ είναι ίσο με το AZE (ΠΓΠ-κριτήριο) διότι AZ = AΛ, AE = AΓ και οι γωνίες ZAE = ΛΑΓ διότι και οι δύο είναι παραπληρωματικές της γωνίας BAΓ. Λόγω της ισότητας των τριγώνων οι γωνίες ZEA και AΓΛ είναι ίσες. Αν Μ είναι το σημείο τομής των ZE και ΓΛ, τα Ε και Γ βλέπουν το τμήμα AM υπό ίσες γωνίες, άρα είναι επί του ιδίου κύκλου (Πρόταση 2.13.3). Ο κύκλος αυτός διέρχεται από τα Ε, Α και Γ, άρα είναι ο περιγεγραμμένος του τετραγώνου AΓΔΕ που έχει διάμετρο την ΕΓ. Συνάγεται ότι η γωνία ΕΜΓ βαίνει επί διαμέτρου άρα οι ΜΓ και ΜΕ είναι κάθετες (Πόρισμα 2.1.7). Συνεπώς η ΓΛ είναι όπως και η AH κάθετη στην ΕΖ, άρα αυτές οι δύο είναι παράλληλες. Στο τρίγωνο BΓΛ η AH διέρχεται από το μέσον της BΛ και είναι παράλληλη προς την πλευρά ΛΓ, άρα η AH διέρχεται και από το μέσον της BΓ. Η ΑΓ είναι διάμεσος του ΛΒΓ, συνεπώς τα εμβαδά των τριγώνων ABΓ και ΑΓΛ (ίσο του ΑΕΖ) είναι ίσα (Πόρισμα 3.3.5).

#### 3.4 Πυθαγόρας και Πάππος



Σχήμα 269:  $c^2 = a^2 + b^2$ 

Θεώρημα 3.4.1 (Θεώρημα του Πυθαγόρα, περίπου 570-475 π.Χ.) Σε κάθε ορθογώνιο τρίγωνο το τετράγωνο της υποτείνουσας ισούται με το άθροισμα των τετραγώνων των δύο καθέτων πλευρών του.

Aπόδειξη: Aς υποθέσουμε ότι c=|AB| είναι το μήκος της υποτείνουσας και  $b=|A\Gamma|\leq a=|B\Gamma|$  είναι τα μήκη των δύο καθέτων πλευρών του τριγώνου. Επειδή οι γωνίες του α=ΓAB και  $\beta$ =BAΓ είναι συμπληρωματικές, το τρίγωνο μπορεί να τοποθετηθεί στις τέσσερις πλευρές του τετραγώνου με πλευρά BΓ, ως εις το σχήμα. Δημιουργείται τότε στο κέντρο ένα άλλο τετράγωνο με πλευρά μήκους a-b. Γράφοντας το εμβαδόν του μεγάλου τετραγώνου σαν άθροισμα των επιμέρους εμβαδών έχουμε:

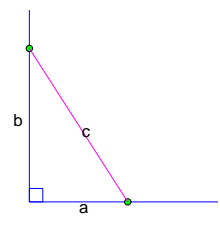
$$c^2 = \epsilon(AB\Delta\Theta) = 4\epsilon(AB\Gamma) + \epsilon(\Gamma EZH).$$

Λαμβάνοντας υπόψη ότι

$$\epsilon(AB\Gamma) = \frac{1}{2}ab, \quad \kappa\alpha\iota \quad \epsilon(\Gamma EZH) = (a-b)^2 = a^2 + b^2 - 2ab$$

και αντικαθιστώντας στην ισότητα των εμβαδών παίρνουμε την ζητούμενη ισότητα:

$$c^2 = a^2 + b^2.$$

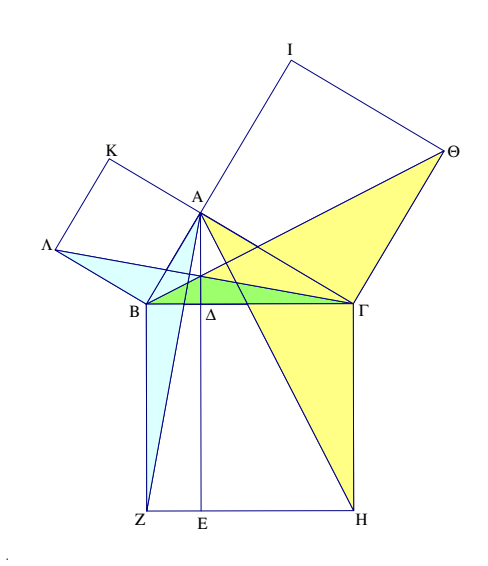


Σχήμα 270: Αντίστροφο θεωρήματος Πυθαγόρα

Θεώρημα 3.4.2 (Αντίστροφο θεωρήματος Πυθαγόρα) Αν τα μήκη a, b και c των πλευρών τριγώνου ικανοποιούν την  $a^2+b^2=c^2$  τότε το τρίγωνο είναι ορθογώνιο με υποτείνουσα μήκους c και κάθετες πλευρές μήκους a και b.

Aπόδειξη: Στις πλευρές μιάς ορθής γωνίας τοποθετούμε ευθύγραμμα τμήματα με μήχη a και b. Σηματίζεται ορθογώνιο τρίγωνο, το οποίο κατά Πυθαγόρα έχει υποτείνουσα μήκους  $a^2+b^2=c^2$ . Το δοθέν τρίγωνο και το τρίγωνο που κατασκευάσαμε έχουν λοιπόν αντίστοιχες πλευρές ίσες, άρα κατά το ΠΠΠ-κριτήριο θα είναι ίσα και το δοθέν θα είναι ορθογώνιο με ορθή γωνία απέναντι από την c, ο.ε.δ.

'Ασκηση 3.4.1 (Η απόδειξη του Ευκλείδη)  $\Delta$ είξε το Πυθαγόρειο θεώρημα αποδεικνύοντας ότι το εμβαδόν του τετραγώνου με πλευρά την υποτείνουσα είναι το άθροισμα των εμβαδών των δύο τετραγώνων με πλευρές αντίστοιχα τις κάθετες πλευρές του τετραγώνου.



Σχήμα 271: Απόδειξη του Ευκλείδη

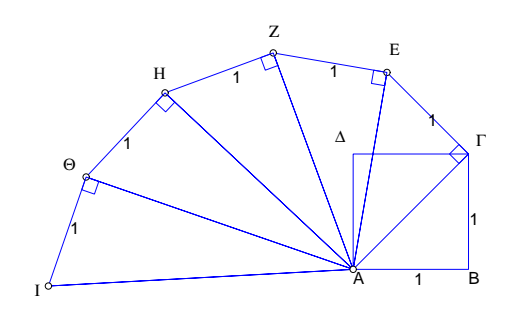
Υπόδειξη: Στο σχήμα:  $\epsilon(B\Gamma HZ) = \epsilon(A\Gamma\Theta I) + \epsilon(BAK\Lambda)$ . Φέρε το ύψος από την ορθή γωνία Α και προέκτεινε μέχρι το σημείο τομής E με την απέναντι πλευρά ZH του τετραγώνου  $B\Gamma HZ$  (στην υποτείνουσα). Το εμβαδόν του τετραγώνου ισούται με το άθροισμα των εμβαδών των δύο ορθογωνίων:  $\Delta EH\Gamma$  και  $\Delta EZB$ .  $\Delta \epsilon$ ίξε ότι τα εμβαδά αυτών των ορθογωνίων ισούνται αντίστοιχα με τα εμβαδά των τετραγώνων  $A\Gamma\Theta I$  και  $BAK\Lambda$ . Προς τούτο παρατήρησε ότι τα τρίγωνα  $A\Gamma H$  και ABZ έχουν εμβαδόν το μισό των εμβαδών αυτών των ορθογωνίων (ίδια βάση και ίδιο ύψος). Παρατήρησε επίσης ότι τα τρίγωνα αυτά είναι ίσα αντίστοιχα με τα  $B\Gamma\Theta$  και  $B\Gamma\Lambda$  ( $\Pi\Gamma\Pi$ -κριτήριο) τα οποία με την σειρά τους έχουν εμβαδό το μισό των τετραγώνων  $A\Gamma\Theta I$  και  $BAK\Lambda$  αντίστοιχα (ίδια βάση και ίδιο ύψος).

Άσκηση 3.4.2  $\Delta \epsilon$ ίξε στο σχήμα 271 ότι οι ευθείες  $\Gamma \Delta$  και  $B\Theta$  τέμνονται επί της  $A\Delta$ .

Σχόλιο-1 Αργότερα (Θεώρημα 3.10.1) θα δούμε ότι το θεώρημα του Πυθαγόρα γενικεύεται σε ένα σχήμα που μοιάζει με το προηγούμενο και στο οποίο το τετράγωνο αντικαθίσταται με ένα πολύγωνο.

Σχόλιο-2 Η σημασία του θεωρήματος του Πυθαγόρα υποδηλώνεται από το πλήθος των

αποδείξεων που έχουν δοθεί κατά καιρούς. Στο βιβλίο του Loomis ([Loo68]) αναλύονται 370 αποδείξεις, η πρώτη από τις οποίες, θεωρούμενη η απλούστερη όλων (δες σχόλιο-2, Παράγραφος 3.7) οφείλεται στον Legendre.



Σχήμα 272:  $|A\Gamma| = \sqrt{2}, |AE| = \sqrt{3}, ...$ 

**Πόρισμα 3.4.1** Οι τετραγωνικές ρίζες των ακεραίων  $\sqrt{2}, \sqrt{3}, \dots$  κατασκευάζονται με τον κανόνα και τον διαβήτη.

 $A\pi \delta \delta \epsilon i \xi \eta$ : Ξεκινάμε με την διαγώνιο  $A\Gamma$  του μοναδιαίου τετραγώνου  $AB\Gamma \Delta$  που έχει μήκος  $\sqrt{2}=\sqrt{1+1}$ , κατασκευάζουμε ορθογώνιο  $A\Gamma E$  με κάθετες πλευρές  $A\Gamma$  και  $\Gamma E$   $|\Gamma E|=1$ . Η υποτείνουσα αυτού  $|AE|^2=|A\Gamma|^2+1^2=2+1 \Rightarrow |AE|=\sqrt{3}$ . Επαναλαμβάνουμε την ίδια διαδικασία χρησιμοποιώντας κάθε φορά την πλευρά που κατασκευάσαμε  $(\sqrt{k})$  και μία πλευρά μήκους 1 ως κάθετες γιά να ορίσουμε την επόμενη ρίζα  $\sqrt{k+1}$ , ο.ε.δ.

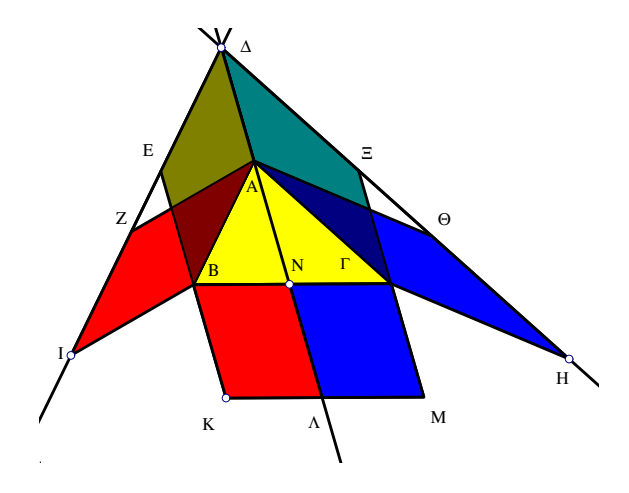
Άσκηση 3.4.3  $\Delta \epsilon$ ίξ $\epsilon$  ότι οι ακέραιοι 3,4 και 5  $\epsilon$ ίναι μήκη πλευρών ορθογωνίου τριγώνου.

Άσκηση 3.4.4  $\Delta \epsilon$ ίξε ότι γιά κάθε ζεύγος ακεραίων  $(\mu, \nu)$  οι ακέραιοι  $a = |\mu^2 - \nu^2|, b = 2\mu\nu, c = \mu^2 + \nu^2, \, \epsilon \varphi$  όσον κανείς τους δεν είναι μηδέν, εκφράζουν μήκη πλευρών ορθογωνίου τριγώνου.

'Ασκηση 3.4.5  $\Delta \epsilon$ ίξε ότι γιά κάθε θετικό α υπάρχει ορθογώνιο τρίγωνο με μήκη πλευρών  $a, \frac{a}{2}, a\frac{\sqrt{3}}{2}$ . Πως συνδέεται ένα τέτοιο τρίγωνο με το ισόπλευρο που έχει μήκος πλευράς a;

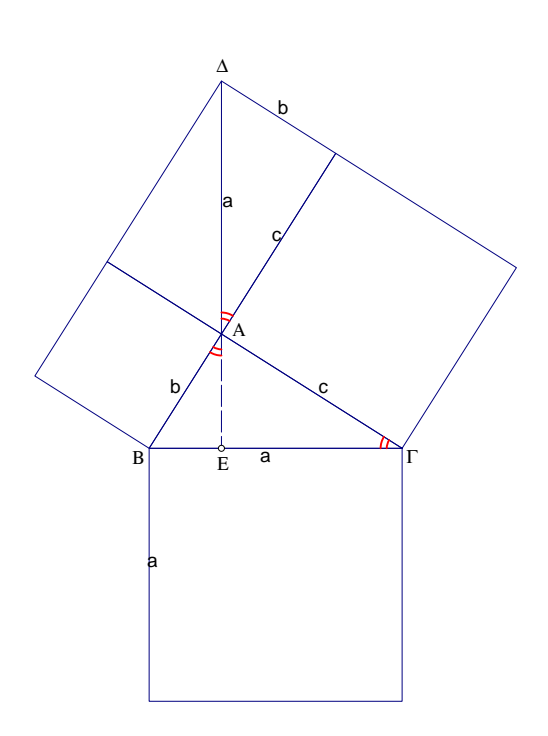
Θεώρημα 3.4.3 (Θεώρημα του Πάππου 290-350) Στις πλευρές AB και  $A\Gamma$  του τριγώνου  $AB\Gamma$ , κατασκεύασε αυθαίρετα παραλληλόγραμμα ABIZ και  $A\Gamma H\Theta$ . Προέκτεινε τις πλευρές τους IZ και  $\Theta H$  μέχρι το σημείο τομής τους  $\Delta$ . Στην τρίτη πλευρά  $B\Gamma$  του τριγώνου  $AB\Gamma$ , κατασκεύασε το παραλληλόγραμμο  $B\Gamma MK$  έτσι ώστε η BK να είναι πάράλληλη και ίση με την  $\Delta A$ . Τότε το άθροισμα των εμβαδών των παραλληλογράμμων ABIZ και  $A\Gamma H\Theta$  είναι ίσο με το εμβαδόν του παραλληλογράμμου  $B\Gamma MK$ .

Απόδειξη: Προέχτεινε την ΔΑ ώστε να χωρίσει το παραλληλόγραμμο ΒΓΜΚ στο ΒΝΛΚ και ΝΛΜΓ. Προφανώς  $\epsilon({\rm BΓMK}){=}\epsilon({\rm BNΛK}){+}\epsilon({\rm NΛΜΓ})$ . Όμως τα δύο αυτά παραλληλόγραμμα είναι αντίστοιχα ίσα με  $\epsilon({\rm BNΛK}){=}\epsilon({\rm BΕΔA})$  και  $\epsilon({\rm NΛΜΓ}){=}\epsilon({\rm AΓΞΔ})$  διότι έχουν ίσες βάσεις και είναι μεταξύ των ιδίων παραλλήλων αντίστοιχα. Γιά τον ίδιο λόγο είναι όμως ίσα και τα  $\epsilon({\rm IBAZ}){=}\epsilon({\rm BΕΔA})$  και  $\epsilon({\rm AΓΗΘ}){=}\epsilon({\rm AΓΞΔ})$ , ο.ε.δ.



Σχήμα 273: Το θεώρημα του Πάππου

Άσκηση 3.4.6  $\Delta$ είξε ότι το θεώρημα του Πάππου γενικεύει το θεώρημα του Πυθαγόρα.  $\Delta$ ηλαδή, όταν το  $AB\Gamma$  είναι ορθογώνιο τρίγωνο τότε η  $A\Delta$  είναι κάθετη και ίση προς την  $B\Gamma$  και το άθροισμα των εμβαδών των τετραγώνων στις κάθετες πλευρές ισούται με το εμβαδόν του τετραγώνου της υποτείνουσας.



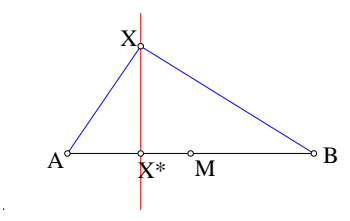
Σχήμα 274: Πάππου γενίχευση του Πυθαγορείου θεωρήματος

Υπόδειξη: Απόδειξη διά του σχήματος! Το  $A \Xi \Delta$  είναι σε αυτήν την περίπτωση ορθογώνιο τρίγωνο ίσο με το  $AB\Gamma$ , άρα οι  $B\Gamma$  και  $A\Delta$  θα είναι ίσες. Είναι και κάθετες διότι οι γωνίες  $\Delta A \Xi$  και EAB, όπου AE το ύψος από το A, είναι ίσες και έχουν τις πλευρές τους  $A\Xi$ , AB στην ίδια ευθεία, άρα είναι κατά κορυφήν και τα  $\Delta$ , A, E είναι στην ίδια ευθεία.

Πρόταση 3.4.1 Σε κάθε τρίγωνο ΧΑΒ ισχύει

$$||XA|^2 - |XB|^2| = 2|AB||X^*M|$$

όπου  $X^*$  η προβολή του X στην AB και M το μέσον του AB.



Σχήμα 275: Διαφορά τετραγώνων πλευρών τριγώνου

Aπόδειξη: Τα τρίγωνα  $AXX^*$  και  $BXX^*$  είναι ορθογώνια στο  $X^*$ , άρα  $|XA|^2=|XX^*|^2+|X^*A|^2$  και  $|XB|^2=|XX^*|^2+|X^*B|^2$ . Το ζητούμενο προκύπτει αφαιρώντας κατά μέλη τις ισότητες, γράφοντας  $|AX^*|=||AM|-|MX^*||, |BX^*|=|BM|+|MX^*|$  και κάνοντας πράξεις, ο.ε.δ.

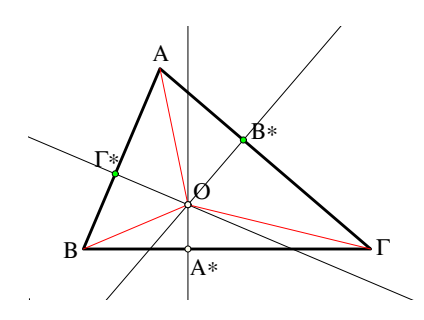
Άσκηση 3.4.7 Δίδεται ευθύγραμμο τμήμα AB. Δείξε ότι ο γεωμετρικός τόπος των σημείων X γιά τα οποία η διαφορά των τετραγώνων των αποστάσεων είναι σταθερά:  $|XA|^2 - |XB|^2 = \kappa$  είναι ευθεία κάθετη στο AB.

Άσκηση 3.4.8  $\Delta \epsilon$ ίξε ότι, εάν a,b,c είναι αντίστοιχα τα μήκη των καθέτων πλευρών και της υποτείνουσας ορθογωνίου τριγώνου και υ το επί την υποτείνουσαν ύψος, τότε

$$\frac{1}{v^2} = \frac{1}{a^2} + \frac{1}{b^2}.$$

'Ασκηση 3.4.9 Θεώρησε τα σημεία  $A^*$ ,  $B^*$ ,  $\Gamma^*$  επί των πλευρών τριγώνου  $B\Gamma$ ,  $\Gamma A$ , AB αντίστοιχα.  $\Delta$ είξε ότι οι κάθετες σε αυτές τις πλευρές στα αντίστοιχα σημεία διέρχονται από κοινό σημείο O, τότε και μόνον, όταν ισχύει ([Bot07, σ. 15])

$$|BA^*|^2 + |\Gamma B^*|^2 + |A\Gamma^*|^2 = |A^*\Gamma|^2 + |B^*A|^2 + |\Gamma^*B|^2.$$

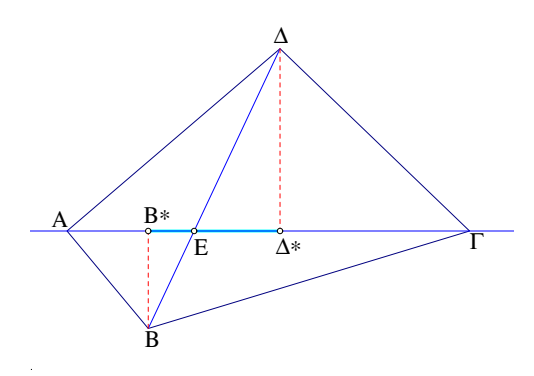


Σχήμα 276: Κάθετες διερχόμενες από χοινό σημείο

Άσκηση 3.4.10 Γιά κάθε τετράπλευρο ΑΒΓΔ ισχύει η σχέση

$$|(|AB|^2 + |\Gamma\Delta|^2) - (|B\Gamma|^2 + |\Delta A|^2)| = 2|A\Gamma||B^*\Delta^*|,$$

όπου  $B^*$  και  $\Delta^*$  οι προβολές των B,  $\Delta$  επί της διαγωνίου  $A\Gamma$ .



Σχήμα 277: Διαφορά τετραγώνων πλευρών τετραπλεύρου

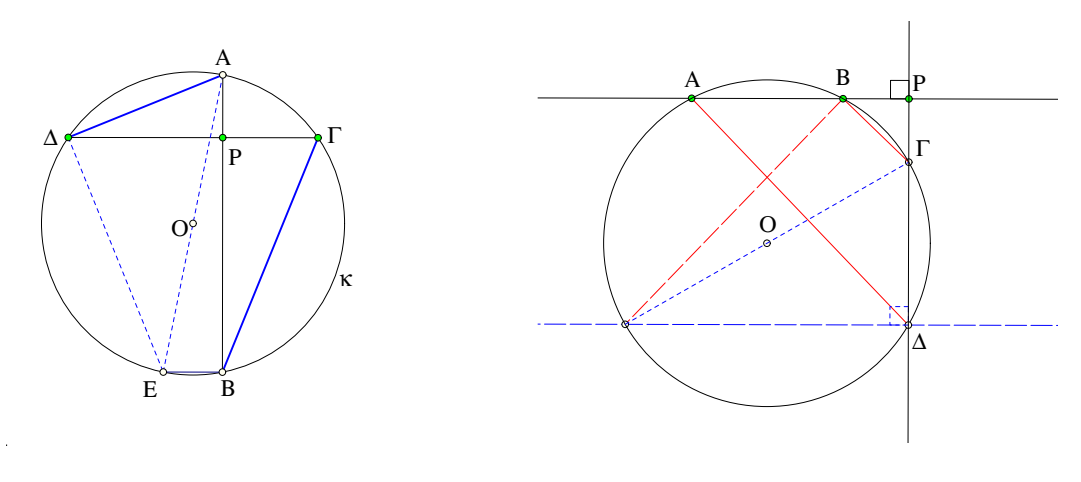
Υπόδειξη: Από το Πυθαγόρειο θεώρημα έπεται (δες και Άσκηση 3.4.7)

$$\begin{split} |\Delta A|^2 - |\Delta \Gamma|^2 &= |A\Delta^*|^2 - |\Delta^*\Gamma|^2 = (|A\Delta^*| + |\Delta^*\Gamma|)(|A\Delta^*| - |\Delta^*\Gamma|) \\ &= |A\Gamma|(|A\Delta^*| - |\Delta^*\Gamma|), \\ |B\Gamma|^2 - |BA|^2 &= |B^*\Gamma|^2 - |AB^*|^2 = (|B^*\Gamma| + |AB^*|)(|B^*\Gamma| - |AB^*|) \\ &= |A\Gamma|(|B^*\Gamma| - |AB^*|) \Rightarrow \\ (|\Delta A|^2 + |B\Gamma|^2) - (|\Delta \Gamma|^2 + |BA|^2) = |A\Gamma|(|A\Delta^*| - |\Delta^*\Gamma| + (|B^*\Gamma| - |AB^*|)) \\ &= |A\Gamma|((|A\Delta^*| - |AB^*|) + (|B^*\Gamma| - |\Delta^*\Gamma|)) \\ &= |A\Gamma|(2|B^*\Delta^*|). \end{split}$$

Οι απόλυτες τιμές εξασφαλίζουν ότι ο τύπος θα ισχύει και στην περίπτωση που η αριστερή πλευρά είναι αρνητική.

Άσκηση 3.4.11  $\Delta \epsilon$ ίξε ότι αν το άθροισμα τετραγώνων δύο απέναντι πλευρών τετραπλεύρου ισούται με το άθροισμα τετραγώνων των δύο άλλων απέναντι πλευρών του, τότε: (a) το τετράπλευρο έχει ορθογώνιες διαγωνίους και (β) τα δύο ευθύγραμμα τμήματα που ενώνουν τα μέσα απέναντι πλευρών του είναι ίσα.

Τετράπλευρα με κάθετες διαγώνιους λέγονται Ορθοδιαγώνια.



Σχήμα 278: Ορθογώνιες χορδές

Άσκηση 3.4.12  $\Delta \epsilon$ ίξε ότι, εάν οι χορδές AB,  $\Gamma \Delta$  κύκλου κ $(O,\rho)$  τέμνονται κάθετα στο εσωτερικό/εξωτερικό του κ, σημείο P, τότε

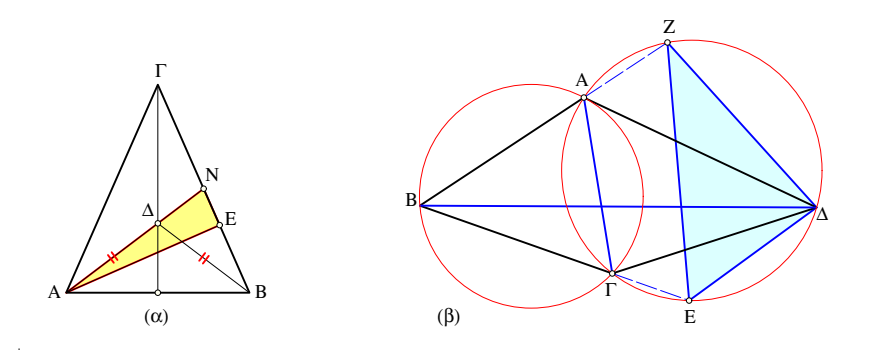
$$|PA|^2 + |PB|^2 + |P\Gamma|^2 + |P\Delta|^2 = |A\Delta|^2 + |B\Gamma|^2 = (2\rho)^2.$$

'Ασκηση 3.4.13 Έστω  $AB\Gamma$  τρίγωνο με ορθή γωνία στο A και ύψος  $A\Delta$ .  $\Delta$ είξε ότι ισχύει  $\frac{|AB|^2}{|A\Gamma|^2} = \frac{|B\Delta|}{|\Gamma\Delta|}.$ 

Άσκηση 3.4.14 Κατασκεύασε τετράγωνο του οποίου οι δύο διαδοχικές πλευρές να διέρχονται από δοθέντα σημεία και η κορυφή που περιέχεται στις άλλες δύο να είναι δοθέν σημείο.

'Ασκηση 3.4.15  $\Sigma \epsilon$  δοθέντα κύκλο να  $\epsilon$ γγραφεί ορθογώνιο παραλληλόγραμμο που  $\epsilon$ χει δοθείσα περίμετρο.

Άσκηση 3.4.16 Τριγώνου  $AB\Gamma$  η θέση και το μέγεθος της βάσης  $B\Gamma$  και το μέτρο της γωνίας  $a=|BA\Gamma|$  μένουν σταθερά. Να ευρεθεί ο γεωμετρικός τόπος της προβολής του μέσου της  $B\Gamma$  στην διχοτόμο από το A.



Σχήμα 279: (α) Κατασκευή ισοσκελούς, (β) κατασκευή τετραπλεύρου

'Ασκηση 3.4.17 Κατασκεύασε ισοσκελές τρίγωνο  $AB\Gamma$  με βάση AB, του οποίου δίδεται το μήκος του ύψους AE και το μήκος της διαμέσου AN.

Υπόδειξη: Από τα δεδομένα κατασκευάζεται το ορθογώνιο τρίγωνο ΑΕΝ (σχήμα 279-α). Το σημείο τομής των διαμέσων  $\Delta$  είναι γνωστό σημείο της ΑΝ και  $|\Delta A|=|\Delta B|$ . Επομένως, το B ευρίσκεται ως τομή του κύκλου με ακτίνα  $\Delta A$  με την ευθεία EN.

Άσκηση 3.4.18 Κατασκεύασε τετράπλευρο του οποίου δίδονται τα μήκη των διαγωνίων και τα μέτρα των γωνιών του.

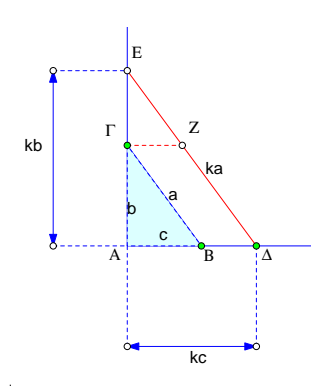
Υπόδειξη: Από τα δεδομένα κατασκευάζονται οι κύκλοι (ΑΓΔ) και (ΑΒΓ) διότι τα  $\Delta$  και Β βλέπουν υπό δοθείσες γωνίες το δοθέν ΑΓ (σχήμα 279-β). Προεκτείνοντας τις BA και ΒΓ ορίζουμε τα σημεία του κύκλου (ΑΓΔ): Z και E. Στον κατασκευασθέντα κύκλο (ΑΓΔ) οι γνωστές γωνίες ZΑΔ και EΓΔ ορίζουν κατασκευάσιμα μήκη  $|\Delta Z|$ ,  $|\Delta E|$ . Συνεπώς το τρίγωνο  $\Delta EZ$  κατασκευάζεται. Το B προσδιορίζεται ως τομή των κύκλων (ΑΒΓ) και  $\Delta(|B\Delta|)$ .

# 3.5 Όμοια ορθογώνια τρίγωνα

Όμοια λέγονται δύο ορθογώνια τρίγωνα τα οποία, εκτός της ορθής, έχουν και δύο ακόμη αντίστοιχες γωνίες τους ίσες (άρα και όλες τις γωνίες τους αντίστοιχα ίσες). Στην παράγραφο αυτή διαπιστώνουμε ότι αυτή η σχέση μεταξύ ορθογωνίων τριγώνων είναι ισοδύναμη με την σχέση  $\mathbf{A}$ ναλογίας των πλευρών τους. Αυτό πάλι σημαίνει ότι τα τρία μήκη a, b, c των πλευρών του ενός τριγώνου και τα τρία μήκη a', b', c' των αντιστοίχων πλευρών του άλλου τριγώνου ικανοποιούν την σχέση:

$$\frac{a'}{a} = \frac{b'}{b} = \frac{c'}{c}.$$

Πρόταση 3.5.1 Έστω ορθογώνιο τρίγωνο  $AB\Gamma$  με ορθή γωνία στο A και μήκη πλευρών  $a=|B\Gamma|,b=|\Gamma A|,c=|AB|$  και k θετικός αριθμός. Επί των καθέτων ημιευθειών AB και  $A\Gamma$  παίρνουμε αντίστοιχα σημεία  $\Delta$  και E έτσι ώστε  $|A\Delta|=kc$  και |AE|=kb. Το τρίγωνο που προκύπτει  $A\Delta E$  είναι ορθογώνιο, η υποτείνουσά του  $\Delta E$  είναι παράλληλη της  $B\Gamma$  και τα τρίγωνα  $AB\Gamma$  και  $A\Delta E$  έχουν αντίστοιχα ίσες γωνίες.



Σχήμα 280: Όμοια ορθογώνια τρίγωνα

Aπόδειξη: Το πρώτο συμπέρασμα είναι αποτέλεσμα του ότι η  $a^2=b^2+c^2$  συνεπάγεται την  $(ka)^2=(kb)^2+(kc)^2.$  Γιά το δεύτερο συμπέρασμα αναλύουμε το εμβαδόν του τριγώνου  $A\Delta E$  που είναι  $k^2bc$  στο άθροισμα των εμβαδών ενός τριγώνου και ενός τραπεζίου. Προς τούτο φέρουμε παράλληλο από το  $\Gamma$  που τέμνει την  $\Delta E$  στο Z. Το εμβαδόν του τραπεζίου που προχύπτει είναι (Πρόταση 3.3.6)  $\epsilon(A\Delta Z\Gamma)=\frac{1}{2}(kc+z)b$ , όπου  $z=|\Gamma Z|$ . Το εμβαδόν του τριγώνου  $\epsilon(\Gamma ZE)=\frac{1}{2}z(k-1)b$ . Η εξίσωση μεταξύ των εμβαδών δίδει:

$$\epsilon(A\Delta E) = \epsilon(A\Delta Z\Gamma) + \epsilon(\Gamma ZE),$$

η οποία ισοδυναμεί με

$$\frac{1}{2}k^2bc = \frac{1}{2}(kc+z)b + \frac{1}{2}z(k-1)b,$$

που απλοποιείται στην

$$z = (k-1)c.$$

Επειδή συμβαίνει και  $|B\Delta|=(k-1)c$  η προηγούμενη ισότητα δείχνει ότι το  $B\Delta Z\Gamma$  είναι παραλληλόγραμμο. Από αυτό έπεται ότι τα δύο τρίγωνα  $AB\Gamma$  και  $A\Delta E$  έχουν αντίστοιχα ίσες γωνίες, ο.ε.δ.

Πρόταση 3.5.2 (Αντίστροφο του προηγουμένου) Έστω ορθογώνιο τρίγωνο  $AB\Gamma$  με ορθή γωνία στο A και μήκη πλευρών  $a=|B\Gamma|, b=|\Gamma A|, c=|AB|$  και k θετικός αριθμός. Επί της κάθετης πλευράς AB παίρνουμε σημείο  $\Delta$  έτσι ώστε  $|A\Delta|=kc$  και φέρουμε παράλληλο τέμνουσα την άλλη κάθετο στο E. Τότε |AE|=kb και τα τρίγωνα  $AB\Gamma$  και  $A\Delta E$  έχουν ανάλογες πλευρές μηκών a,b,c και ka,kb,kc αντιστοίχως.

Aπόδειξη: Χρησιμοποιούμε πάλι το τελευταίο σχήμα, αυτή τη φορά με διαφορετικές υποθέσεις. Έστω ότι |AE|=k'b. Θα δείξουμε ότι k'=k. Και πάλι κάνοντας την ανάλυση του  $\epsilon(A\Delta E)=\epsilon(A\Delta Z\Gamma)+\epsilon(\Gamma ZE)$  παίρνουμε αυτήν την φορά την εξίσωση:

$$\frac{1}{2}kk'bc = \frac{1}{2}((k-1)c + kc)b + \frac{1}{2}(k-1)c(k'-1)b,$$

που απλοποιείται στην

$$k' = k$$
.

Από αυτήν προκύπτει ότι και  $|\Delta E|^2=(kc)^2+(kb)^2=k^2(b^2+c^2)=(ka)^2$  και συνεπώς η αναφερομένη αναλογία πλευρών, ο.ε.δ.

Πρόταση 3.5.3 Δύο ορθογώνια τρίγωνα που έχουν τις ίδιες γωνίες έχουν τις πλευρές τους αντίστοιχα ανάλογες. Αντίστροφα, δύο ορθογώνια τρίγωνα που έχουν τις κάθετες πλευρές τους ανάλογες έχουν αντίστοιχα ίσες γωνίες.

Απόδειξη: Γιά το ευθύ εφάρμοσε το Θεώρημα-3.5.2 τοποθετώντας τα δύο τρίγωνα ως εις το τελευταίο σχήμα. Γιά το αντίστροφο εφάρμοσε το Θεώρημα-3.5.1 τοποθετώντας τα τρίγωνα πάλι κατά τον ίδιο τρόπο. Το ιδιαίτερο χαρακτηριστικό στα ορθογώνια τρίγωνα είναι ότι η αναλογία των καθέτων πλευρών συνεπάγεται άμεσα και την αναλογία των υποτεινουσών, λόγω του Πυθαγορείου θεωρήματος. ο.ε.δ.

Πόρισμα 3.5.1 Δύο ορθογώνια τρίγωνα είναι όμοια τότε και μόνον, όταν έχουν τον ίδιο λόγο καθέτων πλευρών ή όταν έχουν τον ίδιο λόγο μιάς καθέτου προς την υποτείνουσα.

Aπόδειξη: Έστω ότι τα ορθογώνια  $AB\Gamma$  και  $A'B'\Gamma'$  έχουν τις ίδιες γωνίες στις κορυφές με τα ίδια γράμματα και στο A αντιστοιχεί ορθή γωνία. Κατά την προηγούμενη πρόταση είναι όμοια τότε και μόνον όταν  $\frac{|AB|}{|A'B'|} = \frac{|A\Gamma|}{|A'\Gamma'|}$ . Αυτή όμως είναι ισοδύναμη με την  $\frac{|AB|}{|A\Gamma|} = \frac{|A'B'|}{|A'\Gamma'|}$ . Αυτό δείχνει τον πρώτο ισχυρισμό. Ο δεύτερος ανάγεται στον πρώτο. Πράγματι αν υποθέσουμε ότι  $\frac{|AB|}{|B\Gamma|} = \frac{|A'B'|}{|B'\Gamma'|}$ , τούτη είναι συνεπάγεται την

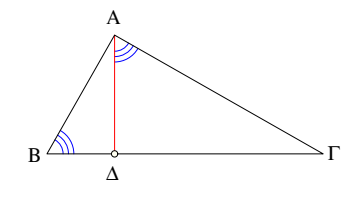
$$\frac{|AB|}{|A\Gamma|} = \frac{|AB|}{\sqrt{|B\Gamma|^2 - |AB|^2}} = \frac{|A'B'|}{\sqrt{|B'\Gamma'|^2 - |A'B'|^2}} = \frac{|A'B'|}{|A'\Gamma'|},$$

 $o.\epsilon.\delta$ .

**Πρόταση 3.5.4** Έστω  $\Delta$  η προβολή της κορυφής A ορθογωνίου τριγώνου στην υποτείνουσα  $B\Gamma$ . Τότε ισχύουν οι τύποι

$$|A\Delta|^2 = |B\Delta||\Gamma\Delta|, \quad |A\Gamma|^2 = |\Gamma\Delta||\Gamma B|, \quad |AB|^2 = |B\Delta||B\Gamma|.$$

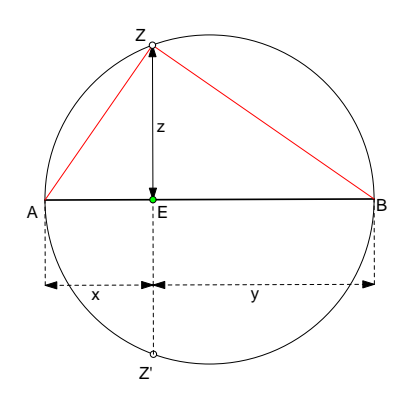
Aπόδειξη: Τα ορθογώνια τρίγωνα AΓΔ και AΔΒ και AΔΓ έχούν τις ίδιες γωνίες, άρα θα έχουν και ανάλογες πλευρές:  $\frac{|AΔ|}{|ΓΔ|} = \frac{|BΔ|}{|AΔ|}$  από την οποία προκύπτει η πρώτη σχέση. Ανάλογα προκύπτουν και οι υπόλοιπες συγκρίνοντας, τα τρίγωνα AΒΔ και AΓΔ με το ABΓ, ο.ε.δ.



Σχήμα 281:  $|A\Delta|^2 = |B\Delta||\Gamma\Delta|$ 

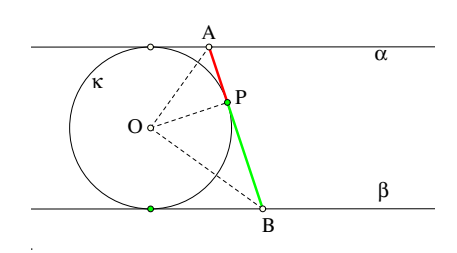
Γιά τρεις αριθμούς x, y και z που ικανοποιούν την σχέση  $z^2 = xy$  λέμε ότι ο z είναι  $\mathbf{M}$ έσος ανάλογος των x και y. Η προηγούμενη πρόταση δείχνει ένα τρόπο να κατασκευάσουμε γεωμετρικά τον μέσο ανάλογο δύο αριθμών.

Κατασκευή 3.5.1 Δοθέντων ευθυγράμμων τμημάτων μήκους x και y κατασκεύασε (με κανόνα και διαβήτη) ευθύγραμμο τμήμα μήκους z έτσι ώστε  $z^2 = xy$ .



Σγήμα 282: Κατασκευή του μέσου αναλόγου  $z^2 = xy$ 

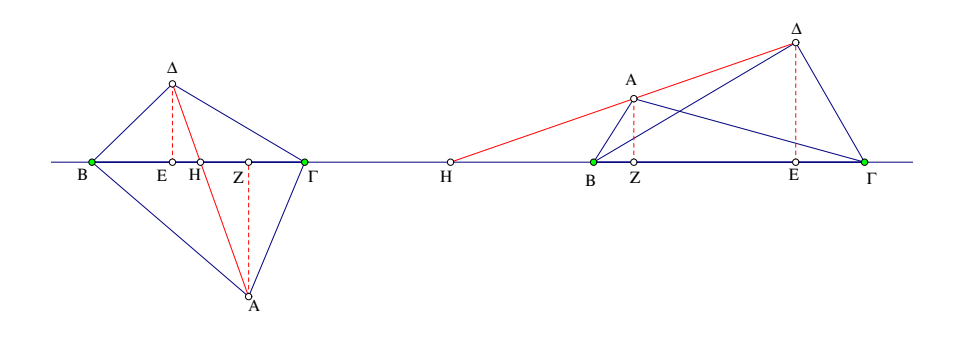
Aπόδειξη: Τοποθέτησε τα δύο τμήματα επί ευθείας ώστε να γίνουν διαδοχικά ευθύγραμμα τμήματά της:  $AE\ (|AE|=x)$  και  $EB\ (|EB|=y)$ . Γράψε τον κύκλο με διάμετρο AB και φέρε την κάθετο στο AB στο E, τέμνουσα τον κύκλο στα σημεία Z και Z'. Τα ευθύγραμμα τμήματα EZ, EZ' έχουν το απαιτούμενο μήκος z. Πράγματι κάθε ένα από τα σημεία αυτά ορίζει ένα ορθογώνιο τρίγωνο (Πόρισμα 2.1.7) του οποίου τα τμήματα αυτά είναι τα ύψη από την ορθή γωνία. Το συμπέρασμα προχύπτει εφαρμόζοντας την προηγούμενη πρόταση, ο.ε.δ.



 $\Sigma$ χήμα 283:  $\Sigma$ ταθερό γινόμενο |PA||PB|

Άσκηση 3.5.1  $\Delta \epsilon$ ίξε ότι το γινόμενο |PA||PB| τμημάτων της εφαπτομένης κύκλου  $\kappa(O,\rho)$  στο σημείο του P, τα οποία αποτέμνονται από δύο παράλληλες εφαπτόμενες  $\alpha$ ,  $\beta$  του κύκλου, είναι σταθερό.

**Πρόταση 3.5.5**  $\Delta$ ύο τρίγωνα  $AB\Gamma$  και  $AB\Delta$  έχουν κοινή πλευρά την  $B\Gamma$ . Τότε ο λόγος των εμβαδών τους ισούται με τον λόγο των τμημάτων  $\frac{|H\Delta|}{|HA|}$ , όπου H το σημείο τομής της ευθείας  $B\Gamma$  με την  $A\Delta$ .



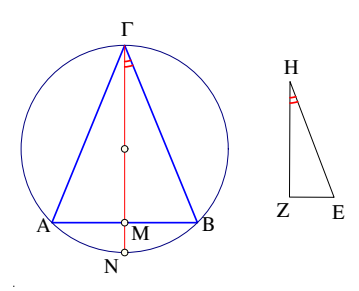
Σχήμα 284: Λόγος εμβαδών

Aπόδειξη: Τα δύο τελευταία σχήματα αντιστοιχούν στις περιπτώσεις που τα τρίγωνα είναι σε διαφορετικές μεριές της BΓ ή από την ίδια μεριά. Η απόδειξη είναι η ίδια και στις δύο περιπτώσεις. Έστω ότι  $\Delta E$  και AZ είναι τα ύψη από τις αντίστοιχες κορυφές. Τότε ο λόγος των εμβαδών είναι

$$\frac{\epsilon(B\Gamma\Delta)}{\epsilon(B\Gamma A)} = \frac{\frac{1}{2}|B\Gamma||\Delta E|}{\frac{1}{2}|B\Gamma||AZ|} = \frac{|\Delta E|}{|AZ|}.$$

Τα ορθογώνια τρίγωνα ΗΔΕ και ΗΑΖ είναι όμοια, συνεπώς ο τελευταίος λόγος ισούται ακριβώς με τον  $\frac{|H\Delta|}{|HA|}$ , ο.ε.δ.

Άσκηση 3.5.2 Να κατασκευασθεί ισοσκελές τρίγωνο  $AB\Gamma$  του οποίου δίδεται ο περιγεγραμμένος κύκλος και ο λόγος του ύψους προς την βάση του  $\kappa = \frac{|\Gamma M|}{|AB|}$ .



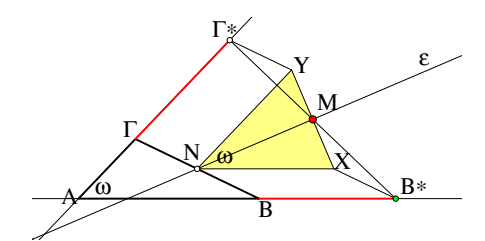
Σχήμα 285: Κατασκευή ισοσκελούς

Υπόδειξη: Του ορθογωνίου τριγώνου ΓΜΒ είναι τότε γνωστός ο λόγος των καθέτων πλευρών

$$\frac{|\Gamma M|}{|MB|} = \frac{|\Gamma M|}{(|AB|/2)} = 2\kappa.$$

Επομένως κατασκευάζεται εύκολα όμοιο του ΓΜΒ ορθογώνιο τρίγωνο με αυτό τον λόγο καθέτων, λ.χ. παίρνοντας σε μία ορθή γωνία  $|ZH|=2\kappa$  και |ZE|=1. Κατόπιν σε μία διάμετρο ΓΝ του δοθέντος κύκλου σχηματίζουμε γωνία ΝΓΒ ίση με την ZHE και παίρνουμε το συμμετρικό A του B ως προς την διάμετρο.

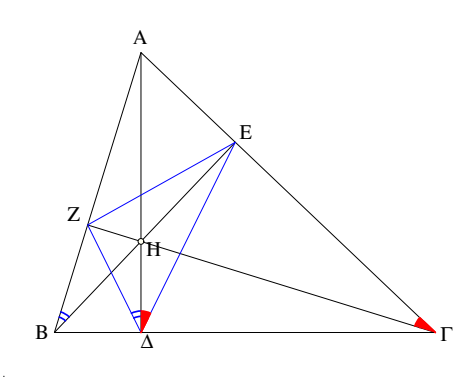
Άσκηση 3.5.3 Eπί των προεκτάσεων των πλευρών AB και  $A\Gamma$  τριγώνου  $AB\Gamma$  λαμβάνονται ίσα τμήματα  $BB^*$  και  $\Gamma\Gamma^*$ . Δείξε ότι ο γεωμετρικός τόπος των μέσων M των τμημάτων  $B^*\Gamma^*$  είναι ευθεία παράλληλος της διχοτόμου της γωνίας A και διερχόμενη από το μέσον N της  $B\Gamma$ .



Σχήμα 286: Ευθεία των μέσων

 $\Upsilon$ πόδ $\epsilon$ ιξη: Φέρε παράλληλες και ίσες  $|NX|=|BB^*|, |NY|=|\Gamma\Gamma^*|$ . Το XNY είναι ισοσκελές και η NM διχοτόμος της κορυφής του (δες και Άσκηση 3.9.6).

'Ασκηση 3.5.4  $\Delta \epsilon$ ίξ $\epsilon$  ότι το τρίγωνο  $\Delta EZ$  μ $\epsilon$  κορυφ $\epsilon$ ς τα ίχνη των υψών του τριγώνου  $AB\Gamma$   $\epsilon$ χ $\epsilon$ ι τα αντίστοιχα ύψη ως διχοτόμους.



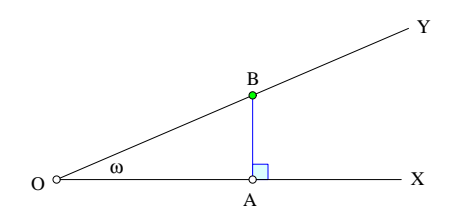
Σχήμα 287: Ορθικό τρίγωνο  $\Delta EZ$  τριγώνου  $AB\Gamma$ 

 $\Upsilon$ πόδειξη: Το τετράπλευρο  $B\Delta HZ$  έχει απέναντι γωνίες στα  $\Delta$  και Z ορθές, άρα είναι εγγράψιμο. Συνάγεται ότι οι γωνίες ZBH και  $Z\Delta H$  είναι ίσες. Παρόμοια και οι γωνίες  $E\Delta H$  και  $E\Gamma H$  είναι ίσες. Όμως και οι  $E\Gamma H$  και ZBH είναι ίσες γιατί το  $\Gamma BZE$  είναι επίσης εγγράψιμο, αφού τα E και Z βλέπουν την  $B\Gamma$  υπό ορθή γωνία.

Το τρίγωνο ΔΕΖ των ιχνών των υψών του ΑΒΓ λέγεται **Ορθικό τρίγωνο** του ΑΒΓ. Αποδεικνύεται (Θεώρημα 5.10.2) ότι, γιά οξυγώνιο ΑΒΓ, το τρίγωνο αυτό είναι το ελαχίστης περιμέτρου μεταξύ όλων των τριγώνων που εγγράφονται στο ΑΒΓ, δηλαδή έχουν τις κορυφές τους επί των πλευρών του ΑΒΓ. Το ορθικό τρίγωνο οξυγωνίου τριγώνου ΑΒΓ είναι επίσης η μοναδική κλειστή τροχιά μπίλιας που ανακλάται μία ακριβώς φορά σε κάθε τοίχωμα τριγωνικού μπιλιάρδου που έχει το σχήμα του ΑΒΓ [Ber87, σ. 213 (I)].

# 3.6 Οι τριγωνομετρικές συναρτήσεις

Η άρτι αποδειχθείσα ισοδυναμία ομοιότητας και αναλογίας πλευρών γιά ορθογώνια τρίγωνα οδηγεί άμεσα στον ορισμό των τριγωνομετρικών συναρτήσεων μιάς γωνίας. Προς το παρόν περιοριζόμεθα σε γωνίες που εμφανίζονται σε ορθογώνια τρίγωνα, δηλαδή οξείες. Πράγματι έστω ΧΟΥ μία οξεία γωνία και Β σημείο της πλευράς ΟΥ το οποίο προβάλλουμε στο σημείο Α επί της ΟΧ, έτσι ώστε να σχηματισθεί το ορθογώνιο τρίγωνο ΟΑΒ. Κατά τα συμπεράσματα της προηγουμένης παραγράφου οι λόγοι



 $\Sigma$ χήμα 288:  $\frac{|AB|}{|OB|}$  ανεξάρτητο θέσης του A

$$s = \frac{|AB|}{|OB|}, \quad c = \frac{|OA|}{|OB|},$$

και επομένως και οι

$$t = \frac{|AB|}{|OA|} = \frac{s}{c}, \quad t' = \frac{|OA|}{|AB|} = \frac{1}{t}$$

δεν εξαρτώνται από την ειδική θέση του B επί της ημιευθείας OY, αφού τα τρίγωνα που προκύπτουν έχουν πλευρές ανάλογες. Συνεπώς οι ποσότητες αυτές εξαρτώνται αποκλειστικά και μόνο από το μέτρο ω της γωνίας XOY και μεταβάλλονται μόνον όταν η γωνία αυτή αλλάσσει. Ορίζονται συνεπώς αντίστοιχες συναρτήσεις του μέτρου ω της γωνίας:

$$\operatorname{hm}(\omega) = s$$
,  $\operatorname{hon}(\omega) = c$ ,  $\operatorname{hon}(\omega) = t$ ,  $\operatorname{hon}(\omega) = t'$ ,

οι οποίες ονομάζονται αντίστοιχα ημίτονο, συνημίτονο, εφαπτομένη και συνεφαπτομένη της γωνίας ω. Οι συναρτήσεις αυτές δεν είναι ανεξάρτητες μεταξύ τους αλλά συνδέονται με κάποιες σχέσεις. Στις δύο τελευταίες αυτό είναι φανερό από τον ίδιο τον ορισμό τους:

$$\sigma\phi(\omega) = \frac{1}{\epsilon\phi(\omega)} = \frac{\eta\mu(\omega)}{\sigma\upsilon\nu(\omega)}.$$

Αλλά και γιά τις δύο πρώτες προκύπτει από το θεώρημα του Πυθαγόρα (προηγούμενο σχήμα) ότι

$$|AB|^2 + |OA|^2 = |OB|^2 \implies \left(\frac{|AB|}{|OB|}\right)^2 + \left(\frac{|OA|}{|OB|}\right)^2 = 1$$

δηλαδή

$$\eta\mu(\omega)^2 + \text{sun}(\omega)^2 = 1.$$

Στην ουσία λοιπόν μία είναι η ανεξάρτητη συνάρτηση και μπορούμε να διαλέξουμε όποια από τις τέσσερις θέλουμε και να εκφράσουμε τις άλλες συναρτήσει αυτής που διαλέξαμε. Έτσι

λ.χ. αν διαλέξω την ημ $(\omega)$  σαν βασική τριγωνομετρική συνάρτηση, οι άλλες εκφράζονται μέσω αυτής:

$$\text{sun}(\omega) = \sqrt{1 - \eta \mu^2(\omega)}, \ \ \text{ep}(\omega) = \frac{\eta \mu(\omega)}{\sqrt{1 - \eta \mu^2(\omega)}}, \ \ \text{sp}(\omega) = \frac{\sqrt{1 - \eta \mu^2(\omega)}}{\eta \mu(\omega)}.$$

Άσκηση 3.6.1  $\Delta \epsilon$ ίξε ότι γιά κάθε γωνία με μέτρο  $0<\omega<90$  οι τριγωνομετρικές συναρτήσεις ικανοποιούν  $|\eta\mu(\omega)|<1$  και  $|\sigma\upsilon\nu(\omega)|<1$ .

'Ασκηση 3.6.2  $\Delta \epsilon$ ίξε ότι οι τριγωνομετρικές συναρτήσεις εκφράζονται μέσω του συν $(\omega)$  και των τύπων:

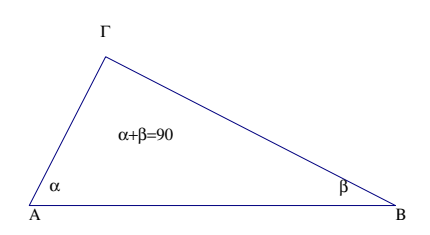
$$\eta\mu(\omega) = \sqrt{1-\sigma \upsilon \nu^2(\omega)}, \ \ \epsilon \phi(\omega) = \frac{\sqrt{1-\sigma \upsilon \nu^2(\omega)}}{\sigma \upsilon \nu(\omega)}, \ \ \sigma \phi(\omega) = \frac{\sigma \upsilon \nu(\omega)}{\sqrt{1-\sigma \upsilon \nu^2(\omega)}}.$$

'Ασκηση 3.6.3  $\Delta \epsilon$ ίξ $\epsilon$  ότι οι τριγωνομετρικές συναρτήσεις εκφράζονται μέσω της σφ $(\omega)$  και των τύπων:

$$\eta\mu(\omega) = \frac{\epsilon\phi(\omega)}{\sqrt{1+\epsilon\phi^2(\omega)}}, \ \, \text{sun}(\omega) = \frac{1}{\sqrt{1+\epsilon\phi^2(\omega)}}, \ \, \text{sun}(\omega) = \frac{1}{\epsilon\phi(\omega)}.$$

'Ασκηση 3.6.4  $\Delta \epsilon$ ίξ $\epsilon$  ότι οι τριγωνομετρικές συναρτήσεις εκφράζονται μέσω της εφ $(\omega)$  και των τύπων:

$$\eta\mu(\omega) = \frac{1}{\sqrt{1+\sigma\phi^2(\omega)}}, \ \ \text{sun}(\omega) = \frac{\sigma\phi(\omega)}{\sqrt{1+\sigma\phi^2(\omega)}}, \ \ \epsilon\phi(\omega) = \frac{1}{\sigma\phi(\omega)}.$$



Σχήμα 289: Συμπληρωματικές γωνίες

Πρόταση 3.6.1 Σε κάθε ορθογώνιο τρίγωνο  $AB\Gamma$  με οξείες γωνίες  $a=|BA\Gamma|$  και  $\beta=|AB\Gamma|=90-\alpha$ , ισχύουν:

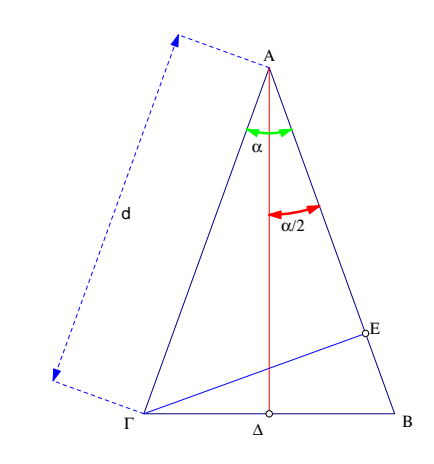
- 1.  $|B\Gamma| = |AB| \eta \mu(\alpha)$ : η απέναντι κάθετος ισούται με την υποτείνουσα επί το ημίτονο της γωνίας.
- 2.  $|A\Gamma| = |AB|$  συν $(\alpha): η$  προσκείμενη κάθετος ισούται με την υποτείνουσα επί το συνημίτονο της γωνίας.
- 3. ε $\varphi(\alpha) = \frac{|B\Gamma|}{|A\Gamma|}$ : η εφαπτομένη ισούται με τον λόγο απέναντι προς προσκειμένη κάθετο.
- 4.  $σφ(α) = \frac{|A\Gamma|}{|B\Gamma|}$ : η εφαπτομένη ισούται με τον λόγο προσκειμένης προς απέναντι κάθετο.

5. 
$$\eta\mu(\alpha) = \text{sun}(\beta), \text{sun}(\alpha) = \eta\mu(\beta), \text{eq}(\alpha) = \text{sq}(\beta), \text{sq}(\alpha) = \text{eq}(\beta)$$

Aπόδειξη: Όλες οι ιδιότητες είναι άμεσες συνέπειες του ορισμού. Οι τέσσερις πρώτες διατυπώνονται γιά την απομνημόνευσή τους και μόνο, ο.ε.δ.

'Ασκηση 3.6.5  $\Delta \epsilon$ ίξ $\epsilon$  ότι γιά μιά οξ $\epsilon$ ία γωνία  $\alpha$  ισχύουν οι τύποι:

$$\begin{split} \eta \mu(\alpha) &= 2 \, \eta \mu \left( \frac{\alpha}{2} \right) \cdot \text{sun} \left( \frac{\alpha}{2} \right), \quad \text{sun}(\alpha) = \text{sun}^2 \left( \frac{\alpha}{2} \right) - \eta \mu^2 \left( \frac{\alpha}{2} \right), \\ \epsilon \phi(\alpha) &= \frac{2 \, \epsilon \phi \left( \frac{\alpha}{2} \right)}{1 - \epsilon \phi^2 \left( \frac{\alpha}{2} \right)}, \qquad \qquad \text{sign}(\alpha) = \frac{\sigma \phi^2 \left( \frac{\alpha}{2} \right) - 1}{\sigma \phi \left( \frac{\alpha}{2} \right)}. \end{split}$$



Σχήμα 290: Τριγωνομετρικοί αριθμοί διπλάσιας γωνίας

 $\Upsilon$ πόδειξη: Θεώρησε ένα ισοοσκελές με γωνία κορυφής α και σκέλη μήκους d και υπολόγισε το εμβαδόν του με δύο τρόπους.

$$\begin{split} \epsilon(AB\Gamma) &= \frac{1}{2}|B\Gamma|\cdot|A\Delta| = |B\Delta|\cdot|A\Delta| = \left(d\cdot\eta\mu\left(\frac{\alpha}{2}\right)\right)\left(d\cdot\sigma\text{un}\left(\frac{\alpha}{2}\right)\right) \\ &= d^2\cdot\eta\mu\left(\frac{\alpha}{2}\right)\cdot\sigma\text{un}\left(\frac{\alpha}{2}\right). \\ \epsilon(AB\Gamma) &= \frac{1}{2}|AB|\cdot|\Gamma E| = \frac{1}{2}d\cdot(d\cdot\sin(\alpha)) = \frac{1}{2}d^2\cdot\eta\mu(\alpha). \end{split}$$

Η πρώτη ισότητα προχύπτει εξισώνοντας τις δύο παραστάσεις γιά το ίδιο εμβαδόν. Η δεύτερη ισότητα προχύπτει από την πρώτη και τις βασικές ιδιότητες των τριγωνομετρικών συναρτήσεων:

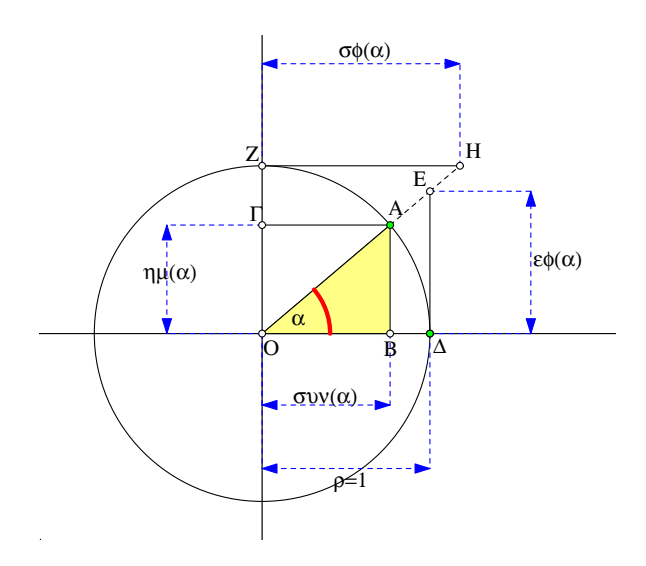
$$\begin{split} \operatorname{sun}(\alpha) &= \sqrt{1 - \eta \mu(\alpha)^2} = \sqrt{1 - \left(2 \, \eta \mu \left(\frac{\alpha}{2}\right) \cdot \operatorname{sun}\left(\frac{\alpha}{2}\right)\right)^2} \\ &= \sqrt{1 - \left(4 \, \eta \mu \left(\frac{\alpha}{2}\right)^2 \cdot \operatorname{sun}\left(\frac{\alpha}{2}\right)^2\right)} = \sqrt{1 - \left(4 \, \eta \mu \left(\frac{\alpha}{2}\right)^2 \cdot \left(1 - \eta \mu \left(\frac{\alpha}{2}\right)^2\right)\right)} \\ &= \sqrt{1 - 4 \, \eta \mu \left(\frac{\alpha}{2}\right)^2 + 4 \, \eta \mu \left(\frac{\alpha}{2}\right)^4} = \sqrt{\left(1 - 2 \, \eta \mu \left(\frac{\alpha}{2}\right)^2\right)^2} \\ &= 1 - 2 \, \eta \mu \left(\frac{\alpha}{2}\right)^2 = \left(1 - \eta \mu \left(\frac{\alpha}{2}\right)^2\right) - \eta \mu \left(\frac{\alpha}{2}\right)^2 = \operatorname{sun}\left(\frac{\alpha}{2}\right)^2 - \eta \mu \left(\frac{\alpha}{2}\right)^2. \end{split}$$

Οι υπόλοιπες ισότητες προχύπτουν άμεσα από τις προηγούμενες, διαιρώντας της κατά μέλη.

Άσκηση 3.6.6  $\Delta \epsilon$ ίξε ότι γιά μιά οξεία γωνία  $\alpha$  ισχύουν οι τύποι:

$$\begin{split} \eta \mu^2 \left( \frac{\alpha}{2} \right) &= \frac{1 - \sigma \upsilon \nu(\alpha)}{2}, \qquad \sigma \upsilon \nu^2 \left( \frac{\alpha}{2} \right) = \frac{1 + \sigma \upsilon \nu(\alpha)}{2}, \\ \epsilon \phi \left( \frac{\alpha}{2} \right) &= \frac{\eta \mu(\alpha)}{1 + \sigma \upsilon \nu(\alpha)}, \qquad \sigma \phi \left( \frac{\alpha}{2} \right) = \frac{1 + \sigma \upsilon \nu(\alpha)}{\eta \mu(\alpha)}. \end{split}$$

 $\Sigma$ χόλιο-1 Aπό τον ίδιο τον ορισμό τους προχύπτει μιά ενδιαφέρουσα σχέση μεταξύ των τριγωνομετρικών συναρτήσεων και του μοναδιαίου χύκλου (χύκλου με ακτίνα την μονάδα μέτρησης). Αν από το κέντρο του μοναδιαίου κύκλου φέρουμε δύο κάθετες μεταξύ τους ευθείες  $O\Delta$  και OZ, τότε κάθε σημείο A του τόξου  $\Delta Z$  ορίζει μία επίκεντρη γωνία  $\alpha = \Delta OA$  καθώς και το ορθογώνιο τρίγωνο OAB, όπου B η προβολή του A στην  $O\Delta$ . Οι αριθμοί συν $(\alpha)$ , ημ $(\alpha)$ , εφ $(\alpha)$ , σφ $(\alpha)$  εκφράζονται τότε ως μήκη των πλευρών του τριγώνου OAB και των ομοίων αυτού  $O\Delta E$  και OZH, που προκύπτουν τέμνοντας την OA με τις εφαπτόμενες στα  $\Delta$  και Z αντίστοιχα.



Σχήμα 291: Τριγωνομετρικός κύκλος

$$συν(α) = |OB|, ημ(α) = |AB|, εφ(α) = |ΔE|, σφ(α) = |ZH|.$$

Κατά τον ορισμό τους μέσω λόγων λ.χ. το ημίτονο ημ $(\alpha) = \frac{|AB|}{|OA|} = |AB|$ , διότι |OA| = 1. Ανάλογα και οι άλλοι τριγωνομετρικοί αριθμοί προκύπτουν από τους λόγους με τους οποίους ορίζονται και το γεγονός ότι στην συγκεκριμένη μορφή τους ο παρανομαστής είναι 1. Δεν θα επεκταθώ περισσότερο σε αυτό το ζήτημα. Το θίγω απλώς εδώ ως προανάκρουσμα και πρώτη επαφή με τον λεγόμενο  $\mathbf{Tριγωνομετρικό}$  κύκλο, που είναι ακριβώς ο μοναδιαίος κύκλος που είδαμε και η περιγραφή των σημείων του μέσω ζευγών αριθμών

$$(x = \sigma \cup \nu(\alpha), y = \eta \mu(\alpha)).$$

Σχόλιο-2 Οι τριγωνομετρικές συναρτήσεις ημ(x), συν(x), ... μαζί με τις στοιχειώδεις συναρτήσεις  $x, x^2, x^3, \ldots$  των δυνάμεων του x συναντώνται σε όλες σχεδόν τις εφαρμογές των μαθηματικών. Έχουν λοιπόν ιδιαίτερη σημασία και, όπως είδαμε από τον ορισμό τους, η

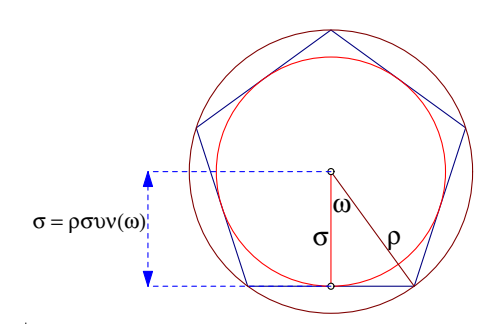
ύπαρξή τους είναι άμεση συνέπεια του Πυθαγορείου θεωρήματος. Όπως οι βασικές μετρικές σχέσεις που μόλις είδαμε στο ορθογώνιο τρίγωνο, έτσι και γενικότερα όλες οι σχέσεις μεταξύ μηκών και γωνιών σχημάτων της Ευκλείδειας γεωμετρίας (όλη η τριγωνομετρία) ανάγονται στο Πυθαγόρειο θεώρημα. Η δύναμή του σφραγίζει αυτήν την γεωμετρία και όπως αποδεικνύεται είναι ισοδύναμο με το αξίωμα των παραλλήλων. Τούτο σημαίνει ότι κρατώντας όλα τα άλλα αξιώματα και δεχόμενοι ότι κάθε ορθογώνιο τρίγωνο ικανοποιεί την σχέση των πλευρών  $a^2 = b^2 + c^2$  μπορούμε να αποδείξουμε το αξίωμα των παραλλήλων ως θεώρημα. Μιά καλογραμμένη και λεπτομερής μελέτη των τριγωνομετρικών συναρτήσεων από την σκοπιά του απειροστικού λογισμού περιέχεται στο βιβλίο του Spivak [Σπί04, σελ. 255].

Άσκηση 3.6.7  $\Delta \epsilon$ ίξε την ισχύ του επόμενου πίνακα, που δίδει τις τιμές των τριγωνομετρικών συναρτήσεων γιά τις αναφερόμενες στην πρώτη στήλη του γωνίες.

γωνία	ημ	συν	εφ	σφ
0	0	1	0	$\pm \infty$
30°	$\frac{1}{2}$	$\frac{\sqrt{3}}{2}$	$\frac{\sqrt{3}}{3}$	$\sqrt{3}$
45°	$\frac{\sqrt{2}}{2}$	$\frac{\sqrt{2}}{2}$	1	1
60°	$\frac{\sqrt{3}}{2}$	$\frac{1}{2}$	$\sqrt{3}$	$\frac{\sqrt{3}}{3}$
90°	1	0	$\pm \infty$	0

Άσκηση 3.6.8  $\Delta \epsilon$ ίξ $\epsilon$  ότι γιά κάθ $\epsilon$  κανονικό πολύγωνο μ $\epsilon$  ν πλ $\epsilon$ υρ $\epsilon$ ς ο λόγος της ακτίνας σ του  $\epsilon$ γγ $\epsilon$ γραμμ $\epsilon$ νου κύκλου του προς την ακτίνα ρ του π $\epsilon$ ριγ $\epsilon$ γραμμ $\epsilon$ νου ισούται μ $\epsilon$ 

$$\frac{\sigma}{\rho} = \sigma \upsilon \upsilon \left(\frac{180}{\upsilon}\right).$$

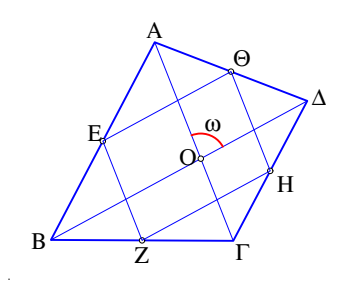


Σχήμα 292: Ακτίνα περιγεγραμμένου και εγγεγραμμένου κύκλου

Άσκηση 3.6.9 Έστω κυρτό τετράπλευρο  $AB\Gamma\Delta$  και  $E,Z,H,\Theta$  τα μέσα των πλευρών του.  $\Delta$ είξε ότι το εμβαδόν του παραλληλογράμμου  $EZH\Theta$  είναι το μισό του τετραπλεύρου και ισούται με

$$\epsilon(EZH\Theta) = \frac{1}{4}|A\Gamma||B\Delta|\, \mathrm{hm}(\omega),$$

όπου ω είναι η γωνία των διαγωνίων του τετραπλεύρου.



Σχήμα 293: Εμβαδόν τετραπλεύρου

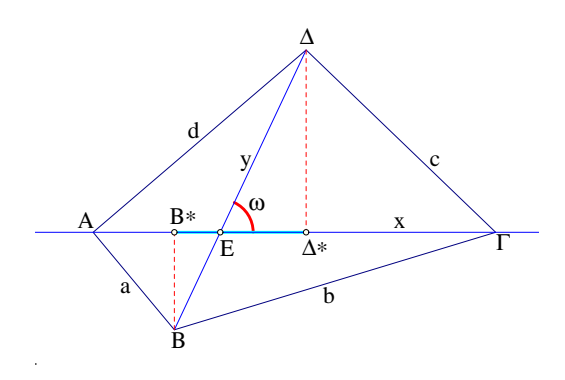
Άσκηση 3.6.10 Έστω κυρτό τετράπλευρο  $AB\Gamma\Delta$  εγγεγραμμένο σε κύκλο ακτίνας ρ.  $\Delta\epsilon$ ίξε ότι το εμβαδόν του ισούται με

$$\epsilon(AB\Gamma\Delta) = 2\rho^2 \operatorname{hm}(\widehat{A}) \operatorname{hm}(\widehat{B}) \operatorname{hm}(\omega),$$

όπου ω είναι η γωνία των διαγωνίων του τετραπλεύρου.

'Ασκηση 3.6.11 Έστω κυρτό τετράπλευρο  $AB\Gamma\Delta$  με μήκη διαδοχικών πλευρών  $a=|AB|,\,b=|B\Gamma|,\,c=|\Gamma\Delta|,\,d=|\Delta A|$  και μήκη διαγωνίων  $x=|A\Gamma|,\,y=|B\Delta|.$  Δείξε ότι

$$\epsilon(AB\Gamma\Delta) = \frac{1}{4}\sqrt{4x^2y^2 - (a^2 + c^2 - b^2 - d^2)^2}.$$



Σχήμα 294: Εμβαδόν τετραπλεύρου ΙΙ

Υπόδειξη: Αν ω είναι το μέτρο της γωνίας των διαγωνίων του τετραπλεύρου, τότε, κατά την Άσκηση 3.6.9, το εμβαδόν  $\epsilon=\epsilon(AB\Gamma\Delta)$  ισούται με

$$\epsilon^{2} = \frac{1}{4}x^{2}y^{2} \operatorname{hm}(\omega)^{2} = \frac{1}{4}x^{2}y^{2}(1 - \operatorname{sun}(\omega)^{2})$$
$$= \frac{1}{4}(x^{2}y^{2} - (xy\operatorname{sun}(\omega))^{2}.$$

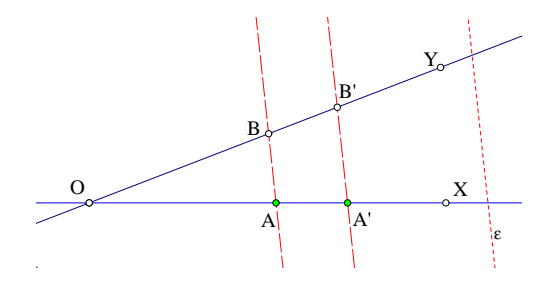
Όμως, κατά την Άσκηση 3.4.10 το τελευταίο γινόμενο ισούται με

$$xy \operatorname{sun}(\omega) = |A\Gamma| |B^* \Delta^*| = \frac{1}{2} |a^2 + c^2 - b^2 - d^2|,$$

όπου  $B^*$  και  $\Delta^*$  οι προβολές των B και  $\Delta$  αντίστοιχα επί της  $A\Gamma.$  Ο τύπος προκύπτει αντικαθιστώντας τον τελευταίο στον προηγούμενό του.

### 3.7 Το θεώρημα του Θαλή

Το θεώρημα του Θαλή (624-547 π.Χ.) εξετάζει την σχέση των μηκών ευθυγράμμων τμημάτων ΟΑ και ΟΒ που ορίζονται στις πλευρές μιάς γωνίας ΧΟΥ από μία ευθεία που μετακινήται παραμένοντας παράλληλη προς μία σταθερή ευθεία ε. Το θεώρημα λέει ότι υπάρχει μιά στα-



Σχήμα 295:  $|OB| = \kappa \cdot |OA|$ 

θερά κ έτσι ώστε  $|OB|=\kappa\cdot |OA|$  γιά κάθε θέση του A επί της OX.

Θεώρημα 3.7.1 Δίδεται γωνία XOY και ευθεία ε τέμνουσα και τις δύο πλευρές της γωνίας. Από τα σημεία A της OX φέρουμε παράλληλο προς την ε τέμνουσα την OY στο B. Τότε ο λόγος

$$\kappa = \frac{|OB|}{|OA|}$$

είναι σταθερός και ανεξάρτητος της θέσης του A επί της OX. Aντίστροφα, αν γιά δύο σημεία A, A' της OX και δύο σημεία B,B' της OY οι λόγοι

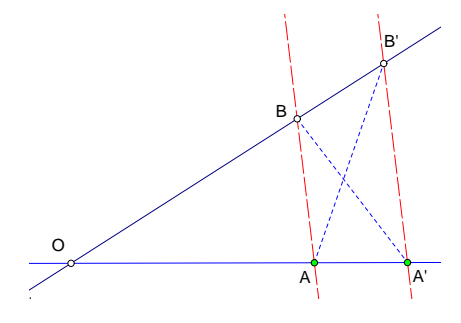
$$\frac{|OB|}{|OA|} = \frac{|OB'|}{|OA'|}$$

είναι ίσοι, τότε οι ΑΒ και ΑΒ΄ είναι παράλληλες.

Aπόδειξη: Γιά τον πρώτο ισχυρισμό αρχεί, γιά μιά δεύτερη ευθεία A'B' παράλληλη της AB, να δείξουμε την ισότητα των λόγων

$$\frac{|OB|}{|OA|} = \frac{|OB'|}{|OA'|} \qquad \Leftrightarrow \qquad \frac{|OA'|}{|OA|} = \frac{|OB'|}{|OB|}.$$

Στην τελευταία ισότητα, οι δύο λόγοι είναι αντίστοιχα ίσοι με τους λόγους των εμβαδών

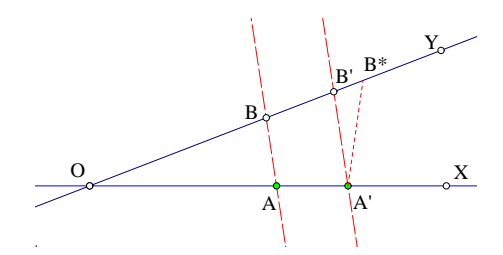


Σχήμα 296: Θαλής, η απόδειξη

(Πόρισμα 3.3.4):

$$\frac{|OA'|}{|OA|} = \frac{\epsilon(OBA')}{\epsilon(OBA)}, \qquad \frac{|OB'|}{|OB|} = \frac{\epsilon(OAB')}{\epsilon(OAB)}$$

Οι λόγοι των εμβαδών τέλος είναι ίσοι, καθώς οι παρανομαστές είναι ίσοι και οι αριθμητές επίσης ίσοι, αφού τα δύο τρίγωνα ΟΑΒ΄ και ΟΒΑ΄ έχουν κοινό μέρος το ΟΑΒ (σχήμα 296) και διαφέρουν κατά τα τρίγωνα ΑΒΑ΄ και ΑΒΒ΄ που έχουν ίσα εμβαδά (Πόρισμα 3.3.4).



Σχήμα 297: Παραλληλία από την  $\frac{|OB|}{|OA|} = \frac{|OB'|}{|OA'|}$ 

Γιά το αντίστροφο χρησιμοποιούμε το αποδειχθέν πρώτο μέρος. Έστω λοιπόν ότι ισχύει  $\frac{|OB|}{|OA|} = \frac{|OB'|}{|OA'|}$  και έστω  $A'B^*$  η παράλληλος από το A' προς την AB. Αρκεί να δείξουμε ότι  $B'=B^*$ . Πράγματι όμως, κατά το πρώτο μέρος, θα ισχύει τότε και η  $\frac{|OB|}{|OA|} = \frac{|OB^*|}{|OA'|}$ , η οποία σε συνδυασμό με την προηγούμενη ισότητα δίδει  $\frac{|OB'|}{|OA'|} = \frac{|OB^*|}{|OA'|}$ , από την οποία προκύπτει  $|OB'| = |OB^*|$  και συνεπώς η ζητούμενη  $B'=B^*$ , ο.ε.δ.

**Πόρισμα 3.7.1**  $M\epsilon$  τις προϋποθέσεις του θεωρήματος, γιά κάθε ευθύγραμμο τμήμα AA' επί της OX το αντίστοιχο τμήμα BB' επί της OY ο λόγος  $\frac{|BB'|}{|AA'|}$  θα είναι σταθερός  $(=\kappa)$  και ανεξάρτητος της θέσης των A, A' επί της OX.

Aπόδειξη: Ας υποθέσουμε ότι το <math>Α είναι μεταξύ των O και A', οπότε (Αξίωμα 1.3.2)

$$|OA'| = |OA| + |AA'|,$$

και λόγω της παραλληλίας των AB και A'B' και το B θα είναι μεταξύ των O και B' συνεπώς θα ισχύει και

$$|OB'| = |OB| + |BB'|.$$

Κατά Θαλή υπάρχει κ έτσι ώστε  $|OB|=\kappa\cdot |OA|$  γιά κάθε A επί της OX και το αντίστοιχό του B επί της OY. Πολλαπλασιάζοντας λοιπόν με κ την πρώτη σχέση έχουμε

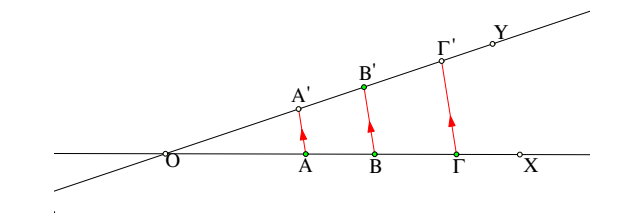
$$\kappa \cdot |OA'| = \kappa \cdot |OA| + \kappa \cdot |AA'|$$

που σημαίνει ότι |OB'| = |OB| + k|AA'| και συγκρίνοντας με την |OB'| = |OB| + |BB'| προκύπτει  $|BB'| = \kappa \cdot |AA'|$ , ο.ε.δ.

**Πόρισμα 3.7.2** Εστω ότι  $A,B,\Gamma$  είναι σημεία της ευθείας OX και  $A',B',\Gamma'$  σημεία της ευθείας OY, έτσι ώστε οι AA', BB' και  $\Gamma\Gamma'$  να είναι παράλληλες ευθείες. Τότε

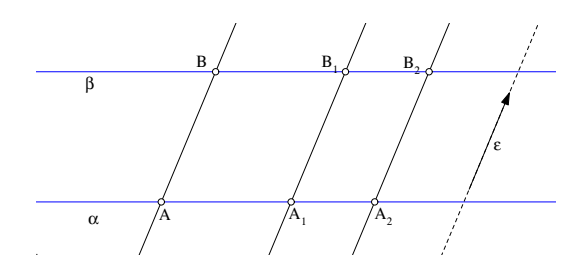
$$\frac{|AB|}{|B\Gamma|} = \frac{|A'B'|}{|B'\Gamma'|}.$$

Kαι αντίστροφα, αν ισχύει αυτή η σχέση, τότε οι AA',BB' και  $\Gamma\Gamma'$  είναι παράλληλες.



Σχήμα 298: Μεταφορά λόγων μέσω παραλλήλων

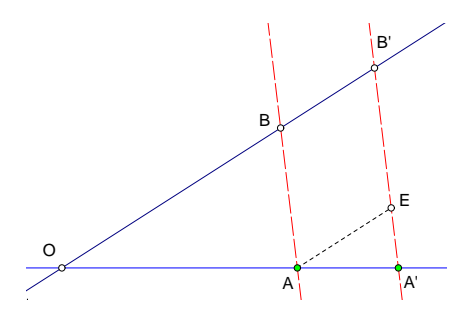
Aπόδειξη: Η σχέση είναι ισοδύναμη με την  $\frac{|AB|}{|A'B'|} = \frac{|B\Gamma|}{|B'\Gamma'|}$  που ισχύει βάσει του προηγουμένου πορίσματος. Το αντίστροφο αποδεικνύεται χρησιμοποιόντας το αποδειχθέν μέρος του πορίσματος, όπως ακριβώς στο αντίστροφο του θεωρήματος του Θαλή, ο.ε.δ.



Σχήμα 299: Θαλής, γενίκευση από παραλληλόγραμμα

 $\Sigma$ χόλιο-1 Η μορφή του θεωρήματος του Θαλή που εκφράζεται με τα δύο πορίσματα γενικεύει την ιδιότητα που προχύπτει όταν δύο παράλληλες ευθείες α και  $\beta$  τέμνονται από άλλες ευθείες παράλληλες προς σταθερά ευθεία ε. Από την ισότητα των απέναντι πλευρών παραλληλογράμμου προχύπτει τότε ότι  $\frac{|BB_1|}{|AA_1|}=1$ . Δηλαδή στην περίπτωση που οι α,  $\beta$  είναι παράλληλες το συμπέρασμα του πορίσματος πάλι ισχύει με σταθερά  $\kappa=1$ . Στην περίπτωση που οι α,  $\beta$  τέμνονται, απλά αλλάζει η τιμή της σταθεράς και έχουμε  $\kappa\neq 1$ .

**Πόρισμα 3.7.3** Δίδεται γωνία XOY και σημεία A, A' επί της OX καθώς και B, B' επί της OY, έτσι ώστε οι AB και A'B' να είναι παράλληλοι. Τότε  $ισχύει \frac{|OA'|}{|OA|} = \frac{|A'B'|}{|AB|}$ .



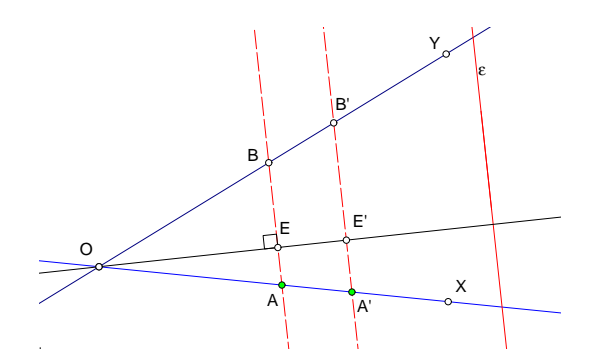
Σχήμα 300: Θαλής, η τρίτη πλευρά

Aπόδειξη: Φέρε την AΕ παράλληλη της OB και τέμνουσα την A'B' στο E. Κατά το Πόρισμα 3.7.1, εφαρμοζόμενο στην γωνία OA'B' και τις δύο παράλληλες AE, BB':

$$\frac{|A'O|}{|A'B'|} = \frac{|AO|}{|EB'|}.$$

'Ομως |AB|=|EB'|, άρα  $\frac{|OA|}{|AB|}=\frac{|OA'|}{|A'B'|}$ , ο.ε.δ.

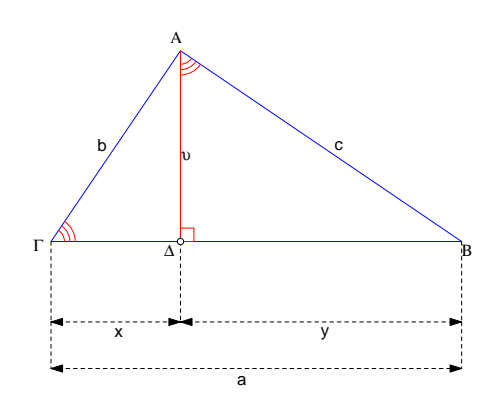
'Ασκηση 3.7.1  $\Delta$ ώσε την απόδειξη του θεωρήματος του Θαλή χρησιμοποιόντας την ομοιότητα δύο ορθογωνίων τριγώνων.



Σχήμα 301: Αναγωγή σε όμοια ορθογώνια

Υπόδειξη: Η άσκηση αναφέρεται στην Πρόταση 3.5.3. Φέρε την κάθετο από το Ο στην ε και όρισε τα ύψη ΟΕ και ΟΕ΄ των τριγώνων ΟΑΒ και ΟΑ΄Β΄. Τα ορθογώνια που σχηματίζονται είναι όμοια: το ΟΑΕ με το ΟΑ΄Ε΄ και το ΟΒΕ με το ΟΒ΄Ε΄. Κατά την αναφερθήσα πρόταση θα έχουν πλευρές ανάλογες:  $\frac{|OA|}{|OB'|} = \frac{|OE|}{|OA'|}, \text{ αναθώς επίσης } \frac{|OB|}{|OB'|} = \frac{|OE|}{|OE'|}, \text{ άρα συνολικά } \frac{|OB|}{|OB'|} = \frac{|OA|}{|OA'|}, \text{ ο.ε.δ.}$ 

Σχόλιο-2 Η απόδειξη που δώσαμε γιά το θεώρημα του Θαλή δεν χρησιμοποιεί το θεώρημα του Πυθαγόρα. Η απόδειξη της άσχησης όμως το χρησιμοποιεί, άρα, μπορεί χανείς να πεί ότι το θεώρημα του Θαλή είναι συνέπεια του θεωρήματος του Πυθαγόρα. Ισχύει χαι το αντίστροφο. Μπορεί χανείς να δείξει ότι το θεώρημα του Πυθαγόρα προχύπτει από το θεώρημα του Θαλή. Πρώτα πρέπει να παρατηρήσει ότι φέρνοντας το ύψος  $A\Delta$  ( $v=|A\Delta|, x=|\Gamma\Delta|, y=|\Delta B|$ ) από την ορθή γωνία του ορθογωνίου τριγώνου προχύπτουν τα ορθογώνια τρίγωνα  $A\Gamma\Delta$  χαι  $A\Delta B$  που έχουν τις ίδιες γωνίες με το αρχιχό τρίγωνο. Τοποθετώντας αυτά τα τρίγωνα έτσι ώστε να συμπέσουν οι ίσες γωνίες τους χαι οι απέναντι πλευρές να είναι παράλληλες προχύπτουν χατά Θαλή οι σχέσεις:



Σχήμα 302: Πυθαγόρας απο Θαλή

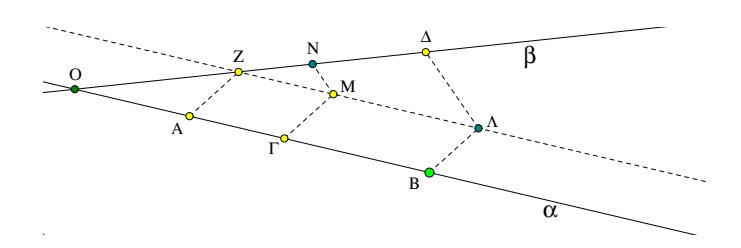
$$\frac{c}{y} = \frac{b}{v} = \frac{a}{c}, \quad \kappa \alpha \iota \quad \frac{v}{x} = \frac{y}{v} \Rightarrow v^2 = xy.$$

Από αυτές προκύπτουν τετραγωνίζοντας οι:

$$c^{2} = \frac{a^{2}}{c^{2}}y^{2}, b^{2} = \frac{a^{2}}{c^{2}}v^{2},$$

$$c^{2} + b^{2} = \frac{a^{2}}{c^{2}}(y^{2} + v^{2}) = \frac{a^{2}}{c^{2}}(y^{2} + xy) = \frac{a^{2}}{c^{2}}y(y + x) = \frac{a^{2}}{c^{2}}y \cdot a = \frac{a^{3}}{c^{2}}y = a^{2}.$$

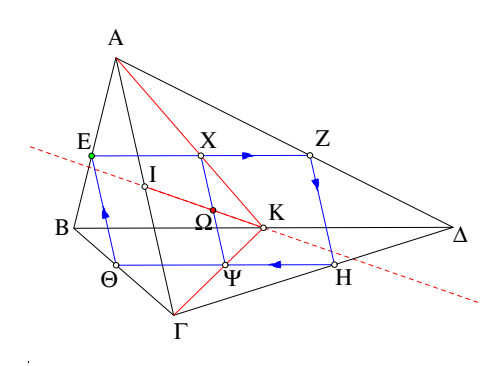
Άσκηση 3.7.2 Συμπλήρωσε όλες τις λεπτομέρειες που παραλήφθηκαν στο προηγούμενο σχόλιο.



Σχήμα 303: Μεταφορά λόγου σε άλλη ευθεία

'Ασκηση 3.7.3 Δίδονται δύο ευθείες α και  $\beta$  τεμνόμενες στο σημείο O. Δίδονται επίσης τρία σημεία  $A,B,\Gamma$  επί της α και δύο σημεία  $Z,\Delta$  επί της  $\beta$ . Να  $\beta \rho$ εθεί σημείο N επί της  $\beta$  έτσι ώστε  $\frac{|\Gamma A|}{|\Gamma B|} = \frac{|NZ|}{|N\Delta|}$ .

Υπόδειξη: Φέρε από το Z παράλληλο της α και από τα  $\Gamma$  και B παράλληλες προς την AZ, τέμνουσες την παράλληλο στα M και  $\Lambda$  αντίστοιχα. Φέρε την  $\Lambda\Delta$  και από το M την παράλληλο προς την  $\Lambda\Delta$ , τέμνουσα την  $\beta$  στο N. Αυτό είναι το ζητούμενο σημείο. Λόγω των παραλλήλων  $\Gamma M$  και  $B\Lambda$ :  $\frac{|\Gamma A|}{|\Gamma B|} = \frac{|MZ|}{|M\Lambda|}$ . Επίσης λόγω των παραλλήλων MN και  $\Lambda\Delta$ :  $\frac{|MZ|}{|M\Lambda|} = \frac{|NZ|}{|N\Delta|}$ .

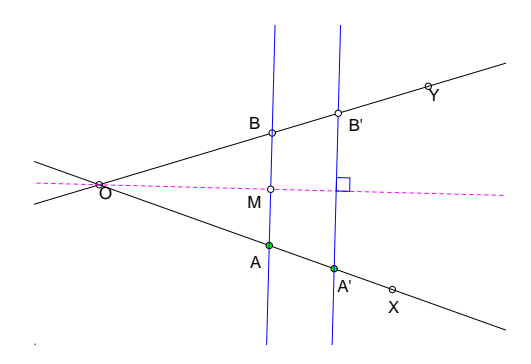


Σχήμα 304: Παραλληλόγραμμα εγγεγραμμένα σε τετράπλευρο

Άσκηση 3.7.4 Aπό τυχόν σημείο E της πλευράς AB κυρτού τετραπλεύρου  $AB\Gamma\Delta$ , που δεν είναι παραλληλόγραμμο, φέρνουμε παράλληλο EZ της διαγωνίου  $B\Delta$ . Aπό το Z φέρνουμε

παράλληλο ZH της διαγωνίου ΑΓ και από το H παράλληλο HΘ της  $B\Delta$ .  $\Delta \epsilon$ ίξε ότι το  $EZH\Theta$  είναι παραλληλόγραμμο.  $\Delta \epsilon$ ίξε επίσης ότι το σημείο τομής  $\Omega$  των διαγωνίων του  $EZH\Theta$  ευρίσκεται επί της ευθείας του Newton του τετραπλεύρου.

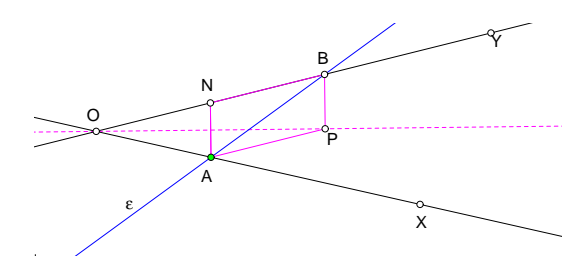
Υπόδειξη: Έστω  $\kappa = \frac{|EA|}{|EB|}$  τότε θα είναι επίσης  $\frac{|AZ|}{|Z\Delta|} = \kappa$  (Πόρισμα 3.7.2). Ανάλογα και  $\frac{|\Gamma H|}{|H\Delta|} = \kappa$  και  $\frac{|\Gamma \Theta|}{|\Theta B|} = \kappa$  και τελικά  $\frac{|EA|}{|EB|} = \frac{|\Theta \Gamma|}{|\Theta B|}$ , που συνεπάγεται ότι οι  $A\Gamma$  και  $\Theta E$  είναι παράλληλες. Το δεύτερο μέρος της άσκησης προκύπτει από το γεγονός ότι το σημείο τομής των διαγωνίων του παραλληλογράμμου  $EZH\Theta$  συμπίπτει με το μέσον του τμήματος  $X\Psi$ , όπου  $X,\Psi$  τα μέσα των EZ καθ  $\Theta H$ . Οι AX και  $\Gamma \Psi$  τέμνονται στο μέσον της  $B\Delta$  και η  $K\Omega$  διέρχεται από το μέσον I της  $A\Gamma$ . Συμπλήρωσε την απόδειξη αυτών των ισχυρισμών και με αυτούς την απόδειξη της άσκησης.



 $\Sigma$ χήμα 305: Θαλής,  $\kappa = 1$ 

Άσκηση 3.7.5  $\Delta$ ίδεται γωνία XOY. Να βρεθεί ευθεία  $\varepsilon$  έτσι ώστε οι παράλληλες προς την  $\varepsilon$  ευθείες να αποτέμνουν επί των πλευρών της γωνίας αντίστοιχα τμήματα AA' και BB', έτσι ώστε  $\frac{|BB'|}{|AA'|} = 1$ .

Άσκηση 3.7.6 Δίδεται γωνία XOY. Να βρεθεί ευθεία ε έτσι ώστε οι παράλληλες προς την ε ευθείες να αποτέμνουν επί των πλευρών της γωνίας αντίστοιχα τμήματα AA' και BB', έτσι ώστε  $\frac{|BB'|}{|AA'|} = 2$ .

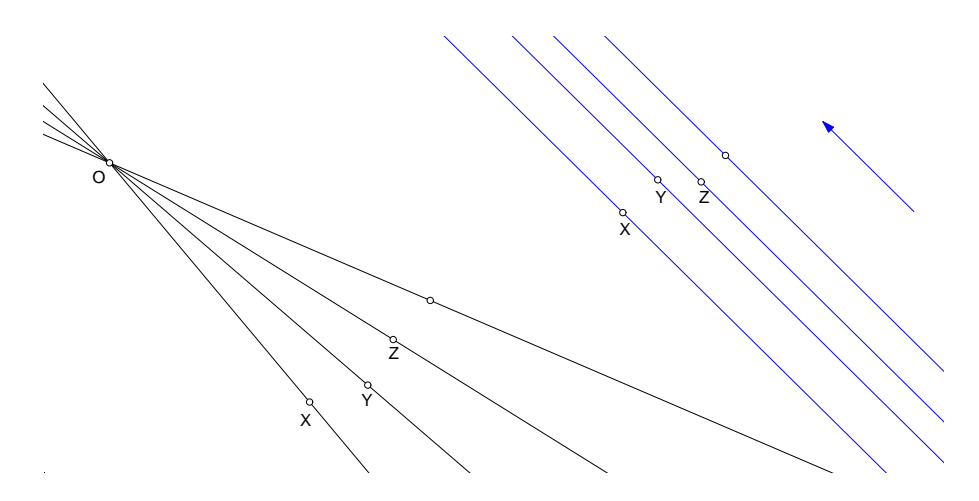


Σχήμα 306: Θαλής, κ = 2

Υπόδειξη: Έστω σημείο A της OX και B επί της OY έτσι ώστε |OB|=2|OA|. H ευθεία AB είναι η ζητουμένη. Mιά γεωμετρική κατασκευή μιάς παράλληλης προς την προηγούμενη ευθεία AB είναι η εξής. Aπό σημείο A της πλευράς OX φέρε παράλληλο προς την άλλη πλευρά που τέμνει την διχοτόμο της XOY στο P. Aπό το P φέρε κάθετο στην διχοτόμο που τέμνει την OY στο B. H ευθεία AB είναι η ζητουμένη (|OB|=2|OA|).

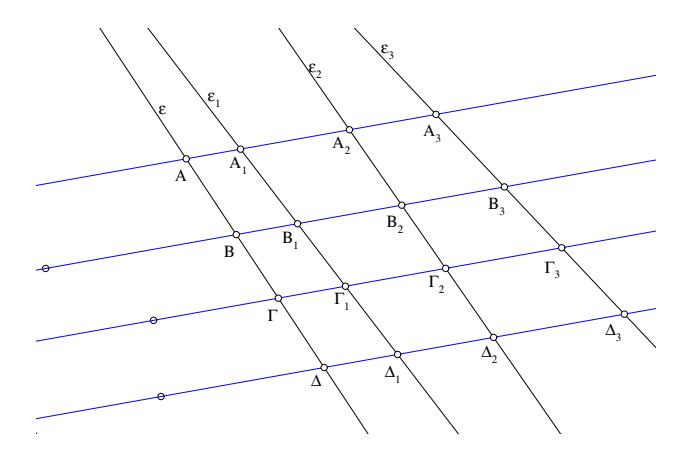
### 3.8 Δέσμες ευθειών

Το θεώρημα του Θαλή συνδέεται με τις λεγόμενες  $\Delta$ έσμες ευθειών . Τούτες αποτελούνται απο όλες τις ευθείες που διέρχονται από ένα σημείο Ο που ονομάζουμε  $\mathbf{K}$ έντρο της δέσμης. Συχνά ονομάζουμε αυτή την δέσμη  $\mathbf{\Sigma}$ ημειαχή . Ονομάζομε επίσης δέσμη παραλλήλων ευθειών όλες τις ευθείες που είναι παράλληλες προς μία συγκεκριμένη ευθεία που ονομάζουμε  $\mathbf{K}$ ατεύθυνση της δέσμης. Συχνά επίσης χρησιμοποιούμε τον όρο δέσμη γιά μερικές από τις ευθείες που διέρχονται από το  $\mathbf{O}$  ή είναι παράλληλες προς δοθείσα ευθεία (και όχι όλες με αυτήν την ιδιότητα).



Σχήμα 307: Δέσμη σημειακή και δέσμη παραλλήλων

Η πρώτη εκδοχή του θεωρήματος μιλά γιά τα τμήματα που ορίζονται πάνω σε οποιεσδήποτε ευθείες που τέμνουν μιά δέσμη παραλλήλων ευθειών.



 $\Sigma$ χήμα 308: Τμήματα που ορίζονται σε τέμνουσες δέσμης παραλλήλων

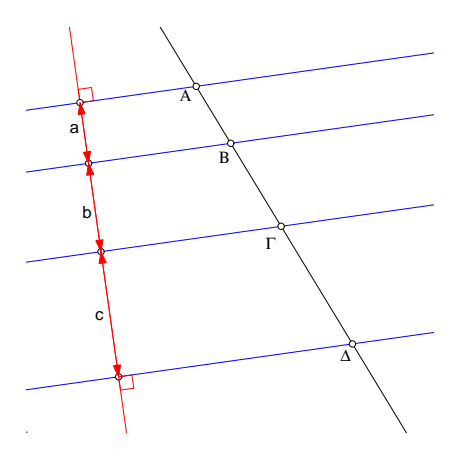
Πρόταση 3.8.1 Μιά δέσμη παραλλήλων ευθειών τέμνουσα ευθείες  $\varepsilon$ ,  $\varepsilon_1$ ,  $\varepsilon_2$ , ..., ορίζει ευθύγραμμα τμήματα επ' αυτών: AB,  $B\Gamma$ ,  $\Gamma\Delta$ , ...,  $A_1B_1$ ,  $B_1\Gamma_1$ ,  $\Gamma_1\Delta_1$ , ..., έτσι ώστε δύο οποιαδήποτε εκ των ευθυγράμμων τμημάτων |AB|,  $|B\Gamma|$ ,  $|\Gamma\Delta|$ , ... να έχουν τον ίδιο λόγο με τα δύο αντίστοιχα εκ των  $|A_1B_1|$ ,  $|B_1\Gamma_1|$ ,  $|\Gamma_1\Delta_1|$ , ....

Απόδειξη: Η απόδειξη της ισότητας των αντιστοίχων λόγων προχύπτει αμέσως από το Πόρισμα <math>3.7.2, σύμφωνα με το οποίο

$$\frac{|A_1B_1|}{|AB|} = \frac{|B_1\Gamma_1|}{|B\Gamma|} = \frac{|\Gamma_1\Delta_1|}{|\Gamma\Delta|}, ...,$$

που είναι μιά σειρά ισοτήτων ισοδυνάμων με τις αναφερόμενες, ο.ε.δ.

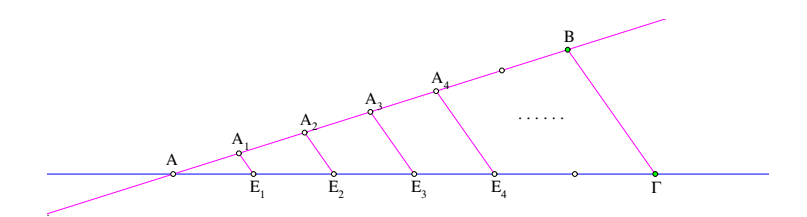
 $\Sigma$ χόλιο-1 Η τελευταία πρόταση επισημαίνει ότι οι λόγοι μεταξύ των τμημάτων  $|AB|, |B\Gamma|, |\Gamma\Delta|, \dots$  είναι ένα χαρακτηριστικό της δέσμης των παραλλήλων και όχι της ειδικής ευθείας που αυτές τέμνουν. Οι λόγοι αυτοί λ.χ. ισούνται με τους λόγους των τμημάτων που ορίζονται επί μιάς καθέτου προς τις παράλληλες ευθείες. Το μήκος των τμημάτων αυτών ορίζει τις αποστάσεις  $a,b,c,\dots$  των παραλλήλων ανά δύο. Οι λόγοι λοιπόν των τμημάτων που αποτέμνονται επί άλλων ευθειών ισούνται με τους αντίστοιχους λόγους των αποστάσεων των παραλλήλων.



Σχήμα 309: Λόγοι αποστάσεων των παραλλήλων

$$\frac{|AB|}{|B\Gamma|} = \frac{a}{b}, \quad \frac{|B\Gamma|}{|\Gamma\Delta|} = \frac{b}{c}, \dots$$

Κατασκευή 3.8.1 Να διαιρεθεί ευθύγραμμο τμήμα ΑΒ σε ν ίσα μέρη.

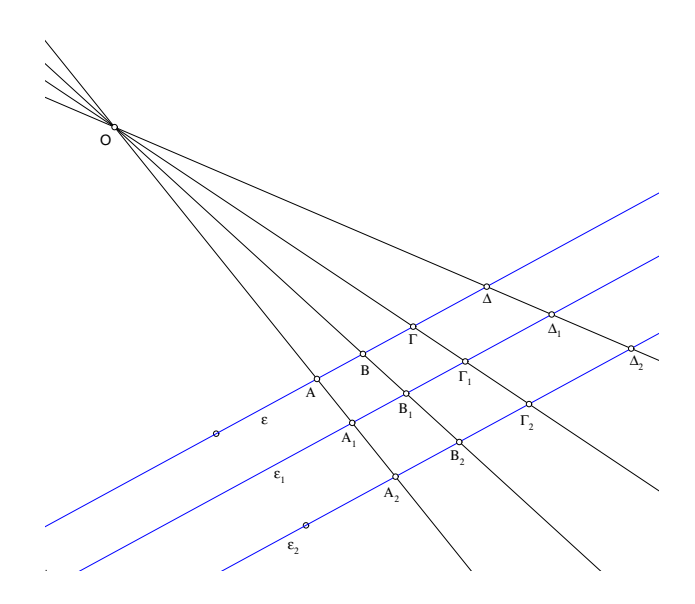


Σχήμα 310: Διαίρεση σε ν ίσα μέρη

Κατασκευή: Στο άκρο A του ευθυγράμμου τμήματος κατασκεύασε αυθαίρετο ευθύγραμμο τμήμα  $AE_1$  και κατόπιν όρισε επί της ευθείας  $AE_1$  τα ισαπέχοντα σημεία  $E_2, E_3, ..., E_{\nu-1}, E_{\nu} = \Gamma$  τα οποία διαιρούν το  $A\Gamma$  σε ν ίσα μέρη. Φέρε την  $\Gamma B$  και κατόπιν παράλληλες προς αυτήν  $E_1A_1, E_2A_2, ...$  που ορίζουν επί της  $B\Gamma$  τα σημεία  $A_1, A_2, ..., A_{\nu} = B$ . Κατά την τελευταία πρόταση οι λόγοι  $\frac{|AA_1|}{|A_1A_2|}, \frac{|A_1A_2|}{|A_2A_3|}, ...$  θα είναι αντίστοιχα ίσοι με τους  $\frac{|AE_1|}{|E_1E_2|}, \frac{|E_1E_2|}{|E_2E_3|}, ...$  που εκ κατασκευής είναι όλοι ίσοι με ένα, ο.ε.κ.

Η δεύτερη εκδοχή του θεωρήματος του Θαλή αφορά τα τμήματα που ορίζονται επί των ευθειών παράλληλης δέσμης καθώς αυτή τέμνεται από τις ευθείες μιάς σημειακής δέσμης.

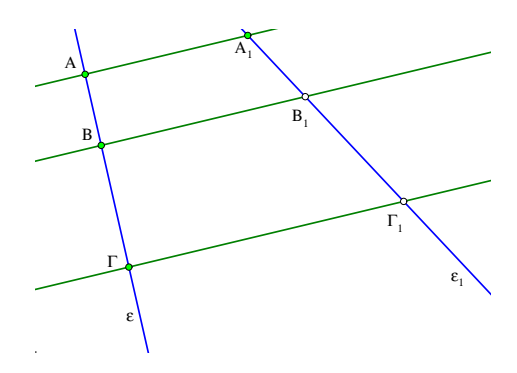
Πρόταση 3.8.2 Μιά σημειακή δέσμη ευθειών τέμνουσα παράλληλες μεταξύ τους ευθείες  $\varepsilon, \varepsilon_1, \varepsilon_2, ...$ , ορίζει ευθύγραμμα τμήματα επ' αυτών:  $AB, B\Gamma, \Gamma\Delta, ..., A_1B_1, B_1\Gamma_1, \Gamma_1\Delta_1, ...$  έτσι ώστε οι λόγοι δύο οιωνδήποτε εκ των  $|AB|, |B\Gamma|, |\Gamma\Delta|, ...$  είναι ίσοι με τους λόγους των αντίστοιχων τμημάτων εκ των  $|A_1B_1|, |B_1\Gamma_1|, |\Gamma_1\Delta_1|, ...$ 



Σχήμα 311: Σημειακή δέσμη προσπίπτουσα επί παραλλήλων

Aπόδειξη: Η απόδειξη προχύπτει άμεσα από το Πόρισμα 3.7.3. Κατ' αυτό οι λόγοι  $\frac{|AB|}{|A_1B_1|}=\frac{|OA|}{|OA_1|}$  και παρόμοια και οι άλλοι λόγοι λ.χ.  $\frac{|B\Gamma|}{|B_1\Gamma_1|}=\frac{|OB|}{|OB_1|}$ . Αλλά, κατά Θαλή ίσοι είναι και οι λόγοι  $\frac{|OA|}{|OA_1|}=\frac{|OB|}{|OB_1|}$ , άρα προχύπτει ότι  $\frac{|AB|}{|A_1B_1|}=\frac{|B\Gamma|}{|B_1\Gamma_1|}$  που ισοδυναμεί με την  $\frac{|AB|}{|B\Gamma|}=\frac{|A_1B_1|}{|B_1\Gamma_1|}$ , που είναι μία από τις ζητούμενες ισότητες λόγων. Οι άλλες αποδεικνύονται με τον ίδιο αχριβώς τρόπο, ο.ε.δ.

Οι δύο τελευταίες προτάσεις έχουν και είδη αντιστρόφων προτάσεων που χρησιμοποιούνται συχνά όταν θέλουμε να αποδείξουμε ότι τρεις ευθείες είναι παράλληλες ή διέρχονται από κοινό σημείο.

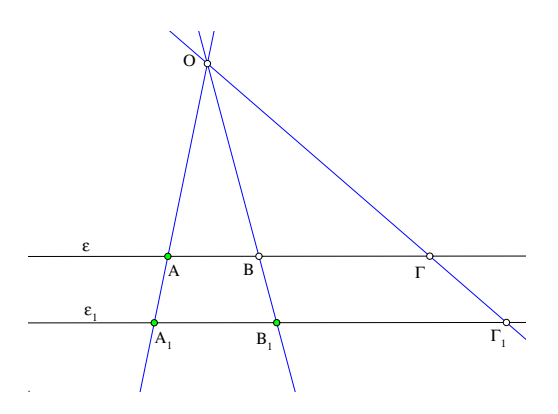


Σχήμα 312: Κριτήριο παραλληλίας τριών ευθειών

Πρόταση 3.8.3 (Κριτήριο παραλληλίας τριών ευθειών) Aν τρεις ευθείες τεμνόμενες από δύο άλλες  $\varepsilon$  και  $\varepsilon_1$  στα σημεία  $A, B, \Gamma$  και  $A_1, B_1, \Gamma_1$  αντίστοιχα, σχηματίζουν λόγους  $\frac{|AB|}{|B\Gamma|} = \frac{|A_1B_1|}{|B_1\Gamma_1|}$  και οι δύο πρώτες ευθείες  $AA_1$  και  $BB_1$  είναι παράλληλες, τότε και η τρίτη ευθεία  $\Gamma\Gamma_1$  είναι παράλληλη προς τις δύο πρώτες.

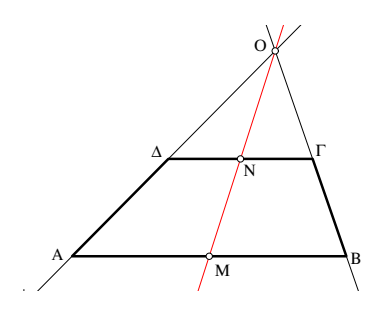
Aπόδειξη: Από το  $\Gamma$  φέρε παράλληλη προς τις  $AA_1$  και  $BB_1$  που τέμνει την  $\epsilon_1$  στο σημείο  $\Gamma^*.$  Κατά Θαλή  $\frac{|AB|}{|B\Gamma|} = \frac{|A_1B_1|}{|B_1\Gamma^*|}.$  Όμως και εξ υποθέσεως  $\frac{|AB|}{|B\Gamma|} = \frac{|A_1B_1|}{|B_1\Gamma_1|},$  άρα  $|B_1\Gamma^*| = |B_1\Gamma_1|,$  που σημαίνει ότι τα  $\Gamma^*$  και  $\Gamma_1$  ταυτίζονται, ο.ε.δ.

Πρόταση 3.8.4 (Κριτήριο διέλευσης από κοινό σημείο) Aν δύο παράλληλες ευθείες ε και  $ε_1$  τεμνόμενες από τρεις άλλες στα σημεία  $A, B, \Gamma$  και  $A_1, B_1, \Gamma_1$  αντίστοιχα, σχηματίζουν λόγους  $\frac{|AB|}{|B\Gamma|} = \frac{|A_1B_1|}{|B_1\Gamma_1|}$  τότε οι τρείς ευθείες ή είναι παράλληλες ή συντρέχουν στο ίδιο σημείο O.



Σχήμα 313: Κριτήριο διέλευσης από κοινό σημείο

 $A\pi\delta\delta\epsilon$ ιξη: Αν δύο από τις ευθείες είναι παράλληλες λ.χ. οι  $AA_1$  και  $BB_1$ , τότε εφαρμόζοντας το προηγούμενο κριτήριο βλέπουμε ότι και η τρίτη ευθεία  $\Gamma\Gamma_1$  θα είναι παράλληλος προς τις δύο άλλες. Έστω λοιπόν ότι οι ευθείες δεν είναι παράλληλες και έστω O το σημείο τομής των δύο πρώτων. Θα δείξουμε ότι και η τρίτη διέρχεται από το ίδιο σημείο. Η απόδειξη είναι η ίδια με την προηγούμενη. Φέρνουμε την  $O\Gamma$  και θεωρούμε το σημείο τομής  $\Gamma^*$  αυτής της ευθείας με την  $\epsilon_1$ . Κατά την Πρόταση 3.8.2 οι λόγοι  $\frac{|AB|}{|B\Gamma|} = \frac{|A_1B_1|}{|B_1\Gamma^*|}$ . Όμως και εξ υποθέσεως  $\frac{|AB|}{|B\Gamma|} = \frac{|A_1B_1|}{|B_1\Gamma_1|}$ , άρα  $|B_1\Gamma^*| = |B_1\Gamma_1|$ , που σημαίνει ότι τα  $\Gamma^*$  και  $\Gamma_1$  ταυτίζονται, ο.ε.δ.

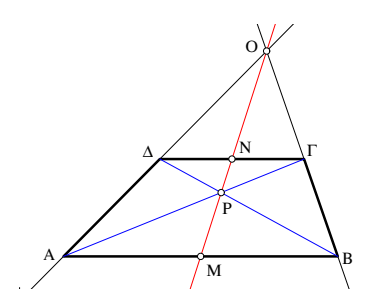


Σχήμα 314: Ιδιότητα τραπεζίου

'Ασκηση 3.8.1  $\Delta \epsilon$ ίξε ότι η ευθεία MN που ενώνει τα μέσα των παραλλήλων πλευρών τραπεζίου  $AB\Gamma\Delta$  διέρχεται από το σημείο τομής Ο των μη-παραλλήλων πλευρών του.

Υπόδειξη: Εφάρμοσε το τελευταίο χριτήριο γιά τους λόγους  $\frac{|\Delta N|}{|N\Gamma|} = \frac{|AM|}{|MB|} = 1.$ 

'Ασκηση 3.8.2  $\Delta \epsilon$ ίξε ότι η ευθεία MN που ενώνει τα μέσα των παραλλήλων πλευρών τραπεζίου  $AB\Gamma\Delta$  διέρχεται από το σημείο τομής P των διαγωνίων του.



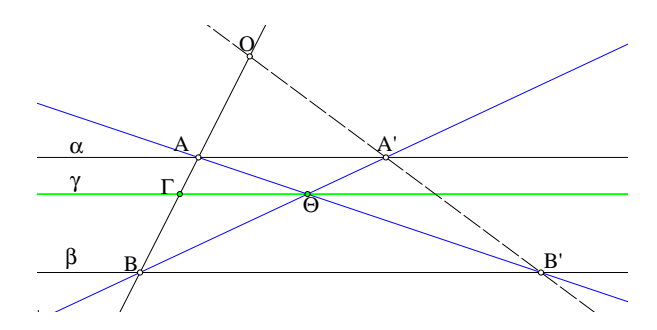
Σχήμα 315: Ιδιότητα διαγωνίων του τραπεζίου

 $\Upsilon$ πόδειξη: Σχεδόν η ίδια με την προηγούμενη: Εφάρμοσε το τελευταίο κριτήριο γιά τους λόγους  $\frac{|\Delta N|}{|N\Gamma|} = \frac{|BM|}{|MA|} = 1$ . Ποιά είναι η λεπτή διαφορά από την προηγούμενη;

Άσκηση 3.8.3  $\Delta \epsilon$ ίξε στο προηγούμενο σχήμα (315) ότι οι λόγοι  $\frac{|PN|}{|PM|}$  και  $\frac{|ON|}{|OM|}$  είναι ίσοι, άρα τα (M,N,O,P) αποτελούν αρμονική τετράδα.

Υπόδειξη: Κατά το Πόρισμα 3.7:  $\frac{|PN|}{|PM|} = \frac{|N\Delta|}{|MB|}$ , καθώς και  $\frac{|ON|}{|OM|} = \frac{|N\Delta|}{|MA|}$ . Όμως από τις προηγούμενες ασκήσεις έπεται ότι |MA| = |MB|.

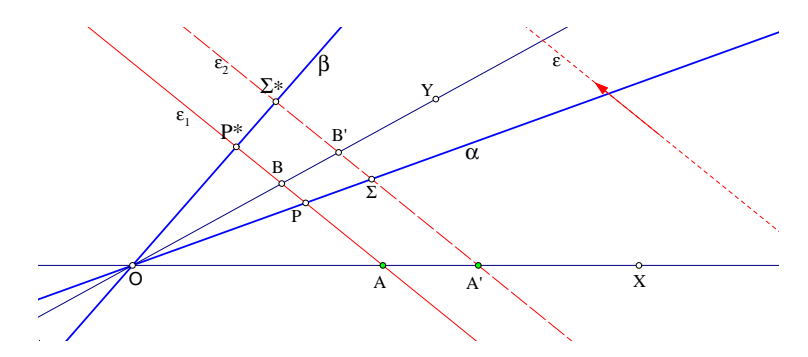
Άσκηση 3.8.4 Δίδονται δύο σημεία A και B αντίστοιχα επί των παραλλήλων ευθειών α και  $\beta$ . Έστω ότι A',B' είναι μεταβλητά σημεία αντίστοιχα επί των α και  $\beta$ . Δείξε ότι η ευθεία A'B' διέρχεται από σταθερό σημείο O της AB τότε και μόνον, όταν το σημείο τομής  $\Theta$  των AB' και A'B περιέχεται σε ευθεία  $\gamma$  παράλληλη των  $\alpha$ , $\beta$  και διερχόμενη από το αρμονικό συζυγές του O ως προς τα A,B.



Σχήμα 316: Κριτήριο διέλευσης από σημείο Ο

Υπόδειξη: Εφαρμογή της προηγούμενης άσκησης.

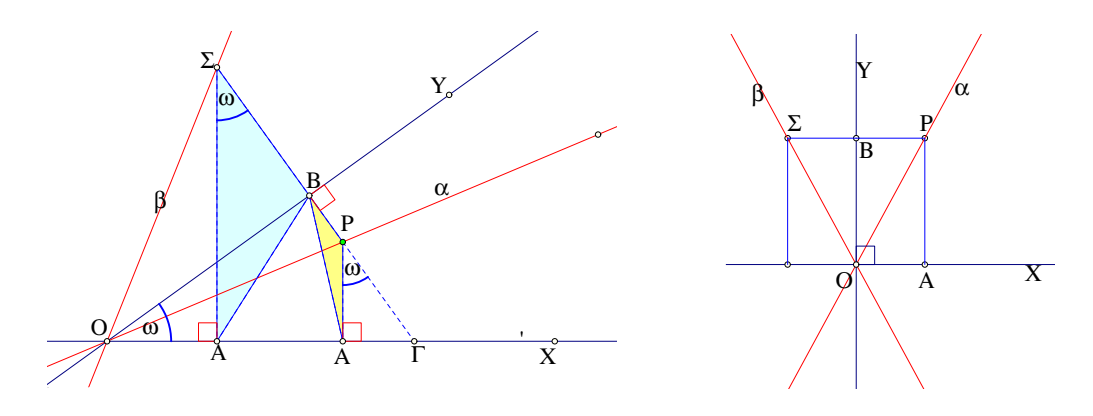
Πρόταση 3.8.5 Δοθείσης γωνίας XOY, ευθείας  $\varepsilon$  και θετικού αριθμού  $\kappa$ , υπάρχουν δύο ακριβώς ευθείες α και  $\beta$ , έτσι ώστε γιά κάθε σημείο P αυτών των ευθειών ο λόγος  $\frac{|PA|}{|PB|} = \kappa$ , όπου A και B τα σημεία τομής της παράλληλης της  $\varepsilon$  από το P με τις ευθείες OX και OY.



Σχήμα 317: Τόπος σταθερών λόγων  $\frac{|PA|}{|PB|} = \kappa$ 

Απόδειξη: Έστω μία παράλληλος  $\varepsilon_1$  της  $\varepsilon$  που τέμνει τις OX, OY στα A,B αντιστοίχως. Κατά το Πόρισμα 1.17.3 υπάρχουν δύο αχριβώς σημεία P και P\* επί της  $\varepsilon_1$  με την ιδιότητα  $\frac{|PA|}{|PB|} = \frac{|P^*A|}{|P^*B|} = \kappa$ . Οι ευθείες α=OP και β=OP\* είναι οι ζητούμενες. Πράγματι, κατά την Πρόταση 3.8.2 και κάθε άλλη παράλληλος  $\varepsilon_2$  της  $\varepsilon$  θα τέμνει τις τέσσερις ευθείες OX, OY, α και β σε σημεία A',B',  $\Sigma$ ,  $\Sigma^*$  με την ίδια ιδιότητα  $\frac{|\Sigma^A'|}{|\Sigma^B'|} = \frac{|\Sigma^*A'|}{|\Sigma^*B'|} = \kappa$ . Και αντίστροφα, αν σε μιά παράλληλο  $\varepsilon_2$  τα σημεία A',B',  $\Sigma$ ,  $\Sigma^*$  ορίζουν λόγους έτσι ώστε να ισχύει η προηγούμενη σχέση, τότε κατά την Πρόταση 3.8.4, οι OP και OΣ θα συμπίπτουν και παρόμοια οι OP\* και OΣ\* θα συμπίπτουν, (τις α και β θα ονομάσουμε αργότερα (Παράγραφος 5.13) Αρμονικές συζυγείς ως προς τις OX, OY) ο.ε.δ.

**Πρόταση 3.8.6** Γιά κάθε γωνία XOY και θετικό αριθμό κ, υπάρχουν δύο ακριβώς ευθείες  $a, \beta$  των οποίων τα σημεία P έχουν λόγο αποστάσεων από τις πλευρές της γωνίας ίσο με κ:  $\frac{|PA|}{|PB|} = \kappa.$ 



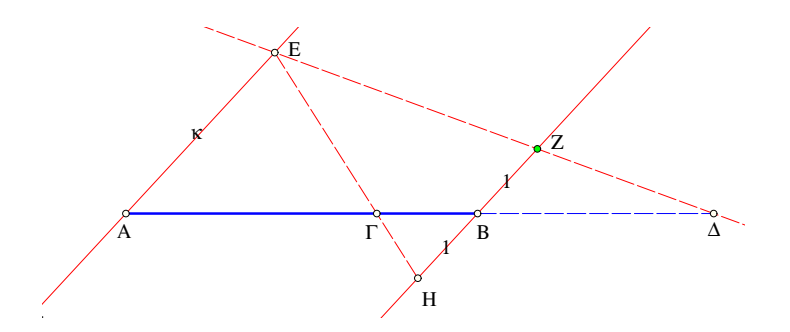
Σχήμα 318: Χαρακτηρισμός ευθείας διά του Ο

Απόδειξη: Υπόθεσε κατ' αρχήν ότι η γωνία XOY δεν είναι ορθή και θεώρησε σημείο P με αυτήν την ιδιότητα και προέκτεινε την PB έως ότου τμήσει την ΟΧ στο Γ. Ισχύει  $|P\Gamma|=|PA|/$  συν $(\omega)$ , όπου  $\omega=|XOY|$ . Συνεπώς, αν  $\frac{|PA|}{|PB|}=\kappa$ , τότε και ο λόγος  $\kappa'=\frac{|P\Gamma|}{|PB|}=\kappa$ / συν $(\omega)$  θα είναι σταθερός. Επομένως η πρόταση είναι συνέπεια της Πρότασης 3.8.5, αφού οι ευθείες PB είναι κάθετες στην ΟΥ και ο λόγος κ΄ σταθερός. Στην περίπτωση που η γωνία XOY είναι ορθή η απόδειξη είναι ευκολώτερη και οδηγεί σε δύο ευθείες α και β που έχουν τις πλευρές της XOY ως διχοτόμους της γωνίας τους, ο.ε.δ.

'Ασκηση 3.8.5 Aπόδειξε την προηγούμενη πρόταση στην περίπτωση που η XOY είναι ορθή.

Υπόδειξη: Τα ορθογώνια τρίγωνα OAP είναι όμοια μεταξύ τους με σταθερό λόγο καθέτων  $|PA|/|AO|=\kappa$ .

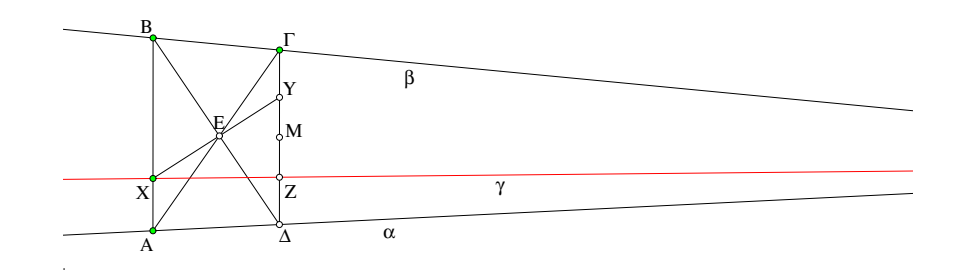
'Ασκηση 3.8.6 Να ορισθεί σημείο  $\Gamma$  επί του ευθυγράμμου τμήματος AB έτσι ώστε ο λόγος  $\frac{|\Gamma A|}{|\Gamma B|} = \kappa$ , όπου  $\kappa$  δοθείς θετικός αριθμός. Να ορισθεί επίσης σημείο  $\Delta$  επί της προεκτάσεως του AB έτσι ώστε ο λόγος  $\frac{|\Delta A|}{|\Delta B|} = \kappa$ .



Σχήμα 319: Διαίρεση ευθυγράμμου τμήματος σε λόγο κ

 $\Upsilon$ πόδειξη: Από τα άχρα του ευθυγράμμου τμήματος φέρε δύο παράλληλες ευθείες χαι πάρε στην διερχόμενη διά του A ευθύγραμμο τμήμα AE μήχους x, ενώ στην άλλη παράλληλο, την διερχόμενη διά του B, πάρε τμήματα μήχους 1: BZ ομόρροπο χαι BH αντίρροπο του AE. H τομή της EH με το AB ορίζει το  $\Gamma$  χαι η τομή της EZ με την προέχταση της AB ορίζει το  $\Delta$ .

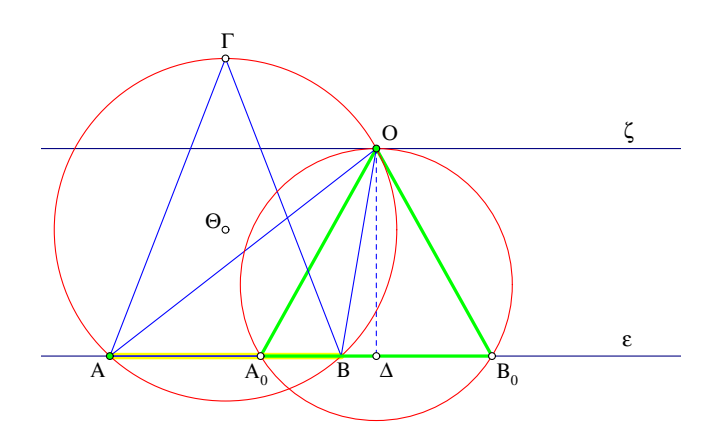
'Ασκηση 3.8.7 Δίδονται δύο ευθείες α και  $\beta$  που τέμνονται εκτός του φύλλου σχεδιασμού και σημείο X. Να  $\beta$ ρεθεί τρίτη ευθεία  $\gamma$  διά του X, η οποία να διέρχεται από το σημείο τομής των α και  $\beta$ .



Σχήμα 320: Προς το σημείο τομής των α και β

 $\Upsilon$ πόδειξη: Φέρε από το X μιά αυθαίρετη ευθεία τέμνουσα τις α και β αντίστοιχα στα A και B. Φέρε και μία παράλληλο  $\Delta\Gamma$  προς την AB και βρες το σημείο τομής Ε των διαγωνίων του τραπεζίου ABΓΔ. Έστω Y το σημείο τομής της EX με την ΓΔ. Κατά την Πρόταση 3.8.2  $\frac{|AX|}{|XB|} = \frac{|\Gamma Y|}{|Y\Delta|}.$  Πάρε το Z συμμετρικό του Y ως προς το μέσον M του ΓΔ (|YM| = |MZ|). Τότε θα είναι  $\frac{|AX|}{|XB|} = \frac{|\Delta Z|}{|Z\Gamma|}$  και συνεπώς η XZ θα διέρχεται από το σημείο τομής των α και β (Πρόταση 3.8.4).

'Ασκηση 3.8.8 Ευθύγραμμο τμήμα σταθερού μήκους AB γλιστρά στην ευθεία  $\varepsilon$ . Aπό σημείο O εκτός της  $\varepsilon$  σχηματίζουμε την γωνία AOB. Να βρεθεί η θέση του AB γιά την οποία η γωνία AOB γίνεται μέγιστη.



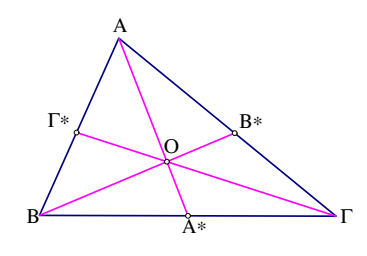
Σχήμα 321: Σχηματισμός μέγιστης γωνίας AOB γιά |AB| σταθερό

Υπόδειξη: Θεώρησε τον περιγεγραμμένο χύχλο του τριγώνου AOB και το ισοσελές ABΓ εγγεγραμμένο σε αυτόν τον χύχλο. Γιά κάθε θέση του AB προχύπτει ένα τέτοιο ισοσκελές και η βάση όλων αυτών των ισοσκελών έχει τό ίδιο μήχος |AB| ενώ η γωνία της χορυφής τους είναι ίση με την γωνία AOB. Κατά την Άσχηση 1.10.3 η μεγαλύτερη γωνία κορυφής θα αντιστοιχεί στο μικρότερο ύψος του ισοσκελούς που πάντοτε είναι μεγαλύτερο της απόστασης ΟΔ του Ο από την ε. Άρα η θέση του AB γιά την οποία η AOB γίνεται μέγιστη είναι η  $A_0B_0$  γιά την οποία το μέσον του τμήματος  $\Delta$  συμπίπτει με την προβολή του Ο επί της ε. Σημείωσε ότι ο περιγεγραμμένος χύχλος του  $A_0OB_0$  εφάπτεται της παραλλήλου της ε στο Ο.

'Ασκηση 3.8.9  $\Delta \epsilon$ ίξε ότι γιά κάθε εσωτερικό του τριγώνου  $AB\Gamma$  σημείο O ισχύει

$$\frac{|OA^*|}{|AA^*|} + \frac{|OB^*|}{|AB^*|} + \frac{|O\Gamma^*|}{|A\Gamma^*|} = 1,$$

όπου  $A^*,B^*,\Gamma^*$  τα σημεία τομής αντίστοιχα των OA,OB,OA με τις απέναντι πλευρές.

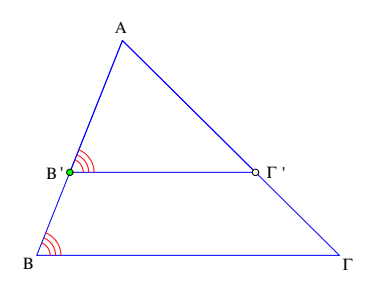


Σχήμα 322: Αναγκαία συνθήκη διέλευσης από σημείο

'Ασκηση 3.8.10 Na κατασκευασθεί τρίγωνο του οποίου δίδεται η θέση των τριών ιχνών των υψών του.

## 3.9 Όμοια τρίγωνα

Την έννοια των **Ομοίων** τριγώνων συναντήσαμε ήδη (γιά ορθογώνια τρίγωνα) στην Παράγραφο 3.5. Πρόκειται γιά τρίγωνα που έχουν αντίστοιχες γωνίες ίσες. Η ύπαρξη ομοίων και μη ίσων τριγώνων είναι χαρακτηριστική της Ευκλείδειας γεωμετρίας και αποδεικνύεται ισοδύναμη με το αξίωμα παραλληλίας. Η επόμενη πρόταση δείχνει μιά ικανή και αναγκαία συνθήκη γιά να είναι δύο τρίγωνα όμοια.



Σχήμα 323: Τοποθέτηση ομοίων τριγώνων

Πρόταση 3.9.1 Δύο τρίγωνα είναι όμοια τότε και μόνον, όταν μπορούν να τοποθετηθούν έτσι ώστε δύο αντίστοιχες γωνίες τους να συμπίπτουν και οι απέναντι σε αυτές πλευρές να είναι παράλληλες ή να ταυτίζονται.

Aπόδειξη: Έστω πρώτα ότι τα δύο τρίγωνα  $AB\Gamma$  και  $A'B'\Gamma'$  μπορούν να τοποθετηθούν έτσι ώστε οι ίσες γωνίες τους στα A και A' να συμπέσουν και οι πλευρές τους AB και A'B' επίσης να συμπέσουν, τα δε  $\Gamma$  και  $\Gamma'$  να είναι προς την ίδια μεριά της AB. Τότε η ισότητα των γωνιών στα B και B' συνεπάγεται ότι είτε τα B και B' ταυτίζονται, οπότε τα δύο τρίγωνα είναι ίσα ( $\Gamma\Pi\Gamma$ -κριτήριο) και συνεπώς οι  $B\Gamma$  και  $B'\Gamma'$  ταυτίζονται, είτε ότι οι  $B\Gamma$  και  $B'\Gamma'$  είναι παράλληλοι.

Αντίστροφα αν τα δύο τρίγωνα είναι όμοια τότε τοποθετούμενα κατά τον τρόπο που περιγράφεται παραπάνω ή θα έχουν ταυτιζόμενες τις  $B\Gamma$  και  $B'\Gamma'$  ή αυτές θα είναι παράλληλες λόγω των ίσων γωνιών που σχηματίζουν με την AB, ο.ε.δ.

Πρόταση 3.9.2 Δύο τρίγωνα είναι όμοια τότε και μόνον, όταν οι απέναντι αντιστοίχων ίσων γωνίων πλευρές τους είναι ανάλογες.

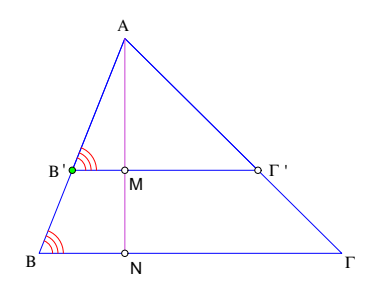
Aπόδειξη: Και αυτή η πρόταση είναι γενίκευση της ανάλογης που είδαμε (Πρόταση 3.5.3) γιά ορθογώνια τρίγωνα. Αν τα τρίγωνα είναι όμοια, τότε τα τοποθετούμε όπως στην προηγούμενη πρόταση. Εφαρμόζοντας κατόπιν το Θεώρημα 3.7.1 και την Πρόταση 3.7.3 ευρίσκουμε ότι οι πλευρές είναι ανάλογες, δηλαδή ικανοποιούν την σχέση:

$$\frac{|A'B'|}{|AB|} = \frac{|B'\Gamma'|}{|B\Gamma|} = \frac{|\Gamma'A'|}{|\Gamma A|}.$$

Έστω τώρα ότι ισχύουν οι προηγούμενες σχέσεις και ο κοινός λόγος των κλασμάτων είναι κ. Επί της πλευράς AB και προς το μέρος του B παίρνουμε σημείο  $B^*$  έτσι ώστε  $|AB^*|=\kappa\cdot|AB|$ . Επί της πλευράς  $A\Gamma$  και προς το μέρος του  $\Gamma$  παίρνουμε σημείο  $\Gamma^*$  έτσι ώστε  $|A\Gamma^*|=\kappa\cdot|A\Gamma|$ . Προκύπτει το τρίγωνο  $AB^*\Gamma^*$ , του οποίου η τρίτη πλευρά  $B^*\Gamma^*$  είναι παράλληλη προς την  $B\Gamma$  (Θεώρημα 3.7.1) και ικανοποιεί  $|B^*\Gamma^*|=\kappa\cdot|B\Gamma|$  λόγω της Πρότασης

3.5.3. Τα τρίγωνα  $AB\Gamma$  και  $AB^*\Gamma^*$  έχουν τις ίδιες γωνίες και το δεύτερο είναι ίσο με το  $A'B'\Gamma'$  κατά το  $\Pi\Pi\Pi$ -κριτήριο αφού τα δύο τρίγωνα έχουν ίσες πλευρές, ο.ε.δ.

'Ασκηση 3.9.1  $\Delta$ ώσε απόδειξη της προηγούμενης πρότασης χρησιμοποιώντας την ομοιότητα ορθογωνίων τριγώνων.

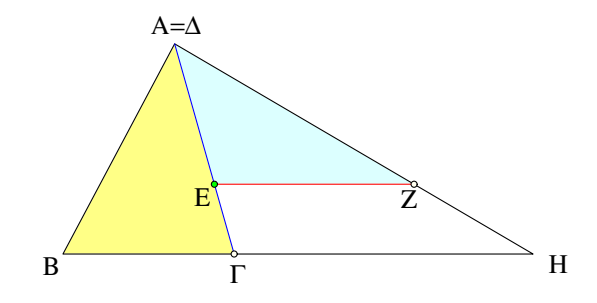


Σχήμα 324: Αναγωγή ομοιότητας στα ορθογώνια

 $\Upsilon$ πόδειξη: Η άσχηση αναφέρεται στην Πρόταση 3.5.3. Αν τα τρίγωνα  $AB\Gamma$  και  $A'B'\Gamma'$  είναι όμοια τότε όμοια είναι και τα ζεύγη ορθογωνίων τριγώνων (ABN, AB'M) και ( $AN\Gamma$ ,  $AM\Gamma'$ ) που δημιουργούνται φέρνοντας τα ύψη από τις χορυφές A και A'. Από την ομοιότητα των ορθογωνίων τριγώνων προχύπτει η αναλογία των πλευρών τους και από αυτήν η αναλογία των πλευρών των αρχιχών τριγώνων. Το αντίστροφο, δηλαδή ότι όταν οι πλευρές είναι ανάλογες τα τρίγωνα είναι όμοια αποδειχνύεται με τον τρόπο της προηγουμένης πρότασης. Χρειάζεται πρώτα να δείξουμε ότι και τα ύψη των τριγώνων είναι ανάλογα προς τις πλευρές.

Πρόταση  $3.9.3~(Περίπτωση "σχεδόν" ομοιότητας) Δύο τρίγωνα <math>AB\Gamma$  και  $\Delta EZ$  που έχουν τις γωνίες στα A και  $\Delta$  ίσες και στα  $\Gamma$  και E παραπληρωματικές ικανοποιούν

$$\frac{|B\Gamma|}{|EZ|} = \frac{|AB|}{|\Delta Z|}.$$



Σχήμα 325: Περίπτωση "σχεδόν" ομοιότητας

Aπόδειξη: Τοποθέτησε τα δύο τρίγωνα έτσι ώστε οι κορυφές A και  $\Delta$ , με τις ίσες γωνίες, καθώς επίσης και οι πλευρές  $A\Gamma$  και  $\Delta E$ , οι προσκείμενες στις παραπληρωματικές, να συμπέσουν. Προεκτείνοντας την  $B\Gamma$  δημιουργείται το τρίγωνο ABH, στο οποίο η  $A\Gamma$  είναι διχοτόμος. Τότε (Πόρισμα 3.3.7) ισχύει

$$\frac{|B\Gamma|}{|\Gamma H|} = \frac{|AB|}{|AH|}.$$

Από τα όμοια τρίγωνα ΑΕΖ και ΑΓΗ έχουμε επίσης

$$\frac{|\Gamma H|}{|AH|} = \frac{|EZ|}{|\Delta Z|}.$$

Από τις δύο σχέσεις συνάγεται η ζητούμενη, ο.ε.δ.

Άσκηση 3.9.2  $\Delta \epsilon$ ίξε ότι η σχέση ομοιότητας μεταξύ δύο τριγώνων είναι μεταβατική.  $\Delta$ ηλαδή αν το  $AB\Gamma$  είναι όμοιο του  $AB\Gamma$  και αυτό όμοιο του  $A*B*\Gamma*$ , τότε και το  $AB\Gamma$  είναι όμοιο του  $A*B*\Gamma*$ .

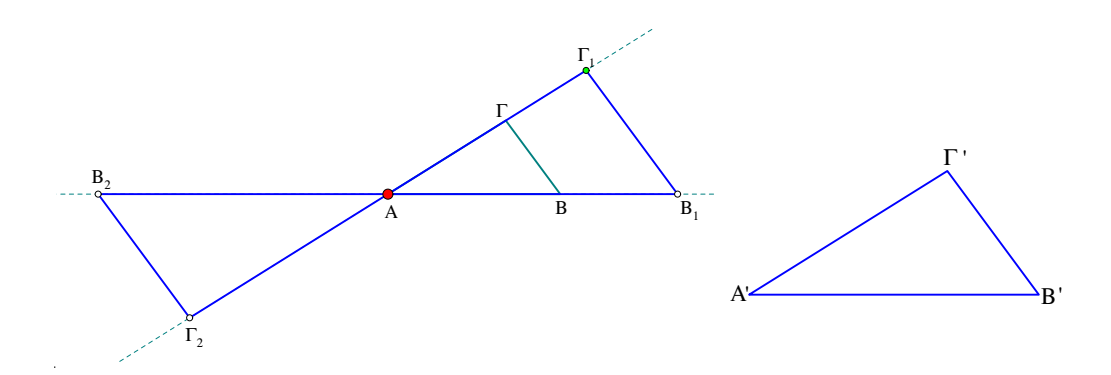
Πρόταση 3.9.4 Δύο όμοια τρίγωνα έχουν αντίστοιχα ύψη ανάλογα και τα εμβαδά τους έχουν λόγο το τετράγωνο του λόγου των πλευρών τους.

Aπόδειξη: Αναφερόμενοι στην Πρόταση 3.9.1 και το σχήμα της, κατά το θεώρημα του Θαλή και ο λόγος των υψών  $\frac{|AM|}{|AN|} = \frac{|AB'|}{|AB|} = \kappa$ , επομένως τα αντίστοιχα εμβαδά θα είναι

$$\epsilon(AB'\Gamma') = \frac{1}{2}|B'\Gamma'||AM| = \frac{1}{2}(\kappa|B\Gamma|)(\kappa|AN|) = \kappa^2\frac{1}{2}|B\Gamma||AN| = \kappa^2\epsilon(AB\Gamma),$$

 $0.\epsilon.\delta$ .

**Πρόταση 3.9.5**  $\Delta$ ύο τρίγωνα  $AB\Gamma$  και  $AB\Gamma'$  που έχουν αντίστοιχες πλευρές τους παράλληλες είναι όμοια.

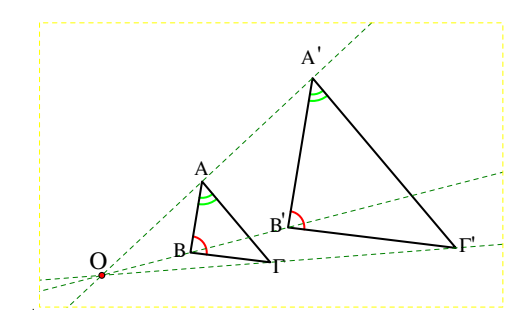


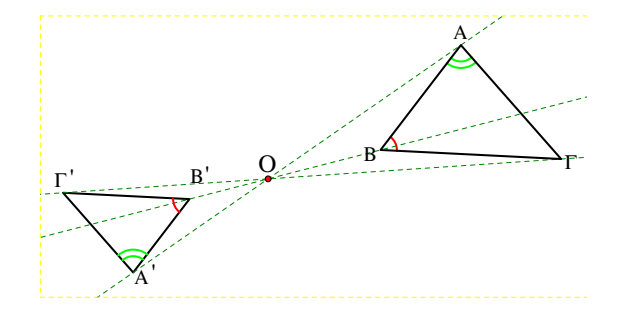
Σχήμα 326: Τρίγωνα με αντίστοιχες παράλληλες πλευρές

Aπόδειξη: Μετατόπισε το τρίγωνο  $A'B'\Gamma'$  και τοποθέτησέ το έτσι ώστε οι κορυφές A και A' να συμπέσουν και οι πλευρές τους AB,  $A\Gamma$  να συμπέσουν αντίστοιχα με τις A'B' και  $A'\Gamma'$ . Τό μετατοπισθέν τρίγωνο θα πάρει την θέση  $AB_1\Gamma_1$  ή  $AB_2\Gamma_2$  με την τρίτη πλευρά του παράλληλη της  $B\Gamma$ , άρα θα είναι όμοιο του  $AB\Gamma$  ενώ είναι και ίσο προς το αρχικό  $A'B'\Gamma'$ , ο.ε.δ.

Δύο τρίγωνα που έχουν τις πλευρές τους παράλληλες λέγονται **Ομοιόθετα**. Κατά την προηγούμενη πρόταση δύο ομοιόθετα τρίγωνα είναι και όμοια. Η επόμενη πρόταση δείχνει ένα χαρακτηριστικό δύο ομοιοθέτων τριγώνων. Ξεχωρίζει η περίπτωση που τα ομοιόθετα είναι όχι μόνον όμοια αλλά και ίσα μεταξύ τους.

**Πρόταση 3.9.6** Γιά δύο ομοιόθετα τρίγωνα  $AB\Gamma$  και A'BT' οι ευθείες AA', BB' και  $\Gamma\Gamma'$ , που ενώνουν κορυφές τους με αντίστοιχες γωνίες ίσες, διέρχονται από κοινό σημείο ή είναι παράλληλες και τα τρίγωνα είναι ίσα.

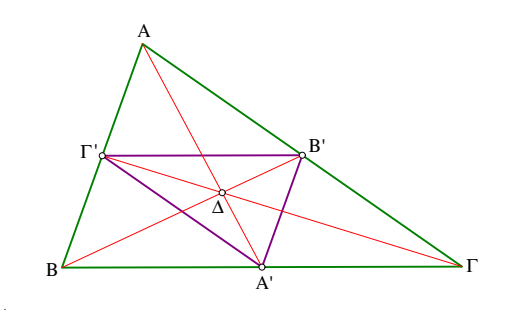




Σχήμα 327: Ομοιόθετα τρίγωνα

Aπόδειξη: Έστω O το σημείο τομής των AA' και BB'. Θα δείξουμε ότι και η  $\Gamma\Gamma'$  περνά από το O. Κατά Θαλή έχουμε ίσους λόγους  $\frac{|AB|}{|A'B'|} = \frac{|OA|}{|OA'|} = \frac{|OB|}{|OB'|} = κ$ . Παίρνουμε λοιπόν επί της  $O\Gamma$  σημείο  $\Gamma^*$  με  $\frac{|O\Gamma|}{|O\Gamma^*|} = κ$ . Τα τρίγωνο  $A'B'\Gamma^*$  που σχηματίζεται έχει πλευρές ανάλογες με αυτές του  $AB\Gamma$  άρα είναι όμοιο προς αυτό και συνεπώς έχει τις ίδιες γωνίες με αυτό. Προκύπτει λοιπόν ότι τα  $A'B'\Gamma'$  και  $A'B'\Gamma^*$  έχουν κοινή την A'B' και τις ίδιες γωνίες στα A' και B', άρα ταυτίζονται και  $\Gamma' = \Gamma^*$ , δηλαδή η  $O\Gamma$  διέρχεται και από το  $\Gamma'$ .

Ο συλλογισμός αυτός δείχνει επίσης ότι αν οι δύο ευθείες AA' και BB' δεν τέμνονται, δηλαδή είναι παράλληλες, τότε και η τρίτη ευθειά θα είναι αναγκαστικά παράλληλη αυτών και τα ABB'A',  $B\Gamma\Gamma'B$  και  $A\Gamma\Gamma'A'$  θα είναι παραλληλόγραμμα, άρα τα τρίγωνα θα έχουν αντίστοιχες πλευρές ίσες. ο.ε.δ.

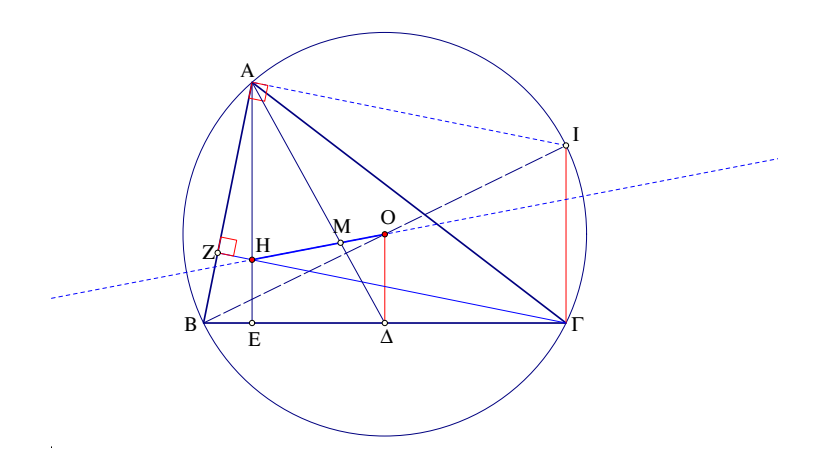


Σχήμα 328: Το τρίγωνο των μέσων των πλευρών (Συμπληρωματικό του ΑΒΓ)

Το σημείο Ο που εξασφαλίζει η προηγούμενη πρόταση γιά δύο ομοιόθετα και μή-ίσα τρίγωνα λέγεται  $\mathbf{K}$ έντρο ομοιοθεσίας των δύο τριγώνων. Ο λόγος κ δύο αντιστοίχων πλευρών των ομοιοθέτων τριγώνων λέγεται  $\mathbf{\Lambda}$ όγος ομοιοθεσίας των δύο τριγώνων. Δύο αντίστοιχα σημεία όπως τα  $\mathbf{A}$  και  $\mathbf{A}'$  λέγονται  $\mathbf{O}$ μόλογα. Στην περίπτωση που το κέντρο  $\mathbf{O}$  της ομοιοθεσίας είναι  $\mathbf{\mu}$ εταξύ των ομολόγων σημείων λέμε ότι τα τρίγωνα είναι  $\mathbf{A}$ ντιομοιόθετα. Το πιό διάσημο ζευγάρι (αντι)ομοιοθέτων τριγώνων και αντιστοίχου κέντρου ομοιοθεσίας είναι αυτό ενός τριγώνου  $\mathbf{A}\mathbf{B}\Gamma$  και του τριγώνου των μέσων του  $\mathbf{A}'\mathbf{B}'\Gamma'$  των πλευρών του, που συχνά αναφέρεται ώς το  $\mathbf{\Sigma}$ υμπληρωματικό του τριγώνου  $\mathbf{A}\mathbf{B}\Gamma$ . Το κέντρο ομοιοθεσίας σε αυτήν την περίπτωση συμπίπτει με το σημείο τομής των διαμέσων  $\mathbf{\Delta}$  (κέντρο βάρους) του τριγώνου  $\mathbf{A}\mathbf{B}\Gamma$  και ο λόγος ομοιοθεσίας του  $\mathbf{A}'\mathbf{B}'\Gamma'$  προς το  $\mathbf{A}\mathbf{B}\Gamma$  είναι  $\frac{1}{2}$ . Η τελευταία πρόταση δίνει μιά άλλη απόδειξη, από αυτήν που είδαμε στην Παράγραφο  $\mathbf{2}.\mathbf{8}$ , γιά το ότι οι τρεις διάμεσοι τριγώνου διέρχονται από το ίδιο σημείο.

Πρόταση 3.9.7 (Η ευθεία του Euler) Το κέντρο βάρους Μ τριγώνου ΑΒΓ περιέχεται στο

ευθύγραμμο τμήμα με άκρα το περίκεντρο O και το ορθόκεντρο H και χωρίζει αυτό σε λόγο 2:1 (|MH|=2|MO|).



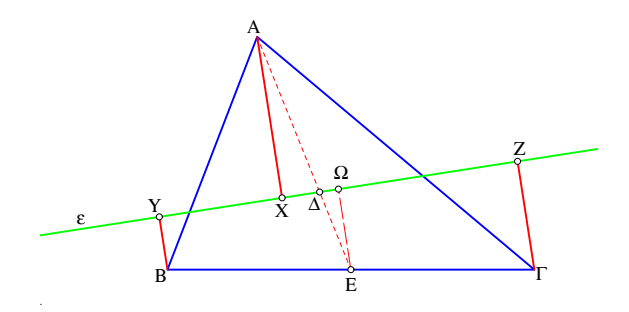
Σχήμα 329: Η ευθεία του Euler ΗΟ

Απόδειξη: Θεώρησε το αντιδιαμετρικό Ι της κορυφής B ως προς τον περίκυκλο. Τα A και  $\Gamma$  είναι επίσης στον περίκυκλο άρα βλέπουν την διάμετρο BΙ υπό ορθή γωνία. Συνάγεται ότι το  $AH\Gamma$ Ι είναι παραλληλόγραμμο, άρα  $|AH|=|I\Gamma|$ . Όμως, εάν  $\Delta$  είναι το μέσον της  $B\Gamma$ , το  $O\Delta$  ενώνει μέσα πλευρών του τριγώνου  $B\Gamma$ Ι, άρα  $|I\Gamma|=2|O\Delta|$  και συνεπώς το AH είναι διπλάσιο και παράλληλο του  $O\Delta$ . Έστω M το σημείο τομής της διαμέσου  $A\Delta$  με την OH. Τα τρίγωνα AHM και ADM είναι όμοια ώς έχοντα αντίστοιχες γωνίες ίσες. Συνεπώς οι πλευρές τους θα είναι ανάλογες και επειδή  $|AH|=2|O\Delta|$  το ίδιο θα συμβαίνει και με τις άλλες αντίστοιχες πλευρές, δηλαδή:

$$|AM| = 2|M\Delta| \quad \kappa \alpha \iota \quad |HM| = 2|MO|,$$

 $0.\epsilon.\delta$ .

Η ευθεία ΟΗ λέγεται Ευθεία του Euler του τριγώνου. Εκτός του περικέντρου Ο και του ορθοκέντρου Η η ευθεία αυτή περιέχει και άλλα αξιοσημείωτα σημεία του τριγώνου (Πρόταση 5.2.1).



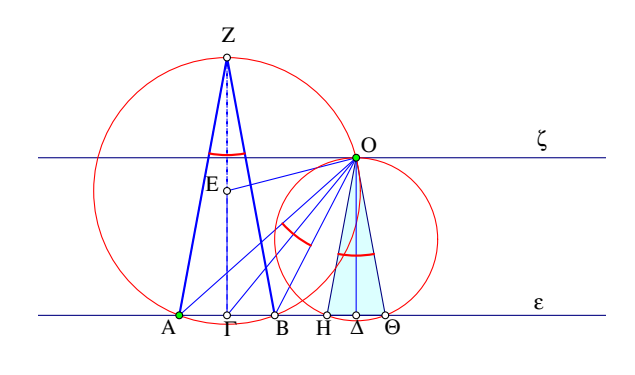
Σχήμα 330: Ιδιότητα του βαρυκέντρου

Άσκηση 3.9.3 Εστω ευθεία ε διερχόμενη από το κέντρο βάρους  $\Delta$  του τριγώνου  $AB\Gamma$ . Aν τα σημεία X, Y και Z της ε είναι οι προβολές των A, B και  $\Gamma$  αντίστοιχα δείξε ότι το

μεγαλύτερο από τα ευθύγραμμα τμήματα AX, BY και  $\Gamma Z$  είναι ίσο με το άθροισμα των δύο άλλων.

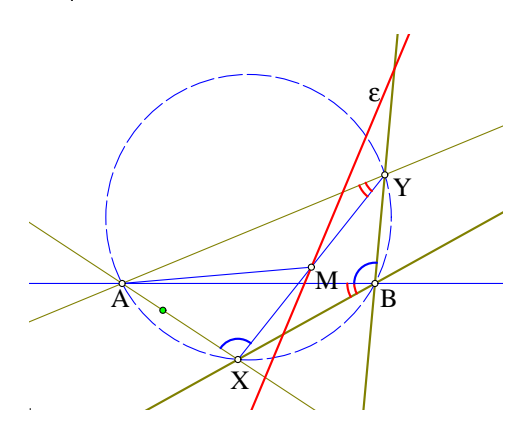
Υπόδειξη: Έστω ότι το ΑΧ είναι μεγαλύτερο από τα BY και  $\Gamma Z$ . Το τμήμα  $E\Omega$  που ενώνει τα μέσα των  $B\Gamma$  και YZ είναι κατά την Άσκηση 2.10.5 ίσο με το ημιάθροισμα των BY και  $\Gamma Z$ . Όμως τα τρίγωνα  $\Delta AX$  και  $\Delta E\Omega$  είναι (αντι)ομοιόθετα με λόγο 2. Επομένως  $|AX| = 2|E\Omega| = |BY| + |\Gamma Z|$  ([PS88,  $\sigma$ . 5]).

Άσκηση 3.9.4 Γωνία AOB σταθερού μέτρου  $|AOB| = \omega$  περιστρέφεται περί το σταθερό σημείο Ο αποτέμνουσα επί ευθείας ε ευθύγραμμο τμήμα AB. Να βρεθεί η θέση της AOB γιά την οποία το μήκος |AB| γίνεται ελάχιστο.



Σχήμα 331: Αποτομή ελαχίστου τμήματος ΑΒ

Υπόδειξη: Θεώρησε τον περιγεγραμμένο χύχλο του τριγώνου AOB και την τομή του Z με την μεσοχάθετο του AB από την μεριά της ε στην οποία είναι και το O. Το τρίγωνο ABZ είναι ισοσκελές με γωνία χορυφής μέτρου ω. Επομένως γιά χάθε θέση της γωνίας OAB δημιουργείται ένα τέτοιο ισοσκελές με βάση το AB. Όλα δε αυτά τα ισοσκελή είναι όμοια μεταξύ τους αφού έχουν την ίδια γωνία χορυφής ω. Το ύψος ZΓ αυτών των ισοσκελών είναι πάντοτε μεγαλύτερο της απόστασης  $O\Delta$  του O από την ε. Επομένως το ελάχιστο AB θα λαμβάνεται στην θέση  $H\Theta$  γιά την οποία το ύψος του ισοσκελούς συμπίπτει με την απόσταση  $O\Delta$  του O από την ε. Σημείωσε ότι σε αυτήν την θέση ο περιγεγραμμένος χύχλος του  $OH\Theta$  εφάπτεται της παραλλήλου  $\zeta$  της ε από το O.

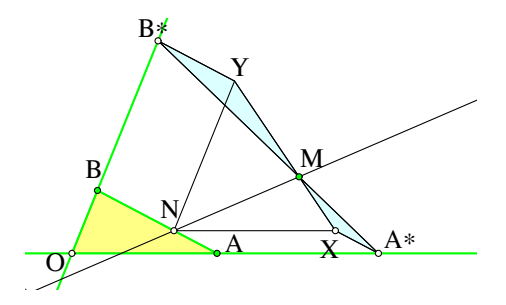


Σχήμα 332: Γωνία περιστρεφόμενη και σχετικός τόπος

Άσκηση 3.9.5 Γωνία  $ω=|XA\Upsilon|$  περιστρέφεται περί την κορυφή της A και τέμνει την σταθερή γωνία XBY στα σημεία X και Y.  $\Delta$ είξε ότι αν η γωνία  $\eta=|XB\Upsilon|$  είναι παραπληρωματική της ω, τότε ο γεωμετρικός τόπος του μέσου M του ευθυγράμμου τμήματος XY είναι μία ευθεία.

 $\Upsilon$ πόδειξη: Αν ω+η = 180, τότε το τετράπλευρο AXBY είναι εγγράψιμο σε κύκλο. Από αυτό συνάγεται ότι το τρίγωνο AXY έχει σταθερές γωνίες και συνεπώς και το AXM που σχηματίζεται από το μέσον του XY θα έχει σταθερές γωνίες. Επομένως το τρίγωνο AXM παραμένει όμοιο εαυτώ με σταθερό A και X κινούμενο επί σταθερής ευθείας. Άρα και η τρίτη κορυφή του M θα κινήται επί σταθερής ευθείας ε (Πρόταση 2.14.3) (δες και την Άσκηση 2.12.5).

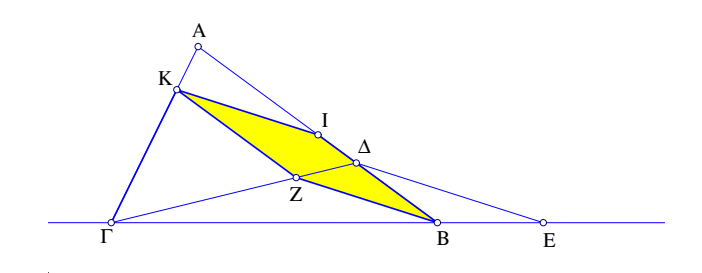
Άσκηση 3.9.6 Στις προεκτάσεις των πλευρών OA, OB του τριγώνου OAB λαμβάνονται αντίστοιχα ίσα τμήματα  $AA^*$ ,  $BB^*$ . Να βρεθεί ο γεωμετρικός τόπος του σημείου M της  $A^*B^*$  που διαιρεί αυτό το τμήμα σε σταθερό λόγο:  $\frac{|MA^*|}{|MB^*|} = \kappa$ .



Σχήμα 333: Τόπος σημείου διαιρούντος σε σταθερό λόγο

Υπόδειξη: Έστω N το σημείο του τμήματος AB γιά το οποίο  $\frac{|NA|}{|NB|}=\kappa$ . Από το N φέρε παράλληλα και ίσα τμήματα  $|NX|=|AA^*|, |NY|=|BB^*|$ . Από το σημείο τομής M' της XY με την  $A^*B^*$  δημιουργούνται τα όμοια τρίγωνα XMA\* και YMB\*. Ο λόγος  $\frac{|MA^*|}{|MB^*|}=\frac{|XA^*|}{|YB^*|}=\kappa$ . Άρα το M' ταυτίζεται με το M. Όμως τα ισοσκελή τρίγωνα XNY που δημιουργούνται γιά τις διάφορες θέσεις των  $A^*,B^*$  είναι όλα όμοια μεταξύ τους και το M επί της XY χωρίζει την βάση τους XY σε λόγο κ. Άρα το M περιέχεται σε σταθερή ευθεία διερχόμενη διά του N (Πρόταση 3.8.5) (Η άσκηση γενικεύει την Άσκηση 3.5.3).

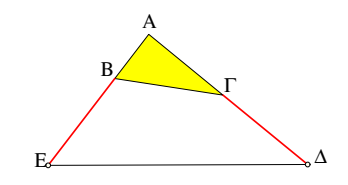
Άσκηση 3.9.7 Να βρεθούν σημεία I και K επί των πλευρών AB και  $A\Gamma$  τριγώνου  $AB\Gamma$  έτσι ώστε  $|BI|=|IK|=|K\Gamma|$ .



Σχήμα 334: Κατασκευή ίσων τμημάτων σε τρίγωνο

Υπόδειξη: Έστω ότι βρέθηκαν τα ζητούμενα σημεία. Υπόθεσε επίσης ότι η AB είναι μεγαλύτερη της  $A\Gamma$  και πάρε το  $\Delta$  επί της AB, έτσι ώστε  $|A\Delta|=|A\Gamma|$ . Φέρε από το K παράλληλο προς την AB τέμνουσα την  $\Gamma\Delta$  στο Z. Λόγω της ομοιότητας προς το ισοσκελές  $A\Gamma\Delta$ , το  $\Gamma KZ$  είναι ισοσκελές τρίγωνο. Συνάγεται ότι  $|KZ|=|K\Gamma|=|IB|$ , άρα το KZBI είναι ρόμβος. Όρισε το σημείο τομής E της παράλληλης από το  $\Delta$  προς την  $\Delta B$  με την  $\Delta B$  το σημείο  $\Delta B$  κατασκευάζεται από τα δεδομένα, κατασκευάζοντας πρώτα το  $\Delta B$  και γράφοντας κύκλο με κέντρο το  $\Delta B$  και ακτίνα  $\Delta B$  που τέμνει την  $\Delta B$  στο  $\Delta B$  τέμνουσα την  $\Delta B$  στο  $\Delta B$  στο  $\Delta B$  τέμνουσα την  $\Delta B$  στο  $\Delta B$  στο  $\Delta B$  τέμνουσα την  $\Delta B$  στο  $\Delta B$  στο  $\Delta B$  τέμνουσα την  $\Delta B$  στο  $\Delta B$  στο  $\Delta B$  τέμνουσα την  $\Delta B$  στο  $\Delta B$  στο  $\Delta B$  στο  $\Delta B$  στο  $\Delta B$  τέμνουσα την  $\Delta B$  στο  $\Delta B$  στ

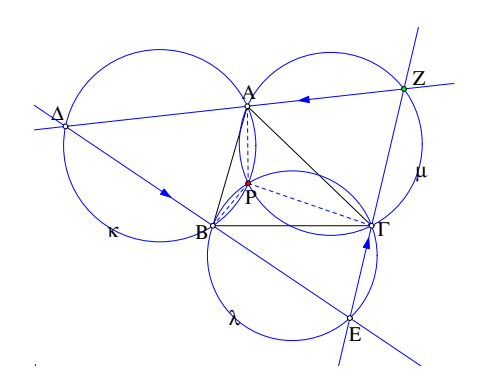
'Ασκηση 3.9.8 Κατασκεύασε τρίγωνο από την γωνία  $\alpha=BA\Gamma$  και τα αθροίσματα μηκών πλευρών b+a,c+a.



Σχήμα 335: Κατασκευή τριγώνου από A, b+a, c+a

Υπόδειξη: Το τρίγωνο  $A\Delta E$  με γωνία μέτρου α στο A και προσκείμενες σε αυτήν πλευρές  $|A\Delta|=b+a, |AE|=c+a$  κατασκευάζεται άμεσα. Χρησιμοποιώντας κατόπιν την προηγούμενη άσκηση βρίσκουμε σημεία B και  $\Gamma$  στην AE και  $A\Delta$  αντίστοιχα, έτσι ώστε  $|EB|=|B\Gamma|=|\Gamma\Delta|$ . Το προκύπτον τρίγωνο  $AB\Gamma$  ικανοποιεί τις απαιτήσεις του προβλήματος.

Άσκηση 3.9.9  $\Delta$ ίδεται τρίγωνο  $AB\Gamma$  και σημείο P εκτός των πλευρών αυτού. Κατασκευάζουμε τους κύκλους κ=(PAB),  $\lambda$ = $(PB\Gamma)$ ,  $\mu$ = $(P\Gamma A)$ . Θεωρούμε τυχόν σημείο  $\Delta$  του κ και το δεύτερο σημείο τομής E της  $\Delta B$  με τον κύκλο  $\lambda$ . Eστω Z το σημείο τομής της  $E\Gamma$  με τον κύκλο  $\mu$ .  $\Delta$ είξε ότι τα Z, A και  $\Delta$  είναι συνευθειακά και το τρίγωνο  $\Delta EZ$  έχει πάντοτε τις ίδιες γωνίες, ανεξάρτητα από την θέση του  $\Delta$  στον κ.



Σχήμα 336: Κατασκευή περιγεγραμμένου τριγώνου

 $\Upsilon$ πόδειξη: Οι γωνίες στο P: APB, BPΓ και ΓΡΑ έχουν άθροισμα μετρων 360 μοίρες. Τα APB $\Delta$  και BPΓΕ είναι εγγράψιμα τετράπλευρα και οι γωνίες

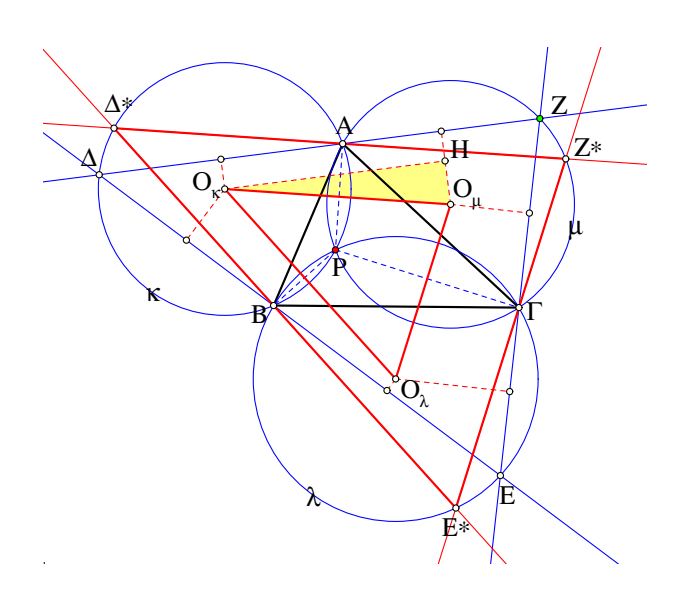
$$|A\Delta B| = 180 - |APB|, |BE\Gamma| = 180 - |BP\Gamma| \Rightarrow |A\Delta B| + |BE\Gamma| = 360 - (|BP\Gamma| + |BP\Gamma|) = |AP\Gamma|.$$

Αν ορίσουμε λοιπόν το Z ως σημείο τομής των  $A\Delta$  και  $\Gamma E$ , τότε κατά τα προηγούμενα, στο τρίγωνο  $\Delta EZ$  η  $|AZ\Gamma|=180-|A\Delta B|-|BE\Gamma|=180-|AP\Gamma|$ , που σημαίνει ότι το τετράπλευρο  $AP\Gamma Z$  είναι εγγράψιμο και το Z περιέχεται στον κύκλο μ.

'Ασκηση 3.9.10  $\Delta$ ίδονται δύο τρίγωνα  $AB\Gamma$  και XYZ. Κατασκεύασε τρίγωνο  $\Delta EZ$  περιγεγραμμένο του  $AB\Gamma$  και όμοιο προς το XYZ.

Υπόδειξη: Έστω ότι κατασκευάσθηκε το ζητούμενο  $\Delta EZ$ , όπως στο σχήμα 336.  $\Delta$ είξε πρώτα ότι οι κύκλοι κ= $(A\Delta B)$ , λ= $(B\Gamma E)$  και μ= $(\Gamma ZA)$  διέρχονται από κοινό σημείο P.  $\Delta$ είξε κατόπιν ότι η θέση του P ευρίσκεται από τα δεδομένα. Τέλος ακολούθησε την διαδικασία της προηγούμενης άσκησης γιά να ορίσεις το  $\Delta EZ$ .

Άσκηση 3.9.11 Έστω τρίγωνο  $\Delta EZ$  περιγεγραμμένο του τριγώνου  $AB\Gamma$  και  $O_{\kappa}, O_{\lambda}, O_{\mu}$  τα κέντρα των κύκλων κ= $(AB\Delta)$ ,  $\lambda$ = $(\Gamma BE)$  και  $\mu$ = $(A\Gamma Z)$ .  $\Delta$ είξε ότι το τρίγωνο  $\Delta$ \*E\*Z\*  $\mu$ ε πλευρές παράλληλες προς αυτές του τριγώνου  $O_{\kappa}O_{\lambda}O_{\mu}$  και διερχόμενες από τα A,B, $\Gamma$  είναι όμοιο του  $\Delta EZ$  και έχει περίμετρο μεγαλύτερη ή ίση από αυτήν του τριγώνου  $\Delta EZ$ .



 $\Sigma$ χήμα 337: Κατασκευή μεγίστου περιγεγραμμένου τριγώνου

Υπόδειξη: Πρόβαλλε τα  $O_{\kappa}, O_{\lambda}, O_{\mu}$  στις πλευρές του τριγώνου  $\Delta EZ$ . Σχημάτισε το ορθογώνιο τρίγωνο  $OHO_{\mu}$  (σχήμα 337). Η OH έχει το μισό μήχος της  $\Delta Z$  και, ως κάθετος στην  $HO_{\mu}$  είναι μικρότερη της υποτείνουσας  $O_{\kappa}O_{\mu}$  που με την σειρά της έχει μήχος το μισό του  $\Delta^*Z^*$ .

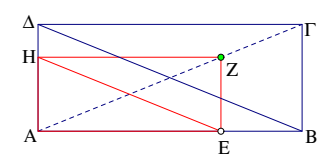
'Ασκηση 3.9.12 Κατασκεύασε το μέγιστο, κατά περίμετρο, ισόπλευρο τρίγωνο  $\Delta EZ$  περιγεγραμμένο δοθέντος τριγώνου  $AB\Gamma$ .

## 3.10 Όμοια πολύγωνα

Η σχέση ομοιότητας, που αρχικά εξετάσαμε γιά ορθογώνια τρίγωνα (Παράγραφος 3.5) και μόλις γενικεύσαμε γιά οποιαδήποτε τρίγωνα, γενικεύεται ακόμη περισσότερο και γιά οποιαδήποτε σχήματα του επιπέδου. Εδώ θα αρκεσθώ στον ορισμό γιά γενικά πολύγωνα. Δύο πολύγωνα λοιπόν με τον ίδιο αριθμό πλευρών (και επομένως γωνιών) λέγονται Όμοια όταν α) έχουν αντίστοιχες γωνίες ίσες και β) πλευρές ανάλογες. Έδώ η λέξη αντίστοιχες, όπως και στα τρίγωνα είναι κρίσιμη. Σημαίνει ότι μπορούμε να περιγράψουμε τα τρίγωνα με τα ίδια γράμματα  $AB\Gamma\Delta$ ... και  $A'B'\Gamma'\Delta'$ ... και οι γωνίες στις κορυφές που αντιστοιχούν στα ίδια γράμματα είναι ίσες και οι προσκείμενες σε αυτές πλευρές ανάλογες  $\frac{|AB|}{|A'B'|} = \frac{|B\Gamma|}{|B'\Gamma'|} = \frac{|\Gamma\Delta|}{|\Gamma'\Delta'|} = \dots = \kappa$ . Οι δύο πλευρές που υπεισέρχονται σε καθένα από τους προηγούμενους λόγους αναφέρονται ως Ομόλογες. Η σταθερά κ λέγεται Λόγος ομοιότητας του πολυγώνου  $AB\Gamma\Delta$ ... προς το πολύγωνο  $A'B'\Gamma'\Delta'$ ...

Σημείωσε ότι στην περίπτωση των τριγώνων η ισότητα των γωνιών συνεπάγεται την αναλογία των πλευρών και τούμπαλιν (Πρόταση 3.9.2), η αναλογία των πλευρών συνεπάγεται την ισότητα των γωνιών. Αυτό όμως δεν ισχύει γενικότερα, ούτε καν γιά τετράπλευρα. Γιά παράδειγμα το τετράγωνο και ένα ορθογώνιο παραλληλόγραμμο που δεν είναι τετράγωνο έχουν τις ίδιες γωνίες (όλες ορθές) αλλά όχι ανάλογες πλευρές. Ένα τετράγωνο και ένας μη-τετραγωνικός ρόμβος με το ίδιο μήκος πλευράς έχουν πλευρές ανάλογες (μάλιστα ίσες:  $\kappa=1$ ) αλλά οι γωνίες τους δεν είναι αντίστοιχα ίσες.

Έτσι όλα τα τρίγωνα που έχουν δύο γωνίες αντίστοιχα ίσες είναι όμοια μεταξύ τους. Όλα τα ορθογώνια τρίγωνα που έχουν μία από τις οξείες γωνίες τους αντίστοιχα ίση είναι όμοια μεταξύ τους. Όλα τα τετράγωνα είναι όμοια μεταξύ τους. Όλοι οι ρόμβοι που έχουν αντίστοιχα ίση μία από τις γωνίες τους είναι όμοιοι μεταξύ τους.



Σχήμα 338: Όμοια ορθογώνια παραλληλόγραμμα

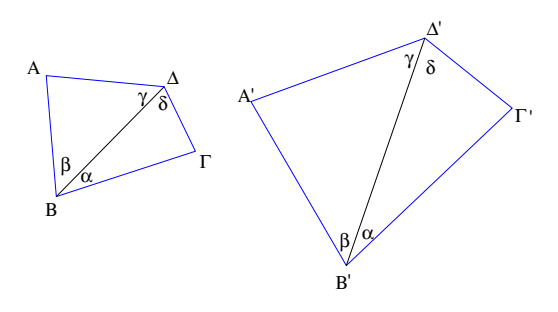
Άσκηση 3.10.1  $\Delta \epsilon$ ίξ $\epsilon$  ότι δύο ορθογώνια παραλληλόγραμμα  $\epsilon$ ίναι όμοια τότ $\epsilon$  και μόνον, όταν  $\epsilon$ χουν τον ίδιο λόγο καθ $\epsilon$ των πλ $\epsilon$ υρών.

 $\Upsilon$ πόδειξη: Άν τα  $AB\Gamma\Delta$  και  $A'B'\Gamma'\Delta'$  είναι όμοια τότε εξ ορισμού θα έχουν  $\frac{|AB|}{|A'B'|} = \frac{|B\Gamma|}{|B'\Gamma'|}$  που είναι ισοδύναμη με την  $\frac{|AB|}{|B\Gamma|} = \frac{|A'B'|}{|B'\Gamma'|}$ . Αν πάλι ισχύει αυτή η σχέση, επειδή και οι γωνίες είναι αντίστοιχα ίσες (όλες ορθές) ικανοποιείται ο ορισμός της ομοιότητας.

Άσκηση 3.10.2  $\Delta \epsilon$ ίξε ότι δύο ορθογώνια παραλληλόγραμμα είναι όμοια τότε και μόνον, όταν μπορούν να τοποθετηθούν έτσι ώστε δύο αντίστοιχες διαγώνιοί τους να είναι παράλληλοι ή να ταυτίζονται.

 $\Upsilon$ πόδειξη: Η συνθήκη είναι ισοδύναμη με το ότι τα τρίγωνα που σχηματίζονται από τις δύο πλευρές του ορθογωνίου και την διαγώνιο που ενώνει τα μη κοινά άκρα τους είναι όμοια. Τα τρίγωνα δε αυτά είναι όμοια, τότε και μόνον όταν ο λόγος των καθέτων πλευρών τους είναι ο ίδιος (Πόρισμα 3.5.1).

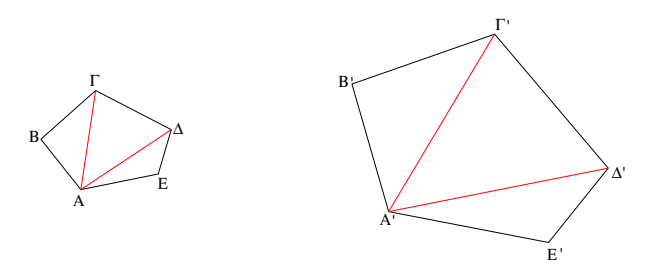
Άσκηση 3.10.3  $\Delta \epsilon$ ίξε ότι δύο τετράπλευρα είναι όμοια τότε και μόνον, όταν έχουν τις γωνίες των πλευρών τους με μία διαγώνιο αντίστοιχα ίσες.



Σχήμα 339: Όμοια τετράπλευρα

Υπόδειξη: Αν τα τετράπλευρα  $AB\Gamma\Delta$ ,  $A'B'\Gamma'\Delta'$  είναι όμοια και οι γωνίες στα A, A' ίσες και οι προσκείμενες σε αυτές πλευρές ανάλογες, τότε τα τρίγωνα  $AB\Delta$  και  $A'B'\Delta'$  είναι όμοια, άρα και οι γωνίες των τριγώνων προσκείμενες στην διαγώνιο  $B\Delta$  και  $B'\Delta'$  αντίστοιχα είναι ίσες. Έπεται ότι και τα τρίγωνα  $\Delta\Gamma B$  και  $\Delta'\Gamma' B'$  είναι όμοια και οι αντίστοιχες γωνίες τους οι προσκείμενες στις διαγωνίους τους είναι αντίστοιχα ίσες. Αντίστροφα αν οι γωνίες α,β,γ,δ οι προσκείμενες στην διαγώνιο  $B\Delta$  είναι αντίστοιχα ίσες με τις προσκείμενες στην διαγώνιο  $B'\Delta'$ , τότε τα τρίγωνα  $AB\Delta$ ,  $A'B'\Delta'$  είναι όμοια και τα τρίγωνα  $\Delta\Gamma B$  και  $\Delta'\Gamma' B'$  είναι όμοια. Συνεπώς και οι πλευρές των τριγώνων αυτών θα είναι ανάλογες και μάλιστα με τον ίδιο λόγο, που ορίζεται από το πηλίκον  $\frac{|B\Delta|}{|B'\Delta'|}$ , άρα οι αντίστοιχες πλευρές των τετραπλεύρων συνολικά ανάλογες.

Άσκηση 3.10.4  $\Delta \epsilon$ ίξε ότι δύο πολύγωνα με τον ίδιο αριθμό πλευρών είναι όμοια τότε και μόνον, όταν έχουν αντίστοιχες κορυφές A, A' έτσι ώστε οι διαγώνιοι που διέρχονται από αυτές χωρίζουν τα πολύγωνα σε αντίστοιχα τρίγωνα που είναι όμοια.

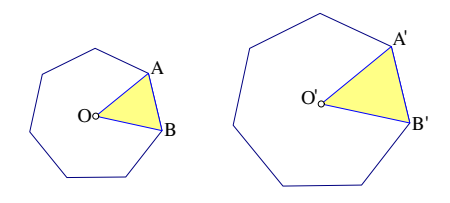


Σχήμα 340: Όμοια πολύγωνα

Υπόδειξη: Γιά όσους δεν είναι εξοιχειωμένοι με την επαγωγιχή απόδειξη αρχεί να δείξουν την πρόταση γιά πεντάγωνα. Στην ουσία η απόδειξη είναι η ίδια με αυτήν της προηγουμένης άσχησης.

'Ασκηση 3.10.5  $\Delta \epsilon$ ίξ $\epsilon$  ότι δύο κανονικά πολύγωνα  $\mu \epsilon$  τον ίδιο αριθμό πλευρών  $\epsilon$ ίναι όμοια.

 $\Upsilon$ πόδ $\epsilon$ ιξη: Όπως είδαμε στο Πόρισμα 2.11.1, οι γωνίες ενός κανονικού πολυγώνου με ν πλευρές είναι όλες ίσες με  $\frac{\nu-2}{\nu}180$ . Επομένως δύο κανονικά πολύγωνα με ν πλευρές έχουν

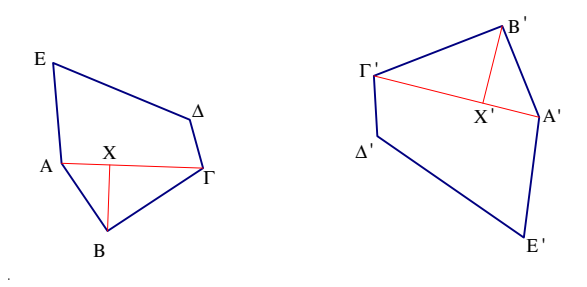


Σχήμα 341: Κανονικά πολύγωνα με ίδιο αριθμό πλευρών

αντίστοιχα ίσες γωνίες. Αν ο λόγος δύο πλευρών τους είναι κ, τότε, επειδή όλες οι πλευρές ενός κανονικού πολυγώνου είναι ίσες μεταξύ τους, και ο λόγος δύο άλλων αντιστοίχων πλευρών στα δύο πολύγωνα θα είναι επίσης κ. Ικανοποιείται λοιπόν ο ορισμός της ομοιότητας των πολυγώνων.

Σχόλιο-1 Όπως φαίνεται και από τα παραδείγματα, όμοια σχήματα είναι αυτά που έχουν το ίδιο σχήμα. Μπορεί να πεί κανείς ότι δύο όμοια σχήματα είναι στην ουσία το ίδιο σχήμα, το οποίο βλέπουμε από μεγαλύτερη ή μικρότερη απόσταση. Ένας άλλος τρόπος θεώρησης είναι η αλλαγή Κλίμακας, δηλαδή εκεί που μετρούσαμε με μέτρα και λ.χ. ένα τρίγωνο με πλευρές 3, 4, 5, σήμαινε 3 μέτρα, 4 μέτρα και 5 μέτρα, τώρα να μετράμε με άλλο μέτρο λ.χ. εκατοστά και λέγοντας: κατασκεύασε τρίγωνο με πλευρές 3,4,5 να εννοούμε μήκος 3 εκατοστά , 4 εκατοστά και 5 εκατοστά αντίστοιχα. Το πρώτο τρίγωνο βέβαια είναι 100 φορές μεγαλύτερο του δευτέρου (ως προς τα μήκη πλευρών) και θα μπορούσε να αντιστοιχεί σε ένα πραγματικό μικρό οικόπεδο, ενώ το δεύτερο θα μπορούσε να θεωρηθεί το σχέδιο αυτου του οικοπέδου πάνω στο χαρτί.

Η δυνατότητα που έχουμε στην Ευκλείδεια γεωμετρία να σχεδιάζουμε υπό κλίμακα είναι χαρακτηριστική αυτής της γεωμετρίας και αποδεικνύεται ισοδύναμη με το αξίωμα παραλληλίας. Με άλλα λόγια, αν ισχύουν τα αξιώματα γιά ευθείες, γωνίες και τρίγωνα, που δεχθήκαμε στις παραγράφους 1.2-1.6 και στο επίπεδό μας βρεθούν δύο όμοια (αλλά όχι ίσα) τρίγωνα, τότε η γεωμετρία του επιπέδου μας είναι η Ευκλείδεια και από ένα σημείο εκτός ευθείας άγεται μία και μόνον παράλληλος προς αυτήν. Ισχύει και το αντίστροφο, αν αποδείξουμε ότι στο επίπεδό μας (ισχύουν τα αξιώματα των 1.2-1.6 και) δεν ύπάρχουν δύο όμοια τρίγωνα, τότε από σημείο εκτός ευθείας άγονται περισσότερες από μία παράλληλες προς αυτήν και ευρισκόμεθα μέσα σε ένα μη-Ευκλείδειο επίπεδο. Σε ένα τέτοιο επίπεδο αποδεικνύεται ότι δύο τρίγωνα που έχουν αντίστοιχες ίσες γωνίες είναι ίσα (έχουν και τις πλευρές τους αντίστοιχα ίσες (1.13, 1.14)).



Σχήμα 342: Όμοια πολύγωνα

 $\Sigma$ χόλιο-2 Σε δύο όμοια πολύγωνα  $AB\Gamma...$  και  $A'B'\Gamma'...$  η ισότητα των γωνιών και η

αναλογία των πλευρών μεταφέρεται και σε σχήματα που προκύπτουν από αυτά με την ίδια διαδικασία. Λόγου χάριν οι διαγώνιοι  $A\Gamma$  και  $A'\Gamma'$  (σχήμα-342) είναι και αυτές ανάλογες με λόγο τον ίδιο με τον λόγο ομοιότητας των δύο πολυγώνων. Επίσης τα ύψη AX και A'X' στις  $A\Gamma$  και  $A'\Gamma'$  είναι και αυτά ανάλογα με τον ίδιο λόγο και σχηματίζουν αντίστοιχα ίσες γωνίες με τις πλευρές των πολυγώνων.

'Ασκηση 3.10.6  $\Delta \epsilon$ ίξ $\epsilon$  ότι ο λόγος των  $\epsilon$ μβαδών δύο ομοίων πολυγώνων  $\Pi$  και  $\Pi'$   $\epsilon$ ίναι

$$\frac{\epsilon(\Pi)}{\epsilon(\Pi')} = \kappa^2,$$

όπου κ ο λόγος ομοιότητος των δύο πολυγώνων.

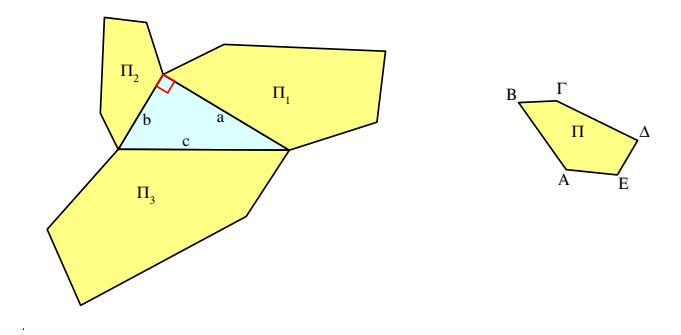
Υπόδειξη: Φέρε από μία κορυφή στο  $\Pi$  και την αντίστοιχή της στο  $\Pi'$  τις διαγώνιες και χώρισε το  $\Pi$  σε τρίγωνα και αντίστοιχα το  $\Pi'$  σε τρίγωνα όμοια αντίστοιχα προς τα προηγούμενα (Άσκηση 3.10.4). Τα εμβαδά των πολυγώνων γράφονται ως άθροισμα των εμβαδών των τριγώνων αυτών  $\epsilon(\Pi)=\epsilon(t_1)+\epsilon(t_2)+\dots$  και αντίστοιχα  $\epsilon(\Pi')=\epsilon(t_1')+\epsilon(t_2')+\dots$  Τα αντίστοιχα τρίγωνα είναι όμοια άρα (Πρόταση 3.9.4)  $\epsilon(t_1')=\kappa^2\epsilon(t_1),\ \epsilon(t_2')=\kappa^2\epsilon(t_2),\dots$  και το ζητούμενο προκύπτει χρησιμοποιώντας αυτές τις σχέσεις στις προηγούμενες ισότητες γιά τα εμβαδά:

$$\epsilon(\Pi') = \epsilon(t'_1) + \epsilon(t'_2) + \dots 
= \kappa^2 \epsilon(t_1) + \kappa^2 \epsilon(t_2) + \dots 
= \kappa^2 \cdot (\epsilon(t_1) + \epsilon(t_2) + \dots) 
= \kappa^2 \epsilon(\Pi).$$

Σχόλιο-3 Η προηγούμενη σχέση εμβαδών ομοίων πολυγώνων οδηγεί σε μία άλλη μορφή του Πυθαγορείου θεωρήματος στην οποία αντί γιά τετράγωνα στις πλευρές του ορθογωνίου τριγώνου κατασκευάζουμε πολύγωνα όμοια προς ένα δοθέν πολύγωνο.

Θεώρημα 3.10.1 Δίδεται πολύγωνο  $\Pi = AB\Gamma\Delta$ ... και ορθογώνιο τρίγωνο. Στις πλευρές του ορθογωνίου τριγώνου κατασκευάζονται πολύγωνα  $\Pi_1, \Pi_2, \Pi_3$  όμοια του  $\Pi$ , έτσι ώστε οι πλευρές του ορθογωνίου a,b,c να είναι ομόλογες της πλευράς AB του  $\Pi$ . Τότε το άθροισμα των εμβαδών των πολυγώνων στις κάθετες πλευρές ισούται με το εμβαδόν του πολυγώνου στην υποτείνουσα

$$\epsilon(\Pi_1) + \epsilon(\Pi_2) = \epsilon(\Pi_3).$$



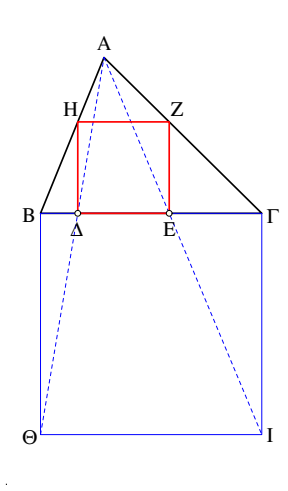
Σχήμα 343: Γενικευμένο θεώρημα του Πυθαγόρα

Aπόδειξη: Έστω |AB|=d το μήκος της πλευράς AB του  $\Pi.$  Κατά την προηγούμενη άσκηση οι λόγοι των εμβαδών  $\vartheta$ α είναι

$$\frac{\epsilon(\Pi_1)}{\epsilon(\Pi)} = \frac{a^2}{d^2}, \qquad \frac{\epsilon(\Pi_2)}{\epsilon(\Pi)} = \frac{b^2}{d^2}, \qquad \frac{\epsilon(\Pi_3)}{\epsilon(\Pi)} = \frac{c^2}{d^2}.$$

Ο ισχυρισμός προχύπτει άμεσα λύνοντας ως προς  $a^2, b^2, c^2$  τις προηγούμενες και αντικαθιστώντας στο θεώρημα του  $\Pi$ υθαγόρα:  $a^2+b^2=c^2$ , ο.ε.δ.

'Ασκηση 3.10.7 Nα κατασκευασθεί τετράγωνο  $\Delta EZH$  εγγεγραμμένο σε τρίγωνο  $AB\Gamma$  και την πλευρά του  $\Delta E$  επί της  $B\Gamma$ .



Σχήμα 344: Τετράγωνο εγγεγραμμένο σε τρίγωνο

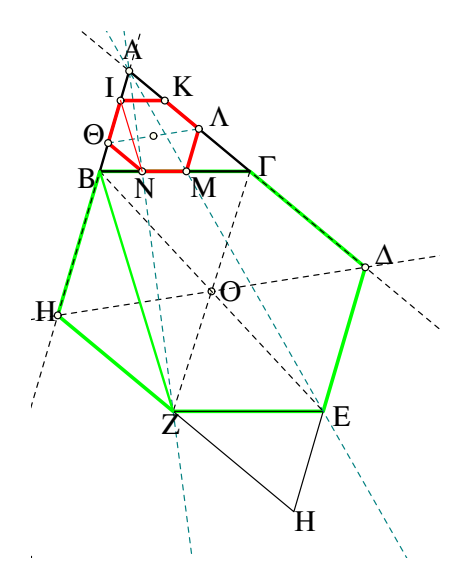
Υπόδειξη: Ας υποθέσουμε ότι το τετράγωνο κατασκευάσθηκε. Προεκτείνουμε τις  $A\Delta$  και AE έως ότου συναντήσουν τις κάθετες της  $B\Gamma$  στα B και  $\Gamma$  αντίστοιχα στα σημεία  $\Theta$  και I. Τα  $(AH\Delta,AB\Theta)$  και  $(AZE,A\Gamma I)$  είναι ζεύγη ομοίων τριγώνων, συνεπώς

$$\frac{|H\Delta|}{|B\Theta|} = \frac{|AH|}{|AB|}, \quad \frac{|ZE|}{|\Gamma I|} = \frac{|AZ|}{|A\Gamma|}.$$

Λόγω της παραλληλίας των HZ και BΓ οι λόγοι στις δεξιές πλευρές των ισοτήτων είναι ίσοι, άρα και οι λόγοι στις αριστερές πλευρές θα είναι ίσοι. Αυτό συνεπάγεται ότι  $|B\Theta|=|\Gamma I|$ , άρα το BΓΙΘ είναι ορθογώνιο παραλληλόγραμμο και συνεπώς τα τρίγωνα  $A\Delta E$  και  $A\Theta I$  είναι όμοια. Επειδή  $\frac{|\Delta E|}{|\Theta I|}=\frac{|A\Delta|}{|A\Theta|}=\frac{|AH|}{|AB|}$ , έπεται ότι  $\frac{|\Delta E|}{|\Theta I|}=\frac{|H\Delta|}{|B\Theta|}$ . Από αυτήν προκύπτει ότι τα ΘΙ και BΘ είναι ίσα, άρα το BΓΙΘ είναι τετράγωνο. Αυτό το τετράγωνο κατασκευάζεται άμεσα και φέρνοντας τις  $A\Theta$  και AI ορίζουμε το  $\Delta E$  επί της  $B\Gamma$  και από αυτό το  $\Delta EZH$ , που αποδεικνύεται τετράγωνο με παρόμοιο συλλογισμό.

Άσκηση 3.10.8 Nα κατασκευασθεί ισόπλευρο εξάγωνο με τρεις πλευρές επί των πλευρών τριγώνου  $AB\Gamma$  και τρεις παράλληλες προς αυτές.

 $\Upsilon$ πόδειξη: Έστω ΘΙΚΛΜΝ το ζητούμενο εξάγωνο. Κατασκεύασε όμοιο αυτού επί της πλευράς  $\mathrm{B}\Gamma$ . Προς τούτο όρισε ίσα τμήματα επί των προεκτάσεων των  $\mathrm{A}\mathrm{B}$  και  $\mathrm{A}\Gamma$  αντίστοιχα:  $|BH|=|B\Gamma|=|\Gamma\Delta|$  και θεώρησε το μέσον Ο της  $\mathrm{H}\Delta$ . Πάρε κατόπιν τα συμμετρικά  $\mathrm{E},\mathrm{Z}$ 



Σχήμα 345: Εξάγωνο εγγεγραμμένο σε τρίγωνο

ως προς το O των B,  $\Gamma$  αντίστοιχα. Το πρώτο εξάγωνο είναι εξ υποθέσεως ισόπλευρο και το δεύτερο εκ κατασκευής. Επίσης τα δύο εξάγωνα έχουν αντίστοιχες πλευρές παράλληλες. Δείχνουμε ότι είναι και όμοιόθετα. Προς τούτο, αρκεί να δείξουμε ότι τα τρία σημεία A,N και Z είναι συνευθειακά, καθώς και τα τρία σημεία A,M και E είναι επίσης συνευθειακά. Τα τρίγωνα  $I\Theta N$  και BHZ είναι ισοσκελή με ίσες γωνίες στις κορυφές τους  $\Theta$  και H. Άρα οι IN και BZ είναι παράλληλες και ο λόγος τους είναι

$$\frac{|IN|}{|BZ|} = \frac{|\Theta I|}{|HB|} = \frac{|IK|}{|B\Gamma|}.$$

Όμως τα ΑΙΚ και ΑΒΓ είναι όμοια, συνεπώς

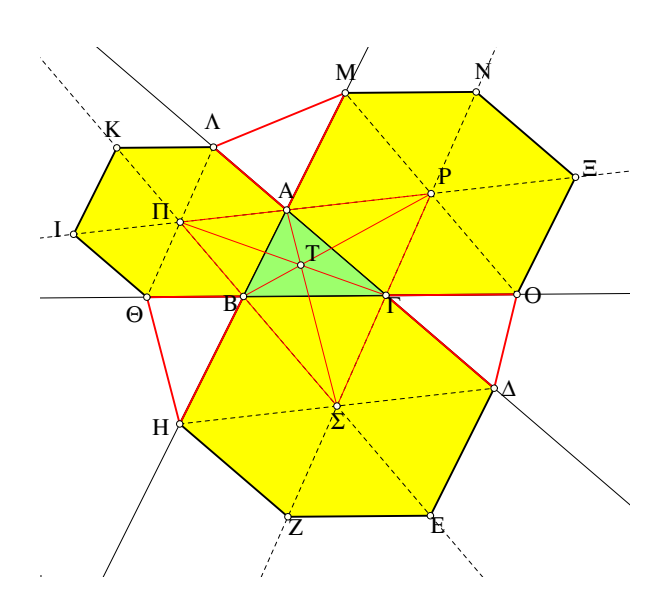
$$\frac{|IK|}{|B\Gamma|} = \frac{|AI|}{|AB|} = \kappa.$$

Από τις δύο αυτές και την ισότητα των γωνιών στα Ι και Β προκύπτει ότι τα τρίγωνα ΑΙΝ και ΑΒΖ είναι όμοια, άρα τα σημεία Α,Ν και Ζ είναι συνευθειακά. Ανάλογα αποδεικνύεται ότι και τα σημεία Α,Μ και Ε είναι συνευθειακά. Συνεπώς, τα δύο εξάγωνα, ΘΙΚΛΜΝ και ΗΒΓΔΕΖ είναι ομοιόθετα ως προς Α με λόγο ομοιοθεσίας κ. Το ισόπλευρο εξάγωνο ΒΓΔΕΖΗ κατασκευάζεται άμεσα και φέρνοντας τις ΑΖ και ΑΕ ορίζουμε τα σημεία Ν και Μ επί της ΒΓ. Απο εκεί και πέρα η κατασκευή του ΘΙΚΛΜΝ είναι εύκολη, μέσω παραλλήλων προς τις πλευρές του τριγώνου ΑΒΓ.

'Ασκηση 3.10.9  $\Delta \epsilon$ ίξε ότι το ισόπλευρο εξάγωνο της προηγούμενης άσκησης είναι μοναδικό, συνεπώς τα τρία εξάγωνα που προκύπτουν από την προηγούμενη κατασκευή, αλλά ξεκινώντας από διαφορετική πλευρά του τριγώνου, συμπίπτουν.

Υπόδειξη: Από την προηγούμενη άσχηση, προχύπτει ότι γιά χάθε εξάγωνο όπως το ΘΙΚΛ-ΜΝ η χορυφή του Ν περιέχεται σε μιά ευθεία ΑΖ που εξαρτάται μόνο από το τρίγωνο ΑΒΓ. Αυτή η ευθεία τέμνει την ΒΓ σε ένα αχριβώς σημείο, το Ν, χαι συνεπώς ορίζεται ένα χαι μόνο τρίγωνο ΙΘΝ όμοιο του ΒΗΖ με την χορυφή του Ν επί της ΒΓ. Από την μοναδιχότητα του Ν προχύπτει αυτή του Θ, χατόπιν του Ι χτλ. Το δεύτερο μέρος της άσχησης είναι άμεση λογιχή συνέπεια του πρώτου μέρους της.

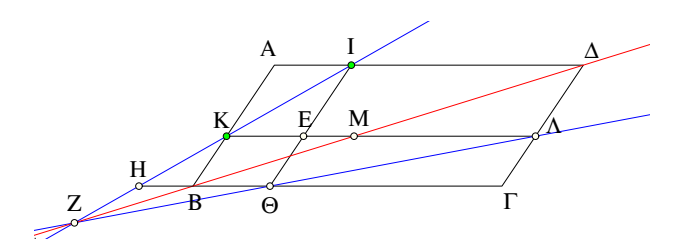
Άσκηση 3.10.10 Κατασκεύασε τα τρία παρεγγεγραμμένα ισόπλευρα εξάγωνα στις πλευρές τριγώνου  $AB\Gamma$ . Δείξε ότι οι ευθείες που ενώνουν τα κέντρα συμμετρίας  $\Pi$ ,P και  $\Sigma$  αυτών των εξαγώνων διέρχονται από αντίστοιχες κορυφές του τριγώνου  $AB\Gamma$ .



Σχήμα 346: Ισόπλευρα παρεγγεγραμμένα εξάγωνα

Υπόδειξη:  $\Delta$ είξε πρώτα ότι τα μισά δύο τέτοιων πολυγώνων, όπως λ.χ. τα τετράπλευρα  $\Gamma\Delta HB$  και  $\Gamma A \equiv O$  είναι όμοια.

Άσκηση 3.10.11 Από σημείο E στο εσωτερικό παραλληλογράμμου, άγονται παράλληλες  $\Theta I$  και  $K\Lambda$  προς τις πλευρές αυτού.  $\Delta$ είξε ότι οι KI και  $\Theta\Lambda$  τέμνονται επί μιάς διαγωνίου αυτού.



Σχήμα 347: Τέμνουσες παραλληλογράμμου

Υπόδειξη: Έστω Z το σημείο τομής της ΘΛ και BΔ και Z' το σημείο τομής της KI και BΔ. Δείχνουμε ότι τα Δ και Δ' συμπίπτουν. Προς τούτο αρκεί να δείξουμε ότι οι λόγοι  $\frac{|ZB|}{|ZM|} = \frac{|ΘB|}{|ΛM|}$  και  $\frac{|Z'B|}{|Z'M|} = \frac{|HB|}{|KM|}$  είναι ίσοι.  $Ομως \frac{|ΘB|}{|HB|} = \frac{|AI|}{|BH|} = \frac{|AK|}{|KB|}$  και  $\frac{|KM|}{|MΛ|} = \frac{|KB|}{|ΛΔ|} = \frac{|KB|}{|KA|}$ .

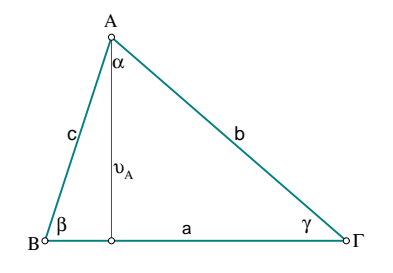
Άσκηση 3.10.12 Aπό τις κορυφές τριγώνου  $AB\Gamma$  φέρνουμε παράλληλες προς δοθείσαν ευθεία  $\epsilon$ , που τέμνουν τις απέναντι πλευρές του στα σημεία A',B', $\Gamma'$ .  $\Delta \epsilon$ ίξε ότι το  $\epsilon$ μβαδόν του  $AB\Gamma'$  είναι διπλάσιο του  $\epsilon$ μβαδού του  $AB\Gamma$ .

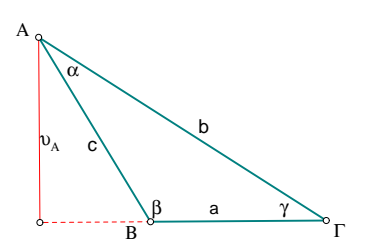
Άσκηση 3.10.13 Na κατασκευασθεί τρίγωνο του οποίου δίδονται τα μήκη των τριών υψών.

## 3.11 Θεωρήματα ημιτόνου και συνημιτόνου

Όπως σημείωσα και προηγουμένως (Σχόλιο στην Παράγραφο 3.6) το θεώρημα του Πυθαγόρα παράγει άπειρους τύπους που συσχετίζουν μήκη, εμβαδά και γωνίες που εμφανίζονται σε ένα σχήμα. Σε αυτήν την παράγραφο θα δούμε μερικές απλές περιπτώσεις τέτοιων τύπων. Στους τύπους που θα εξετάσουμε υπεισέρχονται και οι τριγωνομετρικές συναρτήσεις ημ $(\phi)$ , συν $(\phi)$ , που, προς το παρόν, έχουμε ορίσει (Παράγραφος 3.6) μόνο γιά οξείες γωνίες (γωνίες που εμφανίζονται σε ορθογώνια τρίγωνα). Εδώ μας χρειάζονται οι επεκτάσεις τους (που μελετώνται στον απειροστικό λογισμό [Σπί04, σελ. 255]) γιά γωνίες φ στο διάστημα  $0 \le \phi \le 180$  γιά τις οποίες ισχύουν οι σχέσεις:

$$\begin{array}{ll} \eta\mu(0) = 0 & & \text{sun}(0) = 1 \\ \eta\mu(90) = 1 & & \text{sun}(90) = 0 \\ \eta\mu(180) = 0 & & \text{sun}(180) = -1 \\ \eta\mu(\phi) = \eta\mu(180 - \phi) & & \text{sun}(\phi) = -\sin(180 - \phi) \end{array}$$





Σχήμα 348: Το ύψος εκπεφρασμένο μέσω πλευρών

Πρόταση 3.11.1 Το μήκος του ύψους  $v_A = |A\Delta|$  από την κορυφή τριγώνου  $AB\Gamma$  εκφράζεται μέσω των μηκών των πλευρών  $b = |A\Gamma|$ , c = |AB|:

$$v_A = b \eta \mu(\gamma) = c \eta \mu(\beta).$$

Aπόδειξη: Γιά οξυγώνια τρίγωνα η απόδειξη προχύπτει άμεσα από τον ορισμό των τριγωνομετριχών συναρτήσεων (Δες και Πρόταση 3.6.1). Γιά αμβλυγώνια τρίγωνα και γωνίες τους γιά τις οποίες το ίχνος του ύψους ευρίσκεται εκτός της απέναντι βάσης σχηματίζεται πάλι ορθογώνιο τρίγωνο και ισχύει  $v_A=c$  ημ $(180-\beta)=c$  ημ $(\beta)$ , λόγω των προηγουμένων ιδιοτήτων, ο.ε.δ.

Πρόταση 3.11.2 (Θεώρημα ημιτόνων) Σε κάθε τρίγωνο με μήκη πλευρών a,b,c και αντίστοιχες απέναντι γωνίες a, β, γ, ισχύει

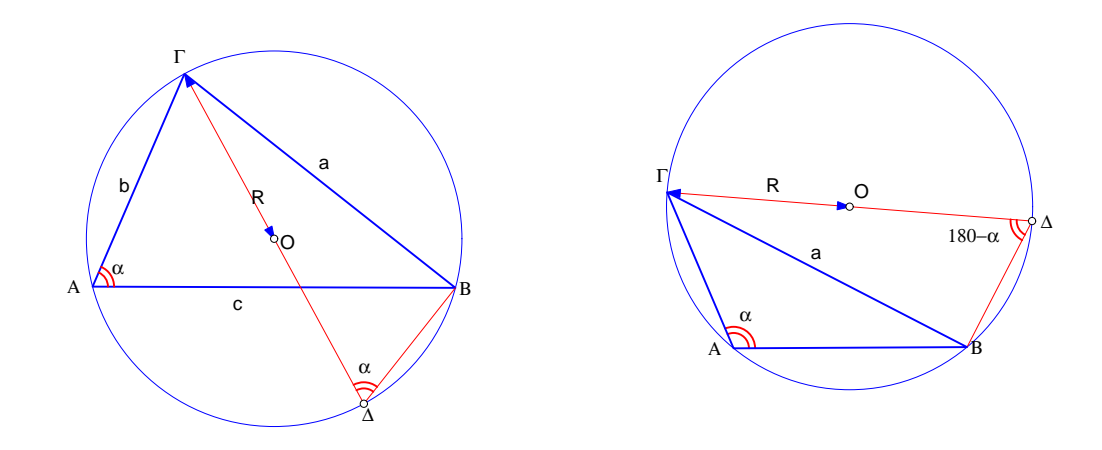
$$\frac{a}{\eta\mu(\alpha)} = \frac{b}{\eta\mu(\beta)} = \frac{c}{\eta\mu(\gamma)}.$$

Aπόδειξη: Η τελευταία ισότητα προχύπτει από την ισότητα της προηγούμενης πρότασης διαιρώντας αυτήν κατά μέλη με το γινόμενο ημ(β) ημ(γ). Η πρώτη ισότητα προχύπτει με ανάλογο τρόπο από την αντίστοιχη ισότητα γιά το ύψος από το  $\Gamma: v_{\Gamma} = b$  ημ(α) = a ημ(β), ο.ε.δ.

**Πρόταση 3.11.3** (Θεώρημα ημιτόνων) Σε κάθε τρίγωνο με μήκη πλευρών a, b, c και αντίστοιχες απέναντι γωνίες  $a, \beta, \gamma$ , ισχύει

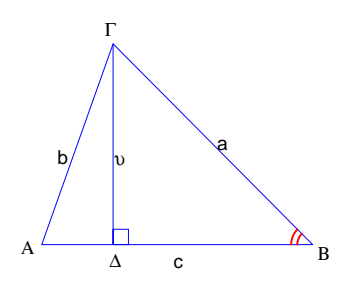
$$\frac{a}{\eta\mu(\alpha)} = \frac{b}{\eta\mu(\beta)} = \frac{c}{\eta\mu(\gamma)} = 2R,$$

όπου R η ακτίνα του περιγεγραμμένου κύκλου του τριγώνου.



Σχήμα 349: Θεώρημα ημιτόνων γιά τρίγωνα

Aπόδειξη: Γιά την γωνία α, πάρε το αντιδιαμετρικό σημείο  $\Delta$  του  $\Gamma$  στον περιγεγραμμένο κύκλο του τριγώνου  $AB\Gamma.$  Η γωνία  $B\Delta\Gamma$  έχει  $|B\Delta\Gamma|=\alpha$  ή  $|B\Delta\Gamma|=180-\alpha$  ανάλογα με το αν είναι οξεία ή αμβλεία (Πρόταση 2.13.3). Επίσης το τρίγωνο  $B\Gamma\Delta$  είναι ορθογώνιο στο B, αφού η γωνία  $\Delta B\Gamma$  βαίνει επί διαμέτρου του κύκλου (Πόρισμα 2.1.7). Από τις τριγωνομετρικές σχέσεις γιά το ορθογώνιο τρίγωνο (Πρόταση 3.6.1) προκύπτει η  $|\Gamma B|=|\Gamma\Delta|\cdot \eta\mu(\alpha)$  που είναι η ζητούμενη σχέση γιά την γωνία α. Ανάλογα προκύπτουν και οι άλλες, ο.ε.δ.



Σχήμα 350: v = a ημ(β) = b ημ(α)

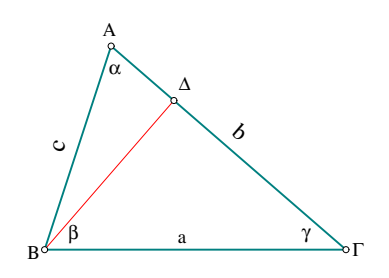
**Πόρισμα 3.11.1** Σε κάθε τρίγωνο με μήκη πλευρών a,b,c, εμβαδόν E και ακτίνα περιγεγραμμένου κύκλου R ισχύει:

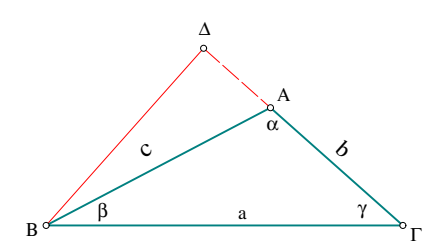
$$a \cdot b \cdot c = 4 \cdot R \cdot E \iff E = \frac{a \cdot b \cdot c}{4 \cdot R}.$$

Aπόδειξη: Κατά την προηγούμενη πρόταση, το γινόμενο των μηκών  $a \cdot b \cdot c = a \cdot (2R \eta \mu(\beta)) \cdot c$ . Όμως  $v = a \cdot \eta \mu(\beta)$  είναι το ύψος του τριγώνου επί την AB μήκους |AB| = c. Άρα  $a \cdot b \cdot c = (2E)(2R)$ , ο.ε.δ.

**Πρόταση 3.11.4** (Θεώρημα συνημιτόνου) Σε κάθε τρίγωνο με μήκη πλευρών a,b,c και αντίστοιχες απέναντι γωνίες a,  $\beta$ ,  $\gamma$ , ισχύει

$$a^2 = b^2 + c^2 - 2b \cdot c \cdot \operatorname{sun}(\alpha).$$





Σχήμα 351: Θεώρημα συνημιτόνου

Aπόδειξη: Υπόθεσε πρώτα ότι η γωνία α είναι οξεία. Τότε το ύψος <math>BΔ περιέχεται σ' αυτήν την γωνία και εφαρμόζοντας το Πυθαγόρειο θεώρημα στο ορθογώνιο <math>AΔB έχουμε:

$$\begin{split} |\Gamma\Delta| &= |\Gamma A| - |\Delta A| \Rightarrow \\ |\Gamma\Delta|^2 &= |\Gamma A|^2 + |\Delta A|^2 - 2 \cdot |\Gamma A| \cdot |\Delta A| \Rightarrow \\ a^2 - |B\Delta|^2 &= b^2 + |\Delta A|^2 - 2 \cdot b \cdot |\Delta A| \Rightarrow \\ a^2 &= b^2 + |\Delta A|^2 + |B\Delta|^2 - 2 \cdot b \cdot |\Delta A| \Rightarrow \\ a^2 &= b^2 + c^2 - 2 \cdot b \cdot |\Delta A| \Rightarrow \\ a^2 &= b^2 + c^2 - 2 \cdot b \cdot c \cdot \operatorname{sun}(\alpha). \end{split}$$

Αν η α είναι αμβλεία, τότε το ύψος  ${\rm B}\Delta$  είναι στο εξωτερικό της γωνίας α και

$$|\Gamma\Delta| = |\Gamma A| + |A\Delta|.$$

Κάνοντας την ίδια διαδικασία με την προηγούμενη βρίσκουμε τον τύπο

$$a^2 = b^2 + c^2 + 2 \cdot b \cdot c \cdot \text{sun}(180 - \alpha),$$

ο οποίος λόγω της συν $(180-\alpha)=-$  συν $(\alpha)$  δίδει την εννιαία μορφή του τύπου του συνημιτόνου είτε η γωνία α είναι οξεία είτε είναι αμβλεία, ο.ε.δ.

Σχόλιο-1 Φυσικά ισχύουν οι ανάλογοι τύποι και γιά τις άλλες γωνίες του τριγώνου:

$$b^2 = c^2 + a^2 - 2c \cdot a \cdot \operatorname{sun}(\beta),$$
  

$$c^2 = a^2 + b^2 - 2a \cdot b \cdot \operatorname{sun}(\gamma)$$

**Σχόλιο-2** Ο τύπος του συνημιτόνου γενικεύει το θεώρημα του Πυθαγόρα. Πράγματι γιά  $\alpha=90$ , συν(a)=0 και ο τύπος γίνεται  $a^2=b^2+c^2$ .

'Ασκηση 3.11.1 Aν τα τρίγωνα ABΓ και ABΓ' έχουν τις γωνίες τους στα A και A' αντίστοιχα ίσες ή παραπληρωματικές, τότε ο λόγος των εμβαδών τους είναι:

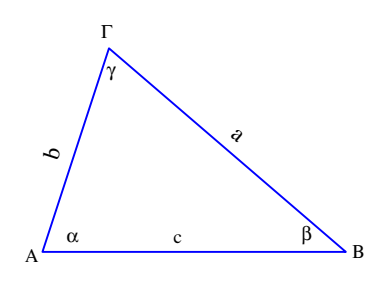
$$\frac{\epsilon(AB\Gamma)}{\epsilon(A'B'\Gamma')} = \frac{|AB||A\Gamma|}{|A'B'||A'\Gamma'|}.$$

Υπόδειξη: Εφάρμοσε τον τύπο γιά το εμβαδόν της Πρότασης 3.11.1 ως προς το ύψος από τα A και A' αντιστοίχως:  $\epsilon(AB\Gamma)=\frac{1}{2}|AB||A\Gamma|$  ημ $(\alpha)$ ,  $\epsilon(A'B'\Gamma')=\frac{1}{2}|A'B'||A'\Gamma'|$  ημ $(\alpha')$ . Όμως εξ υποθέσεως συμβαίνει να είναι ή α'=α ή α'=180-α και συνεπώς ημ $(\alpha')=$  ημ $(\alpha)$  και το ζητούμενο προκύπτει διαιρώντας κατά μέλη τις προηγούμενες ισότητες.

Πρόταση 3.11.5 Γιά δύο αριθμούς α και  $\beta$  με  $0 \le \alpha + \beta \le 180$  ισχύουν οι τύποι

$$\eta\mu(\alpha+\beta) = \eta\mu(\alpha)\operatorname{sun}(\beta) + \operatorname{sun}(\alpha)\eta\mu(\beta), 
\operatorname{sun}(\alpha+\beta) = \operatorname{sun}(\alpha)\operatorname{sun}(\beta) - \eta\mu(\alpha)\eta\mu(\beta).$$

Aπόδειξη: Ή περίπτωση γιά την οποία α + β = 0 ή α + β = 180 ανάγεται στις ισότητες της αρχής της παραγράφου. Υπόθεσε λοιπόν ότι α + β < 180 και κατασκεύασε τρίγωνο ABΓ με πλευρά αυθαίρετου μήκους |AB| = c και προσκείμενες γωνίες α και β (Πρόταση 1.15.2). Γράφοντας τα ημίτονα και συνημίτονα βάσει των τύπων Πρότασης 3.11.2 και Πρότασης 3.11.4



Σχήμα 352: Τύποι γιά το άθροισμα γωνιών

έχουμε:

$$\begin{split} \eta\mu(\alpha)\,\text{sun}(\beta) + \text{sun}(\alpha)\,\eta\mu(\beta) &= \left(\frac{a}{2R}\right)\cdot\left(\frac{a^2+c^2-b^2}{2ac}\right) + \left(\frac{b}{2R}\right)\cdot\left(\frac{b^2+c^2-a^2}{2bc}\right) \\ &= \frac{1}{4Rc}\cdot(a^2+c^2-b^2+b^2+c^2-a^2) \\ &= \frac{2c^2}{4Rc} = \frac{c}{2R} \\ &= \eta\mu(\gamma) = \eta\mu(180-(\alpha+\beta)) = \eta\mu(\alpha+\beta). \end{split}$$

Οι ισότητες αυτές αποδεικνύουν τον πρώτο τύπο. Ο δεύτερος αποδεικνύεται με την βοήθεια του προηγουμένου τύπου και τις βασικές ιδιότητες των τριγωνομετρικών συναρτήσεων:

$$\begin{split} \operatorname{sun}(\alpha+\beta) &= & \operatorname{sun}(180-\gamma) = -\operatorname{sun}(\gamma) = -\frac{a^2+b^2-c^2}{2ab} \\ &= & \frac{(2R\operatorname{hm}(\gamma))^2 - (2R\operatorname{hm}(\alpha))^2 - (2R\operatorname{hm}(\beta))^2}{2(2R\operatorname{hm}(\alpha))(2R\operatorname{hm}(\beta))} = \frac{\operatorname{hm}(\gamma)^2 - \operatorname{hm}(\alpha)^2 - \operatorname{hm}(\beta)^2}{2\operatorname{hm}(\alpha)\operatorname{hm}(\beta)} \end{split}$$

Στην τελευταία παράσταση αντικαθιστούμε το ημ $(\gamma)$  με τον τύπο που δείξαμε ήδη

$$\eta\mu(\gamma)^2 = \eta\mu(180 - (\alpha + \beta))^2 = \eta\mu(\alpha + \beta)^2 = (\eta\mu(\alpha)\operatorname{sun}(\beta + \eta\mu(\beta)\operatorname{sun}(\alpha))^2,$$

καθώς επίσης και τα ημ $(\alpha)^2$ , ημ $(\beta)^2$  με τους τύπους

$$\eta \mu(\alpha)^2 = \eta \mu(\alpha)^2 \cdot 1 = \eta \mu(\alpha)^2 (\sigma \cup \nu(\beta)^2 + \eta \mu(\beta)^2) = \eta \mu(\alpha)^2 \sigma \cup \nu(\beta)^2 + \eta \mu(\alpha)^2 \eta \mu(\beta)^2,$$

$$\eta \mu(\beta)^2 = \eta \mu(\beta)^2 \cdot 1 = \eta \mu(\beta)^2 (\sigma \cup \nu(\alpha)^2 + \eta \mu(\alpha)^2) = \eta \mu(\beta)^2 \sigma \cup \nu(\alpha)^2 + \eta \mu(\beta)^2 \eta \mu(\alpha)^2.$$

Μετά από απλές πράξεις προχύπτει ότι

$$\begin{split} \operatorname{sun}(\alpha+\beta) &= \frac{\eta\mu(\gamma)^2 - \eta\mu(\alpha)^2 - \eta\mu(\beta)^2}{2\,\eta\mu(\alpha)\,\eta\mu(\beta)} \\ &= \frac{2\,\eta\mu(\alpha)\,\operatorname{sun}(\alpha)\,\eta\mu(\beta)\,\operatorname{sun}(\beta) - 2\,\eta\mu(\alpha)^2\,\eta\mu(\beta)^2}{2\,\eta\mu(\alpha)\,\eta\mu(\beta)} \\ &= \operatorname{sun}(\alpha)\,\operatorname{sun}(\beta) - \eta\mu(\alpha)\,\eta\mu(\beta), \qquad o.\varepsilon.\delta. \end{split}$$

'Ασκηση 3.11.2  $\Delta \epsilon$ ίξ $\epsilon$  ότι γιά δύο αριθμούς α και  $\beta$  μ $\epsilon$   $0 \le \alpha + \beta \le 180$  ισχύουν οι τύποι

$$\varepsilon \varphi(\alpha + \beta) = \frac{\varepsilon \varphi(\alpha) + \varepsilon \varphi(\beta)}{1 - \varepsilon \varphi(\alpha) \varepsilon \varphi(\beta)}, \qquad \sigma \varphi(\alpha + \beta) = \frac{\sigma \varphi(\alpha) \sigma \varphi(\beta) - 1}{\sigma \varphi(\alpha) + \sigma \varphi(\beta)}.$$

Υπόδειξη: Γιά την πρώτη διαίρεσε την πρώτη από τις προηγούμενες με συν $(\alpha)$  συν $(\beta)$ . Α-νάλογα προκύπτει και η δεύτερη.

 $\Sigma$ χόλιο-3 Ανάλογους τύπους μπορούμε να πάρουμε αμέσως και γιά την διαφορά α-β δύο γωνιών, χρησιμοποιώντας τα προηγούμενα και γράφοντας την γωνία

$$\alpha = (\alpha - \beta) + \beta.$$

Εφαρμόζοντας τους προηγούμενους τύπους βρίσκουμε τις δύο εξισώσεις:

$$\eta\mu(\alpha) = \sigma \upsilon \nu(\beta) \, \eta\mu(\alpha - \beta) + \eta\mu(\beta) \, \sigma \upsilon \nu(\alpha - \beta),$$

$$\sigma \upsilon \nu(\alpha) = -\eta\mu(\beta) \, \eta\mu(\alpha - \beta) + \sigma \upsilon \nu(\beta) \, \sigma \upsilon \nu(\alpha - \beta).$$

Πολλαπλασιάζοντας την πρώτη με συν( $\beta$ ) και την δεύτερη με  $-\eta\mu(\beta)$  και προσθέτοντας βρίσκουμε, λαμβάνοντας υπόψη ότι η $\mu(\beta)^2 + \sigma \nu \nu(\beta)^2 = 1$ :

$$\mathrm{hm}(\alpha-\beta)=\mathrm{hm}(\alpha)\,\mathrm{sun}(\beta)-\mathrm{sun}(\alpha)\,\mathrm{hm}(\beta).$$

Πολλαπλασιάζοντας την πρώτη με το ημ $(\beta)$  και την δεύτερη με το συν $(\beta)$  και προσθέτοντας βρίσκουμε την

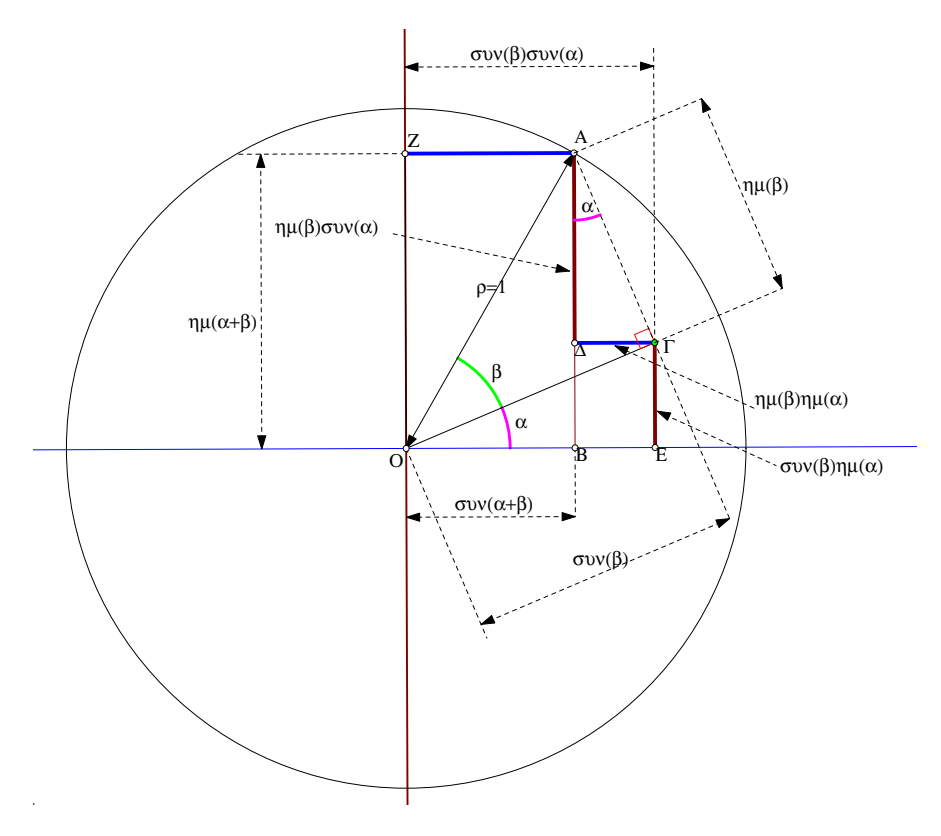
$$\operatorname{sun}(\alpha - \beta) = \operatorname{sun}(\alpha) \operatorname{sun}(\beta) + \operatorname{hm}(\alpha) \operatorname{hm}(\beta).$$

**Σχόλιο-4** Οι τύποι της Πρότασης 3.11.5 εφαρμοζόμενοι γιά  $\beta=\alpha$  δίνουν τους

$$\eta \mu(2\alpha) = 2 \eta \mu(\alpha) \operatorname{sun}(\alpha),$$
 $\operatorname{sun}(2\alpha) = \operatorname{sun}(\alpha)^2 - \eta \mu(\alpha)^2.$ 

που είναι ισοδύναμοι με τους τύπους που αποδείξαμε στην Ασκηση 3.6.5.

Σχόλιο-5 Η απόδειξη της Πρότασης 3.11.5 μπορεί να δοθεί και γεωμετρικά εκφράζοντας τους τριγωνομετρικούς αριθμούς ως μήκη πλευρών ορθογωνίων τριγώνων (δες Σχόλιο-1 στην παράγραφο 3.6). Το επόμενο σχήμα δείχνει έναν τρόπο με τον οποίο αυτό μπορεί να γίνει χρησιμοποιώντας ένα κύκλο ακτίνας 1 και σχηματίζοντας τις γωνίες α και  $\beta$  ως επίκεντρες και διαδοχικές  $\alpha = EO\Gamma$ ,  $\beta = \Gamma OA$ . Στο σχήμα το ημ $(\alpha + \beta) = |OZ|$ . Το μήκος αυτό όμως είναι  $|OZ| = |A\Delta| + |\Gamma E|$ . Το τρίγωνο  $A\Gamma\Delta$  είναι όμοιο του  $OE\Gamma$  και  $|A\Delta| = |A\Gamma|$  συν $(\alpha)$ . Όμως  $|A\Gamma| =$ ημ $(\beta)$  και κάνοντας αντικαταστάσεις βρίσκουμε τον τύπο ημ $(\alpha + \beta) =$ ημ $(\alpha)$  συν $(\beta)$  + ημ $(\beta)$  συν $(\alpha)$ . Ανάλογα, από την |OB| = |OE| - |BE| προκύπτει και ο τύπος γιά το συνημίτονο συν $(\alpha + \beta) =$ συν $(\alpha)$  συν $(\beta)$  - ημ $(\alpha)$  ημ $(\beta)$ .



Σχήμα 353: Τριγωνομετρικοί τύποι αθροίσματος γωνιών

Άσκηση 3.11.3  $\Delta \epsilon$ ίξ $\epsilon$  ότι γιά κάθ $\epsilon$  γωνία α ισχύ $\epsilon$ ι

$$\eta \mu(3\alpha) = 3 \eta \mu(\alpha) - 4 \eta \mu^3(\alpha),$$

$$\sigma \upsilon \nu(3\alpha) = -3 \sigma \upsilon \nu(\alpha) + 4 \sigma \upsilon \nu^3(\alpha).$$

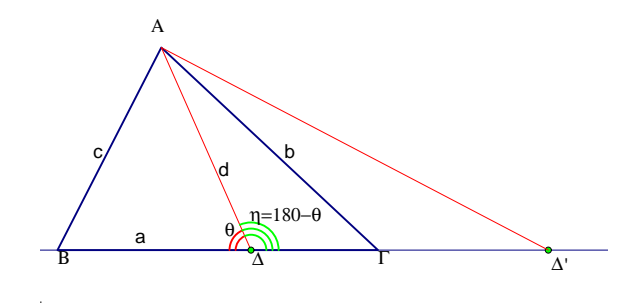
**Σχόλιο-6** Οι εξισώσεις αυτές παίζουν ένα κεντρικό ρόλο σε μία σύντομη απόδειξη του ότι η τριχοτόμηση μιάς γωνίας με κανόνα και διαβήτη είναι, εν γένει, αδύνατη ([Bol82,  $\sigma$ . 33], [Doe65,  $\sigma$ . 177], [Kaz70,  $\sigma$ . 54]).

'Ασκηση 3.11.4 Έστω E το σημείο τομής των διαγωνίων  $A\Gamma$  και  $B\Delta$  του εγγραψίμου σε κύκλο τετραπλεύρου  $AB\Gamma\Delta$ .  $\Delta$ είξε ότι ισχύει

$$\frac{|AE|}{|E\Gamma|} = \frac{|AB||A\Delta|}{|\Gamma B||\Gamma \Delta|}.$$

## 3.12 Stewart, διάμεσοι, διχοτόμοι, ύψη

Το θεώρημα του Stewart συνδέει την απόσταση ενός σημείου  $\Delta$  στην βάση  $B\Gamma$  τριγώνου  $AB\Gamma$  με τα μήκη των τμημάτων  $B\Delta$  και  $\Delta\Gamma$ .



Σχήμα 354: Θεώρημα του Stewart

**Λήμμα 3.12.1** Εστω  $\Delta$  σημείο στην πλευρά  $B\Gamma$  (ή την προέκτασή της) τριγώνου  $AB\Gamma$  και  $d=|A\Delta|$ . Τότε ισχύει η σχέση

$$\frac{c^2 - d^2 - |B\Delta|^2}{b^2 - d^2 - |\Delta\Gamma|^2} = \mp \frac{|B\Delta|}{|\Delta\Gamma|},$$

όπου το πρόσημο είναι αρνητικό γιά σημεία  $\Delta$  εσωτερικά του  $B\Gamma$  και θετικό για σημεία εξωτερικά του  $B\Gamma$ .

Aπόδειξη: Αν το Δ είναι εσωτερικό του  $B\Gamma$ , τότε οι γωνίες  $\vartheta=BΔA$  και  $\eta=\Gamma ΔA$  είναι παραπληρωματικές και συν(θ)=- συν(η). Αν το Δ είναι εξωτερικό του  $B\Gamma$  τότε οι γωνίες  $\vartheta=\eta$ .  $Λαμβάνοντας υπόψη αυτήν την παρατήρηση εφαρμόζουμε το <math>\vartheta$ εώρημα των συνημιτόνων στα δύο τρίγωνα ABΔ και  $AΔ\Gamma$ :

$$\begin{array}{lll} c^2 &=& d^2 + |B\Delta|^2 - 2d|B\Delta|\operatorname{sun}(\theta) & \Leftrightarrow & c^2 - d^2 - |B\Delta|^2 = -2d|B\Delta|\operatorname{sun}(\theta), \\ b^2 &=& d^2 + |\Delta\Gamma|^2 - 2d|\Delta\Gamma|\operatorname{sun}(\eta) & \Leftrightarrow & b^2 - d^2 - |\Delta\Gamma|^2 = -2d|\Delta\Gamma|\operatorname{sun}(\eta). \end{array}$$

Το συμπέρασμα προχύπτει διαιρώντας τις ισότητες κατά μέλη, ο.ε.δ.

Πρόταση 3.12.1 (Τύπος του Stewart 1717-1785 (a))  $A\nu$  το σημείο  $\Delta$  εντός της πλευράς  $B\Gamma$  του τριγώνου  $AB\Gamma$  την χωρίζει σε τμήματα  $|B\Delta|=\kappa \cdot a$ ,  $|\Delta\Gamma|=\lambda \cdot a$ , τότε ισχύει

$$d^2 = b^2 \kappa + c^2 \lambda - a^2 \kappa \cdot \lambda.$$

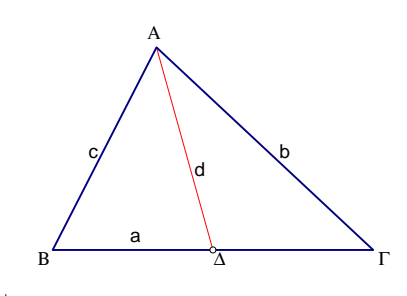
Απόδειξη: Κατ' αρχήν σημείωσε ότι αν γράψουμε τα  $|B\Delta|, |\Delta\Gamma|$  με τον τρόπο που λέει η εκφώνηση, τότε  $\kappa+\lambda=1$  αφού  $|B\Delta|+|\Delta\Gamma|=|B\Gamma|\Leftrightarrow \kappa a+\lambda a=a.$  Η υπόθεση ότι το  $\Delta$  είναι εντός του  $B\Gamma$  συνεπάγεται ότι στον τύπο του προηγουμένου λήμματος πρέπει να πάρουμε το αρνητικό πρόσημο. Επίσης πρέπει να λάβουμε υπόψη ότι  $|B\Delta|+|\Delta\Gamma|=a.$  Η σχέση του λήμματος λοιπόν γίνεται

$$(c^2-d^2-|B\Delta|^2)|\Delta\Gamma|+(b^2-d^2-|\Delta\Gamma|^2)|B\Delta|=0 \Leftrightarrow c^2|\Delta\Gamma|+b^2|B\Delta|-d^2(|\Delta\Gamma|+|B\Delta|)-|B\Delta||\Delta\Gamma|(|\Delta\Gamma|+|B\Delta|)=0 \Leftrightarrow c^2(a\lambda)+b^2(a\kappa)-d^2a-a^3\kappa\lambda=0$$

Ο ζητούμενος τύπος προχύπτει διαιρώντας την τελευταία σχέση με το a, ο.ε.δ.

Πόρισμα 3.12.1 Το μήκος της διαμέσου ΑΔ τριγώνου ΑΒΓ ισούται με

$$|A\Delta|^2 = \frac{1}{2}(b^2 + c^2) - \frac{1}{4}a^2 \quad \Leftrightarrow \quad b^2 + c^2 = 2(|A\Delta|^2 + |B\Delta|^2).$$



Σχήμα 355: Το μήκος της διαμέσου

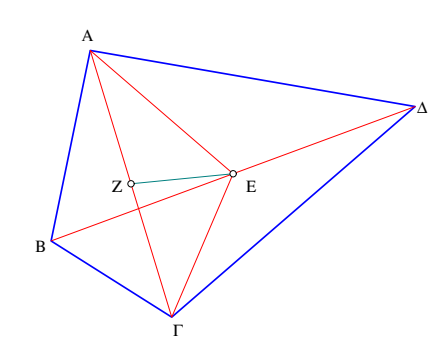
Aπόδειξη: Εφαρμογή του προηγούμενου τύπου με  $κ = λ = \frac{1}{2}$ , ο.ε.δ.

Πόρισμα 3.12.2 Με τους συμβολισμούς του προηγουμένου σχήματος ισχύει:

$$|A\Delta| > \frac{1}{2}(b+c-a).$$

Aπόδειξη: Συνδυασμός του προηγούμενου τύπου και της  $\frac{1}{2}(b^2+c^2)>\frac{1}{4}(b+c)^2$ , ο.ε.δ.

**Πόρισμα 3.12.3** Το άθροισμα των τετραγώνων των τεσσάρων πλευρών τετραπλεύρου ισούται με το άθροισμα των τετραγώνων των διαγωνίων του συν το τετραπλάσιο του τμήματος που συνδέει τα μέσα των διαγωνίων του.



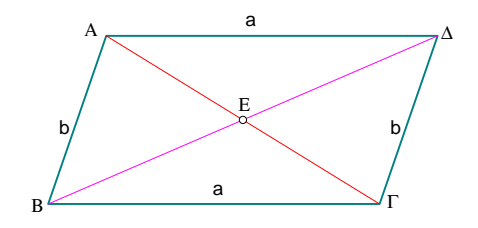
Σχήμα 356: 
$$|AB|^2 + |B\Gamma|^2 + |\Gamma\Delta|^2 + |\Delta A|^2 = |A\Gamma|^2 + |B\Delta|^2 + 4|EZ|^2$$

Aπόδειξη: Το σχήμα, το συναντήσαμε ήδη στην Άσκηση 2.7.4. Αν ABΓΔ το τετράπλευρο και Z, E τα μέσα των διαγωνίων AΓ και BΔ εφαρμόζουμε τρεις φορές το θεώρημα της διαμέσου, στα τρίγωνα ABΔ, BΓΔ και AΓE.

$$\begin{split} |AE|^2 &= \frac{1}{2}(|AB|^2 + |A\Delta|^2) - \frac{1}{4}|BD|^2 \\ |\Gamma E|^2 &= \frac{1}{2}(|\Gamma B|^2 + |\Gamma \Delta|^2) - \frac{1}{4}|BD|^2 \\ |ZE|^2 &= \frac{1}{2}(|AE|^2 + |\Gamma E|^2) - \frac{1}{4}|A\Gamma|^2. \end{split}$$

Το συμπέρασμα προκύπτει αντικαθιστώντας τις εκφράσεις των |AE|,  $|\Gamma E|$  των δύο πρώτων τύπων στον τρίτο, ο.ε.δ.

**Πόρισμα 3.12.4** Το άθροισμα των τετραγώνων των τεσσάρων πλευρών του παραλληλογράμμου ισούται με το άθροισμα των τετραγώνων των διαγωνίων του.

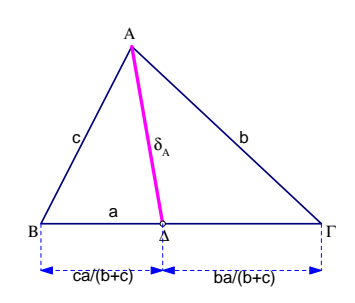


Σχήμα 357:  $2(a^2 + b^2) = |A\Gamma|^2 + |B\Delta|^2$ 

Aπόδειξη: Προκύπτει από το προηγούμενο πόρισμα και το ότι στο παραλληλόγραμμο τα μέσα των διαγωνίων συμπίπτουν, άρα |EZ|=0, ο.ε.δ.

'Ασκηση 3.12.1  $\Delta \epsilon$ ίξ $\epsilon$  ότι το μήκος  $\delta_A$  της  $\epsilon$ σωτ $\epsilon$ ρικής διχοτόμου της γωνίας A του τριγώνου  $AB\Gamma$   $\epsilon$ ίναι

$$\delta_A^2 = b \cdot c \cdot \left(1 - \frac{a^2}{(b+c)^2}\right).$$



Σχήμα 358: Το μήκος της διχοτόμου

Υπόδειξη: Από το Πόρισμα 3.3.7 ξέρουμε ότι  $\frac{|B\Delta|}{|\Delta\Gamma|} = \frac{c}{b}$ . Άν πάρουμε  $|B\Delta| = \kappa a, |\Delta\Gamma| = \lambda a$  ευρίσκουμε  $\frac{\kappa}{\lambda} = \frac{c}{b}$  και  $a = \kappa a + \lambda a \Rightarrow \kappa + \lambda = 1$ . Άπό αυτές προκύπτει αμέσως ότι

$$\kappa = \frac{c}{b+c}, \quad \lambda = \frac{b}{b+c}.$$

Ο τύπος προκύπτει αμέσως αντικαθιστώντας αυτά τα κ, λ στον τύπο του Stewart.

Πρόταση 3.12.2 (Τύπος του Stewart (β))  $A\nu$  το σημείο  $\Delta$  επί της προεκτάσεως της πλευράς  $B\Gamma$  του τριγώνου  $AB\Gamma$  την χωρίζει σε τμήματα  $|B\Delta|=\kappa\cdot a,\ |\Delta\Gamma|=\lambda\cdot a,\$ τότε ισχύει

$$d^{2} = c^{2} \frac{\lambda}{\lambda - \kappa} - b^{2} \frac{\kappa}{\lambda - \kappa} + a^{2} \kappa \cdot \lambda.$$

Aπόδειξη: Κατ' αρχήν σημείωσε ότι αν γράψουμε τα  $|B\Delta|, |\Delta\Gamma|$  με τον τρόπο που λέει η εκφώνηση, τότε  $κ-\lambda=\pm 1$  αφού  $|B\Delta|-|\Delta\Gamma|=\pm a=a\kappa-a\lambda$ . Το συν ισχύει όταν  $\kappa>\lambda$  δηλαδή τα  $\Gamma$  και  $\Delta$  είναι στην ίδια από τις δύο ημιευθείες που ορίζει το B. Αντίστοιχα το μείον ισχύει όταν τα  $\Delta,\Gamma$  είναι σε διαφορετικές ημιευθείες του B. Η απόδειξη προκύπτει με τον ίδιο ακριβώς τρόπο που προέκυψε και η Πρόταση 3.12.1, ο.ε.δ.

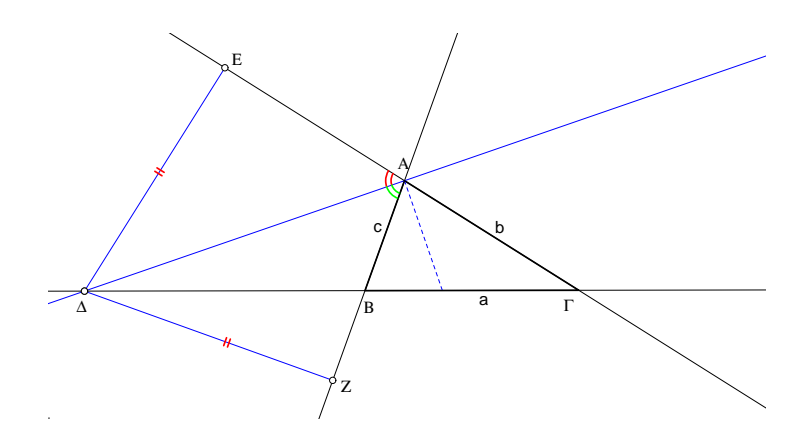
Σχόλιο Το  $\lambda-\kappa$  με το οποίο διαιρούμε στον τελευταίο τύπο είναι  $\pm 1$  και επιτρέπει να δώσουμε στον τύπο αυτόν εννιαία μορφή. Διαφορετικά θα έπρεπε να γράψουμε δύο τύπους. Λαμβάνοντας υπόψη ότι και στην περίπτωση της Πρότασης 3.12.1 ισχύει  $\kappa+\lambda=1$  μπορούμε να ενωποιήσουμε τους τύπους του Stewart σε έναν, όπου, ανάλογα με την θέση του  $\Delta$  θα πρέπει να εκλέξουμε την σωστή εκδοχή:

$$d^{2} = c^{2} \frac{\lambda}{\lambda + \kappa} \pm b^{2} \frac{\kappa}{\lambda + \kappa} \mp a^{2} \kappa \lambda.$$

Τα πάνω πρόσημα επιλέγουμε όταν το  $\Delta$  είναι εντός του  $B\Gamma$  και τα κάτω όταν είναι εκτός. Έχουμε εδώ μιά περίπτωση που ο (αυτο)περιορισμός μας να θεωρούμε λόγους αποκλειστικά θετικούς δημιουργεί δυσκολίες στην περιγραφή μιάς σχέσης με εννιαίο τρόπο. Το θεώρημα Stewart ανήκει στο κεφάλαιο των προσημασμένων λόγων (Παράγραφος 5.12) και είναι πόρισμα μιάς σχέσης μεταξύ τεσσάρων σημείων μιάς ευθείας (Άσκηση 5.12.9). Το θεώρημα ωστόσο έχει πολλές και ενδιαφέρουσες εφαρμογές και έκρινα σκόπιμο να το δούμε από τώρα. Έτσι, περιοριζόμενοι στους θετικούς λόγους (μηκών), πρέπει να προσέχομε αν το σημείο  $\Delta$  είναι εσωτερικό ή εξωτερικό του  $B\Gamma$ , ωστε να εφαρμόζουμε τον σωστό τύπο.

Άσκηση 3.12.2  $\Delta \epsilon$ ίξε ότι το μήκος  $\delta_A$  της εξωτερικής διχοτόμου της γωνίας A ενός τριγώνου  $AB\Gamma$  του οποίου οι προσκείμενες στην A πλευρές δεν είναι ίσες, δίδεται από τον τύπο

$$\delta_A^2 = b \cdot c \cdot \left( \frac{a^2}{(b-c)^2} - 1 \right).$$

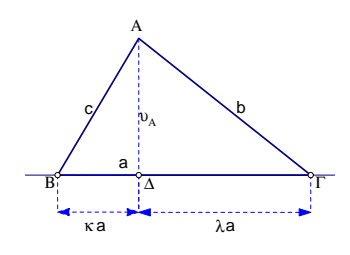


Σχήμα 359: Το μήκος της εξωτερικής διχοτόμου

Υπόδειξη:  $\Delta$ ες πρώτα ότι  $\kappa=\frac{c}{b-c}, \lambda=\frac{b}{b-c}, \lambda-\kappa=1$ , εφόσον b>c και εφάρμοσε την Πρόταση 3.12.2. Η απαίτηση γιά μή ίσες πλευρές προσκείμενες στην γωνία A είναι αναγκαία γιά την ύπαρξη του  $\Delta$ , διαφορετικά η  $A\Delta$  είναι παράλληλη της  $B\Gamma$ .

Πρόταση 3.12.3 Το τετράγωνο του μήκους του ύψους  $v_A$  της γωνίας A οξυγωνίου τριγώνου  $AB\Gamma$  είναι

$$v_A^2 = \frac{1}{4a^2}(a+b+c)(b+c-a)(c+a-b)(a+b-c).$$



Σχήμα 360: Το μήχος του ύψους

Aπόδειξη: Κατ' αρχήν υπολογίζουμε τα κ και λ που εκφράζουν τα τμήματα  $|B\Delta|=\kappa \cdot a$  και  $|\Delta\Gamma|=\lambda \cdot a$ , στα οποία το ύψος  $A\Delta$  χωρίζει την απέναντι πλευρά  $B\Gamma$  του τριγώνου  $AB\Gamma$ . Ως συνήθως η  $\kappa \cdot a + \lambda \cdot a = a$  δίνει  $\kappa + \lambda = 1$ . Μιά δεύτερη εξίσωση παίρνουμε από τα ορθογώνια τρίγωνα  $AB\Delta$  και  $A\Delta\Gamma$ :

$$v_A^2 = c^2 - (\kappa a)^2 = b^2 - (\lambda a)^2 \implies \kappa - \lambda = \frac{c^2 - b^2}{a^2}.$$

Λύνοντας τις δυο εξισώσεις ως προς κ και λ βρίσκουμε:

$$\kappa = \frac{1}{2} \left( 1 + \frac{c^2 - b^2}{a^2} \right), \quad \lambda = \frac{1}{2} \left( 1 - \frac{c^2 - b^2}{a^2} \right).$$

Αντικαθιστώντας στον τύπο του Stewart (Πρόταση 3.12.1) αυτά τα κ και λ βρίσκουμε:

$$\begin{array}{rcl} \upsilon_A^2 & = & b^2\kappa + c^2\lambda - a^2\kappa\lambda \\ & = & \frac{b^2}{2}\left(1 + \frac{c^2 - b^2}{a^2}\right) + \frac{c^2}{2}\left(1 - \frac{c^2 - b^2}{a^2}\right) - \frac{a^2}{4}\left(1 + \frac{c^2 - b^2}{a^2}\right)\left(1 - \frac{c^2 - b^2}{a^2}\right) \end{array}$$

Μιά μικρή περιπέτεια στις πράξεις οδηγεί τελικά στην [Καν76, σελ. 128]

$$v_A^2 = \frac{1}{4a^2} (2a^2b^2 + 2b^2c^2 + 2c^2a^2 - a^4 - b^4 - c^4).$$

Η παρένθεση παραγοντοποιείται και παίρνει την μορφή που θέλουμε [Καπ96, τομ Α, σελ.39]

$$2a^{2}b^{2} + 2b^{2}c^{2} + 2c^{2}a^{2} - a^{4} - b^{4} - c^{4} = (a+b+c)(b+c-a)(c+a-b)(a+b-c).$$

Αυτό το βλέπει κανείς ευκολότερα πηγαίνοντας από τα δεξιά προς τα αριστερά:

$$(a+b+c)(b+c-a)(c+a-b)(a+b-c)$$

$$= ((b+c)^2 - a^2)(a^2 - (b-c)^2)$$

$$= (b+c)^2 a^2 - a^4 - (b+c)^2 (b-c)^2 + a^2 (b-c)^2$$

$$= (b^2 a^2 + 2bca^2 + c^2 a^2) - a^4 - (b^2 - c^2)^2 + (a^2 b^2 - 2a^2 bc + a^2 c^2)$$

$$= (b^2 a^2 + 2bca^2 + c^2 a^2) - a^4 - (b^4 - 2b^2 c^2 + c^4) + (a^2 b^2 - 2a^2 bc + a^2 c^2)$$

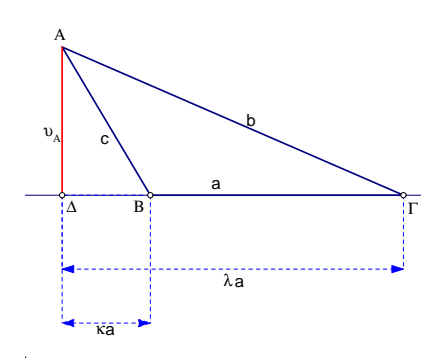
$$= 2a^2 b^2 + 2b^2 c^2 + 2c^2 a^2 - a^4 - b^4 - c^4, \text{ o.e.} \delta.$$

Άσκηση 3.12.3  $\Delta \epsilon$ ίξε ότι ο τύπος γιά το ύψος  $A\Delta$  τριγώνου ισχύει και όταν το ίχνος του  $\Delta$  είναι εκτός της  $B\Gamma$ , δηλαδή η γωνία στο B είναι αμβλεία.

Υπόδειξη: Υπολόγισε πρώτα τα κ, λ και δες ότι είναι

$$\kappa = \frac{1}{2} \left( \frac{b^2 - c^2}{a^2} - 1 \right), \quad \lambda = \frac{1}{2} \left( \frac{b^2 - c^2}{a^2} + 1 \right).$$

Αντικατάστησε κατόπιν αυτά τα κ, λ στην Πρόταση 3.12.2 και δες ότι προκύπτει πάλι η



Σχήμα 361: 
$$v_A^2 = \frac{1}{4a^2}(a+b+c)(b+c-a)(c+a-b)(a+b-c)$$

παράσταση

$$\frac{1}{4a^2}(2a^2b^2 + 2b^2c^2 + 2c^2a^2 - a^4 - b^4 - c^4),$$

που παραγοντοποιείται όπως και στην Πρόταση 3.12.3.

'Ασκηση 3.12.4 (Θεώρημα Steiner-Lehmus)  $\Delta \epsilon$ ίξε ότι αν σε ένα τρίγωνο οι δύο εσωτερικές διχοτόμοι είναι ίσες τότε το τρίγωνο είναι ισοσκελές.

Υπόδειξη: Υπολογιστικά, εφαρμόζοντας την Άσκηση 3.12.1 (δες και παραπομπές γιά γεωμετρική απόδειξη στο σχόλιο-3 της Παραγράφου 1.9). Εάν  $δ_A, δ_B$  και σ είναι αντίστοιχα οι διχοτόμοι και η περίμετρος, τότε (Άσκηση 3.12.1):

$$\delta_{A} - \delta_{B} = b \cdot c \cdot \left(1 - \frac{a^{2}}{(b+c)^{2}}\right) - c \cdot a \cdot \left(1 - \frac{b^{2}}{(c+a)^{2}}\right)$$

$$= c(b-a) - cab\left(\frac{a}{(\sigma-a)^{2}} - \frac{b}{(\sigma-b)^{2}}\right)$$

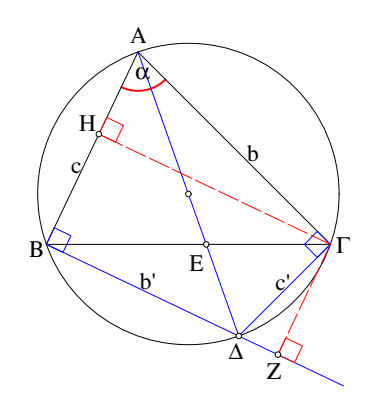
$$= c(b-a) - cab(a-b)\frac{\sigma^{2} - ab}{(\sigma-a)^{2}(\sigma-b)^{2}}$$

$$= c(b-a)\left(1 + ab\frac{\sigma^{2} - ab}{(\sigma-a)^{2}(\sigma-b)^{2}}\right).$$

Η παρένθεση είναι πάντα θετική, άρα γιά να μηδενίζεται η παράσταση θα πρέπει (b-a)=0.

'Ασκηση 3.12.5 Έστω  $\Delta$  το αντιδιαμετρικό του A ως προς τον περίκυκλο του τριγώνου  $AB\Gamma$ . Bάσει του σχήματος 362 δείξε ότι

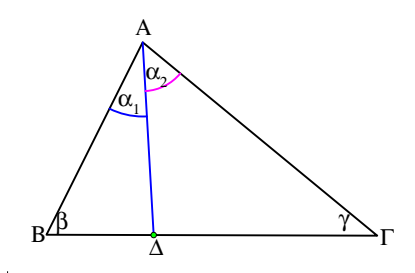
$$c = b \operatorname{sun}(\alpha) + c' \operatorname{hm}(\alpha), \qquad b = c \operatorname{sun}(\alpha) + b' \operatorname{hm}(\alpha).$$



Σχήμα 362: Τύποι γιά αντιδιαμετρικό κορυφής

Άσκηση 3.12.6 Έστω ότι το σημείο  $\Delta$  στην βάση  $B\Gamma$  του οξυγωνίου τριγώνου  $AB\Gamma$  ορίζει την  $A\Delta$ , έτσι ώστε  $\alpha_1=|BA\Delta|,\ \alpha_2=|\Delta A\Gamma|.\ \Delta$ είξε ότι

$$|A\Delta| = \frac{bc}{a} \cdot \frac{\eta\mu(\beta) \, \eta\mu(\alpha_1) + \eta\mu(\gamma) \, \eta\mu(\alpha_2)}{\eta\mu(\beta) \, \eta\mu(\gamma) + \eta\mu(\alpha_1) \, \eta\mu(\alpha_2)}.$$



Σχήμα 363: Τύπος του Stewart με γωνίες

Υπόδειξη: Από τον τύπο του ημιτόνου προκύπτει ότι

$$\frac{|A\Delta|}{\eta\mu(\beta)} = \frac{|B\Delta|}{\eta\mu(\alpha_1)} \ \Rightarrow \ |B\Delta| = |A\Delta| \frac{\eta\mu(\alpha_1)}{\eta\mu(\beta)}, \quad \frac{|A\Delta|}{\eta\mu(\gamma)} = \frac{|\Gamma\Delta|}{\eta\mu(\alpha_2)} \ \Rightarrow \ |\Gamma\Delta| = |A\Delta| \frac{\eta\mu(\alpha_2)}{\eta\mu(\gamma)}.$$

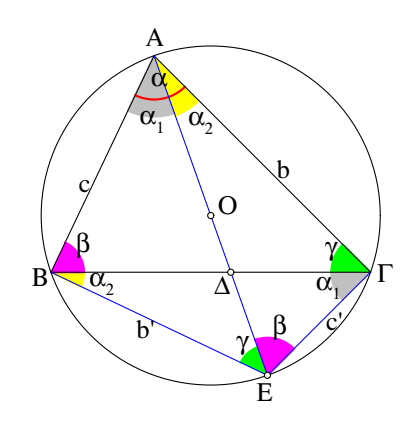
Το συμπέρασμα προχύπτει αντιχαθιστώντας στον τύπο του Stewart (Πρόταση 3.12.1) και λαμβάνοντας υπόψη τον τύπο του ημιτόνου γιά το τρίγωνο ABΓ.

Άσκηση 3.12.7 Έστω E το αντιδιαμετρικό του A ως προς το περίκεντρο O του οξυγωνίου τριγώνου  $AB\Gamma$  και  $\Delta$  το σημείο στο οποίο η AE τέμνει την  $B\Gamma$ .  $\Delta$ είξε ότι

$$\frac{|A\Delta|}{|E\Delta|} = \epsilon \varphi(\beta) \, \epsilon \varphi(\gamma), \qquad \frac{|B\Delta|}{|\Delta\Gamma|} = \frac{\eta \mu(2\beta)}{\eta \mu(2\gamma)}.$$

Υπόδειξη: Κατά την Άσκηση 3.12.6 θα ισχύει (σχήμα 364)

$$|A\Delta| = \frac{bc}{a} \cdot \frac{\eta\mu(\beta)\,\eta\mu(\alpha_1) + \eta\mu(\gamma)\,\eta\mu(\alpha_2)}{\eta\mu(\beta)\,\eta\mu(\gamma) + \eta\mu(\alpha_1)\,\eta\mu(\alpha_2)}, \quad |E\Delta| = \frac{b'c'}{a} \cdot \frac{\eta\mu(\alpha_2)\,\eta\mu(\gamma) + \eta\mu(\alpha_1)\,\eta\mu(\beta)}{\eta\mu(\alpha_1)\,\eta\mu(\alpha_2) + \eta\mu(\beta)\,\eta\mu(\gamma)}.$$



Σχήμα 364: Γινόμενο συνεφαπτομένων

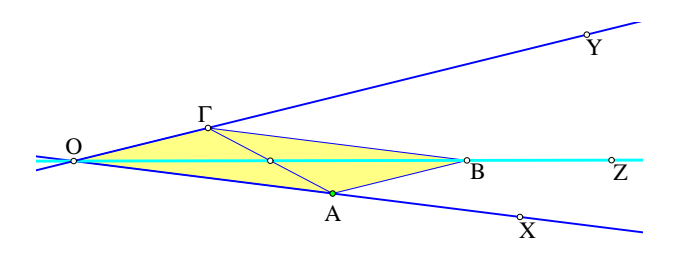
 $\Delta$ ιαιρόντας τις ισότητες κατά μέλη παίρνουμε την εξίσωση

$$\frac{|A\Delta|}{|E\Delta|} = \frac{bc}{b'c'} = \left(\frac{b}{c'}\right) \left(\frac{c}{b'}\right) = \varepsilon \varphi(\beta) \, \varepsilon \varphi(\gamma).$$

Γιά την δεύτερη χρησιμοποιούμε πάλι την προηγούμενη άσκηση που συνεπάγεται ότι

$$\frac{|B\Delta|}{|\Delta\Gamma|} = \frac{\frac{\eta\mu(\alpha_1)}{\eta\mu(\beta)}}{\frac{\eta\mu(\alpha_2)}{\eta\mu(\gamma)}} = \frac{\frac{\sigma \upsilon v(\gamma)}{\eta\mu(\beta)}}{\frac{\sigma \upsilon v(\beta)}{\eta\mu(\gamma)}} = \frac{\eta\mu(2\gamma)}{\eta\mu(2\beta)}.$$

Άσκηση 3.12.8 Από σημείο A της πλευράς OX γωνίας XOY να αχθεί ευθύγραμμο τμήμα  $A\Gamma$  έτσι ώστε το μέσον του να περιέχεται σε δοθείσα ευθεία OZ στο εσωτερικό της γωνίας XOY.



Σχήμα 365: Τμήματα διχοτομούμενα από ευθεία

Άσκηση 3.12.9 Δοθέντος ευθυγράμμου τμήματος AB, δείξε ότι ο γεωμετρικός τόπος των σημείων X γιά τα οποία το άθροισμα  $|XA|^2 + |XB|^2 = \kappa$  είναι σταθερό, είναι κύκλος με κέντρο στο μέσον του AB.

Άσκηση 3.12.10 Κατασκεύασε τρίγωνο του οποίου δίδεται η πλευρά  $a=|B\Gamma|$  το ύψος  $v_A$  από το A και το άθροισμα  $|AB|^2+|A\Gamma|^2$ .

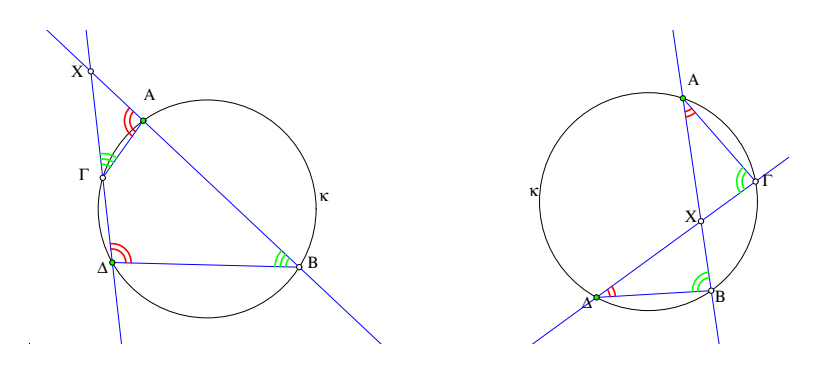
'Ασκηση 3.12.11 Κατασκεύασε τρίγωνο του οποίου δίδεται η πλευρά  $a=|B\Gamma|$  η γωνία  $\alpha=|BA\Gamma|$  και η διαφορά  $|AB|^2-|A\Gamma|^2$ .

Κεφάλαιο 4 Η δύναμη του κύκλου

# 4.1 $\Delta$ ύναμη ως προς κύκλο

Μιά σημαντική ιδιότητα του κύκλου που σχετίζεται με την ομοιότητα είναι αυτή της  $\Delta$  ύναμης σημείου ως προς κύκλο. Η ιδιότητα αυτή στηρίζεται στο επόμενο θεώρημα.

Θεώρημα 4.1.1 Δοθέντος κύκλου κ και σημείου X έστω ότι ευθεία διά του X τέμνει τον κύκλο στα σημεία A και B. Τότε το γινόμενο |XA||XB| είναι ανεξάρτητο της κατεύθυνσης της ευθείας και εξαρτάται μόνον από την θέση του σημείου ως προς τον κύκλο.



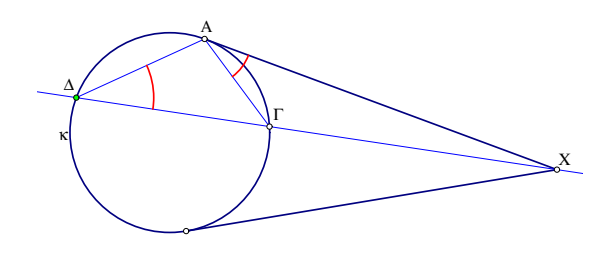
Σχήμα 366:  $\Delta$ ύναμη σημείου ως προς κύκλο |XA||XB|

Aπόδειξη: Θεώρησε δύο διαφορετικές ευθείες που διέρχονται από το X και τέμνουν τον κύκλο κ στα σημεία (A,B) και  $(\Gamma,\Delta)$  αντίστοιχα. Τα τρίγωνα που σχηματίζονται  $XA\Gamma$  και  $X\Delta B$  είναι όμοια (Πόρισμα 2.14.1). Συνεπώς έχουν πλευρές ανάλογες:

$$\frac{|XA|}{|X\Gamma|} = \frac{|X\Delta|}{|XB|} \Rightarrow |XA||XB| = |X\Gamma||X\Delta|,$$

 $o.\epsilon.\delta$ .

Τον αριθμό p(X) = |XA||XB| αν το σημείο είναι εξωτερικό, p(X) = -|XA||XB| αν το σημείο είναι εσωτερικό και p(X) = 0 αν το X είναι επί του κύκλου ονομάζουμε  $\Delta$ ύναμη του σημείου X ως προς τον κύκλο κ. Στην περίπτωση που το X είναι εξωτερικό σημείο έχουμε δύο ειδικές θέσεις της ευθείας, τις εφαπτόμενες από το X. Μπορούμε να θεωρήσουμε την θέση αυτή οριακή, κατά την οποία τα X0 και X1 συμπίπτουν. Και πάλι σχηματίζονται

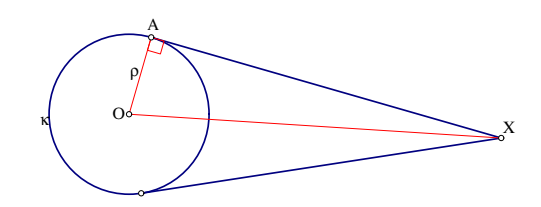


Σχήμα 367: Δύναμη και εφαπτόμενη  $|XA|^2 = |X\Gamma||X\Delta|$ 

όμοια τρίγωνα ΧΑΓ και ΧΔΑ, λόγω του ότι η εγγεγραμμένη γωνία ΧΔΑ είναι ίση με την ΓΑΧ που σχηματίζεται από την χορδή ΓΑ και την εφαπτόμενη στο άκρο της Α (Πρόταση 2.13.4). Έτσι προκύπτει ότι  $\frac{|XA|}{|X\Gamma|} = \frac{|X\Delta|}{|XA|}$ , που συνεπάγεται ότι  $p(X) = |X\Gamma| |X\Delta| = |XA|^2$ . Αποδείξαμε λοιπόν το επόμενο πόρισμα.

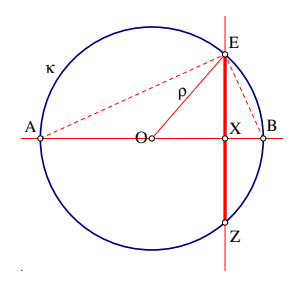
**Πόρισμα 4.1.1** Γιά κάθε σημείο X εξωτερικό του κύκλου κ η δύναμη p(X) ισούται με το τετράγωνο της εφαπτομένης του κ από το X.

Μιά τρίτη έκφραση της δύναμης p(X) βρίσκουμε φέρνοντας την XO που συνδέει το σημείο X με το κέντρο Ο του κύκλου κ. Αν A είναι το σημείο επαφής της εφαπτόμενης XA από το X, τότε από το ορθογώνιο τρίγωνο OAX έχουμε  $p(X)=|XA|^2=|XO|^2-\rho^2$ , όπου  $\rho$  η ακτίνα του κύκλου. Γιά σημεία X εσωτερικά του κύκλου δεν υπάρχουν εφαπτόμενες προς



Σχήμα 368: 
$$p(X) = |XA|^2 = |XO|^2 - \rho^2$$

αυτόν. Ωστόσο ή προηγούμενη έχφραση, αυτή τη φορά με αντίθετο πρόσημο, δίνει πάλι την δύναμη του σημείου. Αυτό φαίνεται φέρνοντας την χορδή του χύχλου που διέρχεται από το X και είναι κάθετη στην ΧΟ. Ο ορισμός της δύναμης του X και το ορθογώνιο τρίγωνο ΟΧΕ



Σχήμα 369:  $p(X) = |XO|^2 - \rho^2$ 

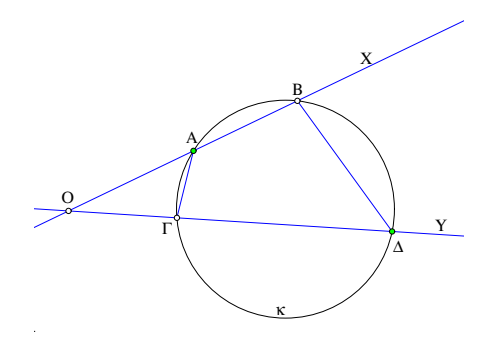
οδηγούν στην:  $-p(X)=|XA||XB|=|XE|^2=\rho^2-|OX|^2$ . Λαμβάνοντας υπόψη ότι γιά σημεία του κύκλου  $p(X)=\rho^2-|XO|^2=0$  έχουμε την επόμενη πρόταση.

Πρόταση 4.1.1  $\Delta o \theta$ έντος κύκλου κ $(O,\rho)$  κέντρου O και ακτίνας  $\rho$ , η δύναμη οποιουδήποτε σημείου X του επιπεδου  $\omega$ ς προς τον κύκλο κ δίδεται από τον τύπο

$$p(X) = |OX|^2 - \rho^2.$$

Πρόταση 4.1.2 Δοθέντων δύο τεμνομένων ευθειών OX και OY τα σημεία A, B επί της OX και  $\Gamma$ ,  $\Delta$  επί της OY είναι ομοκυκλικά τότε και μόνον όταν  $|OA||OB| = |O\Gamma||O\Delta|$ .

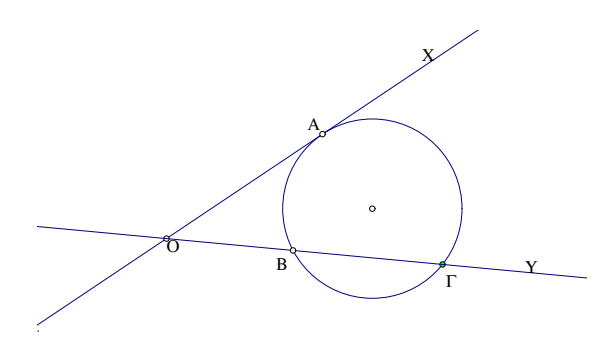
Aπόδειξη: Όπως είδαμε, όταν τα A, B,  $\Gamma$  και  $\Delta$  είναι στον ίδιο κύκλο (ομοκυκλικά) τότε ισχύει η ισότητα. Αντίστροφα, έστω ότι ισχύει η ισότητα και κ είναι ο κύκλος που διέρχεται από τα τρία σημεία: A, B και  $\Gamma$  (Πρόταση 2.1.3). Έστω  $\Delta'$  το δεύτερο σημείο τομής αυτού του κύκλου με την OY. Τότε κατά το Θεώρημα 4.1.1  $|OA||OB| = |O\Gamma||O\Delta'|$ . Αλλά εξ υποθέσεως έχουμε και ότι  $|OA||OB| = |O\Gamma||O\Delta|$  και επομένως  $|O\Delta'| = |O\Delta|$  και τα  $\Delta$  και  $\Delta'$  ταυτίζονται, ο.ε.δ.



Σχήμα 370: Κριτήριο ομοκυκλικότητας

Πρόταση 4.1.3  $\Delta$ ίδονται τρία μη συνευθειακά σημεία, A στην ευθεία OX και B, $\Gamma$  στην ευθεία OY. O κύκλος  $(AB\Gamma)$  εφάπτεται της OX στο A τότε και μόνον, όταν

$$|OA|^2 = |OB||O\Gamma|.$$



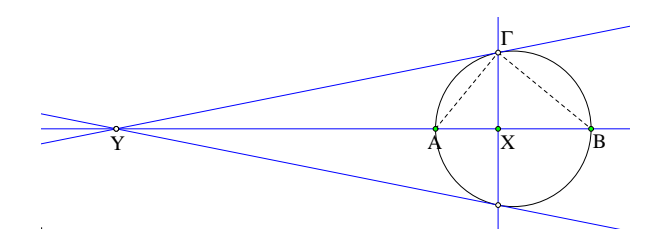
Σχήμα 371: Κύκλος (ΑΒΓ) εφαπτόμενος της ΟΧ στο Α

Aπόδειξη: Αν η <math>OA είναι εφαπτόμενη στον  $(AB\Gamma)$  στο A, τότε η σχέση ισχύει κατά το Πόρισμα 4.1.1. Αντίστροφα, αν ισχύει η σχέση και υποθέσουμε ότι η OX τέμνει τον  $(AB\Gamma)$  στα σημεία A και A', τότε, κατά την Πρόταση 4.1.2 θα ισχύει  $|OA||OA'| = |OB||O\Gamma|$ . Όμως εξ υποθέσεως ισχύει και  $|OA|^2 = |OB||O\Gamma|$ , η οποία συνδυαζόμενη με την προηγούμενη δίνει |OA| = |OA'|, που σημαίνει ότι τα A και A' ταυτίζονται, ο.ε.δ.

Πρόταση 4.1.4 Τα συνευθειακά σημεία A,B, και X,Y είναι αρμονικά συζυγή τότε και μόνον, όταν

$$p(Y) + p(X) = |XY|^2,$$

όπου p(X), p(Y) οι δυνάμεις των σημείων ως προς τον κύκλο με διάμετρο AB.



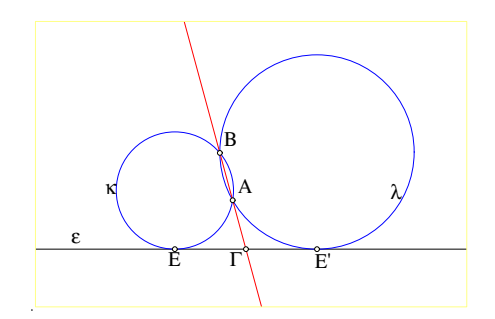
Σχήμα 372: Χαρακτηρισμός αρμονικής τετράδας

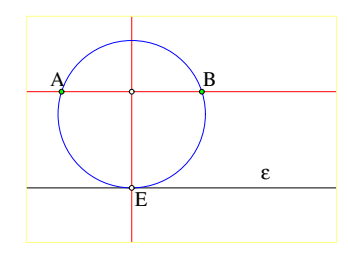
Aπόδειξη: Προκύπτει από το Πόρισμα 1.17.5 και το ότι

$$p(Y) = |YA||YB| = |Y\Gamma|^2, -p(X) = |XA||XB| = |X\Gamma|^2,$$

όπου  $Y\Gamma$  η εφαπτόμενη του κύκλου από το Y, υποτιθέμενο εκτός του κύκλου, ο.ε.δ.

'Ασκηση 4.1.1 Κατασκεύασε κύκλο κ έτσι ώστε να διέρχεται από δύο δοθέντα σημεία A και B και να εφάπτεται δοθείσης ευθείας  $\varepsilon$ .





Σχήμα 373: Κύκλος διά των Α,Β και εφαπτόμενος ευθείας

Υπόδειξη: Έστω ότι ο ζητούμενος κύκλος κατασκευάστηκε. Έστω  $\Gamma$  το σημείο τομής της AB με την δοθείσα ευθεία ε και E το σημείο επαφής του κύκλου με την ε. Το  $\Gamma$  προσδιορίζεται από τα δεδομένα του προβλήματος και η δύναμή του ως προς τον κύκλο θα είναι  $p(\Gamma) = |\Gamma A| |\Gamma B| = |\Gamma E|^2$ . Άρα το μήκος  $|\Gamma E|$  και επομένως η θέση του E προσδιορίζεται επίσης από τα δεδομένα. Συνεπώς προσδιορίζεται και ένα ακόμη σημείο (E) από το οποίο θα διέρχεται ο κύκλος. Eν γένει υπάρχουν δύο λύσεις που αντιστοιχούν σε δύο θέσεις του E συμμετρικές ως προς το  $\Gamma$ . Σημείωσε ότι το πρόβλημα δεν έχει λύση όταν τα σημεία A και B ευρίσκονται σε διαφορετικές μεριές της ε. Σημείωσε επίσης ότι στην περίπτωση που δεν υπάρχει το  $\Gamma$ , δηλαδή η ευθεία AB είναι παράλληλη της E, το πρόβλημα έχει μία μόνο λύση και το E προσδιορίζεται τέμνοντας την μεσοκάθετο του AB με την E.

'Ασκηση 4.1.2 Η διάμεσος ΑΜ δοθέντος τριγώνου ΑΒΓ τέμνει τον περίκυκλο του τριγώνου στο  $\Delta$ .  $\Delta$ είξε ότι

$$|AM||A\Delta| = \frac{1}{2}(|AB|^2 + |A\Gamma|^2).$$

Άσκηση 4.1.3 Να κατασκευασθεί ορθογώνιο τρίγωνο του οποίου δίδεται η υποτείνουσα και η διάμεσος προς μία κάθετη πλευρά.

Άσκηση 4.1.4 Δίδονται σημεία A και B εκατέρωθεν ευθείας  $\varepsilon$  και σημείο X κινούμενο επ' αυτής. Να ευρεθεί η θέση του X γιά την οποία το  $|XA|^2 + |XB|^2$  καθίσταται ελάχιστο.

Άσκηση 4.1.5 Η χορδή  $\Gamma\Delta$  είναι παράλληλη της διαμέτρου AB του κύκλου κ.  $\Delta$ είξε ότι γιά κάθε σημείο X της διαμέτρου AB ισχύει  $|X\Gamma|^2 + |X\Delta|^2 = |XA|^2 + |XB|^2$ .

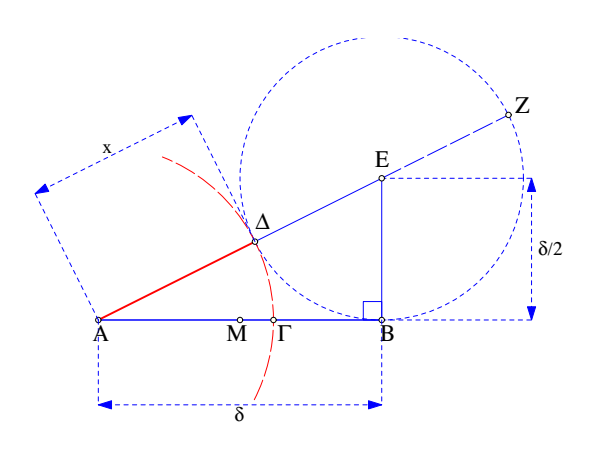
'Ασκηση 4.1.6  $\Delta$ ίδεται σημείο X στην χορδή AB κύκλου κ. Nα κατασκευασθεί χορδή  $\Gamma\Delta$  παράλληλη της AB έτσι ώστε η γωνία  $\Gamma X\Delta$  να είναι ορθή.

# 4.2 Χρυσή τομή, κανονικό πεντάγωνο

Κατασκευή 4.2.1 (Χρυσή τομή) Κατασκεύασε σημείο  $\Gamma$  που διαιρεί δοθέν ευθύγραμμο τμήμα AB σε μέσο και άκρο λόγο, δηλαδή

$$\frac{|AB|}{|A\Gamma|} = \frac{|A\Gamma|}{|B\Gamma|} \iff |A\Gamma|^2 = |AB||\Gamma B|.$$

(Ο λόγος ολόκληρου προς το μεγάλο ισούται με τον λόγο του μεγάλου προς το μικρό τμήμα.)



Σχήμα 374: Χρυσή τομή

Aπόδειξη: Σχημάτισε ορθογώνιο τρίγωνο ABE με  $|BE|=\frac{\delta}{2}$ , όπου  $\delta=|AB|$ . Επί της υποτείνουσας EA πάρε σημείο  $\Delta$ :  $|E\Delta|=|EB|$ . Ο χύχλος χ με χέντρο A και αχτίνα  $A\Delta$  τέμνει την AB στο ζητούμενο σημείο  $\Gamma$ . Αυτό προχύπτει από την δύναμη του A ως προς τον χύχλο χ.

$$|AB|^2 = |A\Delta||AZ| \Leftrightarrow \delta^2 = x(x+\delta),$$

όπου  $x = |A\Delta| = |A\Gamma|$ . Παίρνουμε λοιπόν την εξίσωση ως προς x:

$$x^2 + x\delta - \delta^2 = 0,$$

που έχει μία λύση αρνητική και απορριπτέα και μία θετική

$$x = \frac{\sqrt{5} - 1}{2}\delta = (0,61803398874989484820...) \cdot \delta,$$

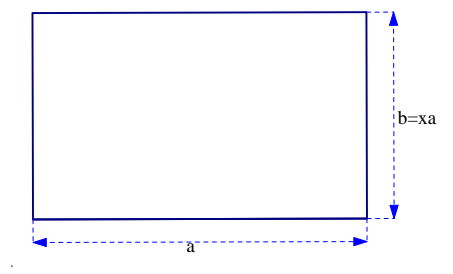
γιά την οποία διαπιστώνουμε ότι ικανοποιεί την ζητούμενη συνθήκη

$$\frac{\delta}{x} = \frac{x}{\delta - x} \qquad \Leftrightarrow \qquad \frac{|AB|}{|A\Gamma|} = \frac{|A\Gamma|}{|B\Gamma|},$$

 $o.\epsilon.\delta$ .

 $\Sigma$ χόλιο-1 Ο θετικός αριθμός  $x=rac{\sqrt{5}-1}{2}$ , που είναι ρίζα της εξίσωσης

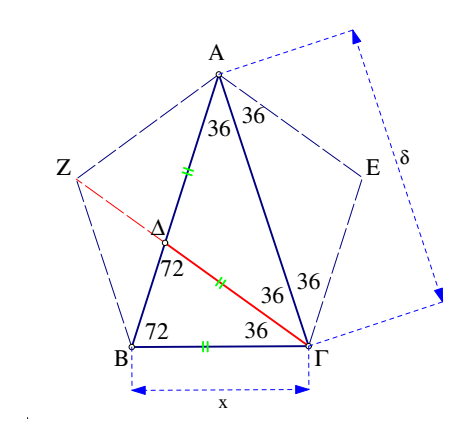
$$x^2 + x - 1 = 0 \quad \Leftrightarrow \quad \frac{1}{x} = 1 + x$$



Σχήμα 375: Ορθογώνιο χρυσής τομής

ορίζει τον ονομαζόμενο **Λόγο της χρυσής τομής**. Αυτός θεωρείται ότι δίνει το πιό καλαίσθητο ορθογώνιο, που είναι το ορθογώνιο παραλληλόγραμμο του οποίου η μικρή προς την μεγάλη πλευρά έχει λόγο ακριβώς x. Το ορθογώνιο αυτό έχει χρησιμοποιηθεί και στην κατασκευή του Παρθενώνα. Μιά άλλη χρήση του είναι αυτή του ισοσκελούς με γωνία κορυφής 36 μοιρών, που οδηγεί στην κατασκευή του κανονικού πενταγώνου.

Κατασκευή 4.2.2 Να κατασκευασθεί ισοσκελές με γωνία κορυφής 36 μοιρών.



Σχήμα 376: Ισοσκελές με γωνία κορυφής 36 μοιρών

Aπόδειξη: Από το ότι οι άλλες δύο γωνίες θα έχουν άθροισμα 180-36=144, έπεται ότι οι δύο βασικές γωνίες του ισοσκελούς θα είναι 72 μοίρες, που είναι διπλάσιο του 36. Συνεπώς η διχοτόμος  $\Gamma\Delta$  θα ορίζει επίσης ισοσκελές  $\Gamma\Delta B$  όμοιο του  $AB\Gamma$ . Επίσης θα είναι  $|\Delta A| = |\Delta\Gamma| = |B\Gamma|$ . Από τις αναλογίες των ομοίων τριγώνων λοιπόν συμπεραίνουμε, θέτοντας  $|A\Gamma| = \delta$  και  $|B\Gamma| = x$ :

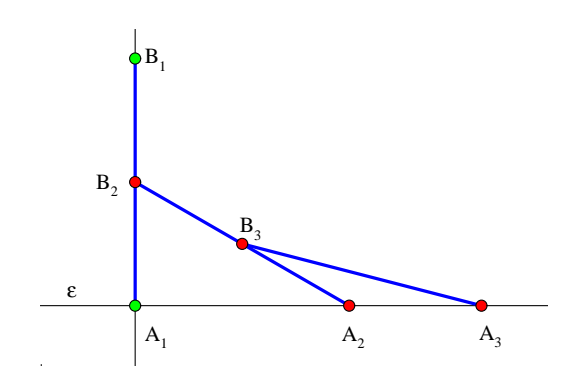
$$\frac{|B\Gamma|}{|A\Gamma|} = \frac{|B\Delta|}{|B\Gamma|} \qquad \Leftrightarrow \qquad \frac{x}{\delta} = \frac{\delta - x}{x} \qquad \Leftrightarrow \qquad x^2 + \delta x - \delta^2 = 0,$$

που σημαίνει ότι το σημείο  $\Delta$  διαιρεί το AB σε μέσο και άκρο λόγο (Κατασκευή 4.2.1). Επομένως, δοθέντος του μήκους  $\delta=|AB|$  το μήκος της  $|B\Gamma|$  ευρίσκεται από την προηγούμενη κατασκευή και το ισοσκελές κατασκευάζεται ως τρίγωνο του οποίου είναι γνωστά τα μήκη των πλευρών, ο.ε.δ.

'Ασκηση 4.2.1 Έστω ΑΒΓ ισοσκελές με γωνία κορυφής Α μέτρου 36 μοιρών. Δείξε ότι φέρνοντας από τις κορυφές του ευθείες με κλίση 36 μοιρών προς τα σκέλη του (σχήμα-376), σχηματίζεται κανονικό πεντάγωνο.

Άσκηση 4.2.2 Κατασκεύασε κανονικό πεντάγωνο με μήκος πλευράς α.

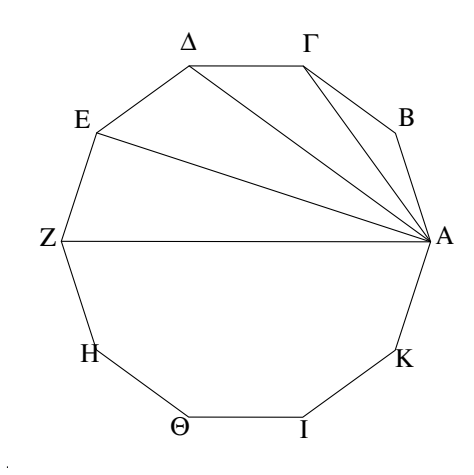
Άσκηση 4.2.3 Ξεκινώντας με ένα κάθετο στην ευθεία ε ευθύγραμμο τμήμα  $A_1B_1$  κατασκεύασε δύο άλλα  $A_2B_2$ ,  $A_3B_3$ , που καθένα ακουμπά στην μέση του άλλου. Δείξε ότι τα σημεία  $A_1$ ,  $A_2$ ,  $A_3$  ορίζουν τον λόγο της χρυσής τομής  $\frac{|A_2A_3|}{|A_1A_2|} = \frac{\sqrt{5}-1}{2}$  ([Nie11]).



Σχήμα 377: Απλή κατασκευή χρυσής τομής

Άσκηση 4.2.4  $\Delta \epsilon$ ίξ $\epsilon$  ότι γιά τις διαγώνιες του κανονικού δεκαγώνου όπως στο επόμενο σχήμα ισχύουν οι τύποι  $(x=\frac{\sqrt{5}-1}{2})$ :

$$\frac{|AB|}{|AZ|} = \frac{x}{2}, \qquad \frac{|A\Gamma|}{|AE|} = x, \qquad \frac{|A\Delta|}{|AZ|} = \frac{1+x}{2}.$$



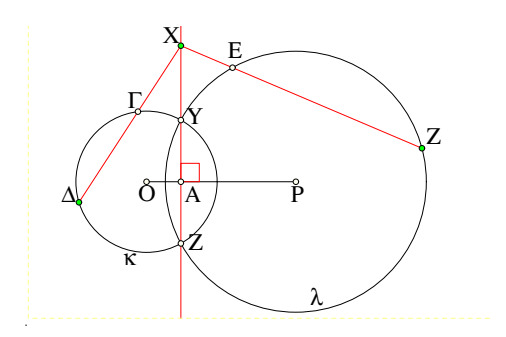
Σχήμα 378: Χρυσή τομή στο δεκάγωνο

Άσκηση 4.2.5  $\Delta$ είξε ότι ένα ορθογώνιο α με πλευρές μήκους x < y μπορεί να χωρισθεί σε ένα τετράγωνο τ με πλευρά μήκους x και ένα ορθογώνιο σ με πλευρές μήκους y - x, x έτσι ώστε το σ να είναι όμοιο του α, τότε και μόνον όταν ο λόγος  $\frac{x}{y}$  είναι αυτός της χρυσής τομής.

Άσκηση 4.2.6 Υπολόγισε τα ημ(36), συν(36), ημ(72), συν(72) και έκφρασέ τα με την βοήθεια του λόγου x της χρυσής τομής.

## 4.3 Ριζικός άξονας, Ριζικό κέντρο

Ο  $\mathbf{P}$ ιζικός άξονας δύο μη-ομοκεντρικών κύκλων κ και λ ορίζεται ως ο γεωμετρικός τόπος των σημείων  $\mathbf{X}$  που έχουν ίσες δυνάμεις ως προς τους κύκλους κ και λ.  $\mathbf{H}$  απλούστερη περίπτωση είναι αυτή που οι δύο κύκλοι τέμνονται σε δύο διαφορετικά σημεία  $\mathbf{A}$  και  $\mathbf{B}$ .



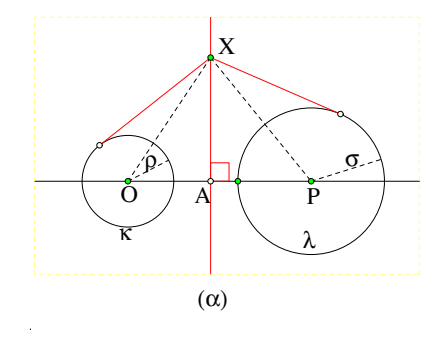
Σχήμα 379: Ριζικός άξονας τεμνομένων κύκλων

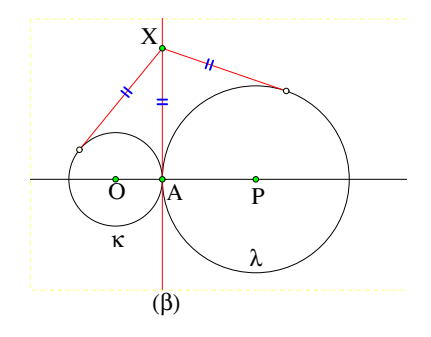
Πρόταση 4.3.1 Ο ριζικός άξονας δύο κύκλων είναι ευθεία κάθετη στην διάκεντρο.

Aπόδειξη: Aς υποθέσωμε ότι οι δύο χύχλοι είναι οι χ $(O, \rho)$  (χέντρου O και αχτίνας  $\rho$ ) και λ $(P, \sigma)$ .  $\Gamma$ ιά σημείο X του επιπέδου η ισότητα των δυνάμεων ως προς τους δύο χύχλους σημαίνει ότι

$$|XO|^2 - \rho^2 = |XP|^2 - \sigma^2 \Leftrightarrow |XO|^2 - |XP|^2 = \rho^2 - \sigma^2 \Leftrightarrow |OA|^2 - |AP|^2 = \rho^2 - \sigma^2.$$

Η τελευταία ισότητα προχύπτει από την προηγούμενη εφαρμόζοντας το πυθαγόρειο θεώρημα στα ορθογώνια τρίγωνα OAX και PAX, όπου A η προβολη του X επί της διακέντρου OP. Από την ισότητα αυτή, προχύπτει ότι η θέση της προβολής A του X είναι ανεξάρτητη της θέσης του X και προσδιορίζεται πλήρως από τα OP,  $\rho$  και  $\sigma$ . Αντίστροφα, επειδή οι προηγούμενες ισότητες είναι ισοδύναμες, αν το X ανήκει στην ευθεία την κάθετη στην OP διά του A, τότε θα ισχύει η τελευταία, άρα και η πρώτη, δηλαδή το X θα έχει την ίδια δύναμη ως προς τους δύο κύκλους,  $\sigma$ .ε.δ.



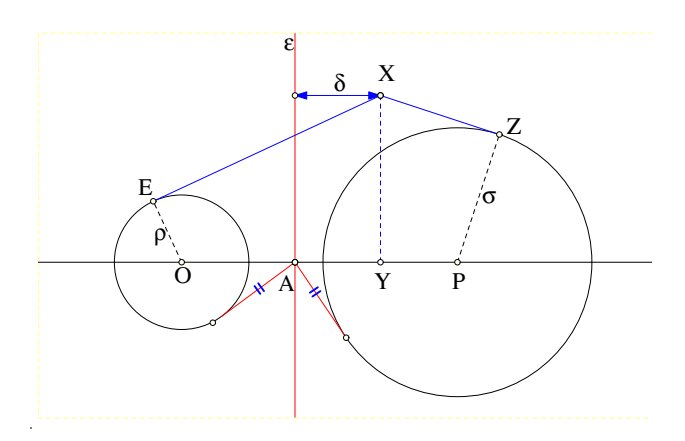


Σχήμα 380: Ριζικός άξονας (α) μη τεμνομένων, (β) εφαπτομένων κύκλων

Πρόταση 4.3.2 Η διαφορά των δυνάμεων  $|p_{\kappa}(X)-p_{\lambda}(X)|$  ενός σημείου X ως προς δύο κύκλους  $\kappa(O,\rho)$  και  $\lambda(P,\sigma)$  δίδεται από τον τύπο

$$|p_{\kappa}(X) - p_{\lambda}(X)| = 2|OP| \cdot \delta,$$

όπου δ η απόσταση του Χ από τον ριζικό άξονα.



Σχήμα 381: Διαφορά δυνάμεων ως προς δύο κύκλους

Aπόδειξη: Πράγματι, ισχύει

$$\begin{split} p_{\kappa}(X) - p_{\lambda}(X) &= (|XO|^2 - \rho^2) - (|XP|^2 - \sigma^2) \\ &= (|XO|^2 - |XP|^2) - (\rho^2 - \sigma^2) \\ &= (|OY|^2 - |PY|^2) - (\rho^2 - \sigma^2) \\ &= (|OY|^2 - |PY|^2) - ((|OA|^2 - p_{\kappa}(A)) - (|PA|^2 - p_{\lambda}(A))) \\ &= (|OY|^2 - |PY|^2) - (|OA|^2 - |PA|^2) \\ &= |OP|(|OY| - |PY|) - |OP|(|OA| - |PA|) \\ &= |OP|(|OY| - |OA| + |PA| - |PY|) = \pm 2|OP| \cdot \delta. \end{split}$$

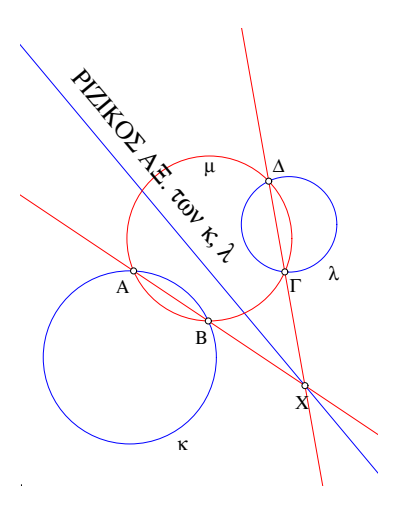
Το Y εδώ είναι η προβολή του X στην διάχεντρο και το A είναι η τομή της διαχέντρου με τον ριζικό άξονα, γιά το οποίο ισχύει  $p_{\kappa}(A)=p_{\lambda}(A)$ . Το ζητούμενο προχύπτει παίρνοντας απόλυτες τιμές, ο.ε.δ.

Πόρισμα 4.3.1 H δύναμη  $p_{\kappa}(X)$  σημείου X του κύκλου  $\lambda(P,\sigma)$  ως προς κύκλο  $\kappa(O,\rho)$  ισούται  $\mu \in p_{\kappa}(X) = \pm 2|OP|\delta$ , όπου  $\delta$  η απόσταση του X από τον ριζικό άξονα των δύο κύκλων.

Άσκηση 4.3.1 Ο ριζικός άξονας δύο κύκλων κ και λ που τέμνονται σε δύο διαφορετικά σημεία A και B είναι η ευθεία AB.

'Ασκηση 4.3.2  $\Delta \epsilon$ ίξ $\epsilon$  ότι αν δύο κύκλοι  $\epsilon \varphi$ άπτονται τότ $\epsilon$  ο ριζικός άξονάς τους συμπίπτ $\epsilon$ ι μ $\epsilon$  την κοινή  $\epsilon \varphi$ απτομ $\epsilon$ νη τους στο σημ $\epsilon$ ίο  $\epsilon$ πα $\varphi$ ής τους.

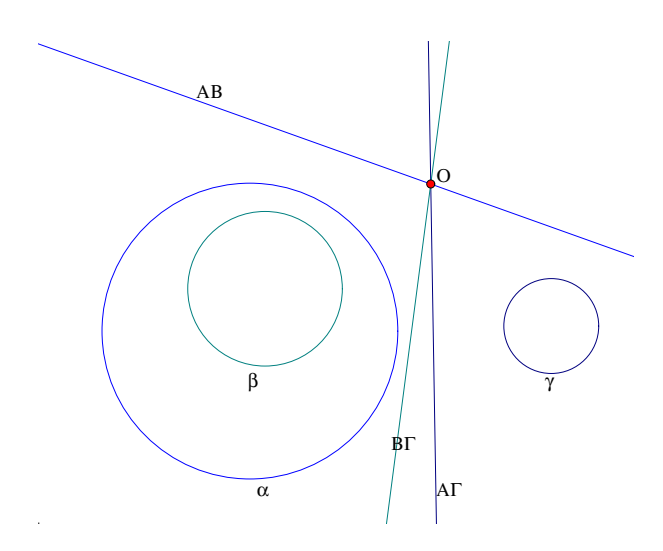
'Ασκηση 4.3.3  $\Delta$ ίδονται δύο κύκλοι κ και λ. Τρίτος κύκλος μ τέμνει τον κ σε δύο σημεία A και B και τον λ σε δύο σημεία  $\Gamma$  και  $\Delta$ .  $\Delta$ είξε ότι οι ευθείες AB και  $\Gamma\Delta$  τέμνονται επί του ριζικού άξονος των κ και λ.



Σχήμα 382: Κοινές χορδές τεμνόμενες επί του ριζικού άξονος

Υπόδειξη: Το σημείο τομής X των AB και  $A\Gamma$  έχει δύναμη ως προς x και  $\lambda$  αντίστοιχα  $|XA||XB|, |X\Gamma||X\Delta|$ . Τα γινόμενα αυτά όμως είναι ίσα (Πρόταση 4.1.2).

Θεώρημα 4.3.1 Οι ριζικοί άξονες τριών κύκλων, των οποίων τα κέντρα δεν περιέχονται στην ίδια ευθεία, διέρχονται από κοινό σημείο.

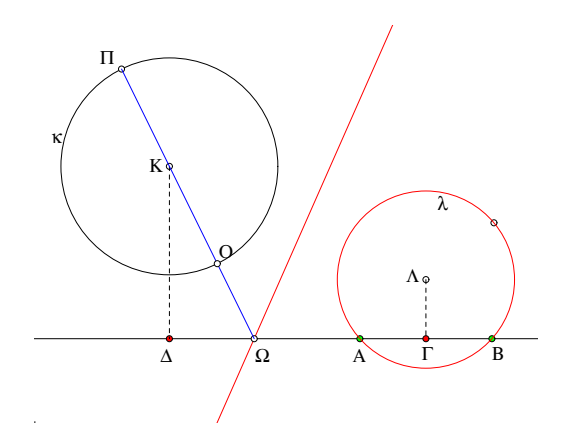


Σχήμα 383: Ριζικό κέντρο τριών κύκλων

Απόδειξη: Έστω O το σημείο τομής των ριζικών αξόνων AB και  $B\Gamma$  των ζευγών κύκλων  $(\alpha, \beta)$  και  $(\beta, \gamma)$  αντίστοιχα. Το σημείο O έχει την ίδια δύναμη ως προς τους  $\alpha$  και  $\beta$  καθώς και ως προς τους  $\beta$  και  $\gamma$ , άρα και την ίδια δύναμη ως προς τους  $\alpha$  και  $\gamma$ . Συνεπώς περιέχεται και στον ριζικό άξονα  $A\Gamma$  του ζεύγους κύκλων  $(\alpha, \gamma)$ . Άρα και ο ριζικός άξονας  $A\Gamma$  αυτού του ζεύγους διέρχεται από το O. Σημείωσε ότι  $\alpha$  απαίτηση της μη συγγραμμικότητας των τριών κέντρων εξασφαλίζει την ύπαρξη του O. Αν τα τρία κέντρα ήσαν συγγραμμικά, τότε οι ριζικοί τους άξονες ανά δύο θα ήσαν παράλληλοι, αφού είναι πάντοτε κάθετοι στην διάκεντρό τους. ο.ε.δ.

Το σημείο τομής των τριών ριζικών αξόνων, που εξασφαλίζει η προηγούμενη πρόταση, λέγεται **Ριζικό κέντρο** των τριών κύκλων.

Άσκηση 4.3.4  $\Delta$ ίδονται δύο σημεία A και B καθώς και κύκλος κ μη διερχόμενος δι' αυτών. Έστω δεύτερος κύκλος  $\lambda$  διερχόμενος διά των A, B.  $\Delta$ είξε ότι ο ριζικός άξονας των κ και  $\lambda$  διέρχεται πάντοτε από σταθερό σημείο  $\Omega$ .



Σχήμα 384: Μεταβαλλόμενος ριζικός άξονας

Υπόδειξη: Παρατήρησε πρώτα ότι οι προβολές  $\Delta$  και  $\Gamma$  των κέντρων K,  $\Lambda$  του κ και των μεταβλητών κύκλων  $\lambda$  είναι σταθερά σημεία προσδιοριζόμενα από τα δεδομένα της άσκησης. Υπολόγισε κατόπιν τις δυνάμεις  $p_{\kappa}(\Omega), p_{\lambda}(\Omega)$  του  $\Omega$  ως προς τους κ και  $\lambda$  αντίστοιχα.

$$p_{\kappa}(\Omega) = |\Omega O||\Omega \Pi| = (|\Omega K| - |KO|)(|\Omega K| + |KO|) = |\Omega K|^2 - |KO|^2,$$

όπου  $O,\ \Pi$  τα σημεία τομής της  $\Omega K$  με τον κ. Από το πυθαγόρειο θεώρημα εφαρμοζόμενο στο  $K\Delta\Omega$  έχουμε τελικά

$$p_{\kappa}(\Omega) = |\Omega K|^2 - |KO|^2 = |K\Delta|^2 + |\Delta\Omega|^2 - |KO|^2.$$

Επίσης η δύναμη του Ω ως προς τον λ είναι

$$p_{\lambda}(\Omega) = |\Omega A||\Omega B| = (|\Omega \Gamma| + |\Gamma B|)(|\Omega \Gamma| + |\Gamma B|) = |\Omega \Gamma|^2 - |\Gamma B|^2.$$

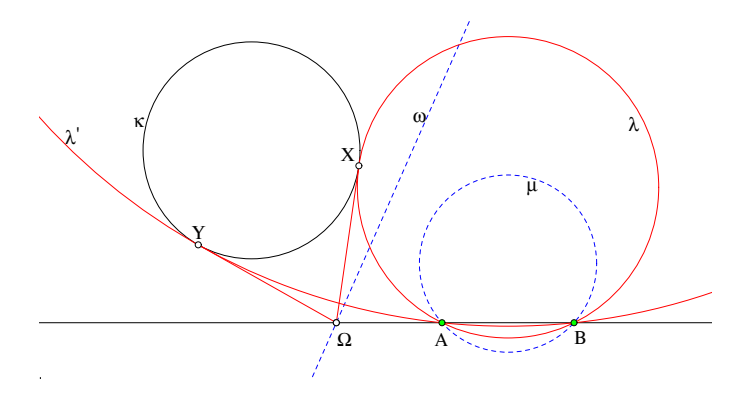
Από την ισότητα των δυνάμεων προκύπτει ότι

$$|\Omega\Delta|^2 - |\Omega\Gamma|^2 = |KO|^2 - |K\Delta|^2 - |\Gamma B|^2.$$

Το δεξί μέλος της ισότητας είναι σταθερό και ανεξάρτητο του  $\Omega$ , συνεπώς η θέση του  $\Omega$  θα ορίζεται μονοσήμαντα από τα δεδομένα. Η θέση του  $\Omega$  ευρίσκεται λύνοντας την τελευταία εξίσωση. Προς τούτο όρισε το  $x=|\Omega\Delta|$ , το  $y=|\Omega\Gamma|$  και θέσε  $d=|KO|^2-|K\Delta|^2-|\Gamma B|^2$  και  $e=|\Delta\Gamma|$ . Τότε η εξίσωση γράφεται  $x^2-y^2=d$  και ισχύει (αν το  $\Omega$  είναι μεταξύ των  $\Delta$  και  $\Gamma$ ) x+y=e Λύνοντας βρίσκουμε  $(x-y)(x+y)=d\Rightarrow x-y=\frac{d}{e}$  και συνεπώς  $x=\frac{1}{2}(e+\frac{d}{e}),\ y=\frac{1}{2}(e-\frac{d}{e}).$  (δες και την Πρόταση 4.5.2)

Άσκηση 4.3.5  $\Delta$ ιερεύνησε τις διάφορες περιπτώσεις που προκύπτουν γιά την θέση του  $\Omega$  μεταξύ των  $\Gamma$  και  $\Delta$  στην προηγούμενη άσκηση. Ιδιαίτερα εξέτασε την περίπτωση που τα  $\Gamma$  και  $\Delta$  συμπίπτουν.  $\Gamma$ ι συμβαίνει τότε με τους ριζικούς άξονες των κ και  $\lambda$ ;

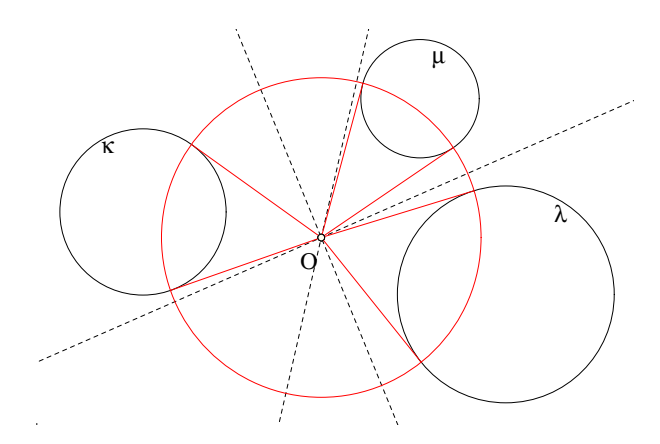
'Ασκηση 4.3.6  $\Delta$ ίδεται κύκλος κ και δύο σημεία εκτός αυτού. Να βρεθεί δεύτερος κύκλος  $\lambda$  διερχόμενος διά των A, B και εφαπτόμενος του κ.



Σχήμα 385: Κύκλος εφαπτόμενος άλλου και διερχόμενος από δύο σημεία

Υπόδειξη: Υπόθεσε ότι ο ζητούμενος χύχλος λ κατασκευάστηκε και εφάπτεται του χ στο σημείο X. Βάσει της προηγούμενης άσκησης η κοινή εφαπτόμενη των δύο χύχλων στο X, που είναι και ο ριζικός τους άξονας (Άσκηση 4.3.2) θα διέρχεται από σταθερό σημείο  $\Omega$  της AB που κατασκευάζεται από τα δεδομένα του προβλήματος. Κατασκεύασε λοιπόν το  $\Omega$  και φέρε από αυτό τις εφαπτόμενες  $\Omega X$  και  $\Omega Y$  στον κ. Υπάρχουν δύο λύσεις του προβλήματος  $\lambda$ ,  $\lambda'$  που αντιστοιχούν στους χύχλους που διέρχονται από τα A, B και X ή Y αντίστοιχα (Πρόταση 2.1.3)([Παπ81,  $\pi$ . 109]).

'Ασκηση 4.3.7  $\Delta$ οθέντων τριών κύκλων με μη συνευθειακά κέντρα να βρεθεί σημείο από το οποίο άγονται ίσες εφαπτόμενες προς αυτούς.



Σχήμα 386: Ίσες εφαπτόμενες προς τρεις κύκλους

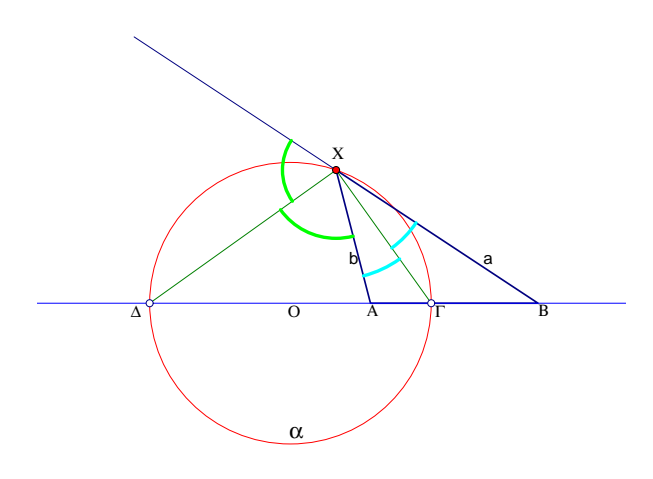
Υπόδειξη: Άν υπάρχει σημείο Ο από το οποίο άγονται ίσες εφαπτόμενες προς τους τρεις κύκλους, τότε το σημείο αυτό θα είναι και στους τρεις ριζικούς άξονες των κύκλων, λαμβανομένων ανά δύο. Συνεπώς θα συμπίπτει με το ριζικό κέντρο των τριών κύκλων. Γιά να άγονται από αυτό εφαπτόμενες προς όλους θα πρέπει το κέντρο να μην είναι στο εσωτερικό κάποιου κύκλου.

'Ασκηση 4.3.8 Να κατασκευασθεί κύκλος κ διερχόμενος από δοθέντα σημεία A και B και αποτέμνων από δοθείσα ευθεία  $\varepsilon$  ευθύγραμμο τμήμα δοθέντος μήκους  $\lambda$ .

'Ασκηση 4.3.9 Να κατασκευασθεί κύκλος κ διερχόμενος από δοθέντα σημεία A και B και τέμνων δοθέντα κύκλο  $\lambda$  σε αντιδιαμετρικά σημεία του.

#### 4.4 Οι κύκλοι του Απολλώνιου

Θεώρημα 4.4.1 Δοθέντος ευθυγράμμου τμήματος AB και θετικού αριθμού  $\kappa \neq 1$ , ο γεωμετρικός τόπος των σημείων X γιά τα οποία ο λόγος των αποστάσεων  $\frac{|XA|}{|XB|} = \kappa$  είναι κύκλος με διάμετρο επί της ευθείας AB.



Σχήμα 387: Ένας Απολλώνιος κύκλος

Aπόδειξη: Δείχνουμε πρώτα ότι αν ένα σημείο X έχει την αναφερθήσα ιδιότητα ως προς το ευθύγραμμο τμήμα AB, τότε είναι πάνω σε έναν ορισμένο χύχλο. Πράγματι, ας θεωρήσουμε το τρίγωνο AXB και τις δύο διχοτόμους στο A, την εσωτερική  $A\Gamma$  και την εξωτερική  $A\Delta$ . Η τελευταία υπάρχει, δηλαδή η  $X\Delta$  δεν είναι παράλληλη της AB, διότι υποθέσαμε ότι  $\kappa = \frac{|XA|}{|XB|} \neq 1$ . Όπως αποδείξαμε στο Πόρισμα 3.3.7 και AB και AB σε λόγο ίσο με τον λόγο των AB και AB δηλαδή κ. Επομένως η θέση των σημείων αυτών καθορίζεται πλήρως από τα AB και κ (εξισώσεις (1)-(3) Παραγράφου AB0. Όμως η γωνία που σχηματίζουν οι AB1 και AB2 είναι ορθή, ως μισό πεπλατυσμένης. AB3 το AB4 και το ευθύγραμμο τμήμα AB5 υπό ορθή γωνία και συνεπώς (Πόρισμα AB7.) είναι επί του χύχλου με διάμετρο AB7.

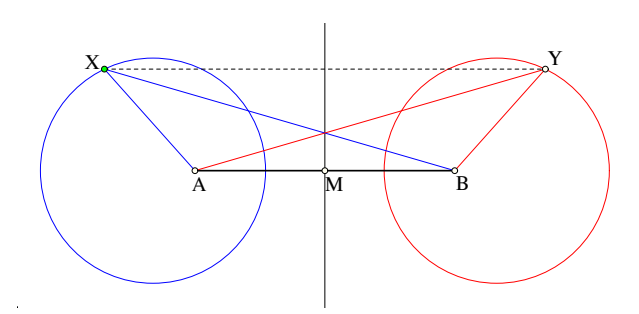
Όπως με κάθε γεωμετρικό τόπο, έτσι και εδώ πρέπει να δείξουμε και το αντίστροφο. Δηλαδή ότι κάθε σημείο του κύκλου με διάμετρο  $\Gamma\Delta$  είναι σημείο του τόπου. Υποθέτουμε λοιπόν ότι το σημείο X είναι επί του κύκλου με διάμετρο  $\Gamma\Delta$ , άρα η  $\Gamma X\Delta$  είναι ορθή. Φέρνουμε την XA και ευρίσκουμε επί της ευθείας AB σημείο  $B^*$  έτσι ώστε η γωνία  $\Gamma XB^*$  να είναι ίση με την  $AX\Gamma$ . Είναι λοιπόν η  $X\Gamma$  εκ κατασκευής η διχοτόμος της γωνίας  $AXB^*$  και συνεπώς και η  $X\Delta$  η εξωτερική διχοτόμος της ίδιας γωνίας. Άρα τα σημεία  $\Gamma$ ,  $\Delta$  είναι αρμονικά συζυγή ως προς A,  $B^*$  και συνεπώς (Άσκηση 1.17.2) και τα A,  $B^*$  είναι αρμονικά συζυγή ως προς  $\Gamma$ ,  $\Delta$ . Το ίδιο συμβαίνει όμως και με τα  $\Lambda$ ,  $\Lambda$ , άρα τα  $\Lambda$  και  $\Lambda$   $\Lambda$  είναι λόγω της διχοτόμου (Πόρισμα 3.3.7)  $\frac{|XA|}{|XB|} = \frac{|\Gamma A|}{|\Gamma B|} = \kappa$ , ο.ε.δ.

Οι κύκλοι που ορίζονται από ένα ευθύγραμμο τμήμα AB γιά διάφορους λόγους  $\kappa>0$ , μέσω της προηγούμενης πρότασης, ονομάζονται Aπολλώνιοι κύκλοι του τμήματος AB (Απολλώνιος 262-190 π.Χ.).

**Πρόταση** 4.4.1 Η διάμετρος του Απολλώνιου κύκλου των σημείων A, B ως προς τον λόγο κ είναι ίση με

$$\frac{2|AB|\kappa}{|1-\kappa^2|}.$$

Οι Aπολλώνιοι κύκλοι του AB ως προς τους λόγους κ και  $\frac{1}{\kappa}$  έχουν ίσες ακτίνες και κείνται συμμετρικά ως προς την μεσοκάθετο του AB.

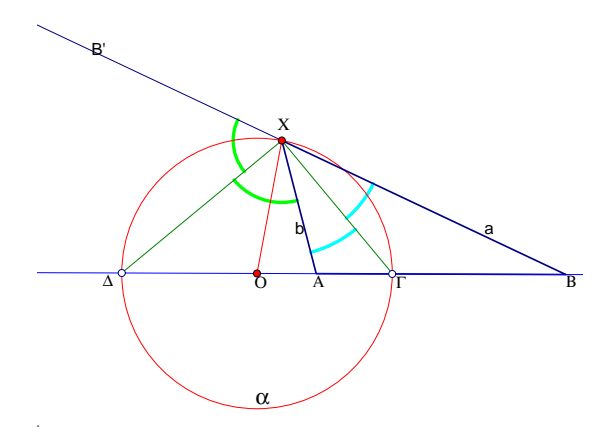


Σχήμα 388: Συμμετρία του συστήματος των Απολλώνιων κύκλων

Aπόδειξη: Ο τύπος γιά την διάμετρο είναι αυτός του Πορίσματος 1.17.4. Αντικαθιστώντας στην παράσταση γιά την διάμετρο το κ με  $\frac{1}{\kappa}$  βλέπουμε ότι η τιμή της δεν αλλάζει, όθεν και η ισότητα των ακτίνων. Το ότι οι κύκλοι που αντιστοιχούν στους λόγους κ και  $\frac{1}{\kappa}$  κείνται συμμετρικά ως προς την μεσοκάθετο, προκύπτει από το ότι γιά κάθε σημείο X που ικανοποιεί την  $\frac{|XA|}{|XB|} = \kappa$  το συμμετρικό του Y ως προς την μεσοκάθετο του AB θα ικανοποιεί την  $\frac{|YA|}{|YB|} = \frac{1}{\kappa}$ , ο.ε.δ.

**Πρόταση 4.4.2** Έστω ευθύγραμμο τμήμα AB και κύκλος  $a(O,\rho)$  με διάμετρο  $\Gamma\Delta$  επί της ευθείας AB. Οι επόμενες προτάσεις είναι ισοδύναμες:

- (1) Ο κύκλος α είναι ένας Απολλώνιος κύκλος του έυθυγράμμου τμήματος ΑΒ.
- (2) Γιά τυχόν σημείο X του κύκλου α οι  $X\Gamma$  και  $X\Delta$  είναι διχοτόμοι της γωνίας AXB.
- (3) Τα τρίγωνα ΟΧΑ και ΟΒΧ είναι όμοια.
- (4)  $I\sigma\chi\dot{v}\epsilon\iota \rho^2 = |OA||OB|$ .
- (5) Τα (A,B) και  $(\Gamma,\Delta)$  είναι ζεύγη αρμονικών συζυγών σημείων.



Σχήμα 389: Δύο όμοια τρίγωνα: ΟΧΑ και ΟΧΒ

 $Aπόδειξη: (1) \Leftrightarrow (2): Αποδείχθηκε στο Θεώρημα 4.4.1.$ 

 $(2) \Leftrightarrow (3) : Εάν οι ΧΓ, ΧΔ είναι διχοτόμοι της γωνίας ΑΧΒ, τότε$ 

$$|OXA| = |OX\Gamma| - |AX\Gamma|, |OBX| = |O\Gamma X| - |\Gamma XB|.$$

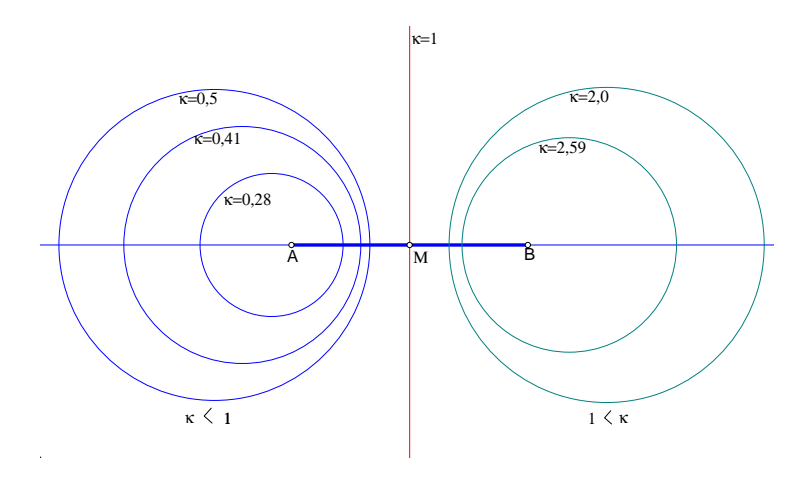
Όμως στις δύο διαφορές οι μειωτέοι είναι ίσοι και οι αφαιρετέοι είναι επίσης ίσοι, άρα οι διαφορές είναι ίσες. Τα δύο τρίγωνα, λοιπόν, έχουν την AOX κοινή και τις γωνίες OXA και OBX ίσες, άρα είναι όμοια. Ο συλλογισμός αντιστρέφεται και δείχνει ότι το (3) συνεπάγεται το (2).

 $(3) \Leftrightarrow (4) : Aπό την ομοιότητα των τριγώνων προχύπτει η$ 

$$\frac{|OX|}{|OB|} = \frac{|OA|}{|OX|} \quad \Rightarrow \quad \rho^2 = |OX|^2 = |OA||OB|.$$

Ο συλλογισμός αντιστρέφεται και εδώ και δείχνει ότι το (4) συνεπάγεται το (3).

 $(4) \Leftrightarrow (5) : Προκύπτει άμεσα από την Πρόταση 1.17.2, ο.ε.δ.$ 

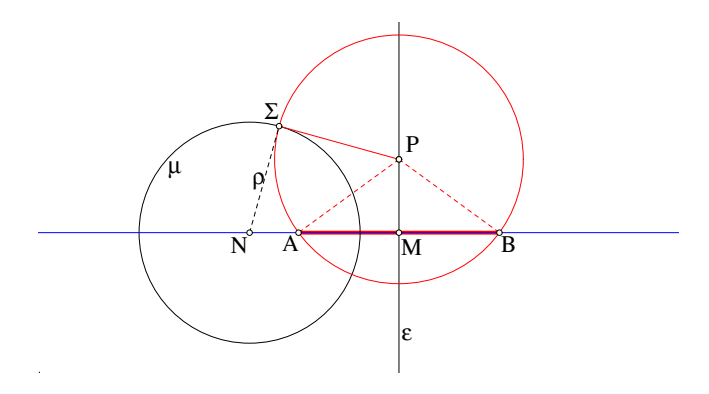


Σχήμα 390: Η δέσμη των Απολλώνιων κύκλων του ΑΒ

Σχόλιο-1 Το τελευταίο σχήμα δείχνει τους Απολλώνιους κύκλους ενός ευθυγράμμου τμήματος AB γιά διάφορους λόγους κ. Οι κύκλοι αυτοί αποτελούν μιά  $\Delta$ έσμη (Παράγραφος 4.5) μη τεμνομένων κύκλων που χωρίζεται από την μεσοκάθετο του AB σε δύο υποσυστήματα κύκλων. Το ένα σύστημα αποτελείται από τους κύκλους γιά  $\kappa < 1$  και έχει το A στο εσωτερικό όλων των κύκλων του. Το άλλο υποσύστημα χαρακτηρίζεται από τους κύκλους γιά  $\kappa > 1$  και έχει το B στο εσωτερικό όλων των κύκλων του. Η μεσοκάθετος μπορεί να θεωρηθεί ως ένας οριακός κύκλος με πολύ μεγάλη ακτίνα που αντιστοιχεί στο λόγο αποστάσεων από τα A, B:  $\kappa = 1$ . Τα σημεία  $\kappa$ 0 μπορούν επίσης να θεωρηθούν ως (οριακοί) κύκλοι της δέσμης με μηδενική ακτίνα. Η επόμενη άσκηση φανερώνει μιά κάπως αναπάντεχη ιδιότητα της μεσοκαθέτου του  $\kappa$ 1.

Πρόταση 4.4.3 Γιά κάθε σημείο P της μεσοκαθέτου του ευθυγράμμου τμήματος AB οι εφαπτόμενες  $P\Sigma$  από το P προς τους A πολλώνιους κύκλους του AB έχουν όλες το ίδιο μήκος που είναι η απόσταση |PA| = |PB|.

Aπόδειξη: Πρέπει να δείξουμε ότι γιά το τυχόν σημείο P της μεσοκαθέτου και γιά έναν Απολλώνιο κύκλο του <math>AB γιά τυχόντα λόγο κ, το μήκος της εφαπτόμενης είναι ανεξάρτητο του κ. Aς υποθέσουμε ότι κ < 1 (η περίπτωση κ > 1 αποδεικνύεται ανάλογα). Aν X, X



Σχήμα 391: Ιδιότητα της μεσοκαθέτου

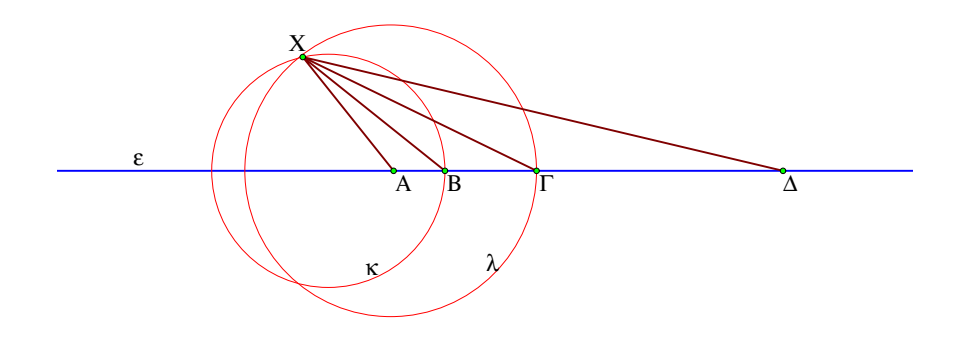
είναι τα σημεία τομής του Απολλώνιου κύκλου με την AB και N το κέντρο του, τότε από το  $Πυθαγόρειο θεώρημα γιά τα τρίγωνα <math>NP\Sigma$  και NPM έχουμε

$$t_P^2 = |PN|^2 - r^2 = |MN|^2 + h^2 - r^2,$$

όπου r η ακτίνα του κύκλου,  $t_P=|P\Sigma|$  το μήκος της εφαπτομένης από το P και h=|MP| η απόσταση του P από το μέσον M του AB. Από το Πόρισμα 1.17.4 έχουμε ότι  $r=\frac{d\kappa}{1-\kappa^2}$ . Το  $|MN|=|MA|+|AN|=\frac{d}{2}+d\frac{\kappa^2}{1-\kappa^2}$ , σύμφωνα με την Άσκηση 1.17.3 και θέτοντας d=|AB|. Κάνοντας πράξεις βρίσκουμε ότι  $|MN|^2-r^2=\frac{d^2}{4} \ \Rightarrow \ |t_P|^2=\frac{d^2}{4}+h^2=|PA|^2$ , ο.ε.δ.

Σχόλιο-2 Η πρόταση δείχνει ότι όλοι οι Απολλώνιοι κύκλοι του ευθυγράμμου τμήματος ΑΒ έχουν, ανά δύο, τον ίδιο ριζικό άξονα, που ταυτίζεται με την μεσοκάθετο του ΑΒ.

Άσκηση 4.4.1  $\Delta$ ίδονται τρία διαδοχικά ευθύγραμμα τμήματα AB,  $B\Gamma$ ,  $\Gamma\Delta$  επ' ευθείας  $\varepsilon$ . Να βρεθεί σημείο X από το οποίο τα τμήματα αυτά φαίνονται υπό ίσες γωνίες.

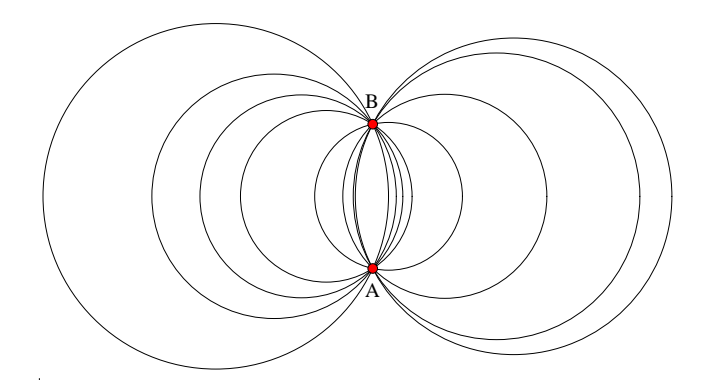


Σχήμα 392: Σημείο που βλέπει τρία τμήματα υπό ίσες γωνίες

Υπόδειξη: Αν υπάρχει τέτοιο σημείο X, θεωρόντας τα δύο πρώτα τμήματα, το X θα πρέπει να είναι στον Απολλώνιο χύχλο χ του τμήματος  $A\Gamma$ , ως προς λόγο  $\tau = \frac{|AB|}{|B\Gamma|}$ . Ανάλογα, θεωρόντας το τμήμα  $B\Delta$ , το X θα πρέπει να περιέχεται στον χύχλο  $\lambda$  του Απολλώνιου ως προς τον λόγο  $\sigma = \frac{|B\Gamma|}{|\Gamma\Delta|}$ . Συνάγεται ότι το X θα πρέπει να συμπίπτει με σημείο τομής των δύο αυτών χύχλων. Το πρόβλημα μπορεί να μην επιδέχεται λύση χαι τούτο θα συμβαίνει όταν αχριβώς οι δύο χύχλοι χ χαι  $\lambda$  δεν τέμνονται. Έχει ενδιαφέρον η διερεύνηση του προβλήματος χαι η διατύπωση της συνθήχης που εξασφαλίζει την ύπαρξη λύσης.

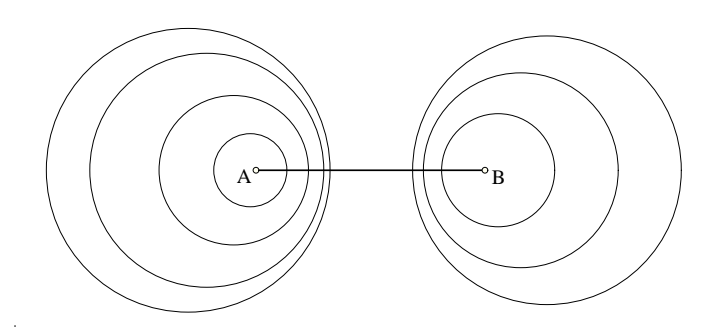
# 4.5 Δέσμες κύκλων

 $\Delta$ έσμη κύκλων ονομάζουμε μιά από τις επόμενες τρεις οικογένειες κύκλων: (α) Την οικογένεια όλων των κύκλων που διέρχονται από δύο σταθερά σημεία A και B.



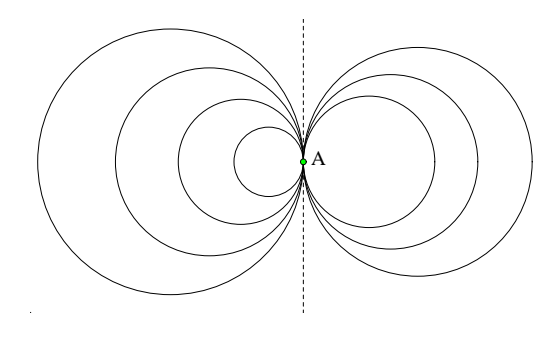
Σχήμα 393: Δέσμη τεμνομένων κύκλων

(β) Την οικογένεια όλων των κύκλων του Απολλώνιου ενός ευθυγράμμου τμήματος ΑΒ.



Σχήμα 394: Δέσμη μη τεμνομένων κύκλων

 $(\gamma)$  Την οικογένεια όλων των κύκλων που εφάπτονται σε ένα σημείο A.



Σχήμα 395: Δέσμη εφαπτομένων κύκλων

Το επόμενο θεώρημα εκφράζει το κοινό χαρακτηριστικό των τριών αυτών ειδών δεσμών κύκλων, που ονομάζουμε αντίστοιχα Τεμνόμενη δέσμη ή Ελλειπτική δέσμη, Μη τεμνόμενη δέσμη ή Υπερβολική δέσμη και Εφαπτόμενη δέσμη ή Παραβολική δέσμη.

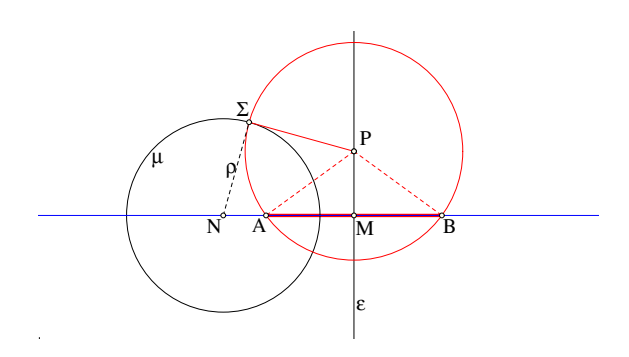
Θεώρημα 4.5.1 Όλοι οι κύκλοι μιάς δέσμης έχουν, ανά δύο, κοινό ριζικό άξονα. Γιά τεμνόμενες δέσμες αυτός συμπίπτει με την ευθεία που διέρχεται από τα κοινά σημεία τους. Γιά μη τεμνόμενες δέσμες αυτός συμπίπτει με την μεσοκάθετο του ευθυγράμμου τμήματος AB. Γιά εφαπτόμενες δέσμες αυτός συμπίπτει με την κοινή εφαπτόμενη των κύκλων.

Απόδειξη: Γιά δέσμες τεμνομένων κύκλων το συμπέρασμα προκύπτει από την Πρόταση 4.3.1, γιά δέσμες εφαπτομένων από την Άσκηση 4.3.2 και γιά δέσμες μη τεμνομένων κύκλων από την Άσκηση 4.4.3.

Ο χοινός ριζιχός άξονας όλων των (ζευγών) χύχλων μιάς δέσμης λέγεται **Ριζιχός άξονας** της δέσμης. Η ευθεία στην οποία ευρίσχονται τα χέντρα των χύχλων της δέσμης λέγεται Άξονας των χέντρων της δέσμης. Η ευθεία αυτή είναι χάθετη στον ριζιχό άξονα της δέσμης. Στις τεμνόμενες δέσμες τα χοινά σημεία όλων των χύχλων της δέσμης λέγονται Βασιχά σημεία της δέσμης. Στις μη τεμνόμενες δέσμες τα άχρα του διαστήματος που ορίζει την δέσμη λέγονται Οριαχά σημεία της δέσμης. Το χοινό σημείο των χύχλων μιάς εφαπτόμενης δέσμης μπορεί να θεωρηθεί ταυτόχρονα ως βασιχό χαι οριαχό σημείο.

Πρόταση 4.5.1 Κάθε ζεύγος από μία ευθεία  $\varepsilon$  και ένα κύκλο μ $(N,\rho)$  ορίζει μία ακριβώς δέσμη κύκλων που περιέχει τον κύκλο μ και έχει ριζικό άξονα την ευθεία  $\varepsilon$ .

Απόδειξη: Αν η ευθεία ε και ο κύκλος μ τέμνονται σε δύο σημεία Α και Β, τότε προφανώς το σύνολο των κύκλων που διέρχονται από τα Α και Β είναι η ζητούμενη δέσμη. Αν η ευθεία ε και ο κύκλος μ εφάπτονται στο σημείο Α, τότε η δέσμη αποτελείται από όλους τους κύκλους που εφάπτονται της ε στο σημείο Α. Αν ο κύκλος και η ευθεία ε δεν τέμνονται, τότε κατασκευάζεται εύκολα ένα ευθύγραμμο τμήμα ΑΒ του οποίου η μεσοκάθετος συμπίπτει με την ε και ο μ είναι ένας Απολλώνιος κύκλος του ΑΒ ως προς τον κατάλληλο λόγο μηκών κ.



Σχήμα 396: Προσδιορισμός του τμήματος ΑΒ

Πράγματι, φέρνουμε κατ' αρχήν την κάθετο NM από το κέντρο του δοθέντος κύκλου στην ευθεία ε. Κατόπιν από τυχόν σημείο P της ε φέρνουμε μία εφαπτόμενη PΣ προς τον κύκλο μ. Με κέντρο P και ακτίνα PΣ γράφουμε κύκλο που τέμνει την ευθεία NM στα σημεία A και B. Το τμήμα AB είναι το ζητούμενο (Πρόταση 4.4.3) και ο λόγος κ, ως προς τον οποίον κύκλος μ είναι Απολλώνιος του τμήματος AB, δίδεται από το πηλίκον  $\kappa = \frac{|\Sigma A|}{|\Sigma B|}$ , ο.ε.δ.

**Πόρισμα 4.5.1** Κάθε ζεύγος μη συγκεντρικών κύκλων ορίζει μία ακριβώς δέσμη κύκλων που τους περιέχει ως μέλη.

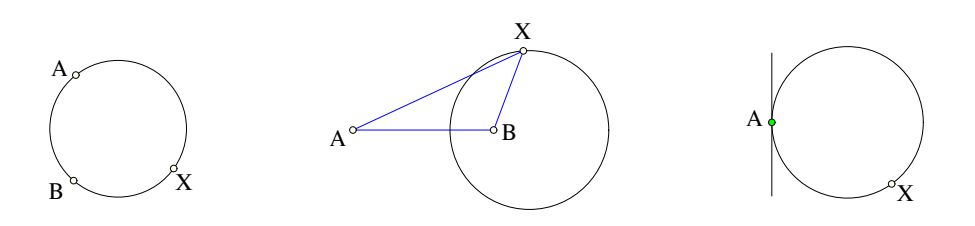
Aπόδειξη: Θεωρούμε έναν από τους δύο κύκλους και τον ριζικό άξονα των δύο κύκλων και εφαρμόζουμε την προηγούμενη πρόταση, ο.ε.δ.

Την δέσμη που ορίζεται από δύο χύχλους δυνάμει του προηγουμένου πορίσματος ονομάζουμε Δέσμη παραγόμενη από δύο χύχλους. Συνήθως στις δέσμες προσμετράμε και τον ριζικό άξονά τους, θεωρώντας τον ως έναν χύχλο με άπειρη ακτίνα. Επίσης προσμετράμε και τα οριαχά σημεία τους, θεωρώντας τα ως χύχλους μηδενιχής ακτίνας (περιπτώσεις μη τεμνόμενης και εφαπτόμενης δέσμης). Το προηγούμενο πόρισμα επεκτείνεται και γιά ζεύγη χύχλων, εκ των οποίων ένας ή και οι δύο συμπίπτουν με σημεία. Τα σημεία αυτά είναι τότε τα οριαχά σημεία της δέσμης. Τα επόμενα πορίσματα ισχύουν γιά αυτήν την διευρυμένη έννοια δέσμης.

Πόρισμα 4.5.2 Κάθε ζεύγος από δύο σημεία ή σημείο και κύκλο/ευθεία ορίζει μία δέσμη κύκλων που περιέχει τα δοθέντα ως μέλη.

Aπόδειξη: Αν δοθούν δύο σημεία, τότε ορίζεται μιά μη τεμνόμενη δέσμη που έχει οριαχά σημεία τα δοθέντα. Αν δοθεί χύχλος χ(O,ρ) χαι σημείο A (διαφορετιχό του χέντρου του χύχλου), τότε συμβαίνουν δύο τινά: (α) το A ανήχει στον χύχλο χ και ορίζεται μία εφαπτόμενη δέσμη. (β) το A δεν ανήχει στον χύχλο και η σχέση  $ρ^2 = |OA||OB|$  ορίζει επί της OA ένα δεύτερο σημείο B, έτσι ώστε ο χύχλος χ(O,ρ) να είναι Aπολλώνιος ως προς τον τμήμα AB (Πρόταση 4.4.2). Τέλος αν δοθεί μία ευθεία ε και σημείο A υπάρχουν δύο ενδεχόμενα: (α) το A ανήχει στην ε και ορίζεται μία εφαπτόμενη δέσμη με ριζιχό άξονα την ε και οριαχό σημείο το A, (β) το A δεν ανήχει στην ε και ορίζεται το συμμετριχό του B ως προς την ε και μία μη τεμνόμενη δέσμη με οριαχά σημεία A, B και ριζιχό άξονα την E, E.

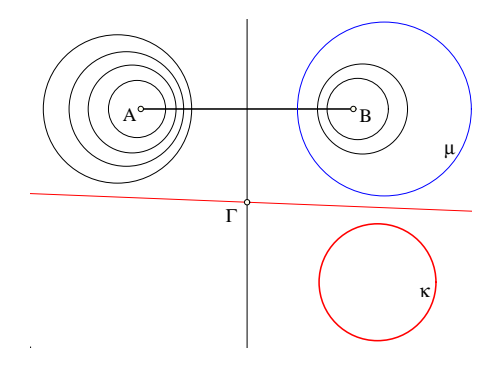
**Πόρισμα 4.5.3** Δοθείσης δέσμης κύκλων, γιά κάθε σημείο X του επιπέδου υπάρχει ένα ακριβώς μέλος της κ που διέρχεται από αυτό.



Σχήμα 397: Ο μοναδικός κύκλος δέσμης διά του Χ

Aπόδειξη: Στην περίπτωση της τεμνόμενης δέσμης ο κ είναι ακριβώς ο κύκλος που διέρχεται από τα δύο βασικά σημεία της δέσμης <math>A και B καθώς και το σημείο X. Στην περίπτωση της μη τεμνόμενης δέσμης το X προσδιορίζει τον λόγο  $κ = \frac{|XA|}{|XB|}$  και αυτό ορίζει μονοσήμαντα τον κύκλο της δέσμης. Τέλος στην εφαπτόμενη δέσμη ο κύκλος είναι ο εφαπτόμενος του ριζικού άξονα στο A και διερχόμενος από το X, ο.ε.δ.

Πρόταση 4.5.2 Δοθείσης δέσμης κύκλων και κύκλου κ που δεν ανήκει στην δέσμη και δεν έχει το κέντρο του στον άξονα της δέσμης, οι ριζικοί άξονες των ζευγών κύκλων  $(\kappa,\mu)$ , όπου  $\mu$  κύκλος της δέσμης, διέρχονται όλοι από σταθερό σημείο  $\Gamma$  του ριζικού άξονα της δέσμης.

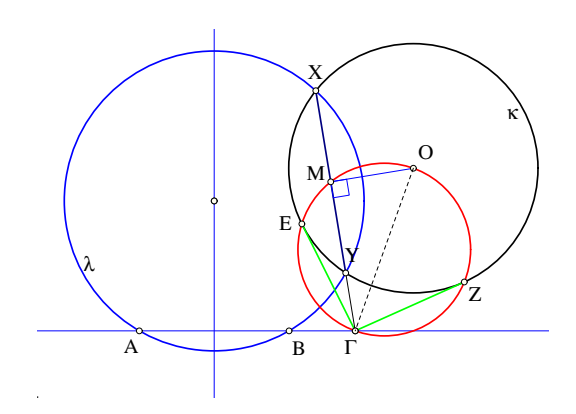


Σχήμα 398: Ριζικοί άξονες με κύκλους της δέσμης

Aπόδειξη: Έστω  $\Gamma$  το σημείο τομής του ριζικού άξονα της δέσμης και του ριζικού άξονα του κ με ένα μέλος μ της δέσμης. Επειδή κάθε σημείο του ριζικού άξονα της δέσμης έχει την ίδια δύναμη προς όλα τα μέλη της δέσμης, εάν το  $\Gamma$  έχει δύναμη δ ως προς τον κ και μ, θα έχει την ίδια δύναμη δ και ως προς κάθε άλλο κύκλο μ΄ της δέσμης, άρα θα περιέχεται και στον ριζικό άξονα του κ και του μ΄. Η απαίτηση από τον κ να μην έχει το κέντρο του στον άξονα της δέσμης εξασφαλίζει την ύπαρξη του σημείου  $\Gamma$ , ο.ε.δ.

 $\Sigma$ χόλιο-1 Η τελευταία πρόταση, στην περίπτωση μιάς τεμνόμενης δέσμης, δίνει μιά άλλη άποψη γιά την Άσκηση 4.3.4 και γενικεύει το συμπέρασμά της γιά όλα τα είδη δεσμών.

Άσκηση 4.5.1 Δοθείσης δέσμης κύκλων  $\Delta$  και κύκλου κ $(O,\rho)$  που δεν ανήκει στην δέσμη και δεν έχει το κέντρο του στον άξονα της δέσμης, να βρεθεί ο γεωμετρικός τόπος του μέσου M των χορδών XY που αποτέμνουν οι κύκλοι  $\lambda$  της δέσμης από τον κύκλο κ.

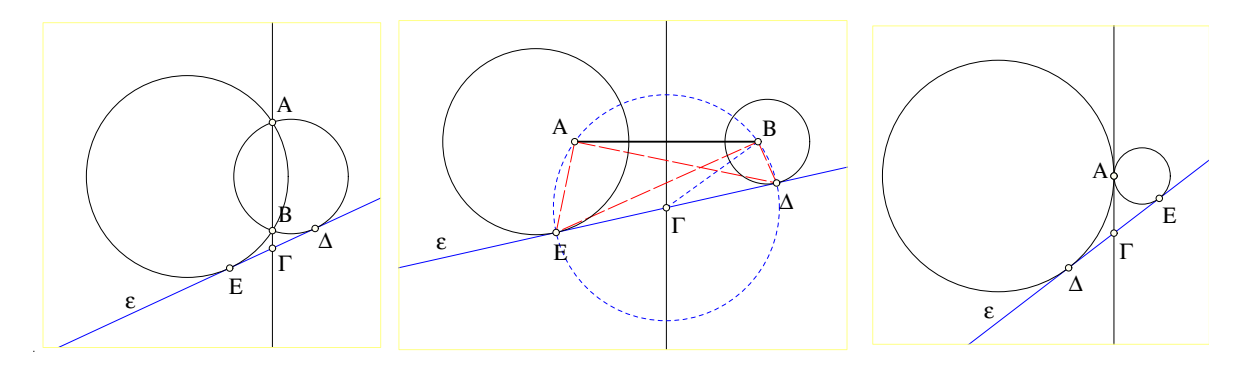


Σχήμα 399: Τόπος του μέσου Μ μεταβλητής χορδής

Υπόδειξη: Όλες οι ευθείες XY διέρχονται από σταθερό σημείο  $\Gamma$  του ριζικού άξονα της δέσμης (Πρόταση 4.5.2). Το σημείο M βλέπει το σταθερό ευθύγραμμο τμήμα  $O\Gamma$  υπό ορθή γωνία. Άρα ο τόπος είναι το τόξο EOZ του κύκλου με διάμετρο  $O\Gamma$  που περιέχεται μέσα στον κύκλο κ.

Άσκηση 4.5.2  $\Delta \epsilon$ ίξε ότι η μοναδική δέσμη που έχει κύκλο ελάχιστης διαμέτρου  $\delta > 0$  είναι η τεμνόμενη δέσμη. Πως συνδέεται αυτό το  $\delta$  με τα βασικά σημεία A,B της δέσμης;

Άσκηση 4.5.3  $\Delta$ οθείσης δέσμης κύκλων  $\Delta$  και ευθείας  $\varepsilon$ , να βρεθούν οι κύκλοι της δέσμης που εφάπτονται της  $\varepsilon$ .

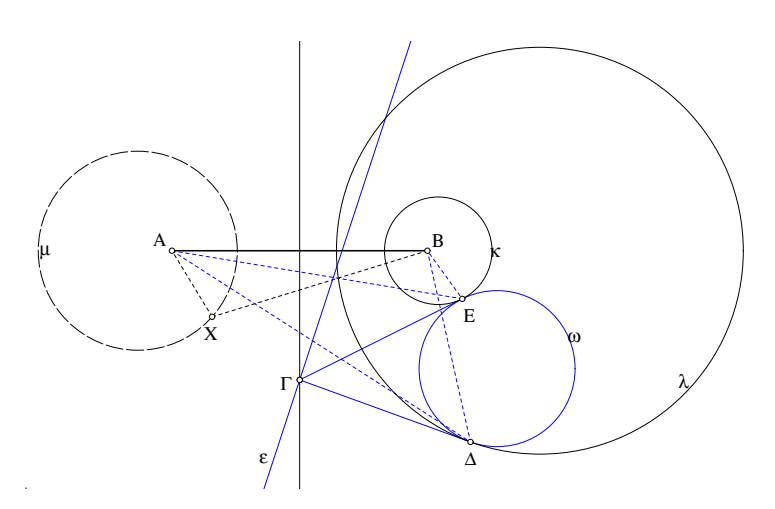


Σχήμα 400: Μέλη δέσμης εφαπτόμενα ευθείας

Υπόδειξη: Έστω  $\Gamma$  το σημείο τομής της ε με τον ριζικό άξονα της δέσμης. Στην τεμνόμενη δέσμη εκτός των A, B υπολογίζεται η θέση του σημείου επαφής  $\Delta$  του ζητούμενου κύκλου από την  $|\Gamma\Delta|^2=|\Gamma A||\Gamma B|$ . Στην μη τεμνόμενη δέσμη η θέση του σημείου επαφής υπολογίζεται άμεσα  $|\Gamma\Delta|=|\Gamma A|=|\Gamma B|$ . Στην εφαπτόμενη δέσμη αντίστοιχα  $|\Gamma\Delta|=|\Gamma A|$ . Υπάρχουν δύο λύσεις εν γένει. Εξέτασε τις ειδικές περιπτώσεις, κατά τις οποίες η ε είναι παράλληλη του ριζικού άξονα της δέσμης ή διέρχεται από τα βασικά της σημεία.

'Ασκηση 4.5.4  $\Delta$ οθείσης δέσμης κύκλων  $\Delta$  και και κύκλου  $\omega$  που δεν ανήκει στην δέσμη, να βρεθούν οι κύκλοι της δέσμης που εφάπτονται του  $\omega$ .

 $\Upsilon$ πόδειξη: Εάν κ είναι ο ζητούμενος κύκλος, η κοινή εφαπτόμενη ΕΓ του κ και του ω θα διέρχεται από το σημείο Γ απ' όπου διέρχονται όλοι οι ριζικοί άξονες των ζευγών κύκλων που αποτελούνται από τον κ και ένα οποιοδήποτε μέλος μ της δέσμης (Πρόταση 4.5.2). Κατασκεύασε λοιπόν ένα τυχόν μέλος μ της δέσμης και βρες το σημείο τομή  $\Gamma$  του ριζικού

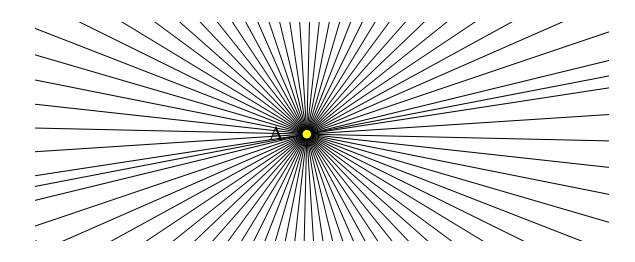


Σχήμα 401: Μέλη δέσμης εφαπτόμενα κύκλου ω

άξονα των ω και μ με τον ριζικό άξονα της δέσμης. Από το  $\Gamma$  φέρε τις εφαπτόμενες στον ω και όρισε τα σημεία επαφής  $\Delta$  και E. Οι ζητούμενοι κύκλοι είναι οι κύκλοι της δέσμης που διέρχονται από τα σημεία  $\Delta$  και E.  $\Delta$ ύο λύσεις εν γένει.

 $\Sigma$ χόλιο-2 Εκτός από τις δέσμες που γνωρίσαμε, υπάρχουν και τρία είδη ακόμη που δεχόμαστε ως μη συμβατικές δέσμες κύκλων.  $\Sigma$ την πρώτη εξ αυτών δεν πρόκειται καν γιά

κύκλους αλλά γιά ευθείες, και συγκεκριμένα όλες τις ευθείες που διέρχονται από ένα συγκεκριμένο σημείο Α. Θεωρούμε εδώ ότι πρόκειται γιά μιά τεμνόμενη δέσμη, που αποτελείται από πολύ μεγάλους κύκλους που διέρχονται από δύο βασικά σημεία Α και Β. Το Β όμως είναι μακριά στο άπειρο. Το σχήμα 402 θα μπορούσε να είναι και τμήμα μιάς γνήσιας δέσμης

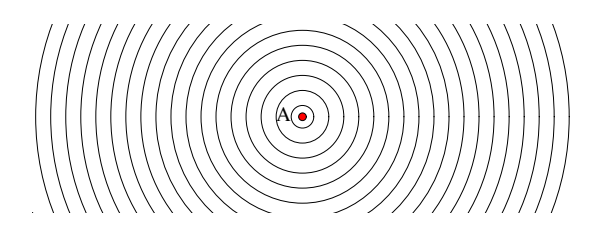


Σχήμα 402: Δέσμη κύκλων!

τεμνομένων κύκλων, της οποίας όμως το άλλο βασικό σημείο είναι πολύ μακρυά, έτσι ώστε, οι κύκλοι να είναι πολύ μεγάλοι και δύσκολα να διακρίνονται από ευθείες.

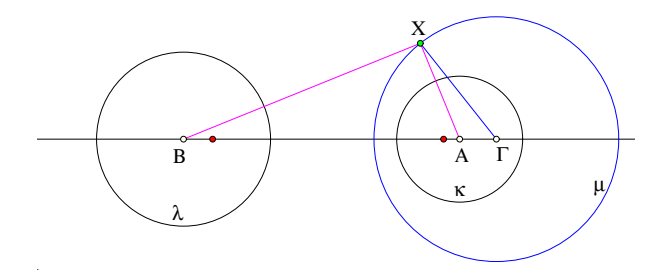
Και η δεύτερη μη συμβατική δέσμη αποτελείται από ευθείες και μάλιστα όλες που είναι παράλληλες προς μία συγκεκριμένη ευθεία ε. Θεωρούμε εδώ ότι πρόκειται γιά μιά εφαπτόμενη δέσμη κύκλων με βασικό σημείο Α, το οποίο όμως είναι πολύ μακριά στο άπειρο.

Η τρίτη μη συμβατική δέσμη κύκλων αποτελείται από όλους τους συγκεντρικούς κύκλους με κέντρο ένα συγκεκριμένο σημείο A.



Σχήμα 403: Δέσμη κύκλων συγκεντρικών

Θεωρούμε εδώ ότι πρόχειται γιά μιά μη τεμνόμενη δέσμη με οριαχά σημεία A και B. Το B όμως είναι και αυτό μαχριά στο άπειρο. Το πρόβλημα με αυτές τις τρεις δέσμες είναι ότι δεν ορίζεται, όπως στις άλλες, ριζιχός άξονας. Η χρησιμότητά τους έγχειται στο ότι από αυτές προχύπτουν όλες οι δέσμες μέσω μιάς διαδιχασίας, της αντιστροφής, που  $\theta$ α εξετάσουμε παραχάτω (Παράγραφος 4.8).



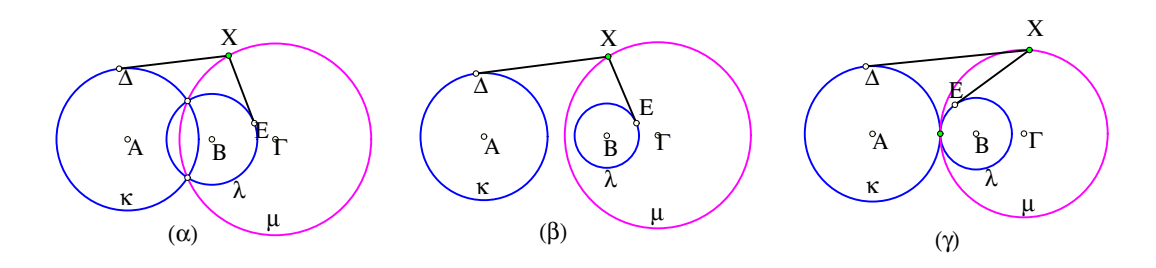
Σχήμα 404: Τόπος σημείων με σταθερό λόγο δυνάμεων

Πρόταση 4.5.3  $\Delta$ οθέντων κύκλων κ(A,a) και  $\lambda(B,\beta)$ , ο γεωμετρικός τόπος των σημείων X γιά τα οποία ο λόγος των δυνάμεων προς τους δύο κύκλους είναι σταθερός είναι κύκλος μπου ανήκει στην δέσμη που ορίζεται από τους κ και  $\lambda$ .

Απόδειξη: ([Mcl91, σ.178]) Έστω X σημείο του τόπου. Θεωρούμε τον κύκλο μ(Γ, γ) της δέσμης Δ, που παράγεται από τους κύκλους κ και λ και διέρχεται από το X (Πόρισμα 4.5.3). Αν δ συμβολίζει την απόσταση του X από τον κοινό ριζικό άξονα των τριών κύκλων, τότε οι δυνάμεις του X ως προς τους κ και λ θα είναι (Πόρισμα 4.3.1)

$$p_{\kappa}(X) = \pm 2|A\Gamma|\delta, \quad p_{\lambda}(X) = \pm 2|B\Gamma|\delta \quad \Rightarrow \quad \frac{p_{\kappa}(X)}{p_{\lambda}(X)} = \pm \frac{|A\Gamma|}{|B\Gamma|}.$$

Αυτό δείχνει ότι το X περιέχεται στον  $\mu$  και ταυτόχρονα ότι κάθε σημείο του  $\mu$  περιέχεται στον τόπο. Άρα ο τόπος ταυτίζεται  $\mu$ ε τον κύκλο  $\mu$ , ο.ε.δ.



Σχήμα 405: Τόπος σημείων με σταθερό λόγο εφαπτομένων

**Πόρισμα 4.5.4** Δοθέντων κύκλων κ(A,a) και  $\lambda(B,\beta)$ , ο γεωμετρικός τόπος των σημείων X γιά τα οποία ο λόγος των μηκών των εφαπτομένων προς τους δύο κύκλους κ και  $\lambda$  είναι σταθερός είναι κύκλος μ που ανήκει στην δέσμη που ορίζεται από τους κ και  $\lambda$ .

Το πόρισμα, στην περίπτωση της μη τεμνόμενης και εφαπτόμενης δέσμης (σχήμα 405 (β) και (γ)), έχει ένδιαφέρουσες ειδικές περιπτώσεις. Στην περίπτωση μη τεμνομένων κύκλων κ και λ, το πόρισμα γενικεύει το Θεώρημα 4.4.1 του Απολλώνιου, το οποίο μπορεί να θεωρηθεί ως η ειδική περίπτωση κατά την οποία οι δύο κύκλοι κ και λ έχουν μηδενική ακτίνα και ταυτίζονται με τα οριακά σημεία της δέσμης. Ενδιαφέρον παρουσιάζουν επίσης οι περιπτώσεις στις οποίες ο ένας μόνον εκ των δύο κύκλων ταυτίζεται με ένα οριακό σημείο της δέσμης.

**Πόρισμα 4.5.5** Δοθέντος κύκλου κ $(O,\rho)$  και σημείου A, διαφορετικού από το κέντρο O του κύκλου, ο γεωμετρικός τόπος των σημείων X γιά τα οποία ο λόγος των μηκών είναι σταθερός

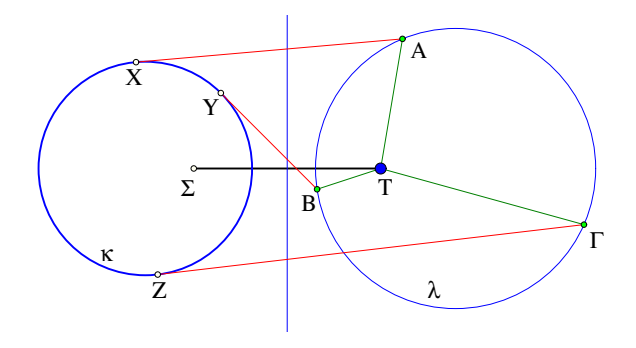
$$\frac{|XB|}{|XA|} = \sigma,$$

όπου XB η  $\epsilon \varphi$  απτόμ $\epsilon$ νη προς τον  $\kappa$  από το X,  $\epsilon$ ίναι κύκλος  $\lambda$  που ανήκ $\epsilon$ ι στην δ $\epsilon$ σμη που παράγ $\epsilon$ ται από τον  $\kappa$  και το σημ $\epsilon$ ίο A.

**Πόρισμα 4.5.6** Δοθέντος κύκλου κ $(O,\rho)$  και σημείου T, τρία σημεία A,B και  $\Gamma$  έχουν τον ίδιο λόγο μηκών εφαπτομένων προς απόσταση από το T

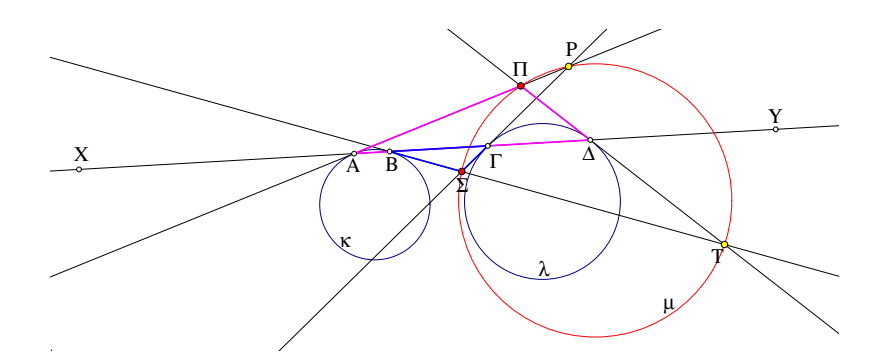
$$\frac{|AX|}{|AT|} = \frac{|BY|}{|BT|} = \frac{|\Gamma Z|}{|\Gamma T|}$$

τότε και μόνον, όταν ο περιγεγραμμένος κύκλος  $\lambda$  του τριγώνου  $AB\Gamma$  ανήκει στην δέσμη που παράγεται από τον κύκλο κ και το σημείο T.



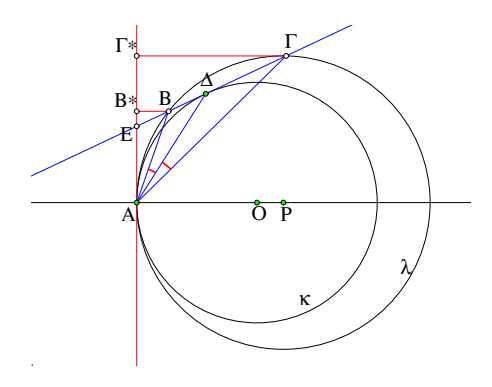
Σχήμα 406: Σταθερός λόγος μήχους εφαπτομένης και απόστασης από σημείο

'Ασκηση 4.5.5 Ευθεία ΧΥ τέμνει τους κύκλους κ και λ αντίστοιχα στα σημεία A,B και  $\Gamma,\Delta$ . Δείξε ότι οι εφαπτόμενες του κ στα A,B και οι εφαπτόμενες του λ στα  $\Gamma,\Delta$  τέμνονται σε τέσσερα σημεία  $\Pi,P,\Sigma,T$  περιεχόμενα σε κύκλο μ που ανήκει στην δέσμη  $\Delta$  που παράγεται από τους κ και λ ([Lac93, σ. 205]).



Σχήμα 407: Ευθεία τέμνουσα δύο χύχλους

 $\Upsilon$ πόδειξη: Τα  $(A\Pi\Delta,B\Sigma\Gamma)$  και  $(TB\Delta,PA\Gamma)$  είναι ζεύγη ομοίων τριγώνων. Στα τρίγωνα  $B\Sigma\Gamma$  και  $B\Delta T$  εφαρμόζεται η Πρόταση 3.9.3. Η απόδειξη προκύπτει συνδυάζοντας αυτά με την Πρόταση 4.5.3.



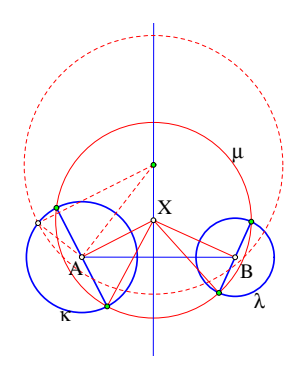
Σχήμα 408: Ιδιότητα διχοτόμου εφαπτόμενης δέσμης

Άσκηση 4.5.6 Έστω ότι ο κύκλος κ $(O,\rho)$  εφάπτεται εσωτερικά του λ $(P,\sigma)$  στο σημείο A. Δείξε ότι μιά χορδή  $B\Gamma$  του λ που εφάπτεται του κ στο  $\Delta$  ορίζει γωνία  $BA\Gamma$  της οποίας η  $A\Delta$  είναι διχοτόμος.

Υπόδειξη: ([Mcl91, σ. 178]) Η δύναμη του B ως προς x συμπίπτει με το  $|B\Delta|^2$  και είναι (Πόρισμα 4.3.1) ίση με  $2|OP||BB^*|$ , όπου  $B^*$  η προβολή του B στον ριζικό άξονα των δύο κύκλων που είναι η κοινή τους εφαπτόμενη στο A. Ανάλογα η δύναμη του  $\Gamma$  ως προς x συμπίπτει με το  $|\Gamma\Delta|^2 = 2|OP||\Gamma\Gamma^*|$ . Συνάγεται ότι  $\frac{|B\Delta|^2}{|\Gamma\Delta|^2} = \frac{|BB^*|}{|\Gamma\Gamma^*|} = \frac{|EB|}{|E\Gamma|}$ . Από την ομοιότητα των τριγώνων EBA και  $EA\Gamma$  συνάγεται ότι  $\frac{|BE|}{|EA|} = \frac{|BA|}{|A\Gamma|} = \frac{|EA|}{|\Gamma E|}$  και από αυτήν  $|BE| = \frac{|BA|}{|A\Gamma|} |EA|$ ,  $|\Gamma E| = \frac{|A\Gamma|}{|AB|} |EA|$ . Προκύπτει ότι  $\frac{|EB|}{|E\Gamma|} = \frac{|BA|^2}{|\Gamma A|^2}$  και από αυτήν  $\frac{|B\Delta|}{|\Delta\Gamma|} = \frac{|AB|}{|A\Gamma|}$ , που δείχνει ότι η  $A\Delta$  είναι διχοτόμος της  $BA\Gamma$ .

'Ασκηση 4.5.7  $\Delta \epsilon$ ίξε ότι γιά δύο κύκλους εξωτερικούς αλλήλων τα μέσα των κοινών εφαπτομένων τους είναι επί του ριζικού άξονος των δύο κύκλων.

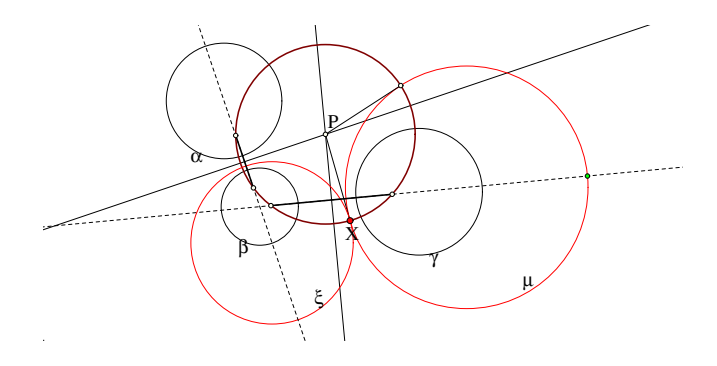
Άσκηση 4.5.8 Δοθέντων κύκλων κ(A,a) και  $\lambda(B,\beta)$ , ο γεωμετρικός τόπος των κέντρων X των κύκλων που τέμνουν τους A και B κατά διάμετρό τους είναι μία ευθεία  $\varepsilon$  κάθετη στη διάκεντρο AB.



Σχήμα 409: Κύκλοι τέμνοντες δύο άλλους κατά διάμετρο

Υπόδειξη: Υπολόγισε το  $|XA|^2 - |XB|^2$  (Άσκηση 3.4.7).

'Ασκηση 4.5.9  $\Delta o \theta \dot{\epsilon} \nu \tau \omega \nu$  τριών κύκλων κ,λ,μ να κατασκευασ $\theta \dot{\epsilon}$ ί κύκλος ν που τ $\dot{\epsilon}$ μνει κα $\theta \dot{\epsilon} \nu a$  από τους τρείς κατά μία διάμετρό του.

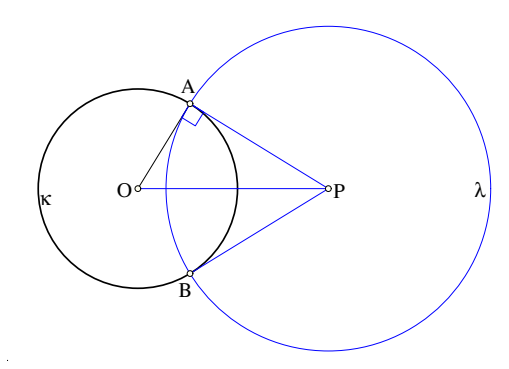


Σχήμα 410: Τα σημεία επαφής Χ μελών ξ, μ δύο δεσμών κύκλων

Άσκηση 4.5.10  $\Delta$ οθέντων τριών κύκλων a, $\beta$  και  $\gamma$  εκτός αλλήλων, θεώρησε δύο εφαπτόμενους κύκλους  $\xi$ ,  $\mu$  των δεσμών που παράγονται από τους a, $\beta$  και  $\beta$ ,  $\gamma$  αντίστοιχα.  $\Delta$ εί $\xi$ ε ότι τα σημεία επαφής X των  $\xi$ ,  $\mu$  περιέχονται στον κύκλο που διέρχεται από τα οριακά σημεία των δύο δεσμών και έχει κέντρο το ρίζικό κέντρο P των a, $\beta$  και  $\gamma$ .

## 4.6 Ορθογώνιοι κύκλοι και δέσμες

Ορθογώνιοι κύκλοι σχηματίζονται με την βοήθεια εφαπτομένων κύκλων από δοθέν σημείο. Οι εφαπτόμενες PA, PB, κύκλου κ(O,ρ) από σημείο P είναι ίσες, άρα ορίζεται κύκλος λ(P,ρ'),



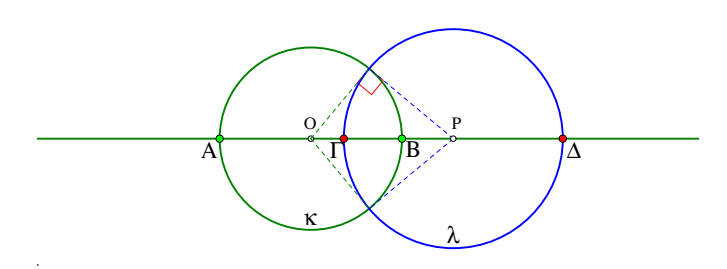
Σχήμα 411: Ορθογώνιοι κύκλοι

που έχει αυτές τις εφαπτόμενες ως ακτίνες. Στο σημείο τομής A των δύο κύκλων η γωνία μεταξύ των ακτίνων τους είναι ορθή. Αυτή είναι μία αμοιβαία σχέση. Και ο κύκλος κ μπορεί να θεωρηθεί ότι προκύπτει με τον ίδιο τρόπο, από τις εφαπτόμενες του  $\lambda$  από το O. Δύο τεμνόμενοι κύκλοι, των οποίων οι ακτίνες στα σημεία τομής είναι ορθογώνιες λέγονται  $\mathbf{O}$ ρθογώνιοι κύκλοι. Εξ ορισμού, λοιπόν, τούτο είναι ισοδύναμο με το ότι:  $\mathbf{σ}$ ε ένα σημείο τομής τους, η ακτίνα του ενός είναι εφαπτόμενη του άλλου. Από αυτήν την χαρακτηριστική ιδιότητα συνάγονται και τα επόμενα δύο πορίσματα.

**Πόρισμα 4.6.1**  $\Delta$ ύο κύκλοι κ $(O,\rho)$  και  $\lambda(P,\sigma)$  είναι ορθογώνιοι τότε και μόνον, όταν

$$|OP|^2 = \rho^2 + \sigma^2.$$

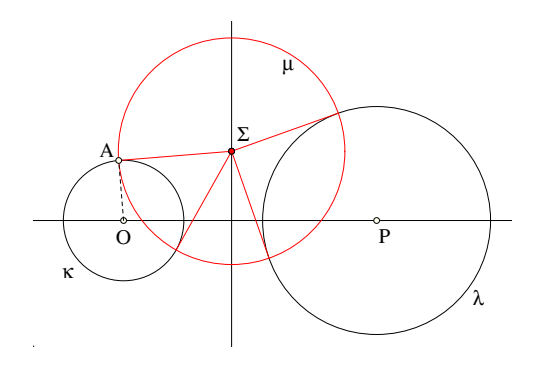
**Πόρισμα 4.6.2** Δύο κύκλοι κ $(O,\rho)$  και  $\lambda(P,\sigma)$  είναι ορθογώνιοι τότε και μόνον, όταν τα αντιδιαμετρικά σημεία A,B του ενός και  $\Gamma,\Delta$  του άλλου επί της διακέντρου OP αποτελούν αρμονική τετράδα.



Σχήμα 412: Αρμονική τετράδα  $(AB\Gamma\Delta)=-1$ 

Απόδειξη: Προκύπτει άμεσα από την χαρακτηριστική ιδιότητα μιάς αρμονικής τετράδας σημείων (Πρόταση 1.17.2), ο.ε.δ.

'Ασκηση 4.6.1 Κατασκεύασε κύκλο λ ορθογώνιο προς δοθέντα κ $(O,\rho)$  και έχοντα κέντρο δοθέν σημείο P, εξωτερικό του κ.



Σχήμα 413: Ορθογώνιος προς δύο κύκλους

Πρόταση 4.6.1 Δοθέντων δύο μη συγκεντρικών κύκλων κ και λ, τα κέντρα των κύκλων μ που είναι ταυτόχρονα ορθογώνιοι προς τους δοθέντες περιέχονται στον ριζικό άξονά τους.

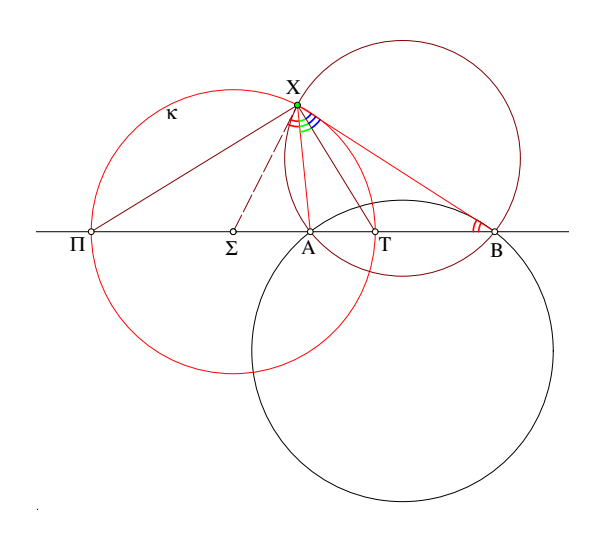
Aπόδειξη: Αν οι κύκλοι μ(Σ,ρ) και κ(Ο,ρ') είναι ορθογώνιοι, τότε οι ακτίνες τους σε ένα σημείο τομής τους Α θα είναι κάθετες, άρα η ΣΑ θα είναι εφαπτόμενη του κ. Τα ίδια θα συμβαίνουν και με τους μ και λ. Συνεπώς οι εφαπτόμενες από το Σ προς τους δοθέντες κύκλους θα είναι ίσες και το Σ θα ευρίσκεται επί του ριζικού άξονος των κ και λ, ο.ε.δ.

Πόρισμα 4.6.3 Ένας κύκλος μ ορθογώνιος προς δύο άλλους κ και λ είναι ταυτόχρονα ορθογώνιος και προς κάθε κύκλο της δέσμης που παράγεται από τους κ και λ.

Απόδειξη: Αν ο μ είναι ορθογώνιος προς τους κ και λ το κέντρο του θα περιέχεται στον ριζικό άξονα των κ και λ που είναι και ο ριζικός άξονας της δέσμης που παράγεται από τους κ και λ. Συνεπώς ο μ θα έχει την ίδια δύναμη προς όλους τους κύκλους αυτής της δέσμης. Έτσι εάν ο μ(Σ, ρ) τέμνει έναν τρίτο κύκλο ν της δέσμης στο σημείο A, τότε η ακτίνα ΣA του μ θα είναι επίσης εφαπτόμενη του ν, άρα οι δύο κύκλοι θα είναι ορθογώνιοι, ο.ε.δ.

'Ασκηση 4.6.2 Κατασκεύασε κύκλο κ που είναι ορθογώνιος προς τους κύκλους δέσμης  $\Delta$ .

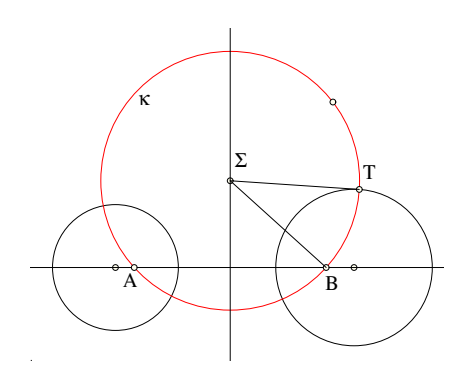
Υπόδειξη: Από τυχόν σημείο <math>P του ριζικού άξονα της  $\Delta$  φέρε εφαπτόμενη PT προς τυχόντα κύκλο-μέλος της  $\Delta$ . Ο κύκλος κ(P,|PT|) έχει την απαιτούμενη ιδιότητα.



Σχήμα 414: Ορθογώνιος προς τεμνόμενη δέσμη

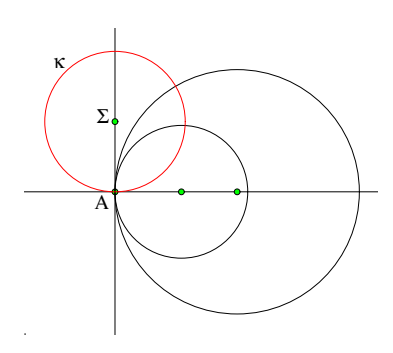
Πρόταση 4.6.2 Το σύνολο των κύκλων που είναι ταυτόχρονα ορθογώνιοι προς όλους τους κύκλους μιάς τεμνόμενης, μη-τεμνόμενης, εφαπτόμενης δέσμης  $\Delta$  είναι αντίστοιχα μιά μητεμνόμενη, τεμνόμενη, εφαπτόμενη δέσμη  $\Delta'$ .

Aπόδειξη: Στην περίπτωση που ο κύκλος κ(Σ,ρ) είναι ορθογώνιος προς τους κύκλους τεμνόμενης δέσμης με βασικά σημεία τα <math>A,B (σχήμα 414), από το τυχόν σημείο του X διέρχεται



Σχήμα 415: Ορθογώνιος προς μη τεμνόμενη δέσμη

ένας ορθογώνιος κύκλος λ της δέσμης και ισχύει  $|\Sigma X|^2 = |\Sigma A||\Sigma B|$ . Κατά την Πρόταση 4.4.2 αυτό ισοδυναμεί με το ότι ο κ είναι Απολλώνιος ως προς το AB, συνεπώς όλοι οι ορθογώνιοι κύκλοι της τεμνόμενης στα A, B δέσμης ανήκουν στην μη τεμνόμενη δέσμη που ορίζεται από το ευθύγραμμο τμήμα AB. Στην περίπτωση που ο κύκλος κ(Σ,ρ) είναι ορθογώνιος προς κύκλους της μη τεμνόμενης δέσμης που ορίζεται από το ευθύγραμμο τμήμα AB (σχήμα 415), η εφαπτόμενη  $|\Sigma T|$  προς μέλος της δέσμης ισούται με τις  $|\Sigma A| = |\Sigma B|$  (Πρόταση 4.4.3). Άρα ο κύκλος διέρχεται από τα σημεία A,B και συνεπώς περιέχεται στην δέσμη με αυτά τα οριακά σημεία. Στην περίπτωση που ο κ(Σ,ρ) είναι ορθογώνιος σε κύκλους



Σχήμα 416: Ορθογώνιος προς εφαπτόμενη δέσμη

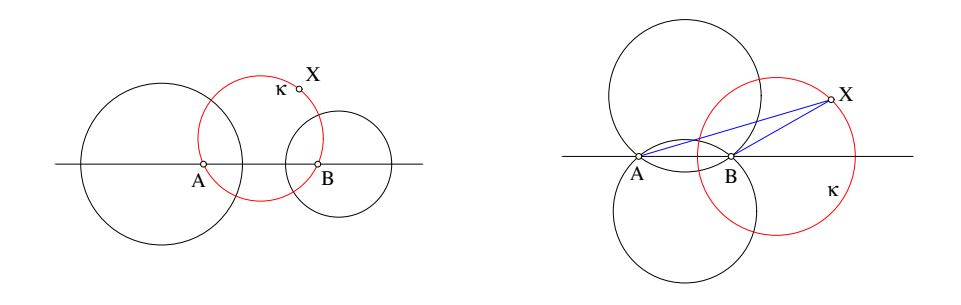
εφαπτόμενης δέσμης με κοινό σημείο στο A, η ακτίνα του  $\Sigma A$  θα είναι εφαπτόμενη σε όλους τους κύκλους και συνεπώς ο κ θα είναι εφαπτόμενος στο A του άξονα των κέντρων της δέσμης, ο.ε.δ.

Η δέσμη  $\Delta'$  που εξασφαλίζει η προηγούμενη πρόταση λέγεται  $\mathbf{O}$ ρθογώνια δέσμη της  $\Delta$ .

**Πόρισμα 4.6.4** Κάθε δέσμη κύκλων μπορεί να θεωρηθεί ως το σύνολο των κύκλων που είναι ορθογώνιοι σε δύο σταθερούς κύκλους α και  $\beta$ .

Άσκηση 4.6.3 Να κατασκευασθούν τα οριακά σημεία A και B μιάς μη τεμνόμενης δέσμης  $\Delta$ , της οποίας δίδονται δύο κύκλοι α και  $\beta$ .

Υπόδειξη: Κατασχεύασε τον ριζικό άξονα ε των α και β. Από τυχόν σημείο P του ε (που έχει αυτήν την δυνατότητα) φέρε εφαπτόμενη PY προς τον κύκλο α. Τα σημεία τομής της διακέντρου των α και β με τον κύκλο κ(P,|PY|) είναι τα ζητούμενα οριακά σημεία της δέσμης.

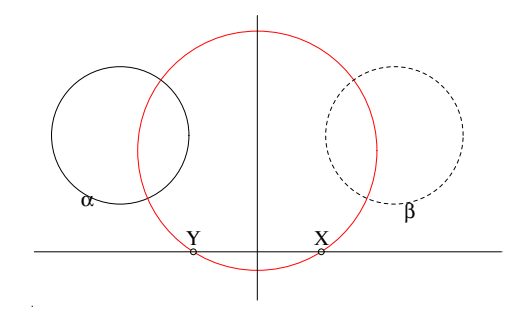


Σχήμα 417: Κατασκευή ορθογώνιου κύκλου διερχόμενου από σημείο

'Ασκηση 4.6.4 Nα κατασκευασθεί κύκλος κ ορθογώνιος προς δύο δοθέντες α και  $\beta$  και διερχόμενος από σημείο X.

Υπόδειξη: Εάν οι δοθέντες δεν τέμνονται (σχήμα 417), προσδιόρισε πρώτα τα βασικά σημεία A,B της δέσμης που παράγουν (προηγούμενη άσκηση). Ο ζητούμενος είναι ο διερχόμενος από τα τρία σημεία X,A και B. Εάν οι δοθέντες τέμνονται στα σημεία A και B, τότε ο ζητούμενος ανήκει στην μη τεμνόμενη δέσμη με οριακά σημεία A και B. Συνεπώς είναι ο Aπολλώνιος κύκλος του AB με λόγο  $\lambda = \frac{|XA|}{|XB|}$ .

'Ασκηση 4.6.5 Nα κατασκευασθεί κύκλος κ ορθογώνιος προς δοθέντα κύκλο α και διερχόμενος από δύο σημεία X και Y.



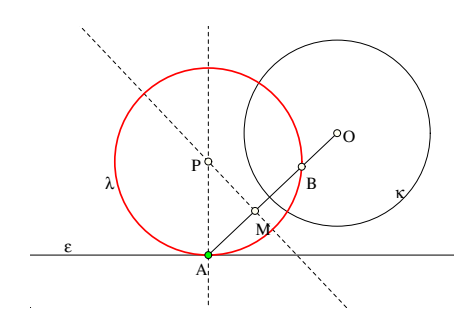
Σχήμα 418: Κατασκευή ορθογώνιου κύκλου διερχομένου από δύο σημεία

Υπόδειξη: Θεώρησε τον συμμετρικό β του κύκλου α ως προς την μεσοκάθετο του τμήματος XY. Αν ο ζητούμενος είναι ορθογώνιος στον α θα είναι και στον β. Επομένως ταυτίζεται με τον κύκλο που είναι ταυτόχρονα ορθογώνιος στους α και β και διέρχεται από ένα εκ των δύο σημείων λ.χ. το X (Άσκηση 4.6.4).

'Ασκηση 4.6.6 Να κατασκευασθεί κύκλος κ $(O,\rho)$  ταυτόχρονα ορθογώνιος προς τρεις δοθέντες κύκλους  $\alpha$ ,  $\beta$  και  $\gamma$ .

Υπόδειξη: Άσκηση της οποίας η λύση ταυτίζεται με αυτήν της Άσκησης 4.3.7.

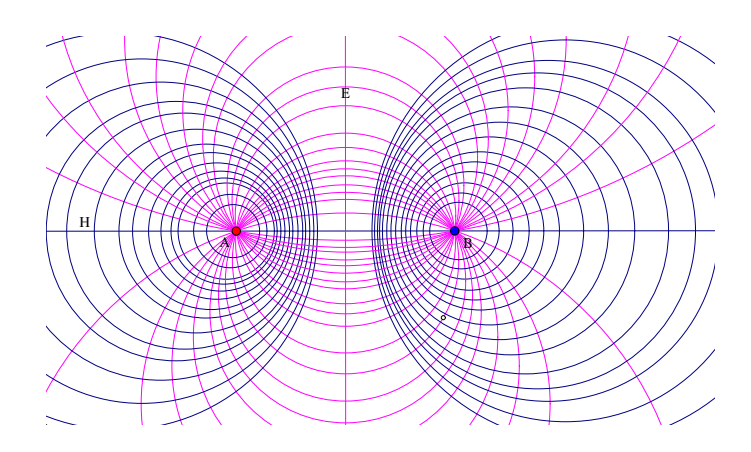
'Ασκηση 4.6.7 Να κατασκευασθεί κύκλος  $\lambda$  εφαπτόμενος δοθείσης ευθείας  $\varepsilon$  σε δοθέν σημείο της A και ταυτόχρονα ορθογώνιος προς δοθέντα κύκλο κ $(O,\rho)$ .



Σχήμα 419: λ ορθογώνιος προς κ και εφαπτόμενος της ε

Υπόδειξη: Έστω λ ο ζητούμενος και B το άλλο σημείο τομής του με την OA. Λόγω της ορθογωνιότητας των δύο κύκλων θα ισχύει  $|OA||OB|=\rho^2$ . Άρα το B κατασκευάζεται από τα δεδομένα και το κέντρο P του λ προσδιορίζεται ως σημείο τομής της καθέτου στην E στο A και της μεσοκαθέτου του AB.

Άσκηση 4.6.8  $\Delta$ είξε ότι, ο γεωμετρικός τόπος των κέντρων των κύκλων  $\lambda$ , που διέρχονται από σταθερό σημείο B και τέμνουν σταθερό κύκλο κ $(A,\rho)$  σε σημεία αντιδιαμετρικά ως προς τον  $\lambda$ , είναι ένας κύκλος.

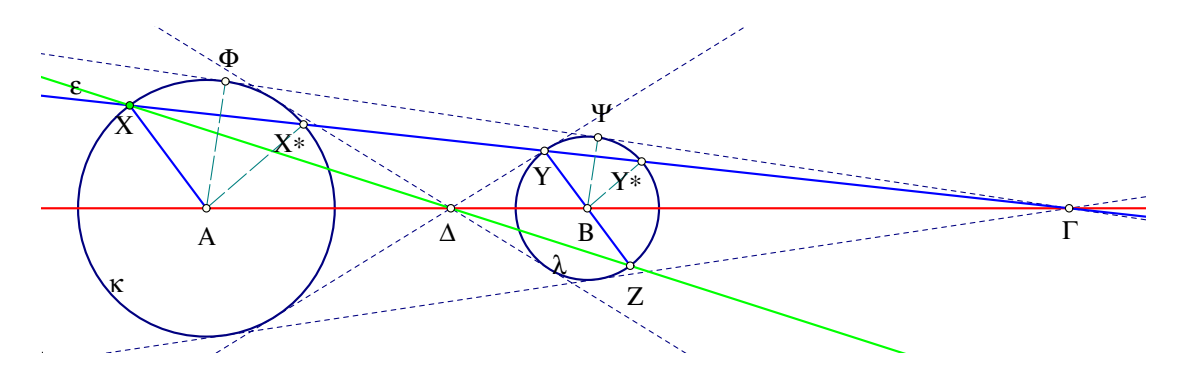


Σχήμα 420: Ηλεκτρομαγνητικό πεδίο

 $\Sigma$ χόλιο Δέσμες κύκλων έχουν εφαρμογές σε πολλά πεδία. Το σχήμα 420 δείχνει το  $H\lambda$ εκτρομαγνητικό πεδίο που δημιουργείται από δύο αγωγούς ηλεκτρικού ρεύματος A και B. H εικόνα δείχνει ακριβέστερα μιά επίπεδη τομή του πεδίου, όπου το φύλλο του χαρτιού ταυτίζεται με το κάθετο στους αγωγούς επίπεδο. Το πεδίο αποτελείται από δύο ορθογώνιες δέσμες κύκλων. H τεμνόμενη E, με βασικά σημεία τα A και B, παριστάνει το ηλεκτρικό πεδίο. Ένα ηλεκτρόνιο, που θα αφαιθεί στην επίδραση του πεδίου, θα κινηθεί κατά μήκος ενός κύκλου της δέσμης E. E0 μη τεμνόμενη δέσμη E1 παριστάνει το μαγνητικό πεδίο. E1 μα αγνητική πυξίδα, που θα αφαιθεί στην επίδραση του πεδίου, θα προσανατολισθεί και θα πάρει θέση εφαπτόμενη ενός κύκλου της δέσμης E1.

## 4.7 Κέντρα ομοιότητας δύο κύκλων

Θεώρημα 4.7.1 Δοθέντων δύο μη ομόκεντρων και μη ίσων κύκλων κ(A,a) και  $\lambda(B,\beta)$  υπάρχουν δύο σημεία  $\Gamma$  και  $\Delta$  με την ιδιότητα, κάθε ευθεία διερχόμενη από ένα εξ αυτών και τέμνουσα τους δύο κύκλους να ορίζει επ' αυτών σημεία προς τα οποία οι ακτίνες τους είναι ανά ζεύγη παράλληλες. Και αντίστροφα, κάθε ζεύγος παράλληλων ακτίνων AX και BY ορίζει ευθεία XY διερχόμενη δι' ενός εκ των  $\Gamma$ ,  $\Delta$ .



 $\Sigma$ χήμα 421: Κέντρα ομοιότητας  $(\Gamma, \Delta)$  δύο κύκλων

Aπόδειξη: Θεώρησε τα σημεία  $\Gamma$  και  $\Delta$ , εξωτερικό και εσωτερικό αντίστοιχα του ευθυγράμμου τμήματος AB τα οποία το διαιρούν σε τμήματα λόγου a/b:

$$\frac{|\Gamma A|}{|\Gamma B|} = \frac{|\Delta A|}{|\Delta B|} = \frac{\alpha}{\beta}.$$

Έστω τώρα τοιχούσα ευθεία ε τέμνουσα τον ένα κύκλο  $A(\alpha)$  στο X. Από το B φέρε παράλληλο προς την AX τέμνουσα τον κύκλο  $B(\beta)$  στα αντιδιαμετρικά του σημεία Y και Z. Τα τρίγωνα  $\Gamma AX$  και  $\Gamma BY$  είναι όμοια διότι έχουν εκ κατασκευής τις γωνίες τους ίσες. Άρα

$$\frac{|AX|}{|BY|} = \frac{\alpha}{|BY|} = \frac{|\Gamma A|}{|\Gamma B|} = \frac{\alpha}{\beta} \ \Rightarrow \ |BY| = \beta,$$

που σημαίνει ότι το Y είναι σημείο του κύκλου. Ανάλογα αποδεικνύεται ότι και η ευθεία  $\Delta X$  τέμνει τον κύκλο  $B(\beta)$  σε σημεία, ένα εκ των οποίων ορίζει ακτίνα BZ παράλληλη της AX.

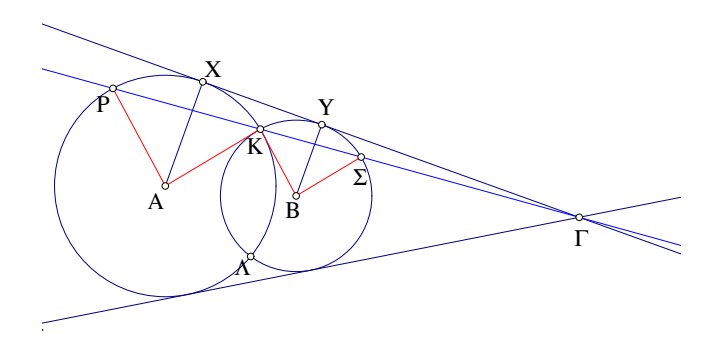
Αντίστροφα, αν οι ακτίνες AX και BY (BZ) είναι παράλληλες τότε τα τρίγωνα  $XA\Gamma$  και  $YB\Gamma$   $(XA\Delta$  και  $ZB\Delta)$  είναι όμοια και συνεπώς τα σημεία X, Y και  $\Gamma$  (X, Z και  $\Delta)$  είναι συνευθειακά, ο.ε.δ.

Πόρισμα 4.7.1 H ευθεία που ενώνει τα σημεία επαφής μιάς κοινής εφαπτομένης δύο μη ίσων κύκλων (εάν υπάρχει) διέρχεται από ένα εκ των κέντρων ομοιότητάς τους.

Aπόδειξη: Οι ακτίνες AΦ και  $B\Psi$  στα σημεία επαφής μιάς κοινής εφαπτομένης είναι παράλληλες, ως κάθετες στην ίδια ευθεία, άρα, κατά το προηγούμενο θεώρημα η ΦΨ θα διέρχεται από ένα εκ των κέντρων ομοιότητας, ο.ε.δ.

Τα σημεία  $\Gamma$  και  $\Delta$  που ορίζονται από το προηγούμενο θεώρημα ονομάζονται  $\mathbf{K}$ έντρα  $\mathbf{O}$ -μοιότητας των δύο κύκλων  $\mathbf{A}$ (α) και  $\mathbf{B}$ (β) και είναι αρμονικά συζυγή (Παράγραφος 1.17) ως προς τα κέντρα  $\mathbf{A}$  και  $\mathbf{B}$  των κύκλων. Το  $\Gamma$  (εξωτερικό του  $\mathbf{A}\mathbf{B}$ ) λέγεται  $\mathbf{E}$ ξωτερικό

κέντρο ομοιότητας και το  $\Delta$  (εσωτερικό του AB)  $\mathbf{E}$ σωτερικό κέντρο ομοιότητας. Κάθε ευθεία, που διέρχεται από ένα κέντρο ομοιότητας και τέμνει καθένα από τους κύκλους σε δύο σημεία, ορίζει δύο ζεύγη σημείων (X,Y),  $(X^*,Y^*)$  προς τα οποία οι αντίστοιχες ακτίνες είναι παράλληλες και λέγονται  $\mathbf{O}$ μόλογα σημεία, ενώ τα ζεύγη σημείων  $(X,Y^*)$ ,  $(X^*,Y)$  λέγονται  $\mathbf{A}$ ντιομόλογα σημεία των δύο κύκλων ([Joh60,  $\sigma$ . 19]). Στα επόμενα αυτής της παραγράφου υποθέτουμε, όπως και στο θεώρημα, ότι οι κύκλοι κ $(A,\alpha)$  και λ $(B,\beta)$  είναι μη ομόκεντροι και μη ίσοι.

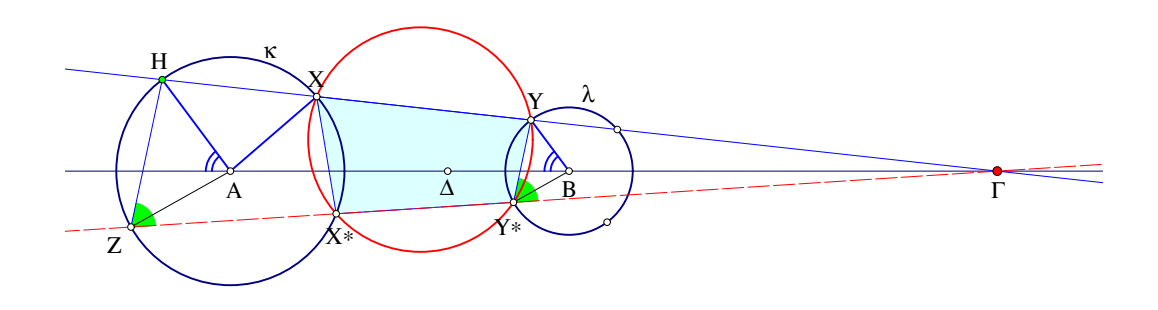


Σχήμα 422: Συμπίπτοντα αντιομόλογα σημεία

Στην περίπτωση που η ε είναι μία κοινή εφαπτόμενη των δύο κύκλων τα X και  $X^*$ , καθώς και τα Y και  $Y^*$  ταυτίζονται και έχουμε ένα μόνο ζεύγος σημείων (X,Y) που είναι ταυτόχρονα ομόλογα και αντιομόλογα. Τέλος, στην περίπτωση δύο κύκλων που τέμνονται στα σημεία K και  $\Lambda$  οι ευθείες  $\Gamma K$  και  $\Gamma \Lambda$  τέμνουν τους δύο κύκλους σε τρία σημεία  $\Lambda$ .χ. η  $\Gamma K$  στα  $\Lambda$  και  $\Lambda$  και έχουμε τα ομόλογα σημεία  $\Lambda$ ,  $\Lambda$ ,  $\Lambda$  και  $\Lambda$  και έχουμε τα ομόλογα σημεία  $\Lambda$ ,  $\Lambda$ ,  $\Lambda$ ,  $\Lambda$  και  $\Lambda$  και έχουμε τα ομόλογα σημεία ταυτίζονται.

Τα ομόλογα σημεία χαρακτηρίζονται από την παραλληλία των ακτίνων προς αυτά. Επίσης μία ευθεία που διέρχεται από δύο ομόλογα σημεία τέμνει τους κύκλους σε δύο ακόμη σημεία αντίστοιχα, τα οποία είναι επίσης ομόλογα. Κάτι ανάλογο συμβαίνει και με τα αντιομόλογα, όπου όμως οι τέμνουσες ευθείες αντικαθίστανται με κύκλους.

Πρόταση 4.7.1 Γιά κάθε ζεύγος αντιομολόγων σημείων X, Y, δύο κύκλων κ(A,a) και  $\lambda(B,\beta)$  και κάθε κύκλο μ διερχόμενο δι' αυτών, τα δεύτερα σημεία τομής  $X^*$ ,  $Y^*$  του μ με τους κ και  $\lambda$  είναι επίσης αντιομόλογα σημεία και οι ευθείες XY και  $X^*Y^*$  διέρχονται από το ίδιο κέντρο ομοιότητας.

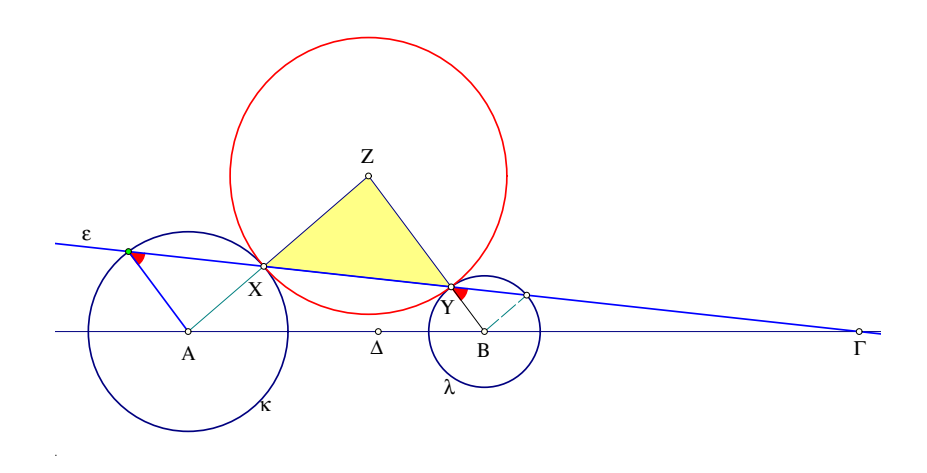


Σχήμα 423: Κύκλος δι' αντιομολόγων ξανατέμνει σε αντιομόλογα

Aπόδειξη: Έστω ότι Η και Z είναι τα δεύτερα σημεία τομής αντίστοιχα των XY και  $X^*Y^*$  με τον κ. Λόγω του εγγραψίμου τετραπλεύρου  $XYY^*X^*$ , η εξωτερική του γωνία στο  $Y^*$ 

ισούται με την εντός και απέναντι στο X, που με την σειρά της, ως εξωτερική του εγγραψίμου  $X^*XHZ$  ισούται με την εσωτερική και απέναντι στο Z. Αυτό συνεπάγεται ότι οι ZH και  $Y^*Y$  είναι παράλληλες. Επειδή εξ υποθέσεως και οι AH και BY είναι παράλληλες, έπεται ότι οι γωνίες AHZ και  $BYY^*$  είναι ίσες. Λόγω των ισοσκελών AHZ και  $BYY^*$  έπεται ότι και οι γωνίες AZH και  $BY^*Y$  είναι ίσες και έχουν αντίστοιχες πλευρές παράλληλες. Άρα η AZ είναι παράλληλη της  $BY^*$ . Αυτό σημαίνει ότι και τα  $X^*$  και  $Y^*$  είναι αντιομόλογα. Ο δεύτερος ισχυρισμός προκύπτει από την παραλληλία των πλευρών των ισοσκελών AHZ και  $BYY^*$  που συνεπάγεται ότι οι ευθείες που ενώνουν αντίστοιχες κορυφές τους θα διέρχονται από το ίδιο σημείο (κέντρο ομοιοθεσίας των δύο τριγώνων), ο.ε.δ.

Πρόταση 4.7.2 Από κάθε ζεύγος αντιομολόγων σημείων X,Y δύο κύκλων κ(A,a) και  $\lambda(B,\beta)$  διέρχεται ένας ακριβώς κύκλος μ εφαπτόμενος σε αυτά ακριβώς τα σημεία των κ και  $\lambda$  αντιστοίχως.



Σχήμα 424: Κύκλος εφαπτόμενος σε δύο αντιομόλογα σημεία

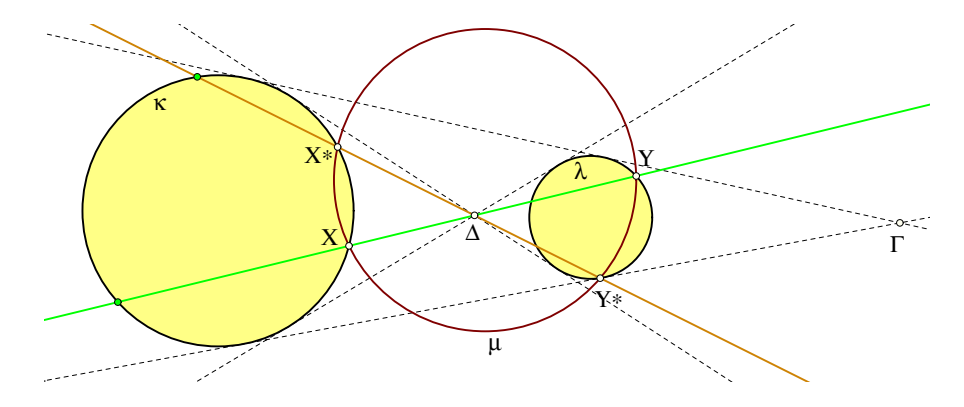
Aπόδειξη: Λόγω της υπόθεσης, οι προεκτάσεις των <math>AX και BY θα σχηματίζουν τρίγωνο ZXY με ίσες παρά την βάσην γωνίες, άρα ισοσκελές και ορίζον κύκλο εφαπτόμενο των κ, λ στα X και Y αντιστοίχως, ως απαιτείται. Η μοναδικότητα προκύπτει κατά τετριμμένο τρόπο, ο.ε.δ.

Θεώρημα 4.7.2 Δύο σημεία X, Y δύο κύκλων κ(A,a) και  $\lambda(B,\beta)$  είναι αντιομόλογα σημεία τότε και μόνον, όταν είναι σημεία επαφής με έναν κύκλο μ που εφάπτεται και των δύο κύκλων.

Aπόδειξη: Το ευθύ συμπίπτει με το προηγούμενο θεώρημα. Το αντίστροφο συμπίπτει με την Άσκηση 2.3.2, ο.ε.δ.

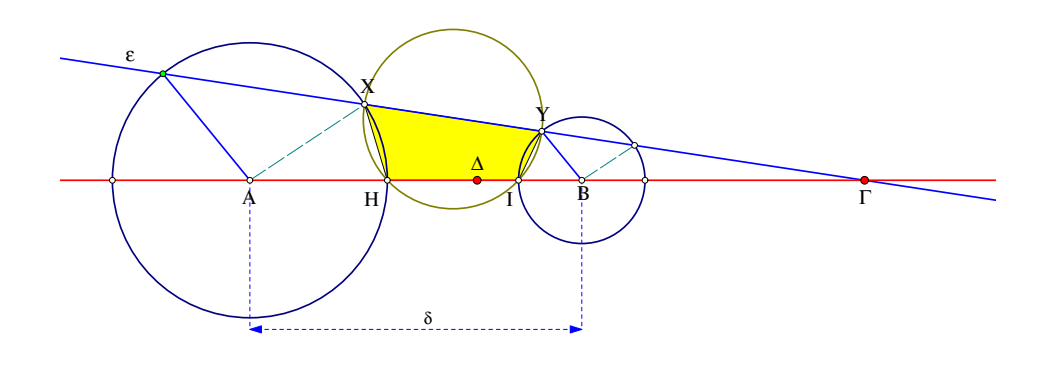
Πρόταση 4.7.3  $\Delta$ οθέντων κύκλων κ και λ, δύο διαφορετικά ζεύγη (X,Y) και  $(X^*,Y^*)$  αντιομολόγων σημείων, των οποίων οι αντίστοιχες ευθείες XY και  $X^*Y^*$  διέρχονται από το ίδιο κέντρο ομοιότητας, είναι κορυφές εγγραψίμου τετραπλεύρου.

Aπόδειξη: θεώρησε τον κύκλο  $(XYX^*)$ . Αυτός, κατά την Πρόταση 4.7.1, ως διερχόμενος από τα αντιομόλογα X και Y, θα τέμνει γιά δεύτερη φορά τους κύκλους κ,λ σε επίσης αντιομόλογα σημεία, ένα εκ των οποίων είναι το  $X^*$ . Άρα το άλλο θα είναι υποχρεωτικά το  $Y^*$ , ο.ε.δ.



Σχήμα 425: Εγγράψιμο τετράπλευρο δύο ζευγών αντιομολόγων σημείων

Πρόταση 4.7.4 Δοθέντων κύκλων κ(A,a) και  $\lambda(B,\beta)$ , γιά κάθε ζεύγος αντιομολόγων σημείων X και Y επί ευθείας ε διερχόμενης δι' ενός κέντρου ομοιότητας Z, το γινόμενο των τμημάτων |ZX||ZY| είναι σταθερό και ίσο με  $||ZA||ZB| - \alpha\beta|$ .



Σχήμα 426: Τα γινόμενα  $|\Gamma X| |\Gamma Y|$ 

Aπόδειξη: Ας δούμε την περίπτωση που το Z ταυτίζεται με το εξωτερικό κέντρο ομοιότητας  $\Gamma$ . Η περίπτωση του εσωτερικού κέντρου  $\Delta$  είναι παρόμοια. Έστω  $\Pi$  και  $\Pi$  δύο αντιομόλογα σημεία που είναι και σημεία τομής των κ και  $\Pi$  αντίστοιχα με την διάκεντρό τους  $\Pi$  ΑΒ. Κατά την  $\Pi$ ρόταση  $\Pi$ 0.3 το τετράπλευρο  $\Pi$ 1 είναι εγγράψιμο άρα

$$|\Gamma X||\Gamma Y| = |\Gamma H||\Gamma I| = (|\Gamma A| - \alpha)(|\Gamma B| + \beta) = |\Gamma A||\Gamma B| - \alpha\beta.$$

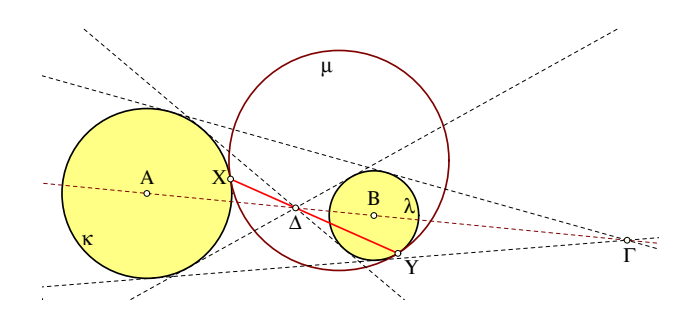
Η τελευταία ισότητα οφείλεται στο ότι στην προτελευταία παράσταση ο όρος  $|\Gamma A|\beta - |\Gamma B|\alpha = 0$ , αφού γιά το χέντρο ομοιότητας ισχύει η ισοδύναμη  $\frac{|\Gamma A|}{|\Gamma B|} = \frac{\alpha}{\beta}$ , ο.ε.δ.

Άσκηση 4.7.1  $\Delta \epsilon$ ίξε ότι τα γινόμενα  $|\Gamma X||\Gamma Y|$  και  $|\Delta X||\Delta Y|$  της προηγούμενης πρότασης εκφράζονται συναρτήσει των ακτίνων  $\alpha > \beta$  των κύκλων κ, λ και της απόστασης των κέντρων τους  $\delta = |AB|$ , μέσω των τύπων

$$|\Gamma X||\Gamma Y| = \delta^2 \frac{\alpha\beta}{(\alpha - \beta)^2} - \alpha\beta, \qquad |\Delta X||\Delta Y| = \delta^2 \frac{\alpha\beta}{(\alpha + \beta)^2} - \alpha\beta.$$

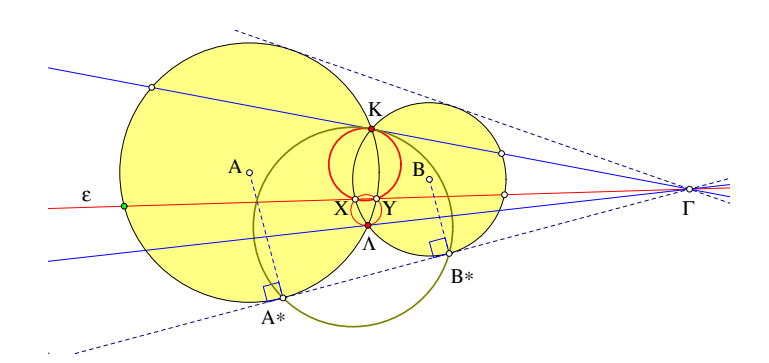
**Πόρισμα 4.7.2** Γιά κάθε κύκλο μ εφαπτόμενο δύο άλλων κ(A,a) και λ $(B,\beta)$ , η χορδή XY των σημείων επαφής μεταξύ των κύκλων διέρχεται από ένα κέντρο ομοιότητας Z των κ και

λ. Το είδος του Z καθορίζεται από τον τρόπο που ο  $\mu$  εφάπτεται των κ και λ (εξωτερικά-εσωτερικά). Το γινόμενο |ZX||ZY| είναι ανέξάρτητο του  $\mu$  και εξαρτάται  $\mu$ όνο από το  $\mu$ έγεθος και την σχετική θέση των κ και  $\lambda$ .



Σχήμα 427: Το  $|\Delta X| |\Delta Y|$  ανεξάρτητο της θέσης του εφαπτόμενου μ

**Πόρισμα 4.7.3** Εστω ότι οι κύκλοι κ(A,a) και λ(B,β) τέμνονται στα σημεία K και  $\Lambda$  και έστω ότι X και Y είναι αντιομόλογα σημεία επί ευθείας  $\varepsilon$  διερχομένης διά του εξωτερικού κέντρου ομοιότητάς τους  $\Gamma$ . Τότε ο κύκλος (KXY) εφάπτεται της  $\Gamma K$  και ο  $(\Lambda XY)$  της  $\Gamma \Lambda$ . Ειδικά ο κύκλος (KA\*B\*), όπου A\*, B\* τα σημεία επαφής μιάς κοινής εφαπτομένης διά του  $\Gamma$  εφάπτεται της ευθείας  $\Gamma K$ .



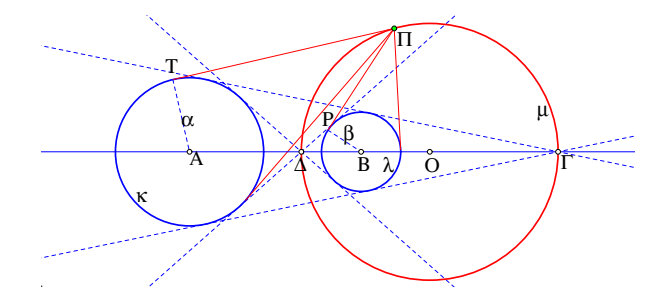
Σχήμα 428: Αντιομόλογα σημεία σε τεμνόμενους κύκλους

Aπόδειξη: Στην περίπτωση τεμνομένων κύκλων <math>A(α) και B(β) η σταθερά |ΓX||ΓY| ισούται με  $|ΓK|^2$  και το συμπέρασμα προκύπτει από την Πρόταση 4.1.3, ο.ε.δ.

Κύκλος ομοιότητας δύο κύκλων κ $(A,\alpha)$  και  $\lambda(B,\beta)$  ονομάζεται ο κύκλος μ με διάμετρο την  $\Gamma\Delta$ , όπου  $\Gamma$  και  $\Delta$  τα κέντρα ομοιότητας των δύο κύκλων.

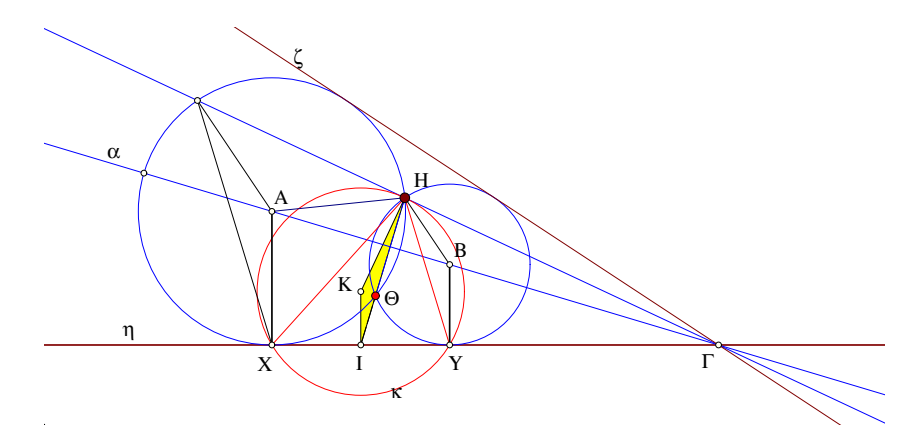
Άσκηση 4.7.2  $\Delta$ είξε ότι γιά κάθε σημείο X του κύκλου ομοιότητας ο λόγος των δυνάμεων προς τους κ(A,a) και  $\lambda(B,\beta)$  είναι ίσος με τον λόγο των τετραγώνων των ακτίνων τους. Συμπέρανε ότι ο κύκλος ομοιότητας μ των κ και  $\lambda$  ανήκει στην δέσμη που παράγεται από τους δύο αυτούς κύκλους.

Υπόδειξη: Τα σημεία Π γιά τα οποία ο λόγος των δυνάμεων ως προς τους κ και λ είναι  $\frac{p_\kappa(\Pi)}{p_\lambda(\Pi)} = \frac{\alpha^2}{\beta^2}$  είναι σημεία ενός κύκλου της δέσμης των κ και λ (Πρόταση 4.5.3). Την ιδιότητα αυτή έχουν και τα  $\Gamma$  και  $\Delta$ .



Σχήμα 429: Κύκλος ομοιότητας μ των κ $(A,\alpha)$  και  $\lambda(B,\beta)$ 

Άσκηση 4.7.3  $\Delta$ ίδεται ευθεία η και σημείο H εκτός αυτής καθώς και σημείο A κινούμενο επί ευθείας a. Nα βρεθούν οι θέσεις του <math>A επί της ευθείας a, γιά τις οποίες |AH| = |AX|, όπου X η προβολή του A επί της η.



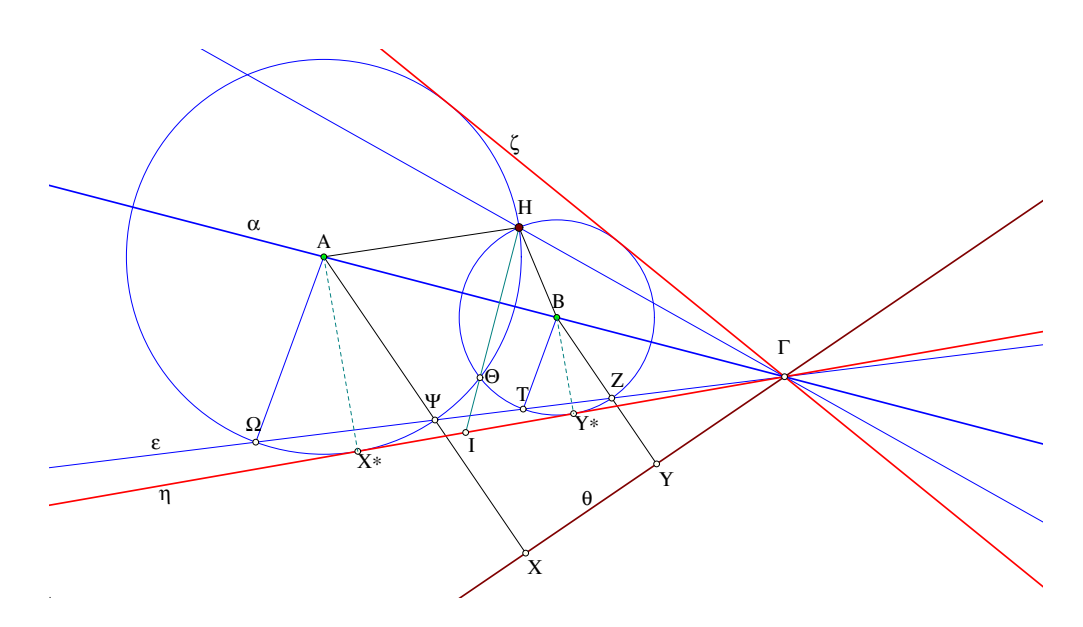
Σχήμα 430: Σημεία A, B με |AH| = |AX|, |BH| = |BY|

Υπόδειξη: Υπόθεσε ότι δύο σημεία  $\mathbf{A}$  και  $\mathbf{B}$  ικανοποιούν τις απαιτήσεις |AH|=|AX|, |BH|=|BY|, όπου  $\mathbf{X}, Y$  οι προβολές τους στην  $\mathbf{\eta}$ . Τότε οι κύκλοι A(|AX|), B(|BY|) είναι εφαπτόμενοι της  $\mathbf{\eta}$  και διέρχονται από το  $\mathbf{H}$ , συνεπώς και το συμμετρικό του  $\mathbf{\Theta}$  ως προς α. Επίσης το σημείο τομής  $\mathbf{\Gamma}$  των α και  $\mathbf{\eta}$  είναι κέντρο ομοιότητας των δύο κύκλων και ο κύκλος  $(\mathbf{H}XY)$  εφάπτεται της  $\mathbf{\Gamma}\mathbf{H}$  στο  $\mathbf{H}$  (Πόρισμα 4.7.3).  $\mathbf{H}$  ιδιότητα αυτή οδηγεί στην κατασκευή του κύκλου  $(\mathbf{H}XY)$  και μέσω αυτού στην κατασκευή των  $\mathbf{A}$  και  $\mathbf{B}$ . Γιά την κατασκευή του κύκλου  $\mathbf{x}=(\mathbf{H}XY)$  θεώρησε το σημείο  $\mathbf{I}$  στο οποίο  $\mathbf{\eta}$   $\mathbf{H}\mathbf{\Theta}$  τέμνει την  $\mathbf{\eta}$ . Λόγω της επαφής των κύκλων με την  $\mathbf{\eta}$  έχουμε

$$|I\Theta||IH| = |IX|^2 = |IY|^2,$$

που σημαίνει ότι το Ι, που ευρίσκεται άμεσα από τα δεδομένα, είναι το μέσον του ΧΥ. Το κέντρο Κ του κύκλου κ ευρίσκεται ως τομή των καθέτων ΚΙ και ΚΗ στις ευθείες η και ΗΓ αντίστοιχα. Η μοναδικότητα του κύκλου κ δείχνει επίσης ότι υπάρχουν δύο λύσεις όταν ο κ τέμνει την η. Αυτό συμβαίνει τότε και μόνον, όταν το Η είναι εντός της γωνίας που σχηματίζεται από την η και την συμμετρική της ζ ως προς α. Όταν το Η είναι εκτός αυτής της γωνίας δεν έχουμε λύση. Τέλος έχουμε μία ακριβώς λύση τότε και μόνον, όταν ο κύκλος κ εφάπτεται της η, που ισοδυναμεί με το να περιέχεται το σημείο Η στην ευθεία ζ. Τούτο πάλι είναι ισοδύναμο με την καθετότητα των ευθειών ΑΗ και ΗΓ.

Άσκηση 4.7.4 Δίδεται ευθεία θ και σημείο H εκτός αυτής καθώς και σημείο A κινούμενο επί ευθείας a. Να βρεθούν οι θέσεις του A επί της ευθείας a, γιά τις οποίες  $|AH|=\kappa |AX|$ , όπου X η προβολή του A επί της  $\theta$  και  $\kappa$  σταθερά.



Σχήμα 431: Σημεία A, B με  $|AH| = \kappa |AX|, |BH| = \kappa |BY|$ 

Υπόδειξη: Η άσκηση αυτή λύνεται δι' αναγωγής στην προηγούμενη. Υπόθεσε ότι δύο σημεία A και B ικανοποιούν τις απαιτήσεις  $|AH|=\kappa |AX|, |BH|=\kappa |BX|,$  όπου X,Y οι προβολές τους στην  $\vartheta$ . Όρισε επί των καθέτων AX,BY τμήματα  $A\Psi$  και BZ ίσα αντίστοιχα των AH και BH. Λόγω του σταθερού λόγου

$$\frac{|A\Psi|}{|AX|} = \frac{|BZ|}{|BY|} = \kappa,$$

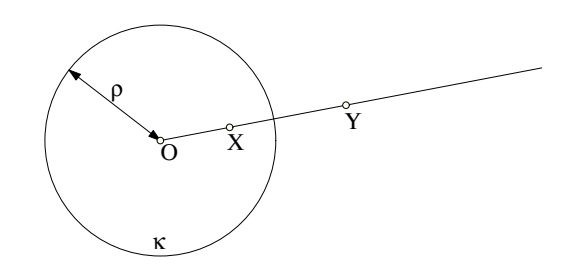
τα  $\Psi$  και Z ευρίσκονται επ' ευθείας ε που κατασκευάζεται από τα δεδομένα. Επίσης η ε διέρχεται από το σημείο τομής  $\Gamma$  των  $\vartheta$  και α, που είναι και κέντρο ομοιότητας των κύκλων  $A(A\Psi)$  και B(BZ). Συνάγεται ότι η κοινή εφαπτόμενη η των δύο αυτών κύκλων διέρχεται από το σημείο  $\Gamma$ . Όμως η θέση της ευθείας η ευρίσκεται από τα δεδομένα. Προς τούτο αρκεί γιά ένα σημείο B επί της  $A\Gamma$  να κατασκευασθεί το ισοσκελές  $BZ\Gamma$  και να βρεθούν οι εφαπτόμενες η και  $\zeta$  του κύκλου B(BZ) από το  $\Gamma$ . Οι εφαπτόμενες αυτές είναι οι ίδιες γιά κάθε θέση του B επί της  $\alpha$ . Τα σημεία  $Y^*$  της η χαρακτηρίζονται και από το ότι η  $BY^*\Gamma$  είναι ορθή και συνεπώς η γωνία  $Y^*BY$  είναι ίση με την  $Y^*\Gamma Y$ , αφού οι δύο γωνίες έχουν κάθετες αντίστοιχες πλευρές τους. Το πρόβλημα λοιπόν ανάγεται στον προσδιορισμό των  $X^*$  και  $Y^*$  επί της γνωστής ευθείας η, έτσι ώστε  $|AH|=|AX^*|$  και  $|BH|=|BY^*|$ , θέμα που εξετάστηκε στην προηγούμενη άσκηση. Από την εκεί συζήτηση συνάγεται και ο χαρακτηρισμός της μοναδικής λύσης που συμβαίνει όταν ακριβώς οι δύο κύκλοι συμπίπτουν και το H είναι επί της  $\zeta$  ή, ισοδύναμα η AH είναι κάθετος στην  $H\Gamma$ , όπου  $\Gamma$  το σημείο τομής των α και  $\vartheta$ .

Σχόλιο Οι δύο τελευταίες ασχήσεις δίνουν την γεωμετρική απόδειξη του ότι μία ευθεία (α) τέμνει μιά κωνική σε δύο το πολύ σημεία. Επιπλέον δίνουν την συνθήκη υπό την οποίαν η ευθεία α είναι εφαπτόμενη της κωνικής (Θεώρημα 10.4.1).

4.8.  $ANTI\Sigma TPO\Phi H$  255

### 4.8 Αντιστροφή

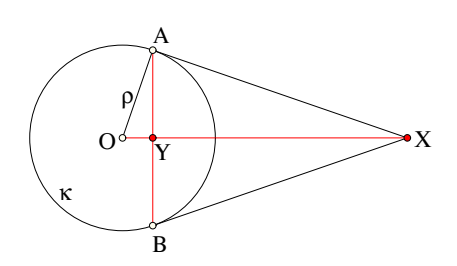
Δοθέντος κύκλου κ $(O,\rho)$  η **Αντιστροφή** ως προς κ, είναι μιά αντιστοίχιση σημείων του εσωτερικού και του εξωτερικού του κύκλου. Σε κάθε σημείο X, διαφορετικό του κέντρου O, αντιστοιχούμε ένα σημείο Y επί της ημιευθείας OX, έτσι ώστε  $|OX||OY|=\rho^2$ . O



Σχήμα 432: Αντίστροφα σημεία X και Y

ορισμός καθορίζει μία αμοιβαία σχέση. Το X είναι αντίστροφο του Y, τότε και μόνον, όταν το Y είναι αντίστροφο του X. Λέμε λοιπόν συχνά γιά δύο τέτοια σημεία ότι είναι  $\mathbf{A}$ ντίστροφα σημεία ως προς τον κύκλο κ. Τα σημεία του κύκλου κ διακρίνονται ως εκείνα που ταυτίζονται με το αντίστροφό τους. Τα χαρακτηρίζουμε ως τα  $\mathbf{\Sigma}$ ταθερά σημεία της αντιστροφής. Ο κύκλος κ λέγεται  $\mathbf{K}$ ύκλος αντιστροφής, το κέντρο του λέγεται  $\mathbf{K}$ έντρο της αντιστροφής.

Κατασκευή 4.8.1  $\Delta$ οθέντος κύκλου κ $(O,\rho)$ , να κατασκευασθεί το αντίστροφο Y δοθέντος σημείου X ως προς κ.



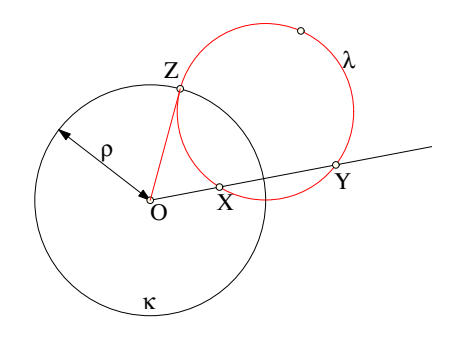
 $\Sigma$ χήμα  $433\colon ext{K}$ ατασκευή αντιστρόφων  $ext{X}$  και Y

Aπόδειξη: Αν το X είναι εξωτερικό του x, τότε η τομή Y της χορδής AB των επαφών των εφαπτομένων από το X και της OX είναι το ζητούμενο σημείο, αφού, λόγω του ορθογωνίου τριγώνου OAX, θα ισχύει (Πρόταση 3.5.4)

$$\rho^2 = |OX||OY|.$$

Η ίδια σχέση δείχνει ότι και το X είναι αντίστροφο του Y. Άρα γιά εσωτερικά του κύκλου σημείου κάνουμε την αντίστροφη διαδικασία: υψώνουμε την κάθετο AB στην OY και φέρνουμε τις εφαπτόμενες του κ στις τομές της A,B με τον κύκλο. Το X είναι το σημείο τομής αυτων των εφαπτομένων, ο.ε.δ.

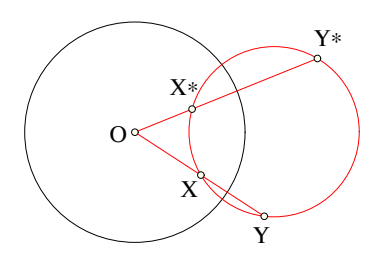
**Πρόταση 4.8.1** Κάθε κύκλος  $\lambda$ , που διέρχεται από δύο αντίστροφα σημεία X και Y ως προς κύκλο κ $(O,\rho)$ , είναι ορθογώνιος στον κ.



Σχήμα 434: Ορθογώνιος κύκλος λ στον κ

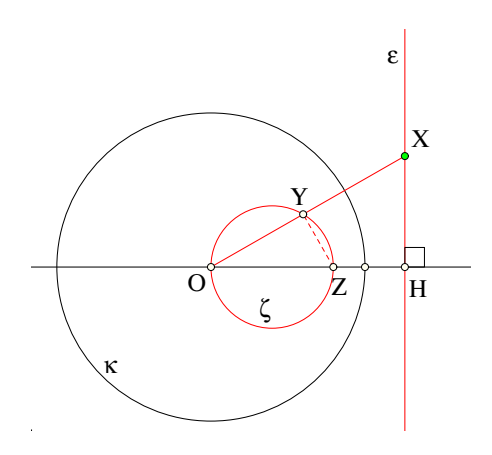
Aπόδειξη: Πράγματι, αν X και Y είναι αντίστροφα σημεία ως προς τον κ και Z είναι σημείο τομής του κύκλου  $\lambda$  που διέρχεται από τα X, Y, τότε, κατά τον ορισμό της αντιστροφής,  $\vartheta$ α ισχύει  $|OZ|^2=\rho^2=|OX||OY|$  που δείχνει ότι η OZ είναι εφαπτόμενη του κύκλου (Πρόταση 4.1.3)  $\lambda$ , ο.ε.δ.

**Πρόταση 4.8.2** Δύο διαφορετικά ζεύγη αντιστρόφων σημείων (X,Y) και  $(X^*,Y^*)$  ως προς κύκλο κ $(O,\rho)$  ορίζουν τέσσερα ομοκυκλικά σημεία.



 $\Sigma$ χήμα 435: Ζεύγη αντιστρόφων σημείων

Aπόδειξη: Προφανώς, αφού η σχέση που τα συνδέει  $ρ^2=|OX||OY|=|OX^*||OY^*|$ , σημαίνει ότι τα  $X,Y,X^*$  και  $Y^*$  είναι ομοκυκλικά (Πρόταση 4.1.2), ο.ε.δ.

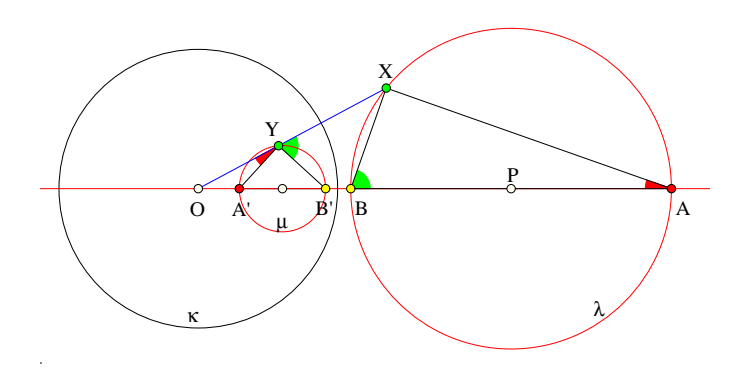


Σχήμα 436: Αντίστροφα ευθείας, κύκλου διά του Ο

4.8.  $ANTI\Sigma TPO\Phi H$  257

Πρόταση 4.8.3 Αν σημείο X μεταβάλλεται επί ευθείας  $\varepsilon$ , τότε το αντίστροφό του Y ως προς κύκλο κ $(O,\rho)$  περιέχεται σε κύκλο  $\zeta$  διερχόμενο από το κέντρο O του  $\kappa$ . Αν σημείο Y μεταβάλλεται επί κύκλου  $\zeta$  διερχομένου δια του O, τότε το αντίστροφό του X ως προς  $\kappa$ , περιέχεται σε ευθεία  $\varepsilon$ .

**Πρόταση 4.8.4** Αν σημείο X μεταβάλλεται επί κύκλου  $\lambda$ , τότε το αντίστροφό του Y ως προς κύκλο κ $(O,\rho)$  περιέχεται σε κύκλο  $\mu$ .



Σχήμα 437: Αντίστροφο κύκλου

Aπόδειξη: Έστω AB η διάμετρος του κύκλου λ επί της OP, όπου P το κέντρο του λ. Aν A', B' είναι αντίστοιχα τα αντίστροφα ως προς κ των A και B, δείχνουμε ότι και το αντίστροφο Y του τυχόντος σημείου X του κύκλου λ περιέχεται στον κύκλο μ με διάμετρο A'B'. Πράγματι, τα τετράπλευρα BB'YX και AA'YX είναι εγγράψιμα (Πρόταση 4.8.2), άρα σχηματίζονται ίσες γωνίες:

$$|ABX| = |B'YX|, \quad |BAX| = |A'YO|.$$

Αυτό συνεπάγεται ότι η γωνία A'YB' είναι ορθή, άρα το Y είναι στον χύκλο με διάμετρο A'B', ο.ε.δ.

Γιά το συμπέρασμα της Πρότασης 4.8.3 χρησιμοποιούμε συχνά την διατύπωση:

Το αντίστροφο ευθείας ως προς κύκλο είναι κύκλος διά του κέντρου αντιστροφής και το αντίστροφο κύκλου διά του κέντρου αντιστροφής είναι ευθεία.

Παρόμοια για το συμπέρασμα της Πρότασης 4.8.4 χρησιμοποιούμε την διατύπωση:

Το αντίστροφο κύκλου μη διερχόμενου διά του κέντρου αντιστροφής είναι κύκλος. Σημείωσε την αμοιβαιότητα των αντιστρόφων κύκλων. Στο σχήμα 437 ο μ είναι αντίστροφος του λ, αλλά και ο λ είναι αντίστροφος του μ. Η επόμενη πρόταση υπογραμμίζει την περίπτωση κατά την οποία ο λ και ο μ συμπίπτουν, δηλαδή ο κύκλος συμπίπτει με τον αντίστροφό του.

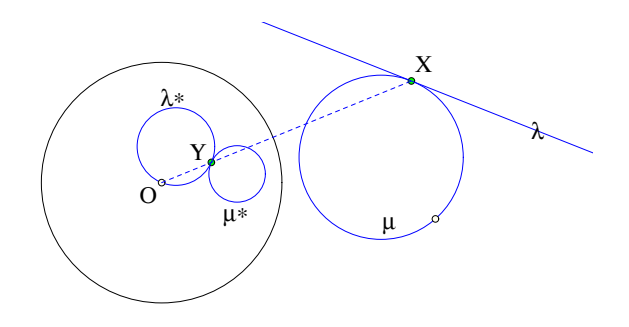
**Πόρισμα 4.8.1** Τα αντίστροφα Y των σημείων X ενός κύκλου  $\lambda$  είναι πάλι σημεία του  $\lambda$  τότε και μόνον, όταν ο κύκλος  $\lambda$  είναι ορθογώνιος στον κύκλο αντιστροφής κ $(O,\rho)$ .

Aπόδειξη: Αν ο ίδιος χύχλος λ περιέχει το X και το αντίστροφό του Y, τότε είναι ορθογώνιος στον χύχλο αντιστροφής (Πρόταση 4.8.1). Αν πάλι ο λ είναι ορθογώνιος στον χ, τότε γιά χάθε ευθεία ε διά του Ο που τέμνει τον λ στα X και Y, θα έχουμε ότι το γινόμενο |OX||OY|, θα ισούται με  $|OZ|^2 = \rho^2$ , όπου OZ η εφαπτόμενη του λ από το O, ο.ε.δ.

Γιά το συμπέρασμα της Πρότασης 4.8.1 χρησιμοποιούμε συχνά την διατύπωση:

Οι κύκλοι που είναι αναλλοίωτοι ως προς την αντιστροφή, είναι ακριβώς οι ορθογώνιοι προς τον κύκλο αντιστροφής.

Πρόταση 4.8.5 Έστω ότι το σημείο Y είναι το αντίστροφο του σημείου X ως προς τον κύκλο κ $(O,\rho)$ .  $A\nu$  ο κύκλος ή ευθεία  $\lambda$  εφάπτεται του κύκλου  $\mu$  στο X, τότε το αντίστροφο  $\lambda^*$  του  $\lambda$  και το αντίστροφο  $\mu^*$  του  $\mu$  εφάπτονται στο Y.



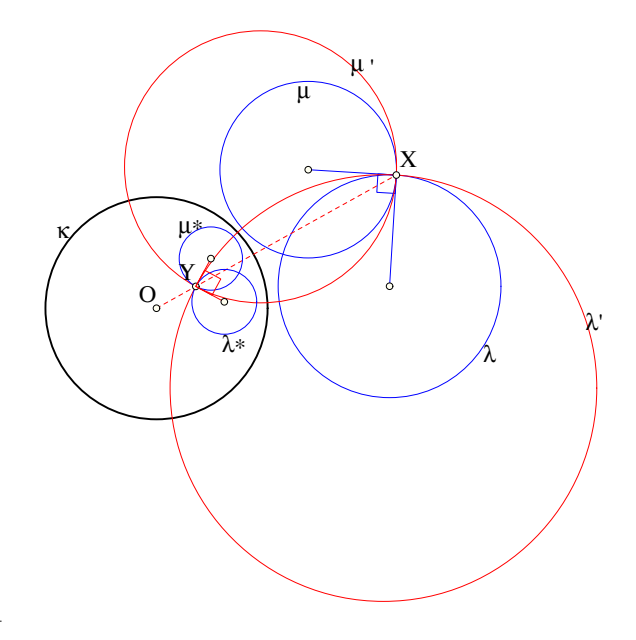
Σχήμα 438: Εφαπτόμενα έχουν αντίστροφα επίσης εφαπτόμενα

Aπόδειξη: Τα λ και μ εφάπτονται στο X όταν ακριβώς έχουν ένα κοινό σημείο. Όταν συμβαίνει αυτό τότε και τα  $λ^*$  και  $μ^*$  θα έχουν το Y ως κοινό σημείο. Αν είχαν και άλλο κοινό σημείο Z, τότε τα αντίστροφα των  $λ^*$  και  $μ^*$  που είναι τα λ και μ αντίστοιχα θα είχαν, εκτός του X, και το αντίστροφο Ω του Z κοινό, όπερ άτοπον. Άρα τα  $λ^*$  και  $μ^*$  έχουν το Y ως μοναδικό κοινό σημείο, άρα εφάπτονται σε αυτό το σημείο, ο.ε.δ.

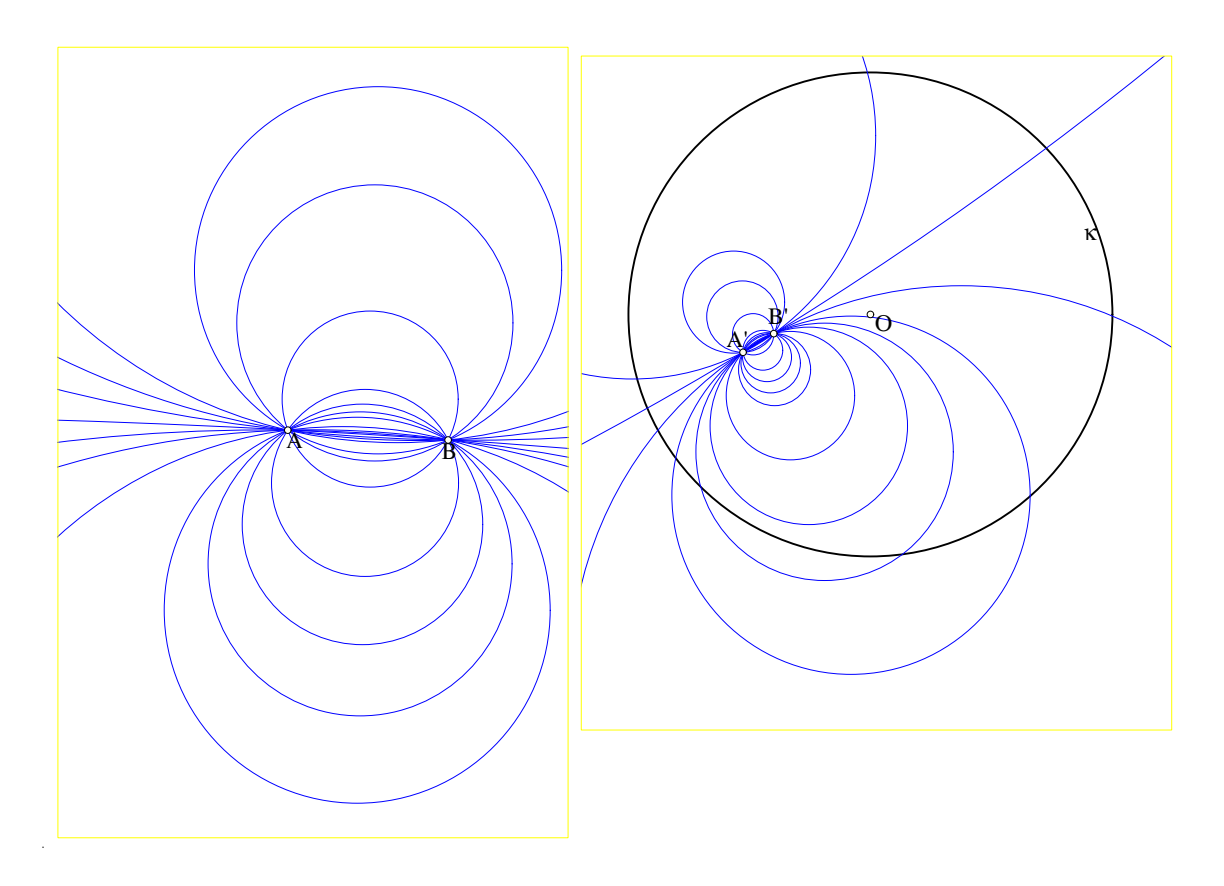
Πρόταση 4.8.6 Έστω ότι το σημείο Y είναι το αντίστροφο του σημείου X ως προς τον κύκλο κ $(O,\rho)$ .  $A\nu$  οι κύκλοι  $\lambda$  και  $\mu$  διέρχονται από το X και είναι ορθογώνιοι, τότε οι αντίστροφοί τους  $\lambda^*$ ,  $\mu^*$  διέρχονται από το Y και είναι ορθογώνιοι.

Aπόδειξη: Θεώρησε τον χύχλο μ΄ εφαπτόμενο του μ στο X και ορθογώνιο στον κ (Άσκηση 4.6.7). Θεώρησε και τον χύχλο λ΄ εφαπτόμενο του λ στο X και ορθογώνιο στον κ. Επειδή οι λ, μ εφάπτονται των λ΄, μ΄ αντίστοιχα στο X, οι αντίστροφοι  $λ^*$ , μ\* θα εφάπτονται στο Y των αντιστρόφων των λ΄ και μ΄ αντίστοιχα. Όμως, λόγω της ορθογωνιότητας προς τον x, ο αντίστροφος του λ΄ είναι ο λ΄ και ανάλογα ο αντίστροφος του μ΄ είναι ο μ΄. Άρα οι εφαπτόμενες των  $λ^*$  και μ\* στο Y θα συμπίπτουν αντίστοιχα με τις εφαπτόμενες των λ΄ και μ΄ στο Y. Οι τελευταίες όμως σχηματίζουν στο Y την ίδια γωνία που σχηματίζουν οι εφαπτόμενες των λ', μ΄ στο X, που εξ υποθέσεως σχηματίζουν ορθή γωνία. Άρα και οι εφαπτόμενες των  $λ^*$  και μ\* στο Y θα σχηματίζουν ορθή γωνία, ο.ε.δ.

Θεώρημα 4.8.1 Γιά δοθείσα δέσμη κύκλων  $\Delta$  και κύκλο κ $(O,\rho)$ , τα αντίστροφα των κύκλων  $\lambda$  της δέσμης ως προς τον κ αποτελούν άλλη δέσμη  $\Delta'$ .



Σχήμα 439: Τα αντίστροφα ορθογωνίων κύκλων είναι ορθογώνιοι κύκλοι



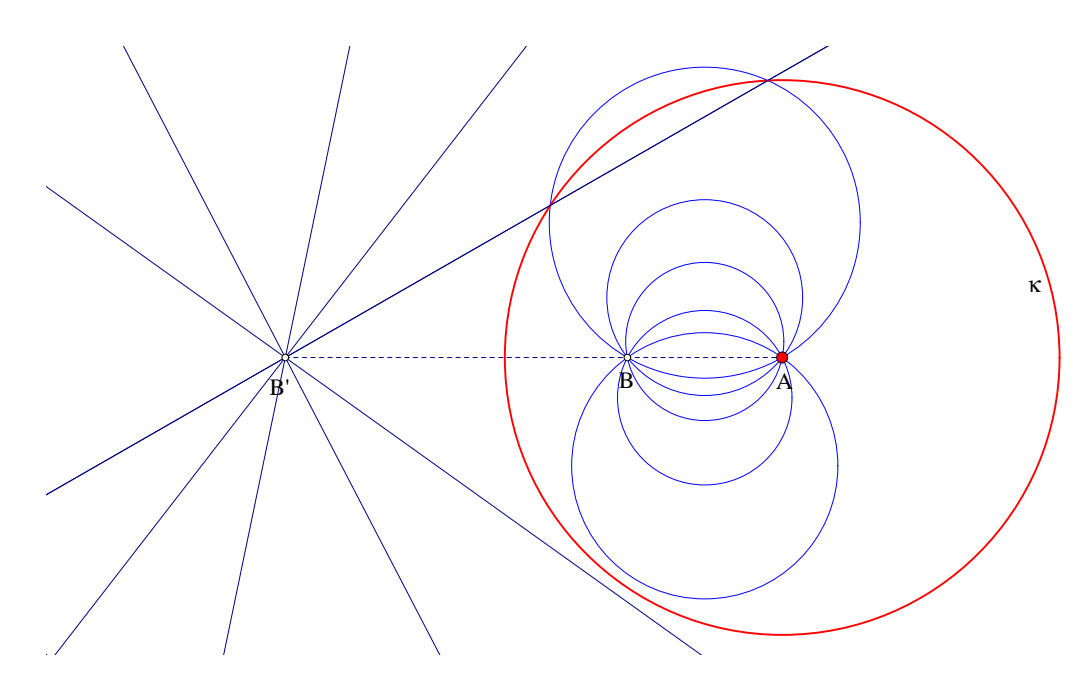
Σχήμα 440: Η δέσμη  $\Delta'$  των αντιστρόφων κύκλων της δέσμης  $\Delta$ 

Aπόδειξη: Έστω ότι η δέσμη  $\Delta$  αποτελείται από όλους τους κύκλους που είναι ορθογώνιοι σε δύο σταθερούς κύκλους μ και ν (Πόρισμα 4.6.4). Έστω επίσης μ΄ και ν΄ τα αντίστροφα των κύκλων μ και ν ως προς κ. Κατά την Πρόταση 4.8.6, κάθε κύκλος λ ορθογώνιος στους μ και ν θα έχει αντίστροφο λ΄ ορθογώνιο στους μ΄ και ν΄, άρα θα ανήκει στην δέσμη  $\Delta$ ΄ των

κύκλων που είναι ορθογώνιοι στους μ΄ και ν΄. Παρόμοια, κάθε κύκλος λ΄ ορθογώνιος στους μ΄ και ν΄ θα έχει αντίστροφο λ που είναι ορθογώνιος στους μ και ν, άρα θα ανήκει στην  $\Delta$  και θα έχει αντίστροφο ακριβώς τον λ΄, ο.ε.δ.

Την δέσμη  $\Delta'$  που εξασφαλίζεται από το θεώρημα ονομάζουμε  $\bf A$ ντίστροφη δέσμη της  $\Delta$  ως προς τον χύχλο χ. Στο προηγούμενο θεώρημα, η αντιστροφή ως προς χ, όχι μόνο στέλνει την δέσμη  $\Delta$  σε μιά δέσμη  $\Delta'$  αλλά διατηρεί και την ποιότητα της δέσμης.  $\Delta$ ηλαδή αν η δέσμη  $\Delta$  είναι τεμνόμενη, τότε και η  $\Delta'$  είναι τεμνόμενη, αν μη τεμνόμενη και η  $\Delta'$  μη τεμνόμενη κτλ. Αυτά ωστόσο με μιά μιχρή παραχώρηση. Θα πρέπει να δεχθούμε ότι, ανάλογα με την σχετική θέση της  $\Delta$  και του κύκλου αντιστροφής χ, η  $\Delta'$  μπορεί να είναι μη συμβατική (Σχόλιο-2 4.5.4). Οι επόμενες προτάσεις δείχνουν γιά ποιές θέσεις του χ μπορεί να συμβεί κάτι τέτοιο.

Πρόταση 4.8.7 Έστω  $\Delta$  τεμνόμενη δέσμη και κ $(A,\rho)$  κύκλος με κέντρο ένα από τα βασικά σημεία A και B της δέσμης. Τότε η αντίστροφη  $\Delta'$  της  $\Delta$  ως προς κ είναι η μη συμβατική δέσμη των ευθειών που διέρχονται από το αντίστροφο B' του B ως προς κ.

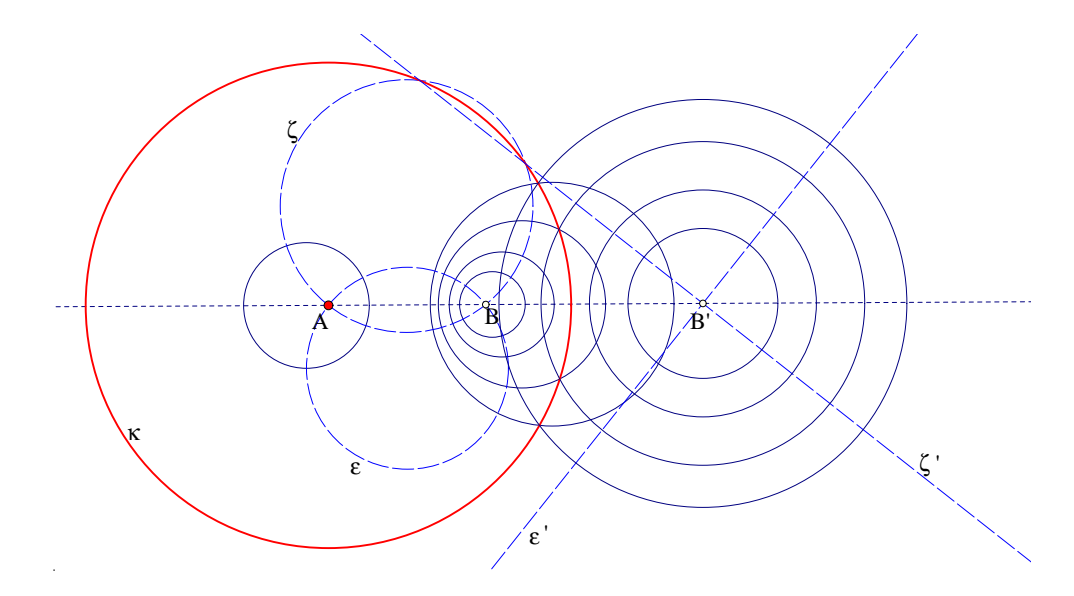


Σχήμα 441: Ειδική αντιστροφή τεμνόμενης δέσμης

Απόδειξη: Συνέπεια της Πρότασης 4.8.3. Αφού όλοι οι κύκλοι της  $\Delta$  διέρχονται από το A τα αντίστροφά τους θα είναι ευθείες. Αφού διέρχονται και από το B, τα αντίστροφά τους θα διέρχονται από το αντίστροφο B' του B ως προς x, ο.ε.δ.

Πρόταση 4.8.8 Έστω  $\Delta$  μη τεμνόμενη δέσμη και κ $(A,\rho)$  κύκλος με κέντρο ένα από τα οριακά σημεία A και B της δέσμης. Τότε η αντίστροφη  $\Delta'$  της  $\Delta$  ως προς κ είναι η μη συμβατική δέσμη των συγκεντρικών κύκλων με κέντρο στο αντίστροφο B' του B ως προς κ.

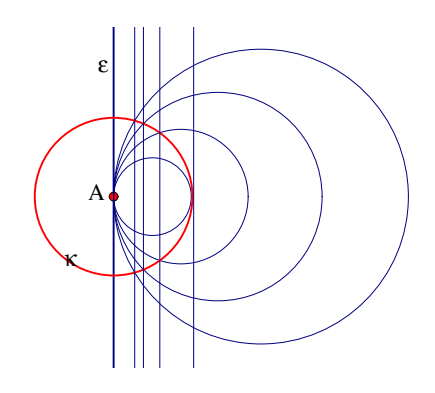
Aπόδειξη: Συνέπεια της Πρότασης 4.8.3 που εφαρμόζουμε σε δύο κύκλους ε και ζ, διερχόμενους από τα A και B, που ανήκουν στην ορθογώνια δέσμη της  $\Delta$ . Τα αντίστροφα ε΄ και ζ΄ αυτών των κύκλων είναι ευθείες διερχόμενες από το B΄. Επίσης επειδή οι ε, ζ είναι



Σχήμα 442: Ειδική αντιστροφή μη τεμνόμενης δέσμης

ορθογώνιοι προς κάθε κύκλο λ της  $\Delta$ , τα αντίστροφά τους, που είναι οι ευθείες ε΄ και ζ΄ θα είναι ορθογώνια πρός το αντίστροφο λ΄ του λ (Πρόταση 4.8.6). Άρα το λ΄ θα είναι κύκλος με κέντρο το B', ο.ε.δ.

Πρόταση 4.8.9 Έστω  $\Delta$  εφαπτόμενη δέσμη και κ $(A,\rho)$  κύκλος με κέντρο το βασικό σημείο A της δέσμης. Τότε η αντίστροφη  $\Delta'$  της  $\Delta$  ως προς κ είναι η μη συμβατική δέσμη των ευθειών που είναι παράλληλες προς τον ριζικό άξονα ε της  $\Delta$ .

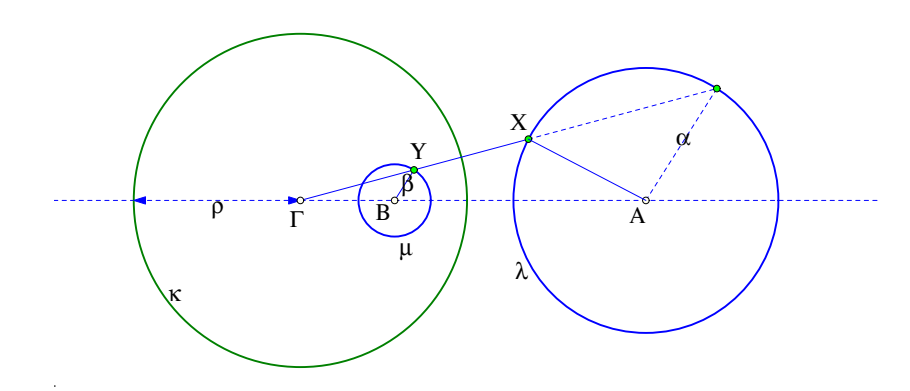


Σχήμα 443: Ειδική αντιστροφή εφαπτόμενης δέσμης

Aπόδειξη: Συνέπεια της Πρότασης 4.8.3. Αφού όλοι οι χύχλοι της  $\Delta$  διέρχονται από το A τα αντίστροφά τους θα είναι ευθείες. Το αντίστροφο του ριζιχού άξονα ε είναι ο εαυτός του. Κάθε χύχλος  $\lambda$  της δέσμης έχει με τον άξονα μοναδιχό χοινό σημείο το A. Συνεπώς το αντίστροφο  $\lambda'$  του  $\lambda$ , που είναι ευθεία, δεν θα έχει χανένα χοινό σημείο με τον  $\epsilon$ , άρα θα είναι παράλληλο αυτού, ο.ε.δ.

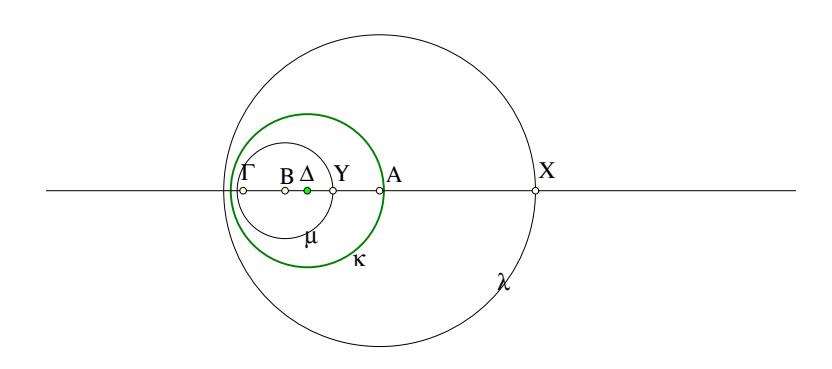
Θεώρημα 4.8.2 Δοθέντων δύο μη ίσων κύκλων  $\lambda(A,a)$  και  $\mu(B,\beta)$ , υπάρχει μία αντιστροφή ως προς κύκλο κ η οποία εναλλάσσει τους δύο δοθέντες κύκλους. Δηλαδή το αντίστροφο του  $\lambda$  ως προς κ είναι το  $\mu$  και τούμπαλιν.

Απόδειξη: Προχύπτει από την Πρόταση 4.7.4. Η πρόταση αυτή συνεπάγεται ότι, στην περίπτωση που οι λ και μ είναι εξωτερικοί αλλήλων ή εφάπτονται εξωτερικά, το εξωτερικό κέντρο ομοιότητας  $\Gamma$  των δύο κύκλων έχει την επιθυμητή ιδιότητα του κέντρου αντιστροφής. Συγκεκριμένα, σε αυτήν την περίπτωση το γινόμενο των αποστάσεων  $|\Gamma X||\Gamma Y|$  δύο αντιομολόγων σημείων από το  $\Gamma$  είναι σταθερός θετικός αριθμός ίσος με  $|\Gamma A||\Gamma B| - \alpha \beta$ . Σε αυτήν την περίπτωση ο ζητούμενος κύκλος έχει κέντρο το εξωτερικό κέντρο ομοιότητας  $\Gamma$  και ακτίνα  $\rho = \sqrt{|\Gamma A||\Gamma B| - \alpha \beta}$ .



Σχήμα 444: Κύκλος αντιστροφής δύο εξωτερικών αλλήλων κύκλων λ και μ

Στην περίπτωση που ο κύκλος  $\mu(B,\beta)$  είναι εσωτερικός του  $\lambda(A,\alpha)$  ή εφάπτεται εσωτερικά ο ζητούμενος έχει κέντρο το εσωτερικό κέντρο ομοιότητας  $\Delta$  και ακτίνα  $\rho=\sqrt{\alpha\beta-|\Delta A||\Delta B|}$ .

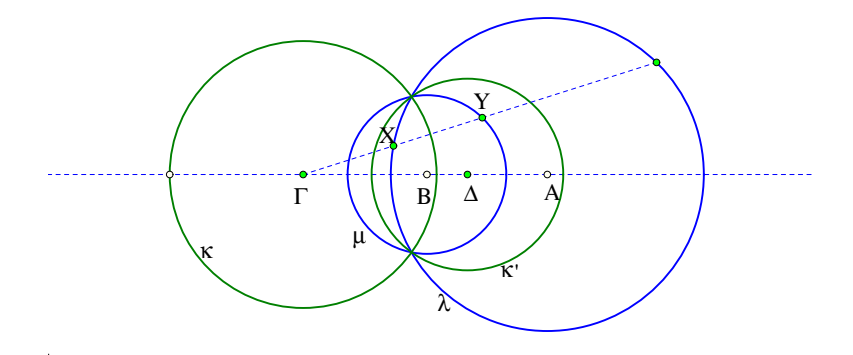


Σχήμα 445: Κύκλος αντιστροφής όταν ο λ περιέχει τον μ

Τέλος, στην περίπτωση τεμνομένων σε δύο σημεία κύκλων λ και μ υπάρχουν δύο κύκλοι κ( $\Gamma$ , $\rho$ ) και κ'( $\Delta$ , $\rho$ ') με ακτίνες  $\rho=\sqrt{|\Gamma A||\Gamma B|-\alpha\beta},$   $\rho'=\sqrt{\alpha\beta-|\Delta A||\Delta B|}$  και κέντρα τα κέντρα ομοιότητας  $\Gamma$  (εξωτερικό) και  $\Delta$  (εσωτερικό) των κύκλων λ και μ. ο.ε.δ.

Άσκηση 4.8.1  $\Delta \epsilon$ ίξε ότι στην περίπτωση δύο τεμνομένων κύκλων  $\lambda$  και  $\mu$ , οι δύο κύκλοι αντιστροφής που εξασφαλίζει το Θεώρημα 4.8.2 είναι ορθογώνιοι και διέρχονται από τα σημεία τομής των  $\lambda$  και  $\mu$ .

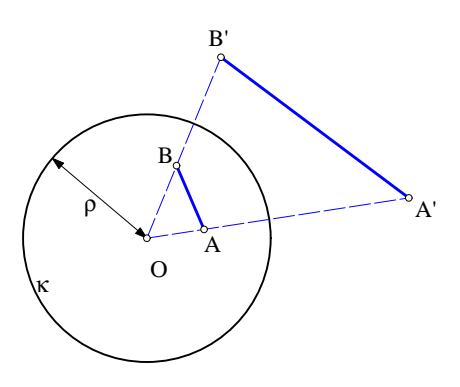
'Ασκηση 4.8.2  $\Delta \epsilon$ ίξε ότι στην περίπτωση δύο τεμνομένων κύκλων λ και μ, κάθε κύκλος ν ταυτόχρονα εφαπτόμενος των λ και μ είναι ορθογώνιος προς έναν εκ των δύο κύκλων αντιστροφής των λ και μ.



Σχήμα 446: Κύκλοι αντιστροφής δύο τεμνομένων κύκλων κ και λ

Άσκηση 4.8.3  $\Delta \epsilon$ ίξε ότι το μήκος του ευθυγράμμου τμήματος AB', που έχει άκρα τα αντίστροφα των άκρων του ευθυγράμμου τμήματος AB, ως προς κύκλο κ $(O,\rho)$  ισούται με

$$|A'B'| = |AB| \cdot \frac{\rho^2}{|OA||OB|}.$$



Σχήμα 447: Μήκη των ΑΒ και αντιστρόφου του Α'Β'

Υπόδειξη: Τα τρίγωνα ΟΑΒ και ΟΒΆ είναι όμοια αφού

$$\rho^2 = |OA||OA'| = |OB||OB'| \implies \frac{|OA|}{|OB|} = \frac{|OB'|}{|OA'|}.$$

Συνεπώς θα ισχύει

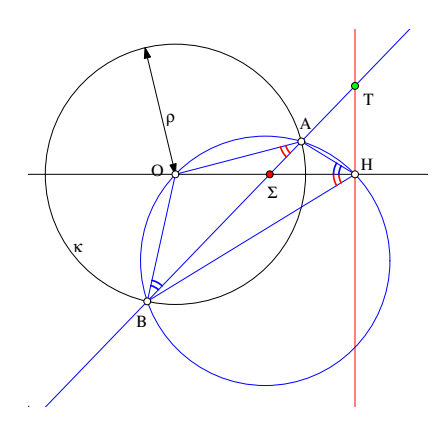
$$\frac{|A'B'|}{|AB|} = \frac{|OB'|}{|OA|} = \frac{\frac{\rho^2}{|OB|}}{|OA|} = \frac{\rho^2}{|OA||OB|}.$$

Άσκηση 4.8.4  $\Delta$ είξε ότι σε μία ευθεία  $\varepsilon$  τα σημεία  $\Gamma$ ,  $\Delta$  είναι αρμονικά συζυγή των A, B τότε και μόνον, όταν τα  $\Gamma$ ,  $\Delta$  είναι αντίστροφα σημεία ως προς τον κύκλο με διάμετρο AB, και ισοδύναμα, όταν τα A, B είναι αντίστροφα ως προς τον κύκλο με διάμετρο  $\Gamma\Delta$ .

Άσκηση 4.8.5 Aπό σημείο  $\Delta$  κύκλου κ άγονται τρεις χορδές  $\Delta A$ ,  $\Delta B$  και  $\Delta \Gamma$  καθώς και μία παράλληλος  $\varepsilon$  της εφαπτομένης στο  $\Delta$  που τέμνει τις χορδές στα  $A^*$ ,  $B^*$  και  $\Gamma^*$  αντιστοίχως.  $\Delta$ είξε ότι  $|\Delta A||\Delta A^*|=|\Delta B||\Delta B^*|=|\Delta \Gamma||\Delta \Gamma^*|$ .

### 4.9 Πολική και Πόλος

Πρόταση 4.9.1 Δοθέντος κύκλου κ και σημείου  $\Sigma$ , θεωρούμε όλες τις ευθείες τις διερχόμενες διά του  $\Sigma$  και τέμνουσες τον κύκλο σε σημεία A, B. Ορίζουμε σε κάθε τέτοια ευθεία το αρμονικό συζυγές T του  $\Sigma$  ως προς τα A και B. Τότε ο γεωμετρικός τόπος του T είναι ευθεία κάθετη στην  $O\Sigma$ , όπου O το κέντρο του κύκλου κ.



Σχήμα 448: Πολική σημείου Σ ως προς κύκλο

Aπόδειξη: Θεωρούμε τον κύκλο (OAB) που διέρχεται από το κέντρο του κ και τα σημεία τομής A,B της  $\Sigma T$  με τον κ. Έστω H το σημείο τομής του κύκλου με την  $O\Sigma$ . Το τετράπλευρο BOAH είναι εγγράψιμο και το τρίγωνο AOB ισοσκελές, συνεπώς οι γωνίες

$$|OAB| = |OHB|, |OBA| = |OHA| \Rightarrow |OHB| = |OHA|,$$

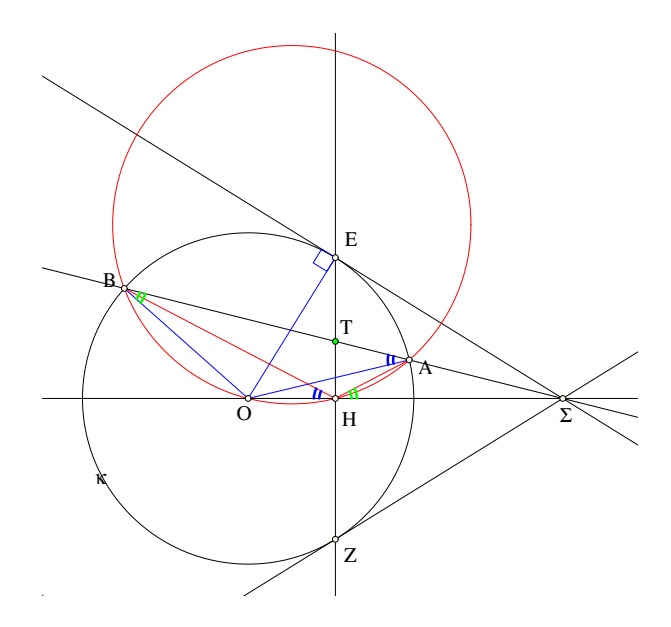
δηλαδή η  $\Sigma$ Η είναι διχοτόμος της γωνίας στο Η του τριγώνου BHA. Επειδή εξ υποθέσεως η  $(A,B,T,\Sigma)$  είναι αρμονική τετράδα, το σημείο T θα είναι το σημείο τομής της AB με την εξωτερική διχοτόμο της AHB, άρα η TH θα είναι κάθετη στην OH. Λόγω του ότι το  $\Sigma$  είναι στον ριζικό άξονα των δύο κύκλων, που είναι η AB, η δύναμη του  $\Sigma$  ως προς τους δύο κύκλους θα είναι η ίδια

$$|\Sigma O||\Sigma H| = \rho^2 - |O\Sigma|^2,$$

όπου ρ η ακτίνα του κύκλου κ. Συνάγεται ότι η θέση του H στην  $O\Sigma$  είναι σταθερή, συνεπώς όλα τα σημεία του τόπου προβάλονται στο H και ο τόπος περιέχεται στην ευθεία την κάθετη στην  $O\Sigma$  στο H. Αντίστροφα, κάθε σημείο T αυτής της ευθείας ορίζει αντίστοιχα A,B και τα  $(A,B,T,\Sigma)$  αποτελούν αρμονική τετράδα. H απόδειξη προκύπτει αντιστρέφοντας τα προηγούμενα επιχειρήματα. Από το εγγράψιμο τετράπλευρο AOBH συνάγεται πάλι ότι η OH είναι διχοτόμος της γωνίας AHB και συνεπώς, λόγω της καθετότητας της HT προς την OH, η HT είναι εξωτερική διχοτόμος της AHB και συνεπώς η  $(A,B,T,\Sigma)$  είναι αρμονική τετράδα, ο.ε.δ.

Στην προηγούμενη απόδειξη υποθέσαμε σιωπηρά ότι το  $\Sigma$  είναι στο εσωτερικό του κύκλου κ και διάφορο του κέντρου του. Με μικρές αλλαγές ισχύει η ίδια απόδειξη και γιά σημεία  $\Sigma$  στο εξωτερικό του κ. Η ευθεία HT ονομάζεται Πολική του σημείου  $\Sigma$  ως προς τον κύκλο κ. Στην περίπτωση που το  $\Sigma$  είναι εξωτερικό ισχύει και η επόμενη πρόταση.

Πρόταση 4.9.2 Γιά κάθε κύκλο κ και σημείο  $\Sigma$  στο εξωτερικό του, η πολική του  $\Sigma$  ως προς τον κύκλο, ταυτίζεται με την ευθεία που συνδέει τα σημεία επαφής E, Z των εφαπτομένων του κ από το  $\Sigma$ .



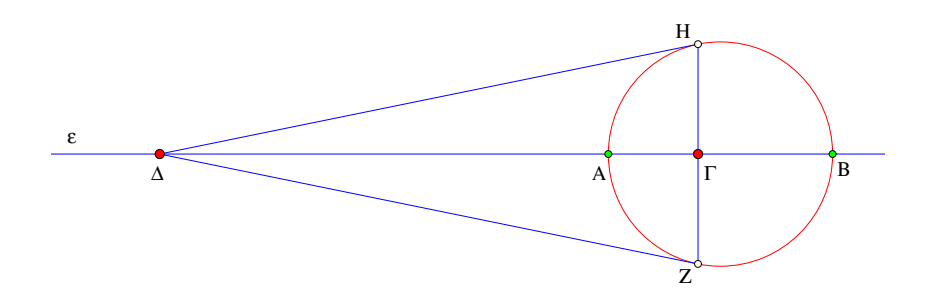
Σχήμα 449: Πολική σημείου εξωτερικού του κύκλου

Aπόδειξη: Όπως είδαμε στην προηγούμενη απόδειξη, η πολική του Σ είναι κάθετη στην ΟΣ στο σημείο H, που ικανοποιεί  $|ΣO||ΣH|=|OΣ|^2-\rho^2=|ΣE|^2$ , όπου ΣΕ η εφαπτόμενη από το Σ. Αυτή όμως η ισότητα χαρακτηρίζει ακριβώς την προβολή του σημείου επαφής Ε πάνω στην ΟΣ, ο.ε.δ.

**Πόρισμα 4.9.1** Οι αποστάσεις  $|O\Sigma|, |OH|$  των σημείων  $\Sigma$  και H στο οποίο η πολική του  $\Sigma$  ως προς τον κύκλο κ $(O,\rho)$  τέμνει την  $O\Sigma$  ικανοποιούν την εξίσωση

$$x \cdot y = \rho^2.$$

**Πόρισμα 4.9.2** Η πολική ευθεία  $\varepsilon$  του σημείου  $\Sigma$  ως προς κύκλο κ $(O,\rho)$  συμπίπτει με την κάθετο στην  $O\Sigma$  στο σημείο H που είναι το αντίστροφο του  $\Sigma$  ως προς κ.

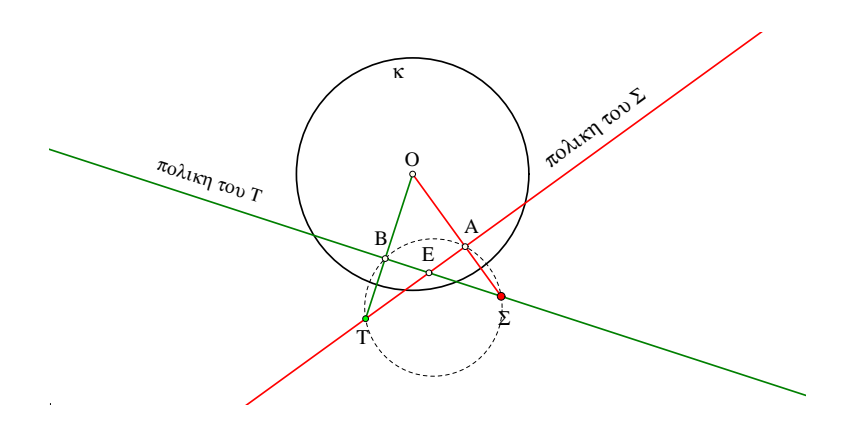


Σχήμα 450: Γ,  $\Delta$  αρμονικά συζυγή ως προς  $A,\,B$ 

Πόρισμα 4.9.3 Σε μία ευθεία  $\varepsilon$ , τα σημεία  $\Gamma$ ,  $\Delta$  είναι αρμονικά συζυγή των A, B τότε και μόνον, όταν ο κύκλος με διάμετρο AB έχει το ένα εξ αυτών στο εσωτερικό  $(\Gamma)$ , το άλλο  $(\Delta)$  στο εξωτερικό του AB και το εσωτερικό συμπίπτει με το σημείο τομής της  $\varepsilon$  και της χορδής ZH των επαφών των εφαπτομένων από το εξωτερικό σημείο.

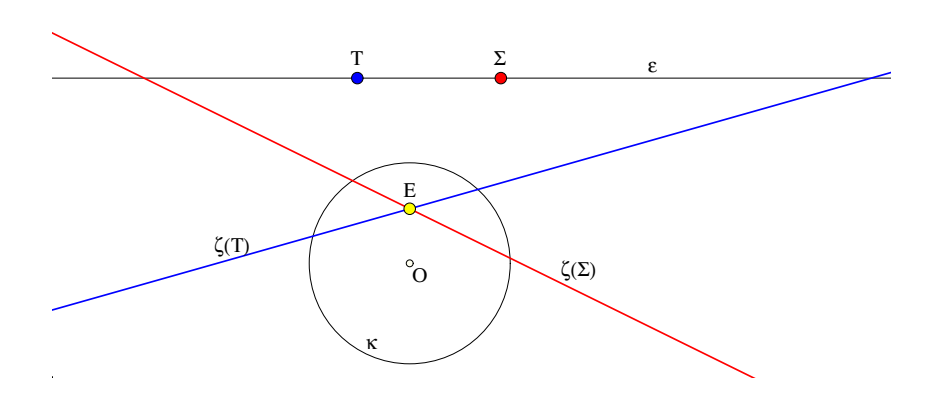
Από την τελευταία πρόταση (δες και Πρόταση 4.1.4) προχύπτει και η επέκταση της έννοιας της πολικής γιά σημεία  $\Sigma$  επί του χύχλου κ. Όταν το  $\Sigma$  χινήται πλησιάζοντας εκ των έξω την περιφέρεια του χύχλου, τότε οι δύο εφαπτόμενες  $\Sigma E$  και  $\Sigma Z$  τείνουν να συμπέσουν σε μία οριαχή θέση, που είναι η εφαπτόμενη του χύχλου στο αντίστοιχο σημείο του χύχλου, προς το οποίο τείνει να συμπέσει το  $\Sigma$ . Θεωρούμε λοιπόν ότι στα σημεία  $\Sigma$  του κύκλου η πολική του  $\Sigma$  ως προς τον κύκλο ταυτίζεται με την εφαπτόμενη του κ στο  $\Sigma$ .

**Πόρισμα 4.9.4**  $A\nu$  η πολική του  $\Sigma$  ως προς τον κύκλο κ $(O,\rho)$  διέρχεται από το T, τότε και η πολική του T ως προς τον κ διέρχεται από το  $\Sigma$ .



Σχήμα 451: Συμμετρία των πολικών

Απόδειξη: Η πολική ε του  $\Sigma$  ως προς κ είναι η κάθετη στην  $O\Sigma$  στο σημείο A που είναι αντίστροφο του  $\Sigma$  ως προς κ (Πόρισμα 4.9.2). Φέρνουμε λοιπόν την κάθετο  $\Sigma B$  στην TO. Σχηματίζεται το τετράπλευρο  $\Sigma ABT$  που είναι εγγράψιμο σε κύκλο, διότι τα A και B βλέπουν την  $\Sigma T$  υπο ορθή γωνία. Τότε  $|OB||OT| = |OA||O\Sigma| = \rho^2$ , που σημαίνει ότι και το B είναι αντίστροφο του T ως προς κ, άρα η  $B\Sigma$  είναι η πολική του T, ο.ε.δ.



Σχήμα 452: Πολική από δύο σημεία

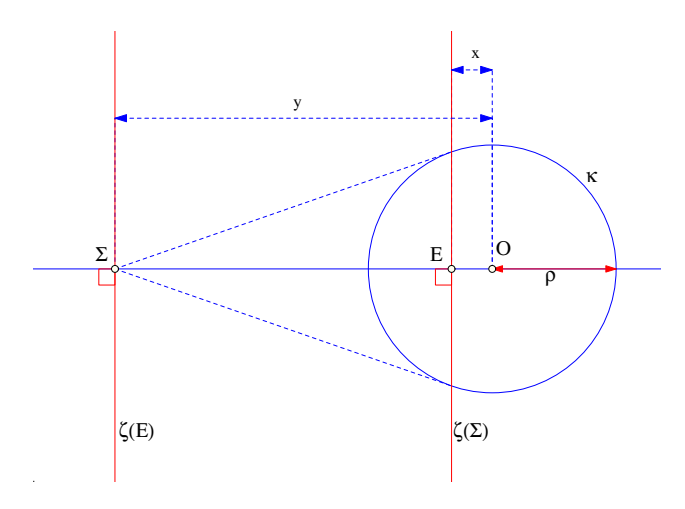
**Πόρισμα 4.9.5**  $A\nu$  οι πολικές των σημείων  $\Sigma$  και T ως προς κύκλο κ τέμνονται στο σημείο E τότε η ευθεία  $\Sigma T$  συμπίπτει με την πολική του E ως προς κ.

Απόδειξη: Κατά το προηγούμενο πόρισμα, αφού η πολική του Σ διέρχεται από το E και η πολική ε του E θα διέρχεται από το Σ. Παρόμοια, αφού η πολική του T διέρχεται από το E και η πολική ε του E θα διέρχεται από το T, ο.ε.δ.

**Πόρισμα 4.9.6** Δοθέντος κύκλου κ και ευθείας  $\varepsilon$ , γιά κάθε σημείο  $\Sigma$  της  $\varepsilon$  η πολική  $\zeta(\Sigma)$  διέρχεται από σταθερό σημείο E.

Aπόδειξη: Κατά το προηγούμενο πόρισμα, γιά δύο σημεία  $\Sigma$ , T της ε, οι πολιχές  $\zeta(\Sigma)$  και Z(T) θα τέμνονται σε σημείο E, έτσι ώστε η ε να συμπίπτει με την πολιχή του E. Τότε (Πόρισμα 4.9.4), και γιά κάθε άλλο σημείο X της ε η πολιχή  $\zeta(X)$  θα διέρχεται από το E, ο.ε.δ.

 $\Delta$ οθέντος του χύκλου κ, το προηγούμενο πόρισμα ορίζει γιά κάθε ευθεία ε, που δεν διέρχεται από το κέντρο Ο του χύκλου, το σημείο E που ονομάζεται  $\mathbf{\Pi}$ όλος της ευθείας ε ως προς τον χύκλο κ.  $\mathbf{H}$  αντιστοίχιση του πόλου  $\mathbf{E}$  στην ευθεία ε είναι η αντίστροφη της αντιστοίχισης της πολικής ε του σημείου  $\mathbf{E}$ . Δημιουργείται έτσι μιά ενδιαφέρουσα συσχέτιση σημείων και ευθειών, που αριθμητικά περιγράφεται από την σχέση, που αναφέρθηκε προηγουμένως,  $xy=\rho^2$ .



Σχήμα 453: Σχέση των πολικών των  $\Sigma$  και Ε  $xy=
ho^2$ 

Η συσχέτιση αυτή πόλου-πολικής επεκτείνεται και γιά ευθείες που διέρχονται από το κέντρο του κύκλου, αντιστοιχώντας σε κάθε ευθεία ε διά του Ο το σημείο στο άπειρο της καθέτου ζ της ε στο Ο. Επίσης η πολική του κέντρου Ο θεωρούμε ότι συμπίπτει με την ευθεία στο άπειρο.

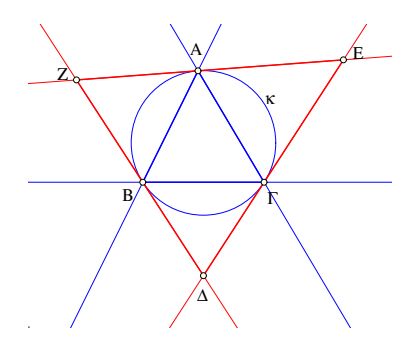
Άσκηση 4.9.1  $\Delta$ είξε ότι αν ο πόλος E, ως προς κύκλο  $\kappa$ , της ευθείας  $\varepsilon$  περιέχεται στην ευθεία  $\zeta$ , τότε και ο πόλος Z της ευθείας  $\zeta$ , ως προς τον  $\kappa$ , περιέχεται στην  $\varepsilon$ .

Υπόδειξη: Αν ο πόλος E της ε περιέχεται στην  $\zeta$  και Z ο πόλος της  $\zeta$ , τότε το E περιέχεται στην πολική  $\zeta$  του Z (Πόρισμα 4.9.4), άρα και η πολική του E, που είναι η  $\varepsilon$ ,  $\theta$ α περιέχει το Z.

Άσκηση 4.9.2  $\Delta \epsilon$ ίξε ότι οι πόλοι, ως προς κύκλο κ, των ευθειών που διέρχονται από σταθερό σημείο  $\Sigma$ , περιέχονται στην πολική  $\zeta(\Sigma)$  του  $\Sigma$  ως προς τον κ.

Άσκηση 4.9.3  $\Delta$ είξε ότι οι πόλοι των πλευρών τριγώνου  $AB\Gamma$  ως προς τον περιγεγραμμένο κύκλο του κ είναι οι κορυφές του τριγώνου  $\Delta EZ$ , του οποίου οι πλευρές εφάπτονται του κ στις κορυφές του  $AB\Gamma$ .

Το τρίγωνο  $\Delta EZ$  της προηγούμενης άσκησης ονομάζεται  $\mathbf{E}\varphi$ απτομενικό τρίγωνο του  $AB\Gamma$ .



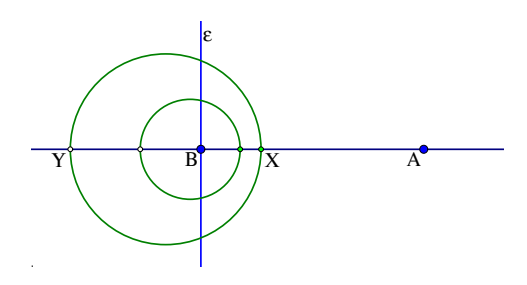
Σχήμα 454: Το εφαπτομενικό τρίγωνο  $\Delta EZ$  του  $AB\Gamma$ 

Άσκηση 4.9.4  $\Delta$ είξε ότι γιά κάθε πολύγωνο  $\Pi$  εγγεγραμμένο σε κύκλο  $\kappa$ , οι πόλοι των πλευρών του  $\Pi$  είναι κορυφές του πολυγώνου  $\Pi'$ , που είναι περιγεγραμμένο του κύκλου  $\kappa$  και οι πλευρές του εφάπτονται του  $\kappa$  στις κορυφές του  $\Pi$ .

Άσκηση 4.9.5  $\Delta$ είξε ότι γιά κάθε κανονικό πολύγωνο  $\Pi$  εγγεγραμμένο σε κύκλο  $\kappa$ , οι πόλοι των πλευρών του  $\Pi$  είναι κορυφές του κανονικού πολυγώνου  $\Pi$ , που είναι περιγεγραμμένο του κύκλου  $\kappa$  και οι πλευρές του εφάπτονται του  $\kappa$  στις κορυφές του  $\Pi$ .

Άσκηση 4.9.6  $\Delta$ είξε ότι οι πολικές ως προς κύκλο κ τριών συνευθειακών σημείων είναι ευθείες διερχόμενες διά του ιδίου σημείου. Επίσης οι πόλοι ως προς κύκλο κ τριών ευθειών, που συντρέχουν σε ένα σημείο, είναι τρία συνευθειακά σημεία.

Άσκηση 4.9.7  $\Delta$ οθείσης ευθείας  $\varepsilon$  και σημείου A εκτός αυτής κατασκεύασε κύκλο κ έτσι ώστε η πολική του A ως προς τον κ να είναι η  $\epsilon$ .  $\Delta$ είξε ότι όλοι οι κύκλοι που λύνουν αυτό το πρόβλημα αποτελούν μιά μη τεμνόμενη δέσμη.



Σχήμα 455: Κύκλοι ως προς τους οποίους η ε είναι πολική του A

 $\Upsilon$ πόδειξη: Έστω B η προβολή του A στην ε. Γιά κάθε σημείο X στο εσωτερικό του AB και το αρμονικό συζυγές του Y ως προς A,B, ο κύκλος κ με διάμετρο XY έχει την απαιτούμενη ιδιότητα. Οι κύκλοι όπως ο κ ταυτίζονται με τους κύκλους της μη τεμνόμενης δέσμης με βασικά (οριακά) σημεία τα A και B.

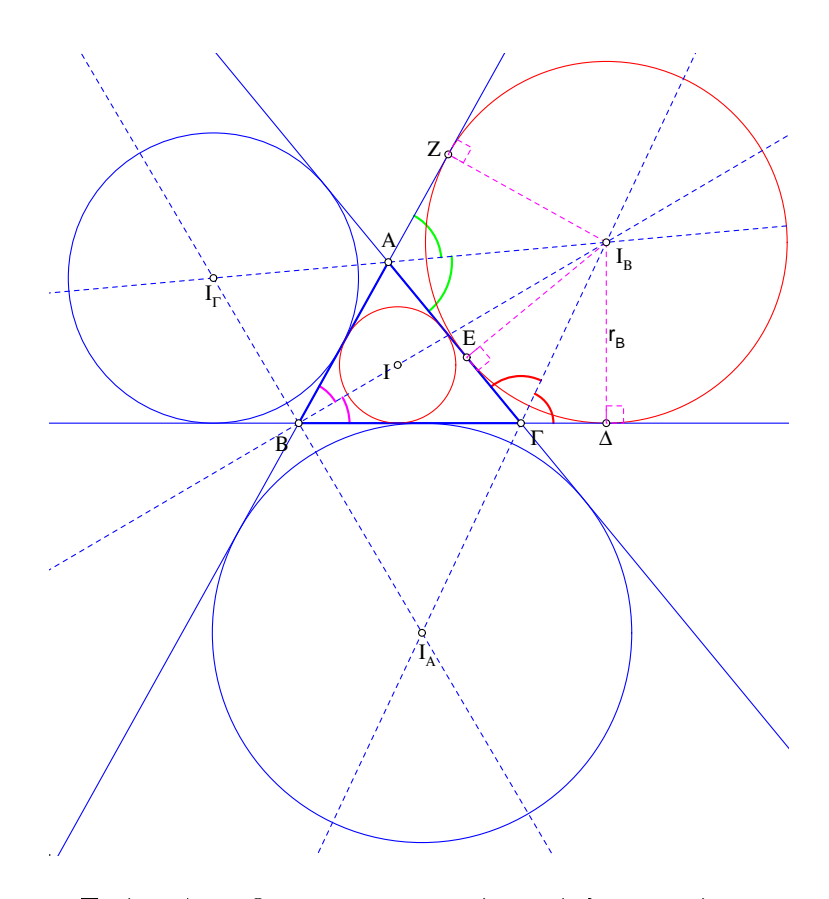
Άσκηση 4.9.8 Σε οξυγώνιο τρίγωνο  $AB\Gamma$  κατασκεύασε τους κύκλους  $\kappa(A,\rho)$ ,  $\lambda(B,\sigma)$ ,  $\mu(\Gamma,\tau)$  που είναι ορθογώνιοι αντίστοιχα στους κύκλους  $\nu_A,\nu_B,\nu_\Gamma$  που έχουν αντίστοιχα διαμέτρους τις πλευρές του τριγώνου  $B\Gamma$ ,  $\Gamma A$  και AB. Δείξε ότι οι κύκλοι  $\kappa$ ,  $\lambda$ ,  $\mu$  έχουν ως ριζικούς άξονες τα ύψη του τριγώνου  $AB\Gamma$ . Δείξε ότι και οι κύκλοι  $\nu_A,\nu_B,\nu_\Gamma$  έχουν τις ίδιες ευθείες ως ριζικούς άξονες. Τέλος δείξε ότι η πολική του ορθοκέντρου  $\mu$  του τριγώνου  $\mu$  και  $\mu$  ευθεία  $\mu$  και αντίστοιχες ιδιότητες γιά τους  $\mu$  και  $\mu$ .

Κεφάλαιο 5 Από τα κλασικά θεωρήματα

# 5.1 Παρεγγεγραμμένοι και έκκεντρα

Παρεγγεγραμμένοι κύκλοι του τριγώνου ΑΒΓ λέγονται οι κύκλοι που είναι εκτός του τριγώνου και εφάπτονται των πλευρών του. Τα κέντρα τους λέγονται Έκκεντρα του τριγώνου ή Παράκεντρα του τριγώνου. Η ύπαρξή των κύκλων αυτών στηρίζεται στην επόμενη πρόταση που είναι ανάλογη αυτής γιά την ύπαρξη του εγγεγραμμένου κύκλου (Πρόταση 2.2.3).

**Πρόταση 5.1.1** H εσωτερική διχοτόμος μιάς γωνίας του τριγώνου και οι εξωτερικές διχοτόμοι των δύο άλλων γωνιών του διέρχονται από το ίδιο σημείο.



Σχήμα 456: Οι παρεγγεγραμμένοι κύκλοι τριγώνου

Aπόδειξη: Θα δείξουμε ότι η εσωτερική διχοτόμος στο B και οι εξωτερικές στα A και  $\Gamma$  τέμνονται στο ίδιο σημείο που συμβολίζουμε με  $I_B$ . Ανάλογα θα ισχύουν και γιά τις άλλες γωνίες και θα ορίζονται τα σημεία  $I_A$  και  $I_\Gamma$ . Η απόδειξη μεταφέρεται αυτολεξί από την προηγούμενη πρόταση. Έστω  $I_B$  το σημείο τομής δύο εκ των τριών διχοτόμων του τριγώνου και συγκεκριμένα των εξωτερικών διχοτόμων των γωνιών A και  $\Gamma$ . Θα δείξουμε ότι και η εσωτερική διχοτόμος της γωνίας B διέρχεται από το  $I_B$ . Πράγματι, κατά την Πρόταση 1.15.12, οι αποστάσεις του  $I_B$  από τις πλευρές της γωνίας A είναι ίσες  $|I_BZ|=|I_BE|$ . Παρόμοια και οι αποστάσεις του  $I_B$  από τις πλευρές της γωνίας  $\Gamma$  είναι ίσες  $|I_BE|=|I_B\Delta|$ . Συνεπώς οι τρεις αποστάσεις θα είναι ίσες μεταξύ τους  $|I_BZ|=|I_BE|=|I_B\Delta|$ , άρα θα είναι ακτίνες του κύκλου με κέντρο  $I_B$  και ακτίνα  $I_B$   $I_B$ 0. Η ισότητα των αποστάσεων  $I_B$ 1  $I_B$ 2  $I_B$ 3 από τις πλευρές τις γωνίας  $I_B$ 4 ευρίσκεται και επί της διχοτόμου της γωνίας  $I_B$ 5 (Πρόταση  $I_B$ 5). Η καθετότητα των πλευρών στα άκρα των

ακτίνων αυτών του κύκλου δείχνει (2.2.2) ότι ο κύκλος εφάπτεται και στις τρεις πλευρές του τριγώνου, ο.ε.δ.

'Ασκηση 5.1.1 Έστω ότι  $I, I_A, I_B, I_\Gamma$  είναι το έγκεντρο και τα κέντρα των παρεγγεγραμμένων κύκλων του τριγώνου  $AB\Gamma$ . Δείξε ότι

- 1. Κάθε μία από τις τριάδες  $(A,I,I_A)$ ,  $(B,I,I_B)$ ,  $(\Gamma,I,I_\Gamma)$  αποτελείται από συνευθειακά σημεία.
- 2. Οι ευθείες που ορίζονται από κάθε μία τριάδα από τις προηγούμενες είναι ύψη του τρηγώνου  $I_AI_BI_\Gamma$ .
- 3. Το Ι είναι το ορθόκεντρο του προηγουμένου τριγώνου.

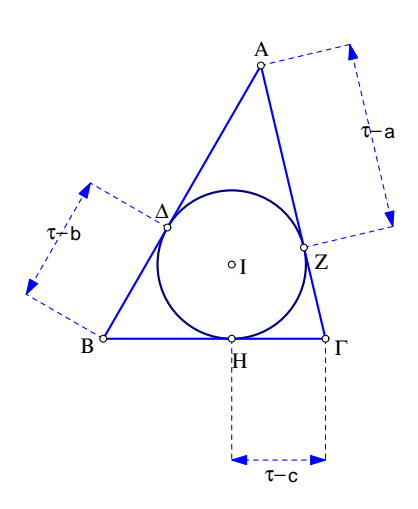
**Πρόταση 5.1.2** Το μήκος της εφαπτόμενης  $B\Delta$  από την κορυφή B προς τον αντίστοιχο παρεγγεγραμμένο κύκλο με κέντρο  $I_B$  είναι ίσο με την ημιπερίμετρο του τριγώνου  $AB\Gamma$ 

$$|B\Delta| = \frac{1}{2}(a+b+c).$$

Aπόδειξη: Εδώ, ως συνήθως, με <math>a,b και c συμβολίζουμε τα μήκη των πλευρών του τριγώνου. Η απόδειξη προκύπτει αμέσως από την ισότητα των εφαπτομένων από το  $B: |BZ| = |B\Delta|$ , καθώς και από τα A και  $\Gamma: |AZ| = |AE|$ ,  $|\Gamma E| = |\Gamma \Delta|$ . Η περίμετρος γράφεται λοιπόν

$$\begin{array}{rcl} a+b+c &=& (|B\Gamma|+|\Gamma E|)+(|AE|+|BA|)\\ &=& (|B\Gamma|+|\Gamma\Delta|)+(|BA|+|AZ|)\\ &=& 2(|B\Gamma|+|\Gamma\Delta|), \end{array}$$

 $0.\epsilon.\delta$ .



 $\Sigma \chi \eta \mu \alpha \ 457$ : Οι εφαπτόμενες του εγγεγραμμένου

Πρόταση 5.1.3~H εφαπτόμενη  $A\Delta$  από την κορυφή τριγώνου  $AB\Gamma$  προς τον εγγεγραμμένο κύκλο του έχει μήκος

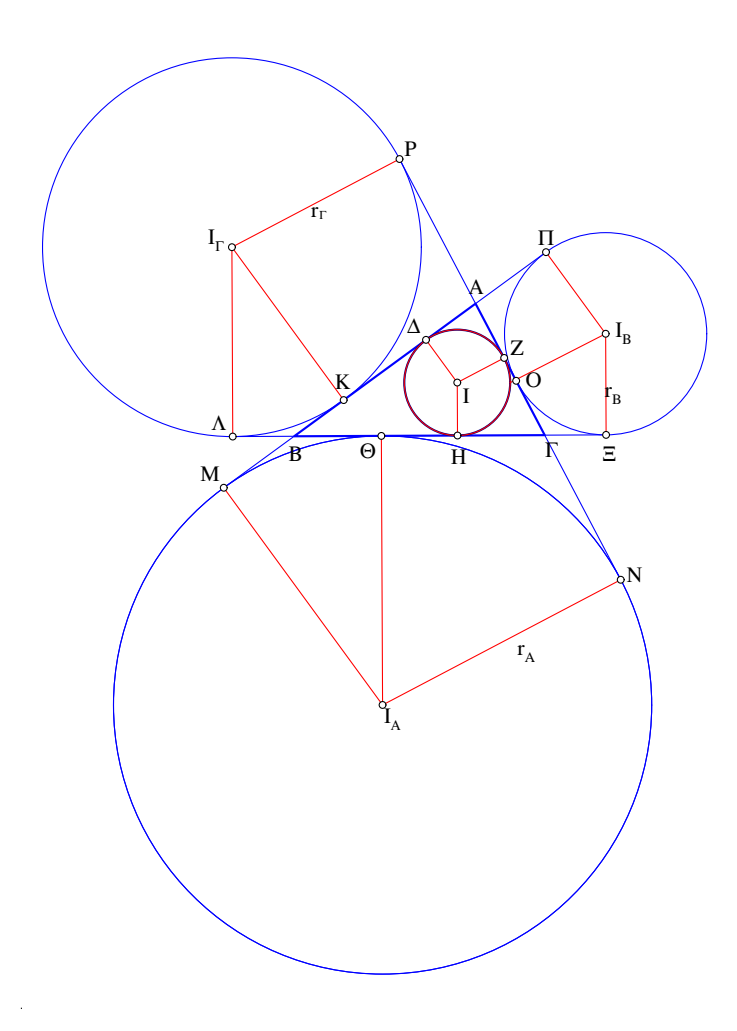
$$|A\Delta| = \tau - a,$$

όπου  $\tau = \frac{1}{2}(a+b+c)$  η ημιπερίμετρος του τριγώνου.

Aπόδειξη: Όπως και η απόδειξη της προηγούμενης πρότασης, έτσι και αυτή εδώ στηρίζεται στην ισότητα των εφαπτομένων από ένα σημείο προς κύκλο:  $|A\Delta|=|AZ|,\ |B\Delta|=|BH|,\ |\Gamma H|=|\Gamma Z|.$  Αρκεί να γράψουμε λοιπόν την περίμετρο

$$a + b + c = 2\tau = 2(|A\Delta| + |BH| + |H\Gamma|) = 2(|A\Delta| + a),$$

από την οποία προχύπτει αμέσως το ζητούμενο, ο.ε.δ.



Σχήμα 458: Τμήματα επί των πλευρών

Πρόταση 5.1.4 O επόμενος πίνακας δίνει τα κέντρα του εγγεγραμμένου και των παρεγγεγραμμένων κύκλων τριχώνου  $AB\Gamma$  καθώς και τις αντίστοιχες προβολές τους στις πλευρές AB,  $B\Gamma$  και  $\Gamma A$  ( $\Sigma \chi \dot{\eta} \mu a$ : 458).

	AB	$B\Gamma$	$\Gamma A$
I	Δ	Н	Z
$I_A$	M	$\Theta$	N
$I_B$	П	Ξ	O
$I_{\Gamma}$	K	$\Lambda$	P

Ισχύουν οι σχέσεις:

$$\begin{array}{lll} \tau-a &=& |A\Delta|=|AZ|=|\Gamma\Xi|=|\Gamma O|=|B\Lambda|=|BK|\\ \tau-b &=& |B\Delta|=|BH|=|\Gamma\Theta|=|\Gamma N|=|AK|=|AP|\\ \tau-c &=& |\Gamma Z|=|\Gamma H|=|A\Pi|=|AZ|=|BM|=|B\Theta|\\ |H\Theta| &=& |c-b|\\ |OZ| &=& |a-c|\\ |K\Delta| &=& |b-a|. \end{array}$$

Aπόδειξη: Το ότι  $τ-a=|A\Delta|=|AZ|$  το είδαμε στην προηγούμενη πρόταση. Γιά τις άλλες ισότητες στην ίδια γραμμή γράψε

$$|\Gamma\Xi| = |B\Xi| - |B\Gamma| = \tau - a.$$

Ανάλογα προκύπτουν και οι ισότητες στην δεύτερη και τρίτη γραμμή. Η  $|H\Theta|=|c-b|$  προκύπτει από τις προηγούμενες

$$|H\Theta| = |B\Gamma| - |B\Theta| - |\Gamma H| = a - (\tau - c) - (\tau - c) = c - b.$$

Ανάλογα προχύπτουν και οι δύο τελευταίες ισότητες, ο.ε.δ.

Άσκηση 5.1.2 Βάσει του Σχήματος: 458 δείξε ότι

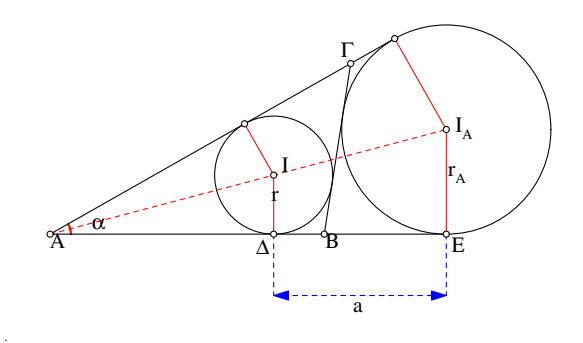
1. 
$$|\Lambda\Theta| = |KM| = b$$
,  $|\Theta\Xi| = |ON| = c$ ,  $|OP| = |\Pi K| = a$ .

2. 
$$|\Delta M| = |ZN| = a$$
,  $|H\Xi| = |\Delta\Pi| = b$ ,  $|ZP| = |H\Lambda| = c$ .

3. 
$$|PN| = a + c$$
,  $|\Lambda \Xi| = b + c$ ,  $|M\Pi| = a + b$ .

'Ασκηση 5.1.3  $\Delta \epsilon$ ίξε ότι αν το έγκεντρο του τριγώνου  $AB\Gamma$  συμπίπτει με το κέντρο βάρους του (σημείο τομής των διαμέσων) τότε το τρίγωνο είναι ισόπλευρο.

'Ασκηση 5.1.4  $\Delta \epsilon$ ίξε ότι αν το έγκεντρο του τριγώνου  $AB\Gamma$  συμπίπτει με το ορθόκεντρο (σημείο τομής των υψών) τότε το τρίγωνο είναι ισόπλευρο.

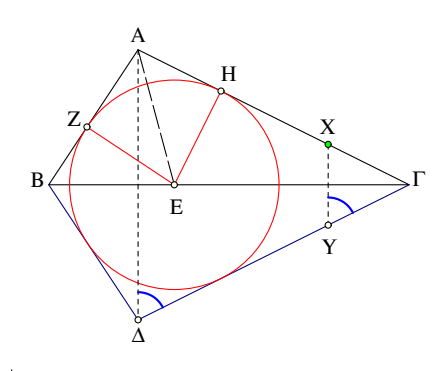


Σχήμα 459: Α, r, a - κατασκευή τριγώνου

Άσκηση 5.1.5 Κατασκεύασε τρίγωνο  $AB\Gamma$  από την γωνία του  $\alpha=|BA\Gamma|$ , την πλευρά  $a=|B\Gamma|$  και την ακτίνα  $r(r_A)$  του εγγεγραμμένου (Παρεγγεγραμμένου) κύκλου.

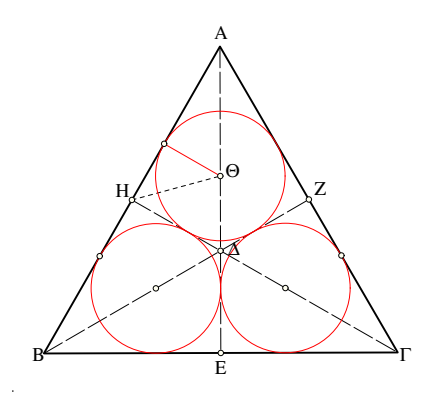
Υπόδειξη: Έστω  $\Delta$  το σημείο επαφής του εγγεγραμμένου χύχλου I(r) με την πλευρά AB. Το ορθογώνιο τρίγωνο  $A\Delta I$  κατασκευάζεται διότι ξέρουμε την κάθετο  $I\Delta$  μήκους r και την γωνία  $|\Delta AI|=\frac{\alpha}{2}$ . Προέκτεινε την  $A\Delta$  κατά a μέχρι το E. Το E είναι σημείο επαφής της AB με τον παρεγγεγραμμένο χύχλο  $I_A(r_A)$  (Άσκηση (2) 5.1.2). Επομένως και αυτός κατασκευάζεται φέρνοντας κάθετο στην AB στο E και ευρίσκοντας το σημείο τομής της  $I_A$  με την AI. Φέρε κατόπιν την κοινή εφαπτόμενη  $B\Gamma$  των δύο χύχλων (Κατασκευή 2.4.10). Το  $AB\Gamma$  είναι το ζητούμενο.

Άσκηση 5.1.6 Εστω  $\Delta$  το συμμετρικό της κορυφής A τριγώνου  $AB\Gamma$  ως προς την πλευρά  $B\Gamma$ . Το τετράπλευρο  $AB\Delta\Gamma$  είναι συμμετρικό ως προς  $B\Gamma$ . Το σημείο τομής E της διχοτόμου της γωνίας A με την  $B\Gamma$  ορίζει το κέντρο κύκλου κ που εφάπτεται και των τεσσάρων πλευρών του τετραπλεύρου  $AB\Delta\Gamma$ .



Σχήμα 460: Κύκλος εγγεγραμμένος σε τετράπλευρο

Υπόδειξη: Εφάρμοσε την Άσκηση 1.16.4 και δείξε την συμμετρία του  $AB\Delta\Gamma$ . Το E ισαπέχει από τις κάθετες πλευρές (|EZ|=|EH|). Ο κύκλος με κέντρο E και ακτίνα EZ εφάπτεται των πλευρών AB και  $A\Gamma$ , που είναι κάθετες στα άκρα των ακτίνων EZ και EH αυτού του κύκλου. Κατά την συμμετρία ως προς  $B\Gamma$  ο κύκλος πάει στον εαυτό του (Πόρισμα 2.1.4) και το τετράπλευρο επίσης. Τα σημεία επαφής κύκλου και τετραπλεύρου πάνε πάλι σε σημεία επαφής.



Σχήμα 461: Κύκλοι αλληλοεφαπτόμενοι

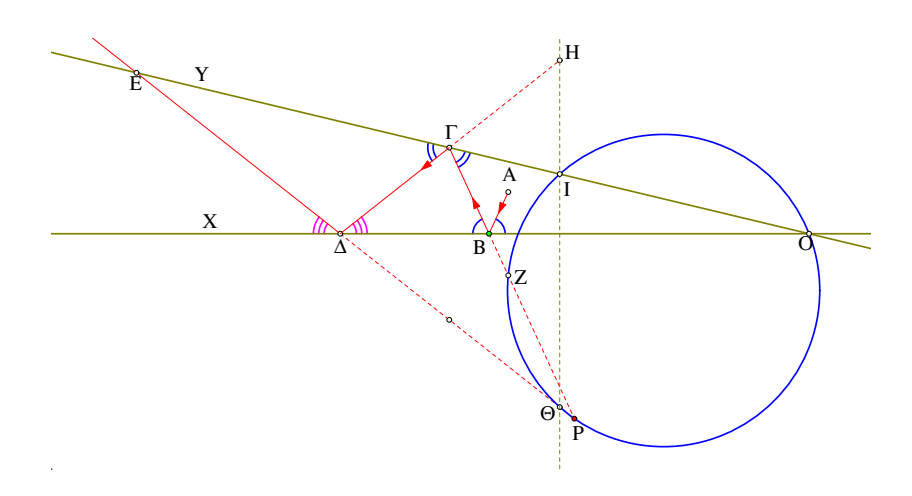
Άσκηση 5.1.7  $\Delta \epsilon$ ίξε ότι σε κάθε ισόπλευρο τρίγωνο εγγράφονται τρεις κύκλοι, έκαστος εφαπτόμενος των δύο άλλων εξωτερικά και ταυτόχρονα εφαπτόμενος δύο πλευρών του τριγώνου.

 $\Upsilon$ πόδειξη: Έστω  $\Delta$  το χέντρο βάρους του τριγώνου και E, Z, H τα μέσα των πλευρών  $B\Gamma$ ,  $\Gamma A$  και AB αντίστοιχα. Τα τετράπλευρα  $AH\Delta Z, Z\Delta E\Gamma$ ,  $E\Delta HB$  είναι συμμετρικά ως προς τις αντίστοιχες διαμέτρους AE,  $\Gamma H$  και BZ. Εφάρμοσε την προηγούμενη άσκηση και κατασκεύασε τρεις κύκλους εγγεγραμμένους στα τρία αυτά τετράπλευρα αντίστοιχα. Τα τετράπλευρα είναι συμμετρικά ως προς τις κοινές πλευρές τους, άρα οι κύκλοι είναι ίσοι και εφάπτονται όπως απαιτεί η εκφώνηση.

Σχόλιο-1 Η τελευταία άσκηση είναι ειδική περίπτωση του προβλήματος του Malfatti (1731-1807) που ζητά να γίνει η ίδια κατασκευή αλλά σε οποιοδήποτε τρίγωνο. Η λύση του γενικότερου προβλήματος είναι αρκετά περίπλοκη ([Doe65,  $\sigma$ . 147], [Coo16,  $\sigma$ . 174]).

Άσκηση 5.1.8  $\Delta$ ίδεται γωνία XOY και σημείο A στο εσωτερικό της. Θεωρούμε τις ευθείες ως κάτοπτρα, το A ως σημειακή πηγή φωτός και την AB ακτίνα φωτός με B μεταβαλλόμενο στην OX. H ακτίνα AB ανακλάται στην  $B\Gamma$ , αυτή στην  $\Gamma\Delta$ , αυτή στην  $\Delta E$  κ.ο.κ.  $\Delta$ είξε ότι:

- (1) όλες οι ευθείες ΒΓ διέρχονται από σταθερό σημείο Ζ,
- (2) όλες οι ευθείες ΓΔ διέρχονται από σταθερό σημείο Η,
- (3) όλες οι ευθείες  $\Delta E$  διέρχονται από σταθερό σημείο  $\Theta$ ,
- (4) το σημείο τομής P των ευθειών  $B\Gamma$  και  $\Delta E$  ανήκει στον κύκλο  $(OZ\Theta)$ ,
- (5) ο κύκλος αυτός διέρχεται από το σημείο τομής Ι της ΟΥ με την ΗΘ.



Σχήμα 462: Ανακλώμενες ευθείες

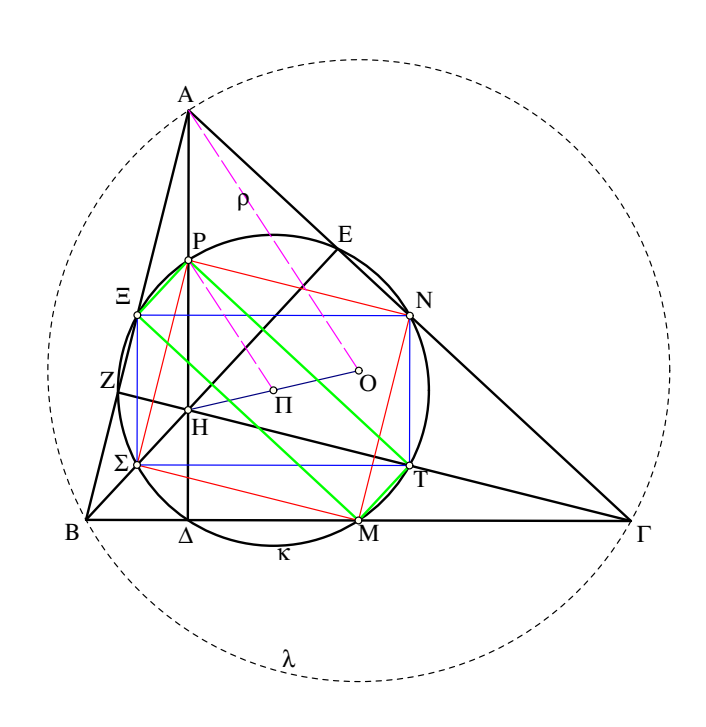
Υπόδειξη: Το Z είναι το συμμετρικό του A ως προς OX. Το H είναι το συμμετρικό του Z ως προς OY. Το  $\Theta$  είναι το συμμετρικό του H ως προς OX. H γωνία  $\Theta PZ$  είναι διπλάσια της σταθερής γωνίας XOY. H γωνία  $ZI\Theta$  είναι και αυτή διπλάσια της XOY.

'Ασκηση 5.1.9 Κατασκεύασε τρίγωνο  $AB\Gamma$  του οποίου δίδονται οι ακτίνες του εγγεγραμμένου r, παρεγγεγραμμένου  $r_A$  και η διαφορά των πλευρών |b-c|.

Σχόλιο-2 Η παράγραφος αυτή δίνει μιά γεύση της ούτως ονομαζόμενης  $\Gamma$ εωμετρίας του τριγώνου, στην οποία εξετάζονται διάφορα στοιχεία του τριγώνου και οι μεταξύ τους σχέσεις ([Καπ96], [Lal52], [Gal13]).

#### 5.2 Κύκλος του Euler

Ο κύκλος του Euler (1707 – 1783) είναι αυτός που περνά από τα τρία μέσα των πλευρών τριγώνου. Η ιδιαιτερότητά του είναι ότι περνά και από άλλα έξι αξιοσημείωτα σημεία του τριγώνου, γι' αυτό συχνά ονομάζεται  $\mathbf{K}$ ύκλος των εννέα σημείων του τριγώνου.



Σχήμα 463: Ο κύκλος κ του Euler

Πρόταση 5.2.1 O κύκλος κ που διέρχεται από τα μέσα  $M,N,\Xi$  των πλευρών τριγώνου  $AB\Gamma$  έχει τις εξής ιδιότητες

- 1. Ο κύκλος κ διέρχεται και από τα ίχνη  $\Delta$ ,E,Z των υψών του τριγώνου.
- 2. Ο κύκλος κ διέρχεται και από τα μέσα  $P, \Sigma, T$  των ευθυγράμμων τμημάτων που ενώνουν τις κορυφές με το ορθόκεντρο H του τριγώνου.
- 3. Το κέντρο  $\Pi$  του κύκλου κ είναι το μέσον του τμήματος που ενώνει το ορθόκεντρο H με το περίκεντρο O του τριγώνου.
- 4. Η ακτίνα ΠΡ του κύκλου κ είναι το μισό της ακτίνας  $\rho = |OA|$  του περιγεγραμμένου κύκλου λ του τριγώνου.

Απόδειξη: Η απόδειξη στηρίζεται στην ύπαρξη τριών ορθογωνίων παραλληλογράμμων που έχουν ανά δύο κοινή διαγώνιο. Τα παραλληλόγραμμα είναι τα ΣΤΝΞ, ΣΜΝΡ και ΡΞΜΤ. Πρώτα ας δούμε ότι σχηματίζονται αυτά τα ορθογώνια. Δείχνω ότι το ΣΤΝΞ είναι ορθογώνιο. Η απόδειξη γιά τα ΣΜΝΡ και ΡΞΜΤ είναι παρόμοια.

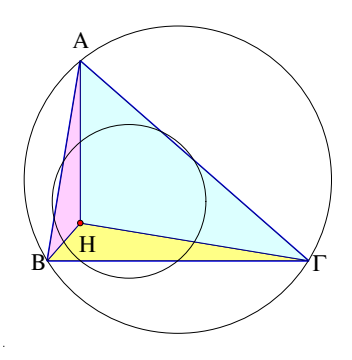
Στο ΣΤΝΞ, λοιπόν, η ΣΞ ενώνει τα μέσα πλευρών του τριγώνου ΒΗΑ άρα είναι παράλληλη και το μισό της ΗΑ. Παρόμοια η ΤΝ ενώνει τα μέσα πλευρών του τριγώνου ΑΗΓ, άρα είναι παράλληλη και το μισό της ΗΑ. Συνεπώς οι ΣΞ και ΤΝ ως παράλληλες και ίσες ορίζουν

παραλληλόγραμμο  $\Sigma TN\Xi$ . Ότι αυτό είναι ορθογώνιο προχύπτει από το ότι και η  $\Sigma T$  ενώνει μέσα πλευρών του τριγώνου HBΓ, άρα είναι παράλληλη και το μισό της BΓ. Αφού τα  $A\Delta$  και BΓ είναι κάθετα μεταξύ τους το ίδιο θα συμβαίνει και με τα παράλληλα αυτών  $\Xi\Sigma$  και  $\Sigma T$ .

Τα τρία ορθογώνια έχουν ανά δύο μία κοινή διαγώνιο που είναι διάμετρος του περιγεγραμμένου κύκλου τους. Αυτό συνεπάγεται ότι οι τρεις περιγεγραμμένοι κύκλοι αυτών των ορθογωνίων συμπίπτουν. Αυτό ολοκληρώνει την απόδειξη των δύο πρώτων ισχυρισμών της πρότασης.

Γιά την απόδειξη των υπόλοιπων δύο ισχυρισμών της πρότασης, αρχεί να παρατηρήσουμε ότι στο τρίγωνο HOA το τμήμα ΠΡ ενώνει τα μέσα πλευρών του τριγώνου HOA άρα είναι παράλληλο χαι το μισό του OA. Όμως το OA είναι αχτίνα του περιγεγραμμένου χύχλου λ χαι το ΠΡ είναι αχτίνα του χύχλου χ, ο.ε.δ.

Άσκηση 5.2.1 Να βρεθούν τα κέντρα ομοιότητας του περιγεγραμμένου και του κύκλου του Euler του τριγώνου.



Σχήμα 464: Κοινός κύκλος του Euler

Άσκηση 5.2.2 Δείξε ότι γιά κάθε τρίγωνο ΑΒΓ με ορθόκεντρο Η, οι κύκλοι του Euler των τριγώνων ΑΒΓ, ΑΒΗ, ΒΓΗ, ΓΑΗ συμπίπτουν. Συμπέρανε ότι τα τέσσερα αυτά τρίγωνα έχουν περιγεγραμμένους κύκλους με ίσες ακτίνες.

Άσκηση 5.2.3 Κατασκεύασε τρίγωνο  $AB\Gamma$  του οποίου δίδεται η θέση της κορυφής A, η θέση του ορθοκέντρου H και η θέση του κέντρου  $\Pi$  του κύκλου του Euler.

'Ασκηση 5.2.4 Κατασκεύασε τρίγωνο  $AB\Gamma$  του οποίου δίδεται η θέση της κορυφής A, η θέση της προβολής  $\Delta$  του A στην απέναντι πλευρά  $B\Gamma$  και η θέση του κέντρου  $\Pi$  του κύκλου του Euler.

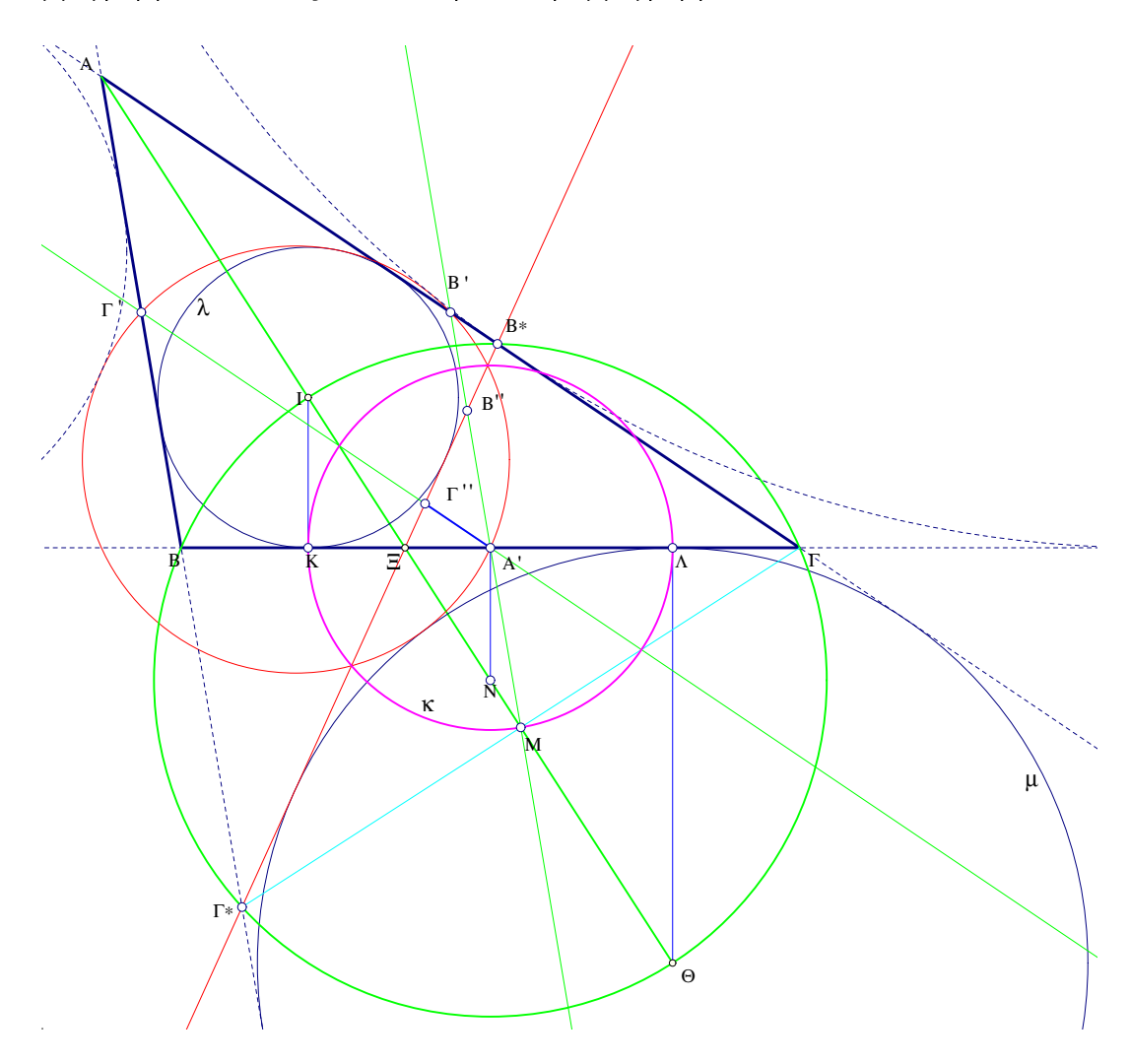
'Ασκηση 5.2.5 Κατασκεύασε τρίγωνο  $AB\Gamma$  του οποίου δίδονται τα μήκη  $a=|B\Gamma|, b+c=|A\Gamma|+|AB|$  και η ακτίνα r του εγγεγραμμένου κύκλου.

Υπόδειξη: Τόσο σε αυτήν όσο και στην επόμενη να γίνει χρήση της Πρότασης 5.1.4.

'Ασκηση 5.2.6 Κατασκεύασε τρίγωνο  $AB\Gamma$  του οποίου δίδονται τα μήκη  $a=|B\Gamma|,b-c=|A\Gamma|-|AB|$  και η ακτίνα r του εγγεγραμμένου κύκλου.

### 5.3 Θεώρημα του Feuerbach

Θεώρημα 5.3.1 (Feuerbach (1800-1834))  $\Sigma \epsilon$  κάθε τρίγωνο ο κύκλος του Euler εφάπτεται του εγγεγραμμένου καθώς και των τριών παρεγγεγραμμένων κύκλων του.



Σχήμα 465: Θεώρημα του Feuerbach

 $Aπόδειξη: Στην απόδειξη αυτή ([Aud02, σ. 110], [CG67, σ. 117], [Joh60, σ. 190], μιά δεύτερη απόδειξη δίδεται στην Άσκηση 5.7.5) τον ρόλο κλειδί παίζει ο κύκλος με διάμετρο <math>K\Lambda$ , όπου K,  $\Lambda$  οι προβολές του εγκέντρου I και του εκκέντρου  $\Theta$  της γωνίας A του τριγώνου.  $\Theta$  εωρούμε επίσης την συμμετρική  $\Gamma^*B^*$  της βάσης  $B\Gamma$  ως προς την διχοτόμο AI. Το τετράπλευρο  $BB^*\Gamma\Gamma^*$ , είναι εκ κατασκευής συμμετρικό ως προς την διχοτόμο  $I\Theta$  και τα B, $B^*$ , $\Gamma$ , $\Gamma^*$  βλέπουν το  $I\Theta$  υπό ορθή γωνία, άρα περιέχονται στον κύκλο με διάμετρο  $I\Theta$ . Τα μήκη των BK,  $K\Lambda$ ,  $\Lambda\Gamma$  έχουν υπολογισθεί στην  $\Pi$ ρόταση 5.1.4 και είναι

$$|BK| = \tau - b, \quad |K\Lambda| = |b - c|, \quad |\Lambda\Gamma| = \tau - b.$$

Αν A',B' και  $\Gamma'$  είναι τα μέσα των πλευρών του τριγώνου και M το μέσον της  $\Gamma\Gamma^*$ , τότε η A'B', ως παράλληλη προς την βάση  $A\Gamma^*$  του  $A\Gamma^*\Gamma$  διέρχεται από το μέσον M της  $\Gamma\Gamma^*$ . Αυτό δείχνεί ότι ο κύκλος κ με διάμετρο  $K\Lambda$  έχει ακτίνα

$$|AM'| = \frac{|b-c|}{2}.$$

Ένα τελευταίο χρήσιμο στοιχείο είναι το τετράπλευρο  $\Gamma'\Gamma''B''B'$ , που σχηματίζεται από τις τομές B'',  $\Gamma''$  της  $\Gamma^*B^*$  αντίστοιχα με τις A'B' και  $A'\Gamma'$ . Το τετράπλευρο αυτό είναι εγγράψιμο σε κύκλο. Τούτο φαίνεται αμέσως από την ισότητα των γωνιών

$$\gamma = |A'\Gamma'B'| = |\Gamma^*B''A'| = |B\Gamma^*\Gamma''|.$$

Συνάγεται λοιπόν ότι τα γινόμενα

$$|A'\Gamma''||A'\Gamma'| = |A'B''||A'B'|.$$

Το πρώτο από αυτά τα γινόμενα υπολογίζεται εύχολα, διότι  $|A'\Gamma'|=\frac{b}{2}$  και το  $A'\Gamma''$  υπολογίζεται από τα όμοια τρίγωνα  $\Xi A'\Gamma''$  και  $\Xi \Gamma B^*$ . Εδώ χρειάζεται ένας μικρός λογαριασμός που συνοψίζεται στις ισότητες:

$$\frac{|\Xi B|}{|\Xi \Gamma|} = \frac{c}{b} \quad \Rightarrow |\Xi B| = \frac{ac}{b+c}, \ |\Xi \Gamma| = \frac{ab}{b+c} \quad \Rightarrow \quad \frac{|\Xi A'|}{|\Xi \Gamma|} = \frac{b-c}{2b}.$$

Αυτός συνεπάγεται την

$$|A'\Gamma''||A'\Gamma'| = |A'B''||A'B'| = \frac{(b-c)^2}{4},$$

που σημαίνει ότι τα  $(\Gamma',\Gamma'')$  και (B',B'') είναι ζεύγη αντιστρόφων σημείων ως προς τον κύκλο αντιστροφής κ με διάμετρο  $K\Lambda$ , ο οποίος, σημειωτέον, είναι ορθογώνιος προς τον εγγεγραμμένο κύκλο λ του τριγώνου. Μετά από αυτήν την προετοιμασία λοιπόν θεωρούμε την αντιστροφή ως προς τον κύκλο κ. Σε αυτήν το αντίστροφο του εγγεγραμμένου είναι ο εαυτός του (Πόρισμα 4.8.1) και το αντίστροφο της ευθείας  $B''\Gamma''$  είναι ο κύκλος που περνάει από τα σημεία B',  $\Gamma'$  και A', δηλαδή ο κύκλος του Euler (Πρόταση 4.8.3). Επειδή η ευθεία  $B''\Gamma''$  εφάπτεται του εγγεγραμμένου, έπεται ότι και ο κύκλος του Euler θα εφάπτεται του εγγεγραμμένου (Πρόταση 4.8.5).

Το ίδιο επιχείρημα εφαρμόζεται και στον παρεγγεγραμμένο κύκλο μ με κέντρο  $\Theta$ . Και αυτός είναι ορθογώνιος προς τον κ και έχει την  $B''\Gamma''$  εφαπτόμενη. Άρα το αντίστροφο αυτού του κύκλου είναι ο εαυτός του και το αντίστροφο της ευθείας  $B''\Gamma''$ , που είναι ο κύκλος του Euler θα εφάπτεται σε αυτόν.

Τα όσα είπαμε αποδεικνύουν λοιπόν ότι ο κύκλος του Euler εφάπτεται ταυτόχρονα του εγγεγραμμένου και παρεγγεγραμμένου της γωνίας Α. Ανάλογα αποδεικνύουμε ότι ο κύκλος Euler εφάπτεται και των παρεγγεγραμμένων των άλλων γωνιών, ο.ε.δ.

Το σημείο επαφής του εγγεγραμμένου κύκλου και του κύκλου του Euler λέγεται **Σημείο** του Feuerbach του τριγώνου.

Άσκηση 5.3.1 Να κατασκευασθεί τρίγωνο  $AB\Gamma$  του οποίου δίδεται η θέση του εγκέντρου (I), η θέση του σημείου του Feuerbach ( $F_e$ ), καθώς και η θέση του μέσου A' της πλευράς  $B\Gamma$ .

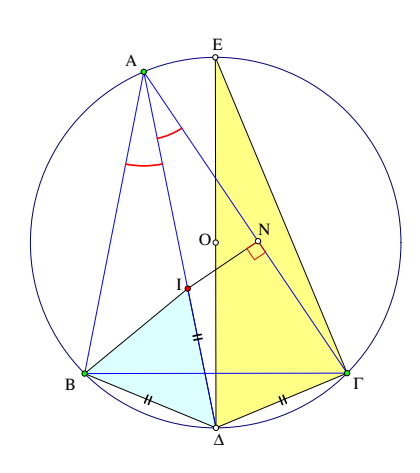
'Ασκηση 5.3.2 Να δειχθεί ότι ο κύκλος του Euler ταυτίζεται με τον εγγεγραμμένο τότε και μόνον, όταν το τρίγωνο είναι ισόπλευρο.

Άσκηση 5.3.3 Να μελετηθεί το σχήμα του Feuerbach στην περίπτωση του ισοσκελούς και του ισοπλεύρου τριγώνου.

# 5.4 Θεώρημα του Euler

Θεώρημα 5.4.1 (Θεώρημα του Euler)  $\Sigma$ ε κάθε τρίγωνο η ακτίνα R του περιγεγραμμένου κύκλου του, η ακτίνα r του εγγεγραμμένου κύκλου του και η απόσταση OI των κέντρων αυτών των κύκλων συνδέονται μέσω του τύπου

$$|OI|^2 = R(R - 2r).$$



Σχήμα 466: Θεώρημα του Euler

Aπόδειξη: Ο τύπος θυμίζει την δύναμη  $p(I)=|OI|^2-R^2$  του εγκέντρου I (κέντρου του εγγεγραμμένου κύκλου) ως προς τον περιγεγραμμένο, ιδιαίτερα αν τον γράψουμε  $|OI|^2-R^2=-2rR.$  Αρκεί λοιπόν να δείξουμε ότι η δύναμη του εγκέντρου I ως προς τον περιγεγραμμένο είναι -2rR. Δύο είναι οι βασικές παρατηρήσεις που οδηγούν στην απόδειξη. Πρώτα ότι η προέκταση της διχοτόμου AI διέρχεται από το μέσον  $\Delta$  του τόξου BΓ (Άσκηση 2.13.1) και τα ευθύγραμμα τμήματα  $\Delta B, \Delta I, \Delta \Gamma$  είναι ίσα. Τα  $\Delta B$  και  $\Delta \Gamma$  είναι βέβαια ίσα αφού το  $\Delta$  είναι το μέσον του τόξου BΓ. Το τρίγωνο  $B\Delta I$  είναι όμως ισοσκελές διότι η γωνία του στο B είναι άθροισμα  $\frac{\alpha+\beta}{2}$  και το ίδιο συμβαίνει με την γωνία του στο I, ως εξωτερική του τριγώνου BIA. Η δύναμη του I λοιπόν είναι  $|AI||I\Delta|=|AI||\Delta \Gamma|$ . Η δεύτερη παρατήρηση είναι ότι τα ορθογώνια τρίγωνα AIN και  $E\Delta \Gamma$  είναι όμοια. Εδώ N είναι η προβολή του I στην  $A\Gamma$ , άρα το μήκος της |IN|=r. Το E είναι το αντιδιαμετρικό του  $\Delta$ . Προφανώς τα τρίγωνα είναι όμοια διότι έχουν τις οξείες γωνίες στα A και E ίσες. Τότε οι πλευρές τους είναι ανάλογες:

$$\frac{|AI|}{|IN|} = \frac{|E\Delta|}{|\Delta\Gamma|} \implies |AI||\Delta\Gamma| = |IN||E\Delta|,$$

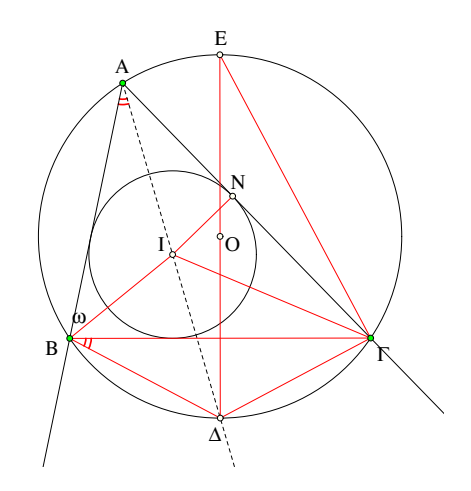
που, με όσα είπαμε, μεταφράζεται στο αποδεικτέο:

$$-p(I) = |AI||I\Delta| = |AI||\Delta\Gamma| = |IN||E\Delta| = r(2R), \quad \text{o.e.} \delta.$$

Θεώρημα  $\mathbf{5.4.2}$  Εάν γιά δύο κύκλους  $\kappa(I,r)$  και  $\lambda(O,R)$  ισχύει η σχέση  $|OI|^2 = R(R-2r)$ , τότε γιά κάθε σημείο A του  $\lambda$  υπάρχει τρίγωνο  $AB\Gamma$  εγγεγραμμένο στον  $\lambda$  και περιγεγραμμένο του  $\kappa$ .

Aπόδειξη: Κατ' αρχήν ο κ είναι εντός του κύκλου λ. Αυτό φαίνεται παίρνοντας σημείο X του κ και υπολογίζοντας την διαφορά

$$|XO|^2 < (|XI| + |IO|)^2 < |XI|^2 + |IO|^2 = r^2 + R^2 - 2Rr = (R - r)^2,$$



Σχήμα 467: Τρίγωνα με τον ίδιο περίχυκλο και εγγεγραμμένο

όπου στην προτελευταία ισότητα χρησιμοποιήσαμε την ισχύουσα ισότητα. Φέρνουμε λοιπόν από τυχόν σημείο A του  $\lambda$  τις εφαπτόμενες στον  $\kappa$ , οι οποίες έστω ότι τέμνουν ξανά τον  $\lambda$  στα B και  $\Gamma$ . Αρκεί να δείξουμε ότι η  $B\Gamma$  εφάπτεται του  $\kappa$ . Προς τούτο φέρουμε την διχοτόμο της  $BA\Gamma$  που τέμνει τον κύκλο  $\lambda$  στο μέσον  $\Delta$  του τόξου  $B\Gamma$ . Έστω πάλι E το αντιδιαμετρικό του  $\Delta$  και N η προβολή του I στην  $A\Gamma$ . Τα ορθογώνια τρίγωνα AIN και  $E\Delta\Gamma$  έχουν τις οξείες γωνίες στα A και E ίσες άρα είναι όμοια. Συνεπώς

$$\frac{|AI|}{|IN|} = \frac{|E\Delta|}{|\Delta\Gamma|} \implies |AI||\Delta\Gamma| = |IN||E\Delta| = r(2R),$$

΄Ομως εξ υποθέσεως και η δύναμη του Ι ως προς λ είναι  $-p(I)=|AI||I\Delta|=R^2-|OI|^2=2Rr$ . ΄Αρα

$$|AI||I\Delta| = |AI||\Delta\Gamma| \Rightarrow |I\Delta| = |\Delta\Gamma|.$$

Σχηματίζονται λοιπόν δύο ισοσκελή τρίγωνα, το  ${\rm B}\Delta {\rm I}$  και  ${\rm \Delta I}\Gamma$ . Έστω ω = |IBA|. Λαμβάνοντας υπόψη ότι οι  ${\rm \Delta B}\Gamma$  και  ${\rm \Delta AB}$  είναι ίσες με α/2, όπου  $\alpha=|BA\Gamma|$  έχουμε

$$|BI\Delta| = \omega + \frac{\alpha}{2} = |IB\Delta| = |IB\Gamma| + \frac{\alpha}{2} \implies |IB\Gamma| = \omega.$$

Αυτό σημαίνει ότι η ΒΙ είναι διχοτόμος της γωνίας ΑΒΓ, ο.ε.δ.

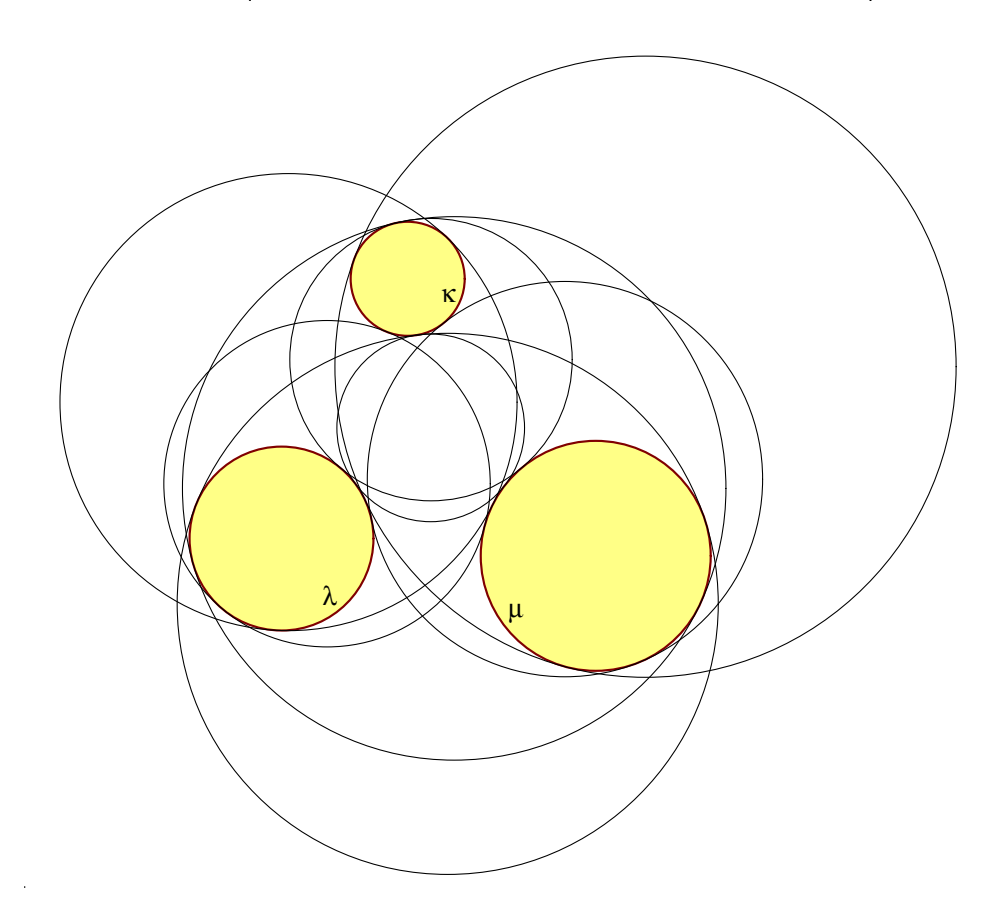
Άσκηση 5.4.1  $\Delta \epsilon$ ίξε ότι σε κάθε τρίγωνο η ακτίνα R του περιγεγραμμένου κύκλου και η ακτίνα r του εγγεγραμμένου ικανοποιούν την ανισότητα  $R \geq 2r$ , και η ισότητα ισχύει τότε ακριβώς, όταν το τρίγωνο είναι ισόπλευρο.

Άσκηση 5.4.2 Κατασκεύασε τρίγωνο  $AB\Gamma$ , του οποίου δίδεται η θέση της κορυφής A, η θέση του εγκέντρου I και η θέση του περικέντρου O.

Άσκηση 5.4.3 Εάν Η είναι το ορθόκεντρο του τριγώνου  $AB\Gamma$  και  $AA',BB',\Gamma\Gamma'$  τα ύψη του δείξε ότι ισχύει  $|AH||HA'|=|BH||HB'|=|\Gamma H||\Gamma H'|$ .

# 5.5 Εφαπτόμενοι κύκλοι του Απολλώνιου

Το πρόβλημα των εφαπτομένων κύκλων του Απολλώνιου συνίσταται στην εύρεση των κύκλων που εφάπτονται ταυτόχρονα σε τρεις δοθέντες κύκλους. Η επόμενη εικόνα δείχνει τους οκτώ κύκλους που λύνουν το πρόβλημα, στην περίπτωση που οι δοθέντες κύκλοι κ, λ, και μ είναι εξωτερικοί αλλήλων. Ο Απολλώνιος στο σύγγραμμά του 'έπαφαί', που χάθηκε,

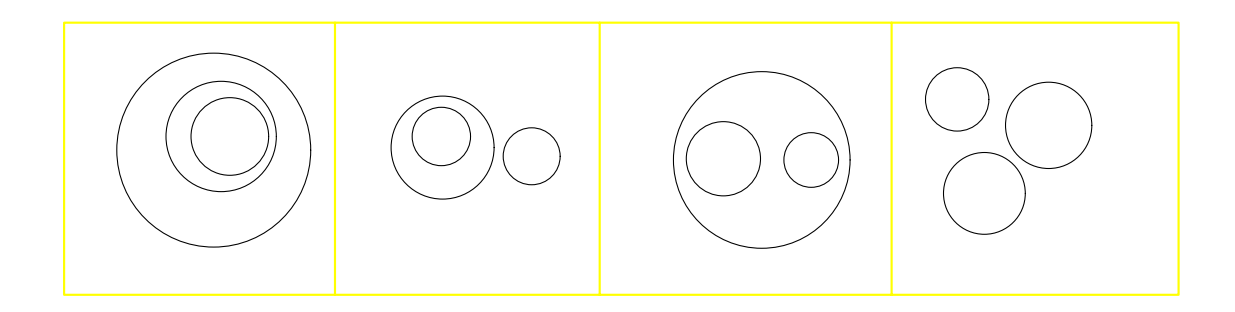


Σχήμα 468: Κύκλοι εφαπτόμενοι τριών δοθέντων

έθεσε γενικότερα το πρόβλημα της εύρεσης κύκλων που εφάπτονται τριών "πραγμάτων". Τα "πράγματα" μπορεί να είναι κύκλοι, ευθείες και σημεία. Οι ζητούμενοι κύκλοι λοιπόν μπορεί να εφάπτονται σε δοθέντες κύκλους και/ή ευθείες και/ή να διέρχονται από δεδομένα σημεία. Προκύπτουν έτσι 10 κύριες κατηγορίες του προβλήματος όπου τα "πράγματα" είναι:

κύκλοι	ευθείες	σημεία
3	0	0
2	1	0
1	2	0
0	3	0
2	0	1
1	1	1
0	2	1
1	0	2
0	1	2
0	0	3

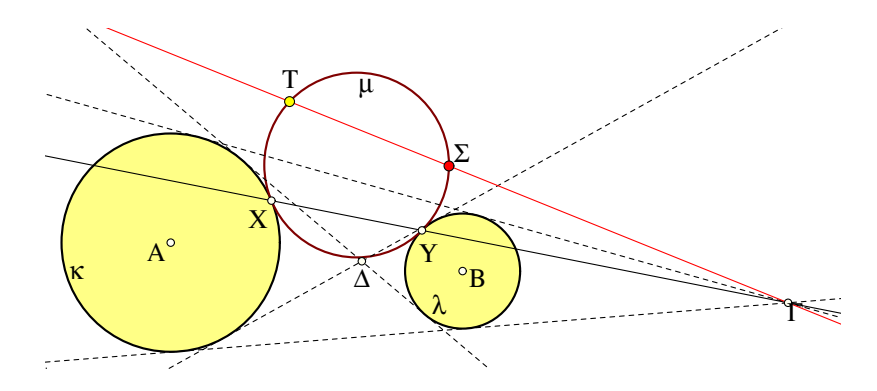
Μερικά από τα προβλήματα αυτά έχουμε ήδη λύσει: Το τελευταίο λ.χ. της κατασκευής κύκλου διά τριών σημείων (Πρόταση 2.1.3), το τέταρτο, της κατασκευής κύκλου εφαπτόμενου σε τρεις ευθείες (που σχηματίζουν τρίγωνο Πρόταση 2.2.3, Πρόταση 5.1.1), το έβδομο (Άσκηση 4.3.6) και το έννατο (Άσκηση 4.1.1). Σε κάθε κατηγορία υπάρχουν διάφορες περιπτώσεις και τα επιμέρους προβλήματα έχουν επισήρει την προσοχή πολλών Μαθηματικών ανά τους αιώνες. Η πρώτη κατηγορία εμφανίζει τις περισσότερες ειδικές περιπτώσεις ανάλογα με την θέση των κύκλων. Έτσι, λ.χ. γιά μη τεμνόμενους κύκλους έχουμε σχηματικά τις επόμενες τέσσερις δυνατότητες, από τις οποίες οι δύο πρώτες δεν επιδέχονται λύση. Στην



Σχήμα 469: Δυνατές θέσεις τριών μη τεμνομένων κύκλων

παράγραφο αυτή θα ασχοληθούμε με την πέμπτη και την πρώτη κατηγορία, στην περίπτωση που τα "πράγματα" είναι εξωτερικά αλλήλων.

Κατασκευή 5.5.1 Να κατασκευασθεί κύκλος  $\mu$  ταυτόχρονα εφαπτό $\mu$ ενος δύο δοθέντων κύκλων κ(A,a),  $\lambda(B,\beta)$ , εξωτερικών αλλήλων, και διερχό $\mu$ ενος διά ση $\mu$ είου  $\Sigma$  επίσης εξωτερικού των δύο κύκλων.

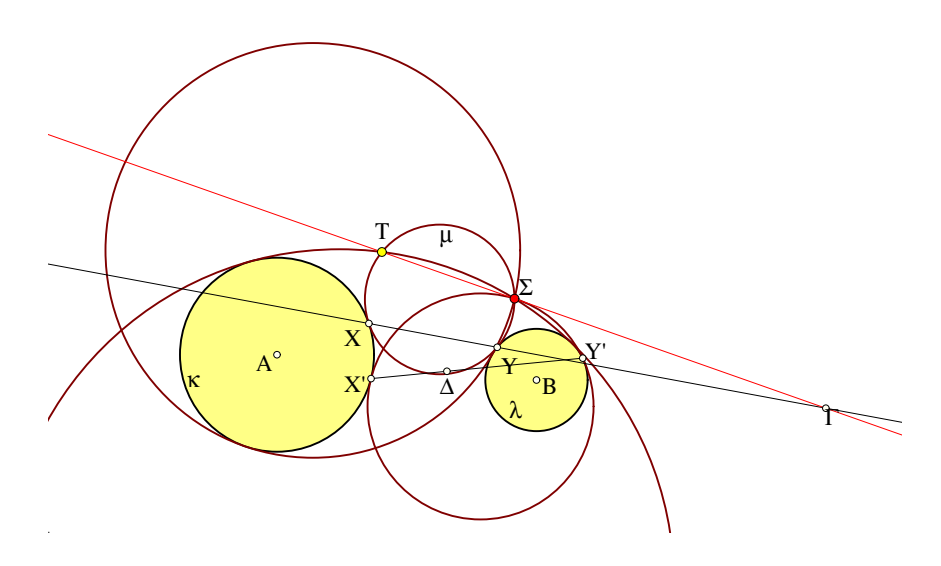


Σχήμα 470: μ εφαπτόμενος των κ, λ και διερχόμενος από το  $\Sigma$ 

Κατασκευή: Ας υποθέσουμε ότι ο ζητούμενος χύχλος μ εφάπτεται εξωτερικά των κ και λ αντίστοιχα στα σημεία X και Y. Κατά το Πόρισμα 4.7.2, η ευθεία XY θα διέρχεται από το εξωτερικό χέντρο ομοιότητας  $\Gamma$  των δύο δοθέντων χύχλων και το γινόμενο  $\xi = |\Gamma X| |\Gamma Y|$  θα είναι σταθερό, ανεξάρτητο του μ και προσδιοριζόμενο από τα δεδομένα. Συνεπώς, εάν  $\Gamma$  το δεύτερο σημείο τομής της ευθειάς  $\Gamma \Sigma$  με τον μ, τότε και το γινόμενο

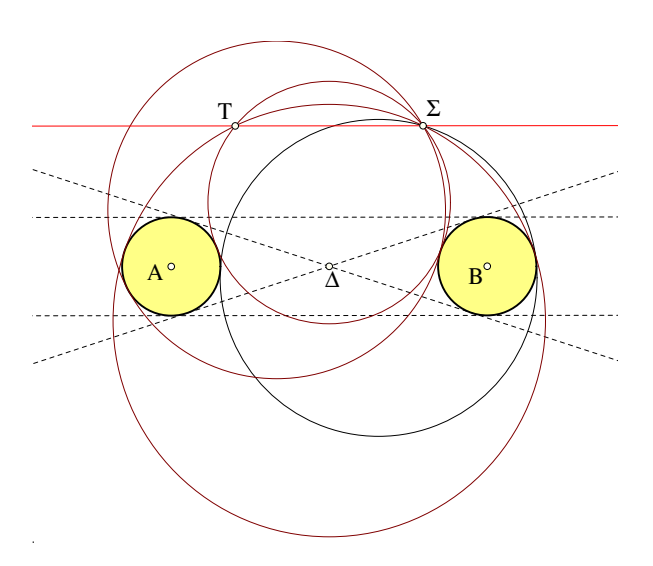
$$|\Gamma \Sigma| |\Gamma T| = |\Gamma X| |\Gamma Y| = \xi,$$

θα προσδιορίζεται από τα δεδομένα, άρα και η θέση του T θα προσδιορίζεται από τα δεδομένα. Συνεπώς το πρόβλημα ανάγεται στο γνωστό, της εύρεσης κύκλου μ, διερχόμενου από δύο σημεία  $\Sigma$ , T και ταυτόχρονα εφαπτόμενα ενός εκ των δύο κύκλων λ.χ. του κ(A,α), που έχει ήδη λυθεί (Aσκηση A.A.A) και έχει εν γένει δύο λύσεις. Με ανάλογο τρόπο παίρνουμε δύο λύσεις γιά κύκλο μ που εφάπτεται ενός εξωτερικά και του άλλου εσωτερικά. Αυτή την φορά η ευθεία XY διέρχεται από το εσωτερικό κέντρο ομοιότητας A των κ και A. Συνολικά λοιπόν παίρνουμε τέσσερις κύκλους μ που ικανοποιούν της απαιτήσεις της κατασκευής, ο.ε.κ.



Σχήμα 471: Κύκλοι εφαπτόμενοι των κ, λ και διερχόμενοι από το Σ

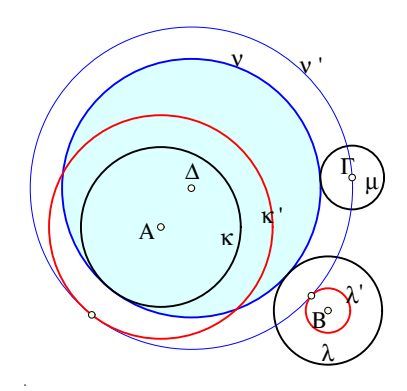
Το σχήμα 471 δείχνει τους τέσσερις κύκλους λύσεις του προβλήματος. Γιά δύο από αυτούς διακρίνονται και οι χορδές των σημείων επαφής XY και X'Y', που διέρχονται αντίστοιχα από τα κέντρα ομοιότητας  $\Gamma$  και  $\Delta$  των δοθέντων κύκλων. Το σχήμα 472 δείχνει τις λύσεις του



Σχήμα 472: Κύκλοι εφαπτόμενοι των κ, λ και διερχόμενοι από το  $\Sigma$  (II)

προβλήματος στην περίπτωση που οι ακτίνες των κ και λ είναι ίσες. Στην περίπτωση αυτή το εξωτερικό κέντρο ομοιότητας  $\Gamma$  είναι στο άπειρο και το δέυτερο σημείο T, που είναι το κλειδί της λύσης, είναι το συμμετρικό του δοθέντος  $\Sigma$  ως προς την μεσοκάθετο του AB.

Κατασκευή 5.5.2 Nα κατασκευασθεί κύκλος  $\nu$  ταυτόχρονα εφαπτόμενος τριών δοθέντων κύκλων κ(A,a),  $\lambda(B,\beta)$  και  $\mu(\Gamma,\gamma)$  εξωτερικών αλλήλων.



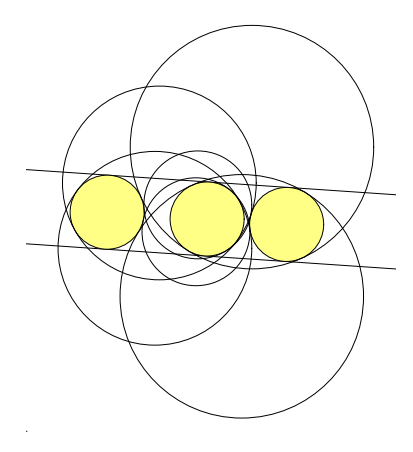
Σχήμα 473: Κύκλος ν με (-++) είδος επαφής με τους κ,λ,μ

Κατασκευή: Υποθέτουμε εδώ την γενική περίπτωση, κατά την οποία οι ακτίνες των κύκλων είναι διαφορετικές ανά δύο και συγκεκριμένα  $\alpha > \beta > \gamma$ . Τις ειδικές περιπτώσεις θα συζητήσουμε αργότερα. Γιά την θέση του ζητούμενου κύκλου ν υπάρχουν οκτώ περιπτώσεις που μπορούν να περιγραφούν με ένα σύμβολο (\*\*\*), από τρεις θέσεις. Στην κάθε θέση βάζουμε + ή - ανάλογα με το αν ο ν έχει τον δοθέντα κύκλο στο εξωτερικό του ή εσωτερικό του. Έτσι το (+++) σημαίνει ότι ο ν έχει όλους στο εξωτερικό του, το (---) ότι έχει όλους στο εσωτερικό του, το (-++) ότι έχει τον κ στο εσωτερικό και τους λ και μ στο εξωτερικό όπως στο σχήμα 473. Σε κάθε περίπτωση από τις οκτώ ανάγουμε το πρόβλημα σε αυτό της προηγούμενης κατασκευής με το εξής τέχνασμα:

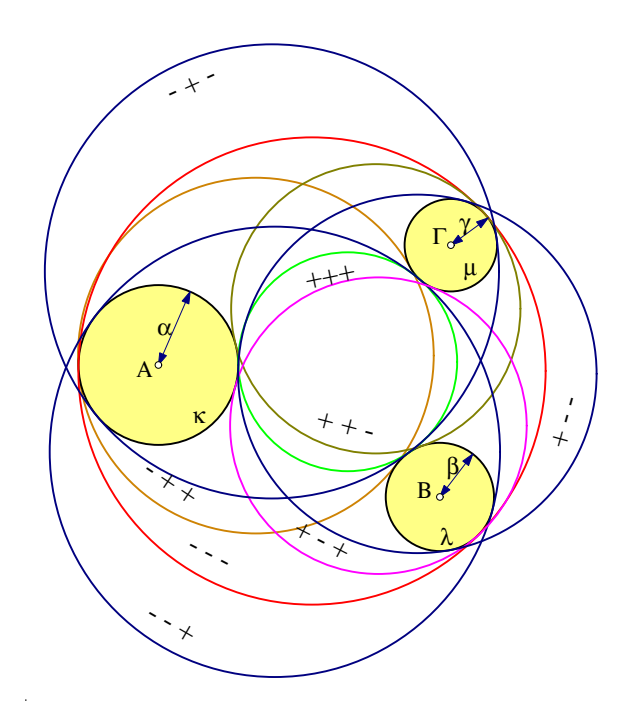
- (1) Αντικαθιστούμε τον μικρότερο κύκλο (μ) με το κέντρο του Γ.
- (2) Αντικαθιστούμε κάθε έναν από τους άλλους δύο κύκλους κ,λ με έναν του ιδίου κέντρου αλλά ακτίνα αντίστοιχα α $\pm \gamma$  και  $\beta \pm \gamma$ .
- (3) Προκύπτουν τότε δύο νέοι κύκλοι κ΄,λ΄ και αντί του ν ευρίσκουμε τον συγκεντρικό του ν΄, που διέρχεται από το  $\Gamma$  και εφάπτεται των κ΄ και λ΄.

Τα σωστά πρόσημα στο (2) προχύπτουν από αυτήν την απαίτηση. Έτσι, στο πρόβλημα του σχήματος 473 αναζητάμε τον ν΄ που διέρχεται από το  $\Gamma$  και εφάπτεται των κ' $(A,\alpha+\gamma)$  και λ' $(B,\beta-\gamma)$ , δήλαδή τους έχει αντίστοιχα στο εσωτερικό του και το εξωτερικό του. Κατά την προηγούμενη κατασκευή υπάρχει ένας ακριβώς τέτοιος κύκλος ν' $(\Delta,\rho)$ , που κατασκευάζεται από τα δεδομένα. Ο ζητούμενος ν θα έχει το ίδιο κέντρο  $\Delta$  με τον κατασκευασθέντα και ακτίνα  $\rho-\alpha$ . Λύνοντας λοιπόν το πρόβλημα γιά κάθε μία από τις οκτώ περιπτώσεις παίρνουμε και την γενική λύση του προβλήματος.

Στις περιπτώσεις που δύο χύχλοι έχουν την ίδια αχτίνα, η λύση απλουστεύεται κάπως καθώς το αρχικό πρόβλημα ανάγεται σε απλούστερες της κατασχευής 5.5.1. Έτσι λ.χ. στην περίπτωση  $\alpha > \beta = \gamma$  η προηγούμενη διαδικασία, στην περίπτωση (-++), ανάγεται στην εύρεση χύχλου ν΄ που εφάπτεται του χ΄ $(A,\alpha+\gamma)$  και διέρχεται από τα δύο σημεία B και  $\Gamma$  (Άσχηση 4.3.6). Ένα άλλο παράδειγμα είναι αυτό που και οι τρεις χύχλοι έχουν την ίδια αχτίνα και τα χέντρα τους είναι συνευθειαχά. Τότε οι λύσεις περιλαμβάνουν δύο ευθείες συμμετρικά χείμενες ως προς την διάχεντρο. Επίσης οι υπόλοιπες λύσεις αποτελούνται από τρία ζεύγη χύχλων συμμετρικά χείμενων ως προς την διάχεντρο των τριών χύχλων. Η εργασία λοιπόν μειώνεται στο μισό (σχήμα 474), ο.ε.χ.



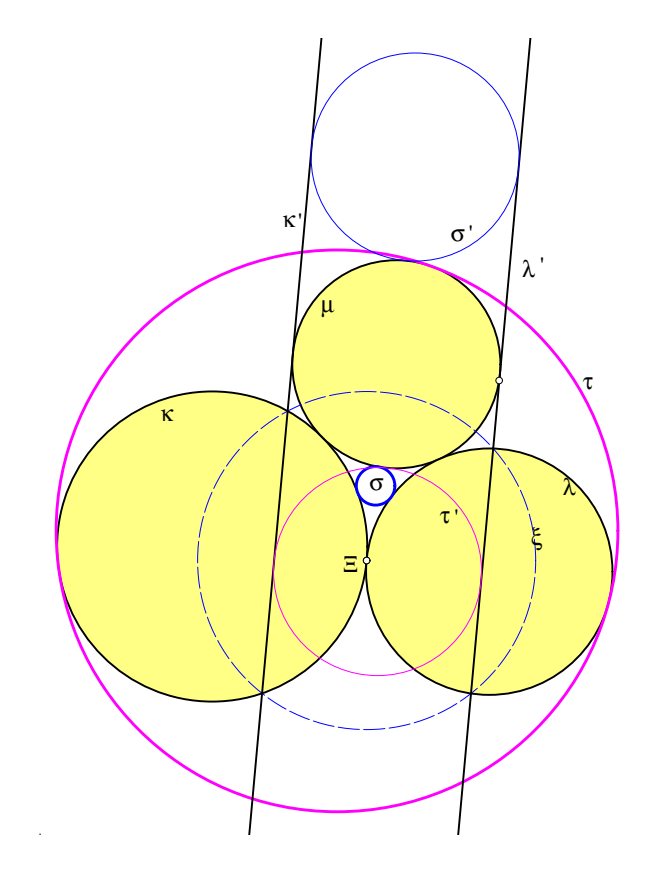
Σχήμα 474: Κύκλοι εφαπτόμενοι τριών ίσων με κοινή διάκεντρο



Σχήμα 475: Οι εφαπτόμενοι των κ,λ,μ και το είδος τους

Σχόλιο-1 Το σχήμα 475 δείχνει τις οχτώ λύσεις γιά τρεις χύχλους εχτός αλλήλων χαι με αχτίνες  $\alpha>\beta>\gamma$ . Σημειώνεται πάνω τους χαι το είδος τους, όπως αυτό περιγράφεται στην προηγούμενη απόδειξη. Σημειώνω ότι η λεπτομερής λύση του προβλήματος του Απολλώνιου γιά όλες τις δυνατές χατηγορίες χαι όλες τις δυνατές υποπεριπτώσεις τους είναι, αν χαι όχι δύσχολη, εν τούτοις επίπονη (μιά χαταλογογράφηση των περιπτώσεων περιέχεται στα [Mui95,  $\sigma$ . 135], [AB83,  $\sigma$ . 97]).

Σχόλιο-2 Η λύση στην τελευταία κατασκευή οφείλεται στον Viete (1540-1603). Υπάρχουν και διάφοροι άλλοι τρόποι λύσης του προβλήματος γεωμετρικοί αλλά και υπολογιστικοί ([Cox68,  $\sigma$ . 5], [GR04,  $\sigma$ . 15]). Σε ορισμένα ειδικά προβλήματα βοηθά ιδιαίτερα η αντιστροφή. Μέσω αυτής το πρόβλημα μετασχηματίζεται σε ένα απλούστερο και αφού βρεθεί η λύση, μέσω της ίδιας αντιστροφής ορίζεται η λύση του αρχικού προβλήματος. Ένα τέτοιο παράδειγμα είναι οι δύο λεγόμενοι Kύκλοι του Soddy τριών εφαπτομένων εξωτερικά κύκλων. Πρόκει-

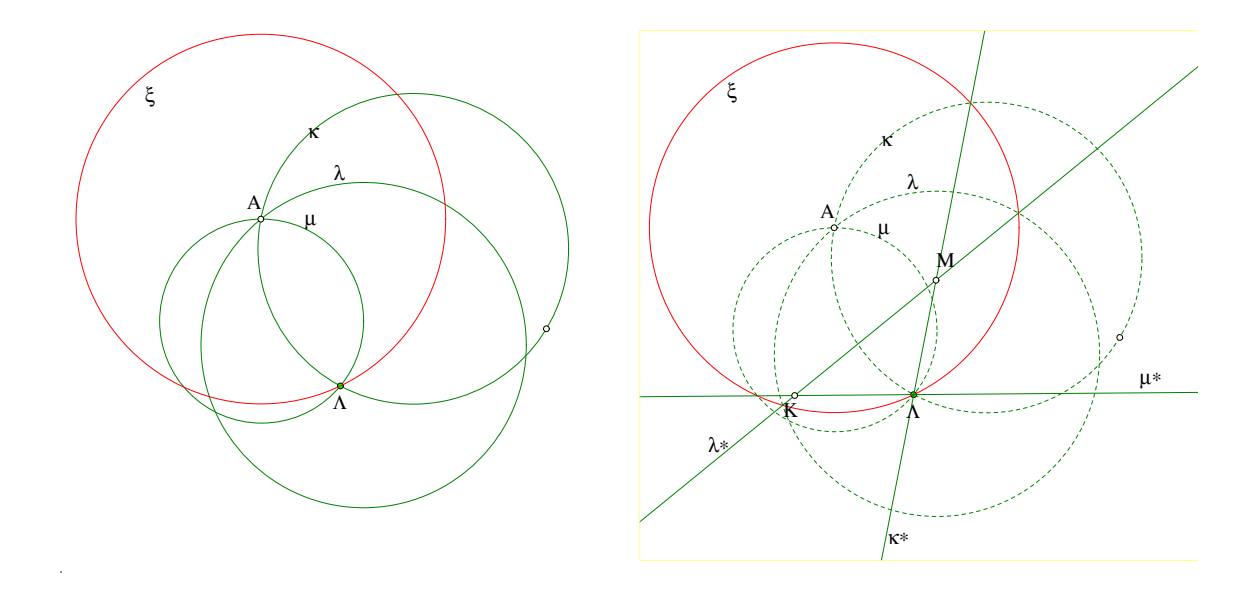


Σχήμα 476: Οι κύκλοι σ,τ του Soddy των κ,λ και μ

ται εδώ γιά τις λύσεις του Απολλωνίου προβλήματος που περιορίζονται σε δύο μόνο. Τον εσωτερικό (σ) και εξωτερικό (τ) κύκλο του Soddy των τριών εφαπτομένων κύκλων κ, λ και μ (σχήμα 476). Το πρόβλημα της κατασκευής των σ και τ ανάγεται σε ένα απλούστερο ([Der07, σ. 191]) μέσω αντιστροφής ως προς ένα κατάλληλο κύκλο ξ(Ξ,ρ). Το κέντρο αυτού του κύκλου λαμβάνεται σε ένα (από τα τρία) σημεία επαφής των δοθέντων κύκλων, λ.χ. το σημείο επαφής των κ και λ. Η ακτίνα ρ του ξ λαμβάνεται έτσι ώστε αυτός να είναι ορθογώνιος προς τον τρίτο από τους δοθέντες κύκλους (μ). Τα αντίστροφα λ΄ και μ΄ των κύκλων κ και λ ως προς ξ είναι τότε δύο παράλληλες ευθείες εφαπτόμενες του μ (Πρόταση 4.8.3), ενώ ο μ είναι αντίστροφος του εαυτού του (Πόρισμα 4.8.1). Τα αντίστροφα σ΄ και τ΄ των ζητουμένων κύκλων πρέπει τότε να είναι κύκλοι εφαπτόμενοι των δύο παραλλήλων ευθειών και του μ (Πρόταση 4.8.5), άρα ίσοι προς αυτόν και εφαπτόμενοι αυτού. Οι σ΄ και τ΄ λοιπόν κατασκευάζονται αμέσως και τα αντίστροφά τους ως προς ξ είναι οι ζητούμενοι κύκλοι σ και τ. Μιά παρόμοια μέθοδος εφαρμόζεται και στην επόμενη ειδική περίπτωση του προβλήματος του Απολλώνιου.

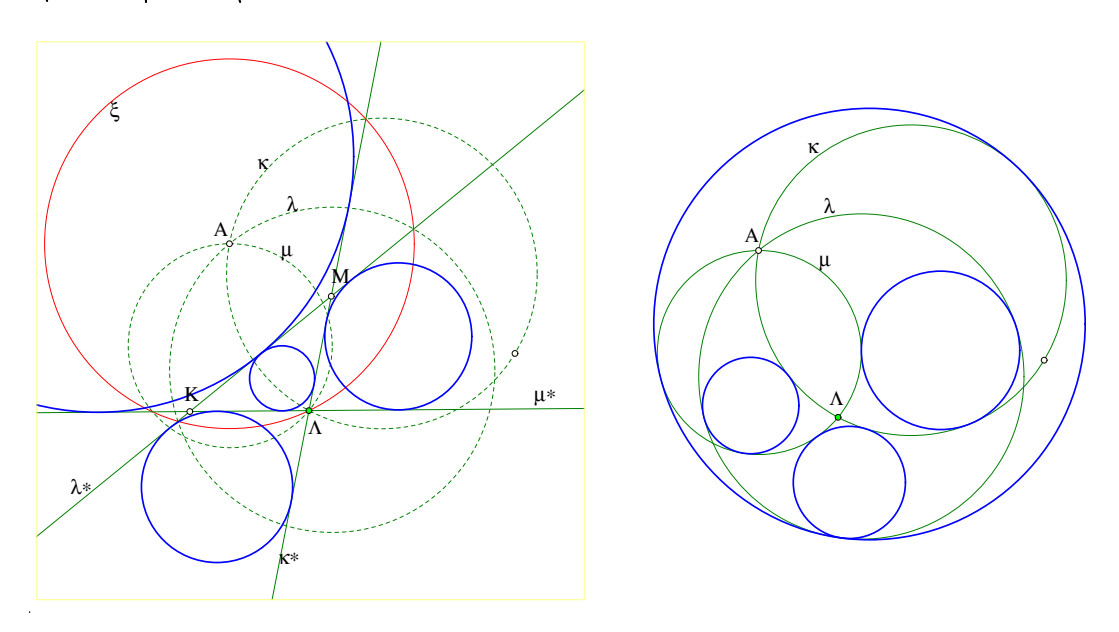
Κατασκευή 5.5.3 Nα κατασκευασθεί κύκλος  $\nu$  ταυτόχρονα εφαπτόμενος τριών δοθέντων κύκλων  $\kappa$ ,  $\lambda$  και  $\mu$ , που διέρχονται από κοινό σημείο A χωρίς  $\nu$ α εφάπτονται σε αυτό.

Κατασκευή: Έστω  $\Lambda$  ένα άλλο σημείο τομής δύο εκ των τριών κύκλων,  $\lambda$ .χ. των κ και μ. Θεωρούμε την αντιστροφή ως προς τον κύκλο  $\xi(A,|A\Lambda|)$ . Τα αντίστροφα των κύκλων κ,  $\lambda$  και μ είναι τρεις ευθείες  $\kappa^*$ ,  $\lambda^*$  και μ\* (Πρόταση 4.8.3), οι δύο εκ των οποίων διέρχονται από το σημείο  $\Lambda$ . Σχηματίζεται λοιπόν τρίγωνο ΚΛΜ και τα αντίστροφα  $\nu^*$  των λύσεων του αρχικού προβλήματος θα είναι κύκλοι εφαπτόμενοι των πλευρών του τριγώνου (Πρόταση 4.8.5), άρα θα συμπίπτουν με τους τέσσερις κύκλους που εφάπτονται των πλευρών του τριγώνου ΚΛΜ



Σχήμα 477: Αντιστροφή ως προς κύκλο με κέντρο Α

(εγγεγραμμένο και τρεις παρεγγεγραμμένους). Συνεπώς οι λύσεις του αρχικού προβλήματος θα είναι τα αντίστροφα ν των ν\* ως προς την ίδια αντιστροφή. Υπάρχουν λοιπόν σε αυτήν την περίπτωση τέσσερις λύσεις.



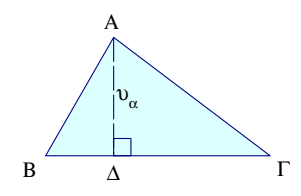
Σχήμα 478: Οι κύκλοι που εφάπτονται των κ, λ και μ

Το σχήμα 478, στο αριστερό μέρος του, δείχνει τους τέσσερις κύκλους που εφάπτονται των πλευρών του τριγώνου  $K\Lambda M$ . Το δεξί μέρος του δείχνει τα αντίστροφα αυτών των τεσσάρων κύκλων, που είναι και οι λύσεις του αρχικού προβλήματος, ο.ε.κ.

Άσκηση 5.5.1  $\Delta$ είξε ότι στην περίπτωση που δύο κύκλοι κ και λ εφάπτονται στο σημείο A και ευθεία  $\varepsilon$  διέρχεται από το A χωρίς να εφάπτεται των δύο κύκλων, υπάρχουν δύο ακριβώς κύκλοι ταυτόχρονα εφαπτόμενοι των κ, λ και  $\varepsilon$ .

#### 5.6 Ο Τύπος του Ήρωνα

Το θεώρημα (ή τύπος) του Ήρωνα (περίπου 10-75 μ.Χ.) εκφράζει το εμβαδόν του τριγώνου συναρτήσει των μηκών των πλευρών του. Με την βοήθεια μιάς άσκησης παραγοντοποίησης μπορεί να προκύψει ως εφαρμογή του τύπου του Stewart (Πρόταση 3.12.1). Παρακάτω δίνω αυτήν την απόδειξη, καθώς και την πολύ κομψότερη που αποδίδεται [Dan55, σ.160] στον ίδιο τον Ήρωνα.



Σχήμα 479: 
$$v_A^2 = \frac{1}{4a^2}(a+b+c)(b+c-a)(c+a-b)(a+b-c)$$

Θεώρημα 5.6.1  $(Tύπος του Hρωνα) Εστω τ = \frac{1}{2}(a+b+c)$  η ημιπερίμετρος του τριγώνου  $AB\Gamma$ , τότε το εμβαδόν του E ισούται με

$$E = \sqrt{\tau(\tau - a)(\tau - b)(\tau - c)}.$$

Aπόδειξη: Εφαρμόζουμε τον τύπο γιά το ύψος  $v_A^2=\frac{1}{4a^2}(a+b+c)(b+c-a)(c+a-b)(a+b-c)$  (Πρόταση 3.12.3), ο οποίος ισχύει ακόμη και γιά αμβλυγώνιο τρίγωνο, αρκεί να πάρουμε το ύψος από την αμβλεία γωνία του (υποθέτοντάς την στο A) ώστε το  $\Delta$  να πέσει εντός του  $B\Gamma$ . Τότε οι παράγοντες που εμφανίζονται στην προηγούμενη πρόταση γράφονται

$$(a+b+c) = 2\tau$$

$$(b+c-a) = (b+c+a-2a) = 2(\tau - a)$$

$$(c+a-b) = (c+a+b-2b) = 2(\tau - b)$$

$$(a+b-c) = (a+b+c-2c) = 2(\tau - c)$$

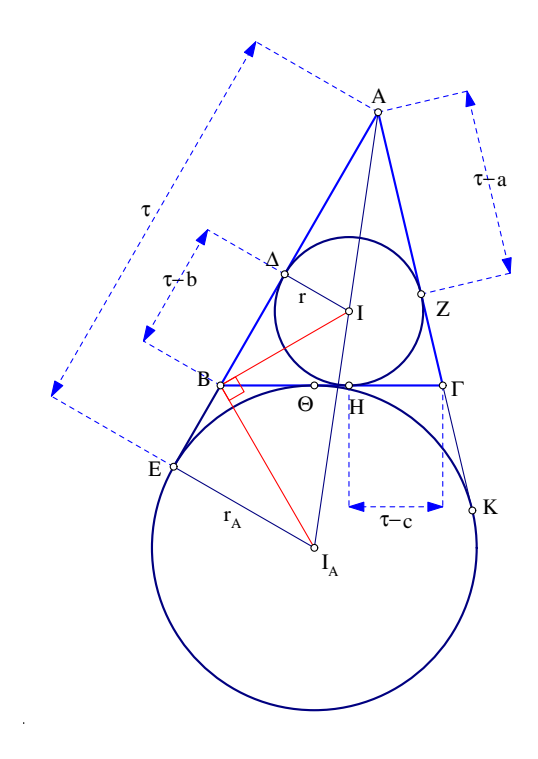
Ο τύπος του Ήρωνα προκύπτει από τον γνωστό τύπο του εμβαδού  $E=\frac{1}{2}v_A\cdot a$ , ο.ε.δ.

Η δεύτερη απόδειξη του τύπου του Ήρωνα περνά μέσα από τον υπολογισμό των ακτίνων του εγγεγραμμένου και παρεγγεγραμμένου κύκλου του τριγώνου (Παράγραφος 5.1).

Πρόταση 5.6.1~H ακτίνα r του εγγεγραμμένου και  $r_A$  του παρεγγεγραμμένου κύκλου του τριγώνου  $AB\Gamma$  δίδεται αντίστοιχα από τους τύπους

$$r^{2} = \frac{(\tau - a)(\tau - b)(\tau - c)}{\tau} \qquad r_{A}^{2} = \frac{\tau(\tau - b)(\tau - c)}{\tau - a}.$$

Aπόδειξη: Το σχήμα είναι γνώριμο. Το συναντήσαμε στην Παράγραφο 5.1. Απεικονίζονται δύο κύκλοι, ο εγγεγραμμένος I(r) και ο παρεγγεγραμμένος  $I_A(r_a)$ . Η απόδειξη χρησιμοποιεί τις σχέσεις της προαναφερθήσης παραγράφου και την ομοιότητα δύο ζευγών τριγώνων. Το

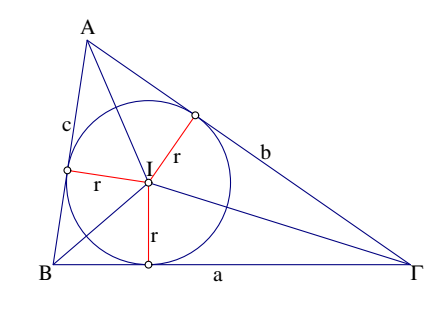


Σχήμα 480:  $r, r_A$  συναρτήσει των πλευρών

πρώτο ζεύγος είναι των τριγώνων  $(A\Delta I, AEI_A)$ . Το δεύτερο ζεύγος είναι το  $(\Delta IB, EBI_A)$ . Και τα δύο ζεύγη αποτελούνται από ορθογώνια και έχουμε:

$$\begin{split} \frac{|\Delta I|}{|EI_A|} &= \frac{|A\Delta|}{|AE|} \iff \frac{r}{r_A} = \frac{\tau - a}{\tau}, \\ \frac{|\Delta I|}{|\Delta B|} &= \frac{|EB|}{|EI_A|} \iff \frac{r}{\tau - b} = \frac{\tau - c}{r_A}. \end{split}$$

Λύνοντας την δεύτερη ως προς  $r_A$  και αντικαθιστώντας στον πρώτο τύπο βρίσκουμε τον τύπο γιά το  $r^2$ . Τετραγωνίζοντας τον πρώτο τύπο και αντικαθιστώντας με το  $r^2$  που βρήκαμε αποδεικνύουμε και τον δεύτερο τύπο, ο.ε.δ.



Σχήμα 481: Η απόδειξη του Ήρωνα

Πρόταση  $5.6.2~Aν~r~\eta~$  ακτίνα του εγγεγραμμένου~ κύκλου και  $τ~\eta~$  ημιπερίμετρος του τριγώνου  $AB\Gamma$ , τότε το εμβαδόν~ του ισούται με

$$\epsilon(AB\Gamma) = \tau r.$$

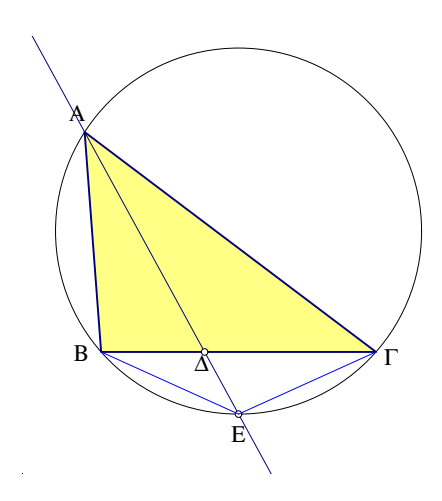
Aπόδειξη: Διά του σχήματος. Αν Ι το έγκεντρο, τότε φέρνοντας τις ΑΙ, ΒΙ και ΓΙ χωρίζουμε το τρίγωνο σε τρία άλλα που έχουν το ίδιο ύψος <math>r και βάσεις τις πλευρές του τριγώνου. Έτσι το εμβαδόν υπολογίζεται

$$\epsilon(AB\Gamma) = \epsilon(ABI) + \epsilon(B\Gamma I) + \epsilon(\Gamma AI) = \frac{1}{2}cr + \frac{1}{2}ar + \frac{1}{2}br = \tau r,$$

ο.ε.δ.

Η δεύτερη απόδειξη του τύπου του Ήρωνα προκύπτει αντικαθιστώντας στον τελευταίο τύπο γιά το εμβαδόν την ακίνα r μέσω του τύπου της Πρότασης 5.6.1.

Άσκηση 5.6.1  $\Delta$ είζε ότι, ευθεία  $A\Delta$  διερχόμενη από την κορυφή τριγώνου  $AB\Gamma$  και τέμνουσα την απέναντι πλευρά στο  $\Delta$  και τον περίκυκλο στο E είναι διχοτόμος της γωνίας  $BA\Gamma$  τότε και μόνον, όταν ισχύει  $|E\Delta||EA|=|EB|^2=|E\Gamma|^2$ .



Σχήμα 482: Σχέση με διχοτόμο

 $\Upsilon$ πόδειξη: Το Ε είναι το μέσον του τόξου  $B\Gamma$  και τα τρίγωνα ABE και  $B\Delta E$  είναι όμοια.

'Ασκηση 5.6.2 Να κατασκευασθεί τρίγωνο από τα στοιχεία του  $\alpha=|BA\Gamma|,\ a=|B\Gamma|$  και  $\delta_A=|A\Delta|,\$ όπου  $A\Delta$  η διχοτόμος της γωνίας A.

Υπόδειξη: Από τα δύο πρώτα στοιχεία κατασκευάζεται ο περίκυκλος του ζητουμένου  $AB\Gamma$  και προσδιορίζεται η θέση των B, $\Gamma$  σε αυτόν. Χρησιμοποιώντας το σχήμα 482, το συμπέρασμα της προηγούμενης άσκησης και θέτοντας x=|EA| έχουμε

$$x(x - \delta_A) = |BE|^2,$$

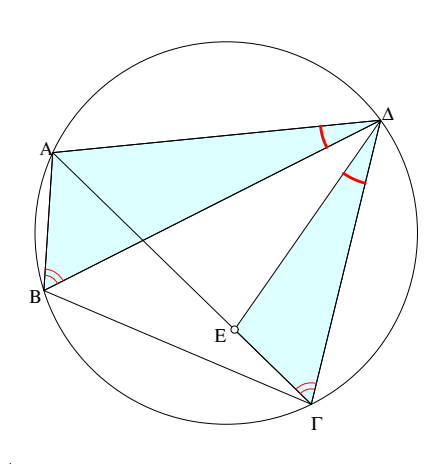
από την οποία προσδιορίζεται το |EA|. Με κέντρο E και ακτίνα |EA| γράφουμε κύκλο που τέμνει τον προηγουμένως κατασκευασθέντα περίχυκλο στο A.

'Ασκηση 5.6.3 Να κατασκευασθεί ορθογώνιο τρίγωνο του οποίου δίδεται το μήκος της υποτείνουσας και το μήκος της διχοτόμου μίας οξείας γωνίας του.

#### 5.7 Θεωρήματα Πτολεμαίου και Brahmagupta

Θεώρημα 5.7.1 (θεώρημα του Πτολεμαίου (85-165 μ.Χ.)) Γιά κάθε κυρτό εγγεγραμμένο σε κύκλο τετράπλευρο ABΓΔ το γινόμενο των διαγωνίων του ισούται με το άθροισμα των γινομένων των απέναντι πλευρών του:

$$|A\Gamma||B\Delta| = |AB||\Gamma\Delta| + |B\Gamma||\Delta A|.$$



Σχήμα 483: Θεώρημα του Πτολεμαίου

Aπόδειξη: Φέρε την  $\Delta E$  έτσι ώστε η γωνία που σχηματίζεται  $|E\Delta\Gamma|=|A\Delta B|$ . Τότε τα τρίγωνα  $\Delta E\Gamma$  και  $\Delta AB$  είναι όμοια ως έχοντα ίσες γωνίες στο  $\Delta$  και στα B,  $\Gamma$  αντίστοιχα. Από την ομοιότητα αυτή προχύπτει ότι

$$\frac{|AB|}{|E\Gamma|} = \frac{|B\Delta|}{|\Delta\Gamma|} \iff |AB||\Delta\Gamma| = |B\Delta||E\Gamma|.$$

Επίσης τα τρίγωνα  $\Delta AE$  και  $\Delta B\Gamma$  είναι όμοια ως έχοντα ίσες γωνίες στο  $\Delta$  και στα A και B αντίστοιχα. Από την ομοιότητα αυτή προκύπτει ότι

$$\frac{|AE|}{|B\Gamma|} = \frac{|A\Delta|}{|B\Delta|} \iff |A\Delta||B\Gamma| = |B\Delta||AE|.$$

Προσθέτοντας τις δύο εξισώσεις κατά μέλη έχουμε το ζητούμενο

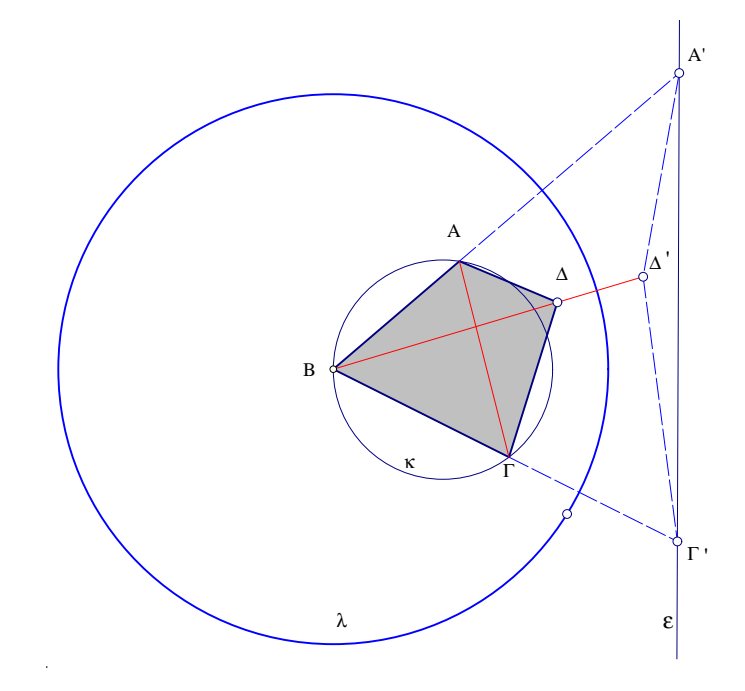
$$|AB||\Delta\Gamma| + |A\Delta||B\Gamma| = |B\Delta||E\Gamma| + |B\Delta||AE| = |B\Delta|(|E\Gamma| + |AE|) = |B\Delta||A\Gamma|,$$

(Απόδειξη οφειλόμενη στον Πτολεμαίο[Dan55, σ. 173].)ο.ε.δ.

Θεώρημα 5.7.2 Γιά κάθε τετράπλευρο  $AB\Gamma\Delta$  ισχύει η ανισότητα

$$|AB||\Gamma\Delta| + |B\Gamma||\Delta A| \ge |A\Gamma||B\Delta|.$$

Η ισότητα ισχύει τότε και μόνον, όταν το τετράπλευρο είναι εγγράψιμο σε κύκλο.



Σχήμα 484: Ανισότητα του Πτολεμαίου

Aπόδειξη: Η απόδειξη αυτού, του γενικότερου του προηγουμένου θεωρήματος, μπορεί να γίνει με μιά εφαρμογή της αντιστροφής ([Cou80,  $\sigma$ . 128], [Ped90,  $\sigma$ . 111]). Με κέντρο μία κορυφή του τετραπλεύρου, έστω την B, γράφουμε κύκλο  $\lambda(B,\rho)$ , που περικλείει όλο το τετράπλευρο στο εσωτερικό του. Θεωρούμε κατόπιν τον κύκλο κ που διέρχεται από το B και τις δύο γειτονικές κορυφές A και  $\Gamma$ . Θεωρούμε επίσης το αντίστροφο του κ ως προς τον  $\lambda$ , που είναι μία ευθεία ε (Πρόταση 4.8.3). Τα αντίστροφα των A,  $\Gamma$  και  $\Delta$  είναι τα σημεία A',  $\Gamma'$  και  $\Delta'$ . Εκ των οποίων τα δύο πρώτα είναι στην ευθεία ε, ενώ το τρίτο  $\Delta'$  είναι τότε και μόνο τότε στην ευθεία ε, όταν το  $\Delta$  είναι επί του κύκλου κ, δηλαδή το  $AB\Gamma\Delta$  είναι εγγράψιμο. Ισχύει λοιπόν η τριγωνική ανισότητα

$$|A'\Delta'| + |\Delta'\Gamma'| \ge |A'\Gamma'|,$$

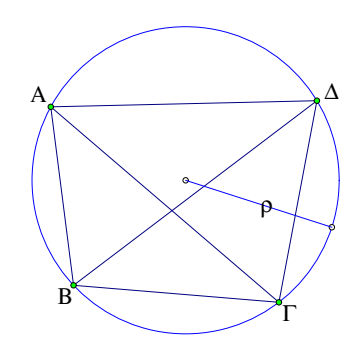
όπου η ισότητα ισχύει τότε ακριβώς, όταν το  $AB\Gamma\Delta$  είναι εγγράψιμο. Η τελευταία ανισότητα όμως, βάσει της Άσκησης 4.8.3 είναι ισοδύναμη με την

$$|A\Delta| \cdot \frac{\rho^2}{|BA||B\Delta|} + |\Delta\Gamma| \cdot \frac{\rho^2}{|B\Delta||B\Gamma|} \ge |A\Gamma| \cdot \frac{\rho^2}{|BA||B\Gamma|},$$

η οποία απλοποιείται στην προς απόδειξη ανισότητα, ο.ε.δ.

Θεώρημα 5.7.3 Γιά κάθε κυρτό εγγεγραμμένο σε κύκλο τετράπλευρο  $AB\Gamma\Delta$  ο λόγος των διαγωνίων του ισούται με

$$\frac{|A\Gamma|}{|B\Delta|} = \frac{|AB||\Delta A| + |B\Gamma||\Gamma\Delta|}{|AB||B\Gamma| + |\Gamma\Delta||\Delta A|}.$$



Σχήμα 485: Λόγος μηκών διαγωνίων εγγγεγραμμένου

Απόδειξη: Η απόδειξη προκύπτει εφαρμόζοντας τον τύπο του Πορίσματος <math>3.11.1 στα τέσσερα τρίγωνα που δημιουργούνται από τις διαγώνιες.

$$\epsilon(AB\Gamma) = \frac{|AB||B\Gamma||\Gamma A|}{4\rho},$$

$$\epsilon(A\Gamma\Delta) = \frac{|A\Gamma||\Gamma\Delta||\Delta A|}{4\rho},$$

$$\epsilon(AB\Delta) = \frac{|AB||B\Delta||\Delta A|}{4\rho},$$

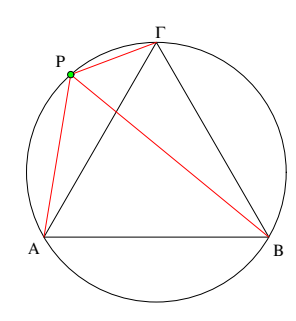
$$\epsilon(B\Gamma\Delta) = \frac{|B\Gamma||\Gamma\Delta||\Delta B|}{4\rho}.$$

Χρησιμοποιώντας αυτούς τους τύπους στην προφανή ισότητα

$$\epsilon(AB\Gamma) + \epsilon(A\Gamma\Delta) = \epsilon(AB\Delta) + \epsilon(B\Gamma\Delta)$$

και απλοποιώντας, παίρνουμε το ζητούμενο, ο.ε.δ.

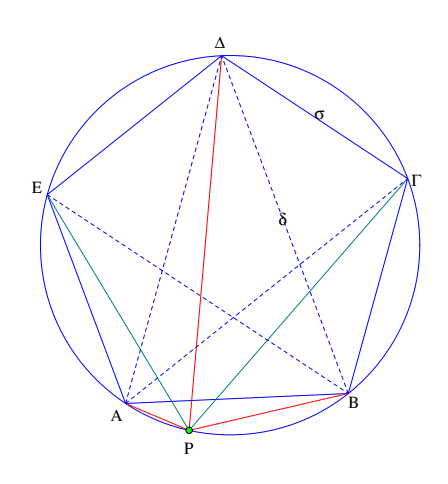
Σχόλιο-2 Και αυτή η πρόταση εκφράζει μιά χαρακτηριστική ιδιότητα του εγγεγραμμένου σε κύκλο τετραπλεύρου, δηλαδή και αντίστροφα αποδεικνύεται ότι, αν ισχύει η σχέση της πρότασης, τότε το τετράπλευρο εγγράφεται σε κύκλο ([Καν76, σελ. 189]).



Σχήμα 486: Ιδιότητα ισοπλεύρου

Άσκηση 5.7.1  $\Delta$ είξε ότι γιά κάθε σημείο P του περιγεγραμμένου κύκλου του ισοπλεύρου τριγώνου  $AB\Gamma$  το μεγαλύτερο από τα ευθύγραμμα τμήματα PA, PB και  $P\Gamma$  είναι άθροισμα των δύο άλλων.

Υπόδειξη: Υπόθεσε ότι το PB είναι το μεγαλύτερο τμήμα από τα τρία και εφάρμοσε το θεώρημα του Πτολεμαίου στο τετράπλευρο  $AB\Gamma P: |A\Gamma||PB| = |P\Gamma||AB| + |PA||B\Gamma|$ , που λόγω της ισότητας των πλευρών απλοποιείται και δίδει τον ζητούμενο τύπο.



Σχήμα 487: Ιδιότητα κανονικού πενταγώνου

'Ασκηση 5.7.2  $\Delta \epsilon$ ίξ $\epsilon$  ότι γιά κάθ $\epsilon$  σημ $\epsilon$ ίο P του τόξου AB του π $\epsilon$ ριγ $\epsilon$ γραμμ $\epsilon$ νου κύκλου του κανονικού π $\epsilon$ νταγώνου  $AB\Gamma\Delta E$  ισχύ $\epsilon$ ι

$$|PA| + |PB| + |P\Delta| = |P\Gamma| + |PE|.$$

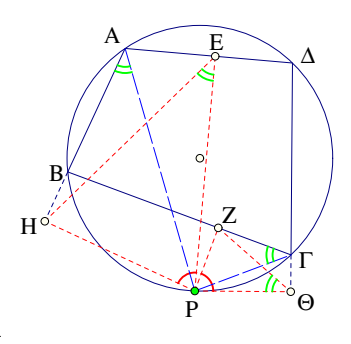
Υπόδειξη: Έστω  $\sigma$  και δ τα μήκη πλευράς και διαγωνίου του πενταγώνου. Εφάρμοσε το θεώρημα του Πτολεμαίου στα τρία τετράπλευρα  $APB\Delta$ ,  $PE\Delta\Gamma$  και  $AB\Gamma E$ :

$$\begin{split} \sigma|P\Delta| &= \delta|PA| + \delta|PB| \ \Rightarrow \ |PA| + |PB| = \frac{\sigma}{\delta}|P\Delta|, \\ \delta|P\Delta| &= \sigma|PE| + \sigma|P\Gamma| \ \Rightarrow \ |PE| + |P\Gamma| = \frac{\delta}{\sigma}|P\Delta|, \\ \delta^2 &= \sigma\delta + \sigma^2 \ \Rightarrow \ \frac{\delta}{\sigma} = 1 + \frac{\sigma}{\delta}. \end{split}$$

Το ζητούμενο προχύπτει συνδυάζοντας τις τρεις τελευταίες εξισώσεις [Eve63, σ. 42].

Άσκηση 5.7.3 Eστω τετράπλευρο  $AB\Gamma\Delta$  εγγεγραμμένο σε κύκλο κ.  $\Delta$ είξε ότι γιά τυχόν σημείο P του κ το γινόμενο των αποστάσεών του από τις δύο απέναντι πλευρές του τετραπλεύρου ισούται με αυτό των δύο άλλων απέναντι πλευρών  $(|PE||PZ| = |PH||P\Theta|)$ .

Υπόδειξη: Τα τρίγωνα PEH και PΘΖ είναι όμοια, διότι έχουν τις γωνίες EPH και ΘΡΖ ίσες και τις PEH και PΘΖ επίσης ίσες. Συνεπώς έχουν ανάλογες πλευρές:  $\frac{|PE|}{|PH|} = \frac{|P\Theta|}{|PZ|}$ .

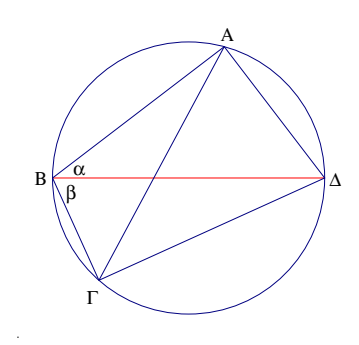


Σχήμα 488: Ιδιότητα εγγεγραμμένου τετραπλεύρου

 ${}'$  ${f A}$ σκηση  ${f 5.7.4}$   $\Delta \epsilon$ ίξ $\epsilon$  τον τύπο του ημιτόνου γιά το άθροισμα οξ $\epsilon$ ιών γωνιών α και f eta

$$\eta\mu(\alpha+\beta) = \eta\mu(\alpha)\operatorname{sun}(\beta) + \eta\mu(\beta)\operatorname{sun}(\alpha),$$

χρησιμοποιώντας το θεώρημα του Πτολεμαίου.



Σχήμα 489: Το ημίτονο του αθροίσματος γωνιών

 $\Upsilon$ πόδειξη: Σχημάτισε τις γωνίες α και β εκατέρωθεν μιάς διαμέτρου  $B\Delta$  του κύκλου κ με αυθαίρετη ακτίνα ρ. Οι δεύτερες πλευρές τους τέμνουν τον κύκλο σε σημεία A και  $\Gamma$  σχηματίζοντας το εγγεγραμμένο κυρτό τετράπλευρο  $AB\Gamma\Delta$ . Από τον τύπο του ημιτόνου έχουμε

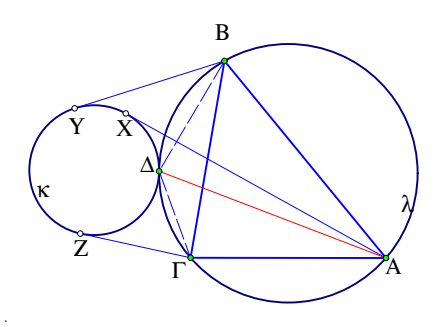
$$\frac{|A\Gamma|}{\eta\mu(\alpha+\beta)} = |B\Delta| \implies |A\Gamma||B\Delta| = |B\Delta|^2 \, \eta\mu(\alpha+\beta).$$

Από τα ορθογώνια τρίγωνα ΑΒΔ και ΒΓΔ έχουμε

$$\begin{split} |B\Gamma||A\Delta| &= (|B\Delta|\operatorname{sun}(\beta))(|B\Delta|\operatorname{sum}(\alpha)) = |B\Delta|^2\operatorname{sun}(\alpha)\operatorname{sun}(\beta) \\ |AB||\Gamma\Delta| &= (|B\Delta|\operatorname{sun}(\alpha))(|B\Delta|\operatorname{sun}(\beta)) = |B\Delta|^2\operatorname{sun}(\alpha)\operatorname{sun}(\beta). \end{split}$$

Από το θεώρημα του Πτολεμαίου (Παράγραφος 5.7)  $|A\Gamma||B\Delta|=|AB||\Gamma\Delta|+|B\Gamma||A\Delta|$  προχύπτει το ζητούμενο.

Πρόταση 5.7.1 Aπό τις κορυφές τριγώνου  $AB\Gamma$  άγονται εφαπτόμενες AX, BY,  $\Gamma Z$  προς κύκλο κ. Εάν ένα από τα γινόμενα  $|AX||B\Gamma|, |BY||\Gamma A|, |\Gamma Z||AB|$  ισούται με το άθροισμα των δύο άλλων τότε ο κύκλος κ εφάπτεται του περικύκλου λ του  $AB\Gamma$ .



Σχήμα 490: Κριτήριο εφαπτομενικότητας

Aπόδειξη: ([Lac93, σ. 206]) Aς υποθέσουμε ότι ισχύει

$$|AX||B\Gamma| = |BY||\Gamma A| + |\Gamma Z||AB|.$$

Όρισε επί του τόξου  ${\rm B}\Gamma$  το σημείο  ${\Delta}$ , έτσι ώστε

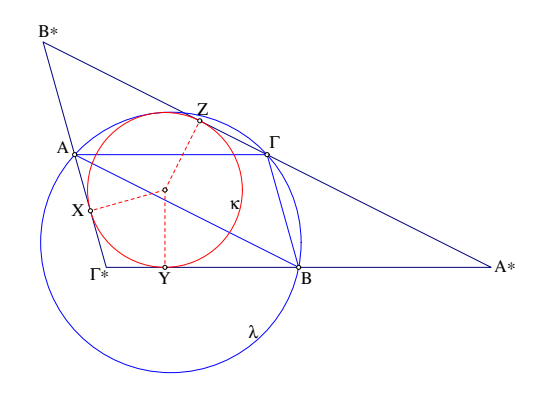
$$\frac{|\Delta\Gamma|}{|\Delta B|} = \frac{|\Gamma Z|}{|BY|} \quad \Rightarrow \quad \frac{|BY|}{|B\Delta|} = \frac{|\Gamma Z|}{|\Gamma \Delta|} = \xi.$$

Από την υποτιθέμενη σχέση και το θεώρημα του Πτολεμαίου προκύπτει τότε ότι

$$\begin{split} |AX||B\Gamma| &= \xi |B\Delta||\Gamma A| + \xi |\Gamma\Delta||AB| = \xi (|B\Delta||\Gamma A| + |\Gamma\Delta||AB|) \\ &= \xi \cdot |B\Gamma||A\Delta| \quad \Rightarrow \quad \frac{|AX|}{|A\Delta|} = \frac{|BY|}{|B\Delta|} = \frac{|\Gamma Z|}{|\Gamma\Delta|}. \end{split}$$

Το συμπέρασμα προκύπτει από το Πόρισμα 4.5.6, κατά το οποίο, όταν ισχύουν οι τελευταίες σχέσεις, τότε ο  $\lambda$  ανήκει στην δέσμη που περιέχει τον κύκλο κ και το οριακό σημείο  $\Delta$ . Επειδή το  $\Delta$  ανήκει στον  $\lambda$ , η δέσμη είναι εφαπτόμενη και οι δύο κύκλοι εφάπτονται στο  $\Delta$ , ο.ε.δ.

'Ασχηση 5.7.5 (Θεώρημα του Feuerbach) Χρησιμοποιώντας την προηγούμενη πρόταση, δείξε ότι ο κύκλος του Euler ενός τριγώνου εφάπτεται του εγγεγραμμένου καθώς και των παρεγγεγραμμένων κύκλων του.



Σχήμα 491: Feuerbach μέσω δεσμών και Πτολεμαίου

Υπόδειξη: Πρόχειται εδώ γιά μιά απόδειξη του θεωρήματος του Feuerbach (5.3.1), που φανερώνει, νομίζω, χάπως χαλύτερα την δομή του. Έστω  $A^*B^*\Gamma^*$  το τρίγωνο,  $AB\Gamma$  το τρίγωνο των μέσων των πλευρών του, χ ο εγγεγραμμένος του  $A^*B^*\Gamma^*$  χαι λ ο χύχλος του Euler του  $A^*B^*\Gamma^*$ , που συμπίπτει με τον περιγεγραμμένο του  $AB\Gamma$ . Εάν X, Y χαι Z είναι τα σημεία επαφής του εγγεγραμμένου με τις πλευρές του  $A^*B^*\Gamma^*$ , τότε ισχύει (Πρόταση 5.1.4)

$$|AX| = \frac{1}{2}|c-b|, \ |BY| = \frac{1}{2}|a-c|, \ |\Gamma Z| = \frac{1}{2}|b-a|,$$

όπου  $a=|B^*\Gamma^*|, b=|\Gamma^*A^*|, c=|A^*B^*|$  τα μήκη των πλευρών του  $A^*B^*\Gamma^*$ . Προκύπτει

$$|AX||B\Gamma| = \frac{1}{4}|c - b|a, \ |BY||\Gamma A| = \frac{1}{4}|a - c|b, \ |\Gamma Z||AB| = \frac{1}{4}|b - a|c.$$

Λαμβάνοντας υπόψη την διάταξη των μηκών των πλευρών, ώστε να απαλλαγούμε από τις απόλυτες τιμές, λ.χ. όπως στο σχήμα 491, στο οποίο a < b < c, διαπιστώνουμε ότι

$$|BY||\Gamma A| = |AX||B\Gamma| + |\Gamma Z||AB| \quad \Leftrightarrow \quad (c-a)b = (c-b)a + (b-a)c.$$

Εφαρμόζοντας την Πρόταση 5.7.1 βλέπουμε ότι ο χύκλος λ του Euler του  $A^*B^*\Gamma^*$ , εφάπτεται του εγγεγραμμένου κ του  $A^*B^*\Gamma^*$ . Ανάλογη είναι η απόδειξη και γιά τους παρεγγεγραμμένους κύκλους του  $A^*B^*\Gamma^*$ .

Θεώρημα 5.7.4 (Θεώρημα του Brahmagupta 598-668) Έστω τετράπλευρο  $AB\Gamma\Delta$ , εγγράψιμο σε κύκλο, με μήκη διαδοχικών πλευρών  $a=|AB|,\ b=|B\Gamma|,\ c=|\Gamma\Delta|,\ d=|\Delta A|$  και περίμετρο  $2\tau=a+b+c+d$ . Τότε το εμβαδόν του δίδεται από τον τύπο

$$\epsilon(AB\Gamma\Delta) = \sqrt{(\tau - a)(\tau - b)(\tau - c)(\tau - d)}.$$

Aπόδειξη: Κατά την Άσκηση 3.6.11, το εμβαδόν τετραπλεύρου δίδεται από τον τύπο

$$\epsilon(AB\Gamma\Delta) = \frac{1}{4}\sqrt{4x^2y^2 - (a^2 + c^2 - b^2 - d^2)^2},$$

όπου  $x=|A\Gamma|,y=|B\Delta|$  τα μήκη των διαγωνίων, τα οποία ικανοποιούν επίσης (Θεώρημα 5.7.1) την

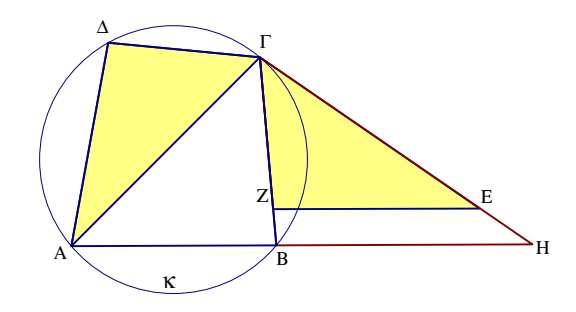
$$xy = ac + bd$$
.

Αντικαθιστώντας το xy στην προτελευταία ισότητα και παραγοντοποιώντας βρίσκουμε τον ζητούμενο τύπο, ο.ε.δ.

**Σχόλιο-3** Σημείωσε ότι βάζοντας a=0 στον προηγούμενο τύπο, παίρνουμε τον τύπο τού Ήρωνα γιά το εμβαδόν τριγώνου (Θεώρημα 5.6.1).

'Ασχηση 5.7.6 Να κατασκευασθεί τετράπλευρο του οποίου δίδονται τα μήκη των τεσσάρων πλευρών καθώς και το μήκος του ευθυγράμμου τμήματος που ενώνει τα μέσα δύο απέναντι πλευρών του.

'Ασκηση 5.7.7 Να κατασκευασθεί τετράπλευρο του οποίου δίδονται τα μέτρα δύο απέναντι γωνιών του, τα μήκη των διαγωνίων του και το μέτρο της γωνίας τους.



Σχήμα 492: Κατασχευή εγγραψίμου τετραπλεύρου

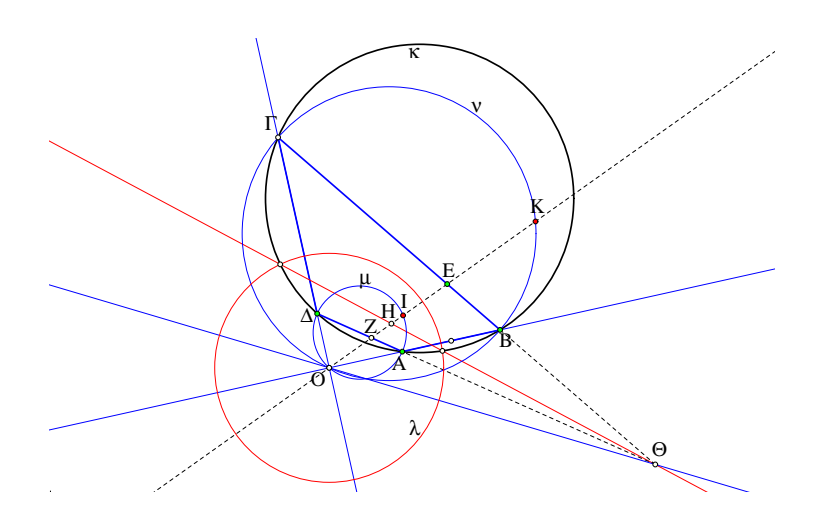
'Ασκηση 5.7.8 Να κατασκευασθεί τετράπλευρο εγγράψιμο σε κύκλο του οποίου δίδονται τα μήκη των τεσσάρων πλευρών.

Υπόδειξη: Έστω ότι κατασκευάσθηκε το ζητούμενο τετράπλευρο. Στην πλευρά  $B\Gamma$  κατασκεύασε τρίγωνο  $\Gamma ZE$  ίσο του  $\Gamma \Delta A$  και προέκτεινε την  $\Gamma E$  μέχρι την τομή της H με την AB. Το μήκος |BH| καθώς και ο λόγος  $\lambda = \frac{|\Gamma A|}{|\Gamma H|}$  προσδιορίζονται από τα δεδομένα μέσω των ομοίων τριγώνων  $\Gamma ZE$  και  $\Gamma BH$ :

$$\frac{|BH|}{|ZE|} = \frac{|\Gamma Z|}{|\Gamma B|} \ \Rightarrow \ |BH| = |ZE| \frac{|\Gamma Z|}{|\Gamma B|} = |A\Delta| \frac{|\Gamma \Delta|}{|\Gamma B|}, \quad \lambda = \frac{|\Gamma A|}{|\Gamma H|} = \frac{|\Gamma E|}{|\Gamma H|} = \frac{|\Gamma Z|}{|\Gamma B|}.$$

Κατόπιν το  $\Gamma$  προσδιορίζεται ως τομή του κύκλου με κέντρο B και ακτίνα  $|B\Gamma|$  και του Απολλώνιου κύκλου του τμήματος AH ως προς τον λόγο  $\lambda$ . Από τα A,B και  $\Gamma$  προσδιορίζεται ο περιγεγραμμένος κύκλος κ του τετραπλεύρου και κατόπιν η κορυφή  $\Delta$  επ' αυτού.

Άσκηση 5.7.9 Να εγγραφεί σε δοθέντα κύκλο κ τετράπλευρο  $AB\Gamma\Delta$  του οποίου οι απέναντι πλευρές AB και  $\Gamma\Delta$  τέμνονται κάθετα σε γνωστό σημείο O και η πλευρά  $B\Gamma$  διέρχεται από γνωστό σημείο E.

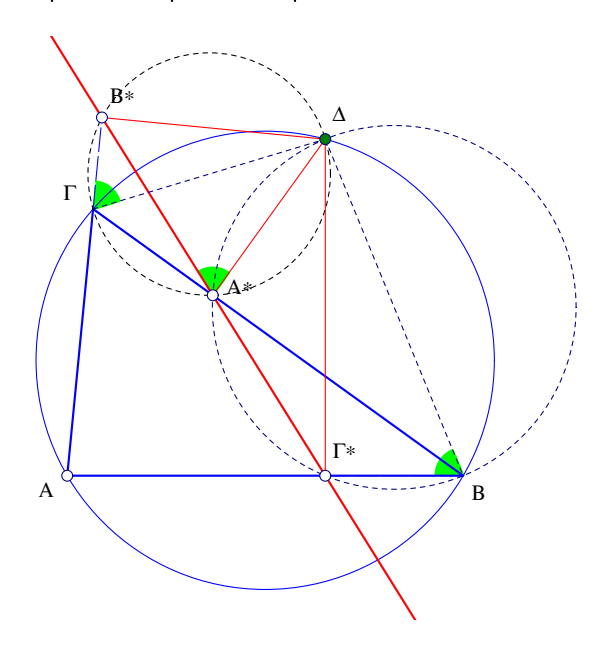


Σχήμα 493: Κατασκευή εγγραψίμου τετραπλεύρου

 $\Upsilon$ πόδειξη: Τα A,B και  $\Gamma,\Delta$  είναι ζεύγη αντιστρόφων σημείων ως προς τον κύκλο  $\lambda$  με κέντρο O και ορθογώνιο στον  $\kappa$ . Το αντίστροφο I του σημείου E, ως προς  $\lambda$ , κατασκευάζεται και ο κύκλος με διάμετρο  $\Delta A$  (το κέντρο του) προσδιορίζεται από τα δεδομένα, ως τομή της μεσοκαθέτου του OI και του κύκλου της Aσκησης A0.8.

#### 5.8 Η ευθεία του Simson

Η ευθεία του Simson (1687-1768) ανακαλύφθηκε στην πραγματικότητα από τον Wallace (1768-1843)  $([Joh16, \sigma.61])$ , γι' αυτό και συχνά αναφέρεται ως ευθεία των Wallace-Simson. Αφορά σε μιά ιδιότητα των σημείων του περιγεγραμμένου κύκλου του τριγώνου και τις προβολές του στις τρεις πλευρές του τριγώνου.



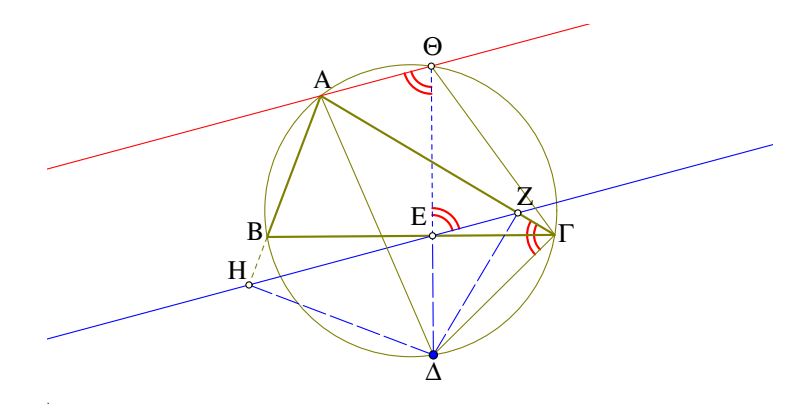
Σχήμα 494: Η ευθεία Wallace – Simson

**Πρόταση 5.8.1** Γιά κάθε σημείο  $\Delta$  του περικύκλου τριγώνου  $AB\Gamma$  οι προβολές του  $A^*$ ,  $B^*$ ,  $\Gamma^*$  στις πλευρές του τριγώνου περιέχονται σε μία ευθεία.

Aπόδειξη: Η ιδέα της απόδειξης είναι να χρησιμοποιήσουμε τρία από τα εγγεγραμμένα τετράπλευρα που δημιουργούνται από το  $\Delta:$  Το  $AB\Delta\Gamma$  και δύο από τα  $\Delta A*\Gamma B*$ ,  $\Delta B\Gamma*A*$ ,  $\Delta B*A\Gamma*$ , ανάλογα με την θέση του  $\Delta$  στα τόξα  $B\Gamma$ ,  $\Gamma A$  και AB. Στην περίπτωση που το  $\Delta$  είναι στο τόξο  $B\Gamma$  χρησιμοποιούμε τα  $\Delta B*\Gamma A*$  και  $\Delta A*\Gamma*B$ . Με την βοήθειά τους δείχνουμε ότι οι γωνίες  $B*A*\Delta$  και  $\Delta A*\Gamma*$  είναι παραπληρωματικές, άρα τα τρία σημεία A\*, B\* και  $\Gamma*$  είναι σε ευθεία. Το  $AB\Delta\Gamma$  είναι εγγράψιμο εξ ορισμού. Τα άλλα δύο διότι το μεν  $\Delta A*\Gamma B*$  έχει δύο απέναντι γωνίες ορθές (στα A\*, B\*), το δε  $\Delta B\Gamma*A*$  διότι δύο διαδοχικές κορυφές του  $(A*,\Gamma*)$  βλέπουν μία πλευρά του  $(\Delta B)$  υπό ορθή γωνία. Από το εγγράψιμο  $\Delta A*\Gamma B*$  προχύπτει ότι η  $\Delta A*B*$  είναι ίση με την  $\Delta \Gamma B*$ . Από το εγγράψιμο  $\Delta B\Gamma*A*$  προχύπτει ότι η  $\Delta A*\Gamma*$  είναι παραπληρωματική της  $\Delta B\Gamma*$ . Τέλος από το εγγράψιμο  $\Delta B\Gamma$  προχύπτει ότι η  $\Delta B\Gamma*$  είναι ίση με την  $\Delta \Gamma B*$ . Ανάλογη είναι η απόδειξη και στις άλλες περιπτώσεις, όπου το  $\Delta$  είναι στα τόξα  $\Gamma A$  και  $\Delta B$ , ο.ε.δ.

Άσκηση 5.8.1 Έστω  $\Delta$  σημείο σημείο του περικύκλου του τριγώνου  $AB\Gamma$  και E η προβολή του επί της  $B\Gamma$ . Έστω επίσης  $\Theta$  το δεύτερο σημείο τομής της  $\Delta E$  με τον περίκυκλο.  $\Delta$ είξε ότι η ευθεία  $A\Theta$  είναι παράλληλη της ευθείας του Simson του σημείου  $\Delta$ .

Υπόδειξη: Το τετράπλευρο  $A\Delta\Gamma\Theta$  είναι εγγράψιμο, άρα  $|A\Theta\Delta|=|A\Gamma\Delta|$ . Το τετράπλευρο  $\Delta EZ\Gamma$ , όπου Z η προβολή του  $\Delta$  στην  $A\Gamma$ , είναι επίσης εγγράψιμο, άρα  $|Z\Gamma\Delta|=|\Theta EZ|$ . Συνεπώς οι ευθείες  $A\Theta$  και EZ σχηματίζουν με την  $\Theta E$  εντός και εναλλάξ ίσες γωνίες.

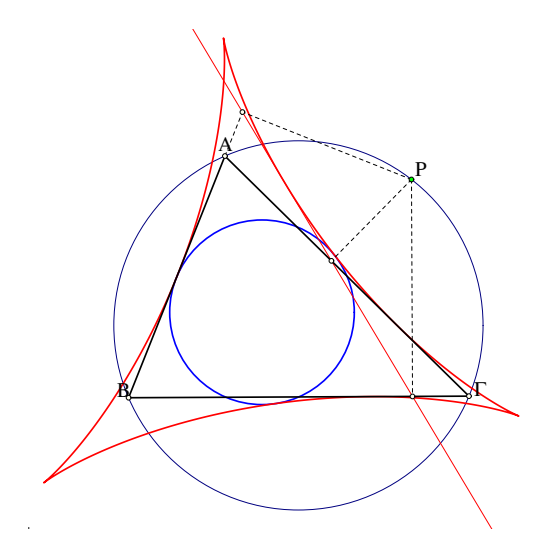


Σχήμα 495: Η κατεύθυνση της ευθείας Simson

Άσκηση 5.8.2 Να βρεθεί σημείο  $\Delta$  του περικύκλου τριγώνου  $AB\Gamma$ , του οποίου η αντίστοιχη ευθεία του Simson να έχει δοθείσα κατεύθυνση.

Υπόδειξη: Βάσει της προηγούμενης άσκησης (σχήμα 495) φέρε από το A παράλληλο προς την δοθείσα κατεύθυνση που τέμνει τον περίκυκλο στο σημείο  $\Theta$ . Από το  $\Theta$  φέρε κάθετο στην  $B\Gamma$  που τέμνει τον περίκυκλο στο  $\Delta$ . Το  $\Delta$  είναι το ζητούμενο σημείο.

Άσκηση 5.8.3 Να βρεθούν οι θέσεις της ευθείας του Simson γιά ειδικά σημεία του περικύκλου του τριγώνου  $AB\Gamma$ , όπως: (a) οι κορυφές του τριγώνου, (β) οι τομές των υψών με τον περίκυκλο, (γ) οι τομές των διχοτόμων με τον περίκυκλο, (δ) τα αντιδιαμετρικά σημεία των προηγουμένων.

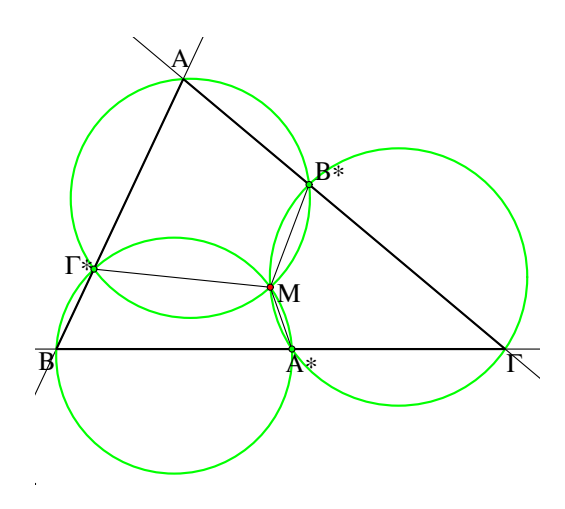


Σχήμα 496: Δελτοειδές, περιβάλλουσα των ευθειών Simson

Σχόλιο Είναι αξιοσημείωτο πως από απλά φαινόμενα οδηγούμεθα, σχετικά γρήγορα, σε πιό πολύπλοκες δομές. Μιά τέτοια περίπτωση παρουσιάζεται με το Δελτοειδές που είναι μιά καμπύλη στενά συνδεδεμένη με τις ευθείες Simson (σχήμα 496). Η καμπύλη αυτή χαρακτηρίζεται από το ότι έχει ως εφαπτόμενές της όλες τις ευθείες Simson ενός τριγώνου (τις αντίστοιχες ευθείες γιά όλα τα σημεία του περιγεγραμμένου κύκλου του τριγώνου). Ο κύκλος του Euler είναι επίσης εφαπτόμενος αυτής της καμπύλης [Doe65,  $\sigma$ . 226], [Ste71,  $\sigma$ . 641 (II)].

## 5.9 Σημεία του Miquel

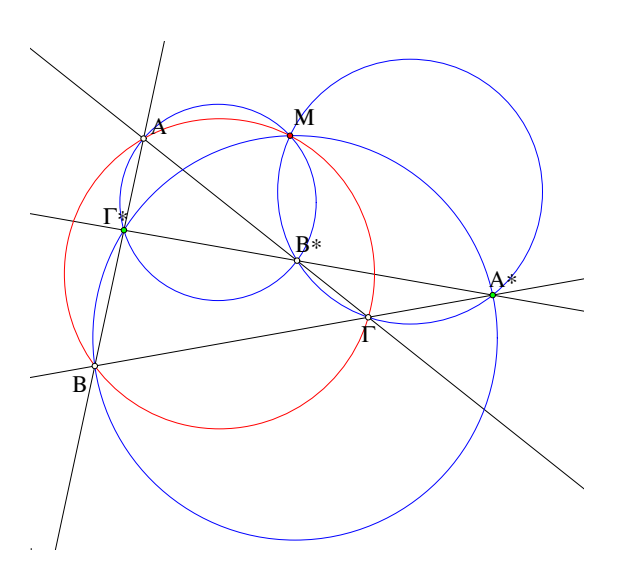
Πρόταση 5.9.1 (Σημεία του Miquel) Γιά οποιαδήποτε σημεία  $B^*$ ,  $A^*$ ,  $\Gamma^*$  αντίστοιχα στις πλευρές AB,  $B\Gamma$  και  $\Gamma A$  του τριγώνου  $AB\Gamma$  ή τις προεκτάσεις αυτών οι τρεις κύκλοι  $(AB^*\Gamma^*)$ ,  $(B\Gamma^*A^*)$ ,  $(\Gamma A^*B^*)$  τέμνονται σε ένα σημείο M.Miquel



Σχήμα 497: Σημείο Miquel του τριγώνου ΑΒΓ ως προς Α\*,Β\*,Γ\*

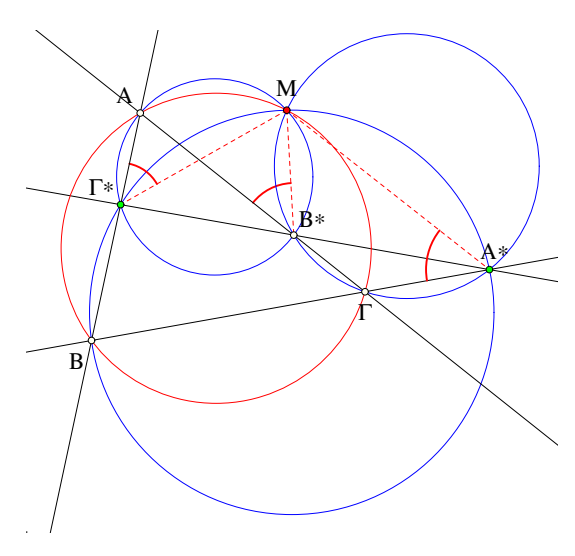
Aπόδειξη: Έστω M το σημείο τομής των δύο πρώτων κύκλων  $(AB^*\Gamma^*)$  και  $(B\Gamma^*A^*)$  που είναι διαφορετικό του  $\Gamma^*$ . Τα τετράπλευρα που σχηματίζονται:  $AB^*M\Gamma^*$  και  $BA^*M\Gamma^*$ , είναι εγγράψιμα και οι γωνίες τους στο M είναι αντίστοιχα 180-α και 180-β. Άρα η γωνία  $A^*MB^*$  θα είναι  $360-((180-\alpha)+(180-\beta))=\alpha+\beta$ , δηλαδή παραπληρωματική της γ. Άρα και το τετράπλευρο  $\Gamma A^*MB^*$  θα είναι εγγράψιμο (Πρόταση 2.14.1), ο.ε.δ.

**Πρόταση 5.9.2** Τέσσερις ευθείες σε γενική θέση (δηλαδή, που ανά τρεις σχηματίζουν τρίγωνο) σχηματίζουν τέσσαρα τρίγωνα, των οποίων οι περιγεγραμμένοι κύκλοι διέρχονται από κοινό σημείο M (Σημείο Miquel των τεσσάρων ευθειών).



Σχήμα 498: Σημείο Miquel 4 ευθειών σε γενιχή θέση

Απόδειξη: Γιά την απόδειξη εφαρμόζουμε την προηγούμενη πρόταση, η οποία ισχύει και γιά σημεία  $A^*, B^*, \Gamma^*$  που περιέχονται σε μία ευθεία (είναι συνευθειακά). Γιά την απόδειξη λοιπόν, ξεχωρίζουμε τρεις από τις τέσσερις ευθείες. Έστω τις AB,  $B\Gamma$ ,  $\Gamma A$  και θεωρούμε ότι η τέταρτη τέμνει τις πλευρές (ή/και προεκτάσεις τους) του τριγώνου  $AB\Gamma$  στα  $A^*$ ,  $B^*$ ,  $\Gamma^*$  επί των  $B\Gamma$ ,  $\Gamma A$  και AB αντίστοιχα. Εφαρμόζοντας την Πρόταση 5.9.1 συμπεραίνουμε ότι οι κύκλοι ( $AB^*\Gamma^*$ ), ( $B\Gamma^*A^*$ ), ( $\Gamma A^*B^*$ ) διέρχονται από κοινό σημείο  $\Gamma A$ . Εεχωρίζουμε τώρα τρεις άλλες ευθείες,  $\Gamma A$ . Τις  $\Gamma A^*$ ,  $\Gamma A^*B^*$  και  $\Gamma A^*$  και  $\Gamma A^*$ 



Σχήμα 499: Ισότητα γωνιών μέσω πρότασης του Miquel

'Ασκηση 5.9.1 Συμπλήρωσε το προηγούμενο σχήμα (499) φέρνοντας τις  $MA^*$ ,  $MB^*$ ,  $M\Gamma^*$  από το σημείο του Miquel των τεσσάρων ευθειών και δείξε ότι οι γωνίες

$$|M\Gamma^*A|=|MB^*A|=|MA^*\Gamma|.$$

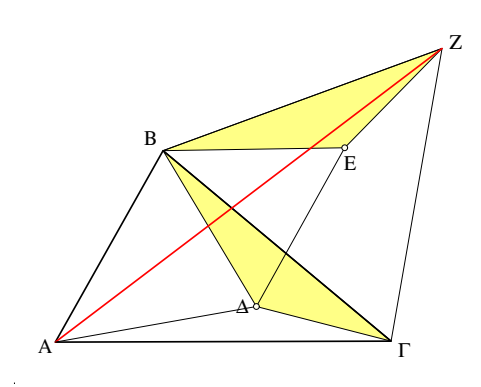
Πως συνδέεται αυτό το συμπέρασμα με τις ευθείες Simson του τριγώνου ΑΒΓ;

 $\Upsilon$ πόδειξη: Η ισότητα των γωνιών προχύπτει εύχολα από τα εγγράψιμα τετράπλευρα  $MB^*\Gamma^*A$ ,  $MB^*\Gamma A^*$ . Η ιδιότητα αυτή δείχνει ότι χάθε ευθεία που τέμνει τις πλευρές τριγώνου στα σημεία  $A^*$ ,  $B^*$ ,  $\Gamma^*$  ορίζει σημείο M στον περίχυχλο έτσι ώστε οι παραπάνω γωνίες να είναι ίσες. Και αντίστροφα, αν από σημείο M του περιχύχλου φέρουμε ευθύγραμμα τμήματα  $M\Gamma^*$  χαι  $MB^*$  που σχηματίζουν ίσες γωνίες  $M\Gamma^*A$  χαι  $MB^*A$ , τότε η ευθεία  $\Gamma^*B^*$  θα τέμνει την τρίτη πλευρά σε σημείο  $A^*$ , έτσι ώστε χαι η γωνία  $MA^*\Gamma$  να είναι ίση με τις άλλες. Αυτό συνεπάγεται ότι αν από σημείο M του περιχύχλου αχθούν ευθύγραμμα τμήματα  $MA^*$ ,  $MB^*$ ,  $M\Gamma^*$  έτσι ώστε οι γωνίες  $M\Gamma^*A$ ,  $MB^*A$  χαι  $MA^*\Gamma$  να είναι ίσες, τότε τα  $A^*$ ,  $B^*$  χαι  $\Gamma^*$  είναι επ' ευθείας. Οι ευθείες του Simson προχύπτουν λοιπόν ως ειδιχή περίπτωση της προηγούμενης χατασχευής.

'Ασκηση 5.9.2  $\Delta \epsilon$ ίξε ότι το σημείο τομής των κύκλων  $(A^*B^*\Gamma)$ ,  $(B^*\Gamma^*A)$ ,  $(\Gamma^*A^*B)$ , όπου  $A^*,B^*$  και  $\Gamma^*$  τα μέσα των πλευρών  $B\Gamma$ ,  $\Gamma A$  και AB, είναι το ορθόκεντρο του τριγώνου  $A^*B^*\Gamma^*$ .

## 5.10 Θεωρήματα των Fermat και Fagnano

Τα δύο θεωρήματα του Fermat και του Fagnano αφορούν σε προβλήματα ελαχιστοποίησης συνδεδεμένα με ένα τρίγωνο. Το πρώτο αναζητά ένα σημείο που ελαχιστοποιεί ένα άθροισμα αποστάσεων και το δέυτερο αναζητά ένα τρίγωνο ελάχιστης περιμέτρου εγγεγραμμένο σε δοθέν τρίγωνο.



Σχήμα 500: Τρίγωνο και ισόπλευρο στην πλευρά του

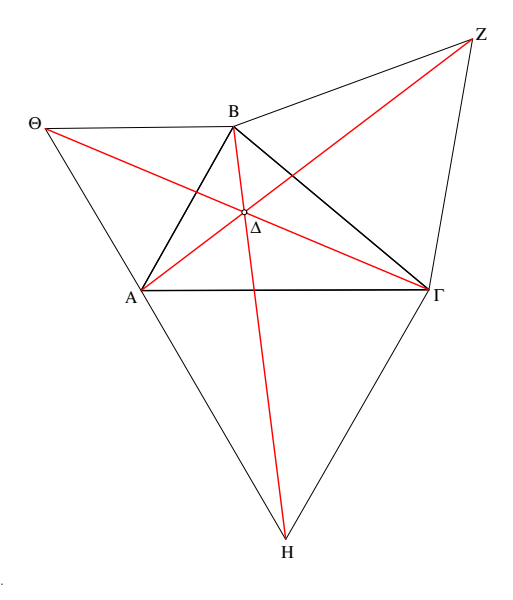
Πρόταση 5.10.1 Γιά κάθε σημείο  $\Delta$  το άθροισμα των αποστάσεων  $\delta = |\Delta A| + |\Delta B| + |\Delta \Gamma|$  από τις κορυφές τριγώνου  $AB\Gamma$ , είναι μεγαλύτερο του μήκους του ευθυγράμμου τμήματος AZ που ενώνει την κορυφή A με την κορυφή ισοπλεύρου τριγώνου  $B\Gamma Z$  εκτός του  $AB\Gamma$ .

Aπόδειξη: Συνδέουμε το τυχόν σημείο  $\Delta$  με τις κορυφές του τριγώνου και κατασκευάζουμε δύο ισόπλευρα τρίγωνα BΓZ και  $B\Delta E$ . Λόγω των ισοπλεύρων τριγώνων, τα τρίγωνα  $B\Delta \Gamma$  και BEZ είναι ίσα ( $\Pi \Gamma \Pi$ -κριτήριο). Έτσι, το άθροισμα των αποστάσεων  $\delta = |\Delta A| + |\Delta B| + |\Delta \Gamma|$  που μας ενδιαφέρει μετασχηματίζεται στην ίσου μήκους τεθλασμένη  $\delta = |A\Delta| + |\Delta E| + |EZ|$ , η οποία γίνεται ελάχιστη όταν τα E και  $\Delta$  είναι επί της AZ, ο.ε.δ.

Θεώρημα 5.10.1 Γιά κάθε τρίγωνο ΑΒΓ με γωνίες μικρότερες των 120 μοιρών ισχύουν τα εξής:

- (1) Τα ευθύγραμμα τμήματα ΑΖ, ΒΗ και ΓΘ που ενώνουν τις κορυφές του τριγώνου με τις κορυφές των ισοπλεύρων που κατασκευάζονται στις πλευρές του είναι ίσα και σχηματίζουν ανά δύο γωνίες 60 μοιρών.
- (2) Τα ΑΖ, ΒΗ και ΓΘ διέρχονται από το ίδιο σημείο  $\Delta$ .
- (3) Το  $\Delta$  ελαχιστοποιεί το άθροισμα δ των αποστάσεων από τις κορυφές του τριγώνου. Η ελάχιστη αυτή τιμή του δ είναι το κοινό μήκος των ευθυγράμμων τμημάτων AZ, BH και  $\Gamma\Theta$ .

Aπόδειξη: Στο (1): Θεωρούμε ότι το  $\Delta$  είναι το σημείο τομής των AZ και BH. Τα AZ και BH είναι ίσα διότι τα τρίγωνα  $A\Gamma Z$  και  $B\Gamma H$  είναι ίσα:  $|B\Gamma|=|\Gamma Z|, |A\Gamma|=|H\Gamma|$  λόγω των ισοπλεύρων  $B\Gamma Z$  και  $A\Gamma H$ . Επίσης οι γωνίες  $|B\Gamma H|=|A\Gamma Z|$ , αφού κάθε μία είναι άθροισμα της γωνίας στο  $\Gamma$  και μιάς 60 μοιρών. Παρόμοια δείχνουμε ότι και τα AZ και  $\Gamma \Theta$  είναι ίσα, άρα τα τρία ευθύγραμμα τμήματα είναι ίσα μεταξύ τους. H γωνία  $B\Delta Z$  είναι 60 μοιρών. Αυτό προκύπτει από το ότι το τετράπλευρο  $B\Delta \Gamma Z$  είναι εγγράψιμο. Τούτο πάλι διότι από την ισότητα των τριγώνων  $B\Gamma H$  και  $A\Gamma Z$  έπεται ότι οι γωνίες  $\Delta B\Gamma$  και  $\Delta Z\Gamma$  είναι ίσες.

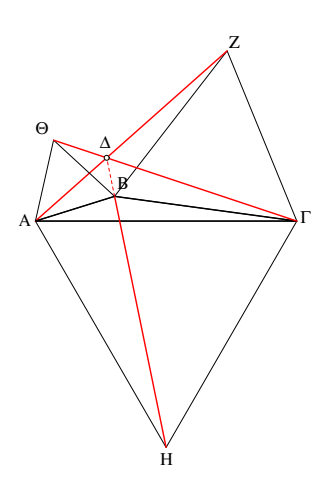


Σχήμα 501: Το σημείο του Fermat

Άρα τα B και Z βλέπουν το  $\Delta\Gamma$  υπό ίσες γωνίες και συνεπώς το  $B\Delta\Gamma Z$  είναι εγγράψιμο. H  $B\Delta Z$  τότε είναι ίση με  $B\Gamma Z$ , που είναι 60 μοιρών. Λόγω του εγγραψίμου  $B\Delta\Gamma Z$ , η γωνία  $B\Delta\Gamma$  θα είναι 120 μοιρών, άρα η  $\Gamma\Delta Z$  επίσης 60 μοιρών. Επίσης, η  $H\Delta\Gamma$ , ως εξωτερική και απέναντι της  $BZ\Gamma$ , θα είναι επίσης 60 μοιρών και η  $A\Delta H$ , ως κατά κορυφή της  $B\Delta Z$  θα είναι και αυτή 60 μοιρών. Συνάγεται ότι το  $A\Delta B\Theta$  έχει τις απέναντι γωνίες στα  $\Theta$  και  $\Delta$  παραπληρωματικές, άρα είναι εγγράψιμο. Τότε όμως η  $\Theta\Delta B$  θα είναι ίση με την  $\Theta AB$  άρα και αυτή 60 μοιρών και τέλος η  $\Theta\Delta A$  επίσης 60 μοιρών.

Το (2) είναι συνέπεια της προηγούμενης ισότητας των γωνιών. Στο  $\Delta$ , που ορίσαμε ως τομή των BH και AZ, δείξαμε ότι όλες οι γωνίες που σχηματίζονται είναι 60 μοιρών, άρα τα  $\Theta$ ,  $\Delta$  και  $\Gamma$  θα είναι συνευθειακά.

Το (3) είναι συνέπεια της προηγούμενης πρότασης. Αν υπάρχει το  $\Delta$ , τότε θα πρέπει να είναι επί της AZ, παρόμοια και επί της BH αλλά και  $\Gamma\Theta$ , άρα θα είναι στην τομή τους. Η

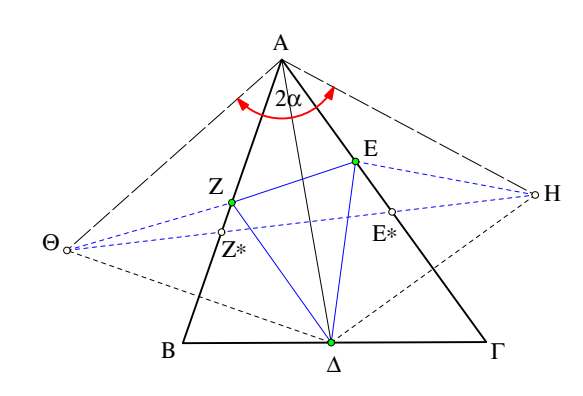


Σχήμα 502: Τρίγωνο με μία γωνία μεγαλύτερη των 120 μοιρών

συνθήκη γιά τις γωνίες του τριγώνου, κατά την οποία αυτές είναι μικρότερες των 120 μοιρών,

εξασφαλίζει ότι τα ευθύγραμμα τμήματα BH και AZ τέμνονται. Πράγματι, η ύπαρξη του  $\Delta$  αποδεικνύεται και χωρίς τον περιορισμό αυτό. Εύκολα όμως βλέπουμε ότι στην περίπτωση που η γωνία  $AB\Gamma$  είναι μεγαλύτερη των 120 μοιρών, το  $\Delta$  είναι εξωτερικό σημείο της BH, ενώ το ελάχιστο του δ συμβαίνει όταν το  $\Delta$  συμπίπτει με την κορυφή B, ο.ε.δ.

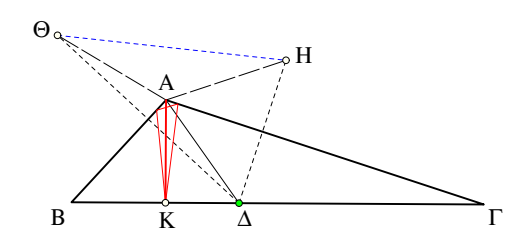
Θεώρημα 5.10.2 (Θεώρημα του Fagnano 1715-1797) Το ορθικό τρίγωνο οξυγωνίου τριγώνου  $AB\Gamma$  έχει την ελάχιστη περίμετρο μεταξύ όλων των τριγώνων που εγγράφονται στο  $AB\Gamma$ .



Σχήμα 503: Μεταβαλλόμενο ισοσχελές τρίγωνο

Aπόδειξη: Aς δούμε πρώτα γιά ένα τρίγωνο  $\Delta EZ$  εγγεγραμμένο στο  $AB\Gamma$ , πως μεταβάλλεται η περίμετρος όταν μετατοπίζουμε το  $\Delta$  στην  $B\Gamma$ . Aν  $\Theta$  και H είναι τα συμμετρικά του  $\Delta$  αντίστοιχα ως προς τις πλευρές AB και  $A\Gamma$ , τότε η περίμετρος του τριγώνου  $\delta = |\Delta Z| + |ZE| + |E\Delta| = |\Theta Z| + |ZE| + |EH|$ . Το μήκος όμως της τεθλασμένης  $\Theta ZEH$  γίνεται ελάχιστο όταν τα Z και E είναι επί της  $\Theta H$ . Άρα μπορούμε να μικρύνουμε την περίμετρο του  $\Delta EZ$  αντικαθιστώντας τα Z, E με τα σημεία τομής  $Z^*$  και  $E^*$  της  $\Theta H$  με τις AB και  $A\Gamma$ . Eπιπλέον η περίμετρος του  $\Delta Z^*E^*$  ισούται με το μήκος του  $\Theta H$ .

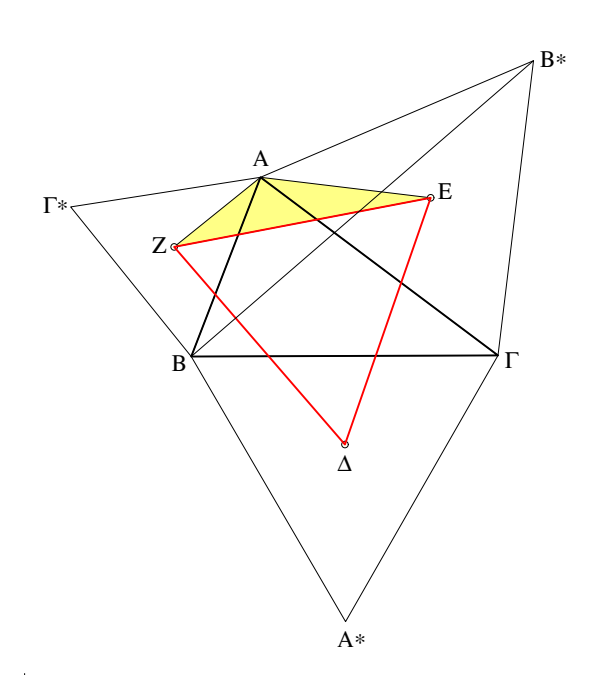
Εξετάζουμε τώρα γιά ποιά θέση του  $\Delta$  το μήχος της ΘΗ γίνεται ελάχιστο. Αρχεί να παρατηρήσουμε ότι το ισοσκελές ΑΘΗ έχει γωνία στην χορυφή πάντοτε ίση με  $2\alpha$ , όπου  $\alpha=|BA\Gamma|$ . Άρα το μήχος της βάσης του ΑΘΗ θα γίνεται ελάχιστο όταν το μήχος των σχελών του γίνει ελάχιστο. Αυτό όμως συμβαίνει όταν το  $A\Delta$  συμπίπτει με το ύψος από το A. Το  $\Delta$  λοιπόν, αν υπάρχει τρίγωνο ελαχίστης περιμέτρου, θα πρέπει να συμπίπτει με το ίχνος του ύψους από το A. Ανάλογη ιδιότητα όμως μπορούμε να δείξουμε γιά χάθε χορυφή του  $\Delta EZ$ , όθεν χαι η αλήθεια του θεωρήματος.



Σχήμα 504: Μη ύπαρξη γνήσιου τριγώνου ελαχίστης περιμέτρου

Το ότι η γωνία στο A πρέπει να είναι οξεία χρειάζεται γιά να εξασφαλίσουμε ότι η  $\Theta H$  θα τέμνει τις πλευρές AB και  $A\Gamma$ . Στην περίπτωση που η γωνία στο A είναι αμβλεία, βλέπουμε εύκολα ότι το ελαχίστης περιμέτρου τρίγωνο εκφυλίζεται στο διπλάσιο του ύψους AK από το A, ο.ε.δ.

Πρόταση 5.10.2 (Θεώρημα του Ναπολέοντος) Εάν στις πλευρές τριγώνου ΑΒΓ κατσκευάσουμε ισόπλευρα τρίγωνα εξωτερικά αυτού, τότε τα κέντρα τους είναι κορυφές ισοπλεύρου τριγώνου.



Σχήμα 505: Θεώρημα του Ναπολέοντος

Υπόδειξη: Το τρίγωνο  $\Delta EZ$  έχει κορυφές τα κέντρα των ισοπλεύρων τριγώνων, δηλαδή τα περίκεντρα αυτών. Η ακτίνα του περικύκλου του ισοπλεύρου ισούται με  $1/\sqrt{3}$  της πλευράς του. Αυτό συνεπάγεται ότι τα τρίγωνα AZE και  $ABB^*$  είναι όμοια. Πράγματι ισχύουν οι σχέσεις

$$\frac{|AB|}{|AZ|} = \frac{|AB^*|}{|AE|} = \sqrt{3}, \quad |ZAE| = |BAB^*| = |BA\Gamma| + 60,$$

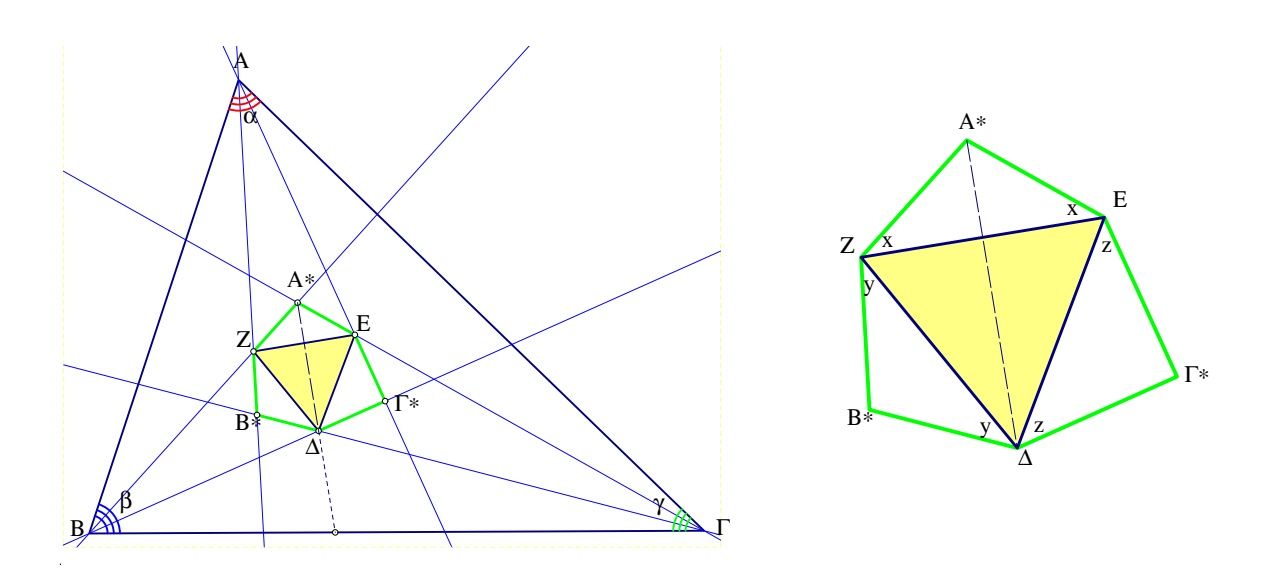
που δείχνει ότι τα δύο τρίγωνα έχουν δύο πλευρές ανάλογες και τις περιεχόμενες υπ' αυτών γωνίες ίσες. Ανάλογες σχέσεις θα ισχύουν και γιά τις άλλες πλευρές του τριγώνου  $\rm E\Delta Z$ . Όμως, κατά το Θεώρημα  $\rm 5.10.1$ , οι  $\rm BB^*$ ,  $\rm \Gamma\Gamma^*$ ,  $\rm AA^*$  είναι ίσες, άρα και οι  $\rm ZE$ ,  $\rm E\Delta$ ,  $\rm \Delta Z$ , των οποίων τα μήκη έχουν λόγο  $\rm 1/\sqrt{3}$  προς τις προηγούμενες θα είναι ίσες, ο.ε.δ.

Άσκηση 5.10.1  $\Delta$ είξε ότι και στην περίπτωση που τα ισόπλευρα κατασκευάζονται στις πλευρές του  $AB\Gamma$  και προς την ίδια μεριά με το  $AB\Gamma$  το τρίγωνο των κέντρων τους είναι πάλι ισόπλευρο.

Άσκηση 5.10.2  $\Delta$ οθέντος τριγώνου  $AB\Gamma$ , τα σημεία  $A^*$ ,  $B^*$  και  $\Gamma^*$  ορίζονται ως οι τομές των διχοτόμων του  $AB\Gamma$  με τον περίκυκλο αυτού.  $\Delta$ είξε ότι το τρίγωνο  $A^*B^*\Gamma^*$  έχει τις διχοτόμους του  $AB\Gamma$  ως ύψη. Επίσης κατασκεύασε το  $AB\Gamma$  όταν δίδονται τα σημεία  $A^*$ ,  $B^*$  και  $\Gamma^*$ .

## 5.11 Θεώρημα του Morley

Θεώρημα 5.11.1 (Θεώρημα του Morley 1860-1937) Οι διαδοχικές τριχοτόμοι των γωνιών τριγώνου τέμνονται σε σημεία που σχηματίζουν ισόπλευρο τρίγωνο.



Σχήμα 506: Θεώρημα του Morley

Aπόδειξη: ([Ντε91]) Οι τριχοτόμοι είναι αυτές που χωρίζουν τις γωνίες του τριγώνου σε τρία ίσα μέρη (σχήμα 506). Το τρίγωνο  $\Delta EZ$  είναι ισόπλευρο. Η ειχόνα δεξιά περιέχει μεγέθυνση του κρισίμου μέρους του σχήματος. Αν μπορούσαμε να δείξουμε ότι τα τρίγωνα EA\*Z,  $ZB*\Delta$  και  $\Delta \Gamma*E$  είναι ισοσκελή, τότε θα μπορούσαμε να υπολογίσουμε εύκολα όλες τις γωνίες που εμφανίζονται στο σχήμα και έτσι να δούμε ότι το  $\Delta EZ$  είναι ισόπλευρο. Αυτό όμως παρουσιάζει δυσκολίες και έτσι πάμε ανάποδα. Εεκινάμε από ένα ισόπλευρο  $\Delta EZ$  και κατασκευάζουμε τα τρία ισοσκελή με τις γωνίες που πρέπει. Κατόπιν προεκτείνοντας τις πλευρές του εξαγώνου  $\Delta \Gamma*EA*ZB*$  βρίσκουμε τις κορυφές A,B και  $\Gamma$  και δείχνουμε ότι το  $AB\Gamma$  έχει τις σωστές γωνίες α,  $\beta$  και  $\gamma$ . Πριν ξεκινήσουμε λοιπόν αυτήν την αντίστροφη κατασκευή, ας δούμε ποιές πρέπει να είναι οι γωνίες των ισοσκελών τριγώνων.

Οι γωνίες  $BA^*\Gamma$ ,  $\Gamma B^*A$ , και  $A\Gamma^*B$  υπολογίζονται εύκολα ότι είναι αντίστοιχα

$$|BA^*\Gamma| = 180 - \frac{2}{3}\beta - \frac{2}{3}\gamma = 60 + \frac{2}{3}\alpha, \quad |\Gamma B^*A| = 60 + \frac{2}{3}\beta, \quad |A\Gamma^*B| = 60 + \frac{2}{3}\gamma. \quad (1)$$

Υποθέτοντας, όπως είπαμε, ότι τα  $A^*ZE$ ,  $B^*\Delta Z$  και  $\Gamma^*E\Delta$  είναι ισοσκελή, προκύπτει από τις προηγούμενες ότι οι γωνίες στις βάσεις τους είναι

$$x = 60 - \frac{\alpha}{3}, \quad y = 60 - \frac{\beta}{3}, \quad z = 60 - \frac{\gamma}{3}.$$
 (2)

 $\Delta$ οθέντων λοιπόν των γωνιών α, $\beta$  και γ, ξεκινάμε με ένα αυθαίρετο ισόπλευρο  $\Delta EZ$  και κατασκευάζουμε το εξάπλευρο  $\Delta \Gamma^*EA^*ZB^*$  με τις παραπάνω γωνίες. Ορίζουμε τα A,B και  $\Gamma$  αντίστοιχα ως τομές των ζευγών ευθειών  $(B^*Z,\Gamma^*E), (\Gamma^*\Delta,A^*Z)$  και  $(A^*E,B^*\Delta)$  και δείχνουμε ότι οι γωνίες του  $AB\Gamma$  είναι αντίστοιχα οι α, $\beta$  και γ, καθώς και ότι οι πλευρές του εξαγώνου είναι τριχοτόμοι αυτών των γωνιών.

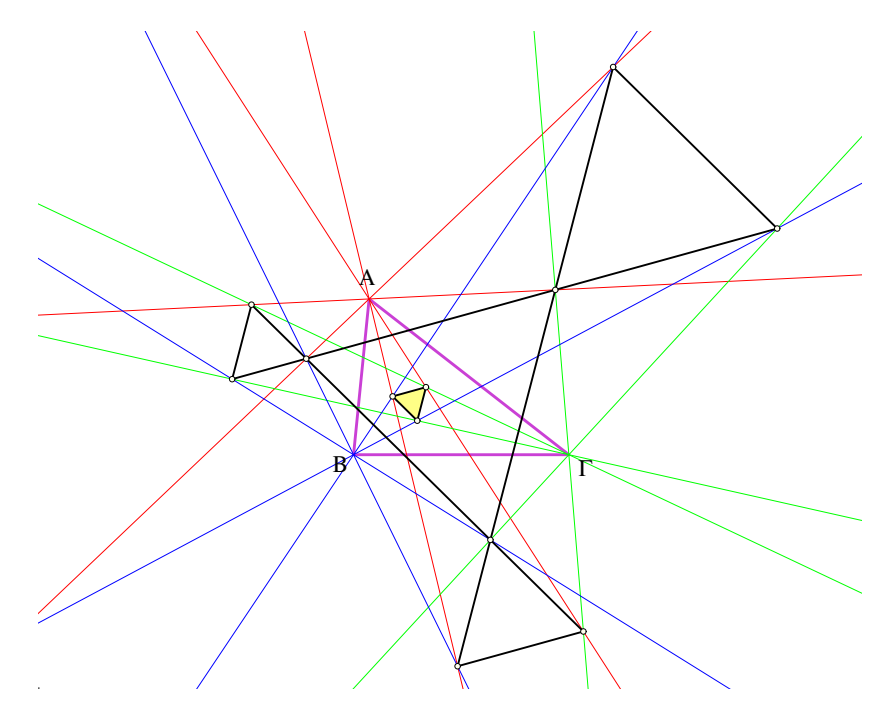
Πράγματι, η  $A^*\Delta$  είναι διχοτόμος της γωνίας στο  $A^*$  και η γωνία στο  $\Delta$  είναι ίση με

$$|B\Delta\Gamma| = |B^*\Delta\Gamma^*| = 60 + y + z = 60 + (60 - \frac{\beta}{3}) + (60 - \frac{\gamma}{3}) = 120 + \frac{\alpha}{3}.$$

Άρα, κατά την (1)

$$|B\Delta\Gamma| = 120 + \frac{\alpha}{3} = 90 + \frac{60 + \frac{2}{3}\alpha}{2} = 90 + \frac{|BA^*\Gamma|}{2}.$$
 (3)

Αυτό σημαίνει ότι το  $\Delta$  είναι σημείο τομής των διχοτόμων του τριγώνου  $A^*B\Gamma$  (Άσκηση 2.2.1). Ανάλογα προχύπτει ότι και η BZ είναι διχοτόμος της γωνίας στο B του τριγώνου  $B\Gamma^*A$ , συνεπώς ότι οι  $B\Delta$  και BZ είναι τριχοτόμοι της γωνίας  $\Gamma BA$ . Ένας εύκολος υπολογισμός δείχνει επίσης ότι η γωνία στο B είναι ακριβώς  $\beta$  και ανάλογα οι γωνίες στα A και  $\Gamma$  είναι αντίστοιχα α και γ. Συνεπώς το  $AB\Gamma$  που κατασκευάσαμε έχει τις ίδιες γωνίες α, $\beta$ , γ με το δοθέν, άρα είναι όμοιο αυτού. Επειδή το τρίγωνο που κατασκευάσαμε ικανοποιεί το θεώρημα και η ομοιότητα διατηρεί τις γωνίες και τους λόγους μηκών, και το αρχικό τρίγωνο θα ικανοποιεί το θεώρημα, ο.ε.δ.



Σχήμα 507: Ισόπλευρα από εσωτερικές/εξωτερικές τριχοτόμους

 $\Sigma$ χόλιο Ανάλογα συμπεράσματα με αυτό του προηγουμένου θεωρήματος ισχύουν και γιά σημεία τομής των τριχοτόμων των εξωτερικών γωνιών του τριγώνου καθώς και τομές εσωτερικών με εξωτερικές τριχοτόμους. Προκύπτουν συνολικά πέντε ισόπλευρα τρίγωνα ([sH94,  $\sigma$ . 103]).

# 5.12 Προσημασμένος λόγος και απόσταση

Ο Προσημασμένος Λόγος είναι μιά ελαφρά παραλλαγή του απλού (θετικού) λόγου δύο ευθυγράμμων τμημάτων της ίδιας ευθείας, στην οποία, εκτός των μηκών των τμημάτων συνυπολογίζουμε και τον προσανατολισμό τους.

$$\frac{XA}{XB} = \pm \frac{|XA|}{|XB|}$$

Αυτός ταυτίζεται με τον συνηθισμένο λόγο των αποστάσεων  $\frac{|XA|}{|XB|}$  όταν τα XA και XB είναι ομόρροπα, ενώ γιά αντίρροπα XA και XB ισούται με  $-\frac{|XA|}{|XB|}$ . Εξ ορισμού, λοιπόν, ο προσημασμένος και ο λόγος των αποστάσεων συνδέονται μέσω του τύπου (προσοχή στην διαφορετική σημασία του συμβόλου της απόλυτης τιμής στις δύο πλευρές της ισότητας):

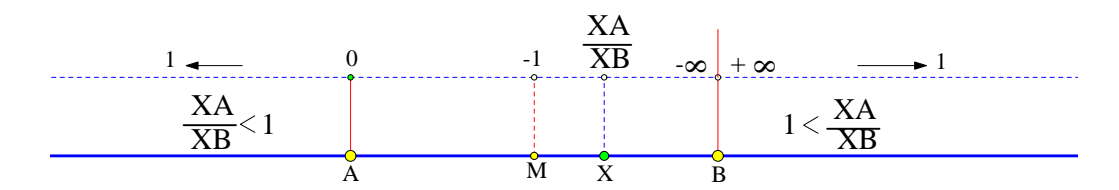
$$\left| \frac{XA}{XB} \right| = \frac{|XA|}{|XB|}.$$

Η επόμενη πρόταση δείχνει την διαφορά του προσημασμένου από τον συνήθη (θετικό) λόγο.

Πρόταση 5.12.1 Δοθέντων δύο διαφορετικών σημείων A και B ευθείας  $\epsilon$ , η θέση  $\epsilon$ νός τρίτου σημείου X της ευθείας αυτής καθορίζεται πλήρως από τον προσημασμένο λόγο

$$\lambda = \frac{XA}{XB}.$$

Aπόδειξη: Η πρόταση είναι συνέπεια του Θεωρήματος 1.17.1, κατά το οποίο, δοθέντος λ>0, υπάρχουν δύο ακριβώς σημεία X,X' στην ευθεία AB με (συνήθη) λόγο αποστάσεων  $\frac{|XA|}{|XB|}=\lambda$ , το ένα εξ αυτών εσωτερικό του AB και το άλλο εξωτερικό. Συνεπώς, αν λάβουμε υπόψη και το πρόσημο, η αντιστοίχιση γίνεται μονοσήμαντη. Τα εσωτερικά του AB σημεία X έχουν προσημασμένο λόγο  $\frac{XA}{XB}$  αρνητικό και τα εξωτερικά του AB έχουν λόγο θετικό, ο.ε.δ.



Σχήμα 508: Προσημασμένος λόγος

Σχόλιο-1 Παρόλο που ορίζω εδώ τον προσημασμένο λόγο, δεν τον χρησιμοποιώ παρά στις τελευταίες παραγράφους αυτού του κεφαλαίου, που διαπραγματεύονται θέματα, συνήθως ευρισκόμενα εκτός της ύλης των σχολικών εγχειριδίων.

Σχόλιο-2 Το σχήμα-508 δείχνει πως μεταβάλλεται ο προσημασμένος λόγος σε συνάρτηση με την θέση του X. Όταν το X είναι πολύ μακριά από τα A και B, τότε τα XA και XB είναι σχεδόν ίσα και ο λόγος πλησιάζει την τιμή 1, παραμένοντας πάντως <1 όταν το X είναι μακριά και από την μεριά του A ενώ είναι >1 γιά X μακριά και από την μεριά του B. Καθώς το X πλησιάζει το A από το εξωτερικό του AB ο λόγος, είναι θετικός και τείνει στο

0. Γιά X=A ο λόγος γίνεται 0 και κατόπιν μειώνεται συνεχώς, τείνοντας προς το  $-\infty$  καθώς το X πλησιάζει το B. Στο μέσον M του AB ο λόγος είναι -1. Στο B η τιμή του λόγου δεν ορίζεται, ως συνήθως συμβαίνει με κλάσματα γιά τα οποία ο παρονομαστής μηδενίζεται. Γιά X πολύ κοντά στο B και εξωτερικά του AB ο προσημασμένος λόγος είναι πολύ μεγάλος θετικός αριθμός και καθώς το X απόμακρύνεται από το AB γίνεται ολοένα μικρότερος, παραμένοντας >1, και τείνοντας προς το 1, καθώς το X απομακρύνεται στο άπειρο.

**Πόρισμα 5.12.1** Επί της ευθείας  $\varepsilon$ , τα σημεία X και X' είναι αρμονικά συζυγή ως προς τα A και B τότε και μόνον, όταν για τους προσημασμένους λόγους ισχύει

$$\frac{XA}{XB} = -\frac{X'A}{X'B}.$$

Ο προσημασμένος λόγος είναι συμβατός με την  $\mathbf{\Pi}$ ροσημασμένη απόσταση δύο σημείων πάνω σε μία ευθεία ε=AB. Γιά τον ορισμό της προσημασμένης απόστασης χρειαζόμαστε την έννοια της  $\mathbf{T}$ ετμημένης πάνω στην ευθεία ε. Η τελευταία είναι ένας απλός μηχανισμός που σε κάθε σημείο της ευθείας αντιστοιχίζει έναν θετικό ή αρνητικό αριθμό. Έτσι αν το X έχει τετμημένη x και το Y έχει τετμημένη y (συχνά το γράφουμε X(x) γιά το σημείο X και την τετμημένη του x), τότε η προσημασμένη απόσταση ορίζεται ως η διαφορά

$$XY = y - x$$
.

Προφανώς ισχύει

$$YX = x - y = -XY$$
.

Ο μηχανισμός ορισμού ενός συστήματος τετμημένων πάνω στην ε στηρίζεται στην επιλογή δύο διαφορετικών σταθερών, αλλά κατά τα άλλα αυθαιρέτων σημείων A και B της e. Το A το λέμε Aρχή των τετμημένων και την ημιευθεία με αρχή το A και περιέχουσα το B, την λέμε Aρχητικό ημιάξονα, ενώ την αντικείμενη ημιευθεία, που δεν περιέχει το B, την ονομάζουμε Aρνητικό ημιάξονα. Γιά κάθε σημείο X της e ορίζουμε τότε ως τετμημένη του X τον αριθμό x = |AX|, όταν το X είναι στον θετικό ημιάξονα και τον αριθμό x = -|AX| όταν το X είναι στον αρνητικό ημιάξονα. X0 τετμημένη του X1 είναι στον αρνητικό ημιάξονα. X2 είναι στον αρνητικό ημιάξονα. X3 είναι στον αρνητικό ημιάξονα. X4 τετμημένη του X5 είναι το μηδέν και η τετμημένη του X6 είναι η απόσταση X4 είναι η απόσταση X5 είναι η απόσταση X6 είναι η απόσταση X7 είναι στον αρνητικό ημιάξονα.

Πόρισμα 5.12.2 Γιά κάθε σύστημα τετμημένων που ορίζεται από τα σημεία A, B της ευθείας  $\varepsilon$  και τρία οποιαδήποτε σημεία X(x), Y(y) και Z(z) επ' αύτής ισχύει

$$x = AX$$
,  $XY = AY - AX$ ,  $XZ = XY + YZ$ .

Πρόταση 5.12.2 Η προσημασμένη απόσταση XY δύο σημείων δεν εξαρτάται από το ειδικό σύστημα τετμημένων μεσω του οποίου ορίζεται.

Aπόδειξη: Ας υποθέσουμε ότι το ένα σύστημα ορίζεται από τα δύο σημεία <math>Α και B της ε και το άλλο από τα A' και B'. Έστω ότι το ίδιο σημείο X έχει ως προς το ένα σύστημα τετμημένη x και ως προς το δεύτερο x'. Έστω και α' η τετμημένη του A' ως προς το πρώτο σύστημα (με αρχή το A). Τότε, βάσει των ορισμών και του πορίσματος

$$x'=A'X=x-\alpha', \quad y'=A'Y=y-a' \quad \Rightarrow \quad XY=y'-x'=(y-\alpha')-(x-\alpha')=y-x,$$
 o.e.d.

'Ασκηση 5.12.1  $\Delta \epsilon$ ίξ $\epsilon$  ότι γιά τρία οποιαδήποτ $\epsilon$  σημεία  $A, B, \Gamma$   $\epsilon$ π'  $\epsilon$ υθείας  $\epsilon$  και τις προσημασμένες αποστάσεις τους ισχύ $\epsilon$ ι

$$AB + B\Gamma + \Gamma A = 0.$$

Με την βοήθεια ενός συστήματος τετμημένων πάνω στην ευθεία ε ο προσημασμένος λόγος γράφεται ως πηλίχον θετιχών ή αρνητιχών αριθμών

$$\frac{XY}{XZ} = \frac{y - x}{z - x},$$

όπου x,y,z είναι αντίστοιχα οι τετμημένες των σημείων X,Y και Z.

Η προσημασμένη απόσταση και ο προσημασμένος λόγος απλοποιεί σημαντικά τους τύπους της Παραγράφου 1.17, που χρησιμοποιεί αποκλείστικά θετικούς λόγους, και εξαλείφει την περιπτωσιολογία και διάκριση που γίνεται εκεί μεταξύ σημείων εντός και εκτός του ευθυγράμμου τμήματος AB. Το ίδιο συμβαίνει και με τους τύπους του AB0 τους τους τόπους του AB1. Οι επόμενες ασκήσεις ξεκινούν με την αντικατάσταση των τύπων AB2 της AB3 της με έναν εννιαίο και προχωρούν σταδιακά στην αντικατάσταση και των άλλων τύπων αυτής της παραγράφου. AB4 σύστημα τετμημένων θεωρούμε αυτό που ορίζεται από τα σημεία A4 και B5 της ευθείας AB6 συμβολίζουμε την απόσταση των AB7.

Άσκηση  ${f 5.12.2}$   $\Delta\epsilon$ ίξ $\epsilon$  ότι ο προσημασμ $\epsilon$ νος λόγος  $t={XA\over XB}$  δίδ $\epsilon$ ται από τον τύπο

$$t = \frac{x}{x - d}$$
  $\Leftrightarrow$   $x = \frac{t}{t - 1}d$ ,

όπου x η τετμημένη του σημείου X της ευθείας  $\varepsilon$ .

Άσκηση 5.12.3  $\Delta \epsilon$ ίξε ότι τα σημεία X(x) και X'(x') είναι αρμονικά συζυγή των A και B τότε και μόνον, όταν ισχύει

$$2xx' = d(x + x').$$

Άσκηση 5.12.4  $\Delta \epsilon$ ίξε ότι η τετμημένη  $\nu$  του μέσου N του ευθυγράμμου τμήματος XX' που ορίζεται από το X(x) και το αρμονικό συζυγές του X'(x') του X ως προς A,B ισούται με

$$\nu = \frac{t^2}{t^2 - 1}d,$$

όπου t ο προσημασμένος λόγος  $t = \frac{XA}{XB}$ .

Ανάλογες είναι οι απλοποιήσεις και η εννιαία μορφή που επιτυγχάνουμε γιά τον τύπο του Stewart. Οι επόμενες ασκήσεις δίνουν τους αντίστοιχους εννιαίους τύπους, όταν οι λόγοι (θετικοί) που χρησιμοποιούνται στην (Παράγραφο 3.12) αντικατασταθούν από τους προσημασμένους και τα μήκη από τα προσημασμένα μήκη.

'Ασκηση 5.12.5  $\Delta$ είξε ότι γιά σημείο  $\Delta$  επί της ευθείας  $B\Gamma$  τριγώνου  $AB\Gamma$  με  $d=|A\Delta|$  ισχύει

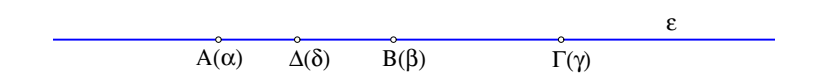
$$\frac{c^2 - d^2 - \Delta B^2}{b^2 - d^2 - \Delta \Gamma^2} = \frac{\Delta B}{\Delta \Gamma}.$$

Άσκηση 5.12.6  $\Delta$ είξε ότι γιά σημείο  $\Delta$  επί της ευθείας  $B\Gamma$  τριγώνου  $AB\Gamma$ , με  $d=|A\Delta|$  και  $B\Delta$ =κ $B\Gamma$  και  $\Delta\Gamma$ =λ $B\Gamma$  ισχύει

$$d^2 = \kappa \cdot b^2 + \lambda \cdot c^2 - \kappa \lambda \cdot a^2.$$

'Ασκηση 5.12.7  $\Delta \epsilon$ ίξ $\epsilon$  ότι γιά τ $\epsilon$ σσ $\epsilon$ ρις πραγματικούς αριθμούς  $\alpha, \beta, \gamma, \delta$  ισχύ $\epsilon$ ι η ταυτότητα

$$(\alpha - \delta)^2(\gamma - \beta) + (\beta - \delta)^2(\alpha - \gamma) + (\gamma - \delta)^2(\beta - \alpha) + (\beta - \alpha)(\gamma - \beta)(\alpha - \gamma) = 0.$$

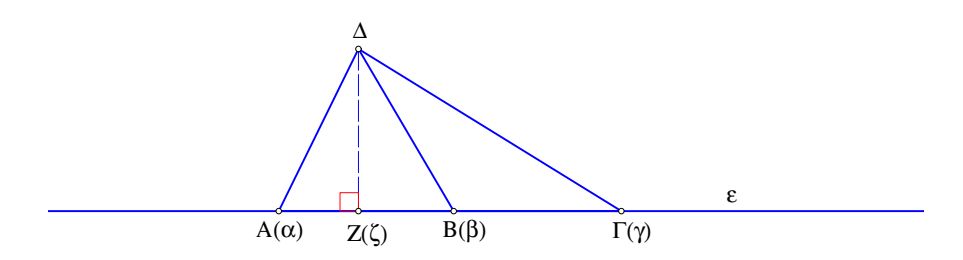


Σχήμα 509: Τέσσερα σημεία και οι τετμημένες τους

Άσκηση 5.12.8  $\Delta \epsilon$ ίξε ότι γιά τέσσερα σημεία  $A,B,\Gamma,\Delta$  επ' ευθείας  $\varepsilon$  και τις προσημασμένες αποστάσεις τους ισχύει η ταυτότητα

$$\Delta A^2 \cdot B\Gamma + \Delta B^2 \cdot \Gamma A + \Delta \Gamma^2 \cdot AB + AB \cdot B\Gamma \cdot \Gamma A = 0.$$

Υπόδειξη: Θεώρησε ένα οποιοδήποτε σύστημα τετμημένων στην ευθεία ε (δεν παίζει ρόλο ποιό αχριβώς) και γράψε τις προσημασμένες αποστάσεις με την βοήθεια των τετμημένων των σημείων  $A(\alpha),\ B(\beta),\ \Gamma(\gamma)$  και  $\Delta(\delta)$ :  $AB=(\beta-\alpha),B\Gamma=(\gamma-\beta),...$  κτλ. Ή απόδειξη προκύπτει από την ταυτότητα της προηγούμενης άσκησης.



Σχήμα 510: Τύπος του Stewart

Άσκηση 5.12.9 (Τύπος του Stewart)  $\Delta \epsilon$ ίξ $\epsilon$  ότι η προηγούμ $\epsilon$ νη  $\epsilon$ ξίσωση ισχύ $\epsilon$ ι και όταν τα  $A,B,\Gamma$   $\epsilon$ ίναι στην ίδια  $\epsilon$ υθ $\epsilon$ ία  $\epsilon$  και το σημ $\epsilon$ ίο  $\Delta$   $\epsilon$ ίναι  $\epsilon$ κτός αυτής.

 $\Upsilon \pi \delta \delta \epsilon \imath \xi \eta$ : Πρόβαλλε το  $\Delta$  στο σημείο Z της ε και εφάρμοσε το Πυθαγόρειο θεώρημα

$$\begin{split} & \Delta A^2 \cdot B\Gamma \ + \ \Delta B^2 \cdot \Gamma A \ + \ \Delta \Gamma^2 \cdot AB \ + \ AB \cdot B\Gamma \cdot \Gamma A \\ = \ & (\Delta Z^2 + ZA^2) \cdot B\Gamma + (\Delta Z^2 + ZB^2) \cdot \Gamma A + (\Delta Z^2 + Z\Gamma^2) \cdot AB \ + \ AB \cdot B\Gamma \cdot \Gamma A \\ = \ & \left[ ZA^2 \cdot B\Gamma + ZB^2 \cdot \Gamma A + Z\Gamma^2 \cdot AB + AB \cdot B\Gamma \cdot \Gamma A \right] + \left[ \Delta Z^2 \cdot (B\Gamma + \Gamma A + AB) \right] \\ = \ & 0 + 0 = 0. \end{split}$$

Η πρώτη αγγύλη μηδενίζεται λόγω της Άσκησης 5.12.8 και η δεύτερη λόγω της Άσκησης 5.12.1.

## 5.13 Διπλός λόγος, Αρμονικές δέσμες

Μιά περιέργη, εκ πρώτης όψεως, κατασκευή, που αποδεικνύεται πλούσια σε εφαρμογές είναι αυτή του διπλού λόγου τεσσάρων σημείων μιάς ευθείας. Γιά τον ορισμό της σταθεροποιούμε δύο εκ των τεσσάρων σημείων και παίρνουμε τον προσημασμένο λόγο (Παράγραφος 5.12.1) των δύο άλλων ως προς αυτά.  $\Delta$ ιπλό λόγο τεσσάρων σημείων  $A,B,\Gamma$  και  $\Delta$  της ίδιας



$$\Sigma$$
χήμα 511:  $\Delta$ ιπλός λόγος  $(AB\Gamma\Delta) = \frac{\Gamma A}{\Gamma B} : \frac{\Delta A}{\Delta B}$ 

ευθείας ε ονομάζουμε το πηλίχον του λόγου  $\frac{\Gamma A}{\Gamma B}$  διά του λόγου  $\frac{\Delta A}{\Delta B}$ . Συχνά το πηλίχον αυτό το γράφομε ως  $\frac{\Gamma A}{\Gamma B}$ :  $\frac{\Delta A}{\Delta B}$  και το συμβολίζουμε με το  $(AB\Gamma\Delta)$ .

$$(AB\Gamma\Delta) = \frac{\Gamma A}{\Gamma B} : \frac{\Delta A}{\Delta B} = \frac{\left(\frac{\Gamma A}{\Gamma B}\right)}{\left(\frac{\Delta A}{\Delta B}\right)}.$$

Μιά ειδική, αλλά σημαντική, περίπτωση διπλού λόγου είναι αυτή που προκύπτει από δύο σημεία (A,B) και δύο άλλα  $(\Gamma,\Delta)$  αρμονικά συζυγή ως προς τα πρώτα. Αυτό εξ ορισμού σημαίνει ότι οι προσημασμένοι λόγοι είναι οι ίδιοι, εκτός του προσήμου,

$$\frac{\Gamma A}{\Gamma B} = \lambda, \quad \frac{\Delta A}{\Delta B} = -\lambda \quad \Rightarrow \quad \frac{\Gamma A}{\Gamma B} : \frac{\Delta A}{\Delta B} = -1.$$

 $\Sigma$ χόλιο O διπλός λόγος ανάγεται στον συνήθη προσημασμένο λόγο, αν θεωρήσουμε ότι το σημείο  $\Delta$  τείνει στο άπειρο. Τότε το  $\frac{\Delta A}{\Delta B}$  τείνει στο 1 και θεωρούμε ότι στο όριο ο διπλός λόγος ταυτίζεται με τον απλό προσημασμένο λόγο  $\frac{\Gamma A}{\Gamma B}$ .

Πρόταση 5.13.1 Δοθέντων τεσσάρων σημείων  $A,B,\Gamma$  και  $\Delta$  επ' ευθείας  $\varepsilon$  και σημείου O εκτός αυτής, ο διπλός λόγος των τεσσάρων σημείων εκφράζεται, εκτός προσήμου, μέσω των γωνιών των ευθειών που ενώνουν το O με τα σημεία.

Aπόδειξη: Πρόβαλε τα  $\Gamma$  και  $\Delta$  επί των ευθειών OA και OB στα σημεία  $\Gamma_1, \Gamma_2$  και  $\Delta_1, \Delta_2$  αντίστοιχα. Ισχύουν, λόγω των ομοιων τριγώνων  $A\Gamma\Gamma_1, A\Delta\Delta_1$  και  $B\Gamma\Gamma_2, B\Delta\Delta_2$ :

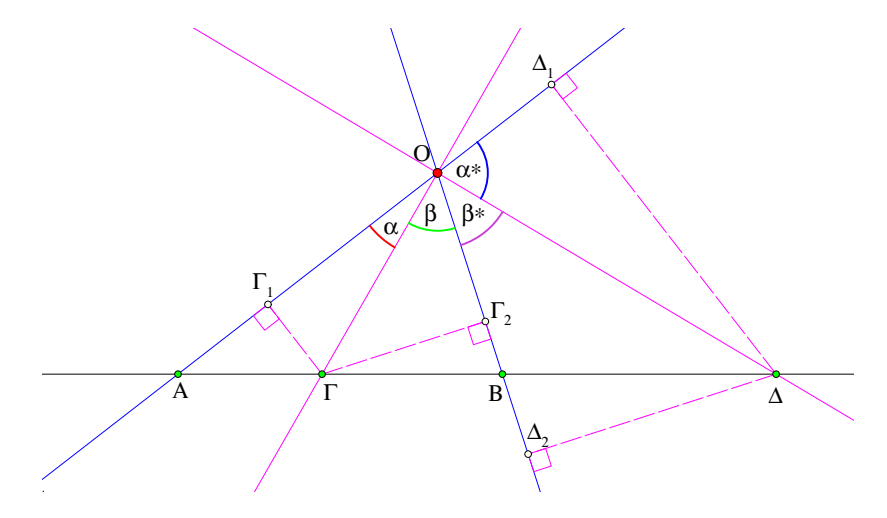
$$\frac{|\Gamma A|}{|\Gamma B|}:\frac{|\Delta A|}{|\Delta B|}=\frac{|\Gamma A|}{|\Delta A|}\cdot\frac{|\Delta B|}{|\Gamma B|}=\frac{|\Gamma \Gamma_1|}{|\Delta \Delta_1|}\cdot\frac{|\Delta \Delta_2|}{|\Gamma \Gamma_2|}=\frac{|O\Gamma|}{|O\Delta|}\frac{\eta\mu(\alpha)}{\eta\mu(\alpha^*)}\cdot\frac{|O\Delta|}{|O\Gamma|}\frac{\eta\mu(\beta^*)}{\eta\mu(\beta)},$$

το οποίο απλοποιείται στο

$$\frac{|\Gamma A|}{|\Gamma B|} : \frac{|\Delta A|}{|\Delta B|} = \frac{\eta \mu(\alpha)}{\eta \mu(\alpha^*)} : \frac{\eta \mu(\beta)}{\eta \mu(\beta^*)},$$

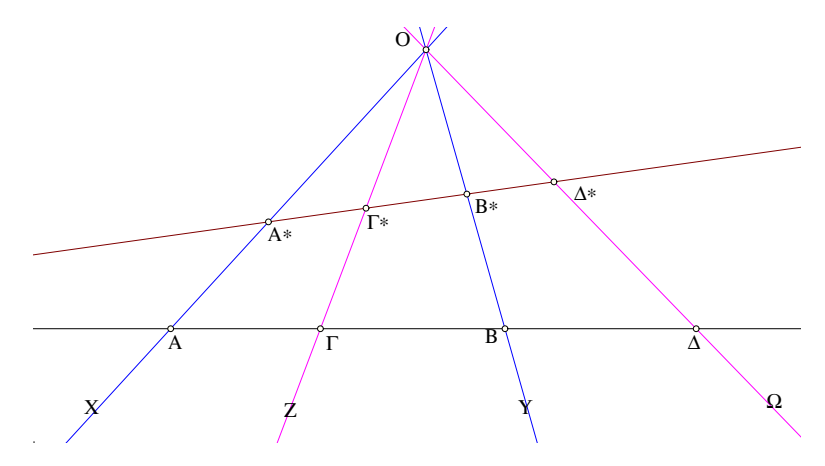
το οποίο αποδεικνύει τον ισχυρισμό, ο.ε.δ.

Θεώρημα 5.13.1 Δοθέντων τεσσάρων ευθειών διερχομένων δια του ιδίου σημειου O ο διπλός λόγος των τεσσάρων σημείων που ορίζουν επί ευθείας  $\varepsilon$  που την τέμνουν είναι ανεξάρτητος της ευθείας.



Σχήμα 512: Διπλός λόγος  $(AB\Gamma\Delta) = \frac{\eta\mu(\alpha)}{\eta\mu(\alpha^*)} : \frac{\eta\mu(\beta)}{\eta\mu(\beta^*)}$ .

Aπόδειξη: Άμεση συνέπεια της προηγούμενης πρότασης, κατά την οποία, ο διπλός λόγος, εκτός προσήμου, εκφράζεται μέσω των γωνιών που σχηματίζουν οι τέσσερις ευθείες μεταξύ τους και συνεπώς είναι ανεξάρτητος της ειδικής ευθείας ε που τις τέμνει. Και το πρόσημο του διπλού λόγου εξαρτάται και αυτό από την θέση των ευθείων και όχι την ειδική ευθεία που τις τέμνει. Στο προηγούμενο σχήμα λ.χ. και γιά τις δύο ευθείες το πρόσημο είναι αρνητικό. Θα ήταν θετικό αν το  $\Gamma$  ήταν και αυτό, όπως και το  $\Delta$  εκτός του AB, οπότε και το  $\Gamma^*$  θα



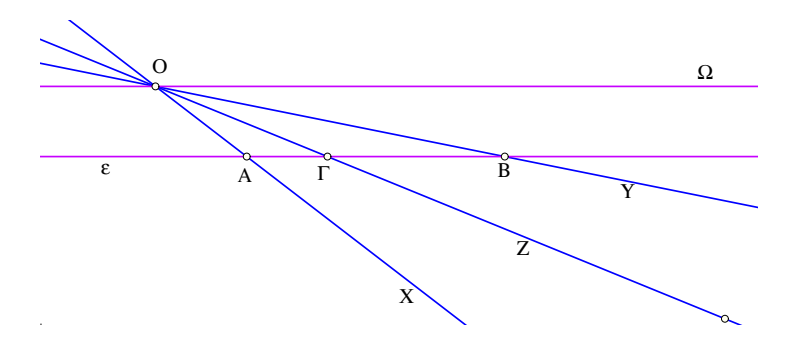
Σχήμα 513:  $\Delta$ ιπλός λόγος τεσσάρων ευθειών που συντρέχουν σε σημείο

ήταν εκτός του  $A^*B^*$  και τα πρόσημα  $\vartheta$ α συνέπιπταν πάλι, ο.ε.δ.

Το προηγούμενο θεώρημα επιτρέπει να ορίσουμε γιά κάθε τετράδα ευθειών που συντρέχουν έναν αριθμό, τον διπλό λόγο που οι τέσσερις ευθείες ορίζουν πάνω σε μία τέμνουσα αυτές ευθεία. Σύμφωνα με το θεώρημα ο διπλός αυτός λόγος δεν εξαρτάται από την ειδική ευθεία και συνεπώς ορίζει κάποιο χαρακτηριστικό των τεσσάρων ευθειών. Τον αριθμό αυτό ονομάζουμε  $\Delta$ ιπλό λόγο των τεσσάρων ευθειών που συντρέχουν στο ίδιο σημείο, ή διπλό λόγο της δέσμης των τεσσάρων ευθειών. Μιά δέσμη τεσσάρων ευθειών της οποίας ο διπλός λόγος είναι -1 λέγεται  $\mathbf{A}$ ρμονική δέσμη τεσσάρων ευθειών. Συχνά μιά δέσμη τεσσάρων ευθειών  $\mathbf{O}\mathbf{X}$ ,  $\mathbf{O}\mathbf{Y}$ ,  $\mathbf{O}\mathbf{Z}$ ,  $\mathbf{O}\mathbf{\Omega}$  συμβολίζεται με  $\mathbf{O}(\mathbf{X},\mathbf{Y},\mathbf{Z},\mathbf{\Omega})$ .

**Πόρισμα 5.13.1** O διπλός λόγος τεσσάρων ευθειών OX, OY, OZ,  $O\Omega$  ισούται  $\mu\epsilon$  τον

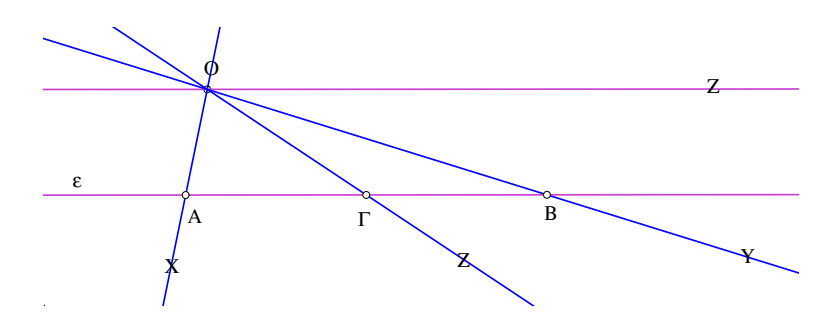
προσημασμένο λόγο  $\frac{\Gamma A}{\Gamma B}$  των τριών σημείων A,B και  $\Gamma$ , που αποτέμνουν οι τρεις πρώτες επί ευθείας  $\varepsilon$  παραλλήλου προς την τέταρτη  $O\Omega$ .



Σχήμα 514:  $\Delta$ ιπλός λόγος τεσσάρων ευθειών σε παράλληλο της  $\Omega\Omega$ 

Aπόδειξη: Η απόδειξη προχύπτει από το σχόλιο που έγινε παραπάνω, κατά το οποίο ο διπλός λόγος ανάγεται στον προσημασμένο απλό λόγο  $\frac{\Gamma A}{\Gamma B}$  στην περίπτωση που το τέταρτο σημείο  $\Delta$  τείνει στο άπειρο, ο.ε.δ.

Πόρισμα 5.13.2 Μία δέσμη τεσσάρων ευθειών  $O(X,Y,Z,\Omega)$  είναι αρμονική τότε και μόνον, όταν μία παράλληλος ε προς την τέταρτη  $O\Omega$  τέμνει τις άλλες σε τρία σημεία  $(A,B,\Gamma)$  εκ των οποίων το ένα  $(\Gamma)$  είναι το μέσον του ευθυγράμμου τμήματος (AB) που ορίζεται από τα άλλα δύο.



Σχήμα 515: Αρμονική δέσμη  $O(X,Y,Z,\Omega)$  και τέμνουσα ε παράλληλος της OZ

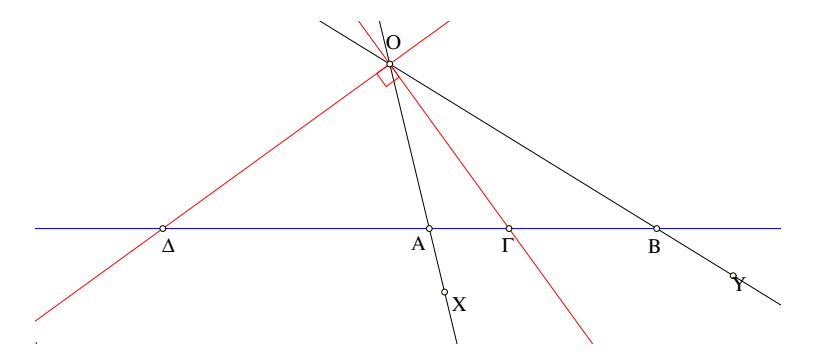
Οι επόμενες δύο προτάσεις περιγράφουν τα δύο κύρια παραδείγματα αρμονικών δεσμών. Η πρώτη είναι ειδική περίπτωση της δεύτερης και τις δύο δε τις έχουμε συναντήσει σε άλλη μορφή στην  $\Pi$ ρόταση 3.8.5.

**Πρόταση 5.13.2** Σε κάθε τρίγωνο OAB οι δύο πλευρές OA,OB και οι διχοτόμοι  $O\Gamma$ ,  $O\Delta$  της γωνίας στο O αποτελούν αρμονική δέσμη.

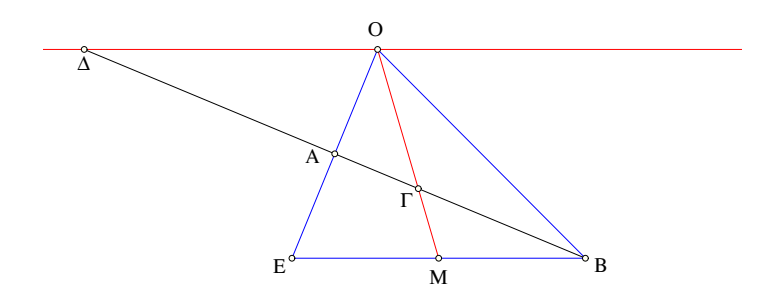
 $Aπόδειξη: Όπως είδαμε στο Πόρισμα 3.3.7 και την Άσκηση 3.3.3 στο τρίγωνο ΟΑΒ με διχοτόμους ΟΓ και Ο<math>\Delta$ , ισχύει

$$\frac{|\Gamma A|}{|\Gamma B|} = \frac{|\Delta A|}{|\Delta B|} = \frac{|OA|}{|OB|} \quad \Rightarrow \quad \frac{\Gamma A}{\Gamma B} : \frac{\Delta A}{\Delta B} = -1,$$

 $0.\epsilon.\delta$ .



Σχήμα 516: Αρμονική δέσμη γωνίας και διχοτόμων της



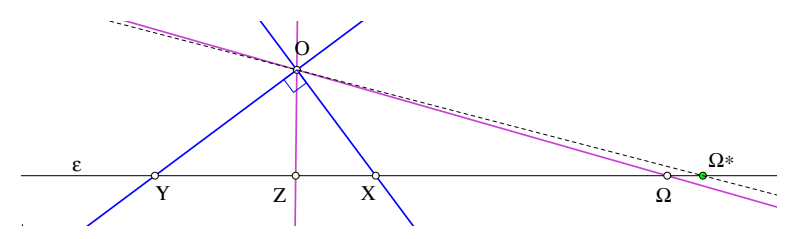
Σχήμα 517: Αρμονική δέσμη διαμέσου και απέναντι πλευράς

**Πρόταση 5.13.3** Σε κάθε τρίγωνο ΟΕΒ οι δύο πλευρές ΟΕ, ΟΒ, η διάμεσος ΟΜ και η παράλληλος της βάσης ΕΒ από το Ο αποτελούν αρμονική δέσμη.

Aπόδειξη: Αν φέρουμε στο τρίγωνο ΟΕΒ την διάμεσο ΟΜ και προεκτείνουμε την άλλη διάμεσο BA έως ότου τμήσει την παράλληλο της βάσης στο  $\Delta$ , τότε σχηματίζεται τετράδα ευθειών OA, OB, OF και  $O\Delta$  και ισχύει

$$-\frac{\Gamma A}{\Gamma B} = \frac{\Delta A}{\Delta B} = \frac{1}{2},$$

από την οποία προχύπτει ότι η δέσμη είναι αρμονική, ο.ε.δ.



Σχήμα 518: Αρμονική δέσμη με διχοτόμους

'Ασκηση 5.13.1  $\Delta \epsilon$ ίξε ότι αν στην αρμονική δέσμη  $O(X,Y,Z,\Omega)$  οι δύο ευθείες OX, OY είναι κάθετες, τότε αυτές συμπίπτουν με τις διχοτόμους της γωνίας  $ZO\Omega$ .

Υπόδειξη: Εστω ότι τα σημεία τομής της δέσμης με ευθεία ε ικανοποιούν  $(XYZ\Omega)$ =-1. Θεώρησε την συμμετρική  $O\Omega^*$  της OZ ως προς OX. Τότε και το αντίστοιχο σημείο  $\Omega^*$  επι της ε θα ικανοποιεί  $(XYZ\Omega^*)$ =-1, άρα το  $\Omega^*$  θα ταυτίζεται με το  $\Omega$ .

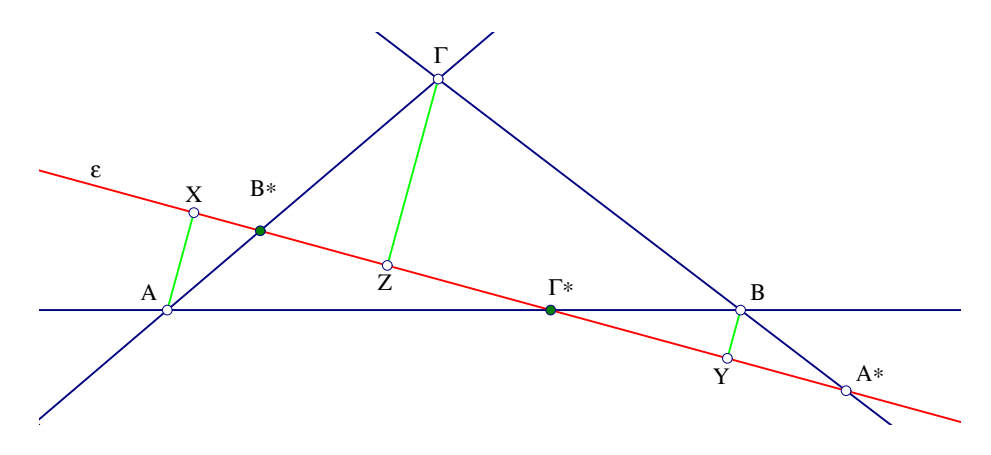
# 5.14 Θεωρήματα του Μενελάου και του Ceva

Στην παράγραφο αυτή θα ασχοληθούμε με τα δύο χύρια εργαλεία ανίχνευσης της σύμπτωσης τριών σημείων σε μία ευθεία ή/χαι τριών ευθειών σε ένα σημείο. Και στις δύο περιπτώσεις τα χριτήρια βασίζονται στον Προσημασμένο Λόγο (Παράγραφος 5.12.1).

Θεώρημα 5.14.1 (Θεώρημα του Μενελάου 70-140) Αν τρία σημεία  $A^*$ ,  $B^*$ ,  $\Gamma^*$  επί των πλευρών αντίστοιχα  $B\Gamma$ ,  $\Gamma A$ , AB τριγώνου  $AB\Gamma$  περιέχονται σε μία ευθεία ε και δεν συμπίπτουν με κορυφές του τριγώνου, τότε γιά τους προσημασμένους λόγους ισχύει η σχέση

$$\frac{A^*B}{A^*\Gamma} \cdot \frac{B^*\Gamma}{B^*A} \cdot \frac{\Gamma^*A}{\Gamma^*B} = 1.$$

Αντίστροφα, αν ισχύει η προηγούμενη σχέση, τότε τα σημεία  $A^*$ ,  $B^*$ ,  $\Gamma^*$  περιέχονται σε ευθεία.



Σχήμα 519: Θεώρημα του Μενέλαου

Aπόδειξη: Κατ' αρχήν να παρατηρήσουμε ότι κάθε ευθεία που δεν διέρχεται από κορυφές του τριγώνου τέμνει ή δύο πλευρές του τριγώνου στο εσωτερικό τους ή καμία στο εσωτερικό της (Αξίωμα 1.6.3). Επομένως από τους τρεις προσημασμένους λόγους που συμμετέχουν στην παραπάνω σχέση ή δύο είναι αρνητικοί ή όλοι είναι θετικοί, όθεν και το θετικό πρόσημο. Τώρα στην απόδειξη, προσέχοντας ώστε να παίρνουμε τα σωστά πρόσημα. Πρόβαλε τις κορυφές  $A,B,\Gamma$  του τριγώνου στην ευθεία ε, στα σημεία X,Y και Z αντίστοιχα. Προκύπτουν ζεύγη ομοίων ορθογωνίων τριγώνων:  $(A*BY,A*\Gamma Z),(B*\Gamma Z,B*AX),(\Gamma*AX,\Gamma*BY)$ . Οι αναλογίες των πλευρών των ομοίων τριγώνων δίδουν:

$$\frac{A^*B}{A^*\Gamma} = \frac{|BY|}{|\Gamma Z|}, \qquad \frac{B^*\Gamma}{B^*A} = -\frac{|\Gamma Z|}{|AX|}, \qquad \frac{\Gamma^*A}{\Gamma^*B} = -\frac{|AX|}{|BY|}.$$

Η ζητούμενη σχέση προχύπτει πολλαπλασιάζοντας τις τρεις προηγούμενες κατά μέλη και απλοποιώντας. Γιά το αντίστροφο, ας υποθέσουμε ότι ισχύει η ισότητα και ότι η ευθεία  $A^*B^*$  τέμνει την AB στο  $\Gamma'$ . Τότε κατά το αποδειχθέν μέρος του θεωρήματος θα ισχύει

$$\frac{A^*B}{A^*\Gamma} \cdot \frac{B^*\Gamma}{B^*A} \cdot \frac{\Gamma'A}{\Gamma'B} = 1.$$

Εξ υποθέσεως όμως ισχύει και η

$$\frac{A^*B}{A^*\Gamma} \cdot \frac{B^*\Gamma}{B^*A} \cdot \frac{\Gamma^*A}{\Gamma^*B} = 1.$$

Εκ των δύο προκύπτει αμέσως η

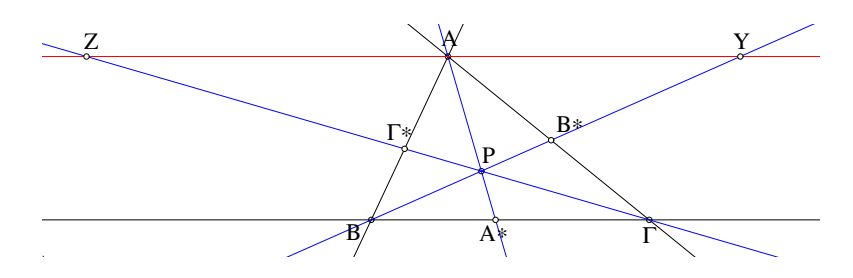
$$\frac{\Gamma'A}{\Gamma'B} = \frac{\Gamma^*A}{\Gamma^*B},$$

που δείχνει ότι το  $\Gamma'$  ταυτίζεται με το  $\Gamma^*$  (Πρόταση 5.12.1), ο.ε.δ.

Θεώρημα 5.14.2 (Θεώρημα του Ceva 1648-1734) Aν τρία σημεία  $A^*$ ,  $B^*$ ,  $\Gamma^*$  επί των πλευρών αντίστοιχα  $B\Gamma$ ,  $\Gamma A$ , AB τριγώνου  $AB\Gamma$  και διαφορετικά των κορυφών, ορίζουν ευθείες  $AA^*$ ,  $BB^*$  και  $\Gamma \Gamma^*$ , διερχόμενες διά του ιδίου σημείου P, τότε γιά τους προσημασμένους λόγους ισχύει:

$$\frac{A^*B}{A^*\Gamma} \cdot \frac{B^*\Gamma}{B^*A} \cdot \frac{\Gamma^*A}{\Gamma^*B} = -1.$$

Αντίστροφα, εάν ισχύει η προηγούμενη σχέση, τότε οι τρεις ευθείες  $AA^*$ ,  $BB^*$  και  $\Gamma\Gamma^*$  διέρχονται από το ίδιο σημείο.



Σχήμα 520: Θεώρημα του Ceva

Aπόδειξη: Και εδώ να παρατηρήσουμε πρώτα ότι γιά κάθε σημείο P του επιπέδου, μη κειμένου επί των πλευρών του τριγώνου, οι τομές  $A^*$ ,  $B^*$ ,  $\Gamma^*$  των AP, BP,  $\Gamma P$  με τις απέναντι πλευρές ή περιέχονται όλες στο εσωτερικό των πλευρών ή μία μόνον εξ αυτών περιέχεται στο εσωτερικό και οι άλλες στο εξωτερικό, όθεν και το πρόσημο -1. Τώρα, γιά την απόδειξη, προσέχοντας πάλι τα σωστά πρόσημα, φέρε παράλληλη από μία κορυφή, λ.χ. την A. Σχηματίζονται ζεύγη ομοίων τριγώνων:  $(PB\Gamma, PYZ)$ ,  $(B^*B\Gamma, B^*YA)$  και  $(\Gamma^*B\Gamma, \Gamma^*AZ)$ . Από τις αναλογίες πλευρών αυτών των ομοίων τριγώνων έχουμε τις ισότητες:

$$\frac{A^*B}{A^*\Gamma} = -\frac{|AY|}{|AZ|}, \qquad \frac{B^*\Gamma}{B^*A} = -\frac{|B\Gamma|}{|AY|}, \qquad \frac{\Gamma^*A}{\Gamma^*B} = -\frac{|AZ|}{|B\Gamma|}.$$

Η ζητούμενη σχέση προχύπτει πολλαπλασιάζοντας τις προηγούμενες κατά μέλη και απλοποιώντας.

Γιά το αντίστροφο ας υποθέσουμε ότι οι δύο ευθείες  $AA^*$ ,  $BB^*$  τέμνονται στο σημείο P και έστω  $\Gamma'$  το σημείο τομής της  $\Gamma P$  με την AB. Τότε κατά το αποδειχθέν μέρος του θεωρήματος θα ισχύει

$$\frac{A^*B}{A^*\Gamma} \cdot \frac{B^*\Gamma}{B^*A} \cdot \frac{\Gamma'A}{\Gamma'B} = -1.$$

Εξ υποθέσεως όμως ισχύει και η

$$\frac{A^*B}{A^*\Gamma} \cdot \frac{B^*\Gamma}{B^*A} \cdot \frac{\Gamma^*A}{\Gamma^*B} = -1.$$

Εκ των δύο προκύπτει αμέσως η

$$\frac{\Gamma'A}{\Gamma'B} = \frac{\Gamma^*A}{\Gamma^*B},$$

που δείχνει ότι το  $\Gamma'$  ταυτίζεται με το  $\Gamma^*$  (Πρόταση 5.12.1), ο.ε.δ.

**Πόρισμα 5.14.1** Δίδεται τρίγωνο  $AB\Gamma$  και τρία σημεία  $A^*$ ,  $B^*$  και  $\Gamma^*$  επί των πλευρών αυτού και διαφορετικά των κορυφών του. Τότε η σχέση των λόγων μηκών:

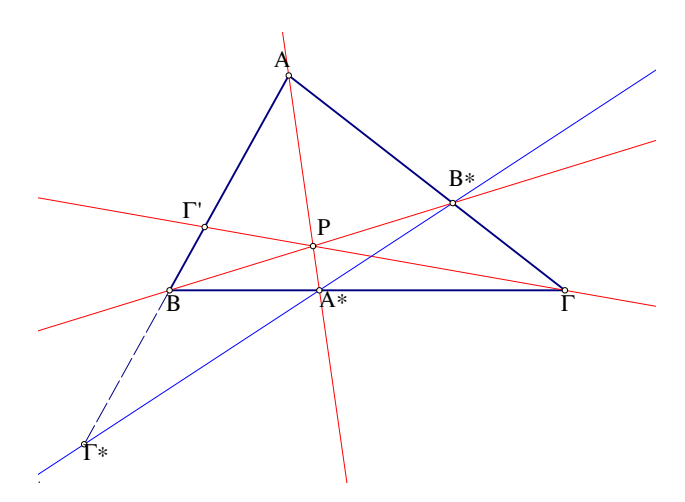
$$\frac{|A^*B|}{|A^*\Gamma|} \cdot \frac{|B^*\Gamma|}{|B^*A|} \cdot \frac{|\Gamma^*A|}{|\Gamma^*B|} = 1$$

συνεπάγεται μία ακριβώς εκ των δύο προτάσεων:

- a) τα  $A^*, B^*$  και  $\Gamma^*$  είναι επ' ευθείας,

Επίσης, αν  $\Gamma'$  είναι το αρμονικό συζυγές του  $\Gamma^*$  ως προς A,B, τότε,

- α') όταν συμβαίνει το (a), οι ευθείες  $AA^*$ ,  $BB^*$ ,  $\Gamma\Gamma'$ , διέρχονται από κοινό σημείο.
- β΄) όταν συμβαίνει το (β), τα  $A^*$ ,  $B^*$ ,  $\Gamma'$  περιέχονται στην ίδια ευθεία.



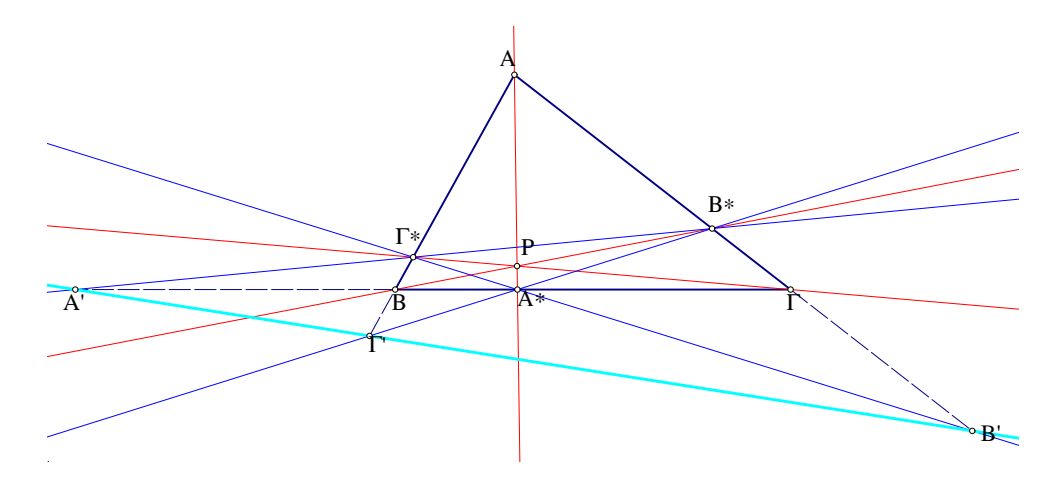
Σχήμα 521: Συσχετισμός θεωρημάτων Μενέλαου και Ceva

Aπόδειξη: Η απόδειξη έπεται άμεσα από τα προηγούμενα θεωρήματα. Εάν το τριπλό γινόμενο λόγων μηχών ισούται με 1 τότε το αντίστοιχο γινόμενο προσημασμένων λόγων θα ισούται με 1 ή -1. Στην πρώτη περίπτωση έχουμε το (α). Λόγω της σχέσης μεταξύ των αρμονιχών συζυγών  $\Gamma^*$  και  $\Gamma'$  ως προς A,B

$$\frac{\Gamma^* A}{\Gamma^* B} = -\frac{\Gamma' A}{\Gamma' B},$$

θα ισχύει τότε και το (α΄). Ανάλογα και στην δεύτερη περίπτωση ισχύουν τα (β) και (β΄). Σημείωσε ότι ανάλογες ιδιότητες ισχύουν και γιά τα αρμονικά συζυγή A' του  $A^*$  ως προς B,  $\Gamma$  και B' του  $B^*$  ως προς A και  $\Gamma$ , ο.ε.δ.

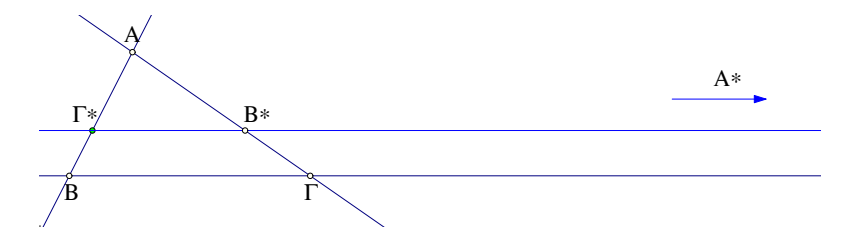
 $\Sigma$ χόλιο-1 Το τελευταίο πόρισμα φανερώνει ότι οι δύο ιδιότητες πάνε μαζί. Γιά να τις δούμε σαν ενότητα και να συμπεριλάβουμε την συμμετρία που εμπεριέχεται στη σχέση που εκφράζουν, πρέπει μαζί με τα τρία σημεία  $A^*$ ,  $B^*$  και  $\Gamma^*$  επί των πλευρών του τριγώνου  $AB\Gamma$  να θεωρήσουμε και τα τρία αρμονικά συζυγή τους A', B' και  $\Gamma'$  ως προς τα άκρα των πλευρών  $B\Gamma$ ,  $\Gamma A$  και AB αντίστοιχα. Προκύπτει τότε το επόμενο ενδιαφέρον σχήμα, στο οποίο όλες οι συμπτώσεις, εκτός αυτής των A',B' και  $\Gamma'$  επί μιάς ευθείας, είναι συνέπειες των προηγουμένων προτάσεων. Η ευθεία που περιέχει τα A',B' και  $\Gamma'$  λέγεται  $\mathbf{T}$ ριγραμμική πολική του  $\mathbf{P}$  ως προς το τρίγωνο  $\mathbf{A}B\Gamma$  και το σημείο  $\mathbf{P}$  λέγεται  $\mathbf{T}$ ριγραμμικός πόλος της ευθείας  $\mathbf{A}'B'$  ως προς το τρίγωνο  $\mathbf{A}B\Gamma$ . Οι δύο αυτές έννοιες έχουν σημαντική θέση



Σχήμα 522: Συσχετισμός θεωρημάτων Μενέλαου και Ceva II

στην ούτως ονομαζόμενη  $\Gamma \epsilon \omega \mu \epsilon \tau \rho i \alpha$  του τρηγώνου ([Cou80,  $\sigma$ . 244]). Το ότι τα A', B',  $\Gamma'$  είναι συνευθειακά θα το δούμε σε επόμενη παράγραφο (Πόρισμα 5.16.1).

Σχόλιο-2 Εφαρμόζοντας αυστηρά τους ορισμούς μας μπορούμε να βρούμε το αρμονικό συζυγές  $\Gamma'$  ως προς A,B γιά κάθε σημείο  $\Gamma^*$  της ευθείας AB, εκτός των δύο ειδικών σημείων B και M, όπου M το μέσον του AB. Όπως γιά το  $A^*{=}A'$ , έτσι δεχόμαστε και ότι  $\mathrm{B}^*{=}\mathrm{B}'$ . Αυτά είναι τα μόνα σημεία που ταυτίζονται με τα συζυγή τους. Αυτό βρίσκεται σε συμφωνία με το γεγονός ότι καθώς το X προσεγγίζει το A ή το B από το εξωτερικό του ABτο αντίστοιχο συζυγές X' προσεγγίζει το ίδιο σημείο από το εσωτερικό και τούμπαλιν.  $\Sigma$ το Μ ωστόσο αδυνατούμε να αντιστοιχίσουμε ένα συζυγές σημείο. Θεσπίζουμε (δηλαδή ορίζουμε), λοιπόν, ένα φανταστικό σημείο πάνω στην ευ $\vartheta$ εία  ${
m AB}$  που ονομάζουμε  $oldsymbol{\Sigma}$ ημείο της ευθείας στο άπειρο και θεωρούμε ότι είναι, αυτό ακριβώς, ένα φανταστικό σημείο της ευ $\vartheta$ είας πολύ μακριά, στο άπειρο και το σημείο αυτό είναι το συζυγές αρμονικό του μέσου  ${
m M}$ του  ${
m AB.}$  Το σημείο στο άπειρο της ευθείας  ${
m AB}$  συμπληρώνει και ένα άλλο κενό που αφήνουν τα κανονικά σημεία της ευθείας. O λόγος  $\lambda = 1$  δεν αντιστοιχεί σε κανένα σημείο της ευθείας AB. Θεωρούμε λοιπόν, ότι στο σημείο στο άπειρο αντιστοιχεί ο προσημασμένος λόγος  $\lambda = 1$ . Με αυτές τις παραδοχές μπορούμε να συμπεριλάβουμε στο θεώρημα του Μενελάου και ένα παλιό συμπέρασμα από το θεώρημα του Θαλή. Φέρνοντας μία παράλληλο προς την πλευρά του  ${
m B}\Gamma$  του τριγώνου  ${
m AB}\Gamma$  που τέμνει τις πλευρές του  ${
m AB},~{
m A}\Gamma$  αντίστοιχα στα σημεία  ${
m \Gamma}^*$ 



Σχήμα 523: Αναλογίες βάσει θεωρήματος Μενελάου

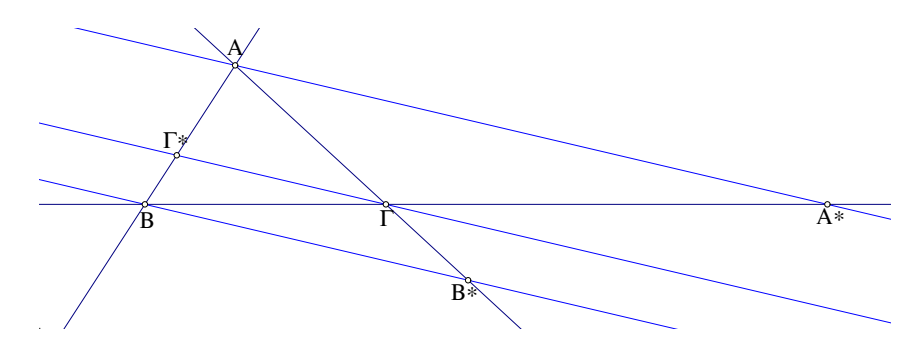
και  $B^*$ , έχουμε κατά  $\Theta$ αλή

$$\frac{\Gamma^*A}{\Gamma^*B} = \frac{B^*A}{B^*\Gamma} \quad \Leftrightarrow \quad \frac{\Gamma^*A}{\Gamma^*B} \cdot \frac{B^*\Gamma}{B^*A} = 1 \quad \Leftrightarrow \quad \frac{\Gamma^*A}{\Gamma^*B} \cdot \frac{B^*\Gamma}{B^*A} \cdot \frac{A^*B}{A^*\Gamma} = 1.$$

Στην τελευταία ισοδυναμία θεωρούμε αχριβώς ότι η  $B^*\Gamma^*$  τέμνει την  $B\Gamma$  στο σημείο της στο άπειρο  $A^*$  γιά το οποίο ισχύει (κατά παραδοχήν)

$$\frac{A^*B}{A^*\Gamma} = 1.$$

Σχόλιο-3 Ανάλογη εξειδίκευση με την προηγούμενη ισχύει και γιά το θεώρημα του Ceva

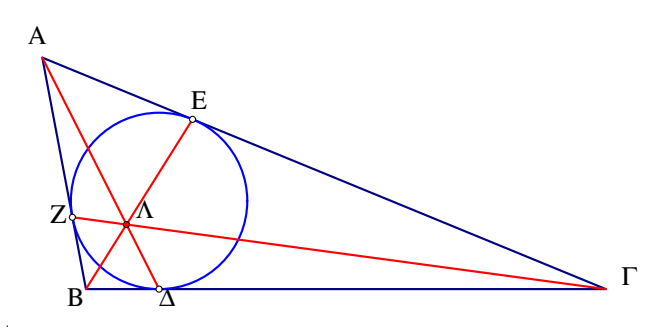


Σχήμα 524: θεώρημα του Ceva γιά παράλληλες ΑΑ\*, ΒΒ\*, ΓΓ\*

και την περίπτωση που το P είναι σημείο στο άπειρο, οπότε οι τρείς ευθείες  $AA^*$ ,  $BB^*$  και  $\Gamma\Gamma^*$  είναι τρείς παράλληλες, που θεωρούμε ότι συντρέχουν σε αυτό το σημείο (στο άπειρο). Το θεώρημα του Ceva προχύπτει από αυτό του  $\Theta$ αλή

$$\frac{A^*B}{A^*\Gamma} \cdot \frac{B^*\Gamma}{B^*A} \cdot \frac{\Gamma^*A}{\Gamma^*B} = -1.$$

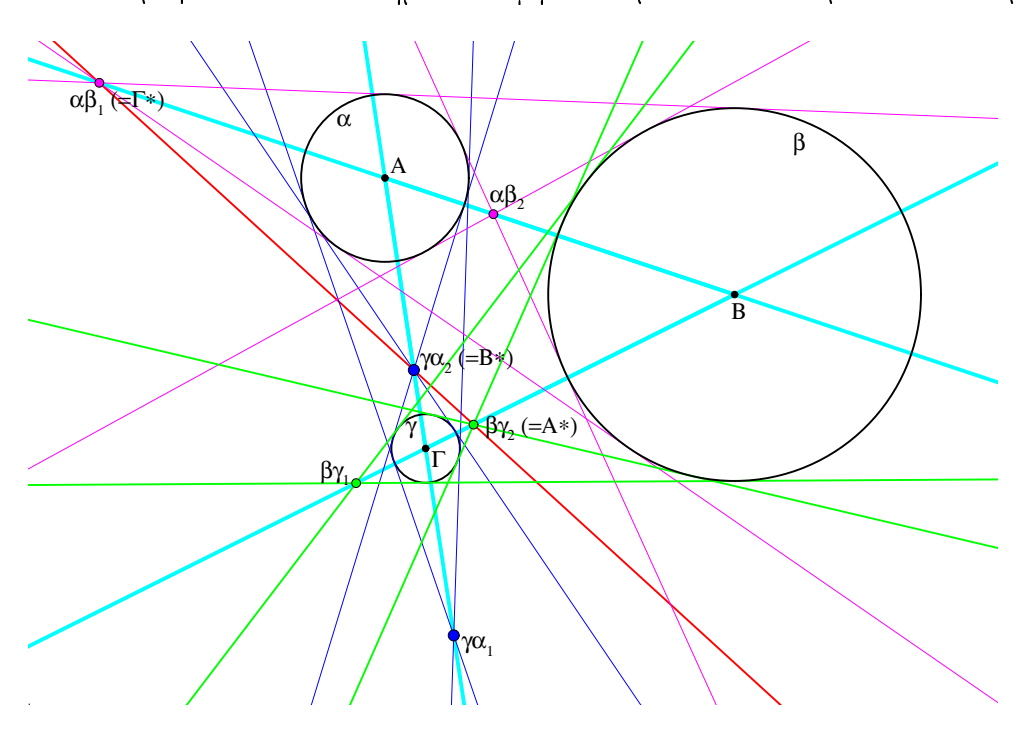
 $\Sigma$ χόλιο-4 Αυτό το φανταστικό  $\Sigma$ ημείο στο Άπειρο, που δεχόμαστε ότι υπάρχει σε κάθε ευθεία, ενωποιεί, κατά κάποιο τρόπο, τα φαινόμενα που έχουν να κάνουν με τομές ευθειών και αίρει την διάκριση σε παράλληλες και μη-παράλληλες ευθείες. Δύο μη-παράλληλες τέμνονται σε κανονικό σημείο τους. Δύο παράλληλες τέμνονται στο σημείο τους στο άπειρο. Θεωρούμε επιπλέον ότι όλα αυτά τα σημεία στο άπειρο απαρτίζουν μία φανταστική ευθεία, που ονομάζουμε  $\mathbf{E}$ υθεία στο άπειρο. Κάθε κανονική ευθεία συναντά αυτήν την φανταστική ευθεία ακριβώς στο σημείο της στο άπειρο. Με αυτές τις παραδοχές, τα θεωρήματα του Μενελάου και του Ceva ισχύουν γιά σημεία  $\mathbf{A}^*$ ,  $\mathbf{B}^*$ ,  $\mathbf{\Gamma}^*$  επί των πλευρών του τριγώνου τα οποία μπορεί να είναι κανονικά αλλά και κάποια εξ αυτών μπορεί να είναι σημεία στο άπειρο. Κάτι ανάλογο ισχύει, όπως θα δούμε, και γιά θεωρήματα επομένων παραγράφων.



Σχήμα 525: Σημείο του Gergonne τριγώνου

Άσκηση 5.14.1 (Σημείο του Gergonne (1771-1859) τριγώνου)  $\Delta$ είξε ότι οι ευθείες που ενώνουν τις κορυφές τριγώνου με το απέναντι σημείο επαφής με τον εγγεγραμμένο κύκλο διέρχονται από κοινό σημείο  $\Lambda$  (λέγεται σημείου του Gergonne του τριγώνου).

Υπόδειξη: Εφάρμοσε το θεώρημα του Ceva γιά τα σημεία επαφής  $\Delta$ ,E,Z του εγγεγραμμένου με τις πλευρές.  $\frac{\Delta B}{\Delta \Gamma} \frac{E\Gamma}{EA} \frac{ZA}{ZB} = -1$ . Αυτό προχύπτει από το ότι οι εφαπτόμενες από σημείο προς χύχλο είναι ίσες. Έτσι  $|B\Delta| = |BZ|, |\Delta\Gamma| = |\Gamma E|, |AE| = |AZ|$ . Οι προσημασμένοι λόγοι είναι όλοι αρνητιχοί διότι τα σημεία επαφής είναι μεταξύ των άχρων των πλεύρών.



Σχήμα 526: Κέντρα ομοιότητας τριών κύκλων

Άσκηση 5.14.2 Δίδονται τρεις κύκλοι εξωτερικοί αλλήλων α $(A, \rho_{\alpha})$ ,  $\beta(B, \rho_{\beta})$ ,  $\gamma(\Gamma, \rho_{\gamma})$ . Δείξε ότι τα κέντρα συμμετρίας τους, ανά τρία είναι συνευθειακά.

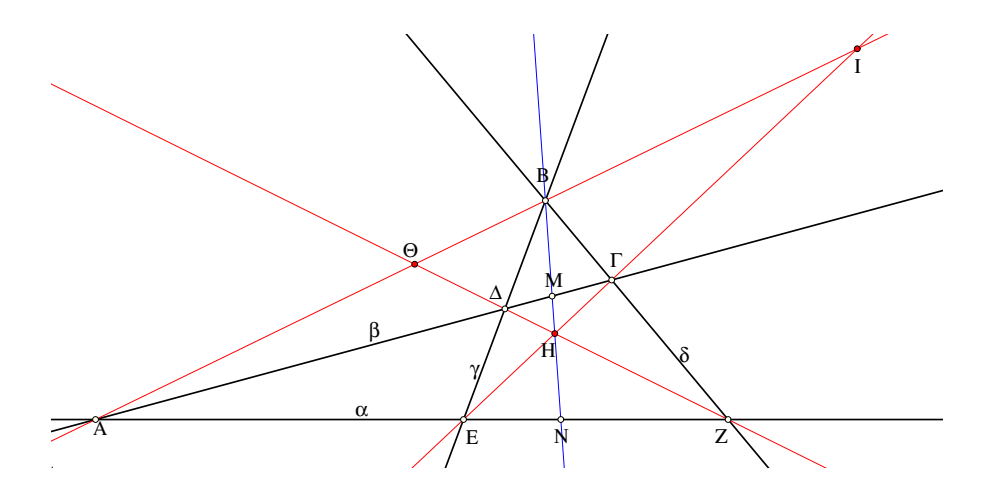
 $\Upsilon$ πόδειξη: Ας δείξουμε ότι τα σημεία  $\Gamma^*=\alpha\beta_1$ ,  $B^*=\gamma\alpha_2$  και  $A^*=\beta\gamma_2$  είναι συνευθειακά εφαρμόζοντας το θεώρημα του Μενελάου στο τρίγωνο  $AB\Gamma$  των κέντρων των κύκλων:

$$\frac{\Gamma^*A}{\Gamma^*B} = \frac{\rho_\alpha}{\rho_\beta}, \quad \frac{A^*B}{A^*\Gamma} = -\frac{\rho_\beta}{\rho_\gamma}, \quad \frac{B^*\Gamma}{B^*A} = -\frac{\rho_\gamma}{\rho_\alpha} \quad \Rightarrow \frac{\Gamma^*A}{\Gamma^*B} \cdot \frac{A^*B}{A^*\Gamma} \cdot \frac{B^*\Gamma}{B^*A} = 1.$$

'Ασκηση 5.14.3 Τα σημεία  $\Delta$  και E ευρίσκονται αντίστοιχα στις πλευρές AB και  $B\Gamma$  του τριγώνου  $AB\Gamma$  και τις χωρίζουν σε λόγους  $\frac{\Delta A}{\Delta B}=-2,~\frac{EB}{E\Gamma}=-\frac{1}{2}.~\Delta$ είξε ότι οι  $\Gamma\Delta$  και AE τέμνονται σε σημείο Z έτσι ώστε  $\frac{AZ}{ZE}=\frac{4}{3}.$ 

'Ασκηση 5.14.4 Τα σημεία  $\Delta$  και E ευρίσκονται αντίστοιχα στις πλευρές AB και  $B\Gamma$  του τριγώνου  $AB\Gamma$  και τις χωρίζουν σε λόγους  $\frac{\Delta A}{\Delta B}=\lambda, \ \frac{EB}{E\Gamma}=\sigma.$   $\Delta$ είξε ότι οι  $\Gamma\Delta$  και AE τέμνονται σε σημείο Z έτσι ώστε  $\frac{ZA}{ZE}=\frac{\lambda}{1-\sigma}.$ 

## 5.15 Το πλήρες τετράπλευρο



Σχήμα 527: Πλήρες τετράπλευρο

Πλήρες τετράπλευρο λέγεται το σχήμα που αποτελείται από τέσσερις, ανά δύο τεμνόμενες σε ένα σημείο, ευθείες α, β, γ και δ. Οι ευθείες αυτές λέγονται Πλευρές του πλήρους τετραπλεύρου. Κάθε ζεύγος πλευρών ορίζει μία Κορυφή του πλήρους τετραπλεύρου (Α,Β,Γ,Δ,Ε και Ζ στο σχήμα 527). Δύο κορυφές που δεν ανήκουν στην ίδια πλευρά λέγονται Απέναντι κορυφές του πλήρους τετραπλεύρου. Κάθε ζεύγος απέναντι κορυφών ορίζει μία Διαγώνιο του πλήρους τετραπλεύρου (ΑΒ, ΔΖ, ΓΕ στο σχήμα) ([Cox61, σ. 231]).

Πρόταση 5.15.1 Κάθε ευθεία που ενώνει μιά κορυφή B πλήρους τετραπλεύρου με το σημείο τομής H των δύο διαγωνίων που δεν διέρχονται από αυτήν, ορίζει στις πλευρές που δεν διέρχονται από αυτήν σημεία M, N αρμονικά συζυγή της απέναντι κορυφής της ως προς τις τομές των πλευρών με τις πλευρές που συντρέχουν στην κορυφή.

Aπόδειξη: Προχύπτει από το προηγούμενο Πόρισμα 5.14.1, εφαρμοζόμενο στο τρίγωνο ΓΔΝ (σχήμα 527). Κατά το πόρισμα το A είναι αρμονικό συζυγές του N ως προς E,Z. Τότε η δέσμη ευθειών B(A,N,E,Z) είναι αρμονική, άρα θα αποτέμνει αρμονική τετράδα και επί κάθε άλλης ευθείας (Θεώρημα 5.13.1), άρα και της ευθείας β, συνεπώς και τα A, M θα είναι αρμονικά συζυγή των Δ, Γ, ο.ε.δ.

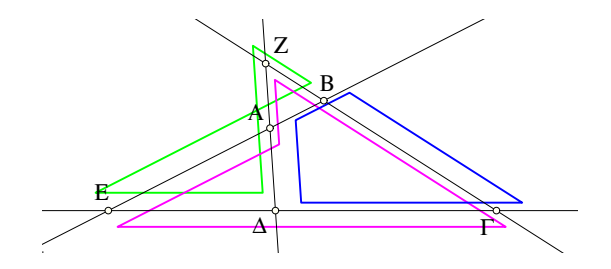
**Πόρισμα 5.15.1** Όλες οι τετράδες συνευθειακών σημείων του σχήματος 527 είναι αρμονικές.

 $A\pi\delta\delta\epsilon$ ιξη: Πρόκειται γιά τις

$$(E, Z, A, N) = (\Delta, \Gamma, A, M) = (\Delta, Z, \Theta, H) = (E, \Gamma, I, H) = (M, N, H, B) = -1.$$

Η προηγούμενη πρόταση δίδει την απόδειξη γιά τις δύο πρώτες. Γιά τις δύο επόμενες το συμπέρασμα προχύπτει από το Θεώρημα 5.13.1 εφαρμοζόμενο στην δέσμη B(E,Z,N,A). Η τελευταία προχύπτει από το ίδιο θεώρημα εφαρμοζόμενο στην αρμονιχή δέσμη  $A(\Delta,Z,\Theta,H)$ , ο.ε.δ.

'Ασκηση 5.15.1 Δίδεται πλήρες τετράπλευρο  $AB\Gamma\Delta EZ$ . Να βρεθούν όλα τα τετράπλευρα των οποίων οι πλευρές περιέχονται σε αυτές του πλήρους τετραπλεύρου.



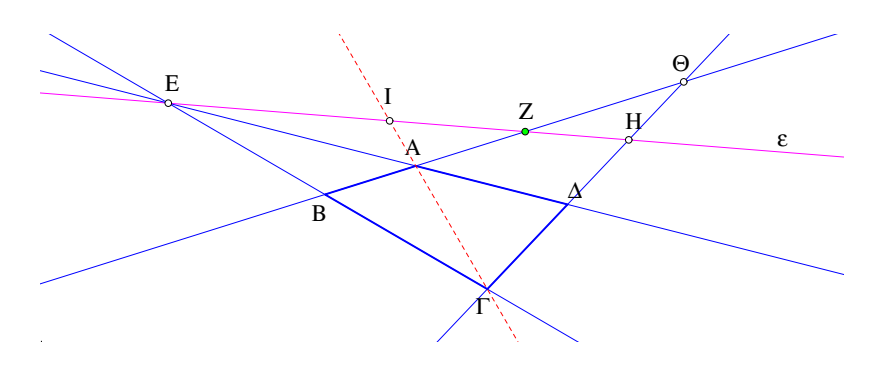
Σχήμα 528: Τετράπλευρα περιεχόμενα σε πλήρες τετράπλευρο

Πρόταση 5.15.2 Aπό την κορυφή E πλήρους τετραπλεύρου  $AB\Gamma\Delta\Theta E$  άγεται ευθεία  $\varepsilon$  τέμνουσα τις μη περιέχουσες το E πλευρές του  $\Theta A$ ,  $\Theta \Gamma$  στα σημεία Z και H. Ισχύει τότε η ισότητα

$$\frac{ZA}{ZB}\frac{H\Gamma}{H\Delta} = \frac{EA}{E\Delta}\frac{E\Gamma}{EB}$$

και τα δύο γινόμενα λόγων είναι ανεξάρτητα της θέσης της ευθείας ε. Επίσης ισχύει

$$\frac{\Theta A}{\Theta B} \frac{\Theta \Gamma}{\Theta \Delta} = \frac{EA}{E\Delta} \frac{E\Gamma}{EB}$$



Σχήμα 529: Ιδιότητα του πλήρους τετραπλεύρου

Aπόδειξη: Φέρε την διαγώνιο  $A\Gamma$ , που τέμνει την ε στο σημείο I (σχήμα 529) και εφάρμοσε το θεώρημα του Μενελάου στα τρίγωνα  $AB\Gamma$  και  $A\Gamma\Delta$  με τέμνουσα την ε. Αυτό δίδει αντίστοιχα

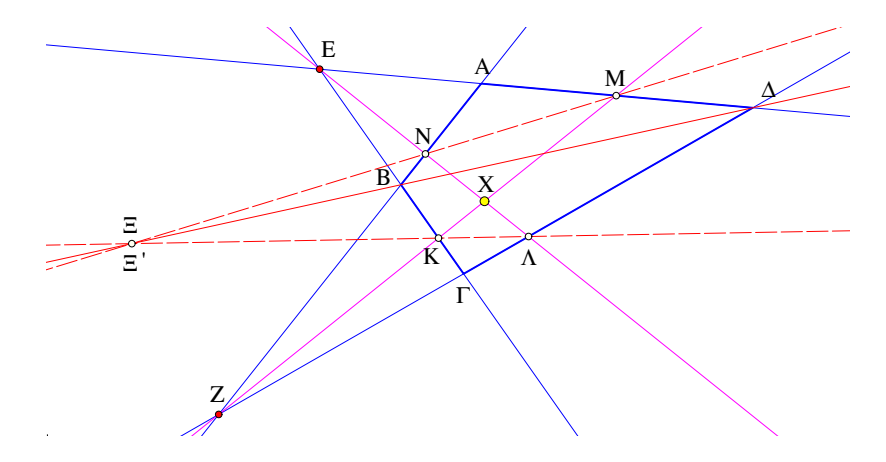
$$\frac{IA}{I\Gamma}\frac{E\Gamma}{EB}\frac{ZB}{ZA} = 1, \quad \frac{I\Gamma}{IA}\frac{EA}{E\Delta}\frac{H\Delta}{H\Gamma} = 1.$$

Πολλαπλασιάζοντας τις δύο σχέσεις προχύπτει μιά εξίσωση ισοδύναμη προς την πρώτη από τις ζητούμενες. Το δεύτερο συμπέρασμα προχύπτει άμεσα χαθώς η δεξιά πλευρά της πρώτης εξίσωσης δεν εξαρτάται από την ε. Το τελευταίο συμπέρασμα προχύπτει όταν η ε παίρνει την θέση της ΕΘ, οπότε τα Z και H ταυτίζονται με το Θ, ο.ε.δ.

Άσκηση 5.15.2 Έστω E, Z απέναντι κορυφές πλήρους τετραπλεύρου και X τυχόν σημείο μη κείμενο επί των πλευρών του. Έστω  $N,\Lambda$  και K,M τα σημεία τομής των EX, ZX με τις πλευρές του τετραπλεύρου.  $\Delta$ είξε ότι οι ευθείες MN και  $K\Lambda$  τέμνονται επί της διαγωνίου  $B\Delta$ .

 $\Upsilon$ πόδειξη: Έστω ότι οι NM τέμνει την διαγώνιο στο Ξ και η  $K\Lambda$  στο Ξ΄. Εφάρμοσε το θεώρημα του Μενελάου στα τρίγωνα  $AB\Delta$  και  $\Delta\Gamma B$  με τέμνουσες τις MN και  $K\Lambda$ :

$$\frac{\Xi B}{\Xi \Delta} \frac{M\Delta}{MA} \frac{NA}{NB} = 1 \ \Rightarrow \ \frac{\Xi B}{\Xi \Delta} = \frac{MA}{M\Delta} \frac{NB}{NA}, \qquad \qquad \frac{\Xi'\Delta}{\Xi'B} \frac{KB}{K\Gamma} \frac{\Lambda\Gamma}{\lambda\Delta} = 1 \ \Rightarrow \ \frac{\Xi'B}{\Xi'\Delta} = \frac{KB}{K\Gamma} \frac{\Lambda\Gamma}{\lambda\Delta}.$$



Σχήμα 530: Ιδιότητα διαγωνίων πλήρους τετραπλεύρου

Κατά την Πρόταση 5.15.2 ισχύει

$$\frac{EB}{E\Gamma}\frac{E\Delta}{EA} = \frac{ZB}{ZA}\frac{Z\Delta}{Z\Gamma} \quad \Rightarrow \quad \frac{E\Delta}{EA}\frac{ZA}{Z\Delta} = \frac{Z\Delta}{Z\Gamma}\frac{E\Gamma}{EB}.$$

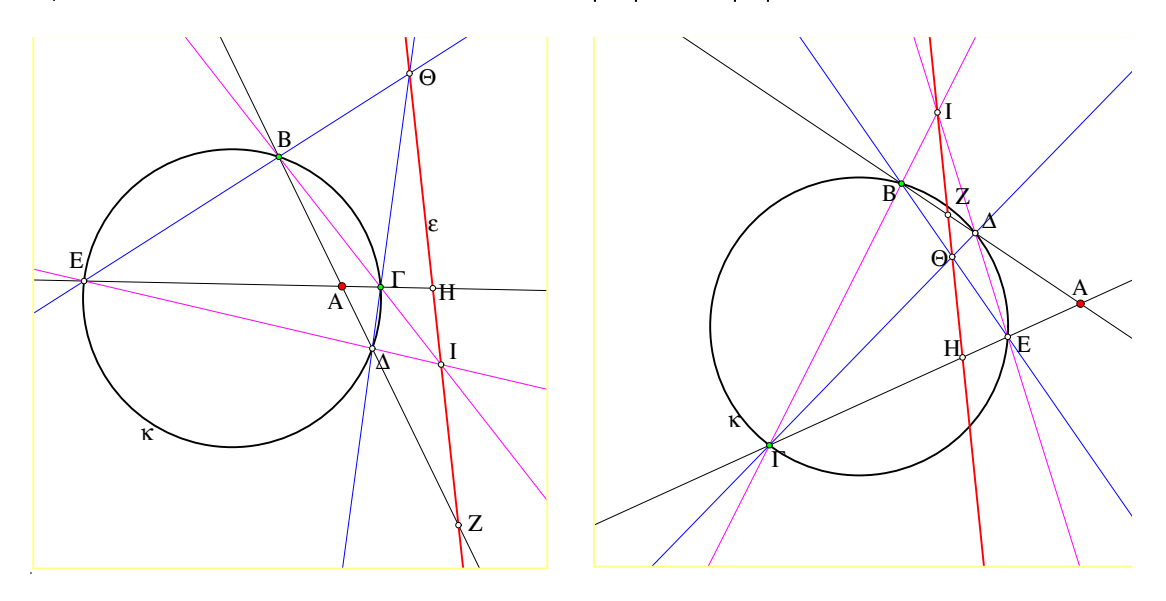
Πολλαπλασιάζοντας κατά μέλη με τις προηγούμενες παίρνουμε αντίστοιχα τις παραστάσεις

$$\left(\frac{MA}{M\Delta}\frac{NB}{NA}\right)\left(\frac{E\Delta}{EA}\frac{ZA}{Z\Delta}\right), \qquad \left(\frac{KB}{K\Gamma}\frac{\Lambda\Gamma}{\lambda\Delta}\right)\left(\frac{Z\Delta}{Z\Gamma}\frac{E\Gamma}{EB}\right),$$

που είναι αντίστοιχα ίσες με τα γινόμενα διπλών λόγων

$$(A\Delta EM)(ABNZ), \qquad (B\Gamma EK)(\Delta\Gamma\Lambda Z).$$

Κατά το Θεώρημα 5.13.1 οι πρώτοι παράγοντες στα δύο γινόμενα είναι ίσοι και οι δεύτεροι παράγοντες είναι επίσης ίσοι. Άρα τα γινόμενα είναι ίσα και συνεπώς και τα  $\frac{\Xi B}{\Xi\Delta}$ ,  $\frac{\Xi'B}{\Xi'\Delta}$  θα είναι ίσα, άρα τα  $\Xi$  και  $\Xi'$  θα ταυτίζονται (Γενίκευση της Άσκησης 3.10.11).

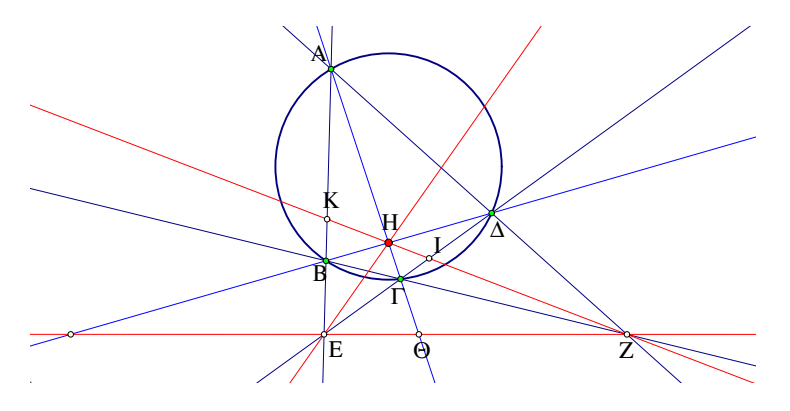


Σχήμα 531: Κατασκευή της πολικής σημείου ως προς κύκλο

Πρόταση 5.15.3 Γιά κάθε πλήρες τετράπλευρο ΒΓΔΕΙΘ του οποίου τέσσερις κορυφές περιέχονται σε κύκλο κ, η διαγώνιος που δεν περνά από αυτές τις τέσσερις είναι η πολική του σημείου τομής των δύο άλλων διαγωνίων.

Aπόδειξη: Έστω ότι οι κορυφές  $B, \Gamma, \Delta, E$  περιέχονται σε κύκλο κ. Τότε η διαγώνιος  $ε=\Theta I$  είναι αυτή που δεν περνά από τις τέσσερις κορυφές (σχήμα 531, το τετράπλευρο δεξιά είναι μη-κυρτό). Έστω A το σημείο τομής των δύο άλλων διαγωνίων  $\Gamma E$  και  $B\Delta$ . Εάν Z, H είναι τα σημεία τομής των  $B\Delta$  και  $\Gamma E$  με την  $\varepsilon$ , τότε κατά το Πόρισμα 5.15.1 οι  $(B, \Delta, A, Z)$  και  $(\Gamma, E, A, H)$  θα είναι αρμονικές τετράδες, άρα τα H και Z θα είναι σημεία της πολικής του A (Πρόταση 4.9.1), ο.ε.δ.

Σχόλιο Η προηγούμενη πρόταση δίνει έναν εύχολο τρόπο ορισμού της πολιχής ε ενός σημείου A ως προς χύχλο χ. Από το A φέρνουμε δύο τυχούσες ευθείες που τέμνουν τον χύχλο σε σημεία B,  $\Delta$  χαι  $\Gamma E$  αντίστοιχα, σχηματίζουμε το πλήρες τετράπλευρο  $B\Gamma \Delta EI\Theta$  χαι  $\beta$ ρίσχουμε την διαγώνιο  $\epsilon = \Theta I$  που δεν περιέχει το A. Αυτή είναι η πολιχή του A.



Σχήμα 532: Αυτοπολικό τρίγωνο από εγγεγραμμένο τετράπλευρο

Άσκηση 5.15.3 Έστω  $AB\Gamma\Delta$  εγγεγραμμένο κυρτό τετράπλευρο και  $AB\Delta EZ$  το αντίστοιχο πλήρες τετράπλευρο με τις ίδιες πλευρές. Έστω H το σημείο τομής των διαγωνίων  $A\Gamma$  και  $B\Delta$ .  $\Delta$ είξε ότι το τρίγωνο HEZ έχει την ιδιότητα: κάθε κορυφή του έχει πολική, ως προς τον περιγεγραμμένο κύκλο του  $AB\Gamma\Delta$ , την απέναντι πλευρά του.

Υπόδειξη: Η Πρόταση 5.15.3 εξασφαλίζει ότι η EZ είναι πολική του H. Αυτό συνεπάγεται ότι το σημείο τομής  $\Theta$  της  $A\Gamma$  με την HZ είναι αρμονικό συζυγές του H ως προς A,  $\Gamma$ . Αυτό με την σειρά του συνεπάγεται ότι η δέσμη ευθειών  $Z(A,\Gamma,H,\Theta)$  είναι αρμονική ( $\Theta$ εώρημα 5.13.1) και επομένως αποτέμνει αρμονική τετράδα και σε κάθε άλλη τέμνουσα της δέσμης. Δύο τέτοιες τέμνουσες είναι οι ευθείες EB και  $E\Gamma$ . Εάν K και I είναι τα σημεία τομής αυτών των ευθειών αντίστοιχα με την HZ, τότε οι τετράδες σημείων  $(E,I,\Gamma,\Delta)$  και (E,K,B,A) είναι αρμονικές. Άρα η KI είναι η πολική του E ως προς τον κύκλο.

Τρίγωνα, όπως το HEZ της προηγούμενης άσκησης, γιά τα οποία υπάρχει κύκλος έτσι ώστε κάθε πλευρά τους να είναι πολική ως προς την απέναντι κορυφή, ονομάζονται Αυτοπολικά.

Άσκηση 5.15.4 Στο προηγούμενο σχήμα (532) δείξε ότι οι κύκλοι με διάμετρο τις πλευρές του τριγώνου HEZ είναι ορθογώνιοι στον περιγεγραμμένο κύκλο του  $AB\Gamma\Delta$ . Συμπέρανε ότι το τρίγωνο HEZ είναι αμβλυγώνιο στο H.

### 5.16 Θεώρημα του Desargues

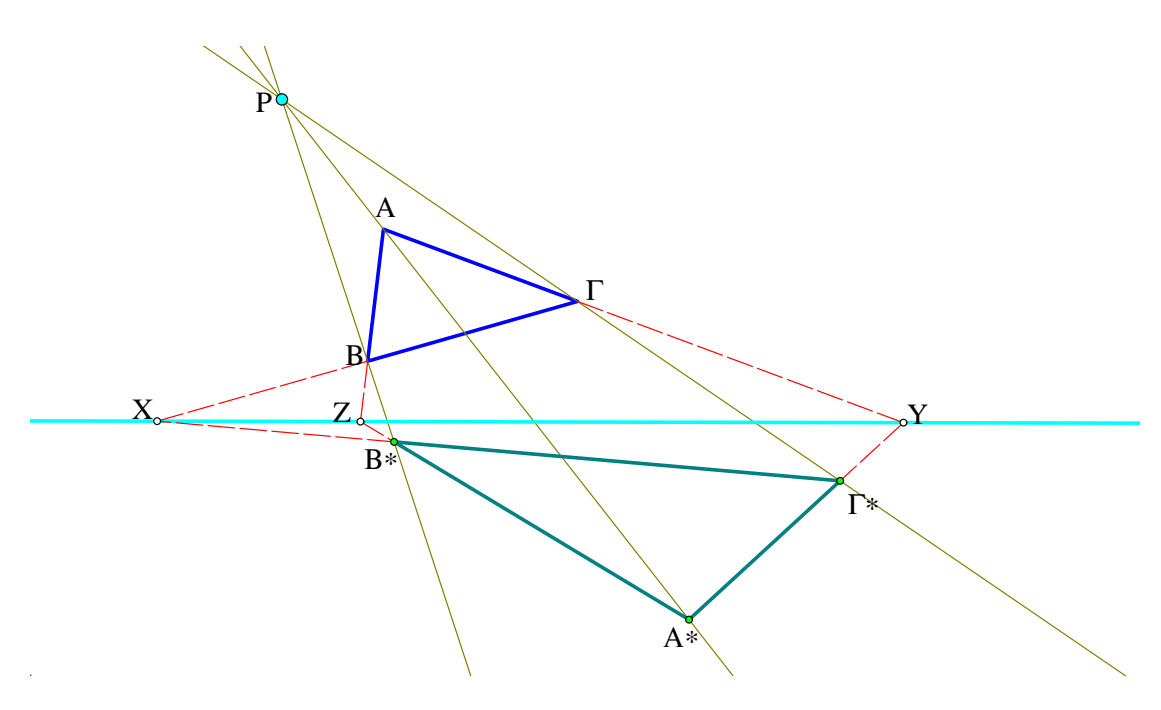
 $\Sigma$ τα επόμενα, γιά συντομία, θα συμβολίζω την τομή των ευθειών AB και  $\Gamma\Delta$  με

$$X = (AB, \Gamma\Delta).$$

Δύο τρίγωνα λέγονται Προοπτικά ως προς σημείο, όταν μπορούν να τοποθετηθούν γράμματα στις κορυφές τους  $AB\Gamma$  και  $A^*B^*\Gamma^*$ , έτσι ώστε οι ευθείες  $AA^*$ ,  $BB^*$  και  $\Gamma\Gamma^*$  να συντρέχουν σε κοινό σημείο P. Τα A,  $A^*$  λέγονται τότε  $\mathbf{O}$ μόλογα, παρόμοια και τα B,  $B^*$  και  $\Gamma$ ,  $\Gamma^*$ . Το σημείο P λέγεται  $\mathbf{K}$ έντρο Προοπτικότητας των δύο τριγώνων.

Τα δύο τρίγωνα λέγονται Προοπτικά ως προς ευθεία, όταν πάλι μπορούν να τοποθετηθούν γράμματα, έτσι ώστε τα σημεία  $X=(AB,\ A^*B^*)$ ,  $Y=(B\Gamma,\ B^*\Gamma^*)$  και  $Z=(\Gamma A,\ \Gamma^*A^*)$  να περιέχονται στην ίδια ευθεία ε. Η πλευρές  $AB,\ A^*B^*$  λέγονται τότε  $\mathbf{O}\mathbf{\mu}$ όλογες, παρόμοια και οι  $B\Gamma,B^*\Gamma^*$  και  $\Gamma A,\Gamma^*A^*$ . Η ευθεία ε λέγεται  $\mathbf{A}$ ξονας Προοπτικότητας των δύο τριγώνων .

Πρόταση 5.16.1 (Θεώρημα του Desargues 1591-1661)  $\Delta$ ύο τρίγωνα είναι προοπτικά ως προς σημείο, τότε και μόνον τότε, όταν είναι προοπτικά ως προς ευθεία.



Σχήμα 533: θεώρημα του Desargues

 $Aπόδειξη: Υπόθεσε ότι τα δύο τρίγωνα <math>AB\Gamma$  και  $A^*B^*\Gamma^*$  είναι προοπτικά ως προς σημείο P και εφάρμοσε τρεις φορές το θεώρημα του Μενελάου:

1) Στο τρίγωνο ΡΑΒ με τέμνουσα την ΖΒ\*Α\*:

$$\frac{ZA}{ZB} \cdot \frac{A^*P}{A^*A} \cdot \frac{B^*B}{B^*P} = 1.$$

2) Στο τρίγωνο PBΓ με τέμνουσα την XΓ\*B\*:

$$\frac{XB}{X\Gamma} \cdot \frac{B^*P}{B^*B} \cdot \frac{\Gamma^*\Gamma}{\Gamma^*P} = 1.$$

3) Στο τρίγωνο ΡΓΑ με τέμνουσα την  $Y\Gamma^*A^*$ :

$$\frac{Y\Gamma}{YA} \cdot \frac{\Gamma^*P}{\Gamma^*\Gamma} \cdot \frac{A^*A}{A^*P} = 1.$$

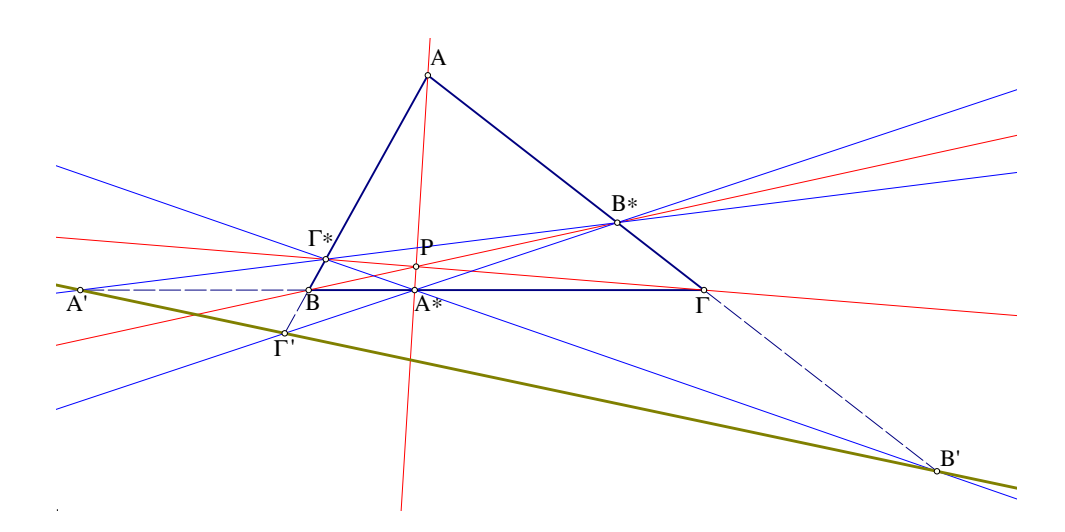
Πολλαπλασιάζοντας κατά μέλη τις τρεις ισότητες και απλοποιώντας παίρνουμε την

$$\frac{ZA}{ZB} \cdot \frac{XB}{X\Gamma} \cdot \frac{Y\Gamma}{YA} = 1.$$

Σύμφωνα με το θεώρημα του Μενελάου η σχέση αυτή σημαίνει ότι το X είναι στην ευθεία YX.

Αντίστροφα, υπόθεσε ότι τα σημεία X,Y και Z είναι συγγραμμικά και εφάρμοσε το αποδειχθέν μέρος του θεωρήματος στα τρίγωνα  $ZBB^*$  και  $Y\Gamma^*\Gamma$ , τα οποία, εξ υποθέσεως τώρα, είναι προοπτικά ως προς το σημείο X. Κατά το αποδειχθέν μέρος, τα σημεία τομής  $A=(ZB,Y\Gamma),\ A^*=(ZB^*,Y\Gamma^*)$  και  $P=(BB^*,\Gamma^*\Gamma)$  θα είναι συγγραμμικά. Τούτο είναι ισοδύναμο με το ότι οι ευθείες  $AA^*,\ BB^*$  και  $\Gamma\Gamma^*$  συντρέχουν στο ίδιο σημείο, δηλαδή τα τρίγωνα  $AB\Gamma$  και  $A^*B^*\Gamma^*$  είναι προοπτικά ως προς σημείο, ο.ε.δ.

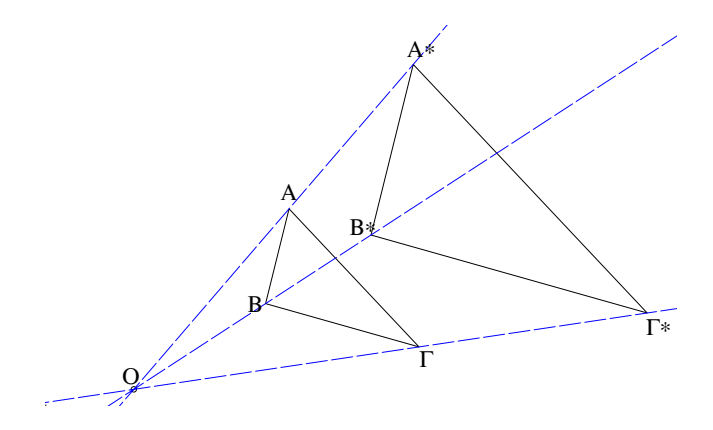
Πόρισμα 5.16.1 (Τρηγραμμική πολική) Έστω τρήγωνο  $AB\Gamma$  και σημείο P μη κείμενο επί των πλευρών (ή προεκτάσεων) του. Έστω τα σημεία τομής των ζευγών ευθειών  $A^* = (AP,B\Gamma)$ ,  $B^* = (BP,\Gamma A)$  και  $\Gamma^* = (\Gamma P,AB)$  και A', B' και  $\Gamma'$  τα αρμονικά συζυγή των  $A^*$  (ως προς B, $\Gamma$ ),  $B^*$  (ως προς  $\Gamma$ ,A) και  $\Gamma^*$  (ως προς  $\Lambda$ ,B) αντίστοιχα. Τότε τα  $\Lambda'$ ,  $\Lambda'$  και  $\Lambda'$  είναι συγγραμμικά.



Σχήμα 534: Η τριγραμμική πολική του Ρ

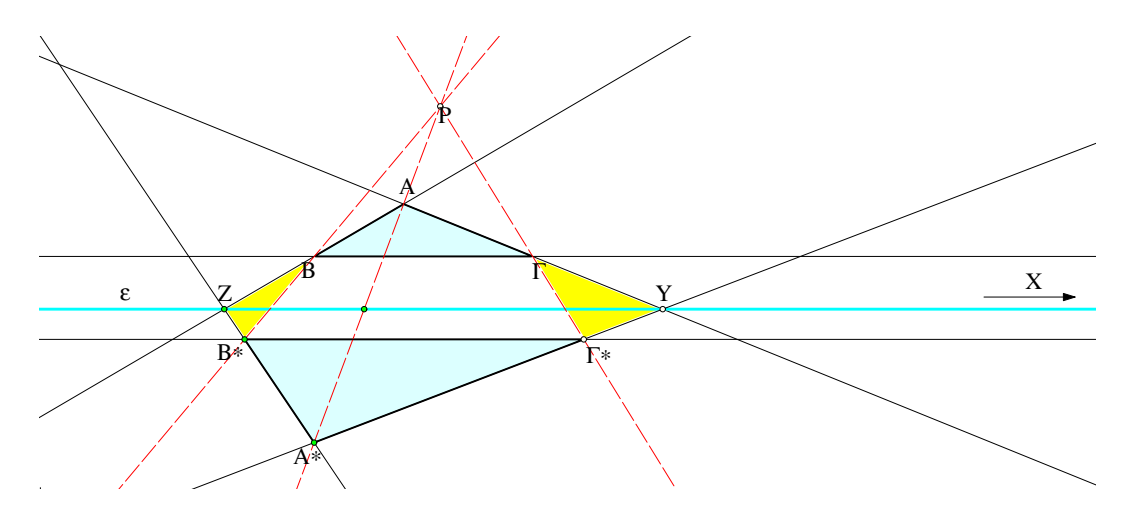
Aπόδειξη: Εξ υποθέσεως τα τρίγωνα ABΓ και A\*B\*Γ\* είναι προοπτικά ως προς το σημείο P, άρα, κατά Desargues θα είναι και προοπτικά ως προς ευθεία, δηλαδή τα ζεύγη αντιστοίχων πλευρών τους (AB, A\*B\*), (BΓ, B\*Γ\*) και (ΓA, Γ\*A\*) θα τέμνονται επ' ευθείας, ο.ε.δ.

Σχόλιο-1 Το θεώρημα του Desargues είναι ένα είδος γενίκευσης της Πρότασης 3.9.6 γιά ομοιόθετα τρίγωνα. Αν οι πλευρές των τριγώνων  $AB\Gamma$  και  $A^*B^*\Gamma^*$  είναι αντίστοιχα παράλληλες, τούτο σημαίνει ότι τα ζεύγη ευθειών  $(AB,A^*B^*)$ ,  $(B\Gamma,B^*\Gamma^*)$  και  $(\Gamma A,\Gamma^*A^*)$  τέμνονται στο άπειρο (στην  $Ev\theta$ εία στο  $A\pi$ εφο, δες τελευταίο σχόλιο στην προηγούμενη



Σχήμα 535: Ομοιοθεσία και προοπτικότητα

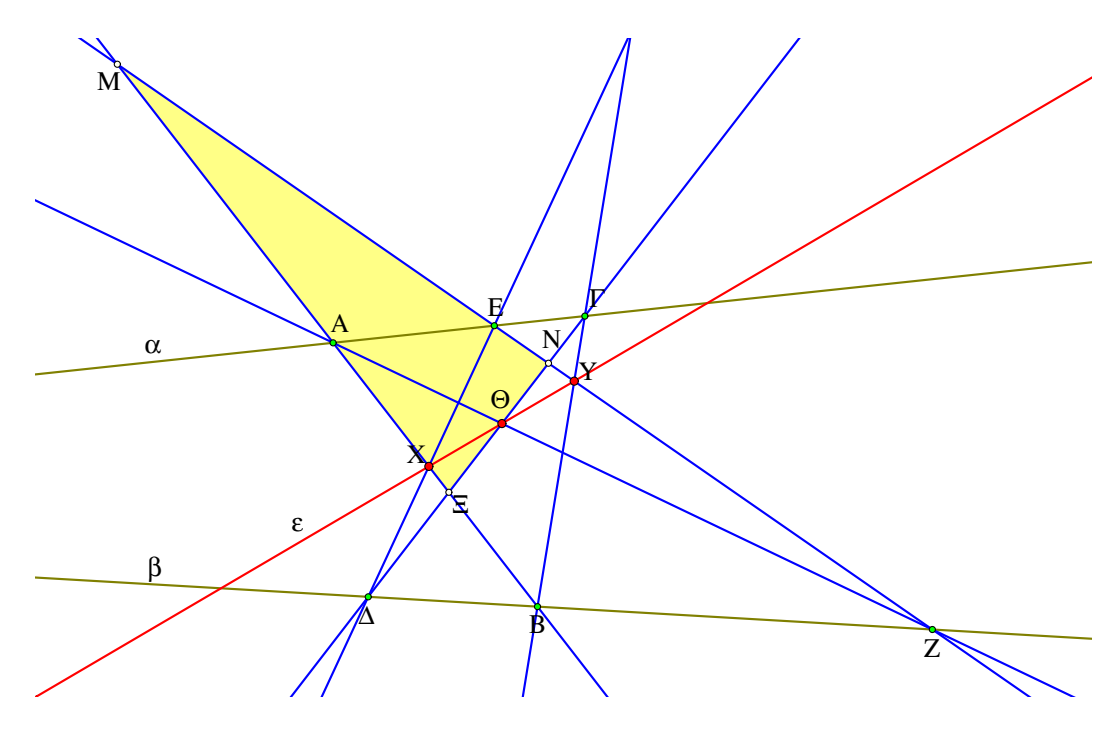
παράγραφο). Όπως αποδείχθηκε στην προαναφερθείσα πρόταση, τότε οι ευθείες  $AA^*$ ,  $BB^*$  και  $\Gamma\Gamma^*$  διέρχονται από κοινό σημείο O (που ονομάσαμε κέντρο ομοιοθεσίας των δύο τριγώνων). Μπορούμε λοιπόν να θεωρήσουμε ότι η προοπτικότητα ως προς σημείο είναι γενίκευση της ομοιοθεσίας (Παράγραφος 3.9).



Σχήμα 536: Ειδική περίπτωση εφαρμογής του θεωρήματος Desargues

 $\Sigma$ χόλιο-2 Μιά ειδική περίπτωση εφαρμογής του θεωρήματος του Desargues απεικονίζεται επίσης στο σχήμα-536. Σε αυτό τα δύο τρίγωνα ABΓ και A\*B\*Γ\* έχουν δύο αντίστοιχες πλευρές τους BΓ και B\*Γ\* παράλληλες προς την YZ, όπου  $Y=(A\Gamma,A^*\Gamma^*)$  και  $Z=(AB,A^*B^*)$ . Οι παράλληλες θεωρούνται πάλι ότι τέμνονται σε σημείο X στο άπειρο από το οποίο διέρχεται και η YZ. Κατά Desargues λοιπόν, οι ευθείες AA\*, BB\* και ΓΓ\* θα διέρχονται από κοινό σημείο. Το ίδιο σχήμα μπορεί να διαβασθεί και με άλλο τρόπο, θεωρώντας ως πρωταγωνιστές τα τρίγωνα BB\*Z και ΓΓ\*Y. Σε αυτά τα τρίγωνα οι ευθείες BΓ, ZY και B\*Γ\* είναι παράλληλες και μπορούν να θεωρηθούν ότι διέρχονται από το ίδιο σημείο X στο άπειρο. Κατά Desargues, τα σημεία  $A=(BZ,\Gamma Y)$ ,  $A^*=(ZB^*,Y\Gamma^*)$  και  $P=(BB^*,\Gamma\Gamma^*)$  είναι συγγραμμικά. Το συμπέρασμα σε αυτήν την περίπτωση μπορούμε να το αποδείξουμε εφαρμόζοντας κατάλληλα το θεώρημα του Θαλή.

## 5.17 Θεώρημα του Πάππου



Σχήμα 537: Θεώρημα του Πάππου

Aπόδειξη: ([Bot07, σ. 93]) Στο τρίγωνο MNΞ, όπου Ξ=(AB,ΓΔ), M=(AB,EZ), N=(EZ,ΓΔ) εφαρμόζουμε το θεώρημα του Μενελάου γιά τις 5 τέμνουσες του σχήματος:

1) τέμνουσα ΕΔΧ:

$$\frac{EM}{EN}\frac{\Delta N}{\Delta \Xi}\frac{X\Xi}{XM} = 1,$$

2) τέμνουσα ΖΘΑ:

$$\frac{ZM}{ZN}\frac{\Theta N}{\Theta\Xi}\frac{A\Xi}{AM}=1,$$

3) τέμνουσα ΥΓΒ:

$$\frac{YM}{YN}\frac{\Gamma N}{\Gamma\Xi}\frac{B\Xi}{BM}=1,$$

4) τέμνουσα ΕΓΑ:

$$\frac{EM}{EN}\frac{\Gamma N}{\Gamma\Xi}\frac{A\Xi}{AM} = 1,$$

5) τέμνουσα ΖΔΒ:

$$\frac{ZM}{ZN}\frac{\Delta N}{\Delta \Xi}\frac{B\Xi}{BM} = 1.$$

Πολλαπλασιάζοντας κατά μέλη τις τρεις πρώτες και τις δύο τελευταίες παίρνουμε τις

$$\frac{EM}{EN}\frac{\Delta N}{\Delta\Xi}\frac{X\Xi}{XM}\frac{ZM}{ZN}\frac{\Theta N}{\Theta\Xi}\frac{A\Xi}{AM}\frac{YM}{YN}\frac{\Gamma N}{\Gamma\Xi}\frac{B\Xi}{BM}=1, \quad \frac{EM}{EN}\frac{\Gamma N}{\Gamma\Xi}\frac{A\Xi}{AM}\frac{ZM}{ZN}\frac{\Delta N}{\Delta\Xi}\frac{B\Xi}{BM}=1.$$

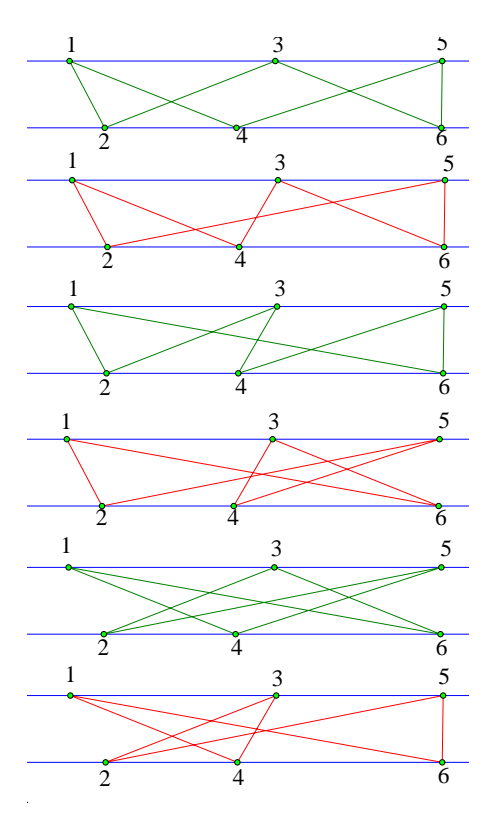
 $\Delta$ ιαιρώντας κατά μέλη την πρώτη με την δεύτερη παίρνουμε την

$$\frac{X\Xi}{XM}\frac{\Theta N}{\Theta\Xi}\frac{YM}{YN}=1,$$

που δείχνει ότι τα σημεία  $X, \Theta$  και Y είναι επ' ευθείας, ο.ε.δ.

Σχόλιο-1 Ο τρόπος που επιλέγουμε τα σημεία γιά να ορίσουμε τις ευθείες και τις τομές τους στο θεώρημα του Πάππου είναι ο εξής:

- (1) Τοποθετούμε τα  $A,B,\Gamma,...$  εναλλάξ στις ευθείες α και  $\beta$  και σχηματίζουμε το πολύγωνο  $AB\Gamma\Delta EZ$ .
- (2) Ξεκινώντας από οποιοδήποτε σημείο, λ.χ. το A παίρνουμε το επόμενο (B), αφήνουμε το επόμενο  $(\Gamma)$  και παίρνουμε το μεθεπόμενο  $(\Delta)$  και το επόμενο αυτού (E) και σχηματίζουμε την τομή  $(AB, \Delta E)$ . Με αυτόν τον τρόπο σχηματίζεται η τομή δύο  $a\pi \epsilon \nu a \nu \tau i$  πλευρών του πολυγώνου.
- (3) Στο σύμβολο (AB,  $\Delta$ E) αντικαθιστούμε κυκλικά τα γράμματα  $A \to B \to \Gamma \to \Delta \to E \to Z \to A$ , και σχηματίζουμε τις τομές τών άλλων δύο ζευγών  $a\pi \epsilon \nu a \nu \tau i$  πλευρών (B $\Gamma$ ,EZ) και ( $\Gamma$ \Delta,ZA).

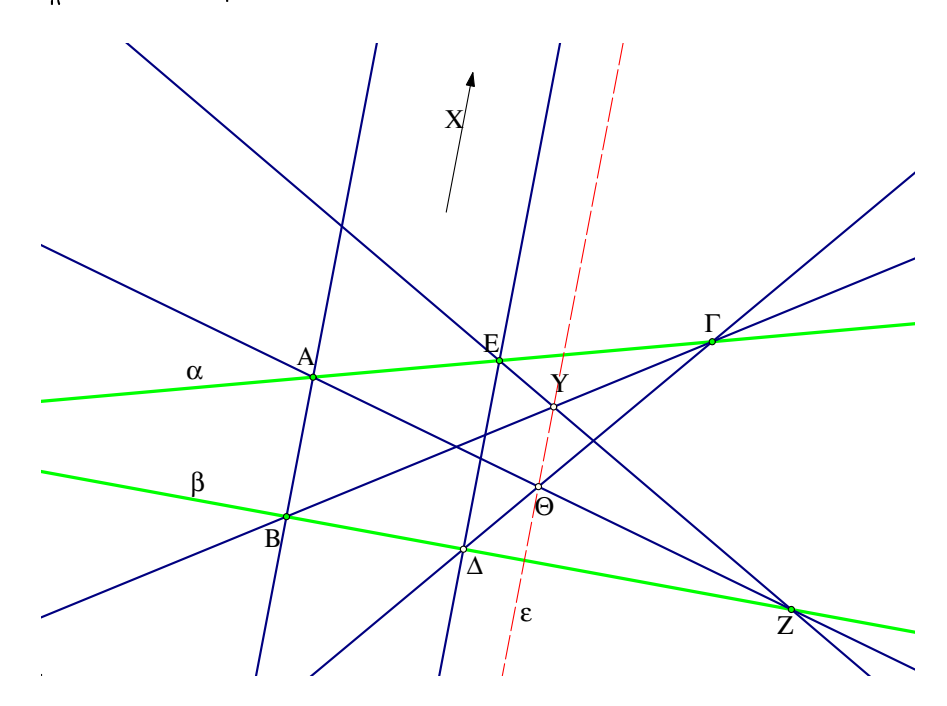


Σχήμα 538: Οι έξι δυνατότητες γιά πολύγωνα του Πάππου

Άσκηση 5.17.1  $\Delta$ οθέντων τριών σημείων στην ευθεία α και άλλων τριών στην ευθεία  $\beta$ , δείξε ότι υπάρχουν έξι δυνατότητες να φτιάξουμε διαφορετικά πολύγωνα με την προηγούμενη συνταγή και κάθε ένα ορίζει μία αντίστοιχη ευθεία μέσω του θεωρήματος του Πάππου.

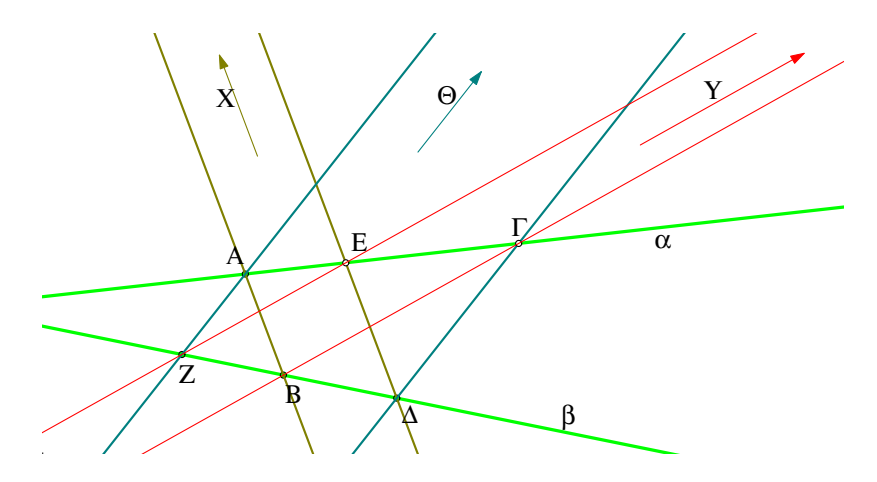
 $\Upsilon$ πόδ $\epsilon$ ιξη: Μία κορυφή λ.χ. η (1) (σχήμα-538) συνδέεται με δύο άλλες στην απέναντι ευθεία. Έχουμε λοιπόν τρεις δυνατότητες να επιλέξουμε τις δύο άλλες. Γιά κάθε επιλογή από

τις τρεις, έχουμε δύο δυνατότητες να επιλέξουμε την τέταρτη κορυφή και η επιλογή αυτή καθορίζει πλήρως το πολύγωνο.



Σχήμα 539: Ειδική περίπτωση εφαρμογής του θεωρήματος του Πάππου

Σχόλιο-4 Ανάλογες ειδικές περιπτώσεις υπάρχουν και γιά το θεώρημα του Πάππου. Οι περιπτώσεις αυτές προκύπτουν όταν κάποια από τα σημεία  $X, Y, \Theta$ , που εμφανίζονται στο θεώρημα πάνε στο άπειρο. Μιά τέτοια περίπτωση εμφανίζεται στο σχήμα-539, στο οποίο οι δύο ευθείες AB και  $\Delta E$  τέμνονται σε σημείο X στο άπειρο, δηλαδή είναι παράλληλες. Τότε η συγγραμμικότητα των  $X, Y = (B\Gamma, EZ)$  και  $\Theta = (\Gamma\Delta, AZ)$  σημαίνει ότι και η  $\Theta Y$  είναι παράλληλη των AB και  $\Delta E$ .

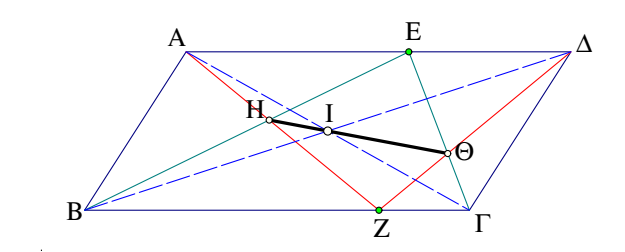


Σχήμα 540: Τρία σημεία τομής στο άπειρο

Μιά άλλη ειδική περίπτωση είναι όταν δύο εκ των  $X, Y, \Theta$  είναι σημεία στο άπειρο, λ.χ. τα X και  $\Theta$ , όπως φαίνεται στο σχήμα-540. Τότε, από την συγγραμμικότητα των  $X, \Theta, Y$  προκύπτει ότι στην ευθεία των  $X, \Theta$ , που είναι η Eυθεία στο Aπειρο θα περιέχεται και το

τρίτο σημείο Y, δηλαδή και αυτό θα είναι σημείο στο άπειρο. Με άλλα λόγια οι EZ και  $B\Gamma$  θα είναι και αυτές παράλληλες.

Σχόλιο-5 Η προηγούμενη και αυτή η παράγραφος είναι μιά μικρή εισαγωγή στην λεγόμενη Προβολική Γεωμετρία, στην οποία εξετάζονται ιδιότητες σύμπτωσης σημείων επί ευθειών και ευθειών επί σημείων (δηλαδή διερχομένων διά των σημείων). Τα θεωρήματα των Μενέλαου, Πάππου, Ceva και Desargues είναι θεμελιώδους σημασίας σε αυτήν την γεωμετρία, αλλά έχουν και χρήσιμες εφαρμογές στα πλαίσια της Ευκλείδειας Γεωμετρίας.

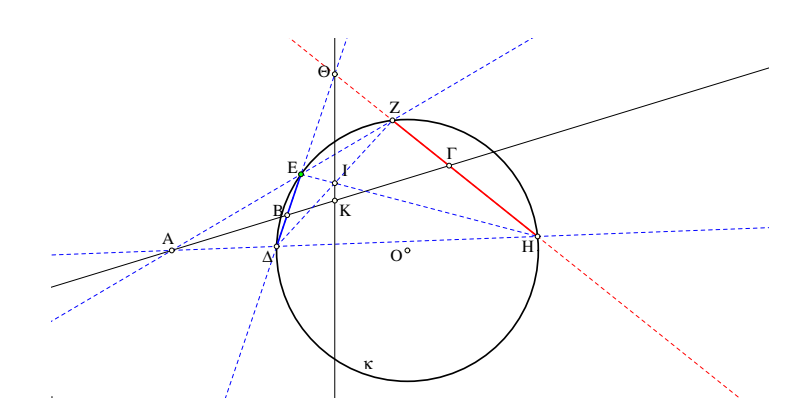


Σχήμα 541: Εφαρμογή του θεωρήματος του Πάππου

Άσκηση 5.17.2  $\Delta$ ίδονται σημεία E, Z κείμενα σε απέναντι πλευρές  $A\Delta$ ,  $B\Gamma$  παραλληλογράμμου  $AB\Gamma\Delta$ .  $\Delta$ είξε ότι τα σημεία τομής H=(BE,AZ),  $\Theta=(\Gamma E,\Delta Z)$  και το σημείο τομής των διαγωνίων I του παραλληλογράμμου είναι συγγραμμικά σημεία.

Υπόδειξη: Εφάρμοσε το θεώρημα του Πάππου στο  $AZ\Delta BE\Gamma$ . Σύμφωνα με αυτό τα σημεία τομής  $H=(AZ,BH),\ \Theta=(Z\Delta,E\Gamma)$  και  $I=(\Delta B,\Gamma A)$  θα είναι συγγραμμικά σημεία.

Άσκηση 5.17.3 Δίδονται δύο σημεία A και B εκτός του κύκλου  $\kappa$  και χορδή  $\Delta E$  του  $\kappa$  διερχόμενη διά του B. Εάν Z,H είναι τα δεύτερα σημεία τομής των AE και  $A\Delta$  με τον  $\kappa$  αντιστοίχως, δείξε ότι η χορδή ZH διέρχεται από σταθερό σημείο.

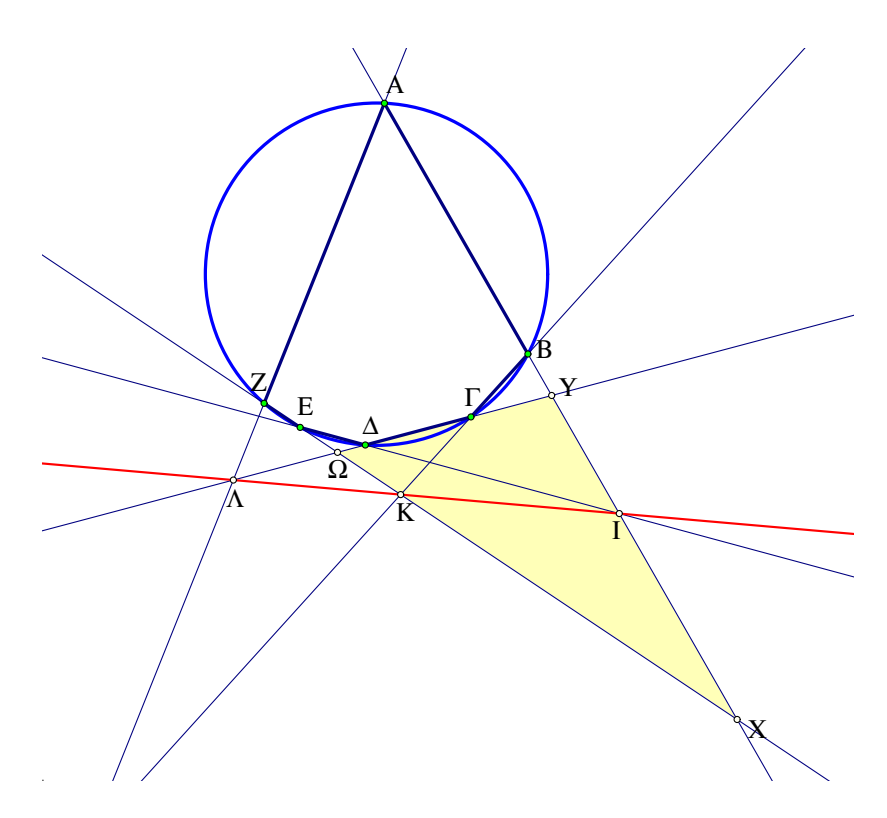


Σχήμα 542: Εγγεγραμμένο τετράπλευρο με μεταβαλλόμενες πλευρές

Υπόδειξη: Η πολική του A ως προς κ είναι η διαγώνιος  $\Theta$ Ι του πλήρους τετραπλεύρου  $\Delta$ EZH (Πρόταση 5.15.3). Εάν K και  $\Gamma$  είναι τα σημεία τομής των  $\Theta$ Ι και ZΗ αντίστοιχα με την AB, τότε  $(AKB\Gamma)$ =-1 (Πόρισμα 5.15.1).

#### 5.18 Θεωρήματα του Pascal και του Brianchon

Θεώρημα 5.18.1 (Θεώρημα μυστικού εξάγραμμου του Pascal 1623-1662) Τα σημεία τομής  $I=(AB,\Delta E),\ K=(B\Gamma,EZ),\ \Lambda=(\Gamma\Delta,ZA)$  των απέναντι πλευρών εξαγώνου  $AB\Gamma\Delta EZ,$  εγγεγραμμένου σε κύκλο, είναι συγγραμμικά.



Σχήμα 543: Θεώρημα του Pascal

Aπόδειξη: Εφαρμόζουμε τρεις φορές το θεώρημα του Μενελάου στο τρίγωνο XYΩ που σχηματίζεται από τις μη διαδοχικές πλευρές του εξαγώνου (AB, ΓΔ, EZ).

(1) Τέμνουσα ΒΓ:

$$\frac{BY}{BX}\frac{\Gamma\Omega}{\Gamma Y}\frac{KX}{K\Omega} = 1.$$

(2) Τέμνουσα ΔΕ:

$$\frac{IY}{IX}\frac{\Delta\Omega}{\Delta Y}\frac{EX}{E\Omega}=1.$$

(3) Τέμνουσα ΑΖ:

$$\frac{AY}{AX}\frac{ZX}{Z\Omega}\frac{\Lambda\Omega}{\Lambda Y} = 1.$$

Πολλαπλασιάζοντας τις τρείς εξισώσεις κατά μέλη και παρατηρώντας ότι

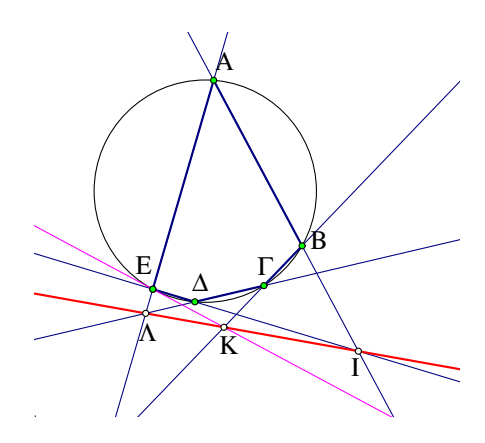
$$\frac{BY}{\Gamma Y}\frac{AY}{\Delta Y} \ = \ \frac{\Gamma\Omega}{E\Omega}\frac{\Delta\Omega}{Z\Omega} \ = \ \frac{EX}{BX}\frac{ZX}{AX} = 1,$$

λόγω του ότι τα γινόμενα σε αριθμητή και παρονομαστή εκφράζουν την δύναμη του ιδίου σημείου ως προς τον κύκλο, συμπεραίνουμε, απλοποιώντας, ότι ισχύει

$$\frac{KX}{K\Omega} \cdot \frac{IY}{IX} \cdot \frac{\Lambda\Omega}{\Lambda Y} = 1,$$

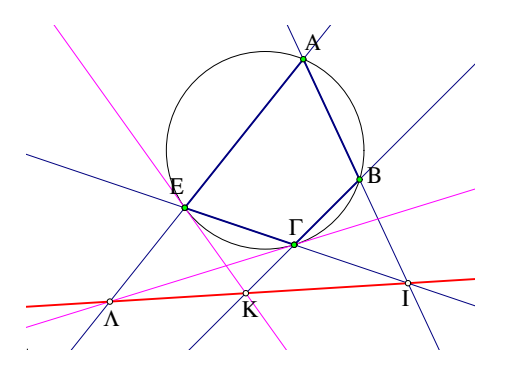
που σημαίνει ότι τα τρία σημεία I, K και  $\Lambda$  είναι συγγραμμικά, ο.ε.δ.

 $\Sigma$ χόλιο-1 Υπάρχει μιά συγγένεια μεταξύ των θεωρημάτων του Πάππου και του Pascal που αντανακλάται και στην διατύπωση, τον τρόπο που φτιάχνουμε τα κρίσιμα σημεία τομής, αλλά και στην απόδειξη. Πράγματι τα δύο θεωρήματα είναι ειδικές περιπτώσεις ενός γενικοτέρου θεωρήματος, που ισχύει γιά εξάγωνα εγγεγραμμένα σε κωνική τομή. Μάλιστα το γενικό αυτό θεώρημα δίδει ένα κριτήριο αναγκαίο και ικανό γιά την εγγραφή ενός εξαγώνου σε μιά τέτοια καμπύλη. Η ευθεία που περιέχει τα σημεία τομής  $I, K, \Lambda$  των πλευρών λέγεται Eυθεία του Pascal του εγγεγραμμένου εξαγώνου.



Σχήμα 544: Θεώρημα του Pascal γιά εγγεγραμμένα πεντάγωνα

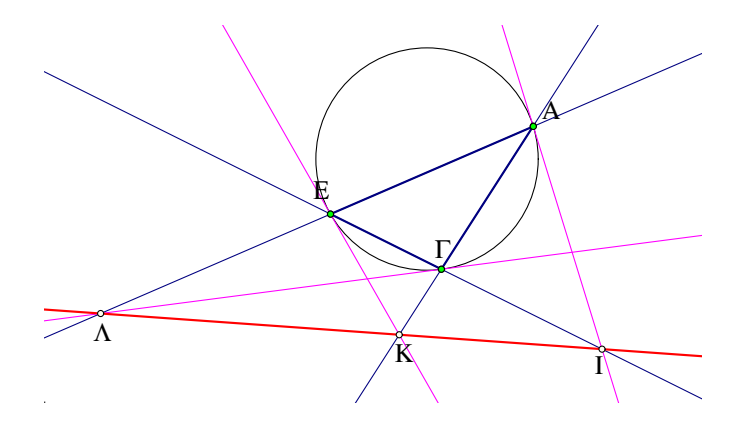
Σχόλιο-2 Το θεώρημα του Pascal οδηγεί και σε μία ιδιότητα γιά πεντάγωνα, καθώς εξακολουθεί να ισχύει και στην περίπτωση που ένα από τα σημεία του εξαγώνου τείνει προς ένα γειτονικό του λ.χ. το Z προς το E. Τότε η πλευρά EZ τείνει να συμπέσει με την εφαπτόμενη του κύκλου στο E και το θεώρημα εξασφαλίζει ότι τα σημεία τομής  $I=(AB,E\Delta),$   $\Lambda=(AE,\Delta\Gamma)$  και  $K=(t_E,B\Gamma),$  όπου  $t_E$  η εφαπτόμενη του περιγεγραμμένου κύκλου στο E, περιέχονται πάλι σε ευθεία.



Σχήμα 545: Θεώρημα του Pascal γιά εγγεγραμμένα τετράπλευρα

Η ίδια διαδικασία μπορεί να επαναληφθεί με το πεντάγωνο και να οδηγήσει σε ιδιότητα των εγγεγραμμένων τετραπλεύρων. Όταν το  $\Delta$  τείνει να συμπέσει με το  $\Gamma$ , τότε η  $\Delta\Gamma$  τείνει προς την εφαπτόμενη του  $\Gamma$  και το θεώρημα του Pascal εξασφαλίζει ότι τα σημεία τομής  $I=(AB,\Gamma E),\, \Lambda=(AE,t_\Gamma),\, K=(B\Gamma,t_E)$  περιέχονται σε μία ευθεία.

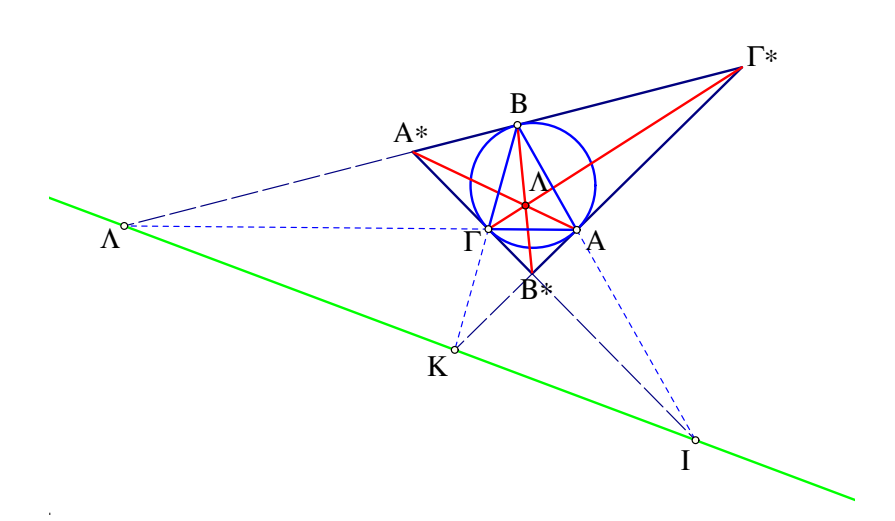
Τέλος, εφαρμόζοντας την ίδια διαδικασία σε εγγεγραμμένα τετράπλευρα παίρνουμε μιά ιδιότητα γιά τα τρίγωνα. Όταν και το B τείνει να συμπέσει με το A, τότε η AB τείνει προς την



Σχήμα 546: Θεώρημα του Pascal γιά τρίγωνα

εφαπτόμενη στο Α και το θεώρημα εξασφαλίζει την γνωστή ιδιότητα των τριγώνων, κατά την οποία Οι εφαπτόμενες του περικύκλου στις κορυφές του τριγώνου τέμνουν τις απέναντι πλευρές σε σημεία συνευθειακά.

Άσκηση 5.18.1 Δείξε ότι οι εφαπτόμενες του περικύκλου στις κορυφές του τριχώνου τέμνουν τις απέναντι πλευρές σε σημεία συνευθειακά, χρησιμοποιώντας την άσκηση 5.14.1 και το θεώρημα του Desargues.

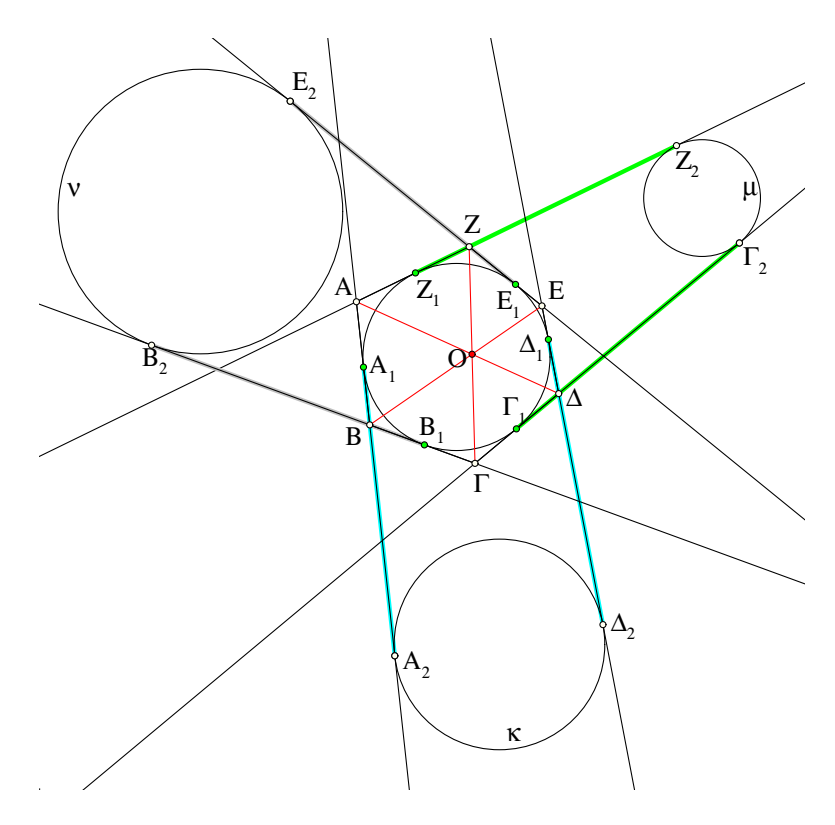


Σχήμα 547: Η ευθεία του Lemoine του τριγώνου

Υπόδειξη: Φέρνοντας τις εφαπτόμενες στις κορυφές τριγώνου  $AB\Gamma$  σχηματίζεται το λεγόμενο  $Eφαπτομενικό τρίγωνο <math>A^*B^*\Gamma^*$  του  $AB\Gamma$ , το οποίο έχει τον περίκυκλο του  $AB\Gamma$  ως εγγεγραμμένο κύκλο του. Κατά την Άσκηση 5.14.1 οι ευθείες  $AA^*$ ,  $BB^*$  και  $\Gamma\Gamma^*$  διέρχονται από κοινό σημείο  $\Lambda$ . Αυτό σημαίνει ότι τα τρίγωνα  $AB\Gamma$  και  $A^*B^*\Gamma^*$  είναι προοπτικά ως προς το σημείο  $\Lambda$ , άρα, κατά Desargues, θα είναι και προοπτικά ως προς ευθεία, δηλαδή τα σημεία τομής των ευθειών  $I=(AB,A^*B^*)$ ,  $K=(B\Gamma,B^*\Gamma^*)$  και  $\Lambda=(\Gamma A,\Gamma^*A^*)$  θα είναι επ $^*$  ευθείας.

Η ευθεία που ορίζεται στην προηγούμενη άσκηση και περιέχει τα I, K και  $\Lambda$  λέγεται ευθεία του Lemoine (1840-1912) του τριγώνου  $AB\Gamma$  και παίζει εξέχοντα ρόλο στην  $\Gamma$ εωμετρία του Tριγώνου([Cou80,  $\sigma$ . 252]).

Θεώρημα 5.18.2 (Θεώρημα του Brianchon 1783-1864) Οι διαγώνιοι  $A\Delta$ , BE,  $\Gamma Z$ , που ενώνουν απέναντι κορυφές εξαγώνου  $AB\Gamma\Delta EZ$ , περιγεγραμμένου σε κύκλο, διέρχονται από κοινό σημείο.



Σχήμα 548: Θεώρημα του Brianchon

Aπόδειξη: Προέκτεινε τις πλευρές και πάρε ίσα τμήματα από τα σημεία επαφής με τον κύκλο

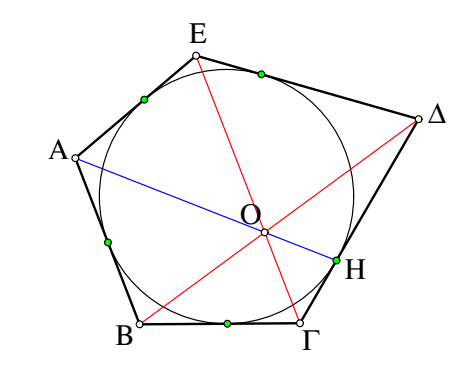
$$|A_1A_2| = |B_1B_2| = |\Gamma_1\Gamma_2| = |\Delta_1\Delta_2| = |E_1E_2| = |Z_1Z_2| = \lambda.$$

Ορίζονται τρεις άλλοι χύκλοι: (κ) εφαπτόμενος των AB,  $\Delta E$  στα  $A_2$ ,  $\Delta_2$ , (μ) εφαπτόμενος των  $\Gamma \Delta$ , AZ στα  $\Gamma_2$ ,  $Z_2$ , (ν) εφαπτόμενος των EZ,  $\Gamma B$  στα  $E_2$ ,  $B_2$ . Λόγω της ισότητας των εφαπτομένων από το B,  $|BA_1|=|BB_1|$ , έπεται και ότι  $|BA_2|=\lambda-|BA_1|=\lambda-|BB_1|=|BB_2|$  και συνεπώς το B είναι επί του ριζικού άξονος των κύκλων κ και ν. Παρόμοια, λόγω της ισότητας των εφαπτομένων από το E:  $|EE_1|=|E\Delta_1|$ , έπεται ότι και  $|EE_2|=|E\Delta_2|$ , άρα και το E είναι επί του ριζικού άξονος των κ και ν. Συνάγεται ότι η ευθεία BE συμπίπτει με τον ριζικό άξονα των κύκλων κ και ν. Ανάλογα δείχνουμε ότι και η ευθεία  $A\Delta$  συμπίπτει με τον ριζικό άξονα των κ και μ και ότι η  $\Gamma Z$  συμπίπτει με τον ριζικό άξονα των κύκλων μ και ν. Το θεώρημα προκύπτει λοιπόν από το ότι οι ριζικοί άξονες τριών κύκλων διέρχονται από κοινό σημείο O (Θεώρημα 4.3.1), ο.ε.δ.

Το σημείο τομής των διαγωνίων Ο του περιγεγραμμένου εξαγώνου ονομάζεται **Σημείο** του **Brianchon** του περιγεγραμμένου εξαγώνου.

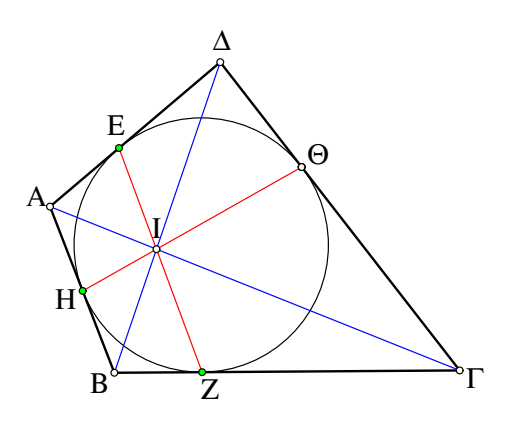
**Σχόλιο-3** Όπως το θεώρημα του Pascal έτσι και αυτό του Brianchon, στην περίπτωση που μία κορυφή του εξαγώνου τείνει να συμπέσει με μία γειτονική της, οδηγεί σε ένα θεώρημα γιά πεντάγωνα:  $\Delta$ ύο διαγώνιοι  $B\Delta$ ,  $\Gamma E$  πενταγώνου περιγεγραμμένου σε κύκλο και η

ευθεία AH, που ενώνει την πέμπτη κορυφή με το απέναντι σημείο επαφής, διέρχονται από κοινό σημείο O.



Σχήμα 549: Θεώρημα του Brianchon γιά εγγεγραμμένα πεντάγωνα

Αφήνοντας, στο προηγούμενο σχήμα γιά το πεντάγωνο, το Ε να συμπέσει με το Α, το πεντάγωνο μετασχηματίζεται σε τετράπλευρο και το θεώρημα εξασφαλίζει ότι: Οι διαγώνιοι τετραπλεύρου περιγεγραμμένου σε κύκλο και οι ευθείες που ενώνουν σημεία επαφής απέναντι κειμένων πλευρών, διέρχονται από το ίδιο σημείο.

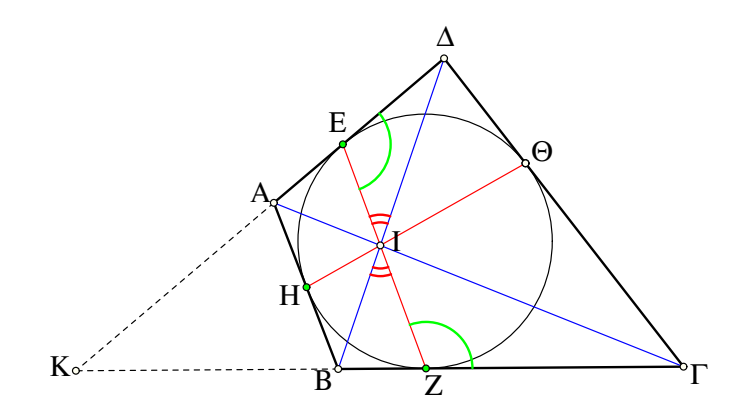


Σχήμα 550: Θεώρημα του Brianchon γιά εγγεγραμμένα τετράπλευρα

Τέλος, αφήνοντας στο προηγούμενο τετράπλευρο μία κορυφή να συμπέσει με μία γειτονική της παίρνουμε το συμπέρασμα της Άσκησης 5.14.1, κατά το οποίο: Οι ευθείες που ενώνουν τις κορυφές τριγώνου με τα απέναντι σημεία επαφής του εγγεγραμμένου κύκλου διέρχονται από κοινό σημείο.

Άσκηση 5.18.2  $\Delta \epsilon$ ίξε ότι σε κάθε τετράπλευρο  $AB\Gamma \Delta$ , περιγεγραμμένο σε κύκλο, οι διαγώνιοι και οι ευθείες που ενώνουν τα σημεία επαφής απέναντι πλευρών διέρχονται από κοινό σημείο (χωρίς χρήση του θεωρήματος του Brianchon).

 $\Upsilon$ πόδ $\epsilon$ ιξη: Υπόθεσε ότι η ευθεία EZ, που ενώνει τα απέναντι σημεία επαφής, τέμνει την διαγώνιο  $B\Delta$  στο I. Προέκτεινε τις  $A\Delta$  και  $B\Gamma$  μέχρι την τομή τους στο K. Από την ισότητα



Σχήμα 551: Ιδιότητα περιγεγραμμένων τετραπλεύρων

των εφαπτομένων και το ισοσκελές EZK, έπεται ότι οι γωνίες  $\Delta EI$  και  $\Gamma ZI$  είναι ίσες. Συνεπώς τα τρίγωνα  $\Delta EI$  και IBZ έχουν τις γωνίες τους στο I ίσες και αυτές στα E και Z παραπληρωματικές. Έπεται (Πρόταση 3.9.3) ότι

$$\frac{|I\Delta|}{|IB|} = \frac{|E\Delta|}{|ZB|}.$$

Ανάλογα, προεκτείνοντας τις AB και  $\Delta\Gamma$  και παίρνοντας την τομή I' της  $H\Theta$  με την  $B\Delta$ , βρίσκουμε ότι

$$\frac{|I'\Delta|}{|I'B|} = \frac{|\Delta\Theta|}{|BH|}.$$

Όμως από την ισότητα των εφαπτομένων  $|BH|=|BZ|,\ |\Delta E|=|\Delta \Theta|,$  έπεται ότι οι λόγοι στην δεξιά πλευρά των δύο προηγουμένων ισοτήτων είναι ίσοι και συνεπώς

$$\frac{|I\Delta|}{|IB|} = \frac{|I'\Delta|}{|I'B|},$$

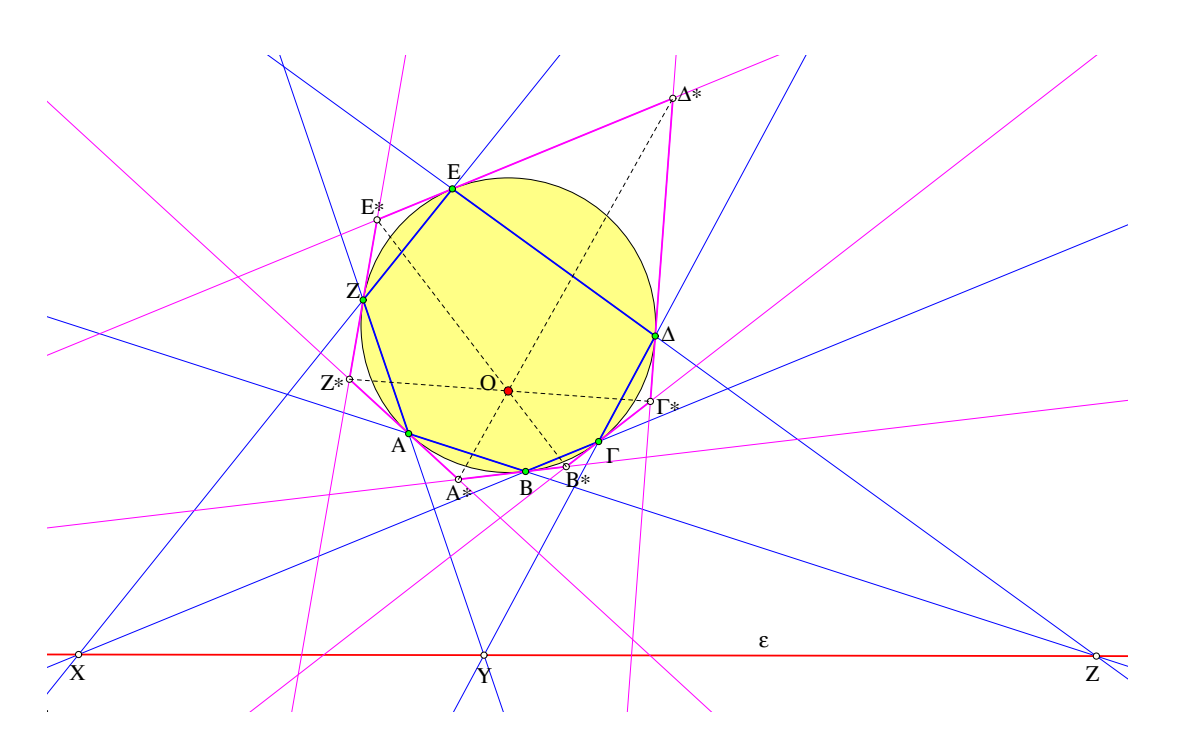
από την οποία συνάγεται ότι τα I και I' συμπίπτουν με το ίδιο σημείο επί της  $\Delta B$ . Αυτό δείχνει ότι η  $B\Delta$  διέρχεται από το σημείο τομής των EZ και  $H\Theta$ . Ανάλογα δείχνουμε, ότι και η διαγώνιος  $A\Gamma$  διέρχεται από το σημείο τομής των EZ και  $H\Theta$ .

Σχόλιο-4 Τα θεωρήματα του Pascal και Brianchon ισχύουν γενικότερα ([VY10, σ. 111]) γιά τις λεγόμενες Κωνικές τομές, που είναι ακριβώς οι καμπύλες -τομές ορθού κώνου (Παράγραφος 8.9) και επιπέδου (10.1). Οι κύκλοι είναι ειδική περίπτωση τέτοιων κωνικών τομών. Μιά βασική ιδιότητα των κωνικών τομών είναι ότι πέντε σημεία σε γενική θέση ορίζουν πάντοτε μία ακριβώς κωνική τομή που περνά από αυτά. Το θεώρημα του Pascal, στην γενική του μορφή γιά κωνικές τομές, εκφράζει μία αναγκαία και ικανή συνθήκη γιά να είναι έξι σημεία πάνω σε μιά κωνική τομή ([Cha65, σ. 18]). Έτσι, το αντίστροφο του Θεωρήματος 5.18.1 εξασφαλίζει ότι, αν οι απέναντι πλευρές εξαγώνου τέμνονται επ' ευθείας, τότε το εξάγωνο εγγράφεται σε κωνική τομή, που δεν είναι, εν γένει, κύκλος. Από αυτήν την άποψη το θεώρημα του Pascal είναι εργαλείο της ίδιας μορφής με αυτό λ.χ. του θεωρήματος του Μενελάου (Θεώρημα 5.14.1) που αποφαίνεται γιά το πότε τρία σημεία είναι πάνω στην ίδια ευθεία.

Ανάλογη ιδιότητα ισχύει και γιά το θεώρημα του Brianchon, το οποίο, στα πλαίσια της Προβολικής Γεωμετρίας ([VY10]), αποδεικνύεται ισοδύναμο (δυϊκό) του θεωρήματος του

Pascal ([Cha65, σ. 26]). Η αντίστοιχη ισοδυναμία στην περίπτωση του κύκλου εξετάζεται στην επόμενη άσκηση. Αποδεικνύεται ότι πέντε ευθείες σε γενική θέση ορίζουν μονοσήμαντα μιά κωνική τομή εφαπτόμενη σε αυτές. Το θεώρημα του Brianchon δίδει ένα αναγκαίο και ικανό κριτήριο ύπαρξης κωνικής τομής εφαπτόμενης σε έξι ευθείες. Έτσι, το αντίστροφο του Θεωρήματος 5.18.2 εξασφαλίζει ότι, αν οι ευθείες που ενώνουν απέναντι σημεία εξαγώνου συντρέχουν σε ένα σημείο, τότε οι πλευρές του εξαγώνου εφάπτονται σε κωνική τομή, που δεν είναι, εν γένει, κύκλος.

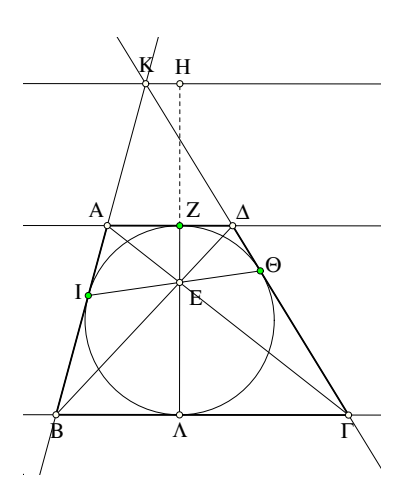
Άσκηση 5.18.3  $\Delta$ είξε ότι οι πόλοι των πλευρών εξαγώνου  $AB\Gamma\Delta EZ$  εγγεγραμμένου σε κύκλο κ είναι κορυφές του εξαγώνου  $A^*B^*\Gamma^*\Delta^*E^*Z^*$  περιγεγραμμένου στον κύκλο κ, του οποίου τα σημεία επαφής των πλευρών με τον κύκλο συμπίπτουν με τις κορυφές του  $AB\Gamma\Delta EZ$ .  $\Delta$ είξε επίσης ότι η ευθεία του Pascal του  $AB\Gamma\Delta EZ$ , που περιέχει τα σημεία τομής X, Y, Z των απέναντι πλευρών του  $AB\Gamma\Delta EZ$ , συμπίπτει με την πολική του σημείου O του Brianchon του  $A^*B^*\Gamma^*\Delta^*E^*Z^*$ , που είναι το σημείο τομής των διαγωνίων αυτού του εξαγώνου.



Σχήμα 552: Δυϊκότητα θεωρημάτων Pascal και Brianchon

 $\Upsilon$ πόδειξη: Το πρώτο μέρος, γιά τον ορισμό του  $A^*B^*\Gamma^*\Delta^*E^*Z^*$  από το  $AB\Gamma\Delta EZ$ , είναι αυτούσια η Άσκηση 4.9.4. Το κλειδί γιά τα υπόλοιπα είναι το ότι κάθε διαγώνιος, όπως λ.χ. η  $A^*\Delta^*$  είναι η πολική ενός από τα τρία σημεία (του Z) στην ευθεία του Pascal. Πράγματι, το  $\Delta^*$  είναι ο πόλος της  $E\Delta$  και το  $A^*$  είναι ο πόλος της AB. Αφού λοιπόν η  $A^*\Delta^*$  περιέχει τους πόλους των AB και  $\Delta E$ , και οι ευθείες αυτές θα περιέχουν τον πόλο της  $A^*\Delta^*$ , δηλαδή η τομή τους Z θα είναι ακριβώς ο πόλος της  $A^*\Delta^*$ . Ανάλογα αποδεικνύεται ότι τα Y και X είναι αντίστοιχα οι πόλοι των  $B^*E^*$  και  $\Gamma^*Z^*$ . Επειδή λοιπόν η ε περιέχει κάθε ένα από αυτούς τους πόλους και οι αντίστοιχες ευθείες  $A^*\Delta^*$ ,  $B^*E^*$ ,  $\Gamma^*Z^*$  θα περιέχουν τον πόλο O της ε, άρα θα τέμνονται σε αυτό το σημείο.

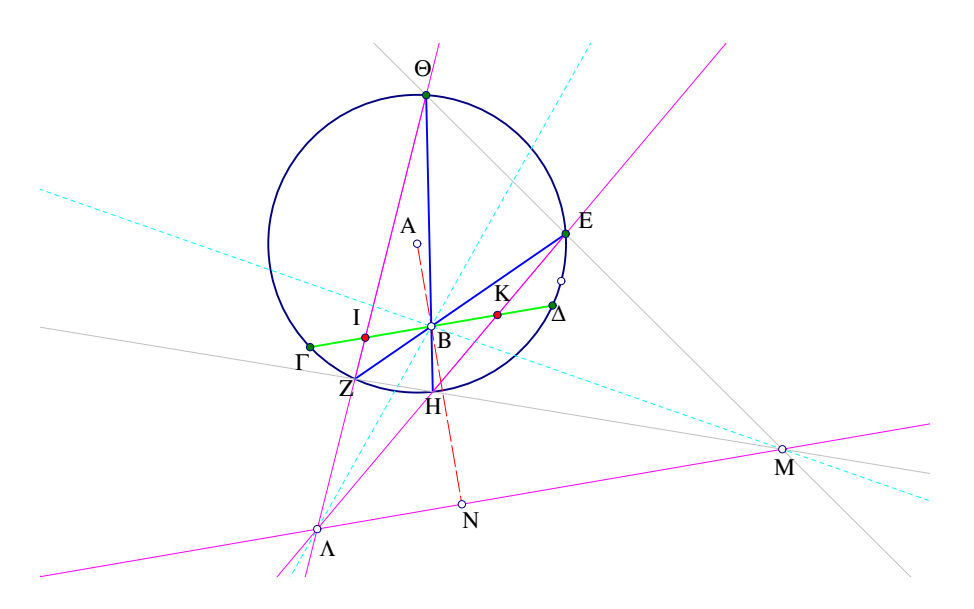
'Ασκηση 5.18.4  $\Delta \epsilon$ ίξε ότι σε μη ισοσκελές τραπέζιο  $AB\Gamma\Delta$  που περιγράφεται σε κύκλο, οι ευθείες που ενώνουν τα σημεία επαφής απέναντι πλευρών διέρχονται από το σημείο τομής E



Σχήμα 553: Ιδιότητα τραπεζίου

των διαγωνίων του. Επίσης εάν Z και  $\Lambda$  είναι τα σημεία επαφής των παραλλήλων πλευρών του, H το αρμονικό συζυγές του E ως προς Z και  $\Lambda$  και K το σημείο τομής των μη παραλλήλων πλευρών του, τότε η KH είναι παράλληλη προς τις παράλληλες πλευρές του.

Άσκηση 5.18.5 (Θεώρημα της πεταλούδας) Οι δύο χορδές ZE και  $H\Theta$  του κύκλου κ διέρχονται από το μέσον B της τρίτης χορδής  $\Gamma\Delta$ .  $\Delta$ είξε ότι οι οι ευθείες  $Z\Theta$  και EH τέμνουν την χορδή  $\Gamma\Delta$  αντίστοιχα σε σημεία I και K συμμετρικά κείμενα ως προς B.



Σχήμα 554: Θεώρημα της πεταλούδας

Υπόδειξη: Στο πλήρες τετράπλευρο ZHEΘ η πολική του σημείου τομής των διαγωνίων του B είναι ευθεία  $\Lambda M$  παράλληλη της  $\Gamma \Delta$  (Πρόταση 5.15.3). Επίσης η δέσμη ευθειών  $\Lambda (ZHBM)$  είναι αρμονική (Πρόταση 5.15.3), άρα θα αποτέμνει αρμονική τετράδα σε κάθε άλλη ευθεία που τέμνει αυτές τις τέσσερις. Ειδικά στην  $\Gamma \Delta$ , που είναι παράλληλη της  $\Lambda M$ , οι τρεις άλλες ευθείες της δέσμης θα αποτέμνουν ίσα τμήματα (Πόρισμα 5.13.2).

Κεφάλαιο 6 Κύκλου μέτρηση

### 6.1 Οι δυσκολίες, το όριο

Το πρόβλημα με τον χύχλο είναι ότι, πριν να τον μετρήσει, πρέπει κανείς να αποδείξει ότι έχει μήχος (συχνότερα λέμε Περίμετρο). Αυτό φαίνεται δύσκολο να κατανοηθεί από τον αρχάριο, είναι ωστόσο ένα πρόβλημα που προχύπτει από το ότι δεν έχουμε, ως τώρα, δώσει ορισμό του μήχους καμπύλης. Προς το παρόν, μήχος, ξέρουμε να μετράμε μόνο γιά ευθύγραμμα τμήματα και τα παράγωγα αυτών που είναι τεθλασμένες και πολύγωνα. Ο χύχλος ωστόσο είναι κάτι διαφορετικό. Πρέπει να ξεκαθαρίσουμε τα πράγματα, να ορίσουμε τι αχριβώς εννοούμε με μήχος χύχλου και να αποδείξουμε ότι ο ορισμός μας έχει έννοια και δεν αντιφάσκει στα αξιώματά μας. Αφού γίνουν όλα αυτά μπορούμε κατόπιν να προχωρήσουμε στον προσδιορισμό του μήχους του χύχλου. Στο θέμα της ύπαρξης του μήχους λοιπόν εμφανίζεται η ανάγχη να καταφύγουμε σε ένα αξίωμα των πραγματικών αριθμών (λέγεται Αξίωμα πληρότητας) που έχει να κάνει με ακολουθίες και όρια. Το αξίωμα αυτό λέει:

**Αξίωμα 6.1.1** Κάθε αύξουσα ακολουθία πραγματικών αριθμών  $\alpha_1, \alpha_2, \alpha_3, ...$  που είναι και φραγμένη έχει όριο έναν πραγματικό αριθμό A.

Η λέξη Ακολουθία (αριθμών) σημαίνει ένα σύνολο αριθμών, που καθένας τους χαρακτηρίζεται από έναν ακέραιο αριθμό (δείκτη):

$$\alpha_1, \ \alpha_2, \ \alpha_2, \ \dots \alpha_{\nu}, \ \dots$$

Κάθε ένας από αυτούς τους αριθμούς ονομάζεται **Όρος** της ακολουθίας. Η λέξη **αύξουσα** σημαίνει ότι οι αριθμοί αυτοί βαίνουν συνεχώς αυξανόμενοι:

$$\alpha_1 \le \alpha_2 \le \alpha_3 \le \alpha_4...$$

Το ότι η ακολουθία είναι φραγμένη σημαίνει ότι υπάρχει συγκεκριμένος αριθμός <math>M έτσι ώστε όλοι τους να είναι μικρότεροι από το M. Θα μπορούσαμε να γράψουμε εν συντομία:

$$\alpha_1 < \alpha_2 < \alpha_3 < \alpha_4 \dots < M$$
.

Το Μ λέγεται (άνω)  $\Phi$ ράγμα της ακολουθίας. Ένα M'>M είναι επίσης φράγμα και συνήθως δεν παίζει ρόλο η ακριβής τιμή του Μ. Αρκεί να βρούμε ότι υπάρχει κάποιο Μ που ικανοποιεί τις προηγούμενες ανισότητες. Γιά παράδειγμα, οι αριθμοί

$$0 < \frac{1}{2} < \frac{2}{3} < \frac{3}{4} < \frac{4}{5} < \frac{5}{6} < \dots$$

αποτελούν μιά αύξουσα ακολουθία που είναι και φραγμένη αφού όλοι οι αριθμοί είναι μικρότεροι του M=1. Παρατήρησε ότι οι όροι της ακολουθίας αυτής δίνονται από τον τύπο

$$\alpha_{\nu} = \frac{\nu - 1}{\nu},$$

αντικαθιστώντας σε αυτόν τις τιμές  $1, 2, 3, 4, 5, \dots$  κτλ.

Η τελευταία λέξη που θέλει εξήγηση στην σύντομη διατύπωση του αξιώματος είναι το  $\mathbf{Opio}$ .  $\Delta$ εν θα δώσω εδώ τον γενικό ορισμό του αλλά μόνο τον ειδικό, δηλαδή αυτόν του ορίου μιάς αύξουσας ακολουθίας. Είναι λοιπόν το όριο μιάς αύξουσας ακολουθίας ένας αριθμός  $\mathbf{A}$  γιά τον οποιόν ικανοποιούνται δύο ανισότητες

$$A - \varepsilon < \alpha_{\nu} \le A$$

η δεξιά γιά όλα τα  $\alpha_{\nu}$ , η δε αριστερή, γιά οποιοδήποτε  $\varepsilon>0$  και αν διαλέξουμε, ικανοποιείται γιά όλα τα  $\alpha_{\nu}$ , εκτός ορισμένων, πού όμως ο αριθμός τους είναι πεπερασμένος (και εξαρτάται από το μέγεθος του  $\varepsilon$ ). Στο προηγούμενο παράδειγμα λ.χ. μπορούμε να δούμε εύκολα ότι το όριο είναι A=1. Πράγματι η προηγούμενη ανισότητα γίνεται

$$1-\varepsilon < \frac{\nu-1}{\nu} \le 1.$$

Η δεξιά ανισότητα αληθεύει γιά όλα τα ν = 1, 2,3,4, .... Η αριστερή γράφεται

$$1 - \varepsilon < 1 - \frac{1}{\nu},$$

και είναι ισοδύναμη με την

$$\frac{1}{\nu} < \varepsilon$$

που με την σειρά της είναι ισοδύναμη με την

$$\frac{1}{\varepsilon} < \nu$$
.

Η τελευταία όμως ικανοποιείται όπως άκριβώς απαιτεί ο ορισμός του ορίου, δηλαδή γιά όλα τα ν εκτός κάποιων που το πλήθος τους είναι πεπερασμένο (και εξαρτάται από το μέγεθος του ε). Έτσι λ.χ. γιά  $\varepsilon=0,001$  άρα  $\frac{1}{\varepsilon}=1000$  η ανισότητα ικανοποιείται γιά όλα τα  $\nu>1000$  και δεν ικανοποιείται γιά τα  $\nu<1000$ , που όμως είναι πεπερασμένα το πλήθος. Στην πράξη, γιά να δείξουμε ότι το A είναι το όριο της αύξουσας ακολουθίας κάνουμε τα εξής:

- 1. Βρίσκουμε το (υποψήφιο) όριο Α,
- 2. Δείχνουμε ότι η  $\alpha_{\nu} \leq A$  ισχύει γιά όλα τα ν,
- 3. Θεωρούμε ότι το  $\varepsilon>0$  και "λύνουμε" την ανισότητα  $A-\varepsilon<\alpha_{\nu}$  ως προς ν,
- 4.  $\Delta$ ιαπιστώνουμε ότι τα  $\alpha_{\nu}$  που δεν είναι λύσεις της προηγούμενης ανισότητας είναι πεπερασμένα το πλήθος.

Η πρώτη δυσκολία είναι να βρούμε ή να μαντέψουμε το A. Το δεύτερο βήμα συνήθως προκύπτει από το πρώτο. Στο τρίτο βήμα πρέπει, όπως κάνουμε και με τις εξισώσεις, να καταφέρουμε να πάμε από την μιά μεριά της ανισότητας το ε και από την άλλη το ν και να δείξουμε ότι η ανισότητα είναι ισοδύναμη με μιά της μορφής

$$N(\varepsilon) < \nu$$
.

Το  $N(\varepsilon)$  είναι συνήθως ένας αριθμός που εξαρτάται από το ε και το να φέρουμε την (3) σε αυτήν την μορφή, σημαίνει αυτόματα: (α) ότι η (3) ικανοποιείται γιά όλα τα ν που είναι μεγαλύτερα του  $N(\varepsilon)$  και (β) δεν ικανοποιείται γιά όλα τα ν που είναι μικρότερα του  $N(\varepsilon)$ , που πάντως είναι πεπερασμένα το πλήθος.

 $\Sigma$ χόλιο  $\Pi$  έννοια του ορίου μας χρειάζεται, διότι μέσω αυτής ορίζεται το μήχος του χύχλου και το εμβαδόν του. Όπως θα δούμε παραχάτω, ξεχινώντας από το τετράγωνο φτιάχνουμε χανονιχά πολύγωνα  $\Pi_1,\Pi_2,\Pi_3,...$  χαθένα από τα οποία έχει διπλάσιο αριθμό πλευρών από το προηγούμενο χαι είναι όλα εγγεγραμμένα στον ίδιο χύχλο χ.  $\Pi$  περίμετρος του χύχλου

ορίζεται ως το όριο των περιμέτρων αυτών των πολυγώνων. Ανάλογα και το εμβαδόν του κύκλου ορίζεται ως το όριο των εμβαδών αυτών των πολυγώνων.

Συχνά στο μάθημα της Γεωμετρίας παραλείπεται η συζήτηση γιά τις δυσκολίες που παρουσιάζει ο κύκλος, όταν πάμε να μετρήσουμε την περίμετρο και το εμβαδόν του. Νομίζω όμως ότι αυτό δεν είναι σωστό. Στο σημείο αυτό έχουμε μιά δυσκολία που η υπέρβασή της είναι ένα επίτευγμα της ανθρωπότητας. Εμφανίζεται η ανάγκη της προσέγγισης, του ορίου, και τίθενται τα θεμέλια του απειροστικού λογισμού (από τον Αρχιμήδη), που θα αναπτυχθεί πολύ αργότερα. Είναι κρίμα να μην έχει ο μαθητής μιά μικρή ιδέα γι' αυτά. Έστω και αν δυσκολευεται κανείς να κατανοήσει πλήρως τις έννοιες, είναι χρήσιμο γιά την παιδεία του να νιώσει, άλλος περισσότερο άλλος λιγότερο, πώς η δυσκολία οδηγεί στην υπέρβασή της και το άνοιγμα νέων πεδίων, νέων οριζόντων. Εδώ η δυσκολία είναι ελεγχόμενη και υπάρχει ο πιστός συμπαραστάτης δάσκαλος. Είναι καλό να ασκηθεί ο μαθητής σε αυτό το είδος δυσκολίας, πριν αντιμετωπίσει την μη-ελεγχόμενη, γιά την οποία θα έχει πολλές ευκαιρίες αργότερα στην ζωή του.

'Ασκηση 6.1.1  $\Delta \epsilon$ ίξε ότι αν η αύξουσα ακολουθία  $\alpha_1 \leq \alpha_2 \leq \alpha_3$ ... έχει όριο τον αριθμό A και ο αριθμός A' < A, τότε υπάρχει ένα  $\alpha_i$  με

$$A' < \alpha_i < A$$
.

Υπόδειξη: Γράψε  $A'=A-\varepsilon$  με  $\varepsilon=A-A'>0$ . Εφάρμοσε κατόπιν τον ορισμό του ορίου αύξουσας ακολουθίας, σύμφωνα με τον οποίο υπάρχουν άπειρα  $\alpha_i$  που ικανοποιούν την  $A-\varepsilon<\alpha_i< A$ . Διάλεξε ένα από αυτά.

'Ασκηση 6.1.2  $\Delta \epsilon$ ίξε ότι αν η αύξουσα ακολουθία  $\alpha_1 \leq \alpha_2 \leq \alpha_3$ ... έχει όριο τον αριθμό A τότε και η ακολουθία  $\rho\alpha_1 \leq \rho\alpha_2 \leq \rho\alpha_3$ ..., όπου  $\rho > 0$ , έχει όριο το  $\rho A$ .

Υπόδειξη: Η δεξιά ανισότητα του ορισμού:  $\rho\alpha_i \leq \rho A$  είναι συνέπεια της αντίστοιχης  $\alpha_i \leq A$  που ισχύει εξ υποθέσεως. Η αριστερή ανισότητα του ορισμού του ορίου:  $\rho A - \varepsilon < \rho \alpha_i$  είναι ισοδύναμη με την  $A - \frac{\varepsilon}{\rho} < \alpha_i$ . Εξ υποθέσεως όμως η τελευταία ισχύει γιά όλα τα  $\alpha_i$  εκτός πεπερασμένων ολίγων, συνεπώς το ίδιο θα συμβαίνει και με την ισοδύναμή της προηγούμενη. Συνολικά λοιπόν, γιά κάθε  $\varepsilon > 0$  οι ανισότητες  $\rho A - \varepsilon < \rho \alpha_i \leq \rho A$  θα ισχύουν γιά όλα τα  $\alpha_i$  εκτός πεπερασμένων ολίγων, πράγμα που δείχνει την αλήθεια του ισχυρισμού.

' $\mathbf{A}$ σχηση 6.1.3  $\Delta \epsilon$ ί $\xi \epsilon$  ότι η ακολουθία

$$\alpha_{\nu} = \frac{3\nu + 2}{5\nu + 10}$$

είναι αύξουσα.  $\Delta$ είξε ακόμη ότι το  $A=\frac{3}{5}$  είναι όριο της ακολουθίας.

 $\Upsilon$ πόδ $\epsilon$ ιξη: Το ότι είναι αύξουσα είναι ισοδύναμο με την

$$\frac{3\nu+2}{5\nu+10} < \frac{3(\nu+1)+2}{5(\nu+1)+10},$$

που αποδειχνύεται εύχολα. Γιά το ότι το όριο είναι το συγχεχριμένο δείχνουμε πρώτα ότι γιά χάθε  $\nu=1,2,3,...$  ισχύει

$$\frac{3\nu + 2}{5\nu + 10} < \frac{3}{5}.$$

Κατόπιν "λύνουμε" την

$$\begin{array}{rcl} A-\varepsilon & < & \alpha_{\nu} & \Leftrightarrow \\ A-\alpha_{\nu} & < & \varepsilon & \Leftrightarrow \\ \frac{3}{5}-\frac{3\nu+2}{5\nu+10} & < & \varepsilon & \Leftrightarrow \\ \frac{4}{5}\cdot\frac{1}{\nu+2} & < & \varepsilon & \Leftrightarrow \\ \frac{4}{5}\cdot\frac{1}{\varepsilon} & < & \nu+2 & \Leftrightarrow \\ \frac{4}{5}\cdot\frac{1}{\varepsilon}-2 & < & \nu. \end{array}$$

Η τελευταία ισχύει γιά όλα τα  $\nu$  εκτός πεπερασμένων ολίγων, το πλήθος των οποίων εξαρτάται από το μέγεθος του  $\varepsilon$ .

Άσκηση 6.1.4 Έστω η ακολουθία της οποίας ο γενικός όρος δίδεται από τον τύπο

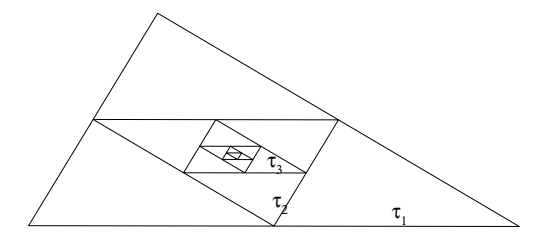
$$\alpha_{\nu} = \frac{\alpha \nu + \beta}{\gamma \nu + \delta},$$

όπου  $\alpha, \beta, \gamma$  και δ σταθερές.  $\Delta \epsilon$ ίξε ότι η ακολουθία αυτή είναι αύξουσα τότε και μόνον όταν  $\alpha \delta - \beta \gamma > 0$ .  $\Delta \epsilon$ ίξε επίσης ότι όταν είναι αύξουσα, τότε η ακολουθία έχει όριο το  $\frac{\alpha}{\gamma}$ .

Εκτός της ακολουθίας αριθμών θα θεωρήσουμε στα επόμενα και Ακολουθίες Πολυγώνων. Όπως και στους αριθμούς έτσι και γιά πολύγωνα, η λέξη Ακολουθία σημαίνει ένα σύνολο πολυγώνων κάθε ένα από τα οποία χαρακτηρίζεται από έναν ακέραιο:

$$\Pi_1, \ \Pi_2, \ \Pi_2, \ ... \ \Pi_{\nu}, \ ...$$

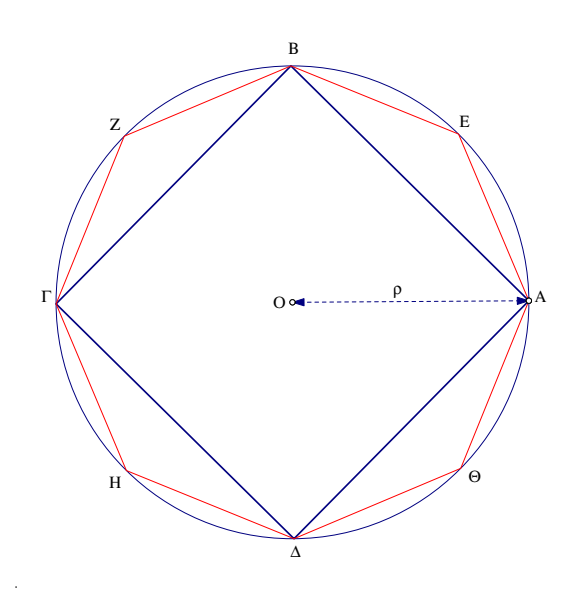
Κάθε ένα από τα πολύγωνα είναι ένας  $\mathbf{Opos}$  της ακολουθίας. Είναι φανερό ότι η έννοια της ακολουθίας και των όρων της μεταφέρεται και σε σύνολα ομοειδών αντικειμένων. Έτσι θα μπορούσαμε να ορίσουμε με κάποιο τρόπο ακολουθίες από σημεία, ακολουθίες από τετράγωνα, ακολουθίες από κύκλους κτλ. Το επόμενο σχήμα λ.χ. δείχνει λίγους όρους μιάς ακολουθίας τριγώνων  $\tau_1, \tau_2, \tau_3, \ldots$  κάθε ένα εκ των οποίων ορίζεται από τα μέσα των πλευρών του προηγουμένου του, ξεκινώντας από ένα ορισμένο τρίγωνο  $\tau_1$ .



Σχήμα 555: Ακολουθία τριγώνων

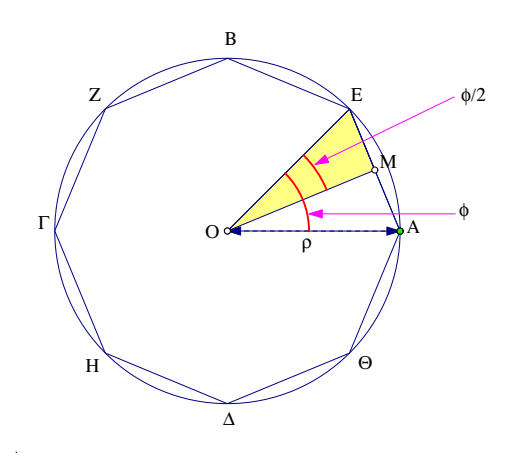
## 6.2 Ορισμός της περιμέτρου του κύκλου

Στην παράγραφο αυτή θεωρούμε κύκλο ακτίνας ρ και ορίζουμε κανονικά πολύγωνα  $\Pi_1,\Pi_2,$   $\Pi_3,...$  εγγεγραμμένα σε αυτόν, καθένα από τα οποία έχει κορυφές αυτές του προηγουμένου συν τα μέσα των τόξων που ορίζονται από τις διαδοχικές κορυφές του προηγουμένου. Ξεκινάμε δε με το τετράγωνο  $\Pi_1$ . Άν  $AB\Gamma\Delta$  συμβολίζει το τετράγωνο, τότε τα μέσα των



Σχήμα 556: Το τετράγωνο και το οκτάγωνο

τόξων AB, BΓ, ΓΔ,  $\Delta$ A ορίζουν τέσσερα πρόσθετα σημεία E, Z, H, Θ αντίστοιχα και το AEBZΓΗ $\Delta$ Θ είναι κανονικό οκτάγωνο: το  $\Pi_2$ . Το  $\Pi_3$  θα προκύπτει ανάλογα και θα έχει 16 πλευρές, το  $\Pi_4$  θα έχει 32 και, γενικά, το  $\Pi_{\nu}$  θα έχει  $2^{\nu+1}$  πλευρές.



Σχήμα 557: |AE|: το  $\frac{1}{\mu}$  της περιμέτρου

**Λήμμα 6.2.1** Το κανόνικο πολύγωνο με μ πλευρές, εγγεγραμμένο στον κύκλο ακτίνας ρ έχει περίμετρο

 $2\mu\rho$  ημ  $\left(\frac{180}{\mu}\right)$  .

Aπόδειξη: Επειδή όλες οι πλευρές του κανονικού πολυγώνου είναι ίσες, η περίμετρός του θα είναι  $μ \cdot |AE|$  όπου AE μία πλευρά του. Av O το κέντρο του κύκλου, τότε το AOE είναι ισοσκελές με γωνία στο O ίση με

$$\phi = \frac{360}{\mu} \quad \Rightarrow \quad \frac{\phi}{2} = \frac{180}{\mu}$$

αφού το άθροισμα  $\mu$  τέτοιων ίσων γωνιών θα δίνει μιά πλήρη στροφή περί το Ο. Επίσης η διάμεσος ΑΜ είναι κάθετη στο μέσον της ΑΕ (Πόρισμα 1.8.2) και το τρίγωνο ΟΜΕ είναι ορθογώνιο, άρα κατά την Πρόταση 3.6.1

$$\frac{|AE|}{2} = |ME| = \rho \cdot \eta \mu \left(\frac{\phi}{2}\right).$$

Συνδυάζοντας τις προηγούμενες σχέσεις προχύπτει το ζητούμενο, ο.ε.δ.

**Λήμμα 6.2.2** Η ακολουθία των περιμέτρων  $p_1, p_2, p_3, ...$  των πολυγώνων  $\Pi_1, \Pi_2, \Pi_3, ...$  είναι αύξουσα.

Απόδειξη: Επειδή κάθε τέτοιο πολύγωνο έχει πλευρές διπλάσιες του προηγουμένου του, αρκεί να δείξουμε ότι ο λόγος των περιμέτρων  $\frac{p}{p'}$  δύο κανονικών πολυγώνων  $\Pi$  και  $\Pi'$  εκ των οποίων το πρώτο έχει μ πλευρές και το δεύτερο έχει  $2\mu$  πλευρές είναι μικρότερος του 1. Όμως κατά τα προηγούμενα, λαμβάνοντας υπόψη τον τύπο γιά το ημίτονο της διπλάσιας γωνίας (Άσκηση 3.6.5), έχουμε:

$$\frac{p}{p'} = \frac{2\mu\rho\, \mathrm{gr}(\frac{180}{\mu})}{2(2\mu)\rho\, \mathrm{gr}(\frac{180}{2\mu})} = \frac{\mathrm{gr}(\frac{180}{\mu})}{2\, \mathrm{gr}(\frac{180}{2\mu})} = \frac{2\, \mathrm{gr}(\frac{180}{2\mu})\cdot \mathrm{sun}(\frac{180}{2\mu})}{2\, \mathrm{gr}(\frac{180}{2\mu})} = \mathrm{sun}\left(\frac{180}{2\mu}\right) < 1,$$

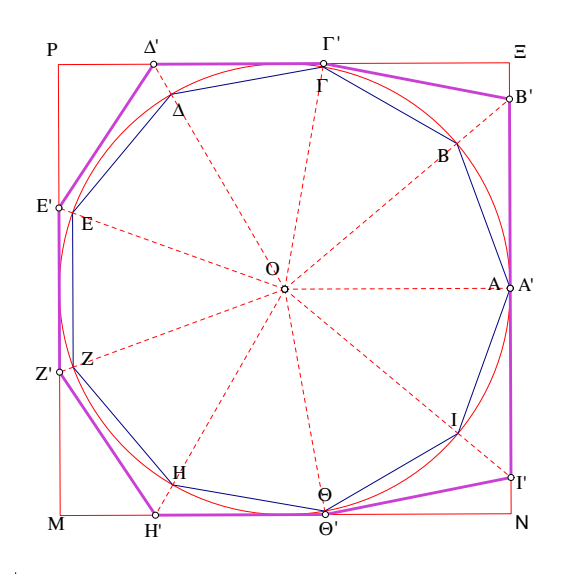
 $o.\epsilon.\delta$ .

**Λήμμα 6.2.3** Κάθε κανονικό πολύγωνο με μ πλευρές εγγεγραμμένο σε κύκλο ακτίνας ρ έχει περίμετρο μικρότερη από αυτήν του περιγεγραμμένου τετραγώνου στον ίδιο κύκλο.

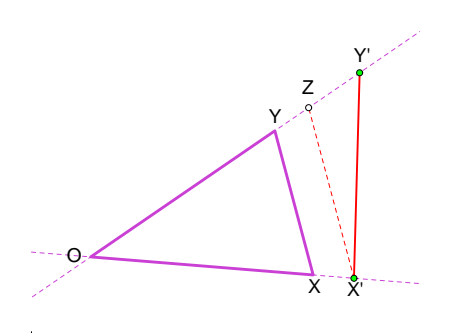
Απόδειξη: Η απόδειξη προχύπτει προβάλλοντας το χανονιχό πολύγωνο από το χέντρο Ο πάνω στο περιγεγραμμένο τετράγωνο. Προς τούτο, γιά χάθε μία από τις χορυφές  $A,B,\Gamma$ , ... του εγγεγραμμένου πολυγώνου φέρουμε την αντίστοιχη ημιευθεία OA, OB,  $O\Gamma$ , ... χαι ορίζουμε το σημείο τομής της A', B',  $\Gamma'$ , ... με το περιγεγραμμένο τετράγωνο. Προχύπτει ένα πολύγωνο  $A'B'\Gamma'$ ... που έχει τις χορυφές του πάνω στο τετράγωνο χαι χάθε πλευρά του είναι μεγαλύτερη της αντίστοιχης πλευράς του αρχιχού πολυγώνου. Αυτό προχύπτει από την σύγχριση των αντιστοίχων τριγώνων, (AOB, A'OB'), ( $BO\Gamma$ ,  $B'O\Gamma'$ ), .... Γιά χάθε τέτοιο ζεύγος τριγώνων, ας το ονομάσω (XOY, X'OY'), το X' είναι επί της προεχτάσεως της OX χαι το Y' επί της προεχτάσεως της OY, συνεπώς το X'Y' είναι μεγαλύτερο από το XY. Γιά την απόδειξη του τελευταίου ισχυρισμού, υπόθεσε ότι από τις αποστάσεις XX' χαι YY' η XX' είναι η μιχρότερη χαι φέρε παράλληλο X'Z από το X' προς την XY. Προφανώς ισχύει

$$|XY| \le |X'Z| < |X'Y'|.$$

Η πρώτη ανισότητα ισχύει διότι, λόγω ομοιότητας,  $\frac{|XY|}{|X'Z|} = \frac{|OX|}{|OX'|} \le 1$ . Η δεύτερη ανισότητα ισχύει διότι η γωνία X'ZY' είναι αμβλεία (Πόρισμα 1.10.3), άρα απέναντί της είναι η μεγαλύτερη πλευρά του τριγώνου X'ZY'. Προχύπτει λοιπόν ότι η περίμετρος του  $A'B'\Gamma'$ ... είναι



Σχήμα 558: Προβολή στο περιγεγραμμένο τετράγωνο



Σχήμα 559: Σύγκριση τριγώνου και προβολής του

μεγαλύτερη αυτής του  $AB\Gamma...$  αλλά και μικρότερη της περιμέτρου του τετραγώνου. Το τελευταίο διότι οι πλευρές του  $A'B'\Gamma'...$  είναι ή μέρη των πλευρών του τετραγώνου (όπως η A'B' στο σχήμα) ή έχουν τα άκρα τους σε διαφορετικές πλευρές του τετραγώνου (όπως η  $B'\Gamma'$  στο σχήμα) και είναι υποτείνουσες ορθογωνίων τριγώνων που είναι μικρότερες από το άθροισμα των δύο καθέτων πλευρών. Συνολικά λοιπόν οι περίμετροι p,p' και p'' του κανονικού πολυγώνου, της προβολής του στο τετράγωνο και του τετραγώνου αντίστοιχα, ικανοποιούν την

$$p < p' < p'',$$

o.e. $\delta$ .

Τα λήμματα 6.2.2 και 6.2.3 εξασφαλίζουν, βάσει του Αξιώματος 6.1.1, ότι η ακολουθία  $\alpha_1, \alpha_2, \ldots$  των περιμέτρων των πολυγώνων  $\Pi_1, \Pi_2, \ldots$  έχει όριο A. Το A αυτό ορίζουμε ως μήκος ή Περίμετρο του κύκλου.

**Σχόλιο-1** Οι αριθμοί  $\alpha_i$  που αναφέρονται παραπάνω, ως περίμετροι των  $\Pi_i$ , προχύπτουν από το Λήμμα 6.2.1 θέτοντας σε αυτό

$$\mu = 2^{i+1}.$$

Έτσι η περίμετρος του  $\Pi_i$  είναι

$$\alpha_i = 2(2^{i+1}) \cdot \rho \cdot \eta \mu \left(\frac{180}{2^{i+1}}\right).$$

Γιά κάθε  $\varepsilon>0$ , σύμφωνα με τον ορισμό του ορίου, προκύπτει ότι γιά την περίμετρο του κύκλου A και τους παραπάνω αριθμούς  $\alpha_i$  ισχύουν οι ανισότητες

$$A - \varepsilon < \alpha_i < A$$
,

η δεξιά γιά όλα τα  $\alpha_i$  και η αριστερή γιά όλα τα  $\alpha_i$  εκτός πεπερασμένων ολίγων. Το πόσα  $\alpha_i$  δεν ικανοποιούν την αριστερή ανισότητα εξαρτάται από το μέγεθος του  $\varepsilon$ . Πάντοτε όμως το πλήθος τους είναι πεπερασμένο.

Σχόλιο-2 Ο ορισμός της περιμέτρου του κύκλου που δώσαμε συνδέεται με τον ορισμό του μήκους τεθλασμένης γραμμής και αποδεικνύεται ότι οι δύο αυτές έννοιες μήκους (τεθλασμένης και κύκλου) μπορούν να προκύψουν ως ειδικές περιπτώσεις ενός εννιαίου ορισμού μήκους καμπύλης. Δυστυχώς ή ευτυχώς ο ορισμός αυτός ανήκει στην περιοχή του απειροστικού λογισμού και ξεπερνά τα πλαίσια του μαθήματος. Μιά ιδέα γιά τις λεπτομέρειες που υπεισέρχονται δίνουν οι επόμενες ασκήσεις.

'Ασκηση 6.2.1 Δίδεται κύκλος κ. Δείξε ότι κάθε εγγεγραμμένο στον κ κανονικό πολύγωνο έχει περίμετρο μικρότερη αυτής του κύκλου κ.

 $\Upsilon$ πόδειξη: Εδώ το θέμα είναι ότι αναφερόμαστε σε γενικό κανονικό πολύγωνο και όχι στα ειδικά κανονικά πολύγωνα  $\Pi_i$  με  $2^{i+1}$  πλευρές, γιά τα οποία δείξαμε ότι οι περίμετροί τους  $\alpha_i$  αποτελούν μιά αύξουσα ακολουθία με όριο την περίμετρο του κύκλου A και  $\alpha_i < A$ . Η απόδειξη στην γενική περίπτωση προκύπτει από την ειδική αυτή περίπτωση και την Aσκηση 2.13.7, κατά την οποία η περίμετρος του κανονικού πολυγώνου με ν+1 πλευρές είναι μεγαλύτερη αυτής του κανονικού πολυγώνου με ν πλευρές. Έτσι, γιά δοθέν ν βρίσκουμε μιά δύναμη του 2 γιά την οποία  $\nu \leq 2^{i+1}$ , πράγμα που είναι πάντοτε δυνατόν. Τότε όμως η περίμετρος p του κανονικού πολυγώνου με ν πλευρές θα είναι μικρότερη της αντίστοιχης περιμέτρου  $\alpha_i$  του  $\Pi_i$ , που με την σειρά της είναι μικρότερη του A.

Άσκηση 6.2.2  $\Delta$ είξε ότι η ακολουθία των περιμέτρων  $\beta_1, \beta_2, \beta_3, ...$  των κανονικών πολυγώνων με  $\nu$ =3,4,5, ... πλευρές και εγγεγραμμένων σε κύκλο κ είναι αύξουσα και φραγμένη συνεπώς έχει όριο B.  $\Delta$ είξε ακόμη ότι B=A, όπου A το όριο των περιμέτρων  $\alpha_1, \alpha_2, \alpha_3, ...$  των κανονικών πολυγώνων  $\Pi_1, \Pi_2, \Pi_3, ...$  των εγγεγραμμένων στον κ.

Υπόδειξη: Τό ότι η αχολουθία  $β_1, β_2, β_3, ...$  των περιμέτρων όλων των πολυγώνων είναι αύξουσα αποδειχνύεται στην Άσχηση 2.13.7. Το ότι η αχολουθία αυτή είναι φραγμένη αποδειχνύεται όπως αχριβώς χαι στο Λήμμα 6.2.3. Η ύπαρξη του ορίου B είναι συνεπώς συνέπεια του Αξιώματος 6.1.1. Το ότι B=A αποδειχνύεται αποχλείοντας τις περιπτώσεις B < A χαι A < B. Πράγματι, έστω ότι B < A, τότε, χατά τον ορισμό του ορίου, θα υπάρχουν  $α_i$  τέτοια ώστε  $B < \alpha_i < A$ . Τότε όμως χαι γιά χάθε πολύγωνο με πλήθος πλευρών  $ν > 2^{i+1}$  θα έχουμε αντίστοιχη περίμετρο  $α_i < β_\nu$ , που συνεπάγεται ότι  $B < α_i < β_\nu$ . Τούτο όμως είναι άτοπο, διότι γιά όλα τα  $β_\nu$  ισχύει  $β_\nu < B$ . Ανάλογα αποδειχνύουμε ότι χαι η A < B οδηγεί σε άτοπο.

### 6.3 Ο αριθμός $\pi$

**Λήμμα 6.3.1** Γιά κάθε κανονικό πολυγωνο με μ πλευρές ο λόγος της περιμέτρου προς την διάμετρο του περιγεγραμμένου κύκλου του είναι ανεξάρτητος του μεγέθους του, εξαρτάται μόνον από το μ και δίδεται από τον τύπο:

$$\mu \cdot \eta \mu \left(\frac{180}{\mu}\right)$$
.

Aπόδειξη: Προχύπτει αμέσως από το Λήμμα 6.2.1 διαιρώντας με 2ρ, ο.ε.δ.

Θεώρημα 6.3.1 Γιά κάθε κύκλο ο λόγος της περιμέτρου προς την διάμετρό του είναι μιά σταθερά π ανεξάρτητη της ακτίνας του κύκλου.

Aπόδειξη: Έστω ότι ο λόγος της περιμέτρου p προς την διάμετρο 2r ενός συγκεκριμένου κύκλου κ είναι π και ένας άλλος κύκλος κ΄ έχει αντίστοιχο λόγο περιμέτρου προς διάμετρο

$$\pi' = \frac{p'}{2r'} < \pi.$$

Από τον ορισμό της περιμέτρου του κύκλου στην προηγούμενη παράγραφο (δες και Άσκηση 6.1.1), ως ορίου εγγεγραμμένων πολυγώνων, θα υπάρχει κανονικό πολύγωνο με μ πλευρές εγγεγραμμένο στον κύκλο κ και με περίμετρο  $p_{\mu}$  που ικανοποιεί την:

$$2r \cdot \pi' < p_{\mu} < p = 2r \cdot \pi,$$

που είναι ισοδύναμη με την

$$\pi' < \frac{p_{\mu}}{2r} < \pi.$$

Το αντίστοιχο κανονικό πολύγωνο με μ πλευρές και εγγεγραμμένο στον κύκλο κ΄ θα έχει, κατά το προηγούμενο λήμμα, τον ίδιο λόγο περιμέτρου προς διάμετρο:

$$\frac{p'_{\mu}}{2r'} = \frac{p_{\mu}}{2r},$$

και η προηγούμενη ανισότητα συνεπάγεται

$$\pi' = \frac{p'}{2r'} < \frac{p'_{\mu}}{2r'} \Leftrightarrow p' < p'_{\mu}.$$

Η τελευταία όμως ανισότητα οδηγεί σε άτοπο, διότι σύμφωνα με τους ορισμούς μας, η περίμετρος p' είναι το όριο της αύξουσας ακολουθίας των  $p'_u$  και είναι πάντα

$$p'_{\mu} < p'$$
.

Εναλλάσσοντας τους ρόλους των κ και κ΄ αποδεικνύουμε με τον ίδιο ακριβώς τρόπο ότι και η  $\pi < \pi'$  οδηγεί σε άτοπο. Άρα θα πρέπει να είναι  $\pi' = \pi$ , ο.ε.δ.

**Πόρισμα 6.3.1** H περίμετρος ενός κύκλου ακτίνας  $\rho$  είναι ίση με  $2\pi\rho$ .

6.3.  $OAPI\Theta MO\Sigma \pi$  353

Άσκηση 6.3.1 Δείξε ότι η ακολουθία των αριθμών

$$\mu \cdot \eta \mu \left(\frac{180}{\mu}\right), \quad \mu = 3, 4, 5, \dots$$

είναι αύξουσα και φραγμένη και έχει όριο τον αριθμό π.

Υπόδειξη: Η ακολουθία αυτή προκύπτει από τις περιμέτρους  $\beta_{\mu}=2\rho\cdot\mu\cdot\eta\mu(\frac{180}{\mu})$  των κανονικών πολυγώνων των εγγεγραμμένων σε κύκλο ακτίνας ρ (Λήμμα 6.2.1). Η ακολουθία αυτή κατά την Άσκηση 6.2.2 έχει όριο το  $A=2\pi\rho$ . Το συμπέρασμα συνάγεται από την Άσκηση 6.1.2 εφαρμόζοντάς την στην ακολουθία  $\frac{\beta_{\mu}}{2\rho}=\mu\cdot\eta\mu(\frac{180}{\mu})$  που συγκλίνει στο  $\frac{A}{2\rho}=\pi$ .

Σχόλιο Αποδειχνύεται (1882 Lindemann 1852-1939) ότι ο αριθμός π όχι μόνον είναι άρρητος, αλλά και Υπερβατικός, δηλαδή δεν είναι ρίζα ενός πολυωνύμου ([Doe65, σ. 128]). Αυτό συνεπάγεται ότι ο λεγόμενος Τετραγωνισμός του κύκλου, δηλαδή η κατασκευή του π με κανόνα και διαβήτη, είναι αδύνατη. Ο Αρχιμήδης, χρησιμοποιώντας δύο πολύγωνα 96 πλευρών, ένα εγγεγραμμένο και το άλλο περιγεγραμμένο του κύκλου, απέδειξε ότι η τιμή του π είναι ανάμεσα στα:

$$3\frac{10}{71} \ (\sim 3, 14084...) < \pi < 3\frac{10}{70} \ (\sim 3, 14285...).$$

Σήμερα, με την χρήση λογισμικών, μπορούμε να προσεγγίσουμε τον π, πρακτικά, με όση ακρίβεια θέλουμε (δες λ.χ. [Bai88]). Η επόμενη προσέγγιση δίδει τα πρώτα 50 δεκαδικά ψηφία του

 $\pi \sim 3,14159265358979323846264338327950288419716939937510...$ 

Η μέθοδος προσέγγισης του Αρχιμήδη μπορεί να γίνει με την χρήση δύο ακολουθιών  $\alpha_0,\alpha_1,\dots$  και  $\beta_0,\beta_1,\dots$  που δίνουν την ημιπερίμετρο των κανονικών πολυγώνων με  $6\cdot 2^{\nu}$  πλευρές που περιγράφονται  $(\alpha_{\nu})$ , αντίστοιχα, εγγράφονται  $(\beta_{\nu})$  σέ κύκλο ακτίνας 1. Οι πρώτοι όροι είναι

$$\alpha_0 = 2\sqrt{3}, \quad \beta_0 = 3,$$

και γιά τους υπόλοιπους αποδεικνύεται εύκολα ([eJPL99,  $\sigma$ . 2]) ότι δίδονται μέσω των τύπων

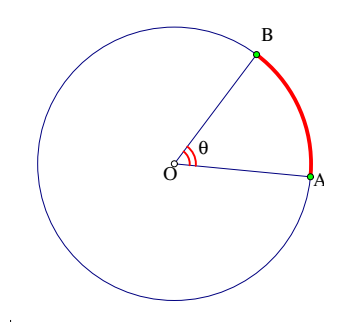
$$\alpha_{\nu+1} = \frac{2\alpha_{\nu}\beta_{\nu}}{\alpha_{\nu} + \beta_{\nu}}, \qquad \beta_{\nu+1} = \sqrt{\alpha_{\nu+1}\beta_{\nu}}.$$

Ο αριθμός  $\pi$  είναι όριο της ακολουθίας  $\alpha_{\nu}$  αλλά ταυτόχρονα και της  $\beta_{\nu}$ . Το αξιοσημείωτο με αυτούς τους τύπους είναι ότι οδηγούν σε προσεγγίσεις του  $\pi$  και τελικά στο όριο, χωρίς την μεσολάβηση μετρήσεων των πραγματικών ημιπεριμέτρων. Έτσι, γιά να βρούμε τις αντίστοιχες ημιπεριμέτρους του 12-γώνου αντικαθιστούμε τα  $\alpha_{0}$ ,  $\beta_{0}$  στους

$$\alpha_1 = \frac{2\alpha_0\beta_0}{\alpha_0 + \beta_0}, \qquad \beta_1 = \sqrt{\alpha_1\beta_0},$$

που δίδουν τις προσεγγίσεις  $\alpha_1=3,2153,~\beta_1=3,1058.$  Παρόμοια υπολογίζονται οι ημιπερίμετροι του 24-γώνου  $\alpha_2=3,1597,~\beta_2=3,1326,$  του 48-γώνου  $\alpha_3=3,1461,~\beta_3=3,1394,$  του 96-γώνου  $\alpha_4=3,1427,~\beta_4=3,1410$  κτλ.

### 6.4 Το μήκος τόξου του κύκλου, ακτίνια



 $\Sigma$ χήμα 560: Μήκος τόξου:  $\theta \frac{\pi}{180} \rho$ 

Το **Μήκος τόξου** ΑΒ κύκλου κ ακτίνας ρ ορίζεται, κατ' αναλογίαν με τον κύκλο, ως όριο μηκών τεθλασμένων γραμμών εγγεγραμμένων στον κύκλο και με άκρα τα σημεία Α και Β. Με μιά διαδικασία ανάλογη με αυτήν του προσδιορισμού του μήκους του κύκλου, που δεν θα επαναλάβω εδώ, βρίσκουμε ότι το μήκος του τόξου εκφράζεται από τον τύπο

$$|\widehat{AB}| = \theta \cdot \frac{\pi}{180} \cdot \rho$$
, ( $\vartheta$  to métro the gwiae se moires).

Ειδικά γιά την γωνία 360 (πλήρους στροφής) ο τύπος δίδει το μήκος του κύκλου  $2\pi\rho$ . Συνοψίζω τις βασικές ιδιότητες του μήκους τόξου που απορρέουν από αυτόν τον τύπο και τις ιδιότητες των τόξων:

- 1. Ίσα τόξα στον ίδιο κύκλο ή σε ίσους κύκλους έχουν το ίδιο μήκος και αντίστροφα, τόξα του ιδίου μήκους στον ίδιο κύκλο ή σε ίσους κύκλους είναι ίσα.
- 2. Το μήχος του αθροίσματος δύο τόξων είναι ίσο με το άθροισμα των μηχών των δύο τόξων.
- 3. Η περίμετρος του κύκλου είναι  $2\pi \rho$ .

Οι ιδιότητες αυτές μεταφέρουν τις ιδιότητες που γνωρίσαμε στην Παράγραφο 2.12 από τα τόξα στα αντίστοιχα μήχη τους. Ο αριθμός

$$\phi = \theta \cdot \frac{\pi}{180}$$
, (θ το μέτρο της γωνίας σε μοίρες)

λέγεται Μέτρο της γωνίας σε ακτίνια. Προφανώς πρόκειται γιά έκφραση του μέτρου της γωνίας με μιά άλλη μονάδα μέτρησης που μετρά το ποσοστό του  $2\pi$  που αντιστοιχεί στην επίκεντρη γωνία  $\vartheta$ , με την έννοια ότι το  $\frac{\theta}{360}$  είναι το ποσοστό της γωνίας ως προς τις 360 μοίρες της πλήρους περιστροφής. Και με αυτό το ποσοστό πολλαπλασιάζουμε το  $2\pi$ . Χρησιμοποιώντας λοιπόν τον αριθμό  $\phi$  ως μέτρο της γωνίας ο τύπος γιά το μήκος τόξου γράφεται

$$|\widehat{AB}| = \phi \cdot \rho$$
,  $(\phi$  το μέτρο της γωνίας σε ακτίνια).

Ειδικά γιά  $\rho=1$  δηλαδή κύκλο με ακτίνα την μονάδα μήκους ο προηγούμενος τύπος γίνεται

$$|\widehat{AB}| = \phi$$
, (ρ=1 και μέτρο σε ακτίνια).

Ο τύπος αυτός, διαβάζοντάς τον από τα δεξιά προς τα αριστερά, φανερώνει ότι το μέτρο γωνίας σε ακτίνια δεν είναι τίποτε άλλο παρά το μήκος του τόξου του μοναδιαίου κύκλου (κύκλου με ακτίνα την μονάδα μέτρησης) που έχει την γωνία αυτή ως αντίστοιχη επίκεντρο (δες Παράγραφο 2.12). Έτσι γωνία ενός ακτινίου (φ=1) είναι η επίκεντρη γωνία που προκύπτει από μήκος τόξου ίσο με μία μονάδα μέτρησης και λαμβανομένου πάνω στον μοναδιαίο κύκλο. Είναι σαν να λυγίζουμε την μονάδα μέτρησης (χωρίς να αλλάξουμε το μήκος της, σαν να ήταν από σύρμα ή κάτι παρόμοιο) και να την προσαρμόζουμε πάνω στον μοναδιαίο κύκλο. Η επίκεντρη γωνία του τόξου που προκύπτει είναι η γωνία με μέτρο 1 ακτίνιο. Ο επόμενος πίνακας δίνει ένα δείγμα της αντιστοίχισης μοιρών-ακτινίων γιά ειδικές γωνίες που συναντάμε συχνά σε εφαρμογές.

μοίρες 
$$0$$
 30 45 60 90 120 135 180 270 360  $\frac{\pi}{2}$   $\frac{\pi}{6}$   $\frac{\pi}{4}$   $\frac{\pi}{3}$   $\frac{\pi}{2}$   $\frac{2\pi}{3}$   $\frac{3\pi}{4}$   $\frac{3\pi}{2}$   $2\pi$ 

Άσχηση 6.4.1  $\Delta \epsilon$ ίξ $\epsilon$  ότι η ακολουθία

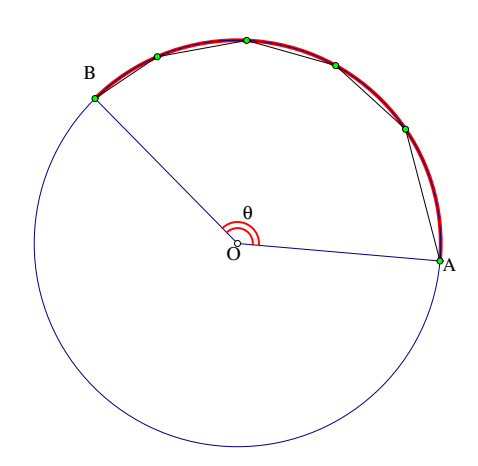
$$\frac{\mu}{\pi} \cdot \eta \mu \left(\frac{\pi}{\mu}\right), \quad \mu = 3, 4, 5, \dots$$

είναι αύξουσα και φραγμένη και έχει όριο το 1.

 $\Upsilon$ πόδειξη: Η άσκηση είναι επανάληψη της Άσκησης 6.3.1 αντικαθιστώντας το 180 με το  $\pi$ , μετρώντας δηλαδή τις γωνίες σε ακτίνια. Χρειάζεται προσοχή στο πώς ερμηνεύουμε την

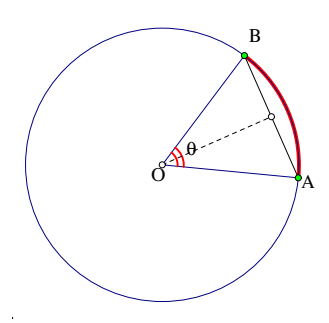
$$\eta\mu(\frac{180}{\mu}) = \eta\mu(\frac{\pi}{\mu}).$$

Στο ημίτονο αριστερά μετράμε την γωνία σε μοίρες. Στο ημίτονο δεξιά μετράμε την ίδια γωνία σε ακτίνια. Κατά την προαναφερθήσα άσκηση το όριο της  $\mu$  ημ $(\frac{\pi}{\mu})$  είναι το  $\pi$ . Άρα το όριο της  $\frac{\mu}{\pi} \cdot$  ημ $(\frac{\pi}{\mu})$  θα είναι, κατά την Άσκηση 6.1.2,  $\frac{\pi}{\pi}=1$ .



Σχήμα 561: Μήκος τόξου μεγαλύτερο του μήκους εγγεγραμμένης τεθλασμένης Σχόλιο Το σχόλιο-2 της Παραγράφου 6.2 ισχύει και εδώ. Και το μήκος τόξου εντάσσεται

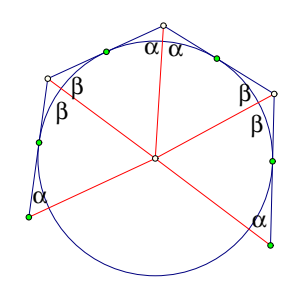
σε έναν γενικότερο ορισμό που συμπεριλαμβάνει τα μήκη τεθλασμένων γραμμών, του κύκλου και των τόξων του κύκλου ως ειδικές περιπτώσεις. Μιά άμεση συνέπεια αυτού του ορισμού είναι ότι οι πολυγωνικές γραμμές οι εγγεγραμμένες στο τόξο με αρχή το Α και πέρας το Β έχουν μήκος μικρότερο του μήκους του τόξου. Ειδικά το μήκος της χορδής ΑΒ είναι μικρότερο του μήκους του τόξου. Έτσι μετρώντας γωνίες σε ακτίνια έχουμε



 $\Sigma$ γήμα 562: ημ( $\theta$ ) <  $\theta$ 

$$|AB| = 2\rho \operatorname{hm}\left(\frac{\theta}{2}\right) < \rho\theta \ \Leftrightarrow \ \operatorname{hm}\left(\frac{\theta}{2}\right) < \frac{\theta}{2}.$$

Άσκηση 6.4.2 Κατασκεύασε ισόπλευρο πολύγωνο περιγεγραμμένο κύκλου κ που δεν είναι κανονικό. Δείξε ότι ένα ισόπλευρο πολύγωνο περιγεγραμμένο κύκλου κ που έχει περιττό αριθμό πλευρών είναι κανονικό.



Σχήμα 563: Περιγεγραμμένο και διαδοχή γωνιών

Υπόδειξη: Δείξε ότι η διαδοχή των γωνιών που σχηματίζονται με τις ευθείες από το κέντρο είναι όπως στο προηγούμενο σχήμα και δες τι συμβαίνει όταν το πολύγωνο έχει περιττό αριθμό πλευρών.

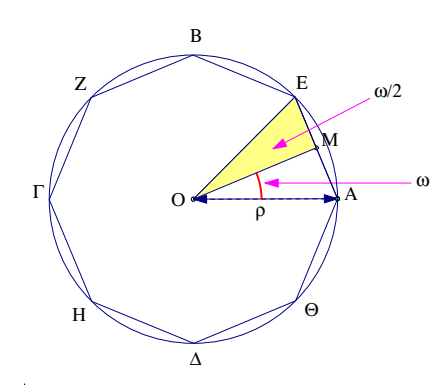
Άσκηση 6.4.3 Κατασκεύασε πολύγωνο με ίσες γωνίες εγγεγραμμένο σε κύκλο που δεν είναι κανονικό. Δείξε ότι ένα εγγεγραμμένο σε κύκλο πολύγωνο με ίσες γωνίες και περιττό αριθμό πλευρών είναι κανονικό.

# 6.5 Ορισμός του εμβαδού του κύκλου

Όπως το μήκος κύκλου (περίμετρος) έτσι και το εμβαδόν θέλει ειδική προσέγγιση. Οι βασικές ιδιότητες των εμβαδών (3.1.1-3.1.4) επιτρέπουν μόνο μετρήσεις πολυγώνων. Ο κύκλος είναι ένα νέο είδος σχήματος και πρέπει να ορίσουμε τί ακριβώς σημαίνει εμβαδόν αυτού του σχήματος. Γιά τον ορισμό μας χρειάζεται πάλι η διαδικασία του ορίου που χρησιμοποιήσαμε στην παράγραφο 6.2 γιά το μήκος του κύκλου και τα εγγεγραμμένα στον κύκλο κανονικά πολύγωνα  $\Pi_1,\Pi_2,\Pi_3,\ldots$  με τα οποία προσεγγίσαμε τον κύκλου. Ο ορισμός του εμβαδού είναι λοιπόν εντελώς ανάλογος με αυτόν του μήκους του κύκλου. Έτσι, στην συνέχεια θα κάνουμε σχεδόν τα ίδια που κάναμε και στην παράγραφο 6.2. Γι' αυτό χρησιμοποιώ το ίδιο σχήμα και τους ίδιους συμβολισμούς αλλάζοντας μόνο τον τρόπο μέτρησης των γωνιών και υϊοθετώντας από εδώ και πέρα ως μονάδα μέτρησης της γωνίας το ακτίνιο. Έτσι αντί του μέτρου γωνίας  $\phi = \frac{360}{\mu}$  που εμφανίζεται εκεί θα εμφανίζεται εδώ το  $\omega = \frac{2\pi}{\mu}$  (που βέβαια είναι ίσο με  $\frac{\pi}{180}\phi$ ).

**Λήμμα 6.5.1** Το εμβαδόν κανονικού πολυγώνου με μ πλευρές εγγεγραμμένου σε κύκλο ακτίνας ρ είναι

$$\mu(\frac{\rho^2}{2}\,\mathrm{hm}(\frac{2\pi}{\mu})).$$



Σχήμα 564:  $\epsilon(AOE)$ : το  $\frac{1}{\mu}$  του εμβαδού

Aπόδειξη: Επειδή το κανονικό πολύγωνο διασπάται σε μ ισοσκελή τρίγωνα, όπως το AOE που ορίζεται από το κέντρο και μία πλευρά του, το εμβαδόν του πολυγώνου θα είναι (Ιδιότητα 3.1.2) άθροισμα των εμβαδών αυτών των ίσων μεταξύ τους τριγώνων. Το τρίγωνο AOE είναι ισοσκελές με γωνία στο O ίση με

$$\omega = \frac{2\pi}{\mu} \implies \frac{\omega}{2} = \frac{\pi}{\mu}$$

αφού το άθροισμα  $\mu$  τέτοιων ίσων γωνιών θα δίνει μιά πλήρη στροφή περί το Ο. Επίσης η διάμεσος AM είναι κάθετη στο μέσον της AE (Πόρισμα 1.8.2) και το τρίγωνο OME είναι

ορθογώνιο, άρα κατά την Πρόταση 3.6.1

$$\begin{split} |AE| &= 2|ME| = 2\rho \cdot \text{hm}\left(\frac{\omega}{2}\right) \\ |OM| &= \rho \cdot \text{sun}\left(\frac{\omega}{2}\right) \implies \\ \epsilon(AOE) &= \frac{1}{2}|AE||OM| = \rho^2 \cdot \text{hm}\left(\frac{\omega}{2}\right) \text{sun}\left(\frac{\omega}{2}\right) \\ &= \frac{\rho^2}{2} \text{hm}(\omega) = \frac{\rho^2}{2} \text{hm}\left(\frac{2\pi}{\mu}\right). \end{split}$$

Η προτελευταία ισότητα οφείλεται στην Άσκηση 3.6.5. Το συμπέρασμα προχύπτει από το ότι το εμβαδόν του πολυγώνου είναι  $\mu \cdot \epsilon(AOE)$ , ο.ε.δ.

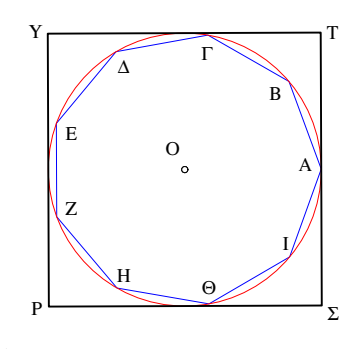
**Λήμμα 6.5.2** Η ακολουθία των  $\epsilon \mu \beta \alpha \delta \omega \nu \epsilon_1, \epsilon_2, \epsilon_3, ...$  των πολυγώνων  $\Pi_1, \Pi_2, \Pi_3, ...$   $\epsilon i \nu \alpha i \alpha i \xi \delta \upsilon \sigma \alpha$ .

Aπόδειξη: Επειδή κάθε τέτοιο πολύγωνο έχει πλευρές διπλάσιες του προηγουμένου του, αρκεί να δείξουμε ότι ο λόγος των εμβαδών  $\frac{\epsilon}{\epsilon'}$  δύο κανονικών πολυγώνων  $\Pi$  και  $\Pi'$  εκ των οποίων το πρώτο έχει μ πλευρές και το δεύτερο έχει 2μ πλευρές είναι μικρότερος του 1. Όμως κατά τα προηγούμενα, λαμβάνοντας υπόψη τον τύπο γιά το ημίτονο της διπλάσιας γωνίας (Άσκηση 3.6.5), έχουμε:

$$\frac{\epsilon}{\epsilon'} = \frac{\mu(\frac{\rho^2}{2} \eta \mu(\frac{2\pi}{\mu}))}{2\mu(\frac{\rho^2}{2} \eta \mu(\frac{2\pi}{2\mu}))} = \frac{\eta \mu(\frac{2\pi}{\mu})}{2 \eta \mu(\frac{\pi}{\mu})} = \frac{2 \eta \mu(\frac{\pi}{\mu}) \cdot \sigma \circ \nu(\frac{\pi}{\mu})}{2 \eta \mu(\frac{\pi}{\mu})} = \sigma \circ \nu\left(\frac{\pi}{\mu}\right) < 1,$$

 $0.\epsilon.\delta$ .

**Λήμμα 6.5.3** Η ακολουθία των  $\epsilon \mu \beta a \delta \omega \nu \epsilon_1, \epsilon_2, \epsilon_3, ...$  των πολυγώνων  $\Pi_1, \Pi_2, \Pi_3, ...$   $\epsilon i \nu a i φραγμένη.$ 



 $\Sigma$ χήμα 565:  $\epsilon(\Pi_i) < \epsilon(P\Sigma TY)$ 

Aπόδειξη: Σύμφωνα με το αξίωμα 3.1.3 το εμβαδόν καθενός από αυτά τα πολύγωνα είναι μικρότερο του εμβαδού του τετραγώνου που περιγράφεται στον κύκλο με ακτίνα ρ, ο.ε.δ.

Τα λήμματα 6.5.2 και 6.5.3 εξασφαλίζουν, βάσει του Αξιώματος 6.1.1, ότι η ακολουθία  $\epsilon_1, \epsilon_2, \ldots$  των εμβαδών των πολυγώνων  $\Pi_1, \Pi_2, \ldots$  έχει όριο E. Το E αυτό ορίζουμε ως εμβαδόν του κύκλου.

Θεώρημα 6.5.1 Το  $\epsilon \mu \beta a \delta \delta \nu$  κύκλου ακτίνας  $\rho$   $\epsilon$ ίναι  $\pi \rho^2$ .

Aπόδειξη: Σύμφωνα με τον ορισμό, το εμβαδόν του χύχλου είναι όριο των εμβαδών των εγγεγραμμένων πολυγώνων  $\Pi_1,\Pi_2,\Pi_3,...$  που κατά το λήμμα 6.5.1 είναι

$$\epsilon(\Pi_i) = \mu \frac{\rho^2}{2} \, \eta \mu(\frac{2\pi}{\mu}), \quad \text{\'atou } \mu = 2^{i+1}.$$

Η απόδειξη προχύπτει συνδέοντας αυτό το όριο με το όριο των περιμέτρων των ιδίων πολυγώνων που κατά το λήμμα 6.2.1 είναι

$$\alpha_i = 2\mu\rho$$
 ημ $(\frac{\pi}{\mu})$ , όπου  $\mu = 2^{i+1}$ ,

και, σύμφωνα με τον ορισμό, το όριό τους είναι η περίμετρος του κύκλου

$$A = 2\pi \rho$$
.

Η διασύνδεση είναι πολύ απλή:

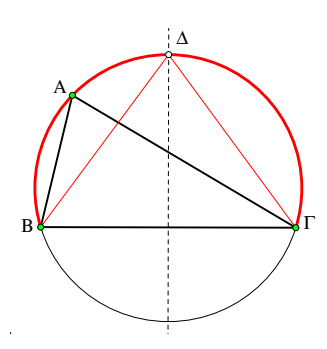
$$\begin{split} \epsilon(\Pi_i) &= \mu \frac{\rho^2}{2} \operatorname{hm} \left( \frac{2\pi}{\mu} \right) \\ &= \rho \left( \frac{\mu}{2} \rho \operatorname{hm} \left( \frac{\pi}{\frac{\mu}{2}} \right) \right) \\ &= \left( \frac{\rho}{2} \right) \left( 2 \frac{\mu}{2} \rho \operatorname{hm} \left( \frac{\pi}{\frac{\mu}{2}} \right) \right) \\ &= \left( \frac{\rho}{2} \right) \alpha_{i-1}. \end{split}$$

Η τελευταία προχύπτει λόγω του ότι έχουμε θέσει  $\mu=2^{i+1}$ . Επομένως  $\frac{\mu}{2}=2^i$ . Επειδή το όριο των  $\alpha_i$  είναι το  $2\pi\rho$  ο τελευταίος τύπος συνδυαζόμενος με την Άσκηση 6.1.2 δίνει ότι το όριο των  $\epsilon(\Pi_i)$  είναι

$$\frac{\rho}{2} \cdot (2\pi\rho) = \pi\rho^2,$$

ο.ε.δ.

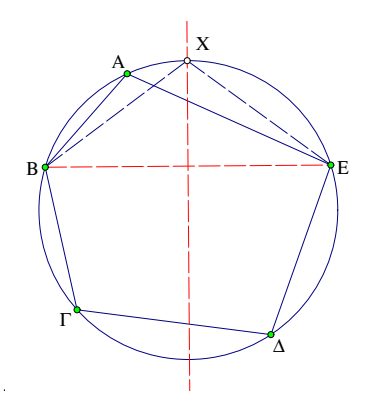
Άσκηση 6.5.1  $\Delta \epsilon$ ίξε ότι από όλα τα τρίγωνα  $AB\Gamma$  τα  $\epsilon$ γγεγραμμένα στον ίδιο κύκλο κ και έχοντα κοινή βάση  $B\Gamma$ , το τρίγωνο μεγίστου εμβαδού είναι ισοσκελές.



Σχήμα 566: Μεγιστοποίηση εμβαδού τριγώνου

Υπόδειξη: Επειδή όλα τα τρίγωνα έχουν την ίδια βάση  $B\Gamma$ , το μεγίστου εμβαδού θα είναι εκείνο του οποίου η κορυφή είναι στην μεγαλύτερη δυνατή απόσταση από την  $B\Gamma$ . Αυτή η θέση όμως συμπίπτει με ένα από τα δύο σημεία ( $\Delta$  στο σχήμα) στα οποία η μεσοκάθετος του  $B\Gamma$  τέμνει τον κύκλο κ.

Άσκηση 6.5.2  $\Delta \epsilon$ ίξ $\epsilon$  ότι από όλα τα πολύγωνα  $AB\Gamma\Delta...$  μ $\epsilon$  ν πλευρ $\epsilon$ ς τα  $\epsilon$ γγ $\epsilon$ γραμμ $\epsilon$ να στον ίδιο κύκλο κ το κανονικό πολύγωνο μ $\epsilon$  ν πλευρ $\epsilon$ ς  $\epsilon$ χ $\epsilon$ ι μ $\epsilon$ γιστο  $\epsilon$ μβαδόν.



Σχήμα 567: Μεγιστοποίηση εμβαδού πολυγώνου

Υπόδειξη: Υπόθεσε ότι το πολύγωνο  $\Pi = AB\Gamma\Delta$ ... με ν πλευρές έχει μέγιστη περίμετρο p και δεν είναι κανονικό. Τότε υπάρχουν δύο διαδοχικές πλευρές του άνισες λ.χ. οι BA και AE. Κατά την προηγούμενη άσκηση το τρίγωνο ABE θα έχει μικρότερο εμβαδόν από το αντίστοιχο εγγεγραμμένο ισοσκελές XBE. Αντικαθιστώντας λοιπόν το ABE με το AXE ευρίσκουμε άλλο πολύγωνο με ν πλευρές και εμβαδόν p'>p, πράγμα άτοπο, αφού υποθέσαμε ότι το p είναι το μέγιστο δυνατόν εμβαδόν  $(MS2, \sigma. 198)$ .

'Ασκηση 6.5.3  $\Delta$ ιαίρεσε δοθέντα κύκλο κ σε ν ισοεμβαδικά μέρη μέσω κύκλων συγκεντρικών με τον κ.

Άσκηση 6.5.4 Έστω P σημείο στο εσωτερικό κανονικού ν-γώνου Π. Δείξε ότι το άθροισμα των αποστάσεων του P από τις πλευρές του πολυγώνου ισούται με νρ, όπου ρ η ακτίνα του εγγεγραμμένου κύκλου του πολυγώνου.

Άσκηση 6.5.5~(Θεώρημα του Γαλιλαίου) Το εμβαδόν κύκλου ε(κ) είναι η μέση ανάλογος  $ε(κ) = \sqrt{ε(Π)ε(Π')}$  του εμβαδού ενός περιγεγραμμένου πολυγώνου Π και ενός ομοίου του Π πολυγώνου Π' του οποίου η περίμετρος ισούται με την περίμετρο του κύκλου.

'Ασκηση 6.5.6 Οι κορυφές πολυγώνου  $A_1A_2...A_{\nu}$  προβάλλονται σε ευθεία  $\varepsilon$  στα σημεία  $B_1,B_2,...,B_{\nu}$ . Δείξε ότι γιά τα προσημασμένα μήκη ισχύει

$$B_1B_2 + B_2B_3 + \ldots + B_{\nu-1}B_{\nu} + B_{\nu}B_1 = 0.$$

'Ασκηση 6.5.7 Δίδεται κανονικό πολύγωνο  $A_1A_2...A_{\nu}$  και ευθεία OX διά του κέντρου του. Εάν  $\alpha_1,....,\alpha_{\nu}$  είναι οι γωνίες που σχηματίζει η OX με (τις ευθείες που ορίζονται από) τις πλευρές του  $A_1A_2,...,A_{\nu}A_1$ , δείξε ότι ισχύει:

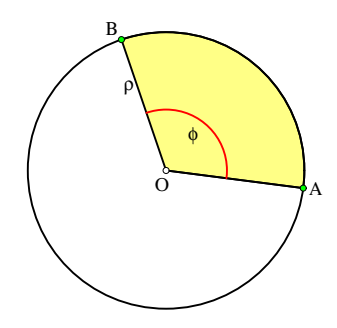
$$\operatorname{sun}(\alpha_1) + \operatorname{sun}(\alpha_2) + \dots + \operatorname{sun}(\alpha_{\nu}) = 0.$$

'Ασκηση 6.5.8  $\Delta \epsilon$ ίξ $\epsilon$  ότι γιά κάθ $\epsilon$  σημ $\epsilon$ ίο X σ $\epsilon$  απόσταση  $\delta$  από το κ $\epsilon$ ντρο κανονικού ν-γώνου  $A_1A_2...A_{\nu}$   $\epsilon$ γγ $\epsilon$ γραμμ $\epsilon$ νου σ $\epsilon$  κύκλο ακτίνας ρ ισχύ $\epsilon$ ι:

$$|XA_1|^2 + |XA_2|^2 + \dots + |XA_{\nu}|^2 = \nu(\rho^2 + \delta^2).$$

## 6.6 Το εμβαδόν κυκλικού τομέα

Κυκλικός τομέας λέγεται το μέρος του κύκλου που περικλείεται από ένα τόξο του και τις ακτίνες στα άκρα του. Το εμβαδόν ενός κυκλικού τομέα ορίζεται, κατ' αναλογίαν με



Σχήμα 568: Κυκλικός τομέας

τον κύκλο, ως όριο εμβαδών τεθλασμένων γραμμών που έχουν τις ακτίνες ΟΑ, ΟΒ ως δύο διαδοχικές πλευρές τους και οι υπόλοιπες σχηματίζουν πολυγωνική γραμμή εγγεγραμμένη στον κύκλο και με άκρα τα σημεία Α και Β. Με μιά διαδικασία ανάλογη με αυτήν του προσδιορισμού του εμβαδού του κύκλου, που δεν θα επαναλάβω εδώ, βρίσκουμε ότι το εμβαδόν του τόξου εκφράζεται μέσω της αντίστοιχης επίκεντρης γωνίας του τόξου του και με τον τύπο

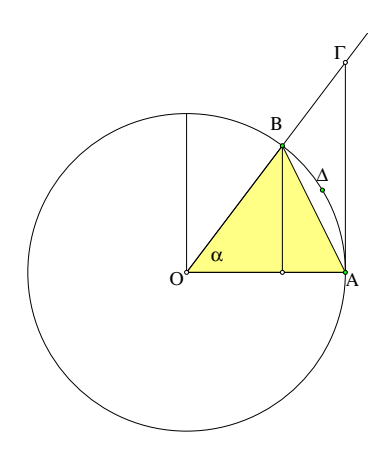
$$\epsilon(AOB) = \frac{1}{2}\phi\rho^2$$
, (φ το μέτρο της γωνίας AOB σε ακτίνια).

Ειδικά γιά την γωνία 360 (πλήρους στροφής) ο τύπος δίδει το εμβαδόν του κύκλου  $\pi \rho^2$ . Συνοψίζω τις βασικές ιδιότητες του εμβαδού κυκλικού τομέα που απορρέουν από τον ορισμό αυτό και τις ιδιότητες των τόξων (2.12):

- 1. Ίσα τόξα στον ίδιο κύκλο ή σε ίσους κύκλους ορίζουν κυκλικούς τομείς με το ίδιο εμβαδόν.
- 2. Το εμβαδόν τομέα τόξου που είναι το αθροίσματος δύο τόξων είναι ίσο με το άθροισμα των εμβαδών των τομέων των δύο τόξων.
- 3. Το εμβαδόν του κύκλου είναι  $\pi \rho^2$ .

Οι ιδιότητες αυτές είναι εντελώς ανάλογες με τις ιδιότητες που γνωρίσαμε στην Παράγραφο 2.12 και έχουν αντίστοιχες συνέπειες γιά εμβαδά με αυτές των τόξων. Τα σχόλια που κατέγραψα στην παράγραφο 6.4 γιά το μήκος τόξου ισχύουν και γιά τα εμβαδά των τομέων. Αποδεικνύεται ότι υπάρχει μιά γενικότερη έννοια εμβαδού σχημάτων που περιλαμβάνει αυτό των πολυγώνων, των κύκλων και των κυκλικών τομέων ως ειδικές περιπτώσεις (Μέτρο του Jordan[ΒΗ07, σ. 503]). Ο ορισμός όμως αυτός ανήκει στην περιοχή της Μαθηματικής ανάλυσης και ξεπερνά τα πλαίσια του μαθήματος. Η ένταξη ωστόσο σε έναν εννιαίο ορισμό επιτρέπει σύγκριση πολυγωνικών εμβαδών και εμβαδών καμπύλων σχημάτων όπως αυτό του τομέως. Οι ιδιότητες των εμβαδών που περιγράψαμε στην Παράγραφο 3.1 μεταφέρονται αυτολεξί και στον γενικό ορισμό που περιλαμβάνει καμπυλόγραμμα σχήματα και έτσι προκύπτουν ανισότητες όπως λ.χ. αυτή που εμπεριέχεται στο επόμενο σχήμα.

$$\epsilon(AOB) < \epsilon(A\Delta BO) < \epsilon(A\Gamma O).$$



Σχήμα 569: Ανισότητες από συγκρίσεις εμβαδών

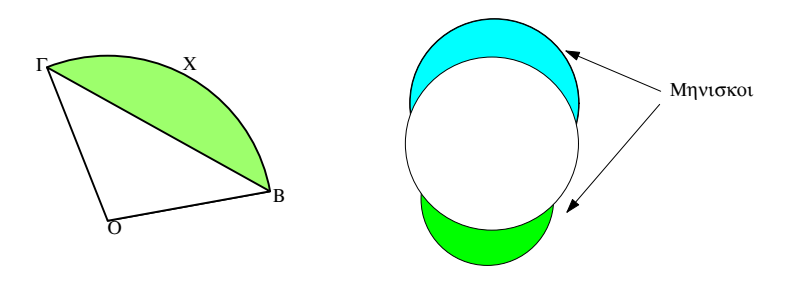
Το δεύτερο εμβαδόν είναι αυτό του τομέα  $A\Delta BO$  και η ανισότητα ισχύει γιά κάθε γωνία α με  $0<\alpha<\frac{\pi}{2}$  (μέτρο της σε ακτίνια). Αντικαθιστώντας με τους τύπους που δίδουν το εμβαδόν παίρνουμε την

$$\frac{1}{2}\rho^2\operatorname{hm}(\alpha)<\frac{1}{2}\rho^2\alpha<\frac{1}{2}\rho^2\operatorname{eq}(\alpha),$$

που απλοποιώντας οδηγεί στην

$$1 < \frac{\alpha}{\eta \mu(\alpha)} < \frac{1}{\sigma \upsilon \nu(\alpha)}.$$

Η επόμενη άσχηση χρησιμοποιεί τις έννοιες Κυκλικό τμήμα και Μηνίσκος. Η πρώτη



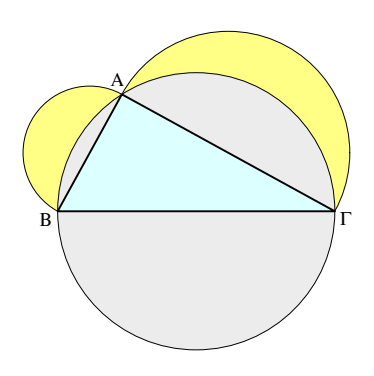
Σχήμα 570: Κυκλικό τμήμα και μηνίσκοι

ορίζεται ως το μέρος του κύκλου  $BX\Gamma$  που περιέχεται μεταξύ ενός τόξου  $BX\Gamma$  και της χορδής που ενώνει τα άκρα του. Η δεύτερη ορίζεται ως το μη κοινό μέρος ενός κύκλου με έναν άλλον που τον τέμνει  $[M52, \sigma.788]$ .

Άσκηση 6.6.1 (Μηνίσκοι του Ιπποκράτη (περίπου 470-410 π.Χ.)) Έστω ορθογώνιο τρίγωνο  $AB\Gamma$ . Θεώρησε τους κύκλους με διαμέτρους τις πλευρές του τριγώνου. Δείξε ότι στις κάθετες πλευρές ορίζονται δύο μηνίσκοι των οποίων το εμβαδόν είναι συνολικά ίσο με το εμβαδόν του τριγώνου.

 $\Upsilon$ πόδειξη: Το εν λόγω εμβαδόν  $\epsilon$  είναι ίσο με την διαφορά δύο εμβαδών. Το πρώτο είναι το εμβαδόν των δύο ημικυκλίων με διαμέτρους τις κάθετες πλευρές του  $AB\Gamma$ 

$$\epsilon_1 = \frac{1}{8}\pi(|AB|^2 + |A\Gamma|^2).$$

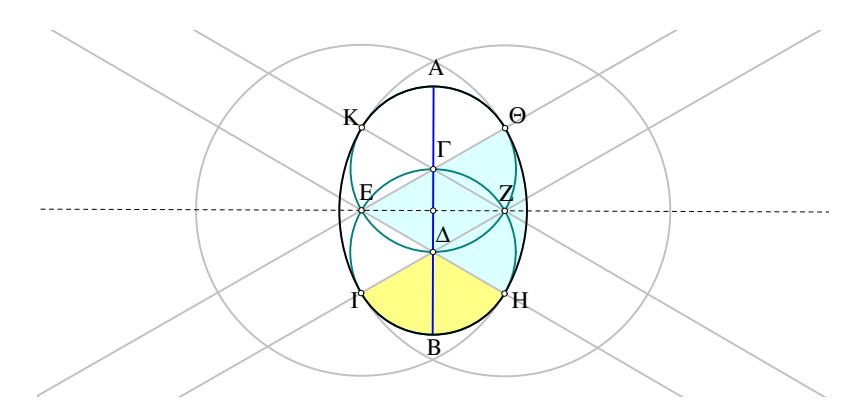


Σχήμα 571: Μηνίσκοι του Ιπποκράτη

Το δεύτερο είναι το εμβαδόν των δύο χυχλιχών τμημάτων του περιγεγραμμένου που ορίζονται από τις χάθετες πλευρές. Ας ονομάσουμε το εμβαδόν αυτό  $\epsilon_2$ . Προσθέτοντας στο  $\epsilon_2$  το εμβαδόν του τριγώνου παίρνουμε ολόχληρο το εμβαδόν του ημιχυχλίου με διάμετρο την υποτείνουσα  $B\Gamma$ . Έχουμε επομένως

$$\epsilon = \epsilon_1 - \epsilon_2 
= (\epsilon_1 + \frac{1}{2}|AB||A\Gamma|) - (\epsilon_2 + \frac{1}{2}|AB||A\Gamma|) 
= (\frac{1}{8}\pi(|AB|^2 + |A\Gamma|^2) + \frac{1}{2}|AB||A\Gamma|) - \frac{1}{8}\pi|B\Gamma|^2 
= \frac{1}{8}\pi(|AB|^2 + |A\Gamma|^2 - |B\Gamma|^2) + \frac{1}{2}|AB||A\Gamma| 
= \frac{1}{2}|AB||A\Gamma|.$$

Άσκηση 6.6.2 Ευθύγραμμο τμήμα AB μήκους  $3\delta$  διαφείται σε τρία ίσα μέρη με τα σημεία  $\Gamma$  και  $\Delta$ . Με κέντρο  $\Gamma$  και ακτίνα  $\delta$ , κατασκευάζεται τόξο  $\Theta AK$  γωνίας  $\pi/3$ . Με κέντρο  $\Delta$  και ακτίνα  $\delta$ , κατασκευάζεται τόξο  $HB\Gamma$  γωνίας  $\pi/3$ . Με κέντρα τα σημεία τομής E,Z των κύκλων  $\Gamma(\delta)$  και  $\Delta(\delta)$  και ακτίνα  $2\delta$ , κατασκευάζονται τόξα  $\Theta H$  και IK γωνίας  $\pi/6$ . Να  $\beta$ ρεθεί το εμβαδόν του προκύπτοντος σχήματος.



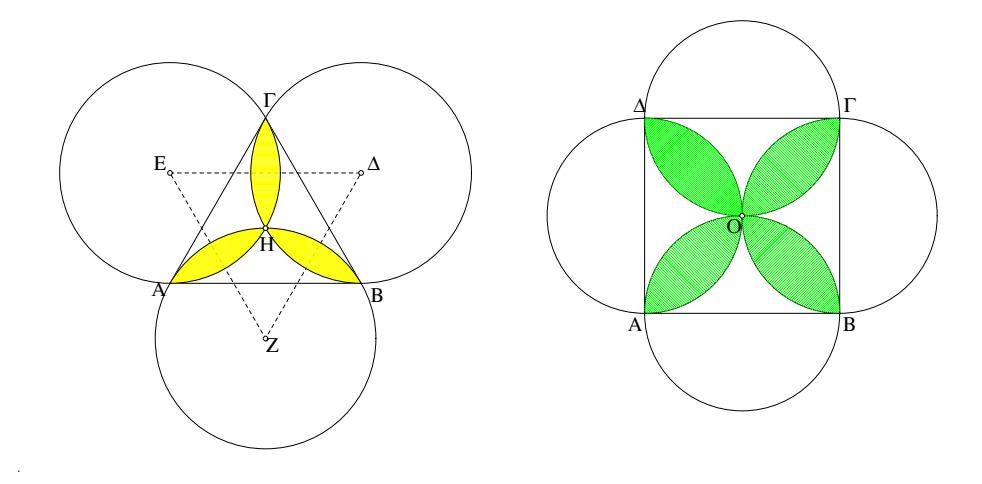
Σχήμα 572: Ωοειδές

Υπόδειξη: Το εμβαδόν ε του σχήματος (πού λέγεται Ωοειδές) είναι το άθροισμα των τεσσάρων κυκλικών τομέων που ορίζονται από τα τόξα της εκφώνησης μείον το εμβαδόν του

ρόμβου ΓΕΔΖ, που προσμετράται δύο φορές.

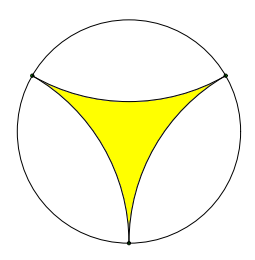
$$\begin{split} \epsilon &= 2\epsilon(\Delta\Gamma BH) + 2\epsilon(EH\Theta) - \epsilon(\Gamma E\Delta Z) \\ &= 2\left(\frac{1}{2}\left(\delta^2 \cdot \frac{\pi}{3}\right)\right) + 2\left(\frac{1}{2}\left((2\delta)^2 \frac{\pi}{6}\right)\right) - \delta \cdot \left(\frac{\sqrt{3}}{2}\delta\right) \\ &= \delta^2\left(\pi - \frac{\sqrt{3}}{2}\right). \end{split}$$

'Ασκηση 6.6.3 Να υπολογισθεί το εμβαδόν του τρίφυλλου που δημιουργείται στο εσωτερικό ισοπλεύρου τριγώνου πλευράς δ από κύκλους ίσους με τον περιγεγραμμένο του που έχουν ως κέντρα τα συμμετρικά του κέντρου βάρους Η του ισοπλεύρου ως προς τις πλευρές του.



Σχήμα 573: Τρίφυλλο και τετράφυλλο

'Ασκηση 6.6.4 Να υπολογισθεί το εμβαδόν του τετράφυλλου που δημιουργείται στο εσωτερικό τετραγώνου πλευράς δ από κύκλους με διάμετρο τις πλευρές του τετραγώνου.



Σχήμα 574: Καμπυλόγραμμο τρίγωνο με ίσες πλευρές

Άσκηση 6.6.5 Σε δοθέντα κύκλο κατασκεύασε καμπυλόγραμμο τρίγωνο του οποίου οι πλευρές είναι τρία ίσα τόξα, τα οποία ανά δύο εφάπτονται στα άκρα τους. Υπολόγισε το εμβαδόν ενός τέτοιου τριγώνου.

Κεφάλαιο 7

Ευθείες και επίπεδα στο χώρο

# 7.1 Αξιώματα γιά τον χώρο

Γιά την μελέτη σχημάτων του χώρου χρειαζόμαστε την αόριστη έννοια του Επιπέδου και μερικά συμπληρωματικά αξιώματα αυτών που γνωρίσαμε στα προηγούμενα κεφάλαια. Αξιώματα που περιγράφουν τις βασικές ιδιότητες των επιπέδων αλλά και των ευθειών του χώρου.

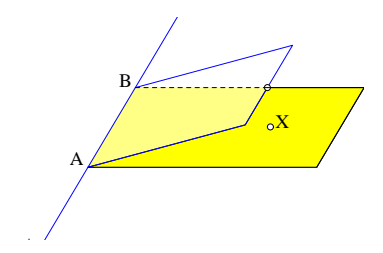
**Αξίωμα 7.1.1** Τρία σημεία μη κείμενα επ' ευθείας ορίζουν ένα ακριβώς επίπεδο. Κάθε επίπεδο ε περιέχει άπειρα σημεία και υπάρχουν επίσης άπειρα σημεία μη περιεχόμενα στο επίπεδο ε.

**Αξίωμα 7.1.2** Aν μία ευθεία έχει δύο κοινά σημεία με ένα επίπεδο ε τότε περιέχεται στο επίπεδο ε.

**Αξίωμα 7.1.3**  $A\nu$  δύο  $\epsilon \pi i \pi \epsilon \delta a$   $\epsilon \chi o \nu \nu$   $\epsilon \nu a$  κοινό σημείο τότε  $\epsilon \chi o \nu \nu$  και ολόκληρη  $\epsilon \nu \theta \epsilon i a$  κοινή.

Αξίωμα 7.1.4 Κάθε επίπεδο ε χωρίζει τον χώρο σε δύο μέρη που δεν έχουν κοινά σημεία και ονομάζονται Ημίχωροι. Ένα ευθύγραμμο τμήμα που έχει τα άκρα του σε διαφορετικούς ημίχωρους τέμνει το επίπεδο σε ένα ακριβώς σημείο. Ένα ευθύγραμμο τμήμα, που έχει και τα δύο άκρα του στον ίδιο ημίχωρο, δεν τέμνει το επίπεδο.

Τα επίπεδα παίζουν στο χώρο τον ρόλο που παίζουν οι ευθείες στο επιπέδο. Στην επιπεδομετρία απομονώνουμε ένα από τα επίπεδα του χώρου και εξετάζουμε τα σχήματα που ορίζονται μέσα σε αυτό το επίπεδο. Στην **Στερεομετρία** εξετάζουμε σχήματα, όπως λ.χ. τον κύβο, που εκτείνονται στον χώρο και δεν περιορίζονται σε κάποιο επίπεδο.

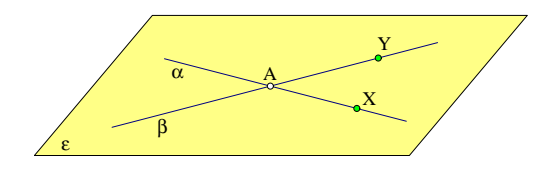


Σχήμα 575: Τεμνόμενα επίπεδα

Πρόταση 7.1.1 Aν δύο διαφορετικά επίπεδα τέμνονται τότε η τομή τους συμπίπτει με μία ευθεία.

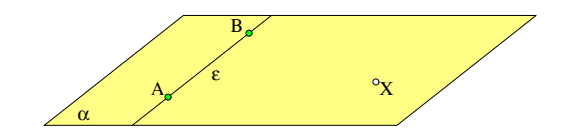
Απόδειξη: Κατά το τελευταίο αξίωμα η τομή τους θα περιλαμβάνει τουλάχιστον μία ευθεία AB. Δεν μπορεί όμως να περιλαμβάνει σημεία εκτός της AB. Τούτο διότι δύο σημεία της ευθείας λ.χ. τα A, B και ένα σημείο X εκτός αυτής ορίζουν ένα ακριβώς επίπεδο. Άρα αν το X ανήκε και στα δύο επίπεδα τότε αυτά, κατά το πρώτο αξίωμα, θα έπρεπε να ταυτίζονται, αντίθετα με την υπόθεση, ο.ε.δ.

Πρόταση 7.1.2  $\Delta$ ύο διαφορετικές τεμνόμενες ευθείες ορίζουν ένα και μοναδικό επίπεδο που τις περιέχει.



Σχήμα 576: Επίπεδο δύο τεμνομένων ευθειών

Aπόδειξη: Θεώρησε το σημείο τομής A δύο ευθειών α και β. Πάρε επίσης δύο σημεία X και Y, το πρώτο στην α και το δεύτερο στην β. Κατά το πρώτο αξίωμα ορίζεται ένα ακριβώς επίπεδο ε που περιέχει τα τρία σημεία A, X και Y. Κατά το δεύτερο αξίωμα το επίπεδο θα περιέχει και τις δύο ευθείες, ο.ε.δ.



Σχήμα 577: Επίπεδο ευθείας και σημείου

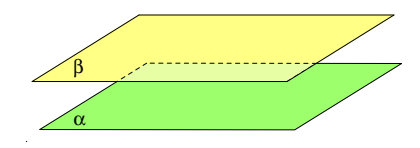
**Πρόταση 7.1.3** Μία ευθεία  $\varepsilon$  και σημείο X εκτός αυτής ορίζουν ένα ακριβώς επίπεδο που τα περιέχει

Aπόδειξη: Θεώρησε δύο σημεία A και B της ε. Το επίπεδο α που περιέχει τα τρία σημεία A,B και X περιέχει και όλη την ευθεία ε (Aξίωμα 7.1.2). Κάθε επίπεδο που περιέχει την ε και το X θα περιέχει και τα A,B και X, άρα θα ταυτίζεται με το α (Aξίωμα 7.1.1), ο.ε.δ.

Πρόταση 7.1.4 Aν δύο ευθείες ε και ζ περιέχονται σε επίπεδο, τότε το επίπεδο αυτό είναι μοναδικό.

Aπόδειξη: Η ίδια με την προηγούμενη, παίρνοντας δύο σημεία A,B στην ε και ένα X στην ζ κτλ. ο.ε.δ.

Παράλληλα επίπεδα ονομάζονται δύο επίπεδα που δεν τέμνονται. Μία ευθεία λέγεται Παράλληλη προς το επίπεδο όταν δεν το τέμνει. Ένα επίπεδο λέγεται παράλληλο

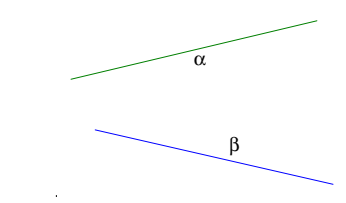


Σχήμα 578: Παράλληλα επίπεδα

προς ευθεία όταν δεν την τέμνει. Δύο ευθείες λέγονται  $\Pi$ αράλληλες (στον χώρο) όταν (1) περιέχονται σε ένα επίπεδο α και (2) είναι παράλληλες ευθείες αυτού του επιπέδου. Ασύμβατες ευθείες λέγονται δύο ευθείες α και  $\beta$  που δεν τέμνονται και δεν είναι και παράλληλες (δεν περιέχονται σε ένα επίπεδο).

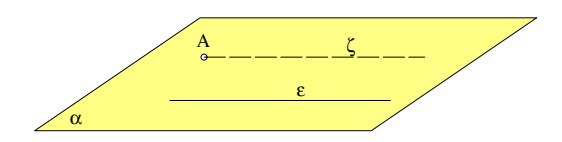
Ξεκαθαρίζω πρώτα ένα λεπτό σημείο με δύο ευθείες παράλληλες στο χώρο, διότι ο ορισμός των παραλλήλων του χώρου και του επιπέδου έχουν μία μικρή διαφορά. Ενώ στο

επίπεδο δύο παράλληλες ορίζονται ως δύο μη-τεμνόμενες ευθείες, στον χώρο αυτή η ιδιότητα δεν αρκεί, όπως φαίνεται με δύο ασύμβατες ευθείες, οι οποίες ναι μεν δεν τέμνονται, δεν είναι όμως και παράλληλες. Οι παράλληλες στον χώρο περιέχονται εξ υποθέσεως στο ίδιο επίπεδο και ο ορισμός τους ως παραλλήλων του χώρου ανάγεται στον ορισμό ως παραλλήλων του επιπέδου που τις περιέχει.



Σχήμα 579: Ασύμβατες ευθείες

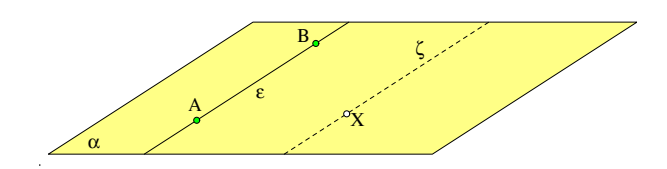
**Πρόταση 7.1.5** Από σημείο A εκτός ευθείας  $\varepsilon$  άγεται μία και μόνον ευθεία  $\zeta$  παράλληλος της  $\varepsilon$ .



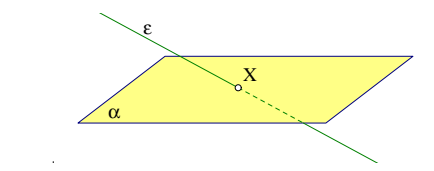
Σχήμα 580: Μοναδικότητα παραλλήλου στον χώρο

Aπόδειξη: Στο επίπεδο α που ορίζεται από την ευθεία ε και το σημείο A θεώρησε την μοναδική παράλληλο ζ προς την ε (Aξίωμα παραλληλίας 1.15.1). Κάθε άλλο επίπεδο που περιέχει την ε και το A θα ταυτίζεται με το α, συνεπώς η παράλληλος από το A προς την ε θα είναι μοναδική, ο.ε.δ.

**Πόρισμα 7.1.1** Γιά κάθε σημείο X εκτός ευθείας  $\varepsilon$  το επίπεδο που περιέχει το X και την  $\varepsilon$  περιέχει και την παράλληλο  $\zeta$  της  $\varepsilon$  από το X.



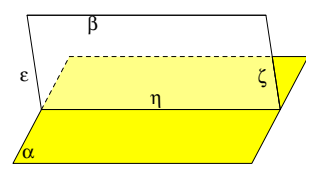
Σχήμα 581: Επίπεδο δύο παραλλήλων ευθειών



Σχήμα 582: Ευθεία τέμνουσα επίπεδο

**Πρόταση 7.1.6** Αν ευθεία ε δεν είναι παράλληλη προς το επίπεδο α και δεν περιέχεται σε αυτό τότε το τέμνει σε ένα ακριβώς σημείο.

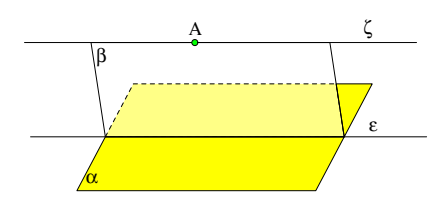
Aπόδειξη: Προφανώς πρέπει η ε να τέμνει το α. Διαφορετικά θα ήταν παράλληλη προς αυτό. Επίσης αν το έτεμνε σε περισσότερα από ένα σημεία τότε, κατά το δεύτερο αξίωμα θα περιήχετο στο α, αντίθετα με την υπόθεση. Άρα η ε τέμνει το α σε ένα ακριβώς σημείο, ο.ε.δ.



Σχήμα 583: Ευθείες παράλληλες τέμνουσες επίπεδο

Πρόταση 7.1.7 Αν ευθεία ε τέμνει επίπεδο α σε ένα σημείο τότε και κάθε παράλληλος ζ προς αυτήν θα τέμνει το επίπεδο σε ένα σημείο.

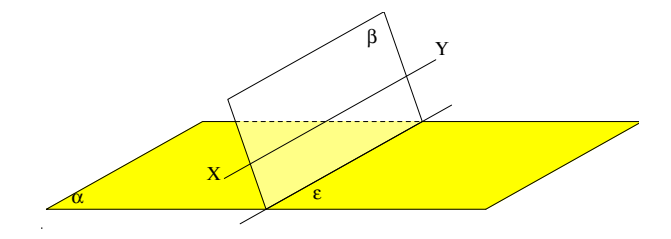
Aπόδειξη: Θεώρησε το επίπεδο β που περιέχει τις παράλληλες ε και ζ. Αυτό θα τέμνει το επίπεδο α κατά ευθεία η. Στο επίπεδο β οι ε και ζ είναι παράλληλες και η ε τέμνει την η. Άρα και η ζ θα τέμνει την η σε ένα σημείο (Πόρισμα 1.15.1) που είναι και σημείο του α, ο.ε.δ.



Σχήμα 584: Κατασκευή παραλλήλου ευθείας προς επίπεδο

Κατασκευή 7.1.1 Από σημείο A εκτός επιπέδου a φέρε παράλληλο ευθείa ζ προς το επίπεδο a.

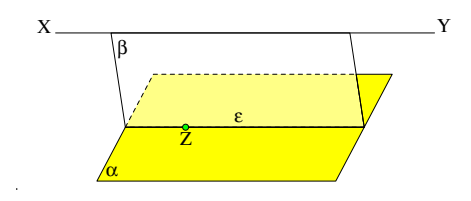
Κατασκευή: Θεώρησε τυχούσα ευθεία ε του επιπέδου α και όρισε το επίπεδο  $\beta$  που περιέχει την ευθεία ε και το σημείο A. Στο επίπεδο αυτό φέρε την παράλληλο  $\zeta$  της ε από το A. Η  $\zeta$  δεν μπορεί να τέμνει το  $\alpha$ , διότι αν το έτεμνε, τότε το κοινό σημείο  $\Sigma$  της  $\zeta$  με το  $\alpha$  θα ήταν και σημείο της ε που είναι άτοπο, ο.ε.κ.



Σχήμα 585: Επίπεδο διά ευθείας τέμνον παράλληλο επίπεδο

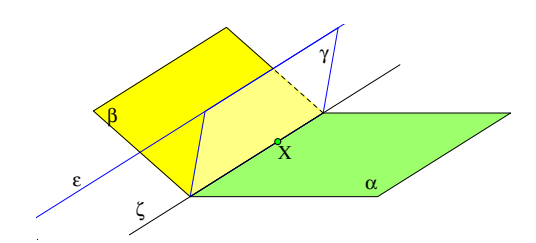
**Πρόταση 7.1.8**  $A\nu$  επίπεδο  $\beta$  διέρχεται από ευθεία XY και τέμνει επίπεδο α προς το οποίο  $\eta$  XY είναι παράλληλος, τότε  $\eta$  τομή  $\varepsilon$  των α και  $\beta$  είναι ευθεία παράλληλος της XY.

Aπόδειξη: Αν η ε δεν ήταν παράλληλος αλλά έτεμνε την <math>XY σε σημείο Σ, τότε το Σ θα ήταν και στην XY και στο α, άρα η XY δεν θα ήταν παράλληλος προς το α, αντίθετα με την υπόθεση. Το άτοπο αυτό δείχνει ότι η ε είναι παράλληλος της XY, ο.ε.δ.



Σχήμα 586: Ευθεία παράλληλη προς επίπεδο

**Πρόταση 7.1.9** Μία ευθεία XY είναι παράλληλος προς επίπεδο α τότε και μόνον, όταν το α περιέχει ευθεία  $\varepsilon$  παράλληλο της XY.



Σχήμα 587: Τομή επιπέδων παραλλήλων προς ευθεία

**Πρόταση 7.1.10**  $\Delta$ ύο τεμνόμενα επίπεδα παράλληλα προς ευθεία ε τέμνονται κατά ευθεία  $\zeta$  παράλληλο της  $\varepsilon$ .

Aπόδειξη: Έστω ότι τα επίπεδα α και β είναι παράλληλα προς την ευθεία ε και τέμνονται κατά ευθεία ζ. Έστω X σημείο της ζ. Κατά την Πρόταση 7.1.8 το επίπεδο  $\gamma$  που ορίζεται από την  $\varepsilon$  και το X θα τέμνει το α και το  $\beta$  κατά ευθείες παράλληλες της  $\varepsilon$  και διερχόμενες από το X. Αυτό συνεπάγεται ότι οι δύο αυτές ευθείες θα συμπίπτουν και θα συμπίπτουν επίσης με την τομή των α και  $\beta$ , ο.ε.δ.

Άσκηση 7.1.1 Εστω ότι τα επίπεδα α και β διέρχονται από την ευθεία ε που είναι παράλληλη προς επίπεδο ζ. Έστω επίσης ότι τα α και β τέμνουν το επίπεδο ζ. Δείξε οι τομές τους είναι δύο παράλληλες ευθείες του ζ.

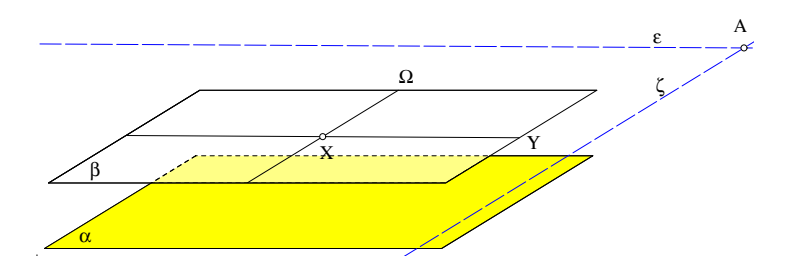
## 7.2 Παράλληλα επίπεδα

**Πρόταση 7.2.1**  $A\nu$  δύο  $\epsilon$ πίπ $\epsilon$ δα α και  $\beta$   $\epsilon$ ίναι παράλληλα τότ $\epsilon$  κάθ $\epsilon$   $\epsilon$ υθ $\epsilon$ ία του  $\epsilon$ νός  $\epsilon$ ίναι παράλληλη προς το άλλο  $\epsilon$ πίπ $\epsilon$ δο.



Σχήμα 588: Ευθεία παράλληλη σε επίπεδο

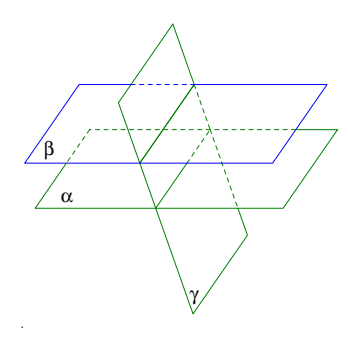
Aπόδειξη: Αν η ευθεία ε του α έτεμνε το β σε σημείο X, τότε τα α και β θα είχαν το X κοινό σημείο, αντίθετα με την υπόθεση. Άρα η ε δεν μπορεί να τέμνει το β, ο.ε.δ.



Σχήμα 589: Επίπεδο δύο παραλλήλων προς επίπεδο

**Πρόταση 7.2.2** Το επίπεδο  $\beta$  δύο τεμνομένων ευθειών που είναι παράλληλες προς επίπεδο α είναι παράλληλο του α.

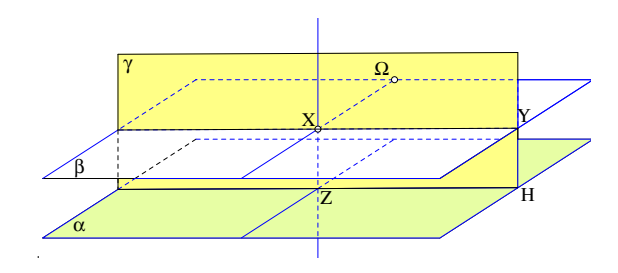
Aπόδειξη: Έστω ότι το επίπεδο β των τεμνομένων ευθειών XY και XΩ τέμνει το επίπεδο α κατά ευθεία η. Θα δείξουμε ότι αυτό είναι άτοπο. Προς τούτο θεώρησε σημείο A εκτός των δύο επιπέδων και φέρε από το A την παράλληλη ε προς την XY και την παράλληλη ζ προς την XΩ. Επειδή η ε είναι παράλληλη προς την XY δεν τέμνει ούτε το β ούτε το α «Πρόταση γ.1.7),(Πρόταση γ.1.9». Άρα, κατά την Πρόταση γ.1.10 η τομή η των α και β θα είναι παράλληλη προς την ε. Ανάλογα και γιά την ζ δείχνουμε ότι θα είναι παράλληλη προς την η. Από το A λοιπόν θα έχουμε δύο παράλληλες προς την ζ, που είναι άτοπο και δείχνει ότι τα α και β δεν τέμνονται, ο.ε.δ.



Σχήμα 590: Επίπεδο τέμνον παράλληλα επίπεδα

Πρόταση 7.2.3 Επίπεδο γ που τέμνει δύο παράλληλα επίπεδα α και β, τα τέμνει κατά ευθείες παράλληλες.

Απόδειξη: Οι δύο ευθείες -τομές του γ με το α και β δεν μπορεί να τέμνονται, διότι τότε θα ετέμνοντο και τα επίπεδα. Επίσης περιέχονται στο επίπεδο γ, άρα, κατά τον ορισμό είναι παράλληλες, ο.ε.δ.



Σχήμα 591: Επίπεδο από σημείο παράλληλο προς άλλο

**Πρόταση 7.2.4** Από σημείο X εκτός επιπέδου α άγεται ένα και μόνον επίπεδο  $\beta$  παράλληλο προς το  $\alpha$ .

Απόδειξη: Από την Πρόταση 7.2.2 συνάγεται ότι υπάρχει ένα επίπεδο β διά του X παράλληλο προς το α. Το επίπεδο αυτό είναι μοναδικό. Πράγματι, αν υπήρχε και δεύτερο επίπεδο β' διά του X τότε τα β και β' θα ετέμνοντο κατά ευθεία η διερχόμενη διά του X, την οποία χωρίς βλάβη της γενικότητας μπορούμε να υποθέσουμε διαφορετική της XY. Πάρε τότε σημείο Z στο α και θεώρησε το επίπεδο γ που περιέχει τα X, Y και Z. Αυτό τέμνει το επίπεδο β κατά την XY, το β' κατά μία ευθεία XY' (δεν σχεδιάζεται στο σχήμα) και το α κατά ευθεία ZH. Λόγω της παραλληλίας των επιπέδων οι ευθείες XY και XY' θα είναι δύο διαφορετικές παράλληλες από το σημείο X προς την ευθεία ZH του επιπέδου γ (Πρόταση 7.2.3). Αυτό είναι άτοπο και δείχνει την μοναδικότητα του παραλλήλου προς το α επιπέδου β από το X, ο.ε.δ.

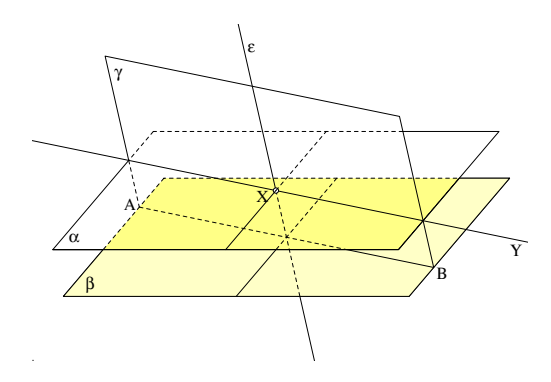
**Πόρισμα 7.2.1** Επίπεδο  $\gamma$  που τέμνει επίπεδο  $\beta$  θα τέμνει και κάθε επίπεδο α παράλληλο του  $\beta$ .

Απόδειξη: Έστω ότι το επίπεδο γ τέμνει το β αλλά όχι το παράλληλο αυτού α. Τότε από ένα σημείο X της τομής των β και γ άγονται δύο διαφορετικά επίπεδα παράλληλα του α: το β και το γ, πράγμα άτοπο κατά την Πρόταση 7.2.4. Άρα αν το γ τέμνει το β θα πρέπει να τέμνει και το α, o.ε.δ.

**Πόρισμα 7.2.2** Γιά κάθε ευθεία  $\varepsilon$  παράλληλο του επιπέδου  $\beta$  υπάρχει ένα ακριβώς επίπεδο α που περιέχει την  $\varepsilon$  και είναι παράλληλο του  $\beta$ .

Απόδειξη: Απο σημείο X της ε φέρε μία παράλληλο ζ προς το β διαφορετική της ε. Κατά την Πρόταση 7.2.2 το επίπεδο α των ε και ζ είναι παράλληλο προς το β. Κατά την Πρόταση 7.2.4 το α είναι μοναδικό με αυτήν την ιδιότητα, ο.ε.δ.

Πρόταση 7.2.5 Εάν ευθεία  $\varepsilon$  τέμνει επίπεδο α τότε θα τέμνει και κάθε επίπεδο  $\beta$  παράλληλο του a.

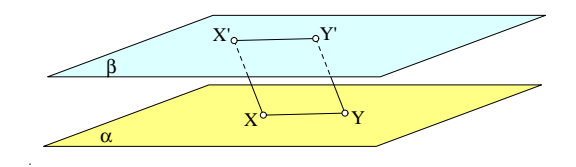


Σχήμα 592: Ευθεία τέμνουσα παράλληλα επίπεδα

Aπόδειξη: Έστω ότι η ευθεία ε τέμνει το επίπεδο α στο σημείο X αλλά δεν τέμνει το παράλληλό του β. Φέρε τυχόν επίπεδο γ περιέχον την ε και τέμνον το α κατά την ευθεία XY. Επειδή τα επίπεδα α, β είναι παράλληλα και το γ τέμνει το α θα τέμνει και το β (Πόρισμα 7.2.1) και μάλιστα κατά παράλληλες ευθείες XY και AB (Πρόταση 7.2.3). Συνάγεται ότι στο επίπεδο γ έχουμε από το σημείο X δύο παράλληλες προς την AB: την XY και την ε, γιά την οποία υποθέσαμε ότι δεν τέμνει το β, άρα και την AB. Το άτοπο αυτό δείχνει ότι αν γ ε τέμνει το γ τότε πρέπει να τέμνει και το γ, γ.ε.δ.

**Πόρισμα 7.2.3** Εάν ευθεία ε είναι παράλληλη προς επίπεδο α τότε θα είναι και παράλληλη προς κάθε επίπεδο  $\beta$  παράλληλο του  $\alpha$ .

**Πόρισμα 7.2.4** Από σημείο X εκτός επιπέδου  $\beta$  άγονται άπειρες ευθείες παράλληλες προς το επίπεδο  $\beta$ . Όλες αυτές οι ευθείες περιέχονται στο μοναδικό επίπεδο  $\alpha$  που διέρχεται από το  $\alpha$  και είναι παράλληλο του  $\alpha$ .



Σχήμα 593: Παράλληλες μεταξύ παραλλήλων

**Πρόταση 7.2.6** Παράλληλα  $\epsilon$ πίπ $\epsilon$ δα αποτ $\epsilon$ μνουν  $\epsilon$ πί παραλλήλων  $\epsilon$ υθ $\epsilon$ ιών ίσα  $\epsilon$ υθύγραμμα τμήματα.

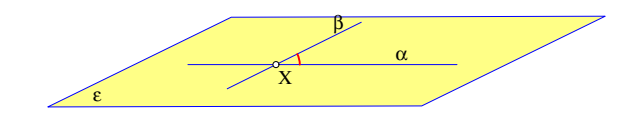
Aπόδειξη: Έστω ότι τα παράλληλα επίπεδα α και β αποτέμνουν επί παραλλήλων ευθειών τα τμήματα XX' και YY'. Τότε το XX'Y'Y είναι παραλληλόγραμμο, άρα τα XX' και YY' είναι ίσα, ο.ε.δ.

Πρόταση 7.2.7  $A\nu$  το επίπεδο  $\beta$  είναι παράλληλο του α και το επίπεδο  $\gamma$  είναι παράλληλο του  $\beta$ , τότε το επίπεδο  $\gamma$  είναι και παράλληλο του  $\alpha$ .

Aπόδειξη: Αν τα α και γ δεν ήταν παράλληλα τότε από την τομή τους, που είναι ευθεία ε μη τέμνουσα το β, άρα παράλληλη προς αυτό, θα είχαμε δύο διαφορετικά επίπεδα παράλληλα προς το β, που είναι άτοπο (Πόρισμα 7.2.2). Συνεπώς τα α και γ πρέπει να είναι παράλληλα, ο.ε.δ.

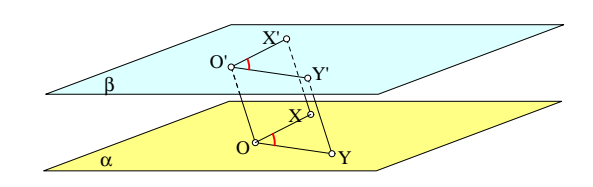
# 7.3 Γωνίες στον χώρο

Γωνίες στον χώρο μετράμε με τον τρόπο που τις μετράμε και στο επίπεδο.  $\Delta$ ύο διαφορετικές και τεμνόμενες ευθείες α και  $\beta$  ορίζουν ένα ακριβώς επίπεδο ε (Πρόταση 7.1.2) και σε αυτό



Σχήμα 594: Γωνία στον χώρο

το επίπεδο μετράμε τις γωνίες που σχηματίζουν οι ευθείες με τον ίδιο τρόπο που το κάνουμε γιά τις γωνίες του επιπέδου (Παράγραφος 1.4).

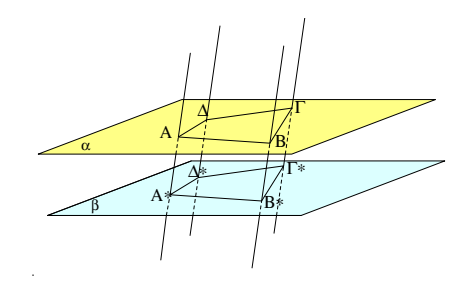


Σχήμα 595: Γωνίες με πλευρές παράλληλες

Πρόταση 7.3.1 Γωνίες με παράλληλες και ομόρροπες πλευρές είναι ίσες.

Aπόδειξη: Έστω ότι οι δύο γωνίες XOY και X'O'Y' έχουν αντίστοιχες πλευρές παράλληλες. Τότε περιέχονται σε διαφορετικά ή ταυτιζόμενα επίπεδα. Αν περιέχονται στο ίδιο επίπεδο, τότε κατά το Πόρισμα 1.15.10 σχηματίζουν ίσες γωνίες. Αν περιέχονται σε διαφορετικά επίπεδα τότε τα επίπεδα αυτά είναι παράλληλα (Πρόταση 7.2.2). Σε αυτήν την περίπτωση όρισε επί των πλευρών τους τα σημεία έτσι ώστε |OX| = |O'X'| και |OY| = |O'Y'|. Τότε τα OXX'O' και OYY'O' είναι παραλληλόγραμμα και συνεπώς οι XX' και YY' είναι παράλληλες, άρα και το XYY'X' είναι παραλληλόγραμμο. Συνάγεται ότι τα τρίγωνα OXY και O'X'Y' έχουν ίσες αντίστοιχες πλευρές, άρα είναι ίσα και συνεπώς οι γωνίες τους στα O και O' είναι ίσες, ο.ε.δ.

**Πόρισμα 7.3.1** Εστω δύο επίπεδα ΧΟΟ΄ και ΥΟΟ΄ τεμνόμενα κατά την ευθεία ΟΟ΄. Δύο παράλληλα επίπεδα α και  $\beta$  που τέμνουν την ΟΟ΄ τέμνουν τα επίπεδα ΧΟΟ΄ και ΥΟΟ΄ κατά γωνίες ίσες (|XOY| = |X'O'Y'| στο σχήμα-595).



Σχήμα 596: Ίσα πολύγωνα οριζόμενα από παράλληλη δέσμη

**Πόρισμα 7.3.2** Εστω  $AB\Gamma\Delta$ ... πολύγωνο στο επίπεδο α και παράλληλη δέσμη ευθειών διερχομένων διά των κορυφών του. Η δέσμη αυτή ορίζει σε κάθε έπίπεδο  $\beta$ , παράλληλο του  $\alpha$ , πολύγωνο  $A*B*\Gamma*\Delta*...$  ίσο προς το  $AB\Gamma\Delta$ ... .

Aπόδειξη: Κατά την Πρόταση 7.2.6 τα ABB\*A\*, BΓΓ\*B\*, ... είναι όλα παραλληλόγραμμα, συνεπώς τα πολύγωνα έχουν αντίστοιχες πλευρές ίσες |AB| = |A\*B\*|, |BΓ| = |B\*Γ\*|, .... Κατά την Πρόταση 7.3.1 τα πολύγωνα έχουν αντίστοιχες γωνίες επίσης ίσες, ο.ε.δ.

 $\Sigma$ χόλιο  $\Sigma$ την επόμενη παράγραφο θα δούμε ότι η έννοια της γωνίας στο χώρο γενικεύεται και γιά ασύμβατες ευθείες, οι οποίες, εξ ορισμού, δεν είναι παράλληλες αλλά και δεν τέμνονται.

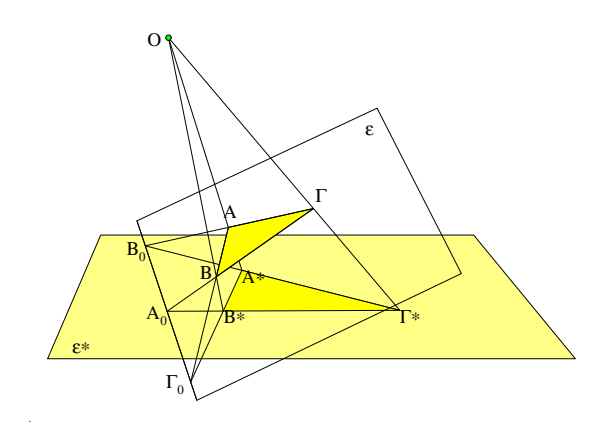
Άσκηση 7.3.1  $\Delta$ είξε ότι αν οι ευθείες κ και  $\lambda$  είναι παράλληλες και περιέχονται αντίστοιχα στα τεμνόμενα επίπεδα α και  $\beta$ , τότε είναι και παράλληλες προς την ευθεία η της τομής των δύο επιπέδων.

Άσκηση 7.3.2  $\Delta \epsilon$ ίξε ότι αν τρείς ευθείες διέρχονται από το ίδιο σημείο και τέμνουν μιά τέταρτη σε διαφορετικά σημεία της, τότε και οι τέσσερις ευθείες είναι στο ίδιο επίπεδο.

Άσκηση 7.3.3  $\Delta \epsilon$ ίξε ότι ένας κύκλος περιεχόμενος σε επίπεδο α και επίπεδο  $\beta$ , διαφορετικό του  $\alpha$ , έχουν το πολύ δύο κοινά σημεία.

Άσκηση 7.3.4  $\Delta \epsilon$ ίξ $\epsilon$  ότι δύο κύκλοι περιεχόμενοι σε δύο διαφορετικά επίπεδα α και  $\beta$  έχουν το πολύ δύο κοινά σημεία.

Άσκηση 7.3.5  $\Delta \epsilon$ ίξε ότι αν οι αντίστοιχες πλευρές των τριγώνων  $AB\Gamma$  και  $A*B*\Gamma*$  τέμνονται, τότε οι ευθείες AA\*, BB\* και  $\Gamma\Gamma*$  ή διέρχονται από κοινό σημείο O ή είναι παράλλληλες.

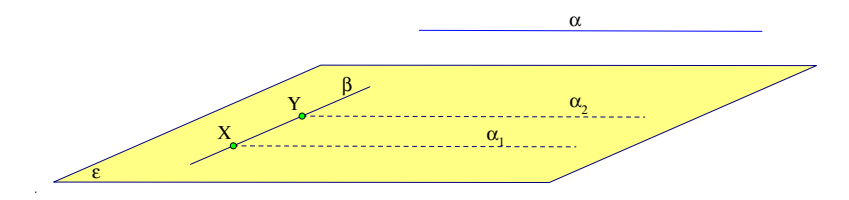


Σχήμα 597: Desargues στο χώρο

 $\Upsilon$ πόδειξη: Τα σημεία τομής  $A_0, B_0, \Gamma_0$  των αντιστοίχων πλευρών των τριγώνων περιέχονται στην ευθεία που είναι η τομή των επιπέδων ε και ε\* των τριγώνων. Έστω ότι οι  $AA^*$  και  $BB^*$  τέμνονται στο O. Το O περιέχεται τότε στο επίπεδο των  $BB^*$  και  $\Gamma\Gamma^*$ , καθώς και στο επίπεδο των  $AA^*$  και  $\Gamma\Gamma^*$ . Άρα θα περιέχεται και στην τομή αυτών των δύο επιπέδων, που είναι η  $\Gamma\Gamma^*$ . Ανάλογη είναι η απόδειξη και στην περίπτωση της παραλληλίας των  $AA^*$  και  $BB^*$ .

# 7.4 Ασύμβατες ευθείες

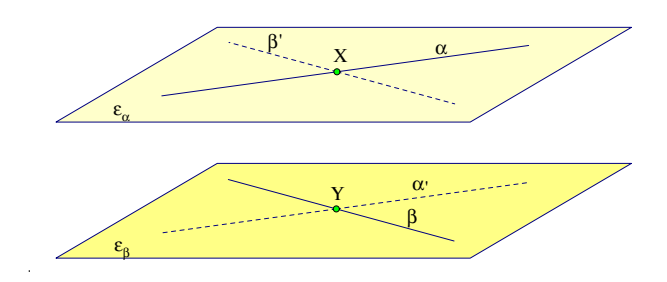
Όπως ήδη αναφέρθηκε (Παράγραφος 7.1) ασύμβατες λέγονται δύο ευθείες του χώρου γιά τις οποίες δεν υπάρχει επίπεδο στο οποίο να περιέχονται και οι δύο.



Σχήμα 598: Επίπεδο διά της β παράλληλο της ασυμβάτου α προς την β

**Πρόταση 7.4.1** Αν α και  $\beta$  είναι ασύμβατες ευθείες, τότε υπάρχει ένα ακριβώς επίπεδο  $\varepsilon_{\beta}$  περιέχον την  $\beta$  και παράλληλο της α.

Aπόδειξη: Από σημείο X της β φέρε παράλληλη  $α_1$  της α. Το επίπεδο  $ε_β$  που περιέχει τις β και  $α_1$  είναι παράλληλο της α (Πρόταση 7.1.9). Αν υπήρχε και άλλο επίπεδο ε περιέχον την α και παράλληλο της β, τότε η τομή τους, που είναι η ευθεία α, θα ήταν παράλληλη της β (Πρόταση 7.1.10), όπερ άτοπο, ο.ε.δ.



Σχήμα 599: Τα επίπεδα δύο ασυμβάτων ευθειών

Πρόταση 7.4.2 Δοθέντων ασυμβάτων ευθειών α και  $\beta$  υπάρχουν δύο ακριβώς παράλληλα επίπεδα  $\varepsilon_{\alpha}$ ,  $\varepsilon_{\beta}$  έτσι ώστε το πρώτο να περιέχει την α και το δεύτερο την  $\beta$ .

Aπόδειξη: Θεώρησε τα επίπεδα  $ε_α$  και  $ε_β$  που ορίζονται στην προηγούμενη πρόταση. Αυτά είναι παράλληλα, διότι αν ετέμνοντο, τότε η τομή τους θα ήταν και παράλληλη της α και παράλληλη της β (Πρόταση 7.1.8), που είναι άτοπο. Η προηγούμενη πρόταση δείχνει επίσης ότι δεν υπάρχει άλλο ζεύγος παραλλήλων επιπέδων ε΄ και ε'' περιέχον αντίστοιχα τις α και β.  $\Delta$ ιότι αν υπήρχε, και ήταν λ.χ. το ε΄ διαφορετικό του  $ε_α$ , τότε θα είχαμε δύο επίπεδα διά της α παράλληλα της β, όπερ άτοπο, ο.ε.δ.

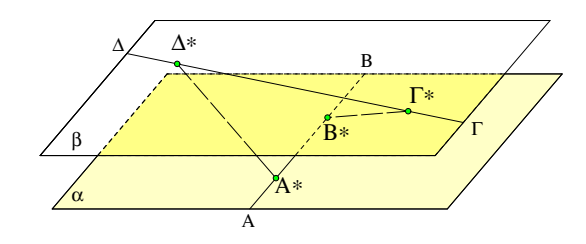
Η τελευταία πρόταση δείχνει την χαρακτηριστική ιδιότητα δύο ασυμβάτων ευθειών. Είναι απλά δύο ευθείες που περιέχονται σε δύο παράλληλα επίπεδα (επομένως δεν τέμνονται) αλλά δεν είναι παράλληλες. Η γωνία της ευθείας α και της παράλληλης  $\beta'$  της  $\beta$  από τυχόν σημείο X της  $\alpha$ , όπως ορίσθηκε στην Πρόταση 7.4.1 είναι ανεξάρτητη της θέσης του σημείου X. Κατά την Πρόταση 7.3.1 είναι επίσης ίση με την γωνία των ευθειών  $\beta$  και  $\alpha'$ , όπου  $\alpha'$  παράλληλη της  $\alpha$  από τυχόν σημείο  $\alpha'$  της  $\alpha'$  τη

Άσκηση 7.4.1  $\Delta$ είξε ότι, αν οι ευθείες α και  $\beta$  είναι ασύμ $\beta$ ατα κάθετες και οι α΄ και  $\beta$ ΄ είναι παράλληλες αντίστοιχα των α και  $\beta$ , τότε και οι α΄ και  $\beta$ ΄ είναι ή κάθετες (εάν τέμνονται) ή ασύμ $\beta$ ατα κάθετες.

Άσκηση 7.4.2  $\Delta \epsilon$ ίξε ότι δεν υπάρχουν περισσότερες από τρεις ευθείες του χώρου που είναι ανά δύο ασύμβατα κάθετες.

'Ασκηση 7.4.3 Έστω α και  $\beta$  ασύμ $\beta$ ατες και  $\varepsilon_{\alpha}$ ,  $\varepsilon_{\beta}$  τα παράλληλα επίπεδα που τις περιέχουν.  $\Delta$ είξε ότι γιά κάθε σημείο X εκτός αυτών των επιπέδων υπάρχει μία ακριβώς ευθεία διά του X που τέμνει και τις δύο ασύμ $\beta$ ατες.

Άσκηση 7.4.4  $\Delta$ ίδονται τρεις ευθείες στο χώρο  $\alpha, \beta$  και  $\gamma$ , που είναι, ανά δύο, ασύμβατες.  $\Delta$ είξε ότι υπάρχουν άπειρες διαφορετικές ευθείες  $\delta$  που τέμνουν ταυτόχρονα και τις τρεις δοθείσες ευθείες.



Σχήμα 600: Ασύμβατες από σημεία επί ασυμβάτων

Άσκηση 7.4.5  $\Delta$ ίδονται τα διαφορετικά σημεία  $A^*$ ,  $B^*$  στην ευθεία AB και  $\Gamma^*$ ,  $\Delta^*$  στην ασύμβατο  $\Gamma\Delta$  της AB.  $\Delta$ είξε ότι και οι ευθείες  $A^*\Delta^*$  και  $\Gamma^*B^*$  είναι ασύμβατες.

 $\Upsilon$ πόδειξη: Αρκεί να δείξουμε ότι οι ευθείες  $A^*\Delta^*$  και  $\Gamma^*B^*$  δεν τέμνονται (1) και δεν είναι παράλληλες (2). (1) Αν ετέμνοντο, τότε το σημείο τομής, πες X, θα ήταν και στο επίπεδο  $B^*\Gamma^*\Delta^*$  και στο  $A^*\Gamma^*\Delta^*$  που τέμνονται κατά την ευθεία  $\Gamma^*\Delta^*$ , άρα το X θα ήταν επί της  $\Gamma^*\Delta^*$ . Ανάλογα προκύπτει ότι το X θα ήταν και επί της  $A^*B^*$ , πράγμα άτοπον. (2) Αν οι  $A^*\Delta^*$  και  $B^*\Gamma^*$  ήταν παράλληλες, τότε θα υπηρχε επίπεδο ε, το οποίο θα περιείχε και τις δύο. Τότε όμως το ε θα περιείχε και τις ευθείες  $A^*B^*$  και  $\Gamma^*\Delta^*$ , πράγμα επίσης άτοπον.

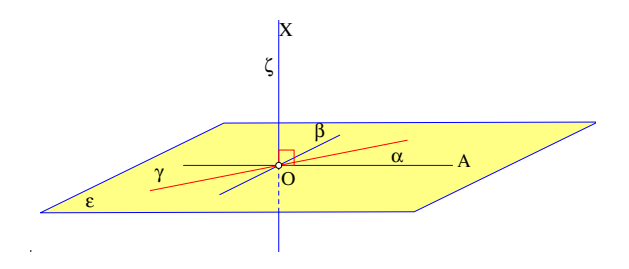
Το σχήμα  $A^*B^*\Gamma^*\Delta^*$  της προηγούμενης άσκησης λέγεται **Στρεβλό Τετράπλευρο** και προφανώς είναι η γενίκευση του επιπέδου τετραπλεύρου στον χώρο. Μιά ιδιότητα κοινή με τα επίπεδα τετράπλευρα, που αποδεικνύεται και με τον ίδιο τρόπο (Πρόταση 2.7.2) είναι αυτή της επόμενης άσκησης.

'Ασκηση 7.4.6 Τα μέσα των πλευρών στρεβλού τετραπλεύρου σχηματίζουν παραλληλόγραμμο.

'Ασκηση 7.4.7 Τα ευθύγραμμα τμήματα που ενώνουν τα μέσα απέναντι πλευρών στρεβλού τετραπλεύρου τέμνονται στο μέσον τους.

## 7.5 Ευθεία κάθετη σε επίπεδο

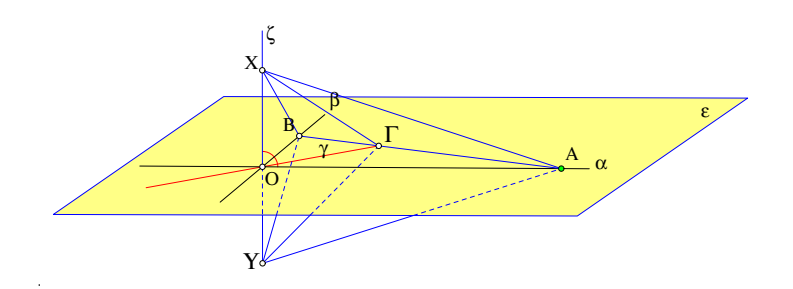
Μία ευθεία ζ λέγεται **Κάθετη στο επίπεδο** ε, όταν η ζ τέμνει το ε σε ένα σημείο Ο και είναι κάθετη σε δύο διαφορετικές ευθείες α και β του ε που διέρχονται από το Ο. Λέμε τότε επίσης ότι το επίπεδο ε είναι κάθετο στην ευθεία ζ. Την εικόνα της καθετότητας ευθείας και



Σχήμα 601: Ευθεία κάθετη σε επίπεδο

επιπέδου συμπληρώνουν οι επόμενες προτάσεις που δείχνουν ότι ένα επίπεδο κάθετο σε μία ευθεία OX παράγεται από μία ευθεία OA που περιστρέφεται περί τον άξονα OX παραμένοντας συνεχώς κάθετη προς αυτόν.

Πρόταση 7.5.1 Ευθεία XY τέμνουσα επίπεδο  $\varepsilon$  στο σημείο O και κάθετη σε αυτό είναι και κάθετη σε κάθε ευθεία του  $\varepsilon$  που διέρχεται από το O.



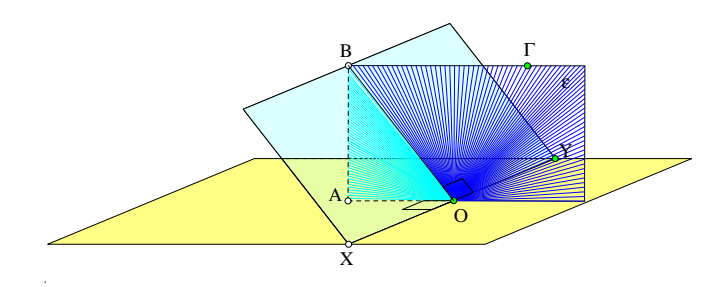
 $\Sigma$ χήμα 602: Καθετότητα της XY πρός όλες τις ευθείες  $O\Gamma$ 

Απόδειξη: Ας υποθέσουμε ότι η ευθεία ζ είναι κάθετη στις διερχόμενες διά του Ο ευθείες α και β του επιπέδου ε. Έστω επίσης γ τυχούσα ευθεία διά του Ο, διαφορετική των α και β. Θα δείξουμε ότι η XY είναι κάθετη και προς την γ. Προς τούτο παίρνουμε τυχόν σημείο Γ της γ και φέρνουμε βοηθητική ευθεία του ε διά του Γ, που τέμνει τις α και β στα σημεία Α και Β. Ας πάρουμε επίσης τα X, Y επί της ζ να ισαπέχουν από το Ο. Τότε τα τρίγωνα XOA, YOA είναι ορθογώνια με ίσες κάθετες πλευρές, άρα ίσα και συνεπώς οι AX και AY θα είναι ίσες. Ανάλογα δείχνουμε και ότι οι BX και BY είναι ίσες. Τούτο συνεπάγεται ότι τα τρίγωνα ABX και ABY είναι ίσα (ΠΠΠ-κριτήριο). Συνεπώς και τα τρίγωνα BFX και BFY θα είναι ίσα (ΠΓΠ-κριτήριο), άρα οι FX και FY θα είναι ίσες, το τρίγωνο FY θα είναι ισοσκελές και επειδή το FX είναι το μέσον της FX η FX θα είναι κάθετος της FX, ο.ε.δ.

**Πόρισμα 7.5.1**  $A\nu$  το επίπεδο  $\varepsilon$  είναι κάθετο στην XY στο σημείο O, τότε κάθε ευθεία OA κάθετη στην XY στο σημείο O περιέχεται στο επίπεδο  $\varepsilon$ .

Aπόδειξη: Αν η ευθεία ΟΑ είναι κάθετη στην XY στο σημείο Ο, αυτό σημαίνει ότι στο επίπεδο ζ που περιέχει την XY και την ΟΑ οι δύο αυτές ευθείες είναι κάθετες. Αν η ΟΑ

δεν περιήχετο στο επίπεδο ε, τότε το επίπεδο ζ θα έτεμνε το ε κατά ευθεία OA', κατά την προηγούμενη πρόταση, επίσης κάθετο στην XY άρα στο επίπεδο ζ θα είχαμε δύο καθέτους προς την XY από το O. Το άτοπο αυτό δείχνει ότι η OA περιέχεται στο ε, ο.ε.δ.

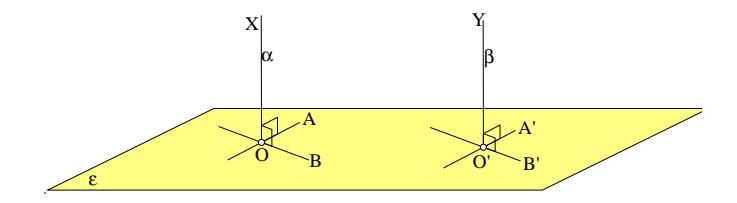


Σχήμα 603: Μεσοκάθετο επίπεδο του ΧΥ

Πρόταση 7.5.2 Ο γεωμετρικός τόπος των σημείων του χώρου A τα οποία ισαπέχουν από δύο σημεία X και Y είναι ένα επίπεδο  $\varepsilon$  κάθετο στο μέσον O του ευθυγράμμου τμήματος XY.

Απόδειξη: Θεώρησε τυχόν επίπεδο περιέχον το XY και την μεσοκάθετο (Πόρισμα 1.9.1) OA σε αυτό το επίπεδο. Ανάλογα όρισε και την μεσοκάθετο OB του XY γιά ένα δεύτερο επίπεδο περιέχον το XY. Οι δύο ευθείες OA και OB ορίζουν ένα επίπεδο ε, το οποίο κατά την Πρόταση 7.5.1 θα έχει όλες τις ευθείες του  $O\Gamma$  τις διερχόμενες διά του O κάθετες στο XY, άρα συμπίπτουσες με τις μεσοκαθέτους των αντιστοίχων επιπέδων που περιέχουν το XY και το  $\Gamma$ . Το επίπεδο ε λοιπόν που ορίζεται από τις OA και OB περιέχεται στον γεωμετρικό τόπο. Αντίστροφα, αν ένα σημείο  $\Gamma$  περιέχεται στον τόπο, τότε  $\eta$   $O\Gamma$  θα είναι κάθετος στην XY στο O και κατά το Πόρισμα 7.5.1 θα περιέχεται στο ε, άρα το  $\Gamma$  θα περιέχεται στο επίπεδο ε. Αυτό συμπληρώνει την απόδειξη του ότι το ε ταυτίζεται με τον αναφερόμενο γεωμετρικό τόπο, ο.ε.δ.

Το επίπεδο που ορίζεται από την προηγούμενη πρόταση ονομάζεται Μεσοκάθετο επίπεδο του ευθυγράμμου τμήματος XY.

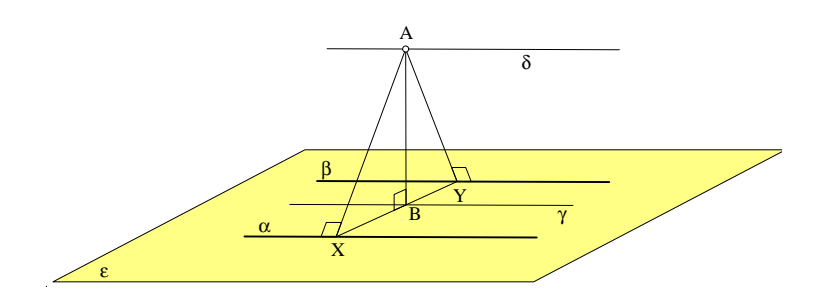


Σχήμα 604: Κάθετες στο ε είναι παράλληλες

Πρόταση 7.5.3 Αν ευθεία α είναι κάθετος σε επίπεδο ε τότε και κάθε παράλληλος ευθεία β της α θα είναι κάθετος στο ε. Και αντίστροφα, δύο ευθείες α και β κάθετες στο επίπεδο ε είναι παράλληλες.

Aπόδειξη: Έστω ότι η κάθετος α=XO τέμνει το ε στο σημείο Ο και OA, OB είναι δύο ευθείες του ε προς τις οποίες η α είναι κάθετος (κατά τον ορισμό). Έστω τώρα Ο΄ το σημείο τομής της παραλλήλου β=YO' της α με το ε. Από το O' φέρε τις O'A', O'B' αντίστοιχα

παράλληλες προς τις ΟΑ και ΟΒ. Κατά την Πρόταση 7.3.1 οι γωνίες ΧΟΑ και YO'A' είναι ίσες και οι γωνίες XOB και XO'B' είναι επίσης ίσες. Αυτό συνεπάγεται ότι η  $\beta{=}YO'$  είναι κάθετη στις O'A' και O'B', άρα, κατά τον ορισμό, κάθετη στο επίπεδο ε. Αντίστροφα, αν οι α και  $\beta$  είναι κάθετες στο ε αλλά η  $\beta$  δεν είναι παράλληλη προς την  $\alpha$ , τότε φέρε από το O' την παράλληλο  $\alpha'$  προς την  $\alpha$ . Κατά το πρώτο μέρος της απόδειξης η  $\alpha'$  θα είναι κάθετος στο επίπεδο ε, άρα το επίπεδο των  $\alpha'$  και  $\beta$  θα τέμνει το ε κατά μία ευθεία  $\gamma$  η οποία θα είναι κάθετος και στην  $\alpha'$  και στην  $\beta$ , πράγμα άτοπο. Το άτοπο δείχνει ότι η  $\beta$  πρέπει να είναι παράλληλος της  $\alpha$ , ο.ε.δ.



Σχήμα 605: Κατασκευή καθέτου από σημείο

Κατασκευή 7.5.1 Να κατασκευασθεί η κάθετος προς επίπεδο ε από σημείο Α εκτός αυτού.

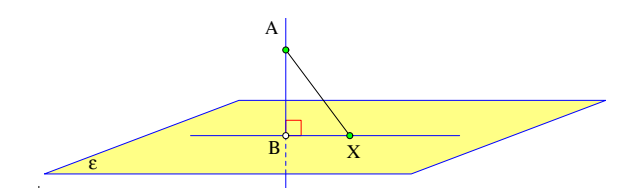
Κατασκευή: Θεώρησε δύο παράλληλες ευθείες α και  $\beta$  στο επίπεδο ε και στα αντίστοιχα επίπεδα που ορίζονται από τις α,  $\beta$  και το σημείο A φέρε τις κάθετες AX και AY στις α και  $\beta$  από το A. Σχημάτισε το τρίγωνο AXY και φέρε το ύψος του AB προς την XY. AB είναι η ζητουμένη κάθετος από το A προς το επίπεδο ε. Γιά να το δείξουμε αρκεί να  $\beta$ ρούμε δύο ευθείες του ε κάθετες στην AB στο B. Προφανώς μία είναι η XY. AB άλλη είναι η παράλληλος Y των α και Y από το Y από είναι κάθετος στην Y από το Y από είναι κάθετος στην Y από επίπεδο Y από το Y από είναι κάθετος στο επίπεδο τους. Y από το Y από είναι κάθετος στο επίπεδο Y από το Y από το Y από το Y από είναι κάθετος στο επίπεδο τους Y από τον Y από είναι κάθετος στο επίπεδο Y από το Y από είναι κάθετος στο επίπεδο Y από είναι κάθετος στην Y από είναι και κάθετος στην Y από είναι και κάθετος στην Y από είναι κάθετος στην Y από είναι και είναι και είναι και είναι και είναι είνα

**Πρόταση 7.5.4** Από σημείο A εκτός επιπέδου  $\varepsilon$  άγεται μία και μόνον κάθετος προς αυτό.

Aπόδειξη: Η προηγούμενη κατασκευή δείχνει ότι υπάρχει μία κάθετος από το A. Αν υπήρχε και δεύτερη AB', τότε το τρίγωνο ABB' θα είχε στα B και B' ορθές γωνίες, άρα το άθροισμα των γωνιών του θα ήταν μεγαλύτερο του π. Το άτοπο αυτό δείχνει ότι δεν μπορεί να υπάρχει δεύτερη κάθετος AB' από το A, ο.ε.δ.

Γιά κάθε σημείο A εκτός του επιπέδου  $\varepsilon$ , το αντίστοιχο σημείο B, στο οποίο η κάθετος από το A τέμνει το  $\varepsilon$ , λέγεται  $\mathbf{\Piροβολή}$  του σημείου A στο επίπεδο  $\varepsilon$ . Γιά κάθε σημείο A του επιπέδου  $\varepsilon$  θεωρούμε ότι η προβολή του στο  $\varepsilon$  ταυτίζεται με το ίδιο το σημείο. Γενικότερα, το σύνολο των προβολών X' των σημείων X ενός σχήματος  $\Sigma$  του χώρου σε επίπεδο  $\varepsilon$  είναι ένα σχήμα  $\Sigma'$  του επιπέδου  $\varepsilon$  που λέγεται  $\mathbf{\Piροβολή}$  του σχήματος  $\Sigma$  στο επίπεδο. Το μήκος |AB| της καθέτου από το σημείο  $\varepsilon$  μέχρι την προβολή του  $\varepsilon$  στο επίπεδο  $\varepsilon$  λέγεται  $\varepsilon$ 

'Ασκηση 7.5.1  $\Delta \epsilon$ ίξε ότι η προβολή ευθείας α του χώρου σε επίπεδο ε είναι ευθεία α΄ του ε και ο λόγος τριών σημείων της α ισούται με τον λόγο των προβολών τους επί της α΄.



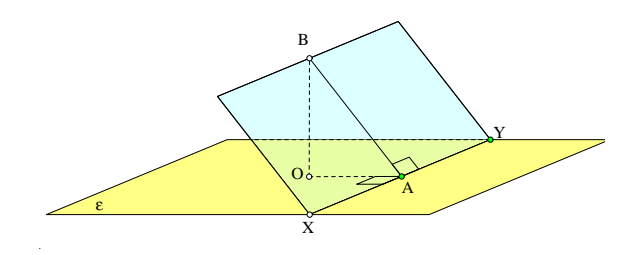
Σχήμα 606: Απόσταση σημείου από επίπεδο

Πρόταση 7.5.5 H απόσταση |AB| του σημείου A από το επίπεδο  $\varepsilon$  είναι μικρότερη από την απόσταση |AX| γιά κάθε σημείο X του επιπέδου  $\varepsilon$  διαφορετικό από την προβολή B του A στο επίπεδο.

Aπόδειξη: Γιά κάθε τέτοιο σημείο X το ABX είναι ορθογώνιο τρίγωνο με κάθετες πλευρές AB, BX και υποτείνουσα την AX, άρα |AX| > |AB|, ο.ε.δ.

Αν ε και ε΄ είναι παράλληλα επίπεδα τότε η απόσταση |AB| ενός σημείου A του ε από το ε΄ δεν εξαρτάται από την θέση του A στο ε (Πρόταση 7.2.6) και λέγεται Aπόσταση των δύο επιπέδων ε και ε΄. Παρόμοια αν η ευθεία α είναι παράλληλος του επιπέδου ε και A είναι σημείο της ευθείας ε, η απόσταση |AB| δεν εξαρτάται της θέσης του A στην α και λέγεται Aπόσταση της παράλληλης ευθείας από το επίπεδο.  $\Delta$ οθέντων δύο ασυμβάτων ευθειών η απόσταση των παραλλήλων επιπέδων που τις περιέχουν (Πρόταση 7.4.2) λέγεται Aπόσταση των ασυμβάτων ευθειών.

Κατασκευή 7.5.2 Να κατασκευασθεί η κάθετος προς επίπεδο  $\varepsilon$  από σημείο O εντός αυτού.



Σχήμα 607: Κατασκευή καθέτου από σημείο Ο επιπέδου

Κατασκευή: Θεώρησε τυχούσα ευθεία XY του ε μη περιέχουσα το Ο. Από το Ο φέρε κάθετο ΟΑ στην ευθειά XY. Θεώρησε κατόπιν τυχόν επίπεδο διερχόμενο διά της XY και στο επίπεδο αυτό φέρε την AB επίσης κάθετο στην XY. Εάν η γωνία ΟΑΒ είναι ορθή στρέψε το επίπεδο περί την XY ωστε να γίνει οξεία. Στο επίπεδο των σημείων ΟΑΒ φέρε την κάθετο ΟΒ στην ΟΑ από το σημείο Ο αυτής. Αυτή είναι η ζητούμενη κάθετος. Τούτο διότι εκ κατασκευής η ΟΒ είναι κάθετη στην ΟΑ αλλά και στην XY. Άρα η ΟΒ είναι κάθετος σε δύο ευθείες του επιπέδου ε, άρα και κάθετος σε αυτό, ο.ε.δ.

**Πρόταση 7.5.6** Από σημείο O εντός επιπέδου  $\varepsilon$  άγεται μία και μόνον κάθετος προς αυτό.

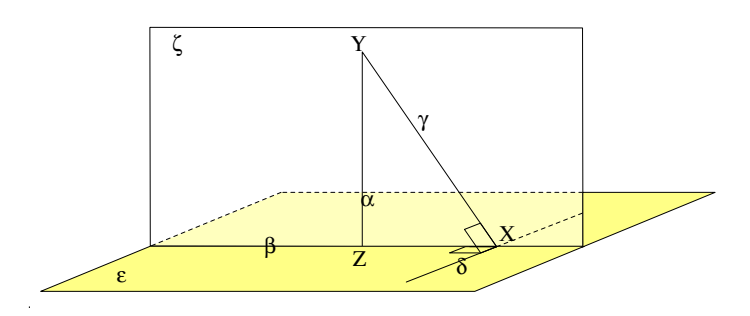
Aπόδειξη: Η προηγούμενη κατασκευή ορίζει μία κάθετο OB από το O. Αν υπήρχε και δεύτερη OB' τότε το επίπεδο OBB' θα έτεμνε το ε κατά ευθεία α περιέχουσα το O και από το οποίο θα είχαμε δύο καθέτους προς την α περιεχόμενες στο επίπεδο OBB'. Αυτό είναι άτοπο και δείχνει ότι υπάρχει μία μόνον κάθετος από το O, ο.ε.δ.



Σχήμα 608: Καθετότητα της α προς ασύμβατες β, γ

Πρόταση 7.5.7 H ευθεία α είναι κάθετη στο επίπεδο  $\varepsilon$  τότε και μόνο τότε, όταν είναι κάθετη ή ασύμβατα κάθετη σε δύο μη παράλληλες ευθείες  $\beta$  και  $\gamma$  του επιπέδου  $\varepsilon$ .

Aπόδειξη: Εάν η α είναι κάθετη στο ε, τότε είναι κάθετη σε κάθε ευθεία που διέρχεται από το ίχνος της (Πρόταση 7.5.1) και επομένως ασύμβατα κάθετη προς κάθε ευθεία β του επιπέδου ε, αφού κάθε τέτοια είναι παράλληλη προς μίαν που διέρχεται από το ίχνος της. Αντίστροφα, αν η α είναι κάθετη ή ασύμβατα κάθετη σε δύο τεμνόμενες στο Ω ευθείες β, γ του επιπέδου ε, τότε η παράλληλή της α' από το Ω θα είναι κάθετη στις β, γ άρα κάθετη και στο επίπεδό τους ε. Συνεπώς και η παράλληλη α της α' θα είναι επίσης κάθετη στο επίπεδο ε (Πρόταση 7.5.3), ο.ε.δ.



Σχήμα 609: Θεώρημα τριών καθέτων

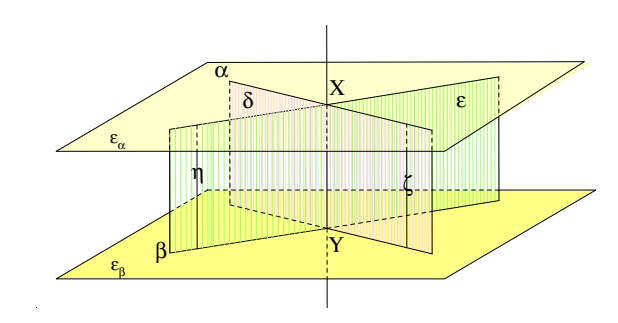
Πρόταση 7.5.8 (Θεώρημα τριών καθέτων) Τρεις ευθείες  $\alpha, \beta, \gamma$  σχηματίζουν τρίγωνο XYZ και μία τέταρτη  $\delta$  διέρχεται από την κορυφή X του τριγώνου. Τότε

- (1)  $A\nu$  η  $\alpha$  είναι κάθετη στο επίπεδο των  $\beta$ , $\delta$  και η  $\delta$ , κάθετη στην  $\beta$ , τότε η  $\delta$  είναι κάθετη και στην  $\gamma$ .
- (2) Aν η α είναι κάθετη στο επίπεδο των β,δ και η γ είναι κάθετη στην δ, τότε και η β είναι κάθετη στην δ.
- (3) Aν η δ είναι κάθετη στο επίπεδο των β, γ και η α είναι κάθετη στην β, τότε η α είναι κάθετη και στο επίπεδο των β, δ.

Aπόδειξη: Και οι τρεις προτάσεις είναι συνέπειες της προηγούμενης πρότασης.

(1): Αν η α είναι κάθετη στο επίπεδο ε των  $\beta$ , δ και η δ κάθετη στην  $\beta$ , τότε η δ είναι κάθετη στην  $\beta$  και ασύμβατα κάθετη στην α, συνεπώς η δ είναι κάθετη στο επίπεδο των α, $\beta$ , άρα και σε κάθε ευθεία του που διέρχεται από το X, όπως η  $\gamma$ .

- (2): Αν η α είναι κάθετη στο επίπεδο των  $\beta$ ,δ και η γ κάθετη στην δ, τότε η δ είναι κάθετη στην γ και ασύμβατα κάθετη στην α, άρα και στο επίπεδό τους καθώς και σε κάθε ευθεία του επιπέδου τους που διέρχεται από το X, όπως η  $\beta$ .
- (3): Αν η δ είναι κάθετη στο επίπεδο των β,γ και η α είναι κάθετη στην β, τότε η α είναι κάθετη στην β και ασύμβατα κάθετη στην δ, άρα και στο επίπεδό τους, ο.ε.δ.



Σχήμα 610: Κοινή κάθετος δύο ασυμβάτων ευθειών

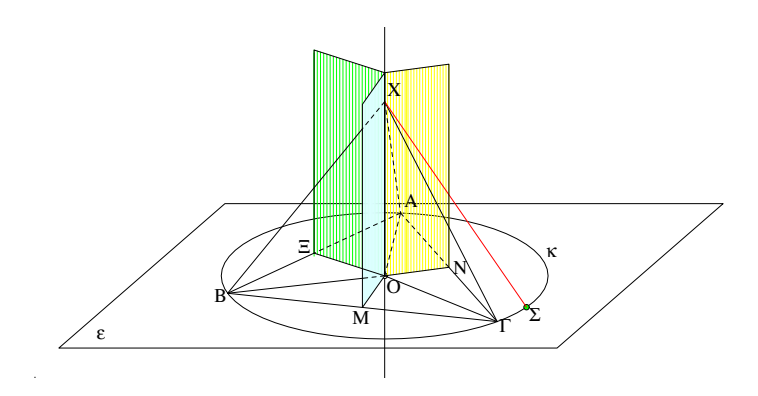
**Πρόταση 7.5.9** Υπάρχει μία ακριβώς ευθεία XY ταυτόχρονα κάθετη σε δύο ασύμβατες ευθείες α και  $\beta$ .

Απόδειξη: Θεώρησε τα δύο παράλληλα επίπεδα  $\varepsilon_{\alpha}$ ,  $\varepsilon_{\beta}$  που περιέχουν αντίστοιχα τις ασύμβατες α και β (Πρόταση 7.4.2). Επίσης από τυχόν σημείο της α φέρε κάθετο ζ προς αυτά τα επίπεδα και από τυχόν σημείο της β φέρε κάθετο η προς αυτά τα επίπεδα. Σχηματίζονται δύο νέα επίπεδα, το δ που περιέχει την α και ζ και το ε που περιέχει την β και η. Τα δύο αυτά επίπεδα είναι παράλληλα προς μία ευθεία κάθετο στα δύο επίπεδα (Πρόταση 7.1.9), άρα και η τομή τους θ θα είναι παράλληλη της καθέτου στα δύο επίπεδα (Πρόταση 7.1.10), επομένως και αυτή κάθετη στα δύο επίπεδα. Η θ συναντά την ευθεία α σε σημείο X, διότι η παράλληλός της ζ την συναντά εξ υποθέσεως. Παρόμοια η θ συναντά και την β σε σημείο Y, άρα η θ ταυτίζεται με την XY. Η XY είναι μοναδική ταυτόχρονα κάθετος και στην α και στην β. Τούτο, διότι αν υπήρχε και δεύτερη X'Y' κάθετος στις α και β, τότε η X'Y' θα ήταν κάθετος και στα παράλληλα επίπεδα  $\varepsilon_{\alpha}$ ,  $\varepsilon_{\beta}$ , συνεπώς θα ήταν παράλληλος της XY (Πρόταση 7.5.3). Αυτό θα είχε όμως ως συνέπεια η α, που περιέχει τα X,X' και η β, που περιέχει τα Y,Y' να ήταν στο ίδιο επίπεδο, πράγμα άτοπον, ο.ε.δ.

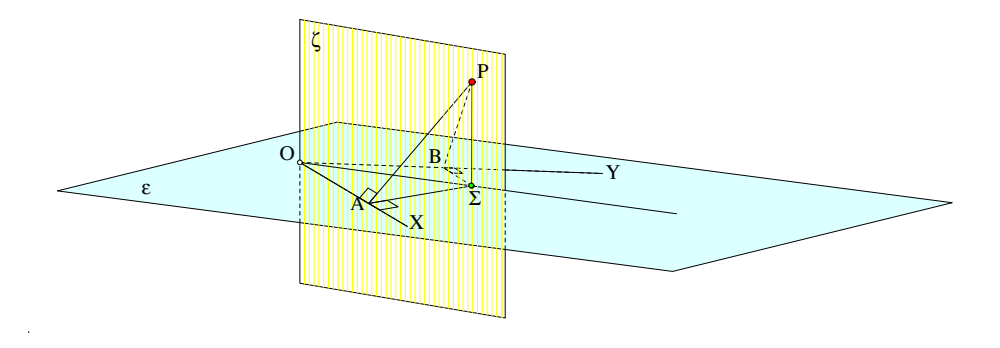
Η ευθεία XY, που εξασφαλίζεται από την προηγούμενη πρόταση, ονομάζεται  $\mathbf{Koi}$ νή κάθετος των ασυμβάτων α και β.

Άσκηση 7.5.2  $\Delta$ είξε ότι τα μεσοκάθετα επίπεδα των πλευρών τριγώνου  $AB\Gamma$  τέμνονται κατά ευθεία διερχόμενη από το περίκεντρο O του τριγώνου και κάθετη στο επίπεδο αυτού.  $\Delta$ είξε επίσης ότι γιά κάθε σημείο X αυτής της ευθείας και κάθε σημείο  $\Sigma$  του περικύκλου κ το μήκος  $X\Sigma$  είναι σταθερό όταν το  $\Sigma$  μεταβάλλεται στον κ.

Υπόδειξη: Έστω ΟΧ τη τομή των μεσοκαθέτων επιπέδων των τμημάτων AB και  $B\Gamma$ . Κάθε σημείο X αυτής της ευθείας θα έχει |XA|=|XB|, ως ανήκον στο μεσοκάθετο του AB και  $|XB|=|X\Gamma|$  ως ανήκον στο μεσοκάθετο του  $B\Gamma$ . Από τις δύο συνάγεται  $|XA|=|X\Gamma|$ , άρα το X είναι στο μεσοκάθετο του  $B\Gamma$ . Η OX είναι ασύμβατα κάθετη στις AB και  $B\Gamma$ , άρα (Άσκηση 7.5.7) κάθετη στο ε. Αυτό δείχνει το πρώτο μέρος της άσκησης. Γιά το δεύτερο θεώρησε σημείο  $\Sigma$  του περικύκλου κ και το τρίγωνο  $XO\Sigma$ . Αυτό είναι ορθογώνιο στο O και ίσο με το  $XO\Gamma$ , ως έχον αντίστοιχα ίσες καθέτους με αυτό, άρα  $|X\Sigma|=|X\Gamma|$ .



Σχήμα 611: Ευθεία κάθετη από το περίκεντρο



Σχήμα 612: Επίπεδο ίσων αποστάσεων από πλευρές γωνίας

Άσκηση 7.5.3  $\Delta \epsilon$ ίξε ότι ο γεωμετρικός τόπος των σημείων P που ισαπέχουν από τις πλευρές γωνίας XOY είναι το επίπεδο ζ που ορίζεται από την διχοτόμο της γωνίας και την ευθεία  $\epsilon$  την κάθετο στο επίπεδο της γωνίας στο σημείο O.

Υπόδειξη: Αν P σημείο του ζ,  $\Sigma$  η προβολή του στο ε και A,B οι προβολές στις OX, OY αντίστοιχα. Τότε το  $\Sigma$  είναι επί της διχοτόμου της OXY και τα ορθογώνια τρίγωνα P $\Sigma$ A και P $\Sigma$ B είναι ίσα. Επίσης, από το Θεώρημα τριών καθέτων 7.5.8, έπεται ότι οι PA και PB είναι αντίστοιχα κάθετες στις OX και OY, άρα το P είναι σημείο του γεωμετρικού τόπου. Αντίστροφα, αν το P είναι σημείο του τόπου, έστω PA και PB οι ίσες κάθετες αντίστοιχα στις OX και OY. Και πάλι τα ορθογώνια τρίγωνα P $\Sigma$ A και P $\Sigma$ B είναι ίσα και από το θεώρημα τριών καθέτων οι  $\Sigma$ A και  $\Sigma$ B είναι κάθετες αντίστοιχα στις OX και OY, άρα το  $\Sigma$  είναι επί της διχοτόμου της XOY.

Άσκηση 7.5.4  $\Delta$ είξε ότι ο γεωμετρικός τόπος των σημείων P γιά τα οποία οι ευθείες OP σχηματίζουν ίσες γωνίες με τις πλευρές γωνίας XOY είναι το επίπεδο ζ που ορίζεται από την διχοτόμο της γωνίας και την ευθεία την κάθετο στο επίπεδό της  $\varepsilon$  στο σημείο O.

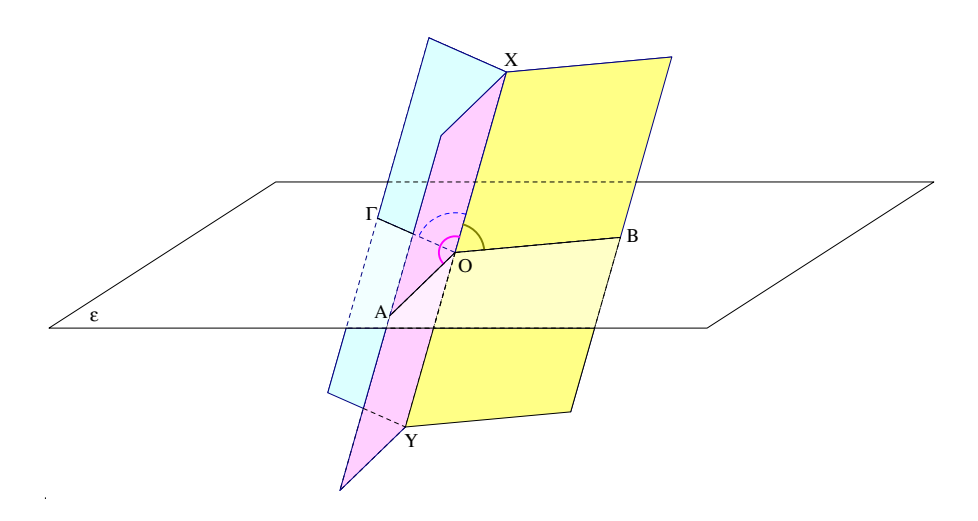
Άσκηση 7.5.5  $\Delta \epsilon$ ίξε ότι αν ευθεία OP σχηματίζει τις ίδιες γωνίες με τρεις διαφορετικές ευθείες OX, OY, OZ του επιπέδου  $\varepsilon$ , τότε είναι κάθετη στο  $\varepsilon$  στο σημείο O.

' ${\bf A}$ σκηση 7.5.6  $\Delta \epsilon$ ίξ $\epsilon$  ότι  $\epsilon$ πίπ $\epsilon$ δο  $\epsilon$  δι $\epsilon$ ρχ $\epsilon$ ται από μία διαγώνιο παραλληλογράμμου, τότ $\epsilon$  οι αποστάσ $\epsilon$ ις από το  $\epsilon$  των άκρων της άλλης διαγωνίου  $\epsilon$ ίναι ίσ $\epsilon$ ς.

Άσκηση 7.5.7 Εάν οι προβολές ορισμένων σημείων σε επίπεδο  $\varepsilon$  περιέχονται σε ευθεία του  $\varepsilon$  τότε τα σημεία αυτά περιέχονται σε επίπεδο  $\zeta$ .

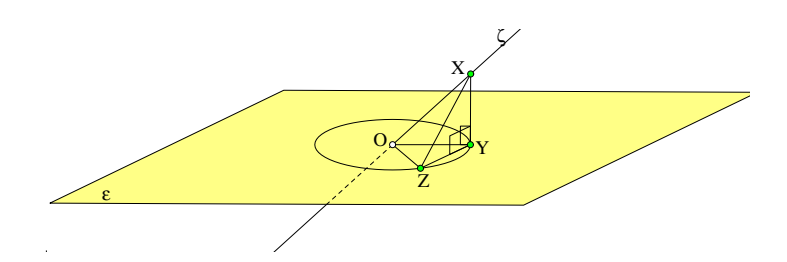
#### 7.6 Γωνία ευθείας και επιπέδου

Στον χώρο εμφανίζεται μία νέα δυνατότητα: η  $\Gamma$ ωνία ευθείας και επιπέδου. Μία ευθεία XY που τέμνει επίπεδο ε στο σημείο O ορίζει διάφορες γωνίες μέσω των επιπέδων που περιέχουν την XY. Πράγματι, κάθε σημείο A του επιπέδου ε ορίζει το επίπεδο που περιέχει την XY και το A. Αυτό τέμνει το ε κατά ευθεία OA και συνεπώς ορίζει μία γωνία XOA. Από όλες τις γωνίες που δημιουργούνται κατ' αυτόν τον τρόπο υπάρχει μία που είναι η ελάχιστη δυνατή. Η γωνία αυτή ονομάζεται γωνία της ευθείας XY και του επιπέδου ε. Την ύπαρξη αυτής της γωνίας εξασφαλίζει η επόμενη πρόταση.



Σχήμα 613: Γωνία ευθείας ΧΥ και επιπέδου ε

Πρόταση 7.6.1 Έστω ευθεία ζ τέμνουσα το επίπεδο ε σε ένα σημείο και μή-κάθετος προς αυτό. Έστω X τυχόν σημείο της ευθείας ζ διαφορετικό της τομής O της ζ με το ε. Γιά κάθε επίπεδο XOZ περιέχον την ζ θεώρησε την γωνία XOZ που σχηματίζεται από την ζ και την τομή OZ αυτού του επιπέδου με το ε. Από όλες αυτές τις γωνίες η ελάχιστη είναι η XOY, όπου Y η προβολή του X στο επίπεδο ε.



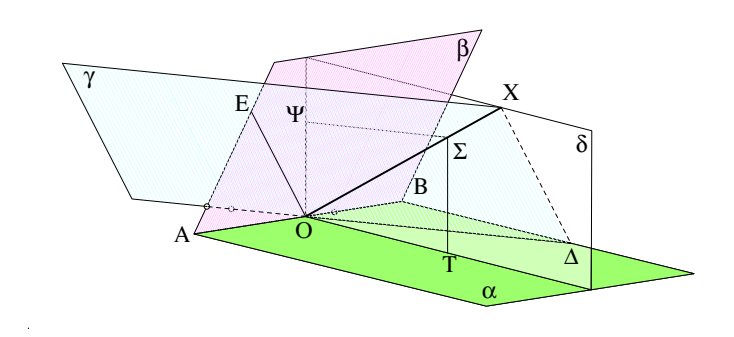
Σχήμα 614: Ορισμός γωνίας ευθείας και επιπέδου

Απόδειξη: Θεώρησε τον κύκλο του ε με κέντρο Ο και ακτίνα ΟΥ. Κάθε επίπεδο που περιέχει την ζ τέμνει το επίπεδο κατά μία ευθεία ΟΖ διερχόμενη διά του Ο και ορίζει δύο σημεία επί του κύκλου. Έστω Ζ ένα εξ αυτών. Το τρίγωνο ΧΥΖ είναι ορθογώνιο με υποτείνουσα ΧΖ μεγαλύτερη της καθέτου ΧΥ. Συνεπώς τα τρίγωνα ΧΟΖ και ΧΟΥ έχουν τις πλευρές τους τις προσκείμενες στην κορυφή τους Ο αντίστοιχα ίσες και την απέναντι πλευρά ΧΖ

μεγαλύτερη της απέναντι πλευράς XY. Από το Πόρισμα 1.10.10 έπεται ότι η γωνία XOZ θα είναι μεγαλύτερη της XOY, ο.ε.δ.

Σχόλιο Κατ' αυτόν τον ορισμό της γωνίας ευθείας και επιπέδου θα πρέπει μία ευθεία που σχηματίζει ορθή γωνία με το επίπεδο να συμπίπτει με μία κάθετο στο επίπεδο, με την έννοια που δώσαμε στην Παράγραφο 7.5. Το ότι αυτό συμβαίνει προκύπτει από την παρατήρηση ότι εάν η γωνία XOZ είναι ελάχιστη, τότε η παραπληρωματική της είναι μέγιστη, μεταξύ όλων των γωνιών που προκύπτουν στρέφοντας την OZ περί το O στο επίπεδο ε (σχήμα 614). Έτσι, αν το ελάχιστο αυτό είναι μία ορθή, τότε θα συμπίπτει με το μέγιστο και συνεπώς όλες οι γωνίες XOZ θα είναι ορθές.

Άσκηση 7.6.1  $\Delta$ είξε ότι δύο παράλληλες ευθείες σχηματίζουν τις ίδιες γωνίες με επίπεδο  $\varepsilon$ .



Σχήμα 615: Ελάχιστη γωνία μεταξύ δύο επιπέδων

Άσκηση 7.6.2  $\Delta$ ύο επίπεδα α και  $\beta$  τέμνονται κατά την ευθεία AB. Eυθεία OX είναι κάθετη στην AB στο σημείο της O και περιέχεται ανάμεσα στα δύο επίπεδα. Έστω  $\delta$  το επίπεδο που διέρχεται από το O και είναι κάθετο στην AB.  $\Delta$ είξε ότι κάθε άλλο επίπεδο  $\gamma$ , που περιέχει την OX, τέμνει τα α και  $\beta$  κατά γωνία  $\Delta OE$ , που είναι με γαλύτερη της γωνίας  $TO\Psi$  κατά την οποία τέμνει το επίπεδο  $\delta$  τα α και  $\beta$ .

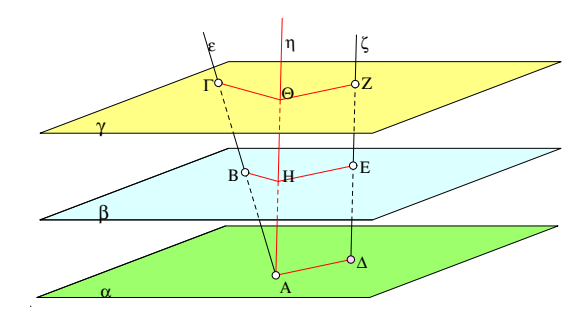
Υπόδειξη: Κατ' αρχήν το επίπεδο δ, ως κάθετο στην AB στο O, θα περιέχει και κάθε ευθεία κάθετη στην AB στο O, άρα και την OX. Επίσης, γιά τυχόν σημείο  $\Sigma$  της OX, το δ θα περιέχει τις ευθείες  $\Sigma T$  και  $\Sigma \Psi$ , όπου T και  $\Psi$  οι προβολές του  $\Sigma$  στα α και  $\beta$  αντιστοίχως. Από την προηγούμενη πρόταση, η γωνία  $\Sigma OT$  είναι μικρότερη της  $\Sigma O\Delta$ . Το ίδιο και η γωνία  $\Sigma O\Psi$  είναι μικρότερη της  $\Sigma OE$ , άρα και

$$|TO\Psi| = |\Sigma OT| + |\Sigma O\Psi| < |\Delta OX| + |XOE| = |\Delta OE|.$$

Άσκηση 7.6.3  $\Delta \epsilon$ ίξ $\epsilon$  ότι  $\nu$   $\epsilon$ υθεί $\epsilon$ ς του χώρου που τέμνονται ανά δύο, ή διέρχονται όλες από κοινό σημείο ή περιέχονται στο ίδιο  $\epsilon$ πίπεδο.

 $\Upsilon$ πόδειξη: Δείξε πρώτα την πρόταση γιά ν=3. Κατόπιν χρησιμοποιήσε αυτήν την περίπτωση γιά την απόδειξη της γενιχής πρότασης.

# 7.7 Θεώρημα του Θαλή στο χώρο



Σχήμα 616: Ευθείες τεμνόμενες υπό παραλλήλων επιπέδων

Πρόταση 7.7.1 Παράλληλα επίπεδα αποτέμνουν από τέμνουσες αυτά ευθείες τμήματα α-νάλογα.

Aπόδειξη: Έστω ότι οι ευθείες ε και ζ τέμνουν τα επίπεδα α,β,γ στα σημεία αντίστοιχα  $(A,B,\Gamma)$  και  $(\Delta,E,Z)$ . Θα δείξουμε ότι ισχύει

$$\frac{|AB|}{|B\Gamma|} = \frac{|\Delta E|}{|EZ|}.$$

Προς τούτο θεώρησε ευθεία η παράλληλο της ζ από το σημείο A και τέμνουσα τα επίπεδα  $\beta$  και  $\gamma$  αντίστοιχα στα σημεία A και A

$$|\Delta E| = |AH|, |EZ| = |H\Theta| \Longrightarrow \frac{|\Delta E|}{|EZ|} = \frac{|AH|}{|H\Theta|}.$$

Κατά την του Θαλή εφαρμοζόμενη στο επίπεδο των ευθειών (ε,η) (Πρόταση 3.8.1) έχουμε

$$\frac{|AB|}{|B\Gamma|} = \frac{|AH|}{|H\Theta|}.$$

Τούτη συνδυαζόμενη με την προηγούμενη οδηγεί στην απόδειξη.

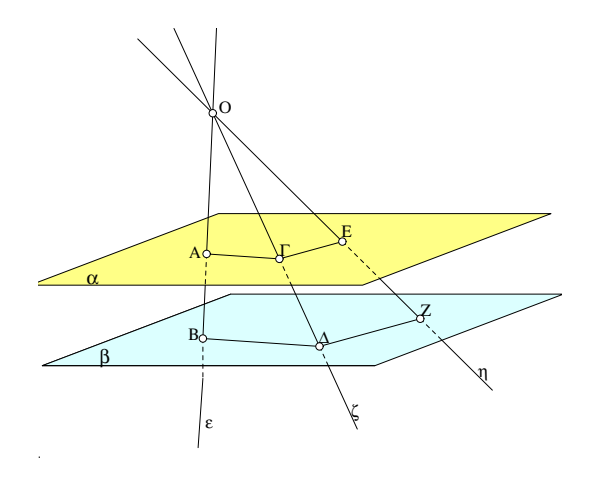
Πρόταση 7.7.2 Ευθύγραμμα τμήματα οριζόμενα από σημειακή δέσμη σε παράλληλα επίπεδα είναι ανάλογα.

Aπόδειξη: Έστω ότι οι ευθείες ε,ζ και η, διερχόμενες διά του σημείου <math>O τέμνουν τα επίπεδα α και β αντίστοιχα στα σημεία  $(A, \Gamma, E)$  και  $(B, \Delta, Z)$ . Θα δείξουμε ότι ισχύει

$$\frac{|A\Gamma|}{|\Gamma E|} = \frac{|B\Delta|}{|\Delta Z|}.$$

Κατά το Πόρισμα 3.7.3 εφαρμοζόμενο στο επίπεδο των ευθειών (ε,ζ) έχουμε ότι

$$\frac{|A\Gamma|}{|B\Delta|} = \frac{|O\Gamma|}{|O\Delta|}.$$



Σχήμα 617: Σημειακή δέσμη και παράλληλα επίπεδα

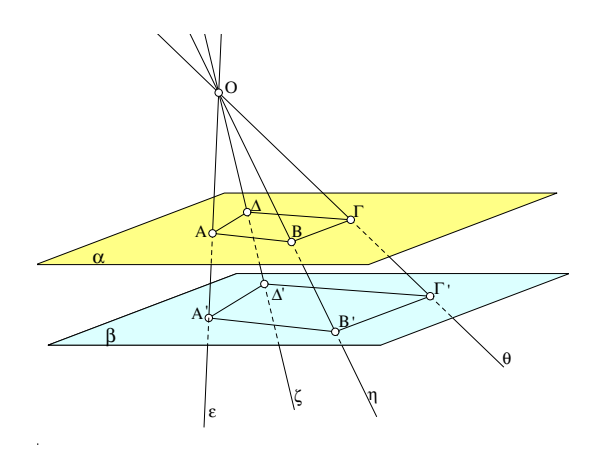
Επίσης εφαρμόζοντας το ίδιο πόρισμα στο επίπεδο των ευθειών (ζ,η) έχουμε ότι

$$\frac{|O\Gamma|}{|O\Delta|} = \frac{|\Gamma E|}{|\Delta Z|}.$$

Συνδυάζοντας τις δύο αυτές σχέσεις παίρνουμε την ζητούμενη,ο.ε.δ.

Σχόλιο Η προηγούμενη πρόταση δείχνει ότι το θεώρημα του Θαλή στην μορφή της Πρότασης 3.8.2 που ισχύει γιά σημειαχές δέσμες του επιπέδου επεχτείνεται χαι σε σημειαχές δέσμες ευθειών στο χώρο.

**Πόρισμα 7.7.1** Εστω  $AB\Gamma\Delta$ ... πολύγωνο στο επίπεδο α και σημείο O εκτός του επιπέδου. Σε κάθε επίπεδο β παράλληλο του α η σημειακή δέσμη ευθειών διά του O ορίζει πολύγωνο  $AB\Gamma\Delta$ ... .

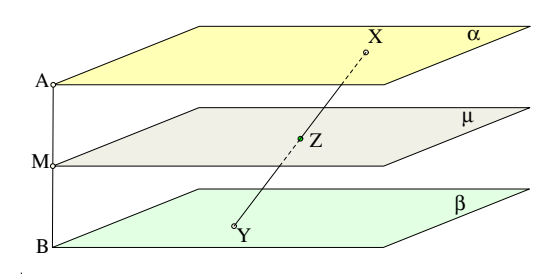


Σχήμα 618: Όμοια πολύγωνα σε παράλληλα επίπεδα

Aπόδειξη: Το πόρισμα λέει ότι οι ευθείες OA,OB,OF... που ενώνουν το σημείο O με τις κορυφές του πολυγώνου ορίζουν σε παράλληλο επίπεδο β του α πολύγωνο A'B'F'... όμοιο του ABF... Η ομοιότητα εδώ σημαίνει, όπως και στην περίπτωση δύο πολυγώνων του ιδίου επιπέδου (Παράγραφος 3.10), ότι οι πλευρές των δύο πολυγώνων είναι ανάλογες

$$\frac{|A'B'|}{|AB|} = \frac{|B'\Gamma'|}{|B\Gamma|} = \frac{|\Gamma'\Delta'|}{|\Gamma\Delta|} = \dots \kappa,$$

όπου κ σταθερά, και οι αντίστοιχες γωνίες είναι ίσες. Η ισότητα των λόγων προκύπτει από την ομοιότητα των ζευγών τριγώνων (OA΄Β΄,OAΒ), (O´ô,OΒΓ), (ΟΓ΄Δ΄,ΟΓΔ),... που με την σειρά της προκύπτει από την προηγούμενη απόδειξη. Η ισότητα των γωνιών προκύπτει από το γεγονός ότι οι οι πλευρές των αντιστοίχων γωνιών, όπως η  $A'B'\Gamma'$  και  $AB\Gamma$  είναι παράλληλες (Πρόταση 7.3.1), ο.ε.δ.



Σχήμα 619: Μεσοπαράλληλο επίπεδο των επιπέδων α και β

Πρόταση 7.7.3 Ο γεωμετρικός τόπος των μέσων M ευθυγράμμων τμημάτων XY που έχουν τα άκρα τους σε δύο παράλληλα επίπεδα α και  $\beta$ , είναι επίπεδο μ που ισαπέχει από τα α και  $\beta$ .

Aπόδειξη: Θεώρησε ένα τμήμα AB με άχρα στα α και β και μέσον M. Από το M φέρε το παράλληλο επίπεδο μ προς τα α,β. Κατά την Πρόταση 7.7.1 και κάθε άλλο ευθύγραμμο τμήμα XY θα έχει σημείο τομής Z με το μ έτσι ώστε  $\frac{|ZX|}{|ZY|} = \frac{|MA|}{|MB|} = 1$ . Άρα το Z θα είναι το μέσον του XY. Συνεπώς κάθε σημείο του μ ανήχει στον γεωμετρικό τόπο. Γιά το αντίστροφο, δηλαδή ότι κάθε σημείο του τόπου περιέχεται στο μ, θεώρησε τυχόν τμήμα XY και το μέσον του Z και φέρε από το Z παράλληλο επίπεδο προς τα α και β. Και πάλι κατά την Πρόταση 7.7.1 αυτό θα τέμνει το AB στο μέσον του, άρα θα ταυτίζεται με το μ, ο.ε.δ.

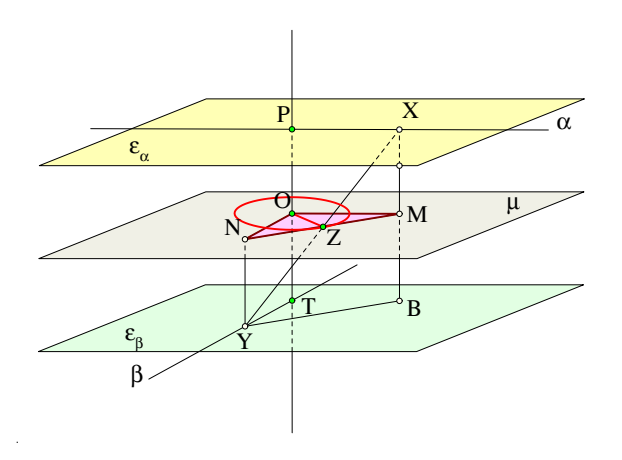
Το επίπεδο που εξασφαλίζει η προηγούμενη πρόταση λέγεται Μεσοπαράλληλο επίπεδο των α και β.

'Ασκηση 7.7.1  $\Delta$ είξε ότι ο γεωμετρικός τόπος των μέσων M ευθυγράμμων τμημάτων XY που έχουν τα άκρα τους επί δύο ασυμβάτων ευθειών α και  $\beta$  είναι ένα επίπεδο  $\varepsilon$  παράλληλο και ισαπέχον από τις α και  $\beta$ .

Υπόδειξη: Θεώρησε τα δύο παράλληλα επίπεδα η, ζ που περιέχουν αντίστοιχα τις α και β (Πρόταση 7.4.2). Δείξε ότι ο ζητούμενος τόπος είναι το μεσοπαράλληλο επίπεδο των η και ζ.

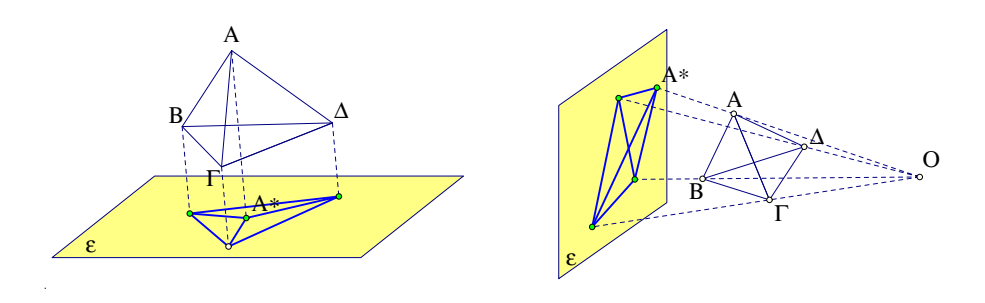
'Ασκηση 7.7.2 Ευθύγραμμο τμήμα ΧΥ σταθερού μήκους έχει τα άκρα του επί δύο ασύμβατα καθέτων ευθειών α και β. Να βρεθεί ο γεωμετρικός τόπος του μέσου του Ζ.

Υπόδειξη: Θεώρησε τα δύο παράλληλα επίπεδα  $\varepsilon_{\alpha}, \varepsilon_{\beta}$ , που περιέχουν αντίστοιχα τις α και β (Πρόταση 7.4.2). Πρόβαλε το X στο επίπεδο  $\varepsilon_{\beta}$  στο σημείο B. Παρόλο που τα X, Y μεταβάλλονται το ορθογώνιο τρίγωνο XBY παραμένει ίσο εαυτώ, αφού η υποτείνουσα XY είναι σταθερού μήκους και το |XB| ισούται με την απόσταση των επιπέδων. Επομένως το YB είναι σταθερού μήκους, πες λ. Άρα και η προβολή του MN στο μεσοπαράλληλο επίπεδο μ των  $\varepsilon_{\alpha}, \varepsilon_{\beta}$  είναι του ιδίου σταθερού μήκους λ. Αν PT είναι η κοινή κάθετος των δύο



Σχήμα 620: Γεωμετρικός τόπος με ασύμβατες

ασυμβάτων και O το σημείο που αυτή συναντά το  $\mu$ , το τρίγωνο ONM είναι ορθογώνιο στο O. Επί πλέον το Z είναι το μέσον της MN, αφού το XMYN είναι παραλληλόγραμμο και οι διαγώνιοί του XY και MN διχοτομούνται στο Z. Άρα η OZ είναι και η διάμεσός του ορθογωνίου προς την υποτείνουσα και συνεπώς είναι μήκους  $\lambda/2$ . Άρα το Z περιέχεται στον κύκλο κ  $\mu$ ε κέντρο O και ακτίνα  $\lambda/2$ .



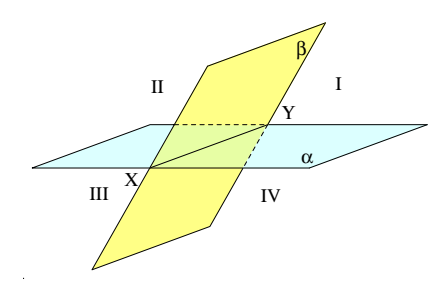
Σχήμα 621: Παράλληλη και προοπτική προβολή

Οι δέσμες παραλλήλων ευθειών στο χώρο και οι δέσμες ευθειών που διέρχονται από σταθερό σημείο Ο του χώρου δίνουν την δυνατότητα να προβάλλουμε ένα σχήμα  $\Sigma$  του χώρου σε ένα σχήμα  $\Sigma'$  ενός σταθερού επιπέδου ε.  $\Sigma$ την πρώτη περίπτωση υπάρχει μία σταθερή ευθεία ζ και σε κάθε σημείο  $\Lambda$  του  $\Sigma$  αντιστοιχούμε την τομή  $\Lambda^*$  της παραλλήλου της  $\zeta$  από το  $\Lambda$  με το ε. Την διαδικασία αυτή ονομάζουμε  $\Pi$ αράλληλη προβολή του  $\Sigma$  στο ε κατά την κατεύθυνση της  $\zeta$ .  $\Sigma$ την δεύτερη περίπτωση αντιστοιχούμε στο X την τομή της X0 με το ε. Την διαδικασία αυτή ονομάζουμε X1 καντρική προβολή (ή και προοπτική προβολή) από το X2 στο επίπεδο ε. X3 διαδικασία αυτή υλοποιείται στην φωτογράφιση, κατά την οποία ένα σχήμα του χώρου προβάλλεται στο φωτογραφικό φιλμ (επίπεδο ε).

Κεφάλαιο 8 Στερεά

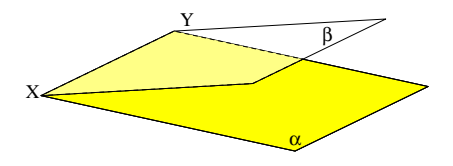
## 8.1 Δίεδρες γωνίες

Δύο επίπεδα που τέμνονται χωρίζουν τον χώρο σε τέσσερα **Τεταρτημόρια** και ορίζουν στον χώρο σχήματα ανάλογα των γωνιών που ορίζουν δύο τεμνόμενες ευθείες του επιπέδου. Δύο από τα ημιεπίπεδα των α και β ορίζουν μία κυρτή **Δίεδρο γωνία** καθώς και μία μη-



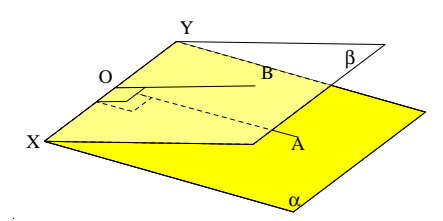
Σχήμα 622: Τεταρτημόρια οριζόμενα από δύο τεμνόμενα επίπεδα

κυρτή. Η ευθεία ΧΥ λέγεται **Ακμή της διέδρου**. Τα ημιεπίπεδα των α και β λέγονται Έδρες της διέδρου γωνίας.



Σχήμα 623: Δίεδρος γωνία

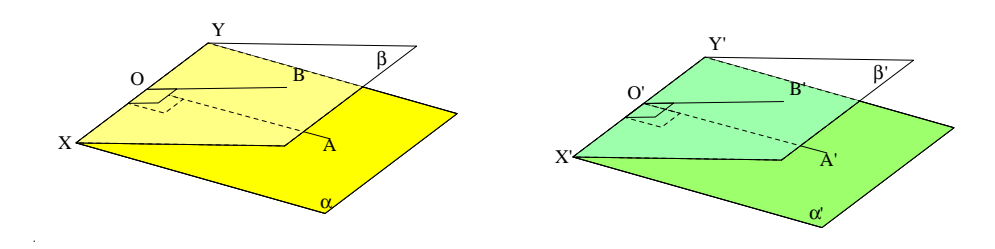
Στην έννοια της διέδρου αντιστοιχεί αυτή της γωνίας του επιπέδου. Αυτό τονίζεται και με τον επόμενο ορισμό που δίδει τον τρόπο που μετράμε το μέγεθος μιάς διέδρου. Το Μέτρο



Σχήμα 624: Δίεδρος γωνία

διέδρου γωνίας ορίζεται φέρνοντας ένα επίπεδο κάθετο στην ακμή. Το επίπεδο αυτό τέμνει τις έδρες κατά ευθείες OA και OB και ως μέτρο της διέδρου ορίζουμε το μέτρο της γωνίας AOB. Έτσι η κυρτή δίεδρος αντιστοιχεί στην κυρτή γωνία AOB με μέτρο μικρότερο του π (σε ακτίνια) και η μη-κυρτή δίεδρος ανιστοιχεί στην μη-κυρτή γωνία AOB με μέτρο μεγαλύτερο του π. Πρέπει να σημειώσουμε ότι το μέτρο της διέδρου δεν εξαρτάται από την θέση του O στην ακμή O αυτής. O αν φέρουμε το κάθετο στην O επίπεδο σε ένα άλλο σημείο O της ακμής, τότε η αντίστοιχη γωνία που θα σχηματισθεί O α΄ θα έχει τις πλευρές της παράλληλες και ομόρροπες προς αυτές της O0, συνεπώς οι δύο γωνίες θα είναι ίσες (Πρόταση O1, O1). O2 δίεδρες γωνίες τις λέμε O3 τος διέδρους μιλάμε γιά O4 διέδρο, μεταφέροντας τις έννοιες των επιπέδων γωνιών στις διέδρους μιλάμε γιά O6 διέδρος

Αμβλεία δίεδρο, Οξεία δίεδρο, Συμπληρωματική δίεδρο, Παραπληρωματική δίεδρο, Κατά κορυφήν δίεδρο κτλ. Ισχύουν επίσης ιδιότητες ανάλογες με αυτές των γωνιών. Αρκεί να ανατρέξουμε στις ιδιότητες των γωνιών και να αντικαταστήσουμε σε αυτές την φράση πλευρά γωνίας με την φράση έδρα διέδρου. Η επόμενη πρόταση δίνει ένα παράδειγμα αυτών των αναλογιών.



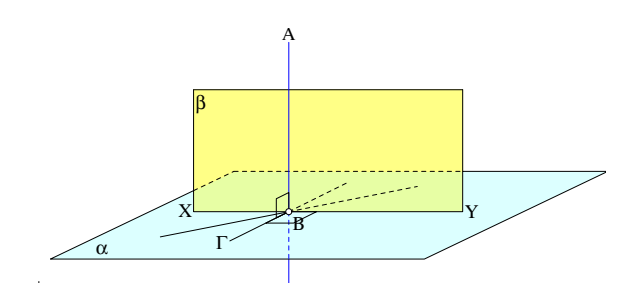
Σχήμα 625: Ίσες δίεδρες γωνίες

**Πρόταση 8.1.1**  $\Delta$ ίεδρες γωνίες των οποίων οι αντίστοιχες έδρες είναι παράλληλα επίπεδα είναι ίσες ή παραπληρωματικές.

Aπόδειξη: Έστω ότι οι έδρες α΄, β΄ της μιάς διέδρου είναι παράλληλα επίπεδα αντίστοιχα προς τις έδρες α, β της άλλης. Τότε οι ακμές τους είναι παράλληλες. Αυτό συνάγεται προεκτείνοντας μία έδρα λ.χ. την β΄ έως ότου τμήσει την α κατά ευθεία ε. Κατά την Πρόταση 7.2.3 η ε και η XY θα είναι παράλληλες ως αποτεμνόμενες από τα παράλληλα επίπεδα β και β΄ μέσω του α. Παρόμοια και οι ε και X'Y' θα είναι όμοιες ως αποτεμνόμενες από τα παράλληλα επίπεδα α και α΄ μέσω της β΄. Συνεπώς οι ακμές XY και X'Y' θα είναι παράλληλες ευθείες. Επομένως ένα επίπεδο γ κάθετο στην ακμή XY που ορίζει την γωνία AOB της μιάς διέδρου θα είναι και κάθετο στην ακμή X'Y' της άλλης διέδρου (Πρόταση 7.5.3) και θα ορίζει την γωνία A'O'B' της άλλης διέδρου. Λόγω της παραλληλίας των επιπέδων οι γωνίες AOB και A'O'B' θα έχουν πλευρές παράλληλες, άρα θα είναι ίσες ή παραπληρωματικές (Πόρισμα 1.15.10), ο.ε.δ.

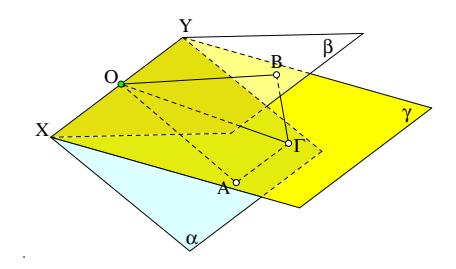
 $\Delta$ ύο επίπεδα που σχηματίζουν μία ορθή δίεδρο τα λέμε  $\mathbf{K}$ άθετα επίπεδα.

**Πρόταση 8.1.2**  $A\nu$  μία ευθεία AB είναι κάθετος στο επίπεδο a, τότε κάθε άλλο επίπεδο  $\beta$  που περιέχει την AB θα είναι κάθετο στο επίπεδο a.



Σχήμα 626: Κάθετα επίπεδα

Aπόδειξη: Η AB είναι κάθετος σε κάθε ευθεία του α που διέρχεται από το B (Πρόταση 7.5.1), άρα θα είναι κάθετος και στην ευθεία  $B\Gamma$  που είναι ορθογώνια προς την τομή XY των επιπέδων και περιέχεται στο α. Αυτό δείχνει ότι η γωνία της διέδρου των α και β είναι ορθή, ο.ε.δ.

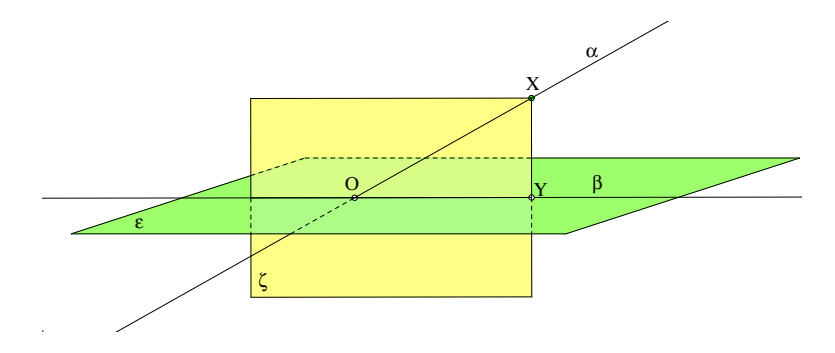


Σχήμα 627: Διχοτόμο επίπεδο διέδρου

Πρόταση 8.1.3 Γιά δύο επίπεδα α και  $\beta$  τεμνόμενα κατά την ευθεία XY, τα σημεία του χώρου  $\Gamma$  που ισαπέχουν από τα επίπεδα ευρίσκονται επί δύο άλλων επιπέδων  $\gamma$ , δ διερχομένων διά της XY και σχηματιζόντων ίσες δίεδρες με τα α και  $\beta$  και είναι κάθετα μεταξύ τους.

Απόδειξη: Έστω σημείο  $\Gamma$  ισαπέχον από τα επίπεδα α και β. Φέρε τις κάθετες  $\Gamma A$  και  $\Gamma B$  σε αυτά. Το επίπεδο  $AB\Gamma$  είναι κάθετο στην XY διότι η XY, ως ευθεία του επιπέδου β είναι κάθετη στην  $B\Gamma$  και ως ευθεία του επιπέδου α είναι κάθετη στην  $A\Gamma$ . Έπεται ότι η γωνία AOB, όπου O το σημείο τομής της XY με το επίπεδο  $AB\Gamma$ , είναι η γωνία της διέδρου των α και β που περιέχει το  $\Gamma$ . Επίσης τα ορθογώνια τρίγωνα  $O\Gamma A$  και  $O\Gamma B$  είναι ίσα, ως έχοντα την υποτείνουσα  $O\Gamma$  κοινή και τις καθέτους  $\Gamma A$  και  $\Gamma B$  ίσες εξ υποθέσεως. Συνάγεται ότι το επίπεδο  $\gamma$  που περιέχει το  $\Gamma$  και την ευθεία XY σχηματίζει ίσες γωνίες με τα επίπεδα α και β. Ανάλογα δείχνουμε ότι αν το  $\Gamma$  είναι σε ένα από τα άλλα τεταρτημόρια που ορίζουν τα δύο επίπεδα περιέχεται είτε στο  $\gamma$  είτε στο επίπεδο  $\delta$  που σχηματίζει ορθή  $\gamma$ ωνία με το  $\gamma$ , ο.ε.δ.

Στην προηγούμενη πρόταση βλέπουμε πάλι μιά ιδιότητα γωνιών του επιπέδου (Άσκηση 1.15.6) να μεταφέρεται στις δίεδρες γωνίες. Τα επίπεδα που ορίζονται από την προηγούμενη πρόταση λέγονται Διχοτομούντα επίπεδα της διέδρου.



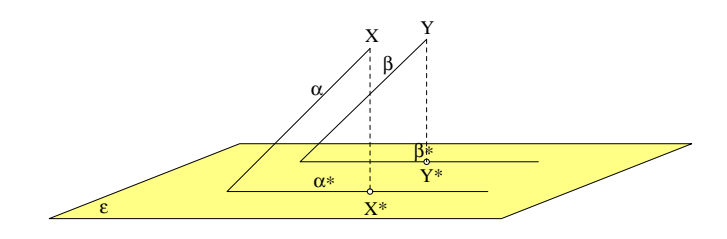
Σχήμα 628: Επίπεδο διερχόμενο από ευθεία κάθετο σε άλλο

**Πρόταση 8.1.4** Δοθείσης ευθείας α και επιπέδου  $\varepsilon$  υπάρχει ένα ακριβώς επίπεδο ζ περιέχον την ευθεία α και κάθετο στο  $\varepsilon$ .

Aπόδειξη: Φέρε από τυχόν σημείο X της α την κάθετο XY στο ε. Το επίπεδο  $\zeta$  που περιέχει την α και την XY είναι κάθετο στο ε (Πρόταση 8.1.2). Κάθε άλλο επίπεδο  $\zeta'$  που περιέχει την α και είναι κάθετο στο ε, θα τέμνει το ε κατά ευθεία  $\beta$ . Φέρε από το X την κάθετο  $XY^*$  στην  $\beta$  στο επίπεδο  $\zeta'$ . Η  $XY^*$  θα είναι και κάθετος στο ε διότι εκτός της ευθείας  $\beta$  θα είναι και κάθετος σε μία ορθογώνιά της και περιεχόμενη στο  $\alpha$ , λόγω της υποθέσεως ότι τα  $\zeta'$  και ε τέμνονται κάθετα. Συνεπώς η  $XY^*$  θα συμπίπτει με την προηγούμενη XY και το  $\zeta'$  θα

περιέχει την α και την XY, άρα  $\theta$ α ταυτίζεται με το  $\zeta$ , ο.ε.δ.

Η ευθεία β που όρίζεται από την προηγούμενη πρόταση, ως τομή του μοναδικού επιπέδου ζ που περιέχει την ευθεία α και τέμνει κάθετα το επίπεδο ε, λέγεται Προβολή της ευθείας α στο επίπεδο ε.

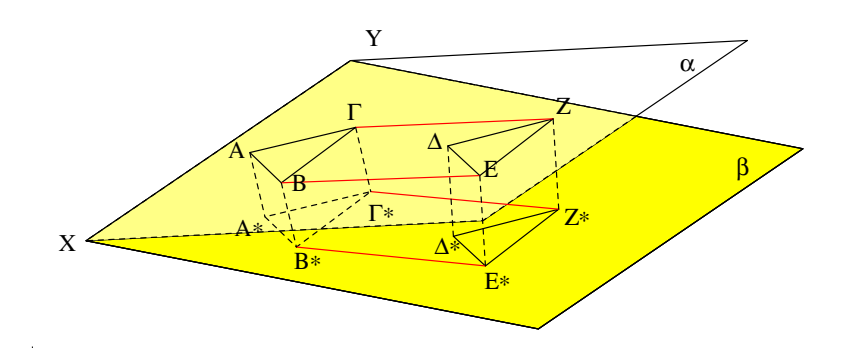


Σχήμα 629: Προβολή παραλλήλων σε παράλληλες

**Πρόταση 8.1.5** Οι προβολές  $a^*$ ,  $\beta^*$  δύο παραλλήλων ευθειών a και  $\beta$  στο επίπεδο  $\varepsilon$  ή ταυτίζονται ή είναι δύο σημεία ή είναι παράλληλες ευθείες του  $\varepsilon$ .

Aπόδειξη: Αν οι α, β είναι κάθετες στο ε, τότε οι προβολές τους είναι δύο σημεία: τα σημεία στα οποία αυτές τέμνουν το ε. Αν το ε είναι κάθετο στο επίπεδό τους, αλλά όχι κάθετο στις α, β, τότε οι ευθείες προβάλλονται στην ίδια ευθεία του ε. Στην περίπτωση που δεν συμβαίνουν τα παραπάνω, παίρνοντας ένα σημείο X στην α και ένα Y στην β και προβάλλοντάς τα στο ε, ορίζουμε τα κάθετα στο ε επίπεδα που περιέχουν τις προβολές  $α^*$  και  $β^*$  των δύο ευθειών. Τα δύο αυτά επίπεδα, ως περιέχοντα δύο ζεύγη παραλλήλων ευθειών είναι παράλληλα (Πρόταση 7.2.2) άρα οι  $α^*$ ,  $β^*$  κατά τις οποίες τέμνουν την ε θα είναι παράλληλες (Πρόταση 7.2.3), ο.ε.δ.

**Πόρισμα 8.1.1** Η προβολή  $\epsilon$ νός παραλληλογράμμου του  $\epsilon$ πιπέδου  $\epsilon$  σ $\epsilon$  ένα άλλο  $\epsilon$ πίπεδο  $\zeta$  που  $\delta$ εν  $\epsilon$ ίναι κάθετο στο  $\epsilon$  είναι ένα παραλληλόγραμμο.



Σχήμα 630: Προβολή ίσων τριγώνων σε ίσα

**Πόρισμα 8.1.2** Δύο τρίγωνα  $AB\Gamma$  και  $\Delta EZ$  περιεχόμενα σε επίπεδο α που είναι ίσα και με παράλληλες πλευρές προβάλλονται σε επίπεδο  $\beta$ , μη-κάθετο στο  $\alpha$ , σε δύο τρίγωνα  $A*B*\Gamma*$  και  $\Delta*E*Z*$  που είναι επίσης ίσα και με παράλληλες πλευρές.

Aπόδειξη: Προχύπτει από το προηγούμενο πόρισμα αφού το παραλληλόγραμμο λ.χ. BΓZE που ορίζεται από δύο ίσες και παράλληλες πλευρές των τριγώνων στο α θα προβάλλεται σε παραλληλόγραμμο B\*Γ\*Z\*E\* ορίζοντας ίσες και παράλληλες πλευρές B\*F\* και E\*Z\*, ο.ε.δ.

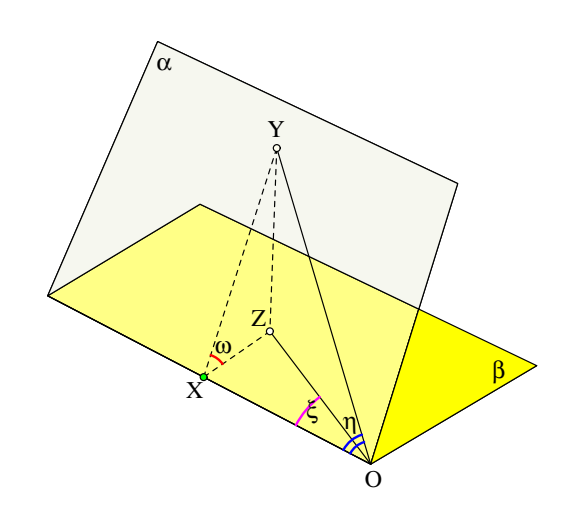
**Πόρισμα 8.1.3** Δύο πολύγωνα  $AB\Gamma\Delta E...$   $\Pi P\Sigma T...$  περιεχόμενα σε επίπεδο α που είναι ίσα και με παράλληλες πλευρές προβάλλονται σε επίπεδο β, μη-κάθετο στο α, σε δύο πολύγωνα  $A*B*\Gamma*\Delta*...$  και  $\Pi*P*\Sigma*T*...$  που είναι επίσης ίσα και με παράλληλες πλευρές.

Απόδειξη: Προκύπτει από το προηγούμενο πόρισμα διαιρώντας τα δύο πολύγωνα σε τρίγωνα και προβάλλοντας, ο.ε.δ.

'Ασκηση 8.1.1  $\Delta$ είξε ότι η προβολή  $M^*$  του μέσου M ευθυγράμμου τμήματος AB σε επίπεδο ε είναι το μέσον του ευθυγράμμου τμήματος  $A^*B^*$ , όπου  $A^*$  και  $B^*$  οι προβολές των A και B στο επίπεδο.

Άσκηση 8.1.2 Εάν  $A*B*\Gamma*$  είναι η προβολή τριγώνου  $AB\Gamma$  στο επίπεδο ε, δείξε ότι η προβολή του κέντρου βάρους του  $AB\Gamma$  είναι το κέντρο βάρους του  $A*B*\Gamma*$ .

'Ασκηση 8.1.3 Εάν  $A*B*\Gamma*$  είναι η προβολή τριγώνου  $AB\Gamma$  στο επίπεδο  $\varepsilon$ , δείξε ότι η προβολή του κέντρου βάρους του  $AB\Gamma$  είναι το κέντρο βάρους του  $A*B*\Gamma*$ .



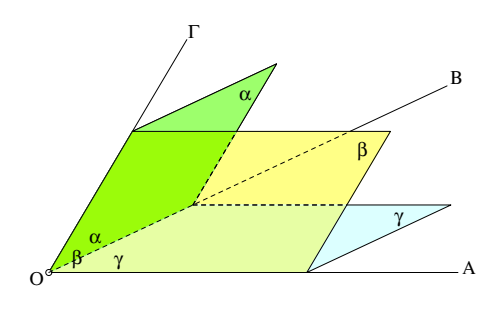
Σχήμα 631: Προβολή γωνίας

Άσκηση 8.1.4 Έστω ΟΧ η ακμή της διέδρου και ω η γωνία των εδρών της α και β. Φέρε ευθεία ΟΥ στο επίπεδο α και έστω ΟΖ η προβολή της στο επίπεδο β. Δείξε ότι η γωνία  $\eta = |XOY|$  και η προβολή της στο β:  $\xi = |XOZ|$  ικανοποιούν την ε $\varphi(\xi) = \varepsilon \varphi(\eta)$  συν(ω).

'Ασκηση 8.1.5 Να βρεθεί ο γεωμετρικός τόπος των σημείων X του χώρου που απέχουν δοθείσα απόσταση δ από τις έδρες μιάς διέδρου γωνίας.

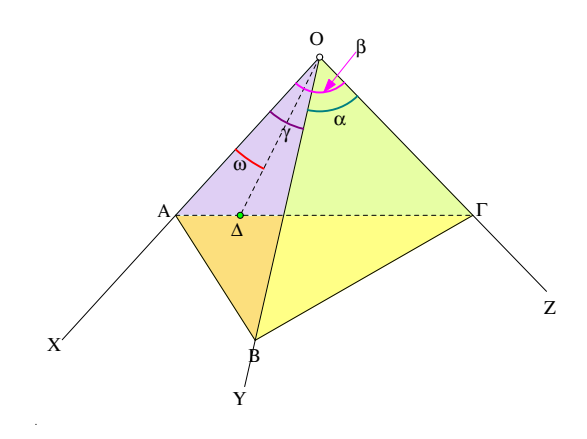
### 8.2 Τρίεδρες γωνίες

Τρεις ημιευθείες ΟΑ, ΟΒ, ΟΓ διερχόμενες από κοινό σημείο Ο και μη περιεχόμενες σε ένα επίπεδο ορίζουν, ανά δύο, επίπεδα και δημιουργούν ένα στερεό σχήμα που χωρίζει τον χώρο σε δύο μέρη. Από τα δύο αυτά μέρη το ένα είναι κυρτό (δηλαδή με κάθε ζεύγος σημείων Χ, Υ που περιέχονται σε αυτό το μέρος και ολόκληρο το ευθύγραμμο τμήμα ΧΥ περιέχεται στο ίδιο μέρος) και το άλλο είναι μη-κυρτό. Επιλέγοντας ένα εξ αυτών των μερών, συνήθως το κυρτό, ορίζεται μιά Τρίεδρος γωνία. Το μέρος του χώρου που επιλέγεται λέγεται Εσωτερικό της τριέδρου. Οι ημιευθείες που ορίζουν την τρίεδρο λέγονται Ακμές της τριέδρου και οι γωνίες α=ΒΟΓ, β=ΓΟΑ, γ=ΑΟΒ που σχηματίζονται μεταξύ αυτών λέγονται Έδρες της τριέδρου. Συχνά ονομάζουμε έδρες και τα επίπεδα στα οποία περιέχονται αυτές οι γωνίες. Οι



Σχήμα 632: Τρίεδρος γωνία

δίεδρες γωνίες με αχμές τις ευθείες OA, OB χαι  $O\Gamma$ , λέγονται  $\Delta$ ίεδρες της τριέδρου χαι συμβολίζονται αντίστοιχα με  $\widehat{A}$ ,  $\widehat{B}$ ,  $\widehat{\Gamma}$ . Συχνά με το ίδιο γράμμα συμβολίζουμε χαι το μέτρο της γωνίας. Έτσι στις διάφορες προτάσεις παραχάτω τα α, $\beta$  χαι γ μπορεί να συμβολίζουν τις έδρες ή χαι τα μέτρα των εδρών της τριέδρου. Ανάλογα τα  $\widehat{A}$ ,  $\widehat{B}$ ,  $\widehat{\Gamma}$  μπορεί να συμβολίζουν τις δίεδρες ή χαι τα μέτρα αυτών, που λαμβάνονται μετρώντας τις γωνίες που αποτέμνουν οι δίεδρες αυτές σε επίπεδα χάθετα στις αχμές τους.  $\Delta$ ύο τρίεδρες  $OAB\Gamma$  χαι  $OA'B'\Gamma'$  λέγονται OA'B' τον έχουν αντίστοιχες έδρες ίσες χαι αντίστοιχες δίεδρες επίσης ίσες.



Σχήμα 633: Ανισότητες εδρών

**Πρόταση 8.2.1** Σε κάθε τρίεδρο  $OAB\Gamma$  το άθροισμα δύο εδρών της είναι με γαλύτερο της τρίτης.

Απόδειξη: Υπόθεσε ότι η  $\beta$ =XOZ είναι η μεγαλύτερη από τις τρεις έδρες  $\alpha$ =YOZ,  $\beta$ =XOZ,  $\gamma$ =ZOX. Θα δείξουμε ότι  $\beta<\alpha+\gamma$ . Πάρε B και  $\Gamma$  επί των ακμών OY και OZ αυθαίρετα. Κατόπιν σχημάτισε στο επίπεδο XOZ το τρίγωνο  $\Delta O\Gamma$  έτσι ώστε να είναι ίσο με το  $BO\Gamma$  και προέκτεινε την  $\Delta \Gamma$  μέχρι το σημείο τομής A της με την τρίτη ακμή. Από τον τρόπο που ορίστηκαν τα τρίγωνα ABO και  $A\Delta O$  έχουν την AO κοινή και τις BO και  $\Delta O$  ίσες. Επίσης από την τριγωνική ανισότητα έχουμε

$$|A\Gamma| = |A\Delta| + |\Delta\Gamma| < |AB| + |B\Gamma|.$$

Όμως  $|\Delta\Gamma|=|B\Gamma|\Rightarrow |A\Delta|<|AB|$ . Από το Πόρισμα 1.10.10 η γωνία

$$\omega = |AO\Delta| < |AOB| \Leftrightarrow |AO\Gamma| - |BO\Gamma| < |AOB|,$$

 $0.\epsilon.\delta$ .

**Πρόταση 8.2.2** Σε κάθε τρίεδρο  $OAB\Gamma$  το άθροισμα των εδρών της είναι μικρότερο του  $2\pi$ .

Aπόδειξη: Θεώρησε τυχόντα σημεία A, B και  $\Gamma$  επί των ακμών αντίστοιχα OX, OY και OZ της τριέδρου (σχήμα 633). Σχηματίζονται αλλες τρεις τριέδροι με κορυφές στα σημεία A, B και  $\Gamma$ . Εφαρμόζοντας την προηγούμενη πρόταση στις τρεις αυτές τριέδρους έχουμε

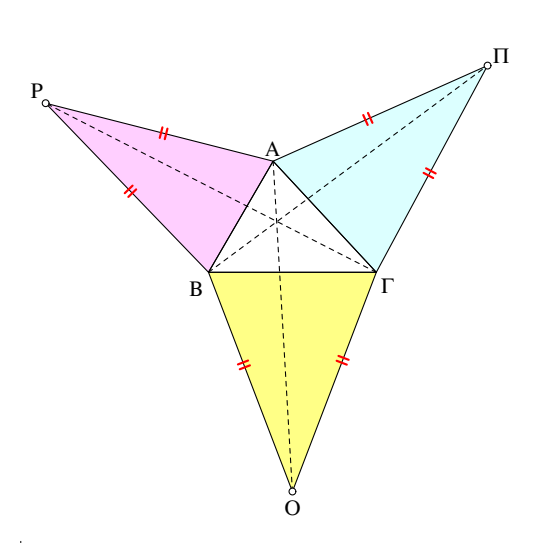
$$\alpha + \beta + \gamma = (\pi - OB\Gamma - O\Gamma B) + (\pi - OA\Gamma - O\Gamma A) + (\pi - OAB - OBA)$$

$$= 3\pi - (OB\Gamma + OBA) - (O\Gamma B + O\Gamma A) - (OA\Gamma + OAB)$$

$$< 3\pi - (AB\Gamma + B\Gamma A + \Gamma AB)$$

$$= 3\pi - \pi = 2\pi,$$

 $0.\epsilon.\delta$ .



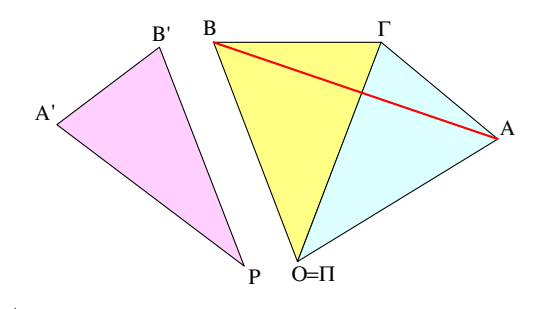
Σχήμα 634: Ανάπτυγμα τριέδρου

Παίρνοντας ίσα ευθύγραμμα τμήματα  $|OA|=|OB|=|O\Gamma|=\delta$  επί των ακμών αντίστοιχα OX,OY,OZ σχηματίζουμε ένα τρίγωνο  $AB\Gamma$ , το οποίο μαζί με το μήκος  $\delta$ , περιγράφει πλήρως την τρίεδρο και μάλιστα με την βοήθεια ενός επιπέδου σχήματος που λέγεται **Ανάπτυγμα τριέδρου** . Το σχήμα αυτό προκύπτει κόβοντας την τρίεδρο κατά μήκος των

αχμών της και περιστρέφοντας τα ισοσκελή τρίγωνα περί τις βάσεις τους, που είναι οι πλευρές του τριγώνου  $AB\Gamma$ , έως ότου τα επίπεδά των ισοσκελών συμπέσουν με αυτό του  $AB\Gamma$ . Το σχήμα (634) που προκύπτει μπορεί να χρησιμοποιηθεί και γιά την κατασκευή τριέδρου από χαρτί. Αρκεί να περιστρέψουμε, αντίστροφα προς την προηγούμενη φορά, τα ισοσκελή τρίγωνα περί τις βάσεις τους, έως ότου οι τρείς κορυφές τους συμπέσουν στο ίδιο σημείο του χώρου O, που ορίζει τότε την κορυφή της τριέδρου. Οι επόμενες δύο προτάσεις δείχνουν ότι οι ανισότητες των δύο προηγουμένων προτάσεων είναι και ικανές συνθήκες που εξασφαλίζουν ότι μιά τέτοια διαδικασία οδηγεί πάντοτε σε τρίεδρο.

**Λήμμα 8.2.1** Δοθέντων τριών ισοσκελών τριγώνων με ίσα σκέλη, των οποίων οι κορυφές λαμβανόμενες ανά δύο έχουν άθροισμα γωνιών μεγαλύτερο της τρίτης, μπορούμε να κατασκευάσουμε τρίγωνο, του οποίου οι πλευρές να συμπίπουν με τις βάσεις των ισοσκελών.

Απόδειξη: Έστω ότι τα τρία τρίγωνα με ίσα σκέλη είναι τα  $OB\Gamma$ ,  $\Pi\Gamma A$  και PA'B'. Τοποθετούμε δύο εξ αυτών λ.χ. τα δύο πρώτα έτσι ωστε οι γωνίες στις κορυφές τους να γίνουν εφεξής. Από την τριγωνική ανισότητα έχουμε ότι



Σχήμα 635: Τριεδρική ανισότητα

$$|B\Gamma| + |\Gamma A| > |BA|.$$

Τα τρίγωνα ΡΑΒ και ΟΑ'Β' είναι ισοσκελή με το ίδιο μήκος σκέλους και εξ υποθέσεως έχουμε ότι οι γωνίες τους ικανοποιούν την

$$|A'PB'| < |BO\Pi|.$$

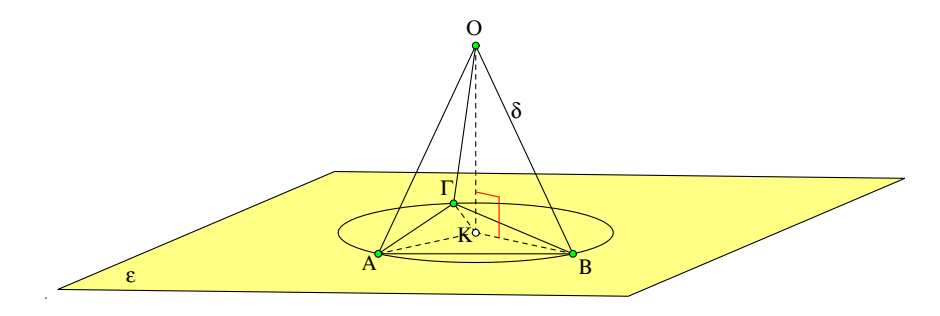
Από την Πρόταση 1.10.5 συνάγεται ότι

$$|A'B'| < |AB| < |B\Gamma| + |\Gamma A|,$$

συνεπώς ικανοποιείται η τριγωνική ανισότητα και κατασκευάζεται τρίγωνο με πλευρές τις βάσεις των ισοσκελών (Πρόταση 2.3), ο.ε.δ.

**Πρόταση 8.2.3** Γιά κάθε τριάδα γωνιών  $\alpha$ ,  $\beta$  και  $\gamma$   $\mu$ ε  $\alpha$  +  $\beta$  +  $\gamma$  <  $2\pi$  και τέτοια ώστε  $\eta$   $\mu$ ε γαλύτερ $\eta$  εξ αυτών να είναι μικρότερ $\eta$  του αθροίσματος των δύο άλλων, υπάρχει τρίεδρος  $\mu$ ε έδρες τις τρεις αυτές γωνίες.

Απόδειξη: Κατασχεύασε ισοσχελή τρίγωνα με γωνία στην χορυφή αντίστοιχα α, β χαι γ χαι τα σχέλη τους όλα ίσα με αυθαίρετο θετιχό αριθμό δ. Οι υποθέσεις γιά τις γωνίες συνεπάγονται, χατά το προηγούμενο λήμμα, ότι οι βάσεις αυτών των ισοσχελών αποτελούν

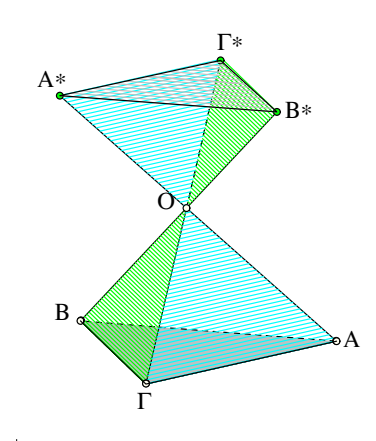


Σχήμα 636: Κατασκευή τριέδρου

πλευρές τριγώνου ΒΓΑ. Θεώρησε τον περιγεγραμμένο κύκλο αυτού του τριγώνου και φέρε την κάθετο στο κέντρο του Κ. Επί της καθέτου δε πάρε ευθύγραμμο τμήμα ΚΟ μήκους

$$\kappa = |KO| = \sqrt{\delta^2 - \rho^2},$$

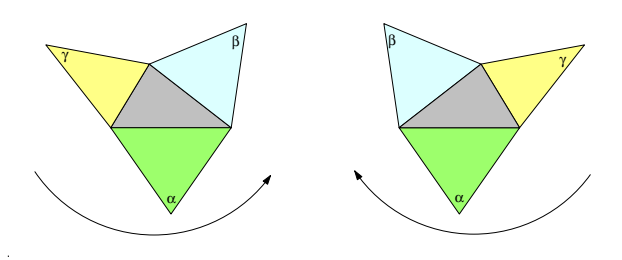
όπου ρ η ακτίνα του περιγεγραμμένου κύκλου. Από το πυθαγόρειο θεώρημα συνάγεται ότι οι  $|OA|=|OB|=|O\Gamma|=\delta$  και τα ισοσκελή τρίγωνα BOΓ, ΓΟΑ, AOB έχουν τα ίδια μήκη σκελών και τις βάσεις αντίστοιχα ίσες με αυτές των αρχικών ισοσκελών τριγώνων, άρα είναι ίσα με αυτά και στο Ο σχηματίζεται τρίεδρος με τις δοθείσες γωνίες. Το ότι το σημείο Ο είναι εκτός του επιπέδου ε του τριγώνου ABΓ εξασφαλίζει η υπόθεση  $\alpha+\beta+\gamma<2\pi$ , από την οποία προκύπτει ότι  $\delta>\rho$ . Πράγματι άν το Ο συνέπιπτε με το K, δηλαδή ήταν δ=ρ, τότε θα είχαμε  $\alpha+\beta+\gamma=|AKB|+|BK\Gamma|+|\Gamma KA|=2\pi$  αντίθετα με την υπόθεση. Επίσης αν ήταν  $\delta<\rho$ , τότε η γωνία AOB θα ήταν στο επίπεδο ε του τριγώνου ABΓ και μικρότερη της AKB, διότι το ισοσκελές AOB θα ήταν εντός του ισοσκελούς AKB (Πρόταση 1.10.2). Το ανάλογο θα ίσχυε και γιά τις άλλες γωνίες BOΓ και ΓΟΑ. Συνεπώς το άθροισμα  $\alpha+\beta+\gamma=|BO\Gamma|+|\Gamma OB|+|AO\Gamma|<|BK\Gamma|+|\Gamma KA|+|AKB|=2\pi$ , πάλι αντίθετα με την υπόθεση, ο.ε.δ.



Σχήμα 637: Κατά χορυφήν τρίεδρες

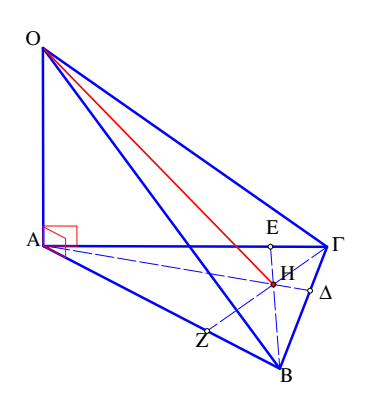
Σχόλιο Η τελευταία πρόταση συνεπάγεται ότι μία τρίεδρος γωνία καθορίζεται πλήρως από τις έδρες της. Δεν θα προχωρήσω στις λεπτομέρειες της απόδειξης αυτής της ιδιότητας. Θα σημειώσω ωστόσο ότι η ισότητα τριέδρων, όπως την ορίσαμε, δεν είναι στο χώρο ταυτόσημη με την δυνατότητα τοποθέτησης της μιάς τριέδρου πάνω στην άλλη, ώστε να συμπέσουν. Εάν γίνεται το τελευταίο, τότε βέβαια οι τρίεδρες είναι ίσες. Η ισότητά μας όμως περιλαμβάνει

και άλλη μία περίπτωση που δεν είναι δυνατή η ταύτιση. Αυτή είναι η περίπτωση των κατά κορυφήν τριέδρων. Εδώ (σχήμα-637) οι δύο τρίεδρες ΟΑΒΓ και ΟΑ\*Β\*Γ\* έχουν αντίστοιχες έδρες ίσες και αντίστοιχες δίεδρες επίσης ίσες. Ωστόσο δεν είναι δυνατόν να τοποθετηθούν η μία πάνω στην άλλη ώστε να συμπέσουν. Τούτο διότι διαφέρουν οι προσανατολισμοί τους. Οι δύο τρίεδρες προχύπτουν από τρία ισοσκελή μέσω της προηγούμενης πρότασης αλλά τοποθετημένα έτσι ώστε τα βασικά τρίγωνα να έχουν διαφορετικό προσανατολισμό.



Σχήμα 638: Αντίθετος προσανατολισμός τριέδρων

**Πρόταση 8.2.4** Γιά κάθε τρίεδρο, τα τρία επίπεδα που διέρχονται από μία ακμή και είναι κάθετα στην απέναντι της ακμής έδρα τέμνονται κατά ευθεία.



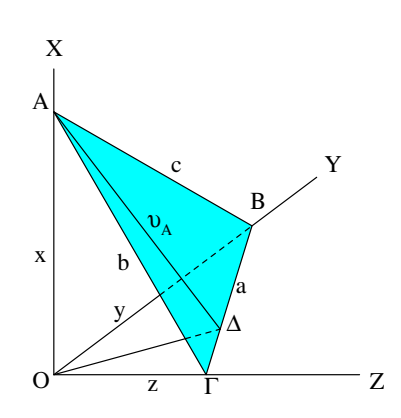
Σχήμα 639: Ύψη τριέδρου

Απόδειξη: ([Gla20, σ. 69]) Θεώρησε ένα επίπεδο κάθετο σε μία ακμή της τριέδρου, λ.χ. την ΟΑ, που τέμνει την τρίεδρο κατά το τρίγωνο ΑΒΓ. Θεώρησε και τα ύψη ΑΔ, ΒΕ και ΓΖ του τριγώνου ΑΒΓ. Τα ύψη αυτά τέμνονται στο ορθόκεντρο Η του τριγώνου και η ευθεία ΟΗ συμπίπτει με την αναφερόμενη τομή των τριών επιπέδων. Πράγματι, η ΒΕ είναι κάθετη στην ΑΓ και ασύμβατα κάθετη στην ΟΑ, άρα και κάθετη στο επίπεδό τους που είναι η έδρα ΟΑΓ (Πρόταση 7.5.7). Άρα το επίπεδο ΟΒΕ είναι το διερχόμενο από την ακμή ΟΒ και κάθετο στην απέναντι έδρα ΟΑΓ. Παρόμοια το επίπεδο ΟΓΖ είναι το διερχόμενο από την ακμή ΟΓ και κάθετο στην απέναντι έδρα ΟΑΒ. Τέλος, η ΒΓ είναι κάθετη στην ΑΔ και ασύμβατα κάθετη στην ΟΑ, άρα είναι κάθετη στο επίπεδό τους ΟΑΗ και συνεπώς το επίπεδο ΒΓΟ που διέρχεται από την ΒΓ είναι και αυτό κάθετο στο ΟΑΗ (Πρόταση 8.1.2), ο.ε.δ.

'Ασκηση 8.2.1  $\Delta \epsilon$ ίξε ότι τα τρία διχοτομούντα επίπεδα των διέδρων μιάς τριέδρου τέμνονται κατά ευθεία  $\epsilon$ , τα σημεία της οποίας ισαπέχουν από τις έδρες της τριέδρου.

Άσκηση 8.2.2  $\Delta$ ίδεται τρισορθογώνια τρίεδρος OXYZ (και οι τρείς έδρες της ορθές) και σημεία  $A,B,\Gamma$  στις ακμές της OX, OY και OZ αντίστοιχα, δείξε ότι γιά τα εμβαδά των τριγώνων ισχύει

$$\epsilon (OA\Gamma)^2 + \epsilon (OBA)^2 + \epsilon (O\Gamma B)^2 = \epsilon (AB\Gamma)^2.$$



Σχήμα 640: Είδος Πυθαγορείου θεωρήματος γιά εμβαδά

Υπόδειξη: ([Fou05, σ. 102], [M52, σελ. 967]) Με τους συμβολισμούς του σχήματος 640:

$$4\epsilon (AB\Gamma)^{2} = a^{2} \cdot v_{A}^{2}$$

$$= a^{2} \cdot (x^{2} + |O\Delta|^{2})$$

$$= a^{2} \cdot |O\Delta|^{2} + (y^{2} + z^{2}) \cdot x^{2}$$

$$= 4\epsilon (OB\Gamma)^{2} + (y^{2} \cdot x^{2}) + (z^{2} \cdot x^{2})$$

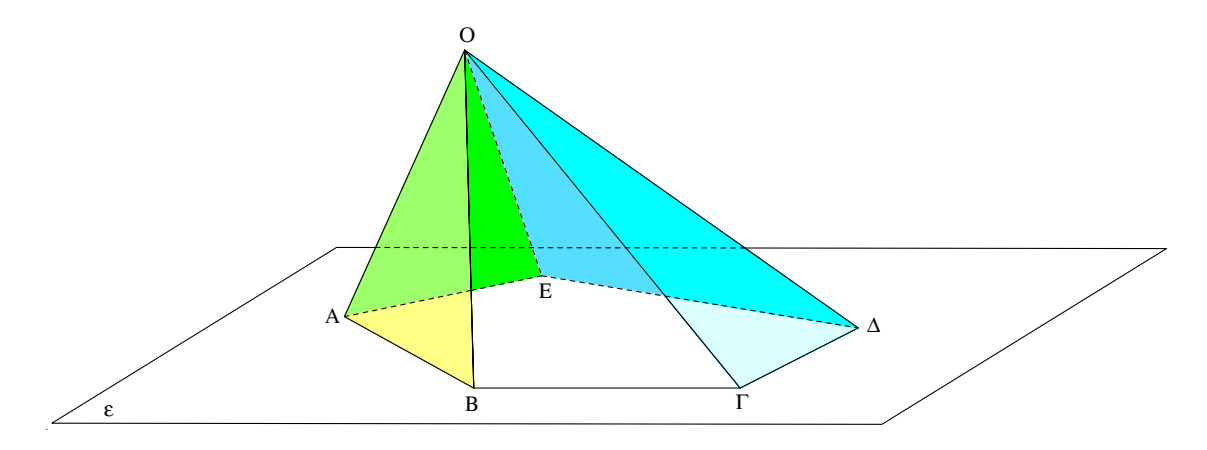
$$= 4\epsilon (OB\Gamma) + 4\epsilon (OAB)^{2} + 4\epsilon (OA\Gamma)^{2}.$$

Η δεύτερη ισότητα προχύπτει απο το ότι και η  $O\Delta$  είναι κάθετος στην  $B\Gamma$  (ύψος του τριγώνου  $OB\Gamma$ ), διότι η  $B\Gamma$  είναι κάθετος στο ύψος  $A\Delta$  του τριγώνου  $AB\Gamma$  και ασύμβατα κάθετος στην OA, άρα (ασύμβατα) κάθετος και σε κάθε ευθεία του επιπέδου  $OA\Delta$ , ο.ε.δ.

'Ασκηση 8.2.3 Η μία δίεδρος τριέδρου στερεάς γωνίας είναι ορθή και οι προσκείμενες έδρες είναι οξείες μέτρου α και β. Να υπολογισθεί η τρίτη έδρα της τριέδρου.

## 8.3 Πυραμίδες, πολυεδρικές γωνίες

Δοθέντος πολυγώνου  $AB\Gamma\Delta$ ... περιεχομένου σε επίπεδο ε και σημείου O εκτός του επιπέδου αυτού, ονομάζουμε  $\mathbf{\Pi}$ υραμίδα το στερεό σχήμα που δημιουργείται ενώνοντας το σημείο O με τις κορυφές του πολυγώνου. Oι πλευρές του πολυγώνου καθώς και τα ευθύγραμμα τμήματα OA, OB, ... λέγονται  $\mathbf{A}$ κμές της πυραμίδας. Oι ακμές OA, OB, ... λέγονται συχνά και  $\mathbf{\Pi}$ αράπλευρες ακμές της πυραμίδας. Το πολύγωνο, λέγεται  $\mathbf{B}$ άση της πυραμίδας. Oταν το πολύγωνο είναι κυρτό η πυραμίδα λέγεται  $\mathbf{K}$ υρτή πυραμίδα.  $\mathbf{\Sigma}$ υχνά με τον όρο  $\mathbf{B}$ άση πυραμίδας εννοούμε και το επίπεδο ε που περιέχει το πολύγωνο.  $\mathbf{\Sigma}$ τα



Σχήμα 641: Πυραμίδα

επόμενα θα ασχοληθούμε αποκλειστικά με κυρτές πυραμίδες. Το σημείο Ο λέγεται **Κορυφή** της πυραμίδας, οι γωνίες ΑΟΒ, ΒΟΓ, ΓΟΔ, ... λέγονται **Παράπλευρες έδρες** της πυραμίδας και οι τρίεδρες γωνίες που σχηματίζονται στις κορυφές του πολυγώνου λέγονται **Τρίεδρες** της πυραμίδας.

Στο σημείο Ο (χορυφή της πυραμίδας) ορίζεται χάτι ανάλογο της τριέδρου, που ονομάζεται Πολυεδρική γωνία ή Στερεά γωνία. Οι γωνίες ΑΟΒ, ΒΟΓ, ... (και τα επίπεδα που τις περιέχουν) λέγονται Έδρες της πολυεδρικής γωνίας και οι ημιευθείες που τις ορίζουν λέγονται Ακμές της πολυεδρικής γωνίας. Η πολυεδρική γωνία λέγεται Κυρτή όταν το αντίστοιχο πολύγωνο που προχύπτει από επίπεδο που τέμνει όλες τις αχμές της είναι χυρτό. Δύο πολυεδρικές ΟΑΒΓ..., Ο\*Α\*Β\*Γ\*... γωνίες λέγονται Ίσες, αντίστοιχες έδρες τους είναι ίσες και αντίστοιχες δίεδρες είναι επίσης ίσες. Οι πυραμίδες δημιουργούνται από μία πολυεδρική γωνία και ένα επίπεδο ε που τέμνει όλες τις αχμές της. Κρατώντας σταθερή την πολυεδρική γωνία και μεταβάλλοντας το επίπεδο ε δημιουργούμε άπειρες πυραμίδες που έχουν την ίδια πολυεδρική γωνία και οι βάσεις τους είναι τα πολύγωνα που ορίζονται ως τομές της πολυεδρικής γωνίας και του επιπέδου ε. Δύο πυραμίδες ΟΑΒΓ... και Ο\*Α\*Β\*Γ\*... λέγονται Ίσες όταν οι αντίστοιχες έδρες τους είναι ίσες και οι αντίστοιχες δίεδρες τους είναι επίσης ίσες.

**Πρόταση 8.3.1** Γιά κάθε κυρτή πολυεδρική γωνία το άθροισμα των μέτρων των εδρών της είναι μικρότερο του  $2\pi$ .

Aπόδειξη: Η απόδειξη είναι στην ουσία η ίδια με αυτήν της Πρότασης <math>8.2.2. Έστω ότι η κυρτή πολυεδρική γωνία έχει ν έδρες. Θεωρούμε ένα επίπεδο τέμνον την πολυεδρική και ορίζον μία πυραμίδα OABΓΔ... .Τις γωνίες στην κορυφή O της πυραμίδας (έδρες) γράφουμε

συναρτήσει των άλλων γωνιών:

$$|AOB| = \pi - |BAO| - |ABO|,$$

$$|BO\Gamma| = \pi - |\Gamma BO| - |B\Gamma O|,$$

$$|\Gamma O\Delta| = \pi - |\Delta \Gamma O| - |\Gamma \Delta O|,$$

$$\dots \Rightarrow$$

$$|AOB| + |BO\Gamma| + |\Gamma O\Delta| + \dots = (\pi - |BAO| - |ABO|) + (\pi - |\Gamma BO| - |B\Gamma O|) + \dots,$$

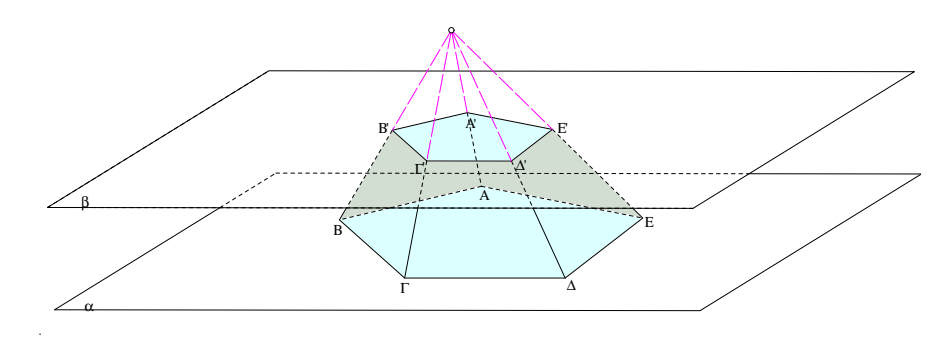
$$= (\pi - |ABO| - |\Gamma BO|) + (\pi - |B\Gamma O| - |\Delta \Gamma O) + \dots$$

$$< (\pi - |AB\Gamma|) + (\pi - |B\Gamma \Delta|) + \dots$$

$$= \nu \cdot \pi - (|AB\Gamma| + |B\Gamma \Delta| + |\Gamma \Delta E| + \dots)$$

$$= 2\pi$$

Η ανισότητα προχύπτει εφαρμόζοντας την Πρόταση 8.2.1 στις τριέδρους της πυραμίδας. Η τελευταία ισότητα προχύπτει από το ότι το άθροισμα των μέτρων των γωνιών χυρτού πολυγώνου με ν πλευρές είναι  $(\nu-2)\pi$  (Πρόταση 2.11.1), ο.ε.δ.Το σχήμα που προχύπτει από μιά πολυεδριχή γωνία και ένα επίπεδο που τέμνει όλες τις αχμές της χαθώς χαι ένα άλλο παράλληλο προς το προηγούμενο επίπεδο λέγεται  $\mathbf{K}$ όλουρη πυραμίδα.



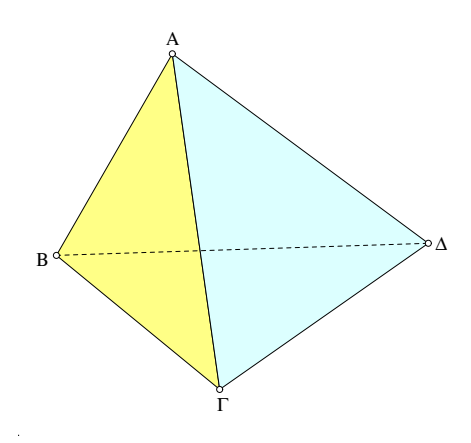
Σχήμα 642: Κόλουρη πυραμίδα

Πρόταση 8.3.2 Σε κάθε κόλουρη πυραμίδα τα πολύγωνα που ορίζονται από τις παράλληλες έδρες της είναι όμοια.

Aπόδειξη: Η απόδειξη είναι άμεση συνέπεια της πρότασης του Θαλή στο χώρο (Πόρισμα 7.7.1), ο.ε.δ.

8.4.  $TETPAE\Delta PA$  405

# 8.4 Τετράεδρα



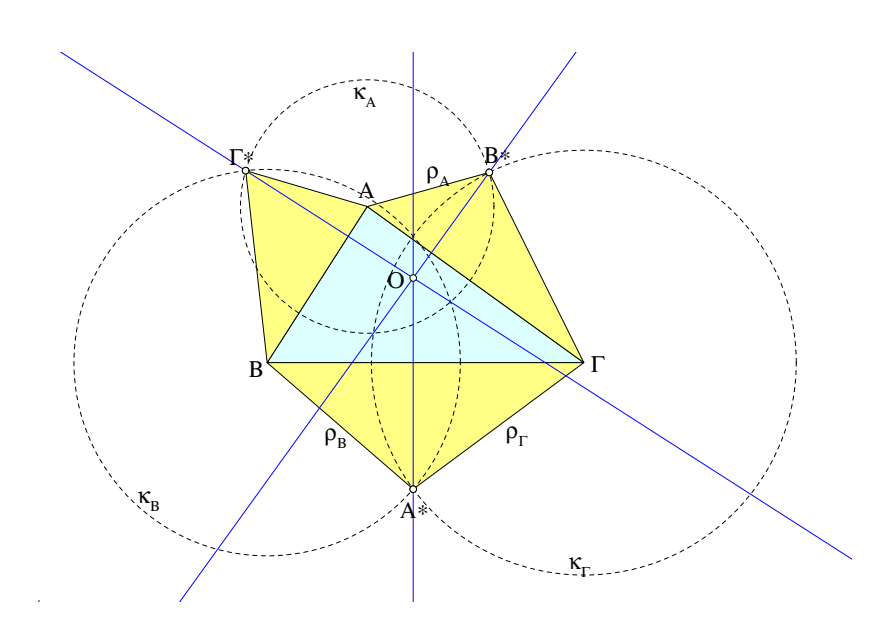
Σχήμα 643: Τετράεδρο

Τις πυραμίδες με τριγωνικές βάσεις ονομάζουμε **Τετράεδρα**. Το τετράεδρο στον χώρο είναι το ανάλογο του τριγώνου στο επίπεδο. Κάθε τετράδα σημείων μη-περιεχομένων σε ένα επίπεδο ορίζει ένα τετράεδρο που έχει τα σημεία αυτά ως κορυφές.

Πρόταση 8.4.1 Έστω τρίγωνο  $AB\Gamma$  και σημεία  $A^*, B^*, \Gamma^*$  στο επίπεδό του  $\varepsilon$ , έτσι ώστε να ισχύουν οι σχέσεις

$$|A^*B|=|B\Gamma^*|,\quad |\Gamma^*A|=|AB^*|,\quad |B^*\Gamma|=|\Gamma A^*|.$$

Τότε οι κάθετες από τα  $A^*,B^*,\Gamma^*$  αντίστοιχα στις πλευρές  $B\Gamma$ , $\Gamma A$ ,AB συντρέχουν σε σημείο O. Επίσης αν τα τρίγωνα  $A^*B\Gamma$ ,  $AB^*\Gamma$ ,  $AB\Gamma^*$  περιστραφούν αντιστοίχως περί τις  $B\Gamma$ , $\Gamma A$ ,AB έως ότου οι κορυφές τους  $A^*,B^*,\Gamma^*$  βρεθούν στην κάθετο η του  $\varepsilon$  στο σημείο O, τότε τα  $A^*,B^*,\Gamma^*$  θα συμπέσουν με σημείο  $\Delta$  της  $\zeta$  και θα σχηματισθεί τετράεδρο.



Σχήμα 644: Τετραέδρου κατασκευή

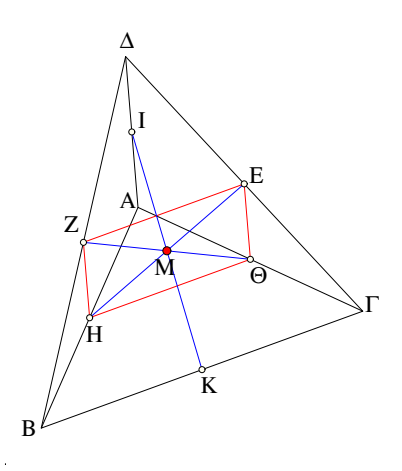
Aπόδειξη: Στο σχήμα 644 το επίπεδο ε είναι αυτό του χαρτιού και η ζ είναι η κάθετη στο ε στο σημείο Ο. Ότι οι ευθείες που αναφέρονται διέρχονται από κοινό σημείο Ο είναι συνέπεια της Άσκησης 3.4.9. Μιά άλλη απόδειξη προκύπτει επίσης από το γεγονός ότι οι τρείς αυτές κάθετες ευθείες συμπίπτουν με τους ριζικούς άξονες των κύκλων  $κ_A, κ_B, κ_\Gamma$  με κέντρα στις κορυφές του τριγώνου και ακτίνες τις πλευρές των άλλων τριγώνων που διέρχονται από αυτές. Το Ο είναι το ριζικό κέντρο αυτών των κύκλων (Θεώρημα 4.3.1). Η ιδιότητα του ριζικού κέντρου, να έχει ίσες δυνάμεις ως προς τους τρεις κύκλους, χρησιμεύει στον προσδιορισμό του  $\Delta$  επί της ευθείας ζ.  $\Delta$ ς συμβολίσουμε με  $\rho_A, \rho_B, \rho_\Gamma$  τις ακτίνες αυτών των κύκλων. Τότε η ιδιότητα του ριζικού κέντρου συνεπάγεται ότι

$$\rho_A^2 - |OA|^2 = \rho_B^2 - |OB|^2 = \rho_\Gamma^2 - |O\Gamma|^2.$$

Τούτο σημαίνει ότι τα ορθογώνια τρίγωνα με υποτείνουσα και μία κάθετο αντίστοιχα τις  $(\rho_A,|OA|),\ (\rho_B,|OB|),\ (\rho_\Gamma,|O\Gamma|),$  έχουν τις άλλες κάθετες ίσες, άρα κατά την στροφή των εξωτερικών τριγώνων περί τις πλευρές του  $AB\Gamma$  οι κορυφές θα συμπέσουν σε σημείο  $\Delta$  της  $\zeta$ , ο.ε.δ.

Σχόλιο-1 Το τετράεδρο  $AB\Gamma\Delta$  που σχηματίζεται κατά την προηγούμενη πρόταση θα έχει το O ως προβολή της κορυφής του  $\Delta$  επί του επιπέδου ε της έδρας  $AB\Gamma$ , επομένως το  $|O\Delta|$  θα είναι το ύψος του τετραπλεύρου από το  $\Delta$  και αυτό θα εκφράζεται με την δύναμη του O ως προς έναν, οποιονδήποτε, από τους τρεις κύκλους  $(|O\Delta|^2 = |\rho_A^2 - |OA|^2)$ .

Σχόλιο-2 Ισχύει και το αντίστροφο της Πρότασης 8.4.1. Εάν δοθεί τετράεδρο  $AB\Gamma\Delta$  και προβάλλουμε την κορυφή  $\Delta$  στο επίπεδο ε του  $AB\Gamma$ , η προβολή O θα έχει τις ιδιότητες που αναφέρονται στην πρόταση. Έτσι οι κάθετες από το O προς τις πλευρές του  $AB\Gamma$  θα περιέχουν τις κορυφές  $A^*,B^*,\Gamma^*$ , που θα προκύψουν όταν κόψουμε τις παράπλευρες έδρες κατά μήκος των ακμών  $\Delta A, \Delta B, \Delta \Gamma$  και τις ξεδιπλώσουμε στο επίπεδο ε περιστρέφοντάς τις αντίστοιχα περί τις πλευρές του  $AB\Gamma$ . Θα δημιουργηθεί τότε επίπεδο σχήμα παρόμοιο του 644.

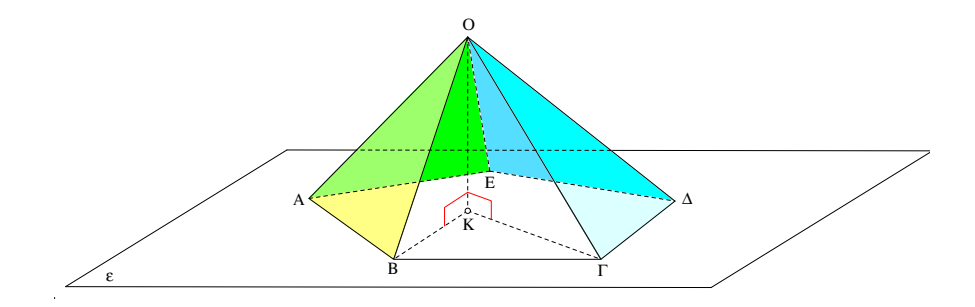


Σχήμα 645: Ενώνοντας τα μέσα απέναντι ακμών

'Ασκηση 8.4.1  $\Delta \epsilon$ ίξε ότι τα τρία ευθύγραμμα τμήματα που ενώνουν τα μέσα των απέναντι ακμών ενός τετραέδρου διέρχονται από κοινό σημείο M που τα διχοτομεί.

## 8.5 Κανονικές πυραμίδες

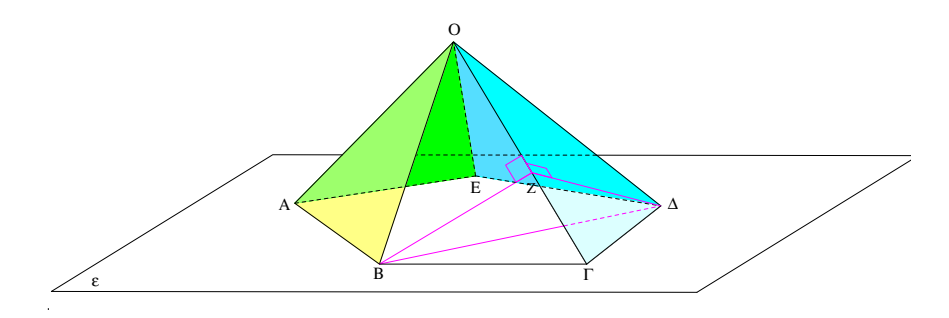
Ονομάζουμε **Κανονική** μία πυραμίδα της οποίας (α:) η βάση είναι ένα κανονικό πολύγωνο και (β:) η ευθεία ΚΟ που ενώνει το κέντρο Κ του κανονικού πολυγώνου με την κορυφή της πυραμίδας είναι κάθετη στο επίπεδο ε της βάσης.



Σχήμα 646: Κανονική πυραμίδα

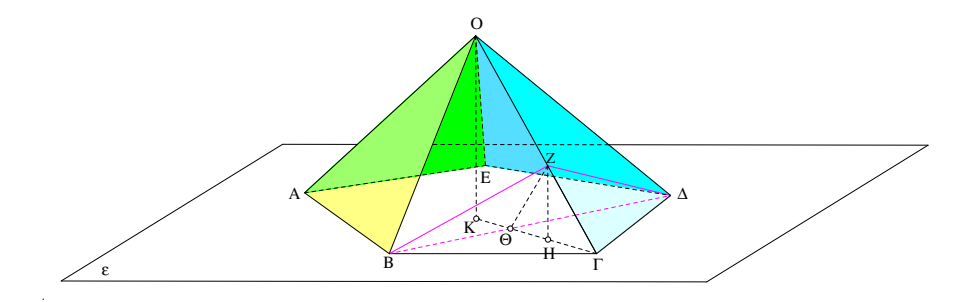
Πρόταση 8.5.1 Σε κάθε κανονική πυραμίδα οι παράπλευρες έδρες είναι ίσες και οι παράπλευρες δίεδρες είναι ίσες. Και αντίστροφα, αν οι παράπλευρες έδρες είναι ίσες μεταξύ τους και οι παράπλευρες δίεδρες είναι επίσης ίσες μεταξύ τους, τότε η πυραμίδα είναι κανονική.

Απόδειξη: Κατ' αρχήν τα ορθογώνια τρίγωνα που σχηματίζονται από την κάθετο ΟΚ στο επίπεδο ε της βάσης και τις ακτίνες ΚΑ, ΚΒ, ΚΓ, ... προς τις κορυφές του κανονικού πολυγώνου (σχήμα 646) είναι ίσα, ως έχοντα κοινή την κάθετο ΟΚ και τις ακτίνες ΚΑ, ΚΒ, ΚΓ, ... ίσες. Από αυτό έπεται ότι και τα τρίγωνα ΟΑΒ, ΟΒΓ, ΟΓΔ, ... είναι ισοσκελή και ίσα μεταξύ τους, ως έχοντα αντίστοιχες πλευρές ίσες (ΠΠΠ-κριτήριο). Από την ισότητα των τριγώνων προκύπτει η ισότητα των εδρών στο Ο. Γιά την ισότητα των παράπλευρων διέδρων χρειαζόμαστε τις γωνίες που σχηματίζονται από επίπεδα κάθετα στις παράπλευρες ακμές. Ένα τέτοιο επίπεδο λ.χ. κάθετο στην ακμή ΟΓ προκύπτει φέρνοντας τα ύψη των τριγώνων



Σχήμα 647: Παράπλευρη δίεδρος κανονικής πυραμίδας

ΒΟΓ και ΓΟΔ από τα B και  $\Delta$  αντίστοιχα. Λόγω της ισότητας αυτών των τριγώνων τα ύψη διέρχονται από το ίδιο σημείο Z της ΟΓ και ορίζουν επίπεδο κάθετο στην ακμή ΟΓ (Παράγραφος 7.5). Από τον τρόπο κατασκευής τους όμως όλα τα τρίγωνα όπως το  $BZ\Delta$  που κατασκευάζονται με ανάλογο τρόπο και γιά τις άλλες ακμές  $O\Delta,OE$ , ... είναι ίσα μεταξύ τους, άρα και οι γωνίες που αντιστοιχούν στην  $BZ\Delta$  είναι ίσες μεταξύ τους. Οι γωνίες αυτές όμως είναι ακριβώς οι γωνίες των διέδρων, οι οποίες επομένως θα είναι ίσες μεταξύ τους. Γιά το αντίστροφο θεώρησε το ίδιο σχήμα. Από την ισότητα των εδρών συνάγεται η ύπαρξη του



Σχήμα 648: Χαρακτηρισμός κανονικής πυραμίδας

ισοσχελούς τριγώνου  $B\Delta Z$ . Από την ισότητα των διέδρων συνάγεται η ισότητα των ισοσχελών τριγώνων όπως το  $B\Delta Z$  που χατασχευάζονται ανάλογα στις άλλες παράπλευρες αχμές. Από αυτήν την ισότητα προχύπτει η ισότητα των τριγώνων  $\Gamma Z\Theta$  ( $\Theta$  το μέσον της  $B\Delta$ ) χαι των αναλόγων του στις άλλες αχμές. Από την τελευταία ισότητα προχύπτει η ισότητα των τριγώνων  $\Gamma OK$  ( $\Gamma K$  η χάθετος στο  $\varepsilon$ ) χαι των αναλόγων του στις άλλες αχμές χαι από αυτήν την ισότητα προχύπτει το ότι το  $AB\Gamma$ ... είναι χανονιχό χαι το K το χέντρο του πολυγώνου, ο.ε.δ.

Πολυεδρικές γωνίες κανονικών πυραμίδων ονομάζονται Κανονικές πολυεδρικές γωνίες. Η Πρόταση 8.3.1 βάζει κάποιους περιορισμούς στο πόσο μεγάλες μπορεί να είναι οι γωνίες (έδρες) στην κορυφή μιάς κανονικής πολυεδρικής γωνίας με κ το πλήθος έδρες. Η επόμενη πρόταση δίνει όλες τις περιπτώσεις που οι παράπλευρες έδρες είναι ίσες με ένα κανονικό πολύγωνο με ν πλευρές.

Πρόταση 8.5.2 Εάν μιά κανονική πολυεδρική γωνία έχει κ έδρες, ίσες με την γωνία ενός κανονικού ν-γώνου, τότε οι μόνες δυνατές τιμές γιά τα κ και ν δίνονται από τον επόμενο πίνακα:

Aπόδειξη: Κατ' αρχήν οι γωνίες ενός κανονικού ν-γώνου είναι όλες ίσες με (Πρόταση 2.11.1)

$$\alpha_{\nu} = \frac{\nu - 2}{\nu} \pi.$$

Αν στην κορυφή της πολυεδρικής γωνίας έχουμε κ το πλήθος τέτοιες ίσες γωνίες, τότε κατά την Πρόταση 8.3.1 θα πρέπει να ισχύει

$$\kappa \cdot \frac{\nu - 2}{\nu} \pi < 2\pi \qquad \Leftrightarrow \qquad \nu < \frac{2\kappa}{\kappa - 2}.$$

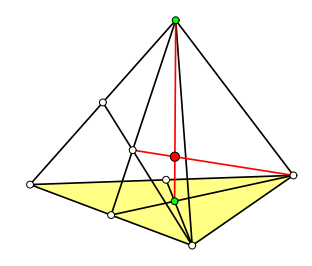
Εξ υποθέσεως τα κ και ν είναι ακέραιοι μεγαλύτεροι ή ίσοι του 3. Εύκολα βλέπουμε ότι η ακολουθία  $\beta_{\kappa}=\frac{2\kappa}{\kappa-2}$  είναι φθίνουσα και οι πρώτες λίγες τιμές της δίνονται από τον πίνακα:

Οι τιμές γιά χ=7,8,... χ.τ.λ., λόγω του φθίνοντος της αχολουθίας, θα είναι μικρότερες του 3 και επειδή πρέπει ταυτόχρονα  $\nu \geq 3$  και  $\nu < \frac{2\kappa}{\kappa-2}$  σε αυτές τις περιπτώσεις δεν θα υπάρχει ν που να τις ικανοποιεί. Το χ λοιπόν μπορεί να έχει μόνο τις τιμές 3, 4 και 5 και γιά χάθε μία από αυτές τις περιπτώσεις τα επιτρεπόμενα  $\nu < \frac{2\kappa}{\kappa-2}$  είναι τα αναγραφόμενα στην στήλη χάτω από την αντίστοιχη τιμή του χ, ο.ε.δ.

Σχόλιο Η απλή αυτή πρόταση είναι η αιτία του δραματικού περιορισμού των λεγομέων κανονικών πολυέδρων που εξετάζονται στην επόμενη παράγραφο. Η πρόταση λέει ότι αν θέλει κανείς να φτιάξει πολυεδρική γωνία της οποίας οι έδρες να είναι κανονικά πολύγωνα, τότε υπάρχουν 5 και μόνον δυνατότητες:

- 1. Τριεδρικές γωνίες ( $\kappa$ =3): Υπάρχουν τρεις και μόνο δυνατότητες κανονικών τριεδρικών γωνιών. Αυτές που έχουν τις τρεις έδρες τους ισόπλευρα τρίγωνα ( $\nu$ =3), αυτές που έχουν τις τρεις έδρες τους τετράγωνα ( $\nu$ =4) και αυτές που έχουν τις τρεις έδρες τους κανονικά πεντάγωνα ( $\nu$ =5).
- 2. Τετραεδρικές γωνίες (κ=4): Υπάρχει μία και μόνο κανονική τετραεδρική γωνία, που έχει έδρες ισόπλευρα τρίγωνα (ν=3).
- 3. Πενταεδρικές γωνίες (κ=5): Υπάρχει μία και μόνο κανονική πενταεδρική γωνία, που έχει έδρες ισόπλευρα τρίγωνα (ν=3).

Άσκηση 8.5.1 Χρησιμοποιώντας το τρίγωνο  $B\Delta Z$  του σχήματος 648 έκφρασε το συνημίτονο της γωνίας της διέδρου συναρτήσει της γωνίας της έδρας τους, γιά κάθε μία από τις 5 δυνατές κανονικές πολυεδρικές γωνίες.



Σχήμα 649: Κέντροειδές τετραέδρου

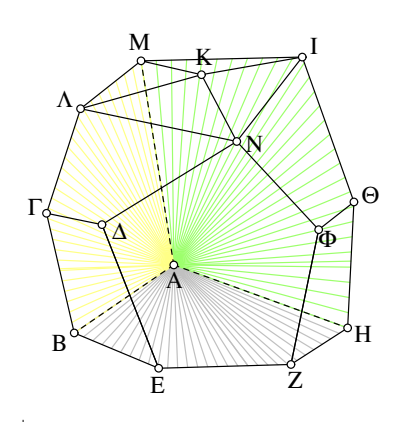
Άσκηση 8.5.2  $\Delta \epsilon$ ίξε ότι σε κάθε τετράεδρο οι ευθείες που ενώνουν τις κορυφές του με τα κέντρα βάρους των απέναντι αυτών εδρών διέρχονται από κοινό σημείο.

Υπόδειξη: Εφάρμοσε την Άσκηση 5.14.3.

Οι ευθείες της προηγούμενης άσκησης λέγονται **Διάμεσοι** του τετραέδρου. Το σημείο τομής τους λέγεται **Κεντροειδές** του τετραέδρου.

'Ασκηση 8.5.3  $\Delta \epsilon$ ίξε ότι οι ευθείες που ενώνουν τα μέσα απέναντι ακμών του τετρέδρου διέρχονται από το κεντροειδές του.

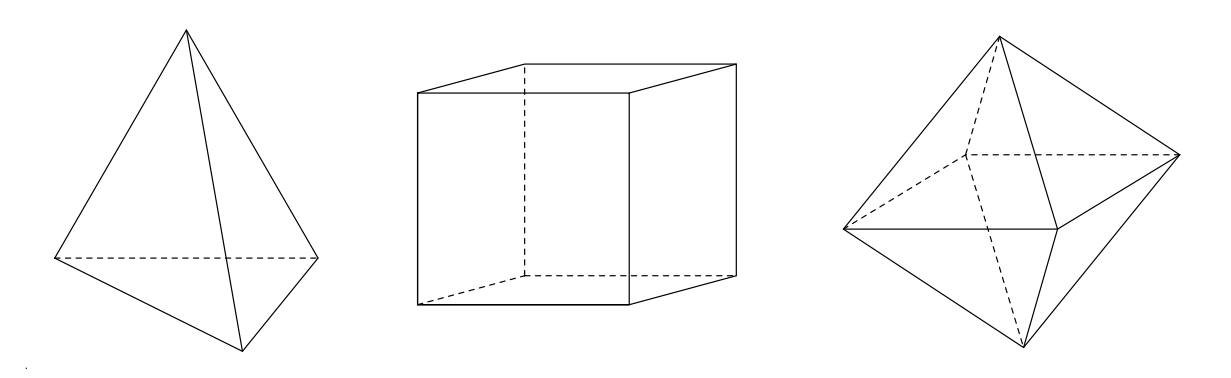
### 8.6 Πολύεδρα, Πλατωνικά σώματα



Σχήμα 650: Πολύεδρο

Ονομάζουμε Πολύεδρο ένα στερεό το οποίο περικλείεται από επίπεδα. Τα επίπεδα που περιορίζουν τον χώρο που καταλαμβάνει το στερεό λέγονται Έδρες του πολυέδρου. Οι ευθείες που ορίζονται ως τομές δύο εδρών του πολυέδρου λέγονται Ακμές του πολυέδρου. Συχνά ονομάζουμε έδρες και τα πολύγωνα που σχηματίζονται επί μιάς έδρας μέσω των ευθειών-τομών της με τις άλλες. Οι δίεδρες γωνίες που σχηματίζονται στις ακμές του πολυέδρου λέγονται Δίεδρες του πολυέδρου. Οι πολυεδρικές γωνίες που σχηματίζονται από τρεις ή περισσότερες έδρες που διέρχονται από κοινό σημείο λέγονται Πολυεδρικές γωνίες του πολυέδρου. Οι κορυφές των πολυεδρικών γωνιών λέγονται Κορυφές του πολυέδρου. Ένα πολύεδρο λέγεται Κυρτό όταν κάθε έδρα του αφήνει το πολύεδρο από την μιά μεριά του μόνο. Δύο πολύεδρα ΑΒΓ... και Α\*Β\*Γ\*... λέγονται Ίσα όταν έχουν αντίστοιχες έδρες ίσες και αντίστοιχες δίεδρες επίσης ίσες.

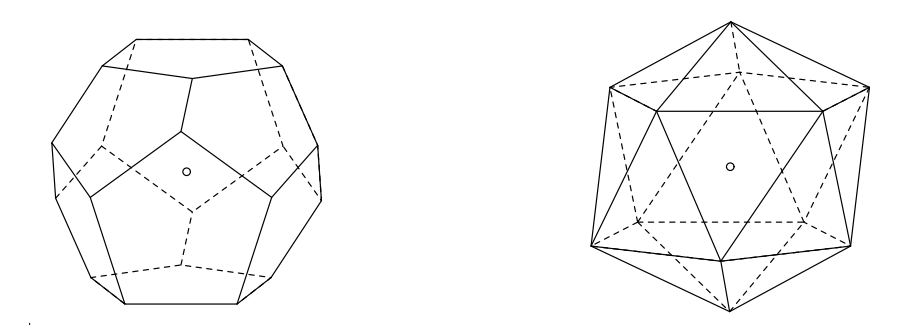
Κυρτά πολύεδρα είναι τα ανάλογα στον χώρο των κυρτών πολυγώνων του επιπέδου. Μιά σημαντική διαφορά από τα πολύγωνα είναι τα πολλά είδη γωνιών που συναντάμε στον χώρο: δίεδρες, τρίεδρες και γενικότερα πολυεδρικές γωνίες. Η πυραμίδα και η κόλουρη πυραμίδα που συναντήσαμε ήδη στην προηγούμενη παράγραφο είναι από τα απλούστερα είδη κυρτών πολυέδρων. Άλλα είδη πολυέδρων είναι τα γνωστά: πρίσματα, παραλληλεπίπεδα, τετράεδρα, κύβοι, κτλ. που θα εξετάσουμε παρακάτω.



Σχήμα 651: Κανονικό τετράεδρο, κύβος και κανονικό οκτάεδρο

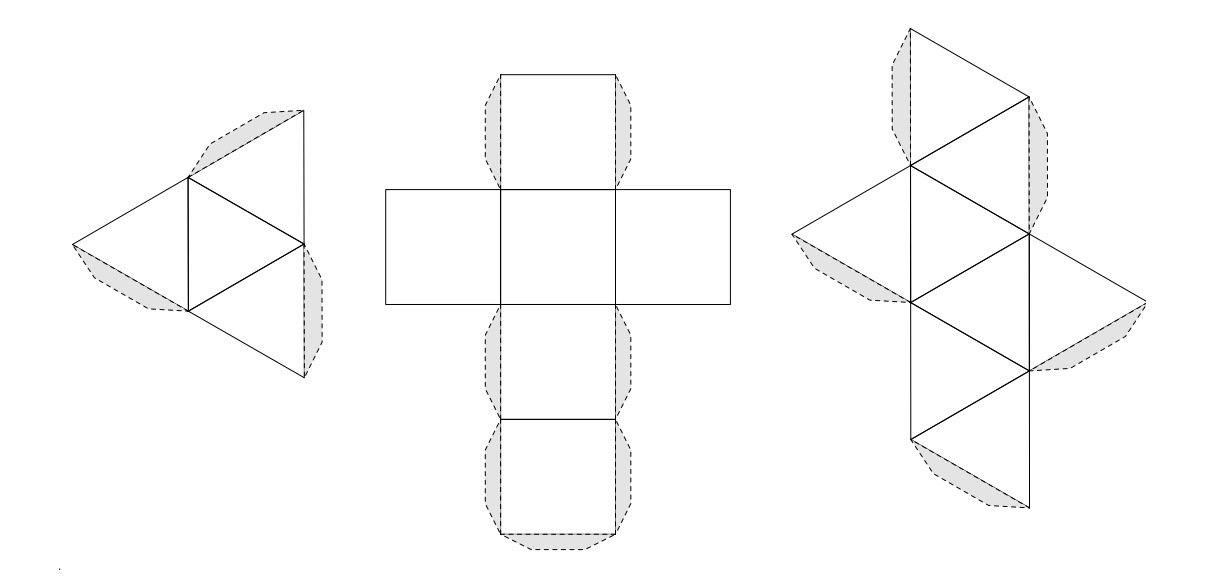
Μιά ιδιαίτερη κατηγορία πολυέδρων είναι τα Κανονικά πολύεδρα, τα αντίστοιχα στον χώρο των κανονικών πολυγώνων του επιπέδου. Αυτά ορίζονται ως τα πολύεδρα που έχουν

όλες τις έδρες τους ίσες με ένα κανονικό πολύγωνο και όλες τις δίεδρες γωνίες τους ίσες μεταξύ τους. Ενώ στο επίπεδο υπάρχουν άπειρα κανονικά πολύγωνα, στο χώρο, τα αντίστοιχά τους, που είναι τα κανονικά πολύεδρα, υπάρχουν μόνο πέντε. Αυτά είναι τα πέντε Πλατωνικά σώματα: Το κανονικό τετράεδρο, ο κύβος, και τα κανονικά οκτάεδρο, δωδεκάεδρο και εικοσάεδρο. Τα επόμενα σχήματα δίνουν εικόνες γιά την κατασκευή αυτών



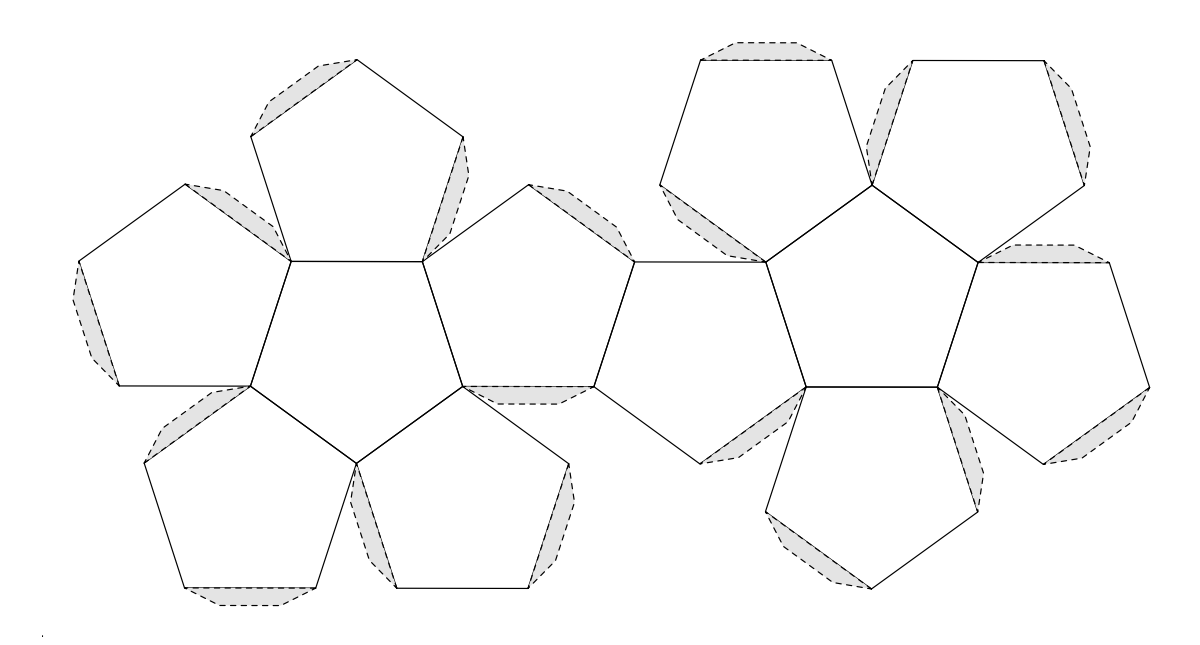
Σχήμα 652: Κανονικό δωδεκάεδρο και εικοσάεδρο

των πολυέδρων από χαρτί. Αφού σχεδιασθούν τα σχήματα στο επιθυμητό μέγεθος πρέπει να διπλωθούν κατά μήκος των ακμών που είναι κοινές σε δύο από τα πολύγωνα. Οι ακμές που είναι μόνες τους πρέπει να συγκοληθούν κάθε μία με μία αντίστοιχη που έχει ένα βοηθητικό αυτί που θα αληφθεί με κόλλα. Γιά διευκόλυνση σχεδιάζονται και τα βοηθητικά αυτιά που πρέπει να αλειφθούν με κόλλα.



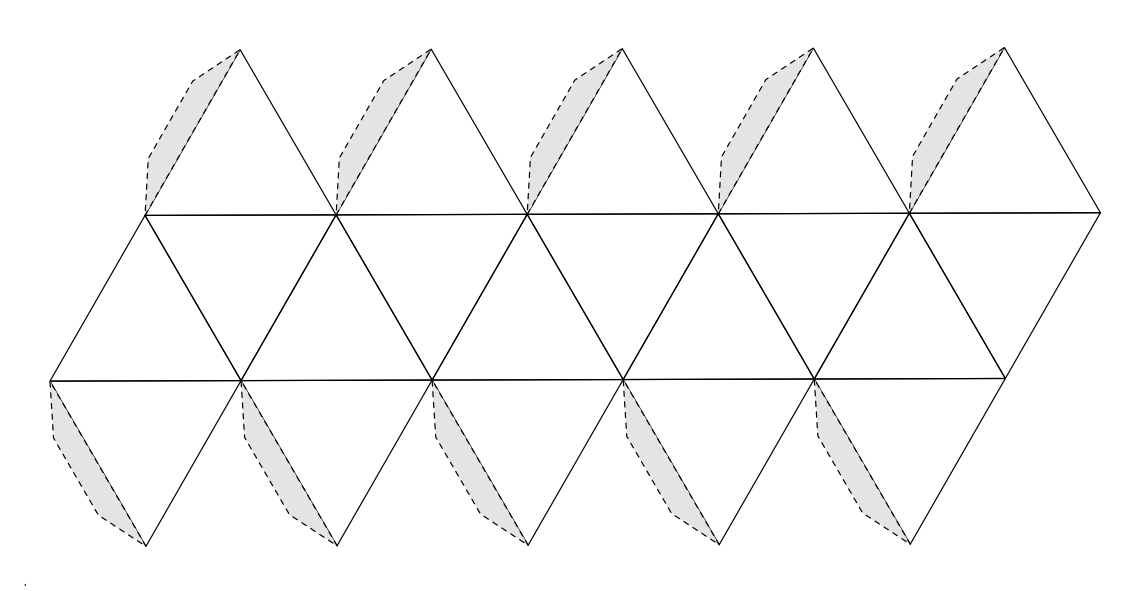
 $\Sigma \chi \acute{\eta}$ μα 653: Μοντέλα κανονικού τετραέδρου, κύβου και οκταέδρου

Ο περιορισμός σε 5 των κανονικών πολυέδρων οφείλεται στον αντίστοιχο περιορισμό γιά κανονικές πολυεδρικές γωνίες (Πρόταση 8.5.2). Το ότι υπάρχουν αυτά τα πέντε πλατωνικά σώματα είναι σχετικά εύκολο να δειχθεί. Το κανονικό τετράεδρο, ο κύβος και το κανονικό οκτάεδρο κατασκευάζονται εύκολα, με την έννοια ότι αν δοθεί ένα ορισμένο μήκος δ, κατασκευάζεται το αντίστοιχο στερεό του οποίου όλες οι ακμές να έχουν μήκος δ. Γιά το δωδεκάεδρο και το εικοσάεδρο η αντίστοιχη κατασκευή είναι πιό σύνθετη, μπορεί ωστόσο να στηριχθεί στα προτεινόμενα μοντέλα.



Σχήμα 654: Μοντέλο κανονικού δωδεκαέδρου

Η απόδειξη του ότι δεν υπάρχουν άλλα από τα 5 είναι και αυτή απλή και μπορεί να στηριχθεί στην προαναφερθείσα Πρόταση 8.5.2. Η απόδειξη θα μπορούε να σκιαγραφηθεί ως εξής. Στην αρχή κατασκευάζουμε τα πέντε σώματα με μήκος ακμής  $\delta$ . Αν υποθέσουμε ότι υπάρχει και κάποιο άλλο  $\Sigma'$  με μήκος ακμής  $\delta$ , τότε μία πολυεδρική γωνία B του  $\Sigma'$  θα πρέπει να συμπίπτει με μία από τις  $\delta$  δυνατότητες της προαναφερθήσας πρότασης. Έστω ότι συμπίπτει με την πολυεδική γωνία  $\Delta$  ενός από τα  $\delta$  συγκεκριμένα σώματα, πες του  $\delta$ . Τότε προσαρμό-

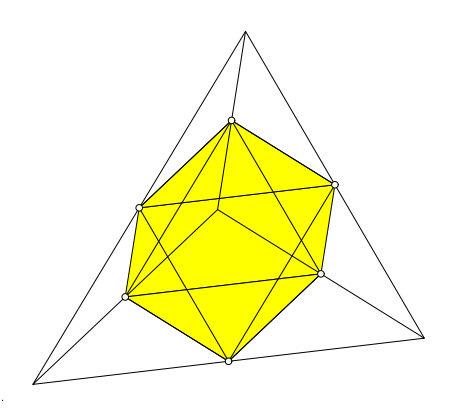


Σχήμα 655: Μοντέλο κανονικού εικοσαέδρου

ζουμε το  $\Sigma'$  πάνω στο  $\Sigma$ , έτσι ώστε η πολυεδρική γωνία B να συμπέσει με την A. Κατόπιν θα συμπέσουν και οι μη-παράπλευρες δίεδροι των A και B λόγω της ισότητας των διέδρων γωνιών (Άσκηση 8.5.1). Προχωράμε κατόπιν επαγωγικά ως προς το πλήθος των εδρών του

 $\Sigma$  γιά τις οποίες έχουμε αποδείξει την σύμπτωση με αντίστοιχες του  $\Sigma'$ , μέχρι να δείξουμε την σύμπτωση όλων των εδρών του  $\Sigma$  με αντίστοιχες του  $\Sigma'$ .

Αν και η σκιαγράφηση της προηγούμενης απόδειξης μπορεί να συμπληρωθεί σε πλήρη απόδειξη, εν τούτοις δεν κρίνω σκόπιμο, στα πλαίσια αυτού του βιβλίου, να εμβαθύνω στις διάφορες λεπτομέρειες που απαιτούνται και αφορούν στην ισότητα πολυεδρικών γωνιών και την ομοιότητα πολυέδρων.



Σχήμα 656: Οκτάεδρο από τα μέσα τετραέδρου

 ${\bf A}$ σκηση  ${\bf 8.6.1}$   $\Delta \epsilon$ ίξ $\epsilon$  ότι τα μ $\epsilon$ σα των ακμών κανονικού τ $\epsilon$ τρα $\epsilon$ δρου ορίζουν τις κορυφ $\epsilon$ ς  $\epsilon$ νός κανονικού οκτα $\epsilon$ δρου.

'Ασκηση 8.6.2  $\Delta$ είξε ότι το μέτρο  $\omega$  της διέδρου γωνίας ενός κανονικού τετραέδρου ικανοποιεί την εξίσωση συν $(\omega)=\frac{1}{3}$ .

Άσκηση 8.6.3  $\Delta \epsilon$ ίξε ότι το μέτρο  $\omega$  της διέδρου γωνίας ενός κανονικού οκταέδρου ικανοποιεί την εξίσωση ημ $(\omega)=\frac{2\sqrt{2}}{3}$ .

Άσκηση 8.6.4  $\Delta \epsilon$ ίξε ότι το μέτρο  $\omega$  της διέδρου γωνίας ενός πλατωνικού σώματος στο οποίο σε κάθε κορυφή συντρέχουν q ακμές και κάθε έδρα είναι κανονικό p-γωνο, ικανοποιεί τον τύπο

$$\eta\mu\left(\frac{\omega}{2}\right) = \frac{\eta\mu\left(\frac{\pi}{q}\right)}{\sigma \upsilon \nu\left(\frac{\pi}{p}\right)}.$$

Υπόδειξη: Παραλλαγή της Άσκησης 8.5.1.

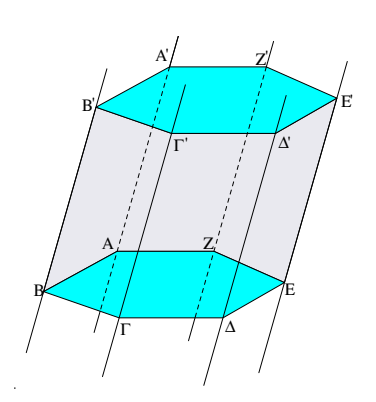
Άσχηση 8.6.5 Γιά κάθε ένα από τα Πλατωνικά σώματα να βρεθεί το πλήθος των διαφορετικών τετραέδρων, των οποίων οι κορυφές συμπίπτουν με κορυφές του σώματος.

Άσκηση 8.6.6  $\Delta \epsilon$ ίξε ότι γιά τετράεδρα των οποίων οι απέναντι ακμές είναι ασύμβατα κάθετες, τα ύψη, δηλαδή οι ευθείες από μιά κορυφή που είναι κάθετες στην απέναντι έδρα, διέρχονται όλες από κοινό σημείο.

Υπόδειξη: Χρησιμοποίησε την Πρόταση 8.2.4.

Άσκηση 8.6.7  $\Delta \epsilon$ ίξε ότι αν σε τετράεδρο δύο ζεύγη απέναντι ακμών αποτελούνται από ασύμβατα κάθετες, τότε το ίδιο συμβαίνει και με το τρίτο ζεύγος απέναντι ακμών.

### 8.7 Πρίσματα



Σχήμα 657: Πρίσμα

Η εκτεινόμενη στο άπειρο επιφάνεια, αποτελούμενη από τις λωρίδες μεταξύ των παραλλήλων ευθειών (ΑΑ΄,ΒΒ΄), (ΒΒ΄,ΓΓ΄), ... λέγεται Πρισματική επιφάνεια. Οι δίεδρες γωνίες που σχηματίζονται μεταξύ δύο διαδοχικών λωρίδων ονομάζονται Δίεδρες της πρισματικής επιφάνειας. Το στερεό που προκύπτει τέμνοντας μία πρισματική επιφάνεια με δύο παράλληλα επίπεδα λέγεται Πρίσμα. Η απόσταση αυτών των επιπέδων λέγεται Ύψος του πρίσματος. Τα πολύγωνα που ΑΒΓΔ... και Α΄Β΄Γ΄Δ΄... που ορίζονται από την τομή της πρισματικής επιφάνειας με τα παράλληλα επίπεδα είναι ίσα (Πόρισμα 7.3.2) και λέγονται Βάσεις του πρίσματος. Το πρίσμα λέγεται Κυρτό όταν το αντίστοιχο πολύγωνο της βάσης ΑΒΓΔ... είναι κυρτό. Τα ευθύγραμμα τμήματα ΑΑ΄, ΒΒ΄, ΓΓ΄, ... λέγονται Παράπλευρες ακμές του πρίσματος. Κάθε λωρίδα της πρισματικής επιφάνειας τέμνεται από τα παράλληλα επίπεδα των βάσεων κατά παραλληλόγραμμο που ονομάζεται Έδρα του πρισματος. Το πρίσμα λέγεται Ορθό όταν οι παράπλευρες ακμές είναι κάθετες στις βάσεις του. Το πρίσμα λέγεται Κανονικό όταν είναι ορθό και το πολύγωνο ΑΒΓΔ... είναι κανονικό. Δύο πρίσματα λέγονται Ίσα όταν έχουν αντίστοιχες έδρες ίσες και αντίστοιχες δίεδρες επίσης ίσες.

Ένα από τα πιό απλά πρίσματα είναι το Παραλληλεπίπεδο στο οποίο οι βάσεις είναι παραλληλόγραμμα. Δύο κορυφές που δεν έχουν κοινές ακμές λέγονται Απέναντι κορυφές του παραλληλεπιπέδου. Τα ευθύγραμμα τμήματα που ενώνουν δύο απέναντι κορυφές λέγονται Διαγώνιοι του παραλληλεπιπέδου.



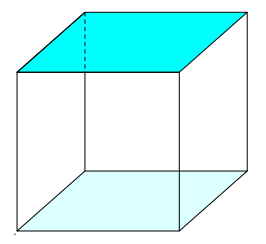
Σχήμα 658: Παραλληλεπίπεδο και ορθογώνιο παραλληλεπίπεδο

Άσκηση 8.7.1  $\Delta \epsilon$ ίξε ότι οι τέσσερις διαγώνιοι του παραλληλεπιπέδου διέρχονται από το ίδιο σημείο που τις διχοτομεί.  $\Delta \epsilon$ ίξε επίσης ότι οι διαγώνιοι του ορθογωνίου παραλληλογράμμου είναι ίσες μεταξύ τους.

'Ασκηση 8.7.2  $\Delta$ είξε ότι, εάν σε πρίσμα με τετραγωνικές βάσεις οι τέσσερις διαγώνιοι διέρχονται από το ίδιο σημείο, τότε διχοτομούνται από αυτό και το πρίσμα είναι ένα παραλληλεπίπεδο.

8.7.  $\Pi P I \Sigma M A T A$  415

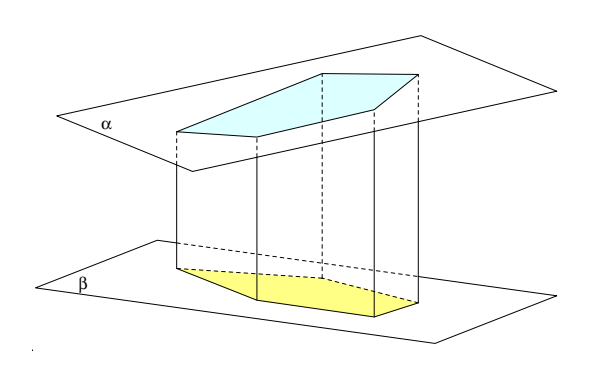
Ένα ορθό παραλληλεπίπεδο στο οποίο επιπλέον οι βάσεις είναι ορθογώνια παραλληλόγραμμα λέγεται **Ορθογώνιο παραλληλεπίπεδο**. Ο **Κύβος** είναι ένα ορθογώνιο παραλληλεπίπεδο του οποίου όλες οι έδρες είναι τετράγωνα.



Σχήμα 659: Κύβος

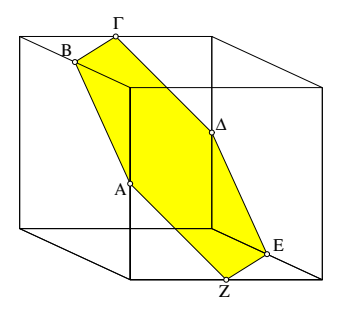
'Ασκηση 8.7.3  $\Delta \epsilon$ ίξε ότι τα τετράγωνα που αποτελούν τις έδρες του κύβου είναι ίσα μεταξύ τους.

Άσκηση 8.7.4 Δείξε ότι οι απέναντι ακμές τετραέδρου (δηλαδή ακμές που δεν έχουν κοινές κορυφές) ορίζουν δύο ασύμβατες ευθείες. Δείξε επίσης ότι η τομή τετραέδρου με επίπεδο παράλληλο προς δύο απέναντι ακμές του είναι παραλληλόγραμμο.



Σχήμα 660: Κολοβό πρίσμα

Το στερεό που προχύπτει τέμνοντας μιά πρισματική επιφάνεια με μη-παράλληλα επίπεδα λέγεται Κολοβό πρίσμα.

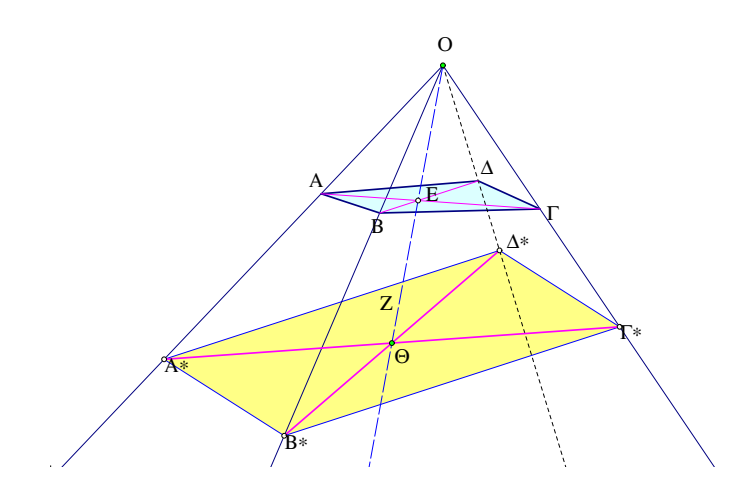


Σχήμα 661: Εξαγωνική τομή κύβου

'Ασκηση 8.7.5  $\Delta \epsilon$ ίξε ότι υπάρχει τομή του κύβου με επίπεδο που ορίζει επί του τέμνοντος επιπέδου ένα κανονικό εξάγωνο.

 $\Upsilon$ πόδειξη: Οι κορυφές του εξαγώνου είναι μέσα ακμών του κύβου. Αυτό εξασφαλίζει ότι όλες οι πλευρές του εξαγώνου είναι ίσες με το μισό της διαγωνίου της τετράγωνης έδρας του κύβου. Γιά το ότι το σχήμα είναι επίπεδο και έχει και ίσες γωνίες αρκεί να δειχθεί ότι τέσσερα διαδοχικά σημεία είναι στο ίδιο επίπεδο και σχηματίζουν τραπέζιο (όπως λ.χ. το  $AB\Gamma\Delta$  στο σχήμα-661).

'Ασκηση 8.7.6 Να τμηθεί τετραεδρική γωνία  $OAB\Gamma\Delta$  με επίπεδο κατά παραλληλόγραμμο  $A*B*\Gamma*\Delta*$ .

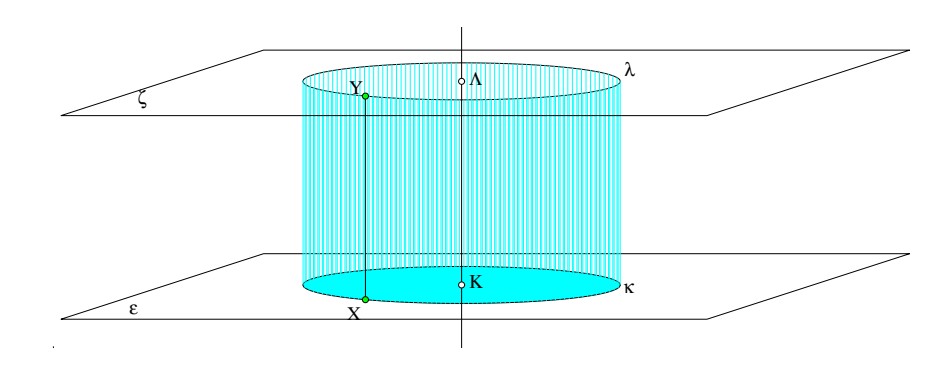


Σχήμα 662: Τομή κατά παραλληλόγραμμο

Υπόδειξη: Η τομή των επιπέδων  $OB\Delta$  και  $OA\Gamma$  είναι ευθεία που διέρχεται από το κέντρο συμμετρίας  $\Theta$  του παραλληλογράμμου. Η κατεύθυνση των διαγωνίων  $A^*\Gamma^*$  και  $B^*\Delta^*$  προσδιορίζεται από την Άσκηση 3.12.8.

8.8.  $K\Upsilon\Lambda IN\Delta PO\Sigma$  417

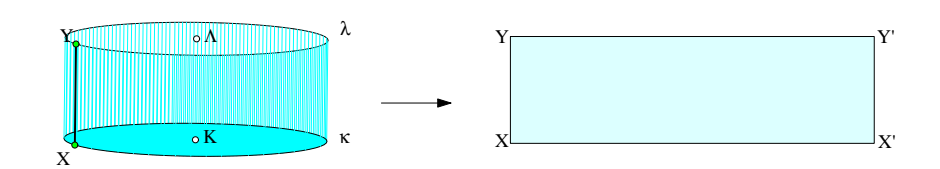
### 8.8 Κύλινδρος



Σχήμα 663: Κύλινδρος

 $\Delta o \vartheta$ έντος κύκλου κ στο επίπε $\delta o$  ε, η εκτεινόμενη στο άπειρο επιφάνεια που παράγεται από ευθεία ΧΥ κάθετη στο ε και διερχόμενη από τα σημεία Χ του κύκλου λέγεται Κυλινδρική επιφάνεια. Οι παράλληλες ευθείες ΧΥ που παράγουν την επιφάνεια λέγονται Γενέτειρες της επιφανείας και η παράλληλη αυτών από το κέντρο Κ του κύκλου λέγεται Άξονας της κυλινδρικής επιφάνειας. Γιά να τις διακρίνουμε από άλλες επιφάνειες που παράγονται με παρόμοιο τρόπο συχνά χρησιμοποιούμε τον αχριβέστερο όρο Ορθή χυχλική **κυλινδρική επιφάνεια**. Η τομή μιάς τέτοιας επιφανείας με δύο επίπεδα ε και ζ κάθετα στην γενέτειρα ορίζει ένα στερεό που ονομάζεται Κύλινδρος. Οι δύο ίσοι κύκλοι που αποτέμνουν τα επίπεδα ε και ζ από την κυλινδρική επιφάνεια λέγονται  ${f B}$ άσεις του κυ**λίνδρου**. Ενίοτε ονομάζουμε βάσεις και τα ίδια τα επίπεδα ε και ζ. Η απόσταση αυτών των επιπέδων λέγεται Ύψος του κυλίνδρου. Από τον ορισμό συνάγεται ότι ο κύλινδρος είναι το στερεό που προχύπτει περιστρέφοντας το ορ $\vartheta$ ογώνιο παραλληλόγραμμο  $\mathrm{KX}Y\Lambda$  γύρω από την πλευρά του ΚΛ. Από τον ορισμό προχύπτει επίσης αμέσως ότι οι τομές του χυλίνδρου με επίπεδα παράλληλα προς τις βάσεις του είναι κύκλοι ίσοι προς τον κ. Η ακτίνα ρ του κύκλου χ λέγεται  $\mathbf{A}$ χτίνα του χυλίνδρου.  $\Delta$ ύο χύλινδροι λέγονται  $\mathbf{I}$ σοι όταν έχουν την ίδια αχτίνα χαι το ίδιο ύψος.

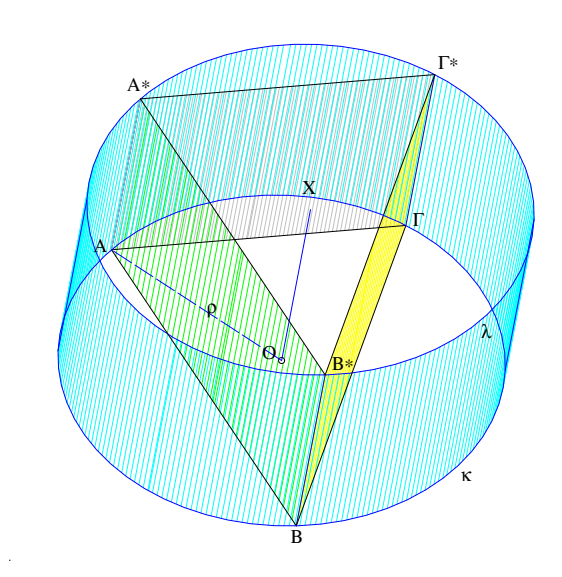
Οι κύλινδροι κατασκευάζονται εύκολα από ορθογώνια παραλληλόγραμμα XYY'X' που κάμπτουμε σε κυκλική μορφή και ταυτίζουμε (κολλάμε) τις απέναντι πλευρές τους XY και X'Y'. Αποδεικνύεται με την βοήθεια της  $\delta$ ιαφορικής  $\gamma$ εωμετρίας (θεώρημα εωρδΗαρτμανν-Νιρενβεργ [Ber02,  $\sigma$ . 77], δες και παραπομπές παραγράφου 8.9) ότι η διαδικασία αυτή διατηρεί τις αποστάσεις σημείων μεταφέροντας την ευθύγραμμη απόσταση πάνω στο επίπεδο ανάπτυγμα στο μήκος τόξου μιάς έλλικας πάνω στον κύλινδρο. Η αντίστροφη διαδικασία κατά την οποία κόβουμε έναν κύλινδρο κατά μήκος μιάς γενέτειράς του XY και τον ξετυλίγουμε σε ένα επίπεδο ορθογώνιο XYY'X' λέγεται  $\mathbf{A}$ νάπτυγμα του κυλίνδρου. Το μήκος της



Σχήμα 664: Κύλινδρου ανάπτυγμα

πλευράς XX' του αναπτύγματος είναι ίσο με την περίμετρο του κύκλου κ.  $\Sigma$ υνεπώς αν ρ είναι

η ακτίνα του κυλίνδρου τότε  $|XX'|=2\pi\rho$ . Η αντίστροφη διαδικασία είναι προφανής. Κάθε ορθογώνιο παραλληλόγραμμο XX'Y'Y μπορεί να καμφθεί και με συγκόλληση των πλευρών του XY και X'Y' να δώσει την παράπλευρη επιφάνεια ενός κυλίνδρου. Η διαδικασία αυτή χρησιμοποιείται στην βιομηχανία γιά την παραγωγή σωλήνων.



Σχήμα 665: Κύλινδρος περιγεγραμμένος τριγωνικού πρίσματος

Άσκηση 8.8.1  $\Delta$ είξε ότι κάθε ορθό τριγωνικό πρίσμα εγγράφεται σε κύλινδρο, με την έννοια ότι υπάρχει ορθός κυκλικός κύλινδρος που περιέχει τις ακμές του πρίσματος ως γενέτειρες.

Υπόδειξη: Έστω  $AB\Gamma$  το τρίγωνο της βάσης του πρίσματος και κ ο περιγεγραμμένος κύκλος του. Ο κύλινδρος με βάση τον κ και άξονα την κάθετο OX στην βάση του στο κέντρο O του κ είναι ο ζητούμενος. Τούτο διότι οι ακμές  $AA^*$ ,  $BB^*$ ,  $\Gamma\Gamma^*$  περιέχονται στον κύλινδρο.

Άσκηση 8.8.2  $\Delta \epsilon$ ίξ $\epsilon$  ότι κάθ $\epsilon$  ορθό κανονικό πρίσμα  $\epsilon$ γγρά $\phi$ εται σ $\epsilon$  κύλινδρο.

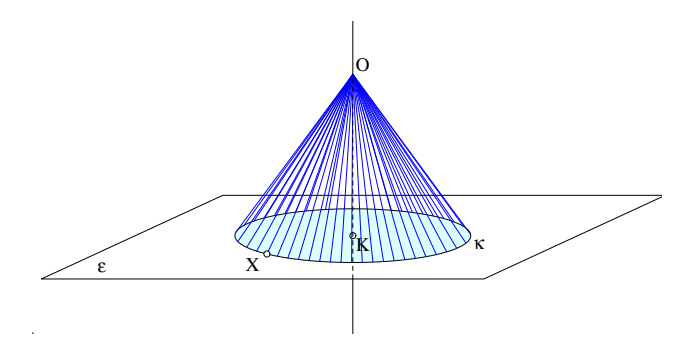
Υπόδειξη: Ανάλογη της προηγούμενης άσκησης.

Σχόλιο Με μικρές αλλαγές στην απόδειξη οι δύο προηγούμενες ασκήσεις γενικέυονται και γιά πλάγια πρίσματα των οποίων οι βάσεις είναι εγγράψιμα σε κύκλο πολύγωνα. Και γι' αυτά αποδεικνύεται ότι υπάρχει Πλάγιος κυκλικός κύλινδρος που τα περιβάλλει, δηλαδή κύλινδρος που παράγεται από παράλληλες μεταξύ τους ευθείες που ενώνουν σημεία δύο ίσων κύκλων που ευρίσκονται σε παράλληλα επίπεδα.

#### 8.9 Κώνος, Κωνική επιφάνεια

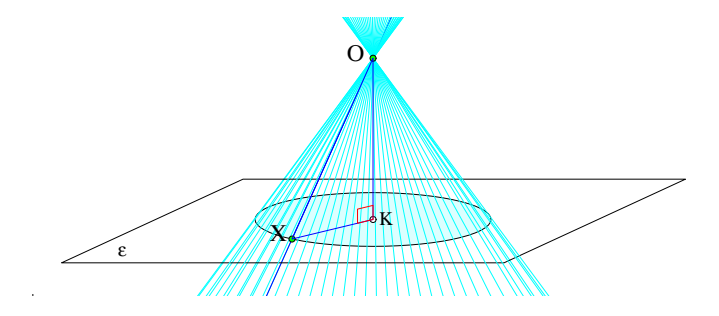
Δοθέντος κύκλου κ στο επίπεδο ε και σημείου Ο επί της ευθείας της καθέτου στο επίπεδο ε που διέρχεται από το κέντρο Κ του κύκλου (Ο διαφορετικό του Κ), ονομάζουμε Κώνο το στερεό που προκύπτει από τις ευθείες που ενώνουν το σημείο Ο με όλα τα σημεία Χ του κύκλου. Το σημείο Ο λέγεται Κορυφή του κώνου, οι ευθείες ΟΧ λέγονται Γενέτειρες του κώνου και ο κύκλος κ λέγεται Βάση του κώνου. Συχνά, γιά να διακρίνουμε αυτό το είδος του κώνου από άλλα πιό γενικά, τον ονομάζουμε Ορθό κυκλικό κώνο. Η ευθεία ΟΚ λέγεται Άξονας του κώνου. Το μήκος της λέγεται Ύψος του κώνου. Δύο κώνοι λέγονται Ίσοι όταν έχουν ίσες βάσεις και ίσα ύψη.

Από τον ορισμό συνάγεται ότι όλα τα τρίγωνα ΟΚΧ, γιά σημεία Χ επί του κύκλου κ, είναι ορθογώνια στο Κ τρίγωνα ίσα μεταξύ τους. Έτσι μπορούμε να θεωρήσουμε ότι ο κώνος είναι το στερεό που περιορίζεται από το επίπεδο ε και την επιφάνεια που διαγράφει η υποτείνουσα ΟΧ του ορθογωνίου τριγώνου ΟΚΧ καθώς περιστρέφουμε το τρίγωνο περί την κάθετο ΟΚ. Την επιφάνεια αυτή ονομάζουμε Παράπλευρη επιφάνεια του κώνου. Η επιφάνεια



Σχήμα 666: Κώνος

αυτή είναι μέρος της εκτεινόμενης στο άπειρο επιφάνειας που προκύπτει περιστρέφοντας την ευθεία-φορέα της υποτείνουσας ΟΧ του ορθογωνίου ΟΚΧ (και όχι μόνο το τμήμα της ΟΧ). Την επιφάνεια αυτή ονομάζουμε Κωνική επιφάνεια και ακριβέστερα Ορθή κυκλική κωνική επιφάνεια, γιά να την διακρίνουμε από άλλες επιφάνειες που παράγονται με παρόμοιο τρόπο. Η κωνική επιφάνεια αποτελείται από δύο χωνιά με κοινή κορυφή στο σημείο Ο.



Σχήμα 667: Ορθή κωνική επιφάνεια

Πρόταση 8.9.1 Τα ορθογώνια τρίγωνα OKX που σχηματίζονται από τα σημεία X της βάσης, το κέντρο K της βάσης και την κορυφή του κώνου, είναι όλα ίσα μεταξύ τους.

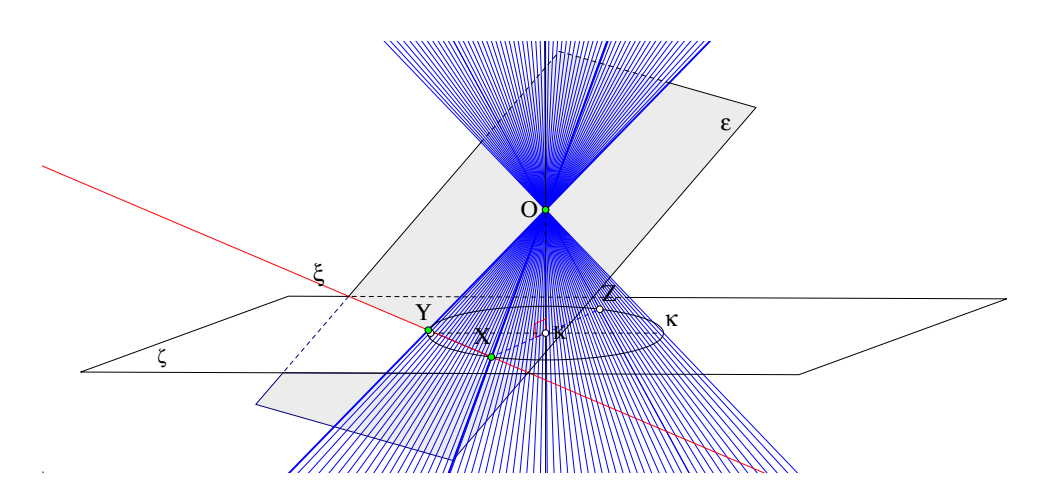
Aπόδειξη: Προφανώς, διότι έχουν κοινή την OK και ίσες τις άλλες κάθετες πλευρές τους ως ακτίνες του ίδιου κύκλου, ο.ε.δ.

Την διπλάσια της γωνίας  $\alpha$ =KOX, που είναι σταθερή γιά κάθε γενέτειρα και κάθε σημείο της X, ονομάζουμε  $\mathbf{A}$ νοιγμα ή  $\Gamma$ ωνία του κώνου.

Πρόταση 8.9.2 Η τομή κώνικής επιφάνειας με επίπεδο που είναι κάθετο στον άξονά της και δεν διέρχεται από την κορυφή της είναι κύκλος με κέντρο στον άξονά της.

Aπόδειξη: Έστω ε επίπεδο τέμνον κάθετα τον άξονα στο σημείο Κ. Έστω και X σημείο τομής μιάς γενέτειρας με το ε. Τα τρίγωνα OKX είναι ορθογώνια στο K και έχουν σταθερά και ανεξάρτητα του X τα |OK| και την γωνία  $\alpha = |XOK|$ , άρα είναι ίσα μεταξύ τους και επομένως και η  $\rho = |XK|$  είναι σταθερά. Άρα τα σημεία X περιέχονται σε κύκλο κέντρου K και ακτίνας  $\rho$ . Αντίστροφα κάθε σημείο αυτού του κύκλου ορίζει ορθογώνιο τρίγωνο XOK, με την ίδια γωνία  $\alpha = |XOK|$ , άρα περιέχεται στον κώνο, ο.ε.δ.

**Πρόταση 8.9.3** Η τομή κωνικής επιφάνειας με επίπεδο ε που διέρχεται από την κορυφή της είναι ένα ζεύγος από γενέτειρες ή μία ακριβώς γενέτειρα ή ένα και μόνο σημείο που συμπίπτει με την κορυφή της.



Σχήμα 668: Τομή κώνου με επίπεδο διά της κορυφής του

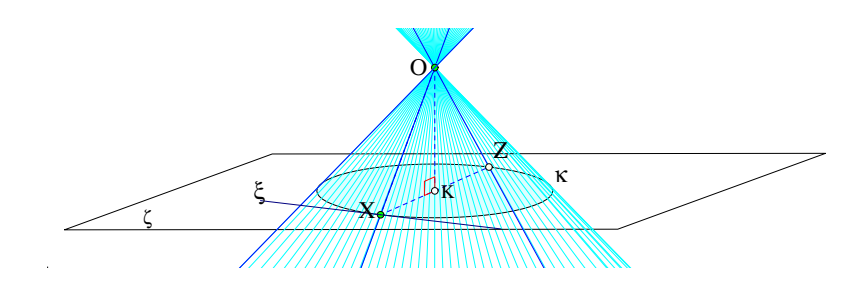
Απόδειξη: Έστω επίπεδο ζ κάθετο στον άξονα της κωνικής επιφάνειας, που, κατά την προηγούμενη πρόταση, τέμνει την τέμνει κατά κύκλο κ. Εάν το επίπεδο ε περιέχει και άλλο σημείο Χ γενέτειρας (εκτός του Ο), τότε θα περιέχει όλη την γενέτειρα και συνεπώς θα τέμνει τον κύκλο κ, αφού αυτός τέμνει κάθε γενέτειρα σε ένα ακριβώς σημείο. Βλέπουμε λοιπόν ότι οι γενέτειρες που περιέχονται στο ε αντιστοιχούν ακριβώς στα σημεία τομής του κύκλου κ και της ευθείας ξ που είναι η τομή των επιπέδων ε και ζ. Η πρόταση προκύπτει από το γεγονός ότι η ευθεία ξ και ο κύκλος κ μπορεί να έχουν δύο, ένα ή κανένα κοινό σημείο, ο.ε.δ.

Πόρισμα 8.9.1 Ένα επίπεδο που περιέχει τον άξονα του κώνου τέμνει αυτόν κατά δύο γενέτειρες συμμετρικά κείμενες ως προς τον άξονα.

Aπόδειξη: Από την υπόθεση έπεται ότι η ευθεία ξ τομή των επιπέδων ε και ζ της (απόδειξης της) προηγούμενης πρότασης διέρχεται τότε από το κέντρο του κύκλου κ και τον τέμνει κατά δύο αντιδιαμετρικά σημεία X και Z, εξ ού και το συμπέρασμα, ο.ε.δ.

Ονομάζουμε Εφαπτόμενο επίπεδο του κώνου ένα επίπεδο που έχει κοινή με τον κώνο μία ακριβώς γενέτειρα.

Πρόταση 8.9.4 Ένα επίπεδο ε είναι εφαπτόμενο του κώνου τότε ακριβώς όταν περιέχει μία γενέτειρα η του κώνου και είναι κάθετο στο επίπεδο θ που παράγεται από την γενέτειρα η και τον άξονα ΟΚ του κώνου.

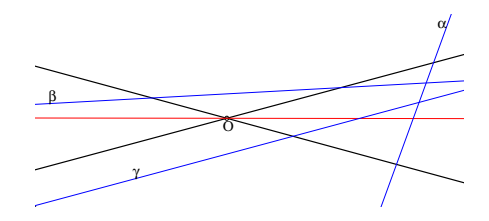


Σχήμα 669: Επίπεδο εφαπτόμενο κώνου

Απόδειξη: Εξ ορισμού το εφαπτόμενο επίπεδο ε χώνου περιέχει μία αχριβώς γενέτειρά του η. Φέρουμε επίπεδο ζ χάθετο στον άξονα του χώνου που τον τέμνει χατά χύχλο χ. Έστω χαι ξ η ευθεία τομή του ε χαι του ζ. Οι γενέτειρες του χώνου που περιέχονται στο ε αντιστοιχούν αχριβώς στα σημεία τομής της ευθείας ξ με τον χύχλο χ. Αν λοιπόν υπάρχει ένα μόνο σημείο τομής X, τότε η ξ θα είναι εφαπτόμενη στον χ στο X χαι η ξ θα είναι χάθετη στην αχτίνα KX του χύχλου χ χαι (ασύμβατα) χάθετη στον άξονα του χώνου, άρα η ξ θα είναι χάθετη χαι στο επίπεδο της η=ΟX χαι του άξονα. Το ε, ως περιέχον την ξ, θα είναι συνεπώς χαι αυτό χάθετο στο επίπεδο των η χαι OK. Ο συλλογισμός αντιστρέφεται χαι δείχνει την αλήθεια της πρότασης, ο.ε.δ.

Πρόταση 8.9.5  $\Delta$ οθείσης κωνικής επιφάνειας  $\Sigma$ , κάθε επίπεδο  $\varepsilon$  του χώρου τέμνει την  $\Sigma$  και μάλιστα τέμνει ή (a) όλες τις γενέτειρές της ή (β) όλες εκτός δύο ή (γ) όλες εκτός μίας.

Απόδειξη: Φέρε από την κορυφή O της κωνικής επιφάνειας επίπεδο ε΄ παράλληλο του ε. Υπάρχουν τρεις περιπτώσεις (Πρόταση 8.9.3): (α) το ε΄ έχει κοινό με την  $\Sigma$  μόνο το O, (β) το ε΄ τέμνει την  $\Sigma$  κατά δύο γενέτειρες, (γ) το ε΄ τέμνει την  $\Sigma$  κατά μία γενέτειρα.  $\Sigma$ την πρώτη περίπτωση, αφού το ε΄ τέμνει όλες τις γενέτειρες, χωρίς να περιέχει καμία τους, το ίδιο θα κάνει και το παράλληλο επίπεδο ε.  $\Sigma$ την δεύτερη περίπτωση το ε΄ θα τέμνει όλες τις γενέτειρες χωρίς να τις περιέχει, εκτός των δύο συγκεκριμένων, που περιέχει. Άρα το παράλληλο επίπεδο ε θα τέμνει και αυτό όλες τις γενέτειρες εκτός των δύο που περιέχονται στο ε΄.  $\Sigma$ την τρίτη περίπτωση, το ε΄ θα περιέχει μία ακριβώς γενέτειρα (άρα θα είναι εφαπτόμενο της  $\Sigma$ ) και το παράλληλό του θά τέμνει όλες τις άλλες εκτός αυτής προς την οποία θα είναι παράλληλο, ο.ε.δ.

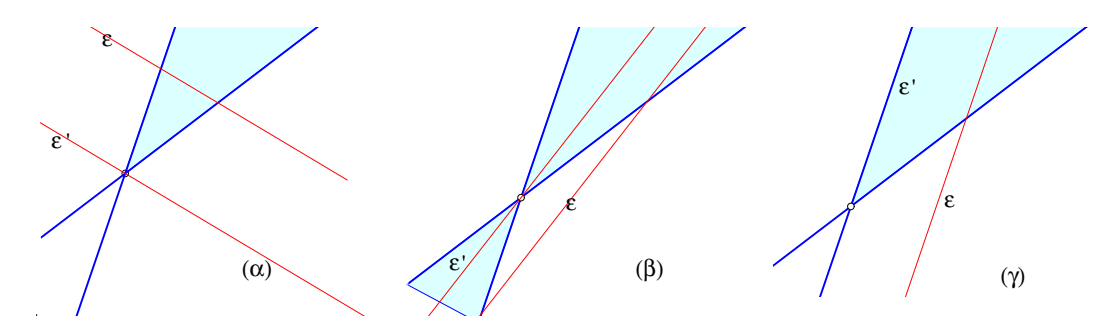


Σχήμα 670: Τομή κωνικής επιφάνειας με επίπεδο διά του άξονος

Σχόλιο  $\Sigma$ υχνά είναι χρήσιμο να χρησιμοποιούμε μιάν αναλογία που υπάρχει μεταξύ της κωνικής επιφάνειας  $\Sigma$  και του επίπεδου σχήματος που προκύπτει τέμνοντας την  $\Sigma$  με επίπεδο  $\vartheta$  που διέρχεται από τον άξονά της. Το σχήμα αυτό (σχήμα-670 στο οποίο το  $\vartheta$  ταυτίζεται με το επίπεδο του χαρτιού) αποτελείται από δύο γενέτειρες των οποίων μία από τις διχοτόμους της γωνίας που σχηματίζουν είναι ο άξονας της  $\Sigma$ . Έτσι λ.χ. στην τελευταία πρόταση αντιστοιχεί το επίπεδο σχήμα με τις ευθείες α,  $\beta$  και  $\gamma$  να περιγράφουν το ανάλογο των τριών περιπτώσεων (α), ( $\beta$ ) και ( $\gamma$ ), κατά τις οποίες το τέμνον την  $\Sigma$  επίπεδο ε συναντά (α) όλες ( $\beta$ ) όλες εκτός δύο και ( $\gamma$ ) όλες εκτός μίας γενέτειρες της  $\Sigma$ .

Πόρισμα 8.9.2  $\Delta$ οθείσης κωνικής επιφάνειας  $\Sigma$ , αν το επίπεδο  $\varepsilon$  δεν διέρχεται από την κορυφή της O αλλά τέμνει όλες τις γενέτειρες ή όλες εκτός μίας, τότε η τομή της  $\Sigma$  και του ε περιέχεται στο ένα από τα δύο χωνιά της  $\Sigma$ . Άν το ε τέμνει όλες εκτός από δύο γενέτειρες της  $\Sigma$ , τότε τέμνει και τα δύο χωνιά της  $\Sigma$ .

Απόδειξη: Από την απόδειξη της Πρότασης 8.9.5 είδαμε ότι το παράλληλο επίπεδο ε΄ του ε που διέρχεται από το O στις περιπτώσεις (α) και (γ) δεν περιέχει καμία γενέτειρα, αντίστοιχα είναι εφαπτόμενο μιάς γενέτειρας η. Συνεπώς το παράλληλό του ε στην πρώτη περίπτωση θα τέμνει ένα από τα δύο χωνιά. Στην δεύτερη περίπτωση το ε θα είναι παράλληλο προς το εφαπτόμενο επίπεδο ε΄ το οποίο περιέχει το κάθε χωνί σε διαφορετική πλευρά του. Άρα το ε θα τέμνει τό ένα μόνο χωνί. Τέλος στην περίπτωση που το ε΄ περιέχει δύο γενέτειρες α και β, αυτές χωρίζουν όλες τις άλλες που περιέχονται στο ίδιο χωνί σε δύο ομάδες και το ε θα τέμνει τις γενέτειρες της μιάς ομάδας στο ένα χωνί και τις γενέτειρες της άλλης ομάδος στο άλλο χωνί. Η επόμενη εικόνα δείχνει το ανάλογο επίπεδο σχήμα που προκύπτει, σύμφωνα με το προηγούμενο σχόλιο. Το σκιασμένο χωρίο αντιστοιχεί στο χωνί που τέμνει το επίπεδο ε, ο.ε.δ.

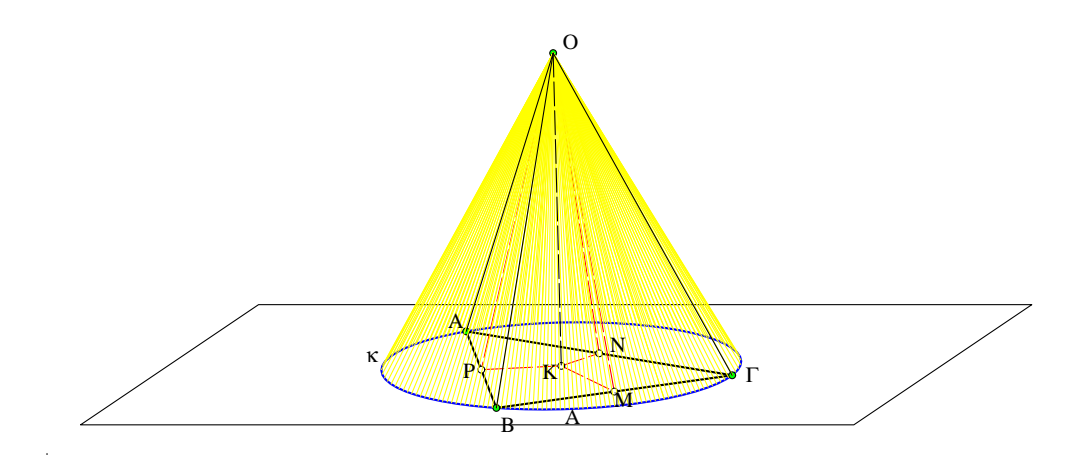


Σχήμα 671: Τομή κωνικής επιφάνειας με επίπεδο ε

Μία πολυεδρική γωνία ΟΧΥΖ... λέγεται Εγγεγραμμένη σε κώνο ή ότι Εγγράφεται σε κωνική επιφάνεια όταν υπάρχει κωνική επιφάνεια της οποίας η κορυφή συμπίπτει με το Ο και ταυτόχρονα οι ακμές της πολυεδρικής γωνίας είναι γενέτειρες τής κωνικής επιφάνειας.

**Πρόταση 8.9.6** Κάθε τρίεδρος  $O\!X\!Y\!Z$  εγγράφεται σε ορθή κυκλική κωνική επιφάνεια.

Aπόδειξη: Έστω η τρίεδρος OXYZ. Πάρε σημεία  $A,B,\Gamma$  επί των ακμών της ισαπέχοντα από την κορυφή της  $|AO|=|BO|=|\Gamma O|=\delta$ . Θεώρησε κατόπιν τα μεσοκάθετα επίπεδα των ευθυγράμμων τμημάτων  $AB,\ B\Gamma$  και  $\Gamma A$ . Τα επίπεδα αυτά διέρχονται και τα τρία από την ευθεία OK που είναι η κάθετη στο επίπεδο  $AB\Gamma$  από το O. Αυτό προκύπτει από το ότι τα



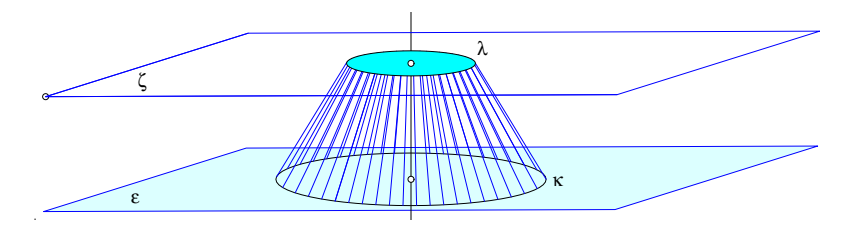
Σχήμα 672: Περιγεγραμμένος κώνος τριέδρου

Η κωνική επιφάνεια, την ύπαρξη της οποίας εξασφαλίζει η προηγούμενη πρόταση, λέγεται Περιγεγραμμένη κωνική επιφάνεια της τριέδρου. Αντίστοιχα ορίζεται και η Εγγεγραμμένη κωνική επιφάνεια της τριέδρου, ως η ορθή κυκλική κωνική επιφάνεια που εφάπτεται και των τριών εδρών της τριέδρου. Στην συνέχεια θα δούμε (Άσκηση 8.11.7) ότι κάθε τρίεδρος έχει όντως μιά εγγεγραμμένη κωνική επιφάνεια.

'Ασκηση 8.9.1  $\Delta$ είξε ότι κάθε κανονική πυραμίδα εγγράφεται σε ορθό κυκλικό κώνο.  $\Delta$ ηλαδή, υπάρχει κώνος με κορυφή την κορυφή της πυραμίδας που περιέχει τις ακμές της πυραμίδας ως γενέτειρες.

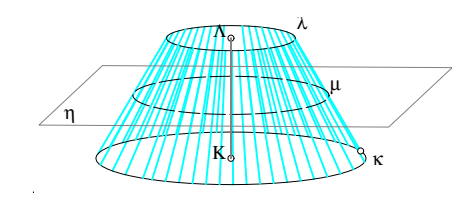
### 8.10 Κόλουρος Κώνος, Ανάπτυγμα κώνου

Δοθέντος κύκλου κ στο επίπεδο ε και σημείου Ο επί της ευθείας της καθέτου στο επίπεδο ε που διέρχεται από το κέντρο Κ του κύκλου (Ο διαφορετικό του Κ), Ονομάζουμε Κόλουρο κώνο το στερεό που αποτέμνεται από κώνο με επίπεδο ζ παράλληλο προς την βάση του ε και μη διερχόμενο από την κορυφή του Ο. Η τομή του επιπέδου ζ με την αντίστοιχη κωνική



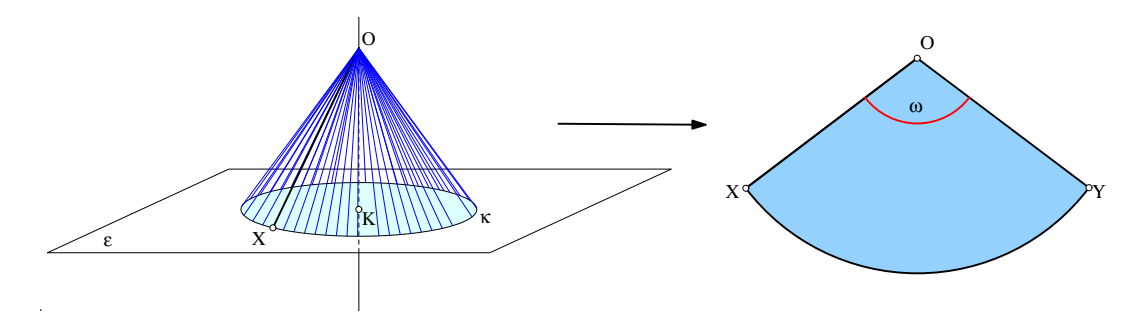
Σχήμα 673: Κόλουρος κώνος

επιφάνεια του κώνου είναι κύκλος λ περιεχόμενος στο επίπεδο ζ με κέντρο επί του άξονος του κώνου (Άσκηση 8.9.2). Οι δύο κύκλοι κ και λ (καθώς και τα επίπεδα ε και ζ) που ορίζουν τον κόλουρο κώνο λέγονται **Βάσεις του κόλουρου κώνου**. Η απόσταση των επιπέδων ε και ζ λέγεται **Ύψος του κόλουρου κώνου**. Δύο κόλουροι κώνοι λέγονται **Ίσοι** όταν έχουν ίσες αντίστοιχες βάσεις και ίσα ύψη. Ο κύκλος μ που προκύπτει ως τομή του κώνου με το επίπεδο η που είναι παράλληλο προς την βάση και διέρχεται από το μέσον του ύψους του ΚΛ λέγεται **Μεσαία τομή** του κόλουρου κώνου.



Σχήμα 674: Μεσαία τομή κόλουρου κώνου

Κώνοι και κόλουροι κώνοι χρησιμοποιούνται σε πολλές τεχνικές εφαρμογές. Κατασκευάζονται εύκολα από κυκλικούς τομείς (Παράγραφος 6.6) συγκολλώντας την αρχική και τελική ακτίνα αυτών. Πράγματι, αποδεικνύεται με την βοήθεια της διαφορικής γεωμετρίας (Θεώρημα του Minding(1806-1885) [dC76, σ. 289], Theorema Eggregium του Gauss, [MP77, σ. 161],[ST76, σ. 206]), ότι αν κόψουμε ένα κώνο κατά μήκος μιάς γενέτειράς του ΟΧ μπο-



Σχήμα 675: Ανάπτυγμα του κώνου

ρούμε να τον ξεδιπλώσουμε κατόπιν στο επίπεδο και να πάρουμε έναν κυκλικό τομέα  ${\rm OX}Y,$ 

του οποίου το κέντρο αντιστοιχεί στην κορυφή Ο του κώνου και το τόξο του κυκλικού τομέα αντιστοιχεί στην βάση του κώνου και έχει το μήκος που έχει ο κύκλος της βάσης του κώνου. Ο τομέας αυτός λέγεται Ανάπτυγμα του κώνου. Όπως αποδεικνύεται αυτή η διαδικασία διατηρεί τις αποστάσεις και τα εμβαδά, με την έννοια ότι δύο σημεία του κώνου ορίζουν πάνω στον κώνο ένα συντομώτερο δρόμο που τα συνδέει και κατά το ανάπτυγμα ο δρόμος αυτός αντιστοιχεί σε ένα ευθύγραμμο τμήμα. Επίσης ορίζεται εμβαδόν σχημάτων πάνω στον κώνο και κατά το ανάπτυγμα τα σχήματα αυτά αντιστοιχούν σε επίπεδα σχήματα με το ίδιο εμβαδόν.

Τα στοιχεία του αναπτύγματος υπολογίζονται εύκολα από αυτά του κώνου. Έτσι η ακτίνα του τομέα είναι  $\rho=|OX|$ . Το μήκος του τόξου του τομέα σχετίζεται με το μήκος της γενέτειρας |OX| του κώνου και το άνοιγμά του. Άν συμβολίσουμε με  $\omega=|XOY|$  το μέτρο της επίκεντρης γωνίας του τομέα σε ακτίνια, τότε το μήκος του τόξου είναι  $\sigma=|XY|=\rho\cdot\omega$ . Από την άλλη μεριά το ίδιο μήκος  $\sigma$  έχει και ο κύκλος κ της βάσης του κώνου, του οποίου η ακτίνα ισούται με

$$r = \rho \eta \mu(\frac{\alpha}{2}),$$

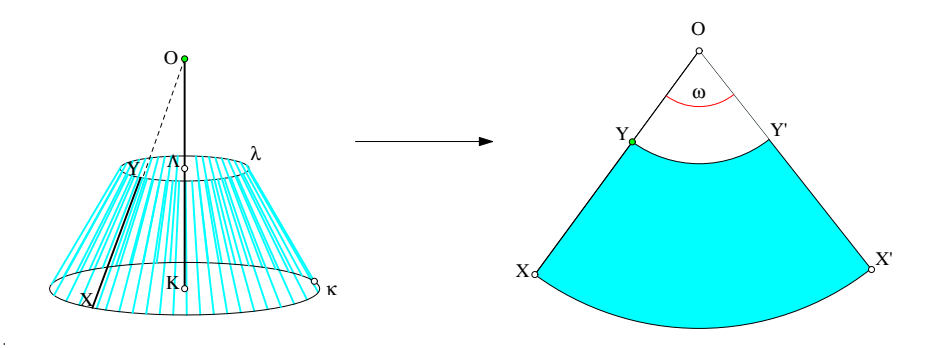
όπου α είναι το άνοιγμα του κώνου. Έτσι θα έχουμε συνολικά

$$\sigma = |XY| = \rho \cdot \omega = 2\pi r = 2\pi \rho$$
ημ $(\frac{\alpha}{2})$ .

Απλοποιώντας την σχέση βλέπουμε ότι η γωνία ω του αναπτύγματος εξαρτάται αποκλειστικά και μόνον από το άνοιγμα α του κώνου (όλες οι μετρήσεις σε ακτίνια)

$$\omega = 2\pi \, \eta \mu(\frac{\alpha}{2}).$$

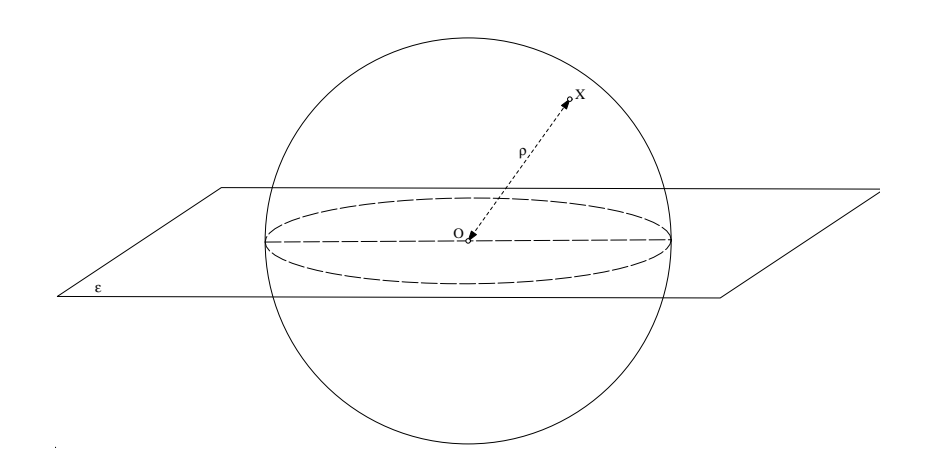
Στην αντίστροφη διαδικασία, της κατασκευής του κώνου από τον κυκλικό τομέα XOY, τυλίγουμε τον τομέα ταυτίζοντας (κολλώντας) τις ακτίνες του OX και OY. Ο προσδιορισμός του ανοίγματος α του κώνου από την γωνία ω του τομέα οδηγεί στην λύση της τελευταίας εξίσωσης ως προς α, που γίνεται μέσω της λεγόμενης αντίστροφης συνάρτησης του ημιτόνου, ένα θέμα που εξετάζεται στον A πεφοστικό A ογισμό. Η ίδια διαδικασία οδηγεί και στο ανάπτυγμα του κόλουρου κώνου. Ο κώνος κόβεται πάλι κατά μήκος μιάς γενέτειρας XY



Σχήμα 676: Ανάπτυγμα του κόλουρου κώνου

και ξετυλίγεται στο επίπεδο σχηματίζοντας ένα τομέα κυκλικού δακτυλίου. Οι υπολογισμοί των σχέσεων μεταξύ του κόλουρου κώνου και του αντίστοιχου επιπέδου σχήματος είναι ανάλογοι των προηγουμένων. Παρόμοια είναι και η αντίστροφη διαδικασία της παραγωγής του κόλουρου κώνου από το επίπεδο σχήμα.

### 8.11 Σφαίρα

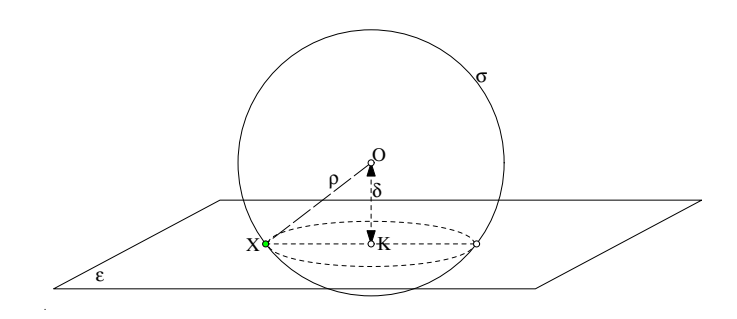


Σχήμα 677: Σφαίρα

 $\Delta$ οθέντος σημείου O στον χώρο και μήκους  $\rho$ , ονομάζουμε  $\Sigma$ φαίρα κέντρου O και ακτίνας  $\rho$  τον γεωμετρικό τόπο των σημείων X του χώρου γιά τα οποία ισχύει

$$|OX| = \rho$$
.

Πρόταση 8.11.1 Τα κοινά σημεία σφαίρας σ και επιπέδου  $\varepsilon$ , που την τέμνει, είναι ή ένας κύκλος του  $\varepsilon$  ή ένα σημείο του  $\varepsilon$ .



Σχήμα 678: Τομή σφαίρας και επιπέδου

Aπόδειξη: Το κλειδί του θέματος είναι η απόσταση δ = |OK| του κέντρου O από το επίπεδο. Αυτή ορίζεται φέρνοντας την κάθετο από το O στο επίπεδο και ορίζοντας επ' αυτής το ευθύγραμμο τμήμα OK, όπου K η προβολή του O επί του E. Υπάρχουν οι εξής δυνατότητες σχετικά με το μήκος δ και την ακτίνα  $ρ: (1) δ=0, (2) δ \neq 0$  και δ < ρ, (3) δ=ρ, (4) δ > ρ.

(1) Στην περίπτωση αυτή  $(\delta=0)$  το επίπεδο διέρχεται από το κέντρο Ο της σφαίρας (K=0) και τα κοινά σημεία ταυτίζονται με τα σημεία του κύκλου κέντρου Ο και ακτίνας

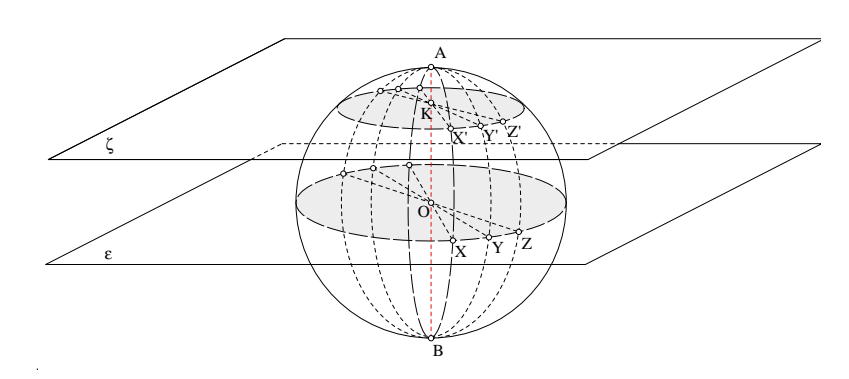
8.11.  $\Sigma \Phi A IPA$ 

ρ του επιπέδου. Ένας τέτοιος χύκλος λέγεται **Μέγιστος κύκλος** της σφαίρας. Κάθε επίπεδο διερχόμενο διά του κέντρου της σφαίρας ορίζει μέσω της τομής του με αυτήν έναν τέτοιο χύκλο.

- (2) Στην περίπτωση αυτή  $(\delta < \rho)$  υπάρχουν σημεία του επιπέδου X σε απόσταση  $|XK| = \sqrt{\rho^2 \delta^2}$ , γιά τα οποία, από το Πυθαγόρειο θεώρημα προκύπτει ότι  $|XO| = \rho$ , που σημαίνει ότι είναι και επί της σφαίρας. Με το ίδιο επιχείρημα βλέπουμε εύκολα ότι ο κύκλος του ε με κέντρο K και ακτίνα  $r = \sqrt{\rho^2 \delta^2}$  ταυτίζεται με την τομή του επιπέδου και της σφαίρας. Τέτοιοι κύκλοι λέγονται  $\mathbf{M}$ **ικροί κύκλοι** ή  $\mathbf{E}$ λάσσονες κύκλοι ή  $\mathbf{\Pi}$ αράλληλοι κύκλοι της σφαίρας. Το χαρακτηριστικό τους είναι ότι προκύπτουν από επίπεδα που τέμνουν την σφαίρα, όμως δεν διέρχονται από το κέντρο της. Το ότι  $r < \rho$  δικαιολογεί την ονομασία τους, καθώς και την ονομασία των κύκλων της περίπτωσης (1).
- (3) Στην περίπτωση αυτή  $(\delta=\rho)$  η απόσταση από το επίπεδο ισούται με την ακτίνα και το K είναι σημείο της σφαίρας. Γιά κάθε άλλο σημείο X του επιπέδου το τρίγωνο XKO θα είναι ορθογώνιο στο K και η απόστασή του από το O είναι  $|XO|=\sqrt{|XK|^2+\rho^2}>\rho$ , άρα το σημείο δεν περιέχεται στην σφαίρα. Ένα τέτοιο επίπεδο λέγεται Εφαπτόμενο επίπεδο της σφαίρας. Το μοναδικό κοινό σημείο K του επιπέδου αυτού με την σφαίρα λέγεται Σημείο επαφής του εφαπτομένου επιπέδου με την σφαίρα.
- (4) Στην περίπτωση αυτή  $(\delta > \rho)$  η σφαίρα και το επίπεδο δεν έχουν κοινά σημεία, αφού γιά κάθε άλλο σημείο X του επιπέδου θα ισχύει  $|XO| > |XK| > \rho$ , ο.ε.δ.

**Πόρισμα 8.11.1** Κάθε εφαπτόμενο επίπεδο της σφαίρας είναι κάθετο στην ακτίνα της προς το σημείο επαφής του με την σφαίρα. Αντίστροφα, κάθε επίπεδο κάθετο στο άκρο ακτίνος της σφαίρας είναι εφαπτόμενο της σφαίρας.

Aπόδειξη: Δείξαμε στην προηγούμενη πρόταση ότι όταν  $|OK|=\rho$ , δηλαδή η απόσταση του κέντρου από το επίπεδο ισούται με την ακτίνα της σφαίρας, τότε το επίπεδο εφάπτεται της σφαίρας και έχει κοινό με αυτήν μόνο το K. Αντίστροφα, αν το επίπεδο ε είναι κάθετο στο άκρο K μιάς ακτίνας OK της σφαίρας, τότε, κατά το  $\Pi$ υθαγόρειο θεώρημα, όλα τα άλλα σημεία X του επιπέδου θα έχουν  $|OX|>|OK|=\rho$ , άρα το K θα είναι το μοναδικό κοινό σημείο του ε με την σφαίρα, ο.ε.δ.

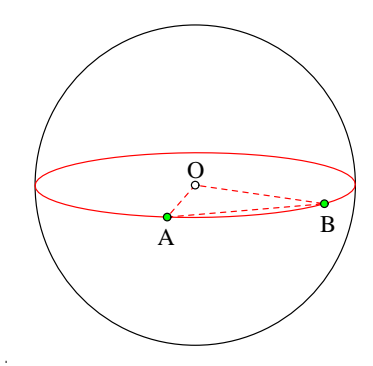


Σχήμα 679: Σφαίρα εκ περιστροφής ημικυκλίου ΑΧΒ

Είναι εύχολο να δούμε ότι η σφαίρα παράγεται από ένα ημιχύχλιο ΑΧΒ το οποίο περιστρέφουμε περί την διάμετρό του ΑΒ. Το μέσον Χ του τόξου ΑΒ διαγράφει κατά την περιστροφή ένα μέγιστο χύχλο της σφαίρας. Κάθε άλλο σημείο Χ΄ του τόξου, διαφορετικό των Α και Β, διαγράφει ένα παράλληλο χύχλο. Τα σημεία Α και Β ορίζουν τον άξονα περιστροφής και παραμένουν σταθερά ορίζοντας επίσης μία διάμετρο της παραγόμενης σφαίρας. Οι χύχλοι που

διαγράφουν τα σημεία Χ΄ του τόξου ΑΧΒ περιέχονται όλοι σε παράλληλα επίπεδα τα οποία είναι κάθετα στην διάμετρο ΑΒ. Τα σημεία Α και Β είναι οι πόλοι όλων αυτών των κύκλων. Γενικά γιά έναν κύκλο περιεχόμενο σε μιά σφαίρα ονομάζουμε Πόλους του κύκλου τα άκρα της διαμέτρου της σφαίρας που είναι κάθετη στο επίπεδο του κύκλου. Δύο σημεία της σφαίρας που είναι άκρα μιάς διαμέτρου της τα ονομάζουμε Αντιδιαμετρικά.

Σχόλιο-1 Αποδεικνύεται με τα μέσα της  $\Delta$ ιαφορικής  $\Gamma$ εωμετρίας([dC76,  $\sigma$ . 246]) ότι πάνω στην επιφάνεια της σφαίρας ο συντομότερος δρόμος μεταξύ δύο σημείων της A και B είναι κατά μήκος ενός εκ των τόξων AB που ορίζονται επί του μεγίστου κύκλου που διέρχεται από τα A και B. Όταν τα A και B δεν είναι αντιδιαμετρικά, τότε τα σημεία A, B και O, όπου O το κέντρο της σφαίρας, δεν είναι συγγραμμικά. Ορίζουν συνεπώς αυτά τα τρία σημεία ένα ακριβώς επίπεδο AOB που τα περιέχει και ένα ακριβώς μέγιστο κύκλο που περιέχει τα A και B. Εάν επιτρέπεται να κινούμεθα και εκτός της επιφανείας της σφαίρας, τότε ο συντομότερος



Σχήμα 680: Μέγιστος κύκλος οριζόμενος από τα Α,Β

δρόμος μεταξύ των Α και Β είναι το ευθύγραμμο τμήμα ΑΒ. Αν όμως δεν επιτρέπεται η έξοδος από την επιφάνεια της σφαίρας, τότε η απόσταση μετρούμενη επί της επιφανείας, ταυτίζεται, όπως ανέφερα με το μήκος ενός εκ των τόξων του μεγίστου κύκλου που ορίζεται από τα Α και Β. Αυτό συμβαίνει λ.χ. επί γής, που είναι κατά προσέγγιση σφαίρα. Οι συντομότερες πλεύσεις μεταξύ δύο σημείων Α και Β του ωκεανού είναι κατά μήκος μεγίστου κύκλου που ορίζεται από τα Α, Β και το κέντρο Ο της γης. Όταν τα Α και Β είναι αντιδιαμετρικά, τότε όλα τα επίπεδα που περιέχουν τα Α και Β διέρχονται από το κέντρο της σφαίρας. Κάθε ένα τέτοιο επίπεδο ορίζει και ένα μέγιστο κύκλο και ο συντομότερος δρόμος μεταξύ των Α και Β, σε αυτήν την περίπτωση, δεν είναι μοναδικός. Οποιοδήποτε ημικύκλιο ενός μεγίστου κύκλου διά των Α,Β δίδει την συντομώτερη διαδρομή μεταξύ των Α και Β.

Αν εξαιρέσουμε αυτήν την περίπτωση των αντιδιαμετρικών σημείων, υπάρχει μιά ομοιότητα μεταξύ των μεγίστων κύκλων της σφαίρας και των ευθειών του επιπέδου. Όπως και στο επίπεδο, έτσι και στην σφαίρα, γιά κάθε ζεύγος (μη αντιδιαμετρικών) σημείων Α και Β υπάρχει ένας ακριβώς μέγιστος κύκλος που διέρχεται από αυτά. Τα ευθύγραμμα τμήματα του επιπέδου αντιστοιχούν σε τόξα μεγίστων κύκλων, τα οποία υλοποιούν τις συντομότερες συνδέσεις μεταξύ σημείων της σφαίρας.

'Ασκηση 8.11.1  $\Delta \epsilon$ ίξε ότι το μεσοκάθετο επίπεδο χορδής AB της σφαίρας διέρχεται από το κέντρο της.

 $\Upsilon$ πόδειξη: Προφανώς, αφού το μεσοκάθετο επίεπεδο είναι ο γεωμετρικός τόπος των σημείων που ισαπέχουν από τα άκρα A,B της χορδής και το κέντρο O της σφαίρας έχει αυτήν την ιδιότητα.

8.11.  $\Sigma \Phi A IPA$ 

'Ασκηση 8.11.2  $\Delta \epsilon$ ίξε ότι τα μέσα παραλλήλων χορδών της σφαίρας περιέχονται σε επίπεδο που διέρχεται από το κέντρο της σφαίρας.

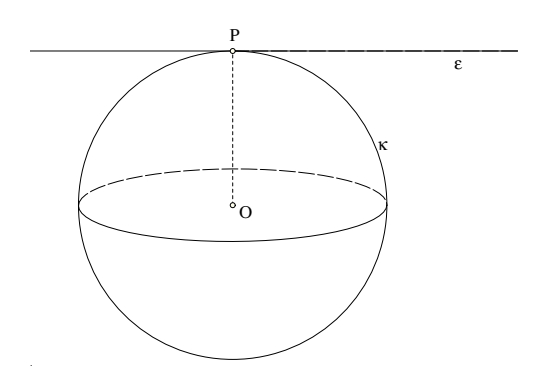
Υπόδειξη: Θεώρησε μία από τις παράλληλες χορδές, την AB και το μεσοκάθετο επίπεδό της ε. Αυτό, κατά την προηγούμενη άσκηση θα περνά από το κέντρο O της σφαίρας. Μιά άλλη παράλληλη της AB χορδή  $\Gamma\Delta$  θα είναι επίσης κάθετη στο ε (Πρόταση 7.5.3). Επομένως, αν M το σημείο τομής της  $\Gamma\Delta$  με το ε, η OM που περιέχεται στο ε θα είναι κάθετη στην  $\Gamma\Delta$ , άρα το M θα είναι το μέσον της, αφού το  $O\Gamma\Delta$  είναι ισοσκελές.

Άσκηση 8.11.3 Δείξε ότι γιά τρία σημεία A,B και  $\Gamma$  της σφαίρας η ευθεία η κάθετη στο επίπεδο του τριγώνου  $AB\Gamma$  στο κέντρο του περιγεγραμμένου κύκλου του διέρχεται από το κέντρο της σφαίρας και ο περιγεγραμμένος κύκλος του τριγώνου περιέχεται στην σφαίρα.

'Ασκηση 8.11.4  $\Delta \epsilon$ ίξε ότι παράλληλα επίπεδα που τέμνουν την σφαίρα σ ορίζουν κύκλους των οποίων τα κέντρα είναι σε ευθεία κάθετη στα παράλληλα αυτά επίπεδα.

Μιά ευθεία που έχει ένα αχριβώς χοινό σημείο με την σφαίρα λέγεται Εφαπτόμενη της σφαίρας. Το χοινό σημείο της εφαπτόμενης με την σφαίρα λέγεται Σημείο επαφής της εφαπτόμενης με την σφαίρα.

**Πρόταση 8.11.2** Μία ευθεία  $\varepsilon$  είναι εφαπτόμενη της σφαίρας  $\varsigma$  τότε και μόνον, όταν είναι κάθετη στο άκρο μιάς ακτίνας της σφαίρας.

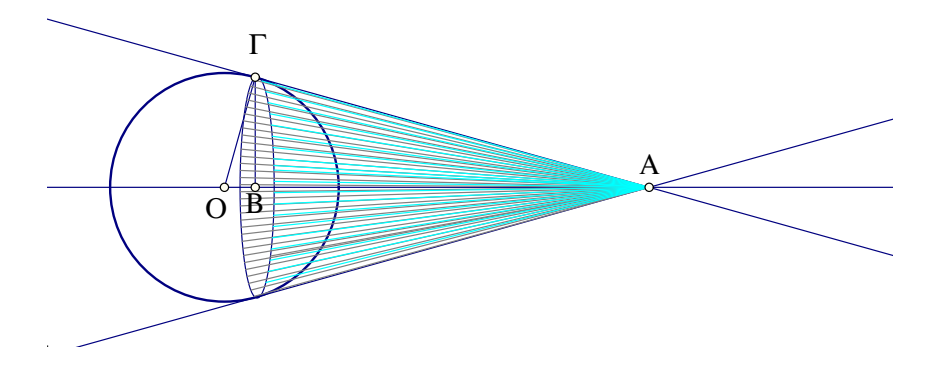


Σχήμα 681: Ευθεία εφαπτόμενη στην σφαίρα

Απόδειξη: Η ευθεία ε και το κέντρο Ο της σφαίρας ορίζουν επίπεδο η που τέμνει την σφαίρα κατά μέγιστο κύκλο κ. Αν η σφαίρα και η ευθεία έχουν ένα κοινό σημείο, τότε και ο κύκλος κ και η ευθεία έχουν ένα κοινό σημείο, άρα εφάπτονται και η ευθεία είναι κάθετη στο άκρο ακτίνας του κύκλου, που είναι και ακτίνα της σφαίρας (Πρόταση 2.2.2). Αντίστροφα, αν η ευθεία ε είναι κάθετη στο άκρο ακτίνας της σφαίρας, θα είναι κάθετη και στο άκρο ακτίνας του κ, συνεπώς θα έχει ένα κοινό σημείο με αυτόν, άρα και με την σφαίρα, ο.ε.δ.

**Πόρισμα 8.11.2** Μία ευθεία  $\varepsilon$  είναι εφαπτόμενη της σφαίρας σ στο σημείο P τότε και μόνον, όταν διέρχεται από το P και περιέχεται στο εφαπτόμενο επίπεδο της σφαίρας στο P.

Πρόταση 8.11.3 Γιά κάθε σημείο Α εκτός σφαίρας  $O(\rho)$ , οι εφαπτόμενες από το Α προς την σφαίρα είναι ίσες μεταξύ τους και σχηματίζουν κώνο που έχει κοινό με την σφαίρα ένα μικρό κύκλο αυτής, το επίπεδο του οποίου είναι κάθετο στον άξονα του κώνου. Τα σημεία αυτού του κύκλου συμπίπτουν με τα σημεία επαφής των εφαπτομένων με την σφαίρα.



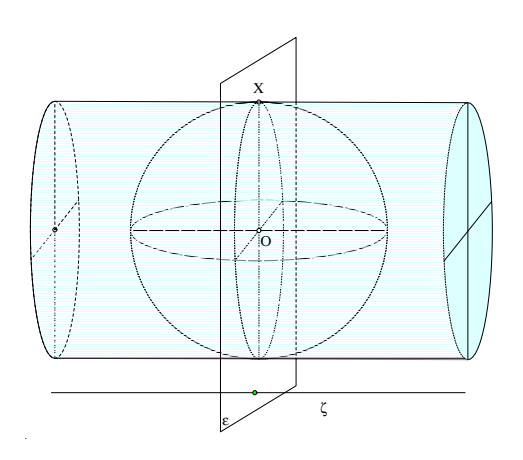
Σχήμα 682: Εφαπτόμενος κώνος σφαίρας από σημείο εκτός αυτής

Απόδειξη: Θεώρησε το επίπεδο ε που ορίζεται από την ευθεία ΟΑ και μία εφαπτόμενη ΑΓ από το Α. Το επίπεδο αυτό τέμνει την σφαίρα κατά μέγιστο κύκλο με τον οποίο η ΑΓ έχει ένα κοινό σημείο, άρα είναι εφαπτόμενη αυτού. Το τρίγωνο ΟΓΑ είναι συνεπώς ορθογώνιο, ανεξάρτητο της ειδικής θέσης του ε, αφού έχει πάντοτε την ίδια υποτείνουσα ΟΑ και κάθετο ΟΓ με το ίδιο μήκος  $|O\Gamma|=\rho$ . Συνάγεται ότι η απόσταση  $\delta=|\Gamma B|$  του Γ από τον άξονα, που ισούται με το ύψος αυτού του ορθογωνίου τριγώνου, είναι σταθερά και ανεξάρτητη του επιπέδου ε. Συνεπώς τα σημεία επαφής, όπως το Γ, περιέχονται στον μικρό κύκλο με κέντρο Β και ακτίνα δ. Η ακτίνα δ του μικρού κύκλου υπολογίζεται εύκολα από τα όμοια τρίγωνα ΟΒΓ και ΟΓΑ:

$$\frac{\delta}{\rho} = \frac{|B\Gamma|}{|O\Gamma|} = \frac{|A\Gamma|}{|OA|} = \frac{\sqrt{x^2 - \rho^2}}{x} \implies \delta = \frac{\rho\sqrt{x^2 - \rho^2}}{x},$$

όπου x = |OA|, ο.ε.δ.

Ο κώνος που εξασφαλίζει η προηγούμενη πρόταση λέγεται Εφαπτόμενος κώνος της σφαίρας από το σημείο Α. Όταν το σημείο Α απομακρύνεται στο άπειρο, οι εφαπτόμενες από αυτό τείνουν να γίνουν παράλληλες και στο όριο ορίζεται μιά (άπειρα εκτεινόμενη) κυλινδρική επιφάνεια που εφάπτεται του κώνου. Την ύπαρξη αυτής της επιφάνειας εξασφαλίζει η επόμενη πρόταση.

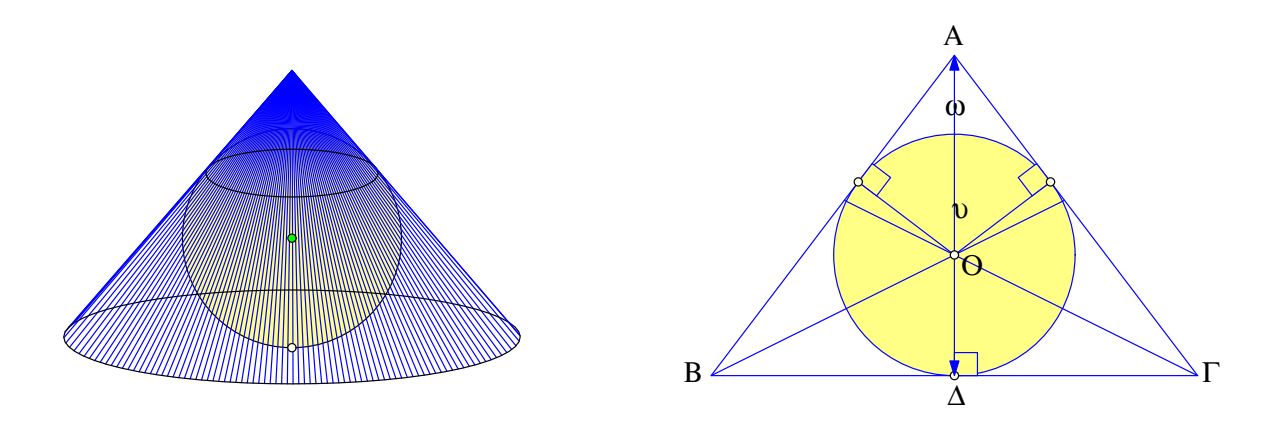


Σχήμα 683: Εφαπτόμενος κύλινδρος σφαίρας

8.11.  $\Sigma \Phi A IPA$  431

Πρόταση 8.11.4 Δοθείσης σφαίρας  $O(\rho)$  και ευθείας ζ υπάρχει κύλινδρος εφαπτόμενος της σφαίρας με γενέτειρες παράλληλες της ζ. Τα σημεία επαφής του κυλίνδρου και της σφαίρας συμπίπτουν με μέγιστο κύκλο, το επίπεδο  $\varepsilon$  του οποίου είναι κάθετο στην ζ.

Απόδειξη: Θεώρησε το επίπεδο ε το κάθετο στην ζ και διερχόμενο από το κέντρο O της σφαίρας. Το επίπεδο αυτό τέμνει την σφαίρα κατά μέγιστο κύκλο κ. Oι ευθείες οι παράλληλες της διερχόμενες από σημεία Y του κ είναι εφαπτόμενες της σφαίρας. Τούτο διότι είναι κάθετες στο άκρο της ακτίνας OY της σφαίρας. Παράγουν συνεπώς αυτές οι ευθείες (άπειρα εκτεινόμενη) κυλινδρική επιφάνεια εφαπτόμενη της σφαίρας κατά μήκος του κύκλου κ, ο.ε.δ.



Σχήμα 684: Σφαίρα εγγεγραμμένη σε κώνο

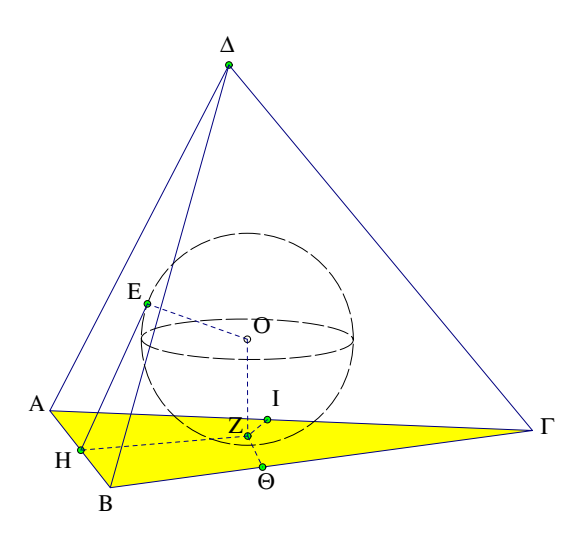
Άσκηση 8.11.5 Bρες την ακτίνα της σφαίρας που εγγράφεται σε κώνο ύψους υ και γωνίας ω.

 $\Upsilon$ πόδειξη: Η ζητούμενη ακτίνα υπολογίζεται από το επίπεδο σχήμα που αποτέμνει επίπεδο διερχόμενο από τον άξονα του κώνου. Αυτό τέμνει τον κώνο κατά ένα ισοσκελές  $AB\Gamma$  και την σφαίρα κατά μέγιστο κύκλο που είναι ταυτόχρονα ο εγγεγραμμένος κύκλος του τριγώνου. Η ακτίνα του εγγεγραμμένου κύκλου του τριγώνου υπολογίζεται (Πρόταση 5.6.2):

$$\rho = \frac{\upsilon \, \eta \mu \left(\frac{\omega}{2}\right)}{1 + \eta \mu \left(\frac{\omega}{2}\right)}.$$

Άσκηση 8.11.6  $\Delta$ είξε ότι κάθε τετράεδρο έχει εγγεγραμμένη σφαίρα, δηλαδή σφαίρα που εφάπτεται και των τεσσάρων εδρών του.  $\Delta$ είξε ότι η θέση του σημείου επαφής της σφαίρας αυτής με μία έδρα  $AB\Gamma$ , καθορίζεται από τις δίεδρες που μία τους έδρα είναι η  $AB\Gamma$ .

Υπόδειξη: Θεώρησε τα τρία διχοτομούντα επίπεδα των διέδρων (της βάσης) AB,  $B\Gamma$  και  $\Gamma A$ . Τα τρία αυτά επίπεδα τέμνονται σε ένα σημείο O, το οποίο έχει ίσες αποστάσεις από την βάση  $AB\Gamma$  καθώς και όλες τις άλλες έδρες του τετρέδρου. Άρα η σφαίρα με κέντρο O και ακτίνα |OZ| όπου Z η προβολή του O στο  $AB\Gamma$ , εφάπτεται όλων των εδρών του τετραέδρου. Αυτό αποδεικνύει την ύπαρξη της σφαίρας.  $\Gamma$ ιά τον καθορισμό του Z παρατήρησε ότι, εάν E η προβολή του O στην έδρα  $\Delta AB$ , τότε το επίπεδο ε που περιέχει τα O, Z και E τέμνει την ακμή AB κάθετα και ορίζει την γωνία EHZ, της οποίας το μέτρο είναι και το μέτρο της διέδρου AB του τετραέδρου. Αυτό διότι το επίπεδο ε περιέχει δύο (ασύμβατα) κάθετες προς



Σχήμα 685: Εγγεγραμμένη σφαίρα τετραέδρου

την AB: τις OE και OZ. Συνάγεται ότι η  $\gamma = |EHZ|$  είναι το μέτρο της διέδρου AB. Επίσης, αν ρ συμβολίζει την ακτίνα της σφαίρας, τότε

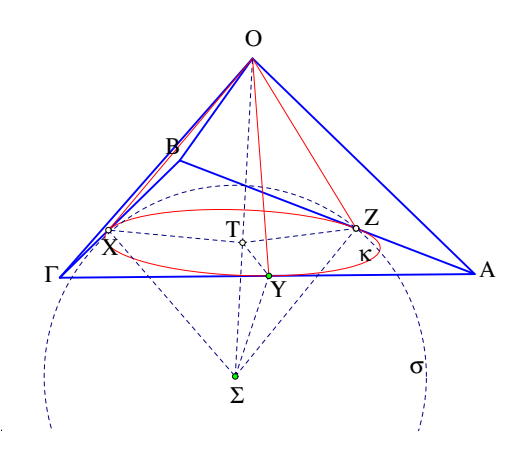
$$\varepsilon \varphi \left(\frac{\gamma}{2}\right) = \frac{r}{|HZ|} \quad \Rightarrow \quad |HZ| = r \cdot \sigma \varphi \left(\frac{\gamma}{2}\right).$$

Συνάγεται ότι οι αποστάσεις του σημείου επαφής Z της εγγεγραμμένης σφαίρας με την έδρα  $AB\Gamma$ , από τις πλευρές του τριγώνου  $AB\Gamma$ , ικανοποιούν τις

$$|ZH| = r \cdot \mathrm{sg}\left(\frac{\gamma}{2}\right), \quad |Z\Theta| = r \cdot \mathrm{sg}\left(\frac{\alpha}{2}\right), \quad |ZI| = r \cdot \mathrm{sg}\left(\frac{\beta}{2}\right),$$

όπου α, β, γ τα μέτρα των διέδρων  $B\Gamma,\,\Gamma\! A$  και AB αντιστοίχως.

' $\mathbf{A}$ σκηση 8.11.7  $\Delta \epsilon$ ίξε ότι γιά κάθε τρίεδρο γωνία υπάρχει ορθός κυκλικός κώνος που εφάπτεται των εδρών της.



Σχήμα 686: Κατασκευή εγγεγραμμένου κώνου τριέδρου

Υπόδειξη: Κατασκεύασε σφαίρα σ(Σ,ρ) εγγεγραμμένη στην κωνική επιφάνεια, δηλαδή εφαπτόμενη και των τριών εδρών της. Τα σημεία επαφής X,Y,Z της σφαίρας με τις έδρες της

8.11.  $\Sigma \Phi A IPA$  433

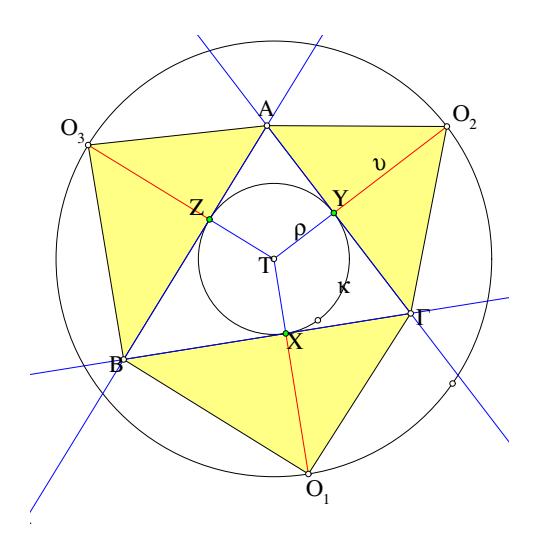
τριέδρου ορίζουν ένα επίπεδο ε που τέμνει την σφαίρα κατά κύκλο κ. Τα ευθύγραμμα τμήματα  $\Sigma X, \Sigma Y, \Sigma Z$  είναι ακτίνες της σφαίρας άρα ίσα μεταξύ τους. Τα τρίγωνα  $\Sigma XO, \Sigma YO, \Sigma ZO,$  όπου O η κορυφή της τριέδρου, είναι ίσα ορθογώνια διότι έχουν την ίδια υποτείνουσα  $\Sigma O$  και ίσες τις κάθετες πλευρές  $\Sigma X, \Sigma Y, \Sigma Z$ . Επομένως τα ύψη αυτών των τριγώνων από τα X, Y, Z προς την κοινή υποτείνουσα  $\Sigma O$  θα ορίζουν το ίδιο ίχνος T επί της  $\Sigma O$ . Επομένως το επίπεδο ε των X, Y, Z θα είναι κάθετο στην  $\Sigma O$  θα τέμνει την σφαίρα κατά τον κύκλο κ με ακτίνα |TX| = |TY| = |TZ| και την τρίεδρο κατά τρίγωνο  $AB\Gamma$ , του οποίου ο κύκλος κ είναι ο εγγεγραμμένος. Η κωνική επιφάνεια που παράγεται από τον κύκλο κ και την κορυφή O της τριέδρου είναι η ζητούμενη.

'Ασκηση 8.11.8 Βάσει του προηγουμένου σχήματος (686) δείξε ότι (1:) οι OX,OY,OZ είναι αντίστοιχα κάθετες στις  $B\Gamma,\Gamma A,AB$ , (2:) τα επίπεδα  $OX\Sigma,OYX,OZ\Sigma$  είναι αντίστοιχα κάθετα στις  $B\Gamma,\Gamma A,AB$  και (3:) ότι η γωνίες  $Y\Sigma Z$ ,  $Z\Sigma X$ ,  $X\Sigma Y$  είναι αντίστοιχα παραπληρωματικές της διέδρου  $OA,OB,O\Gamma$ .

Σχόλιο-2 Η προηγούμενη άσκηση δείχνει τον τρόπο με τον οποίο κατασκευάζονται οι τρίεδρες γωνίες που έχουν εγγεγραμμένο κώνο με δοθέν άνοιγμα ω. Το άνοιγμα του κώνου προσδιορίζεται από τον λόγο λ της ακτίνας ρ της βάσης προς το ύψος υ

$$\varepsilon\varphi(\frac{\omega}{2}) = \lambda = \frac{\rho}{v}.$$

Αρκεί λοιπόν να πάρουμε ένα κύκλο κ $(T, \rho)$  με αυθαίρετη ακτίνα και τρία σημεία X, Y, Z επ $^{\circ}$ 

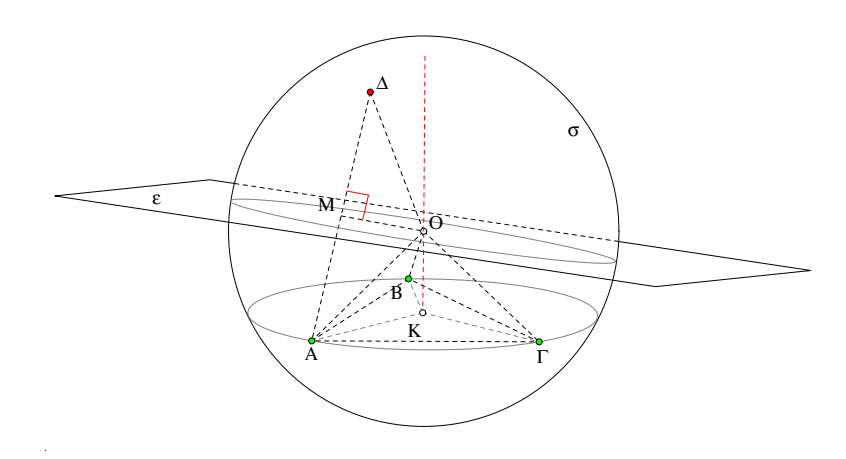


Σχήμα 687: Κατασκευή τριέδρου

αυτού. Στα σημεία αυτά φέρνουμε αντίστοιχα τις εφαπτόμενες  $B\Gamma$ ,  $\Gamma A$ , AB και σχηματίζουμε το τρίγωνο  $AB\Gamma$ . Κατόπιν προεκτείνουμε τις TX, TY, TZ κατά υ=λρ και ορίζουμε αντίστοιχα τα σημεία  $O_1,O_2,O_3$ . Η τρίεδρος προκύπτει περιστρέφοντας τα τρίγωνα  $B\Gamma O_1$ ,  $\Gamma AO_2$ ,  $ABO_3$  αντίστοιχα περί τις  $B\Gamma$ ,  $\Gamma A$ , AB έως ότου τα  $O_1,O_2,O_3$  συμπέσουν σε σημείο O της καθέτου στο επίπεδο  $AB\Gamma$  στο σημείο T.

Άσκηση 8.11.9  $\Delta \epsilon$ ίξε ότι η τομή δύο διαφορετικών τεμνομένων σφαιρών είναι ή κύκλος ή ένα σημείο. Να δοθεί μιά αναγκαία και ικανή συνθήκη τομής δύο σφαιρών  $O(\rho)$  και  $O'(\rho')$  συναρτήσει των ακτίνων  $\rho$  και  $\rho'$  και της απόστασης των κέντρων τους |OO'|.

## 8.12 Σφαιρικά πολύεδρα



Σχήμα 688: Περιγεγραμμένη σφαίρα τετραέδρου

**Πρόταση 8.12.1** Τέσσερα μη συνεπίπεδα σημεία ορίζουν μονοσήμαντα μία σφαίρα που τα περιέχει.

Aπόδειξη: Τα τέσσερα σημεία ορίζουν ένα τετράεδρο ABΓΔ. Θεώρησε το κέντρο K του περιγεγραμμένου κύκλου της έδρας ABΓ του τετραέδρου. Τα σημεία της ευθείας KO που είναι κάθετη στο επίπεδο του ABΓ και διέρχεται από το K ισαπέχουν από τα A,B και  $\Gamma$ . Από την άλλη μεριά το μεσοκάθετο επίπεδο  $\varepsilon$  σε μία από τις ακμές που διέρχονται από το  $\Delta$  λ.χ. την  $\Delta A$  τέμνει την KO. Τούτο λόγω της υπόθεσης ότι τα A σημεία A,B, $\Gamma$  και A δεν είναι συνεπίπεδα. Αν το  $\varepsilon$  δεν έτεμνε την KO, τότε θα ήταν παράλληλο προς αυτήν άρα και αυτό κάθετο στο επίπεδο του ABΓ, συνεπώς και η  $A\Delta$  θα ήταν ευθεία του επιπέδου του ABΓ, αντίθετα με την υπόθεση. Το σημείο τομής (O) του  $\varepsilon$  και της KO έχει την ιδιότητα

$$|O\Delta| = |OA| = |OB| = |O\Gamma| = \rho,$$

άρα είναι στην σφαίρα κέντρου Ο και ακτίνας ρ, ο.ε.δ.

Πόρισμα 8.12.1 Οι κορυφές τετραέδρου περιέχονται σε σφαίρα.

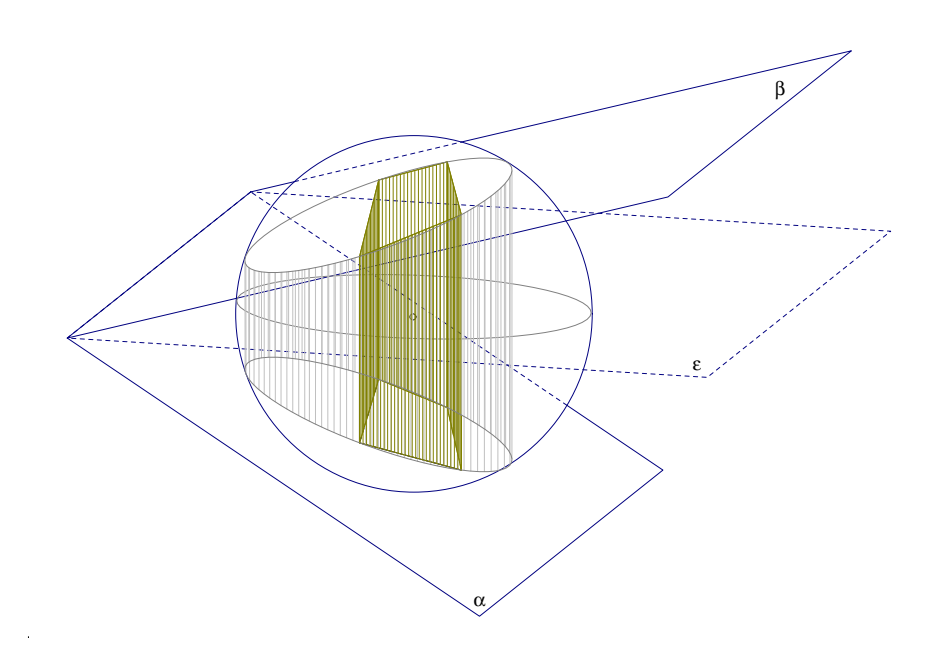
Η σφαίρα που εξασφαλίζει το προηγούμενο πόρισμα λέγεται Περιγεγραμμένη σφαίρα του τετραέδρου. Πολύεδρα με περισσότερες από 4 έδρες δεν έχουν εν γένει περιγεγραμμένη σφαίρα. Αν έχουν, τότε τα ονομάζουμε Σφαιρικά πολύεδρα και την σφαίρα που περνά από όλες τις κορυφές τους ονομάζουμε Περιγεγραμμένη σφαίρα. Συχνά λέμε τότε ότι το πολύεδρο είναι Εγγράψιμο σε σφαίρα.

'Ασκηση 8.12.1  $\Delta \epsilon$ ίξ $\epsilon$  ότι  $\epsilon$ να παραλληλ $\epsilon$ πίπ $\epsilon$ δο  $\epsilon$ γγρά $\varphi$ εται σ $\epsilon$  σ $\varphi$ αίρα τότ $\epsilon$  και μόνον, όταν  $\epsilon$ ίναι ορθογώνιο.

'Ασκηση 8.12.2  $\Delta \epsilon$ ίξε ότι μία πυραμίδα εγγράφεται σε σφαίρα τότε και μόνον, όταν η βάση της είναι πολύγωνο εγγράψιμο σε κύκλο.

'Ασκηση 8.12.3  $\Delta \epsilon$ ίξε ότι ένα ορθό πρίσμα εγγράφεται σε σφαίρα τότε και μόνον, όταν η βάση του είναι πολύγωνο εγγράψιμο σε κύκλο.

Άσκηση 8.12.4 Δείξε ότι ένα κολοβό πρίσμα εγγράφεται σε σφαίρα τότε και μόνον, όταν οι βάσεις του είναι πολύγωνα εγγράψιμα σε κύκλο και το διχοτομούν επίπεδο ε των βάσεών του είναι κάθετο στις παράπλευρες ακμές του.



Σχήμα 689: Κολοβό πρίσμα εγγεγραμμένο σε σφαίρα

'Ασκηση 8.12.5 Να κατασκευασθεί σφαίρα δοθείσης ακτίνος η οποία να διέρχεται από τρία δοθέντα σημεία. Να εξετασθεί πότε το πρόβλημα έχει λύση.

'Ασκηση 8.12.6 Να κατασκευασθεί σφαίρα δοθείσης ακτίνος η οποία να διέρχεται από δύο δοθέντα σημεία και να εφάπτεται δοθέντος επιπέδου. Να εξετασθεί πότε το πρόβλημα έχει λύση.

'Ασκηση 8.12.7 Να κατασκευασθεί σφαίρα δοθείσης ακτίνος η οποία να διέρχεται από ένα δοθέν σημείο και να εφάπτεται δύο δοθέντων επιπέδων. Να εξετασθεί πότε το πρόβλημα έχει λύση.

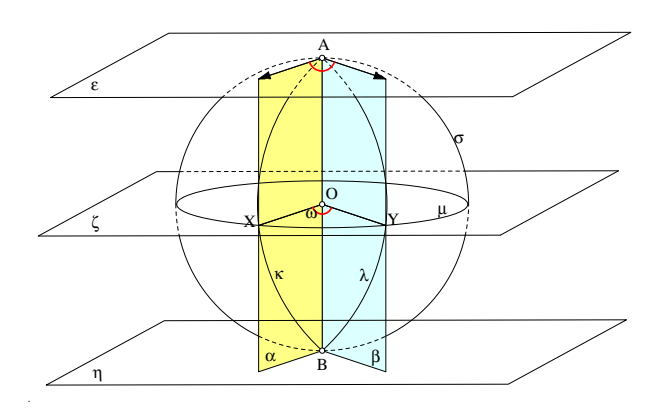
Άσκηση 8.12.8 Δίδεται επίπεδο  $\varepsilon$ , ευθεία η, μη περιεχόμενη σε αυτό και σημείο A εκτός των  $\varepsilon$  και η. Να βρεθεί σημείο B επί της η το οποίο να ισαπέχει από το A και το επίπεδο  $\varepsilon$ .

Υπόδειξη: Θεώρησε το επίπεδο ζ το κάθετο στην η και διερχόμενο από το A. Έστω K το σημείο τομής του ζ με την η. Θεώρησε και το επίπεδο κ, το περιέχον την ευθεία η και κάθετο στο  $\varepsilon$ . Έστω  $\vartheta$  η ευθεία-τομή των κ και  $\varepsilon$  (η  $\vartheta$  είναι η προβολή της η στο  $\varepsilon$ ). Ο κύκλος  $\lambda(K,|KA|)$  και το επίπεδο κ τέμνονται σε δύο σημεία  $\Gamma$  και  $\Delta$ . Το πρόβλημα ανάγεται στο πρόβλημα του επιπέδου κ: Να βρεθεί σημείο B επί της η ισαπέχον από το  $\Gamma$  (ή  $\Delta$ ) και την ευθεία  $\vartheta$  (Άσκηση 4.7.3).

Άσκηση 8.12.9  $\Delta$ ίδονται τρία μη συνευθειακά σημεία  $A,B,\Gamma$  και επίπεδο  $\varepsilon$  μη περιέχον αυτά. Να βρεθεί σφαίρα διερχόμενη από τα τρία σημεία και εφαπτόμενη του επιπέδου  $\varepsilon$ .

Υπόδειξη: Το πρόβλημα ανάγεται στο προηγούμενο, θεωρώντας τον κύκλο λ που διέρχεται από τα τρία σημεία και την ευθεία η την κάθετη στο επίπεδο  $AB\Gamma$  στο κέντρο του κ.

## 8.13 Άτρακτος, γωνία μεγίστων κύκλων



Σχήμα 690: Σφαίρα και δίεδρος

Άτρακτο Ονομάζουμε το τμήμα της σφαίρας που περιλαμβάνεται μεταξύ των εδρών μιάς διέδρου γωνίας, της οποίας η ακμή είναι διάμετρος της σφαίρας. Η γωνία της διέδρου λέγεται Γωνία της ατράκτου. Δύο άτρακτοι λέγονται Ίσες όταν οι ακτίνες των σφαιρών που τις περιέχουν είναι ίσες και οι γωνίες τους είναι επίσης ίσες.

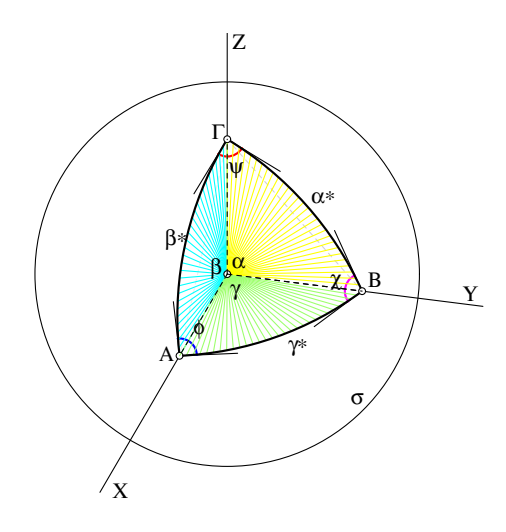
Πρόταση 8.13.1~H γωνία μιάς διέδρου που σχηματίζεται από τα επίπεδα α και  $\beta$  ισούται με την γωνία της σφαιρικής ατράκτου που αυτή αποτέμνει από σφαίρα που έχει το κέντρο της επί της ακμής AB της διέδρου. Επιπλέον η γωνία αυτή ισούται με την γωνία των μεγίστων κύκλων που ορίζονται από τα δύο επίπεδα.

Άσκηση 8.13.1 Πόσες σφαιρικές ατράκτους ορίζουν τρία επίπεδα ανά δύο μη ταυτιζόμενα και διερχόμενα από το κέντρο της σφαίρας;

'Ασκηση 8.13.2 Aπό δοθείσα ευθεία που δεν τέμνει την σφαίρα φέρε επίπεδο εφαπτόμενο αυτής.

Υπόδειξη: Θεώρησε το επίπεδο ε που διέρχεται από το κέντρο της σφαίρας και είναι κάθετο στην δοθείσα ευθεία. Έστω κ ο μέγιστος κύκλος κατά τον οποίον το ε τέμνει την σφαίρα και P το σημείο τομής του ε με την δοθείσα ευθεία. Θεώρησε τις εφαπτόμενες  $\eta_1, \eta_2$  από το P προς τον κ και τα δύο επίπεδα που καθένα τους περιέχει την δοθείσα ευθεία και μία από τις  $\eta_1, \eta_2$ .

## 8.14 Σφαιρικά τρίγωνα



Σχήμα 691: Σφαίρα και τρίεδρος

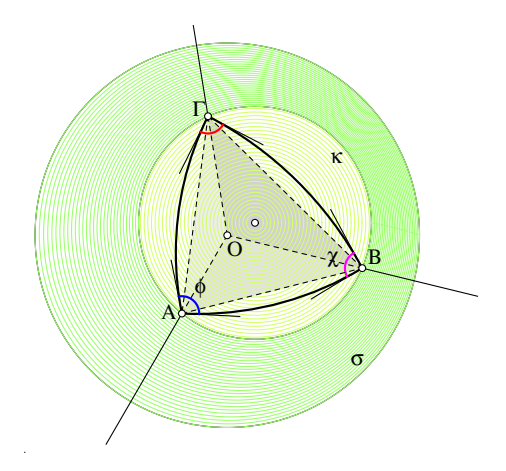
Τοποθετώντας την κορυφή μιάς τριέδρου στο κέντρο Ο μιάς σφαίρας παίρνουμε επί της σφαίρας ένα σχήμα που θυμίζει το τρίγωνο του επιπέδου και λέγεται **Σφαιρικό τρίγωνο**. Το σχήμα αποτελείται από τόξα μεγίστων κύκλων που αποτέμνουν επί της σφαίρας οι έδρες της τριέδρου. Το μήκος αυτών των τόξων συνδέεται με το μέτρο των εδρών της τριέδρου. Αν οι έδρες της τριέδρου έχουν μέτρα αντίστοιχα α,β και γ (σε ακτίνια), τότε τα μήκη των τόξων αυτών είναι αντίστοιχα

$$\alpha^* = \alpha \rho, \quad \beta^* = \beta \rho, \quad \gamma^* = \gamma \rho,$$

όπου ρ η ακτίνα της σφαίρας. Τα τόξα αυτά ονομάζονται Πλευρές του σφαιρικού τριγώνου. Τα μήκη αυτά λέγονται Μήκη των πλευρών του σφαιρικού τριγώνου. Τα άκρα τους Α,Β και Γ είναι τα κοινά σημεία της σφαίρας και των ακμών της τριέδρου και λέγονται Κορυφές του σφαιρικού τριγώνου. Από την προηγούμενη παράγραφο ξέρουμε ότι οι δίεδρες γωνίες της τριέδρου φ,χ και ψ σχηματίζονται αντίστοιχα στις κορυφές Α, Β και Γ από τις εφαπτόμενες εκεί των μεγίστων κύκλων που ορίζουν οι έδρες της τριέδρου. Οι γωνίες αυτές ονομάζονται Γωνίες του σφαιρικού τριγώνου. Δύο σφαιρικά τρίγωνα ΑΒΓ και Α\*Β\*Γ\* λέγονται Ίσα όταν έχουν ίσες αντίστοιχες πλευρές και ίσες γωνίες. Η αναλογία προς τα τρίγωνα του επιπέδου είναι προφανής. Πολλές προτάσεις της επιπεδομετρίας που αφορούν σε ιδιότητες τριγώνων μεταφέρονται και στα σφαιρικά τρίγωνα. Υπάρχουν ωστόσο και διαφορές, κάποιες από τις οποίες θα δούμε στις επόμενες παραγράφους. Η προηγούμενη αντιστοίχιση μεταξύ τριέδρων και σφαιρικών τριγώνων δείχνει ότι κάθε ιδιότητα των τριέδρων μεταφράζεται σε ιδιότητα των σφαιρικών τριγώνων και τούμπαλιν, κάθε ιδιότητα των σφαιρικών τριγώνων μεταφράζεται σε μιά ιδιότητα των τριέδρων. Ένα δείγμα αυτού του συσχετισμού δίνει η επόμενη πρόταση.

**Πρόταση 8.14.1** Κάθε σφαιρικό τρίγωνο σφαίρας  $\sigma$  εγγράφεται σε κύκλο περιεχόμενο στην  $\sigma$ .

Aπόδειξη: Έστω το σφαιρικό τρίγωνο OABΓ και ας συμβολίζουμε με τα ίδια γράμματα την αντίστοιχη τρίεδρο γωνία. Στην Πρόταση 8.9.6 κατασκευάζεται ο περιγεγραμμένος κώνος



Σχήμα 692: Περιγεγραμμένος κύκλος σφαιρικού τριγώνου

της τριέδρου γωνίας  $OAB\Gamma$  με βάση τον περιγεγραμμένο κύκλο κ του τριγώνου  $AB\Gamma$ . Τα σημεία αυτού του κύκλου απέχουν από το O τήν ίδια απόσταση που απέχουν και τα A,B και  $\Gamma$ , άρα είναι επί της σφαίρας  $\sigma$ , ο.ε.δ.

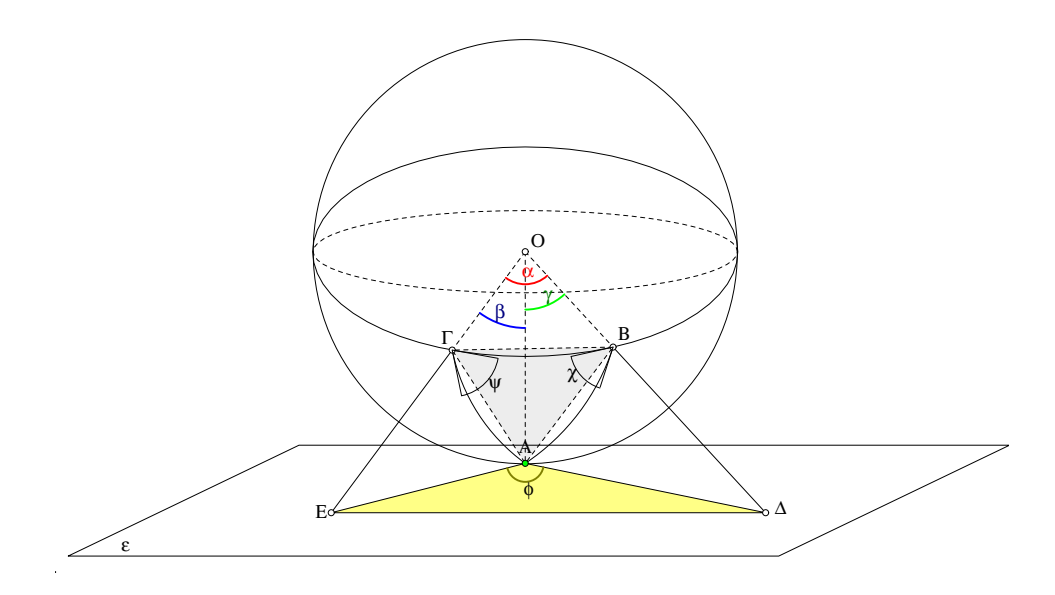
'Ασκηση 8.14.1  $\Delta \epsilon$ ίξ $\epsilon$  ότι η τομή σφαίρας και ορθού κυκλικού κώνου μ $\epsilon$  κορυφή στο κ $\epsilon$ ντρο της σφαίρας  $\epsilon$ ίναι παράλληλος κύκλος της σφαίρας.

Σχόλιο-1 Όπως οι τρίεδρες έτσι και οι πολυεδρικές γωνίες, (Παράγραφος 8.3) τοποθετώντας την κορυφή τους στο κέντρο Ο μιάς σφαίρας, ορίζουν, μέσω των τομών των εδρών τους με την σφαίρα, ένα Σφαιρικό πολύγωνο, δηλαδή ένα σχήμα στην σφαίρα που περιορίζεται από διαδοχικά τόξα μεγίστων κύκλων. Αυτό είναι το ανάλογο των πολυγώνων πάνω στην επιφάνεια της σφαίρας. Όπως και στις τρίεδρες έτσι και στις πολυεδρικές γωνίες μπορούμε να χρησιμοποιήσουμε αυτήν την αντιστοιχεία γιά να μελετήσουμε ιδιότητες των σφαιρικών πολυγώνων ανάγοντάς τες σε αντίστοιχες ιδιότητες των πολυεδρικών γωνιών. Περισσότερα γιά τα ενδιαφέροντα αυτά σχήματα της σφαίρας θα δούμε στην Παράγραφο 9.3. Η επόμενη πρόταση δείχνει πως εξαρτώνται οι δίεδρες γωνίες μιάς τριέδρου από τις έδρες της. Στην επόμενη παράγραφο θα δούμε (Πρόταση 8.15.3) ότι και αντίστροφα οι έδρες προσδιορίζονται πλήρως από τις δίεδρες της τριέδρου.

**Πρόταση 8.14.2** Εστω τρίεδρος γωνία ΟΑΒΓ με έδρες  $a=BO\Gamma$ ,  $\beta=\Gamma OA$ ,  $\gamma=AOB$  και δίεδρες γωνίες  $\varphi(OA)$ ,  $\chi(OB)$ ,  $\psi(O\Gamma)$  (εντός παρένθεσης η αντίστοιχος ακμή). Τότε ισχύει

$$συν(α) = συν(β) συν(γ) + ημ(β) ημ(γ) συν(φ).$$

Aπόδειξη: Γιά την απόδειξη τοποθετούμε την τρίεδρο με την κορυφή της <math>O στο κέντρο σφαίρας  $\sigma$  ακτίνας  $\rho$  και παίρνουμε τα  $A,B,\Gamma$  να είναι τα σημεία τομής των ακμών της με την σφαίρα. Επίσης θεωρούμε το εφαπόμενο επίπεδο ε της σφαίρας στο σημείο A. Έστω ότι οι OB και  $O\Gamma$  τέμνουν το ε αντίστοιχα στα  $\Delta$  και E (την απλούστερη περίπτωση που αυτό δεν συμβαίνει θα εξετάσουμε παρακάτω). Εφαρμόζουμε στα τρίγωνα  $O\Delta E$  και  $A\Delta E$  τον τύπο του συνημιτόνου



Σχήμα 693: Σφαιρικό θεώρημα συνημιτόνου

$$\begin{split} |E\Delta|^2 &= |OE|^2 + |O\Delta|^2 - 2|OE||O\Delta|\operatorname{sun}(\alpha) \\ |OE| &= \frac{\rho}{\operatorname{sun}(\beta)}, \ |O\Delta| = \frac{\rho}{\operatorname{sun}(\gamma)}, \ \Rightarrow \\ |E\Delta|^2 &= \rho^2(\frac{1}{\operatorname{sun}(\beta)^2} + \frac{1}{\operatorname{sun}(\gamma)^2} - 2\frac{\operatorname{sun}(\alpha)}{\operatorname{sun}(\beta)\operatorname{sun}(\gamma)}) \\ &= \rho^2((1 + \operatorname{ep}(\beta)^2) + (1 + \operatorname{ep}(\gamma)^2) - 2\frac{\operatorname{sun}(\alpha)}{\operatorname{sun}(\beta)\operatorname{sun}(\gamma)}). \end{split}$$

Έχουμε επίσης ότι

$$\begin{split} |E\Delta|^2 &= |AE|^2 + |A\Delta|^2 - 2|AE||A\Delta|\operatorname{sun}(\phi) \\ |AE| &= \rho\operatorname{ep}(\beta), \ |A\Delta| = \rho\operatorname{ep}(\gamma), \ \Rightarrow \\ |E\Delta|^2 &= \rho^2(\operatorname{ep}(\beta)^2 + \operatorname{ep}(\gamma)^2 - 2\operatorname{ep}(\beta)\operatorname{ep}(\gamma)\operatorname{sun}(\phi)). \end{split}$$

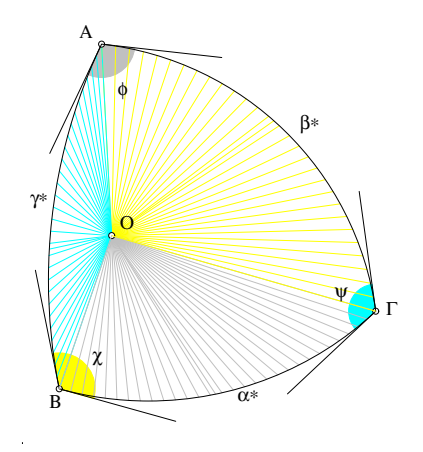
Εξισώνοντας τις δύο εκφράσεις γιά το  $|E\Delta|^2$  και απλοποιώντας βρίσκουμε

$$1 - \frac{\operatorname{sun}(\alpha)}{\operatorname{sun}(\beta)\operatorname{sun}(\gamma)} = -\operatorname{eq}(\beta)\operatorname{eq}(\gamma)\operatorname{sun}(\phi) \Rightarrow$$
$$\operatorname{sun}(\beta)\operatorname{sun}(\gamma) - \operatorname{sun}(\alpha) = -\operatorname{hm}(\beta)\operatorname{hm}(\gamma)\operatorname{sun}(\phi),$$

που είναι ισοδύναμη με την ζητούμενη σχέση. Στην περίπτωση που ένα εκ των δύο σημείων  $\Delta$  και E δεν υπάρχει  $\lambda$ .χ. το  $\Delta$ , αυτό σημαίνει ότι η αντίστοιχη ακμή OB είναι παράλληλη προς το επίπεδο E, συνεπώς η γωνία γ είναι ορθή. Τότε συν $(\gamma)=0$ , ημ $(\gamma)=1$  και ο τύπος γίνεται

$$\operatorname{sun}(\alpha) = \operatorname{hm}(\beta) \operatorname{sun}(\phi) \ \Leftrightarrow \ |OE| \operatorname{sun}(\alpha) = |AE| \operatorname{sun}(\phi),$$

που αληθεύει λόγω της παραλληλίας των  $A\Delta$  και OB. Όταν και τα δύο σημεία δεν υπάρχουν, τότε οι  $O\Gamma$  και OB είναι αντίστοιχα παράλληλες προς τις AE και  $A\Delta$  και οι γωνίες B και γ είναι ορθές. Αυτό συνεπάγεται ότι οι γωνίες α και φ είναι ίσες και η σχέση γίνεται συν $(\alpha) = \sigma$ υν $(\phi)$ . Σε όλες συνεπώς τις περιπτώσεις ισχύει ο αναφερόμενος τύπος, ο.ε.δ.



Σχήμα 694: Σφαιρικό τρίγωνο

Σχόλιο-2 Η πρόταση αυτή μπορεί να διατυπωθεί και σαν πρόταση γιά σφαιρικά τρίγωνα με χρήση των μηκών των πλευρών  $\alpha^*, \beta^*, \gamma^*$  που ορίστηκαν στην αρχή της παραγράφου (σχήμα-694). Απλά χρησιμοποιούμε τον αποδειχθέντα τύπο όπου αντικαθιστούμε με τα

$$\alpha = \frac{\alpha^*}{\rho}, \quad \beta = \frac{\beta^*}{\rho}, \quad \gamma = \frac{\gamma^*}{\rho}.$$

Ο τύπος που προκύπτει λέγεται Πρώτος σφαιρικός τύπος συνημιτόνου.

**Πρόταση 8.14.3** Γιά κάθε σφαιρικό τρίγωνο με πλευρές μήκους  $\alpha^*$ ,  $\beta^*$ ,  $\gamma^*$  και αντίστοιχες απέναντι γωνίες  $\varphi$ ,χ και  $\psi$  ισχύει:

$$\operatorname{sun}(\frac{\alpha^*}{\rho}) = \operatorname{sun}(\frac{\beta^*}{\rho})\operatorname{sun}(\frac{\gamma^*}{\rho}) + \operatorname{hm}(\frac{\beta^*}{\rho})\operatorname{hm}(\frac{\gamma^*}{\rho})\operatorname{sun}(\phi).$$

Άσκηση 8.14.2 Γιά κάθε ορθογώνιο σφαιρικό τρίγωνο με πλευρές μήκους  $\alpha^*, \beta^*, \gamma^*$  και αντίστοιχες απέναντι γωνίες  $\phi = 90^\circ, \chi$  και ψ ισχύει:

$$\operatorname{sun}(\frac{\alpha^*}{\rho}) = \operatorname{sun}(\frac{\beta^*}{\rho})\operatorname{sun}(\frac{\gamma^*}{\rho}).$$

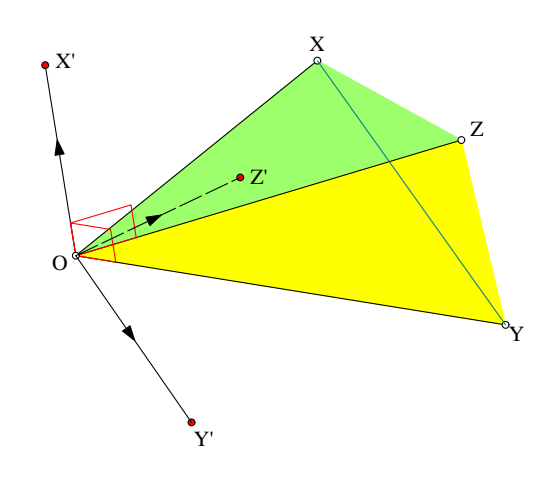
'Ασκηση 8.14.3  $\Delta \epsilon$ ίξ $\epsilon$  ότι σ $\epsilon$  μία σφαίρα υπάρχουν άπειρα ισόπλευρα τρίγωνα, των οποίων τα μήκη  $\alpha^*$  των πλευρών και οι γωνίες φ ικανοποιούν την εξίσωση:

$$\operatorname{sun}\left(\frac{\alpha^*}{2\rho}\right)\cdot \operatorname{hm}\left(\frac{\phi}{2}\right) = \frac{1}{2}.$$

Άσκηση 8.14.4 Τοποθέτησε την κορυφή A τετραέδρου  $AB\Gamma\Delta$  με μήκος ακμής  $\alpha^*$  στο κέντρο μιάς σφαίρας ακτίνας  $\alpha^*$  και χρησιμοποίησε την προηγούμενη άσκηση γιά να δείξεις ότι το συνημίτονο της διέδρου γωνίας που σχηματίζουν δύο έδρες του τετραέδρου ισούται με  $\frac{1}{3}$ . ( $\Delta$ ες και την  $\Delta$ σκηση 8.6.2)

'Ασκηση 8.14.5  $\Delta \epsilon$ ίξ $\epsilon$  ότι οι τρ $\epsilon$ ις ίσ $\epsilon$ ς γωνί $\epsilon$ ς των σφαιρικών ισοπλεύρων τριγώνων  $\epsilon$ ίναι μ $\epsilon$ γαλύτ $\epsilon$ ρ $\epsilon$ ς των 60 μοιρών. ( $\Delta \epsilon$ ς και την Άσκηση 9.3.1)

## 8.15 Η παραπληρωματική τρίεδρος

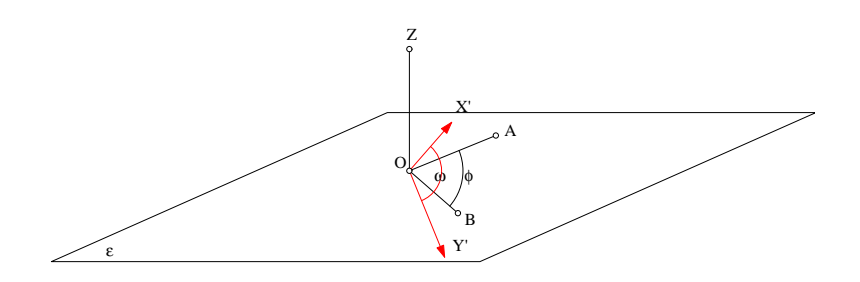


Σχήμα 695: Παραπληρωματική τρίεδρος

Δοθείσης τριέδρου OXYZ, οι κάθετες στις έδρες της ορίζουν μία νέα τρίεδρο OX'Y'Z' που λέγεται  $\Pi$ αραπληρωματική τρίεδρος της OXYZ. Ακριβέστερα ο ορισμός αυτής της τριέδρου OX'Y'Z' γίνεται ως εξής. Η ημιευθεία OX' είναι η κάθετη στο επίπεδο OYZ και προς το μέρος της OX, η ημιευθεία OY' είναι η κάθετη στο OZX και προς το μέρος της OY και η ημιευθεία OZ' είναι η κάθετη στο OXY και προς το μέρος της OZ. Οι τρεις αυτές ημιευθείες ορίζουν τις ακμές και επομένως την τρίεδρο OX'Y'Z'.

**Πρόταση 8.15.1** Οι έδρες της παραπληρωματικής OXY'Z' της τριέδρου OXYZ είναι οι παραπληρωματικές αντιστοίχων διέδρων γωνιών της OXYZ:

$$|X'OY'| + |\widehat{Z}| = |Y'OZ'| + |\widehat{X}| = |Z'OX'| + |\widehat{Y}| = \pi.$$



Σχήμα 696: Παραπληρωματική τρίεδρος

Aπόδειξη: Στο επίπεδο ε το κάθετο στην OZ στο σημείο O περιέχονται αφενός η γωνία AOB που μετρά την δίεδρο  $\widehat{Z}$  και αφ' ετέρου (εξ ορισμού) οι OX' και OY'. Η γωνία  $\widehat{Z}$  ισούται με την φ=AOB, όπου η ευθεία OA είναι η τομή του ε με το επίπεδο ZOX και OB η τομή του ε με το επίπεδο ZOY. Από τον ορισμό λοιπόν προκύπτει ότι οι γωνίες ω=X'OY' και φ=AOB έχουν τις πλευρές τους κάθετες και ομόρροπες, άρα είναι παραπληρωματικές. Ανάλογα δείχνουμε την σχέση και γιά τις άλλες γωνίες, ο.ε.δ.

**Πρόταση 8.15.2** Η παραπληρωματική OX''Y''Z'' της παραπληρωματικής OX'Y'Z' της τριέδρου OXYZ συμπίπτει με την αρχική τρίεδρο OXYZ.

Aπόδειξη: Σύμφωνα με τον ορισμό, η ακμή OZ'' της παραπληρωματικής της OX'Y'Z' θα είναι κάθετη στις OX', OY' και από την ίδια μεριά με την OZ'. Αυτή όμως την ιδιότητα την έχει και η OZ, ο.ε.δ.

**Πόρισμα 8.15.1** Εάν η τρίεδρος γωνία OXYZ έχει έδρες a=YOZ,  $\beta=ZOX$ ,  $\gamma=XOY$  και δίεδρες γωνίες  $\varphi(OX)$ ,  $\chi(OY)$ ,  $\psi(OZ)$  (εντός παρένθεσης η αντίστοιχος ακμή). Τότε η παραπληρωματική της OX'Y'Z' έχει αντίστοιχα έδρες

$$\alpha' = \pi - \phi, \ \beta' = \pi - \chi, \ \gamma' = \pi - \psi$$

και δίεδρες

$$\phi' = \pi - \alpha, \quad \chi' = \pi - \beta, \quad \psi' = \pi - \gamma.$$

Απόδειξη: Οι πρώτες τρεις ισότητες αποδείχθηκαν στην Πρόταση 8.15.1. Οι επόμενες τρεις προχύπτουν εφαρμόζοντας την ίδια πρόταση στην παραπληρωματική της παραπληρωματικής που είναι (Πρόταση 8.15.2) η αρχική τρίεδρος, ο.ε.δ.

Η ύπαρξη της παραπληρωματικής τριέδρου και ο συσχετισμός εδρών και διέδρων που προκύπτει από τις προηγούμενες πρότασεις δείχνει ότι οι έδρες και οι δίεδρες μιάς τριέδρου είναι κατά κάποιο τρόπο ισοδύναμα στοιχεία. Οι μεν προσδιορίζουν τις δε. Σε αυτό τον δυϊσμό οφείλεται και το δεύτερο θεώρημα του συνημιτόνου που προκύπτει από το πρώτο εφαρμόζοντάς το στην παραπληρωματική τρίεδρο.

Πρόταση 8.15.3 Εστω τρίεδρος γωνία ΟΑΒΓ με έδρες  $a=BO\Gamma$ ,  $\beta=\Gamma OA$ ,  $\gamma=AOB$  και δίεδρες γωνίες  $\varphi(OA)$ ,  $\chi(OB)$ ,  $\psi(O\Gamma)$  (εντός παρένθεσης η αντίστοιχος ακμή). Τότε ισχύει

$$συν(φ) = - συν(χ) συν(ψ) + ημ(χ) ημ(ψ) συν(α).$$

Απόδειξη: Εφαρμόζουμε τον τύπο του συνημιτόνου (Πρόταση 8.14.2) στην παραπληρωματική δίεδρο λαμβάνοντας υπόψη τις σχέσεις του Πορίσματος 8.15.1:

$$\begin{split} & \text{sun}(\alpha') &= \text{sun}(\beta') \, \text{sun}(\gamma') + \text{hm}(\beta') \, \text{hm}(\gamma') \, \text{sun}(\phi') \iff \\ & \text{sun}(\pi - \phi) &= \text{sun}(\pi - \chi) \, \text{sun}(\pi - \psi) + \text{hm}(\pi - \phi) \, \text{hm}(\pi - \psi) \, \text{sun}(\pi - \alpha) \iff \\ & - \text{sun}(\phi) &= \text{sun}(\chi) \, \text{sun}(\psi) - \text{hm}(\chi) \, \text{hm}(\psi) \, \text{sun}(\alpha), \end{split}$$

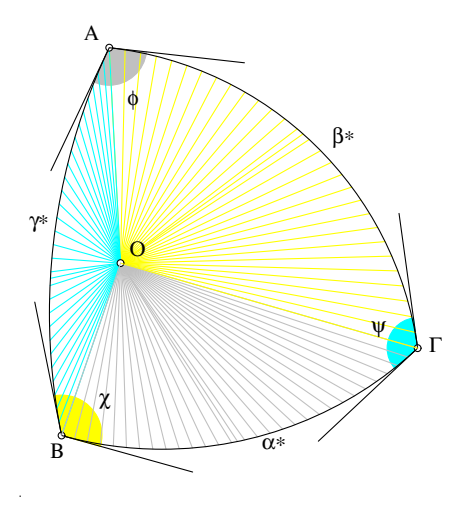
 $0.\epsilon.\delta$ .

Και αυτή η πρόταση μπορεί να διατυπωθεί όπως και ο Πρώτος σφαιρικός τύπος συνημιτόνου (Πρόταση 8.14.3) ως σχέση μεταξύ στοιχείων του σφαιρικού τριγώνου που αποτέμνει η τρίεδρος σε μιά σφαίρα. Ακολουθώντας τους συμβολισμούς της Παραγράφου 8.14 μεταφράζουμε την προηγούμενη πρόταση στον λεγόμενο  $\mathbf{\Delta}$ εύτερο σφαιρικό τύπο συνημιτόνου .

**Πρόταση 8.15.4** Γιά κάθε σφαιρικό τρίγωνο με πλευρές μήκους  $\alpha^*$ ,  $\beta^*$ ,  $\gamma^*$  και αντίστοιχες απέναντι γωνίες  $\varphi$ , χ και  $\psi$  ισχύει:

$$\operatorname{sun}(\phi) = -\operatorname{sun}(\chi)\operatorname{sun}(\psi) + \operatorname{hm}(\chi)\operatorname{hm}(\psi)\operatorname{sun}(\frac{\alpha^*}{\rho}),$$

όπου ρ η ακτίνα της σφαίρας.



Σχήμα 697: Σφαιρικό τρίγωνο

Σχόλιο Ο τύπος αυτός, μεταξύ άλλων, τονίζει και το γεγονός ότι τα σφαιρικά τρίγωνα προσδιορίζονται πλήρως από τις γωνίες τους φ,χ και ψ. Πράγματι, αν δοθούν οι γωνίες αυτές τότε λύνοντας την προηγούμενη εξίσωση ως προς α\* ευρίσκουμε το μήκος της πλευράς του τριγώνου και από τους αντίστοιχους τύπους γιά τις άλλες πλευρές βρίσκουμε συνολικά όλες τις πλευρές του τριγώνου. Έχουμε εδώ μιά ουσιαστική διαφορά από τα συνηθισμένα τρίγωνα του επιπέδου. Εκεί η γνώση των γωνιών δεν αρκεί γιά τον πλήρη προσδιορισμό του τριγώνου. Εκεί από τις γωνίες συμπεραίνουμε το σχήμα του τριγώνου αλλά όχι το μέγεθος. Υπάρχουν πολλά τρίγωνα με τις ίδιες γωνίες που είναι μεταξύ τους όμοια. Αντίθετα στην σφαίρα δεν υπάρχουν διαφορετικά τρίγωνα με τις ίδιες γωνίες. Εδώ δεν υπάρχει ομοιότητα.

Η αναλογία πάντως των σφαιρικών με τα ευκλείδεια επίπεδα τρίγωνα υφίσταται σε πολλές περιπτώσεις, όπως λ.χ. και στο επόμενο ανάλογο του τύπου του ημιτόνου που αναφέρεται ως  $\Sigma$ φαιρικός τύπος του ημιτόνου.

**Πρόταση 8.15.5** Εστω τρίεδρος γωνία  $OAB\Gamma$  με έδρες  $a=BO\Gamma$ ,  $\beta=\Gamma OA$ ,  $\gamma=AOB$  και δίεδρες γωνίες  $\varphi(OA)$ ,  $\chi(OB)$ ,  $\psi(O\Gamma)$  (εντός παρένθεσης η αντίστοιχος ακμή). Τότε ισχύει

$$\frac{\eta\mu(\phi)}{\eta\mu(\alpha)} = \frac{\eta\mu(\chi)}{\eta\mu(\beta)} = \frac{\eta\mu(\psi)}{\eta\mu(\gamma)}.$$

Απόδειξη: Μιά απλή απόδειξη προχύπτει τετραγωνίζοντας τον τύπο του συνημιτόνου (Πρόταση 8.14.2):

$$\begin{split} \operatorname{sun}(\alpha) &= \operatorname{sun}(\beta)\operatorname{sun}(\gamma) + \operatorname{hm}(\beta)\operatorname{hm}(\gamma)\operatorname{sun}(\phi) \ \Rightarrow \\ (\operatorname{sun}(\alpha) &- \operatorname{sun}(\beta)\operatorname{sun}(\gamma))^2 = (\operatorname{hm}(\beta)\operatorname{hm}(\gamma)\operatorname{sun}(\phi))^2 \ \Rightarrow \\ \operatorname{sun}(\alpha)^2 &+ \operatorname{sun}(\beta)^2\operatorname{sun}(\gamma)^2 - 2\operatorname{sun}(\alpha)\operatorname{sun}(\beta)\operatorname{sun}(\gamma) = \operatorname{hm}(\beta)^2\operatorname{hm}(\gamma)^2\operatorname{sun}(\phi)^2 \\ &= \operatorname{hm}(\beta)^2\operatorname{hm}(\gamma)^2(1 - \operatorname{hm}(\phi)^2) \\ &= 1 - \operatorname{sun}(\beta)^2 - \operatorname{sun}(\gamma)^2 + \operatorname{sun}(\beta)^2\operatorname{sun}(\gamma)^2 - \operatorname{hm}(\beta)^2\operatorname{hm}(\gamma)^2\operatorname{hm}(\phi)^2 \Rightarrow \\ \operatorname{sun}(\alpha)^2 &- 2\operatorname{sun}(\alpha)\operatorname{sun}(\beta)\operatorname{sun}(\gamma) = 1 - \operatorname{sun}(\beta)^2 - \operatorname{sun}(\gamma)^2 - \operatorname{hm}(\beta)^2\operatorname{hm}(\gamma)^2\operatorname{hm}(\phi)^2. \end{split}$$

Η τελευταία εξίσωση γράφεται

$$\begin{split} \eta\mu(\beta)^2\,\eta\mu(\gamma)^2\,\eta\mu(\phi)^2 &\ = \ 1 - \text{sun}(\alpha)^2 - \text{sun}(\beta)^2 - \text{sun}(\gamma)^2 + 2\,\text{sun}(\alpha)\,\text{sun}(\beta)\,\text{sun}(\gamma) \Leftrightarrow \\ \eta\mu(\phi)^2 &\ = \ \frac{1 - \text{sun}(\alpha)^2 - \text{sun}(\beta)^2 - \text{sun}(\gamma)^2 + 2\,\text{sun}(\alpha)\,\text{sun}(\beta)\,\text{sun}(\gamma)}{\eta\mu(\beta)^2\,\eta\mu(\gamma)^2} \Leftrightarrow \\ \frac{\eta\mu(\phi)^2}{\eta\mu(\alpha)^2} &\ = \ \frac{1 - \text{sun}(\alpha)^2 - \text{sun}(\beta)^2 - \text{sun}(\gamma)^2 + 2\,\text{sun}(\alpha)\,\text{sun}(\beta)\,\text{sun}(\gamma)}{\eta\mu(\alpha)^2\,\eta\mu(\beta)^2\,\eta\mu(\gamma)^2}. \end{split}$$

Ο τελευταίος τύπος είναι συμμετρικός ως προς τα α, $\beta$  και γ, συνεπώς  $\vartheta$ α είναι ο ίδιος και γιά τα άλλα πηλίκα  $\frac{\eta\mu(\chi)^2}{\eta\mu(\beta)^2}$ ,  $\frac{\eta\mu(\psi)^2}{\eta\mu(\gamma)^2}$ , ο.ε.δ. Η μετάφραση του προηγούμενου τύπου γιά σφαιρικά τρίγωνα δίδεται από την επόμενη

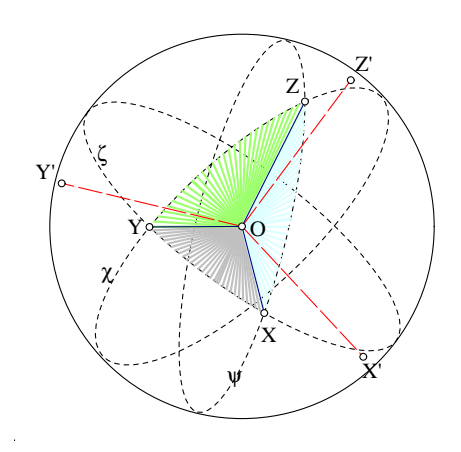
πρόταση.

**Πρόταση 8.15.6** Γιά κάθε σφαιρικό τρίγωνο με πλευρές μήκους  $\alpha^*, \beta^*, \gamma^*$  και αντίστοιχες απέναντι γωνίες φ,χ και ψ ισχύει:

$$\frac{\eta\mu(\phi)}{\eta\mu(\frac{\alpha^*}{\rho})} = \frac{\eta\mu(\chi)}{\eta\mu(\frac{\beta^*}{\rho})} = \frac{\eta\mu(\psi)}{\eta\mu(\frac{\gamma^*}{\rho})},$$

όπου ρ η ακτίνα της σφαίρας.

Η επόμενη ειχόνα δείχνει την παραπληρωματιχή τρίεδρο ΟΧΥΥΖ΄ μιάς τριέδρου ΟΧΥΖ που η κορυφή της έχει τοποθετηθεί στο κέντρο της σφαίρας. Κάθε έδρα της τριέδρου ΟΧΥΖ ορίζει ένα επίπεδο διά του Ο και αυτό τέμνει την σφαίρα κατά ένα μέγιστο κύκλο. Έτσι το επίπεδο ΧΟΥ τέμνει στην σφαίρα τον μέγιστο χύχλο ζ χαι το Ζ΄ είναι ο πόλος του ζ από την μεριά που είναι και το Z. Ανάλογα και τα άλλα σημεία X' και Y' είναι οι πόλοι των μεγίστων χύχλων που ορίζουν οι έδρες της τριέδρου λαμβανόμενοι από την μεριά της έδρας που ευρίσκεται και ολόκληρη η αρχική τρίεδρος.



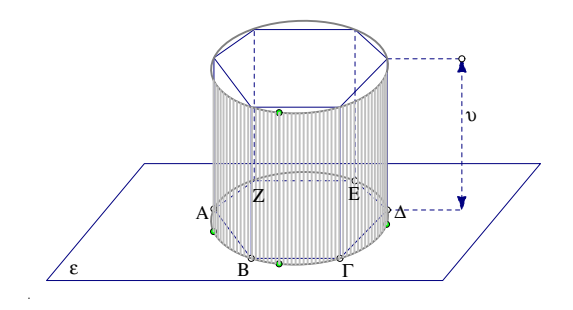
Σχήμα 698: Η παραπληρωματική τρίεδρος

 ${
m 'A}$ σχηση 8.15.1  $\Delta$ εί ${
m '}\epsilon$ ότι το σφαιρικό ισόπλευρο τρίγωνο, του οποίου και οι τρεις γωνίες είναι ορθές, είναι ίσο με το παραπληρωματικό του.

Κεφάλαιο 9 Εμβαδά στο χώρο, όγκοι

## 9.1 Εμβαδά στο χώρο

Το εμβαδόν πολυεδρικών επιφανειών στηρίζεται στους ορισμούς και τις ιδιότητες του εμβαδού επιπέδων σχημάτων. Έτσι το εμβαδόν της επιφάνειας του ορθογωνίου παραλληλογράμμου με πλευρές μήκους α, β και γ είναι 2(αβ+βγ+γα), το εμβαδόν της επιφανείας του κύβου πλευράς  $\delta$  είναι  $6\delta^2$  και ανάλογα υπολογίζονται τα εμβαδά όλων των πολυέδρων προσθέτοντας τα εμβαδά των εδρών που τα αποτελούν. Το εμβαδόν των πολυέδρων λοιπόν δεν παρουσιάζει δυσκολίες και επομένως θεωρητικό ενδιαφέρον (δες ωστόσο τις ασκήσεις παρακάτω). Εκεί που παρουσιάζονται δυσκολίες είναι στα εμβαδά καμπύλων επιφανειών, όπως ο κύλινδρος, ο χώνος, η σφαίρα, χαθώς χαι τμημάτων αυτών των επιφανειών. Ο ορισμός του εμβαδού αυτών των επιφανειών ή/και τμημάτων τους με έναν γενικό τρόπο, παρόμοια με τον ορισμό μήκους γενικών καμπυλών είναι αντικείμενο της Διαφορικής *γεωμετρίας* (εμβαδόν χωρίων επιφανείας [dC76, σ. 114], στοιχείο όγκου υποπολλαπλότητας[Σπί94, σελ. 130]) και ξεπερνά τα πλαίσια αυτού του μαθήματος. Αποδεικνύεται ωστόσο ότι το εμβαδόν του κώνου, του χυλίνδρου χαι της σφαίρας μπορεί να ορισθεί ως όριο εμβαδών πολυέδρων εγγεγραμμένων σε αυτές τις επιφάνειες. Η διαδικασία είναι, στην ουσία, η ίδια με αυτήν που χρησιμοποιήσαμε γιά τον ορισμό του μήκους και του εμβαδού του κύκλου (Παράγραφος 6.5). Το Εμβαδόν κώνου ορίζεται ως το όριο των εμβαδών κανονικών πυραμίδων εγγεγραμμένων στον κώνο. Παρόμοια το Εμβαδόν του κυλίνδρου ορίζεται ως όριο κανονικών πρισμάτων εγγεγραμμένων στον κύλινδρο. Σε αυτά τα δύο σχήματα το εμβαδόν των βάσεων είναι αυτό του κύκλου, επομένως το ενδιαφέρον εστιάζεται στον υπολογισμό του εμβαδού της παράπλευρης επιφάνειας. Ως Παράπλευρο εμβαδόν του χυλίνδρου θεωρούμε το όριο των



Σχήμα 699: Εμβαδόν παράπλευρης επιφάνειας κυλίνδρου

παράπλευρων εμβαδών των κανονικών πρισμάτων των εγγεγραμμένων στον κύλινδρο καθώς αυξάνουμε τον αριθμό των πλευρών τους. Ας συμβολίζουμε πάλι με  $\Pi_1,\Pi_2,\Pi_3,...$  τα κανονικά πολύγωνα που χρησιμοποιήσαμε και στην Παράγραφο 6.2. Αρχίζουν από το τετράγωνο  $(\Pi_1)$  εγγεγραμμένο στον κύκλο κ και καθένα από τα επόμενα είναι επίσης εγγεγραμμένο στον κ και έχει διπλάσιο πλήθος πλευρών από το προηγούμενο. Εάν  $p_{\nu}$  συμβολίζει την περίμετρο του  $\Pi_{\nu}$  τότε το εμβαδόν της παράπλευρης επιφάνειας του κανονικού πρίσματος με βάση το  $\Pi_{\nu}$  είναι

$$v \cdot p_{\nu}$$

όπου υ το ύψος του πρίσματος. Από το Λήμμα 6.2.2 προκύπτει ότι η ακολουθία

$$v \cdot p_1, \quad v \cdot p_2, \quad v \cdot p_3, \dots$$

είναι αύξουσα. Και από το  $\Lambda$ ήμμα 6.2.3 προκύπτει ότι η ακολουθία είναι και φραγμένη, άρα κατά το  $\Lambda$ ξίωμα 6.1.1 η ακολουθία θα συγκλίνει. Το όριο ακριβώς αυτής της ακολουθίας ονο-

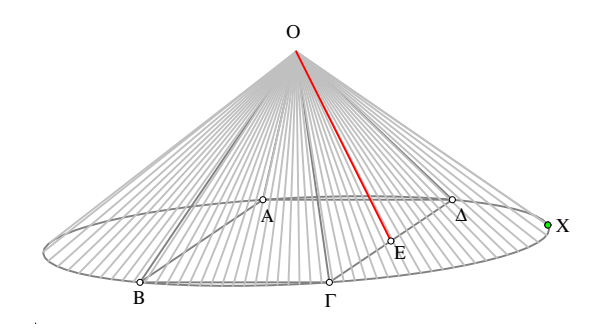
μάζουμε παράπλευρο Εμβαδόν του κυλίνδρου. Προκύπτει λοιπόν από τα προηγούμενα (Πόρισμα 6.3.1) η επόμενη πρόταση.

Πρόταση 9.1.1 Το εμβαδόν της παράπλευρης επιφάνειας κυλίνδρου είναι ίσο με

$$\epsilon = 2\pi \cdot \rho \cdot \upsilon$$

όπου ρ η ακτίνα της βάσης του κυλίνδρου και υ το ύψος του.

Ο υπολογισμός του παράπλευρου εμβαδού του κώνου γίνεται με ανάλογο τρόπο. Ως Παρά-



Σχήμα 700: Εμβαδόν παράπλευρης επιφάνειας κώνου

πλευρο εμβαδόν του κώνου θεωρούμε το όριο των παράπλευρων εμβαδών των κανονικών πυραμίδων των εγγεγραμμένων στον κώνο καθώς αυξάνουμε τον αριθμό των πλευρών τους. Με τους προηγούμενους συμβολισμούς το εμβαδόν της παράπλευρης επιφάνειας του κανονικού κώνου με βάση το  $\Pi_{\nu}$  είναι

$$\frac{1}{2} \cdot v_{\nu} \cdot p_{\nu},$$

όπου  $v_{\nu}$  το ύψος της τριγωνικής έδρας του πρίσματος (όχι το ύψος του κώνου, ούτε η γενέτειρα, αλλά το μήκος του τμήματος όπως το ΟΕ στο σχήμα-700). Και πάλι διαπιστώνουμε εύκολα ότι η ακολουθία

$$\frac{1}{2} \cdot \upsilon_1 \cdot p_1, \quad \frac{1}{2} \cdot \upsilon_2 \cdot p_2, \quad \frac{1}{2} \cdot \upsilon_3 \cdot p_3, \dots$$

είναι αύξουσα και φραγμένη από τον αριθμό

$$\frac{1}{2} \cdot \upsilon \cdot (2\pi\rho),$$

όπου v=|OX| το μήκος της γενέτειρας του κώνου και ρ η ακτίνα του κύκλου της βάσης του. Και πάλι κατά το Αξίωμα 6.1.1 η ακολουθία θα συγκλίνει. Το όριο ακριβώς αυτής της ακολουθίας ονομάζουμε παράπλευρο  $\mathbf{E}$ μβαδόν του κώνου.

Πρόταση 9.1.2 Το εμβαδόν της παράπλευρης επιφάνειας κώνου είναι ίσο με

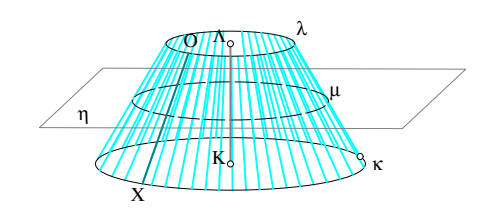
$$\epsilon = \pi \cdot \upsilon \cdot \rho,$$

όπου ρ η ακτίνα της βάσης του κώνου και υ το μήκος της γενέτειράς του.

Aπόδειξη: Σκιαγραφώ την απόδειξη γιατί δεν θέλω να μπω στις λεπτομέρειες γιά τα όρια.  $\Delta$ είχνουμε λοιπόν πρώτα ότι η ακολουθία

$$v_1, v_2, v_3, ...$$

είναι αύξουσα και φραγμένη άρα συγκλίνει και μάλιστα προς το v=|OX|. Γιά τις περιμέτρους  $p_{\nu}$  γνωρίζουμε ήδη ότι συγκλίνουν στο  $2\pi\rho$ . Γιά την ολοκλήρωση της απόδειξης χρειάζεται και ο κανόνας γιά τα όρια, σύμφωνα με τον οποίο το όριο του γινομένου ακολουθιών που συγκλίνουν είναι το γινόμενο των ορίων. Κατ' αυτόν λοιπόν τον κανόνα το όριο της ακολουθίας  $(v_{\nu})(p_{\nu})$  θα είναι το  $v\cdot(2\pi\rho)$  απ' όπου προκύπτει και ο τύπος του εμβαδού, ο.ε.δ.

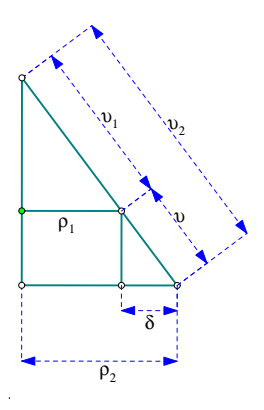


Σχήμα 701: Εμβαδόν παράπλευρης επιφάνειας κόλουρου κώνου

Ο υπολογισμός του εμβαδού της παράπλευρης επιφάνειας κόλουρου κώνου ανάγεται στον αντίστοιχο υπολογισμό γιά κώνους. Η παράπλευρη επιφάνεια του κόλουρου κώνου μπορεί να θεωρηθεί ως η διαφορά της παράπλευρης του κώνου ως προς την μεγάλη βάση (κύκλος κ στο σχήμα-701) μείον την παράπλευρη του κώνου ως προς την μικρή βάση (κύκλος λ στο σχήμα-701). Εφαρμόζοντας τον τύπο έχουμε συνεπώς ότι το εμβαδόν δίδεται από τον τύπο

$$\epsilon = \pi(\upsilon_2 \rho_2 - \upsilon_1 \rho_1),$$

όπου  $\rho_1, \rho_2, \upsilon_1, \upsilon_2$  είναι τα μήκη γενέτειρας και ακτίνας βάσης των δύο κώνων των οποίων η διαφορά είναι ο κόλουρος κώνος.



Σχήμα 702: Τομή κόλουρου κώνου

Θέτοντας  $v=v_2-v_1, \delta=\rho_2-\rho_1$  και αντικαθιστώντας στον τύπο έχουμε ότι

$$v_{2}\rho_{2} - v_{1}\rho_{1} = (v_{1} + v)(\rho_{1} + \delta) - v_{1}\rho_{1}$$

$$= v\rho_{1} + v_{1}\delta + v\delta$$

$$= v\rho_{1} + (v\frac{\rho_{1}}{\delta})\delta + v\delta$$

$$= v(\rho_{1} + \rho_{1} + \delta)$$

$$= v(\rho_{1} + \rho_{2}).$$

Η αντικατάσταση στην μεσαία ισότητα προκύπτει από την ομοιότητα των αντιστοίχων ορθογωνίων τριγώνων. Το ημιάθροισμα  $\rho=\frac{1}{2}(\rho_1+\rho_2)$  είναι η ακτίνα της μεσαίας τομής του κόλουρου κώνου και έτσι έχουμε την επόμενη πρόταση.

Πρόταση 9.1.3 Το εμβαδόν της παράπλευρης επιφάνειας του κόλουρου κώνου δίδεται από τον τύπο

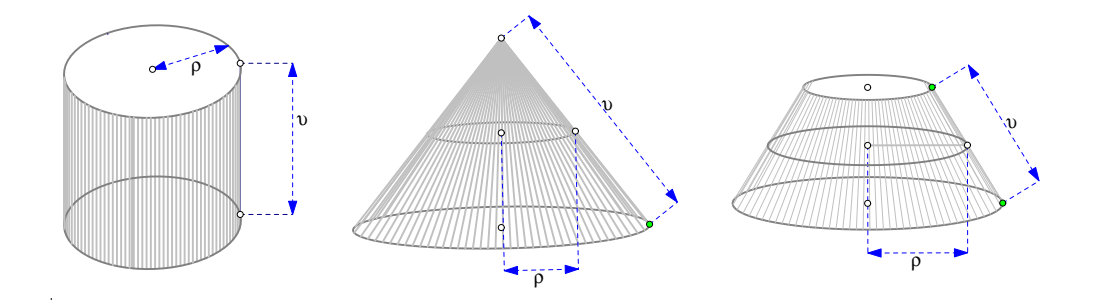
$$\epsilon = 2\pi \cdot \rho \cdot \upsilon$$

όπου ρ η ακτίνα της μεσαίας τομής του και υ το μήκος της γενέτειράς του.

**Πόρισμα 9.1.1** Το εμβαδόν της παράπλευρης επιφάνειας κυλίνδρου, κώνου καθώς και κόλουρου κώνου δίδεται από τον τύπο

$$\epsilon = 2\pi\rho v$$
,

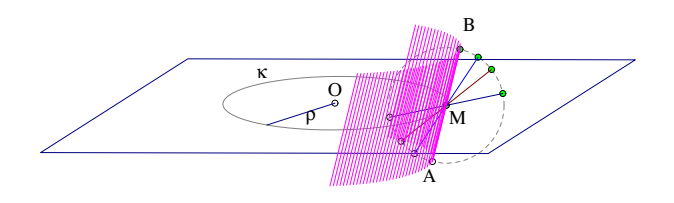
όπου υ το μήκος της γενέτειρας και ρ η ακτίνα της μεσαίας τομής του στερεού.



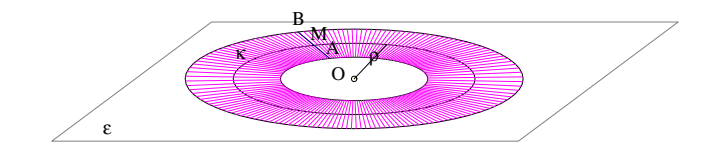
Σχήμα 703: Εμβαδόν παράπλευρης επιφάνειας, εννιαίος τύπος

Απόδειξη: Το πόρισμα απλά ενοποιεί τα επιμέρους αποτελέσματα των τριών προηγουμένων προτάσεων βάσει της παρατήρησης ότι γιά τον χώνο η μεσαία τομή είναι ο χύχλος με αχτίνα το μισό της αχτίνας της βάσης, ενώ στον χύλινδρο η μεσαία τομή είναι χύχλος ίσος με αυτόν της βάσης, ο.ε.δ.

 $\Sigma$ χόλιο-1 Ο τελευταίος τύπος δείχνει ότι το ευθύγραμμο τμήμα AB περιστρεφόμενο περί το μέσον του M παράγει παράπλευρη επιφάνεια κόλουρου κώνου με τό ίδιο εμβαδόν, ανεξάρτητα της κλίσης του προς το επίπεδο του κύκλου περιστροφής κ (σχήμα-704). Όταν το AB είναι κάθετο στο επίπεδο του κ τότε η παράπλευρη επιφάνεια είναι αυτή ενός κυλίνδρου. Όταν το AB είναι στο επίπεδο του κ και μικρότερο από την ακτίνα του κ, τότε παράγεται ένας επίπεδος κυκλικός δακτύλιος (σχήμα-705).



Σχήμα 704: Εμβαδόν παράπλευρης ανεξάρτητο της κλίσης του ΑΒ

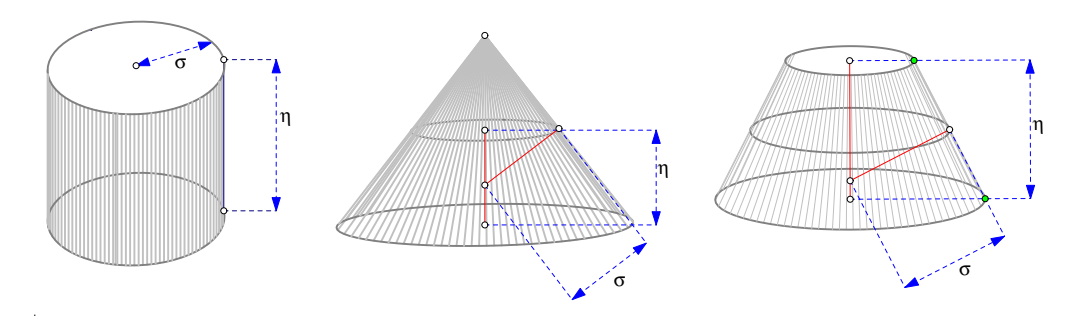


Σχήμα 705: Δακτύλιος όταν το ΑΒ περιέχεται στο ε

Πόρισμα 9.1.2 Το εμβαδόν της παράπλευρης επιφάνειας κυλίνδρου, κώνου καθώς και κόλουρου κώνου δίδεται από τον τύπο

$$\epsilon = 2\pi\sigma\eta$$
,

όπου σ η απόσταση του μέσου της γενέτειρας από τον άξονα και η το ύψος του στερεού.



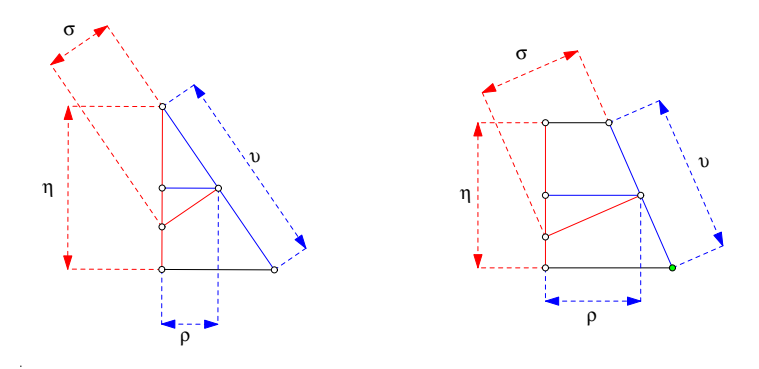
Σχήμα 706: Εμβαδόν παράπλευρης επιφάνειας, εννιαίος τύπος ΙΙ

Aπόδειξη: Απόδειξη διά του σχήματος. Στην περίπτωση του κυλίνδρου το πόρισμα ταυτίζεται με το προηγούμενο. Στις περιπτώσεις του κώνου και του κόλουρου κώνου, από την ομοιότητα των ορθογωνίων τριγώνων με πλευρές (ρ,σ) και (η,υ) αντίστοιχα προκύπτει

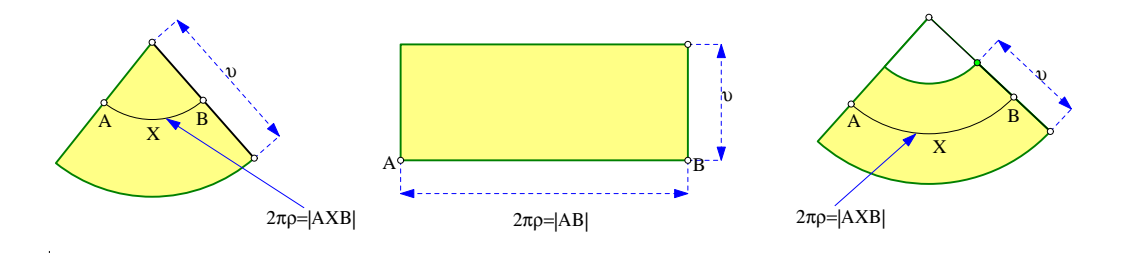
$$\frac{\rho}{\sigma} = \frac{\eta}{v} \quad \Rightarrow \quad \rho v = \sigma \eta.$$

Αντικαθιστώντας το ρυ στον τύπο του προηγούμενου πορίσματος αποδεικνύουμε το ζητούμενο, ο.ε.δ.

Σχόλιο-2 Αν χρησιμοποιήσουμε τα περί αναπτύγματος που αναφέρθηκαν στις παραγράφους 8.9, 8.8 και ειδικά το ότι η διαδικασία του αναπτύγματος διατηρεί τα μήκη και τα εμβαδά, οι τύποι, που αποδείχθηκαν εδώ με την χρήση ορίων, ανάγονται απ' αυτήν την σκοπιά σε απλούς υπολογισμούς επιπέδων εμβαδών. Το επόμενο σχήμα δείχνει τα αναπτύγματα κώνου, κυλίνδρου και κόλουρου κώνου και τα εμβαδά τους. Και στις τρεις περιπτώσεις το



Σχήμα 707: Εμβαδόν παράπλευρης επιφάνειας, εννιαίος εναλλακτικός τύπος

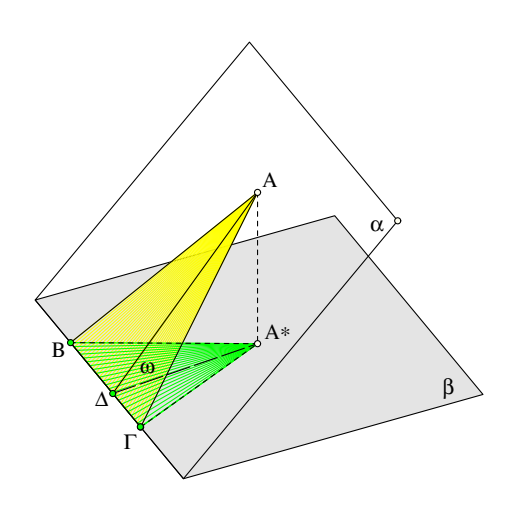


Σχήμα 708: Εμβαδόν μέσω αναπτύγματος

υ είναι το μήκος της γενέτειρας και το ρ είναι η ακτίνα της μέσης τομής και ευρίσκεται από την αντίστοιχη ισότητα που αναγράφεται.  $\Sigma$ ε αυτήν το δεξί μέλος είναι, στις περιπτώσεις του κώνου και του κόλουρου κώνου, το μήκος τόξου AXB και στην περίπτωση του κυλίνδρου το μήκος του ευθυγράμμου τμήματος AB.

'Ασκηση 9.1.1  $\Delta \epsilon$ ίξε ότι από τα παραλληλεπίπεδα που εγγράφονται σε δεδομένο κύλινδρο ο κύβος έχει την μέγιστη δυνατή παράπλευρη επιφάνεια.

Υπόδειξη: Χρησιμοποίησε την Άσκηση 2.13.6.



Σχήμα 709: Προβολή τριγώνου σε άλλο επίπεδο

Άσκηση 9.1.2  $\Delta$ είξε ότι δοθέντων δύο επιπέδων α και  $\beta$  και τριγώνου  $AB\Gamma$  του επιπέδου α, έτσι ώστε η πλευρά του  $B\Gamma$  να είναι επί της τομής των α και  $\beta$ , το εμβαδόν της προβολής  $A*B\Gamma$  του  $AB\Gamma$  στο  $\beta$  είναι

$$\epsilon(A^*B\Gamma) = \sigma \cup \nu(\omega) \epsilon(AB\Gamma),$$

όπου ω η γωνία των επιπέδων α και β.

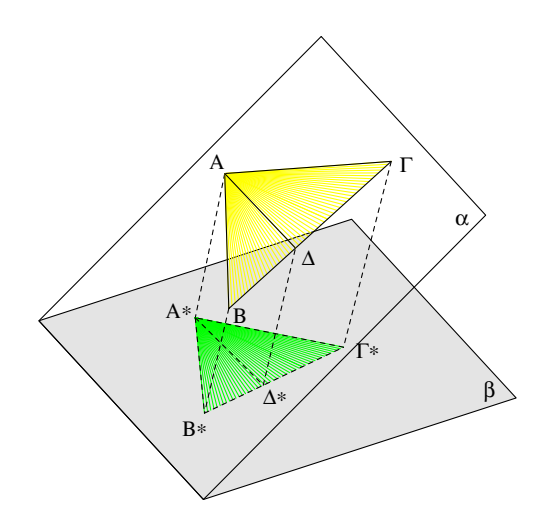
'Ασκηση 9.1.3  $\Delta \epsilon$ ίξε ότι ο προηγούμενος τύπος ισχύει και όταν το τρίγωνο  $AB\Gamma$  έχει την πλευρά του  $B\Gamma$  παράλληλο προς την τομή των α και  $\beta$ .

 $\Upsilon$ πόδ $\epsilon$ ιξη: Εφάρμοσε το Πόρισμα 8.1.2 και μετάφερε το  $AB\Gamma$  στο επίπεδο α παράλληλα εαυτώ έτσι ώστε η ακμή του  $B\Gamma$  να συμπέσει με την τομή των α,β.

'Ασκηση 9.1.4  $\Delta \epsilon$ ίξε ότι ο προηγούμενος τύπος ισχύει γιά κάθε τρίγωνο  $AB\Gamma$  του επιπέδου a και την προβολή του  $A*B*\Gamma*$  σε επίπεδο  $\beta$ .  $\Delta \eta \lambda a \delta \eta$ 

$$\epsilon(A^*B^*\Gamma^*) = \text{GUV}(\omega)\epsilon(AB\Gamma),$$

όπου ω η γωνία των επιπέδων α και β.



Σχήμα 710: Προβολή τριγώνου σε άλλο επίπεδο

Υπόδειξη: Από μία κορυφή του  $AB\Gamma$  λ.χ. την A φέρε παράλληλο  $A\Delta$  προς την τομή των α και β. Εφάρμοσε την προηγούμενη άσκηση στα δύο τρίγωνα  $AB\Delta$  και  $A\Gamma\Delta$  και πρόσθεσε ή αφαίρεσε, ανάλογα με το αν το  $\Delta$  είναι μέσα ή έξω από το  $B\Gamma$ .

'Ασκηση 9.1.5  $\Delta \epsilon$ ίξε ότι γιά κάθε κυρτό πολύγωνο  $AB\Gamma\Delta$ ... του επιπέδου α και την προβολή του  $A^*B^*\Gamma^*\Delta^*$ ... στο επίπεδο β ισχύει η σχέση μεταξύ των εμβαδών τους:

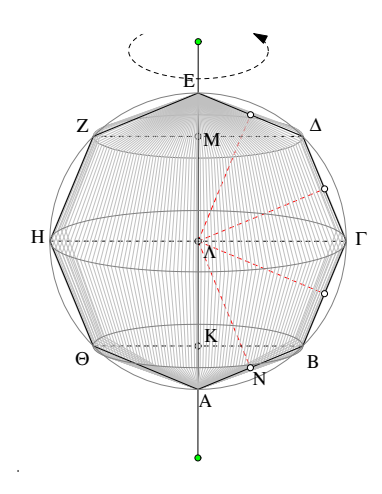
$$\epsilon(A^*B^*\Gamma^*\Delta^*...) = \text{sun}(\omega)\epsilon(AB\Gamma\Delta...),$$

όπου ω η γωνία των επιπέδων α και β.

 $\Upsilon$ πόδειξη: Φέρε από μία κορυφή του  $AB\Gamma\Delta...$  τις διαγώνιες και διαίρεσέ το σε τρίγωνα. Κατόπιν εφάρμοσε την προηγούμενη άσκηση και πρόσθεσε.

## 9.2 Εμβαδόν της σφαίρας

Το εμβαδόν της σφαίρας υπολογίζεται μέσω των εμβαδών στερεών που προχύπτουν από εγγεγραμμένα χανονιχά πολύγωνα. Θεωρούμε ότι η σφαίρα παράγεται από την περιστροφή ενός χύχλου χ περί διάμετρο AE αυτού. Μιά προσέγγιση της σφαίρας παράγεται από περιστροφή χανονιχού πολυγώνου εγγεγραμμένου στον χύχλο χ. Aς συμβολίζουμε πάλι με  $\Pi_1, \Pi_2, \Pi_3, ...$  τα χανονιχά πολύγωνα που χρησιμοποιήσαμε χαι στην Παράγραφο 6.2. Αρχίζουν από το τετράγωνο ( $\Pi_1$ ) εγγεγραμμένο στον χύχλο χ χαι χαθένα από τα επόμενα είναι επίσης εγγεγραμμένο στον χ χαι έχει διπλάσιο πλήθος πλευρών από το προηγούμενο. Κατά την περιστροφή ενός τέτοιου πολυγώνου περί την διάμετρο AE, που υποθέτουμε ότι συμπίπτει με μία διαγώνιο του πολυγώνου, παράγεται μία επιφάνεια που αποτελείται από χώνους χαι χόλουρους χώνους. Η παράπλευρη επιφάνεια αυτών των χώνων χαι χόλουρων χώνων



Σχήμα 711: Προσέγγιση επιφανείας σφαίρας

υπολογίσθηκε στην προηγούμενη παράγραφο και σύμφωνα με τους τύπους που αποδείχθηκαν (Πόρισμα 9.1.2) δίδει μιά συνολική επιφάνεια, που στην περίπτωση του οκταγώνου ( $\Pi_2$ ) κατά τους συμβολισμούς μας, σχήμα-711) είναι

$$\epsilon_2 = (2\pi \cdot \eta_2) \cdot (|AK| + |K\Lambda| + |\Lambda M| + |ME|) = (2\pi \cdot \eta_2) \cdot |AE| = (2\pi \cdot \eta_2)(2\rho)$$

όπου  $\eta_2=|\Lambda N|$  είναι η απόσταση της πλευράς του οκταγώνου  $(\Pi_2)$  από το κέντρο του κύκλου, που είναι ίση με την ακτίνα του εγγεγραμμένου κύκλου του κανονικού πολυγώνου και ρ η ακτίνα του κύκλου κ στον οποίον είναι εγγεγραμμένα τα πολύγωνα. Θεωρούμε λοιπόν ότι το εμβαδόν της επιφανείας της σφαίρας είναι το όριο της ακολουθίας που προκύπτει ανάλογα

$$\epsilon_1 = (4\pi\rho)\eta_1, \ \epsilon_2 = (4\pi\rho)\eta_2, \ \epsilon_3 = (4\pi\rho)\eta_3, \dots$$

Το ότι η ακολουθία αυτή συγκλίνει το συμπεραίνουμε από το ότι η ακολουθία των ακτίνων

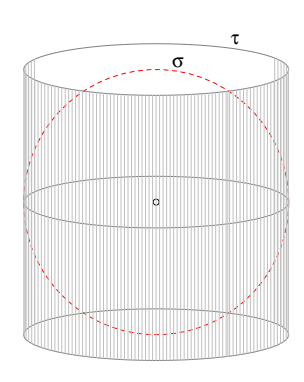
$$\eta_1, \eta_2, \eta_3, \dots$$

των κύκλων των εγγεγραμμένων στα πολύγωνα  $\Pi_{\nu}$  (που με την σειρά τους είναι εγγεγραμμένα στον κύκλο με διάμετρο  $|AE|=2\rho$ ) συγκλίνει στο ρ. Συνεπώς το όριο αυτών των εμβαδών  $\epsilon_{\nu}$  είναι το

$$\epsilon = 4\pi \rho^2.$$

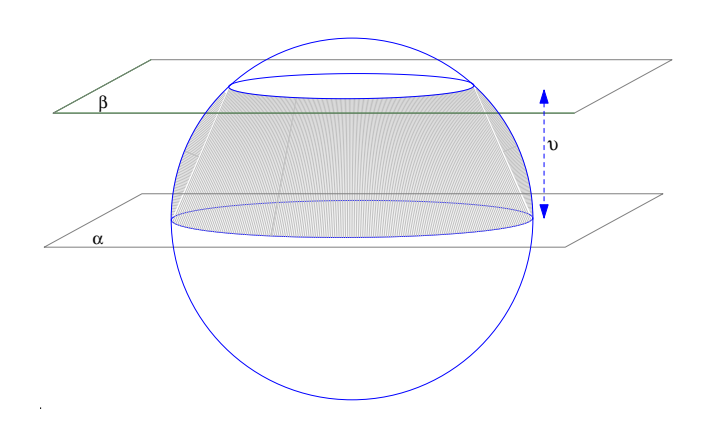
Μετά λοιπό από αρχετές παραδοχές σχετικά με το τί θα ονομάζουμε εμβαδόν της σφαίρας καταλήγουμε στην επόμενη πρόταση.

**Πρόταση 9.2.1** Το  $\epsilon \mu \beta a \delta \delta \nu$  της  $\epsilon \pi i \varphi \dot{a} \nu \epsilon i a \varsigma$  της σφαίρας ακτίνας  $\rho$   $\epsilon i \nu a i \epsilon = 4 \pi \rho^2$ .



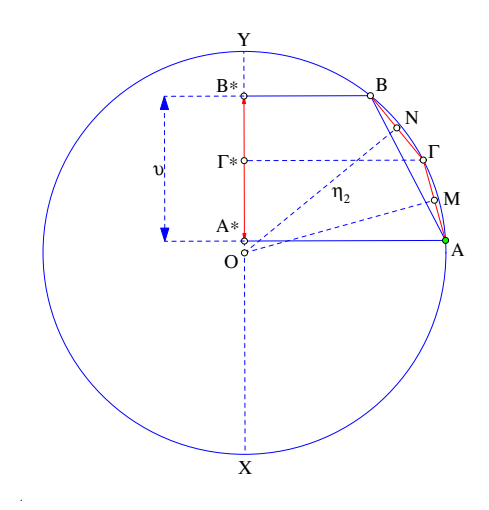
Σχήμα 712: Σφαίρα και περιβάλλων κύλινδρος

**Πόρισμα 9.2.1** Η σφαίρα σ έχει το ίδιο εμβαδόν με την παράπλευρη επιφάνεια του περιβάλλοντος αυτήν κυλίνδρου τ.



Σχήμα 713: Εμβαδόν σφαιρικής ζώνης

Ονομάζουμε  $\Sigma$  φαιρική ζώνη το τμήμα της σφαίρας που περιλαμβάνεται μεταξύ δύο παραλλήλων επιπέδων που την τέμνουν. Η απόσταση υ των επιπέδων λέγεται ' $\Upsilon$  ψος της σφαιρικής ζώνης. Το εμβαδόν της σφαιρικής ζώνης ορίζεται, παρόμοια με αυτό της σφαίρας, ως όριο εμβαδών σωμάτων εγγεγραμμένων στην σφαιρική ζώνη. Θεωρούμε την σφαιρική ζώνη ως παραγόμενη από την περιστροφή τόξου AB κύκλου κ περί διάμετρο XY αυτού (σχήμα-714). Το εμβαδόν της επιφάνειας που παράγεται ορίζεται ως το όριο του αθροίσματος των παράπλευρων επιφανειών των κόλουρων κώνων που προκύπτουν χωρίζοντας το τόξο σε ν ίσα μέρη και θεωρώντας την αντίστοιχη πολυγωνική γραμμή με κορυφές τα σημεία διαίρεσης.  $\Omega$ ς πρώτη πολυγωνική γραμμή  $P_1$  παίρνουμε το ίδιο το ευθύγραμμο τμήμα AB, οπότε κατά την περιστροφή του προκύπτει κόλουρος κώνος. Η δεύτερη πολυγωνική γραμμή προκύπτει παίρνοντας το μέσον  $\Gamma$  του τόξου και θεωρώντας την πολυγωνική γραμμή  $A\Gamma B$ . Προκύπτει κατ' αυτόν τον τρόπο μιά ακολουθία πολυγωνικών γραμμών  $P_1, P_2, P_3, \ldots$  που προσεγγίζει



Σχήμα 714: Ορισμός εμβαδού σφαιρικής ζώνης

το τόξο AB. Κάθε πολυγωνική γραμμή έχει διπλάσιο πλήθος πλευρών από την προηγούμενη. Όπως και στην σφαίρα ορίζεται γιά κάθε πολύγωνο  $P_{\nu}$  η αντίστοιχη ακτίνα του εγγεγραμμένου κύκλου  $\eta_{\nu}$  και η παράπλευρη επιφάνεια του παραγόμενου στερεού προκύπτει ακριβώς όπως και στον κύκλο

$$\epsilon_{\nu} = 2(\pi \eta_{\nu}) \cdot |A^*B^*| = (2\pi v)\eta_{\nu}.$$

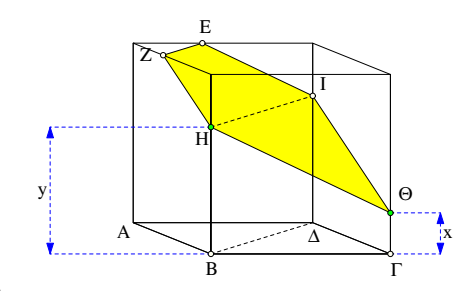
Όπως είδαμε προηγουμένως τα  $\eta_{\nu}$  συγκλίνουν στην ακτίνα ρ του περιγεγραμμένου κύκλου και συνεπώς της εξ αυτού παραγόμενης σφαίρας, άρα αποδείξαμε την επόμενη πρόταση.

**Πρόταση 9.2.2** Το  $\epsilon$ μβαδόν σφαιρικής ζώνης ύψους v σ $\epsilon$  μιά σφαίρα ακτίνας  $\rho$  ισούται μ $\epsilon$ 

$$\epsilon = 2\pi \cdot \rho \cdot \upsilon$$

συν $\in$ πώς  $\in$ ίναι αν $\in$ ξάρτητο της θέσης της ζώνης στην σφαίρα και  $\in$ ξαρτάται μόνον από το ύψος της.

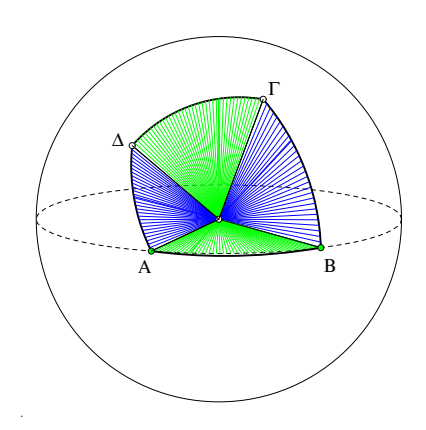
Άσκηση 9.2.1  $\Delta$ ίδεται κύβος με βάση  $AB\Gamma\Delta$ . Στην κάθετη ακμή από το  $\Gamma$  παίρνουμε ευθύγραμμο τμήμα  $\Gamma\Theta$  μήκους x. Από το σημείο H της καθέτου ακμής στο B και σε απόσταση |BH|=y φέρνουμε την παράλληλο HI της διαγωνίου  $B\Delta$ . Το επίπεδο  $\Theta HI$  τέμνει τον κύβο, γιά ορισμένες τιμές των x,y, κατά πεντάγωνο.  $\Delta$ οθέντος του x να βρεθεί γιά ποιές τιμές του y συμβαίνει αυτό. Επίσης να υπολογισθεί το εμβαδόν του προκύπτοντος πενταγώνου.



Σχήμα 715: Πενταγωνική τομή κύβου

## 9.3 Εμβαδόν σφαιρικών πολυγώνων

Έχοντας το εμβαδόν της σφαίρας μπορούμε να ρίξουμε μιά σύντομη ματιά στα στοιχειώδη σχήματα που ορίζονται πάνω στην επιφάνειά της και τα εμβαδά τους. Τα πράγματα είναι ανάλογα με το επίπεδο. Εξ άλλου σε μιά τεράστια σφαίρα (ως προς το μέγεθός μας), όπως η γη, είναι δύσκολο να ξεχωρίσουμε την πραγματική ευθεία από τον μέγιστο κύκλο της σφαίρας. Όπως και στο επίπεδο, το εμβαδόν ορίζεται πρώτα γιά Σφαιρικά πολύγωνα, δηλαδή πολύγωνα πάνω στην σφαίρα, των οποίων οι πλευρές είναι τόξα μεγίστων κύκλων. Τα σφαιρικά πολύγωνα, κατ' αναλογίαν με τα σφαιρικά τρίγωνα, δημιουργούνται πάνω στην σφαίρα, τοποθετώντας την κορυφή μιάς πολυεδρικής γωνίας στο κέντρο της σφαίρας και θεωρώντας τις τομές των εδρών της με την σφαίρα. Οι τομές αυτές ορίζουν τις πλευρές του σφαιρικού πολυγώνου. Οι δίεδρες της πολυεδρικής γωνίας ορίζουν τις γωνίες του σφαιρικού πολυγώνου. Δύο σφαιρικά πολύγωνα λέγονται Ίσα, όταν έχουν ίσες αντίστοιχες πλευρές και ίσες αντίστοιχες γωνίες. Γιά απλότητα περιοριζόμαστε σε Κυρτά σφαιρικά πολύγωνα, δηλαδή πολύγωνα των οποίων οι πλευρές (τόξα μεγίστων κύκλων) προεκτεινόμενες αφήνουν όλο το πολύγωνο από την μία μεριά (σε ένα από τα δύο ημισφαίρια που ορίζει ο μέγιστος κύκλοσ-φορέας της πλευράς). Οι τρείς πρώτες ιδιότητες που απαιτούμε από το



Σχήμα 716: Κυρτό σφαιρικό τετράπλευρο ΑΒΓΔ

εμβαδόν, είναι οι ίδιες με αυτές του εμβαδού στο επίπεδο (3.1). Την μεγάλη διαφορά κάνει η τελευταία ιδιότητα. Όσο μεγάλη και να είναι η σφαίρα  $\Sigma$ , την ακτίνα της οποίας υποθέτουμε ίση με ρ, έχει πάντως πεπερασμένο εμβαδόν, σε αντίθεση με το Ευκλείδειο επίπεδο.

Ιδιότητα 9.3.1 Δύο ίσα πολύγωνα έχουν ίσα εμβαδά.

**Ιδιότητα 9.3.2** Ενα πολύγωνο Π που συντίθεται από άλλα, πεπερασμένα το πλήθος, πολύγωνα  $\Pi, \Pi', \Pi''$ , ... που δεν επικαλύπτονται έχει εμβαδόν το άθροισμα των εμβαδών των πολυγώνων

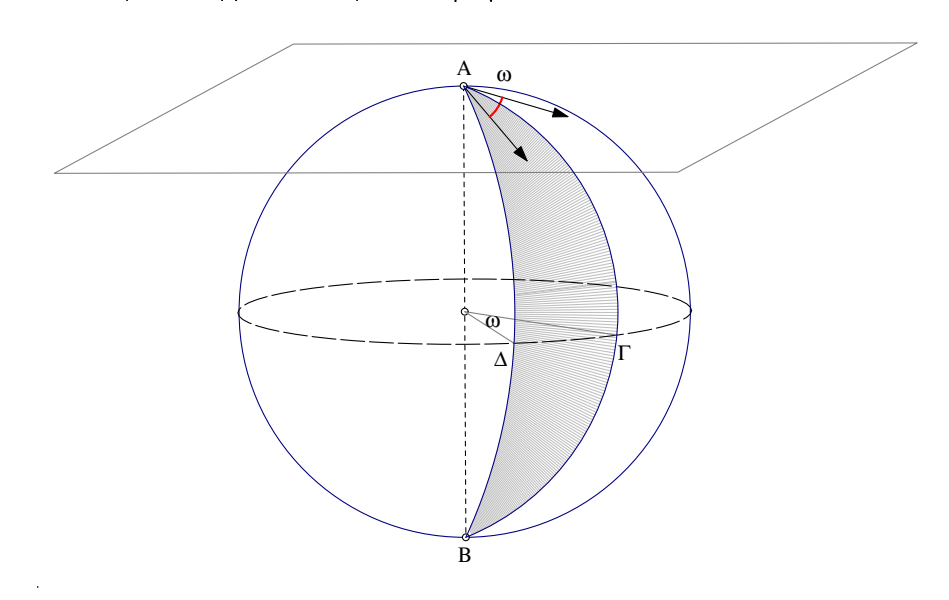
$$\epsilon(\Pi) = \epsilon(\Pi') + \epsilon(\Pi'') + \dots$$

**Ιδιότητα 9.3.3** Ενα πολύγωνο Π που περιέχεται μέσα σέ ένα άλλο Π' έχει εμβαδόν

$$\epsilon(\Pi) < \epsilon(\Pi').$$

**Ιδιότητα 9.3.4** Το  $\epsilon \mu \beta a \delta \delta \nu$  ολόκληρης της σφαίρας  $\epsilon i \nu a i 4\pi \rho^2$ .

 $\Sigma$ χόλιο-1 Και γι' αυτές τις ιδιότητες Ισχύει το ανάλογο με το σχόλιο που κάναμε και γιά το εμβαδόν πολυγώνων (Παράγραφος 3.1). Τα αποτελέσματα αυτής της παραγράφου θα δείξουν, ότι, όπως και στο Ευκλείδειο επίπεδο, οι ιδιότητες 9.3.1 - 9.3.4 που δεχόμαστε γιά το εμβαδόν, καθορίζουν πλήρως τον τύπο του εμβαδού γιά σφαιρικά τρίγωνα (Θεώρημα 9.3.1) και γενικότερα το εμβαδόν κυρτών σφαιρικών πολυγώνων.



Σχήμα 717: Σφαιρική άτρακτος γωνίας ω

Πρόταση 9.3.1 Το εμβαδόν σφαιρικής ατράκτου Τ γωνίας ω (σε ακτίνια) είναι

$$\epsilon(T) = \omega(2\rho^2).$$

Aπόδειξη: Αν η γωνία της σφαιρικής ατράκτου  $T=AB\Gamma\Delta$  είναι της μορφής  $\omega=\frac{2\pi}{\nu}$ , όπου ν θετικός ακέραιος αριθμός, τότε η πρόταση ισχύει. Αυτό έπεται από την προσθετική Ιδιότητα 9.3.2 και την Ιδιότητα 9.3.4 που απαιτούμε από το εμβαδόν. Σύμφωνα με αυτές τοποθετώντας ν το πλήθος τέτοιες ατράκτους διαδοχικά καλύπτουμε όλη την σφαίρα και έχουμε

$$4\pi\rho^2 = \epsilon(\Sigma) = \nu\epsilon(T) \quad \Rightarrow \quad \epsilon(T) = \frac{2\pi}{\nu}2\rho^2.$$

Παρόμοια αν η γωνία είναι ρητό πολλαπλάσιο του 2π η πρόταση ισχύει. Ακριβέστερα αν

$$\omega = \frac{\mu}{\nu}(2\pi), \ \mu\varepsilon \ 0 < \frac{\mu}{\nu} < 1$$

και το κλάσμα των θετικών ακεραίων μ και ν είναι ανάγωγο, τότε ισχύει πάλι

$$\epsilon(T) = (\frac{\mu}{\nu} 2\pi)(2\rho^2).$$

Τούτο διότι η γωνία γράφεται σαν άθροισμα μ γωνιών μέτρου  $\frac{2\pi}{\nu}$  και επομένως η αντίστοιχη σφαιρική άτρακτος Τ γράφεται σαν ένωση μ διαδοχικών σφαιρικών ατράκτων εμβαδού, σύμφωνα με το προηγούμενο βήμα,  $\frac{2\pi}{\nu}(2\rho^2)$ . Συνεπώς και σ' αυτήν την περίπτωση

$$\epsilon(T) = \mu \frac{2\pi}{\nu} (2\rho^2) = \omega(2\rho^2).$$

Στην γενική περίπτωση, χρησιμοποιούμε το Λήμμα 3.2.3 με τον ίδιο τρόπο που το κάναμε γιά επίπεδα εμβαδά. Έστω λοιπόν ότι η γωνία ω είναι της μορφής

$$\omega = \theta(2\pi), \ \mu\varepsilon \ 0 < \theta < 1.$$

Κατά το προαναφερθέν λήμμα, γιά δοθέντα ακέραιο θετικό ν υπάρχει κατάλληλος ακέραιος μ έτσι ώστε

$$\frac{\mu}{\nu} < \theta < \frac{\mu + 1}{\nu}$$
.

Οι αντίστοιχες σφαιρικές άτρακτοι  $T_1, T, T_2$  με γωνίες

$$\omega_1 = \frac{\mu}{\nu}(2\pi), \quad \omega = \theta(2\pi), \quad \omega_2 = \frac{\mu + 1}{\nu}(2\pi),$$

τοποθετώντας τις έτσι ώστε η πρώτη πλευρά τους να ταυτίζεται, θα περιέχονται ο ένας μέσα στον άλλο και θα έχουμε

$$\epsilon(T_1) = \frac{2\pi\mu}{\nu}(2\rho^2) < \epsilon(T) < \epsilon(T_2) = \frac{2\pi(\mu+1)}{\nu}(2\rho^2).$$

Αν υποθέσουμε λοιπόν ότι

$$\delta = \epsilon(T) - (2\pi\theta)(2\rho^2),$$

είναι θετικός αριθμός τότε προκύπτει ότι η επόμενη ανισότητα

$$\delta = \epsilon(T) - (2\pi\theta)(2\rho^2) < \epsilon(T) - (2\pi\frac{\mu}{\nu})(2\rho^2)$$

$$< \epsilon(T_2) - (2\pi\frac{\mu}{\nu})(2\rho^2)$$

$$= (2\pi\frac{\mu+1}{\nu})(2\rho^2) - (2\pi\frac{\mu}{\nu})(2\rho^2)$$

$$= \frac{2\pi}{\nu}(2\rho^2).$$

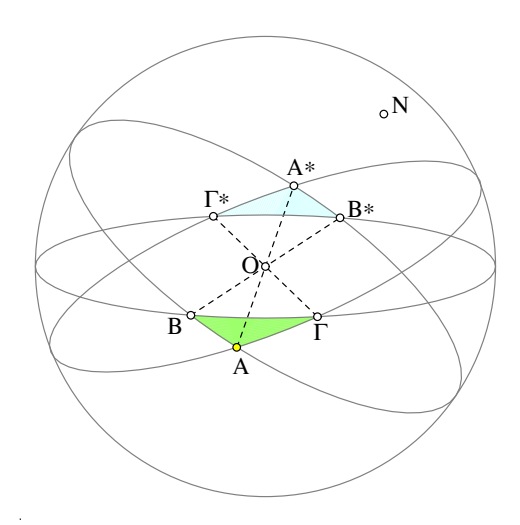
ισχύει γιά κάθε ν. Τούτο όμως είναι άτοπο διότι ο τελευταίος όρος μπορεί να γίνει μικρότερος του  $\delta$ , αρκεί να πάρουμε κατάλληλο ν. Παρόμοια δείχνουμε ότι οδηγεί σε άτοπο η υπόθεση  $\delta < 0$ , άρα πρέπει  $\delta = 0$ . Αυτό ολοκληρώνει την απόδειξη της πρότασης, ο.ε.δ.

Θεώρημα 9.3.1 Το  $\epsilon$ μβαδόν  $\epsilon(T)$  του σφαιρικού τριγώνου T σφαίρας  $\Sigma(\rho)$  μ $\epsilon$  (δί $\epsilon$ δρ $\epsilon$ ς) γωνί $\epsilon$ ς a, β και  $\gamma$  ισούται μ $\epsilon$ 

$$\epsilon(T) = (\alpha + \beta + \gamma - \pi)\rho^2.$$

Aπόδειξη: Η απόδειξη στηρίζεται στην εξαιρετική συμμετρία της σφαίρας. Το σφαιρικό τρίγωνο  $AB\Gamma$  ορίζει μέσω των αντιδιαμετρικών σημείων των κορυφών του ένα ίσο και επομένως ισοεμβαδικό(Iδιότητα 9.3.1) τρίγωνο  $A*B*\Gamma*$ . Το ημισφαίριο  $\Sigma_N$  (με πόλο N στο σχήμα-718) που ορίζεται από την πλευρά AB και περιέχει το τρίγωνο ονομάζω περιστασιακά βόρειο (και το άλλο νότιο), καλύπτεται πλήρως από τις σφαιρικές ατράκτους των γωνιών του τριγώνου με κάποιες επικαλύψεις:

- 1) Την άτρακτο ΒΑΓ που περιέχει το τρίγωνο.
- 2) Την άτρακτο ΑΒΓ που έχει κοινό με τον προηγούμενο το τρίγωνο ΑΒΓ.



Σχήμα 718: Σφαιρικό τρίγωνο

3) Την άτρακτο  $A^*\Gamma^*B^*$  που έχει στο νότιο ημισφαίριο το τρίγωνο  $A^*B^*\Gamma^*$  ισοεμβαδικό του  $AB\Gamma$ . Η κάλυψη λοιπόν του βορείου ημισφαιρίου δίδει την ισότητα των εμβαδών

$$\epsilon(\Sigma_N) = 2\pi\rho^2 = [\alpha(2\rho)^2] + [\beta(2\rho^2) - \epsilon(AB\Gamma)] + [\gamma(2\rho^2) - \epsilon(AB\Gamma)].$$

Απλοποιώντας την εξίσωση παίρνουμε την ζητούμενη σχέση, ο.ε.δ.

**Πόρισμα 9.3.1** Σε κάθε σφαιρικό τρίγωνο το άθροισμα των γωνιών του είναι μεγαλύτερο του  $\pi$ .

**Πόρισμα 9.3.2** Το εμβαδόν κυρτού σφαιρικού πολυγώνου  $\Pi$  με γωνίες  $\alpha_1,...,\alpha_\nu$  είναι ίσο με

$$\epsilon(\Pi) = [(\alpha_1 + \alpha_2 + \dots + \alpha_{\nu}) - (\nu - 2)\pi] \cdot (\rho^2).$$

Aπόδειξη: Αν το πολύγωνο έχει ν κορυφές  $A_1,A_2,...,A_{\nu}$ , διάλεξε μία λ.χ. την  $A_1$  και παραλείποντας την επόμενη  $A_2$ , ένωσε την  $A_1$  με τις  $A_3,...A_{\nu}$  σχηματίζοντας (ν-2) τρίγωνα. Το εμβαδόν του πολυγώνου είναι το άθροισμα των εμβαδών των τριγώνων και κάθε ένα από τα τρίγωνα αυτά έχει εμβαδόν που δίδεται από τοθεώρημα 9.3.1 και είναι της μορφής  $(α+β+γ-π)\rho^2$ . Αθροίζοντας όλες τις γωνίες των διαφόρων αυτών τριγώνων παίρνουμε το άθροισμα  $(\alpha_1+\alpha_2+...+\alpha_{\nu})$ , ενώ από τα (ν-2) το πλήθος τρίγωνα έχουμε το αφαιρετέο (ν-2)π, ο.ε.δ.

Σχόλιο-2 Η ισότητα σφαιρικών πολυγώνων οριζομένων στην επιφάνεια μιάς σφαίρας  $\Sigma$  ακτίνας ρ περιλαμβάνει την περίπτωση που τα δύο σχήματα είναι αντιδιαμετρικά, δηλαδή μπορούν να τοποθετηθούν έτσι ώστε το ένα να ταυτισθεί με το αντιδιαμετρικό του άλλου. Με αυτήν την έννοια αναφέρονται στην απόδειξη του Θεωρήματος 9.3.1 τα  $AB\Gamma$  και  $A^*B^*\Gamma^*$ ως ίσα.

'Ασκηση 9.3.1  $\Delta \epsilon$ ίξε ότι το εμβαδόν ε ενός σφαιρικού ισοπλεύρου τριγώνου σφαίρας ακτίνας  $\rho$  και η γωνία του α συνδέονται με τον τύπο

$$a = \frac{\epsilon}{3\rho^2} + \frac{\pi}{3}.$$

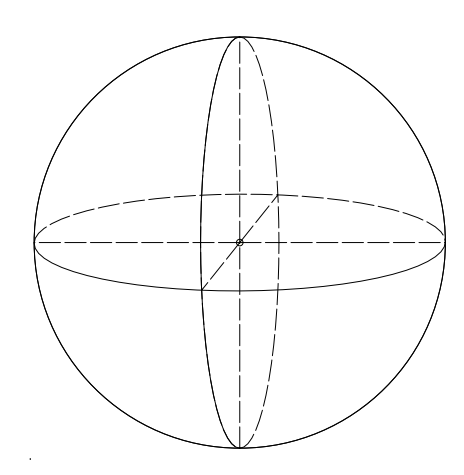
Συμπέρανε ότι η γωνία του σφαιρικού ισοπλεύρου είναι πάντοτε μεγαλύτερη των 60 μοιρών. (Δες και την Άσκηση 8.14.5)

# 9.4 Χαρακτηριστική του Euler

Σε αυτή την παράγραφο θα δούμε μιά εφαρμογή του τύπου του εμβαδού των σφαιρικών πολυγώνων συνδεδεμένη με πλακοστρώσεις της σφαίρας. Μιά Πλακόστρωση της σφαίρας είναι μιά πλήρης κάλυψή της με πλακάκια, δηλαδή κυρτά σφαιρικά πολύγωνα. Όπως τα αληθινά πλακάκια, απαιτούμε και εδώ να μην αλληλοκαλύπτονται και επιπλέον να έχουν κοινές κορυφές. Το τελευταίο σημαίνει ότι αν δύο πλακάκια είναι γειτονικά, τότε θα έχουν κοινή ή ολόκληρη ακμή ή κάποια κορυφή. Το θεώρημα του Euler λέει ότι σε μιά τέτοια κάλυψη το πλήθος των πλακακιών, το συνολικό πλήθος των ακμών και το συνολικό πλήθος των κορυφών είναι αριθμοί συνδεδεμένοι μεταξύ τους.

Θεώρημα 9.4.1 Σε κάθε πλακόστρωση της σφαίρας με E το πλήθος πλακάκια που έχουν συνολικά A ακμές και συνολικά K κορυφές ισχύει

$$K + E = A + 2$$
.



Σχήμα 719: Πλακόστρωση της σφαίρας με οκτώ ίσα πλακάκια

Aπόδ $\epsilon$ ιξη: Το σχήμα δείχνει μία απλή περίπτωση πλακόστρωσης της σφαίρας με 8 ίσα μεταξύ τους τριγωνικά πλακάκια που είναι τρισορθογώνια (έχουν και τις τρεις γωνίες τους ορθές). Αντιστοιχούν στον τεμαχισμό της σφαίρας σε 8 κομμάτια από τρία επίπεδα που είναι κάθετα ανά δύο και διέρχονται, και τα τρία, από το κέντρο της. Έχουμε λοιπόν E=8, K=6 και A=12. Ας δούμε τώρα την γενική απόδειξη. Γράφουμε το εμβαδόν της σφαίρας  $4\pi \rho^2$  σαν άθροισμα των εμβαδών των πλακακιών

$$4\pi\rho^2 = \epsilon_1 + \epsilon_2 + \dots + \epsilon_E.$$

Κάθε πλακάκι, δηλαδή κυρτό σφαιρικό πολύγωνο, έχει εμβαδόν που εκφράζεται με τις γωνίες του και το πλήθος των πλευρών του

$$\epsilon_{\nu} = ((\alpha_1 + \alpha_2 + \dots \alpha_{\kappa}) - (\kappa - 2)\pi)\rho^2.$$

Και το συνολικό εμβαδόν θα είναι ένα άθροισμα τέτοιων αθροισμάτων

$$4\pi\rho^2 = (\Sigma(\alpha) - \Sigma(\kappa\pi) + E(2\pi))\rho^2 \iff (2\pi)(2 - E) = \Sigma(\alpha) - \pi\Sigma(\kappa).$$

Οι δύο όροι δεξιά παριστάνουν το άθροισμα όλων των γωνιών όλων των πλακακιών ο πρώτος  $(\Sigma(\alpha))$  και το άθροισμα όλων των αριθμών κ που δίνουν το πλήθος των πλευρών του πλακακιού ο δεύτερος  $(\Sigma(\kappa))$ .

Σκεφτόμαστε όλες τις γωνίες όλων των πλακακιών και τις χωρίζουμε σε ομάδες. Στην ίδια ομάδα βάζουμε όλες τις γωνίες από διάφορα πλακάκια που συντρέχουν στην ίδια κορυφή. Το άθροισμα των γωνιών μιάς ομάδας θα είναι  $2\pi$ , αφού όλες μαζύ θα καλύπτουν πλήρως την περιοχή γύρω από την εν λόγω κορυφή. Έχουμε K κορυφές, συνεπώς τοάθροισμα  $\Sigma(\alpha)$  όλων των γωνιών όλων των πλακακιών θα είναι  $K(2\pi)$ . Το άθροισμα  $\Sigma(\kappa)$  όλων των αριθμών κ που εκφράζουν το πλήθος των πλευρών κάθε πλακακιού θα είναι 2A, δηλαδή το διπλάσιο του πλήθους των ακμών. Τούτο διότι κάθε ακμή συνορεύει με δύο ακριβώς πλακάκια, συνεπώς θα μετρηθεί δύο φορές στο παραπάνω άθροισμα. Συνεπώς ο τελευταίος τύπος γίνεται

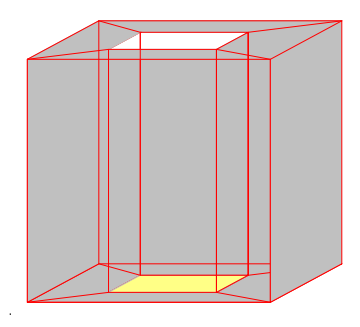
$$(2\pi)(2-E) = \Sigma(\alpha) - \pi\Sigma(\kappa) = (2\pi)K - \pi(2A) \quad \Leftrightarrow \quad 2-E = K-A,$$

που είναι αχριβώς το ζητούμενο, ο.ε.δ.

Το θεώρημα του Euler μεταφέρεται σε μιά ανάλογη ιδιότητα γιά χυρτά πολύεδρα. Η ιδέα είναι να πάρουμε ένα σημείο Ο στο εσωτεριχό του πολυέδρου και να προβάλλουμε το πολύεδρο ακτινικά από το Ο στην επιφάνεια μιάς μεγάλης σφαίρας που το περιέχει εξ ολοκλήρου. Τότε οι έδρες του πολυέδρου προβάλλονται σε σφαιρικά πολύγωνα τα οποία συνολικά δίνουν μία πλακόστρωση της σφαίρας. Έτσι αν Ε είναι το πλήθος των εδρών του πολυέδρου, Α το πλήθος των ακμών του και Κ το πλήθος των κορυφών του, προκύπτει μία πλακόστρωση της περιβάλλουσας σφαίρας με αυτά τα στοιχεία γιά τα πλακάκια της. Εφαρμόζοντας συνεπώς το θεώρημα του Euler έχουμε το

Θεώρημα 9.4.2 Γιά κάθε κυρτό πολύεδρο με E το πλήθος έδρες, A το πλήθος ακμές και K το πλήθος κορυφές ισχύει

$$K + E = A + 2$$
.



Σχήμα 720: Κύβος με μία τρύπα

Γιά κάθε πολύεδρο  $\Pi$ , κυρτό ή μη, ο αριθμός  $\chi(\Pi)=E$  - A + K ονομάζεται  $\mathbf{X}$  αρακτηριστική του Euler του πολυέδρου. Το προηγούμενο θεώρημα αποφαίνεται ότι γιά κυρτά πολύεδρα η χαρακτηριστική είναι 2. Αποδεικνύεται ότι γιά κάθε πολύεδρο η χαρακτηριστική αυτή είναι της μορφής 2- $2\gamma$ , όπου  $\gamma$  το λεγόμενο  $\Gamma$ ένος του πολυέδρου, που δίδει το πλήθος των τρυπών αυτού. Έτσι στο πολύεδρο της προηγούμενης εικόνας, που είναι ένας κύβος με μία τρύπα μεταξύ δύο απέναντι εδρών του, έχουμε E = 4+4+4+4 = 16 έδρες, A = 12+12+4+4 = 32 ακμές και K = 8+8 = 16 κορυφές. H χαρακτηριστική λοιπόν  $\chi(\Pi)$  = 0.

### 9.5 Όγκοι

Ο  $\mathbf{O}$   $\mathbf{Y}$ χος του πολυέδρου  $\Pi$  είναι ένας αριθμός  $\mathbf{o}(\Sigma)$  που σχετίζεται με το περιεχόμενο, το μέγεθος του χώρου που περιχλείει το  $\Pi$ . Κατ' αναλογίαν προς τα επίπεδα εμβαδά ορίζεται μέσω τεσσάρων χαραχτηριστιχών ιδιοτήτων του.

Ιδιότητα 9.5.1 Δύο ίσα πολύεδρα έχουν ίσους όγκους.

**Ιδιότητα 9.5.2** Ενα πολύεδρο  $\Pi$  που συντίθεται από άλλα, πεπερασμένα το πλήθος, πολύεδρα  $\Pi, \Pi', \Pi'', \dots$  που δεν επικαλύπτονται έχει όγκο το άθροισμα των όγκων των πολυέδρων

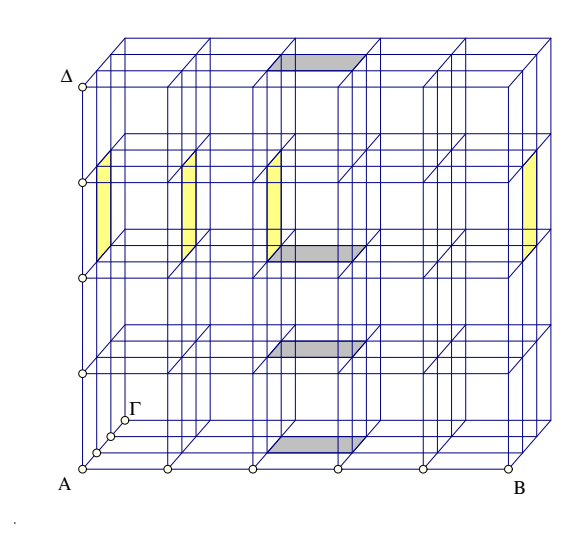
$$o(\Pi) = o(\Pi') + o(\Pi'') + \dots$$

Ιδιότητα 9.5.3 Ενα πολύ $\epsilon$ δρο  $\Pi$  που π $\epsilon$ ρι $\epsilon$ χ $\epsilon$ ται μ $\epsilon$ σα σ $\epsilon$   $\epsilon$ να άλλο  $\Pi'$   $\epsilon$ χ $\epsilon$ ι όγκο

$$o(\Pi) < o(\Pi')$$
.

Ιδιότητα 9.5.4 Ο όγκος του κύβου με πλευρά την μονάδα μήκους είναι ένα.

Από τα αξιώματα συμπεραίνομε αμέσως τον όγχο των ορθογωνίων παραλληλεπιπέδων. Η διαδιχασία της απόδειξης του γνωστού τύπου, βάσει των ιδιοτήτων που εχφράζουν τα αξιώματα, είναι η ίδια αχριβώς με αυτήν της απόδειξης του τύπου γιά το εμβαδόν του ορθογωνίου παραλληλογράμμου (Παράγραφος 3.2).



Σχήμα 721: Διαίρεση κύβου σε μνξ παραλληλεπίπεδα

**Λήμμα 9.5.1** Διαιρούμε τις πλευρές του μοναδιαίου (πλευράς μήκους 1) κύβου AB,  $A\Gamma$ ,  $A\Delta$  αντίστοιχα σε μ ίσα μέρη, σε ν ίσα μέρη και σε ξ ίσα μέρη και φέρνουμε από τα διαιρούντα σημεία παράλληλα επίπεδα προς το επίπεδο των άλλων πλευρών. Σχηματίζονται μνξ παραλληλεπίπεδα έκαστον των οποίων έχει εμβαδόν  $\frac{1}{mv^{\xi}}$ .

Aπόδειξη: Προφανώς προχύπτουν μνξ ίσα ορθογώνια παραλληλεπίπεδα που κατά το αξίωμα 9.5.1 θα έχουν τον ίδιο όγχο O. Κατά το αξίωμα 9.5.2 ο όγχος του χύβου που είναι O0 (Ιδιότητα O0.4) θα είναι το άθροισμα των όγχων O1 = O2 O3 ο.ε.δ.

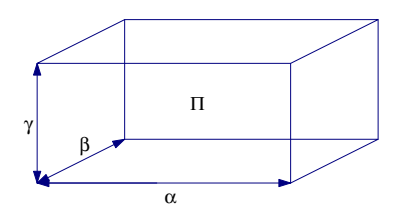
9.5.  $O\Gamma KOI$ 

**Λήμμα 9.5.2** Ο όγκος  $o(\Sigma)$  ορθογωνίου παραλληλεπιπέδου  $\Sigma$  με πλευρές AB,  $A\Gamma$ ,  $A\Delta$  που έχουν μήκος ρητούς αριθμούς ισούται με το γινόμενο των μηκών των πλευρών  $o(\Sigma) = |AB||A\Gamma||A\Delta|$ .

Απόδειξη: Υποθέτουμε ότι οι ρητοί

$$|AB| = \frac{\alpha}{\beta}, \quad |A\Gamma| = \frac{\gamma}{\delta}, \quad |A\Delta| = \frac{\epsilon}{\zeta}$$

είναι ανάγωγοι και διαιρούμε τον μοναδιαίο κύβο, όπως στο προηγούμενο λήμμα, σε  $\beta\delta\zeta$  ίσα ορθογώνια παραλληλόγραμμα έκαστον των οποίων έχει όγκο  $\frac{1}{\beta\delta\zeta}$ . Εξ υποθέσεως η πλευρα AB διαιρείται σε α το πλήθος ισα τμήματα μήκους  $\frac{1}{\beta}$ , η  $A\Gamma$  σε γ το πλήθος ίσα τμήματα μήκους  $\frac{1}{\delta}$  και η  $A\Delta$  σε ε το πλήθος ίσα τμήματα μήκους  $\frac{1}{\zeta}$ . Φέρνοντας από τα σημεία διαίρεσης παράλληλα επίπεδα προς τα επίπεδα των άλλων ακμών διαιρούμε το παραλληλεπίπεδο σε (αγε) το πλήθος ίσα παραλληλεπίπεδα έκαστον των οποίων έχει όγκο  $\frac{1}{\beta\delta\zeta}$ . Το άθροισμα των όγκων αυτών των παραλληλεπιπέδων ισούται με τον όγκο του αρχικού παραλληλεπιπέδου (Ιδιότητα 9.5.2) και είναι  $\frac{\alpha\gamma\varepsilon}{\beta\delta\zeta}$ , ο.ε.δ.



Σχήμα 722: Όγκος ορθογωνίου παραλληλεπιπέδου ο(Π)=αβγ

Θεώρημα 9.5.1 Ο όγκος του ορθογωνίου παραλληλ $\epsilon$ πιπ $\epsilon$ δου  $\Pi$  μ $\epsilon$  μήκη ακμών  $\alpha$ ,  $\beta$  και  $\gamma$   $\epsilon$ ίναι

$$o(\Pi) = \alpha \cdot \beta \cdot \gamma.$$

 $Απόδειξη: Όπως και στα εμβαδά (Παράγραφος 3.2), εφαρμόζουμε το Λήμμα 3.2.3 στους αριθμούς α,β και γ και έναν αρκετά μεγάλο ακέραιο θετικό αριθμό ν. Κατά το λήμμα λοιπόν θα υπάρχουν ρ, <math>\sigma$  και τ έτσι ώστε να ισχύει

$$|\alpha - \frac{\rho}{\nu}| < \frac{1}{\nu}, \qquad |\beta - \frac{\sigma}{\nu}| < \frac{1}{\nu}, \qquad |\gamma - \frac{\tau}{\nu}| < \frac{1}{\nu}.$$

Απ' αυτές έπεται ότι το αρχικό ορθογώνιο παραλληλεπίπεδο  $\Pi$  περιέχει στο εσωτερικό του το  $\Pi_1$  με μήκη πλευρών  $\frac{\rho}{\nu}, \frac{\sigma}{\nu}, \frac{\tau}{\nu}$ , και περιέχεται στο ορθογώνιο παραλληλεπίπεδο  $\Pi_2$  με μήκη πλευρών  $\frac{\rho+1}{\nu}, \frac{\sigma+1}{\nu}$ . Έπεται ότι τόσο ο όγκος  $o(\Pi)$ , όσο και το γινόμενο  $(\alpha\beta\gamma)$  θα ικανοποιούν τις ίδιες ανισότητες

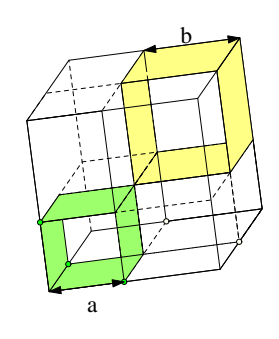
$$\frac{\rho \sigma \tau}{\nu \nu} \leq o(\Pi) \leq \frac{\rho + 1}{\nu} \frac{\sigma + 1}{\nu} \frac{\tau + 1}{\nu}, \qquad \frac{\rho \sigma \tau}{\nu \nu} \leq \alpha \beta \gamma \leq \frac{\rho + 1}{\nu} \frac{\sigma + 1}{\nu} \frac{\tau + 1}{\nu}.$$

Επομένως η διαφορά τους θα ικανοποιεί την ανισότητα

$$\begin{split} |o(\Pi) - \alpha\beta\gamma| & \leq \frac{\rho + 1}{\nu} \frac{\sigma + 1}{\nu} \frac{\tau + 1}{\nu} - \frac{\rho}{\nu} \frac{\sigma}{\nu} \frac{\tau}{\nu} \\ & = \frac{\rho\sigma + \sigma\tau + \tau\rho + \rho + \sigma + \tau + 1}{\nu^3} \\ & = \frac{1}{\nu} \left( \frac{\rho}{\nu} \frac{\sigma}{\nu} + \frac{\sigma}{\nu} \frac{\tau}{\nu} + \frac{\tau}{\nu} \frac{\rho}{\nu} \right) + \frac{1}{\nu^2} \left( \frac{\rho}{\nu} + \frac{\sigma}{\nu} + \frac{\tau}{\nu} \right) + \frac{1}{\nu^3} \\ & \leq \frac{1}{\nu} (\alpha\beta + \beta\gamma + \gamma\alpha) + \frac{1}{\nu^2} (\alpha + \beta + \gamma) + \frac{1}{\nu^3} \\ & \leq \frac{(\alpha\beta + \beta\gamma + \gamma\alpha) + (\alpha + \beta + \gamma) + 1}{\nu^3}. \end{split}$$

Η ανισότητα αυτή δείχνει ότι η σταθερή ποσότητα  $|o(\Pi)-\alpha\beta\gamma|$  δεν μπορεί να είναι θετιχή, διότι είναι μικρότερη ενός αριθμού που μπορεί να γίνει οσοδήποτε μικρός θέλουμε, αρκεί να εκλέξουμε αρκετά μεγαλο ν. Συνεπώς η ποσότητα αυτή θα είναι μηδέν, ο.ε.δ.

**Πόρισμα 9.5.1** Ο όγκος του κύβου ακμής  $\alpha$  ισούται  $\mu \in \alpha^3$ .



Σχήμα 723: Ταυτότητα γιά κύβους

Άσκηση 9.5.1  $\Delta \epsilon$ ίξε  $\mu \epsilon$  την βοήθεια  $\epsilon \nu$ ός κύβου ακμής  $\alpha + \beta$  ότι ισχύει η ταυτότητα

$$(\alpha + \beta)^3 = \alpha^3 + 3\alpha^2\beta + 3\alpha\beta^2 + \beta^3.$$

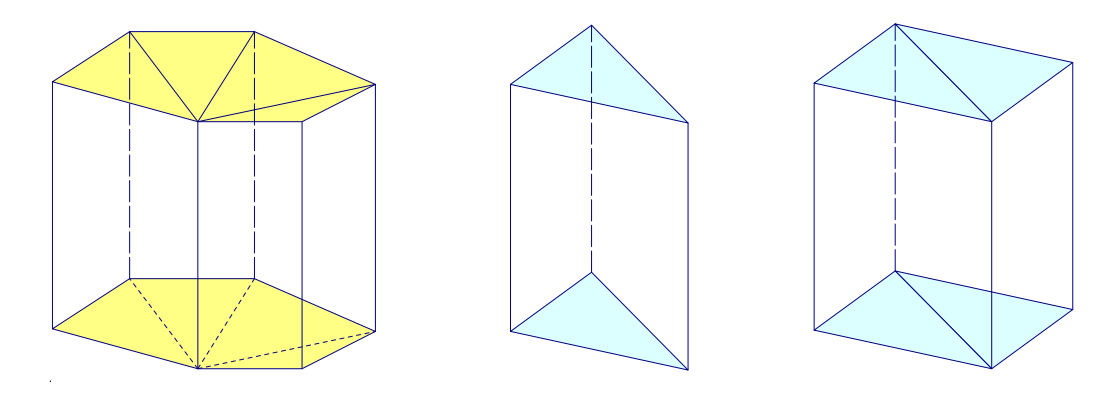
Άσκηση 9.5.2  $\Delta \epsilon$ ίξε με την βοήθεια του προηγούμενου σχήματος και της ταυτότητας  $\alpha = (\alpha - \beta) + \beta$  ότι ισχύει η ταυτότητα

$$(\alpha - \beta)^3 = \alpha^3 - 3\alpha^2\beta + 3\alpha\beta^2 - \beta^3.$$

## 9.6 Όγκοι πρισμάτων

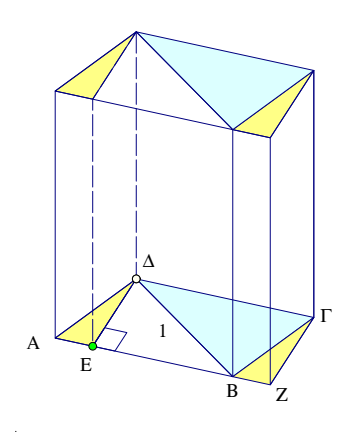
Με την βοήθεια του όγχου του ορθογωνίου παραλληλεπιπέδου και περαιτέρω χρήση των βασικών ιδιοτήτων των όγχων (Παράγραφος 9.5) μπορούμε να βρούμε τον όγχο των ορθών πρισμάτων και κατόπιν και των πλαγίων πρισμάτων.

**Πρόταση 9.6.1** O όγκος  $\epsilon$ νός ορθού πρίσματος  $\Pi$  ισούται  $\mu\epsilon$  το γινό $\mu\epsilon$ νο του  $\epsilon$  $\mu$  $\beta$ αδού της  $\beta$ άσης του  $\epsilon$ πί το ύψος του πρίσματος.



Σχήμα 724: Όγκος ορθού πρίσματος = εμβαδόν βάσης × ύψος

Απόδειξη: Η απόδειξη γιά το γενιχό πρίσμα ανάγεται στο τριγωνιχό πρίσμα. Φέρνοντας τις διαγωνίους από μία χορυφή της βάσης του πρίσματος το χωρίζουμε σε τριγωνιχά πρίσματα. Αρχεί λοιπόν να δείξουμε ότι γιά τριγωνιχό πρίσμα ο όγχος δίδεται από το γινόμενο του εμβαδού του τριγώνου επί το ύψος. Γιά να δείξουμε αυτό αρχεί να δείξουμε ότι γιά χάθε πρίσμα με βάση ένα παραλληλόγραμμο ισχύει η αντίστοιχη ιδιότητα, αφού χάθε τριγωνιχό πρίσμα είναι το μισό ενός τέτοιου πρίσματος. Όμως το πρίσμα με βάση το παραλληλόγραμμο ΑΒΓΔ έχει τον ίδιο όγχο χαι το ίδιο εμβαδόν βάσης με το άλλο πρίσμα που παράγεται με τον γνωστό τρόπο φέρνοντας λ.χ. από το Δ την χάθετο ΔΕ χαι σχηματίζοντας το

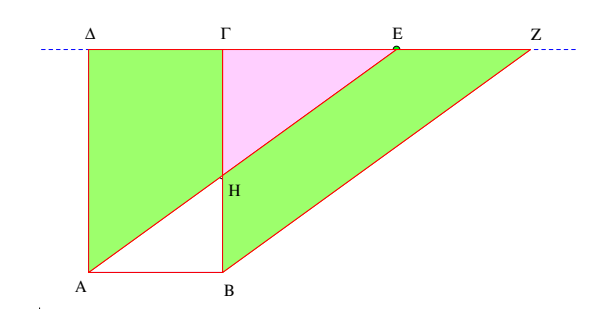


Σχήμα 725: Όγκος τριγωνικού πρίσματος = εμβαδόν βάσης  $\times$  ύψος

ορθογώνιο  $\Delta EZ\Gamma$ . Ο όγχος του πρίσματος πάνω από το τρίγωνο  $AE\Delta$  μεταφέρεται σε αυτόν του πρίσματος πάνω από το ίσο τρίγωνο  $BZ\Gamma$ , επομένως ο όγχος του πρίσματος με βάση το  $AB\Gamma\Delta$  είναι ό ίδιος με τον όγχο του πρίσματος με βάση το ορθογώνιο  $\Delta EZ\Gamma$  χαι γι' αυτό

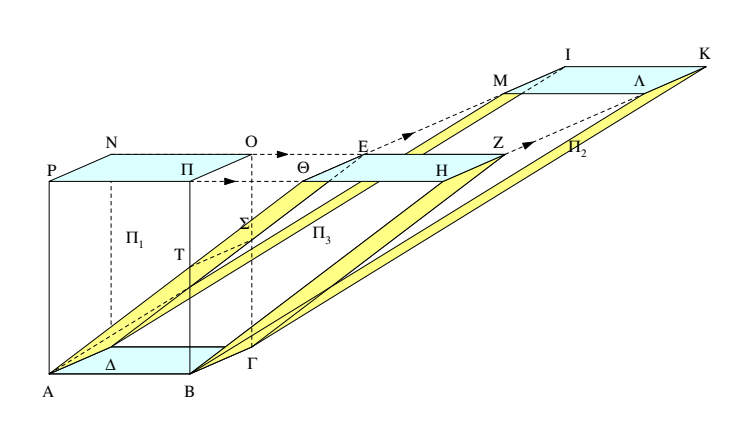
ξέρουμε ήδη ότι ο όγχος του ισούται με το εμβαδόν της βάσης επί το ύψος, ο.ε.δ.Μιά ανάλογη αναγωγή του υπολογισμού του όγχου μπορεί να γίνει χαι γιά πλάγια πρίσματα. Και σ' αυτά μπορούμε να διαιρέσουμε την πολυγωνιχή βάση σε τρίγωνα, τα τρίγωνα να διπλασιάσουμε σε παραλληλόγραμμα και τα παραλληλόγραμμα να ανάγουμε σε ορθογώνια παραλληλόγραμμα. Αυτός ο συλλογισμός δείχνει ότι γιά να δείξουμε τον τύπο του όγχου γιά όλα τα πλάγια πρίσματα, αρχεί να το δείξουμε γιά τα πρίσματα με βάση ένα ορθογώνιο παραλληλόγραμμο. Γι' αυτά όμως ισχύει η επόμενη πρόταση.

**Πρόταση 9.6.2** Το πλάγιο πρίσμα με βάση το ορθογώνιο  $AB\Gamma\Delta$  και το ορθό με την ίδια βάση και ίδιο ύψος έχουν τον ίδιο όγκο.



Σχήμα 726: Ισοεμβαδικά παραλληλόγραμμα

Aπόδειξη: Η απόδειξη χρησιμοποιεί το τέχνασμα που χρησιμοποιούμε και στα εμβαδά. Συγκρίνουμε το εμβαδόν ενός ορθογωνίου και ενός παραλληλογράμμου με την ίδια βάση και το ίδιο ύψος χρησιμοποιώντας την ισότητα των τριγώνων (σχήμα-726)  $A\Delta E$  και  $B\Gamma Z$ , από την οποία προκύπτει η ισότητα των εμβαδών των τετραπλεύρων  $AH\Gamma\Delta$  και BHEZ. Κάτι ανάλογο κάνουμε και γιά τους όγκους.  $Aν Π_1 = AB\Gamma\Delta$ -NOΠP είναι το ορθό πρίσμα με βάση το



Σχήμα 727: Πρίσματα ίσου όγκου

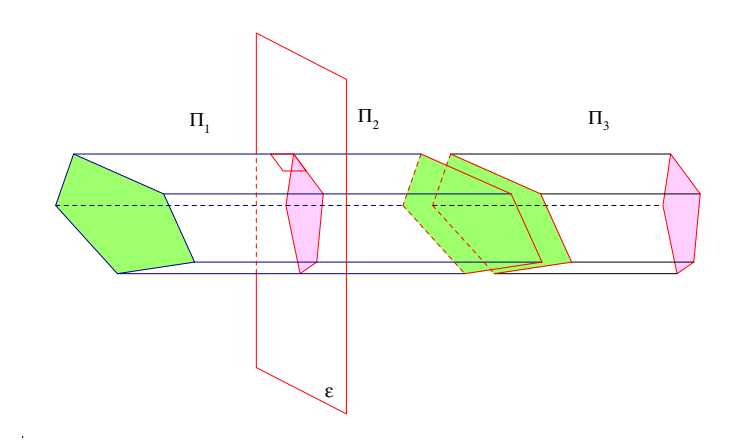
ορθογώνιο παραλληλόγραμμο  $AB\Gamma\Delta$  και  $\Pi_2=AB\Gamma\Delta$ - $IK\Lambda M$  το πλάγιο πρίσμα με την ίδια βάση και το ίδιο ύψος. Τότε λόγω της παραλληλίας των πλευρών (PN,MI) και (NO,IK) όρίζεται ένα είδος ενδιάμεσου πρίσματος  $\Pi_3=AB\Gamma\Delta$ - $EZH\Theta$  με την ίδια επίσης βάση. Τα  $\Pi_1$  και  $\Pi_3$  έχουν τον ίδιο όγκο, διότι το τριγωνικό πρίσμα με βάση  $A\ThetaP$  είναι ίσο με το τριγωνικό πρίσμα με βάση  $BH\Pi$ , επομένως αν αφαιρέσουμε από τα δύο ίσα πρίσματα το κοινό μέρος τους που είναι το τριγωνικό πρίσμα  $T\Theta\Pi$  τότε τα πρίσματα που απομένουν με βάσεις

τα τραπέζια ΠΡΑΤ και ΘΤΒΗ έχουν τον ίδιο όγκο. Προσθέτοντας σε αυτά και το τριγωνικό πρίσμα με βάση ΤΒΑ έχουμε την ισότητα των όγκων των  $\Pi_1$  και  $\Pi_3$ . Ανάλογα προκύπτει και η ισότητα των όγκων των  $\Pi_3$  και  $\Pi_2$  και συνολικά η ισότητα των όγκων των  $\Pi_1$  και  $\Pi_2$ , ο.ε.δ.

**Πρόταση 9.6.3** O όγκος πρίσματος (ορθού ή πλάγιου) ισούται με το εμβαδόν της βάσης του επί το ύψος του.

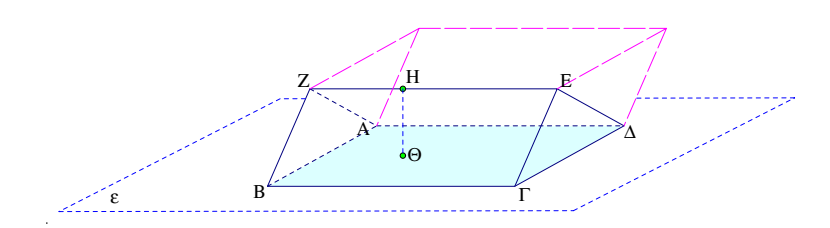
Aπόδειξη: Έπεται από τις προηγηθείσες προτάσεις και αναλύσεις, ο.ε.δ.

**Πρόταση 9.6.4** Ο όγκος πρίσματος (ορθού ή πλάγιου) ισούται με το εμβαδόν της κάθετης τομής του επί το μήκος της γενέτειράς του.



Σχήμα 728: Χειρουργική πρισμάτων

Απόδειξη: Χρησιμοποιούμε είδος χειρουργικής του πρίσματος. Το κόβουμε με κάθετο στην γενέτειρά του επίπεδο ε και το χωρίζουμε έτσι σε δύο κομμάτια  $\Pi_1$  και  $\Pi_2$ . Κατόπιν μεταφέρουμε το  $\Pi_1$  στην ίδια μεριά με το  $\Pi_2$  και το προσαρμόζουμε έτσι να συμπέσουν οι παράλληλες έδρες του αρχικού πρίσματος. Προκύπτει ένα ορθό πρίσμα με βάση την κάθετη τομή του αρχικού και μήκος γενέτειρας το ίδιο με το μήκος του αρχικού πρίσματος. Η απόδειξη ολοκληρώνεται εφαρμόζοντας την Πρόταση 9.6.1, 0.ε.δ.

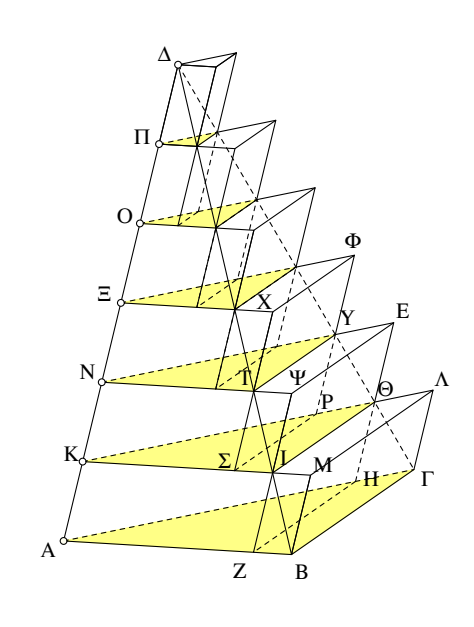


Σχήμα 729: Όγκος τριγωνικού πρίσματος

Άσκηση 9.6.1  $\Delta \epsilon$ ίξε ότι ο όγκος ενός τριγωνικού πρίσματος ισούται με το γινόμενο  $\frac{1}{2}\epsilon(AB\Gamma\Delta)|H\Theta|$ , όπου  $\epsilon(AB\Gamma\Delta)$  το εμβαδόν μιάς έδρας του πρίσματος και  $|H\Theta|$  η απόσταση αυτής από την απέναντι ακμή.

# 9.7 Όγκοι πυραμίδων

Η απλούστερη πυραμίδα είναι αυτή με την τριγωνική βάση. Και σ' αυτήν ακόμη, όμως, συναντάμε δυσκολίες στην προσπάθεια να εκφράσουμε τον όγκο της με την βοήθεια ενός τύπου. Το επόμενο σχήμα δείχνει πως χρησιμοποιούμε πρίσματα (των οποίων γνωρίζουμε να μετράμε τον όγκο) γιά να προσεγγίσουμε τον όγκο μιάς πυραμίδας.



Σχήμα 730: Προσέγγιση πυραμίδας με πρίσματα

Πρόταση 9.7.1 Έστω τριγωνική πυραμίδα  $\Pi$  με βάση  $AB\Gamma$  εμβαδού ε και ύψος υ. Τότε γιά κάθε θετικό ακέραιο ν υπάρχουν στερεά  $\Pi_1$  και  $\Pi_2$  που είναι ενώσεις πρισμάτων και οι όγκοι τους  $o(\Pi_1)$ ,  $o(\Pi_2)$  καθώς και ο όγκος της πυραμίδας  $o(\Pi)$  ικανοποιούν την

$$o(\Pi_1) < o(\Pi_1) < o(\Pi_2), \quad \kappa \alpha \iota \quad o(\Pi_2) - o(\Pi_1) = \frac{\epsilon \upsilon}{\nu}.$$

Απόδειξη: Διαίρεσε μία αχμή προς την χορυφή <math>Δ της πυραμίδας λ.χ. την ΑΔ σε ν ίσα τμήματα χαι φέρε παράλληλα επίπεδα προς την βάση. Από τα σημεία τομής αυτών των επιπέδων με τις άλλες αχμές φέρε παράλληλες προς την επιλεγήσα αχμή ΑΔ. Σχηματίζονται πρίσματα με βάσεις τα παράλληλα αυτά επίπεδα εχ των οποίων ορισμένα είναι εξ ολοχλήρου μέσα στην πυραμίδα (όπως το ΑΖΗΘΙΚ) χαι άλλα που περιλαμβάνουν μέρος της πυραμίδας στο εσωτεριχό τους (όπως το ΑΒΓΛΚΜ). Τα περιεχόμενα στην πυραμίδα πρίσματα ονομάζω εσωτερικά χαι τα άλλα εξωτερικά πρίσματα. Το  $Π_1$  είναι η ένωση των εσωτεριχών πρισμάτων χαι το  $Π_2$  είναι η ένωση των εξωτεριχών πρισμάτων. Το  $Π_1$  περιέχεται εξ ολοχλήρου στο Π χαι συνεπώς (Ποίστητα Π0.5.3) έχει

$$o(\Pi_1) < o(\Pi).$$

Το  $\Pi_2$  περιέχει ολόκληρη την πυραμίδα στο εσωτερικό του και συνεπώς

$$o(\Pi) < o(\Pi_2).$$

Η κρίσιμη παρατήρηση είναι ότι τα δύο σώματα αποτελούνται από ίσα πρίσματα πλήν ενός, που είναι το κάτω-κάτω. Πράγματι κάθε πρίσμα που αποτελεί το  $\Pi_1$  έχει ένα ίσο του που μετέχει

στην συγκρότηση του  $\Pi_2$ . Γιά παράδειγμα (σχήμα-730), το εσωτερικό AZHΘKI είναι ίσο με το εξωτερικό από πάνω του ΚΙΘΕΝΨ, το εσωτερικό ΚΣΡΥΝΤ είναι ίσο με το εξωτερικό από πάνω του NTYΦΞΧ κτλ.. Έπεται ότι η διαφορά των όγκων των δύο σωμάτων είναι ο όγκος του κάτω-κάτω πρίσματος με βάση το ABΓ, συνεπώς  $o(\Pi_2) - o(\Pi_1) = \frac{\epsilon v}{\nu}$ , ο.ε.δ.

Μιά άλλη κρίσιμη παρατήρηση αφορά στον λόγο δύο σωμάτων όπως το  $\Pi_1$  που κατασκευάζονται για δύο διαφορετικές τριγωνικές πυραμίδες με το ίδιο ύψος. Ο λόγος των όγκων τους μεταφέρεται στον λόγο των εμβαδών των βάσεών τους.

Πρόταση 9.7.2 Έστω ότι γιά δοθέντα τριγωνικά πρίσματα  $\Pi = AB\Gamma\Delta$  και  $\Pi' = A'BT'\Delta'$  με το ίδιο ύψος κατάσκευάζονται τα αντίστοιχα σώματα  $\Pi_1, \Pi_2$  και  $\Pi'_1, \Pi'_2$ , όπως στην προηγούμενη πρόταση. Τότε οι λόγοι των όγκων

$$\frac{o(\Pi_1)}{o(\Pi_1')} = \frac{o(\Pi_2)}{o(\Pi_2')} = \frac{\epsilon(AB\Gamma)}{\epsilon(A'B'\Gamma')}.$$

Aπόδειξη: Ας δούμε την απόδειξη γιά τον δεύτερο λόγο. Ο πρώτος αποδεικνύεται εξ ίσου εύκολα. Ο όγκος του  $\Pi_2$  είναι το άθροισμα των όγκων των ν πρισμάτων που το συγκροτούν. Το πρώτο κάτω-κάτω έχει όγκο  $o_1=\epsilon\cdot\frac{v}{\nu}$ , όπου  $\epsilon=\epsilon(AB\Gamma)$  το εμβαδόν του  $AB\Gamma$  και υ το (κοινό) ύψος των πυραμίδων. Η κρίσιμη παρατήρηση είναι ότι το από πάνω πρίσμα έχει βάση που είναι όμοια προς το  $AB\Gamma$ , έστω με λόγο κ. Ο όγκος του δεύτερου πρίσματος συνεπώς θα είναι  $o_2=(\kappa^2\epsilon)\cdot\frac{v}{\nu}=k^2o_1$ . Ανάλογα  $o_3=\lambda^2o_2=\lambda^2\kappa^2o_1$  κτλ. Συνολικά προσθέτοντας τους ν όγκους των πρισμάτων έχουμε

$$o(\Pi_2) = o_1 + \dots + o_{\nu} = o_1 + \kappa^2 o_1 + \kappa^2 \lambda^2 o_1 + \dots = (1 + \kappa^2 + \kappa^2 \lambda^2 + \dots) o_1 = \mu \cdot o_1.$$

Το μ που παριστάνει το άθροισμα των συντελεστών ομοιότητας είναι ένας αριθμός που εξαρτάται μόνο από το ν και όχι το τρίγωνο της βάσης. Πράγματι, από την ομοιότητα των τριγώνων (σχήμα-730)  $\Delta AB$  και  $\Delta K\Sigma$  προκύπτει ότι

$$\kappa = \frac{|KI|}{|AB|} = \frac{|\Delta K|}{|\Delta A|} = \frac{\nu - 1}{\nu}.$$

Ανάλογα προκύπτει ότι

$$\lambda = \frac{|NT|}{|KI|} = \frac{\nu - 2}{\nu - 1} \quad \Rightarrow \quad \lambda \kappa = \frac{\nu - 2}{\nu}.$$

Σκεπτόμενοι ανάλογα βρίσκουμε λοιπόν ότι

$$\begin{split} \mu &= (1 + \kappa^2 + \kappa^2 \lambda^2 + \ldots) \\ &= 1 + \left(\frac{\nu - 1}{\nu}\right)^2 + \left(\frac{\nu - 2}{\nu}\right)^2 + \ldots + \left(\frac{1}{\nu}\right)^2 \\ &= \frac{1}{\nu^2} (1 + 2^2 + 3^2 + \ldots + \nu^2), \end{split}$$

που δείχνει ότι ο μ εξαρτάται μόνον από το ν και όχι το ειδικό τρίγωνο. Παρεμπιπτόντως, αν και δεν μας χρειάζεται, εν τούτοις δεν βλάπτει να ξέρουμε ότι ([CR96, σ. 14])

$$1 + 2^2 + 3^2 + \dots + \nu^2 = \frac{\nu(\nu+1)(2\nu+1)}{6} \quad \Rightarrow \quad \mu = \frac{(\nu+1)(2\nu+1)}{6\nu}.$$

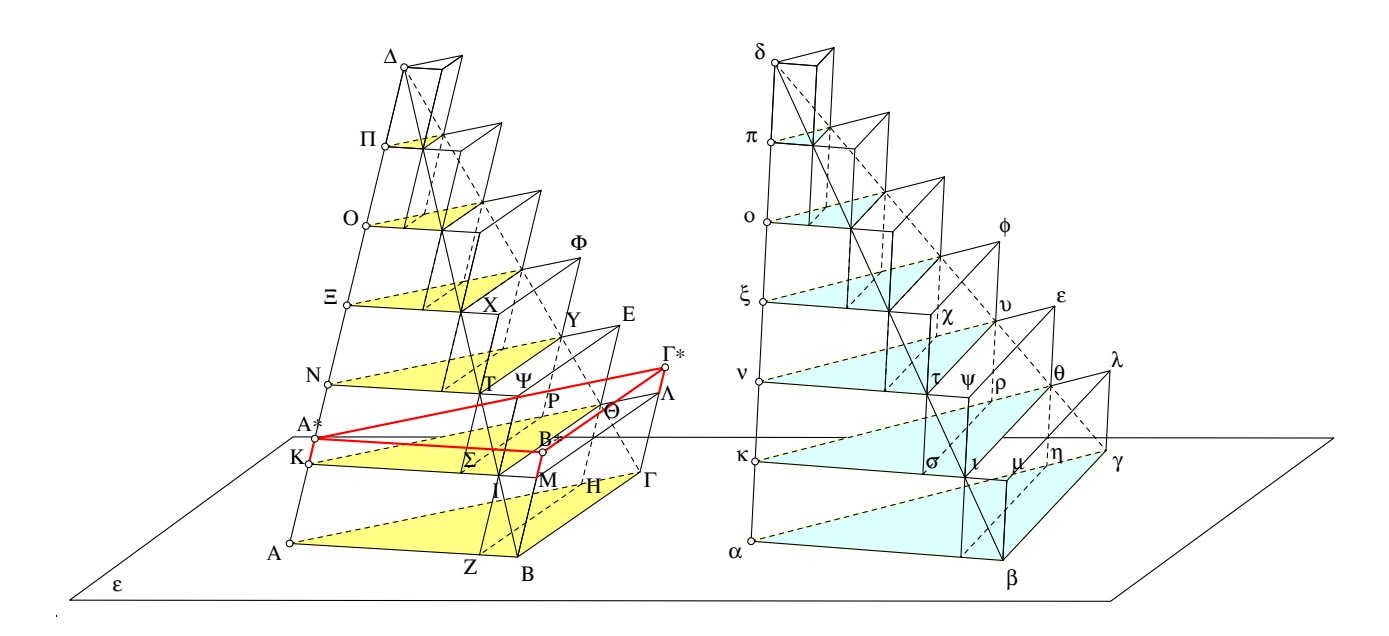
Επιστρέφοντας λοιπόν στην απόδειξη, οι λόγοι των όγκων των δύο σωμάτων θα είναι

$$\frac{o(\Pi_2)}{o(\Pi_2')} = \frac{\mu \cdot o_1}{\mu \cdot o_1'} = \frac{o_1}{o_1'} = \frac{\epsilon \cdot \frac{\nu}{\nu}}{\epsilon' \cdot \frac{\nu}{\nu}} = \frac{\epsilon}{\epsilon'},$$

 $0.\epsilon.\delta$ .

**Πόρισμα 9.7.1** Γιά δύο πρίσματα  $\Pi$ ,  $\Pi'$   $\mu \epsilon$  βάσεις ίσων  $\epsilon \mu$ βαδών και ίσα ύψη ο όγκος των αντίστοιχων σωμάτων  $o(\Pi_1) = o(\Pi_1')$  και  $o(\Pi_2) = o(\Pi_2')$ .

Θεώρημα 9.7.1 Δύο τριγωνικές πυραμίδες του ιδίου ύψους και ιδίου εμβαδού βάσης έχουν τον ίδιο όγκο.



Σχήμα 731: Σύγγριση πυραμίδων μέσω των προσεγγίσεων

Aπόδειξη: Τοποθέτησε τις δύο πυραμίδες ABΓΔ και αβγδ με την βάση τους στο ίδιο επίπεδο ε. Έστω ότι οι βάσεις τους έχουν το ίδιο εμβαδόν ε και ότι έχουν το ίδιο ύψος υ, αλλά η πρώτη ABΓΔ έχει μεγαλύτερο όγκο: o(ABΓΔ) > o(αβγδ). Θα δείξουμε ότι αυτό είναι άτοπο. Προς τούτο κατασκεύασε πρίσμα  $Π_ω = ABΓΓ*B*A*$  με βάση ABΓ που έχει όγκο ίσο με την διαφορά ω = o(ABΓΔ) - o(αβγδ). Κατόπιν κατασκεύασε γιά τα δύο πρίσματα τα σώματα  $Π_1, Π_2$  της Πρότασης 9.7.1 γιά ακέραιο ν έτσι ώστε το  $\frac{v}{\nu}$  να είναι μικρότερο του ύψους του πρίσματος  $Π_ω$ . Τότε και ο αντίστοιχος όγκος του βασικού πρίσματος θα είναι

$$o(AB\Gamma\Lambda KM) < o(\Pi_{\omega}).$$

Από την άλλη μεριά η διαφορά των όγκων των δύο πυραμίδων θα είναι

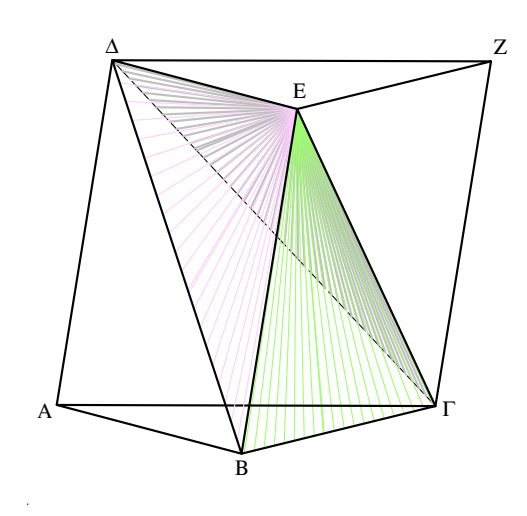
$$o(\Pi_{\omega}) = o(AB\Gamma\Delta) - o(\alpha\beta\gamma\delta) < o(\Pi_2) - o(\Pi_1') = o(\Pi_2) - o(\Pi_1) = o(AB\Gamma\Lambda KM).$$

Μιά ανισότητα που αντιφάσκει στην προηγούμενη. Ανάλογη αντίφαση παίρνουμε και από την υπόθεση ότι  $o(AB\Gamma\Delta)$ < $o(\alpha\beta\gamma\delta)$ . Συνεπώς θα πρέπει  $o(AB\Gamma\Delta)$ = $o(\alpha\beta\gamma\delta)$ , o.ε.δ.

Θεώρημα 9.7.2 Ο όγκος τριγωνικής πυραμίδας ΑΒΓΔ δίδεται από τον τύπο

$$o(AB\Gamma\Delta) = \frac{1}{3}\epsilon(AB\Gamma)\upsilon,$$

όπου  $\epsilon(AB\Gamma)$  το  $\epsilon\mu\beta$ αδόν της βάσης της και υ το ύψος της πυραμίδας.



Σχήμα 732: όγκος πυραμίδας  $o(AB\Gamma\Delta) = \frac{1}{3}\epsilon(AB\Gamma)$ υ

Απόδειξη: Από τις κορυφές B και  $\Gamma$  της βάσης φέρε παράλληλες και ίσες προς την ακμή  $A\Delta$  και σχημάτισε το τριγωνικό πρίσμα  $AB\Gamma Z\Delta E$ . Φέρε κατόπιν την διαγώνιο  $\Gamma E$ . Το πρίσμα που δημιουργείται χωρίζεται σε τρεις πυραμίδες: την αρχική  $AB\Gamma \Delta$ , την  $B\Gamma \Delta E$  και την  $\Gamma \Delta E Z$ . Οι τρείς πυραμίδες αυτές έχουν τον ίδιο όγκο. H  $B\Gamma E \Delta$  και  $E\Gamma Z\Delta$  με βάσεις τα ίσα τρίγωνα  $B\Gamma E$  και  $\Gamma E Z$  και κοινή κορυφή στο  $\Delta$  έχουν ίσες βάσεις και το ίδιο ύψος άρα τον ίδιο όγκο. Αλλά και η  $\Delta E Z \Gamma$  έχει ίση βάση με την αρχική και ίσο ύψος. Αφού οι τρεις πυραμίδες έχουν τον ίδιο όγκο, κάθε μία τους θα είναι το 1/3 του πρίσματος, ο.ε.δ.

 $\Sigma$ χόλιο-1 Έχει ενδιαφέρον να παρατηρήσουμε στο τελευταίο σχήμα την θέση της πυραμίδας  $B\Gamma\Delta E$  στο τριγωνικό πρίσμα. Οι απέναντι ακμές της  $B\Gamma$  και  $\Delta E$  είναι ασύμβατες και τα επίπεδα  $AB\Gamma$  και  $\Delta E$  είναι τα μοναδικά (Πρόταση 7.4.2) παράλληλα επίπεδα που περιέχουν αυτές τις ασύμβατες. Η κοινή κάθετος αυτών των δύο ασυμβάτων έχει μήκος την απόσταση των δύο επιπέδων δηλαδή το ύψος του πρίσματαος  $AB\Gamma\Delta EZ$ . Η παρατήρηση αυτή οδηγεί στην επόμενη πρόταση.

**Πρόταση 9.7.3** O όγκος της πυραμίδας μ $\epsilon$  απέναντι ακμές  $B\Gamma$  και  $\Delta E$  ισούται μ $\epsilon$ 

$$\frac{1}{6}|B\Gamma||\Delta E|\upsilon\,\mathrm{hm}(\phi),$$

όπου υ το μήκος της κοινής καθέτου των (ασυμβάτων)  $B\Gamma$  και  $\Delta E$  και  $\phi$  η γωνία μεταξύ των  $B\Gamma$  και  $\Delta E$ .

Πόρισμα 9.7.2 Δοθέντων δύο ασυμβάτων ευθειών α και β καθώς και ευθυγράμμων τμημάτων  $B\Gamma$  και  $\Delta E$  σταθερών μηκών και ολισθενόντων αντίστοιχα  $\epsilon \pi^{\circ}$  αυτών των  $\epsilon$ υθειών, το τετράεδρο  $B\Gamma\Delta E$  έχει όγκο ανεξάρτητο της θέσης τους  $\epsilon \pi$ ί των α και  $\beta$ .

 $\Sigma$ χόλιο-2 Η παράγραφος αυτή, βασισμένη στην ανάλογη του Legendre [Leg37,  $\sigma$ . 134]), έχει ενδιαφέρον εκτός των άλλων διότι χρησιμοποιεί όλα τα χαρακτηριστικά του ορίου χωρίς να καταφεύγει στόν αναλυτικό προσδιορισμό του. Αν θέλαμε να χρησιμοποιήσουμε όρια η απόδειξη του τύπου του όγκου της πυραμίδας θα είχε τελειώσει σχεδόν αμέσως μετά την πρώτη πρόταση της παραγράφου. Πράγματι η Πρόταση 9.7.1 φανερώνει ότι ο όγκος του σώματος  $\Pi_2$  (όπως και του  $\Pi_1$ ) είναι μιά προσέγγιση του όγκου της πυραμίδας με σφάλμα μικρότερο του  $\frac{\epsilon v}{\nu}$ . Άρα αυξάνοντας το ν και περνώντας στο όριο θα έχουμε τον ζητούμενο τύπο. Ο υπολογισμός στην Πρόταση 9.7.2 δείχνει κατόπιν ότι ο όγκος του  $\Pi_2$  είναι ίσος με

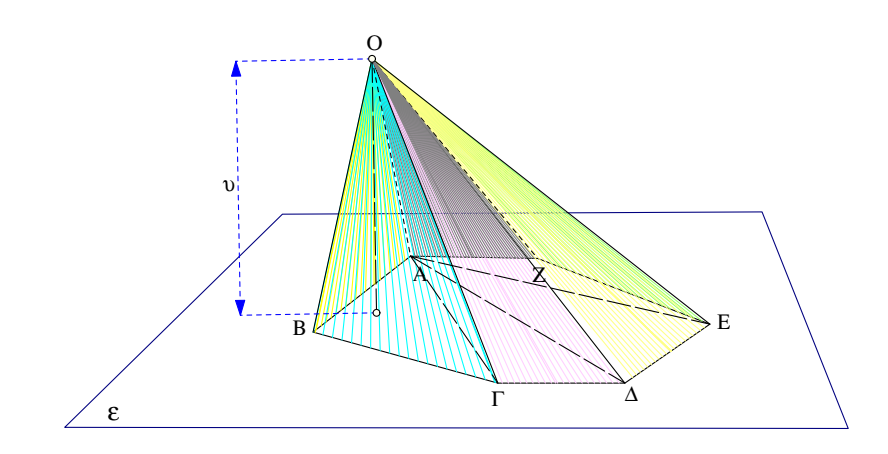
$$o(\Pi_2) = \frac{\mu \epsilon v}{\nu} = \frac{(\nu+1)(2\nu+1)}{6\nu^2} \epsilon v.$$

Το συμπέρασμα προχύπτει παίρνοντας το όριο του κλάσματος

$$\frac{(\nu+1)(2\nu+1)}{6\nu^2} = \frac{1}{6}(1+\frac{1}{\nu})(2+\frac{1}{\nu}) \rightarrow \frac{1}{3}.$$

Η μέθοδος που ακολουθήσαμε είναι στην ουσία μεταφορά της μεθόδου της εξάντλησης του Αρχιμήδη στην περίπτωση των απλών αυτών στερεών του χώρου.

Θεώρημα 9.7.3 Ο όγκος μιάς πυραμίδας είναι το ένα τρίτο του γινομένου του εμβαδού της βάσης της επί το ύψος της.

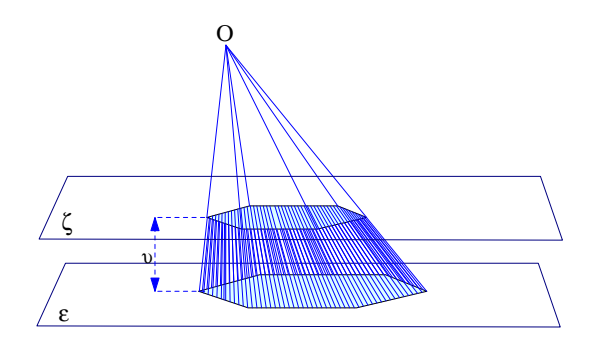


Σχήμα 733: Όγκος πυραμίδας

Aπόδειξη: Από μιά κορυφή λ.χ. την <math>Α της βάσης ABΓΔ... της πυραμίδας φέρε όλες τις διαγώνιες προς τις άλλες κορυφές. Το πρίσμα χωρίζεται σε τριγωνικά πρίσματα με το ίδιο ύψος και το συμπέρασμα βγαίνει αθροίζοντας τους όγκους των τριγωνικών πυραμίδων βάσει του προηγουμένου θεωρήματος, ο.ε.δ.

**Πόρισμα 9.7.3** Ο όγκος κόλουρης πυραμίδας ύψους v με μεγάλη βάση εμβαδού  $\epsilon_1$  και μικρή βάση εμβαδού  $\epsilon_2$  είναι ίσος με

$$o = \frac{1}{3}v \cdot (\epsilon_1 + \epsilon_2 + \sqrt{\epsilon_1 \epsilon_2}).$$



Σχήμα 734: Όγκος κόλουρης πυραμίδας

Απόδειξη: Προχύπτει άμεσα από το προηγούμενο θεώρημα, θεωρώντας την κόλουρη πυραμίδα ως διαφορά (ως προς τον όγκο) των δύο πυραμίδων με βάσεις τις δύο βάσεις της κόλουρης πυραμίδας. Έτσι, αν η είναι το ύψος της πυραμίδας με την μικρή βάση, ο ζητούμενος όγκος θα είναι

$$o = \frac{1}{3}(\eta + \upsilon)\epsilon_1 - \frac{1}{3}(\eta \epsilon_2) = \frac{1}{3}(\upsilon \epsilon_1 + \eta(\epsilon_1 - \epsilon_2)).$$

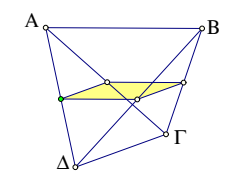
Όμως τα πολύγωνα στα δύο παράλληλα επίπεδα είναι όμοια (Πόρισμα 7.7.1), συνεπώς ο λόγος των εμβαδών τους ισούται με τον λόγο των τετραγώνων των πλευρών τους, που με την σειρά του ισούται με τον λόγο των τετραγώνων

$$\frac{\epsilon_2}{\epsilon_1} = \frac{\eta^2}{(\upsilon + \eta)^2} \quad \Rightarrow \quad \eta = \frac{\upsilon\sqrt{\frac{\epsilon_2}{\epsilon_1}}}{1 - \sqrt{\frac{\epsilon_2}{\epsilon_1}}}.$$

Αντικαθιστώντας το η στον προηγούμενο τύπο και κάνοντας πράξεις προκύπτει το ζητούμενο, ο.ε.δ.

' ${\bf A}$ σκηση 9.7.1  $\Delta$ είξε ότι η τριγωνική πυραμίδα με που έχει μιά τρισορθογώνιο τρίεδρο (κορυφή της οποίας και οι τρεις έδρες είναι ορθογώνια τρίγωνα) με ακμές μήκους δ έχει όγκο  $\frac{\delta^3}{6}$ .

'Ασκηση 9.7.2  $\Delta \epsilon$ ίξε ότι το εμβαδόν της παράπλευρης επιφάνειας μιάς πυραμίδας είναι μεγαλύτερο του εμβαδού της βάσης της.

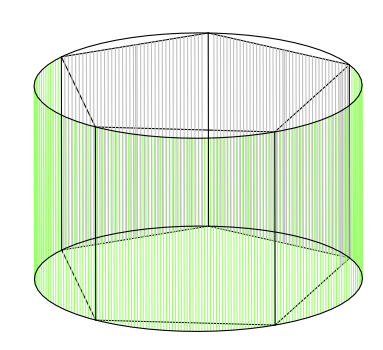


Σχήμα 735: Τομή τριγωνικής πυραμίδας κατά παραλληλόγραμμο

'Ασκηση 9.7.3  $\Delta \epsilon$ ίξε ότι ένα επίπεδο παράλληλο προς δύο απέναντι ακμές AB και  $\Gamma\Delta$  τετραέδρου το τέμνει κατά παραλληλόγραμμο.  $\Delta \epsilon$ ίξε επίσης ότι υπάρχει ένα ακριβώς τέτοιο επίπεδο που τέμνει το τετράεδρο κατά ρόμβο. Πότε ο ρόμβος αυτός είναι τετράγωνο;

## 9.8 Όγκοι κυλίνδρων

Ο όγκος ενός κυλίνδρου δεν μπορεί να μετρηθεί άμεσα και σύμφωνα με τις βασικές ιδιότητες του όγκου (Παράγραφος 9.5), αφού αυτές καθορίζουν πλήρως τον όγκο, αλλά μόνο γιά πολύεδρα. Έτσι καταφεύγουμε, γιά μία ακόμη φορά, στα όρια και προσεγγίζουμε τον κύλινδρο με εγγεγραμμένα σε αυτόν πρίσματα του ιδίου ύψους υ με αυτό του κυλίνδρου. Περιοριζόμαστε σε κανονικά πρίσματα εγγεγραμμένα στον κύλινδρο και ορίζουμε τον Όγκο του κυλίνδρου ως όριο των όγκων των κανονικών εγγεγραμμένων στον κύλινδρο πρισμάτων καθώς αυξάνονται οι έδρες τους.



Σχήμα 736: Όγκος κυλίνδρου

**Πρόταση 9.8.1** O όγκος κυλίνδρου ισούται με το γινόμενο του εμβαδού της βάσης του επί το ύψος του.

Απόδειξη: Γιά τον υπολογισμό του εμβαδού χρησιμποιούμε την παλιά καλή γνωστή ακολουθία κανονικών πολυγώνων  $\Pi_1,\Pi_2,\Pi_3,...$  (6.2) που εγγράφονται στην βάση του κυλίνδρου, αρχίζοντας από το εγγεγραμμένο τετράγωνο ( $\Pi_1$ ) και διπλασιάζοντας σε κάθε βήμα το πλήθος των κορυφών. Σύμφωνα με τους υπολογισμούς μας (Λήμμα 6.5.1), το εμβαδόν του εγγεγραμμένου στον κύκλο ακτίνας ρ πολυγώνου με μ το πλήθος πλευρές είναι

$$\mu(\frac{\rho^2}{2}\,\eta\mu(\frac{2\pi}{\mu})).$$

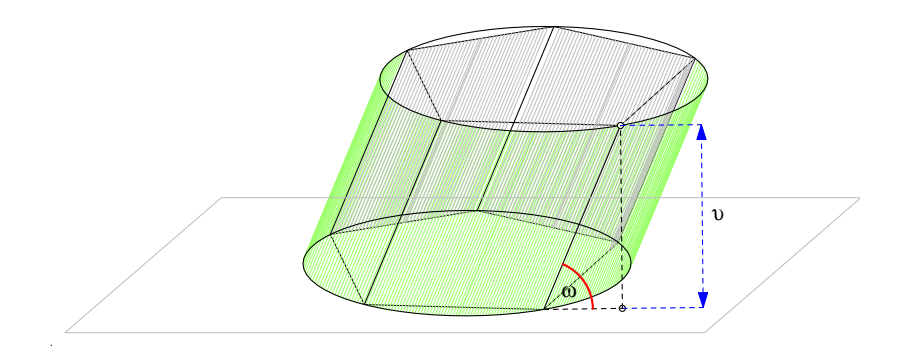
Συνάγεται (Πρόταση 9.6.1) ότι ό όγκος του πρίσματος πάνω από αυτό το πολύγωνο με ύψος υ είναι

$$v\mu(\frac{\rho^2}{2}\eta\mu(\frac{2\pi}{\mu})).$$

Επειδή το ύψος παραμένει σταθερό συνάγεται ότι το όριο της προηγούμενης παράστασης καθώς αυξάνεται το μ  $(=2^{\nu})$  θα είναι το γινόμενο του ύψους επί το εμβαδόν του κύκλου, ο.ε.δ.

 $\Sigma$ χόλιο-1 Η απόδειξη ισχύει και όταν οι γενέτειρες είναι όχι κάθετες στο επίπεδο του κύκλου της βάσης αλλά πλάγιες. Το μόνο που αλλάζει σε αυτήν την περίπτωση είναι το ύψος του κυλίνδρου, που δεν ταυτίζεται πλέον με το μήκος της γενέτειρας, αλλά δίδεται από τον τύπο

$$v = \delta \eta \mu(\omega),$$



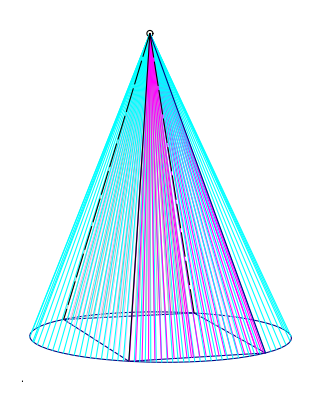
Σχήμα 737: Όγκος πλάγιου κυκλικού κυλίνδρου

όπου δ το μήχος της γένετειρας του πλάγιου χυλίνδρου και ω η γωνία που σχηματίζει η γενέτειρα με το επίπεδο του χύχλου της βάσης. Έτσι η προηγούμενη πρόταση, όπως διατυπώθηχε, ισχύει τόσο γιά ορθούς χυχλιχούς χυλίνδρους όσο και γιά πλάγιους.

 $\Sigma$ χόλιο-2 Η κάθετη τομή (με επίπεδο ορθογώνιο στις γενέτειρες) ενός πλάγιου κυλίνδρου με βάση κύκλο  $\delta \epsilon \nu$  είναι κύκλος (είναι έλλειψη).

### 9.9 Όγκοι κώνων

Όπως στον κύλινδρο έτσι και στον κώνο ο υπολογισμός του όγκου του γίνεται προσεγγίζοντας τον κώνο με εγγεγραμμένες κανονικές πυραμίδες. Το σενάριο το έχουμε συναντήσει αρκετές φορές. Στον κύκλο της βάσης εγγράφουμε κανονικά πολύγωνα  $\Pi_1,\Pi_2,\Pi_3,...$  αρχίζοντας με το τετράγωνο και διπλασιάζοντας διαδοχικά τις κορυφές από το ένα στο επόμενο πολύγωνο. Ορίζουμε τον Όγκο του κώνου ως το όριο των όγκων των πυραμίδων με βάση τα πολύγωνα  $\Pi_{\nu}$  και ύψος το ύψος του κώνου.

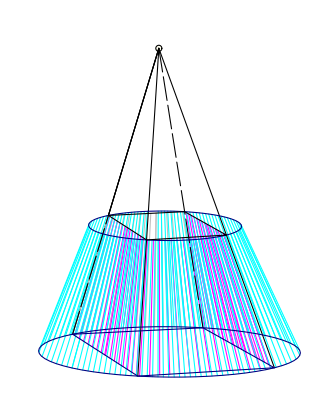


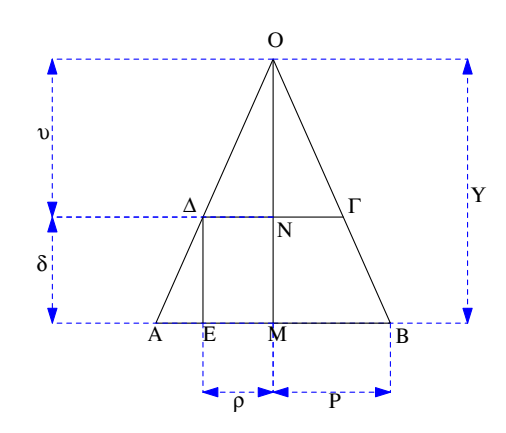
Σχήμα 738: Όγκος κώνου

**Πρόταση 9.9.1** O όγκος κώνου ισούται  $\mu\epsilon$  το 1/3 του το γινομένου του  $\epsilon\mu\beta$ αδού της  $\beta$ άσης του  $\epsilon\pi$ ί το ύψος του.

Aπόδειξη: Η απόδειξη είναι η ίδια με αυτήν της Πρότασης 9.8.1, ο.ε.δ.

Σχόλιο Η πρόταση ισχύει και γιά πλάγιους κώνους και όχι μόνον ορθούς. Η διατύπωση της προηγούμενης πρότασης είναι αρκετά γενική ώστε να συμπεριλαμβάνει και αυτούς. Η απόδειξη γιά τους πλάγιους είναι η ίδια με αυτήν γιά τους ορθούς. Ο όγκος κόλουρου





Σχήμα 739: Όγκος κόλουρου κώνου

κώνου υπολογίζεται αφαιρώντας από τον όγκο του κώνου με την μεγάλη βάση τον όγκο του κώνου με την μικρή βάση.

Πρόταση 9.9.2 Ο όγκος του κόλουρου κώνου ισούται με το

$$\frac{1}{3}(1-\kappa^3)\epsilon v$$
,

όπου ε είναι το εμβαδόν της μεγάλης βάσης, υ το ύψος του κώνου της μεγάλης βάσης και κ ο λόγος της ακτίνας της μικρής βάσης προς αυτήν της μεγάλης.

Aπόδειξη: Αν ο λόγος των ακτίνων είναι κ, τότε ο λόγος των εμβαδών του μικρού κύκλου προς τον μεγάλο είναι  $κ^2$ . Επίσης ο λόγος του ύψους του μικρού κώνου προς το ύψος του μεγάλου είναι (λόγω ομοιότητας τριγώνων) και αυτός κ. Ο τύπος προκύπτει αμέσως γράφοντας το μικρό ύψος υ'=κυ και το μικρό εμβαδόν  $ε'=κ^2$ ε και αντικαθιστώντας αυτά στον τύπο της διαφοράς των όγκων των δύο κώνων, ο.ε.δ.

Η επόμενη πρόταση δίνει τον όγχο του κόλουρου κώνου συναρτήσει των βασικών στοιχείων του που είναι οι δύο ακτίνες των βάσεών του P, ρ και το ύψος του δ.

**Πρόταση 9.9.3** O όγκος ο του κόλουρου κώνου με ακτίνα μεγάλης βάσης P, ακτίνα μικρής βάσης  $\rho$  και ύψος  $\delta$  είναι

$$o = \frac{\pi \delta}{3} (P^2 + \rho^2 + P\rho).$$

Aπόδειξη: Η απόδειξη στηρίζεται στον βασικό τύπο του όγκου του κόλουρου κώνου, ως διαφορά των όγκων δύο κώνων

$$o = \frac{\pi}{3}(P^2Y - \rho^2v),$$

όπου Y και υ τα ύψη του κώνου με την μεγάλη βάση και την μικρή βάση αντίστοιχα. Το σχήμα-739 δείχνει τα στοιχεία του τριγώνου που προκύπτει τέμνοντας τον κόλουρο κώνο με επίπεδο που διέρχεται από τον άξονά του OM. Η τομή αυτή είναι ένα ισοσκελές τραπέζιο  $AB\Gamma\Delta$ , που προεκτείνοντας τις πλευρές του οδηγεί στο ισοσκελές ABO. Από την ομοιότητα των τριγώνων  $A\Delta E$  και  $\Delta ON$  έχουμε

$$\frac{P - \rho}{\delta} = \frac{\rho}{v} \quad \Rightarrow \quad v = \frac{\rho \delta}{P - \rho}.$$

Χρησιμοποιώντας επίσης την

$$Y = \upsilon + \delta$$
.

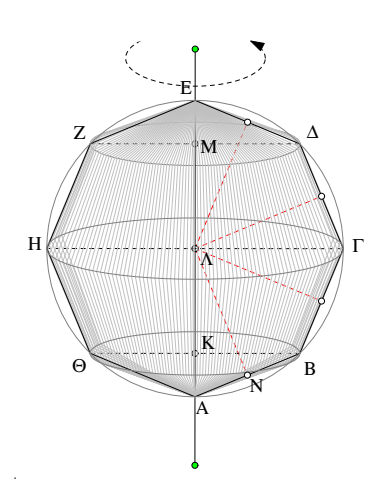
έχουμε

$$\begin{split} o &= \frac{\pi}{3}(P^{2}Y - \rho^{2}v) = \frac{\pi}{3}(P^{2}(v + \delta) - \rho^{2}v) \\ &= \frac{\pi}{3}(P^{2}(\frac{\rho\delta}{P - \rho} + \delta) - \rho^{2}\frac{\rho\delta}{P - \rho}) \\ &= \frac{\pi}{3}(P^{2}(\frac{P\delta}{P - \rho}) - \rho^{2}\frac{\rho\delta}{P - \rho}) \\ &= \frac{\pi\delta}{3}(\frac{P^{3} - \rho^{3}}{P - \rho}) \\ &= \frac{\pi\delta}{3}(P^{2} + \rho^{2} + P\rho), \end{split}$$

 $0.\epsilon.\delta$ .

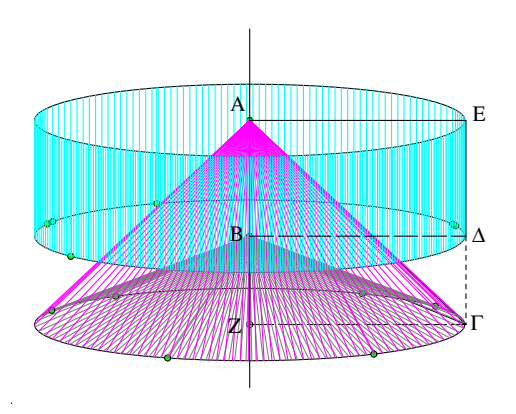
# 9.10 Όγκος της σφαίρας

Όπως στον κύλινδρο και στον κώνο έτσι και στην σφαίρα ο υπολογισμός του όγκου της γίνεται προσεγγίζοντάς τον με τον όγκο σωμάτων που προκύπτουν από κανονικά πολύγωνα. Μιά προσέγγιση της σφαίρας ακτίνας ρ παράγεται από την περιστροφή κανονικού πολυγώνου



Σχήμα 740: Προσέγγιση της σφαίρας

εγγεγραμμένου σε χύχλο χ αχτίνας ρ. Ας συμβολίζουμε πάλι με  $\Pi_1,\Pi_2,\Pi_3,...$  τα χανονιχά πολύγωνα που χρησιμοποιήσαμε και στην $\Pi$ αράγραφο 6.2. Αρχίζουν από το τετράγωνο ( $\Pi_1$ ) εγγεγραμμένο στον χύχλο χ και καθένα από τα επόμενα είναι επίσης εγγεγραμμένο στον χ και έχει διπλάσιο πλήθος πλευρών από το προηγούμενο. Κατά την περιστροφή ενός τέτοιου πολυγώνου περί την διάμετρο AE, που υποθέτουμε ότι συμπίπτει με μία διαγώνιο του πολυγώνου, παράγεται ένα στερεό, ο όγχος του οποίου χρησιμοποιείται γιά να προσεγγίσουμε αυτόν της σφαίρας. Οι επόμενες προτάσεις οδηγούν στον υπολογισμό αυτού του όγχου καθώς και στο όριό που οι όγχοι αυτοί τείνουν χαθώς αυξάνονται οι πλευρές τους.



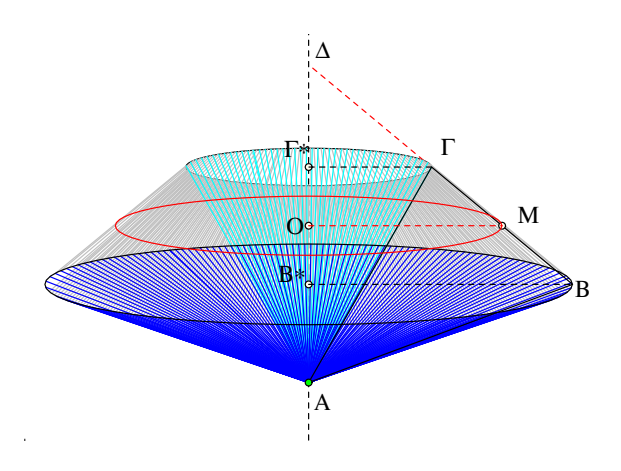
Σχήμα 741: Υπολογισμός όγκου στερεού εκ περιστροφής τριγώνου περί πλευράν

**Πρόταση 9.10.1** Ο όγκος του στερεού που προκύπτει κατά την περιστροφή τριγώνου  $AB\Gamma$  περί την βάση του AB ισούται  $\mu\epsilon$  το 1/3 του όγκου του κυλίνδρου που προκύπτει κατά την περιστροφή του ορθογωνίου  $AB\Delta E$   $\mu\epsilon$  την ίδια βάση και το ίδιο ύψος  $\mu\epsilon$  το τρίγωνο.

Aπόδειξη: Έστω Z η προβολή του σημείου  $\Gamma$  στον άξονα περιστροφής AB. Το στερεό που παράγεται από το τρίγωνο  $AB\Gamma$  έχει όγχο την διαφορά των όγχων των χώνων  $A\Gamma Z$  χαι  $B\Gamma Z$ . Οι δύο χώνοι έχουν χοινή βάση τον χύχλο με αχτίνα  $|Z\Gamma|$  χαι εμβαδόν  $\epsilon = \pi |Z\Gamma|^2$  χαι η διαφορά των όγχων τους είναι

$$\frac{1}{3}\epsilon |AZ| - \frac{1}{3}\epsilon |BZ| = \frac{1}{3}\epsilon |AB|,$$

 $0.\epsilon.\delta$ .

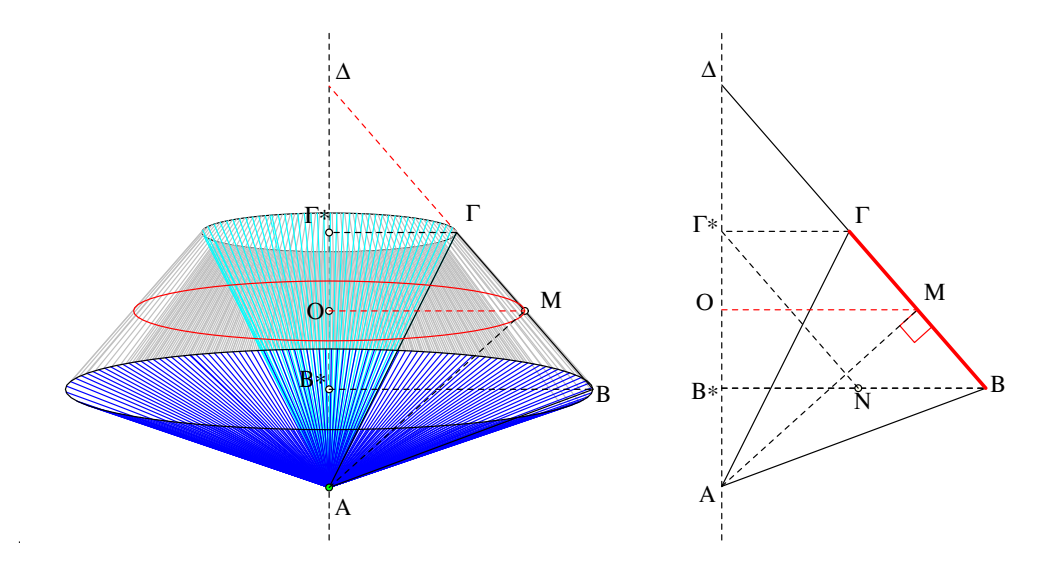


Σχήμα 742: Υπολογισμός όγκου στερεού εκ περιστροφής τριγώνου περί κορυφήν

Πρόταση 9.10.2 Ο όγκος του στερεού που προκύπτει κατά την περιστροφή τριγώνου  $AB\Gamma$  περί άξονα διερχόμενο από την κορυφή του A και μη τέμνοντα την βάση του  $B\Gamma$  ισούται με τα δύο τρίτα του εμβαδού του επί την περίμετρο του κύκλου που διαγράφει το μέσον M της βάσης του.

Aπόδειξη: Έστω  $\Delta$  η τομή της  $B\Gamma$  με τον άξονα περιστροφής. Ο όγκος ο που παράγει το τρίγωνο  $AB\Gamma$  ισούται με την διαφορά των όγκων που παράγουν τα τρίγωνα  $A\Delta\Gamma$  και  $A\Delta B$  περιστρεφόμενα περί την κοινή βάση τους  $A\Delta$ . Σύμφωνα με την προηγούμενη πρόταση ο όγκος αυτός είναι το 1/3 του όκγου του κυλίνδρου με την ίδια βάση και το ίδιο ύψος με τα αντίστοιχα τρίγωνα, επομένως

$$\begin{split} o &= \frac{1}{3}(\pi|BB^*|^2|A\Delta|) - \frac{1}{3}(\pi|\Gamma\Gamma^*|^2|A\Delta|) \\ &= \frac{\pi|A\Delta|}{3}(|BB^*|^2 - |\Gamma\Gamma^*|^2) \\ &= \frac{\pi|A\Delta|}{3}(|BB^*| - |\Gamma\Gamma^*|)(|BB^*| + |\Gamma\Gamma^*|) \\ &= \frac{\pi}{3}(|A\Delta|(|BB^*| - |\Gamma\Gamma^*|))(|BB^*| + |\Gamma\Gamma^*|) \\ &= \frac{\pi}{3}(2\epsilon(AB\Gamma))(2|OM|) \\ &= \frac{2}{3}\epsilon(AB\Gamma)*(2\pi|OM|), \end{split}$$



Σχήμα 743: Υπολογισμός όγκου στερεού εκ περιστροφής ισοσκελούς τριγώνου

**Πόρισμα 9.10.1** Ο όγκος ο του στερεού που προκύπτει κατά την περιστροφή ισοσκελούς τριγώνου  $AB\Gamma$  περί άξονα διερχόμενο από την κορυφή του A και μη τέμνοντα την βάση του  $B\Gamma$  ισούται με

$$o = \frac{2}{3}\pi |AM|^2 |B^*\Gamma^*|,$$

όπου M το μέσον της  $B\Gamma$  και  $B^*$ ,  $\Gamma^*$  οι προβολές των B, $\Gamma$  στον άξονα περιστροφής.

Aπόδειξη: Κατά την προηγούμενη πρόταση ο όγχος του εν λόγω στερεού θα είναι

$$o = \frac{2}{3}\epsilon(AB\Gamma)(2\pi|OM|).$$

Όταν το  $AB\Gamma$  είναι ισοσκελές ( $|AB|=|A\Gamma|$ ), τότε η AM είναι κάθετη στην  $B\Gamma$  και τα ορθογώνια τρίγωνα AMO και  $N\Gamma^*B^*$ , με N επί της  $BB^*$  έτσι ώστε  $|BN|=|\Gamma\Gamma^*|$ , είναι όμοια. Συνάγεται ότι

$$\frac{|OM|}{|AM|} = \frac{|B^*\Gamma^*|}{|N\Gamma^*|} = \frac{|OM|}{|AM|} = \frac{|B^*\Gamma^*|}{|B\Gamma|} \implies |OM| = \frac{|AM||B^*\Gamma^*|}{|B\Gamma|}.$$

Χρησιμοποιώντας αυτόν τον τύπο ο όγχος του στερεού γράφεται

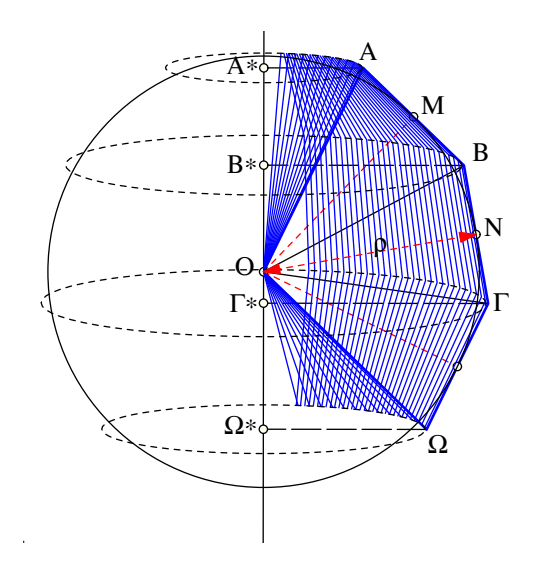
$$o = \frac{2}{3}\epsilon(AB\Gamma)(2\pi|OM|)$$

$$= \frac{2}{3}\left(\frac{1}{2}|B\Gamma||AM|\right)(2\pi|OM|)$$

$$= \frac{2}{3}\pi|AM|^2|B^*\Gamma^*|,$$

o.e. $\delta$ .

**Σχόλιο-1** Είναι εύχολο να δούμε ότι ο τύπος του τελευταίου πορίσματος ισχύει και στην περίπτωση που η  $B\Gamma$  δεν τέμνει τον άξονα περιστροφής, δηλαδή η  $B\Gamma$  είναι παράλληλη προς τον άξονα  $A\Delta$ .



Σχήμα 744: Υπολογισμός όγκου στερεού εκ περιστροφής

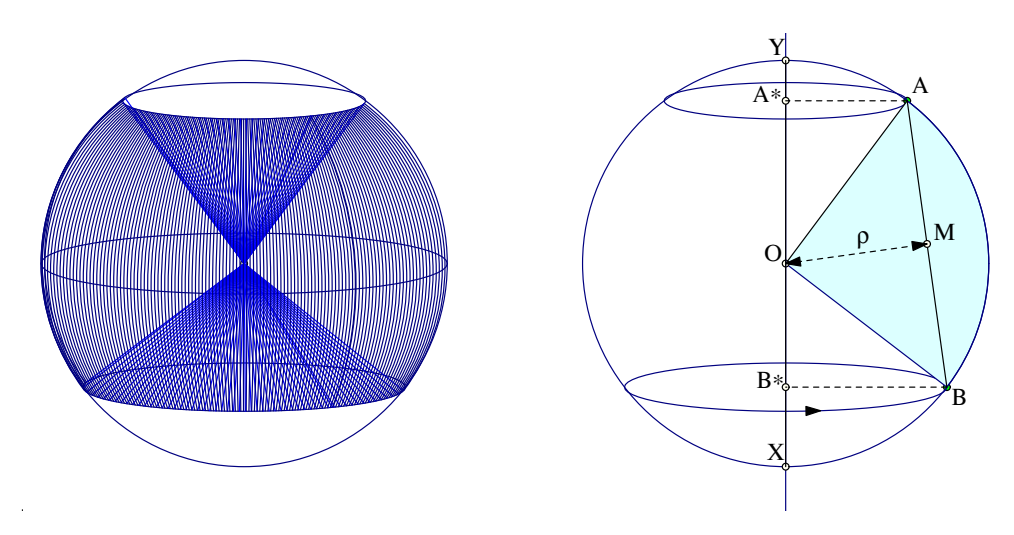
Πρόταση 9.10.3 Εστω ότι το πολύγωνο αποτελούμενο από τις ακτίνες OA,  $O\Omega$  και τμήμα άλλου πολυγώνου  $AB\Gamma\Delta E...\Omega$  με ίσες πλευρές και εγγεγραμμένου σε κύκλο κ, περιστρέφεται περί άξονα διερχόμενο από το κέντρο O του κ και μή τέμνοντα το τμήμα. Τότε το στερεό που παράγεται έχει όγκο

$$o = \frac{2}{3}\pi\rho^2 |A^*\Omega^*|,$$

όπου  $A^*$ ,  $\Omega^*$  οι προβολές των A και  $\Omega$  στον άξονα περιστροφής και  $\rho$  η ακτίνα του εγγεγραμμένου κύκλου του πολυγώνου.

Aπόδειξη: Η απόδειξη προκύπτει εφαρμόζοντας το προηγούμενο πόρισμα σε κάθε ένα από τα τρίγωνα ΟΑΒ, ΟΒΓ, ΟΓΔ, ... και αθροίζοντας τους τύπους γιά τους παραγόμενους όγκους, ο.ε.δ.

 $\Sigma$ φαιρικός τομέας ονομάζεται το στερεό που παράγεται κατά την περιστροφή ενός κυκλικού τομέα κύκλου κ που περιστρέφεται περί ευθεία XY του επιπέδου του διερχόμενη από το κέντρο O του κύκλου και μη τέμνουσα τον κυκλικό τομέα.



Σχήμα 745: Υπολογισμός όγκου σφαιρικού τομέα

**Πόρισμα 9.10.2** Ο όγκος του σφαιρικού τομέα τόξου AB κύκλου κ ακτίνας  $\rho$  που περιστρέφεται γύρω από διάμετρο του κ που δεν τέμνει τον τομέα είναι ίσος με

$$o = \frac{2}{3}\pi \rho^2 |A^*B^*|,$$

όπου  $A^*$  και  $B^*$  οι προβολές των άκρων του τόξου AB στον άξονα περιστροφής.

Aπόδειξη: Ως όγχο του εν λόγω στερεού θεωρούμε το όριο των όγχων των στερεών που παράγονται με τον τρόπο που περιγράφεται στην προηγούμενη πρόταση από τα πολύγωνα OABΓΔ...Ω τα εγγεγραμμένα στον χύχλο χ, χαθώς αυξάνεται το πλήθος των ίσων πλευρών του πολυγώνου ABΓ...Ω. Τότε η αχτίνα του εγγεγραμμένου στο πολύγωνο αυτό χύχλου τείνει προς την αχτίνα ρ του χύχλου χ χαι ο τύπος προχύπτει από τον τύπο της προηγούμενης πρότασης αντιχαθιστώντας στην θέση του ρ την αχτίνα του χύχλου χ, ο.ε.δ.

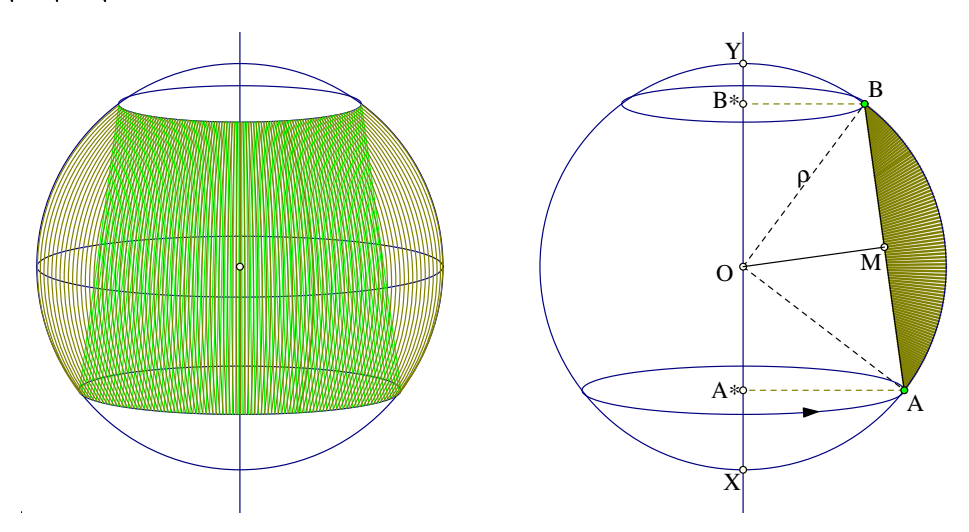
Πόρισμα 9.10.3 Ο όγκος σφαίρας ακτίνας ρ είναι

$$o = \frac{4}{3}\pi\rho^3.$$

Aπόδειξη: Θεωρούμε την σφαίρα παραγόμενη από περιφέρεια ακτίνας ρ που περιστρέφεται περί την διάμετρό της AE. Στον κύκλο αυτό εγγράφουμε τα πολύγωνα  $\Pi_1,\Pi_2,...$  έτσι ώστε η AE να είναι διαγώνιός τους. Έστω  $ο_{\nu}$  ο όγκος του στερεού  $\Sigma_{\nu}$  που προκύπτει περιστρέφοντας το  $\Pi_{\nu}$  περί την διαγώνιο AE και έστω  $\rho_{\nu}$  η ακτίνα του εγγεγραμμένου στο  $\Pi_{\nu}$  κύκλου. Κατά την  $\Pi$ ρόταση 9.10.3 θα έγουμε

$$o_{\nu} = \frac{2}{3}\pi\rho_{\nu}^{2}|A^{*}E^{*}| = \frac{2}{3}\pi\rho_{\nu}^{2}|AE| = \frac{4}{3}\pi\rho\rho_{\nu}^{2}.$$

Ο όγκος της σφαίρας είναι το όριο των  $o_{\nu}$  και αυτό εξαρτάται, σύμφωνα με τον προηγούμενο τύπο, από το όριο των ακτίνων  $\rho_{\nu}$  των εγγεγραμμένων κύκλων. Καθώς όμως αυξάνει το ν η ακτίνα του εγγεγραμμένου κύκλου  $\rho_{\nu}$  τείνει προς την ακτίνα του περιγεγραμμένου ρ, εξ ού και το συμπέρασμα, ο.ε.δ.



Σχήμα 746: Υπολογισμός όγχου σφαιρικού δακτυλίου

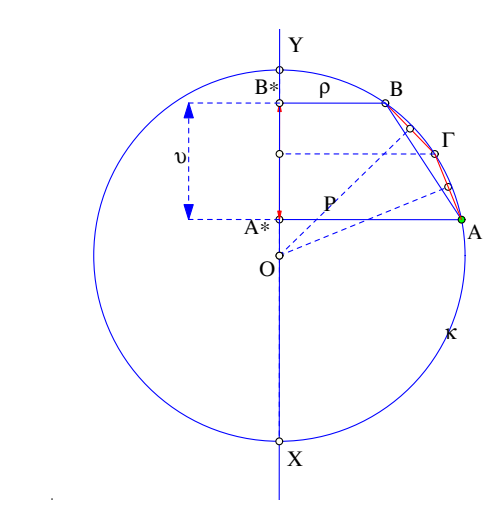
Ο Σφαιρικός δακτύλιος είναι το στερεό που περικλείεται μεταξύ ενός κόλουρου κώνου εγγεγραμμένου στην σφαίρα και την σφαίρα. Προκύπτει κατά την περιστροφή ενός κυκλικού τμήματος κύκλου κ περί διάμετρο του κύκλου XY που δεν τέμνει το κυκλικό τμήμα.

**Πόρισμα 9.10.4** O όγκος σφαιρικού δακτυλίου που παράγεται από τόξο AB κύκλου κέντρου O ακτίνας  $\rho$  είναι

$$o = \frac{2}{3}\pi |A^*B^*|(\rho^2 - |OM|^2) = \frac{1}{6}\pi |A^*B^*||AB|^2,$$

όπου  $A^*$ ,  $B^*$  οι προβολές των άκρων του τοξου AB στον άξονα περιστροφής και M το μέσον του τόξου.

Aπόδειξη: Η απόδειξη προχύπτει υπολογίζοντας την διαφορά  $o_1-o_2$  δύο όγχων. Ο πρώτος  $(o_1)$  είναι ο όγχος του στερεού που προχύπτει κατά την περιστροφή του χυχλικού τομέα που ορίζει το τόξο AB. Ο δεύτερος  $o_2$  είναι ο όγχος του στερεού που προχύπτει κατά την περιστροφή του τριγώνου OAB. Οι δύο όγχοι υπολογίζονται στα πορίσματα 9.10.2 και 9.10.1 αντίστοιχα, o.ε.δ.



Σχήμα 747: Ορισμός όγχου σφαιριχής ζώνης

Θεωρούμε ότι η σφαιρική ζώνη παράγεται από την περιστροφή του επιπέδου σχήματος  $A^*ABB^*$  που ορίζεται από τόξο AB κύκλου κ και τις προβολές των άκρων του σε μία διάμετρο XY που δεν το τέμνει. Το σχήμα αυτό περιστρέφουμε περί την διάμετρο XY (σχήμα-747), οπότε προκύπτει ένα στερεό που είναι μέρος της σφαίρας και ορίζεται τέμνοντας την σφαίρα με δύο επίπεδα σε απόσταση  $v=|A^*B^*|$ . Θεωρούμε τον  $\mathbf{Ογκο}$  της σφαιρικής ζώνης ως άθροισμα των όγκων  $o_1+o_2$  του κόλουρου κώνου  $(o_1)$  που παράγεται κατά την περιστροφή του τραπεζίου  $A^*ABB^*$  και του όγκου του σφαιρικού δακτυλίου  $(o_2)$  που παράγεται κατά την περιστροφή του τόξου AB.

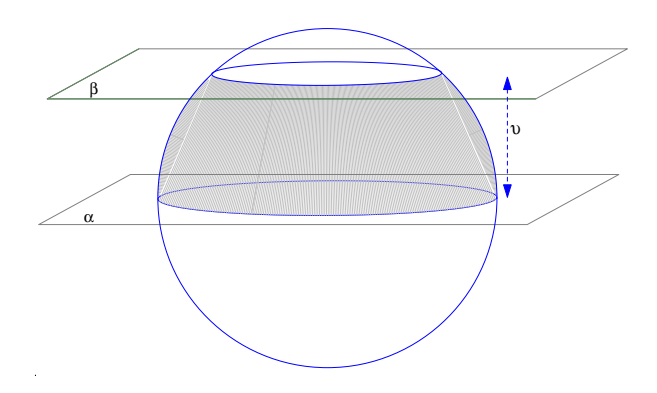
**Πρόταση 9.10.4** Ο όγκος της σφαιρικής ζώνης που παράγεται από το τόξο AB του κύκλου ακτίνας ρ ισούται με

 $o = \frac{1}{2}\pi v(P^2 + \rho^2) + \frac{1}{6}\pi v^3,$ 

όπου υ το ύψος της σφαιρικής ζώνης και P, ρ οι ακτίνες της μεγάλης και της μικρής βάσης αντίστοιχα.

Aπόδειξη: Ο όγκος του κόλουρου κώνου δίδεται κατά την Πρόταση 9.9.3

$$o_1 = \frac{\pi v}{3} (P^2 + \rho^2 + P\rho),$$



Σχήμα 748: Όγκος σφαιρικής ζώνης

όπου  $v=|A^*B^*|$  το ύψος του. Χρησιμοποιώντας και το Πόρισμα 9.10.4 βρίσκουμε ότι ο ογκος ο της σφαιρικής ζώνης είναι

$$o = o_1 + o_2 = \frac{\pi v}{3} (P^2 + \rho^2 + P\rho) + \frac{1}{6} \pi v |AB|^2$$

$$= \frac{1}{6} \pi v (2(P^2 + \rho^2 + P\rho) + |AB|^2)$$

$$= \frac{1}{6} \pi v (2P^2 + 2\rho^2 + 2P\rho + (P - \rho)^2 + v^2)$$

$$= \frac{1}{6} \pi v (3P^2 + 3\rho^2 + v^2)$$

$$= \frac{1}{2} \pi v (P^2 + \rho^2) + \frac{1}{6} \pi v^3,$$

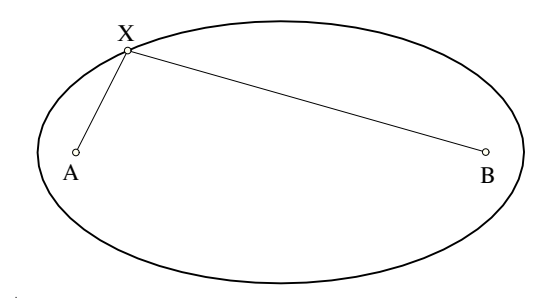
 $0.\epsilon.\delta$ .

 $\Sigma$ χόλιο-2 Ας σημειώσουμε σε αυτό το σημείο ότι όλοι αυτοί οι υπολογισμοί όγχων στερεών που παράγονται από περιστροφή, δεν είναι παρά ειδιχές περιπτώσεις υπολογισμών ολοκληρωμάτων, όπως αυτά ορίζονται στον Aπειροστικό Aογισμό. Εχεί αναπτύσσεται μιά εννιαία μέθοδος υπολογισμού που μπορεί να εφαρμοσθεί σε πολύ περισσότερα στερεά απ' όσα εξετάσαμε εδώ. Στο βιβλίο του Spivak δίδονται όλοι αυτοί οι υπολογισμοί μας χαι αχόμη περισσότεροι [ $\Sigma$ πί04, σελ. 326] ως ασχήσεις εφαρμογής των γενιχών μεθόδων του απειροστιχού λογισμού. Οι γενιχές αυτές μέθοδοι ωστόσο, στηρίζονται στις ιδέες που αναπτύξαμε εδώ χαι που οφείλονται στον Εύδοξο χαι χυρίως στον Aρχιμήδη.

Κεφάλαιο 10 Κωνικές Τομές

# 10.1 Κωνικές τομές

Οι τομές χώνιχής επιφάνειας  $\Sigma$  με επίπεδο ε χάθετο στον άξονά της χαι μη διερχόμενο από την χορυφή της Ο είναι χύχλοι (Πρόταση 8.9.2). Όταν το επίπεδο δεν είναι χάθετο στον άξονα της  $\Sigma$  οι τομές που προχύπτουν είναι ελλείψεις, παραβολές χαι υπερβολές. Οι ελλείψεις προχύπτουν, όπως θα δούμε, από τομές με επίπεδα που τέμνουν όλες τις γενέτειρες της  $\Sigma$ . Μιά Έλλειψη χαραχτηρίζεται χαι ως ο γεωμετριχός τόπος των σημείων X τα οποία έχουν



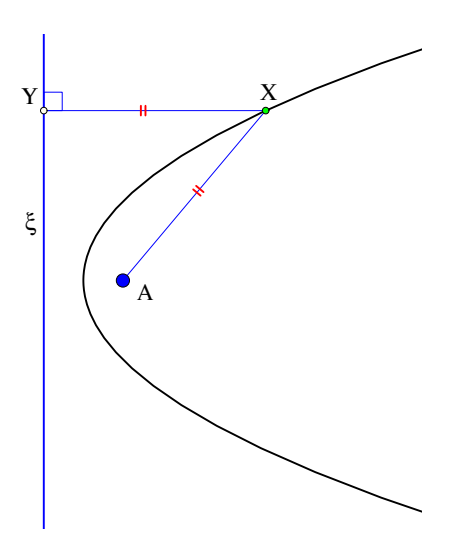
Σχήμα 749: Έλλειψη  $(|XA|+|XB|=\lambda)$ 

σταθερό άθροισμα αποστάσεων από δύο σταθερά σημεία Α και Β.

$$|XA| + |XB| = \lambda.$$

Τα σημεία A και B λέγονται **Εστίες** της έλλειψης. Ελλείψεις προκύπτουν επίσης όταν τμηθεί ορθός κυκλικός κύλινδρος με επίπεδο μη-κάθετο (και μη παράλληλο) στις γενέτειρές του. Οι κύκλοι μπορούν να θεωρηθούν ως ειδική περίπτωση ελλείψεων, των οποίων τα σταθερά σημεία A και B συμπίπτουν.

Οι παραβολές προχύπτουν από τομές με επίπεδα που είναι παράλληλα προς χάποιο εφαπτόμενο επίπεδο της χωνιχής επιφάνειας (Παράγραφος 8.9). Η Παραβολή χαραχτηρίζεται και ως ο γεωμετριχός τόπος των σημείων X τα οποία έχουν την ίδια απόσταση από σταθερό σημείο A χαι σταθερή ευθεία  $\xi$ . Το σημείο A λέγεται  $\mathbf{E}\sigma\mathbf{t}$ ία της παραβολής χαι η ευθεία  $\xi$ 



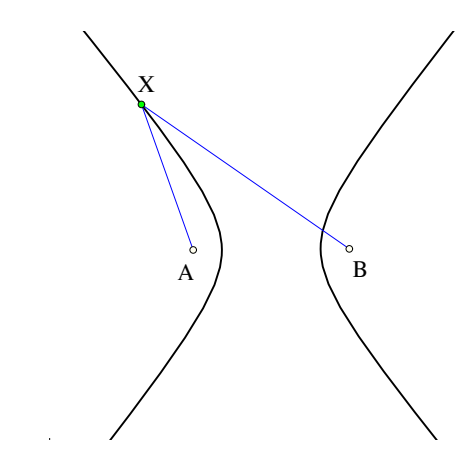
Σχήμα 750: Παραβολή (|XA| = |XY|)

λέγεται Διευθετούσα της παραβολής.

Τέλος οι υπερβολές προχύπτουν από τομές με επίπεδα που είναι παράλληλα προς δύο αχριβώς γενέτειρες της χωνιχής επιφάνειας. Η Υπερβολή χαραχτηρίζεται και ως ο γεωμετρικός τόπος των σημείων X τα οποία έχουν σταθερή διαφορά αποστάσεων από δύο σταθερά σημεία A και B.

$$||XA| - |XB|| = \lambda.$$

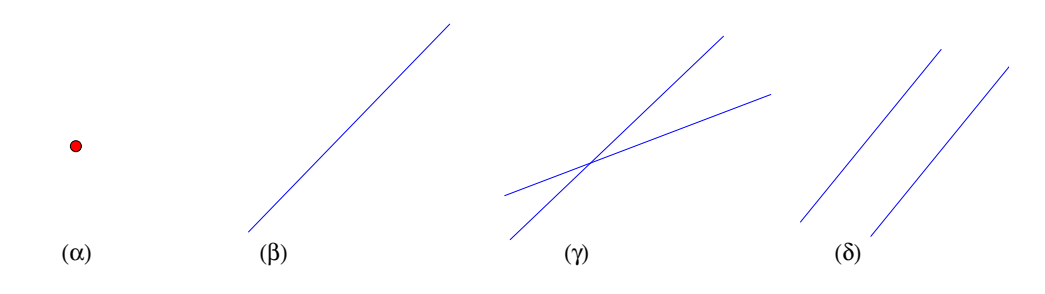
Και πάλι τα σημεία Α και Β ονομάζονται Εστίες της υπερβολής.



Σχήμα 751: Υπερβολή  $(||XA| - |XB|| = \lambda)$ 

Τα τρία αυτά είδη καμπυλών (ελλείψεις, παραβολές, υπερβολές) ονομάζονται συλλογικά Γνήσιες Κωνικές Τομές και προκύπτουν ως τομές κωνικής επιφάνειας με επίπεδο μηδιερχόμενο διά της κορυφής Ο. Οι ελλείψεις και οι υπερβολές έχουν, όπως θα δούμε, δύο άξονες συμμετρίας καθώς και κέντρο συμμετρίας και λέγονται Κωνικές με κέντρο. Η υπερβολή ωστόσο έχει μόνο άξονα συμμετρίας αλλά όχι κέντρο συμμετρίας.

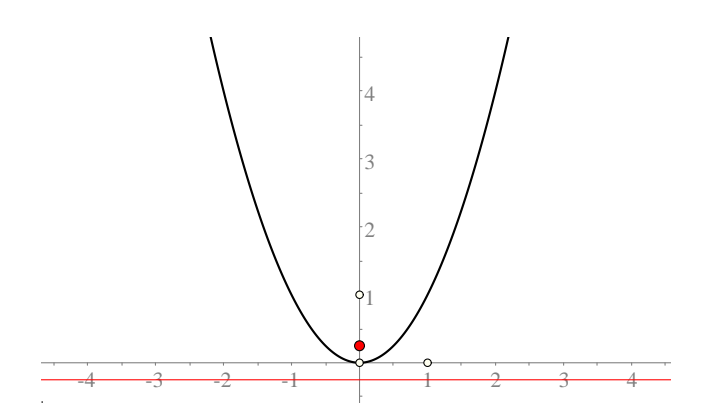
Όταν το επίπεδο, με το οποίο τέμνουμε την κωνική επιφάνεια, ε διέρχεται από την κορυφή O της κωνικής επιφάνειας, τότε προκύπτουν, ανάλογα με την κλίση του ε, οι επόμενες καμπύλες, με μία καταχρηστική έννοια του όρου: (α) ένα σημείο (το ε περιέχει τότε το O και κανένα άλλο σημείο της O), (β) δύο τεμνόμενες ευθείες (το ε τέμνει την O) κατά δύο γενέτειρες) και (γ) μία ευθεία (το ε εφάπτεται της O). Όπως ανέφερα ήδη, ο όρος καμπύλη χρησιμοποιείται, κατ΄ αρχήν, καταχρηστικά γιά αυτές τις περιπτώσεις. O0λλογικά αυτές οι ιδιάζουσες περιπτώσεις τομών ονομάζονται O1 O1 O1 O2 κωνικές τομές. O2 αυτές προσμετρώνται και ζεύγη παραλλήλων ευθειών, θεωρούμενα ότι προκύπτουν από τομή κυλίνδρου με επίπεδο παράλληλο προς τις γενέτειρές του.



Σχήμα 752: Τα τέσσερα είδη ιδιόμορφων κωνικών τομών

 $\Sigma$ χόλιο  $\Sigma$ υνήθως ο μαθητής συναντά τις κωνικές τομές, πολύ πριν της γνωρίσει από την γεωμετρική σκοπιά, στην μορφή γραφικών παραστάσεων απλών συναρτήσεων. Γιά παράδειγμα, την παραβολή ως γραφική παράσταση της συνάρτησης

$$y = x^2$$

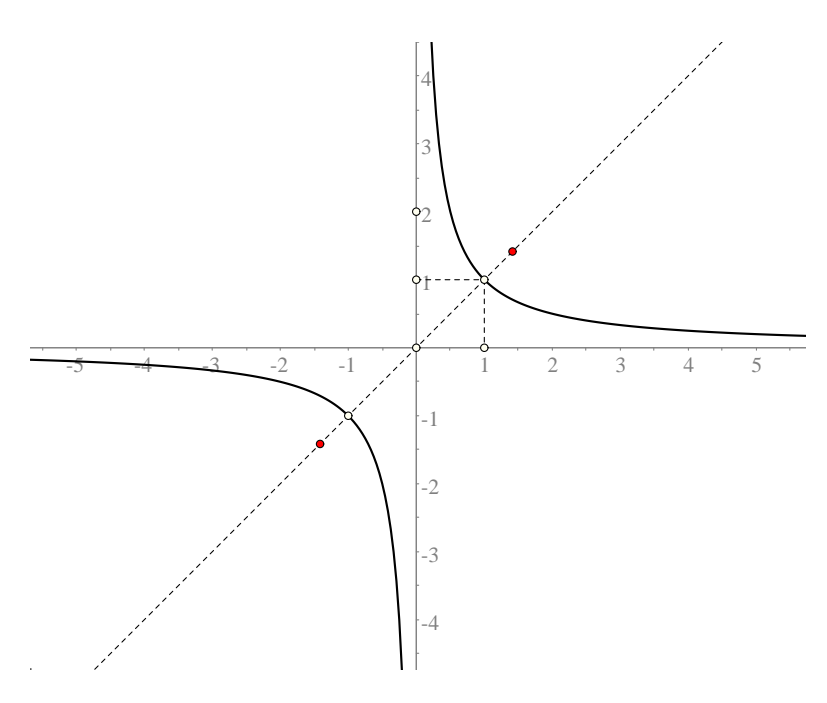


Σχήμα 753: Παραβολή ως γραφική της  $y=x^2$ 

της οποίας η εστία είναι στο σημείο  $y=\frac{1}{4}$  του y-άξονα και η διευθετούσα είναι η παράλληλη του x-άξονα από το σημείο του y-άξονα  $y=-\frac{1}{4}$ .

Συναντά επίσης την υπερβολή ως γραφική παράσταση της συνάρτησης

$$y = \frac{1}{x}$$



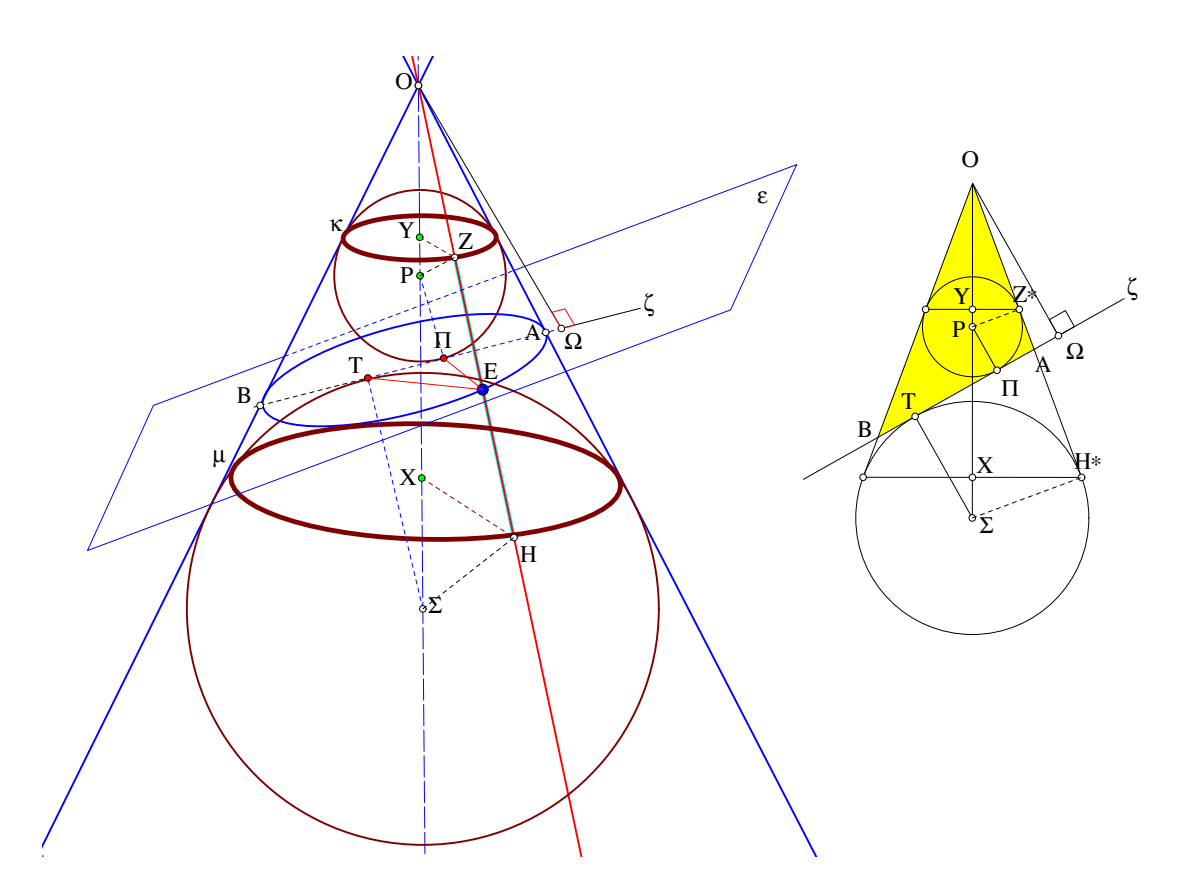
 $\Sigma$ χήμα 754: Παραβολή ως γραφική της  $y=\frac{1}{x}$ 

που είναι υπερβολή διερχόμενη από τα σημεία  $\pm(1,1)$  και με εστίες στα σημεία  $\pm(\sqrt{2},\sqrt{2})$ .

## 10.2 Οι σφαίρες του Dandelin

Οι Σφαίρες του Dandelin (1794-1847) διευκολύνουν τον συσχετισμό των κωνικών τομών με τους γεωμετρικούς τόπους, που αναφέρθηκαν στην προηγούμενη παράγραφο. Πρόκειται απλά γιά σφαίρες εγγεγραμμένες σε κωνικές ή κυλινδρικές επιφάνειες και ταυτόχρονα εφαπτόμενες ενός άλλου επιπέδου ε. Οι επόμενες προτάσεις δείχνουν ότι κάθε επίπεδο ε που τέμνει μιά τέτοια επιφάνεια ορίζει δύο (ή μία σε ορισμένες περιπτώσεις που θα δούμε στην επόμενη παράγραφο) σφαίρες που λέγονται Σφαίρες Dandelin του επιπέδου ε. Αποφασιστικής σημασίας σε αυτήν την παράγραφο είναι η Πρόταση 8.9.5, κατά την οποία κάθε επίπεδο ε, μη-διερχόμενο από την κορυφή Ο κωνικής επιφάνειας, τέμνει (α) ή όλες τις γενέτειρες, (β) ή ολές εκτός από δύο, (γ) ή όλες εκτός από μία. Εδώ θα εξετάσουμε τις δύο πρώτες περιπτώσεις. Στην επόμενη παράγραφο θα εξετάσουμε και την τρίτη.

Πρόταση 10.2.1 Έστω επίπεδο ε τέμνον όλες τις γενέτειρες κώνικής επιφάνειας K. Υπάρχουν τότε δύο σφαίρες εφαπτόμενες της κωνικής επιφάνειας και ταυτόχρονα εφαπτόμενες του επιπέδου ε.



Σχήμα 755: Σφαίρες του Dandelin

Aπόδειξη: Θεώρησε το επίπεδο  $\vartheta$  που ορίζεται από τον άξονα OX της χωνιχής επιφάνειας K και την χάθετο  $O\Omega$  από την χορυφή O του χώνου προς το επίπεδο ε. Έστω ότι η τομή του ε και του  $\vartheta$  είναι η ευ $\vartheta$ εία  $\zeta$ . Εχ κατασχευής η  $\zeta$  είναι χά $\vartheta$ ετη στην  $O\Omega$  και τέμνει τις δύο γενέτειρες της χωνιχής επιφάνειας K που περιέχονται στο  $\vartheta$  στα σημεία A και B. Ορίζεται λοιπόν στο επίπεδο  $\vartheta$  τρίγωνο OAB και επομένως ο εγγεγραμμένος και παρεγγεγραμμένος χύχλος του στην γωνία AOB με κέντρα αντίστοιχα P και  $\Sigma$ . Οι σφαίρες με κέντρα τα P και  $\Sigma$ 

και ακτίνες αυτές του εγγεγραμμένου και παρεγγεγραμμένου,  $P\Pi$  και  $\Sigma T$  αντίστοιχα, είναι οι ζητούμενες. Δείχνω ότι η μία από αυτές, η  $P(P\Pi)$  είναι εφαπτόμενη του κώνου. Πράγματι, αν OH είναι μιά άλλη γενέτειρα και Z η προβολή του P σε αυτήν, τότε τα ορθογώνια τρίγωνα PZO και  $PZ^*O$ , όπου  $Z^*$  η προβολή του P στην OA, είναι ίσα. Τούτο διότι το P είναι επί το άξονος της κωνικής επιφάνειας, άρα έχει την ίδια απόσταση από τις γενέτειρες, συνεπώς  $|PZ| = |PZ^*|$ . Επίσης τα δύο ορθογώνια έχουν την υποτείνουσα OP κοινή, είναι συνεπώς ίσα. Αυτό συνεπάγεται ότι η OH είναι εφαπτόμενη της σφαίρας στο σημείο Z και αποδεικνύει τον ισχυρισμό. Ανάλογα αποδεικνύεται ότι και η σφαίρα  $\Sigma(\Sigma T)$  είναι εφαπτόμενη της κωνικής επιφάνειας. Το ότι οι σφαίρες αυτές είναι και εφαπτόμενες στο επίπεδο ε συνάγεται αμέσως  $\lambda$ .χ. γιά την  $P(P\Pi)$ , από το γεγονός ότι η  $P\Pi$  είναι και κάθετος στο επίπεδο ε, ως παράλληλη της  $O\Omega$ , που έχει αυτήν την ιδιότητα.  $\Sigma$ υνεπώς το επίπεδο ε είναι εφαπτόμενο της σφαίρας  $P(P\Pi)$  ως κάθετο στο άκρο μιάς ακτίνας της, ο.ε.δ.

Θεώρημα 10.2.1 Τα σημεία τομής επιπέδου  $\varepsilon$ , που τέμνει όλες τις γενέτειρες κωνικής επιφάνειας K, αποτελούν μία έλλειψη με εστίες τα σημεία επαφής των σφαιρών του Dandelin με το επίπεδο  $\varepsilon$ .

Aπόδειξη: Η απόδειξη προχύπτει από την ισότητα των εφαπτομένων από σημείο προς σφαίρα (Πρόταση 8.11.3). Αν Ε σημείο της τομής του ε και της K, τότε η γενέτειρα ΟΕ είναι ταυτόχρονα εφαπτόμενη και των δύο σφαιρών. Επίσης, αν  $\Pi$  και T είναι τα σημεία επαφής των σφαιρών  $P(P\Pi)$  και  $\Sigma(\Sigma T)$  με το επίπεδο ε, τότε και οι  $\Sigma \Pi$  και  $\Sigma T$  είναι αντίστοιχα εφαπτόμενες σε αυτές τις σφαίρες.  $\Sigma$ υνάγεται ότι  $|E\Pi|=|EZ|$  και |ET|=|EH|, όπου  $\Sigma$  και  $\Sigma$  τα σημεία επαφής της γενέτειρας  $\Sigma$  με τις σφαίρες.  $\Sigma$  τότε όμως το άθροισμα

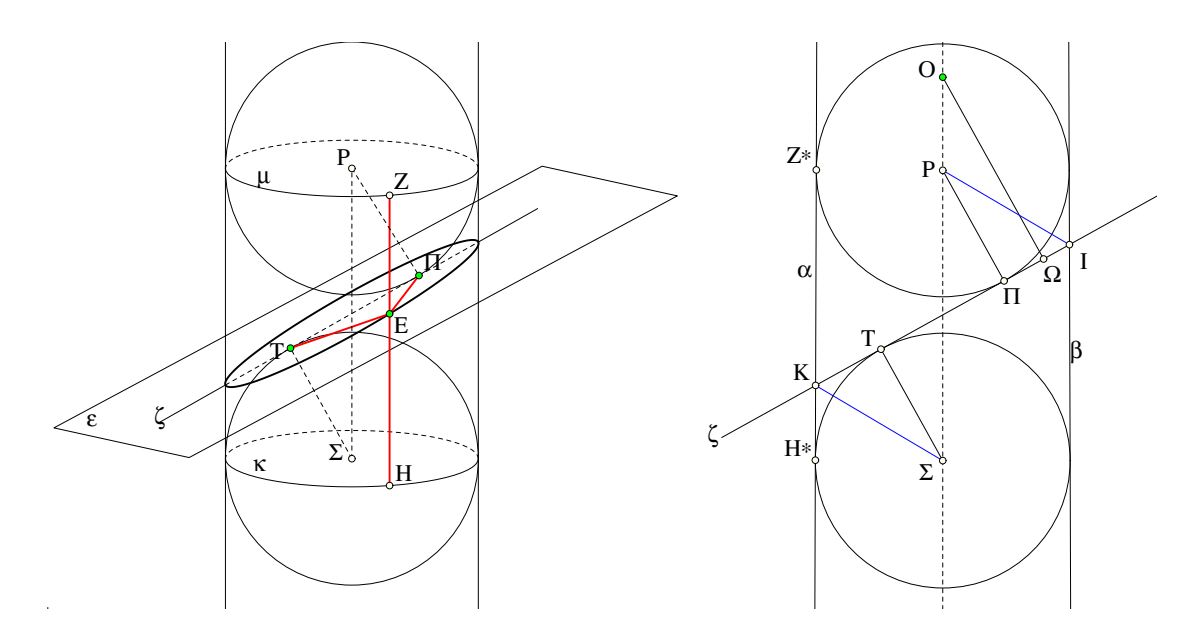
$$|ET| + |E\Pi| = |EZ| + |EH| = |ZH|,$$

το οποίο είναι σταθερό και ίσο με το μήκος της γενέτειρας του κόλουρου κώνου που σχηματίζεται από τους κύκλους κ και μ, κατά τους οποίους εφάπτονται οι δύο σφαίρες με την κωνική επιφάνεια, ο.ε.δ.

**Πρόταση 10.2.2** Έστω επίπεδο ε τέμνον όλες τις γενέτειρες κυλίνδρικής επιφάνειας K. Υπάρχουν τότε δύο σφαίρες εφαπτόμενες της K και ταυτόχρονα εφαπτόμενες του επιπέδου  $\varepsilon$ .

Θεώρημα 10.2.2 Τα σημεία τομής επιπέδου  $\varepsilon$ , που τέμνει όλες τις γενέτειρες κυλινδρικής επιφάνειας K, αποτελούν μία έλλειψη με εστίες τα σημεία επαφής των σφαιρών του Dandelin με το επίπεδο  $\varepsilon$ .

Aπόδειξη: Η απόδειξη προχύπτει από την ισότητα των εφαπτομένων από σημείο προς σφαίρα (Πρόταση 8.11.3). Αν Ε σημείο της τομής του ε και της K, τότε η γενέτειρα EZ είναι ταυτόχρονα εφαπτόμενη και των δύο σφαιρών. Επίσης, αν  $\Pi$  και T είναι τα σημεία επαφής



Σχήμα 756: Σφαίρες του Dandelin γιά τομή κυλίνδρου με επίπεδο

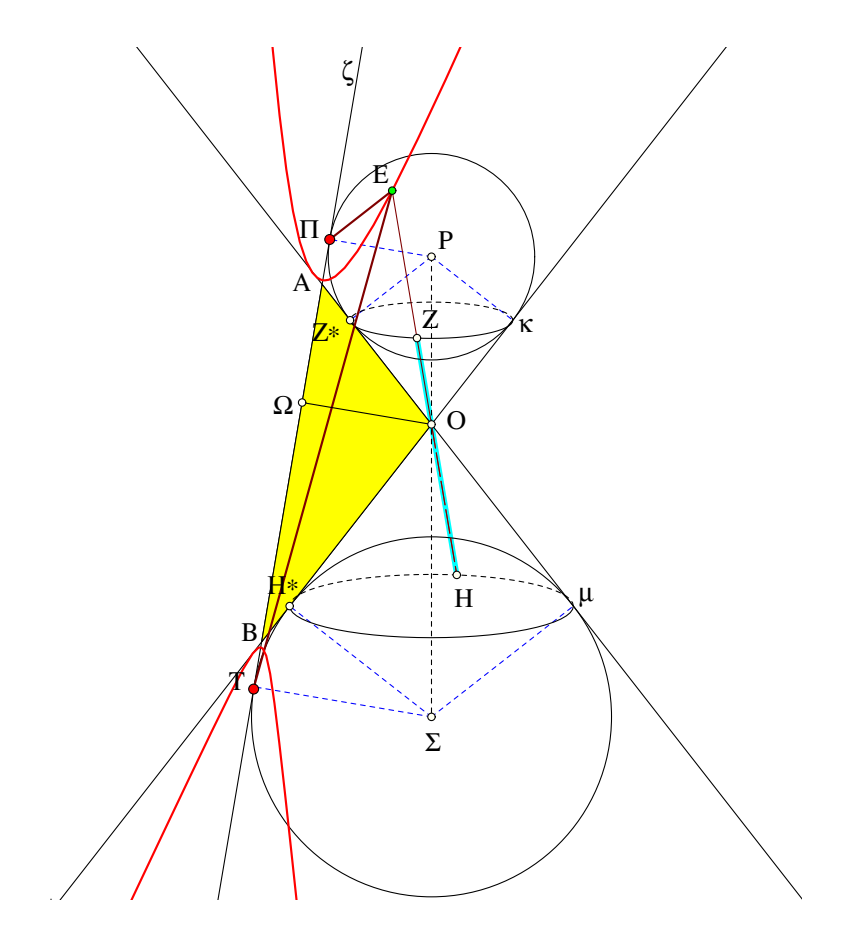
των σφαιρών  $P(P\Pi)$  και  $\Sigma(\Sigma T)$  με το επίπεδο ε, τότε και οι  $E\Pi$  και ET είναι αντίστοιχα εφαπτόμενες σε αυτές τις σφαίρες. Συνάγεται ότι  $|E\Pi|=|EZ|$  και |ET|=|EH|, όπου E και Z τα σημεία επαφής της γενέτειρας OE με τις σφαίρες. Τότε όμως το άθροισμα

$$|ET| + |E\Pi| = |EZ| + |EH| = |ZH|,$$

το οποίο είναι σταθερό και ίσο με το μήκος της γενέτειρας του κυλίνδρου που σχηματίζεται από τους κύκλους κ και μ, κατά τους οποίους εφάπτονται οι δύο σφαίρες με την κυλινδρική επιφάνεια επιφάνεια, ο.ε.δ.

Πρόταση 10.2.3 Έστω επίπεδο ε τέμνον όλες τις γενέτειρες κωνικής επιφάνειας K εκτός από δύο. Υπάρχουν τότε δύο σφαίρες εφαπτόμενες της K και ταυτόχρονα εφαπτόμενες του επιπέδου  $\varepsilon$ .

Aπόδειξη: Η απόδειξη είναι παρόμοια με αυτήν της Πρότασης <math>10.2.1. Το επίπεδο του χαρτιού στο σχήμα-757 είναι το επίπεδο θ που ορίζεται από τον άξονα της κωνικής επιφάνειας Κ και την κάθετο  $O\Omega$  από την κορυφή O της κωνικής επιφάνειας προς το επίπεδο ε. Έστω ότι η τομή του ε και του  $\vartheta$  είναι η ευ $\vartheta$ εία ζ. Εκ κατασκευής η ζ είναι κά $\vartheta$ ετη στην  $\Omega\Omega$  και τέμνει τις δύο γενέτειρες της κωνικής επιφάνειας που περιέχονται στο  $\vartheta$  στα σημεία A και Β. Ορίζεται λοιπόν στο επίπεδο θ τρίγωνο ΟΑΒ και επομένως οι παρεγγεγραμμένοι κύκλοι του με κέντρα αντίστοιχα P και  $\Sigma$ . Οι σφαίρες με κέντρα τα P και  $\Sigma$  και ακτίνες αυτές των παρεγγεγραμμένων,  $P\Pi$  και  $\Sigma T$  αντίστοιχα, είναι οι ζητούμενες.  $\Delta$ είχνω ότι η μία από αυτές, η  $\mathrm{P}(\mathrm{P\Pi})$  είναι εφαπτόμενη της κωνικής επιφάνειας. Πράγματι, αν  $\mathrm{OH}$  είναι μιά άλλη γενέτειρα και Ζ η προβολή του Ρ σε αυτήν, τότε τα ορθογώνια τρίγωνα ΡΖΟ και ΡΖ\*Ο, όπου Ζ\* η προβολή του Ρ στην ΟΑ, είναι ίσα. Τούτο διότι το Ρ είναι επί το άξονος του κώνου, άρα έχει την ίδια απόσταση από τις γενέτειρες, συνεπώς  $|PZ|=|PZ^*|$ . Επίσης τα δύο ορθογώνια έχουν την υποτείνουσα ΟΡ χοινή, είναι συνεπώς ίσα. Αυτό συνεπάγεται ότι η ΟΗ είναι εφαπτόμενη της σφαίρας στο σημείο Ζ και αποδεικνύει τον ισχυρισμό. Ανάλογα αποδεικνύεται ότι και η σφαίρα  $\Sigma(\Sigma T)$  είναι εφαπτόμενη της κωνικής επιφάνειας. Το ότι οι σφαίρες αυτές είναι και εφαπτόμενες στο επίπεδο ε συνάγεται αμέσως  $\lambda.\chi$ . γιά την  $P(P\Pi)$ ,



Σχήμα 757: Σφαίρες του Dandelin II

από το γεγονός ότι η  $P\Pi$  είναι και κάθετος στο επίπεδο ε, ως παράλληλη της  $O\Omega$ , που έχει αυτήν την ιδιότητα. Συνεπώς το επίπεδο ε είναι εφαπτόμενο της σφαίρας  $P(P\Pi)$  ως κάθετο στο άκρο μιάς ακτίνας της, ο.ε.δ.

Θεώρημα 10.2.3 Τα σημεία τομής επιπέδου  $\varepsilon$ , που τέμνει όλες τις γενέτειρες κωνικής επιφάνειας K εκτός από δύο, αποτελούν μία υπερβολή με εστίες τα σημεία επαφής των σφαιρών του Dandelin με το επίπεδο  $\varepsilon$ .

Aπόδειξη: Η απόδειξη προχύπτει από την ισότητα των εφαπτομένων από σημείο προς σφαίρα (Πρόταση 8.11.3). Αν Ε σημείο της τομής του ε και της K, τότε η γενέτειρα ΟΕ είναι ταυτόχρονα εφαπτόμενη και των δύο σφαιρών. Επίσης, αν  $\Pi$  και T είναι τα σημεία επαφής των σφαιρών  $P(P\Pi)$  και  $\Sigma(\Sigma T)$  με το επίπεδο ε, τότε και οι  $\Sigma(\Sigma T)$  και  $\Sigma(\Sigma T)$  με το επίπεδο ε, τότε και οι  $\Sigma(\Sigma T)$  και  $\Sigma(\Sigma T)$  εφαπτόμενες σε αυτές τις σφαίρες. Συνάγεται ότι  $\Sigma(\Sigma T)$  και  $\Sigma(\Sigma T)$  κα

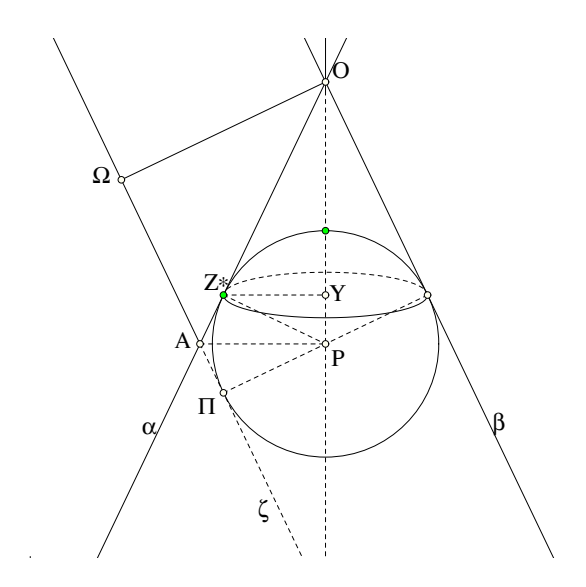
$$|ET| - |E\Pi| = |EH| - |EZ| = |ZH|,$$

το οποίο είναι σταθερό και ίσο με το μήκος της γενέτειρας του κόλουρου κώνου (ένωση των δύο κώνων με κοινή κορυφή το Ο) που σχηματίζεται από τους κύκλους κ και μ, κατά τους οποίους εφάπτονται οι δύο σφαίρες με την κωνική επιφάνεια, ο.ε.δ.

#### 10.3 Διευθετούσες

Εκτός από την παραβολή, στην οποία η διευθετούσα παίζει σημαντικό ρόλο γιά τον συνηθισμένο χαρακτηρισμό της ως γεωμετρικό τόπο, διευθετούσες ορίζονται και γιά τα άλλα είδη κωνικών τομών με ιδιότητες παρόμοιες με αυτήν της διευθετούσας της παραβολής. Στην παράγραφο αυτή συσχετίζουμε πρώτα την διευθετούσα της παραβολής με την αντίστοιχη σφαίρα του Dandelin και κατόπιν εξετάζουμε την γενίκευσή της γιά τις άλλες κωνικές τομές.

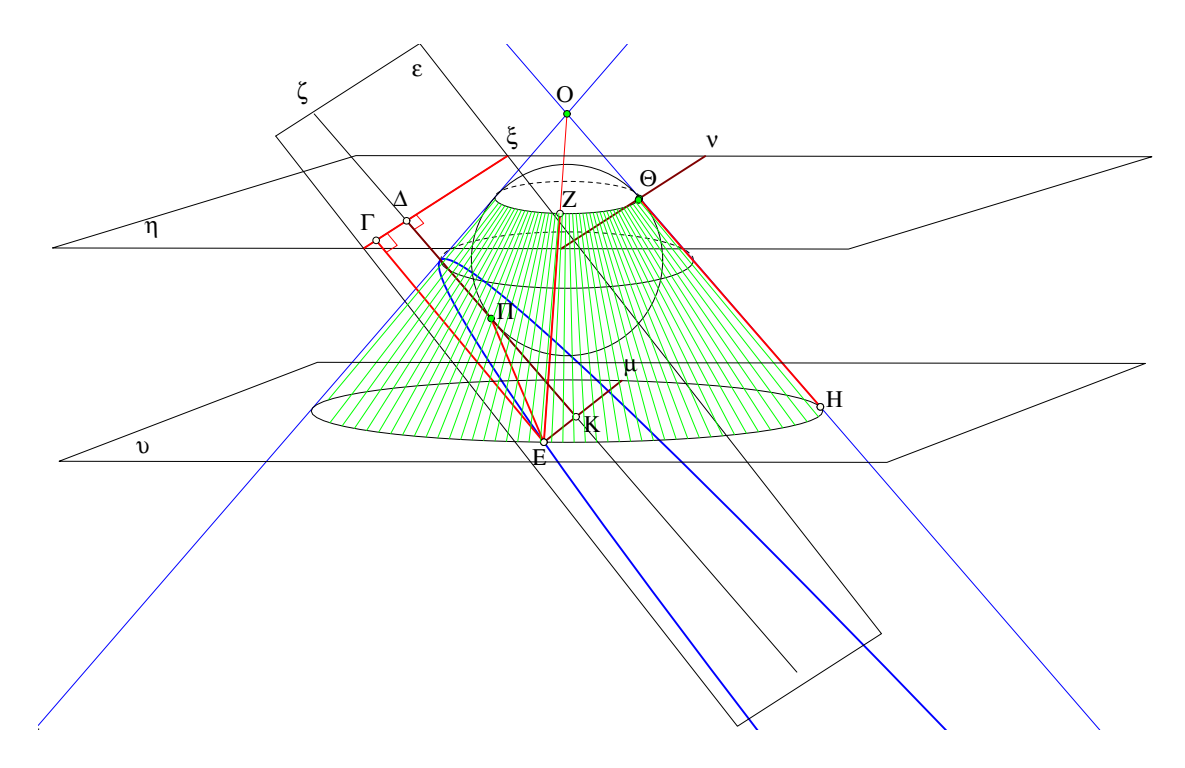
Πρόταση 10.3.1 Έστω επίπεδο ε παράλληλο προς εφαπτόμενο επίπεδο κωνικής επιφάνειας K. Υπάρχει τότε μία σφαίρα εφαπτόμενη της K και ταυτόχρονα εφαπτόμενη του επιπέδου ε.



Σχήμα 758: Σφαίρα του Dandelin II

Απόδειξη: Όπως και στις προτάσεις της προηγουμένης παραγράφου, θεωρούμε το επίπεδο θ που ορίζεται από τον άξονα της κωνικής επιφάνειας K και την κάθετο  $O\Omega$  από την κορυφή O της K στο δοθέν επίπεδο ε (στο σχήμα-758 το θ ταυτίζεται με το επίπεδο του χαρτιού). Τα επίπεδα θ και ε τέμνονται κατά ευθεία  $\zeta$ . Η ευθεία αυτή είναι παράλληλος της γενέτειρας  $\beta$  που περιέχεται στο εφαπτόμενο επίπεδο το παράλληλο του ε. Το θ περιέχει επίσης την συμμετρική της  $\beta$  ως προς τον άξονα γενέτειρα α και μάλιστα, λόγω της παραλληλίας των  $\zeta$  και  $\beta$ , το τρίγωνο με πλευρές τις  $\alpha$ ,  $\zeta$  και τον άξονα είναι ισοσκελές. Μεταβαίνοντας λοιπόν στο επίπεδο σχήμα το περιεχόμενο στο θ ευρίσκουμε κύκλο  $P(P\Pi)$  με κέντρο επί του άξονος και ταυτόχρονα εφαπτόμενο των δύο παραλλήλων  $\zeta$  και  $\beta$ , καθώς και της άλλης γενέτειρας α της  $\Sigma$  που περιέχεται στο  $\delta$ . Προς τούτο αρκεί να θεωρήσουμε την κάθετο προς τον άξονα  $\delta$  ο από το σημείο τομής των α και  $\delta$ . Αυτή διχοτομεί την γωνία στο  $\delta$  μεταξύ των α και  $\delta$  και ορίζει κύκλο  $\delta$ 0 του του ισχυρισμού είναι η ίδια με αυτήν της Πρότασης  $\delta$ 10.2.1, ο.ε. $\delta$ 0.

Θεώρημα 10.3.1 Τα σημεία τομής κωνικής επιφάνειας K και επιπέδου  $\varepsilon$ , παραλλήλου προς εφαπτόμενο επίπεδο της K, αποτελούν μία παραβολή με εστία το σημείο επαφής  $\Pi$  της σφαίρας του Dandelin με το επίπεδο  $\varepsilon$  και διευθετούσα την ευθεία  $\xi$  κατά την οποία το ετέμνει το επίπεδο  $\eta$  του κύκλου των σημείων επαφής της σφαίρας με την κωνική επιφάνεια.



Σχήμα 759: Παραβολή και σφαίρα του Dandelin

Aπόδειξη: Η απόδειξη προκύπτει από την ισότητα των εφαπτομένων από σημείο προς σφαίρα(Πρόταση 8.11.3). Κατ' αρχήν ο κύκλος, κατά τον οποίον εφάπτονται η σφαίρα και η κωνική επιφάνεια Κ, περιέχεται σε επίπεδο η κάθετο στον άξονα της κωνικής επιφάνειας, το οποίο τέμνει το επίπεδο ε κατά ευθεία ξ. Η ευθεία ξ είναι κάθετη στο επίπεδο θ που περιέχει τον άξονα και την γενέτειρα  $\beta{=}\mathrm{O}\Theta$  που ορίζει το εφαπτόμενο επίπε $\delta$ ο της  $\Sigma$  το οποίο, εξ υποθέσεως, είναι παράλληλο του ε. Από το τυχόν σημείο Ε της τομής του επιπέδου ε με την  $\Sigma$  διέρχεται επίπεδο υ παράλληλο προς το η και σχηματίζον με αυτό κόλουρο κώνο. Εστω ΕΖ η γενέτειρα αυτού του κώνου που διέρχεται από το Ε και ΗΘ η ίση με την ΕΖ γενέτειρα που περιέχεται στο επίπεδο θ. Από την ισότητα των εφαπτομένων από το Ε προς την σφαίρα, προχύπτει ότι οι ΕΖ και ΕΠ έχουν το ίδιο μήκος, άρα και οι ΕΠ και ΗΘ έχουν το ίδιο μήχος. Αρχεί λοιπόν να δείξουμε ότι η ΗΘ και η ΕΓ έχουν το ίδιο μήχος. Εδώ ΕΓ είναι η κάθετος από το Ε προς την ξ. Έστω μ η τομή των επιπέδων ε και υ. Έστω επίσης Κ η τομή της μ με το επίπεδο θ. Λόγω της παραλληλίας των επιπέδων η και υ οι ευθείες ξ και μ που αποτέμνονται από αυτά μέσω του επιπέδου ε είναι παράλληλες. Επειδή τα επίπεδα ε και η είναι κάθετα στο  $\vartheta$  και η τομή τους  $\xi$   $\vartheta$ α είναι κάθετη στο  $\vartheta$ . Συνεπώς, αν  $\Delta$  το σήμείο τομής της  $\xi$  με το  $\vartheta$ , το  $E\Gamma\Delta K$  είναι ορ $\vartheta$ ογώνιο παραλληλόγραμμο και οι  $K\Delta$  και  $E\Gamma$  έχουν το ίδιο μήκος. Λόγω όμως της παραλληλίας της ζ<br/> προς την γενέτειρα  $\Theta$  και οι  $K\Delta$  και  $H\Theta$ θα έχουν του ίδιο μήχος, ως τμήματα παραλλήλων ευθειών μεταξύ παραλλήλων επιπέδων,  $0.\epsilon.\delta$ .

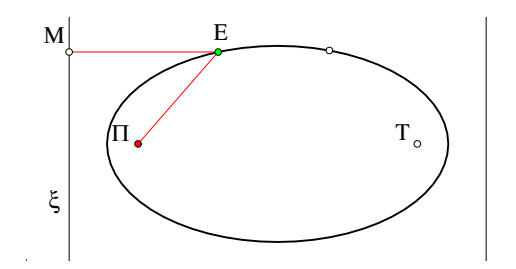
Στην συνέχεια δείχνουμε μία ακόμη χαρακτηριστική ιδιότητα των ελλείψεων και των υπερβολών στην οποία συμμετέχουν ευθείες αντίστοιχες της διευθετούσας της παραβολής.

Θεώρημα 10.3.2 Δοθείσης έλλειψης, σε κάθε εστία της  $\Pi$  αντιστοιχεί ευθεία  $\xi$ , έτσι ώστε

γιά κάθε σημείο Ε της έλλειψης ο λόγος των αποστάσεων

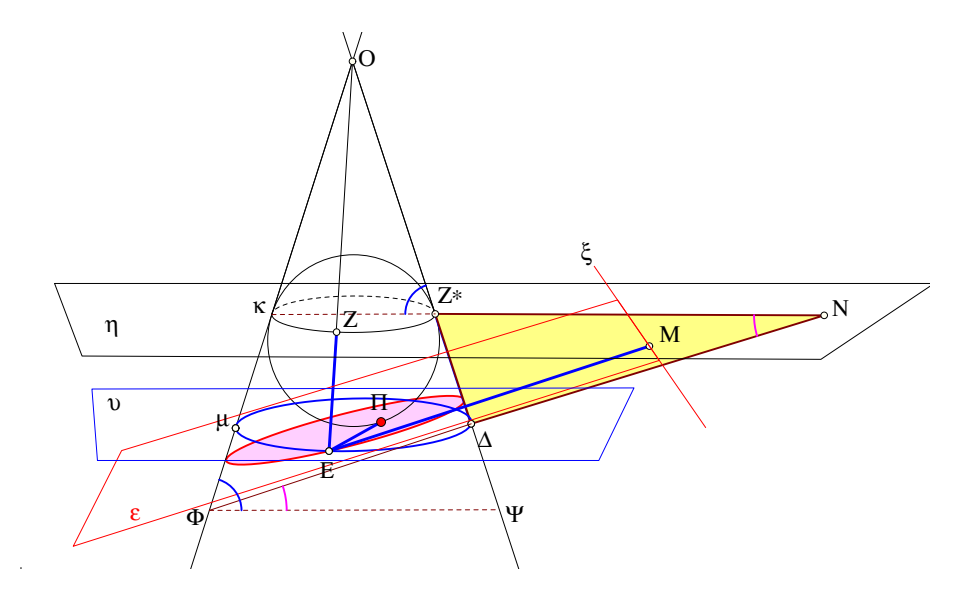
$$\frac{|E\Pi|}{|EM|} = \kappa < 1,$$

να είναι σταθερός. Το Μ συμβολίζει εδώ την προβολή του Ε στην ξ.



Σχήμα 760: Ιδιότητα έλλειψης  $\frac{|E\Pi|}{|EM|} = \kappa < 1$ 

Απόδειξη: Γιά την απόδειξη χρησιμοποιούμε τον ορισμό της έλλειψης ως τομής χωνιχής επιφάνειας K και επιπέδου ε και μία από τις σφαίρες του Dandelin. H εστία  $\Pi$  είναι το σημείο επαφής του ε με την σφαίρα και το τυχόν σημείο E της έλλειψης ορίζει μιά γενέτειρα EO της K καθώς και ένα επίπεδο υ διερχόμενο διά του E και κάθετο στον άξονα της K, το οποίο τέμνει την K κατά κύκλο  $\mu$ . Eπίσης τα σημεία επαφής της σφαίρας και της κωνικής



Σχήμα 761: Η διευθετούσα ξ της έλλειψης

επιφάνειας ορίζουν κύκλο κ περιεχόμενο σε επίπεδο η παράλληλο του υ. Τα δύο επίπεδα υ και η αποτέμνουν έναν κόλουρο κώνο από την κωνική επιφάνεια. Η ΕΠ ισούται με την γενέτειρα EZ του κόλουρου κώνου. Έστω τώρα  $\xi$  ή ευθεία κατά την οποία τέμνονται τα επίπεδα ε και η και M η προβολή του E στην  $\xi$ . Θεωρούμε το επίπεδο  $\vartheta$  που παράγεται από τον άξονα της K και την κάθετο από το O στο επίπεδο  $\varepsilon$ . Το  $\vartheta$  τέμνει την κωνική επφιφάνεια κατά δύο γενέτειρες  $O\Phi$  και  $O\Psi$  συμμετρικά κείμενες ως προς τον άξονα. Το  $\vartheta$  ορίζει επίσης και την γενέτειρα  $\Delta Z^*$  του προηγούμενου κόλουρου κώνου, της οποίας το μήκος

$$|\Delta Z^*| = |EZ| = |E\Pi|.$$

Φέρουμε από το  $\Delta$  παράλληλο της EM μέχρι να τμήσει το επίπεδο η στο σημείο N. Ισχύει και  $|EM|=|\Delta N|$  διότι αυτά είναι τμήματα παραλλήλων περιοριζόμενα από παράλληλα επίπεδα (Πρόταση 7.2.6). Το τρίγωνο  $Z^*\Delta N$  εξαρτάται από την θέση του σημείου E, εν τούτοις παραμένει όμοιο εαυτώ, συνεπώς ο λόγος των πλευρών του

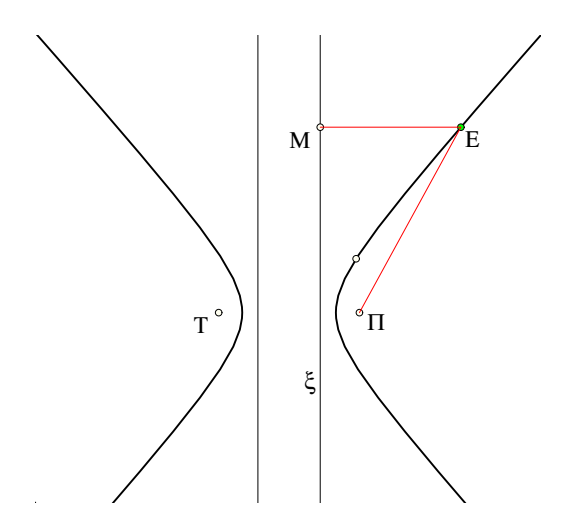
$$\kappa = \frac{|\Delta Z^*|}{|\Delta N|} = \frac{|E\Pi|}{|EM|}$$

παραμένει σταθερός. Το ότι το  $\kappa < 1$  έπεται εύχολα από το ότι η γωνία  $|\Delta NZ^*| < |\Delta Z^*N|$ , ο.ε.δ.

Θεώρημα 10.3.3  $\Delta$ οθείσης υπερβολής, σε κάθε εστία της  $\Pi$  αντιστοιχεί ευθεία  $\xi$ , έτσι ώστε γιά κάθε σημείο E της υπερβολής ο λόγος των αποστάσεων

$$\frac{|E\Pi|}{|EM|} = \kappa > 1,$$

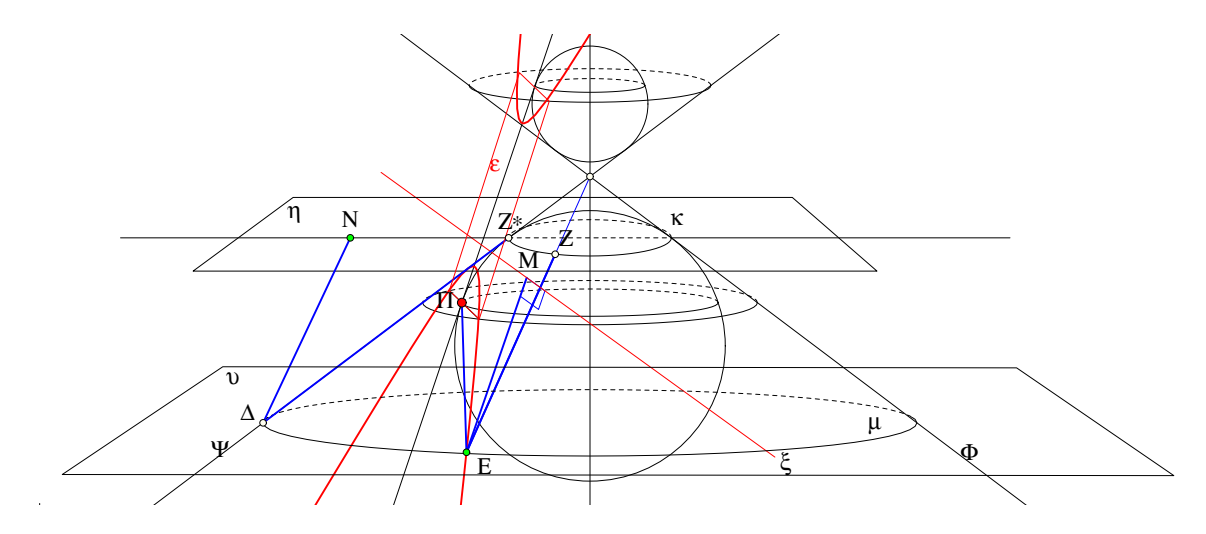
να είναι σταθερός. Το Μ συμβολίζει εδώ την προβολή του Ε στην ξ.



 $\Sigma$ χήμα 762: Ιδιότητα υπερβολής  $\frac{|E\Pi|}{|EM|}=\kappa>1$ 

Απόδειξη: Γιά την απόδειξη χρησιμοποιούμε τον ορισμό της υπερβολής ως τομής κωνικής επιφάνειας K και επιπέδου ε και μία από τις σφαίρες του Dandelin. Η εστία  $\Pi$  είναι το σημείο επαφής του ε με την σφαίρα και το τυχόν σημείο E της υπερβολής ορίζει μιά γενέτειρα EO της K καθώς και ένα επίπεδο υ διερχόμενο διά του E και κάθετο στον άξονα της K, το οποίο τέμνει την K κατά κύκλο  $\mu$ . Επίσης τα σημεία επαφής της σφαίρας και της κωνικής επιφάνειας ορίζουν κύκλο  $\kappa$  περιεχόμενο σε επίπεδο η παράλληλο του  $\kappa$ . Τα δύο επίπεδα  $\kappa$  και η αποτέμνουν έναν κόλουρο κώνο από την κωνική επιφάνεια. Η  $\kappa$  ισούται  $\kappa$  την γενέτειρα  $\kappa$  του κόλουρου κώνου. Έστω τώρα  $\kappa$  ή ευθεία κατά την οποία τέμνονται τα επίπεδα  $\kappa$  και η και  $\kappa$  η προβολή του  $\kappa$  στην  $\kappa$ . Θεωρούμε το επίπεδο  $\kappa$  που παράγεται από τον άξονα της  $\kappa$  και την κάθετο από το  $\kappa$  στο επίπεδο  $\kappa$ . Το  $\kappa$  τέμνει την κωνική επφιφάνεια κατά δύο γενέτειρες  $\kappa$  από τον απόσου κόλουρου κόλουρου κόλουρου κώνου, της οποίας το μήκος

$$|\Delta Z^*| = |EZ| = |E\Pi|.$$

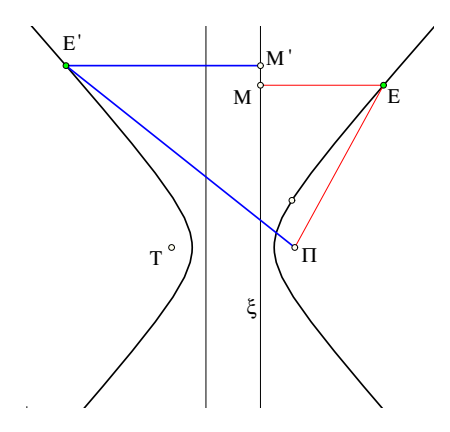


Σχήμα 763: Η διευθετούσα ξ της υπερβολής

Φέρουμε από το  $\Delta$  παράλληλο της EM μέχρι να τμήσει το επίπεδο η στο σημείο N. Ισχύει και  $|EM|=|\Delta N|$  διότι αυτά είναι τμήματα παραλλήλων περιοριζόμενα από παράλληλα επίπεδα (Πρόταση 7.2.6). Το τρίγωνο  $Z^*\Delta N$  εξαρτάται από την θέση του σημείου E, εν τούτοις παραμένει όμοιο εαυτώ, συνεπώς ο λόγος των πλευρών του

$$\kappa = \frac{|\Delta Z^*|}{|\Delta N|} = \frac{|E\Pi|}{|EM|}$$

παραμένει σταθερός. Το ότι το  $\kappa>1$  έπεται εύχολα από το ότι η γωνία  $|\Delta NZ^*|>|\Delta Z^*N|,$  ο.ε.δ.



 $\Sigma$ χήμα 764: Εστία και αντίστοιχη διευθετούσα ώστε  $\frac{|E\Pi|}{|EM|} = \frac{|E'\Pi|}{|EM'|}$ 

Οι ευθείες ξ, που αναφέρονται στα δύο τελευταία θεωρήματα, ονομάζονται Διευθετούσες της έλλειψης και αντίστοιχα Διευθετούσες της υπερβολής ενώ το κ ονομάζεται Εκκεντρότητα της έλλειψης, αντίστοιχα της υπερβολής. Ένώ στην παραβολή υπάρχει μία διευθετούσα (συχνά θεωρούμε ότι η ευθεία στο άπειρο είναι μιά δεύτερη διευθετούσα της παραβολής), στις ελλείψεις και υπερβολές υπάρχουν δύο και χρειάζεται προσοχή στο πως κατασκευάζεται ο σταθερός λόγος της εκκεντρότητας

$$\kappa = \frac{|E\Pi|}{|EM|}.$$

 $\Delta$ ιευθετούσα και αντίστοιχη εστία πάνε μαζί και πρέπει να γνωρίζουμε αυτήν την αντιστοιχία γιά να ορίσουμε σωστά τον λόγο.  $\Delta$ ιαφορετικά ο λόγος αυτός δεν θα βγαίνει σταθερός, όταν το E μεταβάλλεται επί της κωνικής.

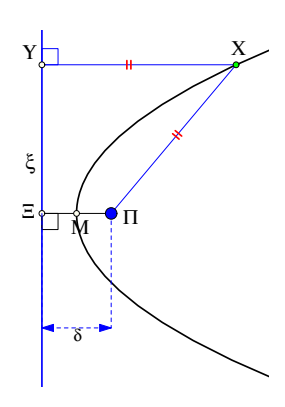
Πόρισμα 10.3.1 Σε κάθε έλλειψη ή υπερβολή οι δύο διευθετούσες της είναι παράλληλες.

Aπόδειξη: Αυτό είναι άμεση συνέπεια του τρόπου ορισμού τους μέσω της τομής του φέροντος επιπέδου τους ε με την κωνική επίφάνεια K. Οι διευθετούσες ορίστηκαν, μέσω των προηγουμένων θεωρημάτων, ως τομές του επιπέδου ε με τα επίπεδα η που περιέχουν τους κύκλους επαφής της K με αντίστοιχες σφαίρες του Dandelin. Τα επίπεδα αυτά είναι παράλληλα, ως κάθετα στον άξονα της K, συνεπώς και οι τομές τους με το επίπεδο ε της κωνικής θα είναι παράλληλες ευθείες (Πρόταση 7.2.3).

 $\Sigma$ χόλιο Mε τα όσα είπαμε μέχρις αυτού του σημείου, αποδείξαμε ότι κάθε κωνική τομή περιγράφεται και ως γεωμετρικός τόπος όπως στην Παράγραφο 10.1. Δεν αποδείξαμε ωστόσο το αντίστροφο,  $\lambda$ .χ. ότι ο γεωμετρικός τόπος των σημείων X γιά τα οποία το άθροισμα των αποστάσεων από δύο σταθερά σημεία  $|XA|+|XB|=\lambda$  είναι σταθερός, είναι μιά κωνική τομή, δηλαδή προκύπτει ο συγκεκριμένος τόπος και ως τομή κωνικής επιφάνειας με επίπεδο. Γιά να δείξουμε το αντίστροφο, θα πρέπει, δοθέντος του τόπου, δηλαδή των A, B και του  $\lambda$ , να κατασκευάσουμε κώνο K και επίπεδο  $\epsilon$ , έτσι ώστε η προκύπτουσα τομή να ταυτίζεται με την δοθείσα έλλειψη. Αυτό σημαίνει ότι πρέπει να βρούμε τις σχέσεις που υφίστανται μεταξύ του ζεύγους  $(|AB|, \lambda)$ , που ορίζει την έλλειψη ως γεωμετρικό τόπο, και των στοιχείων που ορίζουν την κωνική επιφάνεια K και το τέμνον αυτήν επίπεδο  $\epsilon$ . Ανάλογο σχόλιο ισχύει και γιά τον ορισμό της έλλειψης και υπερβολής μέσω της διευθετούσας.

Η επόμενη άσχηση εξετάζει αυτό το αντίστροφο στην απλούστερη των περιπτώσεων, που είναι η παραβολή. Οι περιπτώσεις της έλλειψης και της υπερβολής αποδεικνύονται ανάλογα με μιά μικρή επιβάρυνση στους λογαριασμούς.

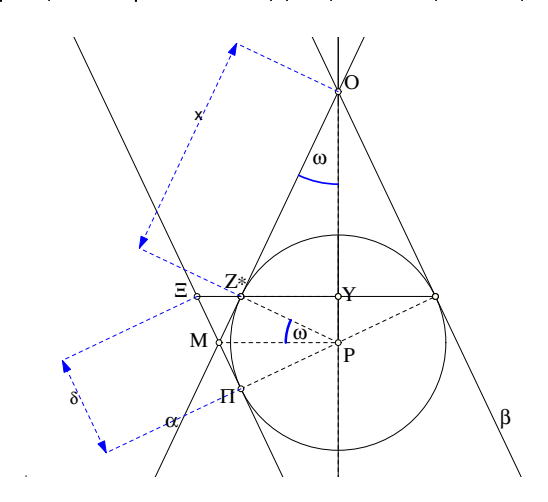
'Ασκηση 10.3.1  $\Delta$ οθείσης παραβολής υπάρχει κώνος και επίπεδο που τέμνονται κατά την δοθείσα παραβολή.



Σχήμα 765: Παραβολή ορίζεται από έναν αριθμό δ

 $\Upsilon$ πόδειξη: Η παραβολή, οριζόμενη ως γεωμετρικός τόπος (Παράγραφος 10.1), καθορίζεται πλήρως από έναν αριθμό. Αυτός είναι η απόσταση δ της εστίας της από την διευθετούσα. Το μέσον M του τμήματος M, όπου M η προβολή της εστίας στην διευθετούσα  $\xi$ , ανήκει στην παραβολή.  $\Gamma$ ιά να κατασκευάσουμε την ζητούμενη κωνική επιφάνεια συνδέουμε το δ

με τό άνοιγμά της και με την σφαίρα που καθορίζει την θέση της εστίας της. Αναφερόμενοι στο σχήμα της Πρότασης 10.3.1, θεωρούμε την τομή του με το επίπεδο θ, ως προς το οποίο το όλο σχήμα αυτής της πρότασης είναι συμμετρικό. Προσδιορίζουμε το δ συναρτήσει του



Σχήμα 766: Παραβολή ως κωνική τομή

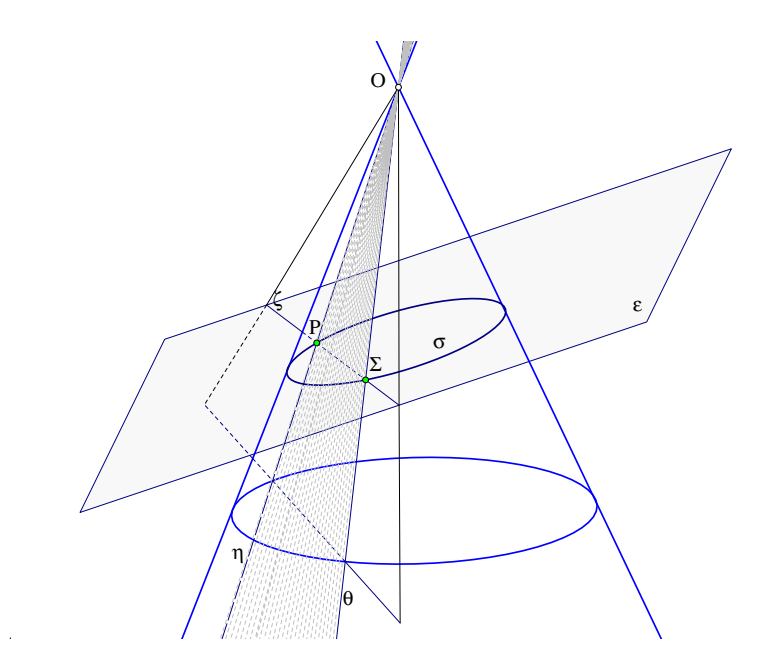
ανοίγματος ω της κωνικής επιφάνειας και του μήκους x της εφαπτόμενης από την κορυφή O της κωνικής επιφάνειας προς την σφαίρα του Dandelin. Προφανώς ισχύει

$$\delta = 2|\Xi M| = 2|M\Pi| = 2|MZ^*| = 2|PZ^*|\operatorname{ep}(\omega) = 2x\operatorname{ep}(\omega)^2.$$

Συνεπώς, γιά κάθε κωνική επιφάνεια (άνοιγμα ω), δοθέντος του δ ευρίσκομε, λύνοντας την προηγούμενη εξίσωση, την θέση x στην γενέτειρα, στην οποία θα εφάπτεται η σφαίρα που ορίζει το επίπεδο ε και την αντίστοιχη κωνική τομή που θα συμπίπτει με την παραβολή.

# 10.4 Γενικά χαρακτηριστικά κωνικών

Υπάρχουν ορισμένα χαρακτηριστικά των κωνικών τομών που είναι κοινά γιά ελλείψεις, παραβολές και υπερβολές. Άλλα πάλι εξαρτώνται από την ειδική φύση της κωνικής τομής, που προσδιορίζεται από την εκκεντρότητά της κ. Στην παραγραφο αυτή θα εξετάσουμε κάποιες ιδιότητες κοινές, που προκύπτουν άμεσα από τον ορισμό αυτών των καμπυλών ως τομών κώνικής επιφάνειας με επίπεδο. Και τα τρία είδη κωνικών έχουν μία τουλάχιστον εστία, μία αντίστοιχη διευθετούσα και εκκεντρότητες:  $\kappa < 1, \kappa = 1$  και  $\kappa > 1$ , που χαρακτηρίζουν αντίστοιχα την έλλειψη, την παραβολή και την υπερβολή. Σε ορισμένες ιδιότητες η εκκεντρότητα παίζει ρόλο γενικό, χωρίς να υπεισέρχεται σε αυτές το μέγεθός της. Απλά χρησιμοποιείται τότε το ότι, ο λόγος της απόστασης από την εστία, προς την απόσταση από την αντίστοιχο διευθετούσα, είναι σταθερός. Στα επόμενα θεωρούμε την κωνική σ που ορίζεται από την τομή κωνικής επιφάνειας K και επιπέδου ε, μη διερχομένου διά της κορυφής Ο της κωνικής επίφάνειας. Μιά θεμελιώδης ιδιότητα των κωνικών τομών εκφράζεται με το επόμενο θεώρημα.



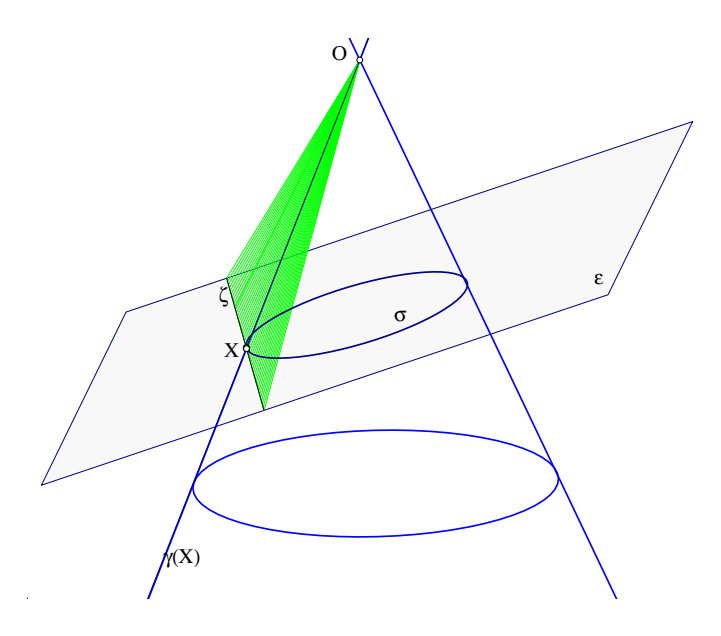
Σχήμα 767: Τομή κωνικής και ευθείας

Θεώρημα 10.4.1 Κάθε ευθεία ζ στο επίπεδο ε της κωνικής την τέμνει, το πολύ, σε δύο σημεία.

Απόδειξη: Κάθε ευθεία ζ στο επίπεδο της κωνικής ορίζει, μαζί με την κορυφή Ο του κώνου, ένα επίπεδο το οποίο αποτέμνει από την κωνική επιφάνεια δύο το πολύ γενέτειρες η, θ. Τα κοινά σημεία της κωνικής και της ευθείας ζ θα είναι πάνω σ' αυτές τις γενέτειρες, συνεπώς δεν μπορεί να είναι περισσότερα από δύο, ο.ε.δ.

Εφαπτόμενη της κωνικής  $\sigma$  σε ένα σημείο της X λέγεται η ευθεία  $\zeta$  που αποτέμνει στο επίπεδο ε της κωνικής το εφαπτόμενο επίπεδο της κωνικής επιφάνειας, το οποίο εφάπτεται αυτής κατά μήκος της γενέτειρας  $\gamma(X)$  που ορίζεται από το X.

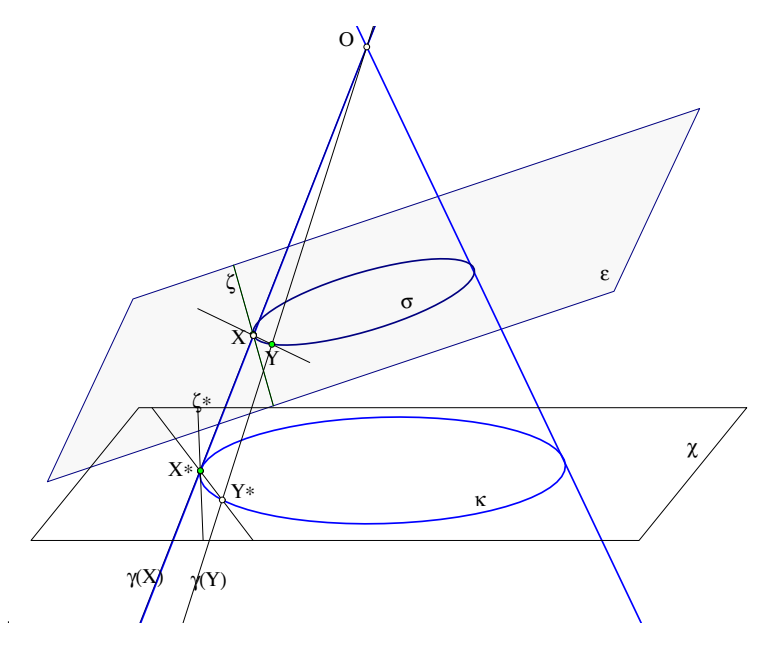
Θεώρημα 10.4.2 Σε κάθε σημείο X της κωνικής υπάρχει μία ακριβώς εφαπτόμενη αυτής.



Σχήμα 768: Εφαπτόμενη ζ κωνικής στο Χ

Απόδειξη: Η απόδειξη ανάγεται στην αντίστοιχη ιδιότητα της χωνιχής επιφάνειας. Κάθε σημείο X της χωνιχής που είναι τομή του επιπέδου ε χαι της χωνιχής επιφάνειας K, περιέχεται σε μία αχριβώς γενέτειρα γ(X) του χώνου η οποία είναι χοινή με ένα αχριβώς εφαπτόμενο επίπεδο  $\vartheta$  του χώνου (Παράγραφος 8.9). Η τομή των επιπέδων  $\vartheta$  χαι ε ορίζει την μία χαι μοναδιχή ευθεία ζ διά του X που έχει την ιδιότητα της εφαπτόμενης, ο.ε.δ.

Πρόταση 10.4.1 Η εφαπτόμενη ζ κωνικής σ σε σημείο X αυτής συμπίπτει με την οριακή θέση ευθείας XY διερχομένης από το X και ένα δεύτερο σημείο Y της κωνικής, καθώς το Y τείνει να συμπέσει με το X.

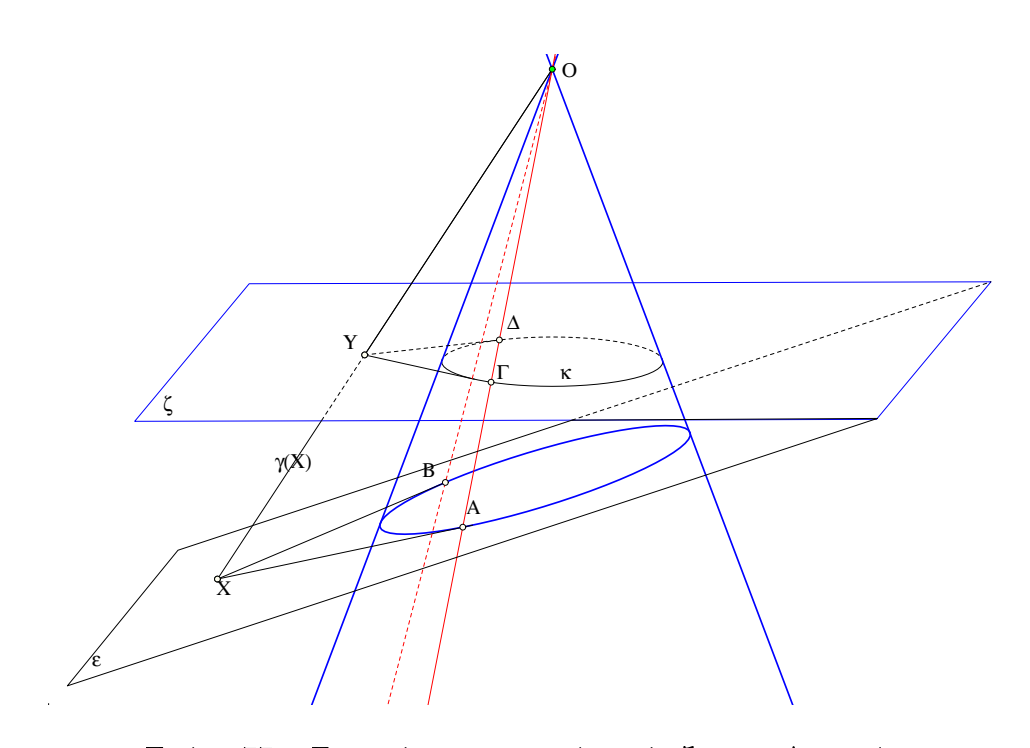


Σχήμα 769: Εφαπτόμενη ως οριακή θέση τέμνουσας

Απόδειξη: Η απόδειξη ανάγεται στην αντίστοιχη ιδιότητα του κύκλου. Κάθε σημείο X της κωνικής, που είναι τομή του επιπέδου ε και της κωνικής επιφάνειας K, περιέχεται σε μία ακριβώς γενέτειρα  $\gamma(X)$ . Δύο σημεία X,Y της κωνικής και οι αντίστοιχες γενέτειρες  $\gamma(X)$ ,  $\gamma(Y)$  ορίζουν επίπεδο  $\vartheta$  που τέμνει το ε κατά την ευθεία XY. Ένα επίπεδο  $\chi$  κάθετο στον άξονα της κωνικής επιφάνειας την τέμνει κατά κύκλο  $\chi$  και το  $\eta$  τέμνει τον κύκλο αυτό στα σημεία  $\chi$  και  $\chi$  και  $\chi$  και  $\chi$  και  $\chi$  και  $\chi$  και  $\chi$  τείνει προς το  $\chi$  ται  $\chi$  τείνει προς το  $\chi$  και  $\chi$  τείνει προς την εφαπτόμενη  $\chi$  του κύκλου  $\chi$  στο σημείο  $\chi$  το  $\chi$  τείνει τότε να συμπέσει με το εφαπτόμενο επίπεδο της κωνικής επιφάνειας που διέρχεται από το  $\chi$  και επομένως  $\chi$  τομή του με το ε τείνει να συμπέσει με την τομή του εφαπτομένου επιπέδου κατά μήχος της  $\chi$  ( $\chi$ ) με το ε, που είναι  $\chi$  εφαπτόμενη  $\chi$  στο  $\chi$  ο.ε.δ.

Τα κοινά σημεία του εσωτερικού της κωνικής επιφάνειας και του επιπέδου ε που αποτέμνει την κωνική κ λέγονται Εσωτερικά σημεία της κωνικής, τα δε υπόλοιπα Εξωτερικά σημεία της κωνικής. Το ευθύγραμμο τμήμα AB που ορίζεται από δύο σημεία τομής κωνικής κ με ευθεία ε λέγεται Χορδή της κωνικής.

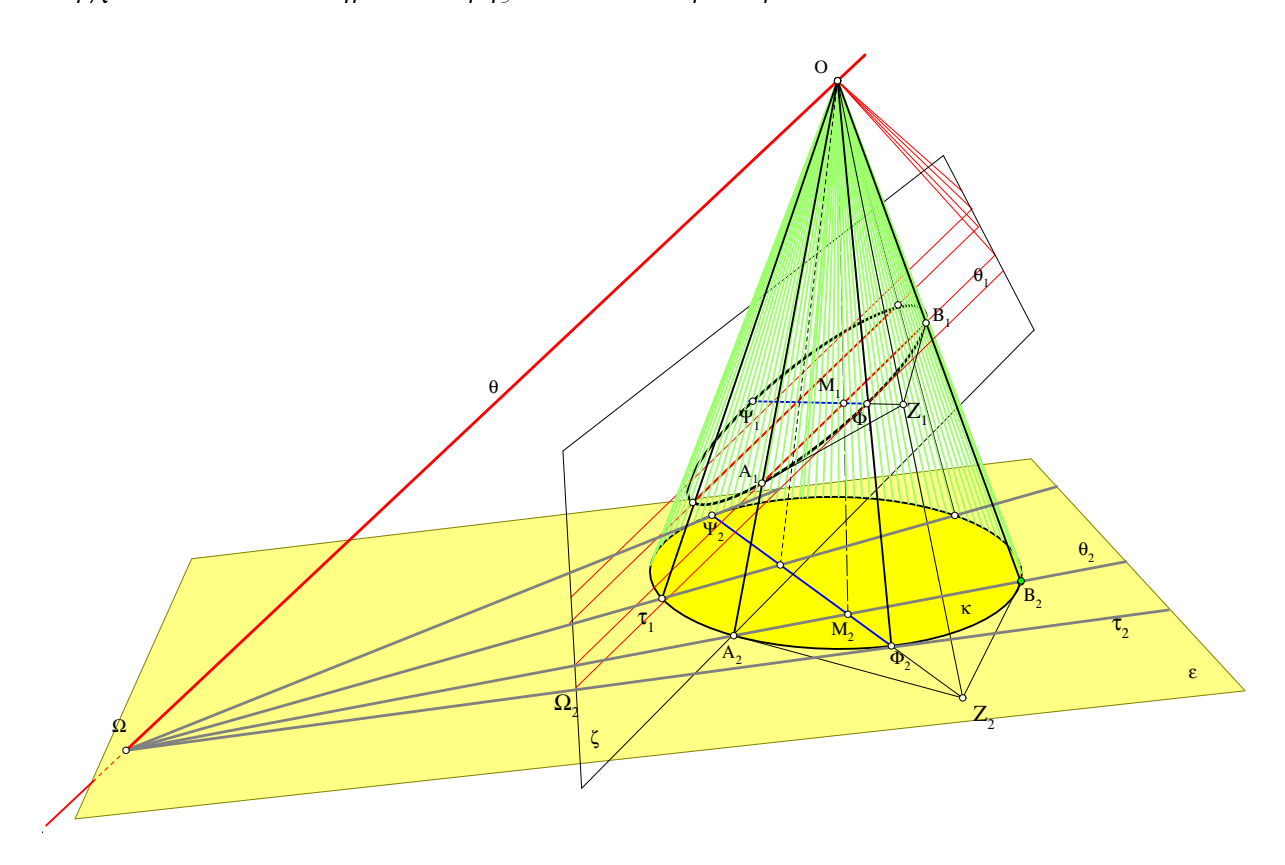
**Πρόταση 10.4.2** Aπό κάθε εξωτερικό σημείο της κωνικής άγονται δύο ακριβώς εφαπτόμενες προς αυτήν.



Σχήμα 770: Εφαπτόμενες κωνικής από εξωτερικό σημείο

Aπόδειξη: Aν το X είναι εξωτερικό σημείο στο επίπεδο ε της κωνικής, τότε η γενέτειρα γ(X) ορίζει σε ένα κάθετο επίπεδο ζ ένα αντίστοιχο σημείο Y. Το ζ τέμνει την κωνική επιφάνεια κατά κύκλο χ και το Y είναι εκτός του κύκλου, συνεπώς άγονται δύο εφαπτόμενες YΓ και YΔ προς τον κύκλο. Οι εφαπτόμενες αυτές μαζί με το O ορίζουν δύο επίπεδα που τέμνουν το ε κατά δύο ευθείες XA, XB της κωνικής. Επειδή κάθε εφαπτόμενη της κωνικής ορίζει με παρόμοιο τρόπο, αυτές είναι οι μοναδικές εφαπτόμενες από το X, ο.ε.δ.

Πρόταση 10.4.3 Τα μέσα των χορδών κωνικής τομής που είναι παράλληλες προς ευθεία θ περιέχονται σε ευθεία ξ. Εάν η κωνική έχει εφαπτόμενες παράλληλες προς την θ, τότε η ξ διέρχεται και από τα σημεία επαφής αυτών των εφαπτομένων.

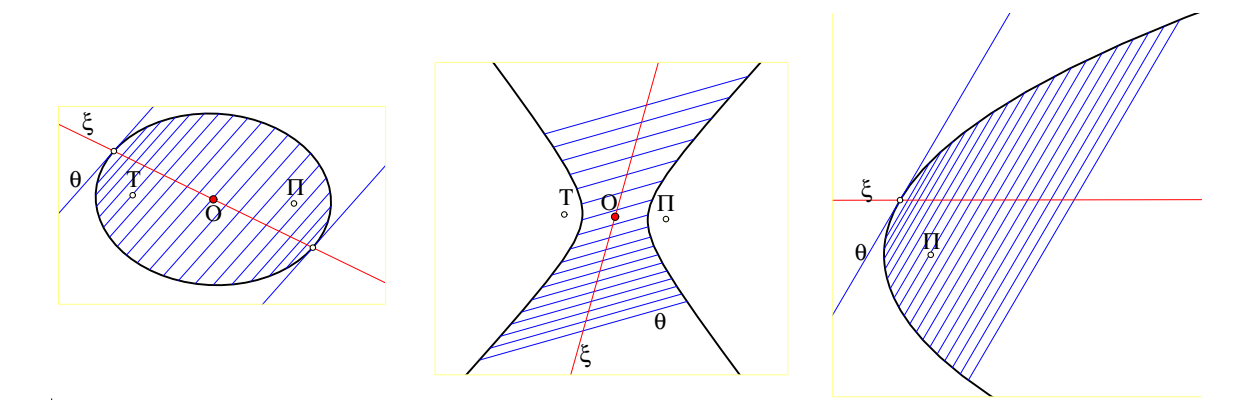


Σχήμα 771: Τα μέσα παραλλήλων χορδών κωνικών

Aπόδειξη: Έστω ότι η κωνική προκύπτει ως τομή κωνικής επιφάνειας K με επίπεδο  $\zeta$ . Παράλληλες χορδές  $A_1B_1$  της κωνικής, ορίζουν, μαζί με την κορυφή O, επίπεδα  $\eta_1$ . Τα επίπεδα αυτά θα τέμνονται κατά ευθεία θ, διερχόμενη από το Ο και παράλληλο όλων αυτών των χορδών (Πρόταση 7.1.8). Έστω  $\Omega$  το σημείο τομής της  $\vartheta$  και επιπέδου ε, κα $\vartheta$ έτου στον άξονα της κωνικής επιφάνειας, που αποτέμνει από αυτήν κύκλο κ. Tα επίπεδα  $\eta_1$  που στο  $\zeta$  ορί $\zeta$ ουν τις παράλληλες χορδές, τέμνουν το επίπεδο ε κατά ευθείες, που συντρέχουν στο σημείο  $\Omega$ . Κάθε μία τέτοια ευθεία ορίζει και μία αντίστοιχη χορδή του κύκλου κ. Έτσι στις αρχικές χορδές  $A_1B_1$  της κωνικής τομής αντιστοιχούμε χορδές  $A_2B_2$  του κύκλου, οι προεκτάσεις των οποίων είναι ευ $\vartheta$ είες διερχόμενες διά του  $\Omega$ . Έστω  $\Phi_2\Psi_2$  η πολική του  $\Omega$  ως προς τον κύκλο κ. Οι ευθείες  $\Omega\Phi_2,\Omega\Psi_2$  είναι οι εφαπτόμενες του κύκλου κ από το  $\Omega$  και η τομή των επιπέδων τους (με το Ο) ορίζει τις εφαπτόμενες της χωνιχής που είναι παράλληλες προς τις χορδές  $A_1B_1$ . Επίσης, γιά κάθε ευθεία διά του  $\Omega$ , που τέμνει τον κύκλο στα σημεία  $A_2, B_2$ , και την πολική στο  $M_2$ , έχουμε ότι  $(A_2B_2M_2\Omega)=-1$ , συνεπώς και η δέσμη των ευ $\vartheta$ ειών  $OA_2, OB_2, OM_2, O\Omega$  του επιπέδου  $\eta_1$ , που διέρχεται από αυτά τα σημεία θα είναι αρμονιχή, άρα θα τέμνει και κάθε άλλη ευθεία του επιπέδου αυτών των ευθειών σε ζεύγη αρμονικών συζυγών σημείων. Όμως η ευθεία  $heta_1$  είναι παράλληλη προς την  $heta=O\Omega$  άρα οι άλλες τρεις  $\vartheta$ α τέμνουν την  $heta_1$  σε δύο ίσα τμήματα και το  $M_1$   $\vartheta$ α είναι το μέσον του  $A_1B_1$ . Όμως τα σημεία  $M_2$  και  $M_1$  περιέχονται στο επίπεδο των τριών σημείων  $O, \Phi_2, \Psi_2$ , που τέμνει το επίπεδο ζ κατά την ευθεία  $\Phi_1\Psi_1$ . Συνεπώς τα μέσα όλων αυτών των χορδών  $A_1B_1$  περιέχονται στην ευθεία  $\xi=\Phi_1\Psi_1$ . Επιπλέον οι εφαπτόμενες της κωνικής στα  $\Phi_1,\Psi_1$  είναι και αυτές

παράλληλες προς τις χορδές  $A_1B_1$ , ο.ε.δ.

Σχόλιο-1 Η απόδειξη της τελευταίας πρότασης μπορεί να γίνει με την βοήθεια εξισώσεων σε δύο γραμμές. Ωστόσο το σχήμα 771 έχει ενδιαφέρον από πολλές απόψεις. Η ευθεία θ είναι παράλληλος προς το επίπεδο της κωνικής τομής. Παρόμοια οι ανάλογες της θ ευθείες, που ορίζουν χορδές  $A_1B_1$  της κωνικής παράλληλες προς διάφορες διευθύνσεις, περιέχονται όλες σε ένα επίπεδο ζ΄ παράλληλο του ζ και διερχόμενο από την κορυφή Ο της κωνικής επιφάνειας. Το επίπεδο αυτό τέμνει το επίπεδο ε του προηγουμένου σχήματος, που περιέχει τον κύκλο κ, κατά ευθεία ν. Ορίζεται συνεπώς ο πόλος Ν της ν ως προς τον κύκλο κ. Ανάλογα με την κλίση του επιπέδου ζ της κωνικής, ο πόλος Ν είναι ή εσωτερικό σημείο του κύκλου ή επί του κύκλου ή εξωτερικό σημείο του. Η πρώτη περίπτωση αντιστοιχεί στην έλλειψη, η δεύτερη στην παραβολή και η τρίτη στην υπερβολή. Η ευθεία ΟΝ αποδεικνύεται εύκολα ότι τέμνει το επίπεδο της κωνικής στο κέντρο της Μ ή στο άπειρο στην περίπτωση της παραβολής. Οι λεγόμενες  $\Delta \imath \acute{a}\mu \epsilon \tau \rho o \imath$  της κωνικής, δηλαδή οι χορδές της διά του κέντρου της M, αντιστοιχούν σε παράλληλες των ευθειών θ που διέρχονται διά του Μ. Έτσι, στην περίπτωση της υπερβολής, στην οποία υπάρχουν δύο γενέτειρες σ και τ της κωνικής επιφάνειας παράλληλες προς το επίπεδο ζ, οι γενέτειρες αυτές θα ορίζουν το επίπεδο ζ΄. Τότε η ευθεία ν της τομής των ζ΄ και ε  $\vartheta$ α τέμνει τον κύκλο κ σε δύο σημεία  $\Gamma$  και  $\Delta$  και ο πόλος N της ν ως προς κ θα είναι εκτός του κύκλου. Θα άγονται λοιπόν από το Ν δύο εφαπτόμενες προς τον κ, οι οποίες, μαζί με το Ο θα ορίζουν δύο επίπεδα διά του Ο. Τα επίπεδα αυτά θα τέμνουν το ζ κατά δύο ευθείες που δεν συναντούν την κωνική (εφάπτονται της κωνικής στα σημεία που αντιστοιχούν στα σημεία επαφής  $\Gamma$  και  $\Delta$  του κύκλου με τις εφαπτόμενες από το N.  $\Sigma$ τα  $\Gamma$  και  $\Delta$  όμως αντιστοιχούν τα σημεία της κωνικής στο άπειρο). Αυτές είναι οι λεγόμενες ασύμπτωτες της υπερβολής, γιά τις οποίες θα μιλήσουμε παρακάτω. Παρόμοιοι συσχετισμοί μεταξύ επιπέδων χαρακτηριστικών των κωνικών και χαρακτηριστικών που συνδέονται με τον χώρο και την κωνική επιφάνεια, μέσω της οποίας ορίζεται η κωνική, μπορούν να γίνουν σε πολλές περιπτώσεις.  $\Sigma$ υνή $\vartheta$ ως η περιγραφή των χαρακτηριστικών αυτών μέσω εξισώσεων είναι πολύ απλούστερη από την περιγραφή μέσω σχημάτων του χώρου, γιά τα οποία έχουμε μιά σχετική αδυναμία σχεδιασμού και πρέπει περισσότερο να τα φανταζόμαστε παρά να τα σχεδιάζουμε.

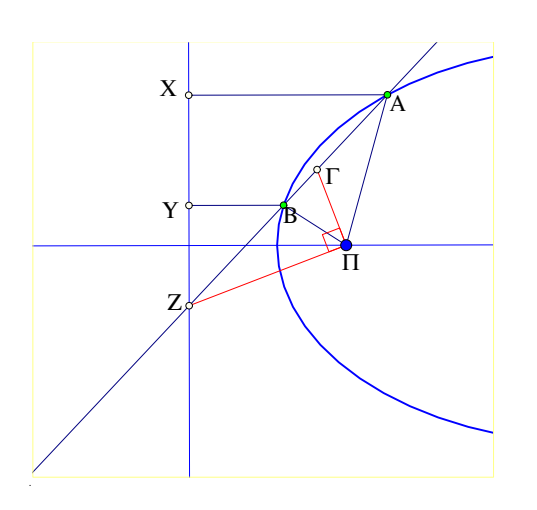


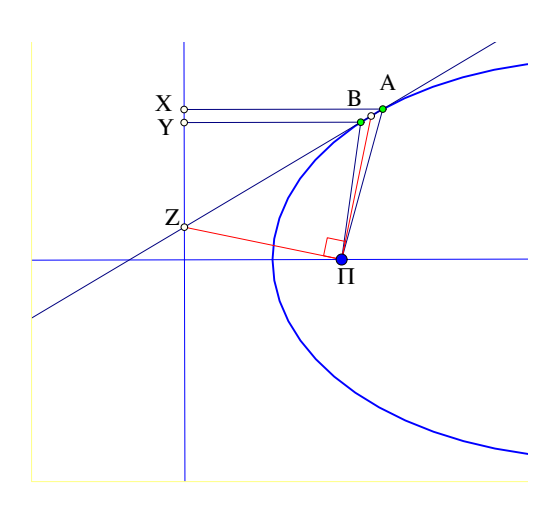
Σχήμα 772: Συζυγείς κατευθύνσεις θ και ξ

 $\Sigma$ χόλιο-2 Το σχήμα 772 δίνει την εικόνα στο επίπεδο των χορδών κωνικής που είναι παράλληλες προς ευθεία  $\vartheta$ . Τα μέσα τους περιέχονται σε χορδή  $\xi$ .  $\Sigma$ την έλλειψη, γιά κάθε ευθεία  $\vartheta$  υπάρχουν εφαπτόμενές της παράλληλες της  $\vartheta$  και η χορδή  $\xi$  διέρχεται από τα ση-

μεία επαφής αυτών των εφαπτομένων. Στην υπερβολή, όπως φαίνεται και από το σχήμα, δεν υπάρχουν πάντοτε εφαπτόμενες προς δοθείσα κατεύ $\vartheta$ υνση (της  $\vartheta$  στο σχήμα).  $\Sigma$ την παραβολή, εκτός της κατεύθυνσης του άξονα συμμετρίας της (Πρόταση 10.5.2), γιά όλες τις άλλες κατευθύνσεις υπάρχει μία ακριβώς εφαπτόμενη παράλληλη προς αυτήν. Το σχήμα δείχνει επίσης, ότι γιά κωνικές που έχουν κ $\epsilon 
u au au 
ho 
ho$  συμμ $\epsilon au 
ho$ ίας, το οποίο λέγεται  $\mathbf{K} \dot{m{\epsilon}} 
u au m{
ho}$ ο της κωνικής (τέτοιο έχουν μόνο οι ελλείψεις (Πρόταση 10.6.1) και οι υπερβολές (Πρόταση 10.7.1)), οι χορδές ξ που διέρχονται από τα μέσα παραλλήλων χορδών διέρχονται και από το κέντρο της κωνικής. Αποδεικνύεται ότι οι κατευθύνσεις των θ και ξ έχουν πανομοιότυπες ιδιότητες: Εάν οι χορδές οι παράλληλες προς την κατεύθυνση θ έχουν τα μέσα τους σε χορδή παράλληλη προς κατεύθυνση ξ, τότε και οι χορδές οι παράλληλες προς την ξ έχουν τα μέσα τους σε χορδή παράλληλη προς την κατεύθυνση  $\vartheta$ . Τέτοια ζευγάρια κατευθύνσεων, όπως τα θ και ξ, λέμε ότι αποτελούν ζεύγη **Συζυγών κατευθύνσεων** της κωνικής. Η παραβολή παρουσιάζει την ιδιομορφία να έχει την ειδική κατεύθυνση του άξονα συμμετρίας της, συζυγή προς κάθε άλλη κατεύθυνση. Στον κύκλο, που είναι ειδική περίπτωση έλλειψης, γιά κάθε κατεύθυνση θ, η συζυγής της συμπίπτει με την κάθετο προς την θ κατεύθυνση ξ, καθώς τα μέσα παραλλήλων χορδών του κύκλου περιέχονται σε διάμετρο κάθετο προς τις χορδές (Πόρισμα 2.1.3).

Πρόταση 10.4.4 Το τμήμα AZ της εφαπτομένης κωνικής μεταξύ του σημείου επαφής της A και της τομής της Z με την διευθετούσα φαίνεται από την αντίστοιχη εστία υπό ορθή γωνία.





Σχήμα 773: Ιδιότητα τέμνουσας κωνικής

Aπόδειξη: Ας θεωρήσουμε δύο γειτονικά σημεία <math>A, B κωνικής, τις προβολές τους X, Y στην διευθετούσα της εστίας  $\Pi$  και το σημείο τομής Z της AB με την διευθετούσα. Λόγω της βασικής σχέσης

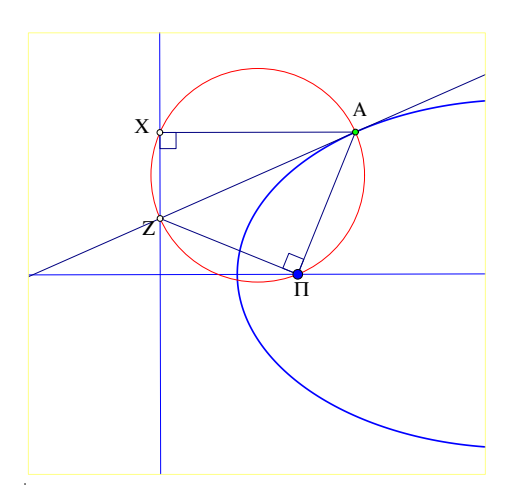
$$\frac{|A\Pi|}{|AX|} = \frac{|B\Pi|}{|BY|} = \kappa,$$

όπου κ η εκκεντρότητα της κωνικής και του ότι τα τρίγωνα ZAX και ZBY είναι όμοια, έπεται ότι

$$\frac{|A\Pi|}{|B\Pi|} = \frac{|ZA|}{|ZB|}.$$

Συνεπώς η ΠΖ είναι εξωτερική διχοτόμος της γωνίας ΑΠΒ. Η εσωτερική διχοτόμος της γωνίας ΑΠΒ είναι κάθετη στην εξωτερική και περιέχεται μεταξύ των ΠΑ και ΠΒ. Επομένως,

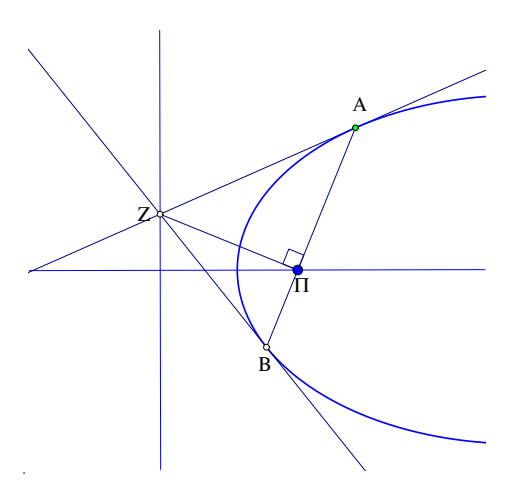
όταν το B τείνει να συμπέσει με το A, το ίδιο  $\vartheta$ α συμβαίνει και με το ίχνος  $\Gamma$  της εσωτερικής διχοτόμου και στην οριακή  $\vartheta$ έση, κατά την οποία η AZ γίνεται η εφαπτόμενη στο A (Πρόταση 10.4.1), η γωνία  $Z\Pi A$   $\vartheta$ α είναι ορ $\vartheta$ ή, ο.ε.δ.



Σχήμα 774: Κύκλος με διάμετρο την ΑΖ

**Πόρισμα 10.4.1** Ο κύκλος που διέρχεται από σημείο A κωνικής, την προβολή του X σε διευθετούσα και την αντίστοιχη εστία  $\Pi$ , διέρχεται και από το σημείο τομής Z της εφαπτόμενης στο A και της διευθετούσας.

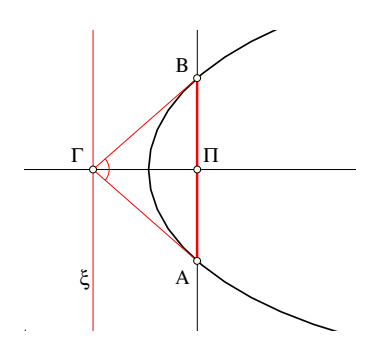
Απόδειξη: Κατά την προηγούμενη πρόταση το τετράπλευρο ΑΧΖΠ θα είναι εγγράψιμο, ως έχον δύο απέναντι γωνίες ορθές, ο.ε.δ.



Σχήμα 775: Εφαπτόμενες στα άκρα εστιακής χορδής

**Πόρισμα 10.4.2** Οι εφαπτόμενες κωνικής στα άκρα χορδής της AB, που διέρχεται από την εστία  $\Pi$ , τέμνονται επί της αντίστοιχης διευθετούσας.

Aπόδειξη: Κατά το προηγούμενο πόρισμα, το σημείο τομής της διευθετούσας και της εφαπτόμενης στο A, αλλά και στο B, θα συμπίπτει με το σημείο τομής Z της διευθετούσας και της καθέτου  $\Pi Z$  της AB στο B, ο.ε.δ.



Σχήμα 776: Παράμετρος της κωνικής

'Ασκηση 10.4.1  $\Delta$ είξε ότι η χορδή AB που διέρχεται από την εστία  $\Pi$  κωνικής και είναι παράλληλη της αντίστοιχης διευθετούσας  $\xi$ , ορίζει μέσω των εφαπτομένων στα άκρα της ισοσκελές τρίγωνο με κορυφή  $\Gamma$  στην διευθετούσα  $\xi$ .  $\Delta$ είξε ότι η γωνία στο  $\Gamma$  είναι ορθή γιά την παραβολή, οξεία γιά την έλλειψη και αμβλεία γιά την υπερβολή.

Το μήκος  $|\Pi A|$  στην προηγούμενη άσκηση λέγεται **Ημιπαράμετρος εύρους** της κωνικής (Semi latus rectum της κωνικής). Η απόσταση  $p=|\Pi\Gamma|$  λέγεται **Εστιακή παράμετρος** της κωνικής.

## 10.5 Η Παραβολή

Η παραβολή μπορεί να θεωρηθεί ως η απλούστερη περίπτωση κωνικής τομής. Όπως αναφέρθηκε και σε προηγούμενη παράγραφο (Άσκηση 10.3.1), το σχήμα της προσδιορίζεται πλήρως από έναν θετικό αριθμό δ, που δίδει την απόσταση ΠΜ της εστίας της από την διευθετούσα. Η σταθερά δ συμπίπτει με την εστιακή παράμετρο και συχνά αναφέρεται ως Παράμετρος της παραβολής.

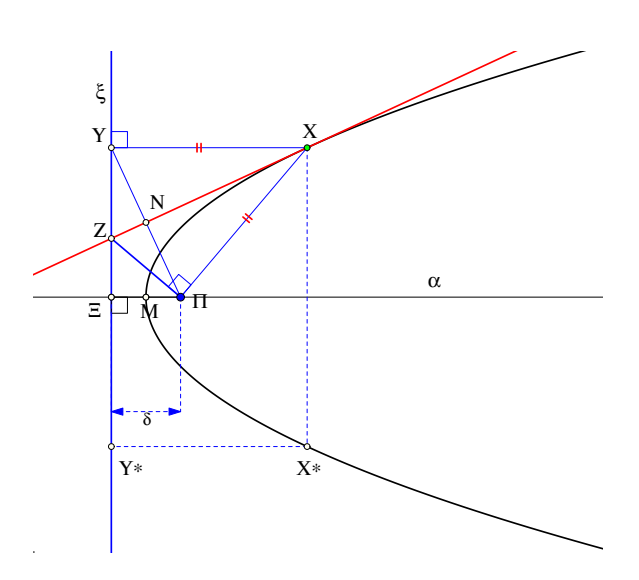
**Πρόταση 10.5.1** Δύο παραβολές είναι ίσες τότε και μόνον, όταν έχουν την ίδια παράμετρο.

Απόδειξη: Εδώ η ισότητα πρέπει να νοηθεί ως τοποθέτηση των δύο σχημάτων ώστε να συμπέσουν. Η απόδειξη είναι προφανής και ανάγεται στο ότι ένα σύστημα από μία ευθεία ξ και ένα σημείο Π εκτός αυτής μπορεί να τοποθετηθεί πάνω σε ένα άλλο παρόμοιο, έτσι ώστε τα δύο συστήματα να συμπέσουν, τότε και μόνον, όταν η απόσταση των σημείων από τις αντίστοιχες ευθείες είναι η ίδια, ο.ε.δ.

Στα επόμενα το  $\Pi$  συμβολίζει την εστία και το  $\xi$  την διευθετούσα της παραβολής. Επίσης θεωρούμε και τον  $\mathbf{A}\mathbf{\xi}$ ονα της παραβολής που είναι η ευθεία α η διερχόμενη διά του  $\Pi$  και κάθετη στην διευθετούσα  $\xi$ . Μία ευθεία παράλληλη προς τον άξονα λέγεται  $\mathbf{A}$ ιάμετρος της παραβολής.

Πρόταση 10.5.2 Εστω Π η εστία και  $\xi$  η διευθετούσα μιάς παραβολής.

- (1) Η παραβολή είναι συμμετρική ως προς τον άξονά της.
- (2) Γιά κάθε σημείο X της παραβολής και την προβολή του Y επί της διευθετούσας, το X ευρίσκεται στην μεσοκάθετο XN του τμηματος  $\Pi Y$ .
- (3) Η ΧΝ είναι εφαπτόμενη της παραβολής στο Χ.



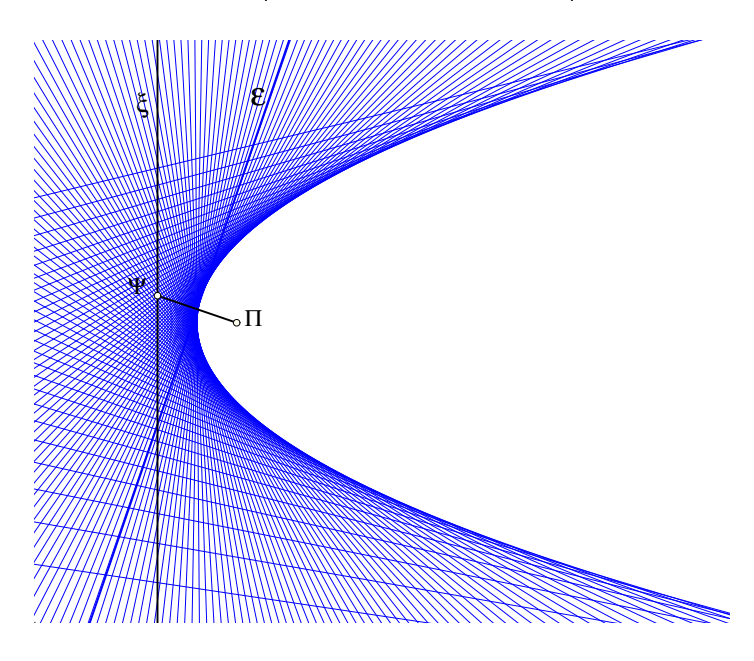
Σχήμα 777: Παραβολής πρώτες ιδιότητες

Aπόδειξη: Το (1) προχύπτει αμέσως από τον ορισμό της παραβολής. Αν X είναι σημείο της παραβολής και  $X^*$  το συμμετρικό του ως προς τον άξονά της α θα ικανοποιεί τον ορισμό της ίδιας παραβολής.

Το (2) προκύπτει αμέσως από το ότι, εξ ορισμού, το τρίγωνο  $\Pi XY$  είναι ισοσκελές.

Το (3): Λόγω του ότι η XN είναι μεσοκάθετος της  $\Pi Y$ , τα τρίγωνα Z $\Pi X$  και ZYX είναι ίσα, άρα η γωνία Z $\Pi X$  είναι ορθή και συνεπώς η ZX θα συμπίπτει με την εφαπτόμενη από το X (Πρόταση 10.4.4), ο.ε.δ.

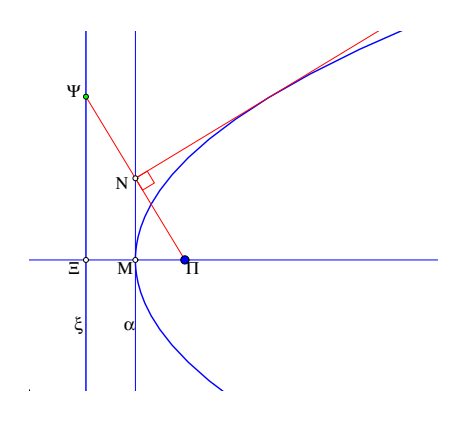
Μία συνέπεια της προηγούμενης πρότασης είναι το ότι η παραβολή είναι, ως λέγεται, η  $\Pi$  εριβάλλουσα των μεσοκαθέτων ευθειών ε των τμημάτων  $\Pi\Psi$ , όπου το  $\Pi$  είναι σταθερό και το  $\Psi$  κινήται επί ευθείας  $\xi$ . Τούτο σημαίνει ότι, όλες αυτές οι ευθείες, που παράγονται γιά τις διάφορες θέσεις του  $\Psi$ , είναι εφαπτόμενες της παραβολής που έχει εστία το  $\Pi$  και διευθετούσα την  $\xi$ . Το μέσον  $\Pi$  της καθέτου  $\Pi\Xi$ , από την εστία  $\Pi$  στην διευθετούσα  $\xi$ 



Σχήμα 778: Παραβολή ως περιβάλλουσα

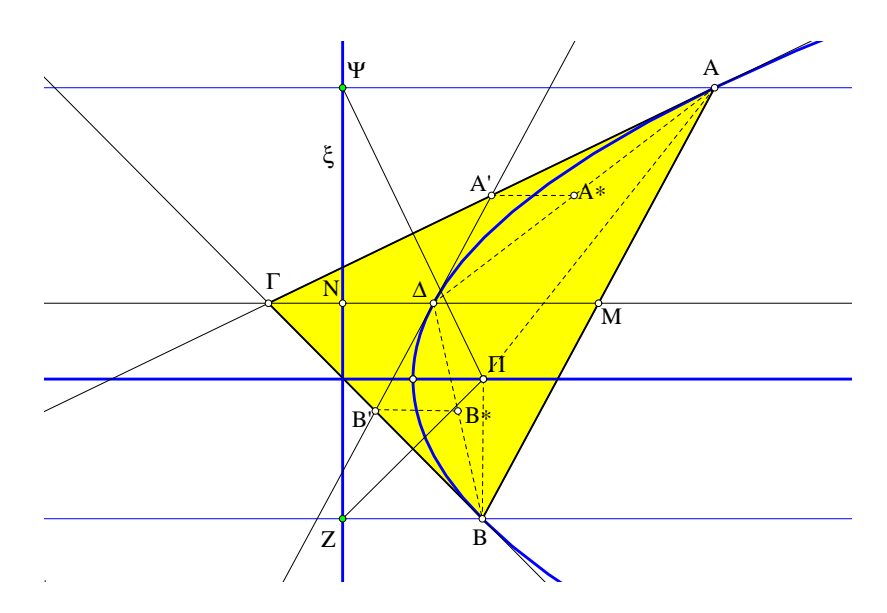
παραβολής, είναι σημείο της παραβολής και λέγεται Κορυφή της παραβολής.

Άσκηση 10.5.1  $\Delta$ είξε ότι ο γεωμετρικός τόπος των μέσων N των τμημάτων  $\Pi\Psi$ , από την εστία προς σημείο  $\Psi$  της διευθετούσας είναι η εφαπτόμενη της παραβολής στην κορυφή της M.



Σχήμα 779: Παραβολή περιβάλλουσα πλευράς ορθής γωνίας

'Ασκηση 10.5.2 Ορθή γωνία ΠΝΧ μεταβάλεται έτσι ώστε η κορυφή της N να κινήται επί ευθείας α και η μία πλευρά της να διέρχεται από σταθερό σημείο  $\Pi$ . Δείξε ότι η άλλη πλευρά της NX παραμένει εφαπτόμενη παραβολής με εστία στο  $\Pi$  και εφαπτόμενη στην κορυφή της παραβολής την ευθεία  $\alpha$ .



Σχήμα 780: Αρχιμήδειο τρίγωνο

Αρχιμήδειο τρίγωνο της παραβολής λέγεται ένα τρίγωνο του οποίου δύο πλευρές είναι εφαπτόμενες της παραβολής και η τρίτη πλευρά είναι η ευθεία που ενώνει τα σημεία επαφής αυτών των δύο εφαπτομένων. Ο Αρχιμήδης, με μιά διαδικασία πρότυπο αθροίσματος άπειρης σειράς προσδιόρισε το εμβαδόν του τμήματος της παραβολής που περιέχεται μέσα σε ένα τέτοιο τρίγωνο. Στην συνέχεια θα υπολογίσουμε αυτό το εμβαδόν με μιά διαφορετική μέθοδο ([Doe65, σ. 239]), που δίνει την αφορμή να γνωρίσουμε μερικές θεμελιώδεις ιδιότητες της παραβολής.

Πρόταση 10.5.3 Γιά κάθε Αρχιμήδειο τρίγωνο  $AB\Gamma$  με σημεία επαφής στα A και B η διάμεσος  $\Gamma M$  είναι παράλληλη του άξονα της παραβολής και τέμνει την παραβολή στο μέσον  $\Delta$  της  $\Gamma M$ , στο οποίο η εφαπτόμενη της παραβολής είναι παράλληλη της βάσης  $B\Gamma$ .

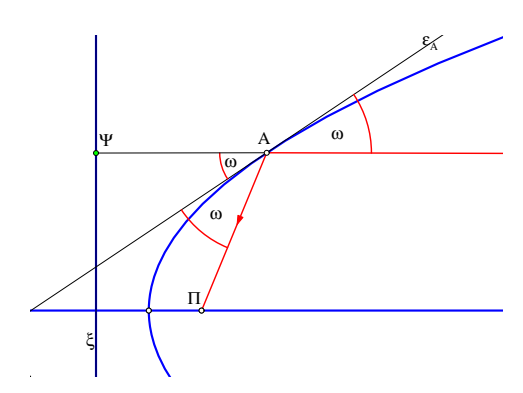
Απόδειξη: Φέρε από τα A και B τις καθέτους  $A\Psi$  και BZ στην διευθετούσα ξ. Από τον ορισμό της παραβολής, τα τρίγωνα  $\Pi BZ$  και  $\Pi A\Psi$  είναι ισοσκελή και οι  $A\Gamma$  και  $B\Gamma$  είναι εφαπτόμενες ( $\Pi$ ρόταση 10.5.2) και ταυτόχρονα μεσοκάθετες των  $\Pi\Psi$  και  $\Pi Z$  αντίστοιχα. Στο τρίγωνο  $\Pi Z\Psi$  λοιπόν, οι μεσοκάθετες  $A\Gamma$  και  $B\Gamma$  των  $\Pi\Psi$  και  $\Pi Z$  συναντώνται στο  $\Gamma$ . Άρα και  $\eta$  μεσοκάθετος  $\Gamma N$  της τρίτης πλευράς  $Z\Psi$  θα διέρχεται από το  $\Gamma$  και θα είναι παράλληλος του άξονα. Στο τραπέζιο  $A\Psi ZB$   $\eta$   $\Gamma N$  είναι παράλληλος προς τις παράλληλες πλευρές του και διέρχεται από το μέσον N της μίας πλευράς του, άρα θα διέρχεται και από το μέσον M της άλλης πλευράς του. Αυτό δείχνει τον πρώτο ισχυρισμό της πρότασης.  $\Gamma$ ιά τον δεύτερο, θεώρησε την εφαπτόμενη στο σημείο τομής  $\Delta$  της διαμέσου  $\Gamma M$  και της παραβολής. Έστω ότι  $\eta$  εφαπτόμενη αυτή τέμνει τις  $\Lambda \Gamma$  και  $\Lambda \Gamma$ 

Θεώρημα 10.5.1 (Τετραγωνισμός παραβολής του Αρχιμήδη) Το τμήμα της παραβολής που περιέχεται σε ένα Αρχιμήδειο τρίγωνο ΑΒΓ έχει εμβαδόν τα 2/3 του εμβαδού ε(ΑΒΓ) του τριγώνου.

Aπόδειξη: Η απόδειξη είναι άμεση συνέπεια της προηγούμενης πρότασης. Πράγματι, το τρίγωνο  $AB\Delta$  είναι μέσα στο χωρίο της παραβολής και το  $A'B'\Gamma$  είναι έξω καί έχει εμβαδόν  $ε(A'B'\Gamma)=ε(AB\Delta)/2$ . Μπορώ να θεωρήσω ότι πετώ το τρίγωνο  $A'B'\Gamma$  και κρατώ το  $AB\Delta$ . Κατόπιν επαναλαμβάνω την ίδια διαδικασία με τα νέα Aρχιμήδεια τρίγωνα  $A\Delta A'$  και  $BB'\Delta$  πετώντας πάλι το μισό εμβαδόν αυτού που κρατώ. Τα τρίγωνα που πετώ είναι αυτά που δεν συνεισφέρουν στο εμβαδόν του χωρίου. Τα τρίγωνα που κρατώ είναι αυτά που συνεισφέρουν και συνεχίζω επ' άπειρον με ολοένα μικρότερα τρίγωνα πετώντας ένα μέρος τους ε(π) και κρατώντας ένα άλλο ε(κ), πάντοτε όμως στην αναλογία ε(π)=ε(κ)/2. Στο όριο της άπειρης διαδικασίας θα έχω εξαντλήσει όλο το εμβαδόν του αρχικού τριγώνου πετώντας το  $ε(\Pi)=ε(K)/2$  του μέρους που κρατώ. Το εμβαδόν ε(K) που θα έχει απομείνει θα είναι ακριβώς το εμβαδόν του χωρίου της παραβολής που με ενδιαφέρει. Επειδή  $ε(\Pi)+ε(K)=ε(AB\Gamma)$ , έπεται ότι  $\frac{1}{2}ε(K)+ε(K)=ε(AB\Gamma)$ , ο.ε.δ.

'Ασκηση 10.5.3  $\Delta$ είξε ότι τα μέσα M παραλλήλων χορδών AB παραβολής περιέχονται σε ευθεία  $\varepsilon$  παράλληλο του άξονος και ότι η  $\varepsilon$  τέμνει την παραβολή σε σημείο  $\Delta$ , στο οποίο η εφαπτόμενη είναι παράλληλος προς αυτές τις χορδές.

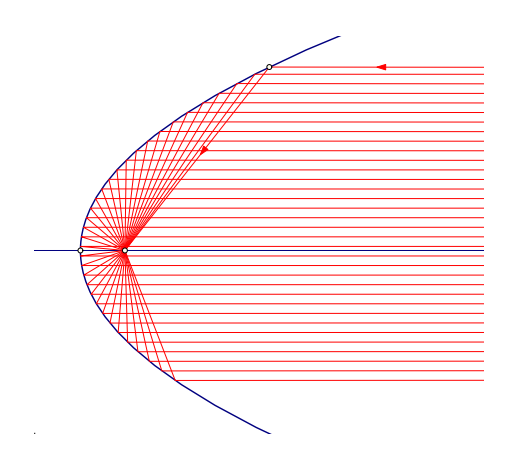
Υπόδειξη: Άμεση συνέπεια της Πρότασης 10.5.3, κατά την οποία το μέσον M της χορδής είναι στην διάμεσο  $\Gamma M$  του Αρχιμήδειου τριγώνου που ορίζεται από την χορδή, η δε διάμεσος αυτή είναι παράλληλος του άξονος και διέρχεται από το σημείο  $\Delta$  στο οποίο η εφαπτόμενη είναι παράλληλος της χορδής. Επομένως όλες οι χορδές θα έχουν το μέσον τους επί της παραλλήλου του άξονος που διέρχεται από το σημείο  $\Delta$ , στο οποίο η εφαπτόμενη είναι παράλληλη της χορδής. Τώρα ότι υπάρχει ένα τέτοιο  $\Delta$ , δηλαδή ότι υπάρχει ένα μόνο σημείο της παραβολής στο οποίο η εφαπτόμενη έχει μιά δεδομένη κατεύθυνση, έπεται από το ότι, εξ ορισμού, η παραβολή έχει όλα τα σημεία της από την ίδια μεριά κάθε εφαπτομένης της.



Σχήμα 781: Παραβολικό κάτοπτρο

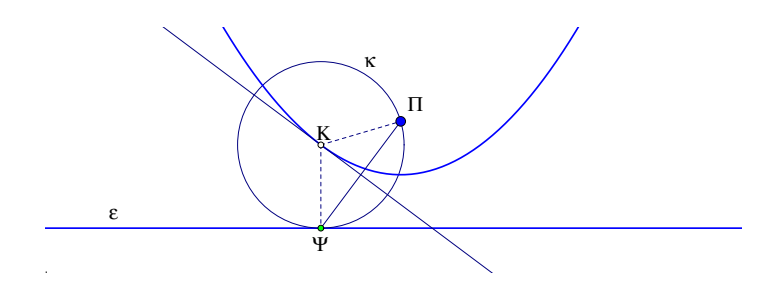
'Ασκηση 10.5.4  $\Delta \epsilon$ ίξ $\epsilon$  ότι μία ακτίνα προσπίπτουσα σ $\epsilon$  παραβολή παράλληλα προς τον άξονά της, ανακλώμ $\epsilon$ νη, δι $\epsilon$ ρχ $\epsilon$ ται από την  $\epsilon$ στία της.

Υπόδειξη: Άμεση συνέπεια του ορισμού, κατά τον οποίο το ίχνος  $\Psi$  της ακτίνας επί της διευθετούσης και το τμήμα  $A\Pi$  στο σημείο ανάκλασης A σχηματίζουν ισοσκελές τρίγωνο  $A\Pi\Psi$ , του οποίου η διχοτόμος στο A συμπίπτει με την εφαπτόμενη  $\varepsilon_A$  στο A.



Σχήμα 782: Παραβολικό κάτοπτρο ΙΙ

Άσκηση 10.5.5  $\Delta \epsilon$ ίξε ότι ο γεωμετρικός τόπος των κέντρων κύκλων, εφαπτομένων δοθείσης ευθείας  $\varepsilon$  και διερχομένων από δοθέν σημείο  $\Pi$  εκτός της  $\varepsilon$ , είναι η παραβολή με εστία στο  $\Pi$  και διευθετούσα την ευθεία  $\varepsilon$ .

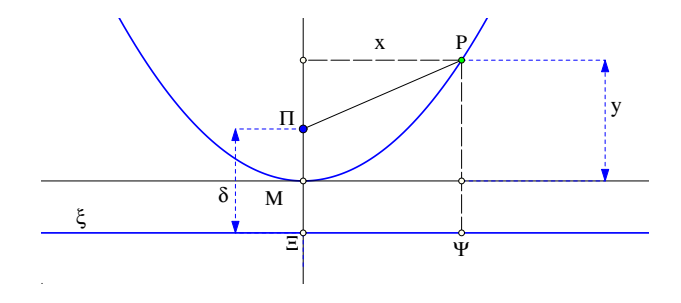


Σχήμα 783: Παραβολή ως τόπος κέντρων κύκλων

Άσκηση 10.5.6  $\Delta \epsilon$ ίξε ότι οι αποστάσεις x,y ενός σημείου P της υπερβολής, από τον άξονά της και την εφαπτόμενη στην κορυφή της αντίστοιχα, ικανοποιούν την εξίσωση

$$x^2 = 2\delta \cdot y,$$

όπου δ η παράμετρος της παραβολής.



 $\Sigma$ χήμα 784: Παραβολή μέσω εξίσωσης

Υπόδειξη: 
$$|P\Pi| = |P\Psi| \iff (y + \frac{\delta}{2})^2 = x^2 + (y - \frac{\delta}{2})^2$$
.

10.6.  $H E \Lambda \Lambda E I \Psi H$  513

### 10.6 Η έλλειψη

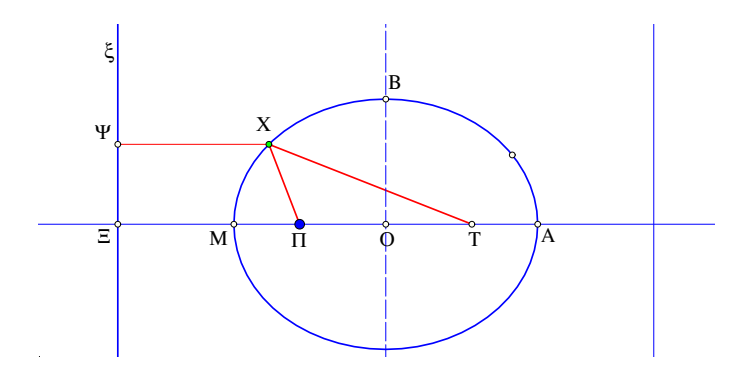
Το σχήμα της έλλειψης καθορίζεται πλήρως από δύο αριθμούς: την  $\mathbf{E}$ στιακή απόσταση που ορίζεται ως η απόσταση των δύο εστιών  $\Pi$  και  $\Pi$  της έλλειψης και την σταθερά  $\Lambda>|\Pi T|$  που δίδει το άθροισμα των αποστάσεων του τυχόντος σημείου  $\Pi$  της έλλειψης από τις εστίες

$$|XT| + |X\Pi| = \lambda.$$

Δύο άλλοι αριθμοί που καθορίζουν επίσης πλήρως το σχήμα της έλλειψης είναι: η απόσταση  $p=|\Pi\Xi|$  μιάς εστίας της  $\Pi$  από την αντίστοιχη διευθετούσα ξ (η  $\epsilon$ στιακή παράμ $\epsilon$ τρος της  $\epsilon$ λ $\epsilon$ ιψης) και η εκκεντρότητα  $\kappa<1$  γιά την οποία ισχύει

$$\frac{|X\Pi|}{|X\Psi|} = \kappa,$$

όπου  $\Psi$  είναι η προβολή στην διευθετούσα του τυχόντος σημείου X της έλλειψης.



Σχήμα 785: Δύο τρόποι ορισμού έλλειψης

**Πρόταση 10.6.1** Η έλλειψη είναι συμμετρική ως προς την ευθεία  $\Pi T$  που ορίζεται από τις εστίες της και επίσης συμμετρική ως προς την μεσοκάθετο του  $\Pi T$ . Το μέσον O του  $\Pi T$  είναι κέντρο συμμετρίας της έλλειψης.

Aπόδειξη: Άμεση συνέπεια του ορισμού (Παράγραφος 10.1) της έλλειψης. Άν το σημείο X έχει αποστάσεις από τις εστίες που ικανοποιούν την  $|X\Pi|+|XT|=\lambda$ , εύκολα βλέπουμε ότι και τα συμμετρικά του X ως προς τις δύο ευθείες που αναφέρονται, καθώς και το σημείο O θα ικανοποιούν την ίδια ισότητα, άρα θα είναι σημεία της έλλειψης, ο.ε.δ.

Η ευθεία ΠΤ και η μεσοκάθετος του ΠΤ λέγονται 'Αξονες συμμετρίας της έλλειψης. Τα μήκη των δύο ευθγράμμων τμημάτων ΟΑ και ΟΒ (αλλά συχνά και τα ίδια τα ευθύγραμμα τμήματα ή/και ολόκληρες οι ευθείες ΟΑ και ΟΒ) που αποτέμνει η έλλειψη στους άξονες ονομάζονται αντίστοιχα Μεγάλος άξονας και Μικρός άξονας της έλλειψης. Το σημείο τομής τους Ο λέγεται Κέντρο της έλλειψης. Οι χορδές της έλλειψης που διέρχονται από το κέντρο της ονομάζονται Διάμετροι της έλλειψης.

Πρόταση 10.6.2 Οι διευθετούσες είναι κάθετες στην ευθεία των εστιών  $\Pi T$  και συμμετρικά κείμενες ως προς το κέντρο της έλλειψης. Το σημείο τομής  $\Xi$  της διευθετούσας και η αντίστοιχη εστία  $\Pi$  είναι σημεία αρμονικα συζυγή των A και M στα οποία η έλλειψη τέμνει τον άξονα  $\Pi T$ .

Απόδειξη: Η καθετότητα προκύπτει από την συμμετρία ως προς τον άξονα ΟΑ. Αν το X ανήκει στην έλλειψη τότε και το συμμετρικό του X' ως προς αυτόν τον άξονα θα ανήκει στην έλλειψη. Επειδή τα XΠ και X'Π έχουν το ίδιο μήκος και τα XΨ και XΨ' θα είναι κάθετα στην ίδια ευθεία και θα έχουν το ίδιο μήκος, άρα το XΨΨ'X' θα είναι ορθογώνιο παραλληλόγραμμο. Ο δεύτερος ισχυρισμός προκύπτει άμεσα από τον ορισμό, αφού τα M και A θα ικανοποιούν

$$\frac{|M\Pi|}{|M\Xi|} = \frac{|A\Pi|}{|A\Xi|} = \kappa,$$

άρα τα A και M θα είναι αρμονικά συζυγή ως προς  $\Xi$  και  $\Pi$ . Συνεπώς (Aσκηση 1.17.2) και τα  $\Xi$ ,  $\Pi$  θα είναι αρμονικά συζυγή των A και M, ο.ε.δ.

Το επόμενο τυπολογίο συσχετίζει τα διάφορα μήκη τμημάτων που χαρακτηρίζουν την έλλειψη. Συχνά χρησιμοποιούνται οι συμβολισμοί

$$a = |OA|, \quad b = |OB|, \quad c = |O\Pi| = \frac{|\Pi T|}{2}, \quad p = |\Pi \Xi|.$$

#### Πρόταση 10.6.3

$$a = |OA| = |B\Pi| = |BT| = \frac{\lambda}{2} \Leftrightarrow \lambda = 2a = |AM|,$$
 (10.1)

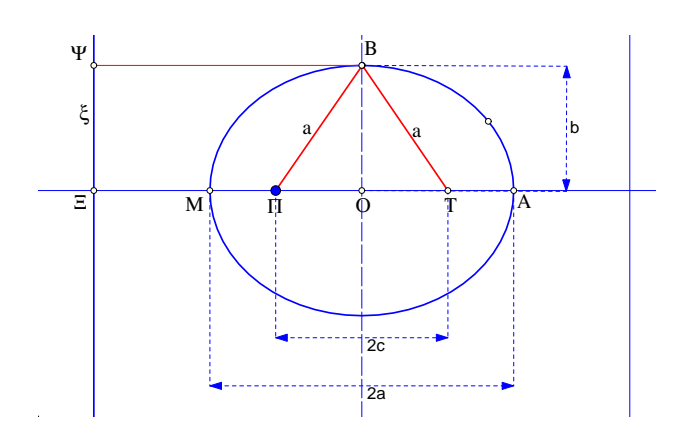
$$c = \frac{|\Pi T|}{2}, \quad b = |OB| \quad \Rightarrow \quad a^2 = b^2 + c^2,$$
 (10.2)

$$|M\Pi| = a - c, \quad |A\Pi| = a + c \quad \Rightarrow \quad |M\Xi| = \frac{a - c}{\kappa}, \quad |A\Xi| = \frac{a + c}{\kappa}, \quad (10.3)$$

$$p = |\Pi\Xi| = |\Pi M| + |M\Xi| = (a-c) + \frac{a-c}{\kappa} = \frac{1+\kappa}{\kappa}(a-c),$$
 (10.4)

$$\kappa = \frac{c}{a} \quad \Rightarrow \quad p = \frac{1 - \kappa^2}{\kappa} a = \frac{a^2 - c^2}{c} = \frac{b^2}{c}, \tag{10.5}$$

$$a = \frac{\kappa}{1 - \kappa^2} p, \quad c = \frac{\kappa^2}{1 - \kappa^2} p. \tag{10.6}$$



Σχήμα 786: Βασικές σχέσεις στην έλλειψη

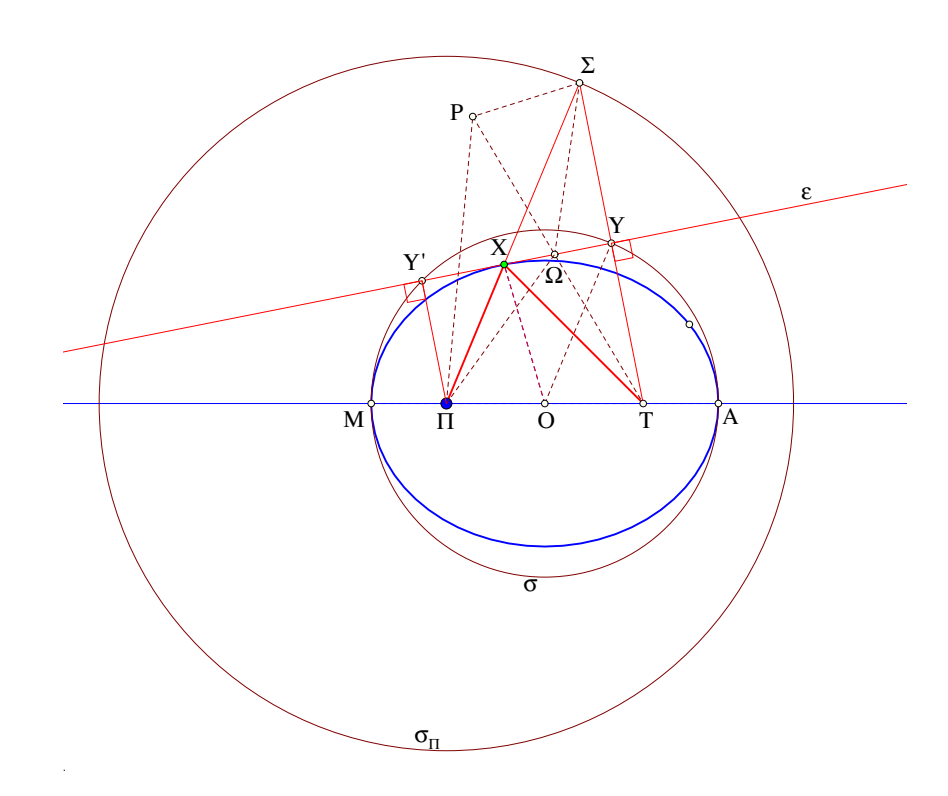
Aπόδειξη: Τετριμμένες συνέπειες των ορισμών. Η πρώτη της (9.5) προχύπτει από τον λόγο  $κ = \frac{|B\Pi|}{|B\Psi|}$ , χρησιμοποιώντας τις προηγούμενες. Οι τελευταίες δύο σειρές δίνουν τις σχέσεις μεταξύ των ζευγών αριθμών (p, κ) χαι  $(\lambda, c)$ , που ορίζουν την έλλειψη με τους δύο συνήθεις τρόπους, ο.ε.δ.

10.6.  $H E \Lambda \Lambda E I \Psi H$  515

Βοηθητικός ή και Μείζων κύκλος της έλλειψης λέγεται ο κύκλος με κέντρο το κέντρο Ο της έλλειψης και ακτίνα τον μεγάλο άξονα a. Οι κύκλοι με κέντρα τις εστίες της έλλειψης και ακτίνα 2a ονομάζονται  $\Delta$ ιευθετούντες κύκλοι της έλλειψης.

Πρόταση 10.6.4 (1) Εστω  $\Sigma$  τυχόν σημείο του διευθετούντος κύκλου  $\sigma_{\Pi}$  της έλλειψης με κέντρο στην εστία  $\Pi$  και δεύτερη εστία στο T. H μεσοκάθετος  $\varepsilon$  του τμήματος  $\Sigma T$  τέμνει την  $\Sigma \Pi$  σε σημείο X της έλλειψης.

- (2)  $H \varepsilon$  είναι εφαπτόμενη της έλλειψης και το X είναι το σημείο επαφής της  $\varepsilon$ .
- (3) Η έλλειψη περιέχεται ολόκληρη στην μεριά της εφαπτομένης της που περιέχει και τις εστίες της έλλειψης.
- (4) Η έλλειψη περιέχεται ολόκληρη στο εσωτερικό του βοηθητικού κύκλου της σ.
- (5) H εφαπτόμενη  $\varepsilon$  στο X διχοτομεί την παραπληρωματική της γωνίας  $\Pi XT$ .
- (6) Οι προβολές Y και Y'των εστιών στην εφαπτόμενη  $\varepsilon$  περιέχονται στον βοηθητικό κύκλο της έλλειψης.
- (7) Το γινόμενο  $|TY||\Pi Y'|$  είναι σταθερό και ίσο με  $b^2$ .



Σχήμα 787: Βοηθητικός και διευθετών κύκλος έλλειψης

Aπόδειξη: Το (1) είναι συνέπεια του ορισμού αφού  $|\Pi X| + |XT| = |\Pi X| + |X\Sigma| = 2a.$  Γιά το (2) ας θεωρήσουμε σημείο  $\Omega$  της ε, διαφορετικό του X. Λόγω της μεσοκαθέτου

$$|\Omega\Pi| + |\Omega T| = |\Pi\Omega| + |\Omega\Sigma| > |\Pi\Sigma| = 2a.$$

Η τελευταία ανισότητα είναι η τριγωνική γιά το τρίγωνο  $\Pi\Sigma\Omega$ . Η ανισότητα δείχνει ότι το  $\Omega$  δεν ανήκει στην έλλειψη, άρα το X είναι το μοναδικό σημείο της ε κοινό με την έλλειψη.

Γιά το (3) ας θεωρήσουμε τυχόν σημείο P από την άλλη μεριά της ε αυτής που περιέχει τις εστίες. Έστω  $\Omega$  το σημείο τομής της PT με την ε. Ισχύει

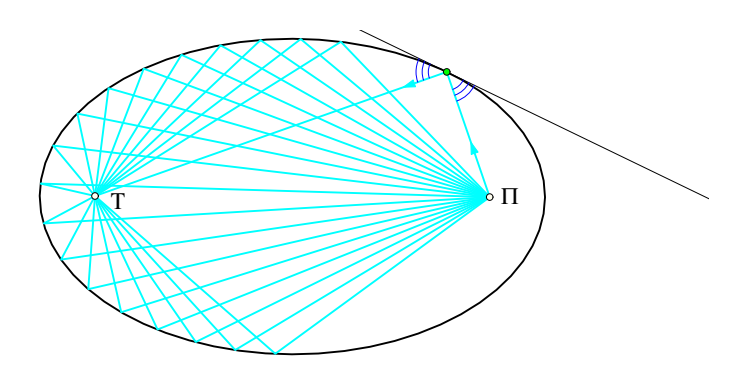
$$|P\Pi| + |PT| = |P\Pi| + |P\Omega| + |\Omega T| = |P\Pi| + |P\Omega| + |\Omega \Sigma| > |P\Pi| + |P\Sigma| > |\Pi \Sigma| = 2a.$$

Άρα το P δεν ανήκει στην έλλειψη. Οι δύο τελευταίες ανισότητες είναι οι τριγωνικές γιά τα τρίγωνα  $P\Sigma\Omega$  και  $\Pi P\Sigma$ .

Το (4) οφείλεται στο ότι η ΟΧ είναι διάμεσος του τριγώνου ΠΧΤ και συνεπώς  $|OX| < \frac{1}{2}(|X\Pi| + |XT|) = a$  (Άσκηση 1.14.3).

Το (5) οφείλεται στο ότι το τρίγωνο  $TX\Sigma$  είναι ισοσκελές, άρα η μεσοκάθετος ε της  $\Sigma T$  διχοτομεί την γωνία στην κορυφή του.

Το (6), γιά το σημείο Y οφείλεται στο ότι η OY συνδέει τα μέσα των πλευρών του τριγώνου  $\Sigma\Pi T$ , άρα  $|OY|=\frac{|\Pi\Sigma|}{2}=a$ . Ανάλογα αποδειχνύεται η ιδιότητα και γιά την προβολή Y' του  $\Pi$  πάνω στην ε. Το (7) προχύπτει προεχτείνοντας την TY έως ότου τμήσει τον χύχλο  $\sigma$  σε σημείο  $Y^*$ . Λόγω της συμμετρίας της έλλειψης ως προς O, οι  $TY^*$  και  $\Pi Y'$  είναι ίσες και το γινόμενο  $|TY||\Pi Y'|=|TY||TY^*|$  είναι ίσο (εχτός προσήμου) με την δύναμη της εστίας T ως προς τον μείζονα χύχλο  $\sigma$ , ο.ε.δ.



Σχήμα 788: Ανακλαστική ιδιότητα εστιών έλλειψης

Σχόλιο Από την ιδιότητα (5) προχύπτει ότι οι ακτίνες φωτός, που εκπέμπονται από μία εστία της έλλειψης, προσπίπτουσες στην έλλειψη και άνακλώμενες στα σημεία της, έτσι ώστε προσπίπτουσα και ανακλώμενη ακτίνα να σχηματίζουν την ίδιες γωνίες με την εφαπτόμενη, διέρχονται από την άλλη εστία.

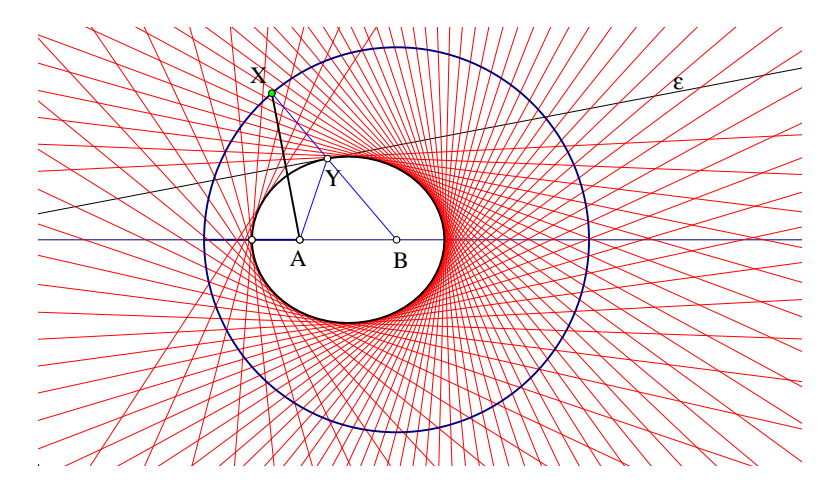
Άσκηση 10.6.1  $\Delta$ είξε ότι η μεσοκάθετος ενός τμήματος AX, με A σταθερό και X μεταβαλλόμενο επί κύκλου κ $(B,\rho)$ , είναι εφαπτόμενη έλλειψης με εστίες στο A και στο κέντρο του κύκλου B και μεγάλο άξονα την ακτίνα  $\rho$  του κύκλου.

Υπόδειξη: Θεώρησε την τομή Y της μεσοκαθέτου με την BX. Το άθροισμα |XA| + |XB| είναι σταθερά ίσο με ακτίνα ρ του κύκλου κ.

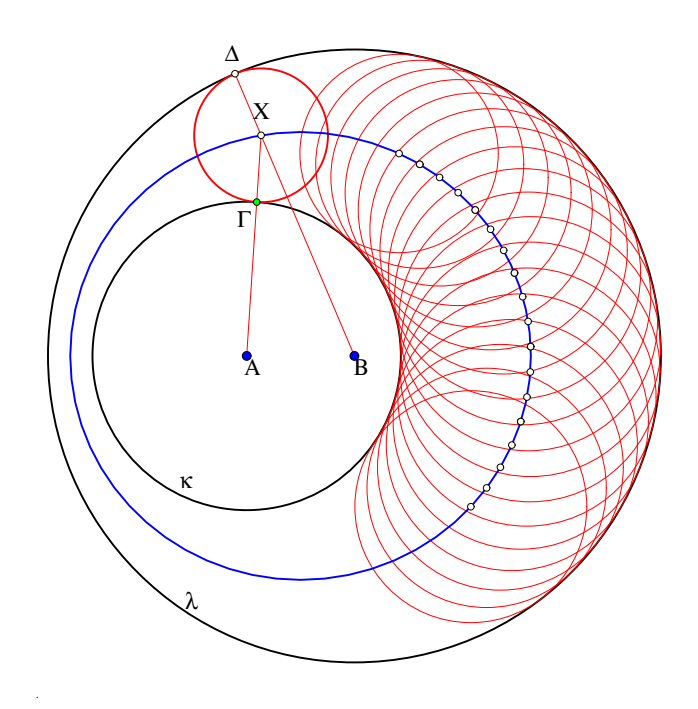
Άσκηση 10.6.2  $\Delta$ ίδονται δύο μη συγκεντρικοί κύκλοι κ $(A,\rho)$  και  $\lambda(B,\rho')$ , εκ των οποίων ο πρώτος περιέχεται ολόκληρος εντός του δευτέρου.  $\Delta$ είξε ότι ο γεωμετρικός τόπος των κέντρων X κύκλων που εφάπτονται ταυτόχρονα των κ και  $\lambda$  είναι έλλειψη με εστίες τα A και B και μεγάλο άξονα το ημιάθροισμα των ακτίνων των δύο κύκλων.

 $\Upsilon$ πόδ $\epsilon$ ιξη: Το σημείο επαφής  $\Gamma$  ενός κύκλου που εφάπτεται του κ είναι επί της διακέντρου  $A\Gamma$ . Το ίδιο συμβαίνει και με το σημείο επαφής  $\Delta$  του κύκλου με τον άλλο κύκλο  $\lambda$ . Τότε

10.6.  $H E \Lambda \Lambda E I \Psi H$  517



Σχήμα 789: Περιβάλλουσα των μεσοκαθέτων των τμημάτων AX



Σχήμα 790: Έλλειψη ως τόπος κέντρων κύκλων εφαπτομένων δύο άλλων

το μήχος

$$|XA|+|XB|=|A\Gamma|+|\Gamma X|+|XB|=|A\Gamma|+|XB|+|X\Delta|=\rho+\rho'.$$

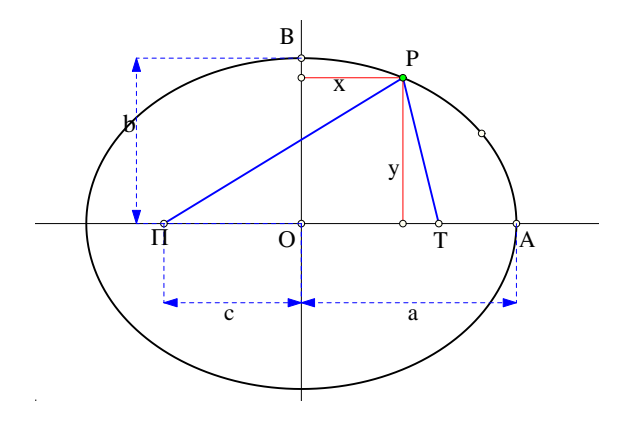
'Ασκηση 10.6.3  $\Delta$ είξε ότι αν x,y είναι οι αποστάσεις σημείου P έλλειψης από τον μικρό και μεγάλο άξονα αντίστοιχα, τότε ισχύει η εξίσωση

$$\frac{x^2}{a^2} + \frac{y^2}{b^2} = 1,$$

όπου a,b αντίστοιχα ο μεγάλος και ο μικρός άξονας της έλλειψης.

 $\Upsilon \pi \delta \delta \epsilon \imath \xi \eta$ : Η εξίσωση  $|P\Pi| + |PT| = 2a$  εκφράζεται συναρτήσει των x και y με την

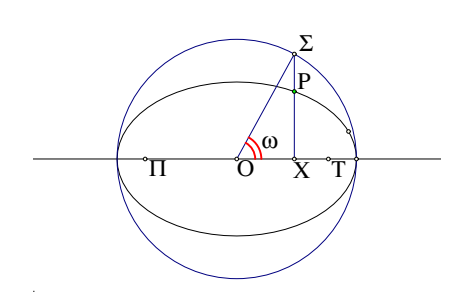
$$\sqrt{(c+x)^2 + y^2} + \sqrt{(c-x)^2 + y^2} = 2a.$$



Σχήμα 791: Έλλειψη μέσω εξίσωσης

Υψώνοντας τα δύο μέλη στο τετράγωνο, απομονώνοντας την ρίζα και ξαναϋψώνοντας ώστε αυτή να εξαλειφθεί, οδηγούμεθα στον αναφερόμενο τύπο, λαμβανομένου υπόψη και του  $a^2 = b^2 + c^2.$ 

Άσκηση 10.6.4  $\Delta \epsilon$ ίξε ότι η ημιπαράμετρος εύρους της έλλειψης είναι  $\frac{b^2}{a}=\kappa \cdot p$ , όπου  $\kappa$ η εκκεντρότητα της έλλειψης και p η εστιακή παράμετρος αυτής.



Σχήμα 792: Εκκεντρική γωνία

Εκκεντρική γωνία στο σημείο P έλλειψης ονομάζεται η γωνία  $\omega = |XO\Sigma|$  που σχηματίζεται από τον μεγάλο άξονα και την ακτίνα  $O\Sigma$  του βοηθητικού κύκλου στο σημείο  $\Sigma$ , στο οποίο η κάθετη από το P στον μεγάλο άξονα τέμνει την έλλειψη.

 ${}^{\prime}$ Ασκηση 10.6.5  ${}^{\prime}$ Εστω P σημείο της έλλειψης arepsilon και X η προβολή του P στον μεγάλο άξονα. Εστω επίσης Σ το σημείο τομής της XP με την έλλειψη και από την ίδια μεριά με το P ως προς τον μεγάλο άξονα. Δείξε ότι: (1)  $\frac{|PX|}{|\Sigma X|} = \frac{b}{a}$ ,

- (2)  $\dot{y} = |P\bar{X}| = b \, \eta \mu(\omega), \, \emph{όπου} \, \omega \, \eta \, \emph{εκκεντρική γωνία του} \, P.$

### 10.7 Η υπερβολή

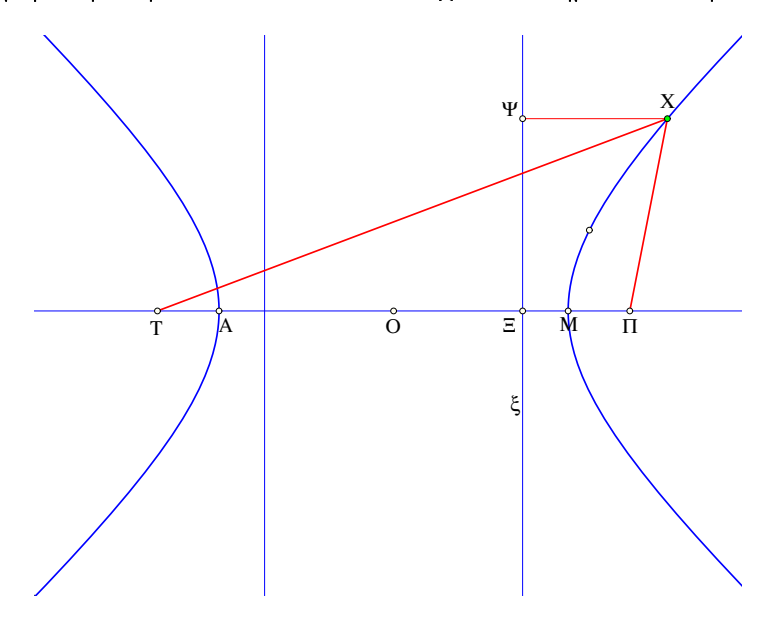
Το σχήμα της υπερβολής, όπως και αυτό της έλλειψης, καθορίζεται πλήρως από δύο αριθμούς: την  $\mathbf{E} \mathbf{\sigma} \mathbf{\tau} \mathbf{i} \mathbf{\alpha} \mathbf{x} \dot{\mathbf{n}}$  από  $\mathbf{\sigma} \mathbf{\tau} \mathbf{\alpha} \mathbf{n}$  που ορίζεται ως η απόσταση των δύο εστιών  $\mathbf{\Pi}$  και  $\mathbf{T}$  της υπερβολής και την σταθερά  $\lambda < |\mathbf{\Pi} T| = 2\delta$  που δίδει την διαφορά των αποστάσεων του τυχόντος σημείου  $\mathbf{X}$  της υπερβολής από τις εστίες

$$||XT| - |X\Pi|| = \lambda.$$

Δύο άλλοι αριθμοί που καθορίζουν επίσης πλήρως το σχήμα της υπερβολής είναι: η απόσταση  $p=|\Pi\Xi|$  μιάς εστίας της  $\Pi$  από την αντίστοιχη διευθετούσα  $\xi$  (η  $\epsilon$ στιακή παράμ $\epsilon$ τρος της υπερβολής) και η εκκεντρότητα  $\kappa>1$  γιά την οποία ισχύει

$$\frac{|X\Pi|}{|X\Psi|} = \kappa,$$

όπου  $\Psi$  είναι η προβολή στην διευθετούσα του τυχόντος σημείου X της υπερβολής.



Σχήμα 793: Δύο τρόποι ορισμού υπερβολής

Πρόταση 10.7.1 Η υπερβολή είναι συμμετρική ως προς την ευθεία ΠΤ που ορίζεται από τις εστίες της και επίσης συμμετρική ως προς την μεσοκάθετο του ΠΤ. Το μέσον Ο του ΠΤ είναι κέντρο συμμετρίας της υπερβολής.

Aπόδειξη: Άμεση συνέπεια του ορισμού (Παράγραφος 10.1) της υπερβολής. Άν το σημείο X έχει αποστάσεις από τις εστίες που ικανοποιούν την  $||X\Pi|-|XT||=\lambda$ , εύκολα βλέπουμε ότι και τα συμμετρικά του X ως προς τις δύο ευθείες που αναφέρονται, καθώς και το σημείο O θα ικανοποιούν την ίδια ισότητα, άρα θα είναι σημεία της υπερβολής, ο.ε.δ.

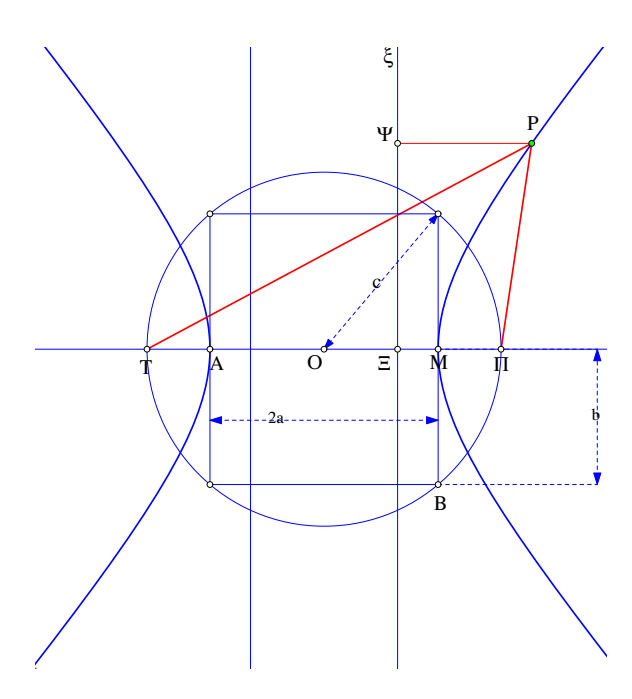
Η ευθεία ΠΤ που ενώνει τις δύο εστίες και η μεσοκάθετος του ΠΤ λέγονται 'Αξονες συμμετρίας της υπερβολής. Το σημείο τομής τους Ο λέγεται Κέντρο της υπερβολής. Οι χορδές της υπερβολής που διέρχονται από το κέντρο της ονομάζονται Διάμετροι της υπερβολής.

Πρόταση 10.7.2 Οι διευθετούσες είναι κάθετες στην ευθεία των εστιών  $\Pi T$  και συμμετρικά κείμενες ως προς το κέντρο της υπερβολής. Το σημείο τομής  $\Xi$  της διευθετούσας και η αντίστοιχη εστία  $\Pi$  είναι σημεία αρμονικα συζυγή των A και M, στα οποία η υπερβολή τέμνει τον άξονα  $\Pi T$ .

Απόδειξη: Η καθετότητα προκύπτει από την συμμετρία ως προς τον άξονα ΟΑ. Αν το X ανήκει στην υπερβολή, τότε και το συμμετρικό του X', ως προς αυτόν τον άξονα, θα ανήκει στην υπερβολή. Επειδή τα  $X\Pi$  και  $X'\Pi$  έχουν το ίδιο μήκος και τα  $X\Psi$  και  $X\Psi'$  θα είναι κάθετα στην ίδια ευθεία και θα έχουν το ίδιο μήκος, άρα το  $X\Psi\Psi'X'$  θα είναι ορθογώνιο παραλληλόγραμμο. Ο δεύτερος ισχυρισμός προκύπτει άμεσα από τον ορισμό, αφού τα M και A θα ικανοποιούν

$$\frac{|M\Pi|}{|M\Xi|} = \frac{|A\Pi|}{|A\Xi|} = \kappa,$$

άρα τα A και M θα είναι αρμονικά συζυγή ως προς  $\Xi$  και  $\Pi$ . Συνεπώς (Aσκηση 1.17.2) και τα  $\Xi$ ,  $\Pi$  θα είναι αρμονικά συζυγή των A και M, ο.ε.δ.



Σχήμα 794: Βασικές σχέσεις στην υπερβολή

Το επόμενο τυπολογίο συσχετίζει τα διάφορα μήκη τμημάτων που χαρακτηρίζουν την υπερβολή. Συχνά χρησιμοποιούνται οι συμβολισμοί

$$a = |OA|, b = |MB|, c = |O\Pi| = \frac{|\Pi T|}{2}.$$

#### Πρόταση 10.7.3

$$a = |OA| = \frac{\lambda}{2} \Leftrightarrow \lambda = 2a = |AM|,$$
 (10.7)

$$c = \frac{|\Pi T|}{2}, \quad b = |MB| \quad \Rightarrow \quad c^2 = a^2 + b^2,$$
 (10.8)

$$|M\Pi| = c - a, \quad |A\Pi| = c + a \quad \Rightarrow \quad |M\Xi| = \frac{c - a}{\kappa}, \quad |A\Xi| = \frac{c + a}{\kappa}, \quad (10.9)$$

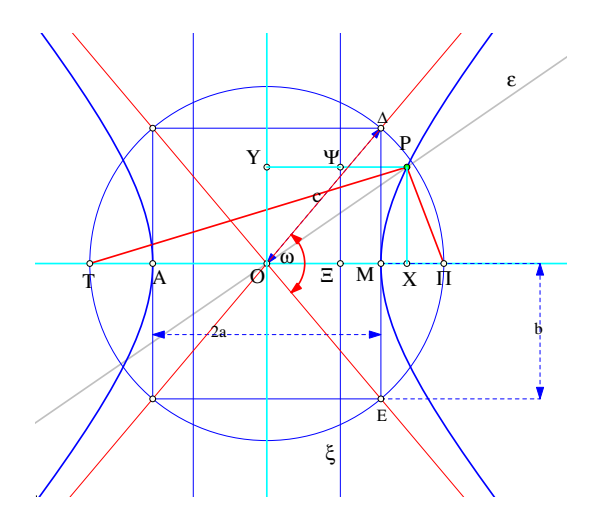
$$|\Pi\Xi| = |\Pi M| + |M\Xi| = (c-a) + \frac{c-a}{\kappa} = \frac{1+\kappa}{\kappa}(c-a),$$
 (10.10)

$$\kappa = \frac{c}{a} \Rightarrow |\Pi\Xi| = \frac{\kappa^2 - 1}{\kappa} a = \frac{c^2 - a^2}{c} = \frac{b^2}{c}, \tag{10.11}$$

$$a = \frac{\kappa}{\kappa^2 - 1} p, \quad c = \frac{\kappa^2}{\kappa^2 - 1} p, \quad p = |\Pi\Xi|.$$
 (10.12)

Aπόδειξη: Τετριμμένες συνέπειες των ορισμών. Η πρώτη της (9.11) προχύπτει από τον λόγο  $κ = \frac{|A\Pi|}{|A\Xi|}$ , χρησιμοποιώντας τις προηγούμενες. Οι τελευταίες δύο σειρές δίνουν τις σχέσεις μεταξύ των ζευγών αριθμών  $(|\Pi\Xi|, \kappa)$  χαι  $(\lambda, |\Pi T|)$  που ορίζουν την υπερβολή με τους δύο συνήθεις τρόπους, ο.ε.δ.

Ένα χαρακτηριστικό της υπερβολής που δεν συναντάμε στα άλλα είδη κωνικών τομών είναι οι Ασύμπτωτες της υπερβολής. Αυτές είναι δύο ευθείες που χωρίζουν όλες τις ευθείες διά του κέντρου Ο της υπερβολής σε δύο ομάδες. Οι ευθείες της πρώτης ομάδας τέμνουν την υπερβολή, ενώ οι ευθείες της δεύτερης ομάδας δεν τέμνουν την υπερβολή.



Σχήμα 795: Ασύμπτωτες της υπερβολής

Πρόταση 10.7.4 Γιά κάθε υπερβολή υπάρχει μία γωνία ω με κορυφή στο κέντρο της O, έτσι ώστε κάθε ευθεία διά του O και περιεχόμενη σε αυτήν την γωνία να τέμνει την υπερβολή, ενώ κάθε ευθεία διά του O και μη περιεχόμενη στην γωνία να μην την τέμνει.

Aπόδειξη: Γιά την απόδειξη χρησιμοποιούμε την Πρόταση 3.8.6, σύμφωνα με την οποία, τα σημεία P μίας ευθείας ε δια του O χαραχτηρίζονται από έναν σταθερό λόγο  $\mu = \frac{|PX|}{|PY|}$ , όπου

X και Y οι προβολές του P στους κάθετους άξονες της υπερβολής.  $\Gamma$ ιά ένα σημείο μιάς τέτοιας ευθείας, λοιπόν, η απαίτηση να περιέχεται και στην ύπερβολή οδηγεί στην εξίσωση

$$\kappa = \frac{|P\Pi|}{|P\Psi|} = \frac{\sqrt{|PX|^2 + |X\Pi|^2}}{|PY| - |Y\Psi|} \iff |PX|^2 + |X\Pi|^2 = \kappa^2 (|PY| - |Y\Psi|)^2.$$

Αν θέσουμε |PY|=x, τότε ισχύουν και οι

$$|PX| = \mu \cdot x, \quad |X\Pi|^2 = (c - x)^2, \quad |Y\Psi| = \frac{a}{\kappa}$$

και η προηγούμενη εξίσωση μεταφράζεται σε μία εξίσωση του x.

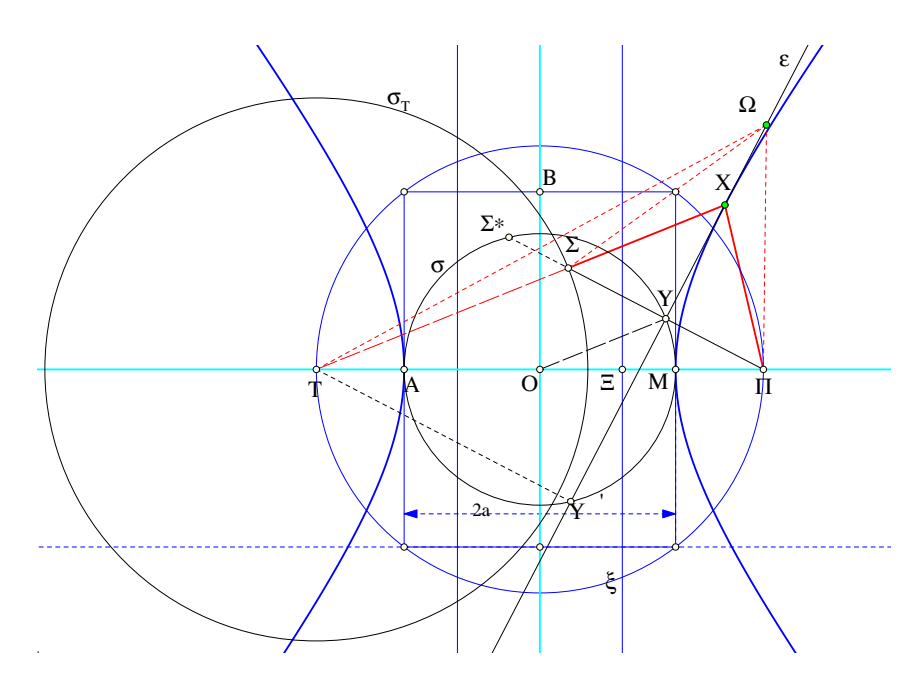
$$x^2(\mu^2 + 1 - \kappa^2) = b^2.$$

H τελευταία εξίσωση έχει τότε αχριβώς λύση, όταν ισχύει

$$\mu^2 + 1 - \kappa^2 > 0 \quad \Leftrightarrow \quad \mu^2 < \frac{b^2}{a^2},$$

που ισοδυναμεί με το ότι η ευθεία ε τέμνει την κάθετο  $\Delta E$  της AM σε απόσταση από το M μικρότερη του  $\beta$ , ο.ε.δ.

Η σταθερά a, συχνά και το ευθύγραμμο τμήμα ΟΜ ή/και η ίδια η ευθεία ΟΜ ονομάζονται Εγκάρσιος άξονας της υπερβολής. Αντίστοιχα το μήκος b ή/και ο άξονας συμμετρίας ο κάθετος στον προηγούμενο ονομάζεται Συζυγής άξονας της υπερβολής. Διευθετούντες κύκλοι της υπερβολής λέγονται οι δύο κύκλοι με κέντρα τις εστίες της και ακτίνα 2a, όπου a ο μεγάλος άξονας της υπερβολής. Ο κύκλος με κέντρο το κέντρο Ο της υπερβολής και ακτίνα a λέγεται a λ



Σχήμα 796: Βασικές ιδιότητες υπερβολής

10.7.  $H \Upsilon \Pi EPBO\Lambda H$ 

Πρόταση 10.7.5 (1) Εστω  $\Sigma$  τυχόν σημείο του βοηθητικού κύκλου  $\sigma_T$  της υπερβολής με κέντρο στην εστία T και δεύτερη εστία στο  $\Pi$ . Η μεσοκάθετος  $\varepsilon$  του τμήματος  $\Sigma\Pi$  τέμνει την  $\Sigma\Pi$  σε σημείο X της υπερβολής.

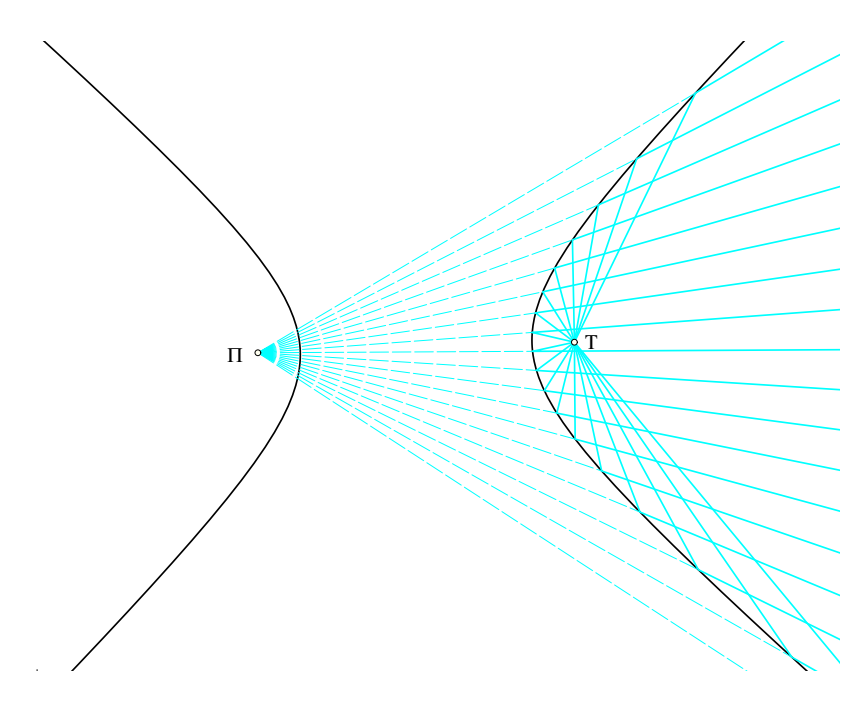
- (2)  $H \varepsilon$  είναι εφαπτόμενη της υπερβολής και το X είναι το σημείο επαφής της  $\varepsilon$ .
- (3) Η υπερβολή περιέχεται ολόκληρη στο εξωτερικό του μείζονα κύκλου της σ.
- (4) Η εφαπτόμενη ε στο Χ διχοτομεί την γωνία ΠΧΤ.
- (5) Οι προβολές Υ και Υ΄ των εστιών στην εφαπτόμενη ε περιέχονται στον μείζονα κύκλο της υπερβολής.
- (6) Το γινόμ $\epsilon$ νο  $|\Pi Y||TY'|$   $\epsilon$ ίναι σταθ $\epsilon$ ρό και ίσο μ $\epsilon$   $b^2$ .

Aπόδειξη: Το (1) είναι συνέπεια του ορισμού αφού  $|TX|-|X\Pi|=|TX|+|X\Sigma|=2a.$  Γιά το (2) ας θεωρήσουμε σημείο  $\Omega$  της ε, διαφορετικό του X. Λόγω της μεσοκαθέτου

$$|\Omega T| - |\Omega \Pi| = |\Omega T| - |\Omega \Sigma| < |T \Sigma| = 2a.$$

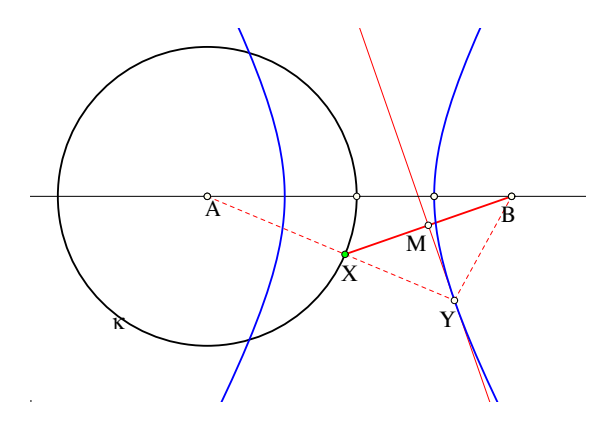
Η τελευταία ανισότητα είναι η τριγωνική γιά το τρίγωνο  $T\Sigma\Omega$ . Η ανισότητα δείχνει ότι το  $\Omega$  δεν ανήκει στην υπερβολή, άρα το X είναι το μοναδικό σημείο της ε κοινό με την υπερβολή.

- Το (3) οφείλεται στο ότι η ΟΧ είναι διάμεσος του τριγώνου ΠΧΤ και συνεπώς  $|OX| > \frac{1}{2}(|XT| |X\Pi|) = a$  (Άσκηση 1.14.3).
- Το (4) οφείλεται στο ότι το τρίγωνο  $\Pi X \Sigma$  είναι ισοσχελές, άρα η μεσοχάθετος ε της  $\Sigma \Pi$  διχοτομεί την γωνία στην χορυφή του.
- Το (5), γιά το σημείο Y οφείλεται στο ότι η OY συνδέει τα μέσα των πλευρών του τριγώνου  $\Sigma\Pi T$ , άρα  $|OY|=\frac{|T\Sigma|}{2}=a$ . Ανάλογα αποδειχνύεται η ιδιότητα χαι γιά την προβολή Y' του T πάνω στην ε.
- Το (6) προκύπτει προεκτείνοντας την  $\Pi Y$  έως ότου τμήσει τον κύκλο  $\sigma$  σε σημείο  $Y^*$ . Λόγω της συμμετρίας της υπερβολής ως προς O, οι  $\Pi Y^*$  και TY' είναι ίσες και το γινόμενο  $|\Pi Y||TY'|=|\Pi Y||\Pi Y^*|$  είναι ίσο με την δύναμη της εστίας  $\Pi$  ως προς τον μείζονα κύκλο  $\sigma$ , ο.ε.δ.



Σχήμα 797: Ανακλαστική ιδιότητα υπερβολής

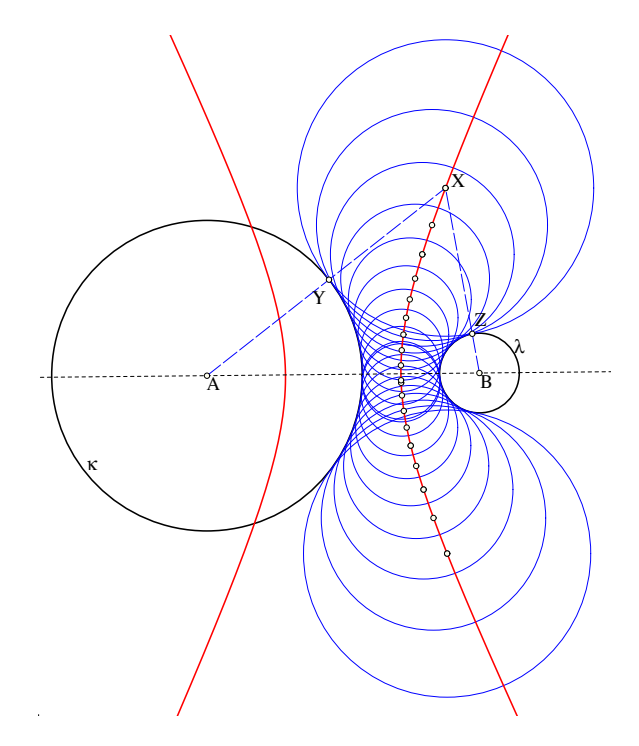
Η τελευταία εικόνα δείχνει την συνέπεια του (4) της προηγούμενης πρότασης, κατά το οποίο ακτίνες κατευθυνόμενες προς μία εστία  $\Pi$  της υπερβολής και ανακλώμενες επ' αυτής συγκεντρώνονται στην άλλη εστία T της υπερβολής.



Σχήμα 798: Υπερβολή ως περιβάλλουσα μεσοκαθέτων του ΒΧ

Άσκηση 10.7.1 Δοθέντος κύκλου κ $(A,\rho)$  και σημείου B εκτός αυτού, δείξε ότι οι μεσοκάθετοι των τμημάτων BX, όπου X σημείο του κύκλου είναι εφαπτόμενες υπερβολής με εστίες τα σημεία A και B και εγκάρσιο άξονα  $\rho$ .

Υπόδειξη: Προέχτεινε την ΑΧ έως ότου τμήσει την μεσοχάθετο στο Y. Τότε  $|YA|-|YB|=|YA|-|YX|=\rho$ .



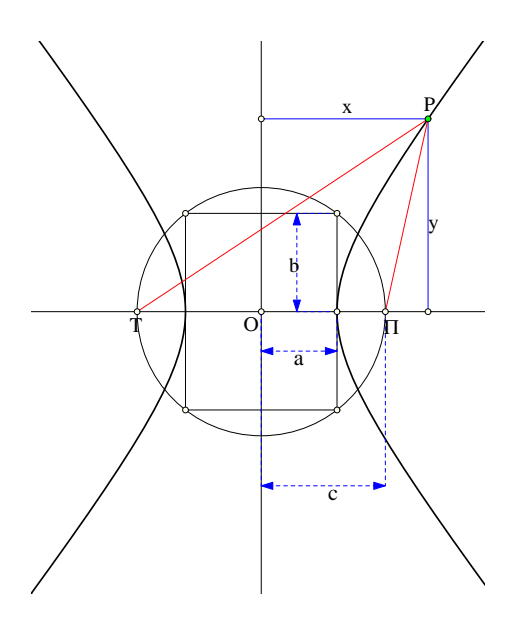
Σχήμα 799: Υπερβολή ως τόπος κέντρων κύκλων

Άσκηση 10.7.2 Δοθέντων κύκλων κ $(A, \rho)$  και  $\lambda(B, \rho')$  δείξε ότι τα κέντρα τρίτων κύκλων που εφάπτονται και των δύο δοθέντων ευρίσκονται επί υπερβολής με εστίες τα κέντρα A, B των κύκλων και εγκάρσιο άξονα την διαφορά  $|\rho - \rho'|$  των ακτίνων.

10.7.  $H \Upsilon \Pi EPBO\Lambda H$ 

525

Υπόδειξη: Έστω Υ, Ζ τα σημεία επαφής ενός τρίτου κύκλου που εφάπτεται των δύο δοθέντων. Τα Χ, Υ και Α είναι επ' ευθείας και παρόμοια, τα Χ, Ζ, Β είναι επ' ευθείας. Ισχύει συνεπώς  $||XA| - |XB|| = |(|XY| + |YA|) - (|XZ| + |ZB|)| = ||YA| - |ZB|| = |\rho - \rho'|$ .



Σχήμα 800: Υπερβολή μέσω εξίσωσης

 ${}^{\prime}$ Ασκηση 10.7.3  $\Delta\epsilon$ ίξ $\epsilon$  ότι αν x,y  $\epsilon$ ίναι οι αποστάσ $\epsilon$ ις σημ $\epsilon$ ίου P υπ $\epsilon$ ρetaολής από τον συζυγή και τον εγκάρσιο άξονα αντίστοιχα, τότε ισχύει η εξίσωση

$$\frac{x^2}{a^2} - \frac{y^2}{b^2} = 1,$$

όπου a, b αντίστοιχα ο εγκάρσιος και ο συζυγής άξονας της υπερβολής.

 $\Upsilon$ πό $\delta\epsilon$ ιξη: Η εξίσωση  $|PT|-|P\Pi|=2a$  εκφράζεται συναρτήσει των x και y με την

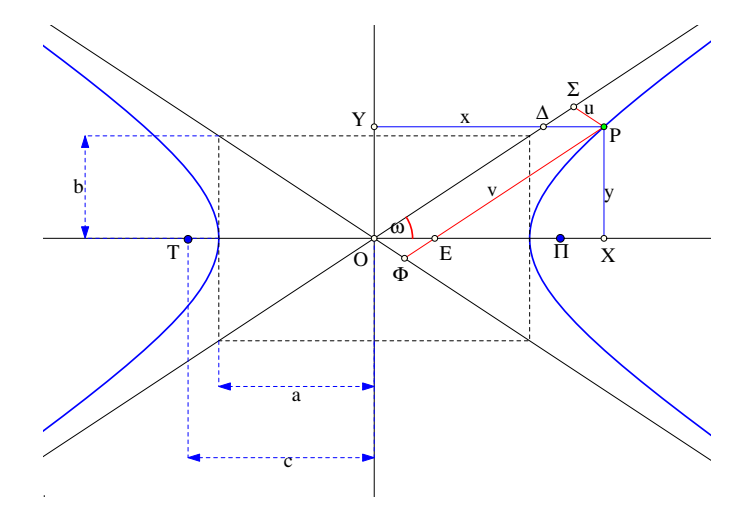
$$\sqrt{(x-c)^2 + y^2} - \sqrt{(x+c)^2 + y^2} = 2a.$$

Υψώνοντας τα δύο μέλη στο τετράγωνο, απομονώνοντας την ρίζα και ξαναϋψώνοντας ώστε αυτή να εξαλειφθεί, οδηγούμεθα στον αναφερόμενο τύπο, λαμβανομένου υπόψη και του  $c^2 = a^2 + b^2$ .

Άσκηση 10.7.4  $\Delta\epsilon$ ίξ $\epsilon$  ότι αν  $u=|P\Sigma|, v=|P\Phi|$   $\epsilon$ ίναι τα μήκη των πλ $\epsilon$ υρών παραλληλογράμμου ΡΣΟΦ που ορίζεται από το σημείο Ρ υπερβολής, φέρνοντας παράλληλες προς τις ασύμπτωτες, τότε ισχύει:

$$u \cdot v = \frac{1}{4}c^2,$$

όπου 2c η εστιακή απόσταση της υπερβολής.



Σχήμα 801: Υπερβολή ως προς ασυμπτώτους

 $\Upsilon$ πόδ $\epsilon$ ιξη: Αρκεί ένας υπολογισμός των u,v συναρτήσει των x,y της προηγούμενης άσκησης. Υποθέτοντας ότι η γωνία των ασυμπτώτων είναι 2ω και βάσει του σχήματος 801 προκύπτει:

$$\varepsilon\varphi(\omega) = \frac{b}{a} = \frac{|OY|}{|Y\Delta|} \tag{10.13}$$

$$|Y\Delta| = y \, \sigma \varphi(\omega), \quad |O\Delta| = \frac{y}{\eta \mu(\omega)}$$
 (10.14)

$$|\Delta P| = x - |Y\Delta| = x - y \, \sigma\varphi(\omega) \tag{10.15}$$

$$\frac{|\Delta P|}{\eta \mu(2\omega)} = \frac{u}{\eta \mu(\omega)} \tag{10.16}$$

$$u = \frac{x \eta \mu(\omega) + y \sigma \upsilon \nu(\omega)}{\eta \mu(2\omega)} \tag{10.17}$$

$$u = \frac{x \eta \mu(\omega) + y \sigma \upsilon \nu(\omega)}{\eta \mu(2\omega)}$$

$$v = \frac{x \eta \mu(\omega) - y \sigma \upsilon \nu(\omega)}{\eta \mu(2\omega)}$$

$$(10.17)$$

Η τέταρτη εξίσωση προχύπτει από τον τύπο των ημιτόνων γιά το τρίγωνο  $\Delta P \Sigma$  και τα υπόλοιπα, καθώς και το ζητούμενο, προκύπτουν με απλές πράξεις.

# Βιβλιογραφία

- [M52] Μ, Φ Γ: Ασκήσεις Γεωμετρίας (Ιησουϊτών). Εκδόσεις Καραβία, Αθήναι, 1952.
- [Καν76] Κανέλλος, Σπύρος: Ευκλείδειος Γεωμετρία. Οργανισμός Εκδόσεως Διδακτικών Βιβλίων, Αθήναι, 1976.
- [Παπ81] Παπανικολάου, Χρ: Ευκλείδειος Γεωμετρία γιά την Β΄ Λυκείου. Οργανισμός Εκδόσεως Διδακτικών Βιβλίων, Αθήναι, 1981.
- [Ντε91] Ντεργιαδής, Νικόλαος: Μιά απλή γεωμετρική απόδειξη του θεωρήματος του Morley. Διάσταση, 1:37–38, 1991.
- [Σπί94] Σπίβακ, Μιχαήλ: Λογισμός σε Πολλαπλότητες. Πανεπιστημιακές Εκδόσεις Κρήτης, Ηράκλειο, 1994.
- [Καπ96] Καπέτης, Γεώργιος: Γεωμετρία του Τριγώνου, τομ. Α, Β. Εκδόσεις Ζητη, Θεσσαλονίκη, 1996.
- [Σπίθ4] Σπίβακ, Μιχαήλ: Διαφορικός και Ολοκληρωτικός Λογισμός. Πανεπιστημιακές Εκδόσεις Κρήτης, Ηράκλειο, 2004.
- [AB83] A. Bruen, J. Fisher, J. Wilker: *Apollonius by inversion*. Mathematics Magazine, 56:97–103, 1983.
- [Alp00] Alperin, Roger: A mathematical theory of origami constructions and numbers. New York Journal of Mathematics, 6:119–133, 2000.
- [AP88] Agazzi, Evandro and Dario Palladino: Le Geometrie non Euclidee e i Fondamenti della Geometria. La scuola, Brescia, 1988.
- [Aud02] Audin, Michele: Geometry. Springer Verlag, 2002.
- [Bac73] Bachmann, Friedrich: Aufbau der Geometrie aus dem Spiegelungsbegriff. Springer Verlag, Heidelberg, 1973.
- [Bai88] Bailey, David: The computation of  $\pi$  to 29,360,000 decimal digits using borweins' quartically convergent algorithm. Mathematics of Computation, 50:283–296, 1988.
- [Bel07] Belyaev, Oleg: Fundamentals of Geometry. Preprint (Internet), 2007.
- [Ber87] Berger, Marcel: Geometry vols I, II. Springer Verlag, Heidelberg, 1987.

 $BIB\Lambda IO\Gamma PA\Phi IA$ 

[Ber02] Berger, Marcel: A Panoramic View of Riemannian Geometry. Springer Verlag, Heidelberg, 2002.

- [BH07] Barker, William and Roger Howe: Continuous Symmetry, From Euclid to Klein. American Mathematical Society, 2007.
- [Bir32] Birkhoff, George: A set of postulates for plane geometry, based on scale and protractor. Annals of Mathematics, 33:329–345, 1932.
- [Bol82] Bold, Benjamin: Famous Problems of Geometry. Dover Publications, Inc., New York, 1982.
- [Bon12] Bonola, Roberto: *Non-Euclidean Geometry*. The Open Court Publishing Company, Chicago, 1912.
- [Bot07] Bottema, Oene: Topics in Elementary Geometry. Springer Verlag, Heidelberg, 2007.
- [Cai33] Cairns, Stewart: An axiomatic basis for plane geometry. Transactions of the American Mathematical Society, 35:234–244, 1933.
- [CG67] Coxeter, H and L Greitzer: *Geometry Revisited*. Math. Assoc. Amer. Washington DC, 1967.
- [Cha65] Chasles, M.: Traite de Sections Coniques. Gauthier-Villars, Paris, 1865.
- [Coo16] Coolidge, Julian Lowell: A treatise on the circle and the sphere. Oxford University Press, Oxford, 1916.
- [Cou80] Court, Nathan Altshiller: College Geometry. Dover Publications Inc., New York, 1980.
- [Cox61] Coxeter, H: Introduction to Geometry. John Wiley and Sons Inc., New York, 1961.
- [Cox68] Coxeter, H S M: The problem of apollonius. American Math. Monthly, 75:5–15, 1968.
- [CR96] Courant, Richard and Herbert Robbins: What is Mathematics. Oxford University Press, Oxford, 1996.
- [Dan55] Dantzig, Tobias: The bequest of the Greeks. George Allen and Unwin Ltd., London, 1955.
- [dC76] Carmo, Manfredo do: Differential Geometry of Curves and Surfaces. Prentice-Hall Inc., New Jersey, 1976.
- [Der07] Dergiades, Nikolaos: *The soddy circles*. Forum Geometricorum, 7:191–197, 2007.
- [Doe65] Doerrie, Heinrich: 100 Great Problems of Elementary Mathematics. Dover Publications, Inc. New York, 1965.

 $BIB\Lambda IO\Gamma PA\Phi IA$  529

[eJPL99] Jean-Pierre Lafon, Pierre Eymard et: Autour du nombre  $\pi$ . Hermann Editeurs, Paris, 1999.

- [Eve63] Eves, Howard: A survey of Geometry. Allyn and Bacon, Inc., Boston, 1963.
- [Fou05] Fourrey, E.: Curiosites Geometriques. Vuibert et Nony editeurs, Paris, 1905.
- [Fur37] Fursenko, V.B.: Lexicographical account of constructional problems of triangle geometry. Mathematics in school (in Russian), 5:4–30, 1937.
- [Gal13] Gallatly, William: The modern geometry of the triangle. Francis Hodgsonn, London, 1913.
- [Gla20] Glaser, Robert: Stereometrie. Walther de Gruyter, 1920.
- [GR04] Gisch, David and Jason Ribando: Apolloniu's problem: A study of solutions and their connections. American Journal of Undergraduate Research, 3:15–26, 2004.
- [Hea08] Heath, T: The thirteen books of Euclid's elements vol. I, II, III. Cambridge University Press, Cambridge, 1908.
- [Hei85] Heiberg, Johan: Euclidis Elementa. Teubner Verlag, 1885.
- [Hil03] Hilbert, David: Grundlagen der Geometrie. Teubner Verlag, Leipzig, 1903.
- [Hon95] Honsberger, Ross: Episodes in Nineteenth and Twentieth Century Euclidean Geometry. The Mathematical Association of America, New Library, Washington, 1995.
- [Joh16] Johnson, Roger: Relating to the simson line or wallace line. American Math. Monthly, 23:61–62, 1916.
- [Joh60] Johnson, Roger: Advanced Euclidean Geometry. Dover Publications, New York, 1960.
- [Kaz70] Kazarinoff, Nicholas: Ruler and the Round. Dover, New York, 1970.
- [KF70] Kolmogorov, A. and S. Fomin: *Introductory Real Analysis*. Dover, New York, 1970.
- [Kle97] Klein, Felix: Famous Problems of Elementary Geometry. Ginn and Company, Boston, 1897.
- [Lac93] Lachlan, R.: Modern Pure Geometry. Macmillan and Co., London, 1893.
- [Lal52] Lalesco, Trajan: La Geometrie du triangle. Librairie Vuibert, Paris, 1952.
- [Leg37] Legendre, Adrien Marie: Elements de Geometrie, suivis d'un traite de Trigonometrie. Langlet et compagnie, Bruxelles, 1837.
- [Loo68] Loomis, Elisha Scott: *The Pythagorean Proposition*. The National Council of Teachers of Mathematics, Washington, 1968.

 $BIB\Lambda IO\Gamma PA\Phi IA$ 

[Mcl91] Mclelland, William: A treatise on the Geometry of the Circle. Macmillan and Co, London, 1891.

- [MP77] Millman, Righard and George Parker: *Elements of differential geometry*. Prentice-Hall Inc., New Jersey, 1977.
- [MP94] Mironescu, P. and L. Panaitopol: The existence of a triangle with prescribed angle bisector lengths. Amer. Math. Monthly, 101:58–60, 1994.
- [Mui95] Muirhead, R.: On the number and nature of the solutions of the apollonian contact problem. Proc. Edinburgh Math. Society, 14:135–147, 1895.
- [Nie11] Niemeyer, Jo: A simple construction of the golden section. Forum Geometricorum, 11:53, 2011.
- [Oxm08] Oxman, Victor: A purely geometric proof of the uniqueness of a triangle with prescribed angle bisectors. Forum Geometricorum, 8:197–200, 2008.
- [Ped90] Pedoe, D: A course of Geometry. Dover, New York, 1990.
- [PS88] Posamentier, Alfred and Charles Salkind: Challenging Problems in Geometry. Dover, New York, 1988.
- [Row17] Row, Sundara: Geometric Exercises in Paper Folding. The open court publishing company, Chicago, 1917.
- [sH94] Hahn, Liang shin: Complex Numbers and Geometry. Mathematical Association of America, 1994.
- [ST76] Singer, I and J Thorpe: Lecture notes on Elementary Topology and Geometry. Springer-Verlag, Berlin, 1976.
- [Ste71] Steiner, Jacob: Gesammelte Werke vol. I, II. Chelsea Publishing Company, New York, 1971.
- [VY10] Veblen, Oswald and John Young: *Projective Geometry vol. I, II.* Ginn and Company, New York, 1910.
- [Wei03] Weisstein, Eric: CRC concise encyclopedia of mathematics. Chapman and Hall/CRC, Boca Raton, 2003.
- [Wel91] Wells, David: Dictionary of Curious and Interesting Geometry. Penguin Books, 1991.

## Ευρετήριο

Ακμές της πυραμίδας, 403

 $(AB\Gamma)$ , 76 Ακμές του πολυέδρου, 410 Bachmann, 13 Ακμές τριέδρου, 397 Ακμή της διέδρου, 392 Birkhoff, 12 Ακολουθία, 344, 347 Bolyai, 54 Brahmagupta, 292, 298 Акро, 18 Brianchon, 338 Ακτίνα, 74 Cairns, 13 Ακτίνα σφαίρας, 426 Ceva, 319 Ακτίνα του κυλίνδρου, 417 Ακτίνια, 354 Dandelin, 489 Αμβλεία, 24, 40 Desargues, 328 Αμβλυγώνιο, 107 Euler, 276, 280 Ανάλυση, 89 Fagnano, 306 Ανάλυση, Σύνθεση, Διερεύνηση, 89 Fermat, 304 Ανάπτυγμα του κώνου, 425 Feuerbach, 278 Ανάπτυγμα του χυλίνδρου, 417 Gauss, 119, 424 Ανάπτυγμα τριέδρου, 398 Gergonne, 323 Ανοιγμα κώνου, 420 Hilbert, 12 Αντίρροπες, 59 Legendre, 53, 472 Αντίστροφα σημεία, 255 Lemoine, 337 Αντίστροφη δέσμη, 260 Lindemann, 353 Αντιδιαμετρικά, 428 Lobatsevski, 54 Αντικέντρο, 139 Malfatti, 275 Αντικείμενες, 18 Morley, 308 Αντιομόλογα σημεία, 249 Newton, 103 Αντιομοιόθετα, 190 Pascal, 335 Αντιστροφή, 255 Pasch, 27 Αντισυμπληρωματικό τρίγωνο, 107 Saccheri, 52, 53 Απέναντι, 26, 324, 414 Simson, 300 Απόλυτη Γεωμετρία, 51, 53 Soddy, 287 Απόσταση, 18 Steiner, 37, 214 Απόσταση ασυμβάτων, 381 Stewart, 209 Απόσταση παράλληλης από επίπεδο, 381 Viete, 286 Απόσταση παραλλήλων, 98, 149, 180 Wallace, 300 Απόσταση σημείου από επίπεδο, 380 Αόριστες έννοιες, 12 Απόσταση σημείου από ευθειά, 49 Αθροισμα, 22 Απόσταση των δύο επιπέδων, 381 Αθροισμα γωνιών τριγώνου, 53, 55Απολλώνιοι κύκλοι, 230 Ακμές της πολυεδρικής γωνίας, 403 Απολλώνιος, 230, 282

Απολλώνιος κύκλος, 230

 $E\Upsilon PETHPIO$ 

Αριθμοί του Fermat, 119  $\Delta$ ίεδρος οξεία, 393Αρμονικά συζυγή, 70  $\Delta$ ίεδρος παραπληρωματική, 393Αρμονική δέσμη τεσσάρων ευθειών, 315  $\Delta$ ίεδρος συμπληρωματική, 393Αρμονική Τετράδα, 70  $\Delta$ ύναμη της αντιστροφής, 255Αρμονική τετράδα, 183  $\Delta$ ύναμη ως προς κύκλο, 218Αρνητικό ημιάξονα, 311  $\Delta$ εύτερο, 22Αρχή, 18, 311 $\Delta$ ελτοειδές, 301Αρχιμήδειο αξίωμα, 147  $\Delta$ ευτερεύοντα στοιχεία, 29Αρχιμήδειο τρίγωνο, 510  $\Delta$ ιάκεντρος, 82 $\Delta$ ιάμεσοι, 409Αρχιμήδης, 130, 147, 346 Ασύμβατα κάθετες, 376, 382, 389, 401  $\Delta$ ιάμεσος, 28, 36, 54, 61, 105, 145, 150, 154, 210, 221Ασύμβατες ευθείες, 367, 375, 381, 383  $\Delta$ ιάμετρο σφαίρας, 426Ασύμπτωτες υπερβολής, 521 Ασυμβάτων απόσταση, 381  $\Delta$ ιάμετροι της έλλειψης, 513Ατρακτος, 436  $\Delta$ ιάμετροι της υπερβολής, 519Αυτοπολικό τρίγωνο, 327  $\Delta$ ιάμετρος, 74, 77Διάμετρος της παραβολής, 508 Αυξουσα ακολουθία, 344  $\Delta$ ιαγώνιο, 324Αξίωμα, 12, 15, 18, 20, 27, 55, 147, 344  $\Delta$ ιαγώνιος, 94, 115, 117, 145 Αξίωμα πληρότητας, 344 Διαγώνιος παραλληλεπιπέδου, 414 Αξίωμα των παραλλήλων, 55, 171  $\Delta$ ιαμέσων τρίγωνο, 106Αξονας Προοπτικότητας, 328  $\Delta$ ιερεύνηση, 89Αξονας συμμετρίας, 63  $\Delta$ ιευθετούντες κύκλοι, 515, 522Αξονας του κώνου, 419  $\Delta$ ιευθετούσα, 486Αξονας των κέντρων, 235  $\Delta$ ιευθετούσες της έλλειψης, 497Αξονες συμμετρίας έλλειψης, 513  $\Delta$ ιευθετούσες της υπερβολής, 497Αξονες συμμετρίας υπερβολής, 519  $\Delta$ ιπλό λόγο, 314Αξονική συμμετρία, 63  $\Delta$ ιπλός λόγος τεσσάρων ευθειών, 315Βάσεις του κόλουρου κώνου, 424  $\Delta$ ιχοτόμος, 28, 36, 52, 62, 72, 79, 88, Βάσεις του χυλίνδρου, 417 121, 128, 151, 166, 211, 212, 308 Βάσεις του πρίσματος, 414  $\Delta$ ιχοτομούντα επίπεδα της διέδρου, 394Βάση της πυραμίδας, 403 Εδρα, 414Βάση του κώνου, 419 Εδρες διέδρου, 392 Βασικά σημεία, 235 Εδρες του πολυέδρου, 410 Βοηθητικός, 515 Εδρες τριέδρου, 397 Βοηθητικός κύκλος, 522 Εφαπτόμενη, 78, 88, 219  $\Delta$ έσμη ευθειών, 179Εφαπτόμενη δέσμη, 234  $\Delta$ έσμη κύκλων,  $232,\,234$ Εφαπτόμενη της κωνικής, 500

Δέσμη ευθειών, 179
Δέσμη κύκλων, 232, 234
Δέσμη παραγόμενη από δύο κύκλους, 236
Δίεδρες, 414
Δίεδρες ίσες, 392
Δίεδρες της τριέδρου, 397
Δίεδρες του πολυέδρου, 410
Δίεδρο γωνία, 392
Δίεδρος αμβλεία, 393
Δίεδρος ορθή, 393

Εορες του πολυεορου, 410
Εδρες τριέδρου, 397
Εφαπτόμενη, 78, 88, 219
Εφαπτόμενη δέσμη, 234
Εφαπτόμενη της κωνικής, 500
Εφαπτόμενη της σφαίρας, 429
Εφαπτόμενο επίπεδο, 421
Εφαπτόμενο επίπεδο της σφαίρας, 427
Εφαπτόμενοι κύκλοι, 82
Εφαπτόμενος κώνος, 430
Εφαπτομενικό τρίγωνο, 267, 337
Εφεξής, 22
Εγγεγραμμένη γωνία, 124

 $E\Upsilon PETHPIO$  533

Εξωτερικό κέντρο, 249 Εγγεγραμμένη κωνική επιφάνεια, 423 Εγγεγραμμένο τετράπλευρο, 134 Εξωτερικό κύκλου, 74 Εγγεγραμμένος, 80 Εξωτερικό της σφαίρας, 426 Εγγεγραμμένος κύκλος τριγώνου, 80 Φορέας, 16 Εγγράψιμο σε σφαίρα, 434 Φράγμα, 344 Εγκάρσιος άξονας, 522 Εγκεντρο, 271 Γενέτειρες της επιφανείας, 417 Εγκεντρο του τριγώνου, 280 Γενέτειρες του κώνου, 419Εγκεντρο τριγώνου, 80 Γεωμετρικός τόπος, 36, 61, 77, 127, 140, Εις άτοπον απαγωγή, 12, 17, 40, 53 159, 166, 183, 193, 225, 230, 239, Εκκεντρότητα, 497, 518 Εκκεντρα τριγώνου, 270 Γνήσιες Κωνικές Τομές, 487 Εκκεντρική γωνία, 518 ΓΠΓ-κριτήριο, 34, 36, 61, 94, 112, 116 Ελάσσονες κύκλοι, 427 Γωνία, 20 Ελλειψη, 486  $\Gamma$ ωνία της ατράκτου, 436Εμβαδόν, 361 Γωνία του κώνου, 420 Εμβαδόν κώνου, 446 Γωνία των ασυμβάτων, 376 Εμβαδόν πολυγώνου, 144 Γωνία των μεγίστων κύκλων, 436 Εμβαδόν του κώνου, 447 Γωνίες πολυγώνου, 115 Εμβαδόν του χυλίνδρου, 446, 447  $\Gamma$ ωνίες του σφαιρικού τριγώνου, 437Επίκεντρος, 124 Γωνίες του τριγώνου, 26 Επίπεδο, 12, 366 Επιπεδομετρία, 12 Ημίχωροι, 366 Εστία, 486 Ημιεπίπεδα, 15 Εστίες, 486, 487 Ημιευθεία, 78, 120 Εστιακή απόσταση, 513, 519 Ημιευθείες, 18, 59 Εστιακή παράμετρος, 507, 513, 518 Ημιπαράμετρος εύρους, 507, 518 Εσωτερικά σημεία, 502 Ημιπεριφέρεια, 120 Εσωτερικό, 15, 20 Ημιτόνου σφαιρικού τύπος, 443 Εσωτερικό κέντρο, 249 Ηρων, 289 Εσωτερικό κύκλου, 74 Ιδιόμορφες κωνικές τομές, 487 Εσωτερικό της σφαίρας, 426 Ιπποκράτης, 362 Εσωτερικό της τριέδρου, 397 Ισόπλευρο, 59, 86, 95, 108, 118, 130, 295, Ευθύγραμμο τμήμα, 15 Ευθεία, 12, 15 308 Ευθεία γωνία, 20 Ισότητα, 12 Ισα ευθύγραμμα τμήματα, 18 Ευθεία στο Άπειρο, 267, 329, 333, 497 Ισα πολύγωνα, 115 Ευθεία στο άπειρο, 322 Ευθεία του Lemoine, 337 Ισα πρίσματα, 414 Ισα σφαιρικά πολύγωνα, 456 Ευθεία του Newton, 153 Ευθεία του Simson, 300 Ισα σφαιρικά τρίγωνα, 437 Ευθεία του Euler, 191 Ισα τρίγωνα, 26 Ευθεία του Newton, 103 Ισες Άτρακτοι, 436 Ευθεία του Pascal, 336 Ισες δίεδρες, 392 Εξωτερικά σημεία, 502 Ισες γωνίες, 22 Εξωτερική διχοτόμος, 29, 151 Ισες σφαίρες, 426

Ισοι κόλουροι κώνοι, 424

Εξωτερική γωνία, 29, 39, 56

534ΕΥΡΕΤΗΡΙΟ

Ισοι κύκλοι, 74 Κύκλος των εννέα σημείων, 276 Ισοι κύλινδροι, 417 Κύλινδρος, 417 Ισοι κώνοι, 419 Κώνος, 419 Ισοσκελές, 32, 35, 36, 41, 42, 66, 74, 75,  $\varkappa(O,\rho), 74$ 129, 161, 165, 223 Κανονικά πολύεδρα, 410 Ισοσκελές τραπέζιο, 111 Κανονικές πολυεδρικές γωνίες, 408 Κανονική πυραμίδα, 407  $\Theta$ αλής, 173 Κανονικό, 414 Θεώρημα ημιτόνων, 204 Κανονικό πεντάγωνο, 116, 223 Θεώρημα συνημιτόνου, 205 Κανονικό πολύγωνο, 115, 131, 137 Θεώρημα του Ήρωνα, 289 Κατά κορυφήν, 24 Θεώρημα του Ceva, 319 Κατασκευή τριγώνου, 89, 92, 132, 139, Θεώρημα του Euler, 280 152, 161, 186, 194, 195, 216, 223, Θεώρημα του Stewart, 209 273, 277, 279, 281 Θεώρημα του Απολλώνιου, 230 Κατεύθυνση δέσμης, 179 Θεώρημα του Θαλή, 173, 176 Κεντρική προβολή, 390 Θεώρημα του Μενελάου, 318 Κεντροειδές, 105, 409 Θεώρημα του Ναπολέοντος, 307 Κοινή κάθετος των ασυμβάτων, 383 Θεώρημα του Πάππου, 157 Κολοβό πρίσμα, 415 Θεώρημα του Πτολεμαίου, 292, 296 Κορυφές, 94 Θεώρημα του Πυθαγόρα, 155, 156, 171 Κορυφές του πολυέδρου, 410 Θετικό ημιάξονα, 311 Κορυφές του σφαιρικού τριγώνου, 437 Κορυφές του τριγώνου, 26 Κάθετα επίπεδα, 393 Κορυφή, 20, 324 Κάθετες, 24, 33 Κορυφή της παραβολής, 509 Κάθετες πλευρές, 32, 43 Κορυφή της πυραμίδας, 403 Κάθετη στο επίπεδο, 378, 382, 386 Κορυφή του ισοσκελούς, 32 Κάθετος από σημείο, 48, 87 Κορυφή του κώνου, 419 Κέντρα Ομοιότητας, 248 Κυκλικό τμήμα, 362, 482 Κέντρο βάρους, 105, 190 Κυκλικό τομέας, 481 Κέντρο δέσμης, 179 Κυκλικός τομέας, 361 Κέντρο ομοιοθεσίας, 190 Κυλινδρική επιφάνεια, 417 Κέντρο Προοπτικότητας, 328 Κυρτά σφαιρικά πολύγωνα, 456 Κέντρο σφαίρας, 426 Κυρτή Γωνία, 20 Κέντρο συμμετρίας, 100 Κυρτή πυραμίδα, 403 Κέντρο της έλλειψης, 513 Κυρτό, 97, 115, 135 Κέντρο της αντιστροφής, 255 Κυρτό πολύεδρο, 410 Κέντρο της κωνικής, 505 Κυρτό πρίσμα, 414 Κέντρο της συμμετρίας, 65 Κωνικές με κέντρο, 487 Κέντρο της υπερβολής, 519 Κωνικές τομές, 340 Κόλουρη πυραμίδα, 404 Κωνική επιφάνεια, 419 Κόλουρος χώνος, 424 Κύβος, 415 Λόγο της χρυσής τομής, 223 Κύκλος, 74 Λόγος ομοιοθεσίας, 190 Κύκλος αντιστροφής, 255

 $\Lambda$ επτό, 22

Μέγιστος κύκλος, 427

Κύκλος ομοιότητας, 252 Κύκλος του Euler, 276

EYPETHPIO 535

Μέσον, 18, 86 Ορθογώνια δέσμη, 245 Μέσος ανάλογος, 164 Ορθογώνιο, 109, 146 Μέτρα, 145 Ορθογώνιο παραλληλεπίπεδο, 415, 463 Μέτρο διέδρου, 392 Ορθογώνιο τρίγωνο, 32, 36, 40, 61, 155, Μέτρο της γωνίας σε μοίρες, 21 162, 168Μήκος, 18 Ορθογώνιοι κύκλοι, 243 Μήκος πλευράς σφαιρικού τριγώνου, 437 Ορθοκεντρική τετράδα, 133 Μήκος τόξου, 354 Ορος ακολουθίας, 344, 347 Μήκος τεθλασμένης, 46 Οξεία, 24, 40 Μείζων κύκλος, 515, 522  $\pi, 352$ Μεγάλος άξονας, 513 Πάππος, 35, 157 Μεριά, 15 Πόλος της ευθείας, 267 Μεσαία τομή, 424 Πόλους του κύκλου, 428 Μεσοκάθετο επίπεδο, 379, 383 Παράκεντρα του τριγώνου, 270 Μεσοκάθετος, 33, 35, 75, 86, 121, 379 Παράλληλα, 16 Μεσοπαράλληλο επίπεδο, 389 Παράλληλα επίπεδα, 367 Μεσοπαράλληλος, 101 Παράλληλες, 16, 18, 41, 51, 55, 57, 87 Μεταξύ, 12, 15, 16 Παράλληλη προβολή, 390 Μη κυρτή Γωνία, 20 Παράλληλοι κύκλοι, 427 Μη τεμνόμενη δέσμη, 234 Παράμετρος της παραβολής, 508 Μη-κυρτή γωνία, 20 Παράπλευρες έδρες, 403 Μηδενική γωνία, 20 Παράπλευρες ακμές, 403, 414 Μηνίσκος, 362 Παράπλευρη επιφάνεια, 419 Μιχρός άξονας, 513 Παράπλευρο εμβαδόν, 446 Μικροί κύκλοι, 427 Παραβολή, 486 Παραλληλόγραμμο, 94, 95, 97, 98, 103,  $O(\rho), 74, 79, 83$ 109, 145, 149Ογκος, 462 Ογκος κώνου, 476 Παραλληλεπίπεδο, 414 Ογκος κυλίνδρου, 474 Παραπληρωματικές, 24, 39, 57, 60Ογκος σφαιρικής ζώνης, 483 Παραπληρωματική τρίεδρος, 441 Ομόλογα, 190, 328 Παρεγγεγραμμένοι κύκλοι, 270, 274 Ομόλογα σημεία, 249 Πεπλατυσμένη γωνία, 20 Ομόλογες, 328 Περίκεντρο, 76, 108 Ομόρροπες, 59 Περίκυκλος, 76, 221 Ομοιόθετα τρίγωνα, 189 Περίμετρος, 26, 91, 131, 350, 352 Ομοια τρίγωνα, 162, 187 Περιγεγραμμένη κωνική επιφάνεια, 423 Ομοκυκλικά, 219 Περιγεγραμμένη σφαίρα, 434 Οριακά σημεία, 235 Περιγεγραμμένη σφαίρα του τετραέδρου, Οριο ακολουθίας, 344, 347, 350, 354 Oρθή, 24, 128 Περιγεγραμμένος κύκλος, 76, 110, 136 Ορθή κυκλική κυλινδρική επιφάνεια, 417  $\Pi\Gamma\Pi$ -κριτήριο, 34, 36, 44, 53, 83Ορθό, 414 Πλάγιος κυκλικός κύλινδρος, 418 Ορθόκεντρο, 107, 108, 401 Πλήρες τετράπλευρο, 324 Ορθός κυκλικός κώνος, 419 Πλήρης στροφή, 21 Ορθικό τρίγωνο, 166 Πλακόστρωση, 460

Πλατωνικά σώματα, 411

Ορθοδιαγώνια, 160

 $E\Upsilon PETHPIO$ 

Πλευρές, 94, 324 Σφαιρικό τρίγωνο, 437 Πλευρές πολυγώνου, 115 Σφαιρικός δακτύλιος, 482 Πλευρές της γωνίας, 20 Σφαιρικός τομέας, 481 Πλευρές του σφαιρικού τριγώνου, 437 Σφαιρικού ημιτόνου τύπος, 443 Σφαιρικού συνημιτόνου 1ος τύπος, 440 Πλευρές του τριγώνου, 26 Πολύεδρο, 410 Σφαιρικού συνημιτόνου 2ος τύπος, 442 Πολύγωνο, 115 Σημείο, 12, 15Πολική του σημείου  $\Sigma$ , 264Σημείο επαφής, 78, 82, 427, 429 Πολυεδρικές γωνίες του πολυέδρου, 410 Σημείο της ευθείας στο άπειρο, 267, 321, Πολυεδρική γωνία, 403 322, 333IIIIII-κριτήριο, 27, 34, 36 Σημείο του Miquel, 302 Πρίσμα, 414 Σημείο του Brianchon, 338 Πρώτο, 22 Σημείο του Feuerbach, 279 Πρισματική επιφάνεια, 414 Σημειακή δέσμη, 179 Προβολή, 49, 77 Σημειακή συμμετρία, 65 Προβολή σημείου, 380 Σχήμα, 12 Προβολή σχήματος, 380 Σταθερά σημεία της αντιστροφής, 255 Προβολή της ευθείας α, 395 Σταθερά σημεία της αξονικής συμμετρίας, Προοπτικά ως προς ευθεία, 328 63 Προοπτικά ως προς σημείο, 328 Σταθερό σημείο της σημειαχής συμμετρί-Προσανατολισμός, 35 Προσημασμένη απόσταση, 311 Στερεά γωνία, 403 Προσημασμένος Λόγος, 310 Στρεβλό Τετράπλευρο, 377 Προσημασμένος λόγος, 212  $\Sigma$ υγκεντρικοί,  $82,\,122$ Προσθετικότητα εμβαδών, 145 Συμμετρικά ως προς άξονα, 63 Πτολεμαίος, 292 Συμμετρικά ως προς σημείο, 65 Πυθαγόρας, 155 Συμμετρικό ως προς άξονα, 63 Πυραμίδα, 403 Συμμετρικό ως προς σημείο, 65, 67, 95 Συμπληρωματικά τόξα, 120, 127 Χώρος, 12, 366 Συμπληρωματικές, 24 Χαρακτηριστική του Euler, 461 Συμπληρωματικό, 190 Χορδή, 74, 120, 121, 124, 161 Συνημιτόνου σφαιρικού 1ος τύπος, 440 Χορδή κωνικής, 502 Συνημιτόνου σφαιρικού 2ος τύπος, 442 Χορδή σφαίρας, 426 Συζυγής άξονας, 522 Χρυσή τομή, 222  $\Sigma$ υζυγείς κατευθύνσεις, 505Ρόμβος, 111, 122 Τόξο, 120 Ριζικό κέντρο, 227, 338 Τόξο αντίστοιχο επίκεντρης, 120 Ριζικός άξονας, 225 Τεθλασμένη, 46 Ριζικός άξονας της δέσμης, 235 Τεμνόμενη δέσμη, 234 Τεταρτημόρια, 392 Σύνθεση, 89 Τετμημένη, 311  $\Sigma$ φαίρα κέντρου Ο και ακτίνας ρ, 426Τετράεδρο, 405 Σφαίρες Dandelin, 489 Σφαιρικά πολύεδρα, 434 Τετράγωνο, 110, 148, 154 Σφαιρικά πολύγωνα, 456 Τετράπλευρο, 97, 153, 171 Σφαιρική ζώνη, 454 Τετραγωνισμός του κύκλου, 353 Τρίεδρες της πυραμίδας, 403 Σφαιρικό πολύγωνο, 438

 $E\Upsilon PETHPIO$  537

Τρίγωνο, 26 Τραπέζιο, 111, 150, 182 Τριγραμμική πολική, 320, 329 Τριγραμμικός πόλος, 320 Τριγωνική ανισότητα, 46, 75, 83 Τριγωνομετρικές συναρτήσεις, 167 Τριγωνομετρικός κύκλος, 170

Υπερβατικός, Υπερβολή, Υπερβολική Γεωμετρία, 51, 52, Υποτείνουσα, 32, 41, Υψος, 29, 37, Υψος κόλουρου κώνου, Υψος κώνου, Υψος κυλίνδρου, Υψος πρίσματος, Υψος σφαιρικής ζώνης,

Ωοειδές, 363